2026/1130

26.6.2026

Kun de originale FN/ECE-tekster har retlig virkning i henhold til folkeretten. Dette regulativs nuværende status og ikrafttrædelsesdato bør kontrolleres i den seneste version af FN/ECE's statusdokument TRANS/WP.29/343, der findes på adressen: https://unece.org/transport/road-transport/status-1958-agreement-and-annexed-regulations

FN-regulativ nr. 154 — Ensartede forskrifter for godkendelse af lette personkøretøjer og lette erhvervskøretøjer for så vidt angår kriterieemissioner, emissioner af kuldioxid og brændstofforbrug og/eller måling af elektrisk energiforbrug og rækkevidde (WLTP) [2026/1130]

Omfattende al gældende tekst frem til:
Ændringsserie 04 — ikrafttrædelsesdato: XX september 2026 (skal bekræftes)

Dette dokument er udelukkende et dokumentationsredskab. Den autentiske og juridisk bindende tekst er: ECE/TRANS/WP.29/2026/26 (som ændret ved punkt 66 og bilag V til rapporten ECE/TRANS/WP.29/1190)

INDHOLDSFORTEGNELSE

Regulativ

Indledning

1. Anvendelsesområde
2. Forkortelser
3. Definitioner
4. Ansøgning om godkendelse
5. Godkendelse
6. Forskrifter og prøvninger
7. Ændring og udvidelse af typegodkendelsen
8. Produktionens overensstemmelse
9. Sanktioner i tilfælde af produktionens manglende overensstemmelse
10. Endeligt ophør af produktionen
11. Overgangsbestemmelser og særlige bestemmelser
12. Navne og adresser på de tekniske tjenester, der er ansvarlige for udførelse af godkendelsesprøvningerne, og på de typegodkendende myndigheder

Tillæg

1. Type 1-prøvning Verifikation af produktionens overensstemmelse for specifikke køretøjstyper
2. Verifikation af produktionens overensstemmelse ved type 1-prøvning — statistisk metode
3. Indkøringsprøvningsprocedure til bestemmelse af indkøringsfaktorer
4. Produktionens overensstemmelse ved type 4-prøvning
5. Anordninger til ombordovervågning af forbruget af brændstof og/eller elektrisk energi
6. Forskrifter for køretøjer, der anvender en reagens i systemet til efterbehandling af udstødningen

Bilag

Bilag, del A

A1 Motorens og køretøjets specifikationer samt oplysninger om gennemførelse af prøvninger ("oplysningsskema")

Tillæg

1. WLTP-prøvningsrapport
2. WLTP-køremodstandsprøvningsrapport
3. WLTP-prøvningsblad
4. Prøvningsrapport vedrørende fordampningsemission

A2 Meddelelse

Tillæg

1. Fabrikantens overensstemmelseserklæring med reagenskrav
2. Fabrikantens erklæring til temperaturkorrektionsprøvningen (ATCT)
3. Fabrikantens erklæring om regenereringskrav
4. Fabrikantens overensstemmelseserklæring med type 5-kravene
5. Fabrikantens overensstemmelseserklæring med OBD-kravene
6. Fabrikantens overensstemmelseserklæring med kravene til batteriets holdbarhed

A3 Udformning af godkendelsesmærket

Bilag, del B

B1 Den på verdensplan harmoniserede prøvningscyklus for lette køretøjer (WLTC)

B2 Gearvalg og bestemmelse af skiftepunkt for køretøjer med manuel transmission

B3 Specifikationer for referencebrændstoffer

B4 Køremodstand og indstilling af dynamometer

B5 Prøvningsapparatur og kalibreringer

B6 Type 1-prøvningsprocedure og prøvningsbetingelser

Tillæg

1. Emissionsprøvningsprocedure for alle køretøjer med periodisk regenererende systemer
2. Prøvningsmetode for overvågning af genopladeligt elektrisk energilagringssystem
3. Beregning af gas/energiforhold til gasformigt brændstof (LPG og NG/biomethan)

B6a Temperaturkorrektionsprøvning (omgivende temperatur) til bestemmelse af CO_2-emissioner under repræsentative regionale temperaturforhold

B6b Korrektion af CO_2-resultater i forhold til målhastighed og afstand

B7 Beregninger

B8 Rent elektriske køretøjer, hybride elkøretøjer og hybride køretøjer med komprimeret hydrogen-brændselsceller

Tillæg

1. REESS-systemets ladningstilstandsprofil og hydrogenladningstilstandsprofil
2. REESS-energiændringsbaseret korrektionsprocedure
3. Bestemmelse af REESS-strømstyrke og REESS-spænding for NOVC-HEV'er, OVC-HEV'er, OVC-FCHV'er, PEV'er og NOVC-FCHV'er (alt efter hvad der er relevant)
4. Prækonditionering, soaking og REESS-opladningsbetingelser for PEV'er og OVC-HEV'er og OVC-FCHV'er (alt efter hvad der er relevant)
5. Nytteværdifaktorer (UF) for OVC-HEV'er OVC-FCHV'er (alt efter hvad der er relevant)
6. Valg af førervalgte driftstilstande
7. Måling af brændstofforbrug og anvendelig mængde hydrogen for hybride køretøjer med komprimeret hydrogen-brændselsceller
8. Bestemmelse af yderligere værdier for elektrisk energiforbrug til kontrol af produktionens overensstemmelse for PEV'er og OVC-HEV'er
9. Beregning af cyklusenergikravet REESS (CED_{REESS})

B9 Bestemmelse af metodeækvivalens

B10 Laboratorieprøvning af rent elektrisk rækkevidde ved lav temperatur for rent elektriske køretøjer

Tillæg

1. Ladningstilstandsprofil for REESS-system
2. REESS-opladningsbetingelser for prøvning ved lav temperatur af PEV'er

Bilag, del C

C1 Batteriets holdbarhed

Tillæg

1. Værdier, der skal indlæses fra køretøjer
2. Prøvningsprocedure for bestemmelse af ydeevneparameter under del A-verifikation af SOCE/SOCR-overvågningsenhederne

C2 (Reserveret)

C3 Type 4-prøvning - Bestemmelse af fordampningsemissioner fra køretøjer med benzindrevne motorer

C4 Type 5-prøvning — holdbarhed

Tillæg

1. Standardprøvebænkcyklus (Standard Bench Cycle — SBC)
2. Standardcyklus for dieselprøvebænk (Standard Diesel Bench Cycle — SDBC)
3. Standardvejcyklus (Standard Road Cycle – SRC)

3b Kilometerakkumuleringscyklusser

4. Særlige forskrifter for hybridkøretøjer

C5 Egendiagnosesystem (OBD-system) for motorkøretøjer

Tillæg

1. Funktionelle aspekter ved egendiagnosesystemer (OBD)

Indledning

Formålet med dette regulativ er at fastsætte ensartede bestemmelser for godkendelse af motorkøretøjer for så vidt angår emissioner fra lette køretøjer baseret på den nye verdensomspændende harmoniserede prøvningsprocedure for lette køretøjer (WLTP), der indgår i FN's GTR nr. 15, og den opdaterede prøvningsprocedure for fordampningsemissioner (type 4-prøvning), som er udviklet i FN-GTR nr. 19. Den vil gøre det muligt for de kontraherende parter at udstede og anerkende godkendelser på grundlag af disse nye typegodkendelsesprøvninger.

Type 1-WLTP-prøvningen erstatter både den nuværende type 1-prøvning i FN-regulativ nr. 83 og FN-regulativ nr. 101, mens den ajourførte prøvningsprocedure for fordampningsemissioner (type 4-prøvning) erstatter den nuværende procedure i FN-regulativ nr. 83.

Desuden indeholder dette regulativ en opdatering af type 5-prøvningen med henblik på at kontrollere forureningsbegrænsende anordningers holdbarhed samt ajourførte egendiagnosekrav (OBD). Disse ajourføringer skal afspejle ændringerne fra den tidligere NEDC-baserede type 1-prøvning til den nye type 1-WLTP-prøvning. Ændringsserie 04 indfører nye bilag med krav til batteriers holdbarhed i køretøjer og en ny prøvning af rækkevidden af rent elektriske køretøjer ved lave temperaturer.

Ændringsserie 04 i dette regulativ omfatter fire sæt krav — kaldet niveau 1A, niveau 1B, niveau 1C og niveau 2. Niveau 1A og 1C er baseret på en prøvningscyklus i fire faser (lav, middel, høj og ekstrahøj), niveau 1B er baseret på en trefaset prøvningscyklus (lav, middel og høj), og der gælder forskellige type 1-grænseværdier for disse forskellige niveauer, mens niveau 2 omfatter en harmoniseret procedure, som indeholder de strengeste procedurer/grænseværdier, som skal være genstand for fuld gensidig anerkendelse. Størstedelen af lovteksten gælder for alle niveauer. Hvis kravene er specifikke for enten niveau 1A, niveau 1B, niveau 1C eller niveau 2, mærkes de relevante afsnit i overensstemmelse hermed. Niveau 1A, 1B og 1C i denne ændringsserie dækker regionale krav og kræver ikke gensidig anerkendelse fra andre kontraherende parters side.

Kravene for niveau 1C er identiske med kravene for niveau 1A, herunder dem, der i dette regulativ er markeret som "kun niveau 1A", medmindre andet er angivet.

Typegodkendelse på niveau 2 i den seneste udgave af dette regulativ skal dog anerkendes af alle kontraherende parter, der anvender dette regulativ.

1. Anvendelsesområde

Dette regulativ fastsætter krav til fire godkendelsesniveauer. Det ene niveau kræver prøvning ved hjælp af en 4-faset WLTC-cyklus (lav, middel, høj og ekstra høj som defineret i bilag B1) — dette kaldes niveau 1A. Et andet niveau kræver prøvning ved hjælp af en 3-faset WLTC-cyklus (lav, middel og høj som defineret i bilag B1) — dette kaldes niveau 1B. Det tredje niveau er baseret på niveau 1A og er et sæt reducerede krav, som en kontraherende part kan anerkende til godkendelser under nærmere angivne omstændigheder. Det fjerde niveau er et harmoniseret sæt krav, som kaldes niveau 2.

Hvor kravene i dette regulativ finder anvendelse på enten niveau 1A, niveau 1B eller niveau 2, anvendes kun i den lovgivningsmæssige tekst "kun niveau 1A", "kun niveau 1B" eller "kun niveau 2" for at angive starten på de niveauspecifikke krav.

1.1. Anvendelsesområde for niveau 1A og niveau 1C:

Dette regulativ finder anvendelse på typegodkendelse af køretøjer i klasse M_1 og N_1 for så vidt angår WLTP-type 1-prøvningen for emissioner af gasformige forbindelser, partikler, partikelantal og emissioner af kuldioxid og brændstofforbrug og/eller måling af elektrisk energiforbrug og elektrisk rækkevidde samt type 4-prøvning af fordampningsemissioner.

Desuden fastsættes der i dette regulativ regler for kontrol af holdbarheden af de forureningsbegrænsende anordningers egendiagnosesystemer (OBD), anordningerne til overvågning af brændstofforbruget (OBFCM) og batteriet samt den elektriske rækkevidde ved lave omgivelsestemperaturer.

For køretøjer i klasse N_2 med en totalmasse på mellem 3,5 og 5 ton, der oprindeligt stammer fra en køretøjstype i klasse N_1, kan den godkendende myndighed på fabrikantens anmodning meddele en emissionstypegodkendelse, hvis køretøjet opfylder kravene for en køretøjstype i klasse N_1.

1.2. Anvendelsesområde for niveau 1B

Dette regulativ finder anvendelse på typegodkendelse af køretøjer i klasse M_2 og N_1 med en teknisk tilladt totalmasse på højst 3 500 kg og på alle køretøjer i klasse M_1 for så vidt angår type WTLA-type 1-prøvning for emissioner af gasformige forbindelser, partikler, partikelantal og kuldioxidemissioner og brændstofeffektivitet og/eller måling af elektrisk energiforbrug og rækkevidde samt type 4-prøvning af fordampningsemissioner.

Desuden fastsættes der i dette regulativ regler for kontrol af holdbarheden af forureningsbegrænsende anordninger, egendiagnosesystemer (OBD), anordninger til overvågning af brændstofforbruget (OBFCM) og batteriets holdbarhed.

1.3. Anvendelsesområde for niveau 2:

Dette regulativ finder anvendelse på typegodkendelse af køretøjer i klasse M_1 og N_1 for så vidt angår WLTP-type 1-prøvningen for emissioner af gasformige forbindelser, partikler, partikelantal og emissioner af kuldioxid og brændstofforbrug og/eller måling af elektrisk energiforbrug og elektrisk rækkevidde samt type 4-prøvning af fordampningsemissioner.

Desuden fastsættes der i dette regulativ regler for kontrol af holdbarheden af forureningsbegrænsende anordninger, egendiagnosesystemer (OBD), anordningerne til overvågning af brændstofforbruget (OBFCM), batteriets holdbarhed samt den elektriske rækkevidde ved lave omgivelsestemperaturer.

2. Forkortelser

2.1. Almindelige forkortelser

AC	Vekselstrøm
APF	Tildelt gennemtrængelighedsfaktor
BMS	Batteristyringssystem
BWC	butanadsorptionskapacitet (Butane working capacity)
CD	Ladningsforbrugende
CED	Cyklusenergikrav under hensyntagen til positiv cyklusenergi
CED_{REESS}	REESS-cyklusenergikrav under hensyntagen til positiv og negativ cyklusenergi
CFD	Numerisk beregning af væskedynamik
CFV	Venturi med kritisk strømning (kritisk venturi)
CFO	Drøvleenhed
CLA	Kemiluminescensanalysator
CS	Ladningsbevarende
CVS	Prøvetagningsenhed med konstant volumen
DC	Jævnstrøm
DPR	Opgivne krav til ydeevne
DR	Køreautonomi
DR_H	Køreautonomi med hydrogen
DR_{H+E}	Køreautonomi med hydrogen og elektricitet
EAF	Summen af ethanol, acetaldehyd og formaldehyd
ECD	Elektronindfangningsdetektor
ET	Fordampningsrør

Ekstra høj$_2$	Gruppe 2-fase med ekstra høj hastighed i WLTC
Ekstra høj$_3$	Gruppe 3-fase med ekstra høj hastighed i WLTC
FCHV	Hybridt brændselscellekøretøj
FID	Flammeionisationsdetektor
FSD	Fuldt udslag
GC	Gaskromatograf
GFV	Gasdrevet køretøj
HEPA	Højeffektivt partikelluftfilter
HFID	Opvarmet flammeiondetektor
Høj$_2$	Gruppe 2-fase med høj hastighed i WLTC
Høj$_{3a}$	Gruppe 3a-fase med høj hastighed i WLCT
Høj$_{3b}$	Gruppe 3b-fase med høj hastighed i WLCT
ICE	Forbrændingsmotor
$K_{PER,WLTC,LT,dec}$	Oplyst forhold for rent elektrisk rækkevidde ved lav temperatur for lavtemperaturfamilien
LC	Væskechromatografi
LoD	Detektionsgrænse
LoQ	Kvantificeringsgrænse
Lav$_1$	Gruppe 1-fase med lav hastighed i WLTC
Lav$_2$	Gruppe 2-fase med lav hastighed i WLTC
Lav$_3$	Gruppe 3-fase med lav hastighed i WLTC
LPG	Flaskegas
Medium$_1$	Gruppe 1-fase med medium hastighed i WLTC
Medium$_2$	Gruppe 2-fase med medium hastighed i WLTC
Medium$_{3a}$	Gruppe 3a-fase med medium hastighed i WLCT
Medium$_{3b}$	Gruppe 3b-fase med medium hastighed i WLCT
MPR	Minimumskrav til ydeevne
NDIR	Ikke-dispersiv infrarødanalysator
NDUV	Ikke-dispersivt ultraviolet
NG/biomethan	Naturgas/biomethan
NMC	Enhed til non-methan-afskæring
NOVC-FCHV	Hybridt brændselscellekøretøj med ikke-ekstern opladning
NOVC	Ikke-ekstern opladning
NOVC-HEV	Hybridt elkøretøj med ikke-ekstern opladning (Not off-vehicle charging hybrid electric vehicle)
OBD	Egendiagnose (OBD)
OBFCM	Overvågning af brændstof- og/eller energiforbrug om bord
OTA	Trådløs overførsel
OVC-FCHV	Hybridt brændselscellekøretøj med ekstern opladning
OVC-HEV	Hybridt elkøretøj med ekstern opladning (Off-vehicle charging hybrid electric vehicle)

P_a	Partikelmasse opsamlet på baggrundsfilter
P_e	Partikelmasse opsamlet på prøvefilter
PAO	Poly-alpha-olefin
PCF	Partikelpræklassifikator
PCRF	Reduktionsfaktoren for partikelkoncentration
PDP	Fortrængningspumpe
PER	Rent elektrisk rækkevidde
PF	Gennemtrængelighedsfaktor
P_{LL}	Nedre trykgrænse
PM	Partikelemissioner
PN	Partikelantalemissioner
PNC	Partikelantaltæller
PND1	Første partikelantalfortyndingsanordning
PND2	Anden partikelantalfortyndingsanordning
PTS	Partikeloverførselssystem
PTT	Partikeloverførselsrør
QCL-IR	Infrarød quantum cascade-laser
R_{CDA}	Faktisk rækkevidde i ladningsforbrugende drift
RCB	REESS-systemets ladebalance
REESS	Genopladeligt elektrisk energilagringssystem (Rechargeable electric energy storage system)
RRC	Rullemodstandskoefficient
SOC	Ladetilstand
SOCE	Certificeret energitilstand
SOCR	Certificeret rækkeviddetilstand
SHED	Forseglet hus til bestemmelse af fordampning
SPN10	Partikelantal 10nm
SPN23	Partikelantal 23nm
SSV	Subsonisk venturi
UAH	Anvendelig hydrogenmængde
UBE	Anvendelig batterienergi (REESS)
USFM	ultrasonisk flowmeter
V2G	Vehicle-to-grid
V2H	Vehicle-to-home
V2L	Vehicle-to-load
V2X	Vehicle-to-everything
VH	Køretøjets "høj"
V_L	Køretøjets "lav"
VPR	Enhed til fjernelse af flygtige partikler
WLTC	Den på verdensplan harmoniserede prøvningscyklus for lette køretøjer (Worldwide light-duty test cycle)

2.2. Kemiske symboler og forkortelser

C_1	Carbon 1-ækvivalent hydrocarbon
CH_4	Methan
C_2H_6	Ethan
C_2H_5OH	Ethanol
C_3H_8	Propan
CH_3CHO	Acetaldehyd
CO	Carbonmonoxid
CO2	Kuldioxid
DOP	Doctylphthalat
H_2O	Vand
HCHO	Formaldehyd
NH_3	Ammoniak
NMHC	Non-methan-carbonhydrider
NOx	Nitrogenoxider
NO	Nitrogenoxid
NO_2	Nitrogendioxid
N_2O	Dinitrogenoxid
THC	Samlede carbonhydrider

3. Definitioner

I dette regulativ forstås ved:

3.0.1. "køretøjstype med hensyn til emissioner": en gruppe af køretøjer, som på følgende punkter:

a) ikke adskiller sig fra hinanden med hensyn til de kriterier, som udgør en "interpolationsfamilie" som defineret i punkt 6.3.2

b) henhører under et enkelt "CO_2-interpolationsinterval": som defineret i punkt 2.3.2 i bilag B6

c) ikke adskiller sig fra hinanden med hensyn til karakteristika, der har en ikke ubetydelig indvirkning på emissioner fra udstødningen, såsom, men ikke begrænset til, følgende:

i) typer og rækkefølge af forureningsbegrænsende anordninger (f.eks. 3-vejs katalysator, oxidationskatalysator, NOx-filter, selektiv katalytisk reduktion (SCR), NOx-katalysator, partikelfilter eller kombinationer heraf i en enkelt enhed)

ii) udstødningsgasrecirkulation (med eller uden, intern/ekstern, kølet eller ikke-kølet, lavt/højt/kombineret tryk)

3.0.2. "motorkapacitet":

for cylindermotorer med frem- og tilbagegående stempler, den nominelle slagvolumen

for drejestempelmotorer (Wankelmotorer), det dobbelte af den nominelle slagvolumen for et forbrændingskammer pr. stempel

3.0.3. "slagvolumen":

for cylindermotorer med frem- og tilbagegående stempler, den nominelle slagvolumen

For drejestempelmotorer (Wankel), den nominelle slagvolumen for et forbrændingskammer pr. stempel

3.0.4. "godkendelse af et køretøj": godkendelse af en køretøjstype for så vidt angår dette regulativs anvendelsesområde

3.1. Prøvningsudstyr

3.1.1. "nøjagtighed": afvigelse mellem en målt værdi og en referenceværdi, der kan henføres til en national standard og beskriver resultatets korrekthed Se figur 1.

3.1.2. "kalibrering": processen med at fastlægge et målesystems respons, således at dets output er i overensstemmelse med en række referencesignaler

3.1.3. "kalibreringsgas": en gasblanding, der anvendes til at kalibrere gasanalysatorer

3.1.4. "totrinsfortyndingsmetode": en proces, hvor en del af den fortyndede udstødningsstrøm udskilles og blandes med en passende mængde fortyndingsluft før partikeludskillelsesfilteret

3.1.5. "fuldstrøms udstødningsfortyndingssystem": kontinuerlig fortynding af køretøjets samlede udstødningsgas med luft på en kontrolleret måde ved anvendelse af en konstantvolumenudtagningsenhed (constant volume sampler – CVS)

3.1.6. "lineariseringstilgang": anvendelse af en række koncentrationer eller materialer til at fastsætte et matematisk forhold mellem koncentration og systemrespons

3.1.7. "større vedligeholdelse": justering, reparation eller udskiftning af en komponent eller et modul, der kan påvirke målenøjagtigheden.

3.1.8. "non-methan-carbonhydrider (NMHC)": de samlede carbonhydrider (THC), ekskl. methan (CH4)

3.1.9. "præcision": den grad, hvori gentagne målinger under uændrede betingelser giver de samme resultater (figur 1) og, i dette regulativ, altid henviser til én standardafvigelse

3.1.10. "referenceværdi": en værdi, der kan henføres til en national standard Se figur 1.

3.1.11. "indstillingsværdi": den målværdi, et kontrolsystem tager sigte på at nå

3.1.12. "justering": justering af et instrument, således at det reagerer korrekt på en kalibreringsstandard, der udgør mellem 75 % og 100 % af maksimalværdien inden for apparatets måleområde eller dets forventede driftsområde

3.1.13. "samlede carbonhydrider" (THC): summen af alle flygtige forbindelser, der kan måles med en flammeioniseringsdetektor (FID)

3.1.14. "verifikation": kontrol af, hvorvidt et målesystems resultater er i overensstemmelse med en række gældende referencesignaler og overholder en eller flere fastsatte tærskelværdier

3.1.15. "nulstillingsgas": en gas, der ikke indeholder analytten, og som anvendes til at fastsætte en nulrespons i en analysator

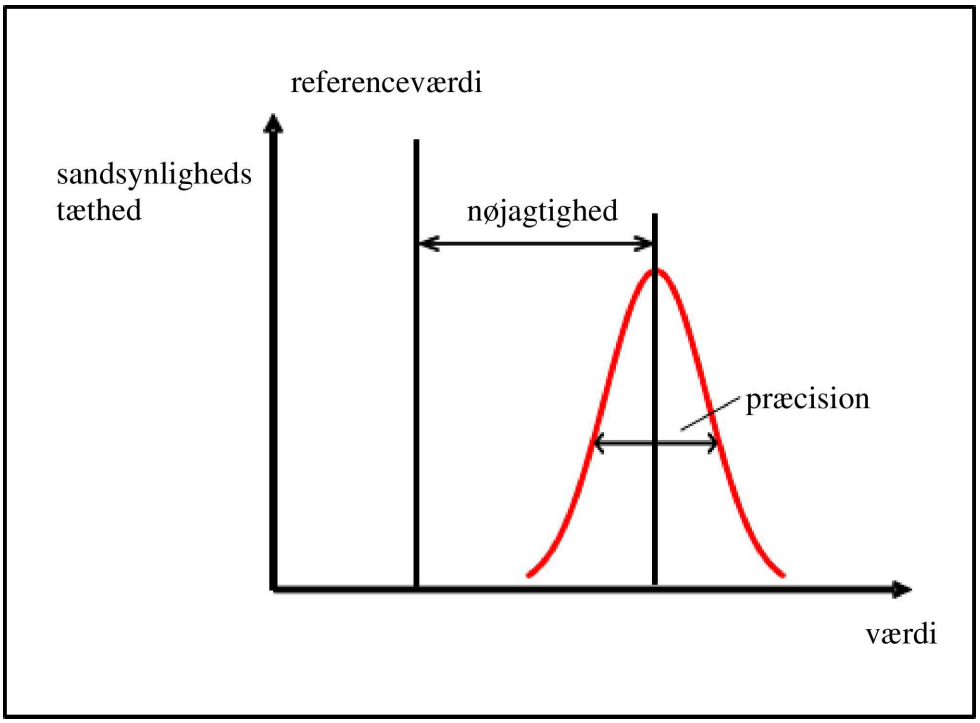
3.1.16. "responstid": forskellen i tid mellem en ændring i den komponent, der skal måles, i dennes referencepunkt og en systemrespons på 90 % af den endelige aflæsning (t_{90}), idet prøveoptagningssonden defineres som referencepunkt, hvorved ændringen i den målte komponent er mindst 60 % af fuld skalavisning (FS) og finder sted inden for mindre end 0,1 sekund Systemets responstid omfatter systemets forsinkelse og dets stigningstid.

3.1.17. "forsinkelse": det tidsrum, der forløber, fra der indtræder en ændring i komponenten, målt i dennes referencepunkt, til systemet fremviser en respons på 10 % af den endelige aflæsning (t_{10}), idet prøvetagningssonden defineres som referencepunktet For så vidt angår gasformige komponenter er dette normalt den målte komponents transporttid fra prøvetagningssonden til detektoren.

3.1.18. "stigningstid": den tid, der forløber fra den viste værdi stiger fra 10 % til 90 % af den endelige aflæsning (t90 – t10)

Figur 1

Definition af nøjagtighed, præcision og referenceværdien



3.2. Køremodstand og indstilling af dynamometer

3.2.1. "aerodynamisk modstand": den kraft, der modsætter sig køretøjets bevægelse fremad gennem luften

3.2.2. "aerodynamisk stagnationspunkt": det punkt på overfladen af et køretøj, hvis vindhastigheden er lig med nul

3.2.3. "vindstyrkemålerblokering": virkningen på vindstyrkemålingen af tilstedeværelsen af køretøjet, hvor den tilsyneladende lufthastighed er en anden end køretøjets hastighed kombineret med vindhastigheden i forhold til jorden

3.2.4. "begrænset analyse": køretøjets frontareal og koefficienten for aerodynamisk modstand er fastlagt uafhængigt, og disse værdier anvendes i bevægelsesligningen

3.2.5. "masse i køreklar stand": køretøjets masse, med brændstoftank(-e) fyldt op til mindst 90 % af dens/deres kapacitet, inklusive førerens, brændstoffets og væskernes masse, monteret med standardudstyr i overensstemmelse med fabrikantens specifikationer, og karrosseriets, kabinens, koblingens, reservehjulets/reservehjulenes og værktøjets masse, når disse er monteret

3.2.6. "førerens masse": en masse på 75 kg anbragt på førersædets referencepunkt

3.2.7. "køretøjets maksimale belastning": den største teknisk tilladte totalmasse minus massen i køreklar stand, 25 kg og ekstraudstyrets masse som defineret i punkt 3.2.8

3.2.8. "ekstraudstyrets masse": den maksimale masse af kombinationer af ekstraudstyr, som kan monteres på køretøjet ud over standardudstyr i overensstemmelse med fabrikantens specifikationer.

3.2.9. "ekstraudstyr": elementer, der ikke er medtaget i det standardudstyr, der er monteret på et køretøj på fabrikantens ansvar, og som kan bestilles af kunden.

3.2.10. "atmosfæriske referencebetingelser (vedrørende køremodstandsmålinger)": de atmosfæriske betingelser, hvortil disse målinger korrigeres:

a) Atmosfæretryk: p_0 = 100 kPa

b) Atmosfærisk temperatur: T_0 = 20 °C

c) Tør luftvægtfylde: ρ_0 = 1,189 kg/m³

d) Vindhastighed: 0 m/s.

3.2.11. "referencehastighed": den køretøjshastighed, ved hvilken køremodstanden bestemmes, eller chassisdynamometerbelastningen verificeres

3.2.12. "køremodstand": den kraft, der modsætter sig et køretøjs fremadgående bevægelse, målt efter friløbsmetoden eller metoder, der svarer hertil med hensyn til fremdriftssystemets optagelse af friktionstab

3.2.13. "rullemodstand": de dækkræfter, der modsætter sig et køretøjs bevægelse

3.2.14. "køremodstandskraft": det moment, der modsætter sig et køretøjs fremadgående bevægelse, målt med momentmåler på et køretøjs drivhjul

3.2.15. "simuleret køremodstand": den køremodstand, køretøjet møder på et chassisdynamometer, som skal reproducere den køremodstand, der måles ved kørsel på vej, og som består af den kraft, chassisdynamometeret påfører, og de kræfter, der modsætter sig køretøjets kørsel på et chassisdynamometer, og som estimeres ud fra de tre koefficienter i et anden grads polynomium

3.2.16. "simuleret køremodstandskraft": den køremodstandskraft, køretøjet møder på et chassisdynamometer, som skal reproducere den køremodstand, der måles ved kørsel på vej, og som består af det moment, chassisdynamometeret påfører, og det moment, der modsætter sig køretøjets kørsel på et chassisdynamometer, og som estimeres ud fra de tre koefficienter i et anden grads polynomium

3.2.17. "stationær anemometri": måling af vindhastighed og retning med en vindstyrkemåler på en lokalitet og ved en højde over vejniveau på prøvestrækningen, hvor de mest repræsentative vindforhold optræder

3.2.18. "standardudstyr": den grundlæggende konfiguration af et køretøj, der er udstyret med alle de elementer, der kræves i henhold til den kontraherende parts retsakter, herunder alle elementer, som er monteret, uden at dette gav anledning til nogen yderligere specifikationer af konfiguration eller udstyr

3.2.19. "målkøremodstand": den køremodstand, der skal reproduceres på chassisdynamometeret

3.2.20. "målkøremodstandskraft": køremodstandskraft, der skal reproduceres

3.2.21. "køretøjsfriløbstilstand": en driftstilstand, der muliggør en nøjagtig og repeterbar bestemmelse af køremodstand og en nøjagtig indstilling af dynamometer.

3.2.22. "vindkorrektion": korrektion for vindpåvirkningens påvirkning af det køremodstandsbaseret input til stationær eller mobil anemometri

3.2.23. "største teknisk tilladte totalmasse": køretøjets maksimale masse baseret på dets konstruktion og ydeevne som angivet af fabrikanten

3.2.24. "køretøjets reelle masse": et køretøjs masse i køreklar stand plus massen af det monterede ekstraudstyr

3.2.25. "køretøjets prøvningsmasse": summen af køretøjets reelle masse, 25 kg og den repræsentative masse for køretøjets belastning

3.2.26. "repræsentativ masse for køretøjets belastning": x % af køretøjets maksimale belastning, idet x er 15 procent for køretøjer i klasse M og 28 procent for køretøjer i klasse N

3.2.27. "vogntogets største teknisk tilladte totalmasse" (MC): den maksimale masse for et vogntog bestående af et motorkøretøj og et eller flere påhængskøretøjer baseret på dets konstruktion og ydeevne eller den maksimale masse for et vogntog bestående af et trækkende køretøj og en sættevogn

3.2.28. "n/v-forhold": motorens omdrejningshastighed divideret med køretøjets hastighed

3.2.29. "dynamometer med én rulle": et dynamometer, hvor hvert hjul på en aksel er i kontakt med én rulle.

3.2.30. "dynamometer med to ruller": et dynamometer, hvor hvert hjul på en aksel er i kontakt med to ruller

3.2.31. "drivaksel": en aksel i et køretøj, der er i stand til at levere energi til fremdrift og/eller genvinde energi, uafhængigt af, om dette kun er midlertidigt eller permanent mulig og/eller kan vælges af føreren

3.2.32. "2WD-dynamometer": et dynamometer, hvor kun hjulene på en af køretøjets aksler er i kontakt med rullen(-rne)

3.2.33. "4WD-dynamometer": et dynamometer, hvor alle hjulene på begge af køretøjets aksler er i kontakt med rullen(-rne).

3.2.34. "dynamometer i 2WD-funktion" et 2WD-dynamometer eller et 4WD-dynamometer, som kun simulerer inerti og køremodstand på prøvningskøretøjets drivaksel, og hvor de roterende hjul på den ikketrækkende aksel ikke påvirker måleresultatet i forhold til en situation, hvor hjulene på den ikketrækkende aksel ikke roterer

3.2.35. "dynamometer i 4WD-funktion": et 4WD-dynamometer, som simulerer inerti og køremodstand på begge prøvningskøretøjets aksler

3.2.36. "friløb": en funktion i enten en automatisk transmission eller en kobling, som automatisk afkobler motoren fra fremdriftssystemet, når der ikke er behov for fremdrift eller en langsom hastighedsreduktion, og hvor der hverken tilføres fremdriftsenergi til hjulene eller hentes genvindingsenergi fra hjulene eller anvendes friktionsbremsning. Under anvendelsen af denne funktion kan motoren være i tomgang eller slukket.

3.2.37. "referencemasse": køretøjets masse i køreklar stand med fast fradrag af 75 kg for førerens masse og med fast tillæg af 100 kg.

3.3. Rent elektriske køretøjer, rene ICE-køretøjer, hybridelektriske køretøjer, brændselscellekøretøjer og køretøjer, der bruger alternative brændstoffer

3.3.1. "fuldt elektrisk rækkevidde" (AER): den samlede afstand tilbagelagt af en OVC-HEV fra begyndelsen af prøvningen i ladningsforbrugende drift til det tidspunkt under prøvningen, hvor forbrændingsmotoren begynder at forbruge brændstof

3.3.2. "rent elektrisk rækkevidde" (PER): den samlede afstand tilbagelagt af en PEV fra begyndelsen af prøvningen i ladningsforbrugende drift og indtil afbrydelseskriteriet er tilfredsstillet

3.3.3. "faktisk rækkevidde i ladningsforbrugende drift" (R_{CDA}): den distance, der tilbagelægges i en række WLTC i ladningsforbrugende driftstilstand, indtil det genopladelige elektriske energilagringssystem (REESS) er udtømt.

3.3.4. "rækkevidde i ladningsforbrugende cyklus" (R_{CDC}): distancen fra påbegyndelsen af prøvningen i ladningsforbrugende drift til udgangen af den sidste cyklus før de(n) cyklus(ser), der tilfredsstiller afbrydelseskriteriet, herunder den overgangscyklus, hvor køretøjet kan have fungeret i både ladningsforbrugende og ladningsbevarende tilstand.

3.3.5. "ladningsforbrugende driftstilstand": en driftstilstand, hvor den energi, som er lagret i REESS-systemet, kan variere, men i gennemsnit er faldende, mens køretøjet kører indtil overgangen til ladningsbevarende drift.

3.3.6. "ladningsbevarende driftstilstand": en driftstilstand, hvor den energi, som er lagret i REESS-systemet, kan variere, men i gennemsnit fastholdes på et neutralt ladeniveau, mens køretøjet kører

3.3.7. "nytteværdifaktorer": relationer baseret på kørselsstatistikker, afhængigt af den rækkevidde, der er opnået i ladningsforbrugende tilstand, og som anvendes til at vægte sammensætningen af udstødningsemissioner, CO_2-emissionerne og brændstofforbrug for OVC-HEV'er i ladningsforbrugende og ladningsbevarende tilstand

3.3.8. "elektrisk maskine" (EM): en energiomdanner, der omdanner mellem elektrisk og mekanisk energi

3.3.9. "energiomdanner": et system, hvori energioutputformen er forskellig fra energiinputformen

3.3.9.1. "fremdriftsenergiomdanner": en energiomdanner for drivlinjen, som ikke er et perifert udstyr, og hvis outputenergi direkte eller indirekte anvendes til køretøjets fremdrift.

3.3.9.2. "kategori af fremdriftsenergiomdanner": i) en forbrændingsmotor eller ii) en elektrisk maskine eller iii) en brændselscelle

3.3.10. "energilagringssystem": et system, der lagrer energi og frigiver denne i samme form som dens input

3.3.10.1. "fremdriftsenergilagringssystem": et energilagringssystem for drivlinjen, som ikke er et perifert udstyr, og hvis outputenergi direkte eller indirekte anvendes til køretøjets fremdrift

3.3.10.2. "kategori af fremdriftsenergilagringssystem": i) et brændstoflagringssystem eller ii) et genopladeligt elektrisk energilagringssystem eller iii) et genopladeligt mekanisk energilagringssystem.

3.3.10.3. "energiform": i) elektrisk energi eller ii) mekanisk energi eller iii) kemisk energi (herunder brændstoffer)

3.3.10.4. "brændstoflagringssystem": et fremdriftsenergilagringssystem, der lagrer kemisk energi som flydende eller gasformigt brændstof

3.3.11. "ækvivalent fuldt elektrisk rækkevidde" (EAER): den del af den samlede faktiske rækkevidde (R_{CDA}) i ladningsforbrugende drift, som kan henføres til anvendelsen af elektricitet fra REESS-systemet i løbet af den ladningsforbrugende rækkeviddeprøvning

3.3.12. "hybridt elkøretøj (HEV)": et hybridt køretøj, hvis ene fremdriftsenergiomdanner er en elektrisk maskine

3.3.13. "hybridkøretøj (HV)": et køretøj, der er udstyret med en drivlinje, der indeholder mindst to forskellige kategorier af fremdriftsenergiomdannere og mindst to forskellige kategorier af fremdriftsenergilagrings-systemer

3.3.14. "nettoenergiændring": forholdet mellem REESS-energiændringen divideret med cyklusenergikravet for det køretøj, der prøves

3.3.15. "hybridt elkøretøj med ikke-ekstern opladning (NOVC-HEV)": et hybridt elkøretøj, som ikke kan oplades fra en ekstern kilde

3.3.16. "hybridt elkøretøj med ekstern opladning" (NOVC-HEV): et hybridt elkøretøj, som kan oplades fra en ekstern kilde.

3.3.17. "rent elektrisk køretøj" (PEV): et køretøj, der er udstyret med en drivlinje, der udelukkende indeholder elektriske maskiner til omdannelse af fremdriftsenergi og udelukkende genopladelige energilagringssystemer som fremdriftsenergilagringssystemer

3.3.18. "brændselscelle": en energiomdanner, der omdanner kemisk energi (input) til elektrisk energi (output) eller omvendt

3.3.19. "brændselscellekøretøj" (FCV)): et køretøj, der er udstyret med en drivlinje, der udelukkende indeholder brændselscelle(r) og elektrisk(e) maskine(r) til omdannelse af fremdriftsenergi

3.3.20. "hybridt brændselscellekøretøj" (FCHV): en brændselscelle, der er udstyret med en drivlinje, der indeholder mindst ét brændstoflagringssystem og mindst ét genopladeligt elektrisk energilagringssystem som fremdrifts-energilagringssystem

3.3.20.1. "hybridt elkøretøj med ikke-ekstern opladning" (NOVC-FCHV): et hybridt elkøretøj med brændselsceller, som ikke kan oplades fra en ekstern kilde

3.3.20.2. "hybridt elkøretøj med ekstern opladning" (OVC-FCHV): et hybridt elkøretøj med brændselsceller, som kan oplades fra en ekstern kilde

3.3.21. "bi-brændstofkøretøj": et køretøj med to separate brændstoflagringssystemer, som er konstrueret til kun at køre på ét brændstof ad gangen, dog er samtidig anvendelse af begge brændstoffer tilladt i begrænset omfang og varighed

3.3.22. "gasdrevet bi-brændstofkøretøj": et bi-brændstofkøretøj, hvor de to brændstoffer er benzin (benzintilstand) og enten LPG, NG/biomethan eller hydrogen

3.3.23. "rent ICE-køretøj": et køretøj, hvori alle fremdriftsenergiomdannere er forbrændingsmotorer

3.3.24. "indbygget lader": den elektriske effektomformer mellem REESS-drivsystemets og køretøjets ladestik

3.3.25. "flex-brændstofkøretøj": et køretøj med et enkelt brændstoflagringssystem, der kan køre på forskellige blandinger af to eller flere brændstoffer

3.3.26. "flex-brændstofkøretøj til ethanol": et flex-brændstofkøretøj, der kan køre på benzin eller en blanding af benzin og ethanol med et ethanolindhold på op til 85 % (E85)

3.3.27. "mono-brændstofkøretøj": et køretøj, der primært er beregnet til én type brændstof

3.3.28. "gasdrevet mono-brændstofkøretøj": mono-brændstofkøretøj, der primært er konstrueret med henblik på permanent anvendelse af LPG eller NG/biomethan eller hydrogen som brændstof, men som også kan være udstyret med et benzinsystem til anvendelse i nødstilfælde eller udelukkende ved start, og hvis benzintank højst kan rumme 15 liter.

3.4. Drivlinje

3.4.1. "drivlinje": den samlede blanding i et køretøj af fremdriftsenergilagringssystem(er), fremdriftsenergi-omdanner(e) og fremdriftssystem(er), der leverer mekanisk energi til hjulene til fremdrift af køretøjet, inklusive perifert udstyr.

3.4.2. "tilbehør": energiforbrug, -omdannelse, -lagring eller -levering til ikkeperifere anordninger eller systemer, som er installeret i køretøjet til andre formål end fremdrift af køretøjet og derfor ikke kan anses for at være en del af drivlinjen

3.4.3. "perifert udstyr": energiforbrug, -omdannelse, -lagring eller -levering til udstyr, hvor energien er ikke direkte eller indirekte anvendes til fremdrift af køretøjet, men som er som er væsentlige for driften af drivlinjen og derfor anses for at være en del af denne

3.4.4. "fremdriftssystem": elementer af drivlinjen forbundet med henblik på transmission af mekanisk energi mellem fremdriftsenergiomdanner(e) og hjul.

3.4.5. "manuel transmission": en transmission, hvor der kun kan skiftes gear af føreren.

3.5. Indledning

3.5.1. "kriterieemissioner": emissionssammensætninger, for hvilke der er fastsat lofter i denne forordning

3.5.2. (Reserveret)

3.5.3. (Reserveret)

3.5.4. (Reserveret)

3.5.5. "REESS-cyklusenergikrav (CED_{REESS})": det beregnede positive og negative energibehov for køretøjets REESS til gennemførelse af den foreskrevne cyklus

3.5.6. "cyklusenergikrav": det beregnede positive energibehov for køretøjets gennemførelse af den foreskrevne cyklus

3.5.7. Dette punkt finder kun anvendelse på niveau 1B og niveau 2

"manipulationsanordning": ethvert konstruktionselement, som registrerer temperatur, køretøjets hastighed, motorens omdrejningstal, det gear, der køres i, vakuum i indsugningsmanifolden eller enhver anden parameter med henblik på at aktivere, modulere, forsinke eller deaktivere en del af emissionsbegrænsningssystemet, og som derved reducerer dets effektivitet under betingelser, som man med rimelighed kan forvente at komme ud for under køretøjets normale drift og brug

3.5.8. "førervalgt driftstilstand": en separat tilstand, som kan vælges af føreren, og som kan påvirke emissioner, brændstofforbrug og/eller energiforbrug.

3.5.9. "fremherskende driftstilstand": anvendes i dette regulativ om en enkelt førervalgt driftstilstand, der altid vælges, når køretøjet tændes, uanset hvilken førervalgt tilstand der var i drift, da køretøjet sidst blev slukket, og som ikke kan omdefineres til en anden driftstilstand. Når køretøjet tændes, kan den fremherskende driftstilstand kun skiftes til en anden førervalgt driftstilstand ved en bevidst handling fra føreren

3.5.10. "rerencebetingelser (med hensyn til beregning af masseemissioner)": de betingelser, som gasvægtfylde er baseret på, dvs. 101,325 kPa og 273,15 K (0 °C)

3.5.11. "udstødningsemissioner": emissionen af gasformige, faste og flydende sammensætninger fra udstødningsrøret

3.5.12. "konfigurerbar starttilstand": i dette regulativ en førervalgt driftstilstand, der kan indstilles af føreren som en driftstilstand, der vælges automatisk, når køretøjet startes. Når køretøjet startes, kan den konfigurerbare starttilstand kun skiftes til en anden førervalgt driftstilstand ved en bevidst handling fra føreren

3.6. PM/PN

Udtrykket "partikel" anvendes traditionelt til at betegne materiale (målt) i den luftbårne fase (suspenderet stof), og udtrykket "partikelstøv" til at betegne aflejret materiale.

3.6.1. "partikelantalemissioner" (PN): det samlede antal faste partikler udledt fra køretøjets udstødning kvantificeret i overensstemmelse med fortynding-, prøveudtagnings- og målemetoderne som angivet i dette regulativ

3.6.2. "partikelemissioner" (PM): massen af partikelstøv udledt fra køretøjets udstødning kvantificeret i overensstemmelse med fortynding-, prøveudtagnings- og målemetoderne som angivet i dette regulativ

3.7. WLTC

3.7.1. "motorens mærkeeffekt" (P_{rated}): motorens maksimale nettoeffekt i kW, målt i overensstemmelse med kravene i FN-regulativ nr. 85, eller i givet fald systemeffekten, målt i overensstemmelse med kravene i FN-regulativ nr. 177

3.7.2. "maksimalhastighed": et køretøjs maksimale hastighed, som angivet af fabrikanten. Hvis der ikke foreligger nogen erklæring, bestemmes den maksimale hastighed i henhold til FN-regulativ nr. 68

3.8. Fremgangsmåde

3.8.1. "periodisk regenererende system": en anordning til begrænsning af udstødningsemissioner (f.eks. katalysator eller partikelfilter), der kræver periodisk regenerering

3.9. Fordampningsemissioner

3.9.1. "brændstofbeholdersystem": en anordning, der muliggør lagring af brændstof bestående af brændstofbeholderen, brændstofpåfyldningsrøret, beholderdækslet og brændstofpumpen, når brændstofpumpen er monteret i eller på brændstofbeholderen

3.9.2. "brændstofsystem": de komponenter, der opbevarer eller transporterer brændstof om bord på køretøjet, og som omfatter brændstofbeholdersystemet, alle brændstof- og damprør, eventuelle ikke på brændstofbeholderen monterede brændstofpumper og den aktiverede beholder med aktivt kul

3.9.3. "butanadsorptionskapacitet" (BWC): den masse butan, en beholder med aktivt kul kan adsorbere

3.9.4. "BWC300": butanadsorptionskapacitet efter 300 påførte brændstofældningscyklusser

3.9.5. "gennemtrængelighedsfaktor (PF)": den faktor, der fastsættes på grundlag af tab af carbonhydrider over en periode, og som anvendes til at fastsætte de endelige fordampningsemissioner

3.9.6. "ikke-metallisk étlagsbeholder": en brændstofbeholder, der er opbygget af et enkelt lag af ikke-metalliske materialer, herunder fluorholdige/sulfonerede materialer

3.9.7. "flerlagsbeholder": en brændstofbeholder, der er opbygget af mindst to forskellige lag materialer, hvoraf det ene er et carbonhydridbarrieremateriale

3.9.8. "forseglet brændstofbeholdersystem": et brændstofbeholdersystem, hvor brændstofdampe ikke ventileres under parkering i løbet af den daglige 24 timers cyklus defineret ipunkt 6.5.9 i bilag C3, når der anvendes et reference-brændstof som defineret i punkt 7 i bilag B3

3.9.9. "fordampningsemissioner": i forbindelse med dette regulativ, de carbonhydriddampe, der slipper ud fra et motorkøretøjs brændstofsystem under parkering og umiddelbart før påfyldning af en forseglet brændstofbeholder

3.9.10. "overtrykstab ved trykudligning": ventilering af carbonhydrider fra et forseglet brændstofbeholdersystem ved trykudligning udelukkende gennem den beholder med aktivt kul, der er tilladt af systemet

3.9.11. "udslip fra overtrykstab ved trykudligning": de carbonhydrider fra overtrykstab ved trykudligning, der passerer gennem beholderen med aktivt kul ved trykudligning

3.9.12. "udløsningstryk for brændstofbeholder": den mindste trykværdi, hvorved det forseglede brændstofbeholdersystem begynder at ventilere kun på grund af trykket i beholderen

3.9.13. "2 grams mætningspunkt": anses for nået, når den kumulative mængde af carbonhydrider udledt af den aktiverede beholder med aktivt kul er lig med 2 gram.

3.10. Egendiagnose (OBD)

3.10.1. "egendiagnosesystem (OBD)": i forbindelse med dette regulativ et system i køretøjet, som er i stand til at detektere fejl i de overvågede emissionsbegrænsningssystemer, identificere det sandsynlige område for en fejl ved hjælp af fejlkoder lagret i computerhukommelsen og tænde fejlindikatoren (MI) for at underrette køretøjets fører herom

3.10.2. "OBD-familie": en af fabrikanten foretaget gruppering af køretøjer, der som følge af deres konstruktion forventes at have ensartede egenskaber hvad angår udstødningsemissioner og OBD-system. Hvert køretøj i denne familie skal have opfyldt forskrifterne i dette regulativ som defineret i punkt 6.8.1.

3.10.3. "emissionsbegrænsningssystem": i forbindelse med OBD den elektroniske motorstyreenhed og alle de emissionsrelaterede komponenter i udstødnings- eller fordampningssystemet, som afgiver signal til eller modtager signal fra denne styreenhed

3.10.4. "fejlindikator" (malfunction indicator — MI): en visuel eller akustisk indikator, der tydeligt informerer føreren i tilfælde af funktionsfejl ved en eller flere af de emissionsrelaterede komponenter, der er tilsluttet OBD-systemet, eller ved OBD-systemet selv

3.10.5. "funktionsfejl": et svigt af emissionsrelaterede komponenter eller systemer, som medfører, at emissionerne overskrider OBD-grænseværdierne i punkt 6.8.2., eller hvis egendiagnosesystemet ikke kan opfylde de grundlæggende overvågningskrav i bilag C5

3.10.6. "sekundærluft": luft, der tilføres udstødningssystemet ved hjælp af en pumpe eller indsugningsventil eller på anden måde med det formål at fremme oxideringen af HC og CO i udstødningsgassen

3.10.7. "fejltænding": manglende forbrænding i cylinderen på en motor med styret tænding som følge af manglende gnistdannelse, ukorrekt brændstofdosering, dårlig kompression eller anden årsag. Ved egendiagnoseovervågning er fejltænding den procentdel af det samlede antal fejltændinger (som angivet af fabrikanten), der medfører, at emissionerne overskrider OBD-grænseværdierne i punkt 6.8.2., eller den procentdel, der kan medføre overophedning af katalysatoren(-erne) med uoprettelig skade til følge

3.10.8. "OBD-kørecyklus": en cyklus, der består i start af motoren ("key-on"), efterfulgt af en køremåde, hvor eventuelle tilstedeværende funktionsfejl vil blive detekteret, samt standsning af motoren ("key-off")

3.10.9. "opvarmningscyklus": køretøjet køres tilstrækkeligt til, at kølemidlets temperatur er steget med mindst 22 K efter start af motoren og nået op på mindst 343 K (70 °C)

3.10.10. "brændstofafstemning": tilbagekoblet afstemning af den grundlæggende brændstofdosering. Ved kortsigtet brændstofafstemning forstås dynamiske eller øjeblikkelige justeringer. Ved langsigtet brændstofafstemning forstås mere gradvise justeringer af brændstofkalibreringen end ved kortsigtet brændstofafstemning. Sådanne langsigtede justeringer tager henblik på at udligne forskelle fra køretøj til køretøj og de gradvise ændringer, som finder sted med tiden.

3.10.11. "relativ belastning (CLV)": den aktuelle lufttilførsel divideret med den maksimale lufttilførsel, idet den maksimale lufttilførsel korrigeres for højden over havets overflade, hvis den kendes. Denne definition giver et dimensionsløst tal, der ikke er motorspecifikt og giver serviceteknikeren et fingerpeg om, hvor stor en del af motorkapaciteten, der udnyttes (idet 100 % er værdien ved helt åbent gasspjæld).

$$CLV = \frac{Currentairflow}{Peakairflow(atsealevel)} \times \frac{Atmosphericpressure(atsealevel)}{Barometricpressure}$$

3.10.12. "fast forprogrammeret standardtilstand": et program, som motorens styreenhed permanent omstiller sig til, når emissionen fra køretøjet på grund af svigt af en komponent eller et system vil komme til at overstige OBD-grænseværdier i punkt 6.8.2, og som er uafhængigt af indgangssignalet fra den/det pågældende svigtende komponent/system

3.10.12.1. Fast betyder i denne sammenhæng, at det ikke er muligt at vende tilbage til standardtilstanden, dvs. at den diagnose- eller kontrolstrategi, der forårsagede den forprogrammerede standardtilstand, ikke kan køre i den næste kørecyklus og ikke kan bekræfte, at de forhold, der forårsagede den forprogrammerede standardtilstand, ikke længere er til stede. Alle andre forprogrammerede standardtilstande anses ikke for at være faste.

3.10.13. "kraftudtag": et af motoren drevet udtag, beregnet til at trække tilbehør monteret på køretøjet

3.10.14. "adgang": tilgængeligheden af alle emissionsrelaterede egendiagnosedata, herunder alle fejlkoder, der er nødvendige for diagnose, vedligeholdelse eller reparation af emissionsrelaterede dele af køretøjet, via den serielle port på standarddatastikket (i overensstemmelse med punkt 6.5.3.5 i tillæg 1 til bilag C5)

3.10.15. "ubegrænset adgang":

3.10.15.1. en adgang, der ikke forudsætter en kun hos fabrikanten tilgængelig adgangskode eller en lignende anordning, eller

3.10.15.2. en adgang, der muliggør vurdering af de aflæste data, uden at det er nødvendigt med særlige dekrypteringsinformationer, medmindre disse informationer som sådan er standardiseret

3.10.16. "standardiseret": at alle datastrømsinformationer, herunder alle anvendte fejlkoder, kun aflæses i overensstemmelse med industristandarder, som gennem en klar definition af deres format og de tilladte muligheder fastsætter størst mulig harmonisering i automobilindustrien, og hvis anvendelse udtrykkeligt er tilladt i nærværende regulativ

3.10.17. (Reserveret)

3.10.18. "ufuldstændighed" ved et egendiagnosesystem: at driftsegenskaberne ved overvågede komponenter eller systemer midlertidigt eller permanent hindrer en ellers effektiv egenovervågning af disse komponenter eller systemer eller ikke opfylder alle de andre detailkrav til egendiagnose

3.10.19. "nøddriftsprocedurer": enhver standardtilstand, bortset fra forprogrammeret standardtilstand

3.10.20. "indkommende fejlkode": en diagnosefejlkode, der er gemt efter den første detektering af en funktionsfejl, inden fejlindikatoren tændes

3.10.21. "driftsparathed": en status, der angiver, om en overvågningsenhed eller gruppe af overvågningsenheder har været i drift siden sidste sletning efter anmodning fra eksternt OBD-scanningsværktøj

3.10.22. "bekræftet fejlkode": den fejlkode, der er lagret, når OBD-systemet har bekræftet, at der foreligger en funktionsfejl (f.eks. typisk i den tredje kørecyklus, hvor den pågældende funktionsfejl detekteres)

3.10.23. "koldstart", for så vidt angår overvågning af præstationstallet ved brug ($IUPR_M$): en kølevæsketemperatur (eller tilsvarende temperatur) ved motorstart på højst 35 °C og højst 7 K højere end den omgivende temperatur (hvis denne foreligger) ved motorstart

3.10.24. "emissionsbegrænsningskomponenter" (også kaldet "emissionsbegrænsningssystemkomponenter", "emissionsrelaterede drivlinjekomponenter", "emissionsbegrænsningsanordning" eller "emissionsrelaterede komponenter"): enhver komponent i "emissionsbegrænsningssystemet", som har indflydelse på emissionerne, og for hvilke der findes OBD-grænseværdier i tabel 4A og tabel 4B i punkt 6.8.2

3.11. Korrektionsprøvning ved omgivelsestemperatur (bilag B6a)

Dette punkt finder kun anvendelse på niveau 1A og niveau 2

3.11.1. "aktiv varmelagringsanordning": en teknologi, som lagrer varme i en anordning på et køretøj og afgiver denne varme til en drivlinjekomponent i en nærmere afgrænset periode ved motorstart. Den er kendetegnet ved den oplagrede enthalpi i systemet og tidspunktet for varmeafgivelsen til drivlinjens komponenter

3.11.2. "isoleringsmaterialer": alle materialer i motorrummet, der er monteret på motoren og/eller chassiset, som har en varmeisolerende virkning, og som er karakteriseret ved en maksimal varmeledningsevne på højst 0,1 W/(mK).

3.12. Batteriets holdbarhed (bilag C1)

3.12.1. "batteri": et genopladeligt elektrisk energilagringssystem (REESS), der er installeret i et elektrificeret køretøj og hovedsagelig anvendes til fremdrift

3.12.2. "oprindeligt installeret batteri": det batteri, der er installeret i køretøjet på fremstillingstidspunktet, eller, hvis køretøjet er fremstillet uden et installeret batteri, det batteri, der er installeret i køretøjet, når det første gang anvendes på vejen

3.12.3. "anvendelig batterienergi (UBE)": den energi, som batteriet leverer fra begyndelsen af den prøvningsprocedure, der anvendes til certificering, og indtil det relevante afbrydelseskriterie for den prøvningsprocedure, der anvendes til certificering, er opfyldt

3.12.4. "certificeret anvendelig batterienergi" ($UBE_{certified}$): den UBE, der bestemmes under certificeringen af køretøjet i henhold til tillæg 2 til bilag C1 til dette regulativ

3.12.5. "målt anvendelig batterienergi" ($UBE_{measured}$): den UBE, der bestemmes på det pågældende tidspunkt i køretøjets levetid ved den prøvningsprocedure, der anvendes til certificering, jf. tillæg 2 til bilag C1 til dette regulativ

3.12.6. "elektrisk rækkevidde": den rækkevidde, jf. bilag C1, der ville blive bestemt af den prøvningsprocedure for rækkevidde, der anvendes til certificering af køretøjet, hvis prøvningen blev udført på det pågældende tidspunkt i køretøjets levetid og med det oprindeligt installerede batteri

3.12.7. "certificeret rækkevidde" ($Range_{certified}$): den elektriske rækkevidde, der bestemmes under certificeringen af køretøjet i henhold til tillæg 2 til bilag C1 til dette regulativ

3.12.8. "målt rækkevidde" ($Range_{measured}$): den elektriske rækkevidde, der bestemmes på det pågældende tidspunkt i køretøjets levetid ved den prøvningsprocedure, der anvendes til certificering, jf. tillæg 2 til bilag C1 til dette regulativ

3.12.9. "certificeret energitilstand" (SOCE): batteriets holdbarhedsegenskaber på et bestemt tidspunkt i køretøjets levetid bestemt som en målt eller anslået anvendelig batterienergi divideret med den certificerede anvendelige batterienergi, udtrykt som en procentdel

3.12.10. "certificeret rækkeviddetilstand" (SOCR): den elektriske rækkevidde, målt eller opgivet af køretøjets systemer, på et bestemt punkt i køretøjets levetid udtrykt som en procentdel af den certificerede rækkevidde

3.12.11. "minimumskrav til ydeevne" (MPR): minimumsholdbarheden udtrykt ved SOCE eller SOCR på et bestemt tidspunkt i køretøjets levetid, som udgør overensstemmelse med dette regulativs bestemmelser om holdbarhed

3.12.12. "oplyst krav til ydeevne" (DPR): SOCE eller SOCR, der er oplyst af fabrikanten, og som er større end det tilsvarende MPR, og som derefter bliver den minimumsholdbarhed, der udgør den pågældende fabrikants overholdelse af dette regulativs bestemmelser om holdbarhed

3.12.13. "SOCR-overvågningsenhed": et apparat, der er installeret i køretøjet, og som ved hjælp af en algoritme, der fungerer på data indsamlet fra køretøjets systemer, opretholder et skøn over den certificerede rækkevidde-tilstand

3.12.14. "SOCE-overvågningsenhed": et apparat, der er installeret i køretøjet, og som ved hjælp af en algoritme, der fungerer på data indsamlet fra køretøjets systemer, opretholder et skøn over den certificerede energitilstand

3.12.15. "aflæst SOCR" ($SOCR_{read}$): en SOCR-overvågningsenheds skøn over den certificerede rækkeviddetilstand

3.12.16. "aflæst SOCE" ($SOCE_{read}$): en SOCE-overvågningsenheds skøn over den certificerede energitilstand

3.12.17. "målt SOCR" ($SOCR_{measured}$): certificeret rækkeviddetilstand beregnet som den målte rækkevidde divideret med den certificerede rækkevidde, jf. punkt 3.1.2 i bilag 5 til FN-regulativ nr. 83

3.12.18. "målt SOCE": certificeret energitilstand beregnet som den målte anvendelige batterienergi divideret med den certificerede anvendelige batterienergi

3.12.19. "V2X": anvendelsen af traktionsbatterier til dækning af eksternt el- og energibehov, f.eks. V2G (vehicle-to-grid) til netstabilisering ved hjælp af traktionsbatterier, V2H (vehicle-to-home) til anvendelse af traktionsbatterier som energilager i hjemmet til lokal optimering eller nødstrømskilde i perioder med strømsvigt og V2L (vehicle-to-load, hvor kun tilsluttet belastning forsynes) til anvendelse i perioder med strømsvigt og/eller almindelig udendørs aktivitet

3.12.20. "samlet V2X-afladt energi": den samlede mængde afladt energi ved V2X, som skal tilføres, jf. tillæg 1 til bilag C1 til dette regulativ

3.12.21. "maksimal opladningseffekt": den højeste tilgængelige opladningseffekt for den pågældende del B-familie som defineret i punkt 6.11.1.2 i dette regulativ

3.12.22. "energikapacitet": den samlede energimængde i kWh, der trækkes fra batteriet

3.12.23. "samlet afladt energi til ikke-drivkraftformål": den samlede mængde afladt energi fra batteriet i kWh til andre formål end drivkraft for at understøtte det særlige anvendelsestilfælde af et køretøj i klasse N, og omfatter ikke klimaanlæg/opvarmning af kabinen eller andre anvendelser, der allerede findes i klasse M

3.12.24. "kilometertæller": et instrument, der oplyser føreren om den af køretøjet samlede kørte distance efter køretøjets produktion

3.12.25. "ladetilstand (SOC)": den angivne afladbare restkapacitet i et batteri, udtrykt som en procentdel, oplyst til føreren.

4. Ansøgning om godkendelse

4.1. Ansøgning om godkendelse af en køretøjstype for så vidt angår kravene i dette regulativ indgives til den typegodkendende myndighed af køretøjsfabrikanten eller dennes bemyndigede repræsentant, som er enhver fysisk eller juridisk person, som er behørigt udpeget af fabrikanten til at repræsentere denne over for den godkendende myndighed og handle på dennes vegne i spørgsmål, der er omfattet af dette regulativ.

4.1.1. Den i dette regulativs punkt 4.1 omhandlede ansøgning udformes i overensstemmelse med den model af oplysningsskemaet, som er fastsat i bilag A1 til dette regulativ.

4.1.2. Desuden skal fabrikanten indgive følgende oplysninger:

a) for motorer med styret tænding, en erklæring fra fabrikanten om den mindste procentdel fejltændinger af det samlede antal tændinger, som enten ville medføre, at emissionerne overskrider OBD-grænseværdierne i punkt 6.8.2, hvis den procentdel fejltændinger forekom fra starten af en type 1-prøvning som beskrevet i bilag C5 til dette regulativ, eller ville medføre overophedning af udstødningssystemets katalysator(er), før der indtræder uoprettelig skade

b) en beskrivelse af den fejlindikator, hvormed OBD-systemet informerer føreren af køretøjet om en fejl

c) Kun niveau 1B og niveau 2: en beskrivelse af de forholdsregler, der er truffet for at forhindre indgreb i og ændring af computeren til emissionsbegrænsning

d) Kun niveau 1B og niveau 2: hvis det er relevant, oplysningerne om OBD-familien som omhandlet i punkt 6.8.1

e) Kun niveau 1A og niveau 2 (fase 4 WLTP): fabrikantens overensstemmelseserklæringer, der omfatter følgende emner, alt efter hvad der er relevant:

i) reagenskrav (bilag A2, tillæg 1)

ii) korrektionsprøvning ved omgivelsestemperatur (ATCT) (bilag A2, tillæg 2)

iii) regenereringskrav (bilag A2, tillæg 3)

iv) emissionsholdbarhed (type 5-prøvning) (bilag A2, tillæg 4)

v) OBD-krav (bilag A2, tillæg 5)

vi) batteriets holdbarhed (bilag A2, tillæg 6)

4.1.3. Kun niveau 1B og niveau 2:

Til de i punkt 3 i bilag C5 til dette regulativ beskrevne prøvninger skal der til den tekniske tjeneste, der forestår typegodkendelsesprøvningen, indleveres et køretøj, der er repræsentativt for køretøjstypen eller -familien, og som er udstyret med det OBD-system, for hvilket der er ansøgt om godkendelse. Hvis den tekniske tjeneste finder, at det indleverede køretøj ikke fuldt ud repræsenterer den OBD-familie, der er beskrevet i punkt 6.8.1, skal der indgives et alternativ og om nødvendigt et yderligere køretøj til prøvning i overensstemmelse med punkt 3 i bilag C5 til dette regulativ.

4.2. Bilag A1 til dette regulativ indeholder en model af oplysningsskemaet vedrørende udstødningsemissioner, emissioner af kuldioxid og brændstofforbrug og/eller måling af elektrisk energiforbrug og rækkevidde, fordampningsemissioner, holdbarhed og egendiagnose.

4.2.1. Der forelægges kopier af eventuelle andre typegodkendelser samt relevante data med henblik på udvidelse af typegodkendelser og bestemmelse af forringelsesfaktorer.

4.3. Med henblik på de prøvninger, der er beskrevet i punkt 6, tabel A i dette regulativ, indleveres et køretøj, der er repræsentativt for den køretøjstype, der skal godkendes, til den tekniske tjeneste, der forestår godkendelsesprøvningen.

4.3.1. Reserveret

4.3.2. I forbindelse med litra b) i punkt 4.1.2 må de typegodkendende myndigheder ikke godkende et køretøj, hvis de oplysninger, der er indgivet af fabrikanten, ikke er egnede til at opfylde forskrifterne i punkt 7 i tillæg 1 til bilag C5 i dette regulativ. Punkt 7.2. 7.3 og 7.7 i tillæg 1 til bilag C5 til dette regulativ finder anvendelse under alle rimeligt forudsigelige kørselsforhold. Godkendelsesmyndighederne tager i deres vurdering af gennemførelsen af forskrifterne i punkt 7.2, og 7.3 i tillæg 1 til bilag C5 hensyn til den teknologiske udvikling.

4.3.3. Dette punkt finder kun anvendelse på niveau 1B og niveau 2

I forbindelse med punkt 4.1.2, litra c), omfatter foranstaltningerne til hindring af indgreb i og ændring af computeren til emissionsbegrænsning også faciliteten til opdatering under anvendelse af et fabriksgodkendt program eller en fabriksgodkendt kalibrering.

4.3.4. Ansøgninger om typegodkendelse af mono-, bi- og flex-brændstofkøretøjer skal være i overensstemmelse med de supplerende krav i punkt 5.8 og 5.9.

4.3.5. Ændringer af et system, en komponent eller en separat teknisk enhed, der foretages efter typegodkendelse, ugyldiggør ikke automatisk en typegodkendelse, medmindre de oprindelige karakteristika eller tekniske parametre er blevet ændret på en måde, der påvirker motorens eller forureningsbegrænsningssystemets funktion, eller påvirker batteriets holdbarhed negativt.

4.4. Den typegodkendende myndighed skal kontrollere, at der findes tilfredsstillende bestemmelser til sikring af en effektiv kontrol af produktionens overensstemmelse, inden der meddeles godkendelse af køretøjstypen.

4.5. Dette punkt finder kun anvendelse på niveau 1A

For køretøjstyper med en eksisterende gyldig typegodkendelse, der er udstedt i overensstemmelse med ændringsserie 02 eller 03 til dette regulativ, og for hvilke en fabrikant anmoder om en emissionstypegodkendelse med henblik på at udpege nye køretøjer som værende i overensstemmelse med emissionsstandarderne som specificeret i tabel 1A og 1B i punkt 6.3.10 til dette regulativ, er en ny typegodkendelsesprøvning ikke påkrævet, hvis:

a) fabrikanten over for den typegodkendende myndighed erklærer, at der er sikret overensstemmelse med kravene i nærværende regulativ, og

b) den tekniske tjeneste i forbindelse med prøvningen godkender, at de foregående typegodkendte prøvningsresultater kan bruges til forberedelse af en ny emissionsprøvningsrapport med henblik på at påvise overensstemmelse kravene i denne ændringsserie.

5. Godkendelse

5.1. Hvis den køretøjstype, der søges godkendt, opfylder alle de relevante forskrifter i punkt 6, meddeles der godkendelse af den pågældende køretøjstype.

5.2. Hver godkendt type tildeles et godkendelsesnummer.

5.2.1. Typegodkendelsesnummeret består af fire dele. Hver del adskilles af tegnet "*".

Del 1: Det store bogstav "E" efterfulgt af kendingsnummeret for den kontraherende part, som har meddelt typegodkendelsen2F ([1]).

Del 2: Nummeret 154 efterfulgt af det store bogstav "R" og siden efterfulgt af:

a) to cifre (evt. med foranstillede nuller), som angiver den ændringsserie, som inkorporerer de tekniske bestemmelser i det FN-regulativ, som finder anvendelse på godkendelsen (00 for FN-regulativet i dets oprindelige form)

b) en skråstreg og to cifre (evt. med foranstillede nuller), som angiver antallet af supplementer til den ændringsserie, som finder anvendelse på godkendelsen (00 for ændringsserien i den oprindelige form)

c) en skråstreg og et eller to tegn, der angiver gennemførelsesfasen/-niveauet (f.eks. 1A, 1B, 1C, 02).

Del 3: et firecifret løbenummer (evt. med foranstillede nuller). Løbenummeret begynder ved 0001.

Del 4: Et tocifret løbenummer (evt. med foranstillede nuller) til angivelse af udvidelsens nummer. Løbenummeret begynder ved 00.

Alle cifre skal være arabertal.

5.2.2. Eksempel på et godkendelsesnummer i henhold til dette regulativ:

E11*154R04/01/02*0123*01

Den første udvidelse af godkendelsen har nummeret 0123, udstedt af Det Forenede Kongerige, til ændringsserie 04, supplement 01, som er en niveau 2-godkendelse.

5.2.3. Den samme kontraherende part må ikke tildele det samme nummer til en anden køretøjstype.

([1]) Kendingsnumrene for de kontraherende parter i 1958-overenskomsten er angivet i bilag 3 til den konsoliderede resolution om køretøjers konstruktion (R.E.3), dokument ECE/TRANS/WP.29/78/Rev.7 — https://unece.org/transport/vehicle-regulations/wp29/resolutions.

5.3. En meddelelse om godkendelse eller udvidelse eller afvisning af godkendelse af en køretøjstype i henhold til dette regulativ skal fremsendes til de kontraherende parter i 1958-overenskomsten, der anvender dette regulativ, ved hjælp af en formular, der er i overensstemmelse med modellen i bilag A2 til dette regulativ.

5.3.1. Hvis der foretages ændringer i denne tekst, f.eks. hvis der fastsættes nye grænseværdier, skal de kontraherende parter i 1958-overenskomsten informeres om, hvilke allerede godkendte køretøjstyper, der overholder de nye bestemmelser.

5.4. Ethvert køretøj, som er i overensstemmelse med en type, som er godkendt efter dette regulativ, skal på et let synligt og let tilgængeligt sted, der er angivet i godkendelsesattesten, være påført et internationalt godkendelsesmærke bestående af følgende:

5.4.1. En cirkel, som omslutter bogstavet "E" efterfulgt af kendingsnummeret på den kontraherende part, som har meddelt godkendelse.

5.4.2. Nummeret på dette regulativ, efterfulgt af bogstavet "R", en bindestreg og godkendelsesnummeret til højre for den cirkel, der er beskrevet i punkt 5.4.1.

5.4.3. Godkendelsesmærket skal indeholde en yderligere kode efter godkendelsesnummeret, som har til formål at angive, hvilket niveau (niveau 1A, 1B eller 2), som godkendelsen er meddelt for. Denne kode bør vælges i henhold til tabel A3/1 i bilag A3 til dette regulativ.

5.5. Er køretøjet i overensstemmelse med en køretøjstype, som i henhold til et eller flere andre af de til 1958-overenskomsten vedføjede regulativer er godkendt i samme stat, som har meddelt godkendelse efter dette regulativ, behøver det i punkt 5.4.1 ovenfor foreskrevne symbol ikke gentages. I så tilfælde skal numrene på regulativet og godkendelserne samt de ekstra symboler for alle regulativer, i henhold til hvilke der er meddelt godkendelse i det land, hvor godkendelsen er meddelt i henhold til dette regulativ, placeres i lodrette kolonner til højre for det symbol, der er beskrevet i punkt 5.4.1 (se bilag A3).

5.6. Godkendelsesmærket skal være let læseligt og må ikke kunne slettes.

5.7. Godkendelsesmærket skal anbringes tæt ved eller på køretøjets fabrikationsplade.

5.7.1. Bilag A3 til dette regulativ indeholder eksempler på sammensætning af godkendelsesmærker.

5.8. Yderligere forskrifter for godkendelse af flex-brændstofkøretøjer

Dette punkt finder kun anvendelse på niveau 1A og niveau 2

5.8.1. I forbindelse med typegodkendelse af et flex-brændstofkøretøj til ethanol skal køretøjsfabrikanten beskrive køretøjets evne til at tilpasse sig enhver blanding af benzin og ethanolbrændstof (op til en ethanolblanding på op til 85 %).

5.9. Supplerende krav til gasdrevne mono-brændstofkøretøjer og gasdrevne bi-brændstofkøretøjer

5.9.1. For LPG eller NG skal det brændstof, der skal anvendes, være angivet i oplysningsskemaet i bilag A1 til dette regulativ.

5.10. Krav til godkendelse vedrørende egendiagnosesystemet (OBD-systemet)

5.10.1. Fabrikanten sikrer, at alle køretøjer er udstyret med et OBD-system.

5.10.2. OBD-systemet skal være konstrueret, fremstillet og monteret i køretøjet på en sådan måde, at det kan detektere hvilken art af forringelse eller funktionsfejl, der forekommer igennem hele køretøjets levetid.

5.10.3. OBD-systemet skal opfylde forskrifterne i dette regulativ under normale driftsbetingelser.

5.10.4. Ved prøvning med en defekt komponent i henhold til tillæg 1 i bilag C5 til dette regulativ skal OBD-systemets fejlindikator aktiveres. OBD-systemets fejlindikator kan også aktiveres under disse prøvninger ved emissionsniveauer, der ligger under OBD-grænseværdierne som specificeret i punkt 6.8

5.10.5. Dette punkt finder kun anvendelse på niveau 1A og niveau 2

Fabrikanten skal sikre, at OBD-systemet opfylder forskrifterne for funktion efter ibrugtagning som anført i punkt 7 i tillæg 1 til bilag C5 i dette regulativ under alle rimeligt forudsigelige kørselsforhold.

5.10.6. Dette punkt finder kun anvendelse på niveau 1A og niveau 2

Fabrikanten skal stille informationer om funktion efter ibrugtagning, der lagres og oplyses af køretøjets OBD-system i henhold til bestemmelserne i punkt 7.6 i tillæg 1 til bilag C5 til dette regulativ, til rådighed for de nationale myndigheder og uafhængige aktører uden kryptering.

5.11. Krav til typegodkendelse vedrørende anordninger til overvågning af forbruget af brændstof og/eller elektrisk energi

5.11.1. Fabrikanten skal sikre, at følgende køretøjer er udstyret med en anordning til bestemmelse, lagring og tilgængeliggørelse af data om mængden af brændstof og/eller elektrisk energi, der anvendes til drift af køretøjet:

a) køretøjer udelukkende med forbrændingsmotor (ICE) og hybride elkøretøjer med ikke-ekstern opladning (NOVC-HEV), som drives udelukkende af mineralsk diesel, biodiesel, benzin, ethanol eller enhver kombination af disse brændstoffer

b) hybride elkøretøjer med ekstern opladning (OVC-HEV), der drives af elektricitet og ethvert af de brændstoffer, som er nævnt i litra a).

c) rent elektrisk køretøj (PEV)

Kun niveau 1B og niveau 2:

d) hybride brændselscellekøretøjer med ikke-ekstern opladning (NOVC-FCHV), hybride brændselscellekøretøjer med ekstern opladning (OVC-FCHV) og gasdrevene mono-brændstofkøretøjer (undtagen hydrogenkøretøjer).

5.11.2. Anordningen til overvågning af forbruget af brændstof og/eller elektrisk energi skal være i overensstemmelse med kravene i tillæg 5.

6. Forskrifter og prøvninger

6.1. Indledning

6.1.1. Køretøjet og de af dets komponenter, som vil kunne påvirke CO_2-emissioner og brændstofforbruget eller det elektriske energiforbrug og emissionen af gasformige forbindelser, herunder fordampningsemissioner, partikler og partikelantal, batteriets holdbarhed og PEV-rækkevidde ved lav temperatur skal være således udformet, konstrueret og monteret, at køretøjet ved normal anvendelse og under normale anvendelsesbetingelser, f.eks. fugt, regn, sne, varme, kulde, sand, snavs, vibrationer, slid osv., opfylder forskrifterne i dette regulativ i sin livscyklus. Dette omfatter sikring af alle slanger, slangestudse og slangeforbindelser, der anvendes i emissionsbegrænsningssystemerne og systemerne til begrænsning af fordampningsemission.

For udstødningsemissioner, CO_2- og brændstofforbrug eller elektrisk energiforbrug anses disse bestemmelser for at være opfyldt, hvis bestemmelserne i punkt 6.3 og 8.2 er overholdt.

For fordampningsemissioner anses disse betingelser for at være opfyldt, hvis bestemmelserne i punkt 6.6 og 8.3 er opfyldt.

For batteriers holdbarhed i køretøjer anses disse betingelser for at være opfyldt, hvis bestemmelserne i punkt 6.11 er opfyldt.

For PEV-rækkevidde ved lav temperatur anses disse betingelser for at være opfyldt, hvis bestemmelserne i punkt 6.10 er opfyldt.

6.1.2. Prøvningskøretøjet skal være repræsentativt med hensyn til emissionsrelaterede komponenter og funktioner i de påtænkte produktionsserier, der skal være omfattet af godkendelsen. Fabrikanten og den kompetente myndighed skal aftale, hvilken køretøjsprøvningsmodel der er repræsentativ.

6.1.3. For så vidt angår fordampningsemissioner gælder, at for køretøjer med et forseglet brændstofbeholdersystem, skal der desuden forefindes et system, der, lige før påfyldning, udløser beholdertrykket udelukkende gennem en beholder med aktivt kul, der som eneste funktion er beregnet til opbevaring af brændstofdamp. Denne ventileringsrute skal også være den eneste, der anvendes, når brændstofbeholdertrykket overskrider sit sikre arbejdstryk.

6.1.4. Køretøjets tilstand ved prøvning

6.1.4.1. Typen og mængden af smøremiddel og kølemiddel i forbindelse med emissionsprøvning skal være som specificeret af fabrikanten for normal køretøjsdrift.

6.1.4.2. Brændstoftypen til emissionsprøvning skal være som angivet i bilag B3 til dette regulativ.

6.1.4.3. Alle emissionsbegrænsende systemer, herunder fordampningsemissionsbegrænsende systemer, skal være i brugbar stand.

6.1.4.4. Motoren skal være designet til at undgå emissioner fra krumtaphuset.

6.1.4.5. De dæk, der anvendes til emissionsprøvning, skal være som defineret i punkt 2.4.5 i bilag B6 til dette regulativ.

6.1.5. Brændstoftankes påfyldningsåbninger

6.1.5.1. Niveau 1A og niveau 2:

Med forbehold af bestemmelserne i punkt 6.1.5.2 skal benzin- eller ethanoltankens påfyldningsåbning være udformet således, at det ikke er muligt at påfylde brændstof fra en brændstofpumpe, hvis betjeningspistols mundstykke har en udvendig diameter på 23,6 mm eller derover.

For niveau 1B

Ingen krav vedrørende brændstoftankens påfyldningsåbninger.

6.1.5.2. Punkt 6.1.5.1 finder ikke anvendelse på køretøjer, som opfylder begge nedenstående krav:

6.1.5.2.1. køretøjet er udformet og konstrueret således, at intet udstyr til begrænsning af emissionen af luftforurenende gasser beskadiges af blyholdig benzin, og

6.1.5.2.2. køretøjet er på iøjnefaldende, let læselig og ikke sletbar måde mærket med det i ISO 2575:2010, "Road vehicles – Symbols for controls, indicators and tell-tales", specificerede symbol for blyfri benzin på et sted, der er umiddelbart synligt for en person, der fylder brændstof på brændstoftanken. Yderligere mærkning er tilladt.

6.1.6. Der skal træffes foranstaltninger til at undgå for stor fordampningsemission samt brændstofudslip på grund af manglende brændstofbeholderdæksel. Dette kan ske på en af følgende måder:

6.1.6.1. et fastsiddende brændstofbeholderdæksel med automatisk åbning og lukning

6.1.6.2. konstruktionsmæssige begrænsninger, der forhindrer stor fordampningsemission, selv om brændstofbeholderdækslet mangler eller

6.1.6.3. andre foranstaltninger med samme virkning. Eksempler herpå kan omfatte, men er ikke begrænset til, et brændstofbeholderdæksel fastgjort med strip eller kæde eller et brændstofbeholderdæksel, hvortil der anvendes samme nøgle som til køretøjets tænding. I sidstnævnte tilfælde må nøglen kun kunne fjernes fra brændstofbeholderdækslet, når dette er i låst position.

6.1.7. Dette punkt finder kun anvendelse på niveau 1B og niveau 2

Bestemmelser vedrørende det elektroniske systems sikkerhed

6.1.7.1. Ethvert køretøj med en computer til emissionsbegrænsning, herunder en computer til begrænsning af fordampningsemissionen, også når det er integreret i en computer til begrænsning af udstødningsemissioner, skal have funktioner, der forhindrer ændringer, medmindre fabrikanten har givet tilladelse hertil. Fabrikanten skal tillade ændringer, hvis de er nødvendige af hensyn til diagnosticering, eftersyn, vedligehold, eftermontering eller reparation af køretøjet. Der må ikke kunne ændres i omprogrammerbar edb-kode eller driftsparametre, og de skal have et beskyttelsesniveau, der er mindst lige så godt som bestemmelserne i ISO 15031-7:2013 Udtagelige kalibreringschips skal være indkapslet, anbragt i forseglet beholder eller beskyttet ved elektroniske algoritmer og må ikke kunne udskiftes uden brug af specialværktøj og -procedurer.

6.1.7.1.1. Det er kun de elementer, der er direkte forbundet med emissionskalibrering eller forebyggelse af tyveri, der må beskyttes i overensstemmelse med punkt 6.1.7.1.

6.1.7.2. Computer-kodede driftsparametre for motoren må ikke kunne ændres uden brug af specialværktøj og -procedurer (f.eks. loddede eller indkapslede computerkomponenter eller forseglede (eller loddede) indeslutninger).

6.1.7.3. Fabrikanterne kan anmode den kompetente myndighed om undtagelse fra et af disse krav for køretøjer, for hvilke sådan beskyttelse kan formodes ikke at være nødvendig. For indrømmelse af en sådan undtagelse tager den kompetente myndighed følgende andre kriterier i betragtning, dog ikke udelukkende: om der er højtydende chips til rådighed, om køretøjet har en høj maksimalydelse, og det forventede salgstal for køretøjet.

6.1.7.4. Fabrikanter, der anvender systemer med programmerbare edb-koder skal forhindre uautoriseret omprogrammering. Fabrikanterne skal benytte strategier til ekstra sikring og skrivebeskyttelse, som kræver elektronisk adgang til en ekstern computer, der drives af fabrikanten. Metoder, der giver en passende beskyttelse mod uautoriserede indgreb, skal godkendes af den kompetente myndighed.

6.1.8. Afrunding

Medmindre andet er angivet andetsteds i dette regulativ, indeholder punkt 6.1.8.1 og 6.1.8.2 de regler for afrunding, der skal anvendes for at opfylde kravene i dette regulativ.

6.1.8.1. Hvis cifferet umiddelbart til højre for den sidste position, der skal bibeholdes, er mindre end 5, forbliver det sidste ciffer uændret.

Eksempel:

Hvis resultatet er 1,234 g, men kun to decimaler skal bibeholdes, er det endelige resultat 1,23 g.

Hvis resultatet er 1,2344 kWh, men kun tre decimaler skal bibeholdes, er det endelige resultat 1,234 kWh, jf. bilag C1.

6.1.8.2. Når tallet umiddelbart til højre for den sidste position, der skal bibeholdes, er større end eller lig med 5, forhøjes dette sidste ciffer med 1.

Eksempel:

Hvis resultatet er 1,236 g, men kun to decimaler skal bibeholdes, og da 6 er større end 5, er det endelige resultat 1,24 g.

Hvis resultatet er 1,2346 kWh, men kun tre decimaler skal bibeholdes, og da 6 > 5, er det endelige resultat 1,235 kWh, jf. bilag C1.

6.1.9. Dette punkt finder kun anvendelse på niveau 1B og niveau 2

Det er forbudt at anvende manipulationsanordninger, der reducerer emissionsbegrænsningssystemernes effektivitet. Forbuddet skal ikke gælde, hvor:

a) anordningen er nødvendig for at beskytte motoren mod beskadigelse eller havari og for at sikre køretøjets driftssikkerhed

b) anordningen ikke fungerer ud over startfasen
eller

c) anvendelsen af en sådan anordning i væsentligt omfang er medtaget i prøvningsmetoderne for efterprøvning af fordampningsemission og gennemsnitlig udstødningsemission.

6.1.10. Division med nul

Hvis det er velbegrundet, at datainput til en formel i dette regulativ fører til division med nul, f.eks. hvis en OVC-HEV forbruger nul brændstof under ladningsforbrugende forhold, skal der anvendes et velbegrundet teknisk skøn.

6.2. Prøvningsmetode

I tabel A angives de forskellige prøvningskrav for typegodkendelse af et køretøj.

Tabel A

Anvendelse af prøvningskrav for typegodkendelse og udvidelser

Køretøjsklasse	Køretøjer med motor med styret tænding, herunder hybridkøretøjer,								Køretøjer med motorer med kompressionstænding og hybrider deraf		Rent elektriske køretøjer	Hydrogendrevne brændselscellekøretøjer
	Mono-brændstof				Bi-brændstof ([3])			Flex-brændstof ([3])	Mono-brændstof			
Referencebrændstof	Benzin	LPG	NG/Biomethan	Hydrogen (ICE)	Benzin LPG	Benzin NG/Biomethan	Benzin Hydrogen (ICE) ([4])	Benzin Ethanol (E85)	Diesel	Benzin	—	Hydrogen (brændselsceller)
Type 1-prøvning af kriterieemissioner (for anvendeligheden af målte komponenter til brændstof-og køretøjsteknologi og dermed måleprocedurer henvises der til tabel 1A og tabel 1B) (grænseværdier)	Ja	Ja ([5])	Ja ([5])	Ja ([4])	Ja (begge brændstoffer)	Ja (begge brændstoffer)	Ja (begge brændstoffer)	Ja (begge brændstoffer)	Ja	Ja	—	—
ATCT ([1]), ([9]) (14 °C-prøvning)	Ja	Ja	Ja	Ja ([4])	Ja (begge brændstoffer)	Ja (begge brændstoffer)	Ja (begge brændstoffer)	Ja (begge brændstoffer)	Ja	Ja	—	—
Fordampningsemissioner (Type 4-prøvning)	Ja	Ja ([6])	Ja ([6])	—	Ja (kun benzin)	Ja (kun benzin)	Ja (kun benzin)	Ja (kun benzin)	—	Ja	—	—
Holdbarhed ([1]) (Type 5-prøvning)	Ja	Ja	Ja	Ja	Ja (kun benzin)	Ja (kun benzin)	Ja (kun benzin)	Ja (kun benzin)	Ja	Ja	—	—
OBD ([1])	Ja	Ja	Ja	Ja	Ja	Ja	Ja	Ja	Ja	Ja	—	—
OBFCM (gælder ikke for niveau 1C) ([10])	Ja	Ja ([7])	Ja ([7])	—	—	—	—	Ja (begge brændstoffer)	Ja	Ja	Ja	Ja ([7])

Køretøjsklasse	Køretøjer med motor med styret tænding, herunder hybridkøretøjer,								Køretøjer med motorer med kompressionstænding og hybrider deraf		Rent elektriske køretøjer	Hydrogendrevne brændselscellekøretøjer
	Mono-brændstof				Bi-brændstof ([3])			Flex-brændstof ([3])	Mono-brændstof			
Referencebrændstof	Benzin	LPG	NG/Biomethan	Hydrogen (ICE)	Benzin LPG	Benzin NG/Biomethan	Benzin Hydrogen (ICE) ([4])	Benzin Ethanol (E85)	Diesel	Benzin	—	Hydrogen (brændselsceller)
Type 1-prøvninger af CO_2-emissioner, brændstofforbrug, forbrug af elektrisk energi og elektrisk rækkevidde	Ja	Ja	Ja	Ja ([2])	Ja (begge brændstoffer)	Ja (begge brændstoffer)	Ja (benzin), Ja ([2]) (hydrogen)	Ja (begge brændstoffer)	Ja	Ja	Ja ([8])	Ja ([8])
Prøvning af elektrisk rækkevidde ved lav temperatur	—	—	—	—	—	—	—	—	—	—	Ja	—

([1]) Kun niveau 1A og niveau 2 (fase 4 WLTP) — Køretøjsfabrikantens overensstemmelseserklæring ved typegodkendelse.
([2]) Kun brændstofforbrug skal bestemmes, når køretøjet kører på hydrogen.
([3]) Når et bi-brændstofkøretøj kombineres med et flex-brændstofkøretøj, finder begge prøvningskrav anvendelse.
([4]) Kun NOx-emissioner skal bestemmes, når køretøjet kører på hydrogen.
([5]) Kun niveau 1A og niveau 2 - Grænseværdier for partikelmasse og partikelantal og de respektive måleprocedurer finder ikke anvendelse. Kun niveau 1B - Hvis et gasdrevet mono-brændstofkøretøj har en benzintank, skal det også prøves med det relevante benzinreferencebrændstof.
([6]) For niveau 1B, hvis det gasdrevne mono-brændstofkøretøj har en benzintank "Ja", hvis det gasdrevne mono-brændstofkøretøj ikke har en benzintank "—", for niveau 1A og niveau 2 "—"
([7]) Kun niveau 1B og niveau 2
([8]) Der er ikke behov for at måle CO_2-emissionerne.
([9]) Den godkendende myndighed kan kræve, at der udføres en prøvning.
([10]) Se overgangsbestemmelserne i punkt 11 udelukkende for niveau 1A og niveau 2.

6.2.1. Hver af de nedenfor angivne køretøjsfamilier skal tildeles en entydig identifikator i følgende format:

FT-nnnnnnnnnnnnnnn-WMI

hvor

FT identificerer familietypen:

a) IP = Interpolationsfamilie som defineret i punkt 6.3.2 med eller uden anvendelse af interpolationsmetoden

b) RL = køremodstandsfamilie som defineret i punkt 6.3.3

c) RM = køremodstandsmatrixfamilie som defineret i punkt 6.3.4

d) PR = familie af periodisk regenererende systemer (Ki) som defineret i punkt 6.3.5

e) AT = ATCT-familie som defineret i punkt 2 i bilag B6a.

f) EV = fordampningsemissionsfamilie som defineret i punkt 6.6.3

g) DF = holdbarhedsfamilie som defineret i punkt 6.7.5

h) OB = identifikator for OBD-familie som defineret i punkt 6.8.1.

i) ER = identifikator for familien af systemer til efterbehandling af udstødningen, der anvender en reagens (ER) som defineret i punkt 6.9.2.

j) GV = identifikator for GFV-familie (gasdrevet køretøj) som defineret i punkt 6.3.6.3

k) KC = K_{CO2} identifikator for korrektionsfaktorfamilie som defineret i punkt 6.3.11.

l) RT = identifikator for lavtemperaturfamilie som defineret i punkt 6.10.1.

m) MF = overvågningsfamilie som defineret i punkt 6.11.1.1

n) BD = batteriholdbarhedsfamilie som defineret i punkt 6.11.1.2

o) VD = virtuel afstandsfamilie som defineret i punkt 6.11.1.3

p) LP = nedre trykgrænsefamilie for OVC-FCHV'er og NOVC-FCHV'er som defineret i punkt 6.3.12.

nnnnnnnnnnnnnnn er en streng på maksimalt femten karakterer, som er begrænset til tegnene 0-9, A-Z og understregningstegnet "_".

WMI (World Manufacturer Identifier) er en kode, der identificerer fabrikanten på en entydig måde som defineret i ISO 3780:2009.

Det påhviler ejeren af WMI at sikre, at kombinationen af strengen nnnnnnnnnnnnnnn og WMI'en er unik for familien, og at strengen nnnnnnnnnnnnnnn er unik i den pågældende WMI for de godkendelsesprøvninger, der udføres for at opnå godkendelse.

6.3. Beskrivelse af type 1-prøvning (WLTP)

Type 1-prøvningen udføres på alle de køretøjer, der er omhandlet i punkt 1. Prøvningsprocedurerne og forskrifterne i dette punkt og del B i bilagene skal følges (alt efter hvad der er relevant).

6.3.1. Type 1-prøvningen skal udføres under hensyntagen til:

a) WLTC'erne som beskrevet i bilag B1

b) gearvalg og bestemmelse af skiftepunkt som beskrevet i bilag B2

c) de(t) pågældende brændstof(fer) som angivet i bilag B3

d) køremodstands og dynamometerindstillinger beskrevet i bilag B4

e) prøvningsudstyret som beskrevet i bilag B5

f) prøvningsprocedurerne som beskrevet i bilag B6 og B8

g) de beregningsmetoder, der er beskrevet i bilag B7 og B8.

6.3.2. Interpolationsfamilie

6.3.2.1. Interpolationsfamilie for rene ICE-køretøjer

6.3.2.1.1. Køretøjer kan være en del af samme interpolationsfamilie i følgende tilfælde, herunder kombinationer af disse tilfælde:

a) de tilhører forskellige køretøjsgrupper som beskrevet i punkt 2 i bilag B1

b) de har forskellige nedskaleringsniveauer som beskrevet i punkt 8 i bilag B1

c) de har forskellige niveauer for hastighedsloft som beskrevet i punkt 9 i bilag B1.

6.3.2.1.2. Kun køretøjer, der er identiske med hensyn til følgende køretøjs-, drivaggregat- og overførselskarakteristika kan tilhøre samme interpolationsfamilie:

a) type forbrændingsmotor: brændstoftype (eller -typer i tilfælde af flex-brændstof- eller bi-brændstof-køretøjer), forbrændingsproces, motorkapacitet, karakteristika ved fuld belastning, motorteknologi og opladningssystem samt også andre motordelsystemer eller -karakteristika, som har en ikke ubetydelig indflydelse på CO_2-emissionen ved WLTP- betingelser

b) driftsstrategi for alle komponenter i drivlinjen, der har indflydelse på CO_2-emissionen

c) transmissionstype (f.eks. manuel, automatisk, CVT) og transmissionsmodel (f.eks. mærkedrejningsmoment, antal gear, antal koblinger osv.)

d) N/v-forhold (motorens omdrejningshastighed divideret med køretøjets hastighed). Dette krav anses for opfyldt, hvis for alle de pågældende gearudvekslingsforhold forskellen med hensyn til n/v-forhold mellem de mest almindeligt installerede transmissionstyper er under 8 procent

e) Antal drivaksler.

6.3.2.1.3. Hvis der anvendes en anden parameter, som f.eks. en højere n_{min_drive}, som specificeret i punkt 2, litra k) i bilag B2, eller ASM, som defineret i punkt 3.4 i bilag B2, skal denne parameter være den samme inden for en interpolationsfamilie.

6.3.2.2. Interpolationsfamilie for NOVC-HEV'er og OVC-HEV'er

Ud over kravene i punkt 6.3.2.1 er det kun OVC-HEV'er og NOVC-HEV'er, som er identiske med hensyn til følgende egenskaber, der kan være en del af samme interpolationsfamilie:

a) type og antal elektriske maskiner: konstruktionstype (asynkron/synkrone osv.), type kølemiddel (væske) og alle andre egenskaber med en ikke ubetydelig indflydelse på CO_2-emission og elektrisk energiforbrug under WLTP betingelser

b) type REESS-drivsystem (celletype, kapacitet, nominel spænding, nominel effekt, type kølemiddel (luft, væske))

c) type elektrisk energiomdanner mellem elektrisk maskine og REESS-drivsystem, mellem REESS-drivsystem og lavspændingsstrømforsyning og mellem recharge-plug-in og REESS-drivsystem og eventuelle andre egenskaber med en ikke ubetydelig indflydelse på CO_2-emission og elektrisk energiforbrug under WLTP-betingelser På fabrikantens anmodning og efter godkendelse fra den godkendende myndighed kan elektriske energiomdannere mellem recharge-plug-in og REESS-drivsystem med lavere effekttab ved opladning medtages i familien

Kun niveau 1A og niveau 2 (fase 4 WLTP-prøvning):

d) Forskellen mellem antallet af ladningsforbrugende cyklusser fra prøvningens begyndelse indtil og inklusive overgangscyklus må ikke være mere end én.

6.3.2.3. Interpolationsfamilie for PEV'er

6.3.2.3.1. Dette punkt finder kun anvendelse på niveau 1B og niveau 2 (fase 3 WLTP-prøvning)

Køretøjer kan være en del af samme interpolationsfamilie i følgende tilfælde, herunder kombinationer af disse tilfælde:

a) de tilhører forskellige køretøjsgrupper som beskrevet i punkt 2 i bilag B1

b) de har forskellige nedskaleringsniveauer som beskrevet i punkt 8 i bilag B1

c) de har forskellige niveauer for hastighedsloft som beskrevet i punkt 9 i bilag B1.

6.3.2.3.2. Kun PEV'er, der er identiske med hensyn til følgende egenskaber for elektrisk drivlinje og overførselskarakteristika kan tilhøre samme interpolationsfamilie:

a) type og antal elektriske maskiner: konstruktionstype (asynkrone/synkrone osv.), type kølemiddel (luft, væske) og alle andre egenskaber med en ikke ubetydelig indflydelse på det elektriske energiforbrug og rækkevidden under WLTP betingelser

b) type REESS-drivsystem (celletype, kapacitet, nominel spænding, nominel effekt, type kølemiddel (luft, væske))

c) transmissionstype (f.eks. manuel, automatisk, CVT) og transmissionsmodel (f.eks. mærkedrejningsmoment, antal gear, antal koblinger osv.)

d) Antal drivaksler

e) type elektrisk energiomdanner mellem elektrisk maskine og REESS-drivsystem, mellem REESS-drivsystem og lavspændingsstrømforsyning og mellem recharge-plug-in og REESS-drivsystem og eventuelle andre egenskaber med en ikke ubetydelig indflydelse på elektrisk energiforbrug og rækkevidde under WLTP-betingelser. På fabrikantens anmodning og efter godkendelse fra den godkendende myndighed kan elektriske energiomdannere mellem recharge-plug-in og REESS-drivsystem med lavere effekttab ved opladning medtages i familien

f) Driftsstrategi af alle komponenter i drivlinjen, der påvirker det elektriske energiforbrug

g) N/v-forhold (motorens omdrejningshastighed divideret med køretøjets hastighed). Dette krav anses for opfyldt, hvis for alle de pågældende gearudvekslingsforhold forskellen med hensyn til n/v-forhold mellem de mest almindeligt installerede transmissionstyper og -modeller er under 8 procent.

6.3.2.4. Interpolationsfamilie for OVC-FCHV'er og NOVC-FCHV'er

Kun OVC-FCHV'er og NOVC-FCHV'er, der er identiske med hensyn til følgende egenskaber for elektrisk drivlinje/brændselscelle og overførselskarakteristika kan tilhøre samme interpolationsfamilie:

a) type og antal elektriske maskiner: konstruktionstype (asynkron/synkrone osv.), type kølemiddel (væske) og alle andre egenskaber med en ikke ubetydelig indflydelse på brændstofforbrug (eller brændstofeffektivitet) og elektrisk energiforbrug under WLTP betingelser

b) brændselscelletype (celletype, nominel spænding, type kølemiddel (luft, væske)) og også andre brændselscelledelsystemer eller karakteristika, der har en ikke ubetydelig indflydelse på brændstofforbrug (eller brændstofeffektivitet) under WLTP-betingelser

c) type REESS-drivsystem (celletype, kapacitet, nominel spænding, nominel effekt, type kølemiddel (luft, væske))

d) transmissionstype (f.eks. manuel, automatisk, CVT) og transmissionsmodel (f.eks. mærkedrejningsmoment, antal gear, antal koblinger osv.)

e) Antal drivaksler

f) type elektrisk energiomdanner mellem elektrisk maskine og REESS-drivsystem, mellem REESS-drivsystem og lavspændingsstrømforsyning og mellem recharge-plug-in og REESS-drivsystem og eventuelle andre egenskaber med en ikke ubetydelig indflydelse på brændstofforbrug (eller brændstofeffektivitet) og elektrisk energiforbrug under WLTP-betingelser På fabrikantens anmodning og efter godkendelse fra den godkendende myndighed kan elektriske energiomdannere mellem recharge-plug-in og REESS-drivsystem med lavere effekttab ved opladning medtages i familien

g) Driftsstrategi for alle komponenter i drivlinjen, der påvirker brændstofforbruget (eller brændstofeffektiviteten) og det elektriske energiforbrug

h) n/v-forhold. Dette krav anses for opfyldt, hvis for alle de pågældende gearudvekslingsforhold forskellen med hensyn til n/v-forhold mellem de mest almindeligt installerede transmissionstyper og -modeller er under 8 procent.

6.3.3. Køremodstandsfamilie

Kun køretøjer, der er identiske med hensyn til karakteristika kan tilhøre samme køremodstandsfamilie:

a) Transmissionstype (f.eks. manuel, automatisk, CVT) og transmissionsmodel (f.eks. mærkedrejningsmoment, antal gear, antal koblinger osv.). På fabrikantens anmodning og efter godkendelse fra den kompetente myndighed kan en transmission med lavere effekttab medtages i familien

b) Antal drivaksler.

Hvis mindst én elektrisk maskine i gearkassen er i frigear, og køretøjet ikke er udstyret med friløbstilstand (punkt 4.2.1.8.5 i bilag B4), således, at den elektriske maskine ikke har nogen indflydelse på køremodstanden, finder kriterierne i punkt 6.3.2.2, litra a) og punkt 6.3.2.3, litra a) anvendelse.

Hvis der optræder en forskel, bortset fra køretøjets masse, rullemodstand og aerodynamik, der har en ikke ubetydelig indflydelse på dette køretøjs køremodstand, anses køretøjet ikke for at tilhøre familien, medmindre dette er godkendt af den kompetente myndighed.

6.3.4. Køremodstandsmatrixfamilie

Køremodstandsmatrixfamilie kan anvendes for køretøjer med en største teknisk tilladt totalmasse på ≥ 3 000 kg.

Køretøjer med en største teknisk tilladt totalmasse ≥ 2 500 kg kan indgå i køremodstandsmatrixfamilien, forudsat at førersædets R-punkthøjde er over 850 mm fra jorden.

"R-punkt": "R-punkt" eller "sædets referencepunkt" som defineret i punkt 2.4 i bilag 1 til den konsoliderede resolution om køretøjers konstruktion (R.E.3).

Kun køretøjer, der er identiske med hensyn til følgende karakteristika kan tilhøre samme køremodstandsmatrixfamilie:

a) Transmissionstype (f.eks. manuel, automatisk eller CVT)

b) Antal drivaksler.

6.3.5. Periodisk regenererende systemer (Ki)

Kun køretøjer, der er identiske med hensyn til følgende karakteristika, kan tilhøre samme familie af periodisk regenererende systemer:

a) type forbrændingsmotor: brændstoftype, forbrændingsproces,

b) periodisk regenererende system (dvs. katalysator, partikelfilter)

i) konstruktion (dvs. indeslutningstype, ædelmetaltype, substrattype, celledensitet)

ii) type og arbejdsprincip

iii) volumen ± 10 %

iv) placering (temperatur ± 100 °C ved 2. højeste referencehastighed)

c) Prøvningsmassen for hvert køretøj i familien skal være mindre end eller lig med køretøjets prøvningsmasse, der anvendes til Ki-demonstrationsprøvning, plus 250 kg.

6.3.6. Familie af gasdrevne køretøjer (GFV-familie):

6.3.6.1. GFV'er kan grupperes i en familie af køretøjstyper, der anvender LPG eller NG/biomethan som brændstof, og som derefter identificeres af et stamkøretøj. For køretøjer, der også kan anvende flydende brændstof, finder denne gruppe kun anvendelse, når køretøjet kører i gasdrevet tilstand.

6.3.6.2. Et GFV-stamkøretøj er et køretøj, som er udvalgt til påvisning af brændstofsystemets selvtilpasningsevne, og som medlemmerne af GFV-familien sammenholdes med. Det er muligt at have mere end ét stamkøretøj i en GFV-familie.

6.3.6.3. Medlem af GFV-familien

6.3.6.3.1. Kun køretøjer, der har følgende væsentlige egenskaber med deres GFV-stamkøretøj(-er), kan grupperes i en GFV-familie:

a) det fremstilles af samme fabrikant

b) det er underkastet samme emissionsgrænseværdier

c) hvis gasbrændstofsystemet er centralt styret for hele motoren:
Den attesterede effekt er mellem 0,7 og 1,15 gange GFV-stamkøretøjets

d) hvis gasbrændstofsystemet har separat brændstofdosering til hver cylinder:
Den attesterede effekt pr. cylinder er mellem 0,7 og 1,15 gange GFV-stamkøretøjets

e) hvis det er udstyret med katalysator, har køretøjet samme type katalysator, f.eks. 3-vejs, oxidations- eller de-NOx-katalysator

f) køretøjets gasbrændstofsystem (herunder trykregulatoren) er fra samme systemfabrikant og af samme type: indsugning, vaporiseret indsprøjtning (single-point, multipoint), flydende indsprøjtning (single-point, multipoint)

g) gasbrændstofsystemet reguleres af en elektronisk styreenhed af samme type, med samme tekniske specifikationer og med samme programmeringsprincipper og reguleringsstrategi. Køretøjet kan have en ekstra motorstyreenhed i forhold til stamkøretøjet, såfremt styreenheden kun anvendes til at kontrollere injektorerne, supplerende afskæringsventiler og datafangst fra supplerende sensorer.

6.3.6.3.2. For så vidt angår forskrifterne i punkt 6.3.6.3.1, litra c) og d):

hvis det demonstreres, at to gasdrevne køretøjer kan være af samme familie bortset fra deres godkendte effekt, som er henholdsvis P1 og P2 (P1 < P2), og begge prøves, som om de var stamkøretøjer, anses familietilhørsforholdet for gyldigt for ethvert køretøj med en attesteret effekt mellem 0,7 P1 og 1,15 P2.

6.3.7. Yderligere krav til køretøjer, der kører på LPG eller NG/biomethan

6.3.7.1. De yderligere krav til køretøjer, der kører på LPG eller NG/biomethan, er angivet i bilag B6.

6.3.7.2. For type 1-prøvning som fastsat i bilag del B skal gasdrevne mono-brændstofkøretøjer i type 1-prøvningen prøves for variationer i sammensætningen af enten LPG eller NG/biomethan, jf. bilag B6 for kriterieemissioner, med det brændstof, der anvendes til måling af nettoeffekten i overensstemmelse med FN-regulativ nr. 85.

6.3.7.3. Gasdrevne bi-brændstofkøretøjer prøves med benzin og enten LPG eller NG/biomethan. Prøvningerne med LPG eller NG/biomethan udføres for variationer i sammensætningen af LPG eller NG/biomethan som fastsat i bilag B6 for kriterieemissioner og med det brændstof, der anvendes til måling af nettoeffekten i overensstemmelse med FN-regulativ nr. 85.

6.3.7.4. Dette punkt gælder kun for niveau 1A.

Uanset kravet i punkt 6.3.7.2 vil gasdrevne mono-brændstofkøretøjer ved type 1-prøvningen blive betragtet som køretøjer, der kun kan køre på gasformigt brændstof.

6.3.8. Supplerende krav til flex-brændstofkøretøjer

6.3.8.1. For flex-brændstofkøretøjer skal overgangen fra ét referencebrændstof til et andet mellem prøvningerne finde sted uden manuel regulering af motorens indstilling.

6.3.9. OBFCM (gælder ikke for niveau 1C)

OBFCM-anordningen fastlægger parametrene og opbevarer disse over køretøjets levetid om bord på køretøjet i overensstemmelse med tillæg 5.

6.3.10. Grænseværdier for gasemissioner og partikelmasse og partikelantal

Massen af gasemissioner og partikler samt partiklantal, der herved fås i hver enkelt prøvning, skal være mindre end grænseværdierne i tabel 1A (for niveau 1A) eller tabel 1B (for niveau 1B), eller i tabel 1A og tabel 1B i henhold til den kørte prøvningscyklus (for niveau 2).

Niveau 1A og niveau 2: Overholdelse af grænseværdierne for partikelantal måles i overensstemmelse med "SPN10"-kravene.

For niveau 1B: Overholdelse af grænseværdierne for partikelantal måles i overensstemmelse med "SPN23"-kravene. På fabrikantens anmodning skal overholdelse af grænseværdierne for partikelantal ved måling i henhold til "SPN10"-kravene anerkendes.

Tabel 1A

Denne tabel anvendes for niveau 1A og for niveau 2 kun i tilfælde af en 4-faset WLTC-prøvning / emissionsgrænser for type 1-prøvningen, som gælder for emissionerne fra de 4 faser i en WLTP-prøvning.

Emissionsgrænser for type 1-prøvning

		Masse i køreklar stand (MRO) (kg)	Grænseværdier													
			Masse af carbonmonoxid (CO)		Masse af samlede carbonhydrider (THC)		Masse af non-methan-carbonhydrider (NMHC)		Masse af nitrogenoxider (NOx)		Samlet masse af carbonhydrider og nitrogenoxider (THC + NOx)		Partikelmasse (PM)		Partikelantal (PN_{10})	
			L_1 (mg/km)		L_2 (mg/km)		L_3 (mg/km)		L_4 (mg/km)		$L_2 + L_4$ (mg/km)		L_5 (mg/km)		L_6 (#/km)	
Klasse	Gruppe		PI	CI	PI	CI	PI	CI	PI	CI	PI	CI	PI	CI	PI	CI
M_1	—	Alle	1 000	500	100	—	68	—	60	80	—	170	4,5	4,5	$6,0 \times 10^{11}$	$6,0 \times 10^{11}$
N_1	I	MRO ≤ 1 280	1 000	500	100	—	68	—	60	80	—	170	4,5	4,5	$6,0 \times 10^{11}$	$6,0 \times 10^{11}$
	II	1 280 < MRO ≤ 1 735	1 810	630	130	—	90	—	75	105	—	195	4,5	4,5	$6,0 \times 10^{11}$	$6,0 \times 10^{11}$
	III	1 735 < MRO	2 270	740	160	—	108	—	82	125	—	215	4,5	4,5	$6,0 \times 10^{11}$	$6,0 \times 10^{11}$

PI Styret tænding
CI Kompressionstænding

Tabel 1B

Denne tabel gælder for niveau 1B og for niveau 2 kun i de første 3 faser af en WLTC-prøvning.

Emissionsgrænser for type 1-prøvning

		Største teknisk tilladte totalmasse (GVW) (kg)	Grænseværdier										
			Masse af carbonmonoxid (CO)		Masse af non-methan-carbonhydrider (NMHC)		Masse af nitrogenoxider (NOx)			Partikelmasse (PM)		Partikelantal (PN_{23})	
			L_1 (mg/km)		L_3 (mg/km)		L_4 (mg/km)			L_5 (mg/km)		L_6 (#/km)	
Klasse	Gruppe		G, O	D	G, O	D	G	D	O	G*1, O	D	G*1, O	D
M	—	Alle	1 150	630	100	24	50	150	150	5	5	$6{,}0 \times 10^{11}$	$6{,}0 \times 10^{11}$
N_1	—*2	GVW≤ 1 700	1 150	630	100	24	50	150	150	5	5	$6{,}0 \times 10^{11}$	$6{,}0 \times 10^{11}$
	—	1 700 < GVW ≤ 3 500	2 550	630	150	24	70	240	240	7	7	$6{,}0 \times 10^{11}$	$6{,}0 \times 10^{11}$
	—*3	Alle	4 020	—	100	—	50	—	150	5	—	$6{,}0 \times 10^{11}$	—

G Benzin, LPG
D Diesel
O Andet brændstof
*1 For benzin eller LPG finder grænseværdierne for partikelmasse kun anvendelse på køretøjer med motorer med direkte indsprøjtning.
*2 Undtagen for køretøjer med en slagvolumen på højst 0,660 liter, en køretøjslængde på højst 3,40 m, en køretøjsbredde på højst 1,48 m og en køretøjshøjde på højst 2,00 m, højst 3 sæder foruden førersædet og en nyttelast på højst 350 kg.
*3 Undtagen for køretøjer med en slagvolumen på højst 0,660 liter, en køretøjslængde på højst 3,40 m, en køretøjsbredde på højst 1,48 m og en køretøjshøjde på højst 2,00 m, højst 3 sæder foruden førersædet og en nyttelast på højst 350 kg.

ELI: http://data.europa.eu/eli/reg/2026/1130/oj

6.3.11. K_{CO2}-korrektionsfaktorfamilie for OVC-HEV'er og NOVC-HEV'er

Det er tilladt at sammenlægge to eller flere interpolationsfamilier i samme K_{CO2}-korrektionsfaktorfamilie, hvis nyligt sammenlagte interpolationsfamilier opfylder mindst et af følgende kriterier, jf. litra a) -e) i dette punkt. Det repræsentative K_{CO2} bestemmes helst med det højeste energiforbrug for køretøj H inden for en familie.

På anmodning af den kompetente myndighed skal fabrikanten dokumentere begrundelsen og de tekniske kriterier for sammenlægningen af disse interpolationsfamilier i følgende tilfælde:

To eller flere interpolationsfamilier slås sammen:

a) hvis de blev delt, fordi det maksimale interpolationsinterval på 20 g/km CO_2 overskrides (hvis køretøj M blev målt til: 30 g/km)

b) hvis de blev delt på grund af forskellige motoreffektværdier for den samme fysiske forbrændingsmotor (forskellig effekt kun relateret til software)

c) hvis de blev delt, fordi n/v-forholdet ligger lige uden for tolerancen på 8 %

d) hvis de blev delt, men stadig opfylder alle familiekriterierne for en enkelt IP-familie

e) hvis de blev delt, fordi der er forskelligt antal drivaksler.

Forskellige elektriske energiomdannere mellem recharge-plug-in og REESS-drivsystem betragtes ikke som et kriterium i forbindelse med korrektionsfaktorfamilien.

6.3.12. Dette punkt finder kun anvendelse på niveau 1B og niveau 2 (fase 3 WLTP)

Nedre trykgrænsefamilie for OVC-FCHV'er og NOVC-FCHV'er

Kun OVC-FCHV'er og NOVC-FCHV'er, der er identiske med hensyn til følgende specifikationer kan tilhøre samme familie:

a) Driftsstrategi for alle komponenter, der bestemmer den nedre trykgrænse for den indbyggede hydrogentank (trykværdi fastsat for at indlede nedlukning af brændstofforsyningssystemet osv.).

b) Hvis der ikke er nogen specifik driftsstrategi til bestemmelse af den nedre trykgrænse for den indbyggede hydrogentank, alle de punkter for interpolationsfamilie, der er anført i punkt 6.3.2.4.

6.4. (Reserveret)

6.5. (Reserveret)

6.6. Type 4-prøvning (bestemmelse af fordampningsemissioner)

6.6.1. Type 4-prøvningen udføres på alle køretøjer med benzintank i overensstemmelse med forskrifterne i punkt 6.6.2 til 6.6.4 og bilag C3.

Kun for niveau 1A

Gasdrevne mono-brændstofkøretøjer er undtaget.

6.6.2. Ved prøvning i henhold til bilag C3 til dette regulativ skal fordampningsemissionen være mindre end værdierne angivet i tabel 2.

Tabel 2

Emissionsgrænser for prøvning af fordampningsemissioner

Berørt niveau	Grænseværdi for masse af fordampningsemission (g/prøvning)
Niveau 1A og niveau 2	1,5
Niveau 1B	2,0

6.6.3. Fordampningsemissionsfamilie

6.6.3.1. Kun køretøjer, som er identiske med hensyn til de karakteristika, der er nævnt i litra a), d) og e), som er teknisk ækvivalente med hensyn til de karakteristika, der er nævnt i litra b) og c) og lignende eller i givet fald er inden for den angivne tolerance med hensyn til de karakteristika, der er nævnt i litra f) og g), kan tilhøre samme fordampningsemissionsfamilie:

a) Brændstofbeholdersystemets materiale og konstruktion

b) Gasslangens materiale

c) Brændstofledningens materiale og forbindelsesteknik

d) Forseglet beholder eller ikkeforseglet beholder

e) Beskrivelse af indstilling for brændstofbeholderens overtryksventil (luftindtag og udløsning)

f) Butanadsorptionskapaciteten af beholderen med aktivt kul (BWC300) inden for 10 procent af den højeste værdi (for beholdere med aktivt kul med samme type trækul skal mængden af trækul skal ligge inden for 10 procent af den mængde, for hvilken BWC300 blev fastlagt)

g) Udluftningskontrolsystem (f.eks. type ventil, udluftningskontrolstrategi).

Fabrikanten skal godtgøre den tekniske ækvivalens af litra b) og c) over for den kompetente myndighed.

6.6.3.2. Køretøjet skal anses for at producere worst case-fordampningsemissioner og skal anvendes til prøvning, hvis det har den største forhold mellem brændstofbeholderkapacitet og BWC300 i familien. Reglerne for udvælgelse af køretøjer skal aftales på forhånd med den kompetente myndighed.

6.6.3.3. Anvendelse af innovative kalibrerings- eller konfigureringssystemer eller hardware knyttet til fordampningsbegrænsningssystemet vil medføre indplacering af køretøjsmodellen i en anden familie.

6.6.4. Den kompetente myndighed udsteder ikke typegodkendelse, hvis de oplysninger, der fremlægges, ikke er tilstrækkelige til at godtgøre, at fordampningsemissionerne begrænses effektivt ved normal anvendelse af køretøjet.

6.7. Type 5-prøvning (beskrivelse af holdbarhedsprøvning til kontrol af forureningsbegrænsende udstyrs holdbarhed)

6.7.1. Kun niveau 1A og niveau 2 (fase 4 WLTP): Fabrikanten skal med henblik på typegodkendelse forelægge den godkendende myndighed en underskrevet overensstemmelseserklæring med emissionsholdbarhedskravene til emissionsbegrænsningssystemerne. Ved typegodkendelsen erstatter denne overensstemmelseserklæring prøvningskravene i henhold til bilag C4 i dette regulativ.

Overensstemmelseserklæringen skal også omfatte de gældende forringelsesfaktorer, der er fastsat i overensstemmelse med procedurerne i bilag C4 eller andre af fabrikanten valgte egnede midler.

En skabelon til fabrikantens erklæring om overensstemmelse med emissionsholdbarhedskravene til emissionsbegrænsningssystemerne findes i tillæg 4 til bilag A2.

Niveau 1B og niveau 2: Denne prøvning udføres på alle de i punkt 1 anførte køretøjer, som underkastes prøvningen i punkt 6.3.

Prøvningen repræsenterer en ældningsprøvning op til mållivscyklussen for køretøjet kørt i overensstemmelse med det program, der er beskrevet i bilag C4 til dette regulativ, på en prøvebane, på vej eller på dynamometer.

Niveau 1A og niveau 2:

Mållivscyklussen er 160 000 km.

For niveau 1B

Mållivscyklussen er 80 000 km. For køretøjer med en slagvolumen på mindre end eller lig med 0,660 liter, en køretøjslængde på højst 3,40 m, en køretøjsbredde på højst 1,48 m og en køretøjshøjde på højst 2,00 m, højst 3 sæder foruden førersædet og en nyttelast på højst 350 kg er mållivscyklussen 60 000 km.

6.7.1.1. Køretøjer, som kan anvende enten benzin eller LPG/NG som brændstof, prøves i type 5-prøvningen alene på benzin. I så fald skal forringelsesfaktoren, der blev konstateret med blyfri benzin, også anvendes for LPG eller NG.

6.7.1.2. Særlige krav til hybridkøretøjer findes i tillæg 4 til bilag C4.

6.7.2. Uanset bestemmelserne i punkt 6.7.1 kan fabrikanten vælge at benytte forringelsesfaktorerne i tabel 3a eller 3b (alt efter hvad der er relevant) i stedet for prøvning i henhold til punkt 6.7.1.

Tabel 3a

Multiplikative forringelsesfaktorer (for emissionsmålinger, der skal sammenlignes med grænseværdierne i tabel 1A)

Motorkategori	Tildelte multiplikative forringelsesfaktorer						
	CO	THC	NMHC	NOx	HC + NOx	Partikelmasse (PM)	Partikelantal (PN)
Styret tænding	1,5	1,3	1,3	1,6	-	1,0	1,0
Kompressionstænding	Da der ikke er tildelt forringelsesfaktorer for køretøjer med kompressionstænding, skal overensstemmelseserklæringen omfatte de gældende forringelsesfaktorer, der er fastsat i overensstemmelse med procedurerne i bilag C4 eller andre af fabrikanten valgte egnede midler.						

Tabel 3b

Additive forringelsesfaktorer (for emissionsmålinger, der skal sammenlignes med grænseværdierne i tabel 1B)

		Største teknisk tilladte totalmasse (GVW) (kg)	Tildelte additive forringelsesfaktorer															
			Masse af carbonmonoxid (CO)			Masse af non-methan-carbonhydrider (NMHC)			Masse af nitrogenoxider (NOx)			Partikelmasse (PM)			Partikelantal (PN)		
			L_1 (mg/km)			L_3 (mg/km)			L_4 (mg/km)			L_5 (mg/km)			L_6 (#/km)		
Klasse	Gruppe		G	D	O	G	D	O	G	D	O	G*1	D	O	G*1	D	O
M	—	Alle	127	76	*4	12	3,1	*4	11	11	*4	0	0	*4	0	0	*4
N_1	—*2	GVW≤ 1 700	127	76		12	3,1		11	11		0	0		0	0	
	—	1 700 < GVW ≤ 3 500	281	76		18	3,1		15	17		0	0		0	0	
	—*3	Alle	327	—	—	9	—	—	8	—		0	—	—	0	—	—

G Benzin, LPG
D Diesel
O Andet brændstof
*1 For benzin eller LPG finder grænseværdierne for partikelmasse og partikelantal kun anvendelse på køretøjer med motorer med direkte indsprøjtning.
*2 Undtagen for køretøjer med en slagvolumen på højst 0,660 liter, en køretøjslængde på højst 3,40 m, en køretøjsbredde på højst 1,48 m og en køretøjshøjde på højst 2,00 m, højst 3 sæder foruden førersædet og en nyttelast på højst 350 kg.
*3 For køretøjer med slagvolumen på højst 0,660 liter, en køretøjslængde på højst 3,40 m, en køretøjsbredde på højst 1,48 m og en køretøjshøjde på højst 2,00 m, højst 3 sæder foruden førersædet og en nyttelast på højst 350 kg
*4 I mangel af tildelte forringelsesfaktorer for kørekøjer med kompressionstænding, der anvender andre brændstoffer, skal fabrikanter anvende procedurerne for holdbarhedsprøvning af et komplet køretøj for at fastsætte disse forringelsesfaktorer.

6.7.2.1. Dette punkt gælder kun for emissionsmålinger, der skal sammenlignes med grænseværdierne i tabel 1B

Hvis grænseværdien er forskellig fra den værdi, der er defineret i tabel 1B, beregnes den tildelte additive forringelsesfaktor ved hjælp af følgende ligning og afrundes i henhold til den godkendende myndigheds anvisninger:

den tildelte additive forringelsesfaktor = grænseværdi * A * (livscyklus — 3 000)/(80 000-3 000)

hvor :

A 0,11 for CO, 0,12 for NMHC, 0,21 for NOx og 0,00 for PM og PN.

6.7.3. Reserveret

6.7.4. Dette punkt finder kun anvendelse på niveau 1B og niveau 2

Forringelsesfaktorer bestemmes ved hjælp af en af de procedurer, der er angivet i punkt 1.1 i bilag C4 (alt efter hvad der er relevant). Faktorerne benyttes til at konstatere, om der foreligger overensstemmelse med forskrifterne i punkt 6.3 og 8.2.

6.7.5. Holdbarhedsfamilie

Kun køretøjer, hvis motor- eller forureningskontrolsystemets parametre er identiske eller ligger inden for de foreskrevne tolerancer i forhold til det køretøj, der anvendes til bestemmelse af forringelsesfaktoren, må være en del af samme holdbarhedsfamilie:

a) Motor

   i) forholdet mellem slagvolumen og volumen af hver katalytisk komponent og/eller filter (–10 til +5 %)

   ii) forskelle i motorkapacitet inden for ±15 % af prøvningskøretøjets kapacitet eller ±820 cm^3, alt efter hvilken værdi der udgør den mindste forskel.

   iii) cylinderkonfiguration (antal cylindre, form, afstand mellem boringer og andre konfigurationer)

   iv) antal ventiler, kontrol af ventiler og knastakseldrevet metode

   v) brændstoftype og brændstofsystem

   vi) Forbrændingsproces.

b) Det forureningsbegrænsende systems parametre:

   i) Katalysatorer og partikelfiltre:

      antal og udformning af katalysatorer, filtre og elementer

      type katalytisk aktivitet (oxidations-, 3-vejs, Nox-filter, SCR, NOx-katalysator eller andet) og filteregenskaber

      ædelmetalbelastning (identisk eller højere)

      ædelmetaltype og -forhold (± 15 %)

      substrat (opbygning og materiale)

      celletæthed.

   ii) Luftindblæsning:

      forefindes/forefindes ikke

      type (pulserende luft, luftpumper osv.).

iii) Udstødningsrecirkulation (EGR):

forefindes/forefindes ikke

type (kølet eller ikke-kølet, aktiv eller passiv styring, højtryk/lavtryk/kombineret tryk).

iv) andet udstyr, der har indflydelse på holdbarheden.

6.8. Prøvning af egendiagnosesystem (OBD)

Hvis det kræves, udføres denne prøvning på køretøjstyper som angivet i tabel A. Den prøvningsprocedure, der er beskrevet i punkt 3 i bilag C5 til dette regulativ, skal følges.

Kun niveau 1A og niveau 2 (fase 4 WLTP):

Fabrikanten skal med henblik på typegodkendelse forelægge den godkendende myndighed en underskrevet overensstemmelseserklæring med OBD-kravene. Ved typegodkendelsen erstatter denne overensstemmelseserklæring prøvningskravene i henhold til bilag C5 i dette regulativ.

En skabelon til fabrikantens erklæring om overensstemmelse med OBD-kravene findes i tillæg 5 i bilag A2.

6.8.1. OBD-familie.

6.8.1.1. Parametre, der er bestemmende for OBD-familien

En "OBD-familie" er en af fabrikanten foretaget gruppering af køretøjer, der som følge af deres konstruktion forventes at have ensartede egenskaber hvad angår udstødningsemission og OBD-system. Hver motor i denne familie skal opfylde kravene i dette regulativ.

OBD-familien kan bestemmes ud fra grundlæggende konstruktionsparametre, der skal være fælles for alle køretøjer i familien. I visse tilfælde kan parametrene gribe ind i hinanden. Dette må også tages i betragtning for at sikre, at kun køretøjer med ensartede egenskaber hvad angår udstødningsemission medtages i en OBD-familie.

6.8.1.2. Med henblik herpå kan de køretøjer, hvis nedenfor beskrevne parametre er identiske, anses for at tilhøre samme OBD-familie.

Motor:

a) forbrændingsproces (henholdsvis styret tænding, kompressionstænding, totakts, firtakts, rotations)

b) brændstoftilførsel (f.eks. enkeltpunkt eller flerpunktsindsprøjtning) og

c) brændstoftype (f.eks. benzin, diesel, flex-brændstoffer med benzin/ethanol, flex-brændstoffer med diesel/biodiesel, NG/biomethan, LPG, bi-brændstoffer med benzin/NG/biomethan, bi-brændstoffer med benzin/LPG).

Emissionsbegrænsningssystem:

a) katalysatortype (oxiderende, 3-vejs, opvarmet, SCR, andet)

b) partikelfiltertype

c) Indsprøjtning af sekundærluft (med eller uden) og

d) udstødningsrecirkulation (med eller uden).

Egendiagnosesystemets komponenter og virkemåde:

De metoder, som anvendes til overvågning af funktionsfejl ved hjælp af egendiagnosesystemet til at detektere fejl og angive fejl over for føreren af køretøjet.

6.8.2. OBD-grænseværdier

OBD-grænseværdierne i bilag C5 er specificeret i tabel 4A og 4B.

Tabel 4A

Denne tabel finder kun anvendelse på niveau 1A og niveau 2 (fase 4 WLTP-prøvning)

OBD-grænseværdier for den type 1-prøvning, som finder anvendelse på emissioner fra de 4 faser af en WLTP-prøvning

		Referencemasse (RM) (kg)	Masse af carbonmonoxid (CO) (mg/km)		Masse af non-methan-carbonhydrider (NMHC) (mg/km)		Masse af nitrogenoxider (NOx) (mg/km)		Partikelmasse (1) (PM) (mg/km)	
Klasse	Gruppe		PI	CI	PI	CI	PI	CI	CI	PI
M	—	Alle	1 900	1 750	170	290	90	140	12	12
N1	I	RM ≤ 1 305	1 900	1 750	170	290	90	140	12	12
	II	1 305 < RM ≤ 1 760	3 400	2 200	225	320	110	180	12	12
	III	1 760 < RM	4 300	2 500	270	350	120	220	12	12
N2	—	Alle	4 300	2 500	270	350	120	220	12	12

PI Styret tænding
CI Kompressionstænding
(1) OBD-grænseværdier for partikelmasse med styret tænding finder kun anvendelse på køretøjer med motorer med direkte indsprøjtning

Tabel 4B

Denne tabel finder kun anvendelse på niveau 1B og de første 3 faser af en WLTP-prøvning på niveau 2

OBD-grænseværdier for type 1-prøvning

		Reference-masse (RM) (kg)	Masse af carbonmonoxid (CO) (mg/km)		Masse af non-methan-carbonhydrider (NMHC) (mg/km)		Masse af nitrogenoxi-der (NOx) (mg/km)		Partikel-masse[1] (PM) (mg/km)	
Klasse	Gruppe		G	D	G	D	G	D	G	D
M	—	Alle	4 060	—	320	—	300	—	—	—
N_1	—*1	GVW≤ 1 700	4 060	—	320	—	300	—	—	—
	—	1 700 < GVW ≤ 3 500	8 960	—	460	—	410	—	—	—
	—*2	Alle	14 120	—	320	—	300	—	—	—

G Benzin, LPG
D Diesel
*1 Undtagen køretøjer med en slagvolumen på højst 0,660 liter, en køretøjslængde på højst 3,40 m, en køretøjsbredde på højst 1,48 m og en køretøjshøjde på højst 2,00 m, højst 3 sæder foruden førersædet og en nyttelast på højst 350 kg
*2 Køretøjer med en slagvolumen på højst 0,660 liter, en køretøjslængde på højst 3,40 m, en køretøjsbredde på højst 1,48 m og en køretøjshøjde på højst 2,00 m, højst 3 sæder foruden førersædet og en nyttelast på højst 350 kg

6.9. Køretøjer, der anvender en reagens i systemet til efterbehandling af udstødningen

6.9.1. Køretøjer, der anvender et reagens i systemet til efterbehandling af udstødningen, skal opfylde kravene i tillæg 6 til dette regulativ.

Kun niveau 1A og niveau 2 (fase 4 WLTP):

Fabrikanten skal med henblik på typegodkendelse forelægge den godkendende myndighed en underskrevet overensstemmelseserklæring med reagenskravene. Ved typegodkendelsen erstatter denne overensstemmelseserklæring prøvningskravene i henhold til tillæg 6 i dette regulativ.

En skabelon til fabrikantens erklæring om overensstemmelse med reagenskravene findes i tillæg 1 i bilag A2.

6.9.2. Definition af familien for systemer til efterbehandling af udstødningen, der anvender en reagens (ER)

Kun køretøjer, der er identiske med hensyn til følgende karakteristika kan tilhøre samme ER-familie:

a) Reagensinjektor (princip, konstruktion)

b) Placering af reagensinjektor

c) Detektionsstrategier (for reagensniveau, dosering og kvalitet eller for reagensniveau og overvågning af NOx-emissioner)

d) Visning af en advarsel: meddelelser, lyssekvenser for kontrollamper og eventuelle hørbare komponentsekvenser

e) Ansporingsmuligheder

f) NOx-sensor (anvendelse af den mulighed, der er beskrevet i punkt 6 i tillæg 6) eller reagenskvalitetsføler (anvendelse af den mulighed, der er beskrevet i punkt 4 og 5 i tillæg 6)

Fabrikanten og godkendelsesmyndigheden skal være enige om, hvilken køretøjsmodel der er repræsentativ for ER-familen.

6.10. Laboratorieprøvning af elektrisk rækkevidde ved lav temperatur

Denne prøvning udføres på de køretøjstyper, der er angivet i tabel A (kun PEV'er). Prøvningsprocedurerne og forskrifterne i dette punkt og bilag B10 skal følges.

6.10.1. Lavtemperaturfamilie for PEV'ers rent elektriske rækkevidde

Kun køretøjer, der er identiske med hensyn til alle følgende karakteristika, er tilladt som medlemmer af samme lavtemperaturfamilie for PEV'er:

a) type REESS-drivsystem (celletype, type kølemiddel (f.eks. luft, væske))

b) batteristyringssystem (BMS) med hensyn til batteriets driftsstrategi, der påvirker den elektriske rækkevidde i drivlinjen ved lav temperatur

c) forvarmning af REESS-systemet (ja/nej)

d) type indvendigt varmesystem (f.eks. varmepumpe, positiv temperaturkoefficient (PTC), manuel eller automatisk, afskæringsmulighed for termiske komfortsystemer bagtil; efter fabrikantens valg og med myndighedens godkendelse kan worst case-scenariet anvendes)

e) REESS-isolering (ja/nej)

6.11. Batteriets holdbarhed

Kravene til batteriers holdbarhed er anført i bilag C1.

6.11.1. Familie for batteriets holdbarhed

Køretøjer med samme egenskaber med hensyn til deres vurdering i henhold til del A, B eller C nedenfor grupperes i køretøjsfamilier med henblik på verifikation af overensstemmelse. Familier under del A skal have de samme egenskaber med hensyn til verifikation af SOCR/SOCE-overvågningsenheder. Familier under del B skal have de samme egenskaber med hensyn til verifikation af batteriets holdbarhed. Familier under del C skal have de samme egenskaber med hensyn til verifikation af oplyst virtuel afstand.

Familier med samme egenskaber med hensyn til verifikation af overensstemmelse defineres som følger:

6.11.1.1. For del A: Verifikation af overvågningsenheder

Kun køretøjer, der i væsentlig grad er identiske med hensyn til følgende elementer kan tilhøre samme overvågningsenhedsfamilie:

a) algoritmen til estimering af indbygget SOCR og indbygget SOCE

b) sensorkonfiguration (for sensorer, der anvendes til estimering af SOCR og SOCE)

c) de battericelleegenskaber, som har en ikke ubetydelig indflydelse på overvågningsenhedens nøjagtighed

d) køretøjets type (PEV eller OVC-HEV).

På fabrikantens anmodning og med den ansvarlige myndigheds godkendelse samt med behørig teknisk begrundelse kan fabrikanten afvige fra ovennævnte familiekriterier.

6.11.1.2. For del B: Verifikation af batteriets holdbarhed

Kun køretøjer, der i væsentlig grad er identiske med hensyn til følgende elementer kan tilhøre samme batteriholdbarhedsfamilie:

a) type og antal elektriske maskiner, herunder nettoeffekt, konstruktionstype (asynkron/synkron osv.) og eventuelle andre egenskaber, der har en ikke ubetydelig indflydelse på batteriets holdbarhed

b) batteritype (dimensioner, celletype, herunder format og kemi, kapacitet (Ampere-time), nominel spænding, nominel effekt

c) batteristyringssystem (BMS) (med hensyn til overvågning og skøn af batteriers holdbarhed)

d) batteriets passive og aktive termiske forvaltningssystem

e) type elektrisk energiomdanner mellem den elektriske maskine og batteriet, mellem genopladnings-koblingen og batteriet og alle andre egenskaber, der har en ikke ubetydelig indflydelse på batteriets holdbarhed

f) driftsstrategi for alle komponenter, der påvirker batteriets holdbarhed

g) oplyst maksimal opladningseffekt.

På fabrikantens anmodning og med den ansvarlige myndigheds godkendelse samt med behørig teknisk begrundelse kan fabrikanten afvige fra ovennævnte familiekriterier.

6.11.1.3. For del C: Verifikation af oplyst virtuel afstand

Kun køretøjer, der i væsentlig grad er identiske med hensyn til følgende elementer kan tilhøre samme overvågningsenhedsfamilie:

a) algoritme til beregning af oplyst virtuel afstand

b) sensorkonfiguration (for sensorer, der anvendes til estimering af oplyst virtuel afstand)

c) de battericelleegenskaber, som har en ikke ubetydelig indflydelse på overvågningsenhedens nøjagtighed

d) køretøjets type (PEV eller OVC-HEV).

På fabrikantens anmodning og med den ansvarlige myndigheds godkendelse samt med behørig teknisk begrundelse kan fabrikanten afvige fra ovennævnte familiekriterier.

7. Ændring og udvidelse af typegodkendelsen

7.1. Enhver ændring af køretøjstypen skal meddeles den typegodkendende myndighed, der har godkendt typen. Den typegodkendende myndighed kan da enten:

7.1.1. anse de foretagne ændringer for at være indeholdt i de af godkendelsen omfattede familier eller sandsynligvis ikke vil have en mærkbar negativ indvirkning på værdierne CO_2- og brændstofforbrug eller elektrisk energiforbrug, og at den oprindelige godkendelse i så fald vil være gyldig for den ændrede køretøjstype eller

7.1.2. kræve en yderligere prøvningsrapport fra den tekniske tjeneste, som er ansvarlig for prøvningens udførelse.

7.2. Godkendelse eller afslag på godkendelse skal sammen med detaljer om ændringerne meddeles i henhold til fremgangsmåden beskrevet i punkt 5.3 til de kontraherende parter i overenskomsten, der anvender dette regulativ.

7.3. Den typegodkendende myndighed, som meddeler udvidelse af godkendelsen, påfører udvidelsen et fortløbende nummer og underretter de andre kontraherende parter i 1958-overenskomsten, som anvender dette regulativ, herom ved hjælp af et anmeldelsesskema svarende til modellen i bilag A2 til dette regulativ.

7.4. Udvidelser med hensyn til fordampningsemissioner (type 1-prøvning) og OBFCM

7.4.1. Typegodkendelsen udvides uden yderligere prøvninger til at omfatte køretøjer, hvis de opfylder kriterierne i punkt 3.0.1, litra a) og c).

Ud over ovenstående kriterier og i tilfælde, hvor interpolationsfamilien for køretøj høj og/eller køretøj lav ændres, skal køretøjets nye høj og/eller lav prøves, og CO_2-emissionsværdierne fra prøvningskøretøjet som følge af nedenstående tabel være mindre end eller lig med den CO_2-emission, der ligger på en lige linje gennem CO_2-værdierne for de oprindelige køretøjers lav og høj, når de plottes i forhold til cyklusenergien svarende til prøvningskøretøjets cyklusenergikrav.

	For niveau 1A og niveau 2 (fase 4 WLTP-prøvning)	For niveau 1B og niveau 2 (fase 3 WLTP-prøvning)
Køretøjer prøvet i henhold til bilag B6	trin 9 i tabel A7/1 i bilag B7	trin 6 i tabel A7/1 i bilag B7
Køretøjer prøvet i henhold til bilag B8	trin 8 i tabel A8/5 i bilag B8	trin 6 i tabel A8/5 i bilag B8

De målte kriterieemissioner skal overholde de grænser, der er fastsat i punkt 6.3.10.

OBFCM'ens nøjagtighed beregnes for alle type 1-prøvninger, der udføres for at opnå en udvidelse, og skal overholde de kriterier, der er fastsat i punkt 4.2 i tillæg 5 (gælder ikke for niveau 1C).

7.4.1.1. Hvis typegodkendelsen kun er meddelt i forhold til køretøjets høj, må den kun udvides under omstændighederne i litra a), b) eller c) nedenfor:

a) for at medtage yderligere køretøjer, som opfylder kriterierne i punkt 3.0.1, litra a) og c) og har en cyklusenergi, der er lavere end køretøjets høj.

b) for at etablere en interpolationsfamilie ved prøvning af køretøjets lav (fortrinsvis ved brug af det køretøj, der blev prøvet som køretøjets høj i forbindelse med den oprindelige godkendelse). I så fald skal alle køretøjer, der er omfattet af den udvidede godkendelse, opfylde kriterierne i punkt 3.0.1, litra a), b) og c).

c) for at etablere en interpolationsfamilie ved at omdøbe køretøjets høj til køretøjets lav og ved prøvning af køretøjets høj (fortrinsvis ved brug af det køretøj, der blev prøvet som køretøjets høj i forbindelse med den oprindelige godkendelse). I så fald skal alle køretøjer, der er omfattet af den udvidede godkendelse, opfylde kriterierne i punkt 3.0.1, litra a), b) og c).

7.4.2. Køretøjer med periodisk regenererende systemer

Dette punkt finder kun anvendelse på niveau 1B og niveau 2

Ved Ki-prøvninger udført i henhold til tillæg 1 til bilag B6, udvides typegodkendelsen til køretøjer, der opfylder kriterierne i punkt 6.3.5.

7.5. Udvidelser med hensyn til fordampningsemissioner (type 4-prøvning)

7.5.1. Ved prøvninger udført i overensstemmelse med bilag C3 udvides typegodkendelsen til køretøjer, der tilhører en godkendt fordampningsemissionsfamilie som defineret i punkt 6.6.3.

7.6. Udvidelser med hensyn til det forureningsbegrænsende udstyrs holdbarhed (type 5-prøvning)

Dette punkt finder kun anvendelse på niveau 1B og niveau 2

7.6.1. Ved prøvninger udført i overensstemmelse med bilag C4 udvides forringelsesfaktorerne til at omfatte forskellige køretøjer og køretøjstyper, forudsat at begge følgende betingelser finder anvendelse:

a) køretøjerne tilhører samme holdbarhedsfamilie som defineret i punkt 6.7.5.

b) worst case-forringelsesfaktoren (DF), der er afledt af holdbarhedsfamilien, anvendes. Hvis køretøjer med et cyklusenergikrav, der er højere end for det køretøj, for hvilket forringelsesfaktorerne er etableret, skal medtages som en udvidelse, bestemmes worst case-forringelsesfaktoren på det køretøj, der har den højeste temperatur ved forureningsbegrænsningssystemets indgang, målt som foreskrevet i punkt 7.6.2.

7.6.2. Temperaturen ved det forureningsbegrænsende udstyrs indgang skal være lavere end temperaturen i det køretøj, der prøves med henblik på bestemmelse af forringelsesfaktor plus 50 °C. Den kontrolleres under følgende stabiliserede betingelser. Et køretøj, der opfylder kravene i punkt 1.2 i bilag C4 for den udvidede holdbarhedsfamilie, bringes op på en hastighed på 120 km/h eller køretøjets maksimalhastighed minus 10 km/h, alt efter hvad der er lavest, og holdes ved denne konstante hastighed i mindst 15 minutter ved belastningsindstillingen for type 1-prøvningen. På et hvilket som helst tidspunkt efter denne periode måles temperaturen ved katalysatorens indgang i mindst 2 minutter, mens køretøjet holdes ved denne konstante hastighed, og middeltemperaturværdien skal betragtes som repræsentativ.

7.7. Udvidelse for egendiagnosesystemer

Dette punkt finder kun anvendelse på niveau 1B og niveau 2

For egendiagnosesystemer kan typegodkendelsen udvides til køretøjer, der tilhører en godkendt OBD-familie som defineret i punkt 6.8.1.

8. Produktionens overensstemmelse

8.1. Ethvert køretøj, der fremstilles i henhold til en typegodkendelse i henhold til dette regulativ, skal være i overensstemmelse med den godkendte køretøjstype. Procedurerne til sikring af produktionens overensstemmelse skal være i overensstemmelse med dem, der er fastlagt i 1958-overenskomstens skema 1 (E/ECE/TRANS/505/Rev.3), idet der gælder følgende forskrifter:

8.1.1. Fabrikanten skal gennemføre passende ordninger og dokumenterede kontrolplaner og med intervaller som anført i dette regulativ gennemføre de nødvendige prøvninger med henblik på at verificere den fortsatte overensstemmelse med den godkendte type. Fabrikanten skal indhente samtykke til disse ordninger og kontrolplaner fra den kompetente myndighed. Den kompetente myndighed foretager auditter med bestemte mellemrum. Denne revision skal omfatte produktions- og prøvningsfaciliteter som led i produktionens overensstemmelse og ordninger til løbende verifikation. Den kompetente myndighed kan om nødvendigt kræve, at der gennemføres yderligere prøvninger.

8.1.2. Fabrikanten skal kontrollere produktionens overensstemmelse ved at gennemføre de relevante prøvninger i overensstemmelse med tabel 8/1 og tabel 8/2 og med OBD-kravene, hvor det er relevant i henhold til tabel A i punkt 6.

De specifikke metoder for produktionens overensstemmelse er fastsat i punkt 8.2-8.4 og i tillæg 1-4.

Dette punkt finder kun anvendelse på niveau 1B og niveau 2

Fabrikanten skal desuden kontrollere tilgængeligheden af de parametre, der er anført i punkt 3 i tillæg 5 og tillæg 1 til bilag C1 i overensstemmelse med punkt 5.1 i tillæg 5.

Tabel 8/1

Type 1 Gældende type 1-krav for produktionens overensstemmelse for de forskellige køretøjstyper

Køretøjstype	Kriterieemissioner	CO_2-emissioner	Brændstofeffektivitet	Elektrisk energiforbrug	OBFCM-nøjagtighed (gælder ikke for niveau 1C)
Ren ICE	Ja	Niveau 1A og niveau 2 alt efter hvad der er relevant	Niveau 1B og niveau 2 alt efter hvad der er relevant	Ikke relevant	Ja
NOVC-HEV	Ja	Niveau 1A og niveau 2 alt efter hvad der er relevant	Niveau 1B og niveau 2 alt efter hvad der er relevant	Ikke relevant	Ja
OVC-HEV	Ja: CD ([1]) og CS	Niveau 1A og niveau 2 alt efter hvad der er relevant: Kun CS	Niveau 1B og niveau 2 alt efter hvad der er relevant: Kun CS	Ja: Kun CD	Ja: kun CS ([2])
PEV	Ikke relevant	Ikke relevant	Ikke relevant	Ja	Niveau 1A og niveau 2
NOVC-FCHV	Ikke relevant	Ikke relevant	Fritaget	Ikke relevant	Ikke relevant
OVC-FCHV	Ikke relevant	Ikke relevant	Fritaget	Fritaget	Ikke relevant

([1]) Kun hvis forbrændingsmotoren er i drift under en gyldig CD-type 1-prøvning til verifikation af produktionens overensstemmelse

([2]) Kun niveau 1A og niveau 2: ud over vurdering af brændstofforbruget i CS vurderes nøjagtigheden af køretøjets opladte energi i overensstemmelse med punkt 3.4 i tillæg 2.

Tabel 8/2

Type 4 Gældende type 4-krav for produktionens overensstemmelse for de forskellige køretøjstyper

Køretøjstype	Fordampningsemissioner
ICE	Niveau 1A ([1]) Niveau 1B og niveau 2 ([2])
NOVC-HEV	Niveau 1A ([1]) Niveau 1B og niveau 2 ([2])
OVC-HEV	Niveau 1A ([1]) Niveau 1B og niveau 2 ([2])
PEV	Ikke relevant
NOVC-FCHV	Ikke relevant
OVC-FCHV	Ikke relevant

([1]) Kun for benzindrevne køretøjer med undtagelse af gasdrevne mono-brændstofkøretøjer
([2]) Kun for benzindrevne køretøjer

8.1.3. CoP-familie

Fabrikanten kan opdele CoP-familien i mindre CoP-familier.

Hvis køretøjsproduktionen finder sted i forskellige produktionsanlæg, oprettes der forskellige CoP-familier for hvert anlæg. En interpolationsfamilie kan være repræsenteret i en eller flere CoP-familier.

For niveau 1A:

Fabrikanten kan anmode om at slå disse CoP-familier sammen. Den kompetente myndighed vurderer på grundlag af den dokumentation, fabrikanten har fremlagt, om en sådan sammenlægning er berettiget.

For niveau 1B:

På fabrikantens anmodning kan CoP-familier fra forskellige produktionsanlæg slås sammen. For type 1-prøvning er dette kun tilladt, hvis den planlagte årlige produktionsmængde for hvert produktionsanlæg er mindre end 1 000.

For niveau 2:

Fabrikanten kan anmode om at slå disse CoP-familier sammen.

På fabrikantens anmodning kan CoP-familier fra forskellige produktionsanlæg slås sammen. For trefaset type 1-prøvning er dette kun tilladt, hvis den planlagte årlige produktionsmængde for hvert produktionsanlæg er mindre end 1 000. Den kompetente myndighed vurderer på grundlag af den dokumentation, fabrikanten har fremlagt, om en sådan sammenlægning er berettiget.

8.1.3.1. CoP-familie for type 1-prøvning

Med henblik på fabrikantens kontrol af produktionens overensstemmelse for så vidt angår prøvning af type 1, herunder, hvor det er relevant og om nødvendigt, kontrol af OBFCM-udstyrets nøjagtighed, betyder udtrykket "familie" familie med hensyn til produktionens overensstemmelse (CoP-familie) som angivet i punkt 8.1.3.1.1 og 8.1.3.1.2.

8.1.3.1.1. For interpolationsfamilier som beskrevet i punkt 6.3.2 med en planlagt produktionsmængde på mere end 1 000 køretøjer pr. 12 måneder skal CoP-familien for type 1-prøvningen være identisk med interpolationsfamilien.

8.1.3.1.2. For interpolationsfamilier som beskrevet i punkt 6.3.2 med en planlagt produktionsmængde på højst 1 000 køretøjer pr. 12 måneder er det tilladt at medtage andre interpolationsfamilier i samme CoP-familie op til en kombineret maksimal produktionsmængde på 5 000 køretøjer pr. 12 måneder. På anmodning af den kompetente myndighed skal fabrikanten dokumentere begrundelsen og de tekniske kriterier for sammenlægningen af disse interpolationsfamilier, for at sikre, at der er stor lighed mellem disse familier, f.eks. i følgende tilfælde:

a) To eller flere interpolationsfamilier, der blev delt, fordi det maksimale interpolationsinterval på 30 g/km CO_2 var overskredet, slås sammen.

b) Interpolationsfamilier, der blev delt, fordi der er forskellige motorværdier for samme forbrændingsmotor

c) Interpolationsfamilier, der blev delt, fordi n/v-forholdet ligger lige uden for tolerancen på 8 %

d) Interpolationsfamilier, der blev delt, men stadig opfylder alle familiekriterierne for en enkelt IP-familie.

8.1.3.1.3. Den periode på 12 måneder, der er nævnt i punkt 8.1.3.1.1 og 8.1.3.1.2, begynder med produktionen af det første køretøj i interpolationsfamilien, som er omfattet af godkendelsen, og er en rullende periode på 12 måneder derefter.

8.1.3.2. CoP-familie for type 4-prøvning

Med henblik på kontrol af produktionens overensstemmelse i forbindelse med type 4-prøvningen forstås ved "familie" produktionens overensstemmelse (CoP-familien), som skal være identisk med fordampningsemissionsfamilien som beskrevet i punkt 6.6.3.

8.1.3.3. CoP-familie for OBD

Dette punkt finder kun anvendelse på niveau 1B og niveau 2 (fase 3 WLTP)

Med henblik på kontrol af produktionens overensstemmelse i forbindelse med OBD forstås ved "familie" produktionens overensstemmelse (CoP-familien), som skal være identisk med OBD-familien som beskrevet i punkt 6.8.1.

8.1.4. Afprøvningsfrekvens for type 1-prøvning

8.1.4.1. Niveau 1A og niveau 2:

Hyppigheden af produktverifikation på type 1-prøvning udført af fabrikanten skal baseres på en metodologi for risikovurdering, der er i overensstemmelse med den internationale standard ISO 31000: 2018 — Risikoledelse — Principper og vejledning, og skal gennemføres med en mindstefrekvens pr. COP-familie på én kontrol på 12 måneder.

For niveau 1B:

Hyppigheden af produktverifikationen på type 1-prøvning udført af fabrikanten skal gennemføres med en mindstefrekvens pr. CoP-familie på én kontrol på 12 måneder.

8.1.4.2. Hvis antallet af producerede køretøjer i CoP-familien overstiger 7 500 køretøjer pr. 12 måneder, fastsættes mindstefrekvensen for verifikation pr. CoP-familie ved at dividere den planlagte produktionsmængde pr. 12 måneder med 5 000 og afrunde dette antal til det nærmeste hele tal.

8.1.4.3. For niveau 1A:

Hvis antallet af producerede køretøjer i CoP-familien overstiger 17 500 køretøjer pr. 12 måneder, skal mindstefrekvensen pr. CoP-familie være én verifikation på 3 måneder.

Niveau 1B og niveau 2:

Hvis antallet af producerede køretøjer i CoP-familien overstiger 5 000 køretøjer pr. måned, skal mindstefrekvensen pr. CoP-familie være én verifikation om måneden.

8.1.4.4. Produktverifikationerne skal være jævnt fordelt over perioden på 12 måneder eller over produktionsperioden, hvis denne er på mindre end 12 måneder. Den sidste produktverifikation skal være afsluttet efter senest 12 måneder, medmindre fabrikanten kan godtgøre, at en forlængelse på maksimalt en måned er nødvendig.

8.1.4.5. Den planlagte produktionsmængde af CoP-familien i en periode på 12 måneder overvåges månedligt af fabrikanten, og den kompetente myndighed skal informeres, hvis ændringer i den planlagte produktionsmængde medfører ændringer i enten CoP-familiens størrelse eller frekvensen for type 1-prøvning.

8.1.5. Afprøvningsfrekvens for type 4-prøvning

Mindst én gang i en 12-måneders periode udtages et vilkårligt køretøj fra den CoP-familie, der er beskrevet i punkt 8.1.3.2., og underkastes prøvningen i bilag C3 eller, alternativt, de tre prøvninger, der er beskrevet i tillæg 4.

8.1.6. Audit foretaget af den kompetente myndighed

Den kompetente myndighed skal foretage audit for at kontrollere fabrikantens ordninger og dokumenterede kontrolplaner på fabrikantens anlæg, i alle tilfælde med en mindste hyppighed på ét besøg om året.

Hvis interpolationsmetoden anvendes, kan verifikationen af interpolationsberegningen udføres af, eller efter anmodning fra, den kompetente myndighed som led i auditprocessen.

Hvis den kompetente myndighed ikke er tilfreds med auditresultaterne, udføres direkte fysiske prøvninger på de producerede køretøjer som beskrevet i punkt 8.2 til 8.4. for at verificere overensstemmelsen af produktionen af motorkøretøjer.

Kun niveau 1A og niveau 2:

Fabrikanternes ordninger og dokumenterede kontrolplaner skal bygge på en metodologi for risikovurdering, der er i overensstemmelse med den internationale standard ISO 31000:2018 — Risikoledelse — Principper og vejledning.

8.1.7. Fysisk prøvningsverifikation gennemført af den kompetente myndighed

For niveau 1A:

Den normale hyppighed af fysisk prøvningskontrol gennemført af den kompetente myndighed skal baseres på resultaterne af fabrikantens auditprocedure ud fra en metodologi for risikovurdering, og i alle tilfælde med en mindste hyppighed på én verifikationsprøvning pr. tre år. "Den kompetente myndighed foretager disse fysiske emissionsprøvninger på producerede køretøjer som beskrevet i punkt 8.2 til 8.4.

Hvis fabrikanten forestår de fysiske prøvninger, skal den kompetente myndighed overvære disse prøvninger på fabrikantens anlæg.

For niveau 1B:

Den normale hyppighed af fysisk prøvningsverifikation gennemført af den kompetente myndighed skal være mindst én verifikation pr. tre år. Den kompetente myndighed foretager disse fysiske emissionsprøvninger på producerede køretøjer som beskrevet i punkt 8.2 til 8.4.

Hvis fabrikanten forestår de fysiske prøvninger, skal den kompetente myndighed overvære disse prøvninger på fabrikantens anlæg.

For niveau 2:

Den normale hyppighed af fysisk prøvningskontrol gennemført af den kompetente myndighed skal baseres på resultaterne af fabrikantens auditprocedure ud fra en metodologi for risikovurdering, og i alle tilfælde med en mindste hyppighed på én verifikationsprøvning pr. tre år. Den kompetente myndighed foretager disse fysiske emissionsprøvninger på producerede køretøjer som beskrevet i punkt 8.2 til 8.4.

Hvis fabrikanten forestår de fysiske prøvninger, skal den kompetente myndighed overvære disse prøvninger på fabrikantens anlæg.

8.1.8. Rapportering

Den kompetente myndighed skal indberette resultaterne af alle audit og fysiske prøvninger, der er foretaget af produktionens overensstemmelse hos fabrikanten, og opbevare resultaterne heraf i mindst 10 år. Disse rapporter bør være tilgængelige for andre kompetente myndigheder

8.1.9. Manglende overholdelse

Ved manglende overensstemmelse anvendes artikel 4 i 1958-overenskomsten.

8.2. Kontrol af overensstemmelse med hensyn til type 1-prøvning

8.2.1. Type 1-prøvningen foretages på mindst tre producerede køretøjer, som er gyldige medlemmer af COP-familien som beskrevet i punkt 8.1.3.1.

8.2.2. Køretøjerne udvælges vilkårligt fra COP-familien. Fabrikanten må ikke foretage justeringer på de udvalgte køretøjer.

Hvis køretøjer i CoP-familien samles på forskellige produktionsanlæg, skal fabrikanten efter anmodning fra den kompetente myndighed foretage en tilfældig udvælgelse af køretøjer fra forskellige udvalgte produktionsanlæg.

Hvis flere interpoleringsfamilier indgår i CoP-familien, skal fabrikanten efter anmodning fra den kompetente myndighed foretage en tilfældig udvælgelse af køretøjer fra forskellige udvalgte interpolationsfamilier.

8.2.3. Type 1-prøvningsprocedure

8.2.3.1. Hvis det er relevant, jf. tabel 8/1, udføres verifikationen af kriterieemissioner, CO_2-emissioner, brændstofeffektivitet, elektrisk energiforbrug og OBFCM-nøjagtighed i overensstemmelse med de særlige krav og procedurer i tillæg 1.

8.2.3.2. Den statistiske procedure for beregning af prøvningskriterier og for at nå frem til en afgørelse om godkendelse eller ikkegodkendelse beskrives i tillæg 2 og i flowdiagrammet i figur 8/1.

Hvis det er relevant og i overensstemmelse med tabel 8/1, anses produktionen af en CoP-familie for ikke at være overensstemmende, når der nås en afgørelse om ikkegodkendelse, jf. prøvningskriterierne i tillæg 2, for en eller flere af kriterieemissionerne, CO_2-emissionerne, brændstofeffektiviteten eller det elektriske energiforbrug.

Hvis det er relevant og i overensstemmelse med tabel 8/1, anses produktionen af en CoP-familie for at være overensstemmende, når der nås en afgørelse om godkendelse, jf. prøvningskriterierne i tillæg 2, for en eller flere af kriterieemissionerne, CO_2-emissionerne, brændstofeffektiviteten eller det elektriske energiforbrug.

Hvis det er relevant og i overensstemmelse med tabel 8/1, når der nås en afgørelse om godkendelse for én kriterieemission, kan denne afgørelse ikke ændres ved senere prøvninger, der udføres for at nå en afgørelse for de øvrige kriterieemissioner, CO_2-emissioner, brændstofeffektiviteten eller det elektriske energiforbrug.

Hvis det er relevant og i overensstemmelse med tabel 8/1, hvis der ikke nås en afgørelse om godkendelse for alle kriterieemissionerne, CO_2-emissioner, brændstofeffektivitet eller elektrisk energiforbrug, tilføjes endnu et køretøj til prøvningen ved at udvælge dette i henhold til punkt 8.2.2. og udføre type 1-prøvningen. Den statistiske procedure, der er beskrevet i tillæg 2, gentages, indtil der nås en afgørelse om godkendelse for alle kriterieemissioner, CO_2-emissioner, brændstofeffektivitet eller elektrisk energiforbrug.

Den største prøvestørrelse skal være:

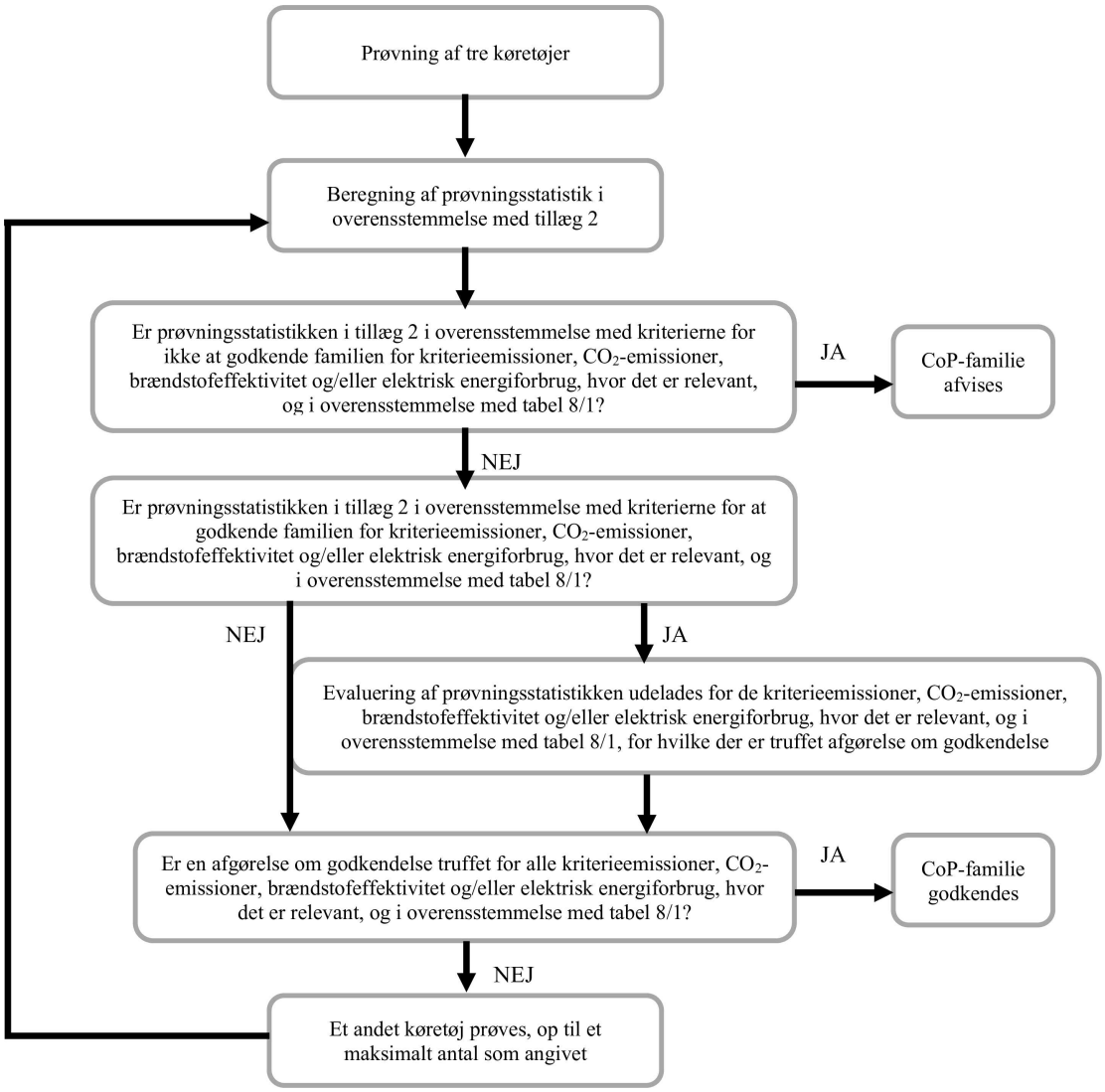
For niveau 1A: 16 køretøjer

For niveau 1B: 32 køretøjer for kriterieemissioner, 11 for brændstofeffektivitet og elektrisk energiforbrug.

For niveau 2: 16 køretøjer for CO_2-emissioner, brændstofeffektivitet og elektrisk energiforbrug samt 32 køretøjer for kriterieemissioner

Figur 8/1

Flowdiagram for CoP-prøvningsprocedure for type 1-prøvningen



8.2.4. Indkøringsfaktorer

8.2.4.1. Efter anmodning fra fabrikanten og med den kompetente myndigheds accept kan der foretages en indkøringsprøvningsprocedure på et køretøj i CoP-familien for at fastsætte hidrørende indkøringsfaktorer for kriterieemissioner, CO_2-emissioner, brændstofeffektivitet og/eller elektrisk energiforbrug, jf. prøvningsproceduren i tillæg 3.

8.2.4.2. Ved anvendelse af hidrørende indkøringsfaktorer skal systemets kilometertæller for CoP-prøvningskøretøj D_j helst ligge inden for –10 km af kilometertallet i starten af den første prøvning og +10 km af kilometertallet i starten af den anden prøvning på indkøringsprøvningskøretøj D_i inden indkøring.

8.2.4.3. Efter fabrikantens valg kan:

— en tildelt indkøringsfaktor på 0,98 anvendes til CO_2-emissioner i g/km, hvis systemets kilometertællerindstilling i starten af CoP-prøvningen er mindre end eller lig med 80 km.

— en tildelt indkøringsfaktor på 1,02 anvendes til brændstofeffektivitet i km/l, hvis systemets kilometertællerindstilling i starten af CoP-prøvningen er mindre end eller lig med 80 km.

Hvis den tildelte indkøringsfaktor for CO_2-emissioner anvendes, anvendes der ingen indkøringsfaktorer for kriterieemissioner og elektrisk energiforbrug.

8.2.4.4. (Reserveret)

8.2.4.5. Prøvningscellekorrektion

Dette punkt finder kun anvendelse på niveau 1B:

Hvis der observeres en tydelig teknisk forskel, er det tilladt at anvende en prøvningscellekorrektion mellem det prøvningsudstyr, der anvendes til typegodkendelsen, og det testudstyr, der anvendes til CoP. Prøvningscellekorrektionen skal registreres i prøvningsrapporten.

8.2.5. Prøvningsbrændstof

8.2.5.1. Ved type 4-prøvning skal referencebrændstoffet anvendes i henhold til specifikationerne i punkt 7. i bilag B3.

For niveau 1A:

Alle resterende prøvninger udføres med kommercielt brændstof. Efter fabrikantens anmodning kan referencebrændstofferne i henhold til specifikationerne i bilag B3 dog anvendes til type 1-prøvningen.

Hvis der træffes en afgørelse om ikkegodkendelse af OBFCM-nøjagtigheden på grundlag af prøvninger, der er udført med kommercielt brændstof, gentages prøvningerne med referencebrændstofferne, og kun afgørelsen på grundlag af de gentagne prøvninger er gyldig (gælder ikke for niveau 1C).

Niveau 1B og niveau 2:

Alle resterende prøvninger udføres med referencebrændstoffer, jf. specifikationerne i bilag B3 for type 1-prøvningen. Efter fabrikantens anmodning kan kilometerakkumuleringen for indkøringen i punkt 1.7. i tillæg 3 dog udføres med kommercielt brændstof.

8.2.5.2. Prøvning af produktionens overensstemmelse for køretøjer med LPG eller NG/biomethan som brændstof kan foretages med et i handelen værende brændstof, hvis C3/C4-forhold ligger mellem referencebrændstoffernes for LPG's vedkommende, eller en af brændstofferne med høj/lav brændværdi for så vidt angår NG/biomethan. Under alle omstændigheder skal der fremlægges en brændstofanalyse for den kompetente myndighed.

8.2.6. Kriterier for gyldigheden af tolerancer for hastighedskurver og kørselsindekser for CoP-prøvning af type 1.

Tolerancer for hastighedskurverne og kørselsindekserne skal opfylde de kriterier, der er angivet i punkt 2.6.8.3. i bilag B6.

8.3. Kontrol af overensstemmelse med hensyn til type 4-prøvning

8.3.1. Produktionen anses for overensstemmende, hvis det i henhold til punkt 8.1.5. udvalgte og prøvede køretøj opfylder kravene i punkt 6.6.2 eller kravene i tillæg 4, alt efter hvad der er relevant.

8.3.2. Opfylder det køretøj, der prøves, ikke kravene i punkt 8.3.1, udtages en yderligere stikprøve på fire køretøjer af samme familie, og de underkastes type 4-prøvningen i bilag C3 eller alternativt som minimum prøvningerne i tillæg 4.

Produktionen anses for overensstemmende, hvis kravene er opfyldt for mindst tre af disse køretøjer inden for 6 måneder efter, at den første fejlbehæftede prøvning har fundet sted.

8.3.3. Opfylder de køretøjer, der prøves, ikke kravene i punkt 8.3.2., udtages en yderligere stikprøve af samme familie, og de underkastes uden unødigt ophold den i bilag C3 beskrevne type 4-prøvning.

Opfylder det køretøj, der prøves, ikke kravene i bilag C3, udtages en yderligere stikprøve på fire køretøjer af samme familie, og de underkastes også uden unødigt ophold den i bilag C3 beskrevne type 4-prøvning.

For de CoP-prøvninger, der er beskrevet i bilag C3, kan den gennemtrængelighedsfaktor (PF), som blev opnået ved typegodkendelsen, eller den tildelte gennemtrængelighedsfaktor (APF) anvendes efter fabrikantens anmodning.

Produktionen anses for overensstemmende, hvis kravene er opfyldt for mindst tre af disse køretøjer inden for 24 måneder efter, at den første fejlbehæftede prøvning har fundet sted.

8.3.4. For de CoP-prøvninger, som er beskrevet i bilag C3, og som udføres på et køretøj, som har tilbagelagt mindre en 20 000 km, skal der anvendes en beholder, som er ældet i overensstemmelse med punkt 5.1. i bilag C3. Dette kan være den originale beholder fra prøvningskøretøjet eller en anden beholder med identisk specifikation. Efter fabrikantens anmodning anvendes for disse prøvninger enten den gennemtrængelighedsfaktor (PF), der er defineret i punkt 5.2. i bilag C3, som blev fastsat ved typegodkendelsen for fordampningsfamilien, eller den tildelte gennemtrængelighedsfaktor (AæPF), som også er defineret i punkt 5.2. i bilag C3.

8.3.5. Efter fabrikantens anmodning kan de CoP-prøvninger, der er beskrevet i bilag C3, udføres på et køretøj, som har tilbagelagt mindst 20 000 km op men højst 30 000 km uden andre ændringer på køretøjet end dem, der er beskrevet i prøvningsproceduren. Når prøvningen udføres på et køretøj, som har tilbagelagt mellem 20 000 km og 30 000 km, skal den ældede beholder udelades, og gennemtrængelighedsfaktoren eller den tildelte gennemtrængelighedsfaktor anvendes ikke.

Uafhængigt af køretøjets akkumulerede kilometertal kan andre baggrundsemissionskilder end brændstof (f.eks. maling, klæbemidler, plast, brændstof/dampe, dæk og andre gummi- eller polymerkomponenter) elimineres i henhold til punkt 6.1. i bilag C3.

8.4. Kontrol af køretøjets overensstemmelse for så vidt angår egendiagnosesystemet (OBD)

Dette punkt finder kun anvendelse på niveau 1B og niveau 2 (fase 3 WLTP)

8.4.1. Hvis godkendelsesmyndigheden finder produktionskvaliteten utilfredsstillende, udtages et tilfældigt køretøj af familien, og det underkastes de i tillæg 1 til bilag C5 beskrevne prøvninger.

8.4.2. Produktionen anses for overensstemmende, hvis dette køretøj opfylder kravene i de i tillæg 1 til bilag C5 beskrevne prøvninger.

8.4.3. Opfylder det køretøj, der prøves, ikke kravene i punkt 8.4.1, udtages en yderligere stikprøve på fire køretøjer af samme familie, og de underkastes de i tillæg 1 til bilag C5 beskrevne prøvninger. Prøvningerne kan udføres på køretøjer, som har kørt højst 15 000 km uden ændringer.

8.4.4. Produktionen anses for overensstemmende, hvis mindst tre køretøjer opfylder kravene i de i tillæg 1 til bilag C5 beskrevne prøvninger.

9. Sanktioner i tilfælde af produktionens manglende overensstemmelse

9.1. Godkendelser, som er meddelt for en type køretøj i henhold til dette regulativ, kan inddrages, hvis forskrifterne i punkt 8.1 ovenfor ikke er opfyldt, eller hvis køretøjet eller køretøjerne ikke har bestået den i punkt 8.1.2 ovenfor foreskrevne prøvning.

9.2. Hvis en kontraherende part i 1958-overenskomsten, som anvender dette regulativ, inddrager en godkendelse, som den tidligere har meddelt, skal den straks underrette de øvrige kontraherende parter, der anvender dette regulativ, herom ved hjælp af en anmeldelsesformular, som er i overensstemmelse med modellen i bilag A2 til dette regulativ.

10. Endeligt ophør af produktionen

Hvis indehaveren af godkendelsen helt ophører med at fremstille en køretøjstype, der er godkendt i henhold til dette regulativ, skal han meddele dette til den typegodkendende myndighed, der har meddelt godkendelsen. Efter modtagelse af den pågældende meddelelse underretter myndigheden de andre kontraherende parter i 1958-overenskomsten, som anvender dette regulativ, ved hjælp af kopier af en meddelelsesformular svarende til modellen i bilag A2 til dette regulativ.

11. Overgangsbestemmelser og særlige bestemmelser

11.1. Generelle bestemmelser

11.1.1. Efter den officielle ikrafttrædelsesdato for ændringsserie 04 må ingen af de kontraherende parter, der anvender dette regulativ, nægte at meddele godkendelse i henhold til dette regulativ som ændret ved ændringsserie 04.

11.1.2. Dette punkt finder kun anvendelse på niveau 1A

Fra og med den officielle ikrafttrædelsesdato for ændringsserie 04 til dette regulativ, og som undtagelse fra de kontraherende parters forpligtelser, kan de kontraherende parter, som anvender dette regulativ, og som også anvender FN-regulativ nr. 83, nægte at acceptere typegodkendelser, der er meddelt på baggrund af dette regulativ, som ikke er ledsaget af en godkendelse af ændringsserie 09 eller en senere ændringsserie til FN-regulativ nr. 83.

11.1.3. Fra den officielle ikrafttrædelsesdato for ændringsserie 04 til dette regulativ er kontraherende parter, der anvender dette regulativ, ikke forpligtede til at acceptere typegodkendelser, som ikke er meddelt i overensstemmelse med ændringsserie 04 til dette regulativ.

11.1.4. Indtil den 31. december 2029 må ingen af de kontraherende parter nægte at meddele godkendelse af nye køretøjstyper, som er i overensstemmelse med ændringsserie 04 til dette regulativ, og som ikke opfylder følgende krav:

Kun niveau 1A og niveau 2:

a. De krav til status for oplysninger indsamlet over hele levetiden, der er fastsat i punkt 3.1, 3.2, 3.3, 3.4, 3.5 og 3.6 i tillæg 5 til dette regulativ.

b. For PEV'er kravene til OBFCM-anordninger vedrørende bestemmelse, lagring og tilgængeliggørelse af oplysninger indsamlet over køretøjets levetid for de parametre, der er defineret i punkt 3.3, litra j) og k), i tillæg 5 til dette regulativ.

c. For OVC-HEV'er kravene til OBFCM-anordninger vedrørende bestemmelse, lagring og tilgængeliggørelse af oplysninger indsamlet over køretøjets levetid for de parametre, der er defineret i punkt 3.2, litra p) og q), i tillæg 5 til dette regulativ.

d. Nøjagtighedskravene vedrørende køretøjets opladte energi for OVC-HEV'er og PEV'er i henhold til punkt 4 i tillæg 5 og punkt 3.4 i tillæg 2, og kravene til type 1-prøvning i henhold til punkt 3.4.4.4 i bilag B8.

Kun for niveau 1A:

e. For PEV'er, kravene til OBFCM-anordninger som defineret i punkt 5.11.1, litra c).

11.1.5. Dette punkt finder kun anvendelse på niveau 1A og niveau 2

Fra den 1. januar 2030 er de kontraherende parter, der anvender dette regulativ, ikke forpligtede til at acceptere typegodkendelser for køretøjer, der ikke opfylder bestemmelserne i punkt 11.1.4.

11.2. Bestemmelser for køretøjer til særlig anvendelse

11.2.1. Bestemmelser for pansrede køretøjer

Kun for niveau 1A:

Den kompetente myndighed kan meddele typegodkendelse, herunder undtagelser fra kravene i dette regulativ, for pansrede køretøjer i overensstemmelse med punkt 2.5.2 i den konsoliderede resolution om køretøjers konstruktion (R.E.3), hvis fabrikanten påviser, at køretøjet ikke kan opfylde kravene på grund af dets særlige anvendelse.

Typen af køretøj til særlig anvendelse og de indrømmede undtagelser skal beskrives i punkt 1.0 i del I i typegodkendelsesattesten i overensstemmelse med bilag A2 til denne forordning.

12. Navne og adresser på de tekniske tjenester, der er ansvarlige for udførelse af godkendelsesprøvningerne, og på de typegodkendende myndigheder

De kontraherende parter i 1958-overenskomsten, som anvender dette regulativ, meddeler FN's sekretariat navn og adresse på de tekniske tjenester, som er ansvarlige for udførelse af typegodkendelsesprøvninger, og på de typegodkendende myndigheder, som meddeler godkendelser, og hvortil meddelelser udstedt i andre lande om typegodkendelse eller udvidelse, nægtelse eller inddragelse af godkendelse, skal sendes.

Tillæg 1

Type 1-prøvning Verifikation af produktionens overensstemmelse for specifikke køretøjstyper

1. Generelle krav

1.1. Niveau 1A og niveau 2:

Hvert køretøj skal prøves på chassisdynamometeret indstillet med den specifikke inertimasse og de specifikke køremodstandsparametre for det enkelte køretøj. Chassisdynamometret fastsættes til målkøremodstanden for prøvningskøretøjet, jf. proceduren i punkt 7. i bilag B4.

For niveau 1B:

Når indkøringsfaktoren udledes i overensstemmelse med punkt 1.5.2 i tillæg 3, anvendes de samme dynamometerindstillingsværdier som under typegodkendelsen.

I alle andre tilfælde kan køretøjsfabrikanten vælge mellem den procedure for indstilling af køremodstand, der er specificeret i punkt 7 i bilag B4, og den procedure, der er specificeret i punkt 1.5.2 i tillæg 3.

1.2. Den gældende prøvningscyklus for det prøvede køretøj skal med hensyn til cyklusgruppe, nedskalering og hastighedsloft svare til den prøvningscyklus, der anvendes til at udlede cyklusenergikravet for det individuelle køretøj i henhold til punkt 5 i bilag B7. Hvis den alternative bestemmelse i punkt 10 i bilag B1 anvendes (dvs. til prøvning af et køretøj på en numerisk højere cyklusgruppe under typegodkendelsesprøvningen), skal den gældende prøvningscyklus for det prøvede køretøj også svare til den, der anvendes under typegodkendelsen.

2. Verifikation af CoP med henblik på kriterieemissioner for rene ICE-, NOVC-HEV- og OVC-HEV-køretøjer

2.1. Køretøjet prøves i henhold til den type 1-prøvningsprocedure, der er beskrevet i bilag B6 eller B8.

2.2. Prøvningsværdier af kriterieemissioner (x_i)

Resultaterne af kriterieemissionsprøvningen (x_i) bestemmes i henhold til:

a) Trin 5 i tabel A7/1 i bilag B7 for rene ICE-køretøjer

b) Trin 5 i tabel A8/5 i bilag B8 for NOVC-HEV'er og ladningsbevarende tilstand for OVC-HEV'er

c) Trin 5 i tabel A8/8 i bilag B8 for NOVC-HEV'er og ladningsforbrugende tilstand for OVC-HEV'er.

og, hvis det er muligt, anvendelse af en indkøringsfaktor og/eller korrektion for prøvningsrummet som defineret i punkt 8.2.4 i dette regulativ. Overensstemmelse med de gældende kriterieemissionsgrænseværdier kontrolleres ved hjælp af de kriterier for godkendelse/ikkegodkendelse, som defineres i tillæg 2 i dette regulativ.

Kun for niveau 1B

Kriterieemissionerne for hver gældende prøvningscyklus under den ladningsforbrugende prøvning for OVC-HEV skal overholde grænseværdierne i tabel 1B i punkt 6.3.10. i dette regulativ, men kontrolleres ikke i forhold til kriterierne for godkendelse/ikkegodkendelse, der er defineret i dette regulativs tillæg 2.

3. Verifikation af CoP med hensyn til CO_2-emissioner/ brændstofeffektivitet for rene ICE-køretøjer

3.1. Køretøjet prøves i henhold til den type 1-prøvningsprocedure, der er beskrevet i bilag B6.

3.2. Prøvningsværdier af CO_2-emissioner ($CO_{2\ test\text{-}i}$) / brændstofeffektivitet ($FE_{test\text{-}i}$)

Niveau 1A og niveau 2:

CO_2-emissionen, $M_{CO2,c,5}$, bestemmes efter trin 5 i tabel A7/1 i bilag B7 med, hvis en sådan forligger, anvendelse af en indkøringsfaktor i henhold til punkt 8.2.4 i dette regulativ.

Niveau 1B og niveau 2:

Brændstofeffektiviteten, $FE_{c,5}$, bestemmes efter trin 5 i tabel A7/1 i bilag B7 med, hvis en sådan forligger, anvendelse af en indkøringsfaktor og/eller korrektion for prøvningsrummet som defineret i punkt 8.2.4 i dette regulativ.

3.3. Referenceværdier af CO_2-emissioner ($CO_{2\ declared\text{-}i}$) / brændstofeffektivitet ($FE_{declared\text{-}i}$)

Niveau 1A og niveau 2:

Hvis interpolationsmetoden ikke anvendes, anvendes CO_2-emissionsværdien $M_{CO2,c,7}$ til verifikation af produktionens overensstemmelse, jf. trin 7 i tabel A7/1 i bilag B7.

Hvis interpolationsmetoden anvendes, anvendes CO_2-emissionsværdien $M_{CO2,c,ind}$ for det enkelte køretøj til verifikation af produktionens overensstemmelse, jf. trin 10 i tabel A7/1 i bilag B7.

Niveau 1B og niveau 2:

Hvis interpolationsmetoden ikke anvendes, anvendes brændstofeffektivitetsværdien $FE_{c,8}$ til verifikation af produktionens overensstemmelse, jf. trin 8 i tabel A7/1 i bilag B7.

Hvis interpolationsmetoden anvendes, anvendes brændstofeffektivitetsværdien $FE_{c,ind}$ for det enkelte køretøj til verifikation af produktionens overensstemmelse, jf. trin 10 i tabel A7/1 i bilag B7.

4. Verifikation af CoP med hensyn til CO_2-emissioner/ brændstofeffektivitet for NOVC-HEV'er og OVC-HEV'er i ladningsbevarende driftstilstand

4.1. Køretøjet prøves som beskrevet i punkt 3.3 i bilag B8 for NOVC-HEV'er og i punkt 3.2.5 i bilag B8 for OVC-HEV'er.

4.2. Prøvningsværdier af CO_2-emissioner ($CO_{2\ test\text{-}i}$) / brændstofeffektivitet ($FE_{test\text{-}i}$)

Niveau 1A og niveau 2:

CO_2-emissionen, $M_{CO2,CS,c,5}$, af NOVC-HEV'er og ladningsbevarende OVC-HEV'er bestemmes efter trin 5 i tabel A8/5 i bilag B8 med, hvis en sådan forligger, anvendelse af en indkøringsfaktor som defineret i punkt 8.2.4 i dette regulativ.

For niveau 1B:

Brændstofeffektiviteten, $FE_{CS,c,5}$, af NOVC-HEV'er og ladningsbevarende OVC-HEV'er bestemmes efter trin 5 i tabel A8/5 i bilag B8 med, hvis en sådan forligger, anvendelse af en indkøringsfaktor og/eller korrektion for prøvningsrummet som defineret i punkt 8.2.4 i dette regulativ.

4.3. Referenceværdier af CO_2-emissioner ($CO_{2\ declared\text{-}i}$) / brændstofeffektivitet ($FE_{declared\text{-}i}$)

Niveau 1A og niveau 2:

Hvis interpolationsmetoden ikke anvendes, anvendes den ladningsbevarende CO_2-emissionsværdi $M_{CO2,CS,c,7}$ til verifikation af produktionens overensstemmelse, jf. trin 7 i tabel A8/5 i bilag B8.

Hvis interpolationsmetoden anvendes, anvendes den ladningsbevarende CO_2-emissionsværdi $M_{CO2,CS,c,ind}$ for det enkelte køretøj til verifikation af produktionens overensstemmelse, jf. trin 9 i tabel A8/5 i bilag B8.

Niveau 1B og niveau 2:

Hvis interpolationsmetoden ikke anvendes, anvendes den ladningsbevarende brændstofeffektivitetsværdi $FE_{CS,c,1}$ til verifikation af produktionens overensstemmelse, jf. trin 2 i tabel A8/6 i bilag B8.

Hvis interpolationsmetoden anvendes, anvendes den ladningsbevarende brændstofeffektivitetsværdi $FE_{CS,c,ind}$ for det enkelte køretøj til verifikation af produktionens overensstemmelse, jf. trin 3 i tabel A8/6 i bilag B8.

5. Verifikation af CoP på elektriske køretøjers (PEV) elektriske energiforbrug

5.1. Køretøjet klargøres som beskrevet i punkt 3.1.2 i tillæg 4 til bilag B8, hvorefter det prøves i henhold til enten punkt 3.4.4.1 eller punkt 3.4.4.2 i bilag B8 idet afbrydelseskriteriet for type 1-prøvningsproceduren anses for at være opfyldt, når den første gældende WLTP-prøvningscyklus er afsluttet.

5.2. Prøvningsværdier af elektrisk energiforbrug (EC_{test-i})

Jævnstrømsenergiforbruget fra REESS-systemet(erne), $EC_{DC,first,i}$, bestemmes efter trin 4 i tabel A8/10 og trin 3 i tabel A8/11 i bilag B8 med, hvis en sådan forligger, anvendelse af en indkøringsfaktor og/eller korrektion for prøvningsrummet som defineret i punkt 8.2.4 i dette regulativ.

5.3. Referenceværdien (EC_{COP-i}) for elektrisk energiforbrug

5.3.1. Værdier for type 1-prøvningsproceduren i fortløbende cyklus

Hvis interpolationsmetoden ikke anvendes, anvendes den elektriske energiforbrugsværdi$EC_{DC,COP,final}$ til verifikation af produktionens overensstemmelse, jf. trin 9 i tabel A8/10 i bilag B8.

Hvis interpolationsmetoden anvendes, anvendes den elektriske energiforbrugsværdi$EC_{DC,COP,ind}$ for det enkelte køretøj til verifikation af produktionens overensstemmelse, jf. trin 10 i tabel A8/10 i bilag B8.

5.3.2. Værdier for den forkortede type 1-prøvningsprocedure

Hvis interpolationsmetoden ikke anvendes, anvendes den elektriske energiforbrugsværdi$EC_{DC,COP,final}$ til verifikation af produktionens overensstemmelse, jf. trin 8 i tabel A8/11 i bilag B8.

Hvis interpolationsmetoden anvendes, anvendes den elektriske energiforbrugsværdi$EC_{DC,COP,ind}$ for det enkelte køretøj til verifikation af produktionens overensstemmelse, jf. trin 9 i tabel A8/11 i bilag B8.

6. Verifikation af CoP på ladningsforbrugende OVC-HEV'ers elektriske energiforbrug

6.1. Efter anmodning fra fabrikanten er det tilladt at anvende forskellige prøvningskøretøjer til den ladningsbevarende prøvning og den ladningsforbrugende prøvning.

6.2. For niveau 1A og niveau 2 (fase 4 WLTP-prøvning)

Køretøjet prøves i forbindelse med produktionens overensstemmelse i henhold til punkt 6.2.1. Hvis der ikke er nogen motorstart i første cyklus af typegodkendelsesproceduren for dette køretøj, kan køretøjet efter anmodning fra fabrikanten prøves i henhold til punkt 6.2.2.

For niveau 1B og niveau 2 (fase 3 WLTP-prøvning)

Hvis der ikke er nogen motorstart i første cyklus af typegodkendelsesproceduren for dette køretøj, prøves køretøjet i henhold til punkt 6.2.2. Hvis der er motorstart i første cyklus af typegodkendelsesproceduren for dette køretøj, undtages køretøjet for verifikation af elektrisk energiforbrug.

6.2.1. Kun niveau 1A og niveau 2 (fase 4 WLTP-prøvning):

Prøvningsprocedure for ladningsforbrugende type 1-prøvning

Køretøjet skal prøves efter den ladningsforbrugende type 1-prøvningsprocedure som beskrevet i punkt 3.2.4 bilag B8.

Hvis det skønnes nødvendigt, skal fabrikanten påvise, at prækonditionering af REESS-træk forud for CoP-proceduren er nødvendig. I et sådant tilfælde skal der efter anmodning fra fabrikanten og med godkendelse fra den godkendende myndighed foretages prækonditionering af REESS-træk forud for CoP-proceduren i henhold til fabrikantens anbefaling.

6.2.1.1. Prøvningsværdier af elektrisk energiforbrug (EC_{test-i})

Det elektriske energiforbrug $EC_{AC,CD}$ bestemmes efter trin 9 i tabel A8/8 i bilag B8 med, hvis en sådan forligger, anvendelse af en indkøringsfaktor som defineret i punkt 8.2.4 i dette regulativ.

6.2.2. Første cyklus af den ladningsforbrugende type 1-prøvning

6.2.2.1. Køretøjet prøves i henhold til den ladningsforbrugende type 1-prøvning som beskrevet i punkt 3.2.4 i bilag B8, idet afbrydelseskriteriet for den ladningsforbrugende type 1-prøvningsprocedure anses for at være opfyldt, når den første gældende WLTP-prøvningscyklus er afsluttet.

6.2.2.2. Prøvningsværdier af elektrisk energiforbrug (EC_{test-i})

Jævnstrømsenergiforbruget fra REESS-systemet(erne), $EC_{DC,CD,first,i}$, bestemmes efter trin 12 i tabel A8/8 i bilag B8 med, hvis en sådan forligger, anvendelse af en indkøringsfaktor og/eller korrektion for prøvningsrummet som defineret i punkt 8.2.4 i dette regulativ.

6.2.2.3. I denne cyklus er motordrift ikke tilladt. Hvis der er motordrift, anses prøvningen under produktionens overensstemmelse som ugyldig.

6.3. Referenceværdi (EC_{COP-i}) for elektrisk energiforbrug

6.3.1. Kun niveau 1A og niveau 2 (fase 4 WLTP-prøvning):

Produktionens overensstemmelse for en prøvning i henhold til punkt 6.2.1.

Hvis interpolationsmetoden ikke anvendes, anvendes den ladningsforbrugende elektriske energiforbrugsværdi $EC_{AC,CD,final}$ til verifikation af produktionens overensstemmelse, jf. trin 16 i tabel A8/8 i bilag B8.

Hvis interpolationsmetoden anvendes, anvendes den ladningsforbrugende elektriske energiforbrugsværdi $EC_{AC,CD,ind}$ for det enkelte køretøj til verifikation af produktionens overensstemmelse, jf. trin 17 i tabel A8/8 i bilag B8.

6.3.2. Produktionens overensstemmelse for en prøvning i henhold til punkt 6.2.2.

Hvis interpolationsmetoden ikke anvendes, anvendes den ladningsforbrugende elektriske energiforbrugsværdi$EC_{DC,CD,COP,final}$ til verifikation af produktionens overensstemmelse, jf. trin 16 i tabel A8/8 i bilag B8.

Hvis interpolationsmetoden anvendes, anvendes den ladningsforbrugende elektriske energiforbrugsværdi$EC_{DC,CD,COP,ind}$ for det enkelte køretøj til verifikation af produktionens overensstemmelse, jf. trin 17 i tabel A8/8 i bilag B8.

7. Proceduren for de endelige COP-prøvningsresultater er vist i tabel App1/1.

Tabel App1/1

Procedure for beregning af de endelige COP-prøvningsresultater

(gælder kun for CO_2 på niveau 1A og 4-faset WLTP-prøvning på niveau 2, og for FE kun på niveau 1B og 3-faset WLTP-prøvning på niveau 2)

Kilde	Input	Proces	Resultat
Kriterieemissioner, CO_2-emissioner og brændstofeffektivitet			
Bilag B7, tabel A7/1, trin 5 For rene ICE-køretøjer	$M_{i,c,5}$, g/km $M_{CO2,c,5}$, g/km $FE_{c,5}$, km/l	Kriterieemissionerne, CO_2-emissionerne og brændstofeffektiviteten ganges med indkøringsfaktoren bestemt i henhold til punkt 8.2.4 i dette regulativ: $X_N = RI_C$ (j) × $M_{i,c,5}$ eller $M_{i,CS,c,5}$ eller $M_{i,CD,c,5}$ $CO_{2\ test-i} = RI_{CO2}$ (j) x $M_{CO2,c,5}$ eller $M_{CO2,CS,c,5}$ $FE_{test-i} = RI_{FE}$ (j) x $FE_{c,5}$ Hvis indkøringsfaktoren ikke anvendes: $X_N = M_{i,c,5}$ eller $M_{i,CS,\ c,5}$ eller $M_{i,CD,c,5}$ $CO_{2\ test-i} = M_{CO2,c,5}$ eller $M_{CO2,CS,c,5}$ $FE_{test-i} = FE_{c,5}$ Kun for niveau 1B Kriterieemissionerne, CO_2-emissionerne og brændstofeffektiviteten korrigeres med en faktor for prøvningsrummet bestemt i henhold til punkt 8.2.4.5 i dette regulativ, hvis en sådan forligger.	X_N, g/km $CO_{2test-i}$, g/km FE_{test-i}, km/l
Bilag B8, tabel A8/5, trin 5 for NOVC-HEV'er og ladningsbevarende tilstand for OVC-HEV'er	$M_{i,CS,c,5}$, g/km $M_{CO2,CS,c,5}$, g/km $FE_{c,5}$, km/l		
Bilag B8, tabel A8/8, trin 5 for OVC-HEV'ers ladningsforbrugende driftstilstand	$M_{i,CD,c,5}$, g/km		
For elektrisk energiforbrug			
Bilag B8, tabel A8/10, trin 4 og tabel A8/11, trin 3 for PEV'er	$EC_{DC,first}$, Wh/km	Det elektriske energiforbrug ganges med indkøringsfaktoren bestemt i henhold til punkt 8.2.4 i dette regulativ: $EC_{test-i} = RI_{EC}$ (j) x $EC_{DC,first}$ eller $EC_{AC,CD}$ eller $EC_{DC,CD,first}$ Hvis indkøringsfaktoren ikke anvendes: $EC_{test-i} = EC_{DC,first}$ eller $EC_{AC,CD}$ eller $EC_{DC,CD,first}$ Kun for niveau 1B Det elektriske energiforbrug korrigeres med en faktor for prøvningsrummet bestemt i henhold til punkt 8.2.4.5 i dette regulativ, hvis en sådan forligger.	EC_{test-i}, Wh/km
Kun niveau 1A og niveau 2 (fase 4 WLTP-prøvning): Bilag B8, tabel A8/8, trin 9 for OVC-HEV'er i ladningsforbrugende driftstilstand prøvet i henhold til punkt 6.2.1.	$EC_{AC,CD}$, Wh/km		
For niveau 1A, niveau 1B og niveau 2 (fase 3 og fase 4 WLTP-prøvning) Bilag B8, tabel A8/8, trin 12 for OVC-HEV'er i ladningsforbrugende driftstilstand prøvet i henhold til punkt 6.2.2.	$EC_{DC,CD,first}$, Wh/km		

Tillæg 2

Verifikation af produktionens overensstemmelse ved type 1-prøvning — statistisk metode

1. I dette tillæg beskrives den procedure, som skal anvendes til at kontrollere overensstemmelse med produktionsforskrifterne for type 1-prøvningen af kriterieemissioner, CO_2-emissioner, brændstofeffektivitet og elektrisk energiforbrug, alt efter hvad der er relevant, og i henhold til tabel 8/1 i dette regulativ, for rene ICE, NOVC-HEV, PEV og OVC-HEV og, hvis det er relevant, til at bestemme OBFCM-anordningens nøjagtighed.

Målinger af kriterieemissionerne, CO_2-emissionerne, brændstofeffektiviteten og det elektriske energiforbrug, alt efter hvad der relevant, og i henhold til tabel 8/1 i dette regulativ, udføres på mindst 3 køretøjer, og antallet af køretøjer skal derefter stige, indtil der nås en afgørelse om godkendelse eller ikkegodkendelse. Hvis det er relevant, bestemmes OBFCM-anordningens nøjagtighed for hver af N-prøvningerne.

2. Kriterieemissioner

2.1. Den statistiske metode og kriterier for godkendelse/ikkegodkendelse

2.1.1. For niveau 1A og kriterieemissionerne fra de 4 faser af en WLTP-prøvning på niveau 2:

For det samlede antal prøvninger (N) og måleresultaterne af de prøvede køretøjer, x_1, x_2, … x_N, skal gennemsnittet X_{tests} og variansen VAR bestemmes:

$$X_{tests} = \frac{(x_1 + x_2 + x_3 + \ldots + x_N)}{N}$$

og

$$VAR = \frac{(x_1 - X_{tests})^2 + (x_2 - X_{tests})^2 + \ldots + (x_N - X_{tests})^2}{N - 1}$$

For OVC-HEV, ved fuld ladningsforbrugende type 1-prøvning, betragtes de gennemsnitlige emissioner over hele prøvningen af et enkelt køretøj som en enkelt værdi x_i.

For hvert samlede antal prøvninger kan der opnås en af tre følgende afgørelser for kriterieemissioner på grundlag af grænseværdien L for kriterieemissioner i henhold til tabel 1A i punkt 6.3.10. i dette regulativ:

i) Familien godkendes, hvis $X_{tests} < A \cdot L - \frac{VAR}{L}$

ii) Familien godkendes ikke, hvis $X_{tests} > A \cdot L - \left(\frac{N-3}{13} \cdot \frac{VAR}{L}\right)$

iii) Der foretages en anden måling, hvis:

$$A \cdot L - \frac{VAR}{L} \leq X_{tests} \leq A \cdot L - \left(\frac{N-3}{13} \cdot \frac{VAR}{L}\right)$$

Til måling af kriterieemissioner er faktor A sat til 1,05.

2.1.2. For niveau 1B og kriterieemissionerne fra de 3 faser af en WLTP-prøvning på niveau 2:

Tilfælde A: Fabrikantens produktionsstandardafvigelse er tilfredsstillende.

Med en minimal prøvestørrelse på 3 indstilles prøveudtagningsproceduren således, at sandsynligheden for at et parti består en prøvning, hvor 40 procent af produktionen er defekt, er 0,95 (fabrikantens risiko = 5 procent), mens sandsynligheden for at et parti accepteres, hvor 65 procent af produktionen er defekt, er 0,1 (konsumentens risiko = 10 procent).

For hver enkelt af de i tabel 1B i punkt 6.3.10. i forordningen omhandlede kriterieemissioner anvendes følgende procedure (jf. figur 8/1 i punkt 8.2.3.2. i dette regulativ) hvor:

L = den naturlige logaritme til grænseværdien for kriterieemissionen,

x_i = den naturlige logaritme af målingen for det i'te køretøj i prøven,

s = et estimat for produktionens standardafvigelse (efter at have taget den naturlige logaritme af målingerne),

n = den pågældende stikprøvestørrelse.

Prøvningsstatistikken for prøvningen beregnes ved at bestemme summen af standardafvigelserne i forhold til grænsen ved hjælp af definitionen:

$$\frac{1}{s}\sum_{i=1}^{n}(L - x_i)$$

Hvis prøvningsstatistikken er større end tærskelværdien for godkendelser ved den i tabel A2/1 angivne stikprøvestørrelse, opnås der godkendelse for kriterieemissionen.

Hvis prøvningsstatistikken er større end tærskelværdien for afvisninger ved den i tabel A2/1 angivne stikprøvestørrelse, opnås der ikke godkendelse for kriterieemissionen. Ellers prøves endnu et køretøj, og beregningen gentages på stikprøven med en stikprøvestørrelse, som er én enhed større.

Tabel A2/1

Kriterier for godkendelse/ikkegodkendelse af given stikprøvestørrelse

Kumuleret antal af prøvede køretøjer (stikprøvestørrelse)	Tærskelværdi for godkendelse	Tærskelværdi for afvisning
3	3,327	- 4,724
4	3,261	- 4,79
5	3,195	- 4,856
6	3,129	- 4,922
7	3,063	- 4,988
8	2,997	- 5,054
9	2,931	- 5,12
10	2,865	- 5,185
11	2,799	- 5,251
12	2,733	- 5,317
13	2,667	- 5,383
14	2,601	- 5,449
15	2,535	- 5,515
16	2,469	- 5,581
17	2,403	- 5,647
18	2,337	- 5,713
19	2,271	- 5,779
20	2,205	- 5,845

Kumuleret antal af prøvede køretøjer (stikprøvestørrelse)	Tærskelværdi for godkendelse	Tærskelværdi for afvisning
21	2,139	- 5,911
22	2,073	- 5,977
23	2,007	- 6,043
24	1,941	- 6,109
25	1,875	- 6,175
26	1,809	- 6,241
27	1,743	- 6,307
28	1,677	- 6,373
29	1,611	- 6,439
30	1,545	- 6,505
31	1,479	- 6,571
32	- 2,112	- 2,112

Tilfælde B: Fabrikantens bevis for produktionsstandardafvigelse er enten utilfredsstillende eller ikke tilgængeligt.

Med en minimal prøvestørrelse på 3 indstilles prøveudtagningsproceduren således, at sandsynligheden for at et parti består en prøvning, hvor 40 procent af produktionen er defekt, er 0,95 (fabrikantens risiko = 5 procent), mens sandsynligheden for at et parti accepteres, hvor 65 procent af produktionen er defekt, er 0,1 (konsumentens risiko = 10 procent).

De i punkt 6.3.10, tabel 1B, i dette regulativ angivne kriterieemissioner betragtes som den logaritmiske normalfordeling og omformes først ved at bestemme deres naturlige logaritmer. Lad m_0 og m være henholdsvis mindste og største stikprøvestørrelse (m_0 = 3 og m = 32) og lad n være det aktuelle stikprøveantal.

Hvis de naturlige logaritmer til de målte værdier i serien er x_1, x_2 ..., x_i , og L er den naturlige logaritme til grænseværdien for det forurenende stof, bestemmes:

$$d_1 = x_1 - L$$

$$\bar{d}_n = \frac{1}{n}\sum_{i=1}^{n} d_i$$

og

$$V_n^2 = \frac{1}{n}\sum_{i=1}^{n} (d_i - \bar{d}_n)^2$$

Tabel A2/2

Mindste stikprøvestørrelse = 3

Stikprøvestørrelse (n)	Tærskelværdi for godkendelse (A_n)	Tærskelværdi for ikkegodkendelse (B_n)
3	- 0,80381	16,64743
4	- 0,76339	7,68627
5	- 0,72982	4,67136
6	- 0,69962	3,25573
7	- 0,67129	2,45431

Stikprøvestørrelse (n)	Tærskelværdi for godkendelse (A_n)	Tærskelværdi for ikkegodkendelse (B_n)
8	- 0,64406	1,94369
9	- 0,61750	1,59105
10	- 0,59135	1,33295
11	- 0,56542	1,13566
12	- 0,53960	0,97970
13	- 0,51379	0,85307
14	- 0,48791	0,74801
15	- 0,46191	0,65928
16	- 0,43573	0,58321
17	- 0,40933	0,51718
18	- 0,38266	0,45922
19	- 0,35570	0,40788
20	- 0,32840	0,36203
21	- 0,30072	0,32078
22	- 0,27263	0,28343
23	- 0,24410	0,24943
24	- 0,21509	0,21831
25	- 0,18557	0,18970
26	- 0,15550	0,16328
27	- 0,12483	0,13880
28	- 0,09354	0,11603
29	- 0,06159	0,09480
30	- 0,02892	0,07493
31	0,00449	0,05629
32	0,03876	0,03876

Tabel A2/2 angiver værdierne for godkendt (A_n) og ikkegodkendt (B_n) i forhold til det tilhørende aktuelle stikprøveantal. Prøvningsstatistikken er forholdet $\overline{d}_n/V_n$ og skal anvendes til at bestemme, om rækken er godkendt eller afvist som følger:

For $m_o \leq n \leq m$:

i) Godkendes rækken, hvis $\frac{\overline{d}_n}{V_n} \leq A_n$

ii) Afvises rækken, hvis $\frac{\overline{d}_n}{V_n} \geq B_n$

iii) Der foretages en anden måling, hvis $A_n < \frac{\overline{d}_n}{V_n} < B_n$

Bemærkninger:

Følgende rekursive formler er nyttige ved beregning af prøvningsstatistikkens successive værdier:

$$\overline{d}_n = \left(1 - \frac{1}{n}\right) \cdot d_{n-1} + \frac{1}{n} d_n$$

$$V_n^2 = \left(1 - \frac{1}{n}\right) V_{n-1}^2 + \frac{(d_n - \overline{d}_n)^2}{n - 1}$$

$$(n = 2, 3, \ldots;\ \overline{d}_1 = d_1;\ V_1 = 0)$$

2.1.3. Godkendelse opnås kun, hvis der er opnået godkendelse for så vidt angår kravene i både punkt 2.1.1 og 2.1.2.

Hvis der kun er opnået godkendelse med hensyn til kravene i punkt 2.1.1, skal prøvningen og den statistiske evaluering kun fortsætte med hensyn til kravene i punkt 2.1.2, indtil godkendelse er opnået.

Hvis der kun er opnået godkendelse med hensyn til kravene i punkt 2.1.2, skal prøvningen og den statistiske evaluering kun fortsætte med hensyn til kravene i punkt 2.1.1, indtil godkendelse er opnået.

3. CO_2-emissionerne, brændstofeffektivitet og elektrisk energiforbrug

3.1. Statistisk procedure

3.1.1. For niveau 1A og for CO_2-emissioner og elektrisk energiforbrug fra de 4 faser af en WLTP-prøvning på niveau 2:

For det samlede antal prøvninger (N) og måleresultaterne af de prøvede køretøjer, x_1, x_2, … x_N, skal gennemsnittet X_{tests} og standardafvigelser bestemmes:

$$X_{tests} = \frac{(x_1 + x_2 + x_3 + \ldots + x_N)}{N}$$

og

$$s = \sqrt{\frac{(x_1 - X_{tests})^2 + (x_2 - X_{tests})^2 + \ldots + (x_N - X_{tests})^2}{N - 1}}$$

3.1.2. For niveau 1B og for brændstofeffektivitet og elektrisk energiforbrug fra de 3 faser af en WLTP-prøvning på niveau 2:

For det samlede antal prøvninger (N) og måleresultaterne af de prøvede køretøjer, x_1, x_2, … x_N, skal gennemsnittet X_{tests} og standardafvigelsen σ bestemmes:

$$X_{testsN} = \frac{(x_1 + x_2 + x_3 + \ldots + x_N)}{N}$$

og

$$\sigma = \sqrt{\frac{(x_1 - X_{tests})^2 + (x_2 - X_{tests})^2 + \ldots + (x_{10} - X_{tests})^2}{10}}$$

3.2. Statistisk vurdering

3.2.1. For niveau 1A og for CO_2-emissioner og elektrisk energiforbrug fra de 4 faser af en WLTP-prøvning på niveau 2:

For evalueringen af CO_2-emissioner beregnes de normaliserede værdier som følger:

$$x_i = \frac{CO_{\,test\,-\,i}}{CO_{2\ declared\,-\,i}}$$

hvor:

$CO_{2\ test\text{-}i}$	er prøvningsværdien af CO_2-emissioner for det i'te individuelle køretøj som bestemt i henhold til tillæg 1 i dette regulativ
$CO_{2\ declared\text{-}i}$	er den oplyste referenceværdi af CO_2-emissioner for det i'te individuelle køretøj

De normaliserede x_i værdier anvendes til at fastsætte parametrene X_{tests} og s, jf. punkt 3.1.

3.2.2. For niveau 1B og for brændstofeffektivitet og elektrisk energiforbrug fra de 3 faser af en WLTP-prøvning på niveau 2:

For evalueringen af brændstofeffektivitet beregnes de normaliserede værdier som følger:

$$x_i = \frac{FE_{\,test\,-\,i}}{FE_{\,declared\,-\,i}}$$

hvor:

$FE_{\,test\text{-}i}$	er prøvningsværdien af brændstofeffektivitet for det i'te individuelle køretøj som bestemt i henhold til tillæg 1 i dette regulativ
$FE_{\,declared\text{-}i}$	er den oplyste referenceværdi af brændstofeffektivitet for det individuelle køretøj

3.2.3. For niveau 1A, niveau 1B og niveau 2 (fase 3 og fase 4 WLTP-prøvning)

For evalueringen af elektrisk energiforbrug EC beregnes de normaliserede værdier som følger:

$$x_i = \frac{EC_{test\,-\,i}}{EC_{COP\,-\,i}}$$

hvor:

$EC_{test\text{-}i}$	er prøvningsværdien af elektrisk energiforbrug for det i'te individuelle køretøj som bestemt i henhold til tillæg 1 i dette regulativ
$EC_{\,COP\text{-}i}$	er den oplyste referenceværdi af elektrisk energiforbrug for det i'te individuelle køretøj som bestemt i henhold til tillæg 1 i dette regulativ

De normaliserede x_i værdier anvendes til at fastsætte parametrene X_{tests} og s, jf. punkt 3.1.

3.3. Kriterier for godkendelse/ikkegodkendelse

3.3.1. Evaluering af CO_2-emissioner og elektrisk energiforbrug

Kun niveau 1A og niveau 2 (fase 4 WLTP-prøvning):

For hvert samlede antal prøvninger kan der opnås en af følgende tre afgørelser, hvor faktor A sættes til 1.01:

i) Familien godkendes, hvis $X_{tests} \leq A - (t_{P1,i} + t_{P2,i}) \cdot s$

ii) Familien godkendes ikke, hvis $X_{tests} > A + (t_{F1,i} - t_{F2}) \cdot s$

iii) Der foretages en anden måling, hvis:

$$A - (t_{P1,i} + t_{P2,i}) \cdot s < X_{tests} \leq A + (t_{F1,i} - t_{F2}) \cdot s$$

hvor:

parameter $t_{P1,i}$, $t_{P2,i,}$ $t_{F1,i,}$ og t_{F2} tages fra tabel A2/3.

Tabel A2/3

Kriterier for godkendelse/ikkegodkendelse af given stikprøvestørrelse

	GODKENDT		IKKEGODKENDT	
Prøvning (i)	tP1,i	tP2,i	tF1,i	tF2
3	1,686	0,438	1,686	0,438
4	1,125	0,425	1,177	0,438
5	0,850	0,401	0,953	0,438
6	0,673	0,370	0,823	0,438
7	0,544	0,335	0,734	0,438
8	0,443	0,299	0,670	0,438
9	0,361	0,263	0,620	0,438
10	0,292	0,226	0,580	0,438
11	0,232	0,190	0,546	0,438
12	0,178	0,153	0,518	0,438
13	0,129	0,116	0,494	0,438
14	0,083	0,078	0,473	0,438
15	0,040	0,038	0,455	0,438
16	0,000	0,000	0,438	0,438

3.3.2. Evaluering af brændstofeffektivitet og elektrisk energiforbrug

Kun for niveau 1B og de første 3 faser af en WLTP-prøvning på niveau 2:

3.3.2.1. For evalueringen af FE (brændstofeffektivitet i km/L) gælder følgende bestemmelser:

a) Hvis 3 ≤ N_evaluering≤ 10

i) Familien godkendes, hvis$X_{testsN_Evaluation} \geq 1.000$

ii) Der foretages en anden måling, hvis$X_{testsN_Evaluation} < 1.000$

b) Hvis N = 11

i) Familien godkendes, hvis der kan træffes følgende afgørelser

a. $X_{testsN_Evaluation} \geq 1.000 - \frac{3 * \sigma}{\sqrt{N_Evaluation}}$

b. $X_{testsN_CoP\ family} \geq 1.000 - \frac{3 * \sigma}{\sqrt{N_CoP\ family}}$

c. $x_i \geq 1.000 - 3 * \sigma$

ii) Familien godkendes ikke, hvis der kan træffes følgende afgørelser

a. $X_{testsN_Evaluation} < 1.000 - \frac{3 * \sigma}{\sqrt{N_Evaluation}}$

b. $X_{testsN_CoP\ family} < 1.000 - \frac{3 * \sigma}{\sqrt{N_CoP\ family}}$

c. $x_i < 1.000 - 3 * \sigma$

hvor:

N_Evaluering	er det samlede antal prøvede køretøjer under den gældende evaluering
N_CoP-familie	er det samlede antal prøvede køretøjer i CoP-familien i løbet af året

(f.eks. hvis det samlede antal køretøjer, der prøves til første evaluering, er 11, og det samlede antal køretøjer, der prøves til anden evaluering, er 4, N_ Evaluering=4 og N_CoP-familie=15)

Under alle omstændigheder, hvis N_CoP-familie > 10, skal$x_i \geq 1.000 - 3 * \sigma$ opfyldes.

3.3.2.2. For evalueringen af EC (elforbrug i Wh/km) gælder følgende:

a) Hvis 3 ≤ N_Evaluering≤ 10

i) Familien godkendes, hvis$X_{testsN_Evaluering} \leq 1.000$

ii) Der foretages en anden måling, hvis$X_{testsN_Evaluering} > 1.000$

b) Hvis N = 11

i) Familien godkendes, hvis der kan træffes følgende afgørelser

a. $X_{testsN_Evaluering} \leq 1.000 + \frac{3 * \sigma}{\sqrt{N_Evaluation}}$

b. $X_{testsN_CoP-familie} \leq 1.000 + \frac{3 * \sigma}{\sqrt{N_CoP\ family}}$

c. $x_i \leq 1.000 + 3 * \sigma$

ii) Familien godkendes ikke, hvis der kan træffes følgende afgørelser

a. $X_{testsN_Evaluering} > 1.000 + \frac{3 * \sigma}{\sqrt{N_Evaluation}}$

b. $X_{testsN_CoP-familie} > 1.000 + \frac{3 * \sigma}{\sqrt{N_CoP\ family}}$

c. $x_i > 1.000 + 3 * \sigma$

hvor:

N_Evaluering	er det samlede antal prøvede køretøjer under den gældende evaluering
N_CoP-familie	er det samlede antal prøvede køretøjer i CoP-familien i løbet af året

(f.eks. hvis køretøjet, der prøves til første evaluering, er 11, og køretøjet, der prøves til anden evaluering, er 4, N_ Evaluering=4 og N_CoP-familie=15)

Under alle omstændigheder, hvis N_CoP-familie > 10, skal$x_i \leq 1.000 + 3 * \sigma$ opfyldes.

3.3.2.3. Hvis antallet af producerede køretøjer i CoP-familien overstiger 7 500 køretøjer pr. 12 måneder, for anden eller senere evaluering, "a. Hvis 3 ≤ N_Evaluering ≤ 10" kan erstattes af "a. Hvis N_Evaluering = 3" og "b. Hvis N_Evaluering = 11" kan erstattes af "b. Hvis N_Evaluering = 4". For andet eller senere år må denne bestemmelse ikke anvendes for CoP-familien ved første evaluering i året.

σ bestemmes ud fra prøvningsresultatet for de første 10 prøvede køretøjer efter påbegyndelsen af produktionen for hver CoP-family. σ må ikke ændres, når σ er bestemt for CoP-familien, heller ikke for det andet eller de efterfølgende år. På anmodning fra fabrikanten og efter godkendelse fra den kompetente myndighed og med rimelig dokumentation og relevante data kanσ ændres.

3.3.3. Godkendelse opnås kun, hvis der er opnået godkendelse for så vidt angår kravene i både punkt 3.3.1 og 3.3.2.

Hvis der kun er opnået godkendelse med hensyn til kravene i punkt 3.3.1, skal prøvningen og den statistiske evaluering kun fortsætte med hensyn til kravene i punkt 3.3.2, indtil godkendelse er opnået.

Hvis der kun er opnået godkendelse med hensyn til kravene i punkt 3.3.2, skal prøvningen og den statistiske evaluering kun fortsætte med hensyn til kravene i punkt 3.3.1, indtil godkendelse er opnået.

3.4. OBFCM-anordningens nøjagtighed (gælder ikke for niveau 1C)

Produktionens overensstemmelse for OBFCM-anordninger, som defineret i punkt 4.2 i tillæg 5, vurderes som følger:

1) Omfattede køretøjer

Køretøjer omhandlet i punkt 5.11.1 i dette regulativ	Niveau 1A	Niveau 1B	Niveau 2
a)	Ja	Ja	Ja
b)	Ja	IKKE RELEVANT	Ja
c)	Ja	IKKE RELEVANT	Ja
d)	IKKE RELEVANT	Kun LPG	Kun LPG

2) For hver enkelt prøvning i udført med henblik på punkt 3 i dette tillæg sættes værdien xi lig med:

1 / (1 - Nøjagtighed)

hvor OBFCM-anordningens nøjagtighed bestemmes, som angivet i punkt 4.2 i tillæg 5.

Kun niveau 1A og niveau 2

Nøjagtigheden vedrørende køretøjets opladte energi for PEV'er og OVC-HEV'er beregnes ved hjælp af $Vehicle_energy_charged_{REESS_charge}$, målt ved elnettet under en normal opladning af prækonditioneringen som defineret i punkt 2.2.3 og 3.1.2 i tillæg 4 til bilag B8, og $Vehicle_energy_charged_{OBFCM}$, bestemt for samme normale opladning ved hjælp af forskelsværdien i parameteren "Samlet netenergi til køretøjet (levetid) (kWh)".

3) Dette punkt finder kun anvendelse på niveau 1A og niveau 2 (fase 4 WLTP-prøvning)

Produktionens overensstemmelse for OBFCM-anordningerne vurderes efter kravene i punkt 3.3.1, men der anvendes en faktor A-værdi på 1,0526.

I forbindelse med punkt 3 gælder, at hvis afgørelse iii) i punkt 3.3.1 om produktionens overensstemmelse for OBFCM-anordningerne nås ved den sidste prøvning N, fortsættes sekvensen af prøvninger, indtil en endelig afgørelse i) eller ii) i punkt 3.3.1 er nået.

Den typegodkendende myndighed skal føre register over OBFCM-anordningens fastsatte nøjagtigheder ved hver prøvning samt over afgørelsen i punkt 3.3.1 efter hver prøvning.

4) Dette punkt finder kun anvendelse på niveau 1B og niveau 2 (fase 3 WLTP-prøvning)

Produktionens overensstemmelse for OBFCM-anordningerne vurderes efter kravene i punkt 3.3.1, med tilføjelse af yderligere led i), ii) og iii) til den oprindelige ligning, men der anvendes en faktor A-værdi på 1,0526 og en faktor B-værdi på 0,9524.

i) Familien godkendes, hvis $X_{tests} \leq A - (t_{P1,i} + t_{P2,i}) \cdot s$

og $B + (t_{P1,i} + t_{P2,i}) \cdot s \leq X_{tests}$

ii) Familien godkendes ikke, hvis $X_{tests} > A + (t_{F1,i} - t_{F2}) \cdot s$

eller $B - (t_{F1,i} - t_{F2}) \cdot s > X_{tests}$

iii) Der foretages en anden måling, hvis:

$$A - (t_{P1,i} + t_{P2,i}) \cdot s < X_{tests} \leq A + (t_{F1,i} - t_{F2}) \cdot s$$

eller $B - (t_{F1,i} - t_{F2}) \cdot s \leq X_{tests} < B + (t_{P1,i} + t_{P2,i}) \cdot s$

I forbindelse med punkt 3.3.2.1 gælder, at hvis afgørelse iii) i punkt 3.4.4 om produktionens overensstemmelse for OBFCM-anordningerne nås ved den sidste prøvning N, fortsættes sekvensen af prøvninger, indtil en endelig afgørelse i) eller ii) i punkt 3.4.4 er nået.

Den typegodkendende myndighed skal føre register over OBFCM-anordningens fastsatte nøjagtigheder ved hver prøvning samt over afgørelsen i punkt 3.3.1 efter hver prøvning.

Tillæg 3

Indkøringsprøvningsprocedure til bestemmelse af indkøringsfaktorer

1. Beskrivelse af prøvningsprocedure til bestemmelse af indkøringsfaktorerne

1.1. Indkøringsproceduren udføres af fabrikanten, som ikke må foretage nogen justeringer af prøvningskøretøjerne, som kan have en indvirkning på kriterieemissionerne, CO_2-missionerne, brændstofeffektiviteten og det elektriske energiforbrug. Materiellet og prøvningskøretøjets relevante ECU-kalibrering skal være i overensstemmelse med det typegodkendte køretøj. Alt relevant materiel, som har en indvirkning på kriterieemissionerne, CO_2-emissionerne, brændstofeffektiviteten og det elektriske energiforbrug, må ikke have været anvendt forud for indkøringsprøvningen.

1.2. Prøvningskøretøjet konfigureres som køretøj H i CoP-familien.

Hvis CoP-familien har flere interpolationsfamilier, konfigureres prøvningskøretøjet som køretøj H i interpolationsfamilien med den højst forventede produktionsmængde i CoP-familien. Efter anmodning fra fabrikanten og med den kompetente myndigheds godkendelse kan der vælges et andet prøvningskøretøj.

1.2.1. Udvidelse af indkøringsfaktorer

På anmodning af køretøjsfabrikanten og med den kompetente myndigheds godkendelse kan den afledte indkøringsfaktor for CO_2-emissioner, kriterieemissioner, brændstofeffektivitet og elektrisk energiforbrug udvides til andre CoP-familier.

Køretøjsfabrikanten skal dokumentere begrundelsen og de tekniske kriterier for sammenlægningen af disse CoP-familier, for at sikre, at der er stor lighed mellem disse familier.

1.3. Prøvningskøretøjet skal være et nyt køretøj eller et brugt prøvningskøretøj, for hvilket mindst alle de følgende komponenter er installeret for nyligt og på samme tid:

a) Forbrændingsmotor

b) Kraftoverførselskomponenter (som minimum, men ikke begrænset til, transmission, dæk, aksler osv.)

c) Bremsekomponenter

d) Kun niveau 1A og niveau 2: REESSs for EVs

e) Kun niveau 1A og niveau 2: Udstødningssystem

og alle andre komponenter, som har en ikke-ubetydelig indvirkning på kriterieemissioner, CO_2-emissioner, brændstofeffektivitet og elektrisk energiforbrug.

For det nye køretøj eller det brugte køretøj, i hvilket ovennævnte komponenter er udskiftet, registreres kilometertælleren for prøvningskøretøj D_s i km.

1.4. Efter anmodning fra fabrikanten og med den kompetente myndigheds godkendelse er det tilladt at udføre indkøringsproceduren på flere prøvningskøretøjer. I dette tilfælde tages de gyldige prøvningsresultater af alle prøvede køretøjer i betragtning ved fastsættelsen af indkøringsfaktorerne.

1.5. Indstilling af chassisdynamometer

1.5.1. Chassisdynamometret fastsættes til målkøremodstanden for prøvningskøretøjet, jf. proceduren i punkt 7. i bilag B4.

Chassisdynamometret indstilles separat før hver prøvning før akkumuleringen af indkøringskilometer og indstilles én gang for prøvninger efter indkøringen efter kilometerakkumuleringen.

1.5.2. Kun for niveau 1B:

Det er tilladt at anvende den samme dynamometerindstillingsværdi, som blev genereret under typegodkendelsesprøvningen for alle prøvninger.

1.6. Før indkøringen prøves prøvningskøretøjet i henhold til den type 1-prøvning, der er angivet i bilag B6 eller B8. Prøvningen gentages, indtil der foreligger tre gyldige testresultater. Kørselssporindekser beregnes i overensstemmelse med punkt 7. i bilag B7 og skal opfylde de kriterier, der er angivet i punkt 2.6.8.3.1.4. i bilag B6. Kilometertællerindstillingen Di skal registreres før hver prøvning.

Kun niveau 1A og niveau 2:

Positionssignalet for accelerationskontrollen registreres under alle prøvninger ved en prøvningsfrekvens på 10 Hz. Det er tilladt at anvende OBD-systemets positionssignal for accelerationskontrollen til dette formål. Den kompetente myndighed kan anmode fabrikanten om at evaluere dette signal for at sikre, at testresultatet udføres korrekt.

1.7. Efter de første prøvninger indkøres køretøjet under normale kørselsforhold. OVC-HEV'er skal hovedsageligt køres i ladningsbevarende driftstilstand. Kørselsmønster, prøvningsbetingelser og brændstof under indkøringen skal være i overensstemmelse med fabrikantens tekniske skøn. Indkøringsafstanden skal være kortere end eller svarende til den kørte strækning ved indkøringen af det køretøj, som blev prøvet for typegodkendelse af interpolationsfamilien, jf. punkt 2.3.3. i bilag B6 eller punkt 2. i bilag B8.

1.8. Efter indkøringen prøves prøvningskøretøjet i henhold til den type 1-prøvning, der er angivet i bilag B6 eller B8. Prøvningen gentages, indtil der foreligger følgende antal gyldige testresultater.

Niveau 1A, niveau 1B og niveau 2 kriterieemissioner: tre prøvninger

For brændstofeffektivitet og/eller elektrisk energiforbrug, niveau 1B: to prøvninger

Kørselssporindekser beregnes i overensstemmelse med punkt 7. i bilag B7 og skal opfylde de kriterier, der er angivet i punkt 2.6.8.3.1.4. i bilag B6.

Disse prøvninger udføres i samme prøvningscelle, som anvendes til prøvninger forud for indkøringen, og ved at anvende den samme indstillingsmetode for chassisdynamometret. Hvis dette ikke er muligt, skal fabrikanten begrunde, hvorfor man har anvendt en anden prøvningscelle. Kilometertællerindstillingen D_i i km skal registreres forud for hver prøvning.

1.9. Kun niveau 1A og niveau 2:

Til bestemmelse af indkøringsfaktoren for CO_2-emissionerne, koefficienterne C_{RI} og C_{const} i følgende ligning beregnes ved regressionsanalyse (mindste kvadrater) til fire signifikante tal for alle gyldige prøvninger før og efter indkøringen:

$$M_{CO2,i} = C_{RI} \cdot ln(D_i - D_s) + C_{const}$$

hvor:

$M_{CO2,i}$ er den målte CO_2-emission for prøvning i, g/km

C_{RI} er den logaritmiske regressionslinjes hældning

C_{const} er den konstante værdi af den logaritmiske regressionslinje

Hvis flere køretøjer er blevet prøvet, beregnes C_{RI} for hvert køretøj, og gennemsnittet af resultaterne beregnes. Fabrikanten skal fremlægge statistisk dokumentation for den kompetente myndighed for, at kurvefittet er tilstrækkeligt statistisk begrundet.

1.9.1. Kun niveau 1A og niveau 2:

På grundlag af målingernes afvigelse fra kurvefittet bør hældningen C_{RI} korrigeres nedad med middelafvigelsen på hældningen:

$$\sigma_{fit} = \sqrt{\frac{\sum (M_{CO2,i} - M_{CO2,i-fit})^2}{N-2}}$$

og

$$SE(C_{RI}) = \frac{\sigma_{fit}}{\sqrt{\sum (x_i - \overline{x})^2}}$$

hvor:

$M_{CO2,i\text{-}fit}$ er resultatet af anvendelse af ligning for hver af afstandene D_i.

$x_i = \ln(D_i - D_s)$

$\overline{x}$ =*mean value* $\ln(D_i - D_s)$

Hældningen C_{RI} korrigeres for kurvefittets usikkerhed gennem:

$C_{RI-fit} = C_{RI} + SE(C_{RI})$

1.10. Kun niveau 1A og niveau 2:

Indkøringsfaktoren $RI_{CO2}(j)$ for CO_2-emissioner fra CoP-prøvningskøretøjet bestemmes med følgende ligning:

$$RI_{CO2}(j) = 1 + C_{RI-fit} \cdot \left(\frac{ln\left(D_k\right) - ln(D_j)}{M_{CO2,j}} \right)$$

hvor:

D_k er gennemsnitsafstanden af de gyldige prøvninger efter indkøringen, km

D_j er systemets kilometertællerindstilling for CoP-prøvningskøretøjet, i km

$M_{CO2,j}$ er CO_2-masseemissionen målt på CoP-prøvningskøretøjet, i g/km

Hvis D_j er lavere end minimum D_i, erstattes D_j af minimum D_i.

1.11. Til bestemmelse af indkøringsfaktoren for alle relevante kriterieemissioner efter fire faser skal koefficienterne $C_{RI,c}$ og $C_{const,c}$ beregnes med en regressionsanalyse (mindste kvadrater) til fire signifikante tal for alle gyldige prøvninger før og efter indkøringen:

$$M_{C,i} = C_{RI,c}.(D_i - D_s) + C_{const,c}$$

hvor:

$M_{C,i}$ er den målte massekriterieemission komponent C

$C_{RI,c}$ er den lineære regressionslinjes hældning, g/km²

$C_{const,c}$ er den konstante værdi af den lineære regressionslinje, g/km

Fabrikanten skal fremlægge statistisk dokumentation for den kompetente myndighed for, at kurvefittet er tilstrækkeligt statistisk begrundet og for, at usikkerhedsmarginen på grundlag af variationen i data bør tages i betragtning for at undgå en overvurdering af indkøringseffekten.

1.12. Indkøringsfaktoren $RI_C(j)$ for kriterieemissionskomponent C fra CoP-prøvningskøretøjet bestemmes med følgende ligning:

$$RI_C(j) = 1 + C_{RI,c} \cdot \left(\frac{D_k - D_j}{M_{C,j}} \right)$$

hvor:

D_k er gennemsnitsafstanden af de gyldige prøvninger efter indkøringen, km

D_j er systemets kilometertællerindstilling for CoP-prøvningskøretøjet, i km

$M_{C,j}$ er masseemissionen for komponent C målt på CoP-prøvningskøretøjet, i g/km

Hvis D_j er lavere end minimum D_i, erstattes D_j af minimum D_i.

1.13. Kun niveau 1A og niveau 2 (fase 4 WLTP-prøvning):

Indkøringsfaktoren $RI_{EC}(j)$ for elektrisk energiforbrug bestemmes i henhold til proceduren i punkt 1.9.,1.9.1. og 1.10. i dette tillæg, hvor CO_2 i formlerne erstattes af EC.

Kun for niveau 1B og de første 3 faser af en WLTP-prøvning på niveau 2:

Indkøringsfaktoren $RI_{FE}(j)$ for brændstofeffektivitet og $RI_{EC}(j)$ for elektrisk energiforbrug bestemmes i henhold til proceduren i punkt 1.9 (undtagen punkt 1.9.1) og 1.10 i dette tillæg, hvor CO_2 i formlerne erstattes af henholdsvis FE og EC.

2. Kun for niveau 1B og de første 3 faser af en WLTP-prøvning på niveau 2:

Forud for anvendelsen af de afledte indkøringsfaktorer for brændstofeffektivitet skal fabrikanten fremlægge følgende oplysninger for den kompetente myndighed:

a) dokumentation for den bestemte indkøringsfaktor, herunder den statistiske signifikans af kurvens hældning

b) en forklaring af den valideringsmetode, som skal anvendes efter produktionsstarten, f.eks. måling af indkøringsfaktoren fra udvalgte køretøjer fra anlægget efterfulgt af en vurdering af, om indkøringsfaktoren er hensigtsmæssig eller ej.

Tillæg 4

Produktionens overensstemmelse ved type 4-prøvning

1. Som alternativ til gennemførelsen af type 4-prøvning, jf. bilag C3, kan indehaveren af standardtypegodkendelsen ved den afsluttende rutinemæssige produktionskontrol påvise produktionens overensstemmelse ved at udtage køretøjer til stikprøvekontrol, som skal opfylde forskrifterne i punkt 2 til 4 i dette tillæg.

1.1. For køretøjer med et forseglet brændstofbeholdersystem kan der efter fabrikantens anmodning og efter aftale med den kompetente myndighed anvendes alternative procedurer i henhold til punkt 2.-4. i dette tillæg.

1.2. Hvis fabrikanten vælger at anvende en alternativ procedure, skal alle detaljer i prøvningsproceduren registreres i typegodkendelsesdokumentationen.

2. Tæthedsprøvning

2.1. Emissionsbegrænsningssystemets ventilationskanaler til atmosfæren isoleres.

2.2. Brændstofsystemet sættes under et tryk på 3,70 kPa ± 0,10 kPa. Efter fabrikantens anmodning og med den kompetente myndigheds godkendelse kan der også anvendes et alternativt tryk under hensyntagen til brændstofsystemets konstruktionsbestemte tryk.

2.3. Trykket stabiliseres, inden brændstofsystemet isoleres fra trykkilden.

2.4. Efter isolering af brændstofsystemet må trykket ikke falde med mere end 0,50 kPa på fem minutter.

2.5. Efter fabrikantens anmodning og efter aftale med den kompetente myndighed kan funktionen for lækage påvises ved en ækvivalent alternativ metode.

3. Ventilationsprøvning

3.1. Emissionsbegrænsningssystemets ventilationskanaler til atmosfæren isoleres.

3.2. Brændstofsystemet sættes under et tryk på 3,70 kPa ± 0,10 kPa. Efter fabrikantens anmodning og med den kompetente myndigheds godkendelse kan der også anvendes et alternativt tryk under hensyntagen til det trykinterval, der anvendes i brændstofsystemet.

3.3. Trykket stabiliseres, inden brændstofsystemet isoleres fra trykkilden.

3.4. Emissionsbegrænsningssystemets ventilationskanaler til atmosfæren bringes på ny til at virke på normal måde.

3.5. Brændstofsystemets tryk skal inden for et minut falde til under et tryk, som er lavere end 2,5 kPa over det omgivende tryk.

3.6. Efter fabrikantens anmodning og efter aftale med den kompetente myndighed kan den funktionelle ventilationskapacitet påvises, hvis det er relevant, ved en ækvivalent alternativ metode. I så fald kan de tryk og tider, der er anført i punkt 3.2 og 3.5, tilpasses for at tage hensyn til brændstofsystemets konstruktionsparametre.

4. Udluftningsprøvning

4.1. Apparatur til måling af en luftgennemstrømningshastighed på 1,0 l/min. tilsluttes udluftningsindgangsstudsen, og en trykbeholder med tilstrækkelig kapacitet til at have en målelig virkning på udluftningssystemet tilsluttes udluftningsindgangsstudsen via en omskifter, eller

4.2. fabrikanten kan benytte en strømningsmåler efter eget valg, hvis dette kan accepteres af den kompetente myndighed.

4.3. Køretøjet køres på en sådan måde, at konstruktionsbetingede begrænsninger i udluftningssystemets effektivitet afsløres, og omstændighederne i forbindelse hermed noteres.

4.4. Mens motoren kører på den i punkt 4.3 i dette tillæg beskrevne måde, bestemmes luftstrømningshastigheden ved enten:

4.4.1. at tilslutte det i punkt 4.1 i dette tillæg beskrevne apparatur. Det observeres, om der indtræffer en tryksænkning fra atmosfærisk tryk til et niveau, der angiver, at 1,0 l luft er strømmet ind i fordampningsemissionsbegrænsningssystemet på et minut. eller

4.4.2. ved at aflæse en luftstrømningshastighed på mindst 1,0 l/min., hvis der benyttes et andet flowmeter.

4.4.3. Efter fabrikantens anmodning og efter aftale med den kompetente myndighed kan der anvendes en ligeværdig alternativ udluftningsprocedure.

Tillæg 5

Anordninger til ombordovervågning af forbruget af brændstof og/eller elektrisk energi

Dette tillæg gælder ikke for niveau 1C

1. Indledning

I dette tillæg fastsættes definitioner af og krav til udstyr på køretøjerne til ombordovervågning af forbruget af brændstof og/eller elektrisk energi.

2. Definitioner

Ud over definitionerne i punkt 3 i dette regulativ finder følgende definitioner anvendelse.

2.1. "*Anordning til ombordovervågning af brændstof- og/eller energiforbrug*" ("OBFCM-anordning"): ethvert konstruktionselement, software eller hardware, der registrerer og anvender parametre fra køretøjer, motorer, brændstof og/eller elektrisk energi til bestemmelse og tilrådighedsstillelse af mindst de oplysninger, der er fastsat i punkt 3 i dette tillæg, og lagring af disse oplysninger indsamlet over hele køretøjets levetid om bord på køretøjet.

2.2. "*Oplysninger indsamlet over køretøjets levetid*": kvantitativ værdi bestemt og lagret på tidspunktet *t*, kumuleret siden køretøjet blev færdigproduceret og indtil tidspunktet *t*.

2.3. "*Brændstoffets strømningshastighed (motor)*": den brændstofmængde, der injiceres i motoren pr. tidsenhed. Dette omfatter ikke brændstof injiceret direkte i den forureningsbegrænsende anordning.

2.4. "*Brændstoffets strømningshastighed (køretøj)*": den brændstofmængde, der injiceres i motoren og direkte i den forureningsbegrænsende enhed pr. tidsenhed. Dette omfatter ikke brændstof, der anvendes til rumopvarmning.

2.5. "*Samlet brændstofforbrug (levetid)*": den kumulerede mængde brændstof injiceret i motoren og den beregnede mængde brændstof injiceret direkte i den forureningsbegrænsende anordning. Dette omfatter ikke brændstof, der anvendes til rumopvarmning.

2.6. "*Samlet tilbagelagt afstand (levetid)*": den kumulerede tilbagelagte afstand indhentet fra samme datakilde som den, der anvendes af køretøjets kilometertæller.

2.7 "*Samlet netenergi ind i batteriet (levetid)*": den beregnede akkumulerede elektriske energi, der strømmer til køretøjets batteri, når det er forbundet med en ekstern strømforsyning, og motoren er slukket. Dette omfatter ikke strømtab mellem den eksterne strømforsyning og batteriet.

2.8. "*Ladningsbevarende drift*": for OVC-HEV'er, køretøjets drifttilstand, idet REESS-systemets ladningstilstand (SOC) kan fluktuere, men køretøjets kontrolsystem tilstræber at opretholde den aktuelle ladningstilstand.

2.9. "*Ladningsforbrugende drift*": for OVC-HEV'er, køretøjets driftstilstand, når den aktuelle REESS-SOC er højere end den ladningsbevarende mål-SOC-værdi, idet denne kan fluktuere, men køretøjets kontrolsystem tilstræber at nedbringe SOC'en fra et højere niveau til den ladningsbevarende mål-SOC-værdi.

2.10. "*Førervalgt ladningsforøgende drift*": for OVC-HEV'er, den driftstilstand, hvor føreren har valgt en funtionsmåde med det formål at øge REESS-systemets SOC.

2.11. "*Samlet netenergi til køretøjet (levetid)*": akkumulering af den elektriske energi, der strømmer ind i køretøjet fra en ekstern strømforsyning, der er forbundet via enhver opladningsgrænseflade, som køretøjet er udstyret med.

2.12. "*Samlet netenergi til køretøjet fra ekstern AC-ladning (levetid)*": akkumulering af den elektriske energi, der strømmer ind i køretøjet fra en ekstern AC-strømforsyning, der er forbundet via enhver opladningsgrænseflade, som køretøjet er udstyret med.

2.13. "*Fuld opladningshændelse*": fuld opladning af batteriet, efter at afbrydelseskriteriet er opfyldt, indtil kriteriet for afslutning af opladning er opfyldt, som fastsat i type 1-prøvningsproceduren.

2.14. "*Samlet gasformigt brændstofforbrug (levetid)*": den kumulerede mængde brændstof injiceret i motoren og den beregnede mængde brændstof injiceret direkte i den forureningsbegrænsende anordning, angivet i kg. Dette omfatter ikke brændstof, der anvendes til rumopvarmning.

2.15. "*Samlet brændselscellebrændstofforbrug (levetid)*": akkumulering af den beregnede mængde brændstof, der indsprøjtes i brændselscellen, angivet i kg.

2.16. "*Energiforbrugshastighed*": den energimængde, der anvendes til fremdrift pr. tidsenhed.

2.17. "*Køretøjets identifikationsnummer*": køretøjets identifikationsnummer (VIN) som foreskrevet i ISO 3779, chassisnummer eller tilsvarende.

2.18. "*Status for oplysninger indsamlet over køretøjets levetid*": status "0", hvor levetidsværdier bevares som angivet i punkt 5.2, og status "1", hvor levetidsværdier ikke længere bevares som angivet i punkt 5.5.

3. Informationer, der skal fastlægges, opbevares og stilles til rådighed

OBFCM-anordningen fastlægger mindst følgende parametre og opbevarer disse over køretøjets levetid om bord på køretøjet. Parametrene beregnes og skaleres i overensstemmelse med de standarder, der er omhandlet i stk. 6.5.3.2, litra a), e), f) eller g) i tillæg 1 til bilag C5, og stilles til rådighed som signaler gennem den serielle port, der er omhandlet i punkt 6.5.3.2, litra c) i tillæg 1 til bilag C5.

3.1. For rene ICE'er og NOVC-HEV'er, der udelukkende drives af mineralsk diesel, biodiesel, benzin, ethanol eller enhver kombination af disse brændstoffer, og for niveau 1B og niveau 2 kun LPG:

a) Samlet brændstofforbrug (levetid) (liter)

b) Samlet tilbagelagt afstand (levetid) (km)

c) Brændstoffets strømningshastighed (motor) (g/s)

d) Brændstoffets strømningshastighed (motor) (liter/time)

e) Brændstoffets strømningshastighed (køretøj) (g/s)

f) Køretøjets hastighed (km/h)

g) Status for oplysninger indsamlet over køretøjets levetid

Kun niveau 1B og niveau 2:

h) Køretøjets identifikationsnummer

3.2. For OVC-HEV'er:

a) Samlet brændstofforbrug (levetid) (liter)

b) Samlet brændstofforbrug i ladningsforbrugende drift (levetid) (liter)

c) Samlet brændstofforbrug i førervalgt ladningsforøgende drift (levetid) (liter)

d) Samlet tilbagelagt afstand (levetid) (km)

e) Samlet tilbagelagt distance i ladningsforbrugende drift med motoren slukket (levetid) (kilometer)

f) Samlet tilbagelagt distance i ladningsforbrugende drift med motoren kørende (levetid) (kilometer)

g) Samlet tilbagelagt distance i førervalgt ladningsforøgende drift (levetid) (kilometer)

h) Brændstoffets strømningshastighed (motor) (g/s)

i) Brændstoffets strømningshastighed (motor) (liter/time)

j) Brændstoffets strømningshastighed (køretøj) (g/s)

k) Køretøjets hastighed (km/h)

l) Samlet netenergi til batteriet (levetid) (kWh).

m) Samlet energiafladning i V2X (levetid, hvis relevant) (kWh)

n) Samlet energiafladning til ikke-drivkraftsformål (levetid, hvis relevant) (kWh)

o) Status for oplysninger indsamlet over køretøjets levetid

Kun niveau 1A og niveau 2:

p) Samlet netenergi til køretøjet (levetid) (kWh).

q) Samlet netenergi til køretøjet fra ekstern AC-ladning (levetid) (kWh).

Kun niveau 1B og niveau 2:

r) Energiforbrugshastighed (Wh/s)

s) Køretøjets identifikationsnummer

3.3. For PEV'er:

a) Samlet tilbagelagt afstand (levetid) (km)

b) Samlet netenergi til batteriet (levetid) (kWh).

c) Køretøjets hastighed (km/h)

d) REESS-strømstyrke (A)

e) REESS-spænding (V)

f) Ladningstilstand for REESS-system (%)

g) Samlet energiafladning i V2X (levetid, hvis relevant) (kWh)

h) Samlet energiafladning til ikke-drivkraftsformål (levetid, hvis relevant) (kWh)

i) Status for oplysninger indsamlet over køretøjets levetid

Kun niveau 1A og niveau 2:

j) Samlet netenergi til køretøjet (levetid) (kWh).

k) Samlet netenergi til køretøjet fra ekstern AC-ladning (levetid) (kWh).

Kun niveau 1B og niveau 2:

l) Energiforbrugshastighed (Wh/s)

m) Køretøjets identifikationsnummer

3.4. Dette punkt finder kun anvendelse på niveau 1B og niveau 2

For NOVC-FCHV'er:

a) Samlet brændstofforbrug (levetid) (kg)

b) Samlet tilbagelagt afstand (levetid) (km)

c) Brændstoffets strømningshastighed (køretøj) (g/s)

d) Køretøjets hastighed (km/h)

e) Køretøjets identifikationsnummer

f) Status for oplysninger indsamlet over køretøjets levetid

3.5. Dette punkt finder kun anvendelse på niveau 1B og niveau 2

for OVC-FCHV'er:

a) Samlet brændstofforbrug (levetid) (kg)

b) Samlet tilbagelagt afstand (levetid) (km)

c) Samlet netenergi til batteriet (levetid) (kWh).

d) Brændstoffets strømningshastighed (køretøj) (g/s)

e) Køretøjets hastighed (km/h)

f) Energiforbrugshastighed (Wh/s)

g) Energikapacitet (levetid) (kWh)

h) Samlet energiafladning i V2X (levetid) (kWh)

i) Køretøjets identifikationsnummer

j) Status for oplysninger indsamlet over køretøjets levetid

3.6. Dette punkt finder kun anvendelse på niveau 1B og niveau 2

For gasdrevene mono-brændstofkøretøjer (undtagen LPG og hydrogen):

a) Samlet gasformigt brændstofforbrug (levetid) (kg)

b) Samlet tilbagelagt afstand (levetid) (km)

c) Brændstoffets strømningshastighed (motor) (g/s)

d) Brændstoffets strømningshastighed (køretøj) (g/s)

e) Køretøjets hastighed (km/h)

f) Køretøjets identifikationsnummer

g) Status for oplysninger indsamlet over køretøjets levetid

4. Nøjagtighed

4.1. Med hensyn til de oplysninger, der er omhandlet i punkt 3, skal fabrikanten sikre, at OBFCM-anordningen giver den mest nøjagtige værdier, der kan opnås ved måling og beregning af motorstyreenheden.

4.2. Uanset punkt 4.1 skal fabrikanten sikre, at nøjagtigheden er højere end - 0,05 og lavere end 0,05 beregnet med tre decimaler ved hjælp af følgende formel:

For rene ICE'er og NOVC-HEV'er, der udelukkende drives af mineralsk diesel, biodiesel, benzin, ethanol eller enhver kombination af disse brændstoffer, for OVC-HEV'er og for LPG:

(For LPG finder dette punkt kun anvendelse på niveau 1B og niveau 2)

$$\text{Accuracy} = \frac{\text{Fuel_Consumed}_{\text{WLTP}} - \text{Fuel_Consumed}_{\text{OBFCM}}}{\text{Fuel_Consumed}_{\text{WLTP}}}$$

Hvor:

$\text{Fuel_Consumed}_{\text{WLTP}}$ (liter)	er brændstofforbruget bestemt ved den første prøvning, der er gennemført i henhold til punkt 1.2 i bilag 6, beregnet i henhold til punkt 6 i bilag B7 ved hjælp af emissionsresultater over den samlede cyklus inden anvendelse af korrektioner (output fra trin 2 i tabel A7/1 i bilag B7), multipliceret med den faktiske kørte distance og divideret med 100. For OVC-HEV'er anvendes den ladningsbevarende type 1-prøvning.
$\text{Fuel_Consumed}_{\text{OBFCM}}$ (liter)	er brændstofforbruget, bestemt for samme prøvning ved anvendelse af diffenrentialerne for parameteren "Samlet brændstofforbrug (levetid)" leveret af OBFCM-anordningen.

For OVC-HEV'er anvendes den ladningsbevarende type 1-prøvning.

For PEV'er og OVC-HEV'er:

(For PEV'er og OVC-HEV'er finder dette punkt kun anvendelse på niveau 1A og niveau 2)

$$Accuracy = \frac{Køretøj_energy_charged_{REESS\ charging} - Vehicle_energy_charged_{OBFCM}}{Køretøj_energy_charged_{REESS\ charging}}$$

hvor

$\text{Vehicle_energy_charged}_{\text{REESS_charging}}$ (kWh)	er den samlede energi ved måling på den fulde opladningshændelse ved type 1-prøvning i henhold til punkt 3.4.4.3 i bilag B8.
$\text{Vehicle_energy_charged}_{\text{OBFCM}}$ (kWh)	er den samlede energi som forskelsværdien i "Samlet elektrisk energi til køretøjet (levetid) (kWh)" for samme fulde opladningshændelse.

4.2.1. Hvis nøjagtighedskravene i punkt 4.2 ikke er opfyldt, genberegnes nøjagtigheden for efterfølgende type 1-prøvninger, der udføres i overensstemmelse med punkt 1.2 i bilag B6 i overensstemmelse med formlerne i punkt 4.2 ved anvendelse af:

— For niveau 1B: brændstofforbruget som bestemt og kumuleret over alle udførte prøvninger

— Niveau 1A og niveau 2: brændstofforbruget og/eller køretøjets opladte energi (alt efter hvad der er relevant) som bestemt og kumuleret over alle udførte prøvninger

Nøjagtighedskravet anses for opfyldt, når nøjagtigheden er højere end - 0,05 og lavere end 0,05.

4.2.2. Hvis nøjagtighedskravene i punkt 4.2.1 ikke er opfyldt ved efterfølgende prøvninger i henhold til dette punkt, kan der udføres yderligere prøvninger med henblik på at fastlægge nøjagtigheden; det samlede antal prøvninger må dog ikke overstige tre prøvninger for et køretøj, der prøves uden brug af interpolationsmetoden (køretøj H), og seks prøvninger, der prøves ved hjælp af interpolationsmetoden (tre prøvninger for køretøj H og tre prøvninger for køretøj L). Nøjagtigheden skal genberegnes for de supplerende efterfølgende type 1-prøvninger i overensstemmelse med formlerne i punkt 4.2 ved hjælp af:

— For niveau 1B: brændstofforbruget som bestemt og kumuleret over alle udførte prøvninger

— Niveau 1A og niveau 2: brændstofforbruget og/eller køretøjets opladte energi (alt efter hvad der er relevant) som bestemt og kumuleret over alle udførte prøvninger.

Kravet anses for opfyldt, når nøjagtigheden er højere end - 0,05 og lavere end 0,05. Hvis prøvningen er udført kun med henblik på fastsættelse af nøjagtigheden af OBFCM-anordningen, må resultaterne af de supplerende prøvninger ikke anvendes til andre formål.

5. Adgang til informationer fra OBFCM-anordningen

5.1. OBFCM-anordningen skal give standardiseret og ubegrænset adgang til informationerne i punkt 3. og skal være i overensstemmelse med de standarder, der er omhandlet i punkt 6.5.3.1, litra a), og 6.5.3.2, litra a), e), f) eller g) i tillæg 1 til bilag C5.

5.2. Som undtagelse fra nulstillingsbetingelserne, der er specificeret i de standarder, der er omhandlet i punkt 5.1, og uanset kravene i punkt 5.4., skal værdierne i levetidstællerne bevares, når køretøjet er taget i brug.

5.3. Værdierne i levetidstællerne kan kun nulstilles for de køretøjer, for hvilke motorstyreenhedens hukommelsestype er ude af stand til at bevare data, når de ikke er strømforsynede. For disse køretøjer kan værdierne kun nulstilles samtidigt, når batteriet er frakoblet køretøjet.

5.4. I tilfælde af funktionsfejl, der påvirker værdierne i levetidstællerne eller ved udskiftning af motorstyreenheden, kan tællerne nulstilles samtidigt for at sikre, at værdierne forbliver fuldt ud synkroniserede.

5.5. I tilfælde, hvor oplysningerne indsamlet over køretøjets levetid ikke længere bevares uanset bestemmelserne i punkt 5.2, registreres det i den relevante styreenhed, at de ikke længere bevares, og den pågældende registrering skal ikke kunne slettes nemt.

5.6. Dette punkt finder kun anvendelse på niveau 1B og niveau 2

Fabrikanterne skal sørge for funktioner, der afskrækker fra ændring af de indbyggede anordninger til måling af brændstof- og effektforbrug udover de ændringer, der er godkendt af fabrikanten. Fabrikanterne skal tillade ændringer, når sådanne ændringer er nødvendige af hensyn til diagnosticering, vedligeholdelse, syn, eftermontering eller reparation af køretøjer. Udtagelige kalibreringschips skal være indkapslet, anbragt i forseglet beholder eller beskyttet ved elektroniske algoritmer og må ikke kunne modificeres uden brug af specialværktøj eller -procedurer. Køretøjsfabrikanter, der anvender programmerbare computerkodesystemer såsom elektrisk sletbar og programmerbar skrivebeskyttet hukommelse, EEPROMs osv., skal afskrække fra uautoriseret omprogrammering. Bilfabrikanterne skal benytte strategier til robust sikring og skrivebeskyttelse, som kræver elektronisk adgang til en ekstern computer, der drives af fabrikanten.

Tillæg 6

Forskrifter for køretøjer, der anvender en reagens i systemet til efterbehandling af udstødningen

1. Dette tillæg beskriver kravene til køretøjer, der anvender en reagens i efterbehandlingssystemet for at reducere emissioner. Enhver henvisning i dette tillæg til "reagensbeholder" skal forstås således, at den også finder anvendelse på andre beholdere, hvori en reagens opbevares.

Kun niveau 1A og niveau 2 (fase 4 WLTP):

Fabrikanten skal med henblik på typegodkendelse forelægge den godkendende myndighed en underskrevet overensstemmelseserklæring med reagenskravene. Ved typegodkendelsen erstatter denne overensstemmelseserklæring prøvningskravene i henhold til dette tillæg.

En skabelon til fabrikantens erklæring om overensstemmelse med reagenskravene findes i tillæg 1 i bilag A2.

1.1. Reagensbeholderens kapacitet skal være således, at en fuld reagensbeholderen ikke behøver påfyldning over en gennemsnitlig køreautonomi svarende til 5 fulde brændstofbeholdere, hvis der let kan ske påfyldning af reagensbeholderen (f.eks. uden brug af værktøj og uden at fjerne køretøjets indtræk. Åbning af den indvendige klap, der giver adgang til supplering af reagensen, skal ikke forstås som krævende fjernelse af indtræk). Hvis reagensbeholderen ikke anses for at være let at genopfylde som beskrevet ovenfor, skal den mindste reagensbeholderkapacitet mindst svare til en gennemsnitlig kørselsdistance svarende til 15 fulde brændstofbeholdere. For så vidt angår muligheden i punkt 3.5, hvis fabrikanten vælger at starte advarselssystemet i en afstand, som ikke kan være mindre end 2 400 km, før reagensbeholderen er tom, finder ovenstående restriktioner om minimal reagensbeholderkapacitet imidlertid ikke anvendelse.

1.2. I dette tillæg skal udtrykket "gennemsnitlig kørselsdistance" forstås som afledt af brændstof- eller reagensforbruget under type 1-prøvning af kørselsdistancen for henholdsvis en brændstofbeholder og en reagensbeholder.

2. Reagensangivelse

2.1. Køretøjet skal være udstyret med en specifik angivelse på instrumentbrættet, der informerer føreren, når reagensniveauet er under de tærskelværdier, der er fastsat i punkt 3.5.

3. Føreradvarselssystem

3.1. Køretøjet skal være udstyret med et advarselssystem bestående af visuelle alarmer, der informerer føreren, når der konstateres forandringer i reagensdoseringen, f.eks. er reagensniveauet lavt, når emissionerne er for høje, og reagensdoseringen afbrydes, eller reagensen er ikke er af den kvalitet, der foreskrives af fabrikanten. Advarselssystemet kan også omfatte en akustisk komponent for at advare føreren.

3.2. Advarselssystemets signaler skal stige i intensitet, efterhånden som reagensbeholderen nærmer sig tom tilstand. Det skal kulminere med en angivelse til føreren, der ikke nemt kan fjernes eller ignoreres. Det må ikke være muligt at afbryde systemet, før der er sket påfyldning af reagensbeholderen.

3.3. Den visuelle advarsel skal bestå af en meddelelse om lavt reagensniveau. Advarslen må ikke være den samme som til OBD-formål eller anden motorvedligeholdelse. Advarslen skal være tilstrækkelig tydelig til, at føreren forstår, at reagensniveauet er lavt (f.eks. "lavt urea-niveau", "lavt AdBlue-niveau" eller "lavt reagensniveau").

3.4. Advarselssystemet behøver ikke i starten at være kontinuerligt aktiveret, men advarslen skal stige i intensitet, således at den er konstant aktiveret, efterhånden som reagensniveauet nærmer sig det punkt, hvor føreranspo-ringssystemet i punkt 8 aktiveres. En udtrykkelig advarsel skal vises (f.eks. "påfyld urea", "påfyld AdBlue" eller "påfyld reagens"). Systemet for kontinuerlig advarsel kan afbrydes midlertidigt af andre advarselssignaler, der giver vigtige sikkerhedsrelaterede meddelelser.

3.5. Advarselssystemet skal aktiveres ved en afstand svarende til en køreautonomi på mindst 2 400 km, før reagensbeholderen er tom, eller efter fabrikantens valg senest, når niveauet i reagensbeholderen når et af følgende niveauer:

a) et niveau, som forventes at være tilstrækkeligt til en køreautonomi på 150 % af gennemsnitlig køreautonomi med en fuld brændstofbeholder eller

b) 10 % af reagensbeholderens kapacitet

alt efter hvad der indtræffer først.

4. Identifikation af ukorrekt reagens

4.1. Køretøjet skal være udstyret med en anordning til bestemmelse af, om det er forsynet med en reagens, der opfylder de specifikationer, der er fastsat af fabrikanten og angivet i bilag A1.

4.2. Hvis reagensen i beholderen ikke opfylder de minimumskrav, der er fastsat af fabrikanten, skal føreradvarsels-systemet i punkt 3 aktiveres og vise en meddelelse med en passende advarsel (f.eks. "ukorrekt urea detekteret", "ukorrekt AdBlue detekteret" eller "ukorrekt reagens detekteret"). Hvis reagenskvaliteten ikke korrigeres inden for de næste 50 km med aktiveret advarselssystem, finder kravene til føreransporing i punkt 8 anvendelse.

5. Overvågning af reagensforbrug

5.1. Køretøjet skal være forsynet med en anordning til bestemmelse af reagensforbruget og til ekstern adgang til forbrugsinformationer.

5.2. Oplysningerne om det gennemsnitlige reagensforbrug og det for motorsystemet gennemsnitlige nødvendige reagensforbrug skal være tilgængelige via standarddatastikkets serielle port. Oplysningerne skal være tilgængelige for de sidste 2 400 km, som køretøjet har tilbagelagt.

5.3. For at overvåge reagensforbruget skal mindst følgende parametre i køretøjet overvåges:

a) reagensniveauet i køretøjets beholder og

b) reagensstrømmen eller reagensindsprøjtningen så tæt som det er teknisk muligt på det sted, hvor reagensen indsprøjtes i systemet til efterbehandling af udstødningsemissioner.

5.4. En afvigelse på mere end 50 % mellem det gennemsnitlige reagensforbrug og det for motorsystemet gennemsnitligt nødvendige reagensforbrug over en periode på 30 minutters kørsel skal medføre aktivering af føreradvarselssystemet i punkt 3, der skal vise en meddelelse med en passende advarsel (f.eks. "funktionsfejl i urea-dosering", "funktionsfejl i AdBlue-dosering" eller "funktionsfejl i reagensdosering"). Hvis reagensforbruget ikke korrigeres inden for de næste 50 km med aktiveret advarselssystem, finder kravene til føreransporing i punkt 8 anvendelse.

5.5. Føreradvarselssystemet i punkt 3 skal aktiveres, hvis der er sket en afbrydelse af reagensdoseringsaktiviteten, og det skal vise en meddelelse med en passende advarsel. Hvis afbrydelse af reagensdoseringen initieres af motorsystemet, fordi motorens driftsbetingelser er af en sådan art, at motorens emission ikke kræver reagensdosering, kan aktivering af føreradvarselssystemet som omhandlet i punkt 3 udelades, forudsat at fabrikanten klart har oplyst den godkendende myndighed om, hvornår sådanne driftsbetingelser finder anvendelse. Hvis reagensdoseringen ikke korrigeres inden for de næste 50 km med aktiveret advarselssystem, finder kravene til føreransporing i punkt 8 anvendelse.

6. Overvågning af NOx-emissioner

6.1. Som alternativ til overvågningskravene i punkt 4 og 5 kan fabrikanter anvende udstødningsgassensorer direkte til at detektere for store niveauer af NOx i udstødningen.

6.2. Fabrikanten skal påvise, at anvendelse af de sensorer, der er omhandlet i punkt 6.1, og andre sensorer i køretøjet resulterer i aktivering af det i punkt 3 omhandlede føreradvarselssystem, visning af en meddelelse med en passende advarsel (f.eks. "for høje emissioner — kontroller urea", "for høje emissioner — kontroller AdBlue", "for høje emissioner — kontroller reagens") og føreransporingssystemet som omhandlet i punkt 8.3 nedenfor, når situationerne i punkt 4.2, 5.4 eller 5.5 ovenfor indtræder.

For så vidt angår dette punkt, antages disse situationer at optræde, hvis den gældende OBD-grænseværdi for NOx i tabel 4 i punkt 6.8.2. er overskredet.

NOx-emissionerne ved prøvningen for overensstemmelse med disse krav må højst være 20 % højere end OBD-grænseværdierne.

7. Lagring af fejlinformationer

7.1. Når der henvises til dette punkt, skal ikke-sletbare parameteridentifikatorer (PID) lagres med angivelse af årsagen til aktivering af føreransporingssystemet og af den afstand, som køretøjet har tilbagelagt, mens føreransporingssystemet har været aktiveret. Køretøjet skal opbevare et register over parameteridentifikatorerne i mindst 800 dage eller 30 000 km køretøjsdrift. PID-oplysningerne skal være tilgængelige via standarddatastikkets serielle port, når et generisk scanningsværktøj anmoder herom, jf. bestemmelserne i punkt 6.5.3.1. i tillæg 1 til bilag C5. Oplysningerne i PID-registret skal være koblet til den kumulerede køretøjsdriftsperiode, hvori de indtrådte, med en nøjagtighed på mindst 300 dage eller 10 000 km.

7.2. Funktionsfejl i reagensdoseringssystemet, der skyldes tekniske fejl (f.eks. mekaniske eller elektriske fejl), er ligeledes omfattet af OBD-kravene i punkt 6.8. i dette regulativ og bilag C5.

8. Føreransporingssystem

8.1. Køretøjet skal være udstyret med et føreransporingssystem for at sikre, at køretøjets emissionsbegrænsningssystem fungerer korrekt hele tiden. Ansporingssystemet skal være udformet således, at det forhindrer køretøjet i at køre med en tom reagensbeholder.

8.1.1. Kravet om et føreransporingssystem finder ikke anvendelse på køretøjer, der er konstrueret og fremstillet til anvendelse af redningstjenester, de væbnede styrker, beredskabet, brandvæsenet og ordensmagten. Permanent deaktivering af føreransporingssystemet til disse køretøjer må kun foretages af køretøjsfabrikanten.

8.2. Ansporingssystemet skal senest aktiveres, når niveauet i reagensbeholderen når:

a) Hvis advarselssystemet er blevet aktiveret mindst 2 400 km, før reagensbeholderen forventedes tom, et niveau, som forventes at være tilstrækkeligt til en gennemsnitlig køreautonomi for køretøjet med en fuld brændstofbeholder.

b) Hvis advarselssystemet er blevet aktiveret på niveauet beskrevet i punkt 3.5. a), et niveau, som forventes at være tilstrækkeligt til 75 % af en gennemsnitlig køreautonomi for køretøjet med en fuld brændstofbeholder

c) Hvis advarselssystemet er blevet aktiveret på det niveau, der er beskrevet i punkt 3.5. b), 5 % af reagensbeholderens kapacitet.

d) Hvis advarselssystemet er blevet aktiveret forud for niveauerne som beskrevet både i punkt 3.5. a) og punkt 3.5. b), men mindre end 2 400 km, før reagensbeholderen er tom, det niveau, som er beskrevet i litra b) eller c) i dette punkt, som indtræffer først.

Når alternativet beskrevet i punkt 6.1 anvendes, skal systemet aktiveres, når de uregelmæssigheder, der er beskrevet i punkt 4 eller 5 eller NOx-niveauerne som beskrevet i punkt 6.2 har fundet sted.

Hvis der detekteres en tom reagensbeholder og de uregelmæssigheder, der er nævnt i punkt 4, 5 eller 6, finder kravene i punkt 7 om lagring af informationer om funktionsfejl anvendelse.

8.3. Fabrikanten vælger den type føreransporingssystem, der skal installeres. De forskellige muligheder er beskrevet nedenfor i punkt 8.3.1, 8.3.2, 8.3.3 og 8.3.4 (alt efter hvad der er relevant).

8.3.1. Et system baseret på princippet om "ingen motorstart efter nedtælling" (no engine restart after countdown) gør det muligt at foretage nedtælling af motorstartforsøg eller resterende afstand, når ansporingssystemet er blevet aktiveret. Motorstart, som køretøjets kontrolsystem foranlediger, herunder start-stop-systemer, er ikke omfattet af denne nedtælling.

8.3.1.1. Hvis advarselssystemet blev aktiveret mindst 2 400 km, før reagensbeholderen forventedes at blive tom, eller de uregelmæssigheder, der er beskrevet i punkt 4 eller 5, eller NOx-niveauerne som beskrevet i punkt 6.2 har fundet sted, skal genstart af motoren forhindres umiddelbart efter, at køretøjet har kørt en distance, der formodes at svare til den gennemsnitlige køreautonomi for køretøjet med fuld brændstofbeholder siden aktivering af ansporingssystemet.

8.3.1.2. Hvis advarselssystemet blev aktiveret på det niveau, der er beskrevet i punkt 8.2. b), skal genstart af motoren forhindres umiddelbart efter, at køretøjet har kørt en distance, der formodes at svare til 75 % af den gennemsnitlige køreautonomi for køretøjet med fuld brændstofbeholder siden aktivering af ansporingssystemet.

8.3.1.3. Hvis advarselssystemet blev aktiveret på det niveau, der er beskrevet i punkt 8.2. c), skal genstart af motoren forhindres umiddelbart efter, at køretøjet har kørt en distance, der formodes at svare til den gennemsnitlige køreautonomi for køretøjet med 5 % af reagensbeholderens kapacitet siden aktivering af ansporingssystemet.

8.3.1.4. Desuden skal genstart af motoren forhindres umiddelbart efter, at reagensbeholderen bliver tom, hvis en sådan situation skulle opstå tidligere end de situationer, der er omhandlet i punkt 8.3.1.1, 8.3.1.2 eller 8.3.1.3.

8.3.2. Et system baseret på princippet om "ingen motorstart efter påfyldning af brændstof" (no start after refuelling) medfører, at køretøjet ikke er i stand til at starte efter påfyldning af brændstof, hvis ansporingssystemet har været aktiveret.

8.3.3. Et system baseret på princippet om "brændstofpåfyldningsblokering" (fuel-lockout) forhindrer køretøjet i at blive påfyldt ved at låse brændstofpåfyldningsanordningen efter ansporingssystemets aktivering. Blokeringssystemet skal være tilstrækkelig robust, således at det ikke kan manipuleres.

8.3.4. Dette punkt og underpunkter finder kun anvendelse på niveau 1A.

Et system baseret på princippet om "funktionsbegrænsning" (performance restriction) begrænser køretøjets hastighed efter ansporingssystemets aktivering. Hastighedsbegrænsningen skal være af et sådant omfang, at det bemærkes af føreren, og det skal nedsætte køretøjets maksimalhastighed væsentligt. En sådan begrænsning skal træde i kraft gradvist eller efter motorstart. Umiddelbart inden motorstart blokeres, må køretøjets hastighed ikke overstige 50 km/h.

8.3.4.1. Hvis advarselssystemet blev aktiveret mindst 2 400 km, før reagensbeholderen forventedes at blive tom, eller de uregelmæssigheder, der er beskrevet i punkt 4 eller 5, eller NOx-niveauerne som beskrevet i punkt 6.2 har fundet sted, skal genstart af motoren forhindres umiddelbart efter, at køretøjet har kørt en distance, der formodes at svare til den gennemsnitlige køreautonomi for køretøjet med fuld brændstofbeholder siden aktivering af ansporingssystemet.

8.3.4.2. Hvis advarselssystemet blev aktiveret på det niveau, der er beskrevet i punkt 8.2. b), skal genstart af motoren forhindres umiddelbart efter, at køretøjet har kørt en distance, der formodes at svare til 75 % af den gennemsnitlige køreautonomi for køretøjet med fuld brændstofbeholder siden aktivering af ansporingssystemet.

8.3.4.3. Hvis advarselssystemet blev aktiveret på det niveau, der er beskrevet i punkt 8.2. c), skal genstart af motoren forhindres umiddelbart efter, at køretøjet har kørt en distance, der formodes at svare til den gennemsnitlige køreautonomi for køretøjet med 5 % af reagensbeholderens kapacitet siden aktivering af ansporingssystemet.

8.3.4.4. Desuden skal genstart af motoren forhindres umiddelbart efter, at reagensbeholderen bliver tom, hvis en sådan situation skulle opstå tidligere end de situationer, der er omhandlet i punkt 8.3.4.1, 8.3.4.2 eller 8.3.4.3.

8.4. Når ansporingssystemet har forhindret motorstart, skal ansporingssystemet kun deaktiveres, hvis de uregelmæssigheder, der er nævnt i punkt 4, 5 eller 6 er blevet udbedret eller, hvis den mængde reagens, der påfyldes køretøjet, opfylder mindst ét af følgende kriterier:

a) forventes at være tilstrækkeligt til en køreautonomi på 150 % af gennemsnitlig køreautonomi med en fuld brændstofbeholder eller

b) mindst 10 % af reagensbeholderens kapacitet

Efter at en reparation til udbedring af en fejl, når OBD-systemet er blevet aktiveret i henhold til punkt 7.2, kan ansporingssystemet blive nulstillet via OBD-systemets serielle port (f.eks. ved hjælp af et generisk scanningsværktøj) for at gøre det muligt at starte køretøjet med henblik på OBD. Køretøjet skal køre højst 50 km for at give mulighed for at validere reparationen. Ansporingssystemet skal aktiveres fuldt ud igen, hvis fejl fortsat er til stede efter denne validering.

8.5. Føreradvarselssystemet i punkt 3 skal vise en meddelelse, der klart angiver:

a) antallet af resterende motorgenstartsforsøg og/eller den resterende afstand og

b) de forhold, under hvilke køretøjet kan genstartes.

8.6. Der skal på godkendelsestidspunktet fremlægges detaljerede skriftlige oplysninger for den typegodkendende myndighed, der på fyldestgørende vis beskriver føreransporingssystemets forskellige karakteristika.

8.7. Fabrikanten skal som led i ansøgningen om typegodkendelse i henhold til dette regulativ foretage en demonstration af føreradvarselssystemet og -ansporingssystemet.

9. Informationskrav

9.1. Fabrikanten skal give alle ejere af nye køretøjer klare skriftlige oplysninger om udstødningsefterbehandlingssystemer, der anvender en reagens. Det skal fremgå af disse oplysninger, at føreradvarselssystemet informerer føreren om et problem, hvis køretøjets udstødningsefterbehandlingssystem ikke fungerer korrekt, og at aktiveringen af føreransporingssystemet efterfølgende vil medføre, at køretøjet ikke kan startes.

9.2. Instruktionerne skal omfatte kravene til korrekt brug og vedligeholdelse af køretøjer, herunder korrekt brug af forbrugsreagenser.

9.3. Det skal i instruktionerne specificeres, hvis brugeren af køretøjet mellem normale serviceintervaller skal påfylde forbrugsreagenser. Det skal ligeledes fremgå, hvorledes reagensbeholderen skal påfyldes. Instruktionerne skal ligeledes omfatte en angivelse af det forventede reagensforbrug for den pågældende køretøjstype og en angivelse af, hvor ofte der skal ske påfyldning.

9.4. Det skal i instruktionerne specificeres, at det er obligatorisk at anvende og påfylde den nødvendige reagens med de korrekte egenskaber, for at køretøjet kan være i overensstemmelse med typeattesten.

9.5. Det skal fremgå af instruktionerne, at anvendelse af et køretøj, der ikke forbruger en reagens, selv om dette er påkrævet med henblik på emissionsbegrænsning, kan blive betragtet som en overtrædelse af straffeloven.

9.6. Det skal i instruktionerne beskrives, hvorledes føreradvarselssystemet og -ansporingssystemet fungerer. Konsekvenserne af at ignorere advarselssystemet og af at undlade at påfylde reagens skal ligeledes beskrives.

10. Efterbehandlingssystemets driftsbetingelser

Fabrikanterne skal sikre, at et udstødningsefterbehandlingssystem, der anvender en reagens, bevarer sine emissionsbegrænsende egenskaber under alle normale anvendelsesforhold, særlig ved lave omgivelsestemperaturer. Dette omfatter, at der skal træffes foranstaltninger til at forhindre fuldstændig frostdannelse i reagensen ved parkering i op til 7 dage ved 258 K (-15 °C) med en reagensbeholder, der er 50 % fuld. Hvis reagensen er frosset, skal fabrikanten sikre, at reagensen er flydende og klar til brug igen senest 20 minutter efter, at køretøjet er startet ved en temperatur på 258 K (–15 °C) målt i reagensbeholderen.

Bilag, del A

Typegodkendelseskravene og dokumentationen i del A i bilagene omfatter kravene til niveau 1A, niveau 1B, niveau 1C og niveau 2. Dette indebærer, at visse elementer måske ikke kræves for det godkendelsesniveau, der søges. I sådanne tilfælde kan elementer udelades.

Hvor det er relevant, indeholder typegodkendelseskravene og dokumentationen i bilag del A særskilte rapporteringstabeller/felter for resultaterne efter 3 faser og resultaterne efter 4 faser.

BILAG A1

Motorens og køretøjets specifikationer samt oplysninger om gennemførelse af prøvninger ("oplysningsskema")

Nedenstående oplysninger skal, i det omfang de er relevante, indsendes i tre eksemplarer og omfatte en indholdsfortegnelse.

Eventuelle tegninger skal være tilstrækkeligt detaljerede og have et passende målestoksforhold. De skal være i A4-format eller foldet til dette format. Eventuelle fotografier skal være tilstrækkeligt detaljerede.

Hvis systemer, komponenter eller separate tekniske enheder omfatter elektronisk styrede funktioner, anføres relevante funktionsspecifikationer.

Bemærk: punkterne i dette bilag er nogle steder ikke opført i nummerrækkefølge.

Det godkendelsesniveau, som ansøgningen omfatter (L1A, L1B, L1C, L2):	
0	GENERELT
0.1.	Fabriksmærke (firmabetegnelse): .....
0.2.	Type: .....
0.2.1.	Eventuel(le) handelsbetegnelse(r): .....
0.2.3.	Familieidentifikatorer (hvis det er relevant): .....
0.2.3.1.	Interpolationsfamilie: .....
0.2.3.2.	ATCT-familie(r): .....
0.2.3.4.	Køremodstandsfamilie
0.2.3.4.1.	Køremodstandsfamilie (VH): .....
0.2.3.4.2.	Køremodstandsfamilie (VL): .....
0.2.3.4.3.	Køremodstandsfamilier, der er anvendelige i interpolationsfamilien: .....
0.2.3.5.	Køremodstandsmatrixfamilie: .....
0.2.3.6.	Familie(r) vedrørende periodisk regenerering: .....
0.2.3.7.	Familie(r) vedrørende fordampningsprøvning: .....
0.2.3.8.	OBD-familie(r): .....
0.2.3.9.	Holdbarhedsfamilie(r): .....
0.2.3.10.	ER-familie(r): .....
0.2.3.11.	Familie af gasdrevne køretøjer: .....
0.2.3.12.	(Reserveret)
0.2.3.13.	K_{CO2}-korrektionsfaktorfamilie: .....
0.2.3.14.	Lavtemperaturfamilie: .....
0.2.3.15.	Familie for batteriets holdbarhed .....
0.2.3.15.1.	Overvågningsenhedsfamilie(r): .....
0.2.3.16.	Virtuel afstandsfamilie: .....
0.2.3.17.	Nedre trykgrænsefamilie for OVC-FCHV'er og NOVC-FCHV'er

0.2.4.	Andre familie(r): .....
0.4.	Køretøjets klasse (c): .....
0.5.	Fabrikantens navn og adresse: .....
0.8.	Navn og adresse på samlefabrik(ker): .....
0.9.	Navn og adresse på fabrikantens eventuelle repræsentant: .....
1.	ALMINDELIGE SPECIFIKATIONER
1.1.	Fotografier og/eller tegninger af repræsentativt køretøj/komponent/separat teknisk enhed (1):
1.3.3.	Drivaksler (antal, placering, indbyrdes forbindelse) .....
2.	MASSE OG DIMENSIONER ([l]) ([s]) ([7]) (i kg og mm) (Der henvises i givet fald til tegninger)
2.6.	Massen i køreklar stand ([h]) a) største og mindste for hver variant: .....
2.6.3.	Roterende masse: 3 % af summen af køretøjets masse i køreklar stand og 25 kg eller værdien, pr. aksel (kg): .....
2.8.	Største teknisk tilladte totalmasse som angivet af fabrikanten(i)(3): .....
3.	Fremdriftsenergiomdanner (k)
3.1.	Fabrikant af fremdriftsenergiomdanner(e): .....
3.1.1.	Fabrikationskode (som markeret på fremdriftsenergiomdanneren eller andet identifikationsmærke): .....
3.2.	Forbrændingsmotor
3.2.1.1.	Arbejdsprincip: styret tænding/kompressionstænding/dobbeltbrændstof(1) Arbejdsmåde: firtakts/totakts/rotation(1)
3.2.1.2.	Antal og arrangement af cylindre: .....
3.2.1.2.1.	Boring ([1]): ..... mm
3.2.1.2.2.	Slaglængde ([1]): ..... mm
3.2.1.2.3.	Tændingsrækkefølge: .....
3.2.1.3.	Motorkapacitet ([m]): .....cm^3
3.2.1.4.	Volumetrisk kompressionsforhold(2): .....
3.2.1.5.	Tegninger af forbrændingskammer, stempelkrone og, for motorer med styret tænding, stempelringe: .....
3.2.1.6.	Normal tomgangshastighed(2): .....min^{-1}
3.2.1.6.1.	Forhøjet tomgangshastighed(2): .....min^{-1}
3.2.1.8.	Motorens mærkeeffekt([n]): .....kW ved ..... min^{-1} (fabrikantens opgivne værdi)
3.2.1.9.	Højeste tilladte motorhastighed som foreskrevet af fabrikanten: .....min^{-1}
3.2.1.10.	Maksimalt nettodrejningsmoment(n): ..... Nm ved .....min^{-1} (fabrikantens opgivne værdi)
3.2.2.	Brændstof
3.2.2.1.	Diesel/benzin/LPG/NG eller biomethan/ethanol (E 85)/biodiesel/hydrogen ([1])

3.2.2.1.1.	Oktantal, blyfri: .....
3.2.2.4.	Køretøjets brændstoftype: monobrændstof, bi-brændstof, flex-brændstof(1)
3.2.2.5.	Maksimal mængde biobrændstof i brændstoffet (fabrikantens opgivne værdi): ..... % af brændstoffet
3.2.4.	Brændstoftilførsel
3.2.4.1.	Med karburator(er): ja/nej ([1])
3.2.4.2.	Ved brændstofindsprøjtning (kun kompressionstænding eller dobbeltbrændstof): ja/nej ([1])
3.2.4.2.1.	Beskrivelse af systemet (common rail/enhedsindsprøjtning/distributionspumpe m.v.). .....
3.2.4.2.2.	Arbejdsprincip: direkte indsprøjtning/forkammer/turbulenskammer(1)
3.2.4.2.3.	Indsprøjtningspumpe/trykpumpe
3.2.4.2.3.1.	Fabrikat(er): .....
3.2.4.2.3.2.	Type(r): .....
3.2.4.2.3.3.	Største brændstoftilførsel(1)(2): ..... mm^3/takt eller omdrejning ved en motorhastighed på: ..... min^{-1} eller alternativt et karakteristikdiagram: ..... (Hvis der findes ladetrykregulering, angives karakteristisk brændstoftilførsel og ladetryk sammenstillet med motorhastighed)
3.2.4.2.4.	Motorhastighed - begrænsning, kontrol
3.2.4.2.4.2.1.	Afskæringspunkt ved last: ..... min^{-1}
3.2.4.2.4.2.2.	Maksimal hastighed, ubelastet: ..... min^{-1}
3.2.4.2.6.	Indsprøjtningsdyse(r):
3.2.4.2.6.1.	Fabrikat(er): .....
3.2.4.2.6.2.	Type(r): .....
3.2.4.2.8.	Starthjælpemiddel
3.2.4.2.8.1.	Fabrikat(er): .....
3.2.4.2.8.2.	Type(r): .....
3.2.4.2.8.3.	Systembeskrivelse: .....
3.2.4.2.9.	Elektronisk styret indsprøjtning: ja/nej ([1])
3.2.4.2.9.1.	Fabrikat(er): .....
3.2.4.2.9.2.	Type(r): .....
3.2.4.2.9.3	Beskrivelse af systemet: .....
3.2.4.2.9.3.1.	Styreenhedens fabrikat og type: .....
3.2.4.2.9.3.1.1.	Styreenhedens softwareversion: .....
3.2.4.2.9.3.2.	Brændstofsregulatorens fabrikat og type: .....
3.2.4.2.9.3.3.	Luftflowfølerens fabrikat og type: .....
3.2.4.2.9.3.4.	Brændstoffordelerens fabrikat og type: .....
3.2.4.2.9.3.5.	Gasspjældhusets fabrikat og type: .....
3.2.4.2.9.3.6.	Vandtemperaturfølerens fabrikat og type eller arbejdsprincip: .....
3.2.4.2.9.3.7.	Lufttemperaturfølerens fabrikat og type eller arbejdsprincip: .....

3.2.4.2.9.3.8.	Lufttrykfølerens fabrikat og type eller arbejdsprincip: .....
3.2.4.3.	Ved brændstofindsprøjtning (kun styret tænding): ja/nej ([1])
3.2.4.3.1.	Arbejdsprincip: enkelt-/flerpunkts-/direkte indsprøjtning/andet (angives) [(1)]: .....
3.2.4.3.2.	Fabrikat(er): .....
3.2.4.3.3.	Type(r): .....
3.2.4.3.4.	Systembeskrivelse (for systemer, der ikke har kontinuerlig indsprøjtning, anføres tilsvarende detaljer): .....
3.2.4.3.4.1.	Styreenhedens fabrikat og type: .....
3.2.4.3.4.1.1.	Styreenhedens softwareversion: .....
3.2.4.3.4.3.	Lufttemperaturfølerens fabrikat og type eller arbejdsprincip: .....
3.2.4.3.4.8.	Gasspjældhusets fabrikat og type: .....
3.2.4.3.4.9.	Vandtemperaturfølerens fabrikat og type eller arbejdsprincip: .....
3.2.4.3.4.10.	Lufttemperaturfølerens fabrikat og type eller arbejdsprincip: .....
3.2.4.3.4.11.	Lufttrykfølerens fabrikat og type eller arbejdsprincip: .....
3.2.4.3.5.	Indsprøjtningsdyser
3.2.4.3.5.1.	Fabrikat: .....
3.2.4.3.5.2.	Type: .....
3.2.4.3.7.	Koldstartsystem
3.2.4.3.7.1.	Funktionsprincip(per): .....
3.2.4.3.7.2.	Funktionsgrænser/indstillinger(1)(2): .....
3.2.4.4.	Fødepumpe
3.2.4.4.1.	Tryk(2): .....kPa eller karakteristikdiagram ([2]): .....
3.2.4.4.2.	Fabrikat(er): .....
3.2.4.4.3.	Type(r): .....
3.2.5.	Elektrisk system
3.2.5.1.	Nominel spænding: .....V, positiv/negativ tilslutning til stel ([1])
3.2.5.2.	Generator
3.2.5.2.1.	Type: .....
3.2.5.2.2.	Nominel effekt: ..... VA
3.2.6.	Tændingssystem (kun motorer med gnisttænding)
3.2.6.1.	Fabrikat(er): .....
3.2.6.2.	Type(r): .....
3.2.6.3.	Arbejdsprincip: .....
3.2.6.6.	Tændrør
3.2.6.6.1.	Fabrikat: .....
3.2.6.6.2.	Type: .....

3.2.6.6.3.	Gnistgab: ..... mm
3.2.6.7.	Tændspole(r)
3.2.6.7.1.	Fabrikat: .....
3.2.6.7.2.	Type: .....
3.2.7.	Kølesystem: væske/luft(1)
3.2.7.1.	Nominel indstilling af motortemperaturstyringsmekanisme: .....
3.2.7.2.	Væske
3.2.7.2.1.	Væskens art: .....
3.2.7.2.2.	Cirkulationspumpe(r): ja/nej ([1])
3.2.7.2.3.	Karakteristik: ..... eller
3.2.7.2.3.1.	Fabrikat(er): .....
3.2.7.2.3.2.	Type(r): .....
3.2.7.2.4.	Udvekslingsforhold: .....
3.2.7.2.5.	Beskrivelse af ventilator og dennes drivmekanisme: .....
3.2.7.3.	Luft
3.2.7.3.1.	Blæser: ja/nej ([1])
3.2.7.3.2.	Karakteristik: ..... eller
3.2.7.3.2.1.	Fabrikat(er): .....
3.2.7.3.2.2.	Type(r): .....
3.2.7.3.3.	Udvekslingsforhold: .....
3.2.8.	Indsugningssystem
3.2.8.1.	Tryklader: ja/nej ([1])
3.2.8.1.1.	Fabrikat(er): .....
3.2.8.1.2.	Type(r): .....
3.2.8.1.3.	Beskrivelse af systemet (f.eks. største ladetryk: ..... kPa eventuel ladetrykventil): .....
3.2.8.2.	Ladeluftkøling: ja/nej ([1])
3.2.8.2.1.	Type: luft-luft/luft-vand(1)
3.2.8.3.	Indsugningsundertryk ved nominel motoromdrejningshastighed og 100 % belastning (kun motorer med kompressionstænding)
3.2.8.4.	Beskrivelse og tegninger af luftindtagsrør og tilhørende dele (overtrykskammer, opvarmningsanordning, supplerende luftindtag osv.): .....
3.2.8.4.1.	Beskrivelse af indsugningsmanifold (inklusive tegninger og/eller fotografier): .....
3.2.8.4.2.	Luftfilter, tegninger: ..... eller
3.2.8.4.2.1.	Fabrikat(er): .....
3.2.8.4.2.2.	Type(r): .....
3.2.8.4.3.	Indsugningslyddæmper, tegninger: ..... eller
3.2.8.4.3.1.	Fabrikat(er): .....
3.2.8.4.3.2.	Type(r): .....

3.2.9.	Udstødningssystem
3.2.9.1.	Beskrivelse og/eller tegninger af udstødningsmanifold: .....
3.2.9.2.	Beskrivelse og/eller tegninger af udstødningssystem: .....
3.2.9.3.	Største tilladte udstødningsmodtryk ved nominel motoromdrejningshastighed og 100 % belastning (kun motorer med kompressionstænding): .....kPa
3.2.10.	Mindste tværsnitsareal af indsugnings- og udstødningsporte: .....
3.2.11.	Ventilindstilling eller tilsvarende data
3.2.11.1.	Største ventilløft, åbnings- og lukkevinkler eller nærmere angivelse af indstilling for alternative distributionssystemer i forhold til dødpunkter: For systemer med variable ventiltider, minimal og maksimal tid: .....
3.2.11.2.	Reference- og/eller indstillingsområde(1) .....
3.2.12.	Foranstaltninger mod luftforurening:
3.2.12.1.	Anordning til recirkulation af krumtaphusgasser (beskrivelse og tegninger): .....
3.2.12.2.	Forureningsbegrænsende anordninger (hvis ikke omfattet af en anden overskrift)
3.2.12.2.1.	Katalysator
3.2.12.2.1.1.	Antal katalysatorer og katalysatorelementer (følgende oplysninger angives for hver enhed): .....
3.2.12.2.1.2.	Katalysatorens (katalysatorernes) dimensioner, form og volumen: .....
3.2.12.2.1.3.	Katalytisk virkning: .....
3.2.12.2.1.4.	Samlet mængde ædelmetaller: .....
3.2.12.2.1.5.	Relativ koncentration: .....
3.2.12.2.1.6.	Substrat (struktur og materiale): .....
3.2.12.2.1.7.	Celletæthed: .....
3.2.12.2.1.8.	Katalysatorbeholdertype(r): .....
3.2.12.2.1.9.	Katalysatorens (katalysatorernes) placering (sted og referenceafstand i udstødningssystemet): .....
3.2.12.2.1.10.	Varmeskærm: ja/nej ([1])
3.2.12.2.1.11.	Normalt driftstemperaturområde: ..... °C
3.2.12.2.1.12.	Katalysatorens fabrikat: .....
3.2.12.2.1.13.	Identifikationsnummer: .....
3.2.12.2.2.	Følere
3.2.12.2.2.1.	Oxygen og/eller lambdasensor(er): ja/nej ([1])
3.2.12.2.2.1.1.	Fabrikat: .....
3.2.12.2.2.1.2.	Sted: .....
3.2.12.2.2.1.3.	Arbejdsområde: .....
3.2.12.2.2.1.4.	Type eller funktionsprincip .....
3.2.12.2.2.1.5.	Identifikationsnummer: .....
3.2.12.2.2.2.	NOx-sensor: ja/nej ([1])

3.2.12.2.2.2.1.	Fabrikat: .....
3.2.12.2.2.2.2.	Type: .....
3.2.12.2.2.2.3.	Beliggenhed
3.2.12.2.2.3.	Partikelføler: ja/nej ([1])
3.2.12.2.2.3.1.	Fabrikat: .....
3.2.12.2.2.3.2.	Type: .....
3.2.12.2.2.3.3.	Sted: .....
3.2.12.2.3.	Luftindblæsning: ja/nej ([1])
3.2.12.2.3.1.	Type (pulserende luft, luftpumpe, o. lign.): .....
3.2.12.2.4.	Udstødningsrecirkulation (EGR): ja/nej ([1])
3.2.12.2.4.1.	Karakteristika (fabrikat, type, flowhastighed, højtryk/lavtryk/kombinerede tryk osv.): .....
3.2.12.2.4.2.	Vandkølet system (angives for hvert EGR-system f.eks. lavtryk og højtryk/kombineret tryk: ja/nej ([1])
3.2.12.2.5.	System til begrænsning af fordampningsemissioner (kun benzin- og ethanolmotorer): ja/nej ([1])
3.2.12.2.5.1.	Detaljeret beskrivelse af anordningerne: .....
3.2.12.2.5.2.	Tegning af systemet til begrænsning af fordampningsemissioner: .....
3.2.12.2.5.3.	Tegning af beholder med aktivt kul: .....
3.2.12.2.5.4.	Masse af tørt aktivt kul: ..... g
3.2.12.2.5.5.	Skematisk tegning af brændstofbeholder (kun motorer med benzin og ethanol): .....
3.2.12.2.5.5.1.	Brændstofbeholdersystemets kapacitet, materiale og konstruktion: .....
3.2.12.2.5.5.2.	Beskrivelse af gasslangens materiale, brændstofledningens materiale og brændstofsystemets forbindelsesteknik: .....
3.2.12.2.5.5.3.	Forseglet brændstofbeholdersystem: ja/nej
3.2.12.2.5.5.4.	Beskrivelse af indstilling for brændstofbeholderens overtryksventil (luftindtag og udløsning): .....
3.2.12.2.5.5.5.	Beskrivelse af kontrolsystemet for udluftning: .....
3.2.12.2.5.6.	Tegning af varmeskærm mellem brændstofbeholder og udstødningssystem: .....
3.2.12.2.5.7.	Gennemtrængelighedsfaktor: .....
3.2.12.2.6.	Partikelfilter (PT): ja/nej ([1])
3.2.12.2.6.1.	Partikelfilterets dimensioner, form og kapacitet: .....
3.2.12.2.6.2.	Partikelfilterets konstruktion: .....
3.2.12.2.6.3.	Placering (referenceafstand i udstødningssystemet): .....
3.2.12.2.6.4.	Partikelfilterets fabrikat: .....
3.2.12.2.6.5.	Identifikationsnummer: .....
3.2.12.2.7.	Egendiagnosesystem (OBD): ja/nej ([1])
3.2.12.2.7.1.	Beskrivelse og/eller tegning af fejlindikatoren (MI): .....
3.2.12.2.7.2.	Liste over alle komponenter, der overvåges af OBD-systemet, og disses formål: .....

3.2.12.2.7.3.	Beskrivelse (generelle funktionsprincipper) for	
3.2.12.2.7.3.1.	Motor med styret tænding	
3.2.12.2.7.3.1.1.	Overvågning af katalysator:	
3.2.12.2.7.3.1.2.	Detektion af fejltænding:	
3.2.12.2.7.3.1.3.	Overvågning af lambda-sonde:	
3.2.12.2.7.3.1.4.	Andre komponenter, der overvåges af egendiagnosesystemet (OBD):	
3.2.12.2.7.3.2.	Motorer med kompressionstænding:	
3.2.12.2.7.3.2.1.	Overvågning af katalysator:	
3.2.12.2.7.3.2.2.	Overvågning af partikelfilter:	
3.2.12.2.7.3.2.3.	Overvågning af elektronisk brændstofsystem:	
3.2.12.2.7.3.2.5.	Andre komponenter, der overvåges af egendiagnosesystemet (OBD):	
3.2.12.2.7.4.	Kriterier for aktivering af fejlindikatoren (MI) (fast antal kørecyklusser eller statistisk metode):	
3.2.12.2.7.5.	Fortegnelse over alle anvendte koder for og formater af egendiagnosemeddelelser (med forklaring af hver enkelt):	
3.2.12.2.7.6.	Køretøjsfabrikanten skal give følgende supplerende oplysninger med henblik på at give mulighed for produktion af OBD-kompatible udskiftnings- eller servicekomponenter samt diagnoseværktøj og prøvningsudstyr.	
3.2.12.2.7.6.1.	Beskrivelse af art og antal prækonditioneringscyklusser eller alternative forbehandlingscyklusser, som er anvendt ved den oprindelige typegodkendelse af køretøjet og årsagen til deres anvendelse.	
3.2.12.2.7.6.2.	Beskrivelse af typen af OBD-demonstrationscyklus, som er anvendt ved den oprindelige typegodkendelse af køretøjet for den komponent, som overvåges af OBD-systemet.	
3.2.12.2.7.6.3.	Et fuldstændigt dokument, hvor alle overvågede komponenter er beskrevet med strategi for fejldetektion og aktivering af fejlindikator (fast antal kørecyklusser eller statistisk metode), med en liste over de relevante sekundære overvågede parametre for hver komponent, som overvåges af OBD-systemet. Fortegnelse over alle anvendte egendiagnosekoder og -formater (med forklaring af hver enkelt), som er knyttet til de enkelte emissionsrelaterede komponenter i drivlinjen og til de enkelte ikke-emissionsrelaterede komponenter, når overvågning af komponenten er bestemmende for aktivering af fejlindikatoren, herunder navnlig en omfattende redegørelse for data, som	Et fuldstændigt dokument, hvor alle overvågede komponenter er beskrevet med strategi for fejldetektion og aktivering af fejlindikator (fast antal kørecyklusser eller statistisk metode), med en liste over de relevante sekundære overvågede parametre for hver komponent, som overvåges af OBD-systemet. Fortegnelse over alle anvendte egendiagnosekoder og -formater (med forklaring af hver enkelt), som er knyttet til de enkelte emissionsrelaterede komponenter i drivlinjen og til de enkelte ikke-emissionsrelaterede komponenter, når overvågning af komponenten er bestemmende for aktivering af fejlindikatoren, herunder navnlig en omfattende redegørelse for data, som

	afgives i service $05 Test-ID $21 til FF, og data, som afgives i service $06. For køretøjer, der anvender et kommunikationslink i henhold til ISO 15765-4 "Road vehicles — Diagnostics on Controller Area Network (CAN) — Part 4: requirements for emissions-related systems" skal der fremlægges en omfattende redegørelse for data, som afgives i service $06 Test-ID $00 til FF, for hver ID-supported OBD-monitor.	afgives i service $05 Test-ID $21 til FF, og data, som afgives i service $06. For køretøjer, der anvender et kommunikationslink i henhold til ISO 15765-4 "Road vehicles — Diagnostics on Controller Area Network (CAN) — Part 4: requirements for emissions-related systems" skal der fremlægges en omfattende redegørelse for data, som afgives i service $06 Test-ID $00 til FF, for hver ID-supported OBD-monitor.
3.2.12.2.7.6.4.	De oplysninger, som foreskrives ovenfor, kan afgives ved at udfylde en tabel svarende til den nedenstående.	
3.2.12.2.7.6.4.1.	Lette køretøjer	

Komponent	Fejlkode	Overvågnings-strategi	Kriterier for fejldetektion	Kriterier for aktivering af fejlindikator	Sekundære parametre	Prækonditionering	Demonstrati-onsprøvning
Katalysator	P0420	Signaler fra lambdasonde 1 og 2	Forskel mellem signaler fra sonde 1 og sonde 2	Tredje cyklus	Motorhastighed, motorbelastning, A/F-arbejdsmåde, katalysatortempe-ratur	To type 1-cyklusser	Type 1

3.2.12.2.8.	Andre systemer: .....
3.2.12.2.8.2.	Føreransporingssystem
3.2.12.2.8.2.3.	Type føreransporingssystem: ingen motorstart efter nedtælling/ingen motorstart efter påfyldning af brændstof/brændstofpåfyldningsblokering/funktionsbegrænsning
3.2.12.2.8.2.4.	Beskrivelse af føreransporingssystem
3.2.12.2.8.2.5.	Tilsvarende gennemsnitlig køreautonomi for køretøjet med en fuld brændstoftank: ..... km
3.2.12.2.10.	Periodisk regenererende system: (følgende oplysninger angives nedenfor for hver enhed)
3.2.12.2.10.1.	Regenereringsmetode eller -system, beskrivelse og/eller tegning: .....
3.2.12.2.10.2.	Antallet af type 1-driftscyklusser eller ækvivalente motorprøvebænkscyklusser mellem to cyklusser, hvor regenererende faser forekommer under betingelser svarende til type 1-prøvningen (afstand "D"): .....
3.2.12.2.10.2.1.	Gældende type 1-cyklus: .....
3.2.12.2.10.2.2.	Antallet af komplette gældende prøvningscyklusser krævet til regenerering
3.2.12.2.10.3.	Beskrivelse af metode anvendt til at bestemme antallet af cyklusser mellem to cyklusser, hvor regenererende faser forekommer: .....
3.2.12.2.10.4.	Parametre til bestemmelse af belastningsniveauet, før regenerering forekommer (dvs. temperatur, tryk osv.): .....
3.2.12.2.10.5.	Beskrivelse af metode anvendt til at belaste systemet: .....
3.2.12.2.11.	Katalysatorsystemer baseret på selvnedbrydende reagenser (anfør oplysninger for hver separat enhed): ja/nej [1]
3.2.12.2.11.1.	Reagenstype og -koncentration, som er nødvendig: .....
3.2.12.2.11.2.	Reagensets normale driftstemperaturområde: .....

3.2.12.2.11.3.	International standard: .....
3.2.12.2.11.4.	Hyppigheden af reagensgenpåfyldning: løbende / ved service (i givet fald):
3.2.12.2.11.5.	Reagensindikator: (beskrivelse og placering)
3.2.12.2.11.6.	Reagensbeholder
3.2.12.2.11.6.1.	Kapacitet: .....
3.2.12.2.11.6.2.	Varmeanlæg: ja/nej
3.2.12.2.11.6.2.1.	Beskrivelse eller tegning
3.2.12.2.11.7.	Reagenskontrolenhed: ja/nej ([1])
3.2.12.2.11.7.1.	Fabrikat: .....
3.2.12.2.11.7.2.	Type: .....
3.2.12.2.11.8.	Reagensinjektor (mærke, type og placering): .....
3.2.12.2.11.9.	Sensor for reagenskvalitet (mærke, type og placering): .....
3.2.12.2.12.	Vandindsprøjtning: ja/nej ([1])
3.2.14.	Nærmere oplysninger om eventuelle anordninger, der er beregnet til at påvirke brændstoføkonomien (hvis disse ikke er omfattet af andre rubrikker): .....
3.2.15.	LPG-brændstofsystem: ja/nej ([1])
3.2.15.1.	Godkendelsesnummer (godkendelsesnummer i henhold til FN-regulativ nr. 67): .....
3.2.15.2.	Elektronisk motorstyreenhed for LPG-drift:
3.2.15.2.1.	Fabrikat(er): .....
3.2.15.2.2.	Type(r): .....
3.2.15.2.3.	Justeringsmuligheder, som har betydning for emissionen: .....
3.2.15.3.	Yderligere dokumentation
3.2.15.3.1.	Beskrivelse af beskyttelsen af katalysatoren ved omskift mellem benzin og LPG: .....
3.2.15.3.2.	Systemarrangement (elektriske forbindelser, vakuumforbindelser, kompensationsslanger mv.): .....
3.2.15.3.3.	Tegning af symbol: .....
3.2.16.	NG-brændstofsystem: ja/nej ([1])
3.2.16.1.	Godkendelsesnummer (godkendelsesnummer i henhold til FN-regulativ nr. 110):
3.2.16.2.	Elektronisk motorstyreenhed for NG-drift
3.2.16.2.1.	Fabrikat(er): .....
3.2.16.2.2.	Type(r): .....
3.2.16.2.3.	Justeringsmuligheder, som har betydning for emissionen: .....
3.2.16.3.	Yderligere dokumentation
3.2.16.3.1.	Beskrivelse af beskyttelsen af katalysatoren ved omskift mellem benzin og NG: .....

3.2.16.3.2.	Systemarrangement (elektriske forbindelser, vakuumforbindelser, kompensationsslanger mv.): .....
3.2.16.3.3.	Tegning af symbol: .....
3.2.18.	Hydrogenbrændstofsystem: ja/nej ([1])
3.2.18.1.	Typegodkendelsesnummer i henhold til FN-regulativ nr. 134 (hvis det er relevant): .....
3.2.18.2.	Elektronisk motorstyreenhed for hydrogendrift
3.2.18.2.1.	Fabrikat(er): .....
3.2.18.2.2.	Type(r): .....
3.2.18.2.3.	Justeringsmuligheder, som har betydning for emissionen: .....
3.2.18.3.	Yderligere dokumentation
3.2.18.3.1.	Beskrivelse af katalysatorens beskyttelse ved omskift mellem benzin og hydrogen: .....
3.2.18.3.2.	Systemarrangement (elektriske forbindelser, vakuumforbindelser, kompensationsslanger mv.): .....
3.2.18.3.3.	Tegning af symbol: .....
3.2.19.4.	Yderligere dokumentation
3.2.19.4.2.	Systemarrangement (elektriske forbindelser, vakuumforbindelser, kompensationsslanger mv.): .....
3.2.19.4.3.	Tegning af symbol: .....
3.2.20.	Varmelagring, oplysninger
3.2.20.1.	Aktiv varmelagringsanordning: ja/nej (1)
3.2.20.1.1.	Enthalpy: ..... (J)
3.2.20.2.	Isoleringsmaterialer: ja/nej (1)
3.2.20.2.1.	Isoleringsmateriale: ..... (x)
3.2.20.2.2.	Nominel isoleringsvolumen: ..... (l) (x)
3.2.20.2.3.	Nominel Isoleringsvægt: .....(kg) (x)
3.2.20.2.4.	Isoleringens placering: ..... (x)
3.2.20.2.5.	Worst case-tilgang ved nedkøling af køretøj: ja/nej (1)
3.2.20.2.5.1.	(ikke worst case-tilgang) Mindste soak-tid, t_{soak_ATCT} (timer): ..... (x)
3.2.20.2.5.2.	(ikke worst case-tilgang) Placering af motorens temperaturmåling: ..... (x)
3.2.20.2.6.	Enkelt interpolationsfamilie inden for ATCT-familietilgang: ja/nej (1)
3.2.20.2.7.	Worst case-tilgang med hensyn til isolering: ja/nej (1)
3.2.20.2.7.1.	Beskrivelse af det ATCT-målte referencekøretøj med hensyn til isolering: .....
3.3.	Elektrisk drivlinje (kun for PEV)
3.3.1.	Overordnet beskrivelse af den elektriske drivlinje
3.3.1.1.	Fabrikat: .....
3.3.1.2.	Type: .....

3.3.1.3.	Anvendelse ([1]): Enkeltmotor/flere motorer (antal): .....
3.3.1.4.	Transmission: parallel/transaksial/andet (specificeres): .....
3.3.1.5.	Prøvespænding: V
3.3.1.6.	Nominel motorhastighed: ..... min^{-1}
3.3.1.7.	Maksimal motorhastighed: ..... min^{-1} eller som standard: reduktionsgearets/gearkassens omdrejningshastighed (angiv det anvendte gear): min-1
3.3.1.9.	Maksimal effekt: .....kW
3.3.1.10.	Maksimal tredive minutters effekt: .....kW
3.3.1.11.	Fleksibelt område (hvor P > 90 % af maks. effekt) hastighed ved områdets begyndelse: ..... min^{-1} hastighed ved områdets slutning: ..... min^{-1}
3.3.2.	REESS-træk
3.3.2.1.	REESS-systemets fabriks- og handelsbetegnelse: .....
3.3.2.2.	Type elektrokemisk par: .....
3.3.2.3.	Nominel spænding: V
3.3.2.4.	RESS-systemets maksimale tredive minutters effekt (konstant effektudladning): .....kW
3.3.2.5.	RESS-ydelse ved 2 h afladning (konstant effekt eller konstant strøm): (1)
3.3.2.5.1.	REESS-energi: ..... kWh
3.3.2.5.2.	REESS-kapacitet: .....Ah i 2 h
3.3.2.5.3.	Spændingsværdi ved endt afladning: V
3.3.2.6.	Indikation af endt afladning, der fører til et nødvendigt stop for køretøjet: (1) .....
3.3.2.7.	RESS-masse .....kg
3.3.2.8.	Antal celler: .....
3.3.2.9.	REESS-position: .....
3.3.2.10.	Type kølemiddel: luft/væske ([1])
3.3.2.11.	Styreenhed for batteristyringssystem
3.3.2.11.1.	Fabrikat: .....
3.3.2.11.2.	Type: .....
3.3.2.11.3.	Identifikationsnummer: .....
3.3.3.	Elmotor
3.3.3.1.	Arbejdsprincip:
3.3.3.1.1.	jævnstrøm/vekselstrøm (1)/antal faser: .....
3.3.3.1.2.	Separat magnetisering/serie/sammensat (1)
3.3.3.1.3.	Synkron/asynkron (1)

3.3.3.1.4.	rotor med spole/permanente magneter/hus (1)
3.3.3.1.5.	antal poler på motoren: .....
3.3.3.2.	Intertimasse: .....
3.3.4.	Effektregulator
3.3.4.1.	Fabrikat: .....
3.3.4.2.	Type: .....
3.3.4.2.1.	Identifikationsnummer: .....
3.3.4.3.	Funktionsprincip: vektorielt/åben loop/lukket/andet (specificeres): (1) .....
3.3.4.4.	Den maksimale effektive strømstyrke, som leveres til motoren: (2) .....A under ..... sekunder
3.3.4.5.	Anvendt spændingsområde: .....V til V
3.3.5.	Kølesystem: Motor: væske/luft(1) Styreenhed: væske/luft(1)
3.3.5.1.	Egenskaber for væskekølingsudstyr:
3.3.5.1.1.	Type af væske .....circulationspumper: ja/nej (1)
3.3.5.1.2.	Specifikationer for pumpens fabrikat(er) og type(r):: .....
3.3.5.1.3.	Termostat: indstilling: .....
3.3.5.1.4.	Køler: tegning(er) eller fabrikat(er) og type(r): .....
3.3.5.1.5.	Trykbegrænsningsventil: indstilling: .....
3.3.5.1.6.	Blæser: specifikationer eller fabrikat(er) og type(r): .....
3.3.5.1.7.	Ventilatorkanal: .....
3.3.5.2.	Egenskaber for luftkølingsudstyr
3.3.5.2.1.	Blæser: specifikationer eller fabrikat(er) og type(r): .....
3.3.5.2.2.	Luftkanaler (standard): .....
3.3.5.2.3.	Temperaturreguleringssystem: ja/nej (1)
3.3.5.2.4.	Kortfattet beskrivelse: .....
3.3.5.2.5.	Luftfilter: ..... fabrikat(er): ..... type(r):
3.3.5.3.	De af fabrikanten tilladte temperaturer (max.)
3.3.5.3.1.	Motorafgang: ..... ° C
3.3.5.3.2.	regulatorindgang: ..... ° C
3.3.5.3.3.	ved motorens referencepunkt(er): ..... ° C
3.3.5.3.4.	ved regulatorens referencepunkt(er): ..... ° C
3.3.6.	Isoleringskategori: .....
3.3.7.	International beskyttelse (IP)-kode: .....
3.3.8.	Smøresystemsprincip: (1) Lejer: friktion/kugle smøremiddel: fedt/olie forseglet: ja/nej cirkulation: med/uden

3.3.9.	Lader
3.3.9.1.	Lader: indbygget/ekstern (1) for en ekstern enhed, definer laderen (varemærke, model): .....
3.3.9.2.	Beskrivelse af den normale profil ved ladning: .....
3.3.9.3.	Specifikation af strømforsyning: .....
3.3.9.3.1.	Type lysnet: enkeltfase/trefase (1)
3.3.9.3.2.	Spænding: .....
3.3.9.4.	Anbefalet hvileperiode mellem endt afladning og start på opladning: .....
3.3.9.5.	Teoretisk varighed af en fuldstændig opladning: .....
3.3.10.	Elektrisk energiomdannere
3.3.10.1.	Elektrisk energiomdanner mellem den elektriske maskine og REESS-drivsystemet
3.3.10.1.1.	Fabrikat: .....
3.3.10.1.2.	Type: .....
3.3.10.1.3.	Opgivet nominel effekt: ..... W
3.3.10.2.	Elektrisk energiomdanner mellem REESS-drivsystemet og lavspændings-strømforsyning.
3.3.10.2.1.	Fabrikat: .....
3.3.10.2.2.	Type: .....
3.3.10.2.3.	Opgivet nominel effekt: ..... W
3.3.10.3.	Elektrisk energiomdanner mellem recharge-plugin og REESS-drivsystemet
3.3.10.3.1.	Fabrikat: .....
3.3.10.3.2.	Type: .....
3.3.10.3.3.	Opgivet nominel effekt: ..... W
3.4.	Kombinationer af fremdriftsenergiomdannere
3.4.1.	Hybridt elkøretøj: ja/nej ([1])
3.4.2.	Kategori af hybridt elkøretøj: med ekstern opladning/ikke-ekstern opladning: ([1])
3.4.3.	Omskifter for driftsmåde: med/uden ([1])
3.4.3.1.	Valgbare driftsmåder
3.4.3.1.1.	Rent elektrisk drift: ja/nej ([1])
3.4.3.1.2.	Udelukkende brændstofdrift: ja/nej ([1])
3.4.3.1.3.	Hybride driftsmåder: ja/nej ([1]) (i givet fald gives en kort beskrivelse): .....
3.4.4.	Beskrivelse af anordningen til energilagring: (REESS, kondensator, svinghjul/ generator)
3.4.4.1.	Fabrikat(er): .....
3.4.4.2.	Type(r): .....
3.4.4.3.	Identifikationsnummer: .....
3.4.4.4.	Type elektrokemisk element: .....

3.4.4.5.	Energi: ……. for REESS: spænding og kapacitet Ah i 2 h, for kondensator: J, …….)
3.4.4.6.	Lader: indbygget/ekstern/ingen ([1])
3.4.4.7.	Type kølemiddel: luft/væske ([1])
3.4.4.8.	Styreenhed for batteristyringssystem
3.4.4.8.1.	Fabrikat: ……
3.4.4.8.2.	Type: ……
3.4.4.8.3.	Identifikationsnummer: ……
3.4.5.	Elektriske maskiner (separat beskrivelse for hver type elektrisk maskine)
3.4.5.1.	Fabrikat: ……
3.4.5.2.	Type: ……
3.4.5.3.	Primær anvendelse: drivmotor/generator ([1])
3.4.5.3.1.	Ved anvendelse som drivmotor: enkeltmotor/flere motorer (antal)([1]): ……
3.4.5.4.	Maksimal effekt: ……kW
3.4.5.5.	Arbejdsprincip
3.4.5.5.5.1	Jævnstrøm/vekselstrøm/antal faser: ……
3.4.5.5.2.	Separat magnetisering/serie/sammensat ([1])
3.4.5.5.3.	Synkron/asynkron ([1])
3.4.5.6.	Kølesystem: Motor: væske/luft(1) Styreenhed: væske/luft(1)
3.4.5.6.1.	Egenskaber for væskekølingsudstyr: ……
3.4.5.6.1.1.	Type af væske ……circulationspumper: ja/nej (1)
3.4.5.6.1.2.	Specifikationer for pumpens fabrikat(er) og type(r):: ……
3.4.5.6.1.3.	Termostat: indstilling: ……
3.4.5.6.1.4.	Køler: tegning(er) eller fabrikat(er) og type(r): ……
3.4.5.6.1.5.	Trykbegrænsningsventil: indstilling: ……
3.4.5.6.1.6.	Blæser: specifikationer eller fabrikat(er) og type(r): ……
3.4.5.6.1.7.	Ventilatorkanal: ……
3.4.5.6.2.	Egenskaber for luftkølingsudstyr
3.4.5.6.2.1.	Blæser: specifikationer eller fabrikat(er) og type(r): ……
3.4.5.6.2.2.	Luftkanaler (standard): ……
3.4.5.6.2.3.	Temperaturreguleringssystem: ja/nej (1)
3.4.5.6.2.4.	Kortfattet beskrivelse: ……
3.4.5.6.2.5.	Luftfilter: ……fabrikat(er): …… type(r): ……
3.4.5.6.3.	De af fabrikanten tilladte temperaturer (max.)
3.4.5.6.3.1.	Motorafgang: …… ° C
3.4.5.6.3.2.	regulatorindgang: …… ° C
3.4.5.6.3.3.	ved motorens referencepunkt(er): …… ° C
3.4.5.6.3.4.	ved regulatorens referencepunkt(er): …… ° C

3.4.6.	Styringsenhed
3.4.6.1.	Fabrikat(er): ……
3.4.6.2.	Type(r): ……
3.4.6.3.	Identifikationsnummer: ……
3.4.7.	Effektregulator
3.4.7.1.	Fabrikat: ……
3.4.7.2.	Type: ……
3.4.7.3.	Identifikationsnummer: ……
3.4.9.	Fabrikantens anbefaling mht. prækonditionering: ……
3.4.10.	FCHV: ja/nej [1]
3.4.10.1.	Brændselscelletype:
3.4.10.1.2.	Fabrikat: ……
3.4.10.1.3.	Type: ……
3.4.10.1.4.	Nominel spænding (V): ……
3.4.10.1.5.	Type kølemiddel: luft/væske [1]
3.4.10.2.	Systembeskrivelse (brændselscellens funktionsprincip, tegning osv.): ……
3.4.11.	Elektrisk energiomdannere
3.4.11.1.	Elektrisk energiomdanner mellem den elektriske maskine og REESS-drivsystemet
3.4.11.1.1.	Fabrikat: ……
3.4.11.1.2.	Type: ……
3.4.11.1.3.	Opgivet nominel effekt: …… W
3.4.11.2.	Elektrisk energiomdanner mellem REESS-drivsystemet og lavspændings-strømforsyning.
3.4.11.2.1.	Fabrikat: ……
3.4.11.2.2.	Type: ……
3.4.11.2.3.	Opgivet nominel effekt: …… W
3.4.11.3.	Elektrisk energiomdanner mellem recharge-plugin og REESS-drivsystemet
3.4.11.3.1.	Fabrikat: ……
3.4.11.3.2.	Type: ……
3.4.11.3.3.	Opgivet nominel effekt: …… W
3.5.	Fabrikantens opgivne værdier til bestemmelse af CO_2- emissioner/brændstofforbrug/ elektrisk energiforbrug og elektrisk rækkevidde/køreautonomi med hydrogen
3.5.7.	Fabrikantens opgivne værdier

3.5.7.1. Prøvningskøretøjets parametre

Køretøj	Køretøjets "lav" (VL) hvis eksisterende	Køretøjets "høj" (VH)	VM hvis eksisterende	Repræsentativ værdi V (kun for køremodstandsmatrixfamilie*)	Standardværdier
Køretøjets karrosseritype			-		
Anvendt køremodstandsmetode (måling eller beregning af køremodstand efter køremodstandsfamilie)			-	-	
Køremodstandsoplysninger:					
Dækkenes fabrikat og type, hvis måling			-		
Dækdimensioner (for/bag), hvis måling			-		
Dækkenes rullemodstand (for/bag) (kg/t):					
Dæktryk (for/bag) (kPa), hvis måling					
Delta $C_D \times A$ for køretøj L sammenlignet med køretøj H (IP_H minus IP_L)	-		-	-	
Delta $C_D \times A$ sammenlignet med køremodstandsfamilie L (IP_H/L minus RL_L), hvis beregnet efter køremodstandsfamilie			-	-	
Køretøjets prøvningsmasse (kg)					
Køremodstandskoefficienter					
f_0 (N)					
f_1 (N/(km/h))					
f_2 (N/(km/h)^2)					

	Frontareal, m^2 ($0{,}000\ m^2$)	-	-	-		
	Cyklusenergikrav (J)					
	* Repræsentativt køretøj, hvis prøvet for køremodstandsmatrixfamilie					

3.5.7.1.1.	Brændstof, der anvendes til type 1-prøvningen, og som er udvalgt med henblik på måling af nettoeffekten i henhold til FN-regulativ nr. 85 (kun for LPG- eller NG-køretøjer): .....
3.5.7.2.	Samlede CO_2-emissioner
3.5.7.2.1.	CO_2-emission for rene ICE-køretøjer og NOVC-HEV'er
3.5.7.2.1.0.	Mindste og største CO_2-værdier inden for interpolationsfamilien ..... g/km
3.5.7.2.1.1.	Køretøjets "Høj": ..... g/km
3.5.7.2.1.2.	Køretøjets "Lav" (hvis relevant): ..... g/km
3.5.7.2.1.3.	Køretøjets "Medium" (hvis relevant): ..... g/km
3.5.7.2.2.	CO_2-emission for OVC-HEV'er, ladningsbevarende tilstand
3.5.7.2.2.1.	Ladningsbevarende CO_2-emission ved køretøjets "høj": g/km
3.5.7.2.2.2.	Ladningsbevarende CO_2-emission ved køretøjets "lav" (hvis relevant): g/km
3.5.7.2.2.3.	Ladningsbevarende CO_2-emission ved køretøjets "lav" (hvis relevant): g/km
3.5.7.2.3.	Ladningsforbrugende CO_2-emission og vægtet CO_2-emission for OVC-HEV'er
3.5.7.2.3.1.	Ladningsbevarende CO_2-emission ved køretøjets "høj": ..... g/km
3.5.7.2.3.2.	Ladningsforbrugende CO_2-emission ved køretøjets "lav" (hvis relevant): ..... g/km
3.5.7.2.3.3.	Ladningsforbrugende CO_2-emission ved køretøj M (hvis relevant): ..... g/km
3.5.7.2.3.4.	Mindste og største vægtede CO_2-værdier inden for OVC-interpolationsfamilien: ..... g/km
3.5.7.3.	Elektrisk rækkevidde for elektriske køretøjer
3.5.7.3.1.	Rent elektrisk rækkevidde (PER) for PEV'er ved omgivelsestemperatur (23 °C)
3.5.7.3.1.1.	Køretøjets "Høj": ..... km
3.5.7.3.1.2.	Køretøjets "Lav" (hvis relevant): ..... km
3.5.7.3.2.	Fuldt elektrisk rækkevidde (AER) og ækvivalent fuldt elektrisk rækkevidde (EAER) for OVC-HEV'er og OVC-FCHV'er (alt efter hvad der er relevant)
3.5.7.3.2.1.	Køretøjets "Høj": AER: ..... km, EAER: ..... km
3.5.7.3.2.2.	Køretøjets "Lav" (hvis relevant): AER: ..... km, EAER: ..... km

3.5.7.3.2.3.	Køretøjets "Medium" (hvis relevant): AER: .....km, EAER: ..... km
3.5.7.3.3.	Rent elektrisk rækkevidde (PER) for PEV'er ved lav temperatur (-7 °C)
3.5.7.3.3.1.	Oplyst forhold for rent elektrisk rækkevidde ved lav temperatur, $K_{PER,WLTC,LT,de}$
3.5.7.3.3.1.1.	Rent elektrisk rækkevidde ved lav temperatur, laveste: ..... km
3.5.7.3.3.1.2.	Rent elektrisk rækkevidde ved lav temperatur, højeste: ..... km
3.5.7.4.	Brændstofforbrug (FC_{CS}) for NOVC-FCHV'er og OVC-FCHV'er (alt efter hvad der er relevant)
3.5.7.4.1.	Ladningsbevarende brændstofforbrug for NOVC-FCHV'er og OVC-FCHV'er (alt efter hvad der er relevant)
3.5.7.4.1.1.	Køretøjets "Høj": .....kg/100 km
3.5.7.4.1.2.	Køretøjets "Lav" (hvis relevant): .....kg/100 km
3.5.7.4.1.3.	Køretøjets "Medium" (hvis relevant): .....kg/100 km
3.5.7.4.2.	Ladningsforbrugende brændstofforbrug for OVC-FCHV'er (alt efter hvad der er relevant)
3.5.7.4.2.1.	Køretøjets "Høj": .....kg/100 km
3.5.7.4.2.2.	Køretøjets "Lav" (hvis relevant): .....kg/100 km
3.5.7.5.	Elektrisk energiforbrug for elektriske køretøjer
3.5.7.5.1.	Blandet elektrisk energiforbrug (EC_{WLTC}) for rent elektriske køretøjer
3.5.7.5.1.1.	Køretøjets "Høj": ..... Wh/km
3.5.7.5.1.2.	Køretøjets "Lav" (hvis relevant): ..... Wh/km
3.5.7.5.2.	UF-vægtet ladningsforbrugende elektrisk energiforbrug, $EC_{AC,CD}$ (blandet)
3.5.7.5.2.1.	Køretøjets "Høj": ..... Wh/km
3.5.7.5.2.2.	Køretøjets "Lav" (hvis relevant): ..... Wh/km
3.5.7.5.2.3.	Køretøjets "Medium" (hvis relevant): ..... Wh/km
3.5.7.6.	Brændstofeffektivitet og køreautonomi med hydrogen
3.5.7.6.1.	Brændstofeffektivitet for rene ICE-køretøjer og NOVC-HEV'er
3.5.7.6.1.1.	Køretøjets "Høj": .....km/l
3.5.7.6.1.2.	Køretøjets "Lav" (hvis relevant): .....km/l
3.5.7.6.1.3.	Køretøjets "Medium" (hvis relevant): .....km/l
3.5.7.6.2.	Brændstofeffektivitet for OVC-HEV'er, ladningsbevarende tilstand
3.5.7.6.2.1.	Ladningsbevarende brændstofeffektivitet ved køretøjets "høj": km/l
3.5.7.6.2.2.	Ladningsbevarende brændstofeffektivitet ved køretøjets "lav" (hvis relevant): km/l
3.5.7.6.2.3.	Ladningsbevarende brændstofeffektivitet, køretøj M (hvis relevant): km/l
3.5.7.6.3.	Brændstofeffektivitet for OVC-HEV'er, ladningsforbrugende tilstand
3.5.7.6.3.1.	Ladningsforbrugende brændstofeffektivitet ved køretøjets "høj": .....km/l
3.5.7.6.3.2.	Ladningsforbrugende brændstofeffektivitet ved køretøjets "lav" (hvis relevant): .....km/l
3.5.7.6.3.3.	Ladningsforbrugende brændstofeffektivitet, køretøj M (hvis relevant): .....km/l

3.5.7.6.4.	Brændstofeffektivitet og køreautonomi med hydrogen for NOVC-FCHV'er og OVC-FCHV'er.
3.5.7.6.4.1.	Ladningsbevarende brændstofeffektivitet og køreautonomi med hydrogen for NOVC-FCHV'er og OVC-FCHV'er (alt efter hvad der er relevant)
3.5.7.6.4.1.1.	Køretøjets "Høj": ……km/kg
3.5.7.6.4.1.2.	Køretøjets "Lav" (hvis relevant): ……km/kg
3.5.7.6.4.1.3.	P_{LL} til bestemmelse af køreautonomi med hydrogen (hvis relevant): …… MPa
3.5.7.6.4.2.	Ladningsforbrugende brændstofeffektivitet for OVC-FCHV'er (hvis relevant)
3.5.7.6.4.2.1.	Køretøjets "Høj": ……km/kg
3.5.7.6.4.2.2.	Køretøjets "Lav" (hvis relevant): ……km/kg
3.5.7.6.4.2.3.	Køretøjets "Medium" (hvis relevant): ……km/kg
3.6.	De af fabrikanten tilladte temperaturer
3.6.1.	Kølesystem
3.6.1.1.	Væskekøling Maksimal temperatur ved fraløb: ……K
3.6.1.2.	Luftkøling
3.6.1.2.1.	Referencepunkt: ……
3.6.1.2.2.	Maksimal temperatur ved referencepunkt: ……K
3.6.2.	Maksimal afgangstemperatur i ladeluft fra ladeluftkøler: ……K
3.6.3.	Største udstødningstemperatur ved det punkt i udstødningsrøret (-rørene), der støder op til udstødningsmanifoldens afgangsflange(r) eller turboladeren: ……K
3.6.4.	Brændstoftemperatur Minimum: ……K — maksimum: ……K For dieselmotorer ved indsprøjtningspumpens indgang, for gasdrevne motorer ved trykregulatorens sluttrin
3.6.5.	Smøremiddeltemperatur Minimum: ……K — maksimum: ……K
3.8.	Smøresystem
3.8.1.	Systembeskrivelse
3.8.1.1.	Smøremiddelbeholderens placering: ……
3.8.1.2.	Fødesystem (ved pumpe/indsprøjtning i indsugning/blanding med brændstof osv.)(1)
3.8.2.	Smørepumpe
3.8.2.1.	Fabrikat(er): ……
3.8.2.2.	Type(r): ……
3.8.3.	Blanding med brændstof
3.8.3.1.	Procent: ……
3.8.4.	Oliekøler: ja/nej ([1])
3.8.4.1.	Tegning(er): …… eller
3.8.4.1.1.	Fabrikat(er): ……
3.8.4.1.2.	Type(r): ……
3.8.5.	Specifikation af smøremiddel: …… W ……

4.	TRANSMISSION(p)
4.3.	Inertimoment for motorsvinghjul: .....
4.3.1.	Supplerende inertimoment, udkoblet: .....
4.4.	Kobling
4.4.1.	Type: .....
4.4.2.	Maksimal momentomformning: .....
4.5.	Gearkasse
4.5.1.	Type (manuel/automatisk/CVT (trinløst variabel transmission))(1)
4.5.1.4.	Mærkedrejningsmomentet: .....
4.5.1.5.	Antal koblinger .....
4.6.	Transmissionsudvekslingsforhold

	Gear	Udvekslingsforhold i gearkasse (forhold mellem motorens og udgangsakslens omdrejningshastighed)	Endeligt udvekslingsforhold (forhold mellem udgangsakslens og de trækkende hjuls omdrejningshastighed)	Totalt udvekslingsforhold
	Maksimum for CVT 1 2 3 ..... Minimum for CVT			

4.6.1.	Gearskift
4.6.1.1.	Gear 1 udelukket: ja/nej ([1])
4.6.1.2.	n_{95_high} for hvert gear: ..... min^{-1}
4.6.1.3.	n_{min_drive}
4.6.1.3.1.	1. gear: ..... min^{-1}
4.6.1.3.2.	1. gear til 2. gear: ..... min^{-1}
4.6.1.3.3.	2. gear til stilstand: ..... min^{-1}
4.6.1.3.4.	2. gear: ..... min^{-1}
4.6.1.3.5.	3. gear og derefter: ..... min^{-1}
4.6.1.4.	$n_{min_drive_set}$ for accelerationsfaser/faser med konstant hastighed (n_min_drive_up): ..... min^{-1}
4.6.1.5.	$n_{min_drive_set}$ for decelerationsfaser ($n_{min_drive_down}$):
4.6.1.6.	første periode
4.6.1.6.1.	t_{start_phase}: ..... s
4.6.1.6.2.	$n_{min_drive_start}$: ..... min^{-1}
4.6.1.6.3.	$n_{min_drive_up_start}$: ..... min^{-1}

4.6.1.7.	anvendelse af ASM: ja/nej ([1])
4.6.1.7.1.	ASM-værdier: ..... ved ..... min^{-1}
4.7.	Køretøjets konstruktivt bestemte maksimalhastighed (i km/h)(q): .....
4.12.	Gearkassesmøremiddel: .....W .....
6.	HJULOPHÆNG
6.6.	Dæk og hjul
6.6.1.	Dæk/hjulkombination(er)
6.6.1.1.	Aksler
6.6.1.1.1.	Aksel 1: .....
6.6.1.1.1.1.	Dækdimensionsbetegnelse
6.6.1.1.2.	Aksel 2: .....
6.6.1.1.2.1.	Dækdimensionsbetegnelse
	osv.
6.6.2.	Øvre og nedre grænse for rulleradius
6.6.2.1.	Aksel 1: .....
6.6.2.2.	Aksel 2: .....
6.6.3.	Dæktryk anbefalet af køretøjsfabrikanten: .....kPa
9.	KARROSSERI
9.1.	Karrosseritype [c]: .....
9.10.3.	Sæder
9.10.3.1.	Antal siddepladser: .....
12.	DIVERSE
12.10.	Anordninger eller systemer med førervalgte driftstilstande, som har indflydelse på CO_2-emissioner, brændstofforbrug, elektrisk energistofforbrug og/eller kriterieemissioner og ikke har en fremherskende driftstilstand: ja/nej ([1])
12.10.1.	Ladningsbevarende prøvning (hvis relevant) (angiv for hver anordning eller system)
12.10.1.0.	Fremherskende driftstilstand under CS-forhold: ja/nej [1]
12.10.1.0.1.	Fremherskende driftstilstand under CS-forhold: ..... (hvis det er relevant)
12.10.1.1.	Best case-driftstilstand: ..... (hvis det er relevant)
12.10.1.2.	Worst case-driftstilstand: ..... (hvis det er relevant)
12.10.1.3.	Tilstand, som gør det muligt for køretøjet at følge referenceprøvningscyklussen: .....(hvis der ikke er nogen fremherskende driftstilstand under CS-forhold og kun én funktion kan følge referenceprøvningscyklussen)
12.10.2.	Ladningsforbrugende prøvning (hvis relevant) (angiv for hver anordning eller system)
12.10.2.0.	Fremherskende driftstilstand under CS-forhold: ja/nej [1]

12.10.2.0.1.	Fremherskende driftstilstand under CS-forhold: …… (hvis det er relevant)
12.10.2.1.	Mest energiforbrugende driftstilstand …… (hvis det er relevant)
12.10.2.2.	Tilstand, som gør det muligt for køretøjet at følge referenceprøvningscyklussen: ……(hvis der ikke er nogen fremherskende driftstilstand under CS-forhold og kun én funktion kan følge referenceprøvningscyklussen)
12.10.3.	Type 1-prøvning (hvis relevant) (angiv for hver anordning eller system)
12.10.3.1.	Best case-driftstilstand: ……
12.10.3.2.	Worst case-driftstilstand: ……

Forklarende noter

([1]) Det ikke gældende overstreges (i nogle tilfælde skal intet overstreges, f.eks. hvis flere muligheder er gældende).

([2]) Tolerancen specificeres.

([3]) De øvre og nedre værdier for hver variant bedes udfyldt her.

([6]) (Reserveret)

([7]) Ekstraudstyr, som påvirker køretøjets dimensioner, skal angives.

([x]) Den nominelle isoleringsvolumen og nominelle isoleringsvægt, angives med to decimaler. Der anvendes en tolerance på ±10 % for isolationsvolumen og isoleringsvægt. Skal ikke dokumenteres, hvis "nej" angives i punkt 3.2.20.2.5. eller 3.2.20.2.7.

([c]) Som defineret i den konsoliderede resolution om køretøjers konstruktion (R.E.3), dokument ECE/TRANS/WP.29/78/Rev.6, punkt 2. - www.unece.org/trans/main/wp29/wp29wgs/wp29gen/wp29resolutions.html.

([f]) Ved udførelse med normalt førerhus og udførelse med førerhus med sovekabine oplyses dimensioner og masse for begge udførelser.

([g]) ISO-standard nr. 612: 1978 — Road vehicles — Dimensions of motor vehicles and towed vehicles — terms and definitions.

([h]) Førerens masse sættes til 75 kg.

Væskebeholdersystemerne (undtagen beholdere til spildevand, der skal forblive tomme) fyldes til 100 % af den af fabrikanten specificerede kapacitet.

([i]) For påhængsvogne og sættevogne — og for køretøjer med tilkoblet påhængsvogn eller sættevogn — hvor tilkoblingsanordningen belastes med en signifikant kraft i lodret retning eller på det femte hjul, indgår denne belastning efter division med tyngdeaccelerationen i den teknisk tilladte totalmasse.

([k]) For køretøjer, som kan køre på enten benzin, diesel osv., eventuelt kombineret med andet brændstof, gentages punkterne.

For ikkekonventionelle motorer og systemer skal fabrikanten give nærmere oplysninger svarende til dem, der er nævnt her.

([l]) Denne værdi skal afrundes til nærmeste tiendedel millimeter.

([m]) Denne værdi skal beregnes med $\pi = 3{,}1416$ og afrundes til nærmeste hele cm^3.

([n]) Bestemt i henhold til forskrifterne i FN-regulativ nr. 85.

([p]) Specificerede oplysninger skal gives for hver foreslået variant.

([q]) Hvad angår påhængskøretøjer, maksimalhastighed som angivet af fabrikanten.

Bilag A1 - Tillæg 1.

WLTP-prøvningsrapport

PRØVNINGSRAPPORTER

En prøvningsrapport er den rapport, som udstedes af den tekniske tjeneste, der er ansvarlig for udførelse af prøvningerne i henhold til denne forordning.

Del I

Følgende oplysninger er, såfremt de er relevante, de data, der som minimum er nødvendige for type 1-prøvningen.

RAPPORT nr.

ANSØGER				
Fabrikant				
EMNE	…			
	Anmodning om godkendelse på niveau (sæt kryds i et felt)	Niveau 1A ☐	Niveau 1B ☐	Niveau 2 ☐

Identifikator(er) for køremodstandsfamilie(r):	:	
Identifikator(er) for interpolationsfamilie	:	
Genstand for prøvning		
Fabrikat	:	
IP-identifikator	:	
KONKLUSION	Genstanden for prøvningen opfylder de krav, der er nævnt i denne rubrik.	

STED,	DD/MM/ÅÅÅÅ

Almindelige bemærkninger:

Hvis der er flere muligheder (referencer), skal den prøvede konstruktion beskrives i prøvningsrapporten.

Hvis dette ikke er tilfældet, er en fælles reference til oplysningsskemaet i begyndelsen af prøvningsrapporten tilstrækkeligt.

Hver teknisk tjeneste kan frit medtage visse supplerende oplysninger.

Bogstaver indgår i de afsnit af prøvningsrapporten, der omhandler specifikke køretøjer, som følger:

"a)" Specifikt for køretøjer med styret tænding eller køretøjer "G" (som angivet i tabel 1B i FN-regulativ nr. 154) (hvis det er relevant).

"b)" Specifikt for køretøjer med kompressionstænding eller køretøjer "D" (som angivet i tabel 1B i FN-regulativ nr. 154) (hvis det er relevant).

1. Beskrivelse af prøvningskøretøjet (-køretøjerne): høj, lav og medium (hvis det er relevant)

1.1. Generelt

Køretøjsnumre	:	Prototypens nr. og VIN
Klasse	:	
Karrosseri	:	
Trækkende hjul	:	

1.1.1. Drivlinjens arkitektur

Drivlinjens arkitektur	:	udelukkende ICE, hybrid, elektrisk eller brændselscellebaseret

1.1.2. Forbrændingsmotor (hvis relevant)

Ved mere end én ICE gentages punktet.

Fabrikat	:					
Type	:					
Arbejdsprincip	:	totakt/firetakt				
Antal cylindre og cylinderarrangement	:					
Motorkapacitet (cm^3)	:					
Tomgangshastighed (min^{-1})	:		+ -			
Forhøjet tomgangshastighed (min^{-1}) (a)	:		+ -			
Motorens mærkeeffekt	:		kW	ved		omdr./min.
Maksimalt nettodrejningsmoment	:		Nm	ved		omdr./min.
Smøremidler	:	fabrikat og type				
Kølesystem	:	Type: luft/vand/olie				
Isolering	:	materiale, beløb, placering, nominel volumen og nominel vægt[4]				

([4]) der tillades en tolerance på ±10 % for volumen og vægt

1.1.3. Prøvebrændstof til type 1-prøvning (hvis relevant)

Ved mere end ét prøvningsbrændstof gentages punktet

Fabrikat	:	
Type	:	Benzin – diesel – LPG – NG –... ...
Massefylde ved 15 °C	:	
Svovlindhold	:	Kun for diesel og benzin
	:	

Batchnr.	:	
Willans-faktorer (for ICE) for CO_2-emission (gCO_2/MJ)	:	

1.1.4. Brændstoftilførselssystem (hvis relevant)

Ved mere end ét brændstoftilførselssystem gentages punktet.

Direkte indsprøjtning	:	ja/nej eller beskrivelse
Køretøjets brændstoftype	:	Mono-brændstof/bi-brændstof/flex-brændstof
Styringsenhed		
Delreference	:	Samme som oplysningsskema
Softwaretestet	:	f.eks. aflæses via Scantool
Luftflowmåler	:	
Spjældhuset	:	
Trykføler	:	
Indsprøjtningspumpe	:	
Indsprøjtningsdyse(r):	:	

1.1.5. Indsugningssystem (hvis relevant)

Ved mere end ét indsugningssystem gentages punktet.

Tryklader	:	Ja/Nej mærke & type (1)
Ladeluftkøling	:	ja/nej type (luft/luft – luft/vand) (1)
Luftfilter (element) (1)	:	mærke & type
Indsugningsstøjdæmper (1)	:	mærke & type

1.1.6. Udstødningssystem og antifordampningssystem (hvis relevant)

Hvis mere end én, gentages punktet.

Første katalysator	:	mærke & reference (1) princip: trevejs/oxiderende/NOx-filter/NOx-lagringssystem/selektiv katalytisk reduktion ...
Anden katalysator	:	mærke & reference (1) princip: trevejs/oxiderende/NOx-filter/NOx-lagringssystem/selektiv katalytisk reduktion ...
Partikelmasse	:	med/uden/ikke relevant katalyseret: ja/nej mærke & reference (1)
Reference og placering for oxygen- og /eller lambdasonde(-r)	:	før katalysator/efter katalysator
Luftindsprøjtning	:	med/uden/ikke relevant

Vandindsprøjtning	:	med/uden/ikke relevant
EGR	:	med/uden/ikke relevant kølet/ikke-kølet HP/LP
System til begrænsning af fordampningsemission	:	med/uden/ikke relevant
Reference og placering for NOx-sensor(-er)	:	Før/efter
Åbninger i udstødningssystemet til fjernelse af kondensat (hvis relevant)	:	Placering
Generel beskrivelse (1)	:	

1.1.7. Varmelagringsenhed (hvis relevant)

Ved mere end ét varmelagringssystem gentages punktet.

Varmelagringsenhed	:	ja/nej
Varmekapacitet (enthalpilagret J)	:	
Tid for varmeafgivelse (s)	:	

1.1.8. Transmission (hvis relevant)

Ved mere end én transmission gentages punktet.

Gearkasse	:	manuel/automatisk/kontinuerlig variation
Gearskiftprocedure		
Fremherskende driftstilstand*	:	ja/nej normal/drive/eco/…
Best case-tilstand med hensyn til CO_2-emissioner og brændstofforbrug (hvis relevant)	:	
Worst case-tilstand med hensyn til CO_2-emissioner og brændstofforbrug (hvis relevant)	:	
Højeste elektriske energiforbrug (hvis relevant)	:	
Styringsenhed	:	
Gearkassesmøremiddel	:	fabrikat og type
Dæk		
Fabrikat	:	
Type	:	
Dækdimensioner (for/bag):	:	
Dynamisk omkreds (m)	:	
Dæktryk (kPa)	:	

* for OVC-HEV specificeres for ladningsbevarende og ladningsforbrugende driftstilstand.

Transmissionsudvekslingsforhold (R.T.), primære udvekslingsforhold (R.P.) og (køretøjets hastighed (km/h))/(motorhastighed (1000 (min^{-1}))(v_{1000}) for hvert af gearkassens udvekslingsforhold (R.B.).

R.B.	R.P.	R.T.	V_{1000}
1.	1/1		
2.	1/1		
3.	1/1		
4.	1/1		
5.	1/1		
…			

1.1.9. Elektrisk maskine (hvis relevant)

Ved mere end én elektrisk maskine gentages punktet.

Fabrikat	:	
Type	:	
Maksimal effekt (kW)	:	

1.1.10. REESS-træk (hvis relevant)

Ved mere end ét REESS-træk gentages punktet.

Fabrikat	:	
Type	:	
Kapacitet (Ah)	:	
Nominel spænding (V)	:	

1.1.11. Brændselscelle (hvis relevant)

Ved mere end én brændselscellestak gentages punktet.

Fabrikat	:	
Type	:	

1.1.12. Effektelektronik (hvis relevant)

Det kan dreje sig om mere end én effektelektronisk enhed (fremdriftskonverter, lavspændingssystem eller lader)

Fabrikat	:	
Type	:	
Effekt (kW)	:	

1.2. Beskrivelse af køretøjets "høj"

1.2.1. Masse

Prøvningsmasse for VH (kg)	:	

1.2.2. Køremodstandsparametre

f_0 (N)	:	
f_1 (N/(km/h))	:	
f_2 (N/(km/h)^2)	:	
Cyklusenergikrav (J)	:	
Køremodstandsprøvningsrapport, reference	:	
Identifikator for køremodstandsfamilie	:	

1.2.3. Cyklusudvælgelsesparametre

Cyklus (uden nedskalering)	:	Gruppe 1 / 2 / 3a / 3b
Forhold mellem mærkeeffekt og masse i køreklar stand – 75 kg (PMR) (W/kg)	:	(hvis relevant)
Proces for begrænset hastighed anvendt under målingen	:	ja/nej
Køretøjets maksimalhastighed, km/h	:	
Nedskalering (hvis relevant)	:	ja/nej
Nedskaleringsfaktor fdsc	:	
Cyklusafstand (m)	:	
Konstant hastighed (i tilfælde af forkortet prøvningsprocedure)	:	hvis relevant

1.2.4. Gearskiftepunkt (hvis relevant)

Udgave af gearskifteberegning		angiv den relevante ændring til FN- regulativ nr. 15
Gearskift	:	Gennemsnitsgear for v ≥ 1 km/h, x.xxxx
n_{min_drive}		
1. gear	:	…min-1
1. til 2. gear	:	…min-1
2. gear til stilstand	:	…min-1
2. gear	:	…min-1
3. gear og derefter	:	…min-1
Gear 1 udelukket:	:	ja/nej
n_{95_high} for hvert gear	:	…min-1
$n_{min_drive_set}$ for accelerationsfaser/faser med konstant hastighed ($n_{min_drive_up}$):	:	…min-1
$n_{min_drive_set}$ for decelerationsfaser ($n_{min_drive_down}$)	:	…min-1

t_{start_phase}	:	…s
$n_{min_drive_start}$	:	…min-1
$n_{min_drive_up_start}$	:	…min-1
anvendelse af ASM	:	ja/nej
ASM-værdier	:	

1.3. Beskrivelse af køretøjets "lav" (hvis relevant)

1.3.1. Masse

Prøvningsmasse for VL (kg)	:	

1.3.2. Køremodstandsparametre

f_0 (N)	:	
f_1 (N/(km/h))	:	
f_2 (N/(km/h)^2)	:	
Cyklusenergikrav (J)	:	
$\Delta(C_D \times A_f)_{LH}$ (m^2)	:	
Køremodstandsprøvningsrapport, reference	:	
Identifikator for køremodstandsfamilie	:	

1.3.3. Cyklusudvælgelsesparametre

Cyklus (uden nedskalering)	:	Gruppe 1 / 2 / 3a / 3b
Forhold mellem mærkeeffekt og masse i køreklar stand – 75 kg (PMR) (W/kg)	:	(hvis relevant)
Proces for begrænset hastighed anvendt under målingen	:	ja/nej
Køretøjets maksimalhastighed.	:	
Nedskalering (Hvis relevant)	:	ja/nej
Nedskaleringsfaktor fdsc	:	
Cyklusafstand (m)	:	
Konstant hastighed (i tilfælde af forkortet prøvningsprocedure)	:	hvis relevant

1.3.4. Gearskiftepunkt (hvis relevant)

Gearskift	:	Gennemsnitsgear for v ≥ 1 km/h, x.xxxx

1.4. Beskrivelse af køretøjet "M" (hvis relevant)

1.4.1. Masse

Prøvningsmasse for VM (kg)	:	

1.4.2. Køremodstandsparametre

f_0 (N)	:	
f_1 (N/(km/h))	:	
f_2 (N/(km/h)^2)	:	
Cyklusenergikrav (J)	:	
$\Delta(C_D \times A_f)_{LH}$ (m^2)	:	
Køremodstandsprøvningsrapport, reference	:	
Identifikator for køremodstandsfamilie	:	

1.4.3. Cyklusudvælgelsesparametre

Cyklus (uden nedskalering)	:	Gruppe 1 / 2 / 3a / 3b
Forhold mellem mærkeeffekt og masse i køreklar stand – 75 kg (PMR) (W/kg)	:	(hvis relevant)
Proces for begrænset hastighed anvendt under målingen	:	ja/nej
Køretøjets maksimalhastighed.	:	
Nedskalering (Hvis relevant)	:	ja/nej
Nedskaleringsfaktor fdsc	:	
Cyklusafstand (m)	:	
Konstant hastighed (i tilfælde af forkortet prøvningsprocedure)	:	hvis relevant

1.4.4. Gearskiftepunkt (hvis relevant)

Gearskift	:	Gennemsnitsgear for v ≥ 1 km/h, x.xxxx

2. Prøvningsresultater

2.1. Type 1-prøvning

Indstilling af chassisdynamometer	:	Fast/iterativ/alternativ kørsel med egen opvarmningscyklus
Dynamometeret i 2WD-/4WD-funktion	:	2WD/4WD
Ved 2WD-funktion: roterede den ikke-trækkende aksel?	:	ja/nej/ikke relevant
Dynamometeret i driftstilstand	:	ja/nej

Friløbstilstand	:	ja/nej
Yderligere prækonditionering	:	ja/nej beskrivelse
Forringelsesfaktorer	:	formålsbestemt/afprøvet

2.1.1. Køretøjets "høj"

Prøvningsdato(er):	:	(dag/måned/år)
Sted for prøvning(erne)	:	Chassisdynonamometer, sted, land
Køleventilatorens laveste kants højde over jorden (cm)	:	
Ventilatormidtens sideværts position (hvis ændret på anmodning fra fabrikanten)	:	i køretøjet midterlinje/...
Afstand til køretøjets forparti (cm)	:	
IWR: Inerti-arbejde-tal (Inertial Work Rating) — 4-fase-cyklus (%)	:	x.x
IWR: Inerti-arbejde-tal (Inertial Work Rating) — 3-fase-cyklus (%)	:	x.x
RMSSE: Middelkvadratafvigelse på hastighed (Root Mean Squared Speed Error) — 4-fase-cyklus (km/h)	:	x.xx
RMSSE: Middelkvadratafvigelse på hastighed (Root Mean Squared Speed Error) — 3-fase-cyklus (km/h)	:	x.xx
Beskrivelse af den godkendte afvigelse af kørecyklussen	:	PEV før afbrydekriterium eller Fuldt aktiveret accelerationspedal

2.1.1.1. Kriterieemissioner (hvis relevant)

2.1.1.1.1. Kriterieemissioner fra køretøjer med mindst én forbrændingsmotor, fra NOVC-HEV'er og fra OVC-HEV'er ved ladningsbevarende type 1-prøvning

For hver førervalgt driftstilstand, der prøves, gentages punkterne nedenfor (fremherskende driftstilstand eller best case-driftstilstand og worst case-driftstilstand, hvis relevant)

Prøvning 1a — Resultater efter 4-fasecyklussen

Forurenende stoffer	CO (mg/km)	THC (a) (mg/km)	NMHC (a) (mg/km)	NOx (mg/km)	THC+NOx (b) (mg/km)	Partikler (mg/km)	Partikelantal (#.10^{11}/km)
Målte værdier							
Regenereringsfaktorer (Ki)(2) Additiv							
Regenereringsfaktorer (Ki)(2) Multiplikativ							

Forurenende stoffer	CO (mg/km)	THC (a) (mg/km)	NMHC (a) (mg/km)	NOx (mg/km)	THC+NOx (b) (mg/km)	Partikler (mg/km)	Partikelantal (#.10^{11}/km)
Forringelsesfaktorer (DF), additive							
Forringelsesfaktorer (DF), multiplikative							
Slutværdier							
Grænseværdier							

Prøvning 1b — Resultater efter 3-fasecyklussen

Forurenende stoffer	CO (mg/km)	THC (mg/km)	NMHC (mg/km)	NOx (mg/km)	Partikler (mg/km)	Partikelantal (#.10^{11}/km)
Målte værdier						
Regenereringsfaktorer (Ki)(2) Additiv						
Regenereringsfaktorer (Ki)(2) Multiplikativ						
Forringelsesfaktorer (DF), additive						
Forringelsesfaktorer (DF), multiplikative						
Slutværdier						
Grænseværdier		-				

(2) Se Ki-familierapport(er) (hvis relevant)	:	
Type 1 gennemført til Ki-bestemmelse (hvis relevant)	:	
Identifikator for regenereringsfamilie	:	

Prøvning 2a og 2b, hvis relevant: af CO_2-årsager (d_{CO2}[1])/årsager vedr. forurenende stoffer (90 % af grænserne)/ begge årsager

Registrer prøvningsresultaterne i overensstemmelse med tabellen for prøvning 1a og 1b, alt efter, hvad der er relevant

Prøvning 3a og 3b, hvis relevant: af CO_2-årsager (d_{CO2}[2])

Registrer prøvningsresultaterne i overensstemmelse med tabellen for prøvning 1a og 1b, alt efter, hvad der er relevant

2.1.1.1.2. Kriterieemissioner fra OVC-HEV'er ved ladningsforbrugende type 1-prøvning

Prøvning 1a — Resultater efter 4-fasecyklussen

Grænseværdier for kriterieemissioner skal være opfyldt, og følgende stykke skal gentages for hver kørt prøvningscyklus.

Forurenende stoffer	CO (mg/km)	THC (a) (mg/km)	NMHC (a) (mg/km)	NOx (mg/km)	THC+NOx (b) (mg/km)	Partikler (mg/km)	Partikelantal (#.10^{11}/km)
Målte værdier, enkelt cyklus							
Grænseværdier, enkelt cyklus							

Prøvning 1b — Resultater efter 3-fasecyklussen

Grænseværdier for kriterieemissioner skal være opfyldt, og følgende stykke skal gentages for hver kørt prøvningscyklus.

Forurenende stoffer	CO (mg/km)	THC (mg/km)	NMHC (mg/km)	NOx (mg/km)	Partikler (mg/km)	Partikelantal (#.10^{11}/km)
Målte værdier, enkelt cyklus						
Grænseværdier, enkelt cyklus						

Prøvning 2a og 2b (hvis relevant): af CO_2-årsager (d_{CO2}[1])/årsager vedr. forurenende stoffer (90 % af grænserne)/ begge årsager

Registrer prøvningsresultaterne i overensstemmelse med tabellen for prøvning 1a og 1b, alt efter, hvad der er relevant

Prøvning 3a og 3b (hvis relevant): af CO_2-årsager (d_{CO2}[2])

Registrer prøvningsresultaterne i overensstemmelse med tabellen for prøvning 1a og 1b, alt efter, hvad der er relevant

2.1.1.1.3. UF-vægtede kriterieemissioner fra OVC-HEV'er

Forurenende stoffer	CO (mg/km)	THC (a) (mg/km)	NMHC (a) (mg/km)	NOx (mg/km)	THC+NOx (b) (mg/km)	Partikler (mg/km)	Partikelantal (#.10^{11}/km)
Beregnede værdier							

2.1.1.2. CO_2-emission (hvis relevant)

2.1.1.2.1. CO_2-emission fra køretøjer med mindst én forbrændingsmotor, fra NOVC-HEV'er og fra OVC-HEV'er ved ladningsbevarende type 1-prøvning

For hver førervalgt driftstilstand, der prøves, gentages punkterne nedenfor (fremherskende driftstilstand eller best case-driftstilstand og worst case-driftstilstand) hvis relevant

Prøvning 1a — Resultater efter 4-fasecyklussen

CO_2-emission	"Lav"	"Medium"	"Høj"	"Ekstra høj"	Blandet kørsel
Målt værdi $M_{CO2,p,1}$ / $M_{CO2,c,2}$					
Fart- og distancekorrigeret værdi $M_{CO2,p,2b}$ / $M_{CO2,c,2b}$					
RCB-justeringskoefficient (5)					
$M_{CO2,p,3}$ / $M_{CO2,c,3}$					
Regenereringsfaktorer (Ki) Additiv					
Regenereringsfaktorer (Ki) Multiplikativ					
$M_{CO2,c,4}$		-			
$AF_{Ki=}$ $M_{CO2,c,3}$ / $M_{CO2,c,4}$		-			
$M_{CO2,p,4}$ / $M_{CO2,c,4}$					-
ATCT-korrektion (FCF) (4)					
Midlertidige værdier for $M_{CO2,p,5}$ / $M_{CO2,c,5}$					
Opgivet værdi	-	-	-	-	
d_{CO2}[1] * , opgivne værdi	-	-	-	-	

(4) FCF: familiekorrektionsfaktor til korrektion af repræsentative regionale temperaturforhold (ATCT)

Se ATCT-familierapport(er) (hvis relevant)	:	
Identifikator for ATCT-familie	:	

(5) korrektion som omhandlet i tillæg 2 til bilag B6 i FN-regulativ nr. 154 for rene ICE-køretøjer og tillæg 2 til bilag B8 i FN-regulativ nr. 154 for HEV'er ($K_{CO2)}$

Prøvning 2a og 2b (hvis relevant)

Registrer prøvningsresultaterne i overensstemmelse med tabellen for prøvning 1a og 1b, alt efter, hvad der er relevant

Prøvning 3a og 3b (hvis relevant)

Registrer prøvningsresultaterne i overensstemmelse med tabellen for prøvning 1a og 1b, alt efter, hvad der er relevant

Konklusion efter 4-fase-cyklussen

CO_2-emission (g/km)	"Lav"	"Medium"	"Høj"	"Ekstra høj"	Blandet kørsel
Gennemsnitsberegning, $M_{CO2,p,6}$/ $M_{CO2,c,6}$					
Tilpasning, $M_{CO2,p,7}$ / $M_{CO2,c,7}$					
Slutværdier $M_{CO2,p,H}$ / $M_{CO2,c,H}$					

Oplysninger om produktionsoverensstemmelse for OVC-HEV

	Blandet kørsel
CO_2-emission (g/km) $M_{CO_2,CS,COP}$	
$AF_{CO_2,CS}$	

2.1.1.2.2. CO_2 -emission fra OVC-HEV'er ved ladningsforbrugende type 1-prøvning

Prøvning 1

CO_2-emission (g/km)	Blandet kørsel
Beregnet værdi $M_{CO2,CD}$	
Opgivet værdi	
d_{CO2}[1]	

Prøvning 2 (hvis relevant)

Registrer prøvningsresultaterne i overensstemmelse med tabellen for prøvning 1

Prøvning 3 (hvis relevant)

Registrer prøvningsresultaterne i overensstemmelse med tabellen for prøvning 1

Konklusion

CO_2-emission (g/km)	Blandet kørsel
Gennemsnitsberegning for $M_{CO2,CD}$	
Slutværdi $M_{CO2,CD}$	

2.1.1.2.3. UF-vægtede CO_2-masseemissioner fra OVC-HEV'er

CO_2-emission (g/km)	Blandet kørsel
Beregnet værdi $M_{CO2,vægtet}$	

2.1.1.3. Brændstofforbrug (hvis relevant)

2.1.1.3.1. Brændstofforbrug for køretøjer udelukkende med forbrændingsmotor, for NOVC-HEV'er og for OVC-HEV'er ved ladningsbevarende type 1-prøvning

For hver førervalgt driftstilstand, der prøves, gentages punkterne nedenfor (fremherskende driftstilstand eller best case-driftstilstand og worst case-driftstilstand) hvis relevant

Brændstofforbrug (l/100 km) eller brændstofeffektivitet (km/l) (alt efter hvad der er relevant)	"Lav"	"Medium"	"Høj"	"Ekstra høj"	Blandet kørsel
Slutværdier $FC_{p,H}$ / $FC_{c,H}$ [6], FE_p, FE_c					

[6] Beregnet ud fra afstemte CO_2-værdier

Mobil brændstof- og/eller energiforbrugsovervågning for køretøjer, der er omhandlet i punkt 5.11 i dette regulativ.

Datatilgængelighed

De parametre, som er angivet i punkt 3 i tillæg 5 til dette regulativ, er tilgængelige: ja/ikke relevant

Nøjagtighed (hvis relevant)

Fuel_ConsumedWLTP (liter) [8]	Køretøjets HØJ - Prøvning 1	x.xxx
	Køretøjets HØJ - Prøvning 2 (hvis relevant)	x.xxx
	Køretøjets HØJ - Prøvning 3 (hvis relevant)	x.xxx
	Køretøjets LAV - Prøvning 1 (hvis relevant)	x.xxx
	Køretøjets LAV - Prøvning 2 (hvis relevant)	x.xxx
	Køretøjets LAV - Prøvning 3 (hvis relevant)	x.xxx
	I alt	x.xxx
Fuel_ConsumedOBFCM (liter) [8]	Køretøjets HØJ - Prøvning 1	x.xxx[9]
	Køretøjets HØJ - Prøvning 2 (hvis relevant)	x.xxx[9]
	Køretøjets HØJ - Prøvning 3 (hvis relevant)	x.xxx[9]
	Køretøjets LAV - Prøvning 1 (hvis relevant)	x.xxx[9]
	Køretøjets LAV - Prøvning 2 (hvis relevant)	x.xxx[9]
	Køretøjets LAV - Prøvning 3 (hvis relevant)	x.xxx[9]
	I alt	x.xxx[9]
Nøjagtighed [8]		x.xxx

[8] i henhold til tillæg 5 i dette regulativ
[9] Hvis OBFCM-signalet kun kan aflæses med 2 decimaler, angives den tredje decimalplads som et nul

2.1.1.3.2. Brændstofforbrug for OVC-HEV'er og OVC-FCHV'er (alt efter hvad der er relevant) ved ladningsforbrugende type 1-prøvning

Prøvning 1

Brændstofforbrug (l/100 km eller kg/100 km) eller brændstofeffektivitet (km/l) (alt efter hvad der er relevant)	Blandet kørsel
Beregnet værdi FC_{CD}, FE_{CD}	

Prøvning 2 (hvis relevant)

Registrer prøvningsresultaterne i overensstemmelse med tabellen for prøvning 1

Prøvning 3 (hvis relevant)

Registrer prøvningsresultaterne i overensstemmelse med tabellen for prøvning 1

Konklusion

Brændstofforbrug (l/100 km eller kg/100 km) eller brændstofeffektivitet (km/l) (alt efter hvad der er relevant)	Blandet kørsel
Gennemsnitsværdi FC_{CD}, FE_{CD}	
Slutværdi FC_{CD}, FE_{CD}	

2.1.1.3.3. UF-vægtet brændstofforbrug for OVC-HEV'er og OVC-FCHV'er (alt efter hvad der er relevant)

Brændstofforbrug (l/100 km eller kg/100 km)	Blandet kørsel
Beregnet værdi $FC_{vægtet}$	

2.1.1.3.4. Brændstofforbrug for NOVC-FCHV'er og OVC-FCHVs'er (alt efter hvad der er relevant) ved ladningsbevarende type 1-prøvning

For hver førervalgt driftstilstand, der prøves, gentages punkterne nedenfor (fremherskende driftstilstand eller best case-driftstilstand og worst case-driftstilstand) hvis relevant

Brændstofforbrug (kg/100 km) eller brændstofeffektivitet (km/kg) (alt efter hvad der er relevant)	Blandet kørsel
Målte værdier	
RCB-justeringskoefficient	
Slutværdier $FC_{c,}$ FE_{c}	

2.1.1.4. Rækkevidder (hvis relevant)

2.1.1.4.1. Rækkevidder for OVC-HEV'er og OVC-FCHV'er (alt efter hvad der er relevant)

2.1.1.4.1.1. Fuldt elektrisk rækkevidde (AER)

Prøvning 1 *AER (km)*	Bykørsel	Kombineret (4-fase-cyklus)	Kombineret (3-fase-cyklus)
Målte/beregnede AER-værdier			
Opgivet værdi	-		

Prøvning 2 (hvis relevant)

Registrer prøvningsresultaterne i overensstemmelse med tabellen for prøvning 1

Prøvning 3 (hvis relevant)

Registrer prøvningsresultaterne i overensstemmelse med tabellen for prøvning 1

Konklusion

AER (km)	Bykørsel	Kombineret (4-fase-cyklus)	Kombineret (3-fase-cyklus)
Gennemsnitsberegning af AER (hvis relevant)			
Slutværdier for AER			

2.1.1.4.1.2. Ækvivalent fuldt elektrisk rækkevidde (EAER)

Resultater efter 4-fase-cyklus

EAER (km)	"Lav"	"Medium"	"Høj"	"Ekstra høj"	Bykørsel	Blandet kørsel
Beregnet værdi EAER						
Opgivet værdi	-	-	-	-	-	
Slutværdier for EAER						

Resultater efter 3-fase-cyklus

EAER (km)	"Lav"	"Medium"	"Høj"	Blandet kørsel
Beregnet værdi EAER				
Opgivet værdi	-	-	-	
Slutværdier for EAER				

2.1.1.4.1.3. Faktisk ladningsforbrugende rækkevidde

RCDA (km)	Kombineret (4-fase-cyklus)	Kombineret (3-fase-cyklus)
Slutværdi for R_{CDA}		

2.1.1.4.1.4. Rækkevidden i ladningsforbrugende cyklus

Prøvning 1

RCDC (km)	Kombineret (4-fase-cyklus)	Kombineret (3-fase-cyklus)
Slutværdi for R_{CDC}		
Indeksnummeret på overgangscyklus		
REEC for bekræftelsescyklus (%)		

Prøvning 2 (hvis relevant)

Registrer prøvningsresultaterne i overensstemmelse med tabellen for prøvning 1

Prøvning 3 (hvis relevant)

Registrer prøvningsresultaterne i overensstemmelse med tabellen for prøvning 1

2.1.1.4.2. Rækkevidder for PEV'er - Rent elektrisk rækkevidde (hvis relevant)

Prøvning 1

PER (km)	"Lav"	"Medium"	"Høj"	"Ekstra høj"	Bykørsel	Kombineret (4-fase-cyklus)	Kombineret (3-fase-cyklus)
Beregnet værdi PER							
Opgivet værdi	-	-	-	-	-		

Prøvning 2 (hvis relevant)

Registrer prøvningsresultaterne i overensstemmelse med tabellen for prøvning 1

Prøvning 3 (hvis relevant)

Registrer prøvningsresultaterne i overensstemmelse med tabellen for prøvning 1

Konklusion

PER (km)	"Lav"	"Medium"	"Høj"	"Ekstra høj"	Bykørsel	Kombineret (4-fase-cyklus)	Kombineret (3-fase-cyklus)
Gennemsnitsberegning for PER							
Slutværdier for PER							

2.1.1.4.3. Rækkevidde for OVC-FCHV'er og NOVC-FCHV'er — køreautonomi med hydrogen (hvis relevant)

Prøvning 1

P_{LL}, nedre trykgrænse (MPa)	-
Målt værdi P_{LL}	
Oplyst værdi P_{LL}	

Prøvning 2 (hvis det er relevant)

Registrer prøvningsresultaterne i overensstemmelse med tabellen for prøvning 1

Prøvning 3 (hvis relevant)

Registrer prøvningsresultaterne i overensstemmelse med tabellen for prøvning 1

Konklusion

P_{LL} (MPa)	-
Endelig værdi P_{LL}	

Køreautonomi med hydrogen (km)	Blandet kørsel
Beregnet værdi	

2.1.1.5. Elektrisk energiforbrug (hvis relevant)

2.1.1.5.1. Elektrisk brændstofforbrug for OVC-HEV'er og OVC-FCHV'er (alt efter hvad der er relevant)

2.1.1.5.1.1. Ladningsenergi (E_{AC})

	4-fase-cyklus	3-fase-cyklus
E_{AC}(Wh)		

Kun niveau 1A og niveau 2

De parametre, som er angivet i punkt 3.2, litra p), eller punkt 3.3, litra j), i tillæg 5 til dette regulativ, er tilgængelige: ja/ikke relevant

Nøjagtighed (hvis relevant)

Køretøjets opladte energi, $_{REESS_charging}$ (kWh) ([10])	x.xxx
Køretøjets opladte energi, $_{OBFCM}$ (kWh) ([10])	x.xxx([11])
Nøjagtighed for køretøjets opladte energi ([10])	x.xxx([11])

([10]) i henhold til tillæg 5 i dette regulativ
([11]) hvis OBFCM-signalet kun kan aflæses med 2 decimaler, angives den tredje decimalplads som et nul

Kun niveau 1B og niveau 2

De parametre, som er angivet i punkt 3 i tillæg 5 til dette regulativ og opført i tillæg 1 til bilag C1, er tilgængelige: ja/ikke relevant

2.1.1.5.1.2. Elektrisk energiforbrug (EC)

Prøvning 1a — Resultater efter 4-fasecyklussen

EC (Wh/km)	"Lav"	"Medium"	"Høj"	"Ekstra høj"	Bykørsel	Blandet kørsel
Slutværdier for EC						

Prøvning 1b — Resultater efter 3-fasecyklussen

EC (Wh/km)	"Lav"	"Medium"	"Høj"	Blandet kørsel
Slutværdier for EC				

2.1.1.5.1.3. UF-vægtet ladningsforbrugende elektrisk energiforbrug

Prøvning 1

$EC_{AC,CD}$ (Wh/km)	Blandet kørsel
Beregnet værdi for $EC_{AC,CD}$-værdi	

Prøvning 2 (hvis relevant)

Registrer prøvningsresultaterne i overensstemmelse med tabellen for prøvning 1

Prøvning 3 (hvis relevant)

Registrer prøvningsresultaterne i overensstemmelse med tabellen for prøvning 1

Konklusion (hvis relevant)

$EC_{AC,CD}$ (Wh/km)	Blandet kørsel
Gennemsnitsværdi for $EC_{AC,CD}$	
Slutværdi	

2.1.1.5.1.4. UF-vægtet elektrisk energiforbrug

Prøvning 1

$EC_{AC,vægtet}$ (Wh)	Blandet kørsel
Beregnet værdi for $EC_{AC,vægtet}$-værdi	

Prøvning 2 (hvis relevant)

Registrer prøvningsresultaterne i overensstemmelse med tabellen for prøvning 1

Prøvning 3 (hvis relevant)

Registrer prøvningsresultaterne i overensstemmelse med tabellen for prøvning 1

Konklusion (hvis relevant)

$EC_{AC,vægtet}$ (Wh/km)	Blandet kørsel
Gennemsnitsværdi for $EC_{AC,vægtet}$	
Slutværdi	

2.1.1.5.1.5. Oplysninger til COP

	Kombineret (4-fase-cyklus)	Kombineret (3-fase-cyklus)
Elektrisk energiforbrug (Wh/km) $EC_{DC,CD,COP}$ eller $EC_{AC,CD,COP}$ (alt efter hvad der er relevant)		
$AF_{EC,AC,CD}$ (alt efter hvad der er relevant)		

Kun niveau 1A og niveau 2

De parametre, som er angivet i punkt 3.2, litra p), eller punkt 3.3, litra j), i tillæg 5 til dette regulativ, er tilgængelige: ja/ikke relevant

Nøjagtighed (hvis relevant)

Køretøjets opladte energi, $_{REESS_charging}$ (kWh) ([12])	x.xxx
Køretøjets opladte energi, $_{OBFCM}$ (kWh) ([13])	x.xxx([14])
Nøjagtighed for køretøjets opladte energi ([13])	x.xxx([14])

([12]) i henhold til punkt 3.4 i tillæg 2 i dette regulativ
([13]) i henhold til tillæg 5 i dette regulativ
([14]) hvis OBFCM-signalet kun kan aflæses med 2 decimaler, angives den tredje decimalplads som et nul

Kun niveau 1B og niveau 2

De parametre, som er angivet i punkt 3 i tillæg 5 til dette regulativ og opført i tillæg 1 til bilag C1, er tilgængelige: ja/ikke relevant

2.1.1.5.2. Elektrisk energiforbrug for PEV'er (hvis relevant)

Prøvning 1

E_{AC}(Wh)	

Kun niveau 1A og niveau 2

De parametre, som er angivet i punkt 3.2, litra p), eller punkt 3.3, litra j), i tillæg 5 til dette regulativ, er tilgængelige: ja/ikke relevant

Nøjagtighed (hvis relevant)

Køretøjets opladte energi, $_{REESS_charging}$ (kWh) ([15])	x.xxx
Køretøjets opladte energi, $_{OBFCM}$ (kWh) ([15])	x.xxx([16])
Nøjagtighed for køretøjets opladte energi ([15])	x.xxx([16])

([15]) i henhold til tillæg 5 i dette regulativ
([16]) hvis OBFCM-signalet kun kan aflæses med 2 decimaler, angives den tredje decimalplads som et nul

Kun niveau 1B og niveau 2

De parametre, som er angivet i punkt 3 i tillæg 5 til dette regulativ og opført i tillæg 1 til bilag C1, er tilgængelige: ja/ikke relevant

Prøvning 1a — Resultater efter 4-fasecyklussen

EC (Wh/km)	"Lav"	"Mediu-m"	"Høj"	"Ekstra høj"	Bykørsel	Blandet kørsel
Beregnede værdier for EC						
Opgivet værdi					-	

Prøvning 1b — Resultater efter 3-fasecyklussen

EC (Wh/km)	"Lav"	"Medium"	"Høj"	Blandet kørsel
Beregnede værdier for EC				
Opgivet værdi				

Prøvning 2a og 2b (hvis relevant)

Registrer prøvningsresultaterne i overensstemmelse med tabellen for prøvning 1

Prøvning 3a og 3b —

Registrer prøvningsresultaterne i overensstemmelse med tabellen for prøvning 1

Konklusion efter 4-fase-cyklussen

EC (Wh/km)	"Lav" 4-fase-cyklus	"Medium" 4-fase-cyklus	"Høj" 4-fase-cyklus	"Ekstra høj" 4-fase-cyklus	Bykørsel 4-fase-cyklus	Blandet kørsel 4-fase-cyklus
Gennemsnitsværdi for EC						
Slutværdier for EC						

Konklusion efter 3-fase-cyklussen

EC (Wh/km)	"Lav" 3-fase-cyklus	"Medium" 3-fase-cyklus	"Høj" 3-fase-cyklus	Blandet kørsel 3-fase-cyklus
Gennemsnitsværdi for EC				
Slutværdier for EC				

COP-oplysninger — Resultater efter 4-fasecyklussen (for niveau 1A — hvis relevant)

	Blandet kørsel 4-fase-cyklus
Elektrisk energiforbrug (Wh/km) $EC_{DC,COP}$	
AF_{EC}	

COP-oplysninger — Resultater efter 3-fasecyklussen (for niveau 1B — hvis relevant)

	Blandet kørsel 3-fase-cyklus
Elektrisk energiforbrug (Wh/km) $EC_{DC,COP}$	
AF_{EC}	

Kun niveau 1A og niveau 2

De parametre, som er angivet i punkt 3.2, litra p), eller punkt 3.3, litra j), i tillæg 5 til dette regulativ, er tilgængelige: ja/ikke relevant

Nøjagtighed (hvis relevant)

Køretøjets opladte energi, $_{REESS_charging}$ (kWh) ([17])	x.xxx
Køretøjets opladte energi, $_{OBFCM}$ (kWh) ([18])	x.xxx([19])
Nøjagtighed for køretøjets opladte energi ([18])	x.xxx([19])

([17]) i henhold til punkt 3.4 i tillæg 2 i dette regulativ
([18]) i henhold til tillæg 5 i dette regulativ
([19]) hvis OBFCM-signalet kun kan aflæses med 2 decimaler, angives den tredje decimalplads som et nul

Kun niveau 1B og niveau 2

De parametre, som er angivet i punkt 3 i tillæg 5 til dette regulativ og opført i tillæg 1 til bilag C1, er tilgængelige: ja/ikke relevant

2.1.2. Køretøjets "Lav" (hvis relevant)

Gentag punkt 2.1.1.

2.1.3. Køretøjets M (hvis relevant)

Gentag punkt 2.1.1.

2.1.4. Slutværdier for kriterieemissioner (hvis relevant)

Forurenende stoffer	CO (mg/km)	THC (a) (mg/km)	NMHC (a) (mg/km)	NOx (mg/km)	THC+NOx (b) (mg/km)	PM (mg/km)	PN (#.1011/km)
Højeste værdier[(3)]							

[(3)] for hvert forurenende stof i alle prøvningsresultater for VH, VL (hvis relevant) og VM (hvis relevant)

2.4. Type 4(a)-prøvning

Familiens identifikator	:	
Se rapport(er)	:	

2.5. Type 5-prøvning

Familiens identifikator	:	
Se holdbarhedsfamilierapport(er) (hvis relevant)	:	
Type 1-cyklus for kriterieemissionsprøvning (hvis relevant)	:	
Identifikator for holdbarhedsfamilie		

2.7. Oplyst forhold for rent elektrisk rækkevidde ved lav temperatur

Identifikator for lavtemperaturfamilie	:	
$K_{PER,WLTC,LT,dec}$	:	

* Tabellen gentages, hvis mere end én lav temperatur tages i betragtning.

2.8. Egendiagnosesystem

Familiens identifikator	:	
Se familierapport(er) (hvis relevant)	:	

2.11. Temperaturoplysninger relateret til køretøjets "høj" (VH)

Medmindre den typegodkendende myndighed kræver en korrektionsprøvning for omgivende temperatur med henblik på typegodkendelse, er disse oplysninger ikke påkrævet.

Worst case-tilgang med hensyn til isolering af køretøjet:	:	ja/nej [7]
Worst case-tilgang ved nedkøling af køretøj:	:	ja/nej [7]
ATCT-familie bestående af en enkelt interpolationsfamilie	:	ja/nej [7]
Kølevæsketemperatur ved udgangen af soak-tid (°C)	:	
Gennemsnitlig temperatur i soak-området de seneste 3 timer (°C)	:	
Forskel mellem sluttemperatur på motorens kølevæske og gennemsnitlig temperatur i soak-området inden for de foregående 3 timer, Δ_{T_ATCT} (°C)	:	
Mindste soak-tid t_{soak_ATCT} (s)	:	
Placering af temperaturføler	:	
Målt motortemperatur	:	olie/kølemiddel

[7] hvis "ja", lades de sidste seks linjer ude af betragtning

2.12. System til efterbehandling af udstødningen, der anvender en reagens

Familiens identifikator	:	
Se familierapport(er) (hvis relevant)	:	

Del II

Følgende oplysninger er i givet fald de data, der som minimum er nødvendige for type ATCT-prøvningen. Medmindre den typegodkendende myndighed kræver en korrektionsprøvning for omgivende temperatur med henblik på typegodkendelse, er disse oplysninger ikke påkrævet.

RAPPORT nr.

ANSØGER			
Fabrikant			
EMNE	…		
Identifikator(er) for køremodstandsfamilie(r):		:	
Identifikator(er) for interpolationsfamilie		:	
ATCT-identifikator(er)		:	
Genstand for prøvning			
	Fabrikat	:	
	IP-identifikator	:	
KONKLUSION	Genstanden for prøvningen opfylder de krav, der er nævnt i denne rubrik.		

STED,	DD/MM/ÅÅÅÅ

Almindelige bemærkninger:

Hvis der er flere muligheder (referencer), skal den prøvede konstruktion beskrives i prøvningsrapporten.

Hvis dette ikke er tilfældet, er en fælles reference til oplysningsskemaet i begyndelsen af prøvningsrapporten tilstrækkeligt.

Hver teknisk tjeneste kan frit medtage visse supplerende oplysninger.

Bogstaver indgår i de afsnit af prøvningsrapporten, der omhandler specifikke køretøjer, som følger:

"a)" Specifikt for køretøjer med styret tænding eller køretøjer "G" (som angivet i tabel 1B i FN-regulativ nr. 154) (hvis det er relevant).

"b)" Specifikt for køretøjer med kompressionstænding eller køretøjer "D" (som angivet i tabel 1B i FN-regulativ nr. 154) (hvis det er relevant).

1. Beskrivelse af prøvningskøretøjet

1.1. Generelt

Køretøjsnumre	:	Prototypens nr. og VIN
Klasse	:	
Karrosseri	:	
Trækkende hjul	:	

1.1.1. Drivlinjens arkitektur

Drivlinjens arkitektur	:	udelukkende ICE, hybrid, elektrisk eller brændselscellebaseret

1.1.2. Forbrændingsmotor (hvis relevant)

Ved mere end én ICE gentages punktet.

Fabrikat	:					
Type	:					
Arbejdsprincip	:	totakt/firetakt				
Antal cylindre og cylinderarrangement	:					
Motorkapacitet (cm^3)	:					
Tomgangshastighed (min^{-1})	:		±			
Forhøjet tomgangshastighed (min^{-1}) (a)	:		±			
Motorens mærkeeffekt	:		kW	ved		omdr./min.
Maksimalt nettodrejningsmoment	:		Nm	ved		omdr./min.
Smøremidler	:	fabrikat og type				
Kølesystem	:	Type: luft/vand/olie				
Isolering	:	materiale, beløb, placering, nominel volumen og nominel vægt[4]				

[4] der tillades en tolerance på ±10 % for volumen og vægt

1.1.3. Prøvebrændstof til type 1-prøvning (hvis relevant)

Ved mere end ét prøvningsbrændstof gentages punktet

Fabrikat	:	
Type	:	Benzin – diesel – LPG – NG –...
Massefylde ved 15 °C	:	
Svovlindhold	:	Kun for diesel og benzin
Bilag IX	:	
Batchnr.	:	
Willans-faktorer (for ICE) for CO_2-emission (gCO_2/MJ)	:	

Direkte indsprøjtning	:	ja/nej eller beskrivelse
Køretøjets brændstoftype	:	Mono-brændstof/bi-brændstof/flex-brændstof
Styringsenhed		
Delreference	:	Samme som oplysningsskema
Softwaretestet	:	f.eks. aflæses via Scantool
Luftflowmåler	:	

Spjældhuset	:	
Trykføler	:	
Indsprøjtningspumpe	:	
Indsprøjtningsdyse(r):	:	

1.1.4. Brændstoftilførselssystem (hvis relevant)

Ved mere end ét brændstoftilførselssystem gentages punktet.

1.1.5. Indsugningssystem (hvis relevant)

Ved mere end ét indsugningssystem gentages punktet.

Tryklader	:	Ja/Nej mærke & type (1)
Ladeluftkøling	:	ja/nej type (luft/luft – luft/vand) (1)
Luftfilter (element) (1)	:	mærke & type
Indsugningsstøjdæmper (1)	:	mærke & type

1.1.6. Udstødningssystem og antifordampningssystem (hvis relevant)

Hvis mere end én, gentages punktet.

Første katalysator	:	mærke & reference (1) princip: trevejs/oxiderende/NOx-filter/NOx-lagringssystem/ selektiv katalytisk reduktion ...
Anden katalysator	:	mærke & reference (1) princip: trevejs/oxiderende/NOx-filter/NOx-lagringssystem/ selektiv katalytisk reduktion ...
Partikelmasse	:	med/uden/ikke relevant katalyseret: ja/nej mærke & reference (1)
Reference og placering for oxygen- og /eller lambdasonde(-r)	:	før katalysator/efter katalysator
Luftindsprøjtning	:	med/uden/ikke relevant
Vandindsprøjtning	:	med/uden/ikke relevant
EGR	:	med/uden/ikke relevant kølet/ikke-kølet HP/LP
System til begrænsning af fordampningsemission	:	med/uden/ikke relevant
Reference og placering for NOx-sensor(-er)	:	Før/efter
Åbninger i udstødningssystemet til fjernelse af kondensat (hvis relevant)	:	Placering
Generel beskrivelse (1)	:	

1.1.7. Varmelagringsenhed (hvis relevant)

Ved mere end ét varmelagringssystem gentages punktet.

Varmelagringsenhed	:	ja/nej
Varmekapacitet (enthalpilagret J)	:	
Tid for varmeafgivelse (s)	:	

1.1.8. Transmission (hvis relevant)

Ved mere end én transmission gentages punktet.

Gearkasse	:	manuel/automatisk/kontinuerlig variation
Gearskiftprocedure		
Fremherskende driftstilstand	:	ja/nej normal/drive/eco/…
Best case-tilstand med hensyn til CO_2-emissioner og brændstofforbrug (hvis relevant)	:	
Worst case-tilstand med hensyn til CO_2-emissioner og brændstofforbrug (hvis relevant)	:	
Styringsenhed	:	
Gearkassesmøremiddel	:	fabrikat og type
Dæk		
Fabrikat	:	
Type	:	
Dækdimensioner (for/bag):	:	
Dynamisk omkreds (m)	:	
Dæktryk (kPa)	:	

Transmissionsudvekslingsforhold (R.T.), primære udvekslingsforhold (R.P.) og (køretøjets hastighed (km/h))/(motorhastighed (1000 (min^{-1}))(v_{1000}) for hvert af gearkassens udvekslingsforhold (R.B.).

R.B.	R.P.	R.T.	V_{1000}
1.	1/1		
2.	1/1		
3.	1/1		
4.	1/1		
5.	1/1		
…			

1.1.9. Elektrisk maskine (hvis relevant)

Ved mere end én elektrisk maskine gentages punktet.

Fabrikat	:	
Type	:	
Maksimal effekt (kW)	:	

1.1.10. REESS-træk (hvis relevant)

Ved mere end ét REESS-træk gentages punktet.

Fabrikat	:	
Type	:	
Kapacitet (Ah)	:	
Nominel spænding (V)	:	

1.1.11. (Reserveret)

1.1.12. Effektelektronik (hvis relevant)

Det kan dreje sig om mere end én effektelektronisk enhed (fremdriftskonverter, lavspændingssystem eller lader)

Fabrikat	:	
Type	:	
Effekt (kW)	:	

1.2. Beskrivelse af køretøj

1.2.1. Masse

Prøvningsmasse for VH (kg)	:	

1.2.2. Køremodstandsparametre

f_0 (N)	:	
f_1 (N/(km/h))	:	
f_2 (N/(km/h)^2)	:	
f_{2_TReg} (N/(km/h)^2)	:	
Cyklusenergikrav (J)	:	
Køremodstandsprøvningsrapport, reference	:	
Identifikator for køremodstandsfamilie	:	

1.2.3. Cyklusudvælgelsesparametre

Cyklus (uden nedskalering)	:	Gruppe 1 / 2 / 3a / 3b
Forhold mellem mærkeeffekt og masse i køreklar stand –75 kg (PMR) (W/kg)	:	(hvis relevant)
Proces for begrænset hastighed anvendt under målingen	:	ja/nej
Køretøjets maksimalhastighed, km/h	:	
Nedskalering (hvis relevant)	:	ja/nej
Nedskaleringsfaktor fdsc	:	
Cyklusafstand (m)	:	
Konstant hastighed (i tilfælde af forkortet prøvningsprocedure)	:	hvis relevant

1.2.4. Gearskiftepunkt (hvis relevant)

Udgave af gearskifteberegning		(angiv den relevante ændring til FN GTR nr. 15)
Gearskift	:	Gennemsnitsgear for v ≥ 1 km/h, afrundet til fire decimaler

$n_{min\ drive}$

1. gear	:	…min^{-1}
1. til 2. gear	:	…min^{-1}
2. gear til stilstand	:	…min^{-1}
2. gear	:	…min^{-1}
3. gear og derefter	:	…min^{-1}
Gear 1 udelukket:	:	ja/nej
n_{95_high} for hvert gear	:	…min^{-1}
$n_{min_drive_set}$ for accelerationsfaser/faser med konstant hastighed ($n_{min_drive_up}$)	:	…min^{-1}
$n_{min_drive_set}$ for decelerationsfaser ($n_{min_drive_down}$)	:	…min^{-1}
t_{start_phase}	:	…s
$n_{min_drive_start}$	:	…min^{-1}
$n_{min_drive_up_start}$	:	…min^{-1}
anvendelse af ASM	:	ja/nej
ASM-værdier	:	

2. Prøvningsresultater

Indstilling af chassisdynamometer	:	Fast/iterativ/alternativ kørsel med egen opvarmningscyklus
Dynamometeret i 2WD-/4WD-funktion	:	2WD/4WD

Ved 2WD-funktion: roterede den ikke-trækkende aksel?	:	ja/nej/ikke relevant
Dynamometeret i driftstilstand		ja/nej
Friløbstilstand	:	ja/nej

2.1. Prøvning ved 14 °C

Prøvningsdato(er):	:	(dag/måned/år)
Sted for prøvning(erne)	:	
Køleventilatorens laveste kants højde over jorden (cm)	:	
Ventilatormidtens sideværts position (hvis ændret på anmodning fra fabrikanten)	:	i køretøjet midterlinje/...
Afstand til køretøjets forparti (cm)	:	
IWR: Inerti-arbejde-tal (Inertial Work Rating)(%)	:	x.x
RMSSE: Middelkvadratafvigelse på hastighed (Root Mean Squared Speed Error)(km/h)	:	x.xx
Beskrivelse af den godkendte afvigelse af kørecyklussen	:	Fuldt aktiveret accelerationspedal

2.1.1. Kriterieemissioner fra køretøj med mindst én forbrændingsmotor, fra NOVC-HEV'er og fra OVC-HEV'er i prøvning af ladningsbevarende drift

Forurenende stoffer	CO (mg/km)	THC (a) (mg/km)	NMHC (a) (mg/km)	NOx (mg/km)	THC+NOx (b) (mg/km)	Partikler (mg/km)	Partikelantal (#.10^{11}/km)
Målte værdier							
Grænseværdier							

2.1.2. CO_2-emission fra køretøj med mindst én forbrændingsmotor, fra NOVC-HEV og fra OVC-HEV ved ladningsbevarende prøvninger

CO_2-emission (g/km)	"Lav"	"Medium"	"Høj"	"Ekstra høj"	Blandet kørsel
Målt værdi $M_{CO2,p,1}$ / $M_{CO2,c,2}$					
Målt fart- og distancekorrigeret værdi $M_{CO2,p,2b}$ / $M_{CO2,c,2b}$					
RCB-justeringskoefficient [2]					
$M_{CO2,p,3}$ / $M_{CO2,c,3}$					

[2] korrektion som omhandlet i tillæg 2 til bilag B6 i FN-regulativ nr. 154 for ICE-køretøjer, K_{CO2} for HEV'er

2.2. Prøvning ved 23° C

Oplysningerne afgives, eller der henvises til type 1-prøvningsrapport

Prøvningsdato	:	(dag/måned/år)
Sted for prøvningen	:	
Køleventilatorens laveste kants højde over jorden (cm)	:	
Ventilatormidtens sideværts position (hvis ændret på anmodning fra fabrikanten)	:	i køretøjet midterlinje/...
Afstand til køretøjets forparti (cm)	:	
IWR: Inerti-arbejde-tal (Inertial Work Rating)(%)	:	x.x
RMSSE: Middelkvadratafvigelse på hastighed (Root Mean Squared Speed Error)(km/h)	:	x.xx
Beskrivelse af den godkendte afvigelse af kørecyklussen	:	Fuldt aktiveret accelerationspedal

2.2.1. Kriterieemissioner fra køretøj med mindst én forbrændingsmotor, fra NOVC-HEV'er og fra OVC-HEV'er i prøvning af ladningsbevarende drift

Forurenende stoffer	CO (mg/km)	THC (a) (mg/km)	NMHC (a) (mg/km)	NOx (mg/km)	THC+NOx (b) (mg/km)	Partikler (mg/km)	Partikelantal (#.10^{11}/km)
Slutværdier							
Grænseværdier							

2.2.2. CO_2-emission fra køretøj med mindst én forbrændingsmotor, fra NOVC-HEV og fra OVC-HEV ved ladningsbevarende prøvninger

CO_2-emission (g/km)	"Lav"	"Medium"	"Høj"	"Ekstra høj"	Blandet kørsel
Målt værdi $M_{CO2,p,1}$ / $M_{CO2,c,2}$					
Målt fart- og distancekorrigeret værdi $M_{CO2,p,2b}$ / $M_{CO2,c,2b}$					
RCB-justeringskoefficient [2]					
$M_{CO2,p,3}$ / $M_{CO2,c,3}$					

[2] korrektion som omhandlet i tillæg 2 til bilag B6 i dette regulativ for ICE-køretøjer og tillæg 2 til bilag B8 i dette regulativ for HEV'er (K_{CO2})

2.3. Konklusion

CO_2-emission (g/km)	Blandet kørsel
ATCT (14° C) $M_{CO2,Treg}$	
Type 1 (23° C) $M_{CO2,23°}$	
Familiekorrektionsfaktoren (FCF)	

2.4. Temperaturoplysninger om referencekøretøjet efter 23 °C-prøvning

Worst case-tilgang med hensyn til isolering af køretøjet:	:	ja/nej ([3])
Worst case-tilgang ved nedkøling af køretøj:	:	ja/nej ([3])
ATCT-familie bestående af en enkelt interpolationsfamilie	:	ja/nej ([3])
Kølevæsketemperatur ved udgangen af soak-tid (°C)	:	
Gennemsnitlig temperatur i soak-området de seneste 3 timer (°C)	:	
Forskel mellem sluttemperatur på motorens kølevæske og gennemsnitlig temperatur i soak-området inden for de foregående 3 timer, Δ_{T_ATCT} (°C)	:	
Mindste soak-tid t_{soak_ATCT} (s)	:	
Placering af temperaturføler	:	
Målt motortemperatur	:	olie/kølemiddel

[3] hvis "ja", lades de sidste seks linjer ude af betragtning

Del III

Følgende oplysninger er, såfremt de er relevante, de data, der som minimum er nødvendige for prøvningen vedrørende forholdet for elektrisk rækkevidde ved lav temperatur.

RAPPORT nr.

ANSØGER			
Fabrikant			
EMNE	…		
Identifikator(er) for køremodstandsfamilie		:	
Identifikator(er) for interpolationsfamilie		:	
Identifikator(er) for lavtemperaturfamilie		:	
Genstand for prøvning			
	Fabrikat	:	
	IP-identifikator	:	
KONKLUSION	Genstanden for prøvningen opfylder de krav, der er nævnt i denne rubrik.		

STED,	DD/MM/ÅÅÅÅ

Almindelige bemærkninger:

Hvis der er flere muligheder (referencer), skal den prøvede konstruktion beskrives i prøvningsrapporten.

Hvis dette ikke er tilfældet, er en fælles reference til oplysningsskemaet i begyndelsen af prøvningsrapporten tilstrækkeligt.

Hver teknisk tjeneste kan frit medtage visse supplerende oplysninger.

1. Beskrivelse af prøvningskøretøjet

1.1. Generelt

Køretøjsnumre	:	Prototypens nr. og VIN
Klasse	:	
Karrosseri	:	
Trækkende hjul	:	

1.1.1. Drivlinjens arkitektur

Drivlinjens arkitektur	:	elektrisk

1.1.2. Transmission (hvis relevant)

Ved mere end én transmission gentages punktet.

Gearkasse	:	manuel/automatisk/kontinuerlig variation
Gearskiftprocedure		
Fremherskende driftstilstand	:	ja/nej normal/drive/eco/…
Styringsenhed	:	
Gearkassesmøremiddel	:	fabrikat og type
Dæk		
Fabrikat	:	
Type	:	
Dækdimensioner (for/bag):	:	
Dynamisk omkreds (m)	:	
Dæktryk (kPa)	:	

1.1.3. Elektrisk maskine (hvis relevant)

Ved mere end én elektrisk maskine gentages punktet.

Fabrikat	:	
Type	:	
Maksimal effekt (kW)	:	

1.1.4. REESS-træk (hvis relevant)

Ved mere end ét REESS-træk gentages punktet.

Fabrikat	:	
Type	:	
Kapacitet (Ah)	:	
Nominel spænding (V)	:	

1.1.5. Effektelektronik (hvis relevant)

Det kan dreje sig om mere end én effektelektronisk enhed (fremdriftskonverter, lavspændingssystem eller lader)

Fabrikat	:	
Type	:	
Effekt (kW)	:	

1.2. Beskrivelse af køretøj

1.2.1. Masse

køretøjets prøvningsmasse (kg)	:	

1.2.2. Køremodstandsparametre

f_0 (N)	:	
f_1 (N/(km/h))	:	
f_2 (N/(km/h)^2)	:	
f_{2_TReg} (N/(km/h)^2)	:	
Cyklusenergikrav (J)	:	
Køremodstandsprøvningsrapport, reference	:	
Identifikator for køremodstandsfamilie	:	

1.2.3. Cyklusudvælgelsesparametre

Cyklus (uden nedskalering)	:	Gruppe 1 / 2 / 3a / 3b
Forhold mellem mærkeeffekt og masse i køreklar stand −75 kg (PMR) (W/kg)	:	(hvis relevant)
Proces for begrænset hastighed anvendt under målingen	:	ja/nej
Køretøjets maksimalhastighed, km/h	:	

Nedskalering (hvis relevant)	:	ja/nej
Nedskaleringsfaktor fdsc	:	
Cyklusafstand (m)	:	
Konstant hastighed (i tilfælde af forkortet prøvningsprocedure)	:	hvis relevant

1.2.4. Gearskiftepunkt (hvis relevant)

Gearskift	:	gearskiftindikator/fabrikantens håndbog/...

2. Prøvningsresultater

Indstilling af chassisdynamometer ved 23 °C	:	Fast/iterativ/alternativ kørsel med egen opvarmningscyklus
Dynamometeret i 2WD-/4WD-funktion	:	2WD/4WD
Ved 2WD-funktion: roterede den ikke-trækkende aksel?	:	ja/nej/ikke relevant
Dynamometeret i driftstilstand		ja/nej
Friløbstilstand	:	ja/nej

2.1. Prøvning ved type 1

Prøvningsdato(er):	:	(dag/måned/år)
Sted for prøvning(erne)	:	
Køleventilatorens laveste kants højde over jorden (cm)	:	
Ventilatormidtens sideværts position (hvis ændret på anmodning fra fabrikanten)	:	i køretøjet midterlinje/...
Afstand til køretøjets forparti (cm)	:	
IWR: Inerti-arbejde-tal (Inertial Work Rating)(%)	:	x.x
RMSSE: Middelkvadratafvigelse på hastighed (Root Mean Squared Speed Error)(km/h)	:	x.xx
Beskrivelse af den godkendte afvigelse af kørecyklussen	:	Fuldt aktiveret accelerationspedal

Type 1-prøvningsresultater

Prøvningsnummer	Type 1 PER'er (km)
1	
2	
3	
$PER_{WLTC,ave}$	

2.2. Prøvning ved -7 °C

Prøvningsdato	:	(dag/måned/år)
Sted for prøvningen	:	
Køleventilatorens laveste kants højde over jorden (cm)	:	
Ventilatormidtens sideværts position (hvis ændret på anmodning fra fabrikanten)	:	i køretøjet midterlinje/...
Afstand til køretøjets forparti (cm)	:	
IWR: Inerti-arbejde-tal (Inertial Work Rating)(%)	:	x.x
RMSSE: Middelkvadratafvigelse på hastighed (Root Mean Squared Speed Error)(km/h)	:	x.xx
Beskrivelse af den godkendte afvigelse af kørecyklussen	:	Fuldt aktiveret accelerationspedal

Første prøvningsresultater ved -7 °C

Prøvningsnummer	-7 °C/lavtemperaturs-PER'er (km)
1	
2	
3	
$PER_{WLTC,LT,ave}$	

2.3. Konklusion

lavtemperaturfamiliekorrektionsfaktor	Resultat
Beregnet $K_{PER,WLTC,LT}$	
Oplyst $K_{PER,WLTC,LT,dec}$	
Godkendt/ikke-godkendt	
$K_{PER,WLTC,LT,dec}$ bekræftet?	

Bilag A1 - Tillæg 2.

WLTP-køremodstandsprøvningsrapport

Køremodstandsprøvningsrapport

Følgende oplysninger er i givet fald er de data, der som minimum er nødvendige for prøvningen til bestemmelse af køremodstand.

RAPPORT nr.

ANSØGER			
Fabrikant			
EMNE	Bestemmelse af køretøjets køremodstand /...		
Identifikator(er) for køremodstandsfamilie(r):		:	
Genstand for prøvning			
	Fabrikat	:	
	Type	:	
KONKLUSION	Genstanden for prøvningen opfylder de krav, der er nævnt i denne rubrik.		

STED,	DD/MM/ÅÅÅÅ

1. Det pågældende køretøj/de pågældende køretøjer

Fabrikat	:	
Type	:	
Varebetegnelse	:	
Maksimalhastighed (km/h)	:	
Drikaksel/drivaksler	:	

2. Beskrivelse af prøvningskøretøjerne

Hvis ingen interpolation: worst case-køretøjet (med hensyn til energiforbrug) beskrives

2.1. Vindtunnelmetode

Kombineret med	:	Flat belt- / chassisdynamometer

2.1.1. Generelt

	Vindtunnel		Dynamometer	
	H_R	L_R	H_R	L_R
Fabrikat				
Type				
Version				

	Vindtunnel		Dynamometer	
	H_R	L_R	H_R	L_R
Cyklusenergikrav over en fuldstændig WLTC-gruppe 3-cyklus (kJ)				
Afvigelse fra produktionsserier	-	-		
Kilometerstand (km)	-	-		

Eller (i tilfælde af køremodstandsmatrixfamilie):

Fabrikat	:	
Type	:	
Version	:	
Cyklusenergikrav for en fuldstændig WLTC (kJ)	:	
Afvigelse fra produktionsserier	:	
Kilometerstand (km)	:	

2.1.2. Masser

	Dynamometer	
	H_R	L_R
Prøvningsmasse (kg)		
Gennemsnitlig masse m_{av} (kg)		
Værdien af m_r (kg pr. aksel)		
Klasse M-køretøj: andel af køretøjets masse i køreklar stand på forakslen (%)		
Klasse N-køretøj: vægtfordeling (kg eller %)		

Eller (i tilfælde af køremodstandsmatrixfamilie):

Prøvningsmasse (kg)	:	
Gennemsnitlig masse m_{av} (kg)	:	(gennemsnit før og efter prøvning)
Største teknisk tilladte totalmasse	:	
Anslået aritmetisk gennemsnit af massen af ekstraudstyr	:	
Klasse M-køretøj: andel af køretøjets masse i køreklar stand på forakslen (%)	:	
Klasse N-køretøj: vægtfordeling (kg eller %)	:	

2.1.3. Dæk

	Vindtunnel		Dynamometer	
	H_R	L_R	H_R	L_R
Dimensionsbetegnelse:				
Fabrikat				
Type				
Rullemodstand				
Forhjul (kg/t)	-	-		
Baghjul (kg/t)	-	-		
Dæktryk				
Forhjul (kPa)	-	-		
Baghjul (kPa)	-	-		

Eller (i tilfælde af køremodstandsmatrixfamilie):

Dimensionsbetegnelse:		
Fabrikat	:	
Type	:	
Rullemodstand		
Forhjul (kg/t)	:	
Baghjul (kg/t)	:	
Dæktryk		
Forhjul (kPa)	:	
Baghjul (kPa)	:	

2.1.4. Karrosseri

	Vindtunnel	
	H_R	L_R
Type	AA/AB/AC/AD/AE/AF BA/BB/BC/BD	
Version		
Aerodynamiske anordninger		
Bevægelige aerodynamiske karosseridele	ja/nej og liste, hvis det er relevant	
Liste over monterede aerodynamiske tilvalg		
Delta $(C_D \times A_f)_{LH}$ sammenlignet med H_R (m^2)	-	

Eller (i tilfælde af køremodstandsmatrixfamilie):

Beskrivelse af karrosseriform	:	Firkantet kasse (hvis der ikke kan bestemmes en repræsentativ karrosseriform for et komplet køretøj)
Frontareal, A_{fr} (m^2)	:	

2.2. På vej

2.2.1. Generelt

	H_R	L_R
Fabrikat		
Type		
Version		
Cyklusenergikrav over en fuldstændig WLTC-gruppe 3-cyklus (kJ)		
Afvigelse fra produktionsserier		
Kilometerstand		

Eller (i tilfælde af køremodstandsmatrixfamilie):

Fabrikat	:	
Type	:	
Version	:	
Cyklusenergikrav for en fuldstændig WLTC (kJ)	:	
Afvigelse fra produktionsserier	:	
Kilometerstand (km)	:	

2.2.2. Masser

	H_R	L_R
Prøvningsmasse (kg)		
Gennemsnitlig masse m_{av} (kg)		
Værdien af m_r (kg pr. aksel)		
Klasse M-køretøj: andel af køretøjets masse i køreklar stand på forakslen (%)		
Klasse N-køretøj: vægtfordeling (kg eller %)		

Eller (i tilfælde af køremodstandsmatrixfamilie):

Prøvningsmasse (kg)	:	
Gennemsnitlig masse m_{av} (kg)	:	(gennemsnit før og efter prøvning)
Største teknisk tilladte totalmasse	:	
Anslået aritmetisk gennemsnit af massen af ekstraudstyr	:	
Klasse M-køretøj: andel af køretøjets masse i køreklar stand på forakslen (%)		
Klasse N-køretøj: vægtfordeling (kg eller %)		

2.2.3. Dæk

	H_R	L_R
Dimensionsbetegnelse:		
Fabrikat		
Type		
Rullemodstand		
Forhjul (kg/t)		
Baghjul (kg/t)		
Dæktryk		
Forhjul (kPa)		
Baghjul (kPa)		

Eller (i tilfælde af køremodstandsmatrixfamilie):

Dimensionsbetegnelse:	:	
Fabrikat	:	
Type	:	
Rullemodstand		
Forhjul (kg/t)	:	
Baghjul (kg/t)	:	
Dæktryk		
Forhjul (kPa)	:	
Baghjul (kPa)	:	

2.2.4. Karrosseri

	H_R	L_R
Type	AA/AB/AC/AD/AE/AF BA/BB/BC/BD	
Version		
Aerodynamiske anordninger		
Bevægelige aerodynamiske karosseridele	ja/nej og liste, hvis det er relevant	
Liste over monterede aerodynamiske tilvalg		
Delta $(C_D \times A_f)_{LH}$ sammenlignet med H_R (m^2)	-	

Eller (i tilfælde af køremodstandsmatrixfamilie):

Beskrivelse af karrosseriform	:	Firkantet kasse (hvis der ikke kan bestemmes en repræsentativ karrosseriform for et komplet køretøj)
Frontareal, A_{fr} (m^2)	:	

2.3. Drivlinje

2.3.1. Køretøjets "Høj"

Motorkode	:			
Transmissionstype	:	manuel, automatisk, CVT		
Transmissionsmodel (fabrikantens koder)	:	(mærkedrejningsmomentet og antal koblinger →, der skal indgå i oplysningsskemaet)		
Omfattede transmissionsmodeller (fabrikantens koder)	:			
Motorens omdrejningshastighed divideret med køretøjets hastighed	:	Gear	Gearforhold	N/V-forhold
		1.	1/..	
		2.	1..	
		3.	1/..	
		4.	1/..	
		5.	1/..	
		6.	1/..	
		..		
		..		
Elektrisk(e) maskine(r) kombineret i position N	:	Ikke relevant (ingen elektriske maskiner eller ingen friløbstilstand)		
Type og antal elektriske maskiner	:	konstruktionstype: asynkron/synkron ...		
Type kølemiddel	:	luft, væske,…		

2.3.2. Køretøjets "Lav"

Gentag punkt 2.3.1. med VL-data.

2.4. Prøvningsresultater

2.4.1. Køretøjets "Høj"

Prøvningsdato	:	dd/mm/åååå (vindtunnel) dd/mm/åååå (dynamometer) eller dd/mm/åååå (på vej)

På vej

Prøvningsmetode	:	friløb eller med momentmålermetode
Facilitet (navn/sted/bane)	:	
Friløbstilstand	:	j/n
Sporing af hjul	:	Værdier for løbsvinkel og cambervinkel
Frihøjde	:	
Køretøjets højde	:	
Fremdriftssystem med smøremidler	:	
Hjul med smøremidler	:	
Justering af bremser med henblik på at undgå ikke-repræsentativ parasitmodstand	:	
Maksimal referencehastighed (km/h)	:	
Anemometri	:	stationær eller om bord: påvirkning ved anemometri ($C_D \times A$) og, i givet fald, om den er korrigeret.
Antal delinger:	:	
Vind	:	gennemsnit, spidsværdier og retning i forhold til prøvebanens retning
Lufttryk	:	
Temperatur (gennemsnit)	:	
Vindkorrektion	:	j/n
Justering af dæktryk	:	j/n
Rå resultater	:	Drejningsmomentmetoden: c_0 = c_1 = c_2 = Friløbsmetoden: f0 f1 f2

Endelige resultater		Drejningsmomentmetoden: c_0 = c_1 = c_2 = og f_0 = f_1 = f_2 = Friløbsmetoden: f_0 = f_1 = f_2 =

eller

Vindtunnelmetode

Facilitet (navn/sted/dynamometerreference)	:		
Kvalifikation af anlæggene	:	Rapportreference og -dato	
Dynamometer			
Type dynamometer	:	flat belt- eller chassisdynamometer	
Metode	:	stabiliserede hastigheder eller decelerationsmetode	
opvarmning	:	opvarmning ved dynamometer eller ved kørsel af køretøjet	
Korrektion af rullens kurve	:	(for chassisdynamometer, hvis relevant)	
Metode til indstilling af chassisdynamometer	:	Fast/iterativ/alternativ kørsel med egen opvarmningscyklus	
Målte koefficient for aerodynamisk modstand ganget med frontareal	:	Hastighed (km/h)	$C_D \times A$ (m²)
		…	…
		…	…
Resultat	:	f_0 = f_1 = f_2 =	

eller

Køremodstandsmatrix, vej

Prøvningsmetode	:	friløb eller med momentmålermetode
Facilitet (navn/sted/bane)	:	
Friløbstilstand	:	j/n
Sporing af hjul	:	Værdier for løbsvinkel og cambervinkel
Frihøjde	:	
Køretøjets højde	:	
Fremdriftssystem med smøremidler	:	
Hjul med smøremidler	:	

Justering af bremser med henblik på at undgå ikke-repræsentativ parasitmodstand	:	
Maksimal referencehastighed (km/h)	:	
Anemometri	:	stationær eller om bord: påvirkning ved anemometri (C_D × A) og, i givet fald, om den er korrigeret.
Antal delinger:	:	
Vind	:	gennemsnit, spidsværdier og retning i forhold til prøvebanens retning
Lufttryk	:	
Temperatur (gennemsnit)	:	
Vindkorrektion	:	j/n
Justering af dæktryk	:	j/n
Rå resultater	:	Drejningsmomentmetoden: c_{0r} = c_{1r} = c_{2r} = Friløbsmetoden: f_{0r} = f_{1r} = f_{2r} =
Endelige resultater		Drejningsmomentmetoden: c_{0r} = c_{1r} = c_{2r} = og f_{0r} (beregnet for køretøjet H_M) = f_{2r} (beregnet for køretøjet H_M) = f_{0r} (beregnet for køretøjet L_M) = f_{2r} (beregnet for køretøjet L_M) = Friløbsmetoden: f_{0r} (beregnet for køretøjet H_M) = f_{2r} (beregnet for køretøjet H_M) = f_{0r} (beregnet for køretøjet L_M) = f_{2r} (beregnet for køretøjet L_M) =

eller

Køremodstandsmatrix, vindtunnelmetode

Facilitet (navn/sted/dynamometerreference)	:	
Kvalifikation af anlæggene	:	Rapportreference og -dato
Dynamometer		
Type dynamometer	:	flat belt- eller chassisdynamometer
Metode	:	stabiliserede hastigheder eller decelerationsmetode
opvarmning	:	opvarmning ved dynamometer eller ved kørsel af køretøjet
Korrektion af rullens kurve	:	(for chassisdynamometer, hvis relevant)
Metode til indstilling af chassisdynamometer	:	Fast/iterativ/alternativ kørsel med egen opvarmningscyklus

Målte koefficient for aerodynamisk modstand ganget med frontareal	:	Hastighed (km/h)	$C_D \times A$ (m^2)
		…	…
		…	…
Resultat	:	f_{0r} = f_{1r} = f_{2r} = f_{0r} (beregnet for køretøjet H_M) = f_{2r} (beregnet for køretøjet H_M) = f_{0r} (beregnet for køretøjet L_M) = f_{2r} (beregnet for køretøjet L_M) =	

2.4.2. Køretøjets "Lav"

Gentag punkt 2.4.1. med VL-data.

Bilag A1 - Tillæg 3.

WLTP-prøvningsblad

Skabelon for prøvningsblad

Prøvningsbladet omfatter de prøvningsdata, der registreres, men ikke medtages i en prøvningsrapport.

Prøvningsbladet(-ene) opbevares af den tekniske tjeneste eller fabrikanten i mindst 10 år.

Følgende oplysninger er i givet fald er de data, der som minimum er nødvendige for prøvningsbladene.

Oplysninger fra bilag B4 til denne forordning			
Hjulindstillingsparametre	:		
Frihøjde	:		
Køretøjets højde	:		
Fremdriftssystem med smøremidler	:		
Hjul med smøremidler	:		
Justering af bremser med henblik på at undgå ikke-repræsentativ parasitmodstand	:		
Koefficienterne, C0, C1 og C2	:	c_0 = c_1 = c_2 =	
Friløbstider målt på chassisdynamometeret	:	Referencehastighed (km/h)	Friløbstid (s)
		130	
		120	
		110	
		100	
		90	
		80	
		70	
		60	
		50	
		40	
		30	
		20	
Ekstra vægt kan placeres på eller i køretøjet for at eliminere dækskridning	:	vægt (kg) på/i køretøjet	
Friløbstider efter gennemførelse af friløbsprocedure med køretøjet	:	Referencehastighed (km/h)	Friløbstid (s)
		130	
		120	
		110	
		100	

		90	
		80	
		70	
		60	
		50	
		40	
		30	
		20	
Oplysninger fra bilag B5 til denne forordning			
NOx-konverterens virkningsgrad Angivne koncentrationer (a), (b), (c) og (d), og koncentrationen, når NOx-analysatoren er i NO-tilstand, således at kalibreringsgassen ikke passerer gennem konverteren	:	(a) = (b) = (c) = (d) = Koncentration i NO-tilstand =	
Oplysninger fra bilag B6 til denne forordning			
Den distance, som køretøjet faktisk har tilbagelagt	:		
For køretøjer med transmission med manuelt gearskifte (MT), MT-køretøj, som ikke kan følge cyklussens spor: Afvigelserne fra kørecyklussen	: :		
Kørselssporindekser: Følgende indekser beregnes i overensstemmelse med standarden SAE J2951 (revideret jan. 2014): IWR: Inerti-arbejde-tal (Inertial Work Rating) — 4-fase-cyklus IWR: Inerti-arbejde-tal (Inertial Work Rating) — 3-fase-cyklus RMSSE: Middelkvadratafvigelse på hastighed (Root Mean Squared Speed Error) — 4-fase-cyklus RMSSE: Middelkvadratafvigelse på hastighed (Root Mean Squared Speed Error) — 3-fase-cyklus	 : : : : :		
Vejning af partikelfilter Filter for fase 1-4 før prøvningen, hvis relevant Filter for fase 1-3 før prøvningen, hvis relevant Filter for fase 4 før prøvningen, hvis relevant Filter for fase 1-4 efter prøvningen, hvis relevant Filter for fase 1-3 efter prøvningen, hvis relevant Filter for fase 4 efter prøvningen, hvis relevant Referencefilter	 : : : : : : :		
Indholdet af hver af forbindelserne, målt efter stabilisering af måleapparaturet.	:		

Bestemmelse af regenereringsfaktor (hvis relevant) Antallet af cyklusser D mellem to WLTC'er, hvor regenerering finder sted Antallet af cyklusser, på basis af hvilke der foretages emissionsmålinger (n) Masseemissionsmåling $\mathbf{M}'_{\mathbf{sij}}$ for hver forbindelse i på basis af hver cyklus j	: : :	
Bestemmelse af regenereringsfaktor (hvis relevant) Antallet af de gældende prøvningscyklusser **d** målt ved fuldstændig regenerering	:	
Bestemmelse af regenereringsfaktor (hvis relevant) Msi Mpi Ki	: : :	
Oplysninger fra bilag B6a til denne forordning (hvis relevant)		
ATCT Luftens temperatur og fugtighed i prøverummet målt ved køretøjets ventilatorudgang med en minimumsfrekvens på 0,1 Hz.		Temperaturindstillingsværdi = T_{reg} Faktisk temperatur ± 3 °C ved begyndelsen af prøvningen ± 5 °C under prøvningen
Temperaturen måles kontinuerligt i soak-området med en minimumsfrekvens på 0,033 Hz.	:	Temperaturindstillingsværdi = Treg Faktisk temperatur ± 3 °C ved begyndelsen af prøvningen ± 5 °C under prøvningen
Overførsel fra prækonditioneringsområdet til soak-området	:	≤ 10 minutter
Tidsrummet mellem afslutningen af type 1-prøvning og afkølingsprocedure Den målte soak-tid registreres i alle relevante prøvningsark.	: :	≤ 20 minutter Tid mellem målingen af sluttemperaturen og afslutningen af type 1-prøvning ved 23 °C
Oplysninger fra bilag C3 til denne forordning		
Døgnemissionsprøvning Omgivende lufttemperatur under de to daglige cyklusser (registreres mindst én gang i minuttet)	:	
Belastning af beholder med aktivt kul for overtrykstab Omgivende lufttemperatur under den første 11-timers profil (registreres hvert 10. minut)	:	

Bilag A1 - Tillæg 4.

Prøvningsrapport vedrørende fordampningsemission

Følgende oplysninger er, såfremt de er relevante, de data, der som minimum er nødvendige for prøvningen vedrørende fordampningsemission.

RAPPORT nr.

ANSØGER			
Fabrikant			
EMNE	.....		
Identifikator for fordampningsfamilie		:	
Genstand for prøvning			
	Fabrikat	:	
KONKLUSION	Genstanden for prøvningen opfylder de krav, der er nævnt i denne rubrik.		

STED,	DD/MM/ÅÅÅÅ

Hver teknisk tjeneste kan frit medtage visse supplerende oplysninger.

1. Beskrivelse af prøvningskøretøjets "høj"

Køretøjsnumre	:	Prototypens nr. og VIN
Klasse	:	

1.1. Drivlinjens arkitektur

Drivlinjens arkitektur	:	forbrændingsmotorer, hybridelektriske, elektriske eller brændselscellebaserede

1.2. Forbrændingsmotor

Ved mere end én ICE gentages punktet.

Fabrikat	:	
Type	:	
Arbejdsprincip	:	totakt/firetakt
Antal cylindre og cylinderarrangement	:	
Motorkapacitet (cm^3)	:	
Tryklader	:	ja/nej
Direkte indsprøjtning	:	ja/nej eller beskrivelse

Køretøjets brændstoftype	:	Mono-brændstof/bi-brændstof/flex-brændstof
Motorsmøremidler	:	Fabrikat og type
Kølesystem	:	Type: luft/vand/olie

1.4. Brændstofsystem

Indsprøjtningspumpe	:	
Indsprøjtningsdyse(r):	:	
Brændstofbeholder		
Lag	:	énlags/flerlags
Materiale til brændstofbeholder	:	metal/...
Materiale til andre dele af brændstofsystemet	:	…
Forseglet	:	ja/nej
Beholderens nominelle kapacitet (l)	:	
Beholder med aktivt kul		
Fabrikat og type	:	
Type af aktiveret kul	:	
Mængden af kul (l)	:	
Massen af kulstof (g)	:	
Angivet BWC (g)	:	xx.x

2. Prøvningsresultater

2.1. Ældning på prøvebænk af beholder med aktivt kul

Prøvningsdato	:	(dag/måned/år)
Sted for prøvningen	:	
Prøvningsrapport om ældning af beholder med aktivt kul	:	
Belastningsgrad	:	
Brændstofspecifikation		
Fabrikat	:	
Type	:	referencebrændstoffets navn...
Massefylde ved 15 °C (kg/m³)	:	
Ethanolindhold (%)	:	
Batchnr.	:	

2.2. Bestemmelse af gennemtrængelighedsfaktor (PF)

Prøvningsdato	:	(dag/måned/år)
Sted for prøvningen	:	
Prøvningsrapport om gennemtrængelighedsfaktor	:	
HC målt i uge 3, HC_{3W} (mg/24h)	:	xxx
HC målt i uge 20, HC_{20W} (mg/24h)	:	xxx
Gennemtrængelighedsfaktor, PF (mg/24h)	:	xxx

I tilfælde af flerlagsbeholdere eller metalbeholdere

Alternativ gennemtrængelighedsfaktor, PF (mg/24h)	:	ja/nej

2.3. Fordampningsprøvning

Prøvningsdato	:	(dag/måned/år)
Sted for prøvningen	:	
Indstilling af chassisdynamometer	:	Fast/iterativ/alternativ kørsel med egen opvarmningscyklus
Dynamometer i driftstilstand		ja/nej
Friløbstilstand	:	ja/nej

2.3.1. Masse

Prøvningsmasse for VH (kg)	:	

2.3.2. Køremodstandsparametre

f_0 (N)	:	
f_1 (N/(km/h))	:	
f_2 (N/(km/h)^2)	:	

2.3.3. Cyklus- og gearskiftepunkt (hvis relevant)

Cyklus (uden nedskalering)	:	Gruppe 1 / 2 / 3
Gearskift	:	Gennemsnitsgear for v ≥ 1 km/h, afrundet til fire decimaler

2.3.4. Køretøj

Prøvningskøretøj	:	VH eller beskrivelse
Kilometerstand (km)	:	
Alder (uger)	:	

2.3.5. Proceduren for og resultaterne af prøvningen

Prøvningsmetode	:	Kontinuerlig (forseglede brændstofbeholdersystemer)/kontinuerlig (ikkeforseglede brændstofbeholdersystemer) Stand-alone (forseglede brændstofbeholdersystemer)
Beskrivelse af soak-perioder (tid og temperatur)	:	
Belastningsværdi for overtrykstab (g)	:	xx.x (hvis relevant)

Fordampningsprøvning	Hot soak, M_{HS}	Første 24h, M_{D1}	Anden 24h, M_{D2}
Gennemsnitstemperatur (°C)		-	-
Fordampningsemission (g/prøvning)	x.xxx	x.xxx	x.xxx
Endeligt resultat, $M_{HS}+M_{D1}+M_{D2}+(2xPF)$ (g/test)	x.xx		
Grænse (g/test)	x.x		

2.3.6. Dokumenterede procedurer for alternativ prøvning af produktionens overensstemmelse, hvor det er relevant:

Tæthedsprøvning	:	Alternative tryk og/eller tid eller alternativ prøvningsprocedure
Ventilationsprøvning	:	Alternativt tryk og/eller tid eller alternativ prøvningsprocedure
Udluftningsprøvning	:	Alternativ strømningshastighed eller prøvningsprocedure
Forseglet beholder	:	Alternativ prøvningsprocedure

BILAG A2

Meddelelse

(største format: A4 (210 x 297 mm))



Udstedt af: Myndighedens navn:
.....
.....
.....

Vedrørende ([2]): Meddelelse af godkendelse
Udvidelse af godkendelse
Nægtelse af godkendelse
Inddragelse af godkendelse
Endeligt ophør af produktionen

for en køretøjstype med hensyn til motorens emission af forurenende gasser i henhold til FN-regulativ nr. 154

Godkendelse nr. ..... Begrundelse for udvidelse: .....

Afdeling I

0.1. Fabriksmærke (firmabetegnelse): .....

0.2. Type: .....

0.2.1. Eventuel(le) handelsbetegnelse(r): .....

0.3. Typeidentifikationsmærker, hvis anført på køretøjet 5F ([3])

0.3.1. Mærkets placering: .....

0.4. Køretøjets klasse: 6F ([4]) .....

0.5. Fabrikantens navn og adresse: .....

0.8. Navn og adresse på samlefabrik(ker): .....

0.9. Navn og adresse på fabrikantens eventuelle repræsentant: .....

1.0. Bemærkninger: .....

([1]) Kendingsnummer for det land, hvor godkendelsen er meddelt/udvidet/nægtet/inddraget (se godkendelsesforskrifter i regulativet).
([2]) Det ikke gældende overstreges.
([3]) Hvis typeidentifikationsmærkningen indeholder tegn, der ikke er relevante for beskrivelse af det køretøj, den komponent eller den separate tekniske enhed, der er omfattet af dette oplysningsskema, skal disse tegn i følgedokumenterne markeres med symbolet "?" (f.eks. ABC??123??).
([4]) Som defineret i den konsoliderede resolution om køretøjers konstruktion (R.E.3), dokument ECE/TRANS/WP.29/78/Rev.7, punkt 2. - https://unece.org/transport/vehicle-regulations/wp29/resolutions.

Afdeling II

1. Supplerende oplysninger (eventuelt): (se addendum)

2. Teknisk tjeneste, som er ansvarlig for udførelse af prøvningen: .....

3. Type 1-prøvningsrapportens dato: .....

4. Type 1-prøvningsrapportens nummer: .....

5. Eventuelle bemærkninger: (se afdeling 3 i addendum)

6. Sted: .....

7. Dato: .....

8. Underskrift: .....

Bilag: 1. Informationspakke.

2. Prøvningsrapporter.

Addendum til typegodkendelse nr. … for en køretøjstype med hensyn til udstødningsemissioner i henhold til ændringsserie 04 til FN-regulativ nr. 154

Bemærk: punkterne i dette addendum er nogle steder ikke opført i nummerrækkefølge.

0. IDENTIFIKATIONSKODE FOR INTERPOLATIONSFAMILIE SOM DEFINERET I PUNKT 5 I FN-REGULATIV NR. 154

0.1. Identifikator: …

1. YDERLIGERE OPLYSNINGER

1.1. Køretøjets masse i køreklar stand:

VL ([1]): …

VH: …

1.2. Tilladt totalmasse:

VL ([1]): …

VH: …

1.3. Referencemasse:

VL ([1]): …

VH: …

1.4. Antal sæder: …

1.6. Karrosseritype:

1.6.1. for køretøjer i klasse M1, M2: sedan, hatchback, stationcar, coupe, cabriolet eller MPV-køretøj [a]

1.6.2. for køretøjer i klasse N1, N2: lastvogn, varevogn[a]

1.7. Trækkende hjul: for/bag/4 × 4[a]

1.8. Rent elektrisk køretøj: ja/nej[a]

1.9. Hybridt elkøretøj: ja/nej[a]

1.9.1. Kategori af hybridt elkøretøj: Med ekstern opladning/ikke-ekstern opladning/ekstern opladning af brændselscelle/ikke-ekstern opladning af brændselscelle (alt efter hvad der er relevant)[a]

1.9.2. Omskifter for driftstilstand: med/uden[a]

1.10. Motoridentifikation:

1.10.1. Motorkapacitet/slagvolumen (alt efter hvad der er relevant):

1.10.1.1. Stempelmotor:

1.10.1.2. Wankelmotor

1.10.1.2.1. Kapacitet:

1.10.1.2.2. Slagvolumen:

1.10.2. Brændstofsystem: direkte indsprøjtning/indirekte indsprøjtning[a]

1.10.3. Det af fabrikanten anbefalede brændstof:

1.10.4.1. Maksimal effekt: kW ved min^{-1}

1.10.4.2. Maksimalt drejningsmoment: Nm ved min^{-1}

1.10.5. Tryklader: ja/nej[a]

1.10.6. Tændingssystem: kompressionstænding/styret tænding[a]

1.11. Drivlinje (for rent elektrisk køretøj eller hybridt elkøretøj)[a]

1.11.1. Maksimal nettoeffekt: … kW ved: … til … min^{-1}

1.11.2. Maksimal tredive minutters effekt: … kW

1.11.3. Maksimalt nettodrejningsmoment: … Nm ved … min–1

1.11.4. Nominel spænding for brændselscellestak …V

1.12. Traktionsbatteri (for rent elektrisk køretøj eller hybridt elkøretøj)

1.12.1. Nominel spænding: V

1.12.2. Kapacitet (2 h-vurdering): Ah

1.13. Transmission: …, …

1.13.1. Gearkassetype: manuel/automatisk/trinløst variabel transmission[a]

1.13.2. Antal gear:

1.13.3. Totalt transmissionsudvekslingsforhold (herunder dækkenes omkreds ved kørsel under belastning): (køretøjets hastighed (km/h))/(motorhastighed (1000 (min^{-1}))

Første gear: …	Sjette gear: …
Andet gear: …	Syvende gear: …
Tredje gear: …	Ottende gear: …
Fjerde gear: …	Overgear: …
Femte gear: …	

1.13.4. Endeligt udvekslingsforhold:

1.14. Dæk: …, …, …

Type: radial/diagonal/...7F ([5])

Dimension: …

([5]) Dæktype i henhold FN-regulativ nr. 117.

Rulleomkreds under belastning:

Rulleomkreds for dæk anvendt ved type 1-prøvning

2. PRØVNINGSRESULTATER

2.1. Prøvningsresultater for udstødningsemissioner

Emissionsklassificering: …

Resultater af type 1-prøvning (eventuelt)

Typegodkendelsesnummer for andet end stamkøretøj ([1]): …

1a-prøvning i 4 faser

Type 1-resultat	CO (mg/km)	THC (mg/km)	NMHC (mg/km)	NOx (mg/km)	THC + NOx (mg/km)	PM (mg/km)	PN (#.1011/km)
Målt ([8]) ([9])							
Ki×([8]) ([10])					([11])		
Ki+([8]) ([10])					([11])		
Gennemsnitsværdi beregnet med Ki (M×Ki eller M+Ki) ([9])					([12])		
DF (+) ([8]) ([10a])							
DF (×) ([8]) ([10a])							
Endelig gennemsnitsværdi beregnet med Ki og DF ([13])							
Grænseværdi							

1b-prøvning i 3 faser

Type 1-resultat	CO (mg/km)	THC (mg/km)	NMHC (mg/km)	NOx (mg/km)	PM (mg/km)	PN (#.1011/km)
Målt ([8]) ([9])						
Ki×([8]) ([10])						
Ki+([8]) ([10])						
Gennemsnitsværdi beregnet med Ki (M×Ki eller M+Ki) ([9])						
DF (+) ([8]) ([10])						

Type 1-resultat	CO (mg/km)	THC (mg/km)	NMHC (mg/km)	NOx (mg/km)	PM (mg/km)	PN (#.1011/km)
DF (×) ([8]) ([10])						
Endelig gennemsnitsværdi beregnet med Ki og DF ([13])						
Grænseværdi						

Prøvning 2a og 2b (hvis relevant)

Prøvning 1a og 1b, tabeller gentages med det andet prøvningsresultat.

Prøvning 3a og 3b (hvis relevant)

Prøvning 1a og 1b, tabeller gentages med det tredje prøvningsresultat.

Prøvning 1a, 1b, prøvning 2a, 2b (hvis relevant) og prøvning 3a, 3b (hvis relevant) gentages for køretøjets "Lav" (hvis relevant) og variationsmargin (hvis relevant)

ATCT-prøvning

CO_2-emission (g/km)	Blandet kørsel
ATCT (14 °C) $M_{CO2,Treg}$	
Type 1 (23 °C) $M_{CO2,23°}$	
Familiekorrektionsfaktor (FCF)	

ATCT-prøvningsresultat	CO (mg/km)	THC (mg/km)	NMHC (mg/km)	NOx (mg/km)	THC + NOx (mg/km)	PM (mg/km)	PN (#.1011/km)
Målt8F ([6]) 9F ([7])							
Grænseværdier							

Forskel mellem sluttemperatur på motorens kølevæske og gennemsnitlig temperatur i soak-området inden for de foregående 3 timers ΔT_ATCT (°C) for referencekøretøjet: …

Mindste soak-tid tsoak_ATCT (s): …

Placering af temperatursensor: …

Identifikator for ATCT-familie: …

Type 4: g/prøvning;

Prøvningsprocedure i overensstemmelse med: Bilag C3 til FN-regulativ nr. 154 ([1]).

Type 5:
a) Holdbarhedsprøvning: prøvning af komplet køretøj/prøvning på ældningsprøvebænk/ingen ([1])
b) Forringelsesfaktor DF: beregnet/tildelt ([1])
c) Angiv værdier: …
d) Gældende type 1-cyklus (bilag B4 til FN-regulativ nr. 154 ([14]): …

([6]) Hvis relevant.
([7]) Afrundes til to decimaler.

2.1.1. For bi-brændstofkøretøjer gentages type 1-skemaet for begge brændstoffer. For flex-brændstofkøretøjer, for hvilke type 1-prøvningen skal gennemføres for begge brændstoffer, jf. tabel A i punkt 6 i FN-regulativ nr. 154, og for køretøjer, der kører på LPG eller NG/biomethan som enten mono-brændstof eller bi-brændstof, gentages skemaet for de forskellige referencebrændstoffer, der anvendes til prøvningen, og de værste resultater angives i en supplerende tabel.

2.1.2. Beskrivelse og/eller tegning af fejlindikatoren (MI): …

2.1.3. Fortegnelse over alle komponenter, der overvåges af OBD-systemet: …

2.1.4. Beskrivelse (generelle funktionsprincipper) for: …

2.1.4.1. Detektion af fejltænding ([8]): …

2.1.4.2. Overvågning af katalysator ([8]): …

2.1.4.3. Overvågning af lambda-sonde ([8]): …

2.1.4.4. Andre komponenter, der overvåges af egendiagnosesystemet ([8]): …

2.1.4.5. Overvågning af katalysator ([9]): …

2.1.4.6. Overvågning af partikelfilter ([9]): …

2.1.4.7. Overvågning af elektronisk brændstofsystem ([9]): …

2.1.4.8. Andre komponenter, der overvåges af egendiagnosesystemet: …

2.1.5. Kriterier for aktivering af fejlindikatoren (MI) (fast antal kørecyklusser eller statistisk metode): …

2.1.6. Fortegnelse over alle anvendte koder for og formater af egendiagnosemeddelelser (med forklaring af hver enkelt): …

2.2. (Reserveret)

2.3. Katalysatorer ja/nej[a]

2.3.1. Original katalysator, prøvet med hensyn til alle relevante krav i denne forordning: ja/nej[a]

2.5. Prøvningsresultater vedrørende CO2-emissioner og brændstofforbrug

2.5.1. Rent ICE-køretøj og hybridt elkøretøj med ikke-ekstern opladning (NOVC)

2.5.1.0. Mindste og største CO_2-værdier inden for interpolationsfamilien: …

2.5.1.1. Køretøjets "høj"

2.5.1.1.1. Cyklusenergikrav

2.5.1.1.1.1. 4-fase-cyklus … J

2.5.1.1.1.2. 3-fase-cyklus … J

([8]) For køretøjer udstyret med motorer med styret tænding.
([9]) For køretøjer udstyret med motorer med kompressionstænding.

2.5.1.1.2. Køremodstandskoefficienter

2.5.1.1.2.1. $f_{0,}$ N: …

2.5.1.1.2.2. $f_{1,}$ N/(km/h): …

2.5.1.1.2.3. f_2, N/(km/h)^2: …

2.5.1.1.3. CO_2-emissioner (angives for hvert referencebrændstof, der prøves, for faserne: de målte værdier for de blandede værdier, jf. punkt 1.2.3.8. og 1.2.3.9. i bilag B6 til FN-regulativ nr. 154)

CO_2-emission (g/km)	Prøvning	"Lav"	"Medium"	"Høj"	"Ekstra høj"	Blandet kørsel
MCO2,p,5 / MCO2,c,5	1					
	2					
	3					
	gennem-snit					
Endelig $M_{CO2,p,H}/M_{CO2,c,H}$						

2.5.1.1.4. Brændstofforbrug (angives for hvert referencebrændstof, der prøves, for faserne: de målte værdier for de blandede værdier, jf. punkt 1.2.3.8. og 1.2.3.9. i bilag B6 til FN-regulativ nr. 154)

Brændstofforbrug (l/100 km eller m^3/ 100 km eller kg/100 km) ([1]) eller brændstofeffektivitet (km/l eller km/kg) ([1]) (alt efter hvad der er relevant)	"Lav"	"Medium"	"Høj"	"Ekstra høj"	Blandet kørsel
Endelige værdier $FC_{p,H}/FC_{c,H}$ eller $FE_{p,H}$, $FE_{c,H}$					

2.5.1.2. Køretøjets "Lav" (hvis relevant)

2.5.1.2.1. Cyklusenergikrav

2.5.1.2.1.1. 4-fase-cyklus … J

2.5.1.2.1.2. 3-fase-cyklus … J

2.5.1.2.2. Køremodstandskoefficienter

2.5.1.2.2.1. $f_{0,}$ N: …

2.5.1.2.2.2. $f_{1,}$ N/(km/h): …

2.5.1.2.2.3. f_2, N/(km/h) ([2]): …

2.5.1.2.3. CO_2-emissioner (angives for hvert referencebrændstof, der prøves, for faserne: de målte værdier for de blandede værdier, jf. punkt 1.2.3.8 og 1.2.3.9 i bilag B6 til FN-regulativ nr. 154)

CO_2-emission (g/km)	Prøvning	"Lav"	"Medium"	"Høj"	"Ekstra høj"	Blandet kørsel 4-fase-cyklus
$M_{CO2,p,5}/M_{CO2,c,5}$	1					
	2					
	3					
	gennemsnit					
Endelig $M_{CO2,p,L}/M_{CO2,c,L}$						

2.5.1.2.4. Brændstofforbrug (angives for hvert referencebrændstof, der prøves, for faserne: de målte værdier for de blandede værdier, jf. punkt 1.2.3.8. og 1.2.3.9. i bilag B6 til FN-regulativ nr. 154)

Brændstofforbrug (l/100 km eller m^3/100 km eller kg/100 km) ([1]) eller brændstofeffektivitet (km/l eller km/kg) ([1]) (alt efter hvad der er relevant)	"Lav"	"Medium"	"Høj"	"Ekstra høj"	Kombineret FC 4-fase-cyklus	Kombineret FE 3-fase-cyklus
Endelige værdier $FC_{p,L}/FC_{c,L}$						-
Endelige værdier $FE_{p,L}$, $FE_{c,L}$				-	-	

2.5.1.3. Køretøjets M for NOVC-HEV (hvis relevant)

2.5.1.3.1. Cyklusenergikrav: … J

2.5.1.3.2. Køremodstandskoefficienter

2.5.1.3.2.1. $f_{0,}$ N: …

2.5.1.3.2.2. $f_{1,}$ N/(km/h): …

2.5.1.3.2.3. f_2, N/(km/h) ([2]): …

2.5.1.3.3. CO_2-emissioner (angives for hvert referencebrændstof, der prøves, for faserne: de målte værdier for de blandede værdier, jf. punkt 1.2.3.8. og 1.2.3.9. i bilag B6 til FN-regulativ nr. 154)

CO_2-emission (g/km)	Prøvning	"Lav"	"Medium"	"Høj"	"Ekstra høj"	Blandet kørsel 4-fase-cyklus
$M_{CO2,p,5}/M_{CO2,c,5}$	1					
	2					
	3					
	gennemsnit					
Endelig $M_{CO2,p,L}/M_{CO2,c,L}$						

2.5.1.3.4. Brændstofforbrug (angives for hvert referencebrændstof, der prøves, for faserne: de målte værdier for de blandede værdier, jf. punkt 1.2.3.8. og 1.2.3.9. i bilag B6 til FN-regulativ nr. 154)

Brændstofforbrug (l/100 km eller m³/100 km eller kg/100 km) ([1]) eller brændstofeffektivitet (km/l eller km/kg) ([1]) (alt efter hvad der er relevant)	"Lav"	"Medium"	"Høj"	"Ekstra høj"	Kombineret FC 4-fase-cyklus	Kombineret FE 3-fase-cyklus
Endelige værdier $FC_{p,L}$ / $FC_{c,L}$						-
Endelige værdier $FE_{p,L}$, $FE_{c,L}$				-	-	

2.5.1.4. For køretøjer, der udelukkende drives af en forbrændingsmotor, og som er udstyret med periodisk regenererende systemer som defineret i punkt 3.8.1. i FN-regulativ nr. 154, justeres prøvningsresultaterne med faktoren Ki som specificeret i tillæg 1 til bilag B6 til FN-regulativ nr. 154.

2.5.1.4.1. Information om regenereringsstrategi for CO2-emissioner og brændstofforbrug

D — antal driftscyklusser mellem 2 cyklusser, hvor regenereringsfaser forekommer: …

d — antal driftscyklusser krævet til regenerering: …

Gældende type 1-cyklus (bilag B4 til FN-regulativ nr. 154) ([14]): …

	Blandet kørsel 4-fase-cyklus	Blandet kørsel 3-fase-cyklus
Ki (additiv/multiplikativ) ([1]) Værdier for CO_2 og brændstofforbrug ([10])		

2.5.2. Rent elektriske køretøjer ([10])

2.5.2.1. Elektrisk energiforbrug

2.5.2.1.1. Køretøjets "høj"

2.5.2.1.1.1. Cyklusenergikrav

2.5.2.1.1.1.1. 4-fase-cyklus … J

2.5.2.1.1.1.2. 3-fase-cyklus … J

2.5.2.1.1.2. Køremodstandskoefficienter

2.5.2.1.1.2.1. $f_{0,}$ N: …

2.5.2.1.1.2.2. $f_{1,}$ N/(km/h): …

([10]) Det ikke gældende overstreges (i nogle tilfælde skal intet overstreges, f.eks. hvis flere muligheder er gældende).

2.5.2.1.1.2.3. f_2, N/(km/h) (2): …

E_{AC}(Wh)	Prøvning	
	1	
	2	
	3	

EC (Wh/km)	Prøvning	(Alt efter hvad der er relevant)						
		"Lav"	"Medium"	"Høj"	"Ekstra høj"	Bykørsel	Blandet kørsel 4-fase-cyklus	Blandet kørsel 3-fase-cyklus
Beregnet EC	1							
	2							
	3							
	gennemsnit							
Opgivet værdi		—	—	—	—	—		

2.5.2.1.1.3. Total overskridelse af tidstolerancen ved gennemførelsen af cyklussen: … sek.

2.5.2.1.2. Køretøjets "Lav" (hvis relevant)

2.5.2.1.2.1. Cyklusenergikrav

2.5.2.1.2.1.1. 4-fase-cyklus … J

2.5.2.1.2.1.2. 3-fase-cyklus … J

2.5.2.1.2.2. Køremodstandskoefficienter

2.5.2.1.2.2.1. f_0, N: …

2.5.2.1.2.2.2. f_1, N/(km/h): …

2.5.2.1.2.2.3. f_2, N/(km/h) (2): …

E_{AC}(Wh)	Prøvning	
	1	
	2	
	3	

EC (Wh/km)	Prøvning	Bykørsel	Blandet kørsel 4-fase-cyklus	Blandet kørsel 3-fase-cyklus
Beregnet EC	1			
	2			
	3			
	gennemsnit			
Opgivet værdi		—		

EC (Wh/km)	Prøvning	"Lav"	"Medium"	"Høj"	"Ekstra høj"	Bykørsel	Blandet kørsel 4-fase-cyklus	Blandet kørsel 3-fase-cyklus
Beregnet EC	1							
	2							
	3							
	gennemsnit							
Opgivet værdi		—	—	—	—	—		

2.5.2.1.2.3. Total overskridelse af tidstolerancen ved gennemførelsen af cyklussen: … sek.

2.5.2.2. Rent elektrisk rækkevidde ved omgivelsestemperatur (23 °C)

2.5.2.2.1. Køretøjets "høj"

PER (km)	Prøvning	"Lav"	"Medium"	"Høj"	"Ekstra høj"	Bykørsel	Blandet kørsel 4-fase-cyklus	Blandet kørsel 3-fase-cyklus
Målt rent elektrisk rækkevidde	1							
	2							
	3							
	gennemsnit							
Opgivet værdi		—	—	—	—	—		

2.5.2.2.2. Køretøjets "Lav" (hvis relevant)

PER (km)	Prøvning	"Lav"	"Medium"	"Høj"	"Ekstra høj"	Bykørsel	Blandet kørsel 4-fase-cyklus	Blandet kørsel 3-fase-cyklus
Målt rent elektrisk rækkevidde	1							
	2							
	3							
	gennemsnit							
Opgivet værdi		—	—	—	—	—		

2.5.2.3. Oplyste forhold for rent elektrisk rækkevidde ved lav temperatur

PER (km) $K_{PER;WLTC,LT,dec}$	
Identifikator for lavtemperaturfamilie	
Oplyst forhold for rent elektrisk rækkevidde ved lav temperatur	

* Tabellen gentages, hvis mere end én lavtemperaturfamilie tages i betragtning.

2.5.3. Hybridt elkøretøj med ekstern opladning (OVC) og hybridt brændselscellekøretøj (alt efter hvad der er relevant):

2.5.3.1. Ladningsbevarende CO_2-emission (gælder kun for OVC-HEV'er)

2.5.3.1.1. Køretøjets "høj"

2.5.3.1.1.1. Cyklusenergikrav: … J

2.5.3.1.1.2. Køremodstandskoefficienter

2.5.3.1.1.2.1. f_0, N: …

2.5.3.1.1.2.2. f_1, N/(km/h): …

2.5.3.1.1.2.3. f_2, N/(km/h) ([2]): …

CO_2-emission (g/km)	Prøvning	"Lav"	"Medium"	"Høj"	"Ekstra høj"	Blandet kørsel 4-fase-cyklus
$M_{CO2,p,5}/M_{CO2,c,5}$	1					
	2					
	3					
	Gennem-snit					
Endelig $M_{CO2,p,H}/M_{CO2,c,H}$						

2.5.3.1.2. Køretøjets "Lav" (hvis relevant)

2.5.3.1.2.1. Cyklusenergikrav

2.5.3.1.2.1.1. 4-fase-cyklus … J

2.5.3.1.2.1.2. 3-fase-cyklus … J

2.5.3.1.2.2. Køremodstandskoefficienter

2.5.3.1.2.2.1. f_0, N: …

2.5.3.1.2.2.2. f_1, N/(km/h): …

2.5.3.1.2.2.3. f_2, N/(km/h) ([2]): …

CO_2-emission (g/km)	Prøvning	"Lav"	"Medium"	"Høj"	"Ekstra høj"	Blandet kørsel 4-fase-cyklus
$M_{CO2,p,5}/M_{CO2,c,5}$	1					
	2					
	3					
	Gennem-snit					
Endelig $M_{CO2,p,L}/M_{CO2,c,L}$						

2.5.3.1.3. Køretøjets M (hvis relevant)

2.5.3.1.3.1. Cyklusenergikrav

2.5.3.1.3.1.1. 4-fase-cyklus … J

2.5.3.1.3.1.2. 3-fase-cyklus … J

2.5.3.1.3.2. Køremodstandskoefficienter

2.5.3.1.3.2.1. f_0, N: …

2.5.3.1.3.2.2. f_1, N/(km/h): …

2.5.3.1.3.2.3. f_2, N/(km/h) ([2]): …

CO_2-emission (g/km)	Prøvning	"Lav"	"Medium"	"Høj"	"Ekstra høj"	Blandet kørsel 4-fase-cyklus
$M_{CO2,p,5}/M_{CO2,c,5}$	1					
	2					
	3					
	Gennem-snit					
$M_{CO2,p,M}/M_{CO2,c,M}$						

2.5.3.2. Ladningsforbrugende CO_2-emission (gælder kun for OVC-HEV'er)

Køretøjets "høj"

CO_2-emission (g/km)	Prøvning	Blandet kørsel 4-fase-cyklus
MCO2,CD	1	
	2	
	3	
	Gennemsnit	
Endelig $M_{CO2,CD,H}$		

Køretøjets "Lav" (hvis relevant)

CO_2-emission (g/km)	Prøvning	Blandet kørsel 4-fase-cyklus
MCO2,CD	1	
	2	
	3	
	Gennemsnit	
Endelig $M_{CO2,CD,L}$		

Køretøjets M (hvis relevant)

CO_2-emission (g/km)	Prøvning	Blandet kørsel 4-fase-cyklus
MCO2,CD	1	
	2	
	3	
	Gennemsnit	
Endelig $M_{CO2,CD,M}$		

2.5.3.3. CO_2-emission (vægtet, blandet kørsel) ([11]) (gælder kun for OVC-HEV'er):

Køretøjets "høj": MCO2,vægtet … g/km

Køretøjets "Lav" (hvis relevant): MCO2,vægtet … g/km

Køretøjets "Medium" (hvis relevant): MCO2,vægtet … g/km

2.5.3.3.1. Mindste og største CO_2-værdier inden for interpolationsfamilien.

2.5.3.4. Brændstofforbrug i ladningsbevarende drift

Køretøjets "Høj"						
Brændstofforbrug (l/100 km eller m^3/100 km eller kg/100 km) ([1]) eller brændstofeffektivitet (km/l eller km/kg) ([1]) (alt efter hvad der er relevant)	"Lav"	"Medium"	"Høj"	"Ekstra høj"	Blandet kørsel 4-fase-cyklus	Blandet kørsel 3-fase-cyklus
Endelige værdier $FC_{p,H}$ / $FC_{c,H}$ eller $FE_{p,H}$, $FE_{c,H}$						

Køretøjets "Lav" (hvis relevant)						
Brændstofforbrug (l/100 km eller m^3/100 km eller kg/100 km) ([1]) eller brændstofeffektivitet (km/l eller km/kg) ([1]) (alt efter hvad der er relevant)	"Lav"	"Medium"	"Høj"	"Ekstra høj"	Blandet kørsel 4-fase-cyklus	Blandet kørsel 3-fase-cyklus
Endelige værdier $FC_{p,L}$ / $FC_{c,L}$ eller $FE_{p,L}$, $FE_{c,L}$						

Køretøjets M (hvis relevant)						
Brændstofforbrug (l/100 km eller m^3/100 km eller kg/100 km) ([1]) eller brændstofeffektivitet (km/l eller km/kg) ([1]) (alt efter hvad der er relevant)	"Lav"	"Medium"	"Høj"	"Ekstra høj"	Blandet kørsel 4-fase-cyklus	Blandet kørsel 3-fase-cyklus
Endelige værdier $FC_{p,M}$ / $FC_{c,M}$ eller $FE_{p,M}$, $FE_{c,M}$						

([11]) Målt i den blandede cyklus.

Køretøjets M (hvis relevant)						
Brændstofforbrug (l/100 km eller m³/100 km eller kg/100 km) (1) eller brændstofeffektivitet (km/l eller km/kg) (1) (alt efter hvad der er relevant)	"Lav"	"Medium"	"Høj"	"Ekstra høj"	Blandet kørsel 4-fase-cyklus	Blandet kørsel 3-fase-cyklus
Nedre trykgrænse for hydrogen (MPa) (alt efter hvad der er relevant)	*"Lav"*	*"Mediu-m"*	*"Høj"*	*"Ekstra høj"*	*Blandet kørsel 4-fase-cyklus*	*Blandet kørsel 3-fase-cyklus*
Endelig værdi P_{LL}	-	-	-	-	-	

2.5.3.5. Brændstofforbrug i ladningsforbrugende drift

Køretøjets "Høj"

	Brændstofforbrug(l/100 km) eller m³/100 km eller kg/100 km (1) Blandet kørsel 4-fase-cyklus	Brændstofeffektivitet (km/l) (1) Blandet kørsel 3-fase-cyklus
Endelige værdier $FC_{CD,H}$ eller $FE_{CD,H}$		

Køretøjets "Lav" (hvis relevant)

	Brændstofforbrug(l/100 km) eller m³/100 km eller kg/100 km (1) Blandet kørsel 4-fase-cyklus	Brændstofeffektivitet (km/l) (1) Blandet kørsel 3-fase-cyklus
Endelige værdier $FC_{CD,L}$eller $FE_{CD,L}$		

Køretøjets M (hvis relevant)

	Brændstofforbrug(l/100 km) eller m³/100 km eller kg/100 km (1) Blandet kørsel 4-fase-cyklus	Brændstofeffektivitet (km/l) (1) Blandet kørsel 3-fase-cyklus
Endelige værdier $FC_{CD,M}$ eller $FE_{CD,M}$		

2.5.3.6. Brændstofforbrug (vægtet/blandet kørsel)14F (12) (alt efter hvad der er relevant):

Køretøjets "høj": $FC_{vægtet}$ … l/100 km eller (kg/100 km)

Køretøjets "Lav" (hvis relevant): $FC_{vægtet}$ … l/100 km eller (kg/100 km)

Køretøjets "Medium" (hvis relevant): $FC_{vægtet}$ … l/100 km eller (kg/100 km)

(12) Målt i den blandede cyklus.

2.5.3.7. Rækkevidder:

2.5.3.7.1. Fuld elektrisk rækkevidde AER

AER (km)	Prøvning	Bykørsel	Blandet kørsel 4-fase-cyklus	Blandet kørsel 3-fase-cyklus
AER-værdier	1			
	2			
	3			
	Gennemsnit			
Endelige værdier for AER				

2.5.3.7.2. Ækvivalent fuld elektrisk rækkevidde EAER (hvis relevant)

EAER (km)	"Lav"	"Mediu-m"	"Høj"	"Ekstra høj"	Bykørsel	Blandet kørsel 4-fase-cyklus	Blandet kørsel 3-fase-cyklus
Målt værdi (*)							
Endelige EAER-værdier							

(*) For niveau 1B og 3-faset WLTP-prøvning på niveau 2, det aritmetiske gennemsnit af alle individuelle ladningsforbrugende prøvninger

2.5.3.7.3. Faktisk rækkevidde i ladningsforbrugende drift, R_{CDA}

RCDA (km)	Blandet kørsel 4-fase-cyklus	Blandet kørsel 3-fase-cyklus
RCDA (km)		

2.5.3.7.4. Rækkevidden i cyklus i ladningsforbrugende drift, R_{CDC}

RCDA (km)	Prøvning	Blandet kørsel 4-fase-cyklus	Blandet kørsel 3-fase-cyklus
RCDC-værdier	1		
	2		
	3		
	Gennemsnit		
Endelige RCDC-værdier			

2.5.3.8. Elektrisk energiforbrug

2.5.3.8.1. Elektrisk energiforbrug EC

EAC (Wh)	

EC (Wh/km)	"Lav"	"Medium"	"Høj"	"Ekstra høj"	Bykør-sel	Blandet kørsel 4-fase-cyklus	Blandet kørsel 3-fase-cyklus
Værdier for elektrisk energiforbrug							

2.5.3.8.2. UF-vægtet ladningsforbrugende elektrisk energiforbrug $EC_{AC,CD}$ (blandet)

$EC_{AC,CD}$ (Wh/km)	Prøvning	Blandet kørsel 4-fase-cyklus
ECAC,CD-værdier	1	
	2	
	3	
	Gennemsnit	
Endelige ECAC,CD-værdier		

2.5.3.8.3. UF-vægtet elektrisk energiforbrug $EC_{AC,\ vægtet}$ (kombineret)

$EC_{AC,vægtet}$ (Wh/km)	Prøvning	Blandet kørsel 4-fase-cyklus
ECAC,vægtet-værdier	1	
	2	
	3	
	Gennemsnit	
Endelige ECAC,vægtet-værdier		

2.5.4. Hybride brændselscellekøretøjer med ikke-ekstern opladning (NOVC-FCHV)

Køretøjets "Høj"						
Brændstofforbrug (kg/100 km) eller brændstofeffektivitet (km/kg) (alt efter hvad der er relevant)	"Lav"	"Medium"	"Høj"	"Ekstra høj"	Blandet kørsel 4-fase-cyklus	Blandet kørsel 3-fase-cyklus
Endelige værdier $FC_{p,H\ /}\ FC_{c,H}$ eller $FE_{p,H}$, $FE_{c,H}$						

Køretøjets "Lav" (hvis relevant)						
Brændstofforbrug (kg/100 km) eller brændstofeffektivitet (km/kg) (alt efter hvad der er relevant)	"Lav"	"Medium"	"Høj"	"Ekstra høj"	Blandet kørsel 4-fase-cyklus	Blandet kørsel 3-fase-cyklus
Endelige værdier $FC_{p,L}$ / $FC_{c,L}$ eller $FE_{p,L}$, $FE_{c,L}$						

Nedre trykgrænse for hydrogen (MPa) (alt efter hvad der er relevant)	"Lav"	"Medium"	"Høj"	"Ekstra høj"	Blandet kørsel 4-fase-cyklus	Blandet kørsel 3-fase-cyklus
Endelig værdi P_{LL}	-	-	-	-	-	

2.5.5. Anordning til overvågning af forbruget af brændstof og/eller elektrisk energi: ja/ikke relevant ...

3. Bemærkninger: …

Forklarende bemærkninger

(4) Hvis typeidentifikationsmærkningen indeholder tegn, der ikke er relevante for beskrivelsen af de typer køretøjer, komponenter eller separate tekniske enheder, der er omfattet af dette oplysningsskema, erstattes sådanne tegn i følgedokumenterne med "?" (f.eks. ABC??123??)

(5) (Reserveret)

(5a) (Reserveret)

(6) (Reserveret)

(8) Hvis relevant.

(9) Afrundes til 2 decimaler.

(10) Afrundes til 4 decimaler.

(10a) Afrundes til 3 decimaler.

(11) Ikke relevant.

(12) Gennemsnitsværdi beregnet ved at addere gennemsnitsværdier (M.Ki) beregnet for THC og NOx.

(13) Afrundes til 1 decimal mere end grænseværdien.

(14) Angiv den gældende procedure.

(22) Gældende type 1-cyklus: Bilag B1 til FN-regulativ nr. 154

(23) Hvis en modelleringsteknologi anvendes i stedet for type 1-prøvningscyklussen, er denne værdi den, der fremkommer ved modelleringsmetoden.

a) Det ikke gældende overstreges (i nogle tilfælde skal intet overstreges, hvis flere muligheder er gældende).

Bilag A2 - Tillæg 1.

Dette tillæg finder kun anvendelse på niveau 1A og niveau 2 (fase 4 WLTP)

Fabrikantens overensstemmelseserklæring med reagenskrav

(Fabrikanten): …..
(Fabrikantens adresse): …..

erklærer, at

de køretøjer, der er omfattet af denne godkendelse/de køretøjer, der er opført i bilag I til denne erklæring ([13]), opfylder kravene vedrørende korrekt drift af reagensforbrugende systemer i overensstemmelse med tillæg 6 til FN-regulativ nr. 154.

Udfærdiget i [... Sted]

den [..... Dato]

[Navn og underskrift fra den af fabrikanten behørigt bemyndigede person eller fabrikantens repræsentant]

Vedlagt:

Bilag I: Den eller de køretøjstyper, familier eller køretøjer, der er beskrevet ved andre køretøjsdeskriptorer, hvorpå denne erklæring finder anvendelse (hvis relevant).

([13]) Det ikke relevante overstreges.

Bilag A2 - Tillæg 2.

Dette tillæg finder kun anvendelse på niveau 1A og niveau 2 (fase 4 WLTP)

Fabrikantens erklæring til temperaturkorrektionsprøvningen (ATCT)

(Fabrikanten): …..
(Fabrikantens adresse): …..

erklærer, at

for de køretøjer, der er omfattet af denne godkendelse/de køretøjer, der er opført i bilag I til denne erklæring ([14]), skal følgende familiekorrektionsfaktor(er) (FCF) tages i betragtning ved efterbehandling af de relevante WLTP-type 1-prøvninger ved 23 °C.

Denne erklæring er baseret på det prøvningsforhold og indstillinger, som er defineret i FN-regulativ nr. 154, bilag B6a og B6 (niveau 1A) afhængigt af hvad der er relevant.

Køretøjsbeskrivelse (OEM skal defineres)	FCF ([15])
X	
Y	
Z	

Udfærdiget i [... Sted]

den [..... Dato]

[Navn og underskrift fra den af fabrikanten behørigt bemyndigede person eller fabrikantens repræsentant]

Vedlagt:

Bilag I: Den eller de køretøjstyper, familier eller køretøjer, der er beskrevet ved andre køretøjsdeskriptorer, hvorpå denne erklæring finder anvendelse (hvis relevant).

([14]) Det ikke relevante overstreges.
([15]) Fabrikanterne skal angive familiekorrektionsfaktoren afrundet til fire decimaler.

Bilag A2 - Tillæg 3.

Dette tillæg finder kun anvendelse på niveau 1A og niveau 2 (fase 4 WLTP)

Fabrikantens erklæring om regenereringskrav

(Fabrikanten): …..
(Fabrikantens adresse): …..

erklærer, at

for de køretøjer, der er omfattet af denne godkendelse/de køretøjer, der er opført i bilag I til denne erklæring, anvendes følgende K_i-faktorer i overensstemmelse med FN-regulativ nr. 154, bilag B6, tillæg 1:

Regenereringsfaktorer for motorer med kompressionstænding (K_i) ([16])

	NO_X	CO	$THC+NO_X$	PM	CO_2
Multiplikativ					
Additiv					

Regenereringsfaktorer for motorer med styret tænding (Ki) [18]

	NO_X	CO	THC	NMHC	PM	CO_2
Multiplikativ						
Additiv						

Alternativt (hvis relevant):

[ ] K_i-faktorer med en værdi på 1,0, eftersom den periodiske regenerering forekommer mindst én gang pr. type 1-prøvning og allerede er forekommet mindst én gang under forberedelse af køretøjet.

[ ] K_i-faktorer med en værdi på 1,0, eftersom afstanden mellem to på hinanden følgende periodiske regenereringer er mere end 4 000 km kørsel med gentagne type 1-prøvninger.

[ ] CO_2-K_i-faktorer med en værdi på 1,05, eftersom emissionsgrænserne er overholdt under regenereringer.

Ydermere finder disse K_i-faktorer anvendelse på køretøjer, som er opført i bilag I til denne erklæring, i forbindelse med ladningsbevarende type 1-WLTP-prøvninger udført med henblik på typegodkendelse, produktionens overensstemmelse, overensstemmelse efter ibrugtagning og markedsovervågning.

Udfærdiget i [... Sted]

den [..... Dato]

[Navn og underskrift fra den af fabrikanten behørigt bemyndigede person eller fabrikantens repræsentant]

Vedlagt:

Bilag I: Den eller de køretøjstyper, familier eller køretøjer, der er beskrevet ved andre køretøjsdeskriptorer, hvorpå denne erklæring finder anvendelse

([16]) Afrundet til fire decimaler.

Bilag A2 - Tillæg 4.

Dette tillæg finder kun anvendelse på niveau 1A og niveau 2 (fase 4 WLTP)

Fabrikantens overensstemmelseserklæring med type 5-kravene

(Fabrikanten): …..
(Fabrikantens adresse): …..

Erklærer, at de køretøjer, der er omfattet af denne godkendelse/de køretøjer, der er opført i bilag I til denne erklæring ([17]), er i overensstemmelse med type 5-kravene vedrørende de udstødningsemissionsbegrænsende egenskabers holdbarhed i hele mållivscyklussen.

For type 1-prøvninger (WLTP), der udføres med henblik på typegodkendelse eller prøvning af produktionens overensstemmelse, anvendes følgende (standard-)forringelsesfaktorer til at bestemme de endelige resultater af kriterieemissioner:

Forringelsesfaktorer for motorer med kompressionstænding (DF) ([18])							
	NOX	CO	THC	NMHC	HC+NOX	PM	PN
Multiplikativ			-	-			
Additiv			-	-			

Forringelsesfaktorer for motorer med styret tænding (DF)[21]							
	NOX	CO	THC	NMHC	HC+NOX	PM	PN
Multiplikativ (standard)	1,600	1,500	1,300	1,300	-	1,000	1,000
Multiplikativ					-		
Additiv					-		

Udfærdiget i [... Sted]

den [..... Dato]

[Navn og underskrift fra den af fabrikanten behørigt bemyndigede person eller fabrikantens repræsentant]

Vedhæftede filer

Bilag I: Den eller de køretøjstyper, familier eller køretøjer, der er beskrevet ved andre køretøjsdeskriptorer, hvorpå denne erklæring finder anvendelse (hvis relevant).

([17]) Det ikke relevante overstreges.
([18]) Afrundet til tre decimaler.

Bilag A2 - Tillæg 5.

Dette tillæg finder kun anvendelse på niveau 1A og niveau 2 (fase 4 WLTP)

Fabrikantens overensstemmelseserklæring med OBD-kravene med henblik på typegodkendelse

(Fabrikanten): …..
(Fabrikantens adresse): …..

erklærer, at

de køretøjer, der er omfattet af denne godkendelse/de køretøjer, der er opført i bilag I til denne erklæring ([19]), er i overensstemmelse med bestemmelserne i FN-regulativ nr. 154 om OBD-systemet

bilag II til denne erklæring indeholder en liste over eventuelle undtagelser og/eller mangler, der gælder for disse køretøjer i forbindelse med OBD-bestemmelserne i dette regulativ.

Udfærdiget i [... Sted]

den [..... Dato]

[Navn og underskrift fra den af fabrikanten behørigt bemyndigede person eller fabrikantens repræsentant]

Vedhæftede filer

Bilag I: Den eller de køretøjstyper, familier eller køretøjer, der er beskrevet ved andre køretøjsdeskriptorer, hvorpå denne erklæring finder anvendelse (hvis relevant).

Bilag II: Liste over eventuelle undtagelser og/eller mangler, der gælder for disse køretøjer i forbindelse med OBD-bestemmelserne i dette regulativ.

([19]) Det ikke relevante overstreges.

Bilag A2 - Tillæg 6.

Dette tillæg finder kun anvendelse på niveau 1A og niveau 2 (fase 4 WLTP)

Fabrikantens overensstemmelseserklæring med kravene til batteriers holdbarhed i køretøjer med henblik på typegodkendelse

(Fabrikanten): …..
(Fabrikantens adresse): …..

erklærer, at

Anvend følgende afsnit, hvis minimumskrav til ydeevne anvendes, og spring det over, hvis de oplyste krav til ydeevne anvendes:

de køretøjer, der er omfattet af denne godkendelse/de køretøjer, der er opført i bilag I til denne erklæring ([20]), er i overensstemmelse med de minimumskrav til ydeevne, der er fastsat i tabel 1 i bilag C1 til FN-regulativ nr. 154 om batteriers holdbarhed i køretøjer

Anvend følgende afsnit, hvis de oplyste krav til ydeevne anvendes, og spring det over, hvis minimumskrav til ydeevne anvendes:

de køretøjer, der er omfattet af denne godkendelse/de køretøjer, der er opført i bilag I til denne erklæring ([20]), er i overensstemmelse med de oplyste krav til ydeevne som fastsat i nedenstående tabel

Køretøjets alder/kørte kilometer	Oplyste krav til ydeevne (DPR)
Fra påbegyndelse af levetiden til 5 år eller 100 000 km, alt efter hvad der indtræffer først	1) …%
Køretøjer, der er over 5 år eller har kørt mere end 100 000 km, og op til 8 år eller 160 000 km, alt efter hvad der indtræffer først	2) …%

Anvend under alle omstændigheder følgende afsnit:

Derudover er de køretøjer, der er omfattet af denne godkendelse/de køretøjer, der er opført i bilag I til denne erklæring ([20]), i overensstemmelse med kravene til certificeret energitilstand (SOCE) og certificeret rækkeviddetilstand (SOCR) i henhold til punkt 1.1 i bilag C1 til FN-regulativ nr. 154 om batteriers holdbarhed i køretøjer.

Udfærdiget i [... Sted]

den [..... Dato]

[Navn og underskrift fra den af fabrikanten behørigt bemyndigede person eller fabrikantens repræsentant]

Vedhæftede filer

Bilag I: Den eller de køretøjstyper, familier eller køretøjer, der er beskrevet ved andre køretøjsdeskriptorer, hvorpå denne erklæring finder anvendelse (hvis relevant).

([20]) Det ikke relevante overstreges.

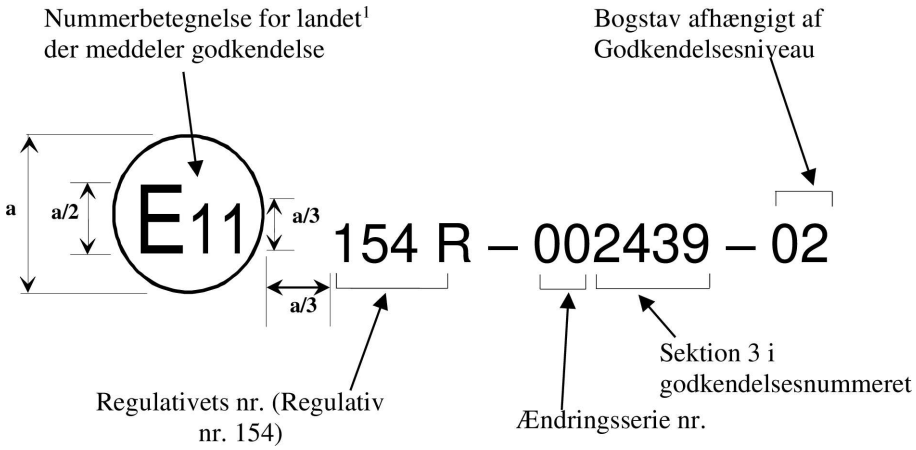
BILAG A3

Udformning af godkendelsesmærket

I det godkendelsesmærke, der udstedes og påføres et køretøj i overensstemmelse med punkt 5 i dette regulativ, skal typegodkendelsesnummeret ledsages af et alfanumerisk tegn, der viser, hvilket niveau godkendelsen er begrænset til.

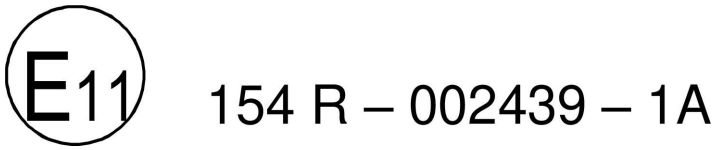
I dette bilag beskrives udformningen af dette mærke, og der gives eksempler på dets opbygning.

Nedenstående skematiske fremstilling viser mærkningens generelle layout, proportioner og indhold. Tallenes og bogstavernes betydning forklares, og der angives også kilder til bestemmelse af tilsvarende alternativer for hver godkendelse.



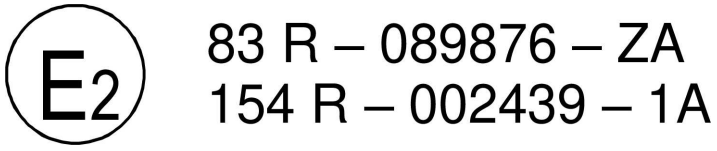
a = 8 mm (minimum)

Nedenstående grafik er et praktisk eksempel på, hvordan mærkningen opbygges.



Det ovenstående godkendelsesmærke, der er påmonteret på et køretøj i overensstemmelse med punkt 5 i dette regulativ, angiver, at den pågældende køretøjstype er godkendt i Det Forenede Kongerige (E11) i henhold til FN-regulativ nr. 154 med godkendelsesnummer 2439 som defineret i afsnit 3 i punkt 5.2.1. Dette mærke angiver, at godkendelsen er meddelt efter forskrifterne i dette regulativ i dets oprindelige udgave. Endvidere angiver den ledsagende kode (1A), at køretøjet er godkendt til niveau 1A (Europa).

Nedenstående grafik er et praktisk eksempel på, hvordan mærkningen opbygges.



([1]) Nummerbetegnelse for landet i henhold til fodnoten i punkt 5.4.1 i dette regulativ.

Det ovenstående godkendelsesmærke, der er påmonteret på et køretøj i overensstemmelse med punkt 5 i dette regulativ, angiver, at den pågældende køretøjstype er godkendt i Frankrig (E 2) i henhold til:

a) FN-regulativ nr. 83 under del 3 af godkendelsesnummer 9876. Dette mærke angiver, at godkendelsen er meddelt efter forskrifterne i dette regulativ som ændret ved ændringsserie 08. Endvidere angiver den ledsagende kode (ZA), at køretøjet er godkendt efter et bestemt niveau a krav i henhold til ZA-karakteren.

b) Dette regulativ under godkendelsesnummer 2439 som defineret i afsnit 3, punkt 5.2.1. Dette mærke angiver, at godkendelsen er meddelt efter forskrifterne i dette regulativ i dets oprindelige udgave. Endvidere angiver den ledsagende kode (1A), at køretøjet er godkendt til niveau 1A (Europa).

Tabel A3/1

Karakterer med henvisning til godkendelsesniveau

Kode	Den kontraherende part, som kravene er baseret på
1 A	Den Europæiske Union
1B	Japan
1C	Den Europæiske Union (SVM)
02	Harmoniseret

Bilag, del B

I bilagene i bilag del B beskrives metoderne til bestemmelse af emissionen af gasformige forbindelser, partikler, partikelantal, CO_2-emissioner, brændstofforbrug, brændstofeffektivitet, elektrisk energiforbrug og elektrisk rækkevidde for lette køretøjer.

BILAG B1

Den på verdensplan harmoniserede prøvningscyklus for lette køretøjer (WLTC)

1. Generelle krav

Den cyklus, der skal køres, afhænger af forholdet mellem prøvningskøretøjets mærkeeffekt-/masseforhold i køreklar stand minus 75 kg, W/kg, og dets maksimale hastighed, $\mathbf{v_{max}}$ (som defineret i punkt 3.7.2 i dette regulativ).

Den cyklus, der er resultatet af kravene i dette bilag, betegnes i andre dele af denne forordning som "den gældende cyklus".

2. Klassificering af køretøjer

2.1. Gruppe 1-køretøjer har et effekt-/masseforhold i køreklar stand minus 75 kg $\mathbf{P_{mr}} \leq \mathbf{22}$ W/kg.

2.2. Gruppe 2-køretøjer har et effekt-/masseforhold i køreklar stand minus 75 kg > 22 men ≤ 34 W/kg.

2.3. Gruppe 3-køretøjer har et effekt-/masseforhold i køreklar stand minus 75 kg > 34 W/kg.

2.3.1. Gruppe 3-køretøjer opdeles i 2 undergrupper efter deres maksimalhastighed, v_{max}.

2.3.1.1. Gruppe 3a-køretøjer med v_{max} < 120 km/h.

2.3.1.2. Gruppe 3b-køretøjer med v_{max} ≥ 120 km/h.

2.3.2. Alle de køretøjer, der prøves efter bilag B8, anses for at være gruppe 3-køretøjer.

Kun niveau 1B og niveau 2 (fase 3 WLTP-prøvning):

Alle de køretøjer, der prøves efter bilag B8, anses for at være gruppe 3-køretøjer, med undtagelse af PEV'er.

3. Prøvningscyklusser

3.1. Gruppe 1-cyklus

3.1.1. En komplet gruppe 1-cyklus består af en lavhastighedsfase (Lav_1), en mellemhastighedsfase ($Medium_1$) og en yderligere lavhastighedsfase (Lav_1).

3.1.2. Lav_1-fasen er beskrevet i figur A1/1 og tabel A1/1.

3.1.3. $Medium_1$-fasen er beskrevet i figur A1/2 og tabel A1/2.

3.2. Gruppe 2-cyklus

3.2.1. For niveau 1A og niveau 2 (fase 4 WLTP-prøvning):

En komplet gruppe 2-cyklus består af en lavhastighedsfase (Lav_2), en mellemhastighedsfase ($Medium_2$), en højhastighedsfase ($Høj_2$) og en ekstrahøjhastighedsfase (Ekstra $høj_2$).

For niveau 1B og niveau 2 (fase 3 WLTP-prøvning):

En komplet trefaset gruppe 2-cyklus består af en lavhastighedsfase (Lav_2), en mellemhastighedsfase ($Medium_2$) og en højhastighedsfase ($Høj_2$).

3.2.2. Lav_2-fasen er beskrevet i figur A1/3 og tabel A1/3.

3.2.3. $Medium_2$-fasen er beskrevet i figur A1/4 og tabel A1/4.

3.2.4. $Høj_2$-fasen er beskrevet i figur A1/5 og tabel A1/5.

3.2.5. Ekstra $høj_2$-fasen er beskrevet i figur A1/6 og tabel A1/6.

3.3. Gruppe 3-cyklus

Gruppe 3-cyklusser er opdelt i to undergrupper til underinddeling af klasse 3-køretøjer.

3.3.1. Gruppe 3a-cyklus

3.3.1.1. For niveau 1A og niveau 2 (fase 4 WLTP-prøvning):

En komplet gruppe 3a-cyklus består af en lavhastighedsfase (Lav_3), en mellemhastighedsfase ($Medium_{3a}$), en højhastighedsfase ($Høj_{3a}$) og en ekstrahøjhastighedsfase (Ekstra $høj_3$).

For niveau 1B og niveau 2 (fase 3 WLTP-prøvning):

En komplet trefaset gruppe 3a-cyklus består af en lavhastighedsfase (Lav_3), en mellemhastighedsfase ($Medium_{3a}$) og en højhastighedsfase ($Høj_{3a}$).

3.3.1.2. Lav_3-fasen er beskrevet i figur A1/7 og tabel A1/7.

3.3.1.3. $Medium_{3a}$-fasen er beskrevet i figur A1/8 og tabel A1/8.

3.3.1.4. $Høj_{3a}$-fasen er beskrevet i figur A1/10 og tabel A1/10.

3.3.1.5. Ekstra $høj_3$-fasen er beskrevet i figur A1/12 og tabel A1/12.

3.3.2. Gruppe 3b-cyklus

3.3.2.1. For niveau 1A og niveau 2 (fase 4 WLTP-prøvning):

En komplet gruppe 3b-cyklus består af en lavhastighedsfase (Lav_3), en mellemhastighedsfase ($Medium_{3b}$), en højhastighedsfase ($Høj_{3b}$) og en ekstrahøjhastighedsfase (Ekstra $høj_3$).

For niveau 1B og niveau 2 (fase 3 WLTP-prøvning):

En komplet trefaset gruppe 3b-cyklus består af en lavhastighedsfase (Lav_3), en mellemhastighedsfase ($Medium_{3b}$) og en højhastighedsfase ($Høj_{3b}$).

3.3.2.2. Lav_3-fasen er beskrevet i figur A1/7 og tabel A1/7.

3.3.2.3. $Medium_{3b}$-fasen er beskrevet i figur A1/9 og tabel A1/9.

3.3.2.4. $Høj_{3b}$-fasen er beskrevet i figur A1/11 og tabel A1/11.

3.3.2.5. Ekstra $høj_3$-fasen er beskrevet i figur A1/12 og tabel A1/12.

3.4. Cyklusfasernes længde

3.4.1. Gruppe 1-cyklus

Den første fase med lav hastighed begynder ved sekund 0 (t_{start_low11}) og slutter ved sekund 589 (t_{end_low11}, længde 589 s).

Fasen med mellemhastighed begynder ved sekund 589 ($t_{start_medium1}$) og slutter ved sekund 1022 ($t_{end_medium1}$, længde 433 s).

Den anden fase med lav hastighed begynder ved sekund 1022 (t_{start_low12}) og slutter ved sekund 1611 (t_{end_low12}, længde 589 s).

3.4.2. Gruppe 2- og gruppe 3-cyklusser

Fasen med lav hastighed begynder ved sekund 0 (t_{start_low2}, t_{start_low3}) og slutter ved sekund 589 (t_{end_low2}, t_{end_low3}, længde 589 s).

Fasen med mellemhastighed begynder ved sekund 589 ($t_{start_medium2}$, $t_{start_medium3}$) og slutter ved sekund 1022 ($t_{end_medium2}$, $t_{end_medium3}$, længde 433 s).

Fasen med høj hastighed begynder ved sekund 1022 (t_{start_high2}, t_{start_high3}) og slutter ved sekund 1477 (t_{end_high2}, t_{end_high3}, længde 455 s).

Kun niveau 1A og niveau 2

Fasen med ekstra høj hastighed begynder ved sekund 1477 ($t_{start_exhigh2}$, $t_{start_exhigh3}$) og slutter ved sekund 1800 ($t_{end_exhigh2}$, $t_{end_exhigh3}$, længde 323 s).

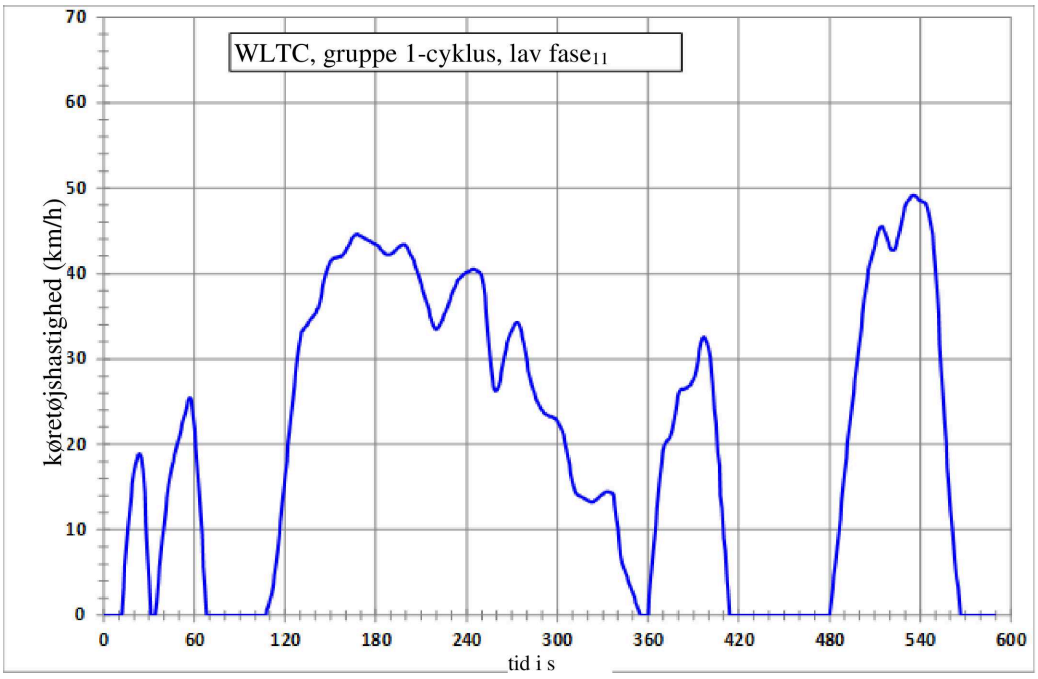
3.5. WLTCcity-cyklusser

WLTCcity-cyklussen består kun af lav- og mellemhastighedsfaserne.

4. WLTC, gruppe 1-cyklus

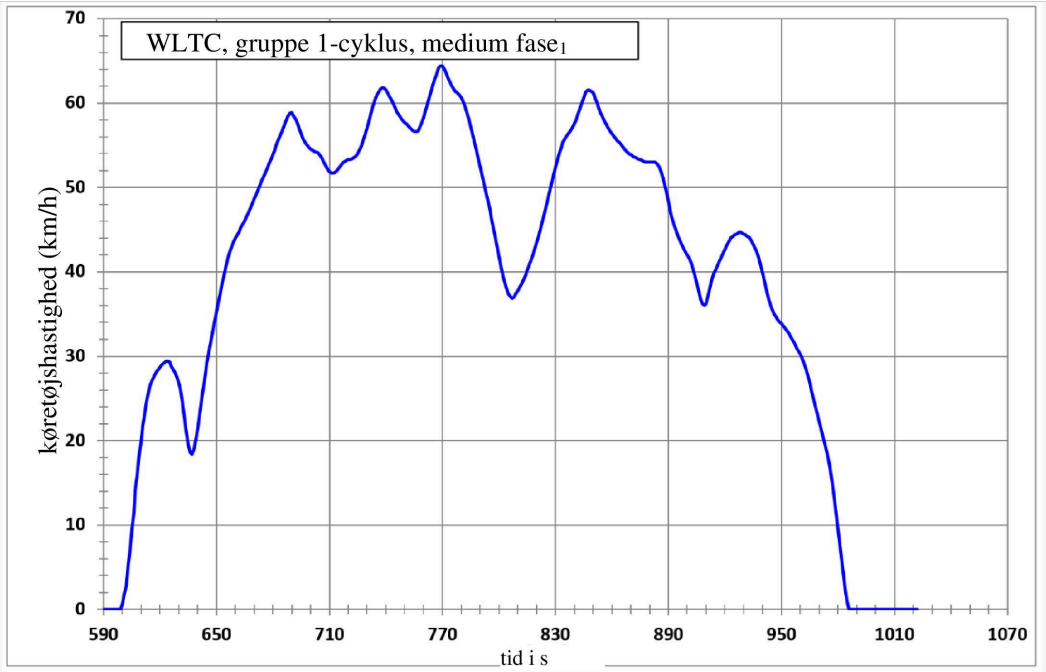
Figur A1/1

WLTC, gruppe 1-cyklus, lav fase$_{11}$



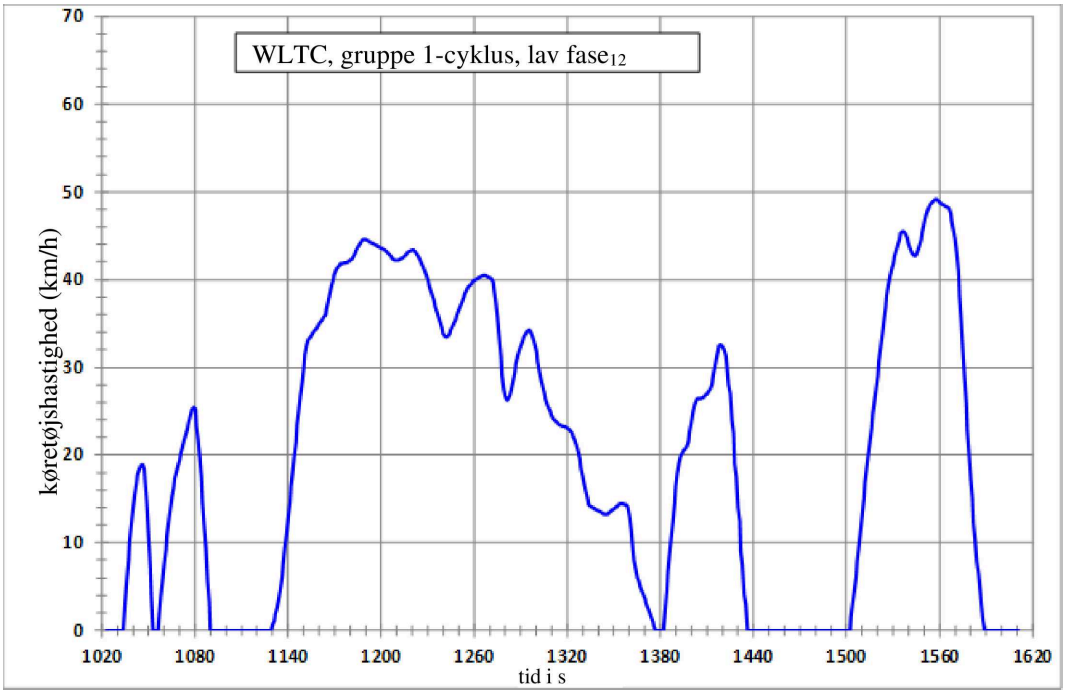
Figur A1/2 a

WLTC, gruppe 1-cyklus, medium fase$_1$



Figur A1/2b

WLTC, gruppe 1-cyklus, lav fase$_{12}$



Tabel A1/1

WLTC, gruppe 1-cyklus, lav fase$_{11}$ (sekund 589 er slutningen af lav fase$_{11}$ og begyndelsen af medium fase$_1$)

Tid i s	Hastighed (km/h)	Tid i s	Hastighed (km/h)	Tid i s	Hastighed (km/h)	Tid i s	Hastighed (km/h)
0	0,0	47	18,8	94	0,0	141	35,7
1	0,0	48	19,5	95	0,0	142	35,9
2	0,0	49	20,2	96	0,0	143	36,6
3	0,0	50	20,9	97	0,0	144	37,5
4	0,0	51	21,7	98	0,0	145	38,4
5	0,0	52	22,4	99	0,0	146	39,3
6	0,0	53	23,1	100	0,0	147	40,0
7	0,0	54	23,7	101	0,0	148	40,6
8	0,0	55	24,4	102	0,0	149	41,1
9	0,0	56	25,1	103	0,0	150	41,4
10	0,0	57	25,4	104	0,0	151	41,6
11	0,0	58	25,2	105	0,0	152	41,8
12	0,2	59	23,4	106	0,0	153	41,8
13	3,1	60	21,8	107	0,0	154	41,9
14	5,7	61	19,7	108	0,7	155	41,9
15	8,0	62	17,3	109	1,1	156	42,0
16	10,1	63	14,7	110	1,9	157	42,0
17	12,0	64	12,0	111	2,5	158	42,2
18	13,8	65	9,4	112	3,5	159	42,3
19	15,4	66	5,6	113	4,7	160	42,6
20	16,7	67	3,1	114	6,1	161	43,0
21	17,7	68	0,0	115	7,5	162	43,3
22	18,3	69	0,0	116	9,4	163	43,7
23	18,8	70	0,0	117	11,0	164	44,0
24	18,9	71	0,0	118	12,9	165	44,3
25	18,4	72	0,0	119	14,5	166	44,5
26	16,9	73	0,0	120	16,4	167	44,6
27	14,3	74	0,0	121	18,0	168	44,6
28	10,8	75	0,0	122	20,0	169	44,5
29	7,1	76	0,0	123	21,5	170	44,4
30	4,0	77	0,0	124	23,5	171	44,3
31	0,0	78	0,0	125	25,0	172	44,2
32	0,0	79	0,0	126	26,8	173	44,1
33	0,0	80	0,0	127	28,2	174	44,0
34	0,0	81	0,0	128	30,0	175	43,9

Tid i s	Hastighed (km/h)	Tid i s	Hastighed (km/h)	Tid i s	Hastighed (km/h)	Tid i s	Hastighed (km/h)
35	1,5	82	0,0	129	31,4	176	43,8
36	3,8	83	0,0	130	32,5	177	43,7
37	5,6	84	0,0	131	33,2	178	43,6
38	7,5	85	0,0	132	33,4	179	43,5
39	9,2	86	0,0	133	33,7	180	43,4
40	10,8	87	0,0	134	33,9	181	43,3
41	12,4	88	0,0	135	34,2	182	43,1
42	13,8	89	0,0	136	34,4	183	42,9
43	15,2	90	0,0	137	34,7	184	42,7
44	16,3	91	0,0	138	34,9	185	42,5
45	17,3	92	0,0	139	35,2	186	42,3
46	18,0	93	0,0	140	35,4	187	42,2
188	42,2	237	39,7	286	25,3	335	14,3
189	42,2	238	39,9	287	24,9	336	14,3
190	42,3	239	40,0	288	24,5	337	14,0
191	42,4	240	40,1	289	24,2	338	13,0
192	42,5	241	40,2	290	24,0	339	11,4
193	42,7	242	40,3	291	23,8	340	10,2
194	42,9	243	40,4	292	23,6	341	8,0
195	43,1	244	40,5	293	23,5	342	7,0
196	43,2	245	40,5	294	23,4	343	6,0
197	43,3	246	40,4	295	23,3	344	5,5
198	43,4	247	40,3	296	23,3	345	5,0
199	43,4	248	40,2	297	23,2	346	4,5
200	43,2	249	40,1	298	23,1	347	4,0
201	42,9	250	39,7	299	23,0	348	3,5
202	42,6	251	38,8	300	22,8	349	3,0
203	42,2	252	37,4	301	22,5	350	2,5
204	41,9	253	35,6	302	22,1	351	2,0
205	41,5	254	33,4	303	21,7	352	1,5
206	41,0	255	31,2	304	21,1	353	1,0
207	40,5	256	29,1	305	20,4	354	0,5
208	39,9	257	27,6	306	19,5	355	0,0
209	39,3	258	26,6	307	18,5	356	0,0
210	38,7	259	26,2	308	17,6	357	0,0
211	38,1	260	26,3	309	16,6	358	0,0
212	37,5	261	26,7	310	15,7	359	0,0
213	36,9	262	27,5	311	14,9	360	0,0

Tid i s	Hastighed (km/h)	Tid i s	Hastighed (km/h)	Tid i s	Hastighed (km/h)	Tid i s	Hastighed (km/h)
214	36,3	263	28,4	312	14,3	361	2,2
215	35,7	264	29,4	313	14,1	362	4,5
216	35,1	265	30,4	314	14,0	363	6,6
217	34,5	266	31,2	315	13,9	364	8,6
218	33,9	267	31,9	316	13,8	365	10,6
219	33,6	268	32,5	317	13,7	366	12,5
220	33,5	269	33,0	318	13,6	367	14,4
221	33,6	270	33,4	319	13,5	368	16,3
222	33,9	271	33,8	320	13,4	369	17,9
223	34,3	272	34,1	321	13,3	370	19,1
224	34,7	273	34,3	322	13,2	371	19,9
225	35,1	274	34,3	323	13,2	372	20,3
226	35,5	275	33,9	324	13,2	373	20,5
227	35,9	276	33,3	325	13,4	374	20,7
228	36,4	277	32,6	326	13,5	375	21,0
229	36,9	278	31,8	327	13,7	376	21,6
230	37,4	279	30,7	328	13,8	377	22,6
231	37,9	280	29,6	329	14,0	378	23,7
232	38,3	281	28,6	330	14,1	379	24,8
233	38,7	282	27,8	331	14,3	380	25,7
234	39,1	283	27,0	332	14,4	381	26,2
235	39,3	284	26,4	333	14,4	382	26,4
236	39,5	285	25,8	334	14,4	383	26,4
384	26,4	433	0,0	482	3,1	531	48,2
385	26,5	434	0,0	483	4,6	532	48,5
386	26,6	435	0,0	484	6,1	533	48,7
387	26,8	436	0,0	485	7,8	534	48,9
388	26,9	437	0,0	486	9,5	535	49,1
389	27,2	438	0,0	487	11,3	536	49,1
390	27,5	439	0,0	488	13,2	537	49,0
391	28,0	440	0,0	489	15,0	538	48,8
392	28,8	441	0,0	490	16,8	539	48,6
393	29,9	442	0,0	491	18,4	540	48,5
394	31,0	443	0,0	492	20,1	541	48,4
395	31,9	444	0,0	493	21,6	542	48,3
396	32,5	445	0,0	494	23,1	543	48,2
397	32,6	446	0,0	495	24,6	544	48,1
398	32,4	447	0,0	496	26,0	545	47,5

Tid i s	Hastighed (km/h)	Tid i s	Hastighed (km/h)	Tid i s	Hastighed (km/h)	Tid i s	Hastighed (km/h)
399	32,0	448	0,0	497	27,5	546	46,7
400	31,3	449	0,0	498	29,0	547	45,7
401	30,3	450	0,0	499	30,6	548	44,6
402	28,0	451	0,0	500	32,1	549	42,9
403	27,0	452	0,0	501	33,7	550	40,8
404	24,0	453	0,0	502	35,3	551	38,2
405	22,5	454	0,0	503	36,8	552	35,3
406	19,0	455	0,0	504	38,1	553	31,8
407	17,5	456	0,0	505	39,3	554	28,7
408	14,0	457	0,0	506	40,4	555	25,8
409	12,5	458	0,0	507	41,2	556	22,9
410	9,0	459	0,0	508	41,9	557	20,2
411	7,5	460	0,0	509	42,6	558	17,3
412	4,0	461	0,0	510	43,3	559	15,0
413	2,9	462	0,0	511	44,0	560	12,3
414	0,0	463	0,0	512	44,6	561	10,3
415	0,0	464	0,0	513	45,3	562	7,8
416	0,0	465	0,0	514	45,5	563	6,5
417	0,0	466	0,0	515	45,5	564	4,4
418	0,0	467	0,0	516	45,2	565	3,2
419	0,0	468	0,0	517	44,7	566	1,2
420	0,0	469	0,0	518	44,2	567	0,0
421	0,0	470	0,0	519	43,6	568	0,0
422	0,0	471	0,0	520	43,1	569	0,0
423	0,0	472	0,0	521	42,8	570	0,0
424	0,0	473	0,0	522	42,7	571	0,0
425	0,0	474	0,0	523	42,8	572	0,0
426	0,0	475	0,0	524	43,3	573	0,0
427	0,0	476	0,0	525	43,9	574	0,0
428	0,0	477	0,0	526	44,6	575	0,0
429	0,0	478	0,0	527	45,4	576	0,0
430	0,0	479	0,0	528	46,3	577	0,0
431	0,0	480	0,0	529	47,2	578	0,0
432	0,0	481	1,6	530	47,8	579	0,0
580	0,0						
581	0,0						
582	0,0						
583	0,0						

Tid i s	Hastighed (km/h)	Tid i s	Hastighed (km/h)	Tid i s	Hastighed (km/h)	Tid i s	Hastighed (km/h)
584	0,0						
585	0,0						
586	0,0						
587	0,0						
588	0,0						
589	0,0						

Tabel A1/2a

WLTC, gruppe 1-cyklus, medium fase$_1$ (denne fase begynder ved sekund 589)

Tid i s	Hastighed (km/h)	Tid i s	Hastighed (km/h)	Tid i s	Hastighed (km/h)	Tid i s	Hastighed (km/h)
590	0,0	637	18,4	684	56,2	731	57,9
591	0,0	638	19,0	685	56,7	732	58,8
592	0,0	639	20,1	686	57,3	733	59,6
593	0,0	640	21,5	687	57,9	734	60,3
594	0,0	641	23,1	688	58,4	735	60,9
595	0,0	642	24,9	689	58,8	736	61,3
596	0,0	643	26,4	690	58,9	737	61,7
597	0,0	644	27,9	691	58,4	738	61,8
598	0,0	645	29,2	692	58,1	739	61,8
599	0,0	646	30,4	693	57,6	740	61,6
600	0,6	647	31,6	694	56,9	741	61,2
601	1,9	648	32,8	695	56,3	742	60,8
602	2,7	649	34,0	696	55,7	743	60,4
603	5,2	650	35,1	697	55,3	744	59,9
604	7,0	651	36,3	698	55,0	745	59,4
605	9,6	652	37,4	699	54,7	746	58,9
606	11,4	653	38,6	700	54,5	747	58,6
607	14,1	654	39,6	701	54,4	748	58,2
608	15,8	655	40,6	702	54,3	749	57,9
609	18,2	656	41,6	703	54,2	750	57,7
610	19,7	657	42,4	704	54,1	751	57,5
611	21,8	658	43,0	705	53,8	752	57,2

Tid i s	Hastighed (km/h)	Tid i s	Hastighed (km/h)	Tid i s	Hastighed (km/h)	Tid i s	Hastighed (km/h)
612	23,2	659	43,6	706	53,5	753	57,0
613	24,7	660	44,0	707	53,0	754	56,8
614	25,8	661	44,4	708	52,6	755	56,6
615	26,7	662	44,8	709	52,2	756	56,6
616	27,2	663	45,2	710	51,9	757	56,7
617	27,7	664	45,6	711	51,7	758	57,1
618	28,1	665	46,0	712	51,7	759	57,6
619	28,4	666	46,5	713	51,8	760	58,2
620	28,7	667	47,0	714	52,0	761	59,0
621	29,0	668	47,5	715	52,3	762	59,8
622	29,2	669	48,0	716	52,6	763	60,6
623	29,4	670	48,6	717	52,9	764	61,4
624	29,4	671	49,1	718	53,1	765	62,2
625	29,3	672	49,7	719	53,2	766	62,9
626	28,9	673	50,2	720	53,3	767	63,5
627	28,5	674	50,8	721	53,3	768	64,2
628	28,1	675	51,3	722	53,4	769	64,4
629	27,6	676	51,8	723	53,5	770	64,4
630	26,9	677	52,3	724	53,7	771	64,0
631	26,0	678	52,9	725	54,0	772	63,5
632	24,6	679	53,4	726	54,4	773	62,9
633	22,8	680	54,0	727	54,9	774	62,4
634	21,0	681	54,5	728	55,6	775	62,0
635	19,5	682	55,1	729	56,3	776	61,6
636	18,6	683	55,6	730	57,1	777	61,4
778	61,2	827	49,7	876	53,2	925	44,4
779	61,0	828	50,6	877	53,1	926	44,5
780	60,7	829	51,6	878	53,0	927	44,6
781	60,2	830	52,5	879	53,0	928	44,7
782	59,6	831	53,3	880	53,0	929	44,6
783	58,9	832	54,1	881	53,0	930	44,5
784	58,1	833	54,7	882	53,0	931	44,4
785	57,2	834	55,3	883	53,0	932	44,2
786	56,3	835	55,7	884	52,8	933	44,1
787	55,3	836	56,1	885	52,5	934	43,7

Tid i s	Hastighed (km/h)	Tid i s	Hastighed (km/h)	Tid i s	Hastighed (km/h)	Tid i s	Hastighed (km/h)
788	54,4	837	56,4	886	51,9	935	43,3
789	53,4	838	56,7	887	51,1	936	42,8
790	52,4	839	57,1	888	50,2	937	42,3
791	51,4	840	57,5	889	49,2	938	41,6
792	50,4	841	58,0	890	48,2	939	40,7
793	49,4	842	58,7	891	47,3	940	39,8
794	48,5	843	59,3	892	46,4	941	38,8
795	47,5	844	60,0	893	45,6	942	37,8
796	46,5	845	60,6	894	45,0	943	36,9
797	45,4	846	61,3	895	44,3	944	36,1
798	44,3	847	61,5	896	43,8	945	35,5
799	43,1	848	61,5	897	43,3	946	35,0
800	42,0	849	61,4	898	42,8	947	34,7
801	40,8	850	61,2	899	42,4	948	34,4
802	39,7	851	60,5	900	42,0	949	34,1
803	38,8	852	60,0	901	41,6	950	33,9
804	38,1	853	59,5	902	41,1	951	33,6
805	37,4	854	58,9	903	40,3	952	33,3
806	37,1	855	58,4	904	39,5	953	33,0
807	36,9	856	57,9	905	38,6	954	32,7
808	37,0	857	57,5	906	37,7	955	32,3
809	37,5	858	57,1	907	36,7	956	31,9
810	37,8	859	56,7	908	36,2	957	31,5
811	38,2	860	56,4	909	36,0	958	31,0
812	38,6	861	56,1	910	36,2	959	30,6
813	39,1	862	55,8	911	37,0	960	30,2
814	39,6	863	55,5	912	38,0	961	29,7
815	40,1	864	55,3	913	39,0	962	29,1
816	40,7	865	55,0	914	39,7	963	28,4
817	41,3	866	54,7	915	40,2	964	27,6
818	41,9	867	54,4	916	40,7	965	26,8
819	42,7	868	54,2	917	41,2	966	26,0
820	43,4	869	54,0	918	41,7	967	25,1
821	44,2	870	53,9	919	42,2	968	24,2
822	45,0	871	53,7	920	42,7	969	23,3

Tid i s	Hastighed (km/h)	Tid i s	Hastighed (km/h)	Tid i s	Hastighed (km/h)	Tid i s	Hastighed (km/h)
823	45,9	872	53,6	921	43,2	970	22,4
824	46,8	873	53,5	922	43,6	971	21,5
825	47,7	874	53,4	923	44,0	972	20,6
826	48,7	875	53,3	924	44,2	973	19,7
974	18,8						
975	17,7						
976	16,4						
977	14,9						
978	13,2						
979	11,3						
980	9,4						
981	7,5						
982	5,6						
983	3,7						
984	1,9						
985	1,0						
986	0,0						
987	0,0						
988	0,0						
989	0,0						
990	0,0						
991	0,0						
992	0,0						
993	0,0						
994	0,0						
995	0,0						
996	0,0						
997	0,0						
998	0,0						
999	0,0						
1000	0,0						
1001	0,0						
1002	0,0						
1003	0,0						
1004	0,0						

Tid i s	Hastighed (km/h)	Tid i s	Hastighed (km/h)	Tid i s	Hastighed (km/h)	Tid i s	Hastighed (km/h)
1005	0,0						
1006	0,0						
1007	0,0						
1008	0,0						
1009	0,0						
1010	0,0						
1011	0,0						
1012	0,0						
1013	0,0						
1014	0,0						
1015	0,0						
1016	0,0						
1017	0,0						
1018	0,0						
1019	0,0						
1020	0,0						
1021	0,0						
1022	0,0						

Tabel A1/2b

WLTC, gruppe 1-cyklus, lav fase$_{12}$ (sekund 1022 er slutningen af medium fase$_1$ og begyndelsen af lav fase$_{12}$)

Tid i s	Hastighed (km/h)	Tid i s	Hastighed (km/h)	Tid i s	Hastighed (km/h)	Tid i s	Hastighed (km/h)
1023	0,0	1070	19,5	1117	0,0	1164	35,9
1024	0,0	1071	20,2	1118	0,0	1165	36,6
1025	0,0	1072	20,9	1119	0,0	1166	37,5
1026	0,0	1073	21,7	1120	0,0	1167	38,4
1027	0,0	1074	22,4	1121	0,0	1168	39,3
1028	0,0	1075	23,1	1122	0,0	1169	40,0
1029	0,0	1076	23,7	1123	0,0	1170	40,6
1030	0,0	1077	24,4	1124	0,0	1171	41,1
1031	0,0	1078	25,1	1125	0,0	1172	41,4
1032	0,0	1079	25,4	1126	0,0	1173	41,6
1033	0,0	1080	25,2	1127	0,0	1174	41,8

Tid i s	Hastighed (km/h)	Tid i s	Hastighed (km/h)	Tid i s	Hastighed (km/h)	Tid i s	Hastighed (km/h)
1034	0,2	1081	23,4	1128	0,0	1175	41,8
1035	3,1	1082	21,8	1129	0,0	1176	41,9
1036	5,7	1083	19,7	1130	0,7	1177	41,9
1037	8,0	1084	17,3	1131	1,1	1178	42,0
1038	10,1	1085	14,7	1132	1,9	1179	42,0
1039	12,0	1086	12,0	1133	2,5	1180	42,2
1040	13,8	1087	9,4	1134	3,5	1181	42,3
1041	15,4	1088	5,6	1135	4,7	1182	42,6
1042	16,7	1089	3,1	1136	6,1	1183	43,0
1043	17,7	1090	0,0	1137	7,5	1184	43,3
1044	18,3	1091	0,0	1138	9,4	1185	43,7
1045	18,8	1092	0,0	1139	11,0	1186	44,0
1046	18,9	1093	0,0	1140	12,9	1187	44,3
1047	18,4	1094	0,0	1141	14,5	1188	44,5
1048	16,9	1095	0,0	1142	16,4	1189	44,6
1049	14,3	1096	0,0	1143	18,0	1190	44,6
1050	10,8	1097	0,0	1144	20,0	1191	44,5
1051	7,1	1098	0,0	1145	21,5	1192	44,4
1052	4,0	1099	0,0	1146	23,5	1193	44,3
1053	0,0	1100	0,0	1147	25,0	1194	44,2
1054	0,0	1101	0,0	1148	26,8	1195	44,1
1055	0,0	1102	0,0	1149	28,2	1196	44,0
1056	0,0	1103	0,0	1 150	30,0	1197	43,9
1057	1,5	1104	0,0	1151	31,4	1198	43,8
1058	3,8	1105	0,0	1152	32,5	1199	43,7
1059	5,6	1106	0,0	1153	33,2	1200	43,6
1060	7,5	1107	0,0	1154	33,4	1201	43,5
1061	9,2	1108	0,0	1155	33,7	1202	43,4
1062	10,8	1109	0,0	1156	33,9	1203	43,3
1063	12,4	1110	0,0	1157	34,2	1204	43,1
1064	13,8	1111	0,0	1158	34,4	1205	42,9
1065	15,2	1112	0,0	1159	34,7	1206	42,7
1066	16,3	1113	0,0	1160	34,9	1207	42,5
1067	17,3	1114	0,0	1161	35,2	1208	42,3
1068	18,0	1115	0,0	1162	35,4	1209	42,2

Tid i s	Hastighed (km/h)	Tid i s	Hastighed (km/h)	Tid i s	Hastighed (km/h)	Tid i s	Hastighed (km/h)
1069	18,8	1116	0,0	1163	35,7	1210	42,2
1211	42,2	1260	39,9	1309	24,9	1358	14,3
1212	42,3	1261	40,0	1310	24,5	1359	14,0
1213	42,4	1262	40,1	1311	24,2	1360	13,0
1214	42,5	1263	40,2	1312	24,0	1361	11,4
1215	42,7	1264	40,3	1313	23,8	1362	10,2
1216	42,9	1265	40,4	1314	23,6	1363	8,0
1217	43,1	1266	40,5	1315	23,5	1364	7,0
1218	43,2	1267	40,5	1316	23,4	1365	6,0
1219	43,3	1268	40,4	1317	23,3	1366	5,5
1220	43,4	1269	40,3	1318	23,3	1367	5,0
1221	43,4	1270	40,2	1319	23,2	1368	4,5
1222	43,2	1271	40,1	1320	23,1	1369	4,0
1223	42,9	1272	39,7	1321	23,0	1370	3,5
1224	42,6	1273	38,8	1322	22,8	1371	3,0
1225	42,2	1274	37,4	1323	22,5	1372	2,5
1226	41,9	1275	35,6	1324	22,1	1373	2,0
1227	41,5	1276	33,4	1325	21,7	1374	1,5
1228	41,0	1277	31,2	1326	21,1	1375	1,0
1229	40,5	1278	29,1	1327	20,4	1376	0,5
1230	39,9	1279	27,6	1328	19,5	1377	0,0
1231	39,3	1280	26,6	1329	18,5	1378	0,0
1232	38,7	1281	26,2	1330	17,6	1379	0,0
1233	38,1	1282	26,3	1331	16,6	1380	0,0
1234	37,5	1283	26,7	1332	15,7	1381	0,0
1235	36,9	1284	27,5	1333	14,9	1382	0,0
1236	36,3	1285	28,4	1334	14,3	1383	2,2
1237	35,7	1286	29,4	1335	14,1	1384	4,5
1238	35,1	1287	30,4	1336	14,0	1385	6,6
1239	34,5	1288	31,2	1337	13,9	1386	8,6
1240	33,9	1289	31,9	1338	13,8	1387	10,6
1241	33,6	1290	32,5	1339	13,7	1388	12,5
1242	33,5	1291	33,0	1340	13,6	1389	14,4
1243	33,6	1292	33,4	1341	13,5	1390	16,3
1244	33,9	1293	33,8	1342	13,4	1391	17,9
1245	34,3	1294	34,1	1343	13,3	1392	19,1

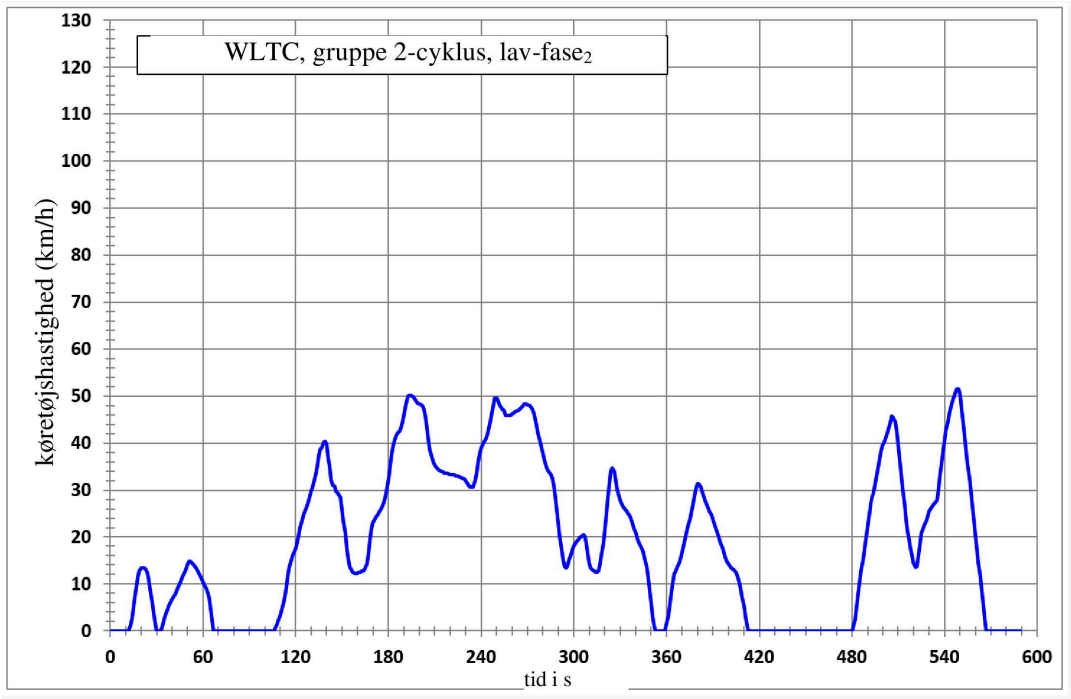
Tid i s	Hastighed (km/h)	Tid i s	Hastighed (km/h)	Tid i s	Hastighed (km/h)	Tid i s	Hastighed (km/h)
1246	34,7	1295	34,3	1344	13,2	1393	19,9
1247	35,1	1296	34,3	1345	13,2	1394	20,3
1248	35,5	1297	33,9	1346	13,2	1395	20,5
1249	35,9	1298	33,3	1347	13,4	1396	20,7
1250	36,4	1299	32,6	1348	13,5	1397	21,0
1251	36,9	1300	31,8	1349	13,7	1398	21,6
1252	37,4	1301	30,7	1350	13,8	1399	22,6
1253	37,9	1302	29,6	1351	14,0	1400	23,7
1254	38,3	1303	28,6	1352	14,1	1401	24,8
1255	38,7	1304	27,8	1353	14,3	1402	25,7
1256	39,1	1305	27,0	1354	14,4	1403	26,2
1257	39,3	1306	26,4	1355	14,4	1404	26,4
1258	39,5	1307	25,8	1356	14,4	1405	26,4
1259	39,7	1308	25,3	1357	14,3	1406	26,4
1407	26,5	1456	0,0	1505	4,6	1554	48,5
1408	26,6	1457	0,0	1506	6,1	1555	48,7
1409	26,8	1458	0,0	1507	7,8	1556	48,9
1410	26,9	1459	0,0	1508	9,5	1557	49,1
1411	27,2	1460	0,0	1509	11,3	1558	49,1
1412	27,5	1461	0,0	1510	13,2	1559	49,0
1413	28,0	1462	0,0	1511	15,0	1560	48,8
1414	28,8	1463	0,0	1512	16,8	1561	48,6
1415	29,9	1464	0,0	1513	18,4	1562	48,5
1416	31,0	1465	0,0	1514	20,1	1563	48,4
1417	31,9	1466	0,0	1515	21,6	1564	48,3
1418	32,5	1467	0,0	1516	23,1	1565	48,2
1419	32,6	1468	0,0	1517	24,6	1566	48,1
1420	32,4	1469	0,0	1518	26,0	1567	47,5
1421	32,0	1470	0,0	1519	27,5	1568	46,7
1422	31,3	1471	0,0	1520	29,0	1569	45,7
1423	30,3	1472	0,0	1521	30,6	1570	44,6
1424	28,0	1473	0,0	1522	32,1	1571	42,9
1425	27,0	1474	0,0	1523	33,7	1572	40,8
1426	24,0	1475	0,0	1524	35,3	1573	38,2
1427	22,5	1476	0,0	1525	36,8	1574	35,3
1428	19,0	1477	0,0	1526	38,1	1575	31,8
1429	17,5	1478	0,0	1527	39,3	1576	28,7

Tid i s	Hastighed (km/h)	Tid i s	Hastighed (km/h)	Tid i s	Hastighed (km/h)	Tid i s	Hastighed (km/h)
1430	14,0	1479	0,0	1528	40,4	1577	25,8
1431	12,5	1480	0,0	1529	41,2	1578	22,9
1432	9,0	1481	0,0	1530	41,9	1579	20,2
1433	7,5	1482	0,0	1531	42,6	1580	17,3
1434	4,0	1483	0,0	1532	43,3	1581	15,0
1435	2,9	1484	0,0	1533	44,0	1582	12,3
1436	0,0	1485	0,0	1534	44,6	1583	10,3
1437	0,0	1486	0,0	1535	45,3	1584	7,8
1438	0,0	1487	0,0	1536	45,5	1585	6,5
1439	0,0	1488	0,0	1537	45,5	1586	4,4
1440	0,0	1489	0,0	1538	45,2	1587	3,2
1441	0,0	1490	0,0	1539	44,7	1588	1,2
1442	0,0	1491	0,0	1540	44,2	1589	0,0
1443	0,0	1492	0,0	1541	43,6	1590	0,0
1444	0,0	1493	0,0	1542	43,1	1591	0,0
1445	0,0	1494	0,0	1543	42,8	1592	0,0
1446	0,0	1495	0,0	1544	42,7	1593	0,0
1447	0,0	1496	0,0	1545	42,8	1594	0,0
1448	0,0	1497	0,0	1546	43,3	1595	0,0
1449	0,0	1498	0,0	1547	43,9	1596	0,0
1450	0,0	1499	0,0	1548	44,6	1597	0,0
1451	0,0	1500	0,0	1549	45,4	1598	0,0
1452	0,0	1501	0,0	1550	46,3	1599	0,0
1453	0,0	1502	0,0	1551	47,2	1600	0,0
1454	0,0	1503	1,6	1552	47,8	1601	0,0
1455	0,0	1504	3,1	1553	48,2	1602	0,0
1603	0,0						
1604	0,0						
1605	0,0						
1606	0,0						
1607	0,0						
1608	0,0						
1609	0,0						
1610	0,0						
1611	0,0						

5. WLTC, gruppe 2-cyklus

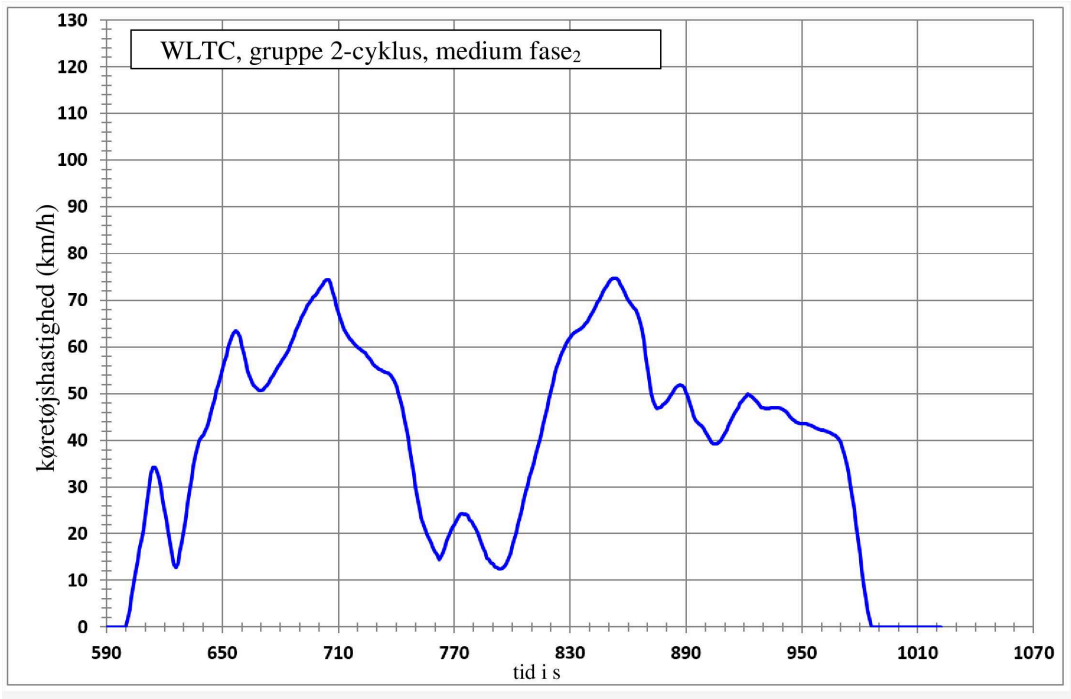
Figur A1/3

WLTC, gruppe 2-cyklus, lav-fase$_2$



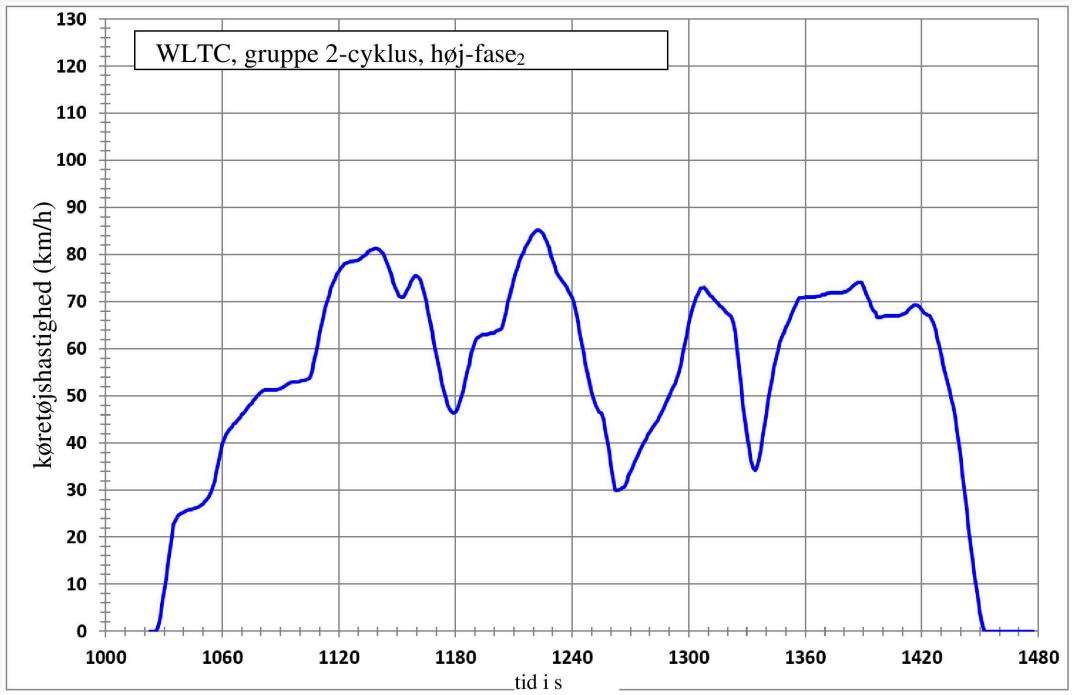
Figur A1/4

WLTC, gruppe 2-cyklus, medium-fase$_2$



Figur A1/5

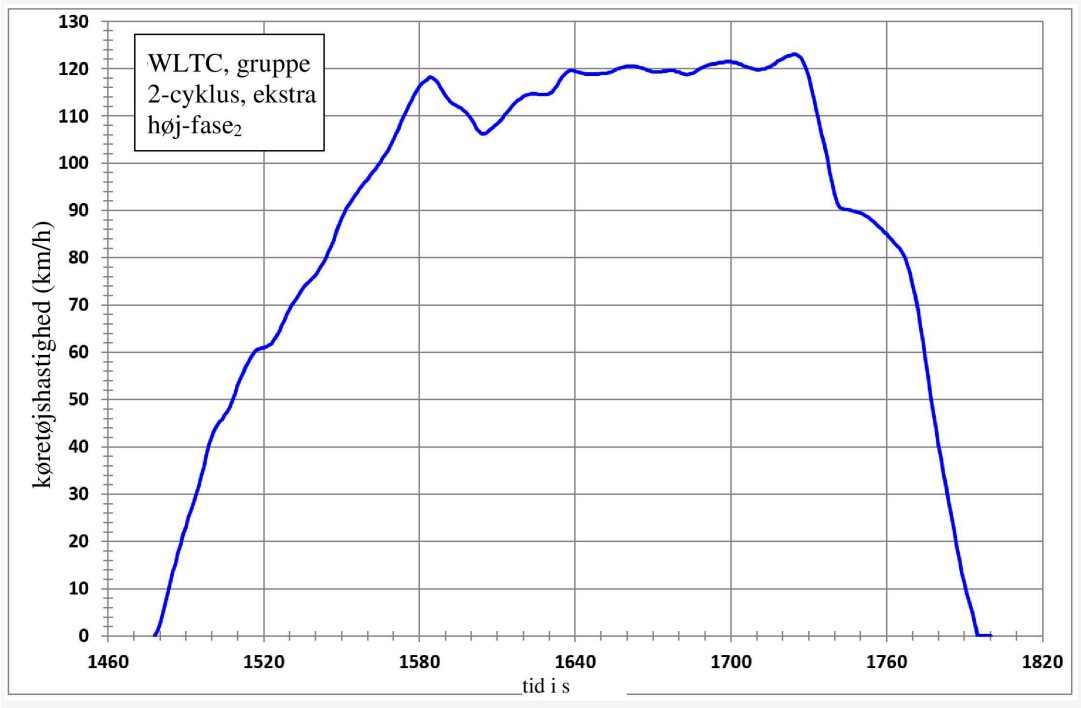
WLTC, gruppe 2-cyklus, høj-fase$_2$



Figur A1/6

Denne figur finder kun anvendelse på niveau 1A og niveau 2 (fase 4 WLTP-prøvning)

WLTC, gruppe 2-cyklus, ekstra høj-fase$_2$



Tabel A1/3

WLTC, gruppe 2-cyklus, lav-fase$_2$ (sekund 589 er slutningen af lav-fase$_1$ og begyndelsen af medium-fase$_1$)

Tid i s	Hastighed (km/h)	Tid i s	Hastighed (km/h)	Tid i s	Hastighed (km/h)	Tid i s	Hastighed (km/h)
0	0,0	47	11,6	94	0,0	141	36,8
1	0,0	48	12,4	95	0,0	142	35,1
2	0,0	49	13,2	96	0,0	143	32,2
3	0,0	50	14,2	97	0,0	144	31,1
4	0,0	51	14,8	98	0,0	145	30,8
5	0,0	52	14,7	99	0,0	146	29,7
6	0,0	53	14,4	100	0,0	147	29,4
7	0,0	54	14,1	101	0,0	148	29,0
8	0,0	55	13,6	102	0,0	149	28,5
9	0,0	56	13,0	103	0,0	150	26,0
10	0,0	57	12,4	104	0,0	151	23,4
11	0,0	58	11,8	105	0,0	152	20,7
12	0,0	59	11,2	106	0,0	153	17,4
13	1,2	60	10,6	107	0,8	154	15,2
14	2,6	61	9,9	108	1,4	155	13,5
15	4,9	62	9,0	109	2,3	156	13,0
16	7,3	63	8,2	110	3,5	157	12,4
17	9,4	64	7,0	111	4,7	158	12,3
18	11,4	65	4,8	112	5,9	159	12,2
19	12,7	66	2,3	113	7,4	160	12,3
20	13,3	67	0,0	114	9,2	161	12,4
21	13,4	68	0,0	115	11,7	162	12,5
22	13,3	69	0,0	116	13,5	163	12,7
23	13,1	70	0,0	117	15,0	164	12,8
24	12,5	71	0,0	118	16,2	165	13,2
25	11,1	72	0,0	119	16,8	166	14,3
26	8,9	73	0,0	120	17,5	167	16,5
27	6,2	74	0,0	121	18,8	168	19,4
28	3,8	75	0,0	122	20,3	169	21,7
29	1,8	76	0,0	123	22,0	170	23,1
30	0,0	77	0,0	124	23,6	171	23,5
31	0,0	78	0,0	125	24,8	172	24,2
32	0,0	79	0,0	126	25,6	173	24,8
33	0,0	80	0,0	127	26,3	174	25,4
34	1,5	81	0,0	128	27,2	175	25,8

Tid i s	Hastighed (km/h)	Tid i s	Hastighed (km/h)	Tid i s	Hastighed (km/h)	Tid i s	Hastighed (km/h)
35	2,8	82	0,0	129	28,3	176	26,5
36	3,6	83	0,0	130	29,6	177	27,2
37	4,5	84	0,0	131	30,9	178	28,3
38	5,3	85	0,0	132	32,2	179	29,9
39	6,0	86	0,0	133	33,4	180	32,4
40	6,6	87	0,0	134	35,1	181	35,1
41	7,3	88	0,0	135	37,2	182	37,5
42	7,9	89	0,0	136	38,7	183	39,2
43	8,6	90	0,0	137	39,0	184	40,5
44	9,3	91	0,0	138	40,1	185	41,4
45	10	92	0,0	139	40,4	186	42,0
46	10,8	93	0,0	140	39,7	187	42,5
188	43,2	237	33,5	286	32,5	335	25,0
189	44,4	238	35,8	287	30,9	336	24,6
190	45,9	239	37,6	288	28,6	337	23,9
191	47,6	240	38,8	289	25,9	338	23,0
192	49,0	241	39,6	290	23,1	339	21,8
193	50,0	242	40,1	291	20,1	340	20,7
194	50,2	243	40,9	292	17,3	341	19,6
195	50,1	244	41,8	293	15,1	342	18,7
196	49,8	245	43,3	294	13,7	343	18,1
197	49,4	246	44,7	295	13,4	344	17,5
198	48,9	247	46,4	296	13,9	345	16,7
199	48,5	248	47,9	297	15,0	346	15,4
200	48,3	249	49,6	298	16,3	347	13,6
201	48,2	250	49,6	299	17,4	348	11,2
202	47,9	251	48,8	300	18,2	349	8,6
203	47,1	252	48,0	301	18,6	350	6,0
204	45,5	253	47,5	302	19,0	351	3,1
205	43,2	254	47,1	303	19,4	352	1,2
206	40,6	255	46,9	304	19,8	353	0,0
207	38,5	256	45,8	305	20,1	354	0,0
208	36,9	257	45,8	306	20,5	355	0,0
209	35,9	258	45,8	307	20,2	356	0,0
210	35,3	259	45,9	308	18,6	357	0,0
211	34,8	260	46,2	309	16,5	358	0,0
212	34,5	261	46,4	310	14,4	359	0,0
213	34,2	262	46,6	311	13,4	360	1,4

Tid i s	Hastighed (km/h)	Tid i s	Hastighed (km/h)	Tid i s	Hastighed (km/h)	Tid i s	Hastighed (km/h)
214	34,0	263	46,8	312	12,9	361	3,2
215	33,8	264	47,0	313	12,7	362	5,6
216	33,6	265	47,3	314	12,4	363	8,1
217	33,5	266	47,5	315	12,4	364	10,3
218	33,5	267	47,9	316	12,8	365	12,1
219	33,4	268	48,3	317	14,1	366	12,6
220	33,3	269	48,3	318	16,2	367	13,6
221	33,3	270	48,2	319	18,8	368	14,5
222	33,2	271	48,0	320	21,9	369	15,6
223	33,1	272	47,7	321	25,0	370	16,8
224	33,0	273	47,2	322	28,4	371	18,2
225	32,9	274	46,5	323	31,3	372	19,6
226	32,8	275	45,2	324	34,0	373	20,9
227	32,7	276	43,7	325	34,6	374	22,3
228	32,5	277	42,0	326	33,9	375	23,8
229	32,3	278	40,4	327	31,9	376	25,4
230	31,8	279	39,0	328	30,0	377	27,0
231	31,4	280	37,7	329	29,0	378	28,6
232	30,9	281	36,4	330	27,9	379	30,2
233	30,6	282	35,2	331	27,1	380	31,2
234	30,6	283	34,3	332	26,4	381	31,2
235	30,7	284	33,8	333	25,9	382	30,7
236	32,0	285	33,3	334	25,5	383	29,5
384	28,6	433	0,0	482	2,5	531	26,0
385	27,7	434	0,0	483	5,2	532	26,5
386	26,9	435	0,0	484	7,9	533	26,9
387	26,1	436	0,0	485	10,3	534	27,3
388	25,4	437	0,0	486	12,7	535	27,9
389	24,6	438	0,0	487	15,0	536	30,3
390	23,6	439	0,0	488	17,4	537	33,2
391	22,6	440	0,0	489	19,7	538	35,4
392	21,7	441	0,0	490	21,9	539	38,0
393	20,7	442	0,0	491	24,1	540	40,1
394	19,8	443	0,0	492	26,2	541	42,7
395	18,8	444	0,0	493	28,1	542	44,5
396	17,7	445	0,0	494	29,7	543	46,3
397	16,6	446	0,0	495	31,3	544	47,6
398	15,6	447	0,0	496	33,0	545	48,8

Tid i s	Hastighed (km/h)	Tid i s	Hastighed (km/h)	Tid i s	Hastighed (km/h)	Tid i s	Hastighed (km/h)
399	14,8	448	0,0	497	34,7	546	49,7
400	14,3	449	0,0	498	36,3	547	50,6
401	13,8	450	0,0	499	38,1	548	51,4
402	13,4	451	0,0	500	39,4	549	51,4
403	13,1	452	0,0	501	40,4	550	50,2
404	12,8	453	0,0	502	41,2	551	47,1
405	12,3	454	0,0	503	42,1	552	44,5
406	11,6	455	0,0	504	43,2	553	41,5
407	10,5	456	0,0	505	44,3	554	38,5
408	9,0	457	0,0	506	45,7	555	35,5
409	7,2	458	0,0	507	45,4	556	32,5
410	5,2	459	0,0	508	44,5	557	29,5
411	2,9	460	0,0	509	42,5	558	26,5
412	1,2	461	0,0	510	39,5	559	23,5
413	0,0	462	0,0	511	36,5	560	20,4
414	0,0	463	0,0	512	33,5	561	17,5
415	0,0	464	0,0	513	30,4	562	14,5
416	0,0	465	0,0	514	27,0	563	11,5
417	0,0	466	0,0	515	23,6	564	8,5
418	0,0	467	0,0	516	21,0	565	5,6
419	0,0	468	0,0	517	19,5	566	2,6
420	0,0	469	0,0	518	17,6	567	0,0
421	0,0	470	0,0	519	16,1	568	0,0
422	0,0	471	0,0	520	14,5	569	0,0
423	0,0	472	0,0	521	13,5	570	0,0
424	0,0	473	0,0	522	13,7	571	0,0
425	0,0	474	0,0	523	16,0	572	0,0
426	0,0	475	0,0	524	18,1	573	0,0
427	0,0	476	0,0	525	20,8	574	0,0
428	0,0	477	0,0	526	21,5	575	0,0
429	0,0	478	0,0	527	22,5	576	0,0
430	0,0	479	0,0	528	23,4	577	0,0
431	0,0	480	0,0	529	24,5	578	0,0
432	0,0	481	1,4	530	25,6	579	0,0
580	0,0						
581	0,0						
582	0,0						
583	0,0						

Tid i s	Hastighed (km/h)	Tid i s	Hastighed (km/h)	Tid i s	Hastighed (km/h)	Tid i s	Hastighed (km/h)
584	0,0						
585	0,0						
586	0,0						
587	0,0						
588	0,0						
589	0,0						

Tabel A1/4

WLTC, gruppe 2-cyklus, medium-fase$_2$ (denne fase begynder ved sekund 589)

Tid i s	Hastighed (km/h)	Tid i s	Hastighed (km/h)	Tid i s	Hastighed (km/h)	Tid i s	Hastighed (km/h)
590	0,0	637	38,6	684	59,3	731	55,3
591	0,0	638	39,8	685	60,2	732	55,1
592	0,0	639	40,6	686	61,3	733	54,8
593	0,0	640	41,1	687	62,4	734	54,6
594	0,0	641	41,9	688	63,4	735	54,5
595	0,0	642	42,8	689	64,4	736	54,3
596	0,0	643	44,3	690	65,4	737	53,9
597	0,0	644	45,7	691	66,3	738	53,4
598	0,0	645	47,4	692	67,2	739	52,6
599	0,0	646	48,9	693	68,0	740	51,5
600	0,0	647	50,6	694	68,8	741	50,2
601	1,6	648	52,0	695	69,5	742	48,7
602	3,6	649	53,7	696	70,1	743	47,0
603	6,3	650	55,0	697	70,6	744	45,1
604	9,0	651	56,8	698	71,0	745	43,0
605	11,8	652	58,0	699	71,6	746	40,6
606	14,2	653	59,8	700	72,2	747	38,1
607	16,6	654	61,1	701	72,8	748	35,4
608	18,5	655	62,4	702	73,5	749	32,7
609	20,8	656	63,0	703	74,1	750	30,0
610	23,4	657	63,5	704	74,3	751	27,5
611	26,9	658	63,0	705	74,3	752	25,3
612	30,3	659	62,0	706	73,7	753	23,4
613	32,8	660	60,4	707	71,9	754	22,0
614	34,1	661	58,6	708	70,5	755	20,8
615	34,2	662	56,7	709	68,9	756	19,8

Tid i s	Hastighed (km/h)	Tid i s	Hastighed (km/h)	Tid i s	Hastighed (km/h)	Tid i s	Hastighed (km/h)
616	33,6	663	55,0	710	67,4	757	18,9
617	32,1	664	53,7	711	66,0	758	18,0
618	30,0	665	52,7	712	64,7	759	17,0
619	27,5	666	51,9	713	63,7	760	16,1
620	25,1	667	51,4	714	62,9	761	15,5
621	22,8	668	51,0	715	62,2	762	14,4
622	20,5	669	50,7	716	61,7	763	14,9
623	17,9	670	50,6	717	61,2	764	15,9
624	15,1	671	50,8	718	60,7	765	17,1
625	13,4	672	51,2	719	60,3	766	18,3
626	12,8	673	51,7	720	59,9	767	19,4
627	13,7	674	52,3	721	59,6	768	20,4
628	16,0	675	53,1	722	59,3	769	21,2
629	18,1	676	53,8	723	59,0	770	21,9
630	20,8	677	54,5	724	58,6	771	22,7
631	23,7	678	55,1	725	58,0	772	23,4
632	26,5	679	55,9	726	57,5	773	24,2
633	29,3	680	56,5	727	56,9	774	24,3
634	32,0	681	57,1	728	56,3	775	24,2
635	34,5	682	57,8	729	55,9	776	24,1
636	36,8	683	58,5	730	55,6	777	23,8
778	23,0	827	59,9	876	46,9	925	49,0
779	22,6	828	60,7	877	47,1	926	48,5
780	21,7	829	61,4	878	47,5	927	48,0
781	21,3	830	62,0	879	47,8	928	47,5
782	20,3	831	62,5	880	48,3	929	47,0
783	19,1	832	62,9	881	48,8	930	46,9
784	18,1	833	63,2	882	49,5	931	46,8
785	16,9	834	63,4	883	50,2	932	46,8
786	16,0	835	63,7	884	50,8	933	46,8
787	14,8	836	64,0	885	51,4	934	46,9
788	14,5	837	64,4	886	51,8	935	46,9
789	13,7	838	64,9	887	51,9	936	46,9
790	13,5	839	65,5	888	51,7	937	46,9
791	12,9	840	66,2	889	51,2	938	46,9
792	12,7	841	67,0	890	50,4	939	46,8
793	12,5	842	67,8	891	49,2	940	46,6
794	12,5	843	68,6	892	47,7	941	46,4

Tid i s	Hastighed (km/h)	Tid i s	Hastighed (km/h)	Tid i s	Hastighed (km/h)	Tid i s	Hastighed (km/h)
795	12,6	844	69,4	893	46,3	942	46,0
796	13,0	845	70,1	894	45,1	943	45,5
797	13,6	846	70,9	895	44,2	944	45,0
798	14,6	847	71,7	896	43,7	945	44,5
799	15,7	848	72,5	897	43,4	946	44,2
800	17,1	849	73,2	898	43,1	947	43,9
801	18,7	850	73,8	899	42,5	948	43,7
802	20,2	851	74,4	900	41,8	949	43,6
803	21,9	852	74,7	901	41,1	950	43,6
804	23,6	853	74,7	902	40,3	951	43,5
805	25,4	854	74,6	903	39,7	952	43,5
806	27,1	855	74,2	904	39,3	953	43,4
807	28,9	856	73,5	905	39,2	954	43,3
808	30,4	857	72,6	906	39,3	955	43,1
809	32,0	858	71,8	907	39,6	956	42,9
810	33,4	859	71,0	908	40,0	957	42,7
811	35,0	860	70,1	909	40,7	958	42,5
812	36,4	861	69,4	910	41,4	959	42,4
813	38,1	862	68,9	911	42,2	960	42,2
814	39,7	863	68,4	912	43,1	961	42,1
815	41,6	864	67,9	913	44,1	962	42,0
816	43,3	865	67,1	914	44,9	963	41,8
817	45,1	866	65,8	915	45,6	964	41,7
818	46,9	867	63,9	916	46,4	965	41,5
819	48,7	868	61,4	917	47,0	966	41,3
820	50,5	869	58,4	918	47,8	967	41,1
821	52,4	870	55,4	919	48,3	968	40,8
822	54,1	871	52,4	920	48,9	969	40,3
823	55,7	872	50,0	921	49,4	970	39,6
824	56,8	873	48,3	922	49,8	971	38,5
825	57,9	874	47,3	923	49,6	972	37,0
826	59,0	875	46,8	924	49,3	973	35,1
974	33,0						
975	30,6						
976	27,9						
977	25,1						
978	22,0						
979	18,8						

Tid i s	Hastighed (km/h)	Tid i s	Hastighed (km/h)	Tid i s	Hastighed (km/h)	Tid i s	Hastighed (km/h)
980	15,5						
981	12,3						
982	8,8						
983	6,0						
984	3,6						
985	1,6						
986	0,0						
987	0,0						
988	0,0						
989	0,0						
990	0,0						
991	0,0						
992	0,0						
993	0,0						
994	0,0						
995	0,0						
996	0,0						
997	0,0						
998	0,0						
999	0,0						
1000	0,0						
1001	0,0						
1002	0,0						
1003	0,0						
1004	0,0						
1005	0,0						
1006	0,0						
1007	0,0						
1008	0,0						
1009	0,0						
1010	0,0						
1011	0,0						
1012	0,0						
1013	0,0						
1014	0,0						
1015	0,0						
1016	0,0						
1017	0,0						

Tid i s	Hastighed (km/h)	Tid i s	Hastighed (km/h)	Tid i s	Hastighed (km/h)	Tid i s	Hastighed (km/h)
1018	0,0						
1019	0,0						
1020	0,0						
1021	0,0						
1022	0,0						

Tabel A1/5

WLTC, gruppe 2-cyklus, høj-fase$_2$ (sekund 1022 er slutningen af medium-fase$_2$ og begyndelsen af høj-fase$_2$)

Tid i s	Hastighed (km/h)	Tid i s	Hastighed (km/h)	Tid i s	Hastighed (km/h)	Tid i s	Hastighed (km/h)
1023	0,0	1070	46,0	1117	73,9	1164	71,7
1024	0,0	1071	46,4	1118	74,9	1165	69,9
1025	0,0	1072	47,0	1119	75,7	1166	67,9
1026	0,0	1073	47,4	1120	76,4	1167	65,7
1027	1,1	1074	48,0	1121	77,1	1168	63,5
1028	3,0	1075	48,4	1122	77,6	1169	61,2
1029	5,7	1076	49,0	1123	78,0	1170	59,0
1030	8,4	1077	49,4	1124	78,2	1171	56,8
1031	11,1	1078	50,0	1125	78,4	1172	54,7
1032	14,0	1079	50,4	1126	78,5	1173	52,7
1033	17,0	1080	50,8	1127	78,5	1174	50,9
1034	20,1	1081	51,1	1128	78,6	1175	49,4
1035	22,7	1082	51,3	1129	78,7	1176	48,1
1036	23,6	1083	51,3	1130	78,9	1177	47,1
1037	24,5	1084	51,3	1131	79,1	1178	46,5
1038	24,8	1085	51,3	1132	79,4	1179	46,3
1039	25,1	1086	51,3	1133	79,8	1180	46,5
1040	25,3	1087	51,3	1134	80,1	1181	47,2
1041	25,5	1088	51,3	1135	80,5	1182	48,3
1042	25,7	1089	51,4	1136	80,8	1183	49,7
1043	25,8	1090	51,6	1137	81,0	1184	51,3
1044	25,9	1091	51,8	1138	81,2	1185	53,0
1045	26,0	1092	52,1	1139	81,3	1186	54,9
1046	26,1	1093	52,3	1140	81,2	1187	56,7
1047	26,3	1094	52,6	1141	81,0	1188	58,6

Tid i s	Hastighed (km/h)	Tid i s	Hastighed (km/h)	Tid i s	Hastighed (km/h)	Tid i s	Hastighed (km/h)
1048	26,5	1095	52,8	1142	80,6	1189	60,2
1049	26,8	1096	52,9	1143	80,0	1190	61,6
1050	27,1	1097	53,0	1144	79,1	1191	62,2
1051	27,5	1098	53,0	1145	78,0	1192	62,5
1052	28,0	1099	53,0	1146	76,8	1193	62,8
1053	28,6	1100	53,1	1147	75,5	1194	62,9
1054	29,3	1101	53,2	1148	74,1	1195	63,0
1055	30,4	1102	53,3	1149	72,9	1196	63,0
1056	31,8	1103	53,4	1 150	71,9	1197	63,1
1057	33,7	1104	53,5	1151	71,2	1198	63,2
1058	35,8	1105	53,7	1152	70,9	1199	63,3
1059	37,8	1106	55,0	1153	71,0	1200	63,5
1060	39,5	1107	56,8	1154	71,5	1201	63,7
1061	40,8	1108	58,8	1155	72,3	1202	63,9
1062	41,8	1109	60,9	1156	73,2	1203	64,1
1063	42,4	1110	63,0	1157	74,1	1204	64,3
1064	43,0	1111	65,0	1158	74,9	1205	66,1
1065	43,4	1112	66,9	1159	75,4	1206	67,9
1066	44,0	1113	68,6	1160	75,5	1207	69,7
1067	44,4	1114	70,1	1161	75,2	1208	71,4
1068	45,0	1115	71,5	1162	74,5	1209	73,1
1069	45,4	1116	72,8	1163	73,3	1210	74,7
1211	76,2	1260	35,4	1309	72,3	1358	70,8
1212	77,5	1261	32,7	1310	71,9	1359	70,8
1213	78,6	1262	30,0	1311	71,3	1360	70,9
1214	79,7	1263	29,9	1312	70,9	1361	70,9
1215	80,6	1264	30,0	1313	70,5	1362	70,9
1216	81,5	1265	30,2	1314	70,0	1363	70,9
1217	82,2	1266	30,4	1315	69,6	1364	71,0
1218	83,0	1267	30,6	1316	69,2	1365	71,0
1219	83,7	1268	31,6	1317	68,8	1366	71,1
1220	84,4	1269	33,0	1318	68,4	1367	71,2
1221	84,9	1270	33,9	1319	67,9	1368	71,3
1222	85,1	1271	34,8	1320	67,5	1369	71,4
1223	85,2	1272	35,7	1321	67,2	1370	71,5
1224	84,9	1273	36,6	1322	66,8	1371	71,7
1225	84,4	1274	37,5	1323	65,6	1372	71,8
1226	83,6	1275	38,4	1324	63,3	1373	71,9

Tid i s	Hastighed (km/h)	Tid i s	Hastighed (km/h)	Tid i s	Hastighed (km/h)	Tid i s	Hastighed (km/h)
1227	82,7	1276	39,3	1325	60,2	1374	71,9
1228	81,5	1277	40,2	1326	56,2	1375	71,9
1229	80,1	1278	40,8	1327	52,2	1376	71,9
1230	78,7	1279	41,7	1328	48,4	1377	71,9
1231	77,4	1280	42,4	1329	45,0	1378	71,9
1232	76,2	1281	43,1	1330	41,6	1379	71,9
1233	75,4	1282	43,6	1331	38,6	1380	72,0
1234	74,8	1283	44,2	1332	36,4	1381	72,1
1235	74,3	1284	44,8	1333	34,8	1382	72,4
1236	73,8	1285	45,5	1334	34,2	1383	72,7
1237	73,2	1286	46,3	1335	34,7	1384	73,1
1238	72,4	1287	47,2	1336	36,3	1385	73,4
1239	71,6	1288	48,1	1337	38,5	1386	73,8
1240	70,8	1289	49,1	1338	41,0	1387	74,0
1241	69,9	1290	50,0	1339	43,7	1388	74,1
1242	67,9	1291	51,0	1340	46,5	1389	74,0
1243	65,7	1292	51,9	1341	49,1	1390	73,0
1244	63,5	1293	52,7	1342	51,6	1391	72,0
1245	61,2	1294	53,7	1343	53,9	1392	71,0
1246	59,0	1295	55,0	1344	56,0	1393	70,0
1247	56,8	1296	56,8	1345	57,9	1394	69,0
1248	54,7	1297	58,8	1346	59,7	1395	68,0
1249	52,7	1298	60,9	1347	61,2	1396	67,7
1250	50,9	1299	63,0	1348	62,5	1397	66,7
1251	49,4	1300	65,0	1349	63,5	1398	66,6
1252	48,1	1301	66,9	1350	64,3	1399	66,7
1253	47,1	1302	68,6	1351	65,3	1400	66,8
1254	46,5	1303	70,1	1352	66,3	1401	66,9
1255	46,3	1304	71,0	1353	67,3	1402	66,9
1256	45,1	1305	71,8	1354	68,3	1403	66,9
1257	43,0	1306	72,8	1355	69,3	1404	66,9
1258	40,6	1307	72,9	1356	70,3	1405	66,9
1259	38,1	1308	73,0	1357	70,8	1406	66,9
1407	66,9	1456	0,0				
1408	67,0	1457	0,0				
1409	67,1	1458	0,0				
1410	67,3	1459	0,0				
1411	67,5	1460	0,0				

Tid i s	Hastighed (km/h)	Tid i s	Hastighed (km/h)	Tid i s	Hastighed (km/h)	Tid i s	Hastighed (km/h)
1412	67,8	1461	0,0				
1413	68,2	1462	0,0				
1414	68,6	1463	0,0				
1415	69,0	1464	0,0				
1416	69,3	1465	0,0				
1417	69,3	1466	0,0				
1418	69,2	1467	0,0				
1419	68,8	1468	0,0				
1420	68,2	1469	0,0				
1421	67,6	1470	0,0				
1422	67,4	1471	0,0				
1423	67,2	1472	0,0				
1424	66,9	1473	0,0				
1425	66,3	1474	0,0				
1426	65,4	1475	0,0				
1427	64,0	1476	0,0				
1428	62,4	1477	0,0				
1429	60,6						
1430	58,6						
1431	56,7						
1432	54,8						
1433	53,0						
1434	51,3						
1435	49,6						
1436	47,8						
1437	45,5						
1438	42,8						
1439	39,8						
1440	36,5						
1441	33,0						
1442	29,5						
1443	25,8						
1444	22,1						
1445	18,6						
1446	15,3						
1447	12,4						
1448	9,6						
1449	6,6						

Tid i s	Hastighed (km/h)	Tid i s	Hastighed (km/h)	Tid i s	Hastighed (km/h)	Tid i s	Hastighed (km/h)
1450	3,8						
1451	1,6						
1452	0,0						
1453	0,0						
1454	0,0						
1455	0,0						

Tabel A1/6

Denne tabel finder kun anvendelse på niveau 1A og niveau 2 (fase 4 WLTP-prøvning)

WLTC, gruppe 2-cyklus, ekstra høj-fase$_2$ (sekund 1477 er slutningen af høj-fase$_2$ og begyndelsen af ekstra høj-fase$_2$)

Tid i s	Hastighed (km/h)	Tid i s	Hastighed (km/h)	Tid i s	Hastighed (km/h)	Tid i s	Hastighed (km/h)
1478	0,0	1525	63,4	1572	107,4	1619	113,7
1479	1,1	1526	64,5	1573	108,7	1620	114,1
1480	2,3	1527	65,7	1574	109,9	1621	114,4
1481	4,6	1528	66,9	1575	111,2	1622	114,6
1482	6,5	1529	68,1	1576	112,3	1623	114,7
1483	8,9	1530	69,1	1577	113,4	1624	114,7
1484	10,9	1531	70,0	1578	114,4	1625	114,7
1485	13,5	1532	70,9	1579	115,3	1626	114,6
1486	15,2	1533	71,8	1580	116,1	1627	114,5
1487	17,6	1534	72,6	1581	116,8	1628	114,5
1488	19,3	1535	73,4	1582	117,4	1629	114,5
1489	21,4	1536	74,0	1583	117,7	1630	114,7
1490	23,0	1537	74,7	1584	118,2	1631	115,0
1491	25,0	1538	75,2	1585	118,1	1632	115,6
1492	26,5	1539	75,7	1586	117,7	1633	116,4
1493	28,4	1540	76,4	1587	117,0	1634	117,3
1494	29,8	1541	77,2	1588	116,1	1635	118,2
1495	31,7	1542	78,2	1589	115,2	1636	118,8
1496	33,7	1543	78,9	1590	114,4	1637	119,3
1497	35,8	1544	79,9	1591	113,6	1638	119,6
1498	38,1	1545	81,1	1592	113,0	1639	119,7
1499	40,5	1546	82,4	1593	112,6	1640	119,5

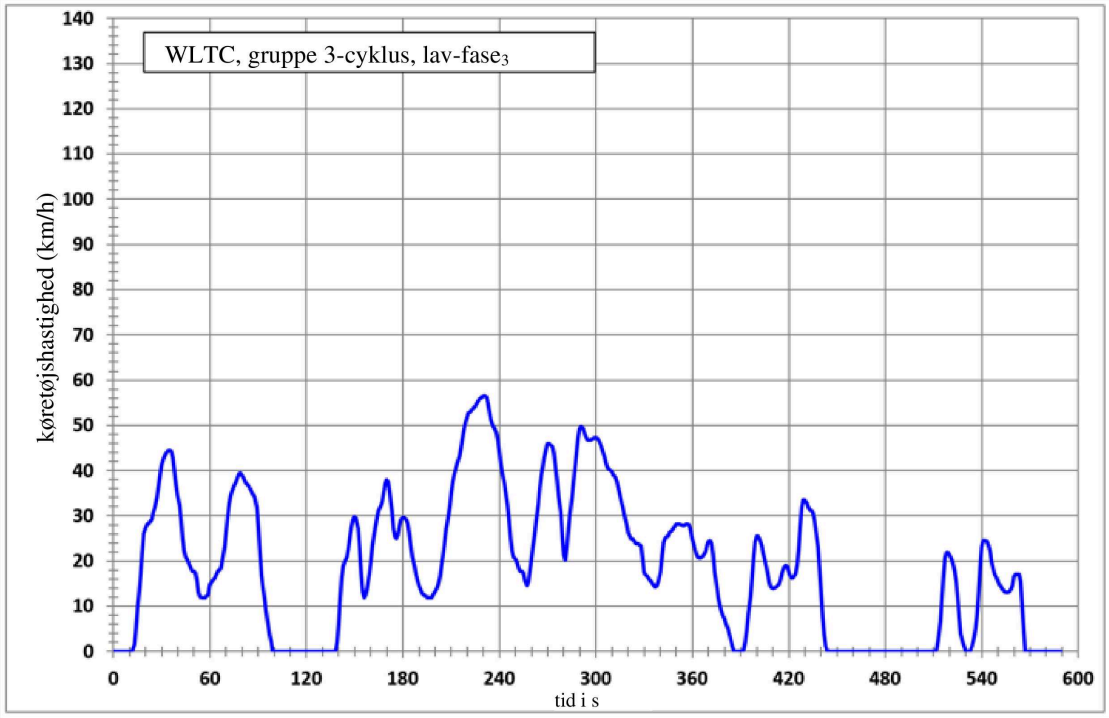
Tid i s	Hastighed (km/h)	Tid i s	Hastighed (km/h)	Tid i s	Hastighed (km/h)	Tid i s	Hastighed (km/h)
1500	42,2	1547	83,7	1594	112,2	1641	119,3
1501	43,5	1548	85,4	1595	111,9	1642	119,2
1502	44,5	1549	87,0	1596	111,6	1643	119,0
1503	45,2	1550	88,3	1597	111,2	1644	118,8
1504	45,8	1551	89,5	1598	110,7	1645	118,8
1505	46,6	1552	90,5	1599	110,1	1646	118,8
1506	47,4	1553	91,3	1600	109,3	1647	118,8
1507	48,5	1554	92,2	1601	108,4	1648	118,8
1508	49,7	1555	93,0	1602	107,4	1649	118,9
1509	51,3	1556	93,8	1603	106,7	1650	119,0
1510	52,9	1557	94,6	1604	106,3	1651	119,0
1511	54,3	1558	95,3	1605	106,2	1652	119,1
1512	55,6	1559	95,9	1606	106,4	1653	119,2
1513	56,8	1560	96,6	1607	107,0	1654	119,4
1514	57,9	1561	97,4	1608	107,5	1655	119,6
1515	58,9	1562	98,1	1609	107,9	1656	119,9
1516	59,7	1563	98,7	1610	108,4	1657	120,1
1517	60,3	1564	99,5	1611	108,9	1658	120,3
1518	60,7	1565	100,3	1612	109,5	1659	120,4
1519	60,9	1566	101,1	1613	110,2	1660	120,5
1520	61,0	1567	101,9	1614	110,9	1661	120,5
1521	61,1	1568	102,8	1615	111,6	1662	120,5
1522	61,4	1569	103,8	1616	112,2	1663	120,5
1523	61,8	1570	105,0	1617	112,8	1664	120,4
1524	62,5	1571	106,1	1618	113,3	1665	120,3
1666	120,1	1715	120,4	1764	82,6		
1667	119,9	1716	120,8	1765	81,9		
1668	119,6	1717	121,1	1766	81,1		
1669	119,5	1718	121,6	1767	80,0		
1670	119,4	1719	121,8	1768	78,7		
1671	119,3	1720	122,1	1769	76,9		
1672	119,3	1721	122,4	1770	74,6		
1673	119,4	1722	122,7	1771	72,0		
1674	119,5	1723	122,8	1772	69,0		
1675	119,5	1724	123,1	1773	65,6		
1676	119,6	1725	123,1	1774	62,1		
1677	119,6	1726	122,8	1775	58,5		

Tid i s	Hastighed (km/h)	Tid i s	Hastighed (km/h)	Tid i s	Hastighed (km/h)	Tid i s	Hastighed (km/h)
1678	119,6	1727	122,3	1776	54,7		
1679	119,4	1728	121,3	1777	50,9		
1680	119,3	1729	119,9	1778	47,3		
1681	119,0	1730	118,1	1779	43,8		
1682	118,8	1731	115,9	1780	40,4		
1683	118,7	1732	113,5	1781	37,4		
1684	118,8	1733	111,1	1782	34,3		
1685	119,0	1734	108,6	1783	31,3		
1686	119,2	1735	106,2	1784	28,3		
1687	119,6	1736	104,0	1785	25,2		
1688	120,0	1737	101,1	1786	22,0		
1689	120,3	1738	98,3	1787	18,9		
1690	120,5	1739	95,7	1788	16,1		
1691	120,7	1740	93,5	1789	13,4		
1692	120,9	1741	91,5	1790	11,1		
1693	121,0	1742	90,7	1791	8,9		
1694	121,1	1743	90,4	1792	6,9		
1695	121,2	1744	90,2	1793	4,9		
1696	121,3	1745	90,2	1794	2,8		
1697	121,4	1746	90,1	1795	0,0		
1698	121,5	1747	90,0	1796	0,0		
1699	121,5	1748	89,8	1797	0,0		
1700	121,5	1749	89,6	1798	0,0		
1701	121,4	1 750	89,4	1799	0,0		
1702	121,3	1751	89,2	1800	0,0		
1703	121,1	1752	88,9				
1704	120,9	1753	88,5				
1705	120,6	1754	88,1				
1706	120,4	1755	87,6				
1707	120,2	1756	87,1				
1708	120,1	1757	86,6				
1709	119,9	1758	86,1				
1710	119,8	1759	85,5				
1711	119,8	1760	85,0				
1712	119,9	1761	84,4				
1713	120,0	1762	83,8				
1714	120,2	1763	83,2				

6. WLTC, gruppe 3-cyklus

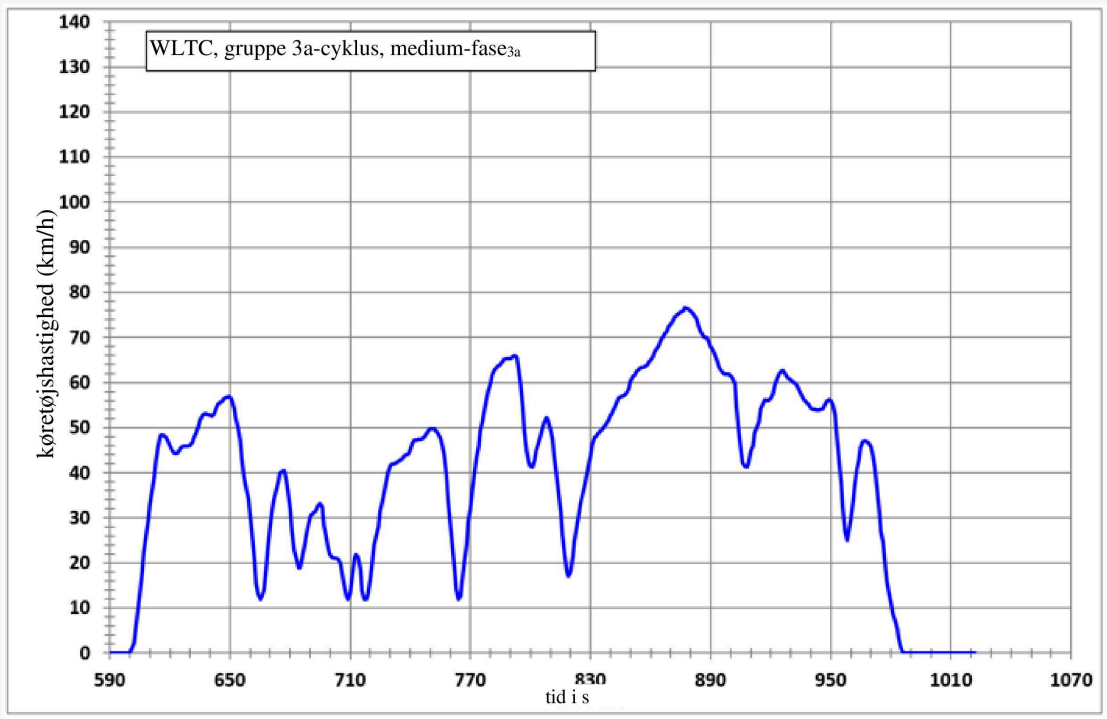
Figur A1/7

WLTC, gruppe 3-cyklus, lav-fase$_3$



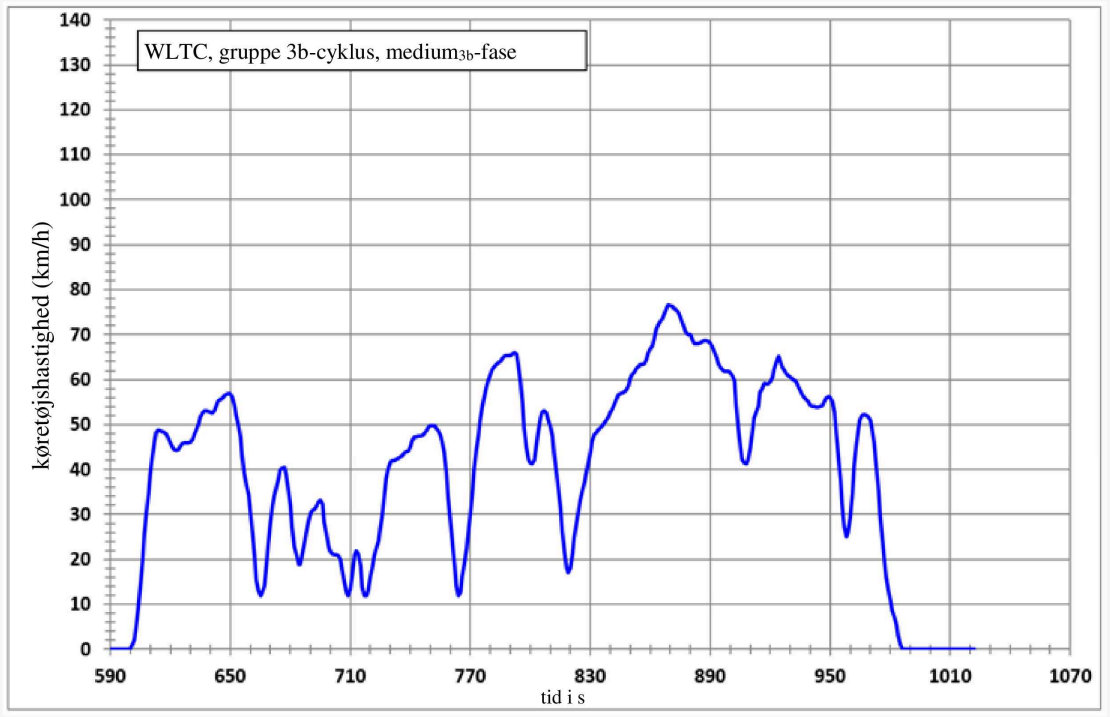
Figur A1/8

WLTC, gruppe 3a-cyklus, medium-fase$_{3a}$



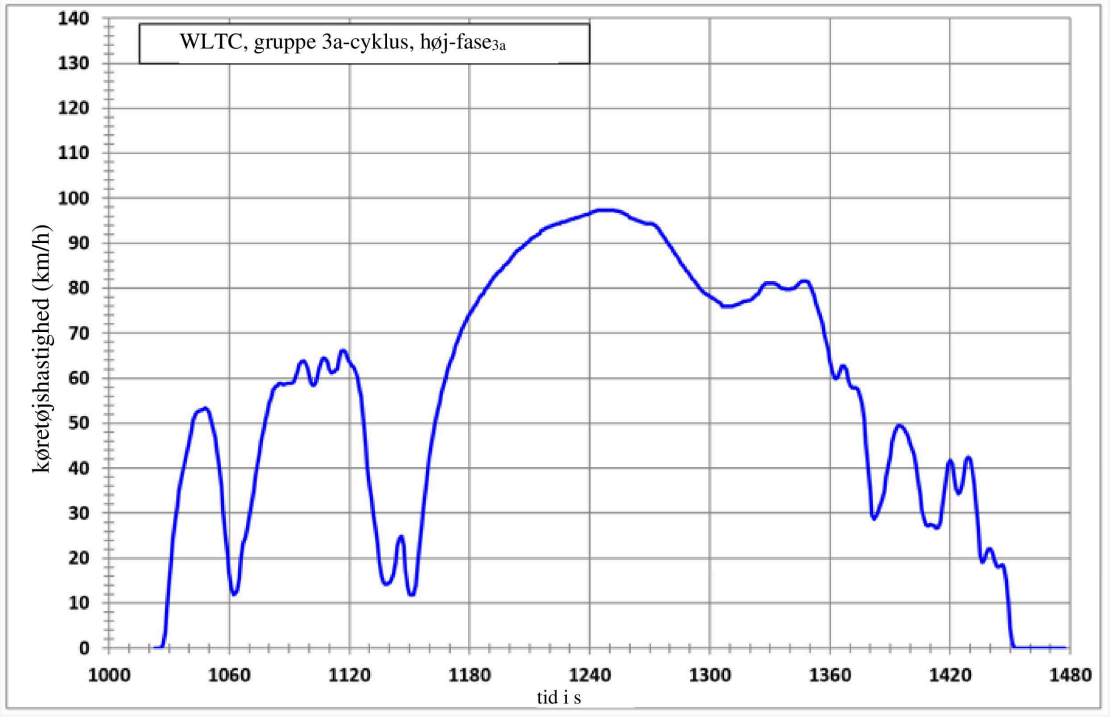
Figur A1/9

WLTC, gruppe 3b-cyklus, medium$_{3b}$-fase



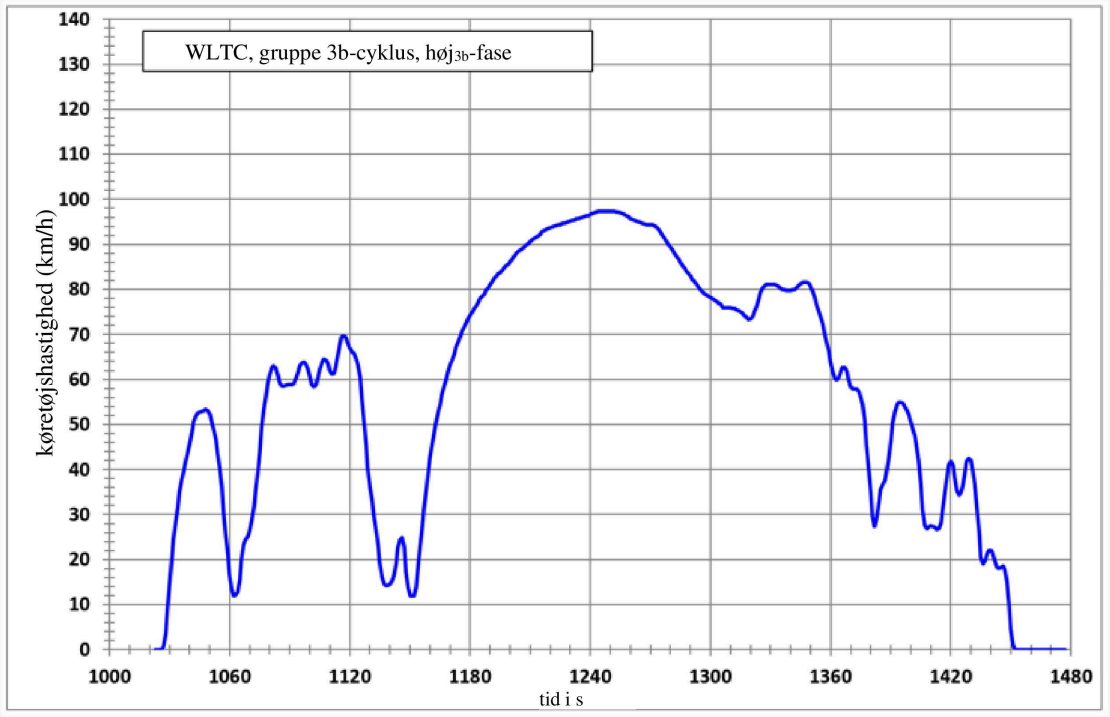
Figur A1/10

WLTC, gruppe 3a-cyklus, høj-fase$_{3a}$



Figur A1/11

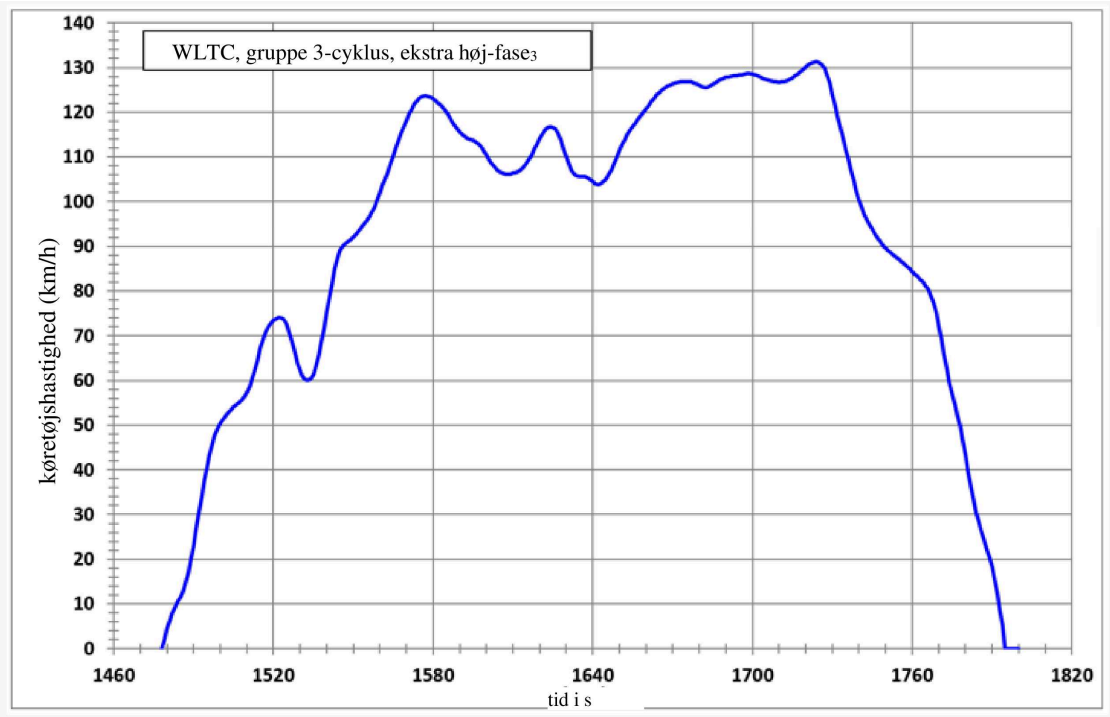
WLTC, gruppe 3b-cyklus, høj$_{3b}$-fase



Figur A1/12

Denne figur finder kun anvendelse på niveau 1A og niveau 2 (fase 4 WLTP-prøvning)

WLTC, gruppe 3-cyklus, ekstra høj-fase$_3$



Tabel A1/7

WLTC, gruppe 3-cyklus, lav fase$_3$ (sekund 589 er slutningen af lav fase$_3$ og begyndelsen af medium fase$_3$)

Tid i s	Hastighed (km/h)	Tid i s	Hastighed (km/h)	Tid i s	Hastighed (km/h)	Tid i s	Hastighed (km/h)
0	0,0	47	19,5	94	12,0	141	11,7
1	0,0	48	18,4	95	9,1	142	16,4
2	0,0	49	17,8	96	5,8	143	18,9
3	0,0	50	17,8	97	3,6	144	19,9
4	0,0	51	17,4	98	2,2	145	20,8
5	0,0	52	15,7	99	0,0	146	22,8
6	0,0	53	13,1	100	0,0	147	25,4
7	0,0	54	12,1	101	0,0	148	27,7
8	0,0	55	12,0	102	0,0	149	29,2
9	0,0	56	12,0	103	0,0	150	29,8
10	0,0	57	12,0	104	0,0	151	29,4
11	0,0	58	12,3	105	0,0	152	27,2
12	0,2	59	12,6	106	0,0	153	22,6
13	1,7	60	14,7	107	0,0	154	17,3
14	5,4	61	15,3	108	0,0	155	13,3
15	9,9	62	15,9	109	0,0	156	12,0
16	13,1	63	16,2	110	0,0	157	12,6
17	16,9	64	17,1	111	0,0	158	14,1
18	21,7	65	17,8	112	0,0	159	17,2
19	26,0	66	18,1	113	0,0	160	20,1
20	27,5	67	18,4	114	0,0	161	23,4
21	28,1	68	20,3	115	0,0	162	25,5
22	28,3	69	23,2	116	0,0	163	27,6
23	28,8	70	26,5	117	0,0	164	29,5
24	29,1	71	29,8	118	0,0	165	31,1
25	30,8	72	32,6	119	0,0	166	32,1
26	31,9	73	34,4	120	0,0	167	33,2
27	34,1	74	35,5	121	0,0	168	35,2
28	36,6	75	36,4	122	0,0	169	37,2
29	39,1	76	37,4	123	0,0	170	38,0
30	41,3	77	38,5	124	0,0	171	37,4
31	42,5	78	39,3	125	0,0	172	35,1
32	43,3	79	39,5	126	0,0	173	31,0
33	43,9	80	39,0	127	0,0	174	27,1
34	44,4	81	38,5	128	0,0	175	25,3

Tid i s	Hastighed (km/h)	Tid i s	Hastighed (km/h)	Tid i s	Hastighed (km/h)	Tid i s	Hastighed (km/h)
35	44,5	82	37,3	129	0,0	176	25,1
36	44,2	83	37,0	130	0,0	177	25,9
37	42,7	84	36,7	131	0,0	178	27,8
38	39,9	85	35,9	132	0,0	179	29,2
39	37,0	86	35,3	133	0,0	180	29,6
40	34,6	87	34,6	134	0,0	181	29,5
41	32,3	88	34,2	135	0,0	182	29,2
42	29,0	89	31,9	136	0,0	183	28,3
43	25,1	90	27,3	137	0,0	184	26,1
44	22,2	91	22,0	138	0,2	185	23,6
45	20,9	92	17,0	139	1,9	186	21,0
46	20,4	93	14,2	140	6,1	187	18,9
188	17,1	237	49,2	286	37,4	335	15,0
189	15,7	238	48,4	287	40,7	336	14,5
190	14,5	239	46,9	288	44,0	337	14,3
191	13,7	240	44,3	289	47,3	338	14,5
192	12,9	241	41,5	290	49,2	339	15,4
193	12,5	242	39,5	291	49,8	340	17,8
194	12,2	243	37,0	292	49,2	341	21,1
195	12,0	244	34,6	293	48,1	342	24,1
196	12,0	245	32,3	294	47,3	343	25,0
197	12,0	246	29,0	295	46,8	344	25,3
198	12,0	247	25,1	296	46,7	345	25,5
199	12,5	248	22,2	297	46,8	346	26,4
200	13,0	249	20,9	298	47,1	347	26,6
201	14,0	250	20,4	299	47,3	348	27,1
202	15,0	251	19,5	300	47,3	349	27,7
203	16,5	252	18,4	301	47,1	350	28,1
204	19,0	253	17,8	302	46,6	351	28,2
205	21,2	254	17,8	303	45,8	352	28,1
206	23,8	255	17,4	304	44,8	353	28,0
207	26,9	256	15,7	305	43,3	354	27,9
208	29,6	257	14,5	306	41,8	355	27,9
209	32,0	258	15,4	307	40,8	356	28,1
210	35,2	259	17,9	308	40,3	357	28,2
211	37,5	260	20,6	309	40,1	358	28,0
212	39,2	261	23,2	310	39,7	359	26,9
213	40,5	262	25,7	311	39,2	360	25,0

Tid i s	Hastighed (km/h)	Tid i s	Hastighed (km/h)	Tid i s	Hastighed (km/h)	Tid i s	Hastighed (km/h)
214	41,6	263	28,7	312	38,5	361	23,2
215	43,1	264	32,5	313	37,4	362	21,9
216	45,0	265	36,1	314	36,0	363	21,1
217	47,1	266	39,0	315	34,4	364	20,7
218	49,0	267	40,8	316	33,0	365	20,7
219	50,6	268	42,9	317	31,7	366	20,8
220	51,8	269	44,4	318	30,0	367	21,2
221	52,7	270	45,9	319	28,0	368	22,1
222	53,1	271	46,0	320	26,1	369	23,5
223	53,5	272	45,6	321	25,6	370	24,3
224	53,8	273	45,3	322	24,9	371	24,5
225	54,2	274	43,7	323	24,9	372	23,8
226	54,8	275	40,8	324	24,3	373	21,3
227	55,3	276	38,0	325	23,9	374	17,7
228	55,8	277	34,4	326	23,9	375	14,4
229	56,2	278	30,9	327	23,6	376	11,9
230	56,5	279	25,5	328	23,3	377	10,2
231	56,5	280	21,4	329	20,5	378	8,9
232	56,2	281	20,2	330	17,5	379	8,0
233	54,9	282	22,9	331	16,9	380	7,2
234	52,9	283	26,6	332	16,7	381	6,1
235	51,0	284	30,2	333	15,9	382	4,9
236	49,8	285	34,1	334	15,6	383	3,7
384	2,3	433	31,3	482	0,0	531	0,0
385	0,9	434	31,1	483	0,0	532	0,0
386	0,0	435	30,6	484	0,0	533	0,2
387	0,0	436	29,2	485	0,0	534	1,2
388	0,0	437	26,7	486	0,0	535	3,2
389	0,0	438	23,0	487	0,0	536	5,2
390	0,0	439	18,2	488	0,0	537	8,2
391	0,0	440	12,9	489	0,0	538	13
392	0,5	441	7,7	490	0,0	539	18,8
393	2,1	442	3,8	491	0,0	540	23,1
394	4,8	443	1,3	492	0,0	541	24,5
395	8,3	444	0,2	493	0,0	542	24,5
396	12,3	445	0,0	494	0,0	543	24,3
397	16,6	446	0,0	495	0,0	544	23,6
398	20,9	447	0,0	496	0,0	545	22,3

Tid i s	Hastighed (km/h)	Tid i s	Hastighed (km/h)	Tid i s	Hastighed (km/h)	Tid i s	Hastighed (km/h)
399	24,2	448	0,0	497	0,0	546	20,1
400	25,6	449	0,0	498	0,0	547	18,5
401	25,6	450	0,0	499	0,0	548	17,2
402	24,9	451	0,0	500	0,0	549	16,3
403	23,3	452	0,0	501	0,0	550	15,4
404	21,6	453	0,0	502	0,0	551	14,7
405	20,2	454	0,0	503	0,0	552	14,3
406	18,7	455	0,0	504	0,0	553	13,7
407	17,0	456	0,0	505	0,0	554	13,3
408	15,3	457	0,0	506	0,0	555	13,1
409	14,2	458	0,0	507	0,0	556	13,1
410	13,9	459	0,0	508	0,0	557	13,3
411	14,0	460	0,0	509	0,0	558	13,8
412	14,2	461	0,0	510	0,0	559	14,5
413	14,5	462	0,0	511	0,0	560	16,5
414	14,9	463	0,0	512	0,5	561	17,0
415	15,9	464	0,0	513	2,5	562	17,0
416	17,4	465	0,0	514	6,6	563	17,0
417	18,7	466	0,0	515	11,8	564	15,4
418	19,1	467	0,0	516	16,8	565	10,1
419	18,8	468	0,0	517	20,5	566	4,8
420	17,6	469	0,0	518	21,9	567	0,0
421	16,6	470	0,0	519	21,9	568	0,0
422	16,2	471	0,0	520	21,3	569	0,0
423	16,4	472	0,0	521	20,3	570	0,0
424	17,2	473	0,0	522	19,2	571	0,0
425	19,1	474	0,0	523	17,8	572	0,0
426	22,6	475	0,0	524	15,5	573	0,0
427	27,4	476	0,0	525	11,9	574	0,0
428	31,6	477	0,0	526	7,6	575	0,0
429	33,4	478	0,0	527	4,0	576	0,0
430	33,5	479	0,0	528	2,0	577	0,0
431	32,8	480	0,0	529	1,0	578	0,0
432	31,9	481	0,0	530	0,0	579	0,0
580	0,0						
581	0,0						
582	0,0						
583	0,0						

Tid i s	Hastighed (km/h)	Tid i s	Hastighed (km/h)	Tid i s	Hastighed (km/h)	Tid i s	Hastighed (km/h)
584	0,0						
585	0,0						
586	0,0						
587	0,0						
588	0,0						
589	0,0						

Tabel A1/8

WLTC, gruppe 3a-cyklus, medium fase$_{3a}$ (sekund 589 er slutningen af lav fase$_3$ og begyndelsen af medium fase$_{3a}$)

Tid i s	Hastighed (km/h)	Tid i s	Hastighed (km/h)	Tid i s	Hastighed (km/h)	Tid i s	Hastighed (km/h)
590	0,0	637	53,0	684	18,9	731	41,9
591	0,0	638	53,0	685	18,9	732	42,0
592	0,0	639	52,9	686	21,3	733	42,2
593	0,0	640	52,7	687	23,9	734	42,4
594	0,0	641	52,6	688	25,9	735	42,7
595	0,0	642	53,1	689	28,4	736	43,1
596	0,0	643	54,3	690	30,3	737	43,7
597	0,0	644	55,2	691	30,9	738	44,0
598	0,0	645	55,5	692	31,1	739	44,1
599	0,0	646	55,9	693	31,8	740	45,3
600	0,0	647	56,3	694	32,7	741	46,4
601	1,0	648	56,7	695	33,2	742	47,2
602	2,1	649	56,9	696	32,4	743	47,3
603	5,2	650	56,8	697	28,3	744	47,4
604	9,2	651	56,0	698	25,8	745	47,4
605	13,5	652	54,2	699	23,1	746	47,5
606	18,1	653	52,1	700	21,8	747	47,9
607	22,3	654	50,1	701	21,2	748	48,6
608	26,0	655	47,2	702	21,0	749	49,4
609	29,3	656	43,2	703	21,0	750	49,8
610	32,8	657	39,2	704	20,9	751	49,8
611	36,0	658	36,5	705	19,9	752	49,7
612	39,2	659	34,3	706	17,9	753	49,3
613	42,5	660	31,0	707	15,1	754	48,5

Tid i s	Hastighed (km/h)	Tid i s	Hastighed (km/h)	Tid i s	Hastighed (km/h)	Tid i s	Hastighed (km/h)
614	45,7	661	26,0	708	12,8	755	47,6
615	48,2	662	20,7	709	12,0	756	46,3
616	48,4	663	15,4	710	13,2	757	43,7
617	48,2	664	13,1	711	17,1	758	39,3
618	47,8	665	12,0	712	21,1	759	34,1
619	47,0	666	12,5	713	21,8	760	29,0
620	45,9	667	14,0	714	21,2	761	23,7
621	44,9	668	19,0	715	18,5	762	18,4
622	44,4	669	23,2	716	13,9	763	14,3
623	44,3	670	28,0	717	12,0	764	12,0
624	44,5	671	32,0	718	12,0	765	12,8
625	45,1	672	34,0	719	13,0	766	16,0
626	45,7	673	36,0	720	16,3	767	20,4
627	46,0	674	38,0	721	20,5	768	24,0
628	46,0	675	40,0	722	23,9	769	29,0
629	46,0	676	40,3	723	26,0	770	32,2
630	46,1	677	40,5	724	28,0	771	36,8
631	46,7	678	39,0	725	31,5	772	39,4
632	47,7	679	35,7	726	33,4	773	43,2
633	48,9	680	31,8	727	36,0	774	45,8
634	50,3	681	27,1	728	37,8	775	49,2
635	51,6	682	22,8	729	40,2	776	51,4
636	52,6	683	21,1	730	41,6	777	54,2
778	56,0	827	37,1	876	75,8	925	62,3
779	58,3	828	38,9	877	76,6	926	62,7
780	59,8	829	41,4	878	76,5	927	62,0
781	61,7	830	44,0	879	76,2	928	61,3
782	62,7	831	46,3	880	75,8	929	60,9
783	63,3	832	47,7	881	75,4	930	60,5
784	63,6	833	48,2	882	74,8	931	60,2
785	64,0	834	48,7	883	73,9	932	59,8
786	64,7	835	49,3	884	72,7	933	59,4
787	65,2	836	49,8	885	71,3	934	58,6
788	65,3	837	50,2	886	70,4	935	57,5
789	65,3	838	50,9	887	70,0	936	56,6
790	65,4	839	51,8	888	70,0	937	56,0
791	65,7	840	52,5	889	69,0	938	55,5
792	66,0	841	53,3	890	68,0	939	55,0

Tid i s	Hastighed (km/h)	Tid i s	Hastighed (km/h)	Tid i s	Hastighed (km/h)	Tid i s	Hastighed (km/h)
793	65,6	842	54,5	891	67,3	940	54,4
794	63,5	843	55,7	892	66,2	941	54,1
795	59,7	844	56,5	893	64,8	942	54,0
796	54,6	845	56,8	894	63,6	943	53,9
797	49,3	846	57,0	895	62,6	944	53,9
798	44,9	847	57,2	896	62,1	945	54,0
799	42,3	848	57,7	897	61,9	946	54,2
800	41,4	849	58,7	898	61,9	947	55,0
801	41,3	850	60,1	899	61,8	948	55,8
802	43,0	851	61,1	900	61,5	949	56,2
803	45,0	852	61,7	901	60,9	950	56,1
804	46,5	853	62,3	902	59,7	951	55,1
805	48,3	854	62,9	903	54,6	952	52,7
806	49,5	855	63,3	904	49,3	953	48,4
807	51,2	856	63,4	905	44,9	954	43,1
808	52,2	857	63,5	906	42,3	955	37,8
809	51,6	858	63,9	907	41,4	956	32,5
810	49,7	859	64,4	908	41,3	957	27,2
811	47,4	860	65,0	909	42,1	958	25,1
812	43,7	861	65,6	910	44,7	959	27,0
813	39,7	862	66,6	911	46,0	960	29,8
814	35,5	863	67,4	912	48,8	961	33,8
815	31,1	864	68,2	913	50,1	962	37,0
816	26,3	865	69,1	914	51,3	963	40,7
817	21,9	866	70,0	915	54,1	964	43,0
818	18,0	867	70,8	916	55,2	965	45,6
819	17,0	868	71,5	917	56,2	966	46,9
820	18,0	869	72,4	918	56,1	967	47,0
821	21,4	870	73,0	919	56,1	968	46,9
822	24,8	871	73,7	920	56,5	969	46,5
823	27,9	872	74,4	921	57,5	970	45,8
824	30,8	873	74,9	922	59,2	971	44,3
825	33,0	874	75,3	923	60,7	972	41,3
826	35,1	875	75,6	924	61,8	973	36,5
974	31,7						
975	27,0						
976	24,7						
977	19,3						

Tid i s	Hastighed (km/h)	Tid i s	Hastighed (km/h)	Tid i s	Hastighed (km/h)	Tid i s	Hastighed (km/h)
978	16,0						
979	13,2						
980	10,7						
981	8,8						
982	7,2						
983	5,5						
984	3,2						
985	1,1						
986	0,0						
987	0,0						
988	0,0						
989	0,0						
990	0,0						
991	0,0						
992	0,0						
993	0,0						
994	0,0						
995	0,0						
996	0,0						
997	0,0						
998	0,0						
999	0,0						
1000	0,0						
1001	0,0						
1002	0,0						
1003	0,0						
1004	0,0						
1005	0,0						
1006	0,0						
1007	0,0						
1008	0,0						
1009	0,0						
1010	0,0						
1011	0,0						
1012	0,0						
1013	0,0						
1014	0,0						
1015	0,0						

Tid i s	Hastighed (km/h)	Tid i s	Hastighed (km/h)	Tid i s	Hastighed (km/h)	Tid i s	Hastighed (km/h)
1016	0,0						
1017	0,0						
1018	0,0						
1019	0,0						
1020	0,0						
1021	0,0						
1022	0,0						

Tabel A1/9

WLTC, gruppe 3b-cyklus, medium fase$_{3b}$ (sekund 589 er slutningen af lav fase$_3$ og begyndelsen af medium fase$_{3b}$)

Tid i s	Hastighed (km/h)	Tid i s	Hastighed (km/h)	Tid i s	Hastighed (km/h)	Tid i s	Hastighed (km/h)
590	0,0	637	53,0	684	18,9	731	41,9
591	0,0	638	53,0	685	18,9	732	42,0
592	0,0	639	52,9	686	21,3	733	42,2
593	0,0	640	52,7	687	23,9	734	42,4
594	0,0	641	52,6	688	25,9	735	42,7
595	0,0	642	53,1	689	28,4	736	43,1
596	0,0	643	54,3	690	30,3	737	43,7
597	0,0	644	55,2	691	30,9	738	44,0
598	0,0	645	55,5	692	31,1	739	44,1
599	0,0	646	55,9	693	31,8	740	45,3
600	0,0	647	56,3	694	32,7	741	46,4
601	1,0	648	56,7	695	33,2	742	47,2
602	2,1	649	56,9	696	32,4	743	47,3
603	4,8	650	56,8	697	28,3	744	47,4
604	9,1	651	56,0	698	25,8	745	47,4
605	14,2	652	54,2	699	23,1	746	47,5
606	19,8	653	52,1	700	21,8	747	47,9
607	25,5	654	50,1	701	21,2	748	48,6
608	30,5	655	47,2	702	21,0	749	49,4
609	34,8	656	43,2	703	21,0	750	49,8
610	38,8	657	39,2	704	20,9	751	49,8
611	42,9	658	36,5	705	19,9	752	49,7
612	46,4	659	34,3	706	17,9	753	49,3
613	48,3	660	31,0	707	15,1	754	48,5
614	48,7	661	26,0	708	12,8	755	47,6

Tid i s	Hastighed (km/h)	Tid i s	Hastighed (km/h)	Tid i s	Hastighed (km/h)	Tid i s	Hastighed (km/h)
615	48,5	662	20,7	709	12,0	756	46,3
616	48,4	663	15,4	710	13,2	757	43,7
617	48,2	664	13,1	711	17,1	758	39,3
618	47,8	665	12,0	712	21,1	759	34,1
619	47,0	666	12,5	713	21,8	760	29,0
620	45,9	667	14,0	714	21,2	761	23,7
621	44,9	668	19,0	715	18,5	762	18,4
622	44,4	669	23,2	716	13,9	763	14,3
623	44,3	670	28,0	717	12,0	764	12,0
624	44,5	671	32,0	718	12,0	765	12,8
625	45,1	672	34,0	719	13,0	766	16,0
626	45,7	673	36,0	720	16,0	767	19,1
627	46,0	674	38,0	721	18,5	768	22,4
628	46,0	675	40,0	722	20,6	769	25,6
629	46,0	676	40,3	723	22,5	770	30,1
630	46,1	677	40,5	724	24,0	771	35,3
631	46,7	678	39,0	725	26,6	772	39,9
632	47,7	679	35,7	726	29,9	773	44,5
633	48,9	680	31,8	727	34,8	774	47,5
634	50,3	681	27,1	728	37,8	775	50,9
635	51,6	682	22,8	729	40,2	776	54,1
636	52,6	683	21,1	730	41,6	777	56,3
778	58,1	827	37,1	876	72,7	925	64,1
779	59,8	828	38,9	877	71,3	926	62,7
780	61,1	829	41,4	878	70,4	927	62,0
781	62,1	830	44,0	879	70,0	928	61,3
782	62,8	831	46,3	880	70,0	929	60,9
783	63,3	832	47,7	881	69,0	930	60,5
784	63,6	833	48,2	882	68,0	931	60,2
785	64,0	834	48,7	883	68,0	932	59,8
786	64,7	835	49,3	884	68,0	933	59,4
787	65,2	836	49,8	885	68,1	934	58,6
788	65,3	837	50,2	886	68,4	935	57,5
789	65,3	838	50,9	887	68,6	936	56,6
790	65,4	839	51,8	888	68,7	937	56,0
791	65,7	840	52,5	889	68,5	938	55,5
792	66,0	841	53,3	890	68,1	939	55,0
793	65,6	842	54,5	891	67,3	940	54,4

Tid i s	Hastighed (km/h)	Tid i s	Hastighed (km/h)	Tid i s	Hastighed (km/h)	Tid i s	Hastighed (km/h)
794	63,5	843	55,7	892	66,2	941	54,1
795	59,7	844	56,5	893	64,8	942	54,0
796	54,6	845	56,8	894	63,6	943	53,9
797	49,3	846	57,0	895	62,6	944	53,9
798	44,9	847	57,2	896	62,1	945	54,0
799	42,3	848	57,7	897	61,9	946	54,2
800	41,4	849	58,7	898	61,9	947	55,0
801	41,3	850	60,1	899	61,8	948	55,8
802	42,1	851	61,1	900	61,5	949	56,2
803	44,7	852	61,7	901	60,9	950	56,1
804	48,4	853	62,3	902	59,7	951	55,1
805	51,4	854	62,9	903	54,6	952	52,7
806	52,7	855	63,3	904	49,3	953	48,4
807	53,0	856	63,4	905	44,9	954	43,1
808	52,5	857	63,5	906	42,3	955	37,8
809	51,3	858	64,5	907	41,4	956	32,5
810	49,7	859	65,8	908	41,3	957	27,2
811	47,4	860	66,8	909	42,1	958	25,1
812	43,7	861	67,4	910	44,7	959	26,0
813	39,7	862	68,8	911	48,4	960	29,3
814	35,5	863	71,1	912	51,4	961	34,6
815	31,1	864	72,3	913	52,7	962	40,4
816	26,3	865	72,8	914	54,0	963	45,3
817	21,9	866	73,4	915	57,0	964	49,0
818	18,0	867	74,6	916	58,1	965	51,1
819	17,0	868	76,0	917	59,2	966	52,1
820	18,0	869	76,6	918	59,0	967	52,2
821	21,4	870	76,5	919	59,1	968	52,1
822	24,8	871	76,2	920	59,5	969	51,7
823	27,9	872	75,8	921	60,5	970	50,9
824	30,8	873	75,4	922	62,3	971	49,2
825	33,0	874	74,8	923	63,9	972	45,9
826	35,1	875	73,9	924	65,1	973	40,6
974	35,3						
975	30,0						
976	24,7						
977	19,3						
978	16,0						

Tid i s	Hastighed (km/h)	Tid i s	Hastighed (km/h)	Tid i s	Hastighed (km/h)	Tid i s	Hastighed (km/h)
979	13,2						
980	10,7						
981	8,8						
982	7,2						
983	5,5						
984	3,2						
985	1,1						
986	0,0						
987	0,0						
988	0,0						
989	0,0						
990	0,0						
991	0,0						
992	0,0						
993	0,0						
994	0,0						
995	0,0						
996	0,0						
997	0,0						
998	0,0						
999	0,0						
1000	0,0						
1001	0,0						
1002	0,0						
1003	0,0						
1004	0,0						
1005	0,0						
1006	0,0						
1007	0,0						
1008	0,0						
1009	0,0						
1010	0,0						
1011	0,0						
1012	0,0						
1013	0,0						
1014	0,0						
1015	0,0						
1016	0,0						

Tid i s	Hastighed (km/h)	Tid i s	Hastighed (km/h)	Tid i s	Hastighed (km/h)	Tid i s	Hastighed (km/h)
1017	0,0						
1018	0,0						
1019	0,0						
1020	0,0						
1021	0,0						
1022	0,0						

Tabel A1/10

WLTC, gruppe 3a-cyklus, høj-fase$_{3a}$ (sekund 1022 er begyndelsen på denne fase)

Tid i s	Hastighed (km/h)	Tid i s	Hastighed (km/h)	Tid i s	Hastighed (km/h)	Tid i s	Hastighed (km/h)
1023	0,0	1070	29,0	1117	66,2	1164	52,6
1024	0,0	1071	32,0	1118	65,8	1165	54,5
1025	0,0	1072	34,8	1119	64,7	1166	56,6
1026	0,0	1073	37,7	1120	63,6	1167	58,3
1027	0,8	1074	40,8	1121	62,9	1168	60,0
1028	3,6	1075	43,2	1122	62,4	1169	61,5
1029	8,6	1076	46,0	1123	61,7	1170	63,1
1030	14,6	1077	48,0	1124	60,1	1171	64,3
1031	20,0	1078	50,7	1125	57,3	1172	65,7
1032	24,4	1079	52,0	1126	55,8	1173	67,1
1033	28,2	1080	54,5	1127	50,5	1174	68,3
1034	31,7	1081	55,9	1128	45,2	1175	69,7
1035	35,0	1082	57,4	1129	40,1	1176	70,6
1036	37,6	1083	58,1	1130	36,2	1177	71,6
1037	39,7	1084	58,4	1131	32,9	1178	72,6
1038	41,5	1085	58,8	1132	29,8	1179	73,5
1039	43,6	1086	58,8	1133	26,6	1180	74,2
1040	46,0	1087	58,6	1134	23,0	1181	74,9
1041	48,4	1088	58,7	1135	19,4	1182	75,6
1042	50,5	1089	58,8	1136	16,3	1183	76,3
1043	51,9	1090	58,8	1137	14,6	1184	77,1
1044	52,6	1091	58,8	1138	14,2	1185	77,9
1045	52,8	1092	59,1	1139	14,3	1186	78,5
1046	52,9	1093	60,1	1140	14,6	1187	79,0
1047	53,1	1094	61,7	1141	15,1	1188	79,7
1048	53,3	1095	63,0	1142	16,4	1189	80,3
1049	53,1	1096	63,7	1143	19,1	1190	81,0

Tid i s	Hastighed (km/h)	Tid i s	Hastighed (km/h)	Tid i s	Hastighed (km/h)	Tid i s	Hastighed (km/h)
1050	52,3	1097	63,9	1144	22,5	1191	81,6
1051	50,7	1098	63,5	1145	24,4	1192	82,4
1052	48,8	1099	62,3	1146	24,8	1193	82,9
1053	46,5	1100	60,3	1147	22,7	1194	83,4
1054	43,8	1101	58,9	1148	17,4	1195	83,8
1055	40,3	1102	58,4	1149	13,8	1196	84,2
1056	36,0	1103	58,8	1150	12,0	1197	84,7
1057	30,7	1104	60,2	1151	12,0	1198	85,2
1058	25,4	1105	62,3	1152	12,0	1199	85,6
1059	21,0	1106	63,9	1153	13,9	1200	86,3
1060	16,7	1107	64,5	1154	17,7	1201	86,8
1061	13,4	1108	64,4	1155	22,8	1202	87,4
1062	12,0	1109	63,5	1156	27,3	1203	88,0
1063	12,1	1110	62,0	1157	31,2	1204	88,3
1064	12,8	1111	61,2	1158	35,2	1205	88,7
1065	15,6	1112	61,3	1159	39,4	1206	89,0
1066	19,9	1113	61,7	1160	42,5	1207	89,3
1067	23,4	1114	62,0	1161	45,4	1208	89,8
1068	24,6	1115	64,6	1162	48,2	1209	90,2
1069	27,0	1116	66,0	1163	50,3	1210	90,6
1211	91,0	1260	95,7	1309	75,9	1358	68,2
1212	91,3	1261	95,5	1310	76,0	1359	66,1
1213	91,6	1262	95,3	1311	76,0	1360	63,8
1214	91,9	1263	95,2	1312	76,1	1361	61,6
1215	92,2	1264	95,0	1313	76,3	1362	60,2
1216	92,8	1265	94,9	1314	76,5	1363	59,8
1217	93,1	1266	94,7	1315	76,6	1364	60,4
1218	93,3	1267	94,5	1316	76,8	1365	61,8
1219	93,5	1268	94,4	1317	77,1	1366	62,6
1220	93,7	1269	94,4	1318	77,1	1367	62,7
1221	93,9	1270	94,3	1319	77,2	1368	61,9
1222	94,0	1271	94,3	1320	77,2	1369	60,0
1223	94,1	1272	94,1	1321	77,6	1370	58,4
1224	94,3	1273	93,9	1322	78,0	1371	57,8
1225	94,4	1274	93,4	1323	78,4	1372	57,8
1226	94,6	1275	92,8	1324	78,8	1373	57,8
1227	94,7	1276	92,0	1325	79,2	1374	57,3
1228	94,8	1277	91,3	1326	80,3	1375	56,2

Tid i s	Hastighed (km/h)	Tid i s	Hastighed (km/h)	Tid i s	Hastighed (km/h)	Tid i s	Hastighed (km/h)
1229	95,0	1278	90,6	1327	80,8	1376	54,3
1230	95,1	1279	90,0	1328	81,0	1377	50,8
1231	95,3	1280	89,3	1329	81,0	1378	45,5
1232	95,4	1281	88,7	1330	81,0	1379	40,2
1233	95,6	1282	88,1	1331	81,0	1380	34,9
1234	95,7	1283	87,4	1332	81,0	1381	29,6
1235	95,8	1284	86,7	1333	80,9	1382	28,7
1236	96,0	1285	86,0	1334	80,6	1383	29,3
1237	96,1	1286	85,3	1335	80,3	1384	30,5
1238	96,3	1287	84,7	1336	80,0	1385	31,7
1239	96,4	1288	84,1	1337	79,9	1386	32,9
1240	96,6	1289	83,5	1338	79,8	1387	35,0
1241	96,8	1290	82,9	1339	79,8	1388	38,0
1242	97,0	1291	82,3	1340	79,8	1389	40,5
1243	97,2	1292	81,7	1341	79,9	1390	42,7
1244	97,3	1293	81,1	1342	80,0	1391	45,8
1245	97,4	1294	80,5	1343	80,4	1392	47,5
1246	97,4	1295	79,9	1344	80,8	1393	48,9
1247	97,4	1296	79,4	1345	81,2	1394	49,4
1248	97,4	1297	79,1	1346	81,5	1395	49,4
1249	97,3	1298	78,8	1347	81,6	1396	49,2
1250	97,3	1299	78,5	1348	81,6	1397	48,7
1251	97,3	1300	78,2	1349	81,4	1398	47,9
1252	97,3	1301	77,9	1350	80,7	1399	46,9
1253	97,2	1302	77,6	1351	79,6	1400	45,6
1254	97,1	1303	77,3	1352	78,2	1401	44,2
1255	97,0	1304	77,0	1353	76,8	1402	42,7
1256	96,9	1305	76,7	1354	75,3	1403	40,7
1257	96,7	1306	76,0	1355	73,8	1404	37,1
1258	96,4	1307	76,0	1356	72,1	1405	33,9
1259	96,1	1308	76,0	1357	70,2	1406	30,6
1407	28,6	1456	0,0				
1408	27,3	1457	0,0				
1409	27,2	1458	0,0				
1410	27,5	1459	0,0				
1411	27,4	1460	0,0				
1412	27,1	1461	0,0				
1413	26,7	1462	0,0				

Tid i s	Hastighed (km/h)	Tid i s	Hastighed (km/h)	Tid i s	Hastighed (km/h)	Tid i s	Hastighed (km/h)
1414	26,8	1463	0,0				
1415	28,2	1464	0,0				
1416	31,1	1465	0,0				
1417	34,8	1466	0,0				
1418	38,4	1467	0,0				
1419	40,9	1468	0,0				
1420	41,7	1469	0,0				
1421	40,9	1470	0,0				
1422	38,3	1471	0,0				
1423	35,3	1472	0,0				
1424	34,3	1473	0,0				
1425	34,6	1474	0,0				
1426	36,3	1475	0,0				
1427	39,5	1476	0,0				
1428	41,8	1477	0,0				
1429	42,5						
1430	41,9						
1431	40,1						
1432	36,6						
1433	31,3						
1434	26,0						
1435	20,6						
1436	19,1						
1437	19,7						
1438	21,1						
1439	22,0						
1440	22,1						
1441	21,4						
1442	19,6						
1443	18,3						
1444	18,0						
1445	18,3						
1446	18,5						
1447	17,9						
1448	15,0						
1449	9,9						
1450	4,6						
1451	1,2						

Tid i s	Hastighed (km/h)	Tid i s	Hastighed (km/h)	Tid i s	Hastighed (km/h)	Tid i s	Hastighed (km/h)
1452	0,0						
1453	0,0						
1454	0,0						
1455	0,0						

Tabel A1/11

WLTC, gruppe 3b-cyklus, høj-fase$_{3b}$ (sekund 1022 er begyndelsen på denne fase)

Tid i s	Hastighed (km/h)	Tid i s	Hastighed (km/h)	Tid i s	Hastighed (km/h)	Tid i s	Hastighed (km/h)
1023	0,0	1070	26,4	1117	69,7	1164	52,6
1024	0,0	1071	28,8	1118	69,3	1165	54,5
1025	0,0	1072	31,8	1119	68,1	1166	56,6
1026	0,0	1073	35,3	1120	66,9	1167	58,3
1027	0,8	1074	39,5	1121	66,2	1168	60,0
1028	3,6	1075	44,5	1122	65,7	1169	61,5
1029	8,6	1076	49,3	1123	64,9	1170	63,1
1030	14,6	1077	53,3	1124	63,2	1171	64,3
1031	20,0	1078	56,4	1125	60,3	1172	65,7
1032	24,4	1079	58,9	1126	55,8	1173	67,1
1033	28,2	1080	61,2	1127	50,5	1174	68,3
1034	31,7	1081	62,6	1128	45,2	1175	69,7
1035	35,0	1082	63,0	1129	40,1	1176	70,6
1036	37,6	1083	62,5	1130	36,2	1177	71,6
1037	39,7	1084	60,9	1131	32,9	1178	72,6
1038	41,5	1085	59,3	1132	29,8	1179	73,5
1039	43,6	1086	58,6	1133	26,6	1180	74,2
1040	46,0	1087	58,6	1134	23,0	1181	74,9
1041	48,4	1088	58,7	1135	19,4	1182	75,6
1042	50,5	1089	58,8	1136	16,3	1183	76,3
1043	51,9	1090	58,8	1137	14,6	1184	77,1
1044	52,6	1091	58,8	1138	14,2	1185	77,9
1045	52,8	1092	59,1	1139	14,3	1186	78,5
1046	52,9	1093	60,1	1140	14,6	1187	79,0
1047	53,1	1094	61,7	1141	15,1	1188	79,7
1048	53,3	1095	63,0	1142	16,4	1189	80,3
1049	53,1	1096	63,7	1143	19,1	1190	81,0
1050	52,3	1097	63,9	1144	22,5	1191	81,6
1051	50,7	1098	63,5	1145	24,4	1192	82,4

Tid i s	Hastighed (km/h)	Tid i s	Hastighed (km/h)	Tid i s	Hastighed (km/h)	Tid i s	Hastighed (km/h)
1052	48,8	1099	62,3	1146	24,8	1193	82,9
1053	46,5	1100	60,3	1147	22,7	1194	83,4
1054	43,8	1101	58,9	1148	17,4	1195	83,8
1055	40,3	1102	58,4	1149	13,8	1196	84,2
1056	36,0	1103	58,8	1150	12,0	1197	84,7
1057	30,7	1104	60,2	1151	12,0	1198	85,2
1058	25,4	1105	62,3	1152	12,0	1199	85,6
1059	21,0	1106	63,9	1153	13,9	1200	86,3
1060	16,7	1107	64,5	1154	17,7	1201	86,8
1061	13,4	1108	64,4	1155	22,8	1202	87,4
1062	12,0	1109	63,5	1156	27,3	1203	88,0
1063	12,1	1110	62,0	1157	31,2	1204	88,3
1064	12,8	1111	61,2	1158	35,2	1205	88,7
1065	15,6	1112	61,3	1159	39,4	1206	89,0
1066	19,9	1113	62,6	1160	42,5	1207	89,3
1067	23,4	1114	65,3	1161	45,4	1208	89,8
1068	24,6	1115	68,0	1162	48,2	1209	90,2
1069	25,2	1116	69,4	1163	50,3	1210	90,6
1211	91,0	1260	95,7	1309	75,9	1358	68,2
1212	91,3	1261	95,5	1310	75,9	1359	66,1
1213	91,6	1262	95,3	1311	75,8	1360	63,8
1214	91,9	1263	95,2	1312	75,7	1361	61,6
1215	92,2	1264	95,0	1313	75,5	1362	60,2
1216	92,8	1265	94,9	1314	75,2	1363	59,8
1217	93,1	1266	94,7	1315	75,0	1364	60,4
1218	93,3	1267	94,5	1316	74,7	1365	61,8
1219	93,5	1268	94,4	1317	74,1	1366	62,6
1220	93,7	1269	94,4	1318	73,7	1367	62,7
1221	93,9	1270	94,3	1319	73,3	1368	61,9
1222	94,0	1271	94,3	1320	73,5	1369	60,0
1223	94,1	1272	94,1	1321	74,0	1370	58,4
1224	94,3	1273	93,9	1322	74,9	1371	57,8
1225	94,4	1274	93,4	1323	76,1	1372	57,8
1226	94,6	1275	92,8	1324	77,7	1373	57,8
1227	94,7	1276	92,0	1325	79,2	1374	57,3
1228	94,8	1277	91,3	1326	80,3	1375	56,2
1229	95,0	1278	90,6	1327	80,8	1376	54,3
1230	95,1	1279	90,0	1328	81,0	1377	50,8

Tid i s	Hastighed (km/h)	Tid i s	Hastighed (km/h)	Tid i s	Hastighed (km/h)	Tid i s	Hastighed (km/h)
1231	95,3	1280	89,3	1329	81,0	1378	45,5
1232	95,4	1281	88,7	1330	81,0	1379	40,2
1233	95,6	1282	88,1	1331	81,0	1380	34,9
1234	95,7	1283	87,4	1332	81,0	1381	29,6
1235	95,8	1284	86,7	1333	80,9	1382	27,3
1236	96,0	1285	86,0	1334	80,6	1383	29,3
1237	96,1	1286	85,3	1335	80,3	1384	32,9
1238	96,3	1287	84,7	1336	80,0	1385	35,6
1239	96,4	1288	84,1	1337	79,9	1386	36,7
1240	96,6	1289	83,5	1338	79,8	1387	37,6
1241	96,8	1290	82,9	1339	79,8	1388	39,4
1242	97,0	1291	82,3	1340	79,8	1389	42,5
1243	97,2	1292	81,7	1341	79,9	1390	46,5
1244	97,3	1293	81,1	1342	80,0	1391	50,2
1245	97,4	1294	80,5	1343	80,4	1392	52,8
1246	97,4	1295	79,9	1344	80,8	1393	54,3
1247	97,4	1296	79,4	1345	81,2	1394	54,9
1248	97,4	1297	79,1	1346	81,5	1395	54,9
1249	97,3	1298	78,8	1347	81,6	1396	54,7
1250	97,3	1299	78,5	1348	81,6	1397	54,1
1251	97,3	1300	78,2	1349	81,4	1398	53,2
1252	97,3	1301	77,9	1350	80,7	1399	52,1
1253	97,2	1302	77,6	1351	79,6	1400	50,7
1254	97,1	1303	77,3	1352	78,2	1401	49,1
1255	97,0	1304	77,0	1353	76,8	1402	47,4
1256	96,9	1305	76,7	1354	75,3	1403	45,2
1257	96,7	1306	76,0	1355	73,8	1404	41,8
1258	96,4	1307	76,0	1356	72,1	1405	36,5
1259	96,1	1308	76,0	1357	70,2	1406	31,2
1407	27,6	1456	0,0				
1408	26,9	1457	0,0				
1409	27,3	1458	0,0				
1410	27,5	1459	0,0				
1411	27,4	1460	0,0				
1412	27,1	1461	0,0				

Tid i s	Hastighed (km/h)	Tid i s	Hastighed (km/h)	Tid i s	Hastighed (km/h)	Tid i s	Hastighed (km/h)
1413	26,7	1462	0,0				
1414	26,8	1463	0,0				
1415	28,2	1464	0,0				
1416	31,1	1465	0,0				
1417	34,8	1466	0,0				
1418	38,4	1467	0,0				
1419	40,9	1468	0,0				
1420	41,7	1469	0,0				
1421	40,9	1470	0,0				
1422	38,3	1471	0,0				
1423	35,3	1472	0,0				
1424	34,3	1473	0,0				
1425	34,6	1474	0,0				
1426	36,3	1475	0,0				
1427	39,5	1476	0,0				
1428	41,8	1477	0,0				
1429	42,5						
1430	41,9						
1431	40,1						
1432	36,6						
1433	31,3						
1434	26,0						
1435	20,6						
1436	19,1						
1437	19,7						
1438	21,1						
1439	22,0						
1440	22,1						
1441	21,4						
1442	19,6						
1443	18,3						
1444	18,0						
1445	18,3						
1446	18,5						
1447	17,9						
1448	15,0						
1449	9,9						

Tid i s	Hastighed (km/h)	Tid i s	Hastighed (km/h)	Tid i s	Hastighed (km/h)	Tid i s	Hastighed (km/h)
1450	4,6						
1451	1,2						
1452	0,0						
1453	0,0						
1454	0,0						
1455	0,0						

Tabel A1/12

Denne tabel finder kun anvendelse på niveau 1A og niveau 2 (fase 4 WLTP-prøvning)

WLTC, gruppe 3-cyklus, ekstra høj-fase$_3$ (sekund 1477 er begyndelsen på denne fase)

Tid i s	Hastighed (km/h)	Tid i s	Hastighed (km/h)	Tid i s	Hastighed (km/h)	Tid i s	Hastighed (km/h)
1478	0,0	1525	72,5	1572	120,7	1619	113,0
1479	2,2	1526	70,8	1573	121,8	1620	114,1
1480	4,4	1527	68,6	1574	122,6	1621	115,1
1481	6,3	1528	66,2	1575	123,2	1622	115,9
1482	7,9	1529	64,0	1576	123,6	1623	116,5
1483	9,2	1530	62,2	1577	123,7	1624	116,7
1484	10,4	1531	60,9	1578	123,6	1625	116,6
1485	11,5	1532	60,2	1579	123,3	1626	116,2
1486	12,9	1533	60,0	1580	123,0	1627	115,2
1487	14,7	1534	60,4	1581	122,5	1628	113,8
1488	17,0	1535	61,4	1582	122,1	1629	112,0
1489	19,8	1536	63,2	1583	121,5	1630	110,1
1490	23,1	1537	65,6	1584	120,8	1631	108,3
1491	26,7	1538	68,4	1585	120,0	1632	107,0
1492	30,5	1539	71,6	1586	119,1	1633	106,1
1493	34,1	1540	74,9	1587	118,1	1634	105,8
1494	37,5	1541	78,4	1588	117,1	1635	105,7
1495	40,6	1542	81,8	1589	116,2	1636	105,7
1496	43,3	1543	84,9	1590	115,5	1637	105,6
1497	45,7	1544	87,4	1591	114,9	1638	105,3
1498	47,7	1545	89,0	1592	114,5	1639	104,9
1499	49,3	1546	90,0	1593	114,1	1640	104,4
1500	50,5	1547	90,6	1594	113,9	1641	104,0
1501	51,3	1548	91,0	1595	113,7	1642	103,8
1502	52,1	1549	91,5	1596	113,3	1643	103,9

Tid i s	Hastighed (km/h)	Tid i s	Hastighed (km/h)	Tid i s	Hastighed (km/h)	Tid i s	Hastighed (km/h)
1503	52,7	1550	92,0	1597	112,9	1644	104,4
1504	53,4	1551	92,7	1598	112,2	1645	105,1
1505	54,0	1552	93,4	1599	111,4	1646	106,1
1506	54,5	1553	94,2	1600	110,5	1647	107,2
1507	55,0	1554	94,9	1601	109,5	1648	108,5
1508	55,6	1555	95,7	1602	108,5	1649	109,9
1509	56,3	1556	96,6	1603	107,7	1650	111,3
1510	57,2	1557	97,7	1604	107,1	1651	112,7
1511	58,5	1558	98,9	1605	106,6	1652	113,9
1512	60,2	1559	100,4	1606	106,4	1653	115,0
1513	62,3	1560	102,0	1607	106,2	1654	116,0
1514	64,7	1561	103,6	1608	106,2	1655	116,8
1515	67,1	1562	105,2	1609	106,2	1656	117,6
1516	69,2	1563	106,8	1610	106,4	1657	118,4
1517	70,7	1564	108,5	1611	106,5	1658	119,2
1518	71,9	1565	110,2	1612	106,8	1659	120,0
1519	72,7	1566	111,9	1613	107,2	1660	120,8
1520	73,4	1567	113,7	1614	107,8	1661	121,6
1521	73,8	1568	115,3	1615	108,5	1662	122,3
1522	74,1	1569	116,8	1616	109,4	1663	123,1
1523	74,0	1570	118,2	1617	110,5	1664	123,8
1524	73,6	1571	119,5	1618	111,7	1665	124,4
1666	125,0	1715	127,7	1764	82,0		
1667	125,4	1716	128,1	1765	81,3		
1668	125,8	1717	128,5	1766	80,4		
1669	126,1	1718	129,0	1767	79,1		
1670	126,4	1719	129,5	1768	77,4		
1671	126,6	1720	130,1	1769	75,1		
1672	126,7	1721	130,6	1770	72,3		
1673	126,8	1722	131,0	1771	69,1		
1674	126,9	1723	131,2	1772	65,9		
1675	126,9	1724	131,3	1773	62,7		
1676	126,9	1725	131,2	1774	59,7		
1677	126,8	1726	130,7	1775	57,0		
1678	126,6	1727	129,8	1776	54,6		

Tid i s	Hastighed (km/h)	Tid i s	Hastighed (km/h)	Tid i s	Hastighed (km/h)	Tid i s	Hastighed (km/h)
1679	126,3	1728	128,4	1777	52,2		
1680	126,0	1729	126,5	1778	49,7		
1681	125,7	1730	124,1	1779	46,8		
1682	125,6	1731	121,6	1780	43,5		
1683	125,6	1732	119,0	1781	39,9		
1684	125,8	1733	116,5	1782	36,4		
1685	126,2	1734	114,1	1783	33,2		
1686	126,6	1735	111,8	1784	30,5		
1687	127,0	1736	109,5	1785	28,3		
1688	127,4	1737	107,1	1786	26,3		
1689	127,6	1738	104,8	1787	24,4		
1690	127,8	1739	102,5	1788	22,5		
1691	127,9	1740	100,4	1789	20,5		
1692	128,0	1741	98,6	1790	18,2		
1693	128,1	1742	97,2	1791	15,5		
1694	128,2	1743	95,9	1792	12,3		
1695	128,3	1744	94,8	1793	8,7		
1696	128,4	1745	93,8	1794	5,2		
1697	128,5	1746	92,8	1795	0,0		
1698	128,6	1747	91,8	1796	0,0		
1699	128,6	1748	91,0	1797	0,0		
1700	128,5	1749	90,2	1798	0,0		
1701	128,3	1750	89,6	1799	0,0		
1702	128,1	1751	89,1	1800	0,0		
1703	127,9	1752	88,6				
1704	127,6	1753	88,1				
1705	127,4	1754	87,6				
1706	127,2	1755	87,1				
1707	127,0	1756	86,6				
1708	126,9	1757	86,1				
1709	126,8	1758	85,5				
1710	126,7	1759	85,0				
1711	126,8	1760	84,4				
1712	126,9	1761	83,8				
1713	127,1	1762	83,2				
1714	127,4	1763	82,6				

7. Cyklusidentifikation

Med henblik på at bekræfte, at den rigtige cyklusversion er valgt, eller at den rigtige cyklus er implementeret i prøvebænkens styresystem, er der angivet kontrolsummer for køretøjets hastighed for faser af cyklussen og for hele cyklussen i tabel A1/13.

Tabel A1/13

Kontrolsummer for ekstra høj-fasen i denne tabel finder kun anvendelse på niveau 1A og niveau 2 (fase 4 WLTP-prøvning)

1 Hz-kontrolsummer

Cyklusgruppe	Cyklusfase	Kontrolsum for 1 Hz målhastigheder for køretøjet
Gruppe 1	"Lav"	11 988,4
	"Medium"	17 162,8
	"Lav"	11 988,4
	I alt	41 139,6
Gruppe 2	"Lav"	11 162,2
	"Medium"	17 054,3
	"Høj"	24 450,6
	"Ekstra høj"	28 869,8
	I alt	81 536,9
Gruppe 3a	"Lav"	11 140,3
	"Medium"	16 995,7
	"Høj"	25 646,0
	"Ekstra høj"	29 714,9
	I alt	83 496,9
Gruppe 3b	"Lav"	11 140,3
	"Medium"	17 121,2
	"Høj"	25 782,2
	"Ekstra høj"	29 714,9
	I alt	83 758,6

8. Cyklusændring

Dette punkt gælder ikke for OVC-HEV'er, NOVC-HEV'er og NOVC-FCHV'er.

På fabrikantens anmodning og med den kompetente myndigheds godkendelse kan den nedskaleringsprocedure, der er beskrevet i punkt 8.2 i dette bilag, dog anvendes til en NOVC-HEV, idet motorens maksimale mærkeeffekt benyttes som køretøjets maksimale motoreffektværdi under den gældende WLTP-prøvningscyklus, hvis den elektriske maskine ikke påvirker køretøjets maksimale effekt.

Hvis spændingen i REESS-drivsystemet for en NOVC-HEV er mindre end 60 V, skal fabrikanten forelægge den kompetente myndighed teknisk dokumentation for, at den elektriske maskine ikke påvirker køretøjets maksimale effekt under den gældende WLTP-prøvningscyklus.

Hvis spændingen i REESS-drivsystemet for en NOVC-HEV er lig med eller større end 60 V, skal fabrikanten over for den kompetente myndighed påvise, at den elektriske maskine ikke påvirker køretøjets maksimale effekt under den gældende WLTP-prøvningscyklus. Eksempler herpå kan omfatte: drejningsmoment-/effektprofiler for motoren og den elektriske maskine, indhyllingskurver for den elektriske maskines drift, effektkurver, eller anden relevant information til påvisning af effekt.

8.1. Generelle bemærkninger

Der kan opstå problemer med hensyn til køreegenskaberne for køretøjer med effekt-masseforhold, der ligger tæt på grænsen mellem gruppe 1- og gruppe 2-køretøjer eller mellem gruppe 2- og gruppe 3-køretøjer samt for køretøjer med meget lav effekt i gruppe 1.

Da disse problemer hovedsagelig vedrører cyklusfaser med en kombination af høj hastighed og høje accelerationer, snarere end den maksimale hastighed i cyklussen, anvendes nedskaleringsmetoden til at forbedre køreegenskaberne.

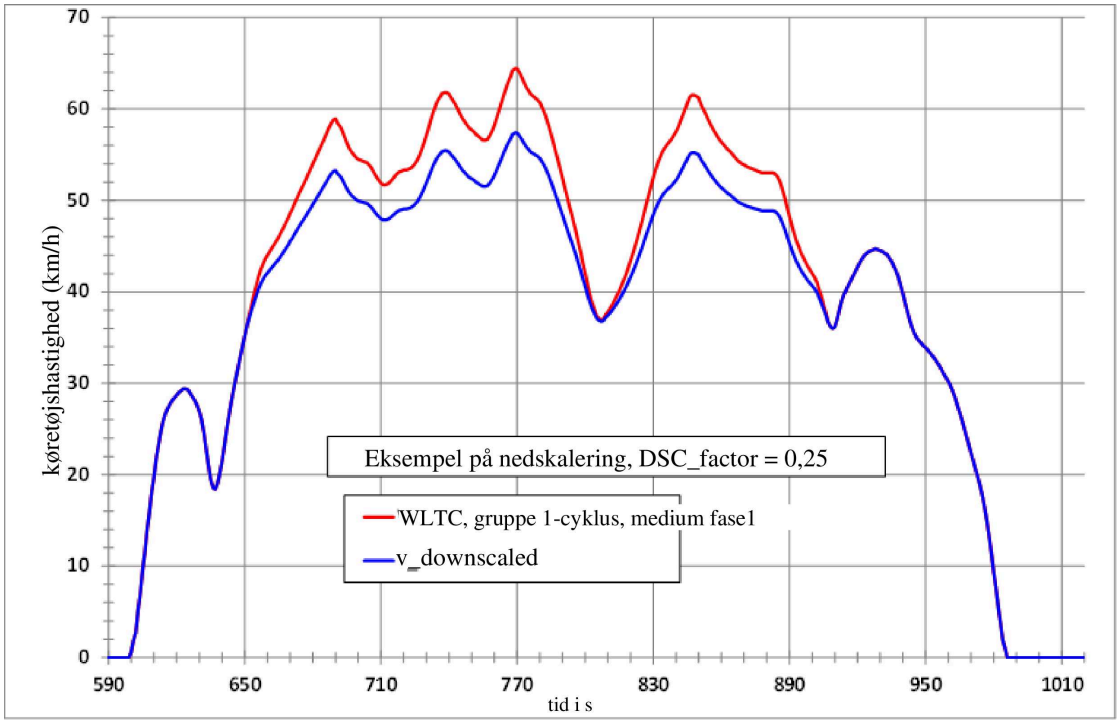
8.2. I dette punkt beskrives metoden til at ændre cyklussprofilen ved hjælp af nedskaleringsmetoden. De ændrede kørehastighedsværdier beregnet i overensstemmelse med punkt 8.2.1 til 8.2.3 afrundes i overensstemmelse med punkt 6.1.8 i dette regulativ til én decimal i et sidste trin.

8.2.1. Nedskaleringsmetode for gruppe 1-cyklusser

I figur A1/14 er der som eksempel vist en nedskaleret fase med medium hastighed for gruppe 1-køretøjer i WLTC.

Figur A1/14

Nedskaleret fase med medium hastighed for gruppe 1-køretøjer i WLTC



For gruppe 1-cyklussen er nedskaleringsperioden tiden mellem sekund 651 og sekund 906. Inden for denne periode skal accelerationen for den oprindelige cyklus beregnes ved hjælp af følgende ligning:

$$\mathbf{a_{orig_i}} = \frac{\mathbf{v_{i+1}} - \mathbf{v_i}}{\mathbf{3.6}}$$

hvor:

$\mathbf{v_i}$ er køretøjets hastighed i km/h

i er den tid, der går mellem sekund 651 og sekund 906.

Nedskaleringen anvendes først i perioden mellem sekund 651 og sekund 848. Den nedskalerede hastighedskurve skal derefter beregnes ved hjælp af følgende ligning:

$$\mathbf{v_{dsc_{i+1}}} = \mathbf{v_{dsc_i}} + \mathbf{a_{orig_i}} \times (\mathbf{1} - \mathbf{f_{dsc}}) \times \mathbf{3.6}$$

med $\mathbf{i} = \mathbf{651to847}$.

For $\mathbf{i} = \mathbf{651}$, $\mathbf{v_{dsc_i}} = \mathbf{v_{orig_i}}$.

Med henblik på at nå den oprindelige køretøjshastighed ved sekund 907 beregnes en korrektionsfaktor for decelerationen ved hjælp af følgende ligning:

$$\mathbf{f_{corr_dec}} = \frac{\mathbf{v_{dsc_848}} - \mathbf{36.7}}{\mathbf{v_{orig_848-}} - \mathbf{36.7}}$$

hvor 36,7 km/h er den oprindelige køretøjshastighed ved sekund 907.

Den nedskalerede køretøjshastighed mellem sekund 849 og sekund 906 beregnes efterfølgende ved hjælp af følgende ligning:

$$\mathbf{v_{dsc_i}} = \mathbf{v_{dsc_{i-1}}} + \mathbf{a_{orig_{i-1}}} \times \mathbf{f_{corr_dec}} \times \mathbf{3.6}$$

For $\mathbf{i} = \mathbf{849to906}$.

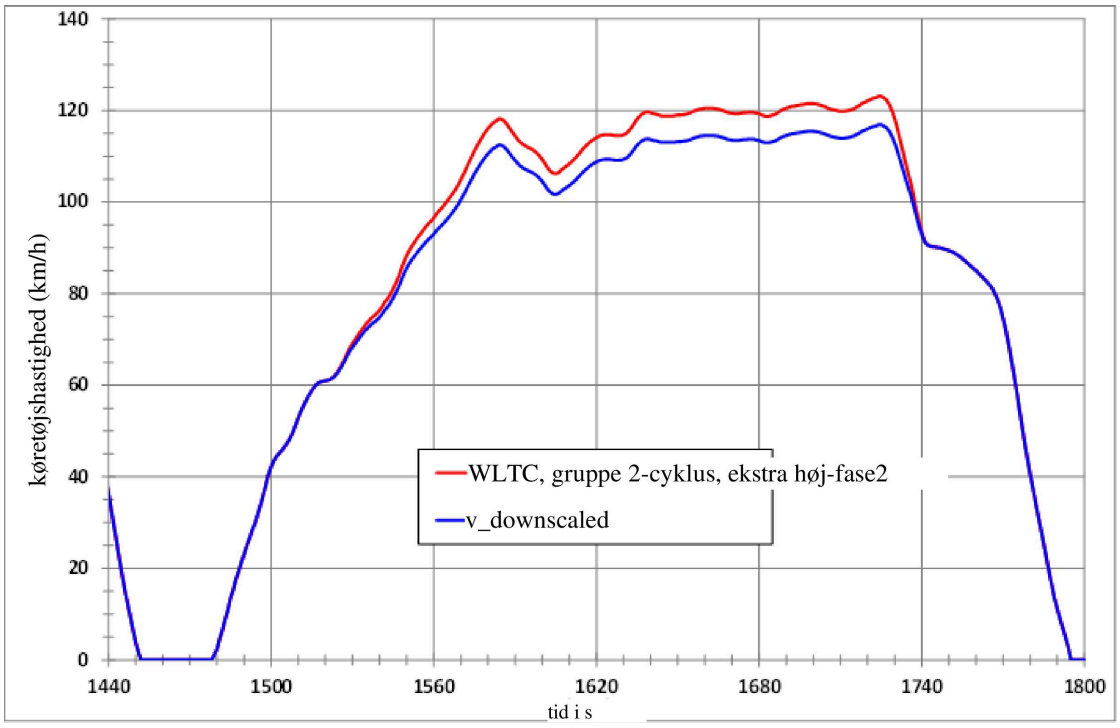
8.2.2. Nedskaleringsmetode for gruppe 2-køretøjer

Dette punkt finder kun anvendelse på niveau 1A og niveau 2

Da køreegenskabsproblemer udelukkende er forbundet med ekstrahøjhastighedsfaser for gruppe 2- og gruppe 3-cyklusser, vedrører nedskaleringen de tidsafsnit af faser med ekstra høj hastighed, hvor køreegenskabsproblemerne forventes at forekomme (se figur A1/15 og A1/16).

Figur A1/15

Nedskaleret fase med ekstrahøj hastighed for gruppe 2-køretøjer i WLTC



For gruppe 2-cyklussen er nedskaleringsperioden tiden mellem sekund 1520 og sekund 1742. Inden for denne periode skal accelerationen for den oprindelige cyklus beregnes ved hjælp af følgende ligning:

$$\mathbf{a_{orig_i}} = \frac{\mathbf{v_{i+1}} - \mathbf{v_i}}{\mathbf{3.6}}$$

hvor:

$\mathbf{v_i}$ er køretøjets hastighed i km/h

i er den tid, der går mellem sekund 1520 og sekund 1742.

Nedskaleringen anvendes først i perioden mellem sekund 1520 og sekund 1725. Sekund 1725 er det tidspunkt, hvor den maksimale hastighed under fasen med ekstrahøj hastighed nås. Den nedskalerede hastighedskurve skal derefter beregnes ved hjælp af følgende ligning:

$$\mathbf{v_{dsc_{i+1}}} = \mathbf{v_{dsc_i}} + \mathbf{a_{orig_i}} \times (\mathbf{1} - \mathbf{f_{dsc}}) \times \mathbf{3.6}$$

for $\mathbf{i} = \mathbf{1520to1724}$.

For $\mathbf{i} = \mathbf{1520}$, $\mathbf{v_{dsc_i}} = \mathbf{v_{orig_i}}$.

Med henblik på at nå den oprindelige køretøjshastighed ved sekund 1743 beregnes en korrektionsfaktor for decelerationen ved hjælp af følgende ligning:

$$\mathbf{f_{corr_dec}} = \frac{\mathbf{v_{dsc_1725}} - \mathbf{90.4}}{\mathbf{v_{orig_1725}} - \mathbf{90.4}}$$

hvor 90,4 km/h er den oprindelige køretøjshastighed ved sekund 1743.

Den nedskalerede køretøjshastighed mellem sekund 1726 og sekund 1742 beregnes ved hjælp af følgende ligning:

$$\mathbf{v_{dsc_i} = v_{dsc_{i-1}} + a_{orig_{i-1}} \times f_{corr_dec} \times 3.6}$$

for $\mathbf{i = 1726to1742}$.

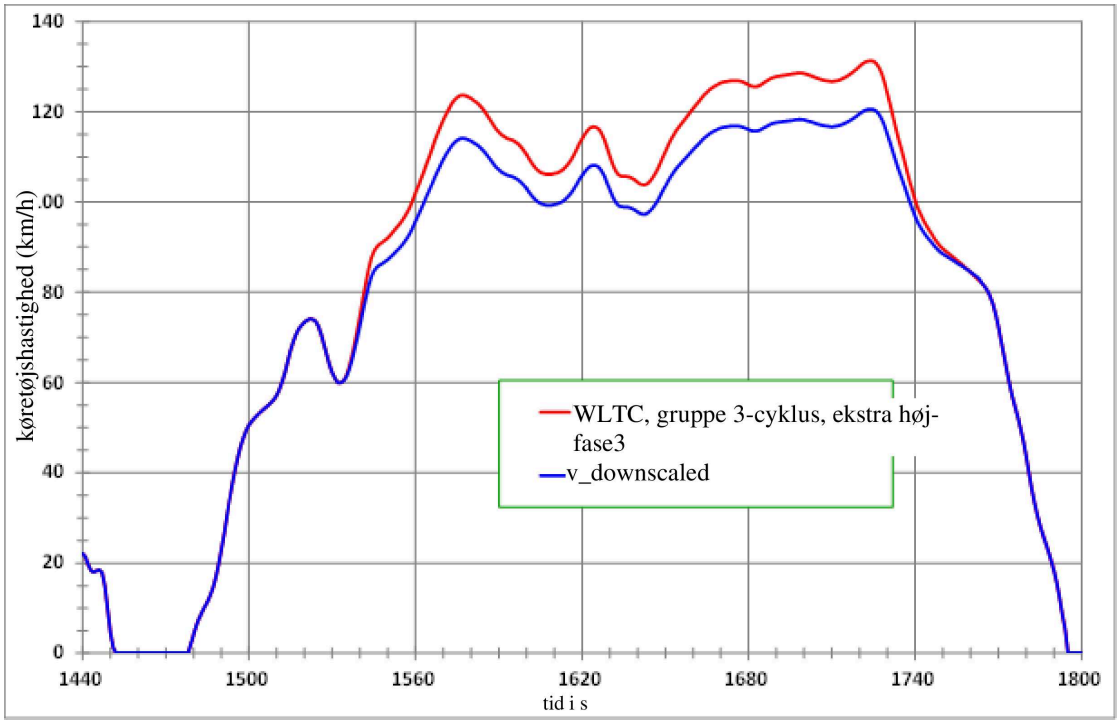
8.2.3. Nedskaleringsmetode for gruppe 3-køretøjer

Dette punkt finder kun anvendelse på niveau 1A og niveau 2

I figur A1/16 er der som eksempel vist en nedskaleret fase med ekstrahøj hastighed for gruppe 3-køretøjer i WLTC.

Figur A1/16

Nedskaleret fase med ekstrahøj hastighed for gruppe 3-køretøjer i WLTC



For gruppe 3-cyklussen er nedskaleringsperioden tiden mellem sekund 1533 og sekund 1762. Inden for denne periode skal accelerationen for den oprindelige cyklus beregnes ved hjælp af følgende ligning:

$$\mathbf{a_{orig_i} = \frac{v_{i+1} - v_i}{3.6}}$$

hvor:

$\mathbf{v_i}$ er køretøjets hastighed i km/h

i er den tid, der går mellem sekund 1533 og sekund 1762.

Nedskaleringen anvendes først i perioden mellem sekund 1533 og sekund 1724. Sekund 1724 er det tidspunkt, hvor den maksimale hastighed under fasen med ekstrahøj hastighed nås. Den nedskalerede hastighedskurve skal derefter beregnes ved hjælp af følgende ligning:

$$\mathbf{v_{dsc_{i+1}} = v_{dsc_i} + a_{orig_i} \times (1 - f_{dsc}) \times 3.6}$$

For $\mathbf{i = 1533 to 1723}$.

For $\mathbf{i = 1533}$, $\mathbf{v_{dsc_i} = v_{orig_i}}$.

Med henblik på at nå den oprindelige køretøjshastighed ved sekund 1763 beregnes en korrektionsfaktor for decelerationen ved hjælp af følgende ligning:

$$\mathbf{f_{corr_dec} = \frac{v_{dsc_1724} - 82.6}{v_{orig_1724} - 82.6}}$$

hvor 82,6 km/h er den oprindelige køretøjshastighed ved sekund 1763.

Den nedskalerede køretøjshastighed mellem sekund 1725 og sekund 1762 beregnes efterfølgende ved hjælp af følgende ligning:

$$\mathbf{v_{dsc_i} = v_{dsc_{i-1}} + a_{orig_{i-1}} \times f_{corr_dec} \times 3.6}$$

For $\mathbf{i = 1725 to 1762}$.

8.3. Bestemmelse af nedskaleringssfaktor (hvis relevant)

Nedskaleringsfaktoren $\mathbf{f_{dsc}}$ er en funktion af forholdet $\mathbf{r_{max}}$ mellem den foreskrevne maksimale effekt for de af cyklussens faser, hvor nedskaleringen skal anvendes, og køretøjets nominelle effekt, $\mathbf{P_{rated}}$.

Den foreskrevne maksimale effekt $\mathbf{P_{req,\ max,\ i}}$ (i kW) vedrører et bestemt tidspunkt i og den hertil svarende køretøjshastighed v_i i cyklussens hastighedskurve og beregnes ved hjælp af følgende ligning:

$$\mathbf{P_{req,max,i} = \frac{\left((f_0 \times v_i) + (f_1 \times v_i^2) + (f_2 \times v_i^3) + (1.03 \times TM \times v_i \times a_i)\right)}{3600}}$$

hvor:

$\mathbf{f_0}$, $\mathbf{f_1}$, $\mathbf{f_2}$	er de relevante køremodstandskoefficienter, hhv. N, N/(km/h) og N/(km/h)²
TM	er den relevante prøvningsmasse i kg
v_i	er hastigheden på tidspunktet i (km/h)
a_i	er accelerationen på tidspunkt i (m/s²).

Cyklustidspunktet i, hvorved den maksimale effekt eller effektværdier, der ligger tæt på den maksimale effekt, kræves, er sekund 764 for gruppe 1-cyklussen, sekund 1574 for gruppe 2-cyklussen og sekund 1566 for gruppe 3-cyklussen.

De tilsvarende kørehastighedsværdier $\mathbf{v_i}$, og accelerationsværdier $\mathbf{a_i}$ er som følger:

$\mathbf{v_i = 61.4}$ km/h, $\mathbf{a_i = 0.22}$ m/s² for gruppe 1

$\mathbf{v_i = 109.9}$ km/h, $\mathbf{a_i = 0.36}$ m/s² for gruppe 2

$\mathbf{v_i = 111.9}$ km/h, $\mathbf{a_i = 0.50}$ m/s² for gruppe 3.

$\mathbf{r_{max}}$ beregnes ved hjælp af følgende ligning:

$$\mathbf{r_{max} = \frac{P_{req,max,i}}{P_{rated}}}$$

Nedskaleringsfaktoren, $\mathbf{f_{dsc}}$, beregnes ved hjælp af følgende ligninger:

$$\text{hvis } \mathbf{r_{max}} < \mathbf{r_0}, \text{ så } \mathbf{f_{dsc}} = \mathbf{0}$$

og ingen nedskalering anvendes.

Hvis $\mathbf{r_{max}} \geq \mathbf{r_0}$, så $\mathbf{f_{dsc}} = \mathbf{a_1} \times \mathbf{r_{max}} + \mathbf{b_1}$.

Beregningsparametrene/-koefficienterne, $\mathbf{r}_0$, $\mathbf{a}_1$ og $\mathbf{b}_1$, er som følger:

Gruppe 1 $\mathbf{r_0 = 0.978}$, $\mathbf{a_1 = 0.680}$, $\mathbf{b_1 = -0.665}$

Gruppe 2 $\mathbf{r_0 = 0.866}$, $\mathbf{a_1 = 0.606}$, $\mathbf{b_1 = -0.525}$.

Gruppe 3 $\mathbf{r_0 = 0.867}$, $\mathbf{a_1 = 0.588}$ $\mathbf{b_1 = -0.510}$.

Den resulterende $\mathbf{f_{dsc}}$ afrundes i overensstemmelse med punkt 6.1.8 i dette regulativ til tre decimaler og anvendes kun, hvis den overstiger 0,010.

Følgende data registreres:

a) f_{dsc}

b) v_{max}

c) d_{cycle} (kørt distance), m.

Distancen beregnes ved hjælp af følgende ligning:

$$d_{cycle} = \sum\left(\frac{(\mathbf{v_i} + \mathbf{v_{i-1}})}{\mathbf{2 \times 3.6}} \times (\mathbf{t_i} - \mathbf{t_{i-1}})\right), \text{ for}$$

$i = t_{start} + 1$ til t_{end}

t_{start} er det tidspunkt, hvor den relevante prøvningscyklus begynder (jf. punkt 3 i dette bilag), s.

t_{end} er det tidspunkt, hvor den relevante prøvningscyklus slutter (jf. punkt 3 i dette bilag), s.

8.4. Yderligere krav (hvis relevant)

Nedskalering anvendes individuelt for forskellige køretøjskonfigurationer med hensyn til prøvningsmasse og køremodstandskoefficienter.

Hvis køretøjets maksimalhastighed efter anvendelse af nedskalering er lavere end maksimalhastigheden i prøvningscyklussen, anvendes den i punkt 9 i dette bilag beskrevne proces på den gældende cyklus.

Hvis køretøjet ikke kan følge hastighedskurven for den gældende cyklus inden for tolerancen ved hastigheder lavere end sin maksimalhastighed, skal det køres med speederen fuldt aktiveret i disse perioder. I sådanne driftperioder skal overtrædelse af hastighedskurven være tilladt.

9. Cyklusændringer for køretøjer med en maksimalhastighed, som er lavere end den maksimale hastighed for den cyklus, der er specificeret i de foregående punkt af dette bilag

9.1. Generelle bemærkninger

Dette punkt finder anvendelse på køretøjer, som teknisk er i stand til at følge hastighedskurven for den gældende cyklus, der er specificeret i punkt 1 i dette bilag (basiscyklus) ved hastigheder, der er lavere end dens maksimale hastighed, men hvis maksimalhastighed af andre grunde er lavere end den maksimale hastighed for basiscyklus. Med henblik på dette punkt betegnes den gældende cyklus, der er specificeret i punkt 1, som "basiscyklus" og anvendes til at bestemme cyklussen med hastighedsloft.

I de tilfælde, hvor der anvendes nedskalering i overensstemmelse med punkt 8.2 i dette bilag, anvendes den nedskalerede cyklus som basiscyklus.

Den maksimale hastighed i basiscyklussen benævnes $v_{max,\ cycle}$.

Køretøjets maksimalhastighed benævnes dets hastighedsloft, v_{cap}.

Hvis v_{cap} anvendes på et køretøj i gruppe 3b, anvendes gruppe 3b-cyklus som defineret i punkt 3.3.2 i dette bilag som basiscyklus. Dette gælder også, når v_{cap} er lavere end 120 km/h.

I tilfælde, hvor v_{cap} anvendes, ændres basiscyklus som beskrevet i punkt 9.2 i dette bilag for at opnå samme cyklusdistance for cyklussen med hastighedsloft som for basiscyklus.

9.2. Trin i beregningen

9.2.1. Bestemmelse af distancedifference pr. cyklusfase

En midlertidig cyklus med hastighedsloft udledes ved at erstatte alle køretøjets hastighedsprøver v_i, hvor $v_i > v_{cap}$ med v_{cap}.

9.2.1.1. Hvis $v_{cap} < v_{max,medium}$, beregnes distancerne i mellemhastighedsfaserne i basiscyklussen, $d_{base,medium}$, og den midlertidige cyklus med hastighedsloft, $d_{cap,medium}$, ved hjælp af følgende ligning for begge cyklusser:

$$d_{medium} = \sum\left(\frac{(v_i + v_{i-1})}{2 \times 3.6} \times (t_i - t_{i-1})\right), \text{ for i = 590 til 1022}$$

hvor:

$v_{max,medium}$ er køretøjets maksimale hastighed i mellemhastighedsfasen som anført i tabel A1/2 for gruppe 1-cyklussen, i tabel A1/4 for gruppe 2-cyklussen, i tabel A1/8 for gruppe 3a-cyklussen og i tabel A1/9 for gruppe 3b-cyklussen.

9.2.1.2. Hvis $v_{cap} < v_{max,high}$, beregnes distancerne i højhastighedsfaserne i basiscyklussen, $d_{base,high}$, og den midlertidige cyklus med hastighedsloft, $d_{cap,high}$, ved hjælp af følgende ligning for begge cyklusser:

$$d_{high} = \sum\left(\frac{(v_i + v_{i-1})}{2 \times 3.6} \times (t_i - t_{i-1})\right), \text{ for i = 1023 til 1477}$$

$v_{max,high}$ er køretøjets maksimale hastighed i højhastighedsfasen som anført i tabel A1/5 for gruppe 2-cyklussen, i tabel A1/10 for gruppe 3a-cyklussen og i tabel A1/11 for gruppe 3b-cyklussen.

9.2.1.3. Dette punkt finder kun anvendelse på niveau 1A og niveau 2 (fase 4 WLTP-prøvning)

Distancerne i fasen med ekstrahøj hastighed i basiscyklussen $d_{base,\ exhigh}$ og den midlertidige cyklus med hastighedsloft $d_{cap,\ exhigh}$ beregnes ved anvendelse af følgende ligning til fasen med ekstra høj hastighed i begge cyklusser:

$$d_{exhigh} = \sum\left(\frac{(v_i + v_{i-1})}{2 \times 3.6} \times (t_i - t_{i-1})\right), \text{ for i = 1478 til 1800}$$

9.2.2. Bestemmelse af de perioder, der skal tilføjes til den midlertidige cyklus med hastighedsloft for at kompensere for distanceforskelle

For at kompensere for forskellen i afstand mellem basiscyklussen og den midlertidige cyklus med hastighedsloft tilføjes hertil svarende perioder med $v_i = v_{cap}$ til den midlertidige cyklus med hastighedsloft som beskrevet i punkt 9.2.2.1 til og med 9.2.2.3 i dette bilag.

9.2.2.1. Periode føjet til mellemhastighedsfasen

Hvis $v_{cap} < v_{max,medium}$, beregnes den periode, der skal føjes til mellemhastighedsfasen af den midlertidige cyklus med hastighedsloft, ved hjælp af følgende ligning:

$$\Delta t_{medium} = \frac{(\mathbf{d_{base,medium} - d_{cap,medium}})}{\mathbf{Vcap}} \times \mathbf{3.6}$$

Antallet af tidsprøver $n_{add,medium}$, hvor $v_i = v_{cap}$, som skal tilføjes mellemhastighedsfasen af den midlertidige cyklus med hastighedsloft, er lig med Δt_{medium}, afrundet i overensstemmelse med punkt 6.1.8 i dette regulativ til nærmeste heltal.

9.2.2.2. Periode føjet til højhastighedsfasen

Hvis $v_{cap} < v_{max,high}$, beregnes den periode, som skal lægges til højhastighedsfaserne i den midlertidige cyklus med hastighedsloft, ved hjælp af følgende ligning:

$$\Delta t_{high} = \frac{(\mathbf{d_{base,high} - d_{cap,high}})}{\mathbf{Vcap}} \times \mathbf{3.6}$$

Antallet af tidsprøver $n_{add,high}$, hvor $v_i = v_{cap}$, som skal tilføjes højhastighedsfasen af den midlertidige cyklus med hastighedsloft, er lig med Δt_{high}, afrundet i overensstemmelse med punkt 6.1.8 i dette regulativ til nærmeste heltal.

9.2.2.3. Dette punkt finder kun anvendelse på niveau 1A og niveau 2 (fase 4 WLTP-prøvning)

Den periode, som skal lægges til fasen med ekstrahøj hastighed i cyklussen med hastighedsloft, beregnes ved hjælp af følgende ligning:

$$\Delta t_{exhigh} = \frac{(\mathbf{d_{base,exhigh} - d_{cap,exhigh}})}{\mathbf{Vcap}} \times \mathbf{3.6}$$

Antallet af tidsprøver $n_{add,exhigh}$, hvor $v_i = v_{cap}$, som skal tilføjes fasen med ekstrahøj hastighed af den midlertidige cyklus med hastighedsloft, er lig med Δt_{exhigh}, afrundet i overensstemmelse med punkt 6.1.8 i dette regulativ til nærmeste heltal.

9.2.3. Udformning af den endelige cyklus med begrænset hastighed

9.2.3.1. Gruppe 1-cyklus

Den første del af den endelige cyklus med hastighedsloft består af køretøjets hastighedskurve for den midlertidige cyklus med hastighedsloft frem til den sidste prøvning i mellemhastighedsfasen, hvor $v = v_{cap}$. Tidspunktet for denne prøvning benævnes t_{medium}.

Derefter tilføjes $n_{add,medium}$-prøver med $v_i = v_{cap}$, således at tidspunktet for den sidste prøvning er ($t_{medium} + n_{add,medium}$).

Den resterende del af mellemhastighedsfasen af den midlertidige cyklus med hastighedsloft, som er identisk med den samme del af basiscyklussen, tilføjes derefter, således at tidspunktet for den sidste prøvning er ($1022 + n_{add,medium}$).

9.2.3.2. Gruppe 2- og gruppe 3-cyklusser

9.2.3.2.1. $v_{cap} < v_{max,medium}$

Den første del af den endelige cyklus med hastighedsloft består af køretøjets hastighedskurve for den midlertidige cyklus med hastighedsloft frem til den sidste prøvning i mellemhastighedsfasen, hvor $v = v_{cap}$. Tidspunktet for denne prøvning benævnes t_{medium}.

Derefter tilføjes $n_{add,medium}$-prøver med $v_i = v_{cap}$, således at tidspunktet for den sidste prøvning er ($t_{medium} + n_{add,medium}$).

Den resterende del af mellemhastighedsfasen af den midlertidige cyklus med hastighedsloft, som er identisk med den samme del af basiscyklussen, tilføjes derefter, således at tidspunktet for den sidste prøvning er ($1022 + n_{add, medium}$).

I et næste trin tilføjes den første del af højhastighedsfasen i den midlertidige cyklus med hastighedsloft frem til den sidste prøvning i højhastighedsfasen hvor $v = v_{cap}$ tilføjes. Tidspunktet for denne prøvning i den midlertidige cyklus med hastighedsloft betegnes som t_{high}, således at tidspunktet for denne prøvning i den endelige cyklus med hastighedsloft er ($t_{high} + n_{add, medium}$).

Derefter tilføjes $n_{add,high}$-prøver med $v_i = v_{cap}$, således at tidspunktet for den sidste prøvning bliver ($t_{high} + n_{add, medium} + n_{add,high}$).

Den resterende del af højhastighedsfasen af den midlertidige cyklus med hastighedsloft, som er identisk med den samme del af basiscyklussen, tilføjes derefter, således at tidspunktet for den sidste prøvning er ($1477 + n_{add, medium} + n_{add, high}$).

I et næste trin tilføjes den første del af fasen med ekstrahøj hastighed (hvis relevant) i den midlertidige cyklus med hastighedsloft frem til den sidste prøvning i fasen med ekstra høj hastighed, hvor $v = v_{cap}$. Tidspunktet for denne prøvning i den midlertidige cyklus med hastighedsloft betegnes som t_{exhigh}, således at tidspunktet for denne prøvning i den endelige cyklus med hastighedsloft er ($t_{exhigh} + n_{add, medium} + n_{add, high}$).

Derefter tilføjes $n_{add,exhigh}$-prøver med $v_i = v_{cap}$, således at tidspunktet for den sidste prøvning er ($t_{exhigh} + n_{add, medium} + n_{add,high} + n_{add,exhigh}$).

Den resterende del af fasen med ekstrahøj hastighed (hvis relevant) af den midlertidige cyklus med hastighedsloft, som er identisk med den samme del af basiscyklussen, tilføjes derefter, således at tidspunktet for den sidste prøvning er ($1800 + n_{add, medium} + n_{add, high} + n_{add,exhigh}$).

Længden af den endelige cyklus med hastighedsloft svarer til længden af basiscyklussen bortset fra forskelle, som skyldes afrunding i overensstemmelse med punkt 6.1.8 i dette regulativ for $n_{add,medium}$, $n_{add,high}$ og $n_{add,exhigh}$.

9.2.3.2.2. $v_{max, medium} \leq v_{cap} < v_{max, high}$

Den første del af den endelige cyklus med hastighedsloft består af køretøjets hastighedskurve for den midlertidige cyklus med hastighedsloft frem til den sidste prøvning i højhastighedsfasen, hvor $v = v_{cap}$. Tidspunktet for denne prøvning benævnes t_{high}.

Derefter tilføjes $n_{add,high}$-prøver med $v_i = v_{cap}$, således at tidspunktet for den sidste prøvning er ($t_{high} + n_{add,high}$).

Den resterende del af højhastighedsfasen af den midlertidige cyklus med hastighedsloft, som er identisk med den samme del af basiscyklussen, tilføjes derefter, således at tidspunktet for den sidste prøvning er ($1477 + n_{add, high}$).

I et næste trin tilføjes den første del af fasen med ekstrahøj hastighed (hvis relevant) i den midlertidige cyklus med hastighedsloft frem til den sidste prøvning i fasen med ekstra høj hastighed, hvor $v = v_{cap}$. Tidspunktet for denne prøvning i den midlertidige cyklus med hastighedsloft betegnes som t_{exhigh}, således at tidspunktet for denne prøvning i den endelige cyklus med hastighedsloft er ($t_{exhigh} + n_{add, high}$).

Derefter tilføjes $n_{add,exhigh}$-prøver med $v_i = v_{cap}$, således at tidspunktet for den sidste prøvning er ($t_{exhigh} + n_{add,high} + n_{add,exhigh}$).

Den resterende del af fasen med ekstra høj hastighed (hvis relevant) af den midlertidige cyklus med hastighedsloft, som er identisk med den samme del af basiscyklussen, tilføjes derefter, således at tidspunktet for den sidste prøvning er ($1800 + n_{add, high} + n_{add, exhigh}$).

Længden af den endelige cyklus med hastighedsloft svarer til længden af basiscyklussen bortset fra forskelle, som skyldes afrunding i overensstemmelse med punkt 6.1.8 i dette regulativ for $n_{add,high}$ og $n_{add,exhigh}$.

9.2.3.2.3. Dette punkt finder kun anvendelse på niveau 1A og niveau 2 (fase 4 WLTP-prøvning)

$v_{max,\ high} \leq v_{cap} < v_{max,\ exhigh}$

Den første del af den endelige cyklus med hastighedsloft består af køretøjets hastighedskurve for den midlertidige cyklus med hastighedsloft frem til den sidste prøvning i fasen med ekstra høj hastighed, hvor v = v_{cap}. Tidspunktet for denne prøvning benævnes t_{exhigh}.

Derefter tilføjes $n_{add,exhigh}$-prøver med $v_i = v_{cap}$, således at tidspunktet for den sidste prøvning er (t_{exhigh} + $n_{add,\ exhigh}$).

Den resterende del af fasen med ekstrahøj hastighed af den midlertidige cyklus med hastighedsloft, som er identisk med den samme del af basiscyklussen, tilføjes derefter, således at tidspunktet for den sidste prøvning er (1800 + $n_{add,\ exhigh}$).

Længden af den endelige cyklus med hastighedsloft svarer til længden af basiscyklussen bortset fra forskelle, som skyldes afrunding i overensstemmelse med punkt 6.1.8 i dette regulativ for $n_{add,exhigh}$.

10. Tildeling af cyklusser til køretøjer

10.1. Et køretøj fra en bestemt gruppe skal prøves med cyklussen for denne gruppe, dvs. at gruppe 1-køretøjer prøves med gruppe 1-cyklus, gruppe 2-køretøjer prøves med gruppe 2-cyklus, gruppe 3a-køretøjer prøves med gruppe 3a-cyklus, og gruppe 3b-køretøjer prøves med gruppe 3b-cyklus. På fabrikantens anmodning og efter godkendelse fra den kompetente myndighed kan et køretøj dog afprøves med en numerisk højere cyklus, f.eks. kan et gruppe 2-køretøj prøves med en gruppe 3-cyklus. I dette tilfælde skal forskellene mellem gruppe 3a og 3b overholdes, og cyklussen kan nedskaleres i overensstemmelse med punkt 8 til og med 8.4 i dette bilag.

BILAG B2

Gearvalg og bestemmelse af skiftepunkt for køretøjer med manuel transmission

1. Generel indstilling

1.1. De gearskifteprocedurer, der beskrives i dette bilag, skal anvendes på køretøjer, der er udstyret med manuelt gearskifte.

1.2. De foreskrevne gear og skiftepunkter er baseret på balancen mellem den krævede effekt for at overvinde køremodstanden og accelerere, og den effekt, som motoren leverer i alle de mulige gear i en specifik cyklusfase.

1.3. Beregningen af, hvilke gear der skal anvendes, baseres på effektkurver ved fuld belastning sammenstillet med motorhastighed.

1.4. For køretøjer, der er udstyret med en dual-range-transmission (lav og høj), tages kun det gearområde, der er beregnet til normal drift på vej, i betragtning ved bestemmelse af gearskift.

1.5. Forskrifterne for koblingsbetjening anvendes ikke, hvis koblingen betjenes automatisk, uden at der er behov for, at føreren foretager til- eller frakobling.

1.6. Dette bilag finder ikke anvendelse på køretøjer, der prøves i henhold til bilag B8.

2. Obligatoriske oplysninger og forhåndsberegninger

Følgende oplysninger er obligatoriske, og der udføres beregninger for at bestemme de gear, der skal anvendes, når cyklussen køres på et chassisdynamometer:

a) $\mathbf{P_{rated}}$, den maksimale motormærkeeffekt som oplyst af fabrikanten (kW)

b) n_{rated}, motorens mærkehastighed som erklæret af fabrikanten som den motorhastighed, hvorved motoren udvikler sin maksimale effekt, min^{-1}

c) $\mathbf{n_{idle}}$, tomgangshastigheden, min^{-1}.

n_{idle} måles over en periode på mindst 1 minut ved en prøvetagningsfrekvens på mindst 1 Hz med motoren kørende i varm tilstand, gearvælgeren i frigear og koblingen tilkoblet. Betingelserne for temperatur, perifere anordninger og tilbehør m.v. er beskrevet i bilag B6 til type 1-prøvningen.

Den værdi, der skal anvendes i dette bilag, er det aritmetiske gennemsnit i måleperioden, afrundet i overensstemmelse med punkt 6.1.8 i dette regulativ til nærmeste 10 min^{-1}

d) ng, antallet af fremadgående gear.

De fremadgående gear i gearområdet, der er beregnet til normal drift på vej, skal være nummereret i faldende orden efter forholdet mellem motorhastigheden i min^{-1} og køretøjets hastighed i km/h. Gear 1 er det gear, der har det højeste udvekslingsforhold, gear ng er det gear, der har det laveste udvekslingsforhold. ng er bestemmende for antallet af fremadgående gear

e) $(n/v)_i$, det forhold, der fremkommer ved at dividere motorhastigheden n med køretøjets hastighed v for ethvert gear i, for i = 1 til ng, $min^{-1}/(km/h)$. $(n/v)_i$ beregnes i overensstemmelse med ligningerne i punkt 8 i bilag B7

f) $\mathbf{f_0}$, $\mathbf{f_1}$, $\mathbf{f_2}$, køremodstandskoefficienter udvalgt til prøvning, hhv. N, N/(km/h) og $N/(km/h)^2$

g) n_{max}

$n_{max1} = n_{95_high,}$ den maksimale motorhastighed, hvor 95 procent af mærkeeffekten nås, min^{-1}

Hvis n_{95_high} ikke kan bestemmes, fordi motorens hastighed er begrænset til en lavere værdi n_{lim} for alle gear, og den tilsvarende effekt ved fuld belastning er højere end 95 procent af mærkeeffekten, sættes n_{95_high} til n_{lim}.

$$n_{max2} = (n/v)(ng_{vmax}) \times v_{max,cycle}$$

$$n_{max3} = (n/v)(ng_{vmax}) \times v_{max,vehicle}$$

hvor:

$v_{max,cycle}$	er maksimalhastigheden i køretøjets hastighedskurve ifølge bilag B1 (km/h)
$v_{max,vehicle}$	er køretøjets maksimalhastighed ifølge punkt 2, litra i), i dette bilag (km/h)
$(n/v)(ng_{vmax})$	er det forhold, der opnås, når motorhastigheden n divideres med køretøjets hastighed v i gearet ng_{vmax}, $min^{-1}/(km/h)$
ng_{vmax}	er defineret i punkt 2, litra i), i dette bilag
n_{max}	er den maksimale værdi af n_{max1}, n_{max2} og n_{max3} (min^{-1}).

h) $P_{wot}(n)$, effektkurven ved fuld belastning af motorens hastighedsområde

Effektkurven skal bestå af et tilstrækkeligt antal datasæt (n, P_{wot}), således at beregningen af mellemliggende punkter mellem på hinanden følgende datasæt kan udføres ved lineær interpolation. Afvigelse af lineær interpolation fra effektkurven ved fuld belastning i henhold til FN-regulativ nr. 85 må ikke overstige 2 procent. Det første datasæt skal være ved $n_{min_drive_set}$ (se (k)(3) nedenfor) eller lavere. Det sidste datasæt skal være ved n_{max} eller højere motorhastighed. Datasættene behøver ikke at blive fordelt ligeligt, men alle datasæt skal rapporteres.

Datasættene og værdierne P_{rated} og n_{rated} skal tages fra effektkurven som angivet af fabrikanten.

Effekten ved fuld belastning ved motorhastigheder, der ikke er omfattet af FN-regulativ nr. 85, bestemmes efter den metode, der er beskrevet i FN-regulativ nr. 85

i) Bestemmelse af ng_{vmax} og v_{max}

ng_{vmax}, det gear, hvor køretøjets maksimale hastighed nås, beregnes som følger:

Hvis $v_{max}(ng) \geq v_{max}(ng-1)$ og $v_{max}(ng-1) \geq v_{max}(ng-2)$, så:

$ng_{vmax} = ng$ og $v_{max} = v_{max}(ng)$.

Hvis $v_{max}(ng) < v_{max}(ng-1)$ og $v_{max}(ng-1) \geq v_{max}(ng-2)$, så:

$ng_{vmax} = ng-1$ og $v_{max} = v_{max}(ng-1)$,

ellers $ng_{vmax} = ng\ -2$ og $v_{max} = v_{max}(ng-2)$,

hvor:

$v_{max}(ng)$	er den køretøjshastighed, hvorved den krævede effekt til overvindelse af køremodstanden er lig med den tilgængelige effekt P_{wot} i gear ng (se figur A2/1a).
$v_{max}(ng-1)$	er den køretøjshastighed, hvorved den krævede effekt til overvindelse af køremodstanden er lig med den tilgængelige effekt P_{wot} ét gear lavere (gear ng–1). Se figur A2/1b.
$v_{max}(ng-2)$	er den køretøjshastighed, hvorved den krævede effekt til overvindelse af køremodstanden er lig med den tilgængelige effekt P_{wot} to gear lavere (gear ng–2).

Køretøjets hastighedsværdier afrundet i overensstemmelse med punkt 6.1.8 i dette regulativ til én decimal anvendes til bestemmelse af v_{max} og ng_{vmax}.

Den krævede effekt til overvindelse af køremodstanden (kW) beregnes ved hjælp af følgende ligning:

$$\mathbf{P_{required}} = \frac{(\mathbf{f_0} \times \mathbf{v}) + (\mathbf{f_1} \times \mathbf{v^2}) + (\mathbf{f_2} \times \mathbf{v}3)}{\mathbf{3600}}$$

hvor:

v er køretøjets hastighed som angivet ovenfor (km/h).

Den tilgængelige effekt ved køretøjshastigheden v_{max} i gearet ng, gearet ng-1 eller gearet ng-2 bestemmes ud fra effektkurven ved fuld belastning, $P_{wot}(n)$, ved hjælp af følgende ligninger:

$$n_{ng} = (n/v)_{ng} \times v_{max}(ng)$$

$$n_{ng-1} = (n/v)_{ng-1} \times v_{max}(ng-1)$$

$$n_{ng-2} = (n/v)_{ng-2} \times v_{max}(ng-2)$$

og ved at reducere effektværdierne i effektkurven ved fuld belastning med 10 procent.

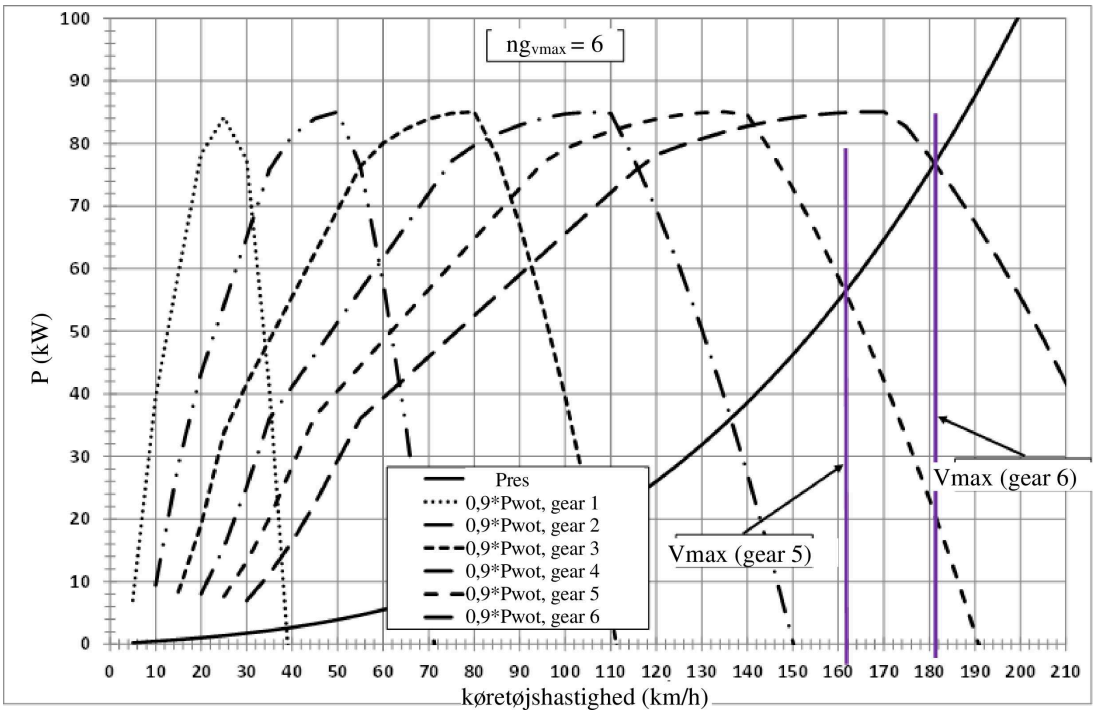
Den ovenfor beskrevne metode skal udvides til at omfatte endnu lavere gear, dvs. ng-3, ng-4 osv., hvis det er nødvendigt.

Hvis, for at begrænse køretøjets maksimale hastighed, den maksimale motorhastighed begrænses til n_{lim}, som er lavere end den motorhastighed, der svarer til skæringspunktet mellem effektkurven til overvindelse af køremodstanden og den tilgængelige effektkurve, hvorefter:

$$ng_{vmax} = ng \text{ og } v_{max} = n_{lim} / (n/v)(ng).$$

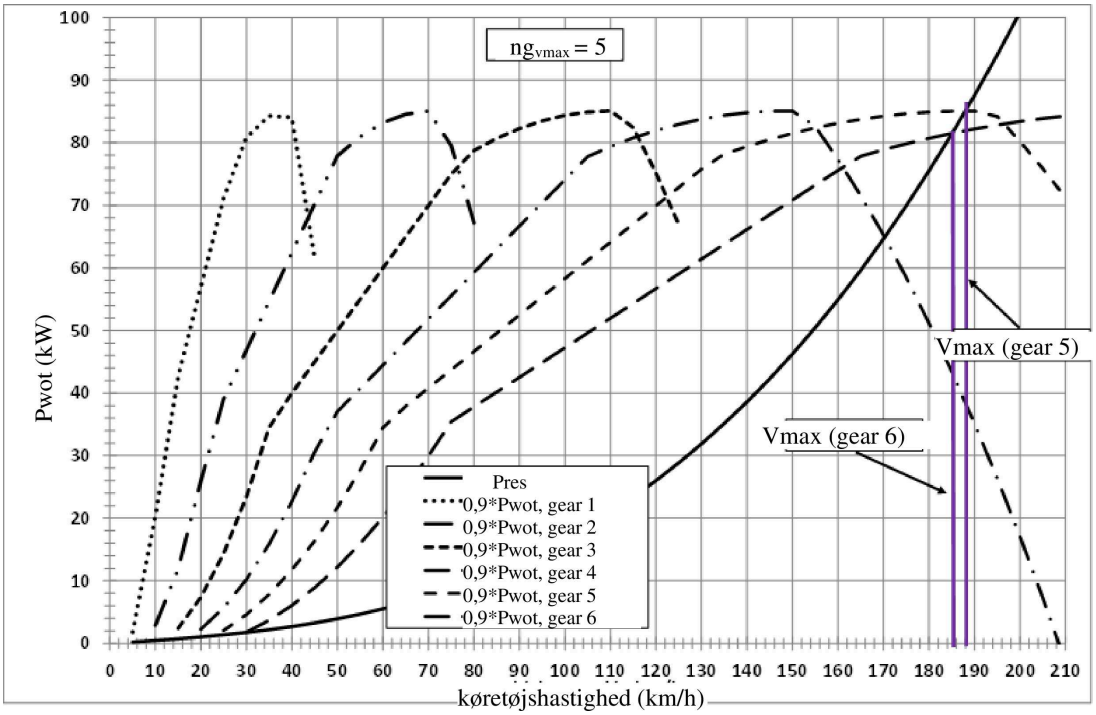
Figur A2/1a

Et eksempel, hvor ng_{vmax} er det højeste gear.



Figur A2/1b

Et eksempel, hvor ng_{vmax} er det næsthøjeste gear.



j) Udelukkelse af krybegear

Gear 1 kan på fabrikantens anmodning udelukkes, hvis samtlige følgende betingelser er opfyldt:

1) Køretøjet er godkendt til at trække et påhængskøretøj

2) $(n/v)_1 \times (v_{max} / n_{95_high}) > 6.74$

3) $(n/v)_2 \times (v_{max} / n_{95_high}) > 3.85$

4) Køretøjet er med en masse m_t som defineret i nedenstående ligning i stand til at trække sig ud af stilstand inden for 4 sekunder på en stigning på mindst 12 procent, fem gange inden for en periode på 5 minutter.

$$m_t = m_{r0} + 25\ kg + (MC - m_{r0} - 25\ kg) \times 0.28$$

(faktor 0,28 i ovenstående ligning skal anvendes til køretøjer i klasse 2 med en totalmasse på op til 3,5 tons og erstattes med faktor 0,15 for køretøjer i klasse 1),

hvor:

v_{max} er køretøjets maksimalhastighed som specificeret i punkt 2, litra i), i dette bilag. Kun værdien v_{max}, der fremkommer ved skæringspunktet mellem effektkurven til overvindelse af køremodstanden og den tilgængelige effektkurve, skal anvendes til betingelserne i (2) og (3) ovenfor. En v_{max}-værdi som følge af en begrænsning af motorhastigheden, som forhindrer dette skæringspunkt for kurverne, må ikke anvendes

$(n/v)(ng_{vmax})$ er det forhold, der opnås ved at dividere motorhastigheden n med køretøjshastigheden v for gear ng_{vmax}, $min^{-1}/(km/h)$

m_{r0} er massen i køreklar stand (kg)

MC er vogntogets største teknisk tilladte totalmasse (jf. punkt 3.2.27 i dette regulativ), kg.

I dette tilfælde anvendes gear 1 ikke, når cyklussen køres på et chassisdynamometer, og gearene skal omnummereres startende med 2. gear som gear 1.

k) Definition af n_{min_drive}

n_{min_drive} er den laveste motorhastighed, når køretøjet er i bevægelse, min^{-1}

1) For $n_{gear} = 1$, $n_{min_drive} = n_{idle}$

2) For $n_{gear} = 2$

i) for overgangen fra første til andet gear:

$n_{min_drive} = 1.15 \times n_{idle}$

ii) for decelerationer til stilstand:

$n_{min_drive} = n_{idle}$

iii) for alle andre kørselsforhold:

$n_{min_drive} = 0.9 \times n_{idle}$.

3) For $n_{gear} > 2$, bestemmes n_{min_drive} ved:

$n_{min_drive} = n_{idle} + 0{,}125 \times (n_{rated} - n_{idle})$.

Denne værdi benævnes $n_{min_drive_set}$.

$n_{min_drive_set}$ afrundes i overensstemmelse med punkt 6.1.8 i dette regulativ til nærmeste heltal.

Værdier, der er højere end $n_{min_drive_set}$, kan anvendes for $n_{gear} > 2$, hvis fabrikanten anmoder herom. I så fald kan fabrikanten angive en værdi for accelerations-/konstanthastighedsfaser ($n_{min_drive_up}$) og en anden værdi for decelerationsfaser ($n_{min_drive_down}$).

Prøver, der har accelerationsværdierne $\geq -0{,}1389$ m/s², skal tilhøre accelerations-/konstanthastighedsfaserne. Denne fasespecifikation anvendes kun til bestemmelse af det første gear i overensstemmelse med punkt 3.5 i dette bilag og finder ikke anvendelse på de krav, der er specificeret i punkt 4 i dette bilag.

Desuden kan fabrikanten i en indledende periode (t_{start_phase}) specificere højere værdier ($n_{min_drive_start}$ eller $n_{min_drive_up_start}$ og $n_{min_drive_down_start}$) for værdierne n_{min_drive} eller $n_{min_drive_up}$ og $n_{min_drive_down}$ for $n_{gear} > 2$ end specificeret ovenfor.

Den indledende periode skal være specificeret af fabrikanten, men må ikke overstige cyklussens lavhastighedsfase, og den skal slutte en i stopfase, således at der ikke forekommer nogen ændring af n_{min_drive} inden for en kort kørsel.

Alle individuelt valgte n_{min_drive}-værdier skal være lig med eller højere end $n_{min_drive_set}$, men må ikke overstige ($2 \times n_{min_drive_set}$).

Alle individuelt valgte n_{min_drive}-værdier og t_{start_phase} skal registreres.

Kun $n_{min_drive_set}$ kan anvendes som den nedre grænse for effektkurven ved fuld belastning i henhold til punkt 2, litra h).

l) **TM**, køretøjets prøvningsmasse (kg).

3. Beregning af krævet effekt, motorhastigheder, tilgængelig effekt, samt hvilke gear der kan anvendes

3.1. Beregning af krævet effekt

For hvert sekund j i cyklussens hastighedskurve beregnes den krævede effekt til at overvinde køremodstanden og accelerere ved hjælp af følgende ligning:

$$\mathbf{P_{required,j}} = \left(\frac{(\mathbf{f_0} \times \mathbf{v_j}) + (\mathbf{f_1} \times \mathbf{v_j^2}) + (\mathbf{f_2} \times \mathbf{v_j^3})}{\mathbf{3600}} \right) + \frac{(\mathbf{kr} \times \mathbf{a_j} \times \mathbf{v_j} \times \mathbf{TM})}{\mathbf{3600}}$$

hvor:

$\mathbf{P_{required,j}}$ er den krævede effekt ved andet j (kW)

$\mathbf{a_j}$ er køretøjets acceleration ved andet j (m/s²) og beregnes som følger:

$$\mathbf{a_j} = \frac{(\mathbf{v_{j+1}} - \mathbf{v_j})}{\mathbf{3.6} \times (\mathbf{t_{j+1}} - \mathbf{t_j})};$$

$j = t_{start}$ til $t_{end} - 1$,

t_{start} er det tidspunkt, hvor den relevante prøvningscyklus begynder (jf. punkt 3 i bilag B1 til dette regulativ), s.

t_{end} er det tidspunkt, hvor den relevante prøvningscyklus slutter (jf. punkt 3 i bilag B1 til dette regulativ), s.

Accelerationsværdien ved andet t_{end} (sekund 1611 for gruppe 1-cykluss og sekund 1800 for gruppe 2- og 3-cyklusser) kan sættes til 0 for at undgå tomme celler.

kr er en faktor, der tager inertimodstanden i fremdriftssystemet under acceleration i betragtning, og som er sat til 1,03.

3.2. Bestemmelse af motorhastigheder

For enhver $\mathbf{v_j} < \mathbf{1.0}$ km/h antages det, at køretøjet står stille, og motorhastigheden fastsættes til $\mathbf{n_{idle}}$. Gearvælgeren sættes i frigear og koblingen tilkobles, undtagen ét sekund før påbegyndelse af en acceleration fra stillestående vælges, hvor første gear vælges med koblingen frakoblet

For hver $\mathbf{v_j} \geq \mathbf{1.0}$ km/h af cyklussens hastighedskurve og hvert gear i, $\mathbf{i} = \mathbf{1}$ til ng, beregnes motorhastigheden, $\mathbf{n_{i,j}}$, ved hjælp af følgende ligning:

$$\mathbf{n_{i,j}} = (\mathbf{n/v})_\mathbf{i} \times \mathbf{v_j}$$

Beregningen foretages med flydende tal, hvor resultaterne ikke afrundes.

3.3. Udvælgelse af mulige gear ud fra hensynet til motorhastighed

Følgende gear kan vælges til kørsel i hastighedskurven ved v_j:

a) Alle gear $i < ng_{vmax}$, hvor $n_{min_drive} \leq n_{i,j} \leq n_{max1}$

b) Alle gear $i \geq ng_{vmax}$, hvor $n_{min_drive} \leq n_{i,j} \leq n_{max2}$

c) Gear 1, hvis $n_{1,j} < n_{min_drive}$.

Hvis $a_j < 0$ og $n_{i,j} \leq n_{idle}$, sættes $n_{i,j}$ til n_{idle}, og koblingen frakobles.

Hvis $a_j \geq 0$, og $n_{i,j} < \max(1{,}15 \times n_{idle}$, skal den laveste motorhastighed i $P_{wot}(n)$-kurven), $n_{i,j}$ sættes til maksimalt (1,15 × n_{idle}) eller den laveste motorhastighed i $P_{wot}(n)$-kurven, og koblingen sættes "udefineret".

"Udefineret" dækker enhver status af koblingen mellem frakoblet og tilkoblet, afhængigt af den enkelte motor og transmissionens udformning. I sådan et tilfælde kan den reelle motorhastighed afvige fra den beregnede motorhastighed.

For så vidt angår definitionen af n_{min_drive} i punkt 2, litra k), kan ovenfor specificerede krav a)-c) udtrykkes for decelerationsfaser som følger:

I løbet af en decelerationsfase skal gear med $n_{gear} > 2$ anvendes, så længe som motorhastigheden ikke falder til under n_{min_drive}.

Gear 2 skal anvendes under decelerationsfasen inden for en kort kørsel i cyklussen (ikke ved slutningen af en kort kørsel), når blot motorhastigheden ikke falder til under $(0,9 \times n_{idle})$.

Hvis motorhastigheden falder til under n_{idle}, skal koblingen frakobles.

Hvis decelerationsfasen er den sidste del af en kort kørsel kort før en stopfase, skal andet gear anvendes når blot motorhastigheden ikke falder til under n_{idle}. Dette krav skal anvendes på hele decelerationsfasen, der slutter ved stilstand.

En decelerationsfase er en periode på mere end 2 sekunder med en køretøjshastighed på ≥ 1,0 km/h og fuldstændig monoton nedsættelse af køretøjets hastighed (jf. punkt 4 i dette bilag).

3.4. Beregning af tilgængelig effekt

For hver motorhastighedsværdi n_k i effektkurven ved fuld belastning som specificeret i punkt 2, litra h), i dette bilag beregnes den tilgængelige effekt, $P_{available_k}$, ved hjælp af følgende ligning:

$$\mathbf{P_{available_k}} = \mathbf{P_{wot}}(\mathbf{n_k}) \times \left(\mathbf{1} - (\mathbf{SM} + \mathbf{ASM})\right)$$

hvor:

P_{wot} er den tilgængelige effekt ved n_k ved fuld belastningstilstand i effektkurven ved fuld belastning

SM er en sikkerhedsmargen for forskellen mellem den stationære tilstand i effektkurven ved fuld belastning og den tilgængelige effekt ved overgangsbetingelser. SM skal sættes til 10 procent

ASM er endnu en strømsikkerhedsmargin, som kan anvendes på fabrikantens anmodning.

Hvis der anmodes herom, skal fabrikanten levere de ASM-værdier (i % reduktionen af wot-effekten) sammen med datasættene for $P_{wot}(n)$ som vist ved eksemplet i tabel A2/1. Der anvendes lineær interpolation mellem på hinanden følgende datapunkter. SM begrænses til 50 procent.

Anvendelsen af en ASM skal godkendes af den kompetente myndighed.

Tabel A2/1

n	Pwot	SM	ASM	$P_{available}$
min^{-1}	kW	procent	procent	kW
700	6,3	10,0	20,0	4,4
1000	15,7	10,0	20,0	11,0
1500	32,3	10,0	15,0	24,2
1800	56,6	10,0	10,0	45,3
1900	59,7	10,0	5,0	50,8

n	Pwot	SM	ASM	$P_{available}$
min^{-1}	kW	procent	procent	kW
2000	62,9	10,0	0,0	56,6
3000	94,3	10,0	0,0	84,9
4000	125,7	10,0	0,0	113,2
5000	157,2	10,0	0,0	141,5
5700	179,2	10,0	0,0	161,3
5800	180,1	10,0	0,0	162,1
6000	174,7	10,0	0,0	157,3
6200	169,0	10,0	0,0	152,1
6400	164,3	10,0	0,0	147,8
6600	156,4	10,0	0,0	140,8

For hvert muligt gear i og hver af køretøjets hastighedsværdier i hastighedskurven $\mathbf{v_j}$ (j som specificeret i punkt 3.1 i dette bilag) og hver motorhastighedsværdi $n_{i,j} \geq n_{min}$ i effektkurven ved fuld belastning skal den tilgængelige effekt beregnes ud fra tilgrænsende n_k, $P_{available_k}$-værdier i effektkurven ved fuld belastning ved hjælp af lineær interpolation.

3.5. Bestemmelse af mulige gear, der skal anvendes

De mulige gear, der skal anvendes, bestemmes efter følgende betingelser:

a) Betingelserne i punkt 3.3 i dette bilag er opfyldt, og

b) For $n_{gear} > 2$, hvis $\mathbf{P_{available_i,j} \geq P_{required,j}}$.

Det første gear, der anvendes for hvert sekund **j** af hastighedskurven, er det højeste endelige mulige gear, i_{max}. Ved start fra stilstand anvendes kun det første gear.

Det laveste endelige mulige gear er i_{min}.

4. Yderligere krav til korrektioner og/eller ændringer af gearskift

Det første gear skal kontrolleres og ændres for at undgå for hyppige gearskift af hensyn til køreegenskaberne og af praktiske grunde.

En accelerationsfase er en periode på mere end 2 sekunder med en køretøjshastighed på ≥ 1,0 km/h og fuldstændig monoton forøgelse af køretøjets hastighed. En decelerationsfase er en periode på mere end 2 sekunder med en køretøjshastighed på ≥ 1,0 km/h og fuldstændig monoton nedsættelse af køretøjets hastighed. En fase med konstant hastighed er en periode på mere end 2 sekunder med en konstant køretøjshastighed på ≥ 1,0 km/h.

Afslutningen af en accelerations-/decelerationsfase bestemmes af den sidste tidsprøve, hvor køretøjets hastighed er højere/lavere end køretøjets hastighed i den foregående tidsprøve. I denne forbindelse kan afslutningen af en decelerationsfase være begyndelsen af en accelerationsfase. I dette tilfælde tilsidesætter kravene til accelerationsfaser kravene til decelerationsfaser.

Korrektioner og/eller ændringer foretages i henhold til følgende krav:

Den kontrol af ændringer, der er beskrevet i punkt 4, litra a), i dette bilag, skal anvendes to gange på hele hastighedskurven forud for anvendelsen af punkt 4, litra b)-f), i dette bilag.

a) Såfremt et gear, der er et trin højere (n+1) kræves i kun 1 sekund, og de foregående og efterfølgende gear er identiske (n), eller et af dem er et trin lavere (n – 1), skal gear (n + 1) korrigeres til gear n.

Eksempler:

Gearsekvensen i - 1, i, i - 1 erstattes af gearsekvensen:

i - 1, i - 1, i - 1

Gearsekvensen i - 1, i, i - 2 erstattes af gearsekvensen:

i - 1, i - 1, i - 2

Gearsekvensen i - 2, i, i - 1 erstattes af gearsekvensen:

i - 2, i - 1, i - 1.

Hvis, under acceleration eller faser med konstant hastighed eller overgange fra konstant hastighed til acceleration eller acceleration til faser med konstant hastighed, hvor disse faser kun omfatter opadgående gearskift, et gear kun anvendes i ét sekund, skal gearet i det følgende sekund korrigeres til gearet før, således at et gear anvendes i mindst 2 sekunder.

Eksempler:

Gearsekvensen 1, 2, 3, 3, 3, 3, 3 erstattes af gearsekvensen:

1, 1, 2, 2, 3, 3, 3.

Gearsekvensen 1, 2, 3, 4, 5, 5, 6, 6, 6, 6, 6 erstattes af gearsekvensen:

1, 1, 2, 2, 3, 3, 4, 4, 5, 5, 6.

Dette krav finder ikke anvendelse på nedadgående gearskift i løbet af en accelerationsfase, eller hvis anvendelsen af et gear i blot ét sekund følger umiddelbart efter en sådan nedgearing, eller hvis nedgearingen sker helt i begyndelsen af en accelerationsfase. I disse tilfælde skal nedgearingerne først korrigeres, jf. punkt 4, litra b), i dette bilag.

Eksempel:

Gearsekvensen 4, 4, 3, 4, 5, 5, 5, hvor første sekund eller tredje sekund er bestemmende for, hvornår en accelerationsfase begynder, og hvor punkt 4, litra b), ikke finder anvendelse i den videre accelerationsfase, erstattes af gearsekvensen:

4, 4, 4, 4, 5, 5, 5.

Hvis gearet i begyndelsen af en accelerationsfase er et trin lavere end gearet i det foregående sekund, og gearet i de følgende (op til fem) sekunder er det samme som gearet i det foregående sekund, men efterfulgt af en nedgearing, således at anvendelsen af punkt 4, litra c), ville korrigere dem til samme gear som ved begyndelsen af accelerationsfasen, bør anvendelsen af stk. 4, litra c), dog udføres i stedet.

Eksempel:

For en hastighedskurvesekvens

19,6 18,3 18,0 18,3 18,5 17,9 15,0 km/h

idet, der som første gearskift anvendes

3 3 2 3 3 2 2,

Gearene i fjerde og femte sekund skal korrigeres til et gear, der er et trin lavere (hvilket ville ske ved anvendelse af punkt 4, litra c)), i stedet for korrektion af gearet ved begyndelsen af accelerationsfasen (tredje sekund), således at korrektionen resulterer i følgende gearsekvens:

3 3 2 2 2 2 2

Hvis gearet i første sekund af en accelerationsfase er det samme som gearet i det foregående sekund, og gearet i de følgende sekunder er et trin højere, erstattes gearet i andet sekund af accelerationsfasen desuden med det gear, der blev anvendt i første sekund af accelerationsfasen.

Eksempel:

For en hastighedskurvesekvens

30,9 25,5 21,4 20,2 22,9 26,6 30,2 km/h

idet, der som første gearskift anvendes

3 3 2 2 3 3 3,

Gearet i femte sekund (andet sekund af accelerationsfasen) skal korrigeres til et gear, der er et trin lavere, for at sikre, at et gear anvendes i mindst to sekunder i accelerationsfasen, således at korrektionen resulterer i følgende gearsekvens:

3 3 2 2 2 3 3

Der må ikke springes over gear under opadgående gearskift i accelerationsfaser.

Opgearing med to gear er imidlertid tilladt ved overgangen fra en accelerationsfase til en konstant hastighed, hvis varigheden af den konstante fase overstiger 5 sekunder.

b) Hvis der kræves en nedgearing i løbet af en accelerationsfase eller ved begyndelsen af accelerationsfasen, skal det gear, der kræves under denne nedgearing, noteres (i_{DS}). Begyndelsestidspunktet af en korrektionsprocedure er defineret enten ved det sidste foregående sekund, hvor i_{DS} blev identificeret, eller ved startpunktet for accelerationsfasen, hvis alle tidsprøver forinden har gear > i_{DS}. Det højeste gear i tidsprøverne før nedgearing er bestemmende for referencegear i_{ref} for nedgearingen. En nedgearing, hvor $i_{DS} = i_{ref} - 1$, betegnes som nedgearing i ét trin, en nedgearing, hvor $i_{DS} = i_{ref} - 2$, betegnes som en nedgearing i to trin, en nedgearing, hvor $i_{DS} = i_{ref} - 3$, betegnes som en nedgearing i tre trin. Der foretages følgende kontrol:

i) Nedgearinger i ét trin

I forudgående retning fra begyndelsestidspunktet for korrektionsproceduren til udgangen af accelerationsfasen identificeres den seneste forekomst af et 10 sekunders vindue indeholdende i_{DS} i enten 2 eller flere fortløbende sekunder, eller 2 eller flere individuelle sekunder. Den sidste anvendelse af i_{DS} i dette vindue definerer slutpunktet af korrektionsproceduren. Mellem begyndelsen og udgangen af korrektionsperioden, skal alle krav om gear, der er højere end i_{DS}, rettes til et krav om i_{DS}.

Fra udgangen af korrektionsperioden (i tilfælde af 10 sekunders vinduer indeholdende i_{DS} for enten 2 eller flere fortløbende sekunder, eller 2 eller flere individuelle sekunder) eller fra begyndelsestidspunktet for korrektionsproceduren (hvis alle 10 sekunders vinduer kun indeholder i_{DS} i ét sekund, eller nogle 10 sekunders vinduer slet ikke indeholder i_{DS}) til udgangen af accelerationsfasen, fjernes alle nedgearinger af en varighed af kun ét sekund.

ii) Nedgearing i to eller tre trin

I forudgående retning fra begyndelsestidspunktet for korrektionsproceduren til udgangen af accelerationsfasen identificeres den seneste forekomst af i_{DS}. Fra begyndelsestidspunktet for korrektionsproceduren rettes alle krav om gear, der er højere end eller lig med i_{DS} op til den seneste forekomst af i_{DS}, til (i_{DS} + 1).

iii) Nedgearinger i ét trin og nedgearinger i to og/eller tre trin

Hvis der i løbet af en accelerationsfase forekommer nedgearing i ét trin samt nedgearing i to og/eller tre trin, skal nedgearing i tre trin korrigeres, før nedgearing i to eller ét trin korrigeres, og nedgearing i to trin skal korrigeres, før nedgearing i ét trin korrigeres. I sådanne tilfælde er begyndelsestidspunktet for korrektionsproceduren for nedgearingerne i to eller ét trin det sekund, som følger umiddelbart efter udgangen af korrektionsperioden for nedgearingerne i tre trin, og udgangspunktet for korrektionsproceduren for nedgearingerne i ét trin er det sekund, som følger umiddelbart efter udgangen af korrektionsperioden for nedgearingerne i to trin. Hvis der forekommer en nedgearing i tre trin efter en nedgearing i ét eller to trin, tilsidesætter det disse nedgearinger i perioden før nedgearingerne i tre trin. Hvis der forekommer et nedgearing i to trin efter en nedgearing i ét trin, tilsidesætter det nedgearingen i ét trin i perioden før nedgearingen i to trin.

Eksempler er vist i tabel A2/2 til A2/6.

Tabel A2/2

Tid	j	j+1	j+2	j+3	j+4	j+5	j+6	j+7	j+8	j+9	j+10	j+11	j+12	j+13	j+14	j+15	j+16	j+17	j+18
	Begyndelse af accel.								Nedgearing, i_{DS} = 3							Nedgearing, i_{DS} = 3			Udgang af accel.
Første gearskift	2	2	3	3	4	4	4	4	3	4	4	4	4	4	4	3	4	4	4
				Begyndelse af korrektionskontrol															
				i_{ref} = 4															
				Første 10 sekunders vindue til korrektionskontrol															
										Sidste 10 sekunders vindue til korrektionskontrol									
							Seneste 10 sekunders vindue indeholdende i_{DS} to gange												
															Udgang af korrektion				
Korrektion					3	3	3	3		3	3	3	3	3	3				
Fjernet																			
Sidste gearskift	2	2	3	3	3	3	3	3	3	3	3	3	3	3	3	3	4	4	4

Tabel A2/3

Tid	j	j+1	j+2	j+3	j+4	j+5	j+6	j+7	j+8	j+9	j+10	j+11	j+12	j+13	j+14	j+15	j+16	j+17	j+18
	Begyndelse af accel.						Nedgearing, i_{DS} = 3											Nedgearing, i_{DS} = 3	Udgang af accel.
Første gearskift	2	2	3	3	4	4	3	4	4	4	4	4	4	4	4	4	4	3	4
				Begyndelse af korrektions-kontrol															
				i_{ref} = 4															
				Første 10 sekunders vindue til korrektionskontrol															
										Sidste 10 sekunders vindue til korrektionskontrol									
				Seneste 10 sekunders vindue indeholdende i_{DS} to gange															
						Udgang af korrektion													
Korrektion					3	3													
Fjernet																		4	
Sidste gearskift	2	2	3	3	3	3	3	4	4	4	4	4	4	4	4	4	4	4	4

Tabel A2/4

Tid	j	j+1	j+2	j+3	j+4	j+5	j+6	j+7	j+8	j+9	j+10	j+11	j+12	j+13	j+14	j+15	j+16	j+17	j+18
	Begyndelse af accel.			Nedgearing, i_{DS} = 3											Nedgearing, i_{DS} = 3				Udgang af accel.
Første gearskift	4	4	4	3	4	4	4	4	4	4	4	4	4	4	3	4	4	5	5
	Begyndelse af korrektionskontrol																		
	i_{ref} = 4																		
	Første 10 sekunders vindue til korrektionskontrol																		
										Sidste 10 sekunders vindue til korrektionskontrol									
	Intet 10 sekunders vindue indeholdende i_{DS} to gange																		
						Udgang af korrektion													
Korrektion																			
Fjernet				4											4				
Sidste gearskift	4	4	4	4	4	4	4	4	4	4	4	4	4	4	4	4	4	5	5

Tabel A2/5

Tid	j	j+1	j+2	j+3	j+4	j+5	j+6	j+7	j+8	j+9	j+10	j+11	j+12	j+13	j+14	j+15	j+16	j+17	j+18	j+19
	Begyndelse af accel.			Nedgearing, i_{DS1} = 5		Nedgearing i to trin, i_{DS1} = 4													Nedgearing i ét trin, i_{DS2} = 5	Udgang af accel.
Første gearskift	6	6	6	5	5	4	4	4	4	4	5	6	6	6	6	6	6	6	5	5
	Begyndelse af korrektionskontrol for i_{DS1}										Begyndelse af korrektionskontrol for i_{DS2}									
	i_{ref} = 6										i_{ref} = 6									
	Seneste 10 sekunders vindue indeholdende i_{DS1} to eller flere gange										Seneste 10 sekunders vindue indeholdende i_{DS2} to eller flere gange									
					Udgang af korrektion for i_{DS1}													Udgang af korrektion for i_{DS2}		
Korrektion	4	4	4	4	4							5	5	5	5	5	5	5		
Fjernet																				
Sidste gearskift	4	4	4	4	4	4	4	4	4	4	5	5	5	5	5	5	5	5	5	5

Tabel A2/6

Tid	j	j+1	j+2	j+3	j+4	j+5	j+6	j+7	j+8	j+9	j+10	j+11	j+12	j+13	j+14	j+15	j+16	j+17	j+18
	Begyndelse af accel.	Nedgearing, $i_{DS1} = 3$					Nedgearing, $i_{DS2} = 4$							Nedgearing, $i_{DS3} = 5$					Udgang af accel.
Første gearskift	4	3	3	4	5	5	4	5	5	6	6	6	6	5	5	6	6	6	6
	Begyndelse af korrektionskontrol for i_{DS1}			Begyndelse af korrektionskontrol for i_{DS2}					Begyndelse af korrektionskontrol for i_{DS3}										
	$i_{ref} = 4$			$i_{ref} = 5$					$i_{ref} = 6$										
	Seneste 10 sekunders vindue indeholdende i_{DS1} to eller flere gange																		
				Seneste 10 sekunders vindue indeholdende i_{DS2} to eller flere gange															
									Seneste 10 sekunders vindue indeholdende i_{DS3} to eller flere gange										
	Udgang af korrektion for i_{DS1}					Udgang af korrektion for i_{DS2}							Udgang af korrektion for i_{DS3}						
Korrektion	3				4	4				5	5	5	5						
Fjernet																			
Sidste gearskift	3	3	3	4	4	4	4	5	5	5	5	5	5	5	5	6	6	6	6

Denne korrektion må ikke udføres for gear 1. Kravene i punkt 3.3, tredje afsnit (hvis $a_j \geq 0$…..) anvendes ikke til gearkorrektioner beskrevet i dette punkt for gear > 2.

Den kontrol af ændringer, der er beskrevet i punkt 4, litra c), i dette bilag, skal anvendes to gange på hele hastighedskurven forud for anvendelsen af punkt 4, litra d)-f), i dette bilag.

c) Hvis gear **i** anvendes i en tidssekvens af 1 til 5 sekunder, og det gear, der går forud for denne sekvens er et trin lavere, og gearet efter denne sekvens er et eller to trin lavere end inden for denne sekvens, eller gearet forud for denne sekvens er to trin lavere, og gearet efter denne sekvens er et trin lavere end inden for sekvensen, skal gearet for sekvensen korrigeres til maksimum for gearene forud og efter sekvensen.

Eksempler:

i) Gearsekvensen i -1, **i**, i -1 erstattes af gearsekvensen:

i -1, i -1, i -1

Gearsekvensen i - 1, i, i - 2 erstattes af gearsekvensen:

i - 1, i - 1, i - 2

Gearsekvensen i - 2, i, i - 1 erstattes af gearsekvensen:

i - 2, i - 1, i - 1.

ii) Gearsekvensen i - 1, **i**, **i**, i - 1 erstattes af gearsekvensen:

i - 1, i - 1, i - 1, i - 1

Gearsekvensen i - 1, i, i, i - 2 erstattes af gearsekvensen:

i- 1, i - 1, i - 1, i - 2

Gearsekvensen i - 2, i, i, i - 1 erstattes af gearsekvensen:

i - 2, i - 1, i - 1, i - 1.

iii) Gearsekvensen i - 1, **i**, **i**,**i**, i - 1 erstattes af gearsekvensen:

i – 1, i – 1, i – 1, i – 1, i - 1

Gearsekvensen i - 1, i, i, i, i - 2 erstattes af gearsekvensen:

i - 1, i - 1, i - 1, i - 1, i - 2

Gearsekvensen i - 2, i, i, i, i - 1 erstattes af gearsekvensen:

i - 2, i - 1, i - 1, i - 1, i - 1.

iv) Gearsekvensen i - 1, **i**,**i**, **i**, **i**, i - 1 erstattes af gearsekvensen:

i - 1, i - 1, i - 1, i - 1, i - 1, i - 1

Gearsekvensen i - 1, i, i, i, i, i - 2 erstattes af gearsekvensen:

i - 1, i - 1, i - 1, i - 1, i - 1, i - 2

Gearsekvensen i - 2, i, i, i, i, i - 1 erstattes af gearsekvensen:

i - 2, i - 1, i - 1, i - 1, i - 1, i - 1.

v) Gearsekvensen i - 1, **i**, **i**,**i**, **i**, **i**, i - 1 erstattes af gearsekvensen:

i - 1, i - 1, i - 1, i - 1, i - 1, i – 1, i - 1

Gearsekvensen i-1, i, i, i, i, i, i - 2 erstattes af gearsekvensen:

i - 1, i - 1, i - 1, i - 1, i - 1, i - 1, i - 2

Gearsekvensen i - 2, i, i, i, i, i - 1 erstattes af gearsekvensen:

i - 2, i - 1, i - 1, i - 1, i - 1, i - 1, i - 1.

I alle tilfældene i) til v), skal i-1 ≥ i_{min} være opfyldt.

d) Intet opadgående gearskift må udføres inden for en decelerationsfase.

e) Intet opadgående gearskift udføres til et højere gear ved overgangen fra en fase med konstant hastighed eller acceleration til en decelerationsfase, hvis et af gearene i de første to sekunder efter afslutningen af decelerationsfasen er lavere end det gear, der er skiftet op til, eller er gear 0.

Eksempel:

Hvis $v_i \leq v_{i+1}$ og $v_{i+2} < v_{i+1}$ og gear i = 4 og gear (i + 1 = 5) og gear (i + 2 = 5), så skal gear (i + 1) og gear (i + 2) sættes til 4, hvis gearet for den fase, der følger efter decelerationsfasen er gear 4 eller lavere. For alle de følgende punkter på hastighedskurven med gear 5 inden for decelerationsfasen, sættes gearet også til 4. Hvis gearet efter decelerationsfasen er gear 5, foretages et opadgående gearskift.

Hvis der er et opadgående gearskift under overgangen og den oprindelige decelerationsfase med 2 gear, udføres et opadgående gearskift med 1 gear i stedet. I dette tilfælde foretages der ingen yderligere ændringer i følgende kontroller af gearskift.

f) Andre gearændringer for decelerationsfaser

Nedgearing til første gear er ikke tilladt under decelerationsfaser. Hvis en sådan nedgearing er nødvendig i den sidste del af en kort kørsel lige før en stopfase, da motorhastigheden ellers ville falde til under n_{idle} i andet gear , skal gear 0 anvendes i stedet, og gearvælgeren sættes i frigear og koblingen tilkobles.

Hvis der kræves første gear i en periode på mindst 2 sekunder umiddelbart før en deceleration til standsning, bør dette gear anvendes indtil den første prøve af decelerationsfasen. I resten af decelerationsfasen anvendes gear 0, og gearvælgeren sættes i frigear, og koblingen tilkobles.

Hvis under en decelerationsfase varigheden af en gearperiode (en tidssekvens med konstant gear) mellem to gearperioder på 3 sekunder eller mere kun er 1 sekund, skal den erstattes med gear 0, og koblingen frakobles.

Hvis under en decelerationsfase varigheden af en gearperiode mellem to gearperioder på 3 sekunder eller mere er 2 sekunder, skal den erstattes af gear 0 for det første sekund og for det andet sekund med det gear, der følger efter tosekundersperioden. Koblingen frakobles i det første sekund.

Eksempel: En gearsekvens 5, 4, 4, 2 erstattes af gearsekvensen 5, 0, 2, 2.

Dette krav finder kun anvendelse, hvis det gear, der følger efter perioden på 2 sekunder er > 0.

Hvis flere gearperioder af varigheder på 1 eller 2 sekunder følger efter hinanden, foretages følgende korrektioner:

En gearsekvens i, i, i, i - 1, i - 1, i - 2 eller i, i, i, i - 1, i - 2, i - 2 erstattes af gearsekvensen i, i, i, 0, i - 2, i - 2.

En gearsekvens såsom i, i, i, i - 1, i - 2, i - 3 eller i, i, i, i - 2, i - 2, i - 3 eller andre mulige kombinationer ændres til gearsekvensen i, i, i, 0, i - 3, i - 3.

Denne ændring anvendes også til gearsekvenser, hvor acceleration er ≥ 0 i de første 2 sekunder og < 0 i det tredje sekund, eller hvis acceleration er ≥ 0 i de sidste 2 sekunder.

I forbindelse med specielle transmissionkonstruktioner er det muligt, at gearperioder af en varighed på 1 eller 2 sekunder efter hinanden kan vare op til 7 sekunder. I sådanne tilfælde skal ovennævnte korrektion suppleres med følgende korrektionskrav i forbindelse med et efterfølgende trin:

En gearsekvens j, 0, i, i, i - 1, k, hvor j > (i + 1) og k ≤ (i – 1), men hvor k > 0, erstattes med gearsekvensen j, 0, i - 1, i - 1, i - 1, k, hvis gear (i – 1) er et eller to trin under i_{max} i sekund 3 i denne sekvens (et efter gear 0).

Hvis gear (i – 1) er mere end to trin under i_{max} i sekund 3 i denne sekvens, skal en gearsekvens j, 0, i, i, i - 1, k, hvor j > (i + 1) og k ≤ (i –1), men hvor k > 0, erstattes med gearsekvensen j, 0, 0, k, k, k.

En gearsekvens j, 0, i, i, i-2, k, hvor j > (i + 1) og k ≤ (i – 2), men hvor k > 0, erstattes med gearsekvensen j, 0, i - 2, i - 2 , i - 2, k, hvis gear (i - 2) er et eller to trin under i_{max} i sekund 3 i denne sekvens (et efter gear 0).

Hvis gear (i – 2) er mere end to trin under i_{max} i sekund 3 i denne sekvens, skal en gearsekvens j, 0, i, i, i - 2, k, hvor j > (i + 1) og k ≤ (i - 2), men hvor k > 0, erstattes med gearsekvensen j, 0, 0, k, k, k.

I alle de tilfælde, der er specificeret ovenfor i dette afsnit (punkt 4, litra f), i dette bilag), anvendes udkobling (gear 0) i 1 sekund for at undgå for høje motorhastigheder i dette sekund. Hvis dette ikke er et problem, og hvis fabrikanten anmoder herom, er det tilladt at bruge det laveste gear i det følgende sekund direkte i stedet for gear 0 til nedgearing i op til 3 trin. Hvis der gøres brug af denne mulighed, skal det registreres.

Hvis decelerationsfasen er den sidste del af en kort kørsel kort før en stopfase, og det sidste gear > 0 før stopfasen kun anvendes i en periode på op til 2 sekunder, skal gear 0 anvendes i stedet for og gearvælgeren sættes i frigear og koblingen tilkobles.

Eksempler: En gearsekvens på 4, 0, 2, 2, 0 i de sidste 5 sekunder før stopfasen erstattes af gearsekvensen 4, 0, 0, 0, 0. En gearsekvens på 4, 3, 3, 0 i de sidste 4 sekunder før stopfasen erstattes af gearsekvensen 4, 0, 0, 0.

5. Endelige krav

a) Punkt 4. a) til og med 4. f) i dette bilag skal anvendes sekventielt, idet hele hastighedskurven gennemgås i hvert enkelt tilfælde. Da ændringer af punkt 4. a) til og med 4. f) i dette bilag kan skabe nye gearskiftsekvenser, kontrolleres disse sekvenser to gange og ændres, hvis det er nødvendigt.

b) Efter anvendelsen af punkt 4, litra b), i dette bilag kan der forekomme nedgearing med mere end et gear ved overgangen fra en decelerationsfase eller en fase med konstant hastighed til en accelerationsfase.

I dette tilfælde erstattes gearet til den sidste prøve af decelerationsfasen eller fasen med konstant hastighed med gear 0, og koblingen frakobles. Vælges mulighed "tilsidesætte gear 0 under nedgearinger", jf. punkt 4, litra f), i dette bilag, anvendes gearet i følgende sekund (første sekund i accelerationsfasen) i stedet for gear 0.

c) For at gøre det muligt at vurdere rigtigheden af beregningen skal kontrolsummen for v*gear for v ≥ 1,0 km/h, afrundet i overensstemmelse med punkt 6.1.8 i dette regulativ til fire decimaler, beregnes og registreres.

6. Beregningsværktøjer

Eksempler på værktøjer til beregning af gearskift findes i FN-GTR nr. 15 på UNECE-webstedet[1]F. Følgende værktøjer stilles til rådighed:

a) ACCESS-baseret værktøj

b) Matlab code-værktøj

c) NET framework-værktøj

d) Python-baseret værktøj.

Disse værktøjer blev valideret ved en sammenligning af beregningsresultaterne fra ACCESS-værktøjet, Matlab code, .NET core code og Python-baseret værktøjet for 115 forskellige køretøjskonfigurationer suppleret med yderligere beregninger for syv af dem med yderligere muligheder såsom "anvende hastighedsloft", "tilsidesætte nedskalering", "vælge anden køretøjsgruppecyklus" og "vælge individuelle n_{min_drive}-værdier".

De 115 køretøjskonfigurationer omfatter ekstreme tekniske konstruktioner for transmission og motorer og alle køretøjsgrupper.

Alle fire værktøjer giver identiske resultater med hensyn til gearskift og koblingsbetjening, og selv om kun teksten i bilag B1 og B2 er juridisk bindende, har værktøjerne opnået en status, der gør, at de kan betegnes som referenceværktøjer.

[1] https://unece.org/transport/standards/transport/vehicle-regulations-wp29/global-technical-regulations-gtrs?accordion=15

BILAG B3

Specifikationer for referencebrændstoffer

1. Dette bilag indeholder oplysninger om specifikationerne for de referencebrændstoffer, der skal anvendes ved udførelse af type 1-prøvninger.

2. (Reserveret)

3. Tekniske data om flydende brændstoffer til prøvning af køretøjer med styret tænding

3.1. Benzin (nominelt 90 RON, E0)

Tabel A3/1

Denne tabel finder kun anvendelse på niveau 1B

Benzin (nominelt 90 RON, E0)

Brændstofegenskab eller stoffets navn	Enhed	Standard		Prøvningsmetode
		Minimum	Maksimum	
Research-oktantal (RON)		90,0	92,0	JIS K2280 (a)
Motoroktantal (MON)		80	82	JIS K2280 (a)
Massefylde	g/cm³	0,720	0,734	JIS K2249-1,2,3 (a)
Damptryk	kPa	56	60	JIS K2258-1,2 (a)
Destillation:				
— 10 % destillationstemperatur	K (°C)	318 (45)	328 (55)	JIS K2254 (a)
— 50 % destillationstemperatur	K (°C)	353 (80)	368 (95)	JIS K2254 (a)
— 70 % destillationstemperatur	K (°C)		393 (120)	JIS K2254 (a)
— 90 % destillationstemperatur	K (°C)	413 (140)	433 (160)	JIS K2254 (a)
— slutkogepunkt	K (°C)		468 (195)	JIS K2254 (a)
— olefiner	% v/v	15	25	JIS K2536-1,2 (a)
— aromater	% v/v	20	45	JIS K2536-1,2,3 (a)
— benzen	% v/v		1,0	JIS K2536-2,3,4 (a)
Oxygenindhold		skal ikke detekteres		JIS K2536-2,4,6 (a)
Harpiks	mg/100 ml		5	JIS K2261 (a)
Svovlindhold	wt ppm		10	JIS K2541-1,2,6,7 (a)

Brændstofegenskab eller stoffets navn	Enhed	Standard		Prøvningsmetode
		Minimum	Maksimum	
Blyindhold		skal ikke detekteres		JIS K2255 [a]
Ethanol		skal ikke detekteres		JIS K2536-2,4,6 [a]
Methanol		skal ikke detekteres		JIS K2536-2,4,5,6 [a]
MTBE		skal ikke detekteres		JIS K2536-2,4,5,6 [a]
Petroleum		skal ikke detekteres		JIS K2536-2,4 [a]

[a] Der kan anvendes en anden metode, der kan henføres til nationale eller internationale standarder.

3.2. (Reserveret)

3.3. Benzin (nominelt 100 RON, E0)

Tabel A3/3

Denne tabel finder kun anvendelse på niveau 1B

Benzin (nominelt 100 RON, E0)

Brændstofegenskab eller stoffets navn	Enhed	Standard		Prøvningsmetode
		Minimum	Maksimum	
Research-oktantal (RON)		99,0	101,0	JIS K2280 [a]
Motoroktantal (MON)		86,0	88,0	JIS K2280 [a]
Massefylde	g/cm³	0,740	0,754	JIS K2249-1,2,3 [a]
Damptryk	kPa	56	60	JIS K2258-1,2 [a]
Destillation:				
— 10 % destillationstemperatur	K (°C)	318 (45)	328 (55)	JIS K2254 [a]
— 50 % destillationstemperatur	K (°C)	353 (80)	368 (95)	JIS K2254 [a]
— 70 % destillationstemperatur	K (°C)		393 (120)	JIS K2254 [a]
— 90 % destillationstemperatur	K (°C)	413 (140)	433 (160)	JIS K2254 [a]
— slutkogepunkt	K (°C)		468 (195)	JIS K2254 [a]
— olefiner	% v/v	15	25	JIS K2536-1,2 [a]
— aromater	% v/v	20	45	JIS K2536-1,2,3 [a]
— benzen	% v/v		1,0	JIS K2536-2,3,4 [a]

Brændstofegenskab eller stoffets navn	Enhed	Standard		Prøvningsmetode
		Minimum	Maksimum	
Oxygenindhold		skal ikke detekteres		JIS K2536-2,4,6 [a]
Harpiks	mg/100 ml		5	JIS K2261 [a]
Svovlindhold	wt ppm		10	JIS K2541-1,2,6,7 [a]
Blyindhold		skal ikke detekteres		JIS K2255 [a]
Ethanol		skal ikke detekteres		JIS K2536-2,4,6 [a]
Methanol		skal ikke detekteres		JIS K2536-2,4,5,6 [a]
MTBE		skal ikke detekteres		JIS K2536-2,4,5,6 [a]
Petroleum		skal ikke detekteres		JIS K2536-2,4 [a]

[a] Der kan anvendes en anden metode, der kan henføres til nationale eller internationale standarder.

3.4. (Reserveret)

3.5. (Reserveret)

3.6. Benzin (nominelt 95 RON, E10/E10H)

Tabel A3/6a

Denne tabel finder kun anvendelse på niveau 1A og niveau 2

Benzin (nominelt 95 RON, E10)

Parametre	Enhed	Grænser [a]		Prøvningsmetode [b]
		Minimum	Maksimum	
Research-oktantal (RON) [c]		95,0	98,0	EN ISO 5164
Motoroktantal (MON) [c]		85,0	89,0	EN ISO 5163
Massefylde ved 15 °C	kg/m^3	743,0	756,0	EN ISO 12185
Damptryk	kPa	56,0	60,0	EN 13016-1
Vandindhold	% v/v		0,05	EN ISO 12937
Udseende ved -7 °C:		klar og blank		
Destillation:				
— fordampet ved 70 °C	% v/v	34,0	46,0	EN-ISO 3405
— fordampet ved 100 °C	% v/v	54,0	62,0	EN-ISO 3405
— fordampet ved 150 °C	% v/v	86,0	94,0	EN-ISO 3405
— slutkogepunkt	°C	170	195	EN-ISO 3405

Parametre	Enhed	Grænser ([a])		Prøvningsmetode ([b])
		Minimum	Maksimum	
Restkoncentrationer	% v/v		2,0	EN-ISO 3405
Carbonhydridanalyse:				
— olefiner	% v/v	6,0	13,0	EN ISO 22854
— aromater	% v/v	25,0	32,0	EN ISO 22854
— benzen	% v/v		1,00	EN ISO 22854 EN ISO 238
— mættede forbindelser	% v/v	Skal registreres		EN ISO 22854
Carbon/hydrogen-forhold		Skal registreres		
Carbon-oxygen-forhold		Skal registreres		
Induktionstid ([d])	minutter	480		EN-ISO 7536
Iltindhold ([e])	% m/m	3,3	3,7	EN ISO 22854
Vasket med opløsningsmiddel (Harpiksindhold)	mg/100 ml		4	EN-ISO 6246
Svovlindhold ([f])	mg/kg		10	EN ISO 20846 EN ISO 20884
Kobberkorrosion			Gruppe 1	EN-ISO 2160
Blyindhold	mg/l		5	EN ISO 237
Fosforindhold ([g])	mg/l		1,3	ASTM D 3231
Ethanol ([e])	% v/v	9,0	10,0	EN ISO 22854

([a]) De i specifikationerne anførte værdier er "sande værdier". Deres grænseværdier er fastsat i henhold til ISO 4259 "Petroleum products – Determination and application of precision data in relation to methods of test", idet minimumsværdien er fastsat på grundlag af en minimumsforskel på 2R større end nul; for maksimums- og minimumsværdi har minimumsforskellen været 4R (R = reproducerbarhed).
Uanset denne værdi, som er nødvendig af tekniske årsager, bør brændstoffabrikanten tilstræbe en nulværdi, hvor den anførte maksimumsværdi er 2R, og en gennemsnitsværdi, hvor der anføres maksimums- og minimumsgrænseværdier. Dersom det bliver nødvendigt at afgøre, om et brændstof opfylder kravene i specifikationerne, anvendes ISO 4259.

([b]) Ækvivalente EN/ISO-metoder vil blive taget i anvendelse, når de udstedes for alle de ovenfor nævnte egenskaber.

([c]) En korrektionsfaktor på 0,2 for MON og RON fratrækkes ved beregning af det endelige resultat i overensstemmelse med EN 228:2008.

([d]) Brændstoffet kan indeholde oxidationsinhibitorer og metaldeaktivatorer, som normalt anvendes til stabilisering af benzinproduktionen på raffinaderier, men additiver i form af detergenter eller dispergerende stoffer eller opløsningsolier må ikke tilsættes.

([e]) Ethanol er det eneste oxygenat, der som led i produktionsprocessen må tilsættes referencebrændstoffet. Den ethanol, der anvendes, skal være i overensstemmelse med EN 15376.

([f]) Det faktiske svovlindhold i det brændstof, der anvendes til type 1-prøvning, registreres.

([g]) Der må ikke som led i produktionsprocessen tilsættes forbindelser indeholdende fosfor, jern, mangan eller bly til dette referencebrændstof.

Tabel A3/6b

Benzin (E10H)

Parametre	Enhed	Grænser [a]		Prøvningsmetode [b]
		Minimum	Maksimum	
Research-oktantal (RON) [c]		95,0	98,0	EN ISO 5164 JIS K2280
Motoroktantal (MON) [c]		85,0	89,0	EN ISO 5163 JIS K2280
Massefylde ved 15 °C	kg/m³	743,0	756,0	EN ISO 12185 JIS K2249-1,2,3
Damptryk	kPa	56,0	60,0	EN 13016-1 JIS K2258
Vandindhold	% v/v		0,05	EN ISO 12937
Udseende ved -7 °C:		klar og blank		
Destillation:				
— fordampet ved 70 °C	% v/v	34,0	46,0	EN-ISO 3405
— fordampet ved 100 °C	% v/v	54,0	62,0	EN-ISO 3405
— fordampet ved 150 °C	% v/v	86,0	94,0	EN-ISO 3405
— slutkogepunkt	°C	170	195	EN-ISO 3405
Restkoncentrationer	% v/v		2,0	EN-ISO 3405
Carbonhydridanalyse:				
— olefiner	% v/v	6,0	13,0	EN ISO 22854 JIS K2536-1,2
— aromater	% v/v	25,0	32,0	EN ISO 22854 JIS K2536-1,2,3
— benzen	% v/v		1,00	EN ISO 22854 EN ISO 238 JIS K2536-2,3,4
— mættede forbindelser	% v/v	Skal registreres		EN ISO 22854
Carbon/hydrogen-forhold		Skal registreres		
Carbon-oxygen-forhold		Skal registreres		
Induktionstid [d]	minutter	480		EN-ISO 7536
Iltindhold [e]	% m/m	3,3	3,7	EN ISO 22854 JIS K2536-2,4,6
Vasket med opløsningsmiddel (Harpiksindhold)	mg/100 ml		4	EN-ISO 6246 JIS K2261

Parametre	Enhed	Grænser ([a])		Prøvningsmetode ([b])
		Minimum	Maksimum	
Svovlindhold ([f])	mg/kg		10	EN ISO 20846 EN ISO 20884 JIS K2541-1,2,6,7
Kobberkorrosion			Gruppe 1	EN-ISO 2160
Blyindhold	mg/l		5	EN ISO 237 JIS K2255
Fosforindhold ([g])	mg/l		1,3	ASTM D 3231
Ethanol ([c])	% v/v	9,0	10,0	EN ISO 22854 JIS K2536-2,4,6

([a]) De i specifikationerne anførte værdier er "sande værdier". Deres grænseværdier er fastsat i henhold til ISO 4259 "Petroleum products – Determination and application of precision data in relation to methods of test", idet minimumsværdien er fastsat på grundlag af en minimumsforskel på 2R større end nul; for maksimums- og minimumsværdi har minimumsforskellen været 4R (R = reproducerbarhed).
Uanset denne værdi, som er nødvendig af tekniske årsager, bør brændstoffabrikanten tilstræbe en nulværdi, hvor den anførte maksimumsværdi er 2R, og en gennemsnitsværdi, hvor der anføres maksimums- og minimumsgrænseværdier. Dersom det bliver nødvendigt at afgøre, om et brændstof opfylder kravene i specifikationerne, anvendes ISO 4259.

([b]) Ækvivalente EN/ISO-metoder vil blive taget i anvendelse, når de udstedes for alle de ovenfor nævnte egenskaber.

([c]) En korrektionsfaktor på 0,2 for MON og RON fratrækkes ved beregning af det endelige resultat i overensstemmelse med EN 228:2008.

([d]) Brændstoffet kan indeholde oxidationsinhibitorer og metaldeaktivatorer, som normalt anvendes til stabilisering af benzinproduktionen på raffinaderier, men additiver i form af detergenter eller dispergerende stoffer eller opløsningsolier må ikke tilsættes.

([e]) Ethanol er det eneste oxygenat, der som led i produktionsprocessen må tilsættes referencebrændstoffet. Den ethanol, der anvendes, skal være i overensstemmelse med EN 15376.

([f]) Det faktiske svovlindhold i det brændstof, der anvendes til type 1-prøvning, registreres.

([g]) Der må ikke som led i produktionsprocessen tilsættes forbindelser indeholdende fosfor, jern, mangan eller bly til dette referencebrændstof.

3.7. Ethanol (nominelt 95 RON, E85)

Tabel A3/7

Dette punkt finder kun anvendelse på niveau 1A og niveau 2

Ethanol (nominelt 95 RON, E85)

Parametre	Enhed	Grænser ([a])		Prøvningsmetode ([b])
		Minimum	Maksimum	
Research-oktantal (RON)		95		EN ISO 5164
Motoroktantal (MON)		85		EN ISO 5163
Massefylde ved 15 °C	kg/m^3	Skal registreres		ISO 3675
Damptryk	kPa	40	60	EN ISO 13016-1 (DVPE)

Parametre	Enhed	Grænser [a]		Prøvningsmetode [b]
		Minimum	Maksimum	
Svovlindhold [c] [d]	mg/kg		10	EN ISO 20846 EN ISO 20884
Oxidationsstabilitet	minutter	360		EN ISO 7536
Harpiksindhold (vasket med opløsningsmiddel)	mg/100 ml		5	EN-ISO 6246
Udseende: Bestemmes ved omgivelsestemperatur, dog mindst 15 °C		Klar og blank, synligt fri for opslæmmede eller udfældede kontaminanter		Visuel inspektion
Ethanol og højere alkoholer [g]	% v/v	83	85	EN ISO 1601 EN ISO 13132 EN ISO 14517
Højere alkoholer (C3-C8)	% v/v		2	
Methanol	% v/v		0,5	
Benzin [e]	% v/v	Vægt		EN ISO 228
Fosfor	mg/l	0,3 [f]		ASTM D 3231
Vandindhold	% v/v		0,3	ASTM E 1064
Uorganisk chloridindhold	mg/l		1	ISO 6227
pHe		6,5	9	ASTM D 6423
Kobberstrimmelkorrosion (3 h ved 50 °C)	Kategori	Gruppe 1		EN ISO 2160
Syreindhold (beregnet som eddikesyre CH3COOH)	% m/m mg/l		0,005-40	ASTM D 1613
Carbon/hydrogen-forhold		Registrering		
Carbon-oxygen-forhold		Registrering		

[a] De i specifikationerne anførte værdier er "sande værdier". Deres grænseværdier er fastsat i henhold til ISO 4259 "Petroleum products – Determination and application of precision data in relation to methods of test", idet minimumsværdien er fastsat på grundlag af en minimumsforskel på 2R større end nul; for maksimums- og minimumsværdi har minimumsforskellen været 4R (R = reproducerbarhed). Uanset denne værdi, som er nødvendig af tekniske årsager, bør brændstoffabrikanten tilstræbe en nulværdi, hvor den anførte maksimumsværdi er 2R, og en gennemsnitsværdi, hvor der anføres maksimums- og minimumsgrænseværdier. Dersom det bliver nødvendigt at afgøre, om et brændstof opfylder kravene i specifikationerne, anvendes ISO 4259.

[b] I tilfælde af tvist anvendes procedurerne for tvistbilæggelse og fortolkning af resultater baseret på prøvningsmetodepræcision som beskrevet i EN ISO 4259.

[c] I tilfælde af national tvist om svovlindholdet anvendes enten EN ISO 20846 eller EN ISO 20884 på tilsvarende vis som referencen i det nationale bilag til EN 228.

[d] Det faktiske svovlindhold i det brændstof, der anvendes til type 1-prøvning, registreres.

[e] Indholdet af blyfri benzin kan bestemmes som 100 minus summen af procentdelen for vand- og alkoholindhold.

[f] Der må ikke som led i produktionsprocessen tilsættes forbindelser indeholdende fosfor, jern, mangan eller bly til dette referencebrændstof.

[g] Ethanol, der opfylder specifikationerne i EN 15376, er det eneste oxygenat, der som led i produktionsprocessen må tilsættes referencebrændstoffet.

4. Tekniske data om gasformige brændstoffer til prøvning af køretøjer med styret tænding

4.1. LPG (A og B)

Tabel A3/8

LPG (A og B)

Parametre	Enhed	Brændstof E1	Brændstof E2	Brændstof J	Brændstof K	Prøvningsmetode
Sammensætning:						ISO 7941
C3-indhold	% vol.	30 ±2	85 ±2		Vinter: min. 15, maks. 35 Sommer: maks. 10	KS M ISO 7941
Indhold af propan og propylen	% mol			Min. 20, maks. 30		JIS K2240
C4-indhold	% vol.	Vægt			Vinter: min. 60, Sommer: min. 85	KS M ISO 7941
Indhold af butan- og butylen				Min. 70, maks. 80		JIS K2240
Butadiene					maks. 0,5	KS M ISO 7941
< C3, > C4	% vol.	Maks. 2	Maks. 2			
Olefiner	% vol.	Maks. 12	Maks. 15			
Fordampningsrest	mg/kg	Maks. 50	Maks. 50			EN ISO 15470
Fordampningsrest (100 ml)	ml	-			0,05	ASTM D2158
Vand ved 0 °C		Fri				EN ISO 15469
Totalt svovlindhold	mg/kg	Maks. 10	Maks. 10			ASTM 6667
					Maks. 40	KS M 2150, ASTM D4486, ASTM D5504
Hydrogensulfid		Ingen	Ingen			ISO 8819
Kobberstrimmelkorrosion	Kategori	Gruppe 1	Gruppe 1			ISO 6251 [a]

Parametre	Enhed	Brændstof E1	Brændstof E2	Brændstof J	Brændstof K	Prøvningsmetode
Kobberkorrosion	40 °C, 1 time	-			1	KS M ISO 6251
Lugt		Karakteristika				
Motoroktantal		Min. 89	Min. 89			EN ISO 589 Bilag B
Damptryk (40 °C)	MPa	-	1,27			KS M ISO 4256 KS M ISO 8973
Massefylde (15 °C)	kg/m³	500			620	KS M 2150, KS M ISO 3993 KS M ISO 8973

([a]) Denne metode giver ikke nødvendigvis en nøjagtig bestemmelse af tilstedeværende korroderende stoffer, hvis prøven indeholder korrosionsinhibitorer eller andre kemikalier, som nedsætter korrosiviteten af prøven over for kobberstrimlen. Tilsætning af sådanne forbindelser alene med det formål at påvirke prøvningsmetoden er derfor forbudt.

4.2. NG/biomethan

4.2.1. "G20" "High Gas" (nominelt 100 % methan)

Tabel A3/9

Denne tabel finder kun anvendelse på niveau 1A og niveau 2

"G20" "High Gas" (nominelt 100 % methan)

Karakteristika	Enheder	Grundlag	Grænseværdier		Prøvningsmetode
			Minimum	Maksimum	
Sammensætning:					
Methan	mol %	100	99	100	ISO 6974
Vægt ([a])	% mol	—	—	1	ISO 6974
N2	mol %				ISO 6974
Svovlindhold	mg/m³ ([b])	—	—	10	ISO 6326-5
Wobbe-indeks (netto)	MJ/m³ ([c])	48,2	47,2	49,2	

([a]) Inaktive (forskellig fra N_2) + C2 + C2+.
([b]) Værdien fastlægges ved 293,15 K (20 °C) og 101,325 kPa.
([c]) Værdien fastlægges ved 273,15 K (0 °C) og 101,325 kPa.

4.2.2. (Reserveret)

4.2.3. "G25" "Low Gas" (nominelt 86 % methan)

Tabel A3/11

Denne tabel finder kun anvendelse på niveau 1A og niveau 2

"G25" "Low Gas" (nominelt 86 % methan)

Karakteristika	Enheder	Grundlag	Grænseværdier		Prøvningsmetode
			Minimum	Maksimum	
Sammensætning:					
Methan	mol %	86	84	88	ISO 6974
Vægt [a]	% mol	—	—	1	ISO 6974
N2	mol %	14	12	16	ISO 6974
Svovlindhold	mg/m^3 [b]	—	—	10	ISO 6326-5
Wobbe-indeks (netto)	MJ/m^3 [c]	39,4	38,2	40,6	

[a] Inaktive (forskellig fra N_2) + C2 + C2+.
[b] Værdien fastlægges ved 293,15 K (20 °C) og 101,325 kPa.
[c] Værdien fastlægges ved 273,15 K (0 °C) og 101,325 kPa.

4.2.4. "J-Gas" (nominelt 85 % methan)

Tabel A3/12

Denne tabel finder kun anvendelse på niveau 1B og niveau 2

"J-Gas" (nominelt 85 % methan)

Karakteristika	Enheder	Grænseværdier	
		Minimum	Maksimum
Methan	mol %	85	
Ethan	% mol		10
Propan	% mol		6
Butan	% mol		4
HC af C_3+C_4	% mol		8
HC af C_5 eller derover	% mol		0,1
Andre gasser (H_2+O_2+N_2+CO+CO_2)	% mol		1,0
Svovlindhold	mg/Nm^3		10
Wobbe-indeks	WI	13,260	13,730
Øvre brændværdi (GCV)	$kcal/Nm^3$	10,410	11,050
Maksimal forbrændingshastighed	MCP	36,8	37,5

4.2.5. Hydrogen

Dette punkt finder kun anvendelse på niveau 1A og niveau 2 (fase 4 WLTP-prøvning)

For ICE-køretøjer, der kører på hydrogen, anvendes det referencebrændstof, der er beskrevet i tabel A3/18.

5. Tekniske data om flydende brændstoffer til prøvning af køretøjer med kompressionstænding

5.1. J-Diesel (nominelt 53 cetan, B0)

Tabel A3/14

Denne tabel finder kun anvendelse på niveau 1B

J-Diesel (nominelt 53 cetan, B0)

Brændstofegenskab eller stoffets navn	Enheder	Specifikation		Prøvningsmetode
		Minimum	Maksimum	
Cetantal		53	57	JIS K2280 [a]
Massefylde	g/cm³	0,824	0,840	JIS K2249 [a]
Destillation:				
— 50 % destillationstemperatur	K (°C)	528 (255)	568 (295)	JIS K2254 [a]
— 90 % destillationstemperatur	K (°C)	573 (300)	618 (345)	JIS K2254 [a]
— slutkogepunkt	K (°C)		643 (370)	JIS K2254 [a]
Flammepunkt	K (°C)	331(58)		JIS K2265–3 [a]
Kinematisk viskositet ved 30 °C	mm2/s	3,0	4,5	JIS K2283 [a]
Alle aromatiske serier	vol %		25	JIS Method HPLC [a]
Polycykliske aromatiske hydrocarboner	vol %		5,0	JIS Method HPLC [a]
Svovlindhold	wt ppm		10	JIS K2541-1,2,6,7 [a]
FAME	%		0,1	Den metode, der er foreskrevet i meddelelsen om den japanske koncentrationsmålingsprocedure [a]
Triglycerid	%		0,01	Den metode, der er foreskrevet i meddelelsen om den japanske koncentrationsmålingsprocedure [a]

[a] Der kan anvendes en anden metode, der kan henføres til nationale eller internationale standarder.

5.2. (Reserveret)

5.3. (Reserveret)

5.4. E-Diesel (nominelt 52 cetan, B7)

Tabel A3/17

Denne tabel finder kun anvendelse på niveau 1A

E-Diesel (nominelt 52 cetan, B7)

Parametre	Enhed	Grænser [a]		Prøvningsmetode
		Minimum	Maksimum	
Cetantal		46,0		EN-ISO 4264
Cetantal [b]		52,0	56,0	EN-ISO 5165
Massefylde ved 15 °C	kg/m³	833,0	837,0	EN-ISO 12185
Destillation:				
— 50 % point	°C	245,0	—	EN-ISO 3405
— 95 % point	°C	345,0	360,0	EN-ISO 3405
— slutkogepunkt	°C	—	370,0	EN-ISO 3405
Flammepunkt	°C	55	—	EN ISO 2719
Uklarhedspunkt (cloud point)	°C	—	-10	EN ISO 3015
Viskositet ved 40 °C	mm²/s	2,30	3,30	EN-ISO 3104
Polycykliske aromatiske hydrocarboner	% m/m	2,0	4,0	EN ISO 12916
Svovlindhold	mg/kg	—	10,0	EN ISO 20846/ EN ISO 20884
Kobberstrimmelkorrosion (3 timer, 50 °C)		—	Gruppe 1	EN-ISO 2160
Kulstofrest efter Conradson (10 % destillationsrest)	% m/m	—	0,20	EN-ISO10370
Askeindhold	% m/m	—	0,010	EN-ISO 6245
Forureninger i alt	mg/kg		24	EN ISO 12662
Vandindhold	mg/kg	—	200	EN-ISO12937
Syretal	mg KOH/g	—	0,10	EN ISO 6618
Smøreegenskab (HFRR slidscanningsdiameter ved 60 °C)	µm	—	400	EN ISO 12156

Parametre	Enhed	Grænser [a]		Prøvningsmetode
		Minimum	Maksimum	
Oxidationsstabilitet ved 110 °C [c]	h	20,0		EN ISO 15751
FAME [d]	% v/v	6,0	7,0	EN ISO 14078

[a] De i specifikationerne anførte værdier er "sande værdier". Deres grænseværdier er fastsat i henhold til ISO 4259 "Petroleum products – Determination and application of precision data in relation to methods of test", idet minimumsværdien er fastsat på grundlag af en minimumsforskel på 2R større end nul; for maksimums- og minimumsværdi har minimumsforskellen været 4R (R = reproducerbarhed).
Uanset denne værdi, som er nødvendig af tekniske årsager, bør brændstoffabrikanten tilstræbe en nulværdi, hvor den anførte maksimumsværdi er 2R, og en gennemsnitsværdi, hvor der anføres maksimums- og minimumsgrænseværdier. Dersom det bliver nødvendigt at afgøre, om et brændstof opfylder kravene i specifikationerne, anvendes EN ISO 4259.

[b] Det angivne interval for cetantal opfylder ikke kravet om et område på mindst 4R. I tilfælde af tvist mellem brændstofleverandør og -bruger kan bestemmelserne i ISO 4259 imidlertid anvendes til afgørelse af tvistigheder, forudsat at målingerne gentages et tilstrækkeligt antal gange til, at den fornødne præcision kan opnås. Dette må foretrækkes frem for enkeltstående målinger.

[c] Selv om iltningsstabiliteten kontrolleres, må holdbarheden antages at være begrænset. Der bør indhentes retningslinjer for opbevaring og holdbarhed fra leverandøren.

[d] FAME-indholdet skal opfylde specifikationerne i DS/EN 14214.

Tabel A3/18

Diesel (B5H)

Parametre	Enhed	Grænser [a]		Prøvningsmetode (alt efter hvad der er relevant)
		Minimum	Maksimum	
Cetantal		46,0		EN-ISO 4264 JIS K2280
Cetantal [b]		52,0	56,0	EN-ISO 5165
Massefylde ved 15 °C	kg/m^3	833,0	837,0	EN-ISO 12185 JIS K2249
Destillation:				
— 50 % point	°C	245,0	—	EN-ISO 3405 JIS K2254
— 95 % point	°C	345,0	360,0	EN-ISO 3405 JIS K2254
— slutkogepunkt	°C	—	370,0	EN-ISO 3405 JIS K2254
Flammepunkt	°C	55	—	EN ISO 2719 JIS K2265-3
Uklarhedspunkt (cloud point)	°C	—	-10	EN ISO 3015
Viskositet ved 40 °C	mm^2/s	2,30	3,30	EN-ISO 3104 JIS K2283
Polycykliske aromatiske hydrocarboner	% m/m	2,0	4,0	EN ISO 12916 JIS method HPLC

Parametre	Enhed	Grænser [a]		Prøvningsmetode (alt efter hvad der er relevant)
		Minimum	Maksimum	
Svovlindhold	mg/kg	—	10,0	EN ISO 20846/ EN ISO 20884 JIS K2541-1,2,6,7
Kobberstrimmelkorrosion (3 timer, 50 °C)		—	Gruppe 1	EN-ISO 2160
Kulstofrest efter Conradson (10 % destillationsrest)	% m/m	—	0,20	EN-ISO10370
Askeindhold	% m/m	—	0,010	EN-ISO 6245
Forureninger i alt	mg/kg		24	EN ISO 12662
Vandindhold	mg/kg	—	200	EN-ISO12937
Syretal	mg KOH/g	—	0,10	EN ISO 6618
Smøreegenskab (HFRR slidscanningsdiameter ved 60 °C)	µm	—	400	EN ISO 12156
Oxidationsstabilitet ved 110 °C [c]	h	20,0		EN ISO 15751
FAME [d]	% v/v	4,5	5,0	EN ISO 14078

[a] De i specifikationerne anførte værdier er "sande værdier". Deres grænseværdier er fastsat i henhold til ISO 4259 "Petroleum products – Determination and application of precision data in relation to methods of test", idet minimumsværdien er fastsat på grundlag af en minimumsforskel på 2R større end nul; for maksimums- og minimumsværdi har minimumsforskellen været 4R (R = reproducerbarhed).
Uanset denne værdi, som er nødvendig af tekniske årsager, bør brændstoffabrikanten tilstræbe en nulværdi, hvor den anførte maksimumsværdi er 2R, og en gennemsnitsværdi, hvor der anføres maksimums- og minimumsgrænseværdier. Dersom det bliver nødvendigt at afgøre, om et brændstof opfylder kravene i specifikationerne, anvendes EN ISO 4259.

[b] Det angivne interval for cetantal opfylder ikke kravet om et område på mindst 4R. I tilfælde af tvist mellem brændstofleverandør og -bruger kan bestemmelserne i ISO 4259 imidlertid anvendes til afgørelse af tvistigheder, forudsat at målingerne gentages et tilstrækkeligt antal gange til, at den fornødne præcision kan opnås. Dette må foretrækkes frem for enkeltstående målinger.

[c] Selv om iltningsstabiliteten kontrolleres, må holdbarheden antages at være begrænset. Der bør indhentes retningslinjer for opbevaring og holdbarhed fra leverandøren.

[d] FAME-indholdet skal opfylde specifikationerne i DS/EN 14214.

6. Tekniske data for brændstoffer til prøvning af brændselscellekøretøjer

6.1. Komprimeret hydrogengas til brændselscellekøretøjer

Tabel A3/18

Hydrogen til brændselscellekøretøjer

Karakteristika	Enheder	Grænseværdier		Prøvningsmetode
		Minimum	Maksimum	
Hydrogenbrændstofindeks	% molbrøk	99,97		[a]
Samlede ikke-hydrogene gasser	µmol/mol		300	

Karakteristika	Enheder	Grænseværdier		Prøvningsmetode
		Minimum	Maksimum	
Lister over andre gasser end hydrogen og specifikation af hvert forurenende stof ([f])				
Vand (H_2O)	µmol/mol		5	([e])
Samlede carbonhydrider ([b]) undtagen methan (C1-ækvivalenter)	µmol/mol		2	([e])
Methan (CH_4)	µmol/mol		100	([e])
Oxygen (O_2)	µmol/mol		5	([e])
Helium (He)	µmol/mol		300	([e])
Nitrogen (N_2) og Argon i alt (Ar) ([b])	µmol/mol		300	([e])
Carbondioxid (CO_2)	µmol/mol		2	([e])
Carbonmonoxid (CO) ([c])	µmol/mol		0,2	([e])
Samlede svovlforbindelser ([d]) (H_2S-basis)	µmol/mol		0,004	([e])
Formaldehyd (HCHO)	µmol/mol		0,2	([e])
Myresyre (HCOOH)	µmol/mol		0,2	([e])
Ammoniak (NH3)	µmol/mol		0,1	([e])
Samlede halogenerede forbindelser ([e]) (Halogeneret ionbasis)	µmol/mol		0,05	([e])

([a]) Hydrogenbrændstofindekset bestemmes ved at trække "de samlede ikke-hydrogene gasser" i denne tabel, angivet i mol-%, fra 100 mol-%.
([b]) De samlede carbonhydrider omfatter oxygenerede organiske arter.
([c]) summen af målt CO, HCHO og HCOOH må ikke overstige 0,2 µmol/mol
([d]) Som minimum skal de samlede svovlforbindelser omfatte H_2S, COS, CS_2 og mercaptaner, som typisk findes i naturgas.
([e]) Prøvningsmetoden skal dokumenteres. Prøvningsmetoderne i ISO21087, er at foretrække.
([f]) Analysen af specifikke forurenende stoffer, afhængigt af fremstillingsprocessen, er undtaget. Køretøjsfabrikanten skal give den kompetente myndighed en begrundelse for at undtage bestemte forurenende stoffer.

7. Tekniske data for brændstoffer til type 4-prøvning af fordampningsemissioner

Tabel A3/19

Benzinreferencebrændstof til type 4-prøvning

Parametre	Enhed	Grænseværdier		Prøvningsmetode
		Minimum	Maksimum	
Research-oktantal (RON)		95,0	98,0	EN ISO 5164 JIS K2280
Massefylde ved 15 °C	kg/m³	743,0	756,0	EN ISO 12185 JIS K2249-1,2,3
Damptryk	kPa	56,0	60,0	EN 13016-1 JIS K2258-1,2
Destillation:				
— fordampet ved 70 °C	% v/v	34,0	46,0	EN ISO 3405
— fordampet ved 100 °C	% v/v	54,0	62,0	EN ISO 3405
— fordampet ved 150 °C	% v/v	86,0	94,0	EN ISO 3405
Carbonhydridanalyse:				
— olefiner	% v/v	6,0	13,0	EN ISO 22854 JIS K2536-1,2
— aromater	% v/v	25,0	32,0	EN ISO 22854 JIS K2536-1,2,3
— benzen	% v/v	-	1,00	EN ISO 22854 EN ISO 238 JIS K2536-2,3,4
Oxygenindhold	% m/m	3,3	3,7	EN ISO 22854 JIS K2536-2,4,6
Svovlindhold	mg/kg	—	10	EN ISO 20846 EN ISO 20884 JIS K2541-1,2,6,7
Blyindhold	mg/l	Ikke påvist		EN ISO 237 JIS K2255
Ethanol	% v/v	9,0	10,0	EN ISO 22854 JIS K2536-2,4,6

Parametre	Enhed	Grænseværdier		Prøvningsmetode
		Minimum	Maksimum	
MTBE		Ikke påvist		JIS K2536-2,4,5,6 [a]
Methanol		Ikke påvist		JIS K2536-2,4,5,6 [a]
Petroleum		Ikke påvist		JIS K2536-2,4 [a]

[a] Der kan anvendes en anden metode, der kan henføres til nationale eller internationale standarder.

Kun for niveau 1B:

For køretøjer, hvor fabrikanten ikke anbefaler anvendelse af E10-brændstof, anvendes de brændstoffer, der er defineret i punkt 3.1 eller 3.3 i dette bilag, i stedet for de brændstoffer, der er defineret i dette punkt.

BILAG B4

Køremodstand og indstilling af dynamometer

1. Anvendelsesområde

I dette bilag beskrives fastlæggelsen af køremodstand for et prøvningskøretøj og overførslen af denne køremodstand til et chassisdynamometer.

2. Begreber og definitioner

2.1. I dette dokument har begreberne og definitionerne i punkt 3 i dette regulativ forrang. Hvor der ikke findes definitioner i punkt 3 i dette regulativ, finder definitionerne i ISO 3833:1977 "Road vehicles — Types — Terms and definitions" anvendelse.

2.2. Referencehastighedspunkterne startes ved 20 km/h i gradvise trin på 10 km/h og med den højeste referencehastighed i henhold til følgende bestemmelser:

a) Det højeste referencehastighedspunkt skal være 130 km/h eller referencehastighedspunktet umiddelbart over maksimalhastigheden for den gældende prøvningscyklus, hvis denne værdi er mindre end 130 km/h. Hvis den gældende prøvningscyklus indeholder mindre end 4 faser (lav, middel, høj og ekstra høj), kan den højeste referencehastighed efter anmodning fra fabrikanten og efter godkendelse fra den kompetente myndighed forhøjes til referencehastighedspunktet umiddelbart over maksimalhastigheden for den næste højere fase, men ikke over 130 km/h; i dette tilfælde bestemmes køremodstanden og indstillingen af chassisdynamometeret med de samme referencehastighedspunkter.

b) Hvis et referencehastighedspunkt, der er gældende for cyklussen plus 14 km/h er lig med eller større end køretøjets maksimalhastighed v_{max}, skal dette referencehastighedspunkt udelukkes fra friløbsprøvningen og fra indstillingen af chassisdynamometeret. Det næste lavere referencehastighedspunkt bliver det højeste referencehastighedspunkt for køretøjet.

2.3. Medmindre andet er angivet, beregnes et cyklusenergikrav i henhold til punkt 5 i bilag B7 over målhastighedskurven for den gældende kørecyklus.

2.4. f_0, f_1, f_2 er køremodstandskoefficienterne i køremodstandsligningen $F = f_0 + f_1 \times v + f_2 \times v^2$ fastlagt efter dette bilag.

f_0 er den konstante køremodstandskoefficient, som skal afrundes i overensstemmelse med punkt 6.1.8 i dette regulativ til én decimal, N

f_1 er førstegradskoefficienten for køremodstand, som skal afrundes i overensstemmelse med punkt 6.1.8 i dette regulativ til tre decimaler, N/(km/h)

f_2 er andengradskoefficienten for køremodstand, som skal afrundes i overensstemmelse med punkt 6.1.8 i dette regulativ til fem decimaler, $N/(km/h)^2$.

Medmindre andet er anført, beregnes køremodstandskoefficienterne med en mindste kvadraters regressionsanalyse over rækken af referencehastighedspunkter.

2.5. Roterende masse

2.5.1. Bestemmelse af m_r

m_r er den ækvivalente effektive masse af alle hjulene og de køretøjsdele, som roterer med hjulene på vejen, mens gearkassen er i frigear, i kilogram (kg). m_r måles eller beregnes ved hjælp af en passende teknik, som er godkendt af den kompetente myndighed. Alternativt kan m_r anslås til 3 procent af den samlede masse i køreklar stand og 25 kg.

2.5.2. Anvendelse af den roterende masse på køremodstanden

Friløbstider skal overføres til kræfter og omvendt under hensyntagen til den gældende prøvningsmasse plus m_r. Dette gælder såvel for målinger på vej som på et chassisdynamometer.

2.5.3. Anvendelse af den roterende masse på inertiindstillingen

Hvis køretøjet prøves på et dynamometer i 4WD-funktion, indstilles den ækvivalente inertimasse på chassisdynamometeret til den relevante prøvningsmasse.

Ellers indstilles den ækvivalente inertimasse på chassisdynamometeret til prøvningsmassen plus enten den ækvivalente effektive masse af hjulene, der ikke påvirker måleresultaterne, eller 50 procent af m_r.

2.6. Yderligere masse, som skal indgå i prøvningsmassen, skal anvendes på en sådan måde, at vægtfordelingen for køretøjet er omtrent den samme som for køretøjet med massen i køreklar stand. For køretøjer i klasse N eller personbiler afledt af køretøjer i klasse N skal ekstra masse skal være placeret på en repræsentativ måde og skal begrundes over for den kompetente myndighed på dennes anmodning. Vægtfordelingen på køretøjet skal registreres og skal anvendes ved enhver efterfølgende prøvning, der indebærer bestemmelse af køremodstand.

3. Generelle krav

Fabrikanten er ansvarlig for nøjagtigheden af køremodstandskoefficienterne og skal sikre dette for hvert fremstillet køretøj i køremodstandsfamilien. Tolerancer inden for fastlæggelsen af køremodstand, simulering og beregningsmetoder må ikke anvendes til at undervurdere køremodstanden for fremstillede køretøjer. På anmodning fra den kompetente myndighed påvises nøjagtigheden af køremodstandskoefficienterne for et individuelt køretøj.

3.1. Den samlede nøjagtighed, præcision, opløsning og hyppighed

Den krævede samlede målenøjagtighed skal være som følger:

a) Køretøjets hastighedsnøjagtighed: ± 0,2 km/h med en målefrekvens på mindst 10 Hz

b) Tid: min. nøjagtighed: ± 10 ms min. nøjagtighed og opløsning: 10 ms

c) Nøjagtighed af hjulmoment: ± 6 Nm eller ± 0,5 procent af det højeste målte samlede moment, alt efter hvad der er størst, for hele køretøjet med en målefrekvens på mindst 10 Hz.

d) Nøjagtighed af vindhastighed: ± 0,3 m/s med en målefrekvens på mindst 1 Hz

e) Nøjagtighed af vindretning: ± 3° med en målefrekvens på mindst 1 Hz

f) Nøjagtighed af atmosfærisk temperatur: ± 1 °C med en målefrekvens på mindst 0,1 Hz

g) Nøjagtighed af atmosfæretryk: ± 0,3 kPa med en målefrekvens på mindst 0,1 Hz

h) Nøjagtighed af køretøjets masse, målt på samme vægt før og efter prøvningen: ± 10 kg (± 20 kg for køretøjer > 4 000 kg)

i) Nøjagtighed af dæktryk: ±5 kPa

j) Hjulets omdrejningshastighed, nøjagtighed: ± 0,05 s^{-1} eller 1 procent, alt efter hvad der er størst.

3.2. Vindtunnelkriterier

3.2.1. Vindhastighed

Vindhastigheden under målingen skal ligge inden for ± 2 km/h ved midten af prøvningssektionen. Den mulige vindhastighed skal være mindst 140 km/h.

3.2.2. Lufttemperatur

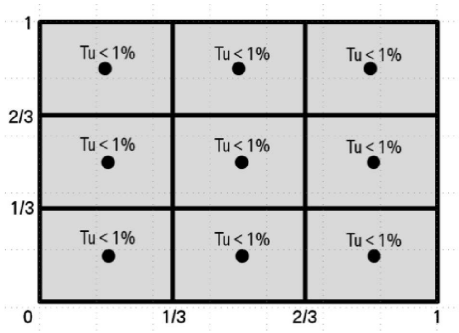
Lufttemperaturen under målingen skal ligge inden for ± 3 °C ved midten af prøvningssektionen. Lufttemperaturen fordeling på dyseudgangen skal holdes inden for ±3 °C.

3.2.3. Turbulens

For et 3 × 3 net fordelt ligeligt over hele dysens afgangsåbning må turbulensintensiteten **Tu** overstige 1 procent. Se figur A4/1.

Figur A4/1

Turbulensintensitet



$$\mathbf{Tu} = \frac{\mathbf{u}'}{\mathbf{U}_\infty}$$

hvor:

Tu er turbulensintensiteten

u' er udsvinget i turbulenshastighed, m/s

$\mathbf{U}_\infty$ er den fristrømningshastigheden, m/s.

3.2.4. Blokeringsforhold (solide emner)

Køretøjets blokeringsforhold $\boldsymbol{\varepsilon}_{\mathbf{sb}}$udtrykt som forholdet mellem køretøjets frontareal og arealet af dysens afgangsåbning beregnet ved følgende ligning, må ikke overstige 0,35.

$$\boldsymbol{\varepsilon}_{\mathbf{sb}} = \frac{\mathbf{A}_\mathbf{f}}{\mathbf{A}_{\mathbf{nozzle}}}$$

hvor:

$\boldsymbol{\varepsilon}_{\mathbf{sb}}$ er køretøjet blokeringsforhold

$\mathbf{A}_\mathbf{f}$ er køretøjets frontareal (m^2)

$\mathbf{A_{nozzle}}$ dysens afgangsåbning (m^2).

3.2.5. Roterende hjul

For at kunne bestemme den aerodynamiske påvirkning fra hjulene, skal prøvningskøretøjets hjul rotere med en sådan hastighed, at den deraf følgende køretøjshastighed ligger inden for en tolerance på ± 3 km/h af vindhastigheden.

3.2.6. Bevægeligt bælte

For at simulere væskestrømningen på undervognen af prøvningskøretøjet skal vindtunnelen have et bevægeligt bælte, der strækker sig fra køretøjets forende til bagenden. Det bevægelige bæltes hastighed skal ligge inden for ± 3 km/h af vindhastigheden.

3.2.7. Væskestrømningsvinkel

På ni punkter jævnt fordelt over dysearealet må middelkvadratafvigelsen for både spidsvinklen α og giringsvinklen β (Y-, Z-planet) på dysen ikke overstige 1°.

3.2.8. Lufttryk

På ni jævnt fordelte punkter over dysens afgangsåbningsareal skal standardafvigelsen for det samlede tryk på dysens afgangsåbning være mindre end eller lig med 0,02.

$$\boldsymbol{\sigma}\left(\frac{\boldsymbol{\Delta P_t}}{\mathbf{q}}\right) \leq \mathbf{0.02}$$

hvor:

$\boldsymbol{\sigma}$ er standardafvigelsen for trykforholdet $\left(\frac{\boldsymbol{\Delta P_t}}{\mathbf{q}}\right)$

$\boldsymbol{\Delta P_t}$ er variationen i totaltryk mellem målepunkterne (N/m^2)

$\mathbf{q}$ er det dynamiske tryk (N/m^2).

Den absolutte forskel i trykkoefficienten **cp**over en afstand af 3 m foran og 3 m bagved balancecentrum i den tomme prøvningssektion og i en højde ved midten af dysens afgangsåbning må ikke afvige med mere end ± 0,02.

$$|\mathbf{cp_{x=+3m}} - \mathbf{cp_{x=-3m}}| \leq 0{,}02$$

hvor:

cp er trykkoefficienten.

3.2.9. Grænselagstykkelse

Ved $\mathbf{x = 0}$ (balancecentrum) skal vindhastigheden have mindst 99 procent af tilstrømningshastigheden 30 mm over vindtunnelens gulv.

$$\boldsymbol{\delta_{99}}(\mathbf{x = 0m}) \leq \mathbf{30}\ \text{mm}$$

hvor:

δ_{99} er afstanden vinkelret på vejbanen, hvor 99 procent af fristrømningshastigheden nås (grænselagstykkelse).

3.2.10. Fastholdelsesblokeringsforhold

Fastholdelsessystemets montering må ikke være foran køretøjet. Det relative blokeringsforhold for køretøjets frontareal på grund af fastholdelsessystemet, ε_{restr}, må ikke overstige 0,10.

$$\varepsilon_{restr} = \frac{A_{restr}}{A_f}$$

hvor:

ε_{restr} er det relative blokeringsforhold af fastholdelsessystemet

A_{restr} er den forreste del af fastholdelsessystemet projiceret på dyseoverfladen (m^2)

A_f er køretøjets frontareal (m^2).

3.2.11. Målenøjagtighed for balancen i x-retningen

Unøjagtigheden af den deraf følgende kraft i x-retningen må ikke overstige ± 5 N. Afviklingen af den målte kraft skal være inden for ± 3 N.

3.2.12. Målingspræcision

Præcisionen af den målte kraft skal være inden for ± 3 N.

4. Køremodstandsmåling på vej

4.1. Krav til vejprøvning

4.1.1. Atmosfæriske forhold ved vejprøvning

Atmosfæriske forhold (vindforhold, atmosfærisk temperatur og atmosfærisk tryk) måles i overensstemmelse med punkt 3.1 i dette bilag. Kun de atmosfæriske forhold, der måles under måling af friløbstid og/eller målilng af drejningsmoment, må anvendes til at kontrollere dataenes gyldighed og korrektioner.

4.1.1.1. Tilladte vindforhold, når der anvendes stationær anemometri og mobil anemometri

4.1.1.1.1. Tilladte vindforhold, når der anvendes stationær anemometri

Vindhastigheden måles på en lokalitet og ved en højde over vejniveau på prøvestrækningen, hvor de mest repræsentative vindforhold optræder. Hvis det ikke er muligt at foretage prøvning i modsatte retninger på samme del af prøvebanen (f.eks. på en oval prøvebane med obligatorisk køreretning), skal vindhastighed og -retning måles på modsatte dele af prøvebanen.

Vindforholdene under kørselspar skal opfylde alle følgende kriterier:

a) Vindhastigheden skal være mindre end 5 m/s over et glidende gennemsnitstidsrum på 5 sekunder

b) De maksimale vindhastigheder må ikke overstige 8 m/s i mere end 2 på hinanden følgende sekunder.

c) Den aritmetiske gennemsnitsvektorkomponent af vindhastigheden på tværs af prøvestrækningen skal være under 2 m/s.

Vindkorrektionen beregnes i overensstemmelse med punkt 4.5.3 i dette bilag.

4.1.1.1.2. Tilladte vindforhold, når der anvendes mobil anemometri

Ved prøvning med mobilt anemometer anvendes en anordning som beskrevet i punkt 4.3.2 i dette bilag.

Vindforholdene under kørselspar skal opfylde alle følgende kriterier:

a) Det aritmetiske gennemsnit af vindhastigheden skal være under 7 m/s.

b) De maksimale vindhastigheder må ikke overstige 10 m/s i mere end 2 på hinanden følgende sekunder.

c) Den aritmetiske gennemsnitsvektorkomponent af vindhastigheden på tværs af prøvestrækningen skal være under 4 m/s.

4.1.1.2. Atmosfærisk temperatur

Den atmosfæriske temperatur skal være mellem 5 °C og 40 °C.

Efter fabrikantens valg kan friløb udføres mellem 1 °C og 40 °C.

Hvis forskellen mellem den højeste og den laveste temperatur under friløbsprøvningen er mere end 5 °C foretages temperaturkorrektion særskilt for hver kørsel med det aritmetiske gennemsnit af omgivelsestemperaturen for denne kørsel.

I så fald bestemmes og korrigeres værdierne for køremodstandskoefficienterne f_0, f_1 og f_2 for hvert kørselspar. Det endelige sæt af f_0, f_1 og f_2-værdier skal være det aritmetiske gennemsnit af de individuelt korrigerede koefficienter, henholdsvis f_0, f_1 og f_2.

4.1.2. Prøvestrækning

Vejens overflade skal være flad, jævn, ren, tør og fri for forhindringer eller vindbarrierer, der kan være til gene for målingen af køremodstand, og dens struktur og sammensætning skal være repræsentativ for de aktuelle by- og landevejsoverflader, dvs. ingen landingsbanespecifik overflade. Den langsgående hældning af prøvebanen må ikke overstige ± 1 %. Den lokale hældning mellem punkter 3 m fra hinanden må ikke afvige med mere end ± 0,5 % fra denne langsgående hældning. Hvis det ikke er muligt at foretage prøvning i modsatte retninger på samme del af prøvebanen (f.eks. på en oval prøvebane med obligatorisk køreretning), skal summen af langsgående hældning for parallelle banesegmenter være mellem 0 og en opadgående hældning på 0,1 procent. Hældning udefter på prøvestrækningen må ikke overstige 1,5 procent.

4.2. Klargøring

4.2.1. Prøvningskøretøj

Hvert prøvningskøretøj skal i alle sine komponenter være i overensstemmelse med produktionsserien (f.eks. skal sidespejle være placeret i samme position som ved køretøjets normale drift, karrosseriåbninger må ikke være forseglede), eller, hvis køretøjet er forskelligt fra seriekøretøjet, skal der registreres en fuldstændig beskrivelse.

4.2.1.1. Krav til udvælgelsen af prøvningskøretøjet

4.2.1.1.1. Uden anvendelse af interpolationmetode

Et prøvningskøretøj (køretøj H) med en kombination af køremodstandsrelevante karakteristika (masse, aerodynamisk modstand og rullemodstand), der giver det største cyklusenergikrav, skal udvælges fra interpolationsfamilien (se punkt 6.3.2 og 6.3.3 i dette regulativ).

Hvis den aerodynamiske påvirkning af de forskellige fælge inden for en interpolationsfamilie ikke er kendt, skal udvælgelsen ske på grundlag af den højeste forventede aerodynamiske modstand. Som hovedregel kan den højeste aerodynamiske modstand forventes for de hjul, der har a) den største bredde, b) den største diameter og c) den mest åbne struktur (i denne rækkefølge).

Udvælgelsen af hjul skal ske som supplement til kravet om det største cyklusenergikrav.

4.2.1.1.2. Ved anvendelse af en interpolationmetode

Efter anmodning fra fabrikanten kan der anvendes en interpolationsmetode.

I dette tilfælde udvælges to prøvningskøretøjer fra den familie, der er i overensstemmelse med de pågældende familiekrav.

Prøvningskøretøj H skal være det køretøj, hvis cyklusenergikrav er blandt de højeste – helst det højeste – blandt de udvalgte køretøjer, og prøvningskøretøj L skal være det køretøj, hvis cyklusenergikrav er blandt de laveste – helst det laveste – blandt de udvalgte køretøjer.

Alt ekstraudstyr og/eller udformninger, som er ikke valgt til at indgå i interpolationsmetoden, skal være identiske på begge prøvningskøretøjerne H og L, således at disse eksemplarer af valgfrit udstyr udgør den mest cyklusenergikrævende kombination på grund af deres køremodstandsrelevante karakteristika (masse, aerodynamisk modstand og rullemodstand).

I det tilfælde, hvor individuelle køretøjer kan forsynes med et komplet sæt standardhjul og -dæk og desuden et komplet sæt snedæk (markeret med 3 Peaked Mountain og Snowflake — 3PMS) med eller uden hjul, betragtes de ekstra hjul/dæk ikke som ekstraudstyr.

4.2.1.1.2.1. Følgende krav mellem køretøjerne H og L skal være opfyldt med hensyn til køremodstandsrelevante karakteristika:

a) For at muliggøre ekstrapolering af køremodstandskoefficienterne:

i) Hvis f_{0_ind} er under $f^*_{0_L}$ eller over f_{0_H} som defineret i punkt 3.2.3.2.2.4 i bilag B7 ved udførelse af beregningen i punkt 3.2.3.2.2.4 i bilag B7, kræves følgende minimumsforskelle mellem H og L:

Rullemodstand på mindst 1,0 kg/ton og en masse på mindst 30 kg; i tilfælde af RR mellem 0 og 1,0 erstattes minimum af masseforskellen med 100 kg i stedet for 30 kg.

ii) Hvis f_{2_ind} er under $f^*_{2_L}$ eller over f_{2_H} som defineret i punkt 3.2.3.2.2.4 i bilag B7 ved udførelse af beregningen i punkt 3.2.3.2.2.4 i bilag B7, kræves følgende minimumsforskel mellem H og L:

Aerodynamisk modstand ($C_D \times A_f$) på mindst 0,05 m^2. Hvis fabrikanten kan påvise, at resultaterne efter en ekstrapolering stadig er rationelle, kan minimumskriterierne i nr. i) -iii) ovenfor fraviges.

b) For hvert køremodstandskarakteristikum (dvs. masse, aerodynamisk modstand og dæks rullemodstand) og for køremodstandskoefficienterne f_0 og f_2 skal værdien af køretøj H være højere end værdien for køretøj L, ellers anvendes worst case for den pågældende køremodstandsrelevante egenskab. Efter anmodning fra fabrikanten og efter godkendelse fra den kompetente myndighed kan kravene i dette punkt fraviges.

4.2.1.1.2.2. For at opnå en tilstrækkeligt forskel mellem køretøj H og køretøj L for en bestemt køremodstandsrelevant egenskab og for at opfylde kriterierne i punkt 4.2.1.1.2.1 i dette bilag, kan fabrikanten kunstigt forværre køretøj H, f.eks. ved at anvende en højere prøvningsmasse.

4.2.1.2. Krav til familier

4.2.1.2.1. Betingelser for anvendelse af interpolationsfamilie uden at bruge interpolationsmetoden

Mht. kriterierne for at definere en interpolationsfamilie, se punkt 6.3.2 i dette regulativ.

4.2.1.2.2. Betingelserne for anvendelse af interpolationsfamilien med brug af interpolationsmetoden er:

a) Opfyldelse af de interpolationsfamiliekriterier, der er anført i punkt 6.3.2 i dette regulativ

b) Opfyldelse af kravene i punkt 2.3.1 og 2.3.2 i bilag B6

c) Udførelse af beregningerne i punkt 3.2.3.2 i bilag B7.

4.2.1.2.3. Betingelser for anvendelse af køremodstandsfamilien

4.2.1.2.3.1. Efter anmodning fra fabrikanten og efter opfyldelse af kriterierne i punkt 6.3.3 i dette regulativ beregnes køremodstandsværdierne for køretøjerne H og L i en interpolationsfamilie.

4.2.1.2.3.2. Prøvningskøretøjerne H og L som defineret i punkt 4.2.1.1.2 i dette bilag benævnes H_R og L_R med hensyn til køremodstandsfamilie.

4.2.1.2.3.3. Forskellen i cyklusenergikrav mellem H_R og L_R i køremodstandsfamilien skal være mindst 4 procent og må ikke overstige 35 procent baseret på HR for en hel WLTC klasse 3- cyklus.

Hvis mere end én transmission er inkluderet i køremodstandsfamilien, skal den transmission, der har det højeste effekttab, anvendes ved bestemmelse af køremodstand.

4.2.1.2.3.4. Hvis køremodstandsdelta for køretøjsoptionen forårsager den friktionsforskel, der er bestemt i overensstemmelse med punkt 6.8 i dette bilag, beregnes en ny køremodstandsfamilie, som omfatter køremodstandsdelta i køretøj L og H for denne nye køremodstandsfamilie.

$$\mathbf{f_{0,N} = f_{0,R} + f_{0,Delta}}$$

$$\mathbf{f_{1,N} = f_{1,R} + f_{1,Delta}}$$

$$\mathbf{f_{2,N} = f_{2,R} + f_{2,Delta}}$$

hvor:

N henviser til køremodstandskoefficienterne i den nye køremodstandsfamilie

R henviser til køremodstandskoefficienterne i referencekøremodstandsfamilien Delta henviser til deltakøremodstandskoefficienterne fastsat i punkt 6.8.1 i dette bilag.

4.2.1.3. Tilladte kombinationer af prøvningskøretøjsudvælgelse og krav vedrørende familier

Tabel A4/1 viser tilladte kombinationer af prøvningskøretøjsudvælgelse og krav vedrørende familier som beskrevet i punkt 4.2.1.1 og 4.2.1.2 i dette bilag.

Tabel A4/1

Tilladte kombinationer af prøvningskøretøjsudvælgelse og krav vedrørende familier

Krav, der skal opfyldes:	1) Uden interpolationsmetode	2) Interpolationsmetode uden køremodstandsfamilie	3) Anvendelse af køremodstandsfamilien	4) Interpolationsmetode med anvendelse af en eller flere køremodstandsfamilier
Køremodstands-prøvningskøretøj	Punkt 4.2.1.1.1 i dette bilag.	Punkt 4.2.1.1.2 i dette bilag.	Punkt 4.2.1.1.2 i dette bilag.	ikke relevant
Familie	Punkt 4.2.1.2.1 i dette bilag.	Punkt 4.2.1.2.2 i dette bilag.	Punkt 4.2.1.2.3 i dette bilag.	Punkt 4.2.1.2.2 i dette bilag.
Ekstra	ingen	ingen	ingen	Anvendelse af kolonne (3) "Anvendelse af køremodstandsfamilien" og anvendelse af punkt 4.2.1.3.1 i dette bilag.

4.2.1.3.1. Udledning af køremodstande for en interpolationsfamilie fra en køremodstandsfamilie

Køremodstanden for H_R og/eller L_R bestemmes efter dette bilag.

Køremodstanden for køretøjet H (og L) i en interpolationsfamilie inden for køremodstandsfamilien skal beregnes i overensstemmelse med punkt 3.2.3.2.2 til og med 3.2.3.2.2.4 i bilag B7:

a) Ved anvendelse af H_R og L_R fra køremodstandsfamilien i stedet for H og L som input til ligningerne

b) Ved hjælp af køremodstandsparametrene (prøvningsmassen, $\Delta(C_D \times A_f)$ sammenlignet med køretøj L_R og rullemodstanden) for køretøj H (eller L) fra interpolationsfamilien som input for det individuelle køretøj

c) Ved gentagelse af denne beregning for hvert køretøj H og L fra hver interpolationsfamilie i køremodstandsfamilien.

Køremodstandsinterpolation anvendes kun på de køremodstandsrelevante egenskaber, der blev identificeret som forskellige mellem prøvningskøretøj L_R og H_R. For andre køremodstandsrelevante karakteristika anvendes værdien af køretøjets H_R.

H og L for interpolationsfamilien kan være udledt fra forskellige køremodstandsfamilier. Hvis denne forskel mellem disse køremodstandsfamilier kommer fra anvendelsen af deltametoden, se punkt 4.2.1.2.3.4 i dette bilag.

4.2.1.4. Anvendelse af køremodstandsmatrixfamilien

Et køretøj, som opfylder kriterierne i punkt 6.3.4 i dette regulativ, dvs.:

a) er repræsentativt for de serier af komplette køretøjer, der tilsigtes omfattet af køremodstandsmatrix-familien med hensyn til de anslåede værste C_D-værdier og karosseriformer, og

b) er repræsentativt for de serier af køretøjer, der tilsigtes omfattet af køremodstandsmatrixfamilien med hensyn til anslået gennemsnit af massen af ekstraudstyr,

anvendes til at bestemme køremodstanden.

I tilfælde af at ingen repræsentativ karosseriform kan bestemmes for et komplet køretøj, skal prøvningskøretøjet skal være udstyret med en firkantet kasse med afrundede hjørner med en radius på højst 25 mm og med en bredde svarende til den maksimale bredde for køretøjer omfattet af køremodstandsmatrixfamilien og en samlet højde for prøvningskøretøjet på 3,0 m ± 0,1 m, inklusive kassen.

Fabrikanten og den kompetente myndighed skal aftale, hvilken køretøjsprøvningsmodel der er repræsentativ.

Værdierne af parametrene for køretøjets prøvningsmasse, rullemodstand og frontareal for både et køretøj H_M og et køretøj L_M skal fastlægges således, at køretøjet H_M har det største cyklusenergikrav, og køretøjet L_M har det laveste cyklusenergikrav i køremodstandsmatrixfamilien. Fabrikanten og den kompetente myndighed skal være enige om køretøjsparametrene for køretøjerne H_M og køretøjet L_M.

Køremodstanden for alle enkeltkøretøjer i køremodstandsmatrixfamilien, herunder H_M og L_M, beregnes i henhold til punkt 5.1 i dette bilag.

4.2.1.5. Bevægelige aerodynamiske karosseridele

Bevægelige aerodynamiske karosseridele på prøvningskøretøjerne skal under fastlæggelsen af køremodstand fungere i overensstemmelse med hensigterne i henhold til WLTP Type 1-prøvningsbetingelserne (prøvningstemperatur, køretøjets hastighed, accelerationsområde, motorbelastning, osv.).

Ethvert køretøjssystem, der dynamisk ændrer køretøjets aerodynamiske modstand (f.eks. ved hjælp af kontrol af køretøjets højde) skal anses for at være en bevægelig aerodynamisk karosseridel. Relevante krav tilføjes, hvis fremtidige køretøjer er udstyret med bevægelige aerodynamiske komponenter af ekstraudstyr, hvis indflydelse på luftmodstanden understøtter behovet for yderligere krav.

4.2.1.6. Vejning

Før og efter proceduren til bestemmelse af køremodstand vejes det udvalgte køretøj, herunder føreren og udstyret, med henblik på at fastlægge den aritmetiske gennemsnitlige masse, $\mathbf{m_{av}}$. Køretøjets masse skal være større end eller lig prøvningsmassen for køretøjet H eller køretøjet L ved påbegyndelsen af køremodstand proceduren til bestemmelse af køremodstand.

4.2.1.7. Forhold vedrørende prøvningskøretøjet

Prøvningskøretøjets konfiguration skal registreres og skal anvendes til alle efterfølgende friløbsprøvninger.

4.2.1.8. Prøvningskøretøjets tilstand

4.2.1.8.1. Tilkørsel

Prøvningskøretøjet skal med henblik på den efterfølgende prøvning være tilstrækkeligt kørt til i mindst 10 000 km, dog højst 80 000 km.

Alternativt kan der på fabrikantens anmodning anvendes følgende køretøjer:

a) et køretøj, som har kørt mindst 3 000 km

b) et indkørt køretøj i overensstemmelse med punkt 2.2 eller 2.3 i bilag B8 til dette regulativ.

4.2.1.8.2. Fabrikantens specifikationer

Køretøjet skal være i overensstemmelse med fabrikantens påtænkte specifikationer for seriekøretøjer med hensyn til:

a) dæktryk som beskrevet i punkt 4.2.2.3 i dette bilag

b) sporing af hjul som beskrevet i punkt 4.2.1.8.3 i dette bilag

c) frihøjde

d) køretøjets højde

e) smøremidler til fremdriftssystem og hjullejer og

f) for at undgå ikke-repræsentativ parasitmodstand, justering af bremser.

4.2.1.8.3. Sporing af hjul

Løbsvinkel og cambervinkel fastsættes til den største afvigelse fra køretøjets længdeakse inden for de tolerancer, der er angivet af fabrikanten. Hvis en fabrikant foreskriver værdier for løbsvinkel og cambervinkel for køretøjet, bør disse værdier anvendes. Efter anmodning fra fabrikanten kan værdier med større afvigelser fra køretøjets længdeakse end de foreskrevne værdier anvendes. De foreskrevne værdier skal være referencepunktet for al vedligeholdelse i løbet af køretøjets levetid.

Andre justerbare hjulindstillingsparametre (såsom styreboltens bagudhældning) skal indstilles til den værdi, som fabrikanten anbefaler. I mangel af anbefalede værdier skal de sættes til det aritmetiske gennemsnit for de tolerancer, der er angivet af fabrikanten.

Sådanne justerbare parametre og indstillede værdier registreres.

4.2.1.8.4. Lukkede paneler

Under fastlæggelse af køremodstand skal motorrum, bagagerum, manuelt betjente bevægelige paneler og alle vinduer skal være lukkede.

4.2.1.8.5. Køretøjsfriløbstilstand

Hvis de bestemte dynamometerindstillinger ikke kan opfylde de kriterier, der er beskrevet i punkt 8.1.3 eller 8.2.3 i dette bilag på grund af ikke-reproducerbarheden af visse faktorer, skal køretøjet være udstyret med en køretøjsfriløbstilstand. Køretøjets køretøjsfriløbstilstand skal godkendes, og dets anvendelse registreres af den kompetente myndighed.

Hvis et køretøj er udstyret med en køretøjsfriløbstilstand, skal den anvendes både under bestemmelse af køremodstand og på chassisdynamometeret.

4.2.2. Dæk

4.2.2.1. Dækkenes rullemodstand

Dækkenes rullemodstand måles i overensstemmelse med bilag 6 til ændringsserie 02 til FN-regulativ nr. 117 eller en internationalt accepteret ækvivalent. Rullemodstandskoefficienterne skal tilpasses efter de respektive regionale procedurer (f.eks. EU 1235/2011) og kategoriseres i henhold til rullemodstandsklasserne i tabel A4/2.

Tabel A4/2

Energieffektivitetsklasserne i overensstemmelse med rullemodstandskoefficienterne (RRC) for C1-, C2- og C3-dæk og de RRC-værdier, der skal anvendes til de pågældende energieffektivitetsklasser ved interpolation, kg/ton

Energieffektivitets-klasse	RRC-interval for C1-dæk	RRC-interval for C2-dæk	RRC-interval for C3-dæk
1	RRC ≤ 6,5	RRC ≤ 5,5	RRC ≤ 4,0
2	6,6 ≤ RRC ≤ 7,7	5,6 ≤ RRC ≤ 6,7	4,1 ≤ RRC ≤ 5,0
3	7,8 ≤ RRC ≤ 9,0	6,8 ≤ RRC ≤ 8,0	5,1 ≤ RRC ≤ 6,0

Energieffektivitets-klasse	RRC-interval for C1-dæk	RRC-interval for C2-dæk	RRC-interval for C3-dæk
4	9,1 ≤ RRC ≤ 10,5	8,1 ≤ RRC ≤ 9,0	6,1 ≤ RRC ≤ 7,0
5	RRC ≥10,6	RRC ≥ 9,1	RRC ≥ 7,1
Energieffektivitets-klasse	Værdi for rullemodstandskoefficient, som anvendes ved interpolation for C1-dæk	Værdi for rullemodstandskoefficient, som anvendes ved interpolation for C2-dæk	Værdi for rullemodstandskoefficient, som anvendes ved interpolation for C3-dæk
1	RRC = 5,9 (*)	RRC = 4,9 (*)	RRC = 3,5 (*)
2	RRC = 7,1	RRC = 6,1	RRC = 4,5
3	RRC = 8,4	RRC = 7,4	RRC = 5,5
4	RRC = 9,8	RRC = 8,6	RRC = 6,5
5	RRC = 11,3	RRC = 9,9	RRC = 7,5

(*) Kun for 4-faset WLTP-beregning af individuelle køretøjer: Hvis den faktiske RRC-værdi er lavere end denne værdi, anvendes dækkets faktiske rullemodstandsværdi eller en højere værdi op til den RRC-værdi, der er angivet her, til interpolation.

Hvis interpolationsmetode anvendes på rullemodstand, skal de faktiske værdier for rullemodstand for de dæk, der er monteret på prøvningskøretøjerne L og H, anvendes som input til interpolationsmetoden. For et individuelt køretøj i en interpolationsfamilie, skal RRC-værdien for energieffektivitetsklassen for de dæk, der er monteret, anvendes.

I det tilfælde, hvor individuelle køretøjer kan forsynes med et komplet sæt standardhjul og -dæk og desuden et komplet sæt snedæk (markeret med 3 Peaked Mountain og Snowflake — 3PMS) med eller uden hjul, betragtes de ekstra hjul/dæk ikke som ekstraudstyr.

4.2.2.2. Dækkenes tilstand

Dæk, der anvendes til prøvningen:

a) må ikke være ældre end 2 år efter køretøjets produktionsdato

b) må ikke være specielt konditionerede eller behandlede (f.eks. opvarmede eller kunstigt ældede) med undtagelse af slid på den oprindelige udformning af slidbanen

c) skal være tilkørt på vej mindst 200 km før bestemmelsen af køremodstand

d) skal have en konstant mønsterdybde før prøvningen på mellem 100 procent og 80 procent af den oprindelige mønsterdybde på et hvilket som helst sted i hele bredden af dækkets slidbane.

Efter måling af mønsterdybden skal kørselsdistance med dækket begrænses til 500 km. Hvis de 500 km overskrides, skal mønsterdybden måles igen.

4.2.2.3. Dæktryk

De forreste og bageste dæk skal oppumpes til den nedre dæktryksgrænse af det interval for den pågældende aksel med det valgte dæk på friløbsprøvningsmasse, som er angivet af køretøjets fabrikant.

4.2.2.3.1. Justering af dæktryk

Hvis forskellen mellem den omgivende temperatur og soak-temperaturen er over 5 °C, justeres dæktrykket som følger:

a) Dækkene skal henstå (soak) i mere end 1 time ved 10 procent over måltryk.

b) Forud for prøvningen skal dæktrykket reduceres til det dæktryk, som er specificeret i punkt 4.2.2.3 i dette bilag, justeret for forskellen mellem temperaturen ved soak-betingelser og den omgivende prøvningstemperatur ved en rate på 0,8 kPa/1 °C ved hjælp af følgende ligning:

$$\Delta \mathbf{p_t} = \mathbf{0.8} \times (\mathbf{T_{soak}} - \mathbf{T_{amb}})$$

hvor:

$\Delta \mathbf{p_t}$	justering af dæktrykket, føjet til det dæktryk, der er defineret i punkt 4.2.2.3 i dette bilag (kPa)
0,8	er trykjusteringsfaktoren (kPa/°C)
$\mathbf{T_{soak}}$	er dækkenes soak-temperatur (°C)
$\mathbf{T_{amb}}$	er omgivelsestemperaturen ved prøvning (°C).

c) I tidsrummet mellem dækjusteringen og køretøjets opvarmning skal dækkene skærmes mod ydre varmekilder, herunder solens stråler.

4.2.3. Instrumentering

Alle instrumenter skal være monteret på en sådan måde, at deres virkninger på køretøjets aerodynamiske karakteristika minimeres.

Hvis effekten af det installerede instrument på ($C_D \times A_f$) forventes at være større end 0,015 m^2, måles forskellen i køretøjsværdien ($C_D \times A_f$) med og uden instrumentet i en vindtunnel, der overholder kriterierne i punkt 3.2 i dette bilag. Den tilsvarende forskel trækkes fra f_2. Efter anmodning fra fabrikanten og efter godkendelse fra den kompetente myndighed, kan den målte værdi anvendes til lignende køretøjer, hvor påvirkningen fra udstyret forventes at være den samme.

4.2.4. Opvarmning af køretøjet

4.2.4.1. På vej

Opvarmning må kun udføres ved kørsel af køretøjet.

4.2.4.1.1. Inden opvarmning skal køretøjet decelereres, med koblingen frakoblet eller automatisk gearkasse i stillingen neutral, ved moderat nedbremsning fra 80 til 20 km/h i 5 til 10 sekunder. Efter denne bremsning må bremsesystemet ikke aktiveres eller manuelt justeres yderligere.

Efter anmodning fra fabrikanten og efter den kompetente myndigheds godkendelse kan bremserne aktiveres efter opvarmning med samme deceleration som beskrevet i dette punkt, og kun hvis det er nødvendigt.

4.2.4.1.2. Opvarmning og stabilisering

Alle køretøjer køres ved 90 procent af maksimalhastigheden i den gældende WLTC. Køretøjet kan køres ved 90 procent af maksimalhastigheden for den næste højere fase (se tabel A4/3), hvis denne fase lægges til den gældende WLTC-opvarmningsprocedure som defineret i punkt 7.3.4 i dette bilag. Køretøjet skal varmes op i mindst 20 minutter, indtil stabile forhold er til stede.

Tabel A4/3

Opvarmning og stabilisering på tværs af faser (alt efter hvad der er relevant)

Cyklus-gruppe	Gældende WLTC	90 procent af maksimalhastigheden	Næste højere fase
Gruppe 1	Lav_1 + $Medium_1$ + Lav_1	58 km/h	IKKE RELEVANT
Gruppe 2	Lav_2 + $Medium_2$ + $Høj_2$ + Ekstra $høj_2$	111 km/h	IKKE RELEVANT
	Lav_2 + $Medium_2$ + $Høj_2$	77 km/h	Ekstra høj (111 km/h)
Gruppe 3	Lav_3 + $Medium_3$ + $Høj_3$ + Ekstra $høj_3$	118 km/h	IKKE RELEVANT
	Lav_3 + $Medium_3$ + $Høj_3$	88 km/h	Ekstra høj (118 km/h)

4.2.4.1.3. Kriterium for stabil tilstand

Der henvises til punkt 4.3.1.4.2 i dette bilag.

4.3. Måling og beregning af køremodstand ved hjælp af friløbsmetoden

Køremodstanden bestemmes ved hjælp af enten stationær anemometri (punkt 4.3.1 i dette bilag) eller mobil anemometri (punkt 4.3.2 i dette bilag).

4.3.1. Friløbsmetoden ved hjælp af stationær anemometri

4.3.1.1. Udvælgelse af referencehastigheder til fastlæggelse af køremodstandskurve

Referencehastigheder til fastlæggelse af køremodstand skal udvælges i henhold til punkt 2.2. i dette bilag.

4.3.1.2. Indsamling af data

Under prøvningen skal den forløbne tid og køretøjets hastighed måles med en minimumsfrekvens på 10 Hz.

4.3.1.3. Procedure for køretøjets friløb

4.3.1.3.1. Efter køretøjets opvarmningsprocedure, der er beskrevet i punkt 4.2.4 i dette bilag, og umiddelbart før hver friløbskørsel skal køretøjet accelereres til en fart på 10 til 15 km/h højere end den højeste referencehastighed og køres ved denne hastighed i højst 1 minut. Herefter indledes friløbskørslen straks.

4.3.1.3.2. Under en friløbskørsel skal gearkassen være i frigear. Enhver bevægelse af rattet bør begrænses så meget som muligt, og køretøjets bremser må ikke betjenes.

4.3.1.3.3. Prøvningen gentages, indtil friløbsdata opfylder de statistiske præcisionskrav, der er nævnt i punkt 4.3.1.4.2 i dette bilag.

4.3.1.3.4. Selv om det anbefales, at hver friløbskørsel udføres uden afbrydelse, kan friløbsprøvningen, hvis data ikke kan indsamles på en enkelt kørsel for alle referencehastighedspunkter, udføres med friløbskørsler, hvor de første og sidste referencehastigheder ikke nødvendigvis er de højeste og laveste referencehastigheder. I så fald gælder yderligere følgende krav:

a) Mindst ét referencehastighedspunkt i hver friløbskørsel skal overlappe det umiddelbart højere hastighedsområdes friløbskørsel. Denne referencehastighed betegnes som et delingspunkt.

b) På hver af de overlappede referencehastigheder må den gennemsnitlige kraft i det umiddelbart lavere hastighedsområdes friløbskørsel ikke afvige fra den gennemsnitlige kraft i det umiddelbart højere hastighedsområdes friløbskørsel med ± 10 N eller ± 5 procent, alt efter hvad der er størst

c) Overlappede referencehastighedsdata for det lavere hastighedsområdes friløbskørsel må kun anvendes til kontrol af kriterium b) og udelukkes fra vurderingen af den statistiske præcision som defineret i punkt 4.3.1.4.2 i dette bilag.

d) Den overlappede hastighed kan være under 10 km/h, dog mindst 5 km/h I så fald kontrolleres det overlappede kriterium b) enten ved ekstrapolering af de polynominale kurver for det lavere og højere hastighedssegment til en overlapning på 10 km/h eller ved at sammenligne den gennemsnitlige kraft i det specifikke hastighedsområde

4.3.1.3.5. Det anbefales, at friløbskørsler gennemføres successivt uden unødig forsinkelse mellem kørslerne. Hvis der er en forsinkelse mellem kørslerne (f.eks. til pause til føreren, kontrol af køretøjets integritet osv.), skal køretøjet varmes op igen som beskrevet i punkt 4.2.4, og friløbskørslerne skal genoptages fra dette punkt.

4.3.1.4. Måling af friløbstid

4.3.1.4.1. Friløbstiden, der svarer til referencehastigheden $\mathbf{v_j}$ som den tid, der går fra køretøjets hastighed ($\mathbf{v_j + 5km/h}$) til ($\mathbf{v_j - 5km/h}$), skal måles.

4.3.1.4.2. Disse målinger skal udføres i hver sin retning, indtil mindst tre målingspar er indhentet, som tilfredsstiller den statistiske præcision p_j, der defineres i nedenstående ligning.

$$\mathbf{p_j = \frac{h \times \sigma_j}{\sqrt{n} \times \Delta t_{pj}} \leq 0.030}$$

hvor:

$\mathbf{p_j}$ er den statistiske præcision af de målinger, der foretages ved referencehastigheden v_j

$\mathbf{n}$ er antallet af målingspar

$\mathbf{\Delta t_{pj}}$ er det harmoniske gennemsnit af friløbstiden ved referencehastigheden v_j i sekunder, givet ved følgende ligning:

$$\mathbf{\Delta t_{pj} = \frac{n}{\sum_{i=1}^{n} \frac{1}{\Delta t_{ji}}}}$$

hvor:

Δt_{ji} er den harmoniske gennemsnitlige friløbstid for det i'te målingspar ved hastigheden v_j, i sekunder, s, givet ved følgende ligning:

$$\Delta t_{ji} = \frac{2}{\left(\frac{1}{\Delta t_{jai}}\right) + \left(\frac{1}{\Delta t_{jbi}}\right)}$$

hvor:

Δt_{jai} og Δt_{jbi} er friløbstiderne for den i'te måling ved referencehastighed vj, i sekunder, s, i de respektive retninger a og b

σ_j er standardafvigelsen, angivet i sekunder, s, defineret som:

$$\sigma_j = \sqrt{\frac{1}{n-1}\sum_{i=1}^{n}(\Delta t_{ji} - \Delta t_{pj})2}$$

h er en koefficient fastlagt i tabel A4/4.

Tabel A4/4

Koefficienten h som funktion af n

n	h	n	h
3	4,3	17	2,1
4	3,2	18	2,1
5	2,8	19	2,1
6	2,6	20	2,1
7	2,5	21	2,1
8	2.4	22	2,1
9	2,3	23	2,1
10	2,3	24	2,1
11	2,2	25	2,1
12	2,2	26	2,1
13	2,2	27	2,1
14	2,2	28	2,1
15	2,2	29	2,0
16	2,1	30	2,0

4.3.1.4.3. Hvis der under en måling i én retning er en ekstern faktor eller en reaktion fra førerens side, som påvirker køremodstandsprøvningen, skal denne måling og den tilsvarende måling i den modsatte retning afvises. Alle de afviste data og grunden til afvisningen skal registreres, og antallet af afviste målingspar må ikke overstige 1/3 af det samlede antal målingspar. For delte kørsler skal afvisningskriterierne anvendes ved hvert delt kørsels hastighedsområde.

På grund af usikkerhed om datavaliditet og af praktiske årsager kan der udføres mere end det minimumsantal af kørselspar, der kræves i punkt 4.3.1.4.2 i dette bilag, men det samlede antal kørselspar må ikke overstige 30 kørsler, inklusive de afviste par som beskrevet i dette punkt. I så fald skal dataevalueringen foretages som beskrevet i punkt 4.3.1.4.2 i dette bilag begyndende med det første kørselspar og derefter omfatte så mange på hinanden følgende kørselspar, som er nødvendige for at nå den statistiske præcision på et datasæt, der højst indeholder 1/3 af afviste par.

4.3.1.4.4. Der anvendes følgende ligning til beregning af det aritmetiske gennemsnit af køremodstanden, hvor det harmoniske gennemsnit af alternerende friløbstider anvendes:

$$\mathbf{F_j} = \frac{\mathbf{1}}{\mathbf{3.6}} \times (\mathbf{m_{av}} + \mathbf{m_r}) \times \frac{\mathbf{2} \times \Delta \mathbf{v}}{\Delta \mathbf{t_j}}$$

hvor:

Δv er 5 km/h

$\Delta \mathbf{t_j}$ er det harmoniske gennemsnit af alternerende målinger af friløbstider i sekunder, s, ved hastigheden $\mathbf{v_j}$ givet ved:

$$\Delta \mathbf{t_j} = \frac{\mathbf{2}}{\frac{\mathbf{1}}{\Delta \mathbf{t_{ja}}} + \frac{\mathbf{1}}{\Delta \mathbf{t_{jb}}}}$$

hvor:

$\Delta \mathbf{t_{ja}}$ og $\Delta \mathbf{t_{jb}}$ er det harmoniske gennemsnit af friløbstider i retning henholdsvis a og b, der svarer til referencehastigheden $\mathbf{v_j}$ i sekunder, s, givet ved følgende to ligninger:

$$\Delta \mathbf{t_{ja}} = \frac{\mathbf{n}}{\sum_{\mathbf{i=1}}^{\mathbf{n}} \frac{\mathbf{1}}{\mathbf{t_{jai}}}}$$

samt:

$$\Delta \mathbf{t_{jb}} = \frac{\mathbf{n}}{\sum_{\mathbf{i=1}}^{\mathbf{n}} \frac{\mathbf{1}}{\mathbf{t_{jbi}}}}.$$

hvor:

$\mathbf{m_{av}}$ er det aritmetiske gennemsnit af prøvningskøretøjets masser ved begyndelsen og slutningen af bestemmelsen af køremodstand (kg).

$\mathbf{m_r}$ er den ækvivalente effektive masse af roterende komponenter i henhold til punkt 2.5.1 i dette bilag

Koefficienterne $\mathbf{f_0}$, $\mathbf{f_1}$ og $\mathbf{f_2}$,, i køremodstandsligningen beregnes med en mindste kvadraters regressionsanalyse.

Hvis prøvningskøretøjet er det repræsentative køretøj i en køremodstandsmatrixfamilie, sættes koefficienten f_1 til nul, og koefficienterne f_0 og f_2 genberegnes med en mindste kvadraters regressionsanalyse.

4.3.1.4.5. Korrektion til referencebetingelserne

Kurven fastlagt i punkt 4.3.1.4.4 i dette bilag korrigeres til referencebetingelserne, jf. punkt 4.5 i dette bilag.

4.3.2. Friløbsmetoden ved hjælp af mobil anemometri

Køretøjet skal varmes op og stabiliseres efter punkt 4.2.4 i dette bilag.

4.3.2.1. Supplerende instrumenter til mobil anemometri

Det mobile anemometer og de mobile instrumenter skal være kalibreret ud fra prøvningskøretøjet, når en sådan kalibrering finder sted under opvarmningen forud for prøvningen.

4.3.2.1.1. Den relative vindhastighed skal måles med en minimumsfrekvens på 1 Hz og en nøjagtighed på 0,3 m/s. Der skal tages hensyn til køretøjets blokeringsforhold ved kalibreringen af anemometeret.

4.3.2.1.2. Vindretning skal være i forhold til retningen af køretøjet. Den relative vindretning (giring) måles med en opløsning på 1 grader og en nøjagtighed på 3 grader; instrumentets dødbånd må ikke være over 10 grader og skal være rettet mod køretøjets bagende.

4.3.2.1.3. Inden friløb skal anemometeret kalibreres for hastighed og giring som beskrevet i ISO 10521-1: 2006 (E), bilag A.

4.3.2.1.4. Der skal tages hensyn til vindstyrkemålerblokering ved kalibreringen som beskrevet i ISO 10521-1:2006 (E), bilag A, for at minimere virkningen heraf.

4.3.2.2. Udvælgelse af kørehastighedsområde til fastlæggelse af køremodstandskurve

Prøvningskøretøjets hastighedsområde skal udvælges i henhold til punkt 2.2 i dette bilag.

4.3.2.3. Indsamling af data

I løbet af proceduren måles tidsforbrug, kørehastighed og lufthastighed (hastighed og retning) i forhold til køretøjet ved en frekvens på 5 Hz. Omgivelsestemperaturen skal være afpasset, og der udtages prøver heraf med en minimumsfrekvens på 0,1 Hz.

4.3.2.4. Procedure for køretøjets friløb

Målingerne skal foretages på kørselspart i modsat retning indtil mindst ti på hinanden følgende kørsler (fem par) er foretaget. Hvis en enkelt kørsel ikke opfylder kravene til prøvningsforholdene for mobil anemometri, kasseres dette par, dvs. denne kørsel og de tilsvarende kørsler i modsat retning. Alle gyldige par skal indgå i den endelige analyse med mindst 5 par friløbskørsler. Se punkt 4.3.2.6.10 i dette bilag med hensyn til statistiske valideringskriterier.

Anemometeret skal være anbragt i en sådan position, at virkningerne for de operationelle egenskaber for køretøjet minimeres.

Anemometeret skal være monteret i overensstemmelse med en af følgende muligheder:

a) Ved hjælp af en bom ca. 2 m foran køretøjets forreste aerodynamiske stagnationspunkt

b) På køretøjets tag på midterlinjen. Om muligt skal anemometeret være monteret i en afstand af 30 cm fra toppen af forruden.

c) På køretøjets motorhjelm, på midterlinjen, midtvejs mellem køretøjets front og forrudens nederste kant.

Under alle omstændigheder skal anemometeret være monteret parallelt med vejoverfladen. Hvis positionerne b) eller c) anvendes, skal friløbsresultaterne være analytisk justeret for den øgede aerodynamiske modstand som følge af anemometeret. Justeringen foretages ved prøvning af køretøjet i friløb i en vindtunnel, både med og uden anemometeret monteret i samme position som anvendt på banen. Den beregnede forskel udgør koefficientforøgelsen for aerodynamisk modstand $\mathbf{C_D}$ kombineret med frontarealet og skal anvendes til at korrigere friløbsresultaterne.

4.3.2.4.1. Efter køretøjets opvarmningsprocedure, der er beskrevet i punkt 4.2.4 i dette bilag, og umiddelbart før hver friløbskørsel skal køretøjet accelereres til en fart på 10 til 15 km/h højere end den højeste referencehastighed og køres ved denne hastighed i højst 1 minut. Herefter indledes friløbskørslen straks.

4.3.2.4.2. Under en friløbskørsel skal gearkassen være i frigear. Ratbevægelser bør så vidt muligt begrænses, og køretøjets bremser må ikke betjenes.

4.3.2.4.3. Selv om det anbefales, at hver friløbskørsel udføres uden afbrydelse, kan friløbsprøvningen, hvis data ikke kan indsamles på en enkelt kørsel for alle referencehastighedspunkter, udføres med friløbskørsler, hvor de første og sidste referencehastigheder ikke nødvendigvis er de højeste og laveste referencehastigheder. For delte kørsler, gælder yderligere følgende krav:

a) Mindst ét referencehastighedspunkt i hver friløbskørsel skal overlappe det umiddelbart højere hastighedsområdes friløbskørsel. Denne referencehastighed betegnes som et delingspunkt.

b) På hver af de overlappede referencehastigheder må den gennemsnitlige kraft i det umiddelbart lavere hastighedsområdes friløbskørsel ikke afvige fra den gennemsnitlige kraft i det umiddelbart højere hastighedsområdes friløbskørsel med ± 10 N eller ± 5 procent, alt efter hvad der er størst

c) Overlappede referencehastighedsdata for det lavere hastighedsområdes friløbskørsel må kun anvendes til kontrol af kriterium b) og udelukkes fra vurderingen af den statistiske præcision som defineret i punkt 4.3.1.4.2 i dette bilag.

d) Den overlappede hastighed kan være under 10 km/h, dog mindst 5 km/h I så fald kontrolleres det overlappede kriterium b) enten ved ekstrapolering af de polynominale kurver for det lavere og højere hastighedssegment til en overlapning på 10 km/h eller ved at sammenligne den gennemsnitlige kraft i det specifikke hastighedsområde

4.3.2.4.4. Det anbefales, at friløbskørsler gennemføres successivt uden unødig forsinkelse mellem kørslerne. Hvis der er en forsinkelse mellem kørslerne (f.eks. til pause til føreren, kontrol af køretøjets integritet osv.), skal køretøjet varmes op igen som beskrevet i punkt 4.2.4, og friløbskørslerne skal genoptages fra dette punkt.

4.3.2.5. Bestemmelse af bevægelsesligningen

Symboler anvendt i bevægelsesligningen for det mobile anemometer er opført i tabel A4/5.

Tabel A4/5

Symboler anvendt i bevægelsesligningen for det mobile anemometer

Symbol	Enheder	Beskrivelse
$\mathbf{A_f}$	m^2	køretøjets frontareal
$\mathbf{a_0} \ldots \mathbf{a_n}$	$grader^{-1}$	koefficienter for aerodynamisk modstand som funktion af giringsvinkel
$\mathbf{A_m}$	N	koefficient for mekanisk modstand

Symbol	Enheder	Beskrivelse
$\mathbf{B_m}$	N/(km/h)	koefficient for mekanisk modstand
$\mathbf{C_m}$	N/(km/h)^2	koefficient for mekanisk modstand
$\mathbf{C_D(Y)}$		koefficient for aerodynamisk modstand ved giringsvinklen Y
D	N	luftmodstand
$\mathbf{D_{aero}}$	N	aerodynamisk modstand
$\mathbf{D_f}$	N	modstand, foraksel (herunder kraftoverførsel)
$\mathbf{D_{grav}}$	N	gravitationsmodstand
$\mathbf{D_{mech}}$	N	mekanisk modstand
$\mathbf{D_r}$	N	modstand, bagaksel (herunder kraftoverførsel)
$\mathbf{D_{tyre}}$	N	dækkenes rullemodstand
$(\mathbf{dh}/\mathbf{ds})$	-	sine-værdi for hældningen af banen i kørselsretningen (+ angiver stigende)
$(\mathbf{dv}/\mathbf{dt})$	m/s^2	acceleration
g	m/s^2	gravitationskonstant
$\mathbf{m_{av}}$	kg	aritmetisk gennemsnitsmasse for prøvningskøretøjet før og efter bestemmelse af køremodstand
$\mathbf{m_e}$	kg	effektiv køretøjsmasse, herunder roterende komponenter
ρ	kg/m^3	luftens massefylde
t	s	tid
T	K	temperatur
v	km/h	kørehastighed
$\mathbf{v_r}$	km/h	relativ vindhastighed
Y	grader	giringsvinkel for vindretning i forhold til kørselsretning

4.3.2.5.1. Generel form

Den generelle form for bevægelsesligningen er:

$$-\mathbf{m_e}\left(\frac{\mathbf{dv}}{\mathbf{dt}}\right) = \mathbf{D_{mech}} + \mathbf{D_{aero}} + \mathbf{D_{grav}}$$

hvor:

$\mathbf{D_{mech}} = \mathbf{D_{tyre}} + \mathbf{D_f} + \mathbf{D_r}$;

$\mathbf{D_{aero}} = \left(\frac{\mathbf{1}}{\mathbf{2}}\right)\boldsymbol{\rho}\mathbf{C_D(Y)A_f v_r^2}$;

$$\mathbf{D_{grav}} = \mathbf{m} \times \mathbf{g} \times \left(\frac{\mathbf{dh}}{\mathbf{ds}}\right)$$

I de tilfælde, hvor hældningen for prøvebanen er mindre end eller lig med 0,1 procent over hele sin længde, kan D_{grav} sættes til nul.

4.3.2.5.2. Modellering af mekanisk modstand

Mekanisk modstand, der består af særskilte komponenter, der repræsenterer dæk- $\mathbf{D_{tyre}}$ og for- og bagakselsfriktionstab, $\mathbf{D_f}$ og $\mathbf{D_r}$, herunder transmissionstab, skal modelleres som et tredjegradspolynomium som en funktion af køretøjets hastighed v, som i ligningen nedenfor:

$$\mathbf{D_{mech} = A_m + B_m v + C_m v^2}$$

hvor $\mathbf{A_m}$, $\mathbf{B_m}$ og $\mathbf{C_m}$ bestemmes ved analysen af data ved hjælp af de mindste kvadraters metode. Disse konstanter afspejler den samlede modstand i kraftoverførsel og dæk.

Hvis prøvningskøretøjet er det repræsentative køretøj i en køremodstandsmatrixfamilie, sættes koefficienten B_m til nul, og koefficienterne A_m og C_m genberegnes med en mindste kvadraters regressionsanalyse.

4.3.2.5.3. Modellering af aerodynamisk modstand

Koefficienten for aerodynamisk modstand $\mathbf{C_D}(Y)$ skal modelleres som et femtegradspolynomium som en funktion af giringsvinklen Y som i ligningen nedenfor:

$$\mathbf{C_D(Y) = a_0 + a_1 Y + a_2 Y^2 + a_3 Y^3 + a_4 Y^4}$$

$\mathbf{a_0}$ til $\mathbf{a_4}$ er konstante koefficienter, hvis værdier er bestemt ved dataanalysen.

Den aerodynamiske modstand bestemmes ved at kombinere luftmodstandskoefficienten med køretøjets frontareal A_f og den relative vindhastighed $\mathbf{v_r}$:.

$$\mathbf{D_{aero} = \left(\frac{1}{2}\right) \times \rho \times A_f \times v_r^2 \times C_D(Y)}$$

$$\mathbf{D_{aero} = \left(\frac{1}{2}\right) \times \rho \times A_f \times v_r^2 (a_0 + a_1 Y + a_2 Y^2 + a_3 Y^3 + a_4 Y^4)}$$

4.3.2.5.4. Endelig bevægelsesligning

Ved substitution fremkommer den endelige bevægelsesligning:

$$\mathbf{-m_e \left(\frac{dv}{dt}\right) = A_m + B_m v + C_m v^2 + \left(\frac{1}{2}\right) \times \rho \times A_f \times v_r^2 (a_0 + a_1 Y + a_2 Y^2 + a_3 Y^3 + a_4 Y^4) + \left(m \times g \times \frac{dh}{ds}\right)}$$

4.3.2.6. Datareduktion

Der opstilles en tredjegradsligning til beskrivelse af køremodstandskraften som en funktion af hastigheden, $\mathbf{F = A + Bv + Cv^2}$, korrigeret for normale omgivende temperatur- og trykforhold og i vindstille. Metoden for denne analyse er beskrevet i punkt 4.3.2.6.1 til og med 4.3.2.6.10 i dette bilag.

4.3.2.6.1. Fastlæggelse af kalibreringskoefficienter

Hvis disse oplysninger ikke allerede er fastlagt, fastlægges kalibreringsfaktorer til korrektion for køretøjets blokeringsforhold og til bestemmelse af relativ vindhastighed og giringsvinkel. Målinger af køretøjets hastighed **v**, den relative vindhastighed $\mathbf{v_r}$ og giringsvinklen **Y** under opvarmningsfasen af prøvningsproceduren skal registreres. Der skal gennemføres parrede kørsler i alternerende retninger på prøvebanen ved en konstant hastighed på 80 km/h, og de aritmetiske gennemsnitsværdier **v**, $\mathbf{v_r}$ og **Y** for hver kørsel skal bestemmes. Kalibreringsfaktorer, der reducerer det samlede antal fejl i mod- og sidevind for alle kørselspar, dvs. summen af $(\mathbf{head_i - head_{i+1}})^2$ osv., skal udvælges, hvor $\mathbf{head_i}$ og $\mathbf{head_{i+1}}$ henviser til vindhastighed og vindretning, for parrede prøvekørsler i begge retninger under køretøjets opvarmnings-/stabiliseringsfase forud for prøvningen.

4.3.2.6.2. Indhentning af observationer sekund for sekund

Fra de data, der er indsamlet under friløbskørsler, fastlægges værdier for $\mathbf{v}$, $\left(\frac{\mathbf{dh}}{\mathbf{ds}}\right)$ $\left(\frac{\mathbf{dv}}{\mathbf{dt}}\right)$, $\mathbf{v_r^2}$ og $\mathbf{Y}$ ved at anvende kalibreringsfaktorer indhentet efter punkt 4.3.2.1.3 og 4.3.2.1.4 i dette bilag. Datafiltrering anvendes til at justere prøveudtagningen til en frekvens på 1 Hz.

4.3.2.6.3. Foreløbig analyse

Ved en lineær mindste kvadraters regressionsmetode analyseres alle datapunkter samtidigt for at fastlægge $\mathbf{A_m}$, $\mathbf{B_m}$, $\mathbf{C_m}$, $\mathbf{a_0}$, $\mathbf{a_1}$, $\mathbf{a_2}$, $\mathbf{a_3}$ og $\mathbf{a_4}$, idet $\mathbf{m_e}$, $\left(\frac{\mathbf{dh}}{\mathbf{ds}}\right)$, $\left(\frac{\mathbf{dv}}{\mathbf{dt}}\right)$, $\mathbf{v}$, $\mathbf{v_r}$, og $\boldsymbol{\rho}$ er givet.

4.3.2.6.4. Dataafvigelser

En forventet kraft $\mathbf{m_e}\left(\frac{\mathbf{dv}}{\mathbf{dt}}\right)$ beregnes og sammenlignes med de observerede datapunkter. Datapunkter med uforholdsmæssigt store afvigelser, f.eks. mere end tre standardafvigelser, skal markeres.

4.3.2.6.5. Datafiltrering (valgfrit)

Relevante datafiltreringsteknikker kan anvendes, og de resterende datapunkter udjævnes.

4.3.2.6.6. Dataeliminering

Datapunkter indsamlet, hvor giringsvinkler er større end ± 20° i forhold til kørselsretningen, skal markeres. Data indsamlet, hvor den relative vindhastighed er mindre end + 5 km/h (for at undgå forhold, hvor rygvinden er større end køretøjets hastighed) skal også markeres. Analyser af data skal begrænses til kørehastigheder inden for det hastighedsområde, som er udvalgt i henhold til punkt 4.3.2.2 i dette bilag.

4.3.2.6.7. Endelig dataanalyse

Alle oplysninger, der ikke er blevet markeret, skal analyseres ved hjælp af en lineær mindste kvadraters regressionsmetode. A_m, B_m, C_m, a_0, a_1, a_2, a_3 og a_4 fastlægges, idet $\mathbf{m_e}$, $\left(\frac{\mathbf{dh}}{\mathbf{ds}}\right)$, $\left(\frac{\mathbf{dv}}{\mathbf{dt}}\right)$, $\mathbf{v}$, $\mathbf{v_r}$, og $\boldsymbol{\rho}$ er givet.

4.3.2.6.8. Begrænset analyse (valgfrit)

For bedre at kunne adskille køretøjets aerodynamiske luftmodstand og dets mekaniske modstand, kan der anvendes en begrænset analyse på en sådan måde, at køretøjets frontareal, $\mathbf{A_f}$, og modstandskoefficienten, $\mathbf{C_D}$, kan være faste størrelser, hvis de tidligere er bestemt.

4.3.2.6.9. Korrektion til referencebetingelserne

Bevægelsesligninger skal være korrigeret til referencebetingelserne i punkt 4.5 i dette bilag.

4.3.2.6.10. Statistiske kriterier for mobil anemometri

Udelukkelsen af hver enkelt par friløbskørsler ændrer den beregnede køremodstand for hver friløbsreference-hastighed $\mathbf{v_j}$ under konvergenskravet, for alle **i** og **j**:

$$\Delta \mathbf{F_i}(\mathbf{v_j}) / \mathbf{F}(\mathbf{v_j}) \leq \frac{\mathbf{0.030}}{\sqrt{\mathbf{n-1}}}$$

hvor:

$\Delta \mathbf{F_i}(\mathbf{v_j})$ er forskellen mellem den beregnede køremodstand med alle friløbskørsler og den beregnede køremodstand med det i'te par friløbskørsler udelukket, N

$\mathbf{F}(\mathbf{v_j})$ er den beregnede køremodstand, alle friløbskørsler inkluderet (N)

$\mathbf{v_j}$ er referencehastigheden (km/h)

n er antallet af friløbskørselspar, alle gyldige par inkluderet.

Hvis konvergenskravet ikke er opfyldt, fjernes par fra analysen, begyndende med de par, der giver den største ændring i beregnet køremodstand, indtil konvergenskravet er opfyldt, så længe mindst 5 gyldige par anvendes til fastlæggelsen af den endelige køremodstand.

4.4. Måling og beregning af køremodstandskraft ved hjælp af momentmålingsmetoden

Som et alternativ til friløbsmetoderne kan momentmålingsmetoden også anvendes således, at køremodstandskraften bestemmes ved måling af hjulmomentet på de drivende hjul ved referencehastigheds-punkterne i tidsrum af mindst 5 sekunder.

4.4.1. Montering af momentmålere

Hjulmomentmålere skal monteres mellem hjulnav og fælg på hvert drivhjul til måling af det moment, der er nødvendigt til at holde køretøjet på en konstant hastighed.

Momentmåleren skal kalibreres regelmæssigt og mindst en gang om året og kunne henføres til nationale eller internationale standarder for at opfylde den krævede nøjagtighed og præcision.

4.4.2. Procedure og dataindsamling

4.4.2.1. Udvælgelse af referencehastigheder til fastlæggelse af kurven over køremodstandskraft

Referencehastighedspunkter til fastlæggelse af køremodstandskraft skal udvælges i henhold til punkt 2.2 i dette bilag.

Referencehastighederne måles i faldende orden. Efter anmodning fra fabrikanten kan der være stabiliserings-perioder mellem målingerne, men stabiliseringshastigheden må ikke overstige den næste referencehastighed.

4.4.2.2. Indsamling af data

Datasæt bestående af faktisk hastighed, $\mathbf{v_{ji}}$, faktisk moment, $\mathbf{C_{ji}}$, og tid over en periode på mindst 5 sekunder måles for hver $\mathbf{v_j}$ ved en frekvens på mindst 10 Hz. Der refereres til de datasæt, der er indsamlet over en periode for en referencehastighed $\mathbf{v_j}$ som én måling.

4.4.2.3. Køretøjsmomentmålermetode

Inden prøvemåling med momentmålingsmetoden gennemføres en opvarmning af køretøjet i henhold til punkt 4.2.4 i dette bilag.

Under prøvemålingen bør ratbevægelser så vidt muligt begrænses, og køretøjets bremser må ikke betjenes.

Prøvningen gentages, indtil køremodstandskraftdataene opfylder de statistiske målingspræcisionskrav, der er omhandlet i punkt 4.4.3.2 i dette bilag.

4.4.2.4. Hastighedsafvigelse

Under en måling ved et enkelt referencehastighedspunkt skal hastighedens afvigelse fra de aritmetiske gennemsnitshastighed, v_{ji}-v_{jm}, beregnet i henhold til punkt 4.4.3 i dette bilag, skal ligge inden for værdierne i tabel A4/6.

Desuden må den aritmetiske gennemsnitshastighed v_{jm} på alle referencehastighedspunkter ikke afvige fra referencehastigheden v_j med mere end ± 1 km/h eller 2 procent af referencehastighed v_j, alt efter hvad der er størst.

Tabel A4/6

Hastighedsafvigelse

Tid, s	Hastighedsafvigelse (km/h)
5 - 10	±0,2
10 - 15	±0,4
15 - 20	±0,6
20 - 25	±0,8
25 - 30	±1,0
≥ 30	±1,2

4.4.2.5. Atmosfærisk temperatur

Prøvninger skal udføres under samme temperaturforhold som defineret i punkt 4.1.1.2 i dette bilag.

4.4.3. Beregning af det aritmetiske gennemsnit og det aritmetiske gennemsnitlige moment

4.4.3.1. Beregningsprocessen

Den aritmetiske gennemsnitshastighed $\mathbf{v_{jm}}$ i km/h og det aritmetiske gennemsnitlige moment $\mathbf{C_{jm}}$ i Nm for hver måling skal beregnes ud fra de datasæt, der indsamles i henhold til punkt 4.4.2.2 i dette bilag ved hjælp af følgende ligninger:

$$\mathbf{v_{jm}} = \frac{\mathbf{1}}{\mathbf{k}} \sum_{\mathbf{i=1}}^{\mathbf{k}} \mathbf{v_{ji}}$$

og

$$C_{jm} = \frac{1}{k}\sum_{i=1}^{k} C_{ji} - C_{js}$$

hvor:

v_{ji} er køretøjets faktiske hastighed for det i'te datasæt ved referencehastighedspunktet j (km/h)

k er antallet af datasæt i en enkelt måling

C_{ji} er det faktisk moment for det i'te datasæt (Nm)

C_{js} er kompensationstermen for hastighedsafdriften, Nm, udtrykt ved følgende ligning:

$$C_{js} = (m_{st} + m_r) \times \alpha_j r_j.$$

$\frac{C_{js}}{\frac{1}{k}\sum_{i=1}^{k} C_{ji}}$ må ikke være større end 0,05 og kan ignoreres, hvis α_j ikke er større end ± 0,005 m/s²

m_{st} er prøvningskøretøjets prøvningsmasse ved starten af målingerne og måles umiddelbart før opvarmningsproceduren og ikke tidligere (kg)

mr er den ækvivalente effektive masse af roterende komponenter i henhold til punkt 2.5.1 i dette bilag (kg)

r_j er dækkets dynamiske radius fastlagt på et referencepunkt på 80 km/h eller ved det højeste reference-hastighedspunkt på køretøjet, hvis denne hastighed er lavere end 80 km/h, beregnes ved hjælp af følgende ligning:

$$r_j = \frac{1}{3.6} \times \frac{v_{jm}}{2 \times \pi n}$$

hvor:

n er omdrejningshastigheden på det trækkende dæk, s^{-1}

α_j er den aritmetiske gennemsnitlige acceleration, i m/s² beregnet ved hjælp af følgende ligning:

$$\alpha_j = \frac{1}{3.6} \times \frac{k\sum_{i=1}^{k} t_i v_{ji} - \sum_{i=1}^{k} t_i \sum_{i=1}^{k} v_{ji}}{k \times \sum_{i=1}^{k} t_i^2 - [\sum_{i=1}^{k} t_i]^2}$$

hvor:

t_i er tidspunktet, hvor det i'te datasæt blev udtaget (s).

4.4.3.2. Målingspræcision

Disse målinger udføres i hver sin retning, indtil mindst tre målingspar er indhentet ved hver reference-hastighed v_i, for hvilken $\overline{C_j}$ tilfredsstiller præcisionen ρ_j efter følgende ligning:

$$\rho_j = \frac{h \times s}{\sqrt{n} \times \overline{C_j}} \leq 0.030$$

hvor:

n er de nummererede målingspar for C_{jm}

$\overline{C_j}$ er køremodstandskraften ved hastigheden v_j, i Nm, udtrykt ved ligningen:

$$\overline{C_j} = \frac{1}{n}\sum_{i=1}^{n} C_{jmi}$$

hvor:

C_{jmi} er det aritmetiske gennemsnitlige moment ved det i'te målingspar ved hastigheden v_j, Nm, udtrykt ved:

$$C_{jmi} = \frac{1}{2} \times (C_{jmai} + C_{jmbi})$$

hvor:

C_{jmai} og C_{jmbi} er det aritmetiske gennemsnitsmoment ved den i'te måling ved hastigheden v_j, bestemt i punkt 4.4.3.1 i dette bilag i begge retninger, henholdsvis a og b (Nm)

s er standardafvigelsen i Nm beregnet efter følgende ligning:

$$s = \sqrt{\frac{1}{k-1}\sum_{i=1}^{k} (C_{jmi} - \overline{C_j})^2}$$

h er en koefficient som funktion af n som fastsat i tabel A4/4 i punkt 4.3.1.4.2 i dette bilag.

4.4.4. Bestemmelse af kurven for køremodstandskraft

Det aritmetiske hastighedsgennemsnit og det aritmetiske gennemsnitsmoment ved hvert referencehastighedspunkt beregnes ved hjælp af følgende ligninger:

$$V_{jm} = ½ \times (v_{jma} + v_{jmb})$$

$$C_{jm} = ½ \times (C_{jma} + C_{jmb})$$

Følgende mindste kvadraters regressionskurve for det aritmetiske gennemsnit af køremodstandskraften anvendes på alle datapar (v_{jm}, C_{jm}) ved alle referencehastigheder, der er beskrevet i punkt 4.4.2.1 i dette bilag til bestemmelse af koefficienterne c_0, c_1 og c_2.

Koefficienterne c_0, c_1 og c_2,samt friløbstider målt på chassisdynamometeret (se punkt 8.2.4 i dette bilag) skal registreres.

Hvis prøvningskøretøjet er det repræsentative køretøj i en køremodstandsmatrixfamilie, sættes koefficienten c_1 til nul, og koefficienterne c_0 og c_2 genberegnes med en mindste kvadraters regressionsanalyse.

4.4.5. Korrektion til referencebetingelserne

Bevægelsesligninger skal være korrigeret til referencebetingelserne i punkt 4.5 i dette bilag.

4.5. Korrektion ved referencebetingelserne og måleudstyr

4.5.1. Luftmodstandskorrektionsfaktor

Korrektionsfaktoren for luftmodstanden K_2 bestemmes ved hjælp af følgende ligning:

$$\mathbf{K_2} = \frac{\mathbf{T}}{\mathbf{293K}} \times \frac{\mathbf{100kPa}}{\mathbf{P}}$$

hvor:

T er det aritmetiske atmosfæriske gennemsnitstemperatur for alle individuelle kørsler, Kelvin (K)

P er det aritmetiske gennemsnitsatmosfæretryk, kPa.

4.5.2. Rullemodstandskorrektionsfaktor

Korrektionsfaktoren for rullemodstand $\mathbf{K_0}$, i Celsius^{-1} ($°C^{-1}$), kan bestemmes ud fra empiriske data og godkendes af den kompetente myndighed for den specifikke køretøjs- og dækprøvning eller kan sættes til følgende:

$$\mathbf{K_0 = 8.6 \times 10^{-3} °C^{-1}}$$

4.5.3. Vindkorrektion

4.5.3.1. Vindkorrektion ved hjælp af stationær anemometri

Vindkorrektion kan fraviges, når den aritmetiske gennemsnitlige vindhastighed for hvert gyldigt kørselspar er 2 m/s eller derunder. Hvis vindhastigheden måles på mere end én del af prøvebanen, f.eks. når prøvningen udføres på en oval prøvebane (se punkt 4.1.1.1.1 i dette bilag), beregnes vindhastigheden ved hvert målested, og den højeste af to gennemsnitlige vindhastigheder anvendes til at bestemme, om der skal foretages eller kan undlades en vindhastighedskorrektion.

4.5.3.1.1. Vindmodstandskorrektionen $\mathbf{w_1}$ for friløbsmetoden eller $\mathbf{w_2}$ for momentmålingsmetoden beregnes efter følgende ligninger:

$$\mathbf{w_1 = 3.6^2 \times f_2 \times v_w^2}$$

eller: $\mathbf{w_2 = 3.6^2 \times c_2 \times v_w^2}$

hvor:

$\mathbf{w_1}$ er vindmodstandskorrektionen for friløbsmetoden (N)

$\mathbf{f_2}$ er koefficienten for den aerodynamisk term bestemt i henhold til punkt 4.3.1.4.4 i dette bilag

$\mathbf{v_w}$ hvis vindhastigheden kun måles på ét punkt, er v_w den aritmetiske gennemsnitlige vektorkomponent af vindhastigheden parallelt med prøvestrækningen i alle gyldige kørselspar (m/s)

$\mathbf{v_w}$ hvis vindhastigheden måles på to punkter, er v_w den laveste af de to aritmetiske gennemsnitlige vektorkomponenter af vindhastigheden parallelt med prøvestrækningen i alle gyldige kørselspar (m/s)

$\mathbf{w_2}$ er vindmodstandskorrektionen for momentmålingsmetoden (Nm)

$\mathbf{c_2}$ er koefficienten for den aerodynamisk term for momentmålingsmetoden bestemt i henhold til punkt 4.4.4 i dette bilag.

4.5.3.2. Vindkorrektion ved hjælp af mobil anemometri

Hvis friløbsmetoden er baseret på mobil anemometri, sættes w_1 og w_2 i ligningerne i punkt 4.5.3.1.1 i dette bilag til nul, idet vindkorrektionen allerede er anvendt i henhold til punkt 4.3.2 i dette bilag.

4.5.4. Prøvningsmassekorrektionsfaktor

Korrektionsfaktoren $\mathbf{K_1}$ for prøvningskøretøjets prøvningsmasse bestemmes ved hjælp af følgende ligning:

$$\mathbf{K_1} = \left(\mathbf{1} - \frac{\mathbf{TM}}{\mathbf{m_{av}}}\right)$$

hvor:

TM er prøvningskøretøjets prøvningsmasse (kg)

$\mathbf{m_{av}}$ er det aritmetiske gennemsnit af prøvningskøretøjets masser ved begyndelsen og slutningen af bestemmelsen af køremodstand (kg).

4.5.5. Korrektion af køremodstandskurve

4.5.5.1. Kurven fastlagt i punkt 4.3.1.4.4 i dette bilag korrigeres til referencebetingelserne på følgende måde:

$$\mathbf{F^*} = \left(\left(\mathbf{f_0}(\mathbf{1} - \mathbf{K_1}) - \mathbf{w_1}\right) + \mathbf{f_1 v}\right) \times \left(\mathbf{1} + \mathbf{K_0}(\mathbf{T} - \mathbf{20})\right) + \mathbf{K_2 f_2 v^2}$$

hvor:

$\mathbf{F^*}$ er den korrigerede køremodstand (N)

$\mathbf{f_0}$ er den konstante køremodstandskoefficient N

$\mathbf{f_1}$ er førsteordenskøremodstandskoefficienten, N/(km/h)

$\mathbf{f_2}$ er andenordenskøremodstandskoefficienten N/(km/h)^2

$\mathbf{K_0}$ er korrektionsfaktoren for rullemodstand som defineret i punkt 4.5.2 i dette bilag

$\mathbf{K_1}$ er prøvningsmassekorrektion som defineret i punkt 4.5.4 i dette bilag

$\mathbf{K_2}$ er korrektionsfaktoren for luftmodstand som defineret i punkt 4.5.1 i dette bilag

T er den aritmetiske atmosfæriske gennemsnitstemperatur i alle gyldige kørselspar (°C)

v er køretøjets hastighed (km/h)

$\mathbf{w_1}$ er vindmodstandskorrektionen som defineret i punkt 4.5.3 i dette bilag (N).

Resultatet af nedenstående beregning anvendes som målkøremodstandskoefficienten A_t ved beregningen af belastningsindstillingen på chassisdynamometeret i punkt 8.1 i dette bilag:

$$\left(\left(\mathbf{f_0}(\mathbf{1} - \mathbf{K_1}) - \mathbf{w_1}\right)\right) \times \left(\mathbf{1} + \mathbf{K_0}(\mathbf{T} - \mathbf{20})\right).$$

Resultatet af nedenstående beregning anvendes som målkøremodstandskoefficienten B_t ved beregningen af belastningsindstillingen på chassisdynamometeret i punkt 8.1 i dette bilag:

$$(f_1 \times (1 + K_0 \times (T\text{-}20))).$$

Resultatet af nedenstående beregning anvendes som målkøremodstandskoefficienten C_t ved beregningen af belastningsindstillingen på chassisdynamometeret i punkt 8.1 i dette bilag:

$$(K_2 \times f_2).$$

4.5.5.2. Kurven fastlagt i punkt 4.4.4 i dette bilag omregnes til referencebetingelserne, og måleudstyret installeres efter følgende procedure.

4.5.5.2.1. Korrektion til referencebetingelserne

$$\mathbf{C^*} = \left(\left(\mathbf{c_0}(\mathbf{1} - \mathbf{K_1}) - \ \mathbf{w_2}\right) + \ \mathbf{c_1 v}\right) \times \left(\mathbf{1} + \mathbf{K_0}(\mathbf{T} - \mathbf{20})\right) + \mathbf{K_2 c_2 v^2}$$

hvor:

C^* er den korrigerede køremodstandskraft (Nm)

c_0 er den konstante term som defineret i punkt 4.4.4 i dette bilag (Nm)

c_1 er koefficienten for førsteordenstermen som fastlagt i punkt 4.4.4 i dette bilag, Nm/(km/h)

c_2 er koefficienten for andenordenstermen som fastlagt i punkt 4.4.4 i dette bilag, Nm/(km/h)^2

K_0 er korrektionsfaktoren for rullemodstand som defineret i punkt 4.5.2 i dette bilag

K_1 er prøvningsmassekorrektion som defineret i punkt 4.5.4 i dette bilag

K_2 er korrektionsfaktoren for luftmodstand som defineret i punkt 4.5.1 i dette bilag

v er køretøjets hastighed (km/h)

T er den aritmetiske atmosfæriske gennemsnitstemperatur i alle gyldige kørselspar (°C)

w_2 er vindmodstandskorrektionen som defineret i punkt 4.5.3 i dette bilag.

4.5.5.2.2. Korrektion for installerede momentmålere

Hvis køremodstandskraften bestemmes i henhold til momentmålingsmetoden, korrigeres køremodstandskraften for virkningerne af momentmålingsudstyret monteret uden for køretøjet med hensyn til dets aerodynamiske karakteristika.

Køremodstandskraftkoefficienten c_2 skal korrigeres i henhold til følgende ligning:

$$c_{2corr} = K_2 \times c_2 \times (1 + (\Delta(C_D \times A_f))/(C_{D'} \times A_f))$$

hvor:

$\Delta(C_D \times A_f) = (C_D \times A_f) - (C_{D'} \times A_f)$

$C_{D'} \times A_f$ er produktet af koefficienten for aerodynamisk modstand ganget med køretøjets frontareal med installeret momentmålingsudstyr målt i vindtunnel, som opfylder kriterierne i punkt 3.2 i dette bilag (m^2)

$C_D \times A_f$ er produktet af koefficienten for aerodynamisk modstand ganget med køretøjets frontareal uden installeret momentmålingsudstyr målt i vindtunnel, som opfylder kriterierne i punkt 3.2 i dette bilag (m^2).

4.5.5.2.3. Målkoefficienter for målkøremodstandskraften

Resultatet af nedenstående beregning anvendes som målkøremodstandskraftkoefficienten a_t ved beregningen af belastningsindstillingen på chassisdynamometeret i punkt 8.2 i dette bilag:

$$\left(\left(\mathbf{c_0}(\mathbf{1}-\mathbf{K_1})-\ \mathbf{w_2}\right)\right) \times \left(\mathbf{1}+\mathbf{K_0}(\mathbf{T}-\mathbf{20})\right).$$

Resultatet af nedenstående beregning anvendes som målkøremodstandskraftkoefficienten b_t ved beregningen af belastningsindstillingen på chassisdynamometeret i punkt 8.2 i dette bilag:

$$(c_1 \times (1 + K_0 \times (T\text{-}20))).$$

Resultatet af nedenstående beregning anvendes som målkøremodstandskraftkoefficienten c_t ved beregningen af belastningsindstillingen på chassisdynamometeret i punkt 8.2 i dette bilag:

$$(c_{2corr} \times r).$$

5. Metode til beregning af køremodstand eller køremodstandskraft baseret på køretøjsparametre

5.1. Beregning af køremodstand og køremodstandskraft for køretøjer baseret på et køretøj, der er repræsentativt for en køremodstandsmatrixfamilie

Hvis det repræsentative køretøjs køremodstand fastsættes i henhold til en friløbsmetode, der er beskrevet i punkt 4.3 i dette bilag, eller i henhold til den vindtunnelmetode, der er beskrevet i punkt 6 i dette bilag, beregnes køremodstanden for et individuelt køretøj i henhold til punkt 5.1.1 i dette bilag og under hensyntagen til køretøjsparametrene i punkt 4.2.1.4.

Hvis det repræsentative køretøjs køremodstandskraft fastsættes i henhold til den momentmetode, der er beskrevet i punkt 4.4 i dette bilag, beregnes rullemodstanden for et individuelt køretøj i henhold til punkt 5.1.2 i dette bilag og under hensyntagen til køretøjsparametrene i punkt 4.2.1.4.

5.1.1. Køremodstandskraften for et individuelt køretøj beregnes ved hjælp af følgende ligning:

$$\mathbf{F_c} = \mathbf{f_0} + (\mathbf{f_1} \times \mathbf{v}) + (\mathbf{f_2} \times \mathbf{v^2})$$

hvor:

F_c er den beregnede køremodstandskraft som en funktion af køretøjets hastighed (N)

f_0 er den konstante køremodstandskoefficient, N, som defineret ved ligningen:

$$f_0 = \text{Max}((0{,}05 \times f_{0r} + 0{,}95 \times (f_{0r} \times TM/TM_r + (\frac{\mathbf{RR\ -\ RRr}}{\mathbf{1000}}) \times 9{,}81 \times TM))$$

$$(0{,}2 \times f_{0r} + 0{,}8 \times (f_{0r} \times TM/TM_r + (\frac{\mathbf{RR\ -\ RRr}}{\mathbf{1000}}) \times 9{,}81 \times TM)))$$

f_{0r} er den konstante køremodstandskoefficient for det køretøj, der er repræsentativt for køremodstandsmatrixfamilien (N)

f_1 er førstegradskoefficienten for køremodstand, Nm/(km/h), og sættes til nul

f_2 er andengradskoefficienten for køremodstand, N/(km/h)², defineret ved ligningen:

$$f_2 = \text{Max}((0{,}05 \times f_{2r} + 0{,}95 \times f_{2r} \times A_f / A_{fr})\ (0{,}2 \times f_{2r} + 0{,}8 \times f_{2r} \times A_f / A_{fr}))$$

f_{2r} er andengradskoefficienten for køremodstand for det køretøj, der er repræsentativt for køremodstandsmatrixfamilien, N/(km/h)²

v er køretøjets hastighed i km/h

TM er den faktiske prøvningsmasse for det individuelle køretøj i køremodstandsmatrixfamilien (kg)

TM_r er prøvningsmassen for det køretøj, der er repræsentativt for køremodstandsmatrixfamilien (kg)

A_f er frontarealet for det individuelle køretøj i køremodstandsmatrixfamilien (m^2)

A_{fr} er frontarealet for det køretøj, der er repræsentativt for køremodstandsmatrixfamilien (m^2)

RR er dækrullemodstanden for det individuelle køretøj i køremodstandsmatrixfamilien (kg/t)

RR_r er dækrullemodstanden for det køretøj, der er repræsentativt for køremodstandsmatrixfamilien (kg/t).

For dæk monteret på et individuelt køretøj skal værdien af rullemodstanden RR indstilles til værdien for den gældende dækenergieffektivitetsklasse i overensstemmelse med tabel A4/2 i bilag B4.

Hvis dækkene på for- og bagakslerne tilhører forskellige energieffektivitetsklasse, skal det vægtede gennemsnit anvendes, beregnet ved hjælp af ligningen i punkt 3.2.3.2.2.2 i bilag B7.

Hvis de samme dæk er monteret på prøvningskøretøjerne L og H, sættes værdien af RR_{ind} for interpolationsmetoden til RR_H

5.1.2. Køremodstandskraften for et individuelt køretøj beregnes ved hjælp af følgende ligning:

$$\mathbf{C_c = c_0 + c_1 \times v + c_2 \times v^2}$$

hvor:

C_c er den beregnede køremodstandskraft som en funktion af køretøjets hastighed (Nm)

c_0 er den konstante køremodstandskraftkoefficient, Nm, defineret ved ligningen:

$$c_0 = r'/1{,}02 \times \mathrm{Max}((0.05 \times 1{,}02 \times c_{0r}/r' + 0{,}95 \times (1{,}02 \times c_{0r}/r' \times TM/TM_r + (\frac{\mathbf{RR - RRr}}{\mathbf{1000}}) \times 9{,}81 \times TM))$$

$$(0{,}2 \times 1{,}02 \times c_{0r}/r' + 0{,}8 \times (1{,}02 \times c_{0r}/r' \times TM/TM_r + (\frac{\mathbf{RR - RRr}}{\mathbf{1000}}) \times 9{,}81 \times TM)))$$

c_{0r} er den konstante køremodstandskraftkoefficient for det køretøj, der er repræsentativt for køremodstandsmatrixfamilien (Nm)

c_1 er førstegradskoefficienten for køremodstandskraft, Nm/(km/h), og sættes til nul

c_2 er andengradskoefficienten for køremodstandskraft, Nm/(km/h)^2, defineret ved ligningen:

$$c_2 = r'/1{,}02 \times \mathrm{Max}((0{,}05 \times 1{,}02 \times c_{2r}/r' + 0{,}95 \times 1{,}02 \times c_{2r}/r' \times A_f / A_{fr})$$

$$(0{,}2 \times 1{,}02 \times c_{2r}/r' + 0{,}8 \times 1{,}02 \times c_{2r}/r' \times A_f / A_{fr}))$$

c_{2r} er andengradskoefficienten for køremodstandskraft for det køretøj, der er repræsentativt for køremodstandsmatrixfamilien, N/(km/h)^2

v er køretøjets hastighed i km/h

TM er den faktiske prøvningsmasse for det individuelle køretøj i køremodstandsmatrixfamilien (kg)

TMr er prøvningsmassen for det køretøj, der er repræsentativt for køremodstandsmatrixfamilien (kg)

A_f er frontarealet for det individuelle køretøj i køremodstandsmatrixfamilien (m^2)

A_{fr} er frontarealet for det køretøj, der er repræsentativt for køremodstandsmatrixfamilien (m^2)

RR er dækrullemodstanden for det individuelle køretøj i køremodstandsmatrixfamilien (kg/t)

RR_r er dækrullemodstanden for det køretøj, der er repræsentativt for køremodstandsmatrixfamilien (kg/t)

r' er dækkets dynamiske radius på chassisdynamometeret, indhentet ved 80 km/h (m)

1.02 er en approximeringskoefficient, der kompenserer for effekttab i fremdriftssystemet.

5.2. Beregning af default-køremodstand ud fra køretøjsparametre

5.2.1. Som et alternativ til bestemmelse af køremodstanden ved friløbsmetoden eller momentmålingsmetoden kan der anvendes en beregningsmetode for default-køremodstand.

Til beregning af default-køremodstand ud fra køretøjsparametre, anvendes forskellige parametre som f.eks. prøvningsmasse, bredde og højde for køretøjet. Default-indstillingerne for køremodstand F_c beregnes for referencehastighedspunkterne.

5.2.2. Default-køremodstandskraften beregnes ved hjælp af følgende ligning:

$$\mathbf{F_c} = \mathbf{f_0} + (\mathbf{f_1} \times \mathbf{v}) + (\mathbf{f_2} \times \mathbf{v^2})$$

hvor:

$\mathbf{F_c}$ er den beregnede default-køremodstandskraft som en funktion af køretøjets hastighed (N)

$\mathbf{f_0}$ er den konstante køremodstandskoefficient, N, som defineret ved ligningen:

$$\mathbf{f_0} = \mathbf{0.140} \times \mathbf{TM};$$

$\mathbf{f_1}$ er førstegradskoefficienten for køremodstand, Nm/(km/h), og sættes til nul

$\mathbf{f_2}$ er andengradskoefficienten for køremodstand, N/(km/h)², defineret ved følgende ligning:

$$\mathbf{f_2} = (\mathbf{2.8} \times \mathbf{10^{-6}} \times \mathbf{TM}) + (\mathbf{0.0170} \times \mathbf{width} \times \mathbf{height});$$

v er køretøjets hastighed (km/h)

TM prøvningsmasse (kg)

idth køretøjets bredde som defineret i punkt 6.2 i ISO-standard 612:1978 (m)

height køretøjets højde som defineret i punkt 6.3 i ISO-standard 612:1978 (m)

6. Vindtunnelmetode

Vindtunnelmetoden er en køremodstandsmålemetode, hvor der anvendes en kombination af en vindtunnel og et chassisdynamometer eller en vindtunnel og et flat belt-dynamometer. Prøvestandene kan være separate faciliteter eller integreres med hinanden.

6.1. Målemetode

6.1.1. Køremodstanden bestemmes ved:

a) at tilføje de køremodstandskræfter, der måles i en vindtunnel, og dem, der måles med et flat belt-dynamometerr eller

b) at tilføje de køremodstandskræfter, der måles i en vindtunnel, og dem, der måles på et chassisdynamometer.

6.1.2. Aerodynamisk modstand måles i vindtunnellen.

6.1.3. Tab i forbindelse med rullemodstand og i fremdriftssystemet måles ved hjælp af et flat belt- eller chassisdynamometer, hvor der måles samtidigt på for- og bagakslerne.

6.2. Den kompetente myndigheds godkendelse af faciliteterne

Resultaterne af vindtunnelmetoden skal sammenlignes med de resultater, der er opnået ved hjælp af friløbsmetoden med henblik på at påvise anlæggenes egnethed, og registreres.

6.2.1. Tre køretøjer udvælges af den kompetente myndighed. Køretøjerne skal dække det udvalg af køretøjer (med hensyn til f.eks. størrelse, vægt), der skal måles med de pågældende faciliteter. Hver ændring af udvalget af køretøjer kræver et nyt udvalg af tre køretøjer. Hvis et køretøj udvælges på ny, kan de oprindelige målinger i henhold til punkt 6.2.2 og 6.2.3 i dette bilag genbruges.

6.2.2. To separate friløbsprøvninger udføres med hver af de tre køretøjer i henhold til punkt 4.3. i dette bilag, og de resulterende køremodstandskoefficienter, f_0, f_1 og f_2, bestemmes efter dette punkt og korrigeres i henhold til punkt 4.5.5 i dette bilag. Friløbsprøvningsresultatet for et prøvningskøretøj skal være lig med det aritmetiske gennemsnit af køremodstandskoefficienterne fra de to særskilte friløbsprøvninger. Hvis mere end to friløbsprøvninger er nødvendige for opfylde kriterierne for godkendelse af anlæggene, beregnes gennemsnittet af alle gyldige prøvninger.

6.2.3. Måling med vindtunnelmetoden i henhold til punkt 6.3 til og med punkt 6.7 i dette bilag udføres på de samme tre køretøjer, som vælges i punkt 6.2.1 i dette bilag, og på de samme betingelser, og de deraf følgende køremodstandskoefficienter, f_0, f_1 og f_2, bestemmes.

Hvis fabrikanten vælger at anvende en eller flere af de tilgængelige alternative procedurer i forbindelse med vindtunnelmetoden (dvs. punkt 6.5.2.1 om prækonditionering, punkt 6.5.2.2 og 6.5.2.3 om proceduren, samt punkt 6.5.2.3.3 om indstilling af dynamometer), skal disse procedurer også anvendes ved godkendelsen af anlæggene.

6.2.4. Kriterier for godkendelse

Det anlæg eller den kombination af anlæg, der anvendes, skal godkendes, hvis begge de følgende to kriterier er opfyldt:

a) forskellen i cyklusenergi, udtrykt som ε_k, mellem vindtunnelmetoden og friløbsmetoden skal ligge inden for ± 0,05 for hver af de tre køretøjer k efter følgende ligning:

$$\varepsilon_k = \frac{E_{k,\,WTM}}{E_{k,\,friløb}} - 1$$

hvor:

ε_k er forskellen i energiforbruget i en hel gruppe 3 WLTC for køretøj k mellem vindtunnelmetoden og friløbsmetoden (%)

$E_{k,WTM}$ er cyklusenergiforbruget for en hel gruppe 3 WLTC for køretøj k, beregnet med køremodstanden bestemt efter vindtunnelmetoden (WTM) i henhold til punkt 5 i bilag B7 (J)

$E_{k,coastdown}$ er cyklusenergiforbruget for en hel gruppe 3 WLTC for køretøj k, beregnet med køremodstanden bestemt efter friløbsmetoden (WTM) i henhold til punkt 5 i bilag B7 (J), og

b) Det aritmetiske gennemsnit $\overline{x}$ af de tre forskelle skal ligge inden for 0,02.

$$\overline{x} = \left| \frac{\varepsilon_1 + \varepsilon_2 + \varepsilon_3}{3} \right|$$

Godkendelse skal registreres af den kompetente myndighed, herunder måledata og de berørte faciliteter.

Faciliteten kan benyttes til bestemmelse af køremodstand i højst to år efter, at godkendelsen er meddelt. Inden udløbet af denne periode og derefter hvert andet år kan godkendelsen forlænges med yderligere to år, hvis fabrikanten forelægger den godkendende myndighed følgende dokumentation, der er indhentet i løbet af den igangværende (indledende eller forlængede) periode:

a) En liste over alle udførte og planlagte ændringer og opdateringer af faciliteten sammen med en begrundelse for, at disse ikke indvirker negativt på målenøjagtigheden.

b) Måleresultater, udtaget med ca. tre måneders mellemrum, som opfylder kravene til repeterbarhed af (CD × Af), jf. punkt 6.4.1, og nøjagtighed af kraftmålingen, jf. punkt 6.5.1.3 eller punkt 6.6.1.3 i dette bilag.

En udvidelse og den tilhørende dokumentation skal føjes til godkendelsesfortegnelserne for det pågældende anlæg.

Hver kombination af rullebanechassisdynamometer eller moving belt-dynamometer og vindtunnel skal godkendes særskilt.

Hver kombination af vindhastigheder (jf. punkt 6.4.3 i dette bilag), der anvendes til bestemmelse af køremodstandsværdier, skal valideres særskilt.

6.3. Klargøring af køretøjet og temperatur

Konditionering og forberedelse af køretøjet skal udføres i overensstemmelse med punkt 4.2.1 og 4.2.2 i dette bilag og gælder både i forbindelse med flat belt og rullebanechassisdynamometer og målingerne i vindtunnelen.

Hvis den alternative opvarmningsprocedure, der er beskrevet i punkt 6.5.2.1 i dette bilag, anvendes, skal justeringen af prøvningsmassen og vejningen af køretøjet samt målingen gennemføres uden føreren i køretøjet.

Flat belt- eller chassisdynamometerets testceller skal have en indstillingsværdi på 20 °C med en tolerance på ± 3 °C. Efter anmodning fra fabrikanten kan indstillingsværdien også være 23 °C med en tolerance på ± 3 °C.

6.4. Vindtunnelmetode

6.4.1. Vindtunnelkriterier

Vindtunnellens konstruktion, prøvningsmetoderne og korrektionerne skal give en værdi på (C_D × A_f), der er repræsentativ for værdien på vej (C_D × A_f) med en repeterbarhed på ±0,015 m^2.

For alle (C_D × A_f) målinger skal vindtunnelkriterierne i punkt 3.2 i dette bilag være opfyldt med følgende modifikationer:

a) Blokeringsforholdet (solide emner) beskrevet i punkt 3.2.4 i dette bilag skal være mindre end 25 procent

b) Den bælteoverflade, der er i kontakt med hvert dæk, skal være mindst 20 procent længere end denne kontaktflade og skal være mindst lige så bred som denne

c) Standardafvigelsen for det samlede tryk på dysens afgangsåbning beskrevet i punkt 3.2.8 i dette bilag skal være mindre end 1 procent

d) Blokeringsforholdet for fastholdelsessystemet, som er beskrevet i punkt 3.2.10 i dette bilag, skal være mindre end 3 procent.

e) Ud over de krav, der er fastsat i punkt 3.2.11 i dette bilag, må præcisionen af den målte kraft ved måling af gruppe 1-køretøjer ikke overstige ± 2.0 N.

6.4.2. Vindtunnelmåling

Køretøjet skal være i den tilstand, der er beskrevet i punkt 6.3 i dette bilag.

Køretøjet placeres parallelt med tunnellens midterlinje i længderetningen med en maksimal tolerance på ± 10 mm.

Køretøjet placeres med en giringsvinkel på 0 ° med en tolerance på ± 0,1 °.

Aerodynamisk modstand måles i mindst 60 sekunder og med en minimumsfrekvens på 5 Hz. Alternativt kan luftmodstanden måles med en minimumsfrekvens på 1 Hz og med mindst 300 på hinanden følgende prøveudtagninger. Resultatet er den aritmetiske gennemsnitsværdi af luftmodstanden.

Forud for en prøvning skal det kontrolleres, at der ved den aerodynamiske kraft målt ved en vindhastighed på 0 km/h giver et resultat på 0 newton.

Hvis køretøjet har bevægelige aerodynamiske karosseridele, finder punkt 4.2.1.5 i dette bilag anvendelse. Hvis bevægelige dele er hastighedsafhængige, skal hvert relevant position måles i vindtunnel, og der skal forelægges dokumentation for den kompetente myndighed, der angiver forholdet mellem referencehastighed, de bevægelig deles position og den tilsvarende ($C_D \times A_f$).

6.4.3. Vindhastigheder i forbindelse med vindtunnelmåling

Den aerodynamiske kraft måles ved to vindhastigheder under følgende hastighedsbetingelser:

a) Gruppe 1-køretøjer
Lavere vindhastighed v_{low} til måling af aerodynamisk kraft skal være v_{low} < 80 km/h
Højere vindhastighed v_{high} skal være (v_{low} + 40 km/h ≤ v_{high} ≤ 150 km/h).

b) Gruppe 2- og 3-køretøjer
Lavere vindhastighed v_{low} til måling af aerodynamisk kraft skal være 80 km/h ≤ v_{low} ≤ 100 km/h
Højere vindhastighed skal være (v_{low} + 40 km/h ≤ v_{high} ≤ 150 km/h).

6.5. Flat belt-dynamometer anvendt i forbindelse med vindtunnelmetoden

6.5.1. Flat belt-kriterier

6.5.1.1. Beskrivelse af flat belt-prøvebænken

Hjulene skal dreje på flade bælter, som ikke ændrer hjulenes rullekarakteristika i forhold til dem, de har på vej. De målte kræfter i x-retningen skal omfatte friktionskræfterne i fremdriftssystemet.

6.5.1.2. Køretøjets fastholdelsessystem

Dynamometeret skal være udstyret med en centreringsanordning, som kan centrere køretøjet inden for en tolerance på ± 0,5° af rotationen omkring z-aksen. Fastholdelsessystemet skal fastholde positionen for det centrerede drivhjul under friløbskørsler ved bestemmelsen af køremodstand inden for følgende grænser:

6.5.1.2.1. Sideværts position (y-akse)

Køretøjet skal forblive i positionen i y-retningen, og bevægelse i sideretningen skal begrænses mest muligt.

6.5.1.2.2. Position fortil og bagtil (x-akse)

Som supplement til kravet i punkt 6.5.1.2.1 i dette bilag skal begge hjul være inden for ± 10 mm fra bæltets vandrette centerlinjer.

6.5.1.2.3. Lodret kraft

Fastholdelsesanordningen skal være konstrueret således, at der ikke udøves lodrette kræfter på drivhjulene.

6.5.1.3. Nøjagtigheden af de målte kræfter

Kun reaktionskræfterne til drejning af hjulene måles. Ingen ydre kræfter må medtages i resultatet (f.eks. kraften fra afkølingsventilatoren luft, køretøjets fastholdelsesanordninger, aerodynamiske kræfter fra det flade bælte, dynamometertab osv.).

Kræfterne i x-retningen måles med en nøjagtighed på ± 5 N.

6.5.1.4. Flat belt-hastighedskontrol

Bæltehastigheden skal fastholdes med en nøjagtighed på ± 0,1 km/h:

6.5.1.5. Det flade bæltes overflade

Det flade bæltes overflade skal være ren, tør og fri for urenheder, der kan forårsage dækskred.

6.5.1.6. Køling

Køretøjet skal udsættes for en kølig luftstrøm med variabel hastighed. Indstillingsværdien for den lineære lufthastighed ved blæserens afgang skal være lig den tilsvarende dynamometerhastighed over målingshastigheder på 5 km/h. Den lineære lufthastighed ved blæserens afgang skal ligge inden for ± 5 km/h eller ± 10 procent af den tilsvarende målingshastighed, alt efter hvad der er størst.

6.5.2. Flat belt-målinger

Målingen kan udføres i henhold til enten punkt 6.5.2.2 eller punkt 6.5.2.3 i dette bilag.

6.5.2.1. prækonditionering

Køretøjet skal være i den tilstand på dynamometeret, som er beskrevet i punkt 4.2.4.1.1 til og med 4.2.4.1.3 i dette bilag.

I forbindelse med prækonditioneringen skal køremodstanden F_d indstilles til:

$$\mathbf{F_d} = \mathbf{a_d} + (\mathbf{b_d} \times \mathbf{v}) + (\mathbf{c_d} \times \mathbf{v^2})$$

hvor, i tilfælde af anvendelse af punkt 6.7.2.1:

$a_d = 0$

$b_d = f_{1a}$

$\mathbf{c_d} = \mathbf{f_{2a}}$

eller hvor, i tilfælde af anvendelse af punkt 6.7.2.2:

$a_d = 0$

$b_d = 0$

$$c_d = \left(C_D \times A_f\right) \times \frac{\rho_0}{2} \times \frac{1}{3.6^2}$$

Den ækvivalente inertimasse for dynamometeret skal være prøvningsmassen.

Den aerodynamiske modstand anvendt til belastningsindstillingen bestemmes i overensstemmelse med punkt 6.7.2 i dette bilag og kan indstilles direkte som input. I modsat fald anvendes a_d, b_d, og c_d fra dette punkt.

Efter anmodning fra fabrikanten, som alternativ til punkt 4.2.4.1.2 i dette bilag, kan opvarmningen gennemføres ved at køre køretøjet med det flade bælte.

I så fald skal opvarmningshastigheden være 110 % af maksimalhastigheden for gældende WLTC. Opvarmningen anses for fuldstændig, når køretøjet har kørt i mindst 1 200 sekunder, og ændringen i den målte kraft over en periode på 200 sekunder er mindre end 5 N.

6.5.2.2. Målemetode ved konstante hastigheder

6.5.2.2.1. Prøvningen skal udføres fra det højeste til det laveste referencehastighedspunkt.

6.5.2.2.2. Umiddelbart efter målingen på det foregående hastighedspunkt gennemføres decelerationen fra den nuværende til det næste gældende referencehastighedspunkt i en smidig overgang på ca. 1 m/s^2.

6.5.2.2.3. Referencehastigheden stabiliseres i mindst 4 sekunder og højst 10 sekunder. Måleudstyret skal sikre, at signalet fra den målte kraft er stabiliseret efter denne periode.

6.5.2.2.4. Kraften ved hver referencehastighed måles i mindst 6 sekunder, mens køretøjets hastighed holdes konstant. Den resulterende kraft for dette referencehastighedspunkt, f_{jDyno}, skal være lig med det aritmetiske gennemsnit af kraften under målingen.

6.5.2.2.5. Trinnene i punkt 6.5.2.2.2 til og med 6.5.2.2.4 i dette bilag gentages for hver referencehastighed.

6.5.2.3. Målemetode ved deceleration

6.5.2.3.1. Prækonditionering og indstillingen af dynamometeret foretages i overensstemmelse med punkt 6.5.2.1 i dette bilag. Før hvert friløb køres køretøjet ved højeste referencehastighed eller, i tilfælde af at det er den alternative opvarmningsprocedure, der benyttes, ved 110 procent af den højeste referencehastighed i mindst 1 minut. Køretøjet skal efterfølgende accelereres til mindst 10 km/h højere end den højeste referencehastighed, og friløb påbegyndes straks.

6.5.2.3.2. Målingen skal udføres i henhold til punkt 4.3.1.3.1 til og med 4.3.1.4.4 i dette bilag, dog eksklusive punkt 4.3.1.4.2., hvis $\Delta \mathbf{t_{ja}}$ og $\Delta \mathbf{t_{jb}}$ erstattes af $\Delta \mathbf{t_j}$. Målingen skal standses efter to decelerationer, hvis kraften fra begge friløb ved hvert referencehastighedspunkt ligger inden for ± 10 N; ellers foretages mindst tre friløb ved anvendelse af de kriterier, der er fastsat i punkt 4.3.1.4.2 i dette bilag.

6.5.2.3.3. Kraften f_{jDyno} ved hver referencehastighed v_j beregnes ved at fjerne den indstillede kraft på dynamometeret:

$$\mathbf{f_{jDyno} = f_{jDecel} - f_{dj}}$$

hvor:

$\mathbf{f_{jDecel}}$ er den kraft, der fastlægges i henhold til ligningen til beregning af F_j i punkt 4.3.1.4.4 i dette bilag ved referencehastighedspunktet j, (N)

$\mathbf{f_{dj}}$ er den kraft, der fastlægges i henhold til ligningen til beregning af F_d i punkt 6.5.2.1 i dette bilag ved referencehastighedspunktet j (N).

Alternativt kan b_d og c_d efter anmodning fra fabrikanten nulstilles under friløb og til beregning af f_{jDyno}.

6.5.2.4. Målebetingelser

Køretøjet skal være i den tilstand, der er beskrevet i punkt 4.3.1.3.2 i dette bilag.

6.5.3. Måleresultat af flat belt-metode

Resultatet af flat belt-dynamometermålingen f_{jDyno} benævnes f_j i forbindelse med yderligere beregninger i punkt 6.7 i dette bilag.

6.6. Chassisdynamometermetoden anvendt i forbindelse med vindtunnelmetoden

6.6.1. Kriterier

Foruden beskrivelserne i punkt 1 og 2 i bilag B5 finder de kriterier, der er beskrevet i punkt 6.6.1.1 til og med 6.6.1.6 i dette bilag anvendelse.

6.6.1.1. Beskrivelse af chassisdynamometer

For- og bagaksel skal være udstyret med en enkelt rulle med en diameter på mindst 1,2 m.

6.6.1.2. Køretøjets fastholdelsessystem

Dynamometeret skal være udstyret med en centreringsanordning til centrering af køretøjet. Fastholdelsessystemet skal opretholde den centrerede drivhjulsposition inden for følgende anbefalede grænser ved friløbskørsler i forbindelse med bestemmelse af køremodstand:

6.6.1.2.1. Køretøjsposition

Det køretøj, der prøves, anbringes på chassisdynamometerets rulle som defineret i punkt 7.3.3 i dette bilag.

6.6.1.2.2. Lodret kraft

Fastholdelsessystemet skal opfylde kravene i punkt 6.5.1.2.3 i dette bilag.

6.6.1.3. Nøjagtigheden af de målte kræfter

Nøjagtigheden af de målte kræfter skal være som beskrevet i punkt 6.5.1.3 i dette bilag bortset fra kraften i x-retningen, som skal måles med en nøjagtighed som beskrevet i punkt 2.4.1 i bilag B5.

6.6.1.4. Dynamometerets hastighedskontrol

Rullens hastighed skal fastholdes med en nøjagtighed på ± 0,2 km/h.

6.6.1.5. Rullens overflade

Rullens overflade skal være ren, tør og fri for urenheder, der kan forårsage dækskred.

6.6.1.6. Køling

Ventilatoren skal være som beskrevet i punkt 6.5.1.6 i dette bilag.

6.6.2. Dynamometermåling

Målingen udføres som beskrevet i punkt 6.5.2 i dette bilag.

6.6.3. Korrektion af kræfter målt på chassisdynamometeret til kræfter på en plan flade

De målte kræfter på chassisdynamometeret skal korrigeres til en reference ækvivalent med vejoverfladen (flad overflade) og resultatet benævnes f_j.

$$\mathbf{f_j} = \mathbf{f_{jDyno}} \times \mathbf{c1} \times \sqrt{\frac{\mathbf{1}}{\frac{\mathbf{R_{Wheel}}}{\mathbf{R_{Dyno}}} \times \mathbf{c2} + \mathbf{1}}} + \mathbf{f_{jDyno}} \times (\mathbf{1} - \mathbf{c1})$$

hvor:

c1	er dækkets rullemodstand som brøkdel af f_{jdyno}
c2	er en chassisdynamometerspecifik radiuskorrektionsfaktor
f_{jDyno}	er den kraft, der beregnes i henhold til punkt 6.5.2.3.3 i dette bilag for hver referencehastighed j (N)
R_{Wheel}	er halvdelen af dækkets konstruktionsmæssige nominelle diameter (m)
R_{Dyno}	er radius af chassisdynamometerets rulle (m).

Fabrikanten og den kompetente myndighed bliver enige om de faktorer, c1 og c2, der skal anvendes, ud fra dokumentation fra sammenlignende prøvning leveret af fabrikanten for den række dækkarakteristika, som skal prøves på chassisdynamometeret.

Som et alternativ kan følgende konservative ligning anvendes:

$$\mathbf{f_j} = \mathbf{f_{jDyno}} \times \sqrt{\frac{\mathbf{1}}{\frac{\mathbf{R_{Wheel}}}{\mathbf{R_{Dyno}}} \times \mathbf{0.2} + \mathbf{1}}}$$

C2 skal være 0,2; dog anvendes 2,0, hvis deltametoden for køremodstand (se punkt 6.8 i dette bilag) anvendes, og delta for køremodstand beregnet i overensstemmelse med punkt 6.8.1 i dette bilag er negativ.

6.7. Beregninger

6.7.1. Korrektion af resultaterne fra flat belt- og chassisdynamometer

Kræfter målt i henhold til punkt 6.5 og 6.6 i dette bilag omregnes til referencebetingelserne ved hjælp af følgende ligning:

$$\mathbf{F_{Dj}} = \left(\mathbf{f_j}(\mathbf{1} - \mathbf{K_1})\right) \times \left(\mathbf{1} + \mathbf{K_0}(\mathbf{T} - \mathbf{293})\right)$$

hvor:

$\mathbf{F_{Dj}}$	er den korrigerede modstand målt på flat belt- eller chassisdynamometeret ved referencehastigheden j (N)
$\mathbf{f_j}$	er den målte kraft ved referencehastigheden j (N)
$\mathbf{K_0}$	er korrektionsfaktoren for rullemodstand som defineret i punkt 4.5.2 i dette bilag (K^{-1})
$\mathbf{K_1}$	er prøvningsmassekorrektion som defineret i punkt 4.5.4 i dette bilag (N)
T	er den aritmetiske gennemsnitstemperatur i prøvningsrummet under målingen, K.

6.7.2. Beregning af den aerodynamiske kraft

Beregningen i punkt 6.7.2.1 anvendes under hensyntagen til resultaterne af begge vindhastigheder. Hvis forskellen mellem produktet af luftmodstandskoefficienten og frontarealet ($\mathbf{C_D} \times \mathbf{A_f}$) målt ved vindhastighederne v_{low} og v_{high} er mindre end 0,015 m^2, kan beregningen i punkt 6.7.2.2 dog foretages efter anmodning fra fabrikanten.

6.7.2.1. Hver vindhastigheds aerodynamiske kraft $\mathbf{F_{0wind}}$, $\mathbf{F_{low}}$ og $\mathbf{F_{high}}$ beregnes ved hjælp af følgende ligning.

$$\mathbf{F_{Aw}} = (\mathbf{C_D} \times \mathbf{A_f})_{\mathbf{w}} \times \frac{\boldsymbol{\rho_0}}{\mathbf{2}} \times \frac{\mathbf{v_w^2}}{\mathbf{3.6^2}}$$

hvor:

$(\mathbf{C_D} \times \mathbf{A_f})_{\mathbf{j}}$	er produktet af modstandskoefficienten og frontarealet målt i vindtunnelen ved et bestemt referencehastighedspunkt j, i givet fald m^2
$\boldsymbol{\rho_0}$	er tørluftens massefylde, jf. dette regulativs punkt 3.2.10 (kg/m^3)
$\mathbf{F_w}$	er den aerodynamiske kraft beregnet ved vindhastigheden w (N)
v_w	er den relevante vindhastighed (km/h).
w	er referencen til den relevante vindhastighed "0wind", "low" og "high"
$\mathbf{F_{0wind}}$	er den aerodynamiske kraft ved 0 km/h (N)
$\mathbf{F_{low}}$	er den aerodynamiske kraft ved v_{low} (N)
$\mathbf{F_{high}}$	er den aerodynamiske kraft ved v_{high} (N).

Koefficienterne $\mathbf{f_{1a}}$ og $\mathbf{f_{2a}}$ for den aerodynamisk kraft beregnes med en mindste kvadraters regressionsanalyse ved hjælp af $\mathbf{F_{0wind}}$, $\mathbf{F_{low}}$ og $\mathbf{F_{high}}$ og følgende ligning:

$$\mathbf{F} = \mathbf{f_{1a}} \times \mathbf{v} + \mathbf{f_{2a}} \times \mathbf{v^2}$$

Det endelige resultat for den aerodynamiske kraft F_{Aj} beregnes med ligningen nedenfor på hvert referencehastighedspunkt v_j. Hvis køretøjet er udstyret med hastighedsafhængige bevægelige aerodynamiske karosseridele, skal hertil svarende aerodynamisk kraft anvendes for de pågældende referencehastighedspunkter.

$$\mathbf{F_{Aj}} = \mathbf{f_{1a}} \times \mathbf{v_j} + \mathbf{f_{2a}} \times \mathbf{v_j^2}$$

6.7.2.2. Den aerodynamiske kraft beregnes ved hjælp af nedenstående ligning, hvor den endelige $(\mathbf{C_D} \times \mathbf{A_f})$ vindhastighed skal anvendes, som også anvendes til bestemmelse af ekstraudstyr inden for interpolationsmetoden. Hvis køretøjet er udstyret med hastighedsafhængige bevægelige aerodynamiske karosseridele, skal hertil svarende ($C_D \times A_f$)-værdier anvendes for de pågældende referencehastighedspunkter.

$$\mathbf{F_{Aj}} = (\mathbf{C_D} \times \mathbf{A_f})_{\mathbf{j}} \times \frac{\boldsymbol{\rho_0}}{\mathbf{2}} \times \frac{\mathbf{v_j^2}}{\mathbf{3.6^2}}$$

hvor:

$\mathbf{F_{Aj}}$	er den aerodynamiske kraft beregnet ved referencehastigheden j (N)
$(\mathbf{C_D} \times \mathbf{A_f})_{\mathbf{j}}$	er produktet af modstandskoefficienten og frontarealet målt i vindtunnelen ved et bestemt referencehastighedspunkt j, i givet fald m^2
$\boldsymbol{\rho_0}$	er tørluftens massefylde, jf. dette regulativs punkt 3.2.10 (kg/m^3)
v_j	er referencehastigheden (km/h).

6.7.3. Beregning af køremodstandsværdier

Den samlede køremodstand som summen af resultaterne i punkt 6.7.1 og 6.7.2 i dette bilag beregnes ved hjælp af følgende ligning:

$$\mathbf{F_j^*} = \mathbf{F_{Dj}} + \mathbf{F_{Aj}}$$

for alle gældende referencehastighedspunkter j (N)

For alle beregnede $\mathbf{F_j^*}$ skal koefficienterne f_0, f_1 og f_2 i køremodstandsligningen beregnes med en mindste kvadraters regressionsanalyse og anvendes som målkoefficienter i punkt in punkt 8.1.1 i dette bilag.

Hvis det køretøj, der prøves efter vindtunnelmetoden er det repræsentative køretøj for en køremodstandsmatrixfamilie, sættes koefficienten f_1 til nul, og koefficienterne f_0 og f_2 genberegnes med en mindste kvadraters regressionsanalyse.

6.8. Køremodstandsdeltametoden

Med henblik på i forbindelse med anvendelsen af interpolationsmetoden at inkludere muligheder, der ikke er omfattet af køremodstandsinterpolation (aerodynamik, rullemodstand og masse), kan der måles et ved delta ved køremodstandsdeltametoden (f.eks. friktionsforskel mellem bremsesystemer). Dette skal ske i følgende trin:

a) Friktionen for referencekøretøjet R måles

b) Friktionen for køretøjet med den option (køretøjet N), der forårsager forskellig friktion måles

c) Forskellen beregnes i overensstemmelse med punkt 6.8.1 i dette bilag.

Disse målinger skal udføres på et flat belt-dynamometer i overensstemmelse med punkt 6.5 i dette bilag eller på et chassisdynamometer i overensstemmelse med punkt 6.6 i dette bilag, og korrektionen af resultaterne (ekskl. aerodynamisk kraft) beregnes i overensstemmelse med punkt 6.7.1 i dette bilag.

Anvendelsen af denne metode er kun tilladt, hvis følgende krav er opfyldt:

$$\left|\frac{\mathbf{1}}{\mathbf{n}}\sum_{\mathbf{j=1}}^{\mathbf{n}}\left(\mathbf{F_{Dj,R}}-\mathbf{F_{Dj,N}}\right)\right| \leq \mathbf{25N}$$

hvor:

$F_{Dj,R}$ er den korrigerede modstand for køretøj R målt på flat belt- eller chassisdynamometer ved referencehastigheden j, beregnet i overensstemmelse med punkt 6.7.1 i dette bilag (N)

$F_{Dj,N}$ er den korrigerede modstand for køretøj N målt på flat belt- eller chassisdynamometer ved referencehastigheden j, beregnet i overensstemmelse med punkt 6.7.1 i dette bilag (N)

n er det samlede antal hastighedspunkter.

Denne metode til alternativ bestemmelse af køremodstand kan kun anvendes, hvis køretøjerne R og N har identisk aerodynamisk modstand, og hvis den målte delta på passende vis dækker den samlede indflydelse på køretøjets energiforbrug. Denne metode må ikke anvendes, hvis den samlede nøjagtighed køretøj N's absolutte køremodstand ikke på nogen måde kompromitteres.

6.8.1. Bestemmelse af flat belt- eller chassisdynamometerkoefficienter for delta

Den deltakøremodstanden beregnes ved hjælp af følgende ligning:

$$\mathbf{F_{Dj,Delta}} = \mathbf{F_{Dj,N}} - \mathbf{F_{Dj,R}}$$

hvor:

$\mathbf{F_{Dj,Delta}}$ er deltakøremodstanden ved referencehastigheden j (N)

$\mathbf{F_{Dj,N}}$ er den korrigerede modstand for køretøj N målt på flat belt- eller chassisdynamometer ved referencehastigheden j, beregnet i overensstemmelse med punkt 6.7.1 i dette bilag (N)

$\mathbf{F_{Dj,R}}$ er den korrigerede modstand for referencekøretøjet målt på flat belt- eller chassisdynamometer ved referencehastigheden j, beregnet i overensstemmelse med punkt 6.7.1 i dette bilag for referencekøretøjet R (N).

For alle beregnede $F_{Dj,Delta}$ beregnes koefficienterne $f_{0,Delta}$, $f_{1,Delta}$ og $f_{2,Delta}$ i køremodstandsligningen med en mindste kvadraters regressionsanalyse.

6.8.2. Bestemmelse af samlet køremodstand

Hvis interpolationsmetoden (se punkt 3.2.3.2 i bilag B7) ikke anvendes, beregnes køremodstandskoefficienterne for køretøj N efter følgende ligninger:

$$\mathbf{f_{0,N} = f_{0,R} + f_{0,Delta}}$$

$$\mathbf{f_{1,N} = f_{1,R} + f_{1,Delta}}$$

$$\mathbf{f_{2,N} = f_{2,R} + f_{2,Delta}}$$

hvor:

N henviser til køremodstandskoefficienterne for køretøj N

R henviser til køremodstandskoefficienterne for referencekøretøj R

Delta henviser til deltakøremodstandskoefficienterne fastsat i punkt 6.8.1 i dette bilag.

7. Overførsel af køremodstand til chassisdynamometer

7.1. Klargøring af chassisdynamometerprøvning

7.1.0. Valg af dynamometerdrift

Prøvningen udføres i overensstemmelse med punkt 2.4.2.4 i bilag B6.

7.1.1. Laboratoriebetingelser

7.1.1.1. Rulle(r)

Chassisdynamometerrullen(-erne) skal være ren(e), tør(re) og fri for urenheder, der kan forårsage dækskred. Dynamometeret skal være i samme koblede eller ukoblede tilstand som ved den senere type 1-prøvning. Chassisdynamometerets hastighed skal måles på den rulle, der er koblet til effektabsorptionsenheden.

7.1.1.1.1. Dækskred

Der kan placeres ekstra vægt på eller i køretøjet for at eliminere dækskred. Fabrikanten skal gennemføre belastningsindstillingen på chassisdynamometeret med den ekstra vægt. Den ekstra vægt skal være til stede for både belastningsindstillingen og prøvninger af emission og brændstofforbrug. Hvis der gøres brug af ekstra vægt, skal det registreres.

7.1.1.2. Rumtemperatur

Laboratoriets atmosfæriske temperatur skal have en indstillingsværdi på 23 °C og må ikke afvige med mere end ± 5 °C under afprøvningen, medmindre andet kræves ved en efterfølgende test.

7.2. Klargøring af chassisdynamometer

7.2.1. Indstilling af inertimasse

Den ækvivalente inertimasse på chassisdynamometeret indstilles i henhold til punkt 2.5.3 i dette bilag. Hvis chassisdynamometeret ikke er i stand til at opfylde inertiindstillingen nøjagtigt, anvendes den næste højere inertiindstilling med en stigning på højst 10 kg.

7.2.2. Opvarmning af chassisdynamometer

Chassisdynamometeret skal varmes op i overensstemmelse med dynamometerfabrikantens anvisninger eller, efter behov, således at friktionstabet i dynamometeret kan stabiliseres.

7.3. Klargøring af køretøjet

7.3.1. Justering af dæktryk

Dæktrykket ved soak-temperaturen for type 1-prøvningen fastsættes til højst 50 procent over den nedre grænse af dæktryksintervallet for det udvalgte dæk, som angivet af køretøjets fabrikant (se punkt 4.2.2.3 i dette bilag), og skal registreres.

7.3.2. Hvis bestemmelsen af dynamometerets indstilling ikke kan opfylde de kriterier, der er beskrevet i punkt 8.1.3 i dette bilag, på grund af ikke-reproducerbarheden af visse faktorer, skal køretøjet være udstyret med en køretøjsfriløbstilstand. Friløbstilstanden skal godkendes af den kompetente myndighed, og dens anvendelse skal fremgå af alle relevante prøvningsrapporter.

Hvis et køretøj er udstyret med en køretøjsfriløbstilstand, skal den anvendes både under bestemmelse af køremodstand og på chassisdynamometeret.

7.3.3. Køretøjets placering på dynamometeret

Prøvningskøretøjet anbringes på chassisdynamometeret i ligeud-position og fastholdt på sikker vis.

7.3.3.1. Hvis der anvendes et chassisdynamometer med én rulle, skal køretøjet anbringes og forblive anbragt under hele proceduren i overensstemmelse med kravene i punkt 7.3.3.1.1 til og med 7.3.3.1.3.

7.3.3.1.1. Justering af rotation (rotation omkring z-aksen)

Køretøjet skal anbringes i plan med x-aksen for at minimere rotation omkring z-aksen.

7.3.3.1.2. Sideværts position (y-akse)

Køretøjet skal forblive i positionen i y-retningen, og bevægelse i sideretningen skal begrænses mest muligt.

7.3.3.1.3. Position fortil og bagtil (x-akse)

For alle roterende hjul skal midten af dækkets kontaktflade med rullen skal være inden for ± 25 mm eller ± 2 procent af rullens diameter, afhængigt af hvad der er mindst, målt fra toppen af rullen.

7.3.3.1.4. Prøvningskøretøjet skal fastholdes med et system, der er i overensstemmelse med punkt 2.3.2 i bilag B5.

Hvis momentmålingsmetoden anvendes, justeres dæktrykket således, at den dynamiske radius er under 0,5 procent af den dynamiske radius r_j beregnet ved anvendelse af ligningerne i punkt 4.4.3.1 i dette bilag ved 80 km/h-referencehastighedspunktet. Den dynamiske radius på chassisdynamometeret beregnes i henhold til den metode, der er beskrevet i punkt 4.4.3.1 i dette bilag.

Hvis denne justering ligger uden for intervallet i punkt 7.3.1 i dette bilag, finder momentmålingsmetoden ikke anvendelse.

7.3.4. Opvarmning af køretøjet

7.3.4.1. Køretøjet skal varmes op med gældende WLTC. Hvis køretøjet er varmet op til 90 procent af maksimalhastigheden for den næste højere fase i den procedure, der er fastlagt i punkt 4.2.4.1.2 i dette bilag, lægges denne højere fase lægges til den gældende WLTC.

Tabel A4/7

Opvarmning af køretøjet

Køretøjsgruppe	Gældende WLTC	Vedtagelse af næste højere fase	Opvarmningscyklus
Gruppe 1	Lav_1 + $Medium_1$ + Lav_1	IKKE RELEVANT	Lav_1 + $Medium_1$ + Lav_1
Gruppe 2	Lav_2 + $Medium_2$ + $Høj_2$ + Ekstra $høj_2$	IKKE RELEVANT	Lav_2 + $Medium_2$ + $Høj_2$ + Ekstra $høj_2$
	Lav_2 + $Medium_2$ + $Høj_2$	Ja (Ekstra $høj_2$)	
		Nej	Lav_2 + $Medium_2$ + $Høj_2$
Gruppe 3	Lav_3 + $Medium_3$ + $Høj_3$ + Ekstra $høj_3$	Lav_3 + $Medium_3$ + $Høj_3$ + Ekstra $høj_3$	Lav_3 + $Medium_3$ + $Høj_3$ + Ekstra $høj_3$
	Lav_3 + $Medium_3$ + $Høj_3$	Ja (Ekstra $høj_3$)	
		Nej	Lav_3 + $Medium_3$ + $Høj_3$

7.3.4.2. Hvis køretøjet allerede er varmet op, køres WLTC-fasen anvendt i punkt 7.3.4.1 i dette bilag, med den højeste hastighed.

7.3.4.3. Alternativ opvarmningsprocedure

7.3.4.3.1. På køretøjsfabrikantens anmodning og efter godkendelse fra den kompetente myndighed kan en alternativ opvarmningsprocedure. Den godkendte alternative opvarmningsprocedure kan anvendes for køretøjer i samme køremodstandsfamilie og skal opfylde de krav, der er beskrevet i punkt 7.3.4.3.2 til og med 7.3.4.3.5 i dette bilag.

7.3.4.3.2. Der udvælges mindst ét køretøj, som repræsenterer køremodstandsfamilien.

7.3.4.3.3. Cyklusenergikravet beregnet i henhold til punkt 5 i bilag B7 med de korrigerede køremodstandskoefficienter, f_{0a}, f_{1a} og f_{2a}, for den alternative opvarmningsprocedure skal være lig med eller højere end det cyklusenergikrav, der beregnet med målkøremodstandskoefficienterne f_0, f_1 og f_2 for hver gældende fase.

De korrigerede køremodstandskoefficienter f_{0a}, f_{1a} og f_{2a}, beregnes efter følgende ligninger:

$$\mathbf{f_{0a} = f_0 + A_{d_alt} - A_{d_WLTC}}$$

$$\mathbf{f_{1a} = f_1 + B_{d_alt} - B_{d_WLTC}}$$

$$\mathbf{f_{2a} = f_2 + C_{d_alt} - C_{d_WLTC}}$$

hvor:

A_{d_alt}, B_{d_alt} og C_{d_alt}	er chassisdynamometerindstillingskoefficienterne efter den alternative opvarmningsprocedure
A_{d_WLTC}, B_{d_WLTC} og C_{d_WLTC}	er chassisdynamometerets indstillingskoefficienter efter en WLTC-opvarmningsprocedure, der er beskrevet i punkt 7.3.4.1 i dette bilag og en gyldig indstilling af chassisdynamometeret i henhold til punkt 8 i dette bilag.

7.3.4.3.4. De korrigerede køremodstandskoefficienter f_{0a}, f_{1a} og f_{2a} anvendes kun med henblik på punkt 7.3.4.3.3 i dette bilag. Til andre formål anvendes målkøremodstandskoefficienterne f_0, f_1 og f_2 som målkøremodstandskoefficienter.

7.3.4.3.5. Detaljer vedrørende proceduren og dens ækvivalens skal stilles til rådighed for den kompetente myndighed.

8. Belastningsindstilling af chassisdynamometer

8.1. Belastningsindstilling af chassisdynamometer ved hjælp af friløbsmetoden

Denne metode anvendes, når køremodstandskoefficienterne f_0, f_1 og f_2 er blevet fastlagt.

I tilfælde af en køremodstandsmatrixfamilie skal denne metode anvendes, når det repræsentative køretøjs køremodstand bestemmes ved friløbsmetoden som beskrevet i punkt 4.3. i dette bilag. Målkøremodstandsværdierne er de værdier, der er beregnet ved hjælp af den metode, der er beskrevet i punkt 5.1 i dette bilag.

8.1.1. Indledende belastningsindstilling

For et chassisdynamometer med koefficientstyring skal chassisdynamometerets effektabsorptionsenhed justeres med de vilkårlige indledende koefficienter $\mathbf{A_d}$, $\mathbf{B_d}$og $\mathbf{C_d}$efter følgende ligning:

$$\mathbf{F_d = A_d + B_d v + C_d v^2}$$

hvor:

$\mathbf{F_d}$ er chassisdynamometerets belastningsindstilling (N)

$\mathbf{v}$ er hastigheden for chassisdynamometerets rulle (km/h).

Følgende koefficienter anbefales ved den indledende belastningsindstilling:

a) $\mathbf{A_d = 0.5 \times A_t}$, $\mathbf{B_d = 0.2 \times B_t}$, $\mathbf{C_d = C_t}$

for enkeltaksechassisdynamometre eller

$\mathbf{A_d = 0.1 \times A_t}$, $\mathbf{B_d = 0.2 \times B_t}$, $\mathbf{C_d = C_t}$

dobbeltaksechassisdynamometre, hvor $\mathbf{A_t}$, $\mathbf{B_t}$ og $\mathbf{C_t}$målkøremodstandskoefficienterne

b) empiriske værdier, såsom dem, der anvendes i forbindelse med indstillingerne for en lignende type køretøj.

For et chassisdynamometer med polygonal kontrol indstilles de passende belastningsværdier ved hver referencehastighed på chassisdynamometerets effektabsorptionsenhed.

8.1.2. Friløb

Friløbsprøvningen på chassisdynamometeret skal udføres med den fremgangsmåde, som er angivet i punkt 8.1.3.4.1 eller i punkt 8.1.3.4.2 i dette bilag og skal startes senest 120 sekunder efter fuldførelsen af opvarmningsproceduren. På hinanden følgende friløb skal indledes umiddelbart. Efter anmodning fra fabrikanten og efter godkendelse fra den kompetente myndighed, kan tiden mellem opvarmningsprocedure og friløb ved brug af den iterative metode udvides for at sikre en korrekt indstilling af køretøjets friløb. Fabrikanten skal for den kompetente myndighed forelægge dokumentation for at kræve yderligere tid og dokumentation for, at chassisdynamometerbelastningsparametrene (f.eks. kølevæske og/eller olietemperatur, kraft på et dynamometer) ikke påvirkes.

8.1.3. Verifikation

8.1.3.1. Målkøremodstandsværdien skal beregnes ved hjælp af målkøremodstandskoefficienten, $\mathbf{A_t}$, $\mathbf{B_t}$og $\mathbf{C_t}$,, for hver referencehastighed, $\mathbf{v_j}$:

$$\mathbf{F_{tj} = A_t + B_t v_j + C_t v_j^2}$$

hvor:

A_t, B_t og C_t	er målkøremodstandsparametrene
$\mathbf{F_{tj}}$	er målkøremodstanden ved referencehastigheden $\mathbf{v_j}$ (N)
$\mathbf{v_j}$	er den j'te referencehastighed (km/h).

8.1.3.2. Den målte køremodstand beregnes ved hjælp af følgende ligning:

$$\mathbf{F_{mj} = \frac{1}{3.6} \times (TM + m_r) \times \frac{2 \times \Delta v}{\Delta t_j}}$$

hvor:

Δv	er 5 km/h
F_{mj}	er den målte køremodstand for hver referencehastighed v_j (N)
TM	er køretøjets prøvningsmasse (kg)
m_r	er den ækvivalente effektive masse af roterende komponenter i henhold til punkt 2.5.1 i dette bilag (kg)
Δt_j	er friløbstiden svarende til hastigheden v_j (s).

8.1.3.3. Koefficienterne A_s, B_s og C_s i køremodstandsligningen for den simulerede køremodstand på chassisdynamometeret beregnes ved hjælp af en mindste kvadraters regressionsanalyse:

$$\mathbf{F_s = A_s + (B_s \times v) + (C_s \times v^2)}$$

Den simulerede køremodstand for hver referencehastighed vj beregnes ved følgende ligning ved hjælp af de beregnede A_s, B_s og C_s:

$$\mathbf{F_{sj} = A_s + (B_s \times v_j) + (C_s \times v_j^2)}$$

8.1.3.4. Til belastningsindstilling af dynamometer kan der anvendes to forskellige metoder. Hvis køretøjet accelereres af dynamometeret, anvendes de metoder, der er beskrevet i punkt 8.1.3.4.1 i dette bilag. Hvis køretøjet accelereres af dynamometeret, anvendes de metoder, der er beskrevet i punkt 8.1.3.4.1 eller 8.1.3.4.2 i dette bilag, og den minimale acceleration ganget med hastigheden skal være 6 m^2/sec^3. Køretøjer, der er ude af stand til at nå 6 m^2/s^3, skal køres med fuldt aktiveret accelerationskontrol

8.1.3.4.1. Metode med fast kørsel

8.1.3.4.1.1. Dynamometerets software skal udføre i alt fire friløb. Fra det første friløb beregnes dynamometerindstillingskoefficienterne for anden kørsel i henhold til punkt 8.1.4 i dette bilag. Efter det første friløb gennemfører softwaren yderligere tre friløb med enten de faste dynamometerindstillingskoefficienter, der er fastsat efter det første friløb eller de justerede dynamometerindstillingskoefficienter ifølge punkt 8.1.4 i dette bilag.

8.1.3.4.1.2. Den endelige indstilling af dynamometerindstillingskoefficienterne A, B og C bestemmes ved hjælp af følgende ligninger:

$$\mathbf{A} = \mathbf{A_t} - \frac{\sum_{\mathbf{n=2}}^{\mathbf{4}} (\mathbf{A_{s_n}} - \mathbf{A_{d_n}})}{\mathbf{3}}$$

$$\mathbf{B} = \mathbf{B_t} - \frac{\sum_{\mathbf{n=2}}^{\mathbf{4}} (\mathbf{B_{s_n}} - \mathbf{B_{d_n}})}{\mathbf{3}}$$

$$\mathbf{C} = \mathbf{C_t} - \frac{\sum_{\mathbf{n=2}}^{\mathbf{4}} (C_{s_n} - \mathbf{C_{d_n}})}{\mathbf{3}}$$

hvor:

A_t, B_t og C_t	er målkøremodstandsparametrene
$\mathbf{A_{s_n}}$, $\mathbf{B_{s_n}}$ og $\mathbf{C_{s_n}}$	er de simulerede køremodstandskoefficienter i den n'te kørsel
$\mathbf{A_{d_n}}$, $\mathbf{B_{d_n}}$ og $\mathbf{C_{d_n}}$	er dynamometerindstillingskoefficienterne i den n'te kørsel
n	er det indekserede antal friløb inkl. første stabiliseringskørsel.

8.1.3.4.2. Iterativ metode

De beregnede kræfter i de angivne hastighedsintervaller skal enten være inden for en tolerance på ± 10 N efter de mindste kvadraters metode i to på hinanden følgende friløb, når der sammenlignes med målværdierne, eller der udføres yderligere friløb efter en justering af belastningsindstillingen af chassisdynamometeret i henhold til punkt 8.1.4 i dette bilag, indtil tolerancen er opfyldt.

8.1.4. Justering

Indstillingen af chassisdynamometeret skal justeres efter følgende ligninger:

$$\mathbf{F_{dj}^*} = \mathbf{F_{dj}} - \mathbf{F_j} = \mathbf{F_{dj}} - \mathbf{F_{sj}} + \mathbf{F_{tj}}$$

$$= (\mathbf{A_d} + \mathbf{B_d v_j} + \mathbf{C_d v_j^2}) - (\mathbf{A_s} + \mathbf{B_s v_j} + \mathbf{C_s v_j^2}) + (\mathbf{A_t} + \mathbf{B_t v_j} + \mathbf{C_t v_j^2})$$

$$= (\mathbf{A_d} + \mathbf{A_t} - \mathbf{A_s}) + (\mathbf{B_d} + \mathbf{B_t} - \mathbf{B_s})\mathbf{v_j} + (\mathbf{C_d} + \mathbf{C_t} - \mathbf{C_s})\mathbf{v_j^2}$$

Der gælder således følgende:

$$\mathbf{A_d^*} = \mathbf{A_d} + \mathbf{A_t} - \mathbf{A_s}$$

$$\mathbf{B_d^*} = \mathbf{B_d} + \mathbf{B_t} - \mathbf{B_s}$$

$$\mathbf{C_d^*} = \mathbf{C_d} + \mathbf{C_t} - \mathbf{C_s}$$

hvor:

F_{dj}	er chassisdynamometerets indledende belastningsindstilling (N)
$\mathbf{F^*_{dj}}$	er den justerede belastningsindstilling på chassisdynamometeret (N)
F_j	er den korrigerede køremodstand, lig med $(\mathbf{F_{sj} - F_{tj}})$ (N)
F_{sj}	er den simulerede køremodstand ved referencehastigheden v_j (N)
F_{tj}	er målkøremodstanden ved referencehastigheden v_j (N)
$\mathbf{A^*_d}$, $\mathbf{B^*_d}$ og $\mathbf{C^*_d}$	er de nye chassisdynamometerindstillingskoefficienter.

8.1.5. A_t, B_t og C_t anvendes som de endelige værdier af f_0, f_1 og f_2 og anvendes til følgende:

a) Fastlæggelse af nedskalering, punkt 8 i bilag B1

b) Fastlæggelse af gearskiftepunkter, bilag B2

c) interpolation af CO_2 og brændstofforbrug, punkt 3.2.3 i bilag B7

d) Beregning af resultaterne for elkøretøjer og hybride elkøretøjer, punkt 4 i bilag B8.

8.2. Belastningsindstilling af chassisdynamometer ved hjælp af momentmålingsmetoden

Denne metode anvendes når køremodstandskraften bestemmes ved brug af den momentmålingsmetode, der er beskrevet i punkt 4.4 i dette bilag.

I tilfælde af en køremodstandsmatrixfamilie skal denne metode anvendes, når det repræsentative køretøjs køremodstandskraft bestemmes ved momentmålingsmetoden som beskrevet i punkt 4.4. i dette bilag. Målkøremodstandskraftværdierne er de værdier, der er beregnet ved hjælp af den metode, der er beskrevet i punkt 5.1 i dette bilag.

8.2.1. Indledende belastningsindstilling

For et chassisdynamometer med koefficientstyring skal chassisdynamometerets effektabsorptionsenhed justeres med de vilkårlige indledende koefficienter $\mathbf{A_d}$, $\mathbf{B_d}$og $\mathbf{C_d}$efter følgende ligning:

$$\mathbf{F_d = A_d + B_d v + C_d v^2}$$

hvor:

$\mathbf{F_d}$	er chassisdynamometerets belastningsindstilling (N)
$\mathbf{v}$	er hastigheden for chassisdynamometerets rulle (km/h).

Følgende koefficienter anbefales ved den indledende belastningsindstilling:

a) $\mathbf{A_d = 0.5 \times \frac{a_t}{r'}}$, $\mathbf{B_d = 0.2 \times \frac{b_t}{r'}}$, $\mathbf{C_d = \frac{c_t}{r'}}$
for enkeltaksechassisdynamometre eller

$\mathbf{A_d = 0.1 \times \frac{a_t}{r'}}$, $\mathbf{B_d = 0.2 \times \frac{b_t}{r'}}$,$\mathbf{C_d = \frac{c_t}{r'}}$
for dobbeltaksechassisdynamometre, hvor:
$\mathbf{a_t}$, $\mathbf{b_t}$ og $\mathbf{c_t}$ er målkøremodstandskraftkoefficienterne og
$\mathbf{r'}$ er dækkets dynamiske radius på chassisdynamometeret, indhentet ved 80 km/h (m), eller

b) empiriske værdier, såsom dem, der anvendes i forbindelse med indstillingerne for en lignende type køretøj.

For et chassisdynamometer med polygonal kontrol indstilles passende belastningsværdier ved hver reference-hastighed på chassisdynamometerets effektabsorptionsenhed.

8.2.2. Måling af hjulmoment

Momentmålingen på chassisdynamometeret udføres efter den metode, der er fastlagt i punkt 4.4.2 i dette bilag. Momentmåleren(-erne) skal være identisk med den(dem), der er anvendt ved den foregående vejprøvning.

8.2.3. Verifikation

8.2.3.1. Kurven for målkøremodstandskraften (moment) bestemmes ved hjælp af ligningen i punkt 4.5.5.2.1 i dette bilag og kan affattes som følger:

$$\mathbf{C_t^*} = \mathbf{a_t} + \mathbf{b_t} \times \mathbf{v_j} + \mathbf{c_t} \times \mathbf{v_j^2}$$

8.2.3.2. Den simulerede kurve for køremodstandskraft (moment) på chassisdynamometeret beregnes efter den metode og med den målingspræcision, der er angivet i punkt 4.4.3.2 i dette bilag, og kurven for køremodstandskraft (moment) bestemmes som beskrevet i punkt 4.4.4 i dette bilag med relevante korrektioner i henhold til punkt 4.5 i dette bilag, alle med undtagelse af måling i modsatte retninger, hvilket resulterer i en simuleret kurve for køremodstandskraft:

$$\mathbf{C_s^*} = \mathbf{C_{0s}} + \mathbf{C_{1s}} \times \mathbf{v_j} + \mathbf{C_{2s}} \times \mathbf{v_j^2}$$

Den simulerede køremodstandskraft (moment) skal ligge inden for en tolerance på ± 10 N×r' fra målkøremodstandskraft ved hvert hastighedsreferencepunkt, hvor r' er dækkets dynamiske radius i meter på chassisdynamometeret, indhentet ved 80 km/h.

Hvis tolerancen på en referencehastighed ikke opfylder kriteriet vedrørende den metode, der er beskrevet i dette punkt, anvendes proceduren i punkt 8.2.3.3 i dette bilag til at tilpasse chassisetdynamometerets belastningsindstilling.

8.2.3.3. Justering

Indstillingen af chassisdynamometerets belastningsindstilling skal justeres efter følgende ligning:

$$\mathbf{F_{dj}^*} = \mathbf{F_{dj}} - \frac{\mathbf{F_{ej}}}{\mathbf{r'}} = \mathbf{F_{dj}} - \frac{\mathbf{F_{sj}}}{\mathbf{r'}} + \frac{\mathbf{F_{tj}}}{\mathbf{r'}}$$

$$= (\mathbf{A_d} + \mathbf{B_d v_j} + \mathbf{C_d v_j^2}) - \frac{(\mathbf{a_s} + \mathbf{b_s v_j} + \mathbf{c_s v_j^2})}{r'} + \frac{(\mathbf{a_t} + \mathbf{b_t v_j} + \mathbf{c_t v_j^2})}{r'}$$

$$= \left\{\mathbf{A_d} + \frac{(\mathbf{a_t} - \mathbf{a_s})}{\mathbf{r'}}\right\} + \left\{\mathbf{B_d} + \frac{(\mathbf{b_t} - \mathbf{b_s})}{\mathbf{r'}}\right\}\mathbf{v_j} + \left\{\mathbf{C_d} + \frac{(\mathbf{c_t} - \mathbf{c_s})}{\mathbf{r'}}\right\}\mathbf{v_j^2}$$

Der gælder således følgende:

$$\mathbf{A_d^*} = \mathbf{A_d} + \frac{\mathbf{a_t} - \mathbf{a_s}}{\mathbf{r'}}$$

$$\mathbf{B_d^*} = \mathbf{B_d} + \frac{\mathbf{b_t} - \mathbf{b_s}}{\mathbf{r'}}$$

$$\mathbf{C_d^*} = \mathbf{C_d} + \frac{\mathbf{c_t} - \mathbf{c_s}}{\mathbf{r'}}$$

hvor:

$\mathbf{F^*_{dj}}$	er chassisdynamometerets nye belastningsindstilling (N)
$\mathbf{F_{ej}}$	er den korrigerede køremodstand, lig med (F_{sj}-F_{tj}) (Nm)
$\mathbf{F_{sj}}$	er den simulerede køremodstand ved referencehastigheden v_j (Nm)
$\mathbf{F_{tj}}$	er målkøremodstanden ved referencehastigheden v_j (Nm)
$\mathbf{A^*_d}$, $\mathbf{B^*_d}$ og $\mathbf{C^*_d}$	er de nye chassisdynamometerindstillingskoefficienter
r'	er dækkets dynamiske radius på chassisdynamometeret, indhentet ved 80 km/h (m).

Punkt 8.2.2 og 8.2.3 i dette bilag gentages, indtil tolerancen i punkt 8.2.3.2 i dette bilag er opfyldt.

8.2.3.4. Massen af den/de drivende aksel(-ler), dækspecifikationer og chassisdynamometerbelastningsindstillingen skal registreres, når forskrifterne i punkt 8.2.3.2 i dette bilag er opfyldt.

8.2.4. Omdannelse af køremodstandskraftkoefficienterne til køremodstandskoefficienterne f_0, f_1, f_2

8.2.4.1. Hvis køretøjet gennemfører friløbet på en repeterbar måde, og en køretøjsfriløbstilstand i henhold til punkt 4.2.1.8.5 i dettebilag ikke er mulig, beregnes koefficienterne f_0, f_1 og f_2 i køremodstandsligningen ved hjælp af ligningerne i punkt 8.2.4.1.1 i dette bilag. I alle andre tilfælde gennemføres den procedure, der er beskrevet i punkt 8.2.4.2 til og med 8.2.4.4 i dette bilag.

8.2.4.1.1. $$\mathbf{f_0 = \frac{c_0}{r} \times 1.02}$$

$$\mathbf{f_1 = \frac{c_1}{r} \times 1.02}$$

$$\mathbf{f_2 = \frac{c_2}{r} \times 1.02}$$

hvor:

c_0, c_1, c_2	er de køremodstandskraftkoefficienter, der er fastlagt i punkt 4.4.4 i dette bilag, Nm, Nm/(km/h), Nm/(km/h)^2
r	er den dynamiske dækradius for det køretøj, med hvilket køremodstandskraften blev bestemt, m.
1.02	er en approximeringskoefficient, der kompenserer for effekttab i fremdriftssystemet.

8.2.4.1.2. De fastlagte f_0-, f_1- og f_2-værdier må ikke anvendes til chassisdynamometerindstillinger eller emissions- eller rækkeviddeprøvning. De må udelukkende anvendes i følgende tilfælde:

a) Fastlæggelse af nedskalering, punkt 8 i bilag B1

b) Fastlæggelse af gearskiftepunkter, bilag B2

c) interpolation af CO_2 og brændstofforbrug, punkt 3.2.3 i bilag B7

d) Beregning af resultaterne for elkøretøjer og hybride elkøretøjer, punkt 4 i bilag B8.

8.2.4.2. Når chassisdynamometeret er indstillet inden for de specificerede tolerancer, udføres et friløb med køretøjet på chassisdynamometeret som skitseret i punkt 4.3.1.3 i denne bilag. Friløbstiderne skal registreres.

8.2.4.3. Køremodstanden F_j ved referencehastigheden v_j, N, bestemmes ved hjælp af følgende ligning:

$$\mathbf{F_j = \frac{1}{3.6} \times (TM + m_r) \times \frac{2 \times \Delta v}{\Delta t_j}}$$

hvor:

F_j er køremodstanden ved referencehastigheden v_j (N)

TM er køretøjets prøvningsmasse (kg)

m_r er den ækvivalente effektive masse af roterende komponenter i henhold til punkt 2.5.1 i dette bilag (kg)

$\Delta v = 5$ km/h

Δt_j er friløbstiden svarende til hastigheden v_j (s).

8.2.4.4. Koefficienterne f_0, f_1 og f_2 i køremodstandsligningen beregnes med en mindste kvadraters regressionsanalyse over referencehastighedsområdet.

BILAG B5

Prøvningsapparatur og kalibreringer

1. Specifikationer for og indstillinger af prøvebænken

1.1. Specifikationer vedrørende afkølingsventilator

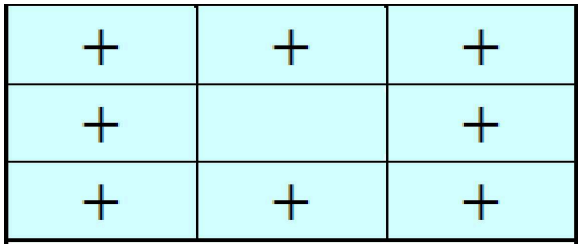
1.1.1. Køretøjet skal udsættes for en luftstrøm med variabel hastighed. Indstillingsværdien for den lineære lufthastighed ved ventilatorens afgang, skal være lig den tilsvarende rullehastighed over rullehastigheder på 5 km/h. Den lineære lufthastighed ved blæserens afgang skal ligge inden for ± 5 km/h eller ± 10 procent af den tilsvarende rullehastighed, alt efter hvad der er størst.

1.1.2. Ovennævnte lufthastighed skal bestemmes som en gennemsnitsværdi af en række målepunkter, som:

a) for ventilatorer med en rektangulær afgang befinder sig i midten af hvert rektangel, som inddeler hele blæserens afgang i 9 felter (idet både ventilatorafgangens horisontale og vertikale sider inddeles i 3 lige store dele). Arealet i midten måles ikke (som vist i figur A5/1).

Figur A5/1

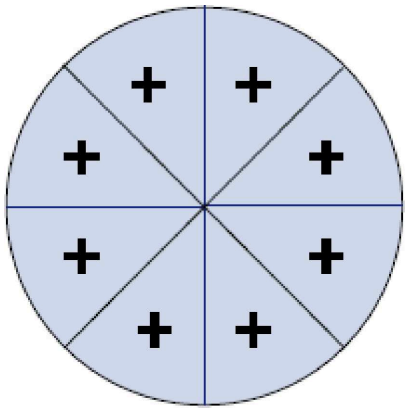
Ventilator med rektangulær afgang



b) for cirkulære ventilatorafgange skal afgangen inddeles i 8 lige store felter ved hjælp af vertikale linjer, horisontale linjer og linjer på 45°. Målepunkterne skal ligge på den radiale midterlinje af hvert felt (22,5°) i en radius på to tredjedele af afgangens radius (som vist i figur A5/2).

Figur A5/2

Ventilator med cirkulær afgang



Målingerne skal foretages uden køretøj eller anden hindring foran ventilatoren. Anordningen til måling af lineær lufthastighed skal befinde sig mellem 0 og 20 cm fra luftafgangen.

1.1.3. Ventilatorens afgang skal have følgende specifikationer:

a) Et areal på mindst 0,3 m^2 og

b) En bredde/diameter på mindst 0,8 m.

1.1.4. Placeringen af ventilatoren skal være som følger:

a) Den laveste kants højde over jorden: ca. 20 cm

b) Afstand til køretøjets forparti: ca. 30 cm

c) Ca. på køretøjets midterlinje i længderetningen.

1.1.5. Efter anmodning fra fabrikanten, og hvis den kompetente myndighed finder det hensigtsmæssigt, kan køleventilatorens højde, sideværts position og afstand fra køretøjet ændres.

Hvis den specificerede ventilatorkonfiguration er upraktisk for særlige køretøjskonstruktioner — f.eks. køretøjer med hækmotor eller luftindtag fra siden —eller ikke giver en køling, der er tilstrækkelig til at være repræsentativ for et ibrugtaget køretøj, kan køleventilatorens højde og kapacitet og dens positionen i længderetningen og sideværts efter anmodning fra fabrikanten, og hvis den kompetente myndighed finder det hensigtsmæssigt, ændres, og yderligere ventilatorer, som kan have forskellige specifikationer (herunder ventilatorer med konstant hastighed) kan anvendes.

1.1.6. I de tilfælde, der er beskrevet i punkt 1.1.5 i dette bilag, skal position og kapacitet for køleventilator(er) og nærmere oplysninger om den begrundelse, der leveres til den kompetente myndighed, registreres. Ved efterfølgende prøvning skal lignende positioner og specifikationer anvendes ud fra hensynet til begrundelsen for at undgå ikke-repræsentative kølingsegenskaber.

2. Chassisdynamometer

2.1. Generelle krav

2.1.1. Dynamometeret skal kunne simulere køremodstand med tre køremodstandskoefficienter, der kan justeres med henblik på at ændre køremodstandskurvens form.

2.1.2. Chassisdynamometeret kan have single roller- eller twin-roller-konfiguration. Hvis der anvendes twin-roller-chassisdynamometre, skal rullerne skal være permanent sammenkoblede, eller den forreste rulle skal direkte eller indirekte drive eventuelle inertimasser og effektabsorptionsenheden.

2.2. Specifikke krav

Følgende specifikke krav vedrører dynamometerfabrikantens specifikationer.

2.2.1. Rullens forskydning skal være mindre end 0,25 mm, målt alle steder.

2.2.2. Rullens diameter skal være inden for ± 1,0 mm fra den angivne nominelle værdi på alle målesteder.

2.2.3. Dynamometeret skal have et tidsmålingssystem til bestemmelse af accelerationshastigheden og til måling af køretøjs-/dynamometerfriløbstider. Dette tidsmålingssystem må ikke overstige en nøjagtighed på ± 0,001 % efter mindst 1 000 sekunders drift. Dette kontrolleres efter første opstilling.

2.2.4. Dynamometeret skal have et hastighedsmålingssystem med en nøjagtighed på mindst ± 0,080 km/h. Dette kontrolleres efter første opstilling.

2.2.5. Dynamometeret skal have en responstid (90 procent respons på en kraftindsats) på mindre end 100 ms på øjeblikkelige accelerationer, der er mindst 3 m/s^2. Dette kontrolleres efter første opstilling og efter hver større vedligeholdelse.

2.2.6. Basisinertien i dynamometeret skal oplyses af dynamometerfabrikanten og bekræftes inden for 0,5 procent eller 7,5 kg, alt efter hvad der er størst, for hver målt basisinerti og ± 0,2 procent i forhold til en hvilken som helst aritmetisk gennemsnitsværdi af den dynamiske udledning af forsøg med konstant acceleration, deceleration og kraft.

2.2.7. Rullens hastighed måles med en frekvens på mindst 10 Hz.

2.3. Yderligere specifikke krav til et chassisdynamometer i 4WD-funktion

2.3.1. Til prøvning i 4WD-funktion skal chassisdynamometeret have single roller-konfiguration, medmindre betingelserne i punkt 2.3.1.3 er opfyldt. Firehjulstrækkontrolsystemet skal være udformet på en sådan måde, at følgende betingelser er opfyldt ved prøvning med et køretøj, der køres i WLTC.

2.3.1.1. Simulering af køremodstand skal foretages således, at dynamometeret i 4WD-funktion reproducerer den samme kraftfordeling, som ville være tilfældet ved kørsel på en glat, tør, plan vejbelægning.

2.3.1.2. Efter første opstilling og efter større vedligeholdelse skal kravene i punkt 2.3.1.2.1 i dette bilag og enten punkt 2.3.1.2.2 eller 2.3.1.2.3 i dette bilag være overholdt. Hastighedsforskellen mellem de forreste og de bageste ruller skal vurderes ved anvendelse af en 1 sekund glidende gennemsnitsfilter på rullehastighedsdata indhentet med en minimumsfrekvens på 20 Hz.

2.3.1.2.1. Forskellen i afstand tilbagelagt af de forreste og de bageste ruller skal være mindre end 0,2 procent af den kørte afstand i WLTC. Det absolutte antal skal integreres i beregningen af de samlede afstandsforskelle over WLTC.

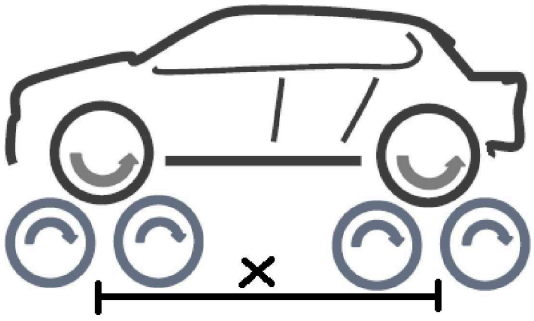
2.3.1.2.2. Forskellen i afstand tilbagelagt af de forreste og de bageste ruller skal være mindre end 0,1 m inden for en hvilken som helst 200 ms-periode.

2.3.1.2.3. Hastighedsforskellen mellem alle rullehastigheder skal ligge inden for ± 0,16 km/h.

2.3.1.3. Brugen af dynamometer med to ruller med 4WD-konfiguration skal accepteres, hvis følgende betingelser er opfyldt:

a) Afstanden mellem dynamometerets forreste og bageste sæt af to ruller (X i diagrammet nedenfor) fastsættes så tæt som muligt på den af fabrikanten angivne akselafstand for det køretøj, der skal prøves, og

b) Det skal sikres, at indstillingen af adskillelsesafstanden mellem de rullesæt, der anvendes ved belastningsindstillingen af dynamometeret, reproduceres ved prøvning af køretøjet.



2.3.2. Køretøjets fastholdelsessystem til chassisdynamometer med én rulle

2.3.2.1. Lodret kraft

Som supplement til kravene i punkt 7.3.3.1.3 i bilag B4 skal fastholdelsessystemet være konstrueret således, at den lodrette kraft, der påføres køretøjet, minimeres og er den samme under chassisdynamometerindstillingen og alle prøvninger. Dette kriterie er opfyldt, hvis enten fastholdelsessystemet er udformet således, at det ikke kan påføre nogen anden lodret kraft, eller hvis den kompetente myndighed og fabrikanten er enige om en procedure til påvisning af, hvordan dette krav kan opfyldes.

2.3.2.2. Stivhed i fastholdelsen

Fastholdelsessystemet skal udvise tilstrækkelig stivhed til at minimere eventuelle bevægelser og rotationer. Kun begrænsede bevægelser langs z-aksen og rotationer over y-aksen er tilladt for at undgå ikke ubetydelige virkninger for prøvningsresultaterne og for at opfylde kravene i punkt 2.3.2.1 i dette bilag.

2.4. Kalibrering af chassisdynamometer

2.4.1. Kraftmålingssystem

Nøjagtigheden af krafttransduceren skal mindst svare til ± 10 N for alle målte stigninger. Dette kontrolleres efter første opstilling, efter større vedligeholdelse og højst 370 dage før prøvning.

2.4.2. Kalibrering af dynamometerparasittab

Dynamometerets parasittab måles og ajourføres, hvis en målt værdi afviger fra den nuværende tabskurve med mere end 9,0 N. Dette kontrolleres efter første opstilling, efter større vedligeholdelse og højst 35 dage før prøvning.

2.4.3. Verifikation af køremodstandssimulering uden køretøj

Dynamometerets funktion skal verificeres ved gennemførelse af en tom friløbsprøvning efter første opstilling, efter større vedligeholdelse og højst 7 dage før prøvning. Det aritmetiske gennemsnit for fejl i friløbskraft skal være mindre end 10 N eller 2 procent, alt efter hvad der er størst, ved hvert referencehastighedspunkt.

3. System til fortynding af udstødningsgas

3.1. Systemspecifikationer

3.1.1. Oversigt

3.1.1.1. Der skal anvendes et fuldstrøms udstødningsfortyndingssystem. Køretøjets samlede udstødningsgas skal fortyndes løbende med omgivende luft under kontrollerede vilkår ved anvendelse af en konstantvolumenudtagningsenhed. En kritisk venturi (CFV) eller flere kritiske parallelle venturier, en fortrængningspumpe (PDP), en subsonisk venturi (SSV) eller et ultrasonisk flowmeter (UFM) kan anvendes. Det samlede volumen af blandingen af udstødningsgas og fortyndingsluft skal måles, og en løbende proportional prøve af dette volumen skal indsamles til analyse. Mængden af udstødningsgasforbindelser bestemmes ud fra koncentrationerne i prøverne korrigeret for deres respektive indhold af fortyndingsluft og den samlede strømning under hele prøvningen.

3.1.1.2. Udstødningsfortyndingssystemet skal bestå af et overførselsrør, en blandingsanordning og en fortyndingstunnel, konditioneringsudstyr for fortyndingsluften, en sugeenhed og en strømningsmåler. Prøvetagningssonder monteres i fortyndingstunnellen som nærmere punkt 4.1, 4.2 og 4.3 i dette bilag.

3.1.1.3. Blandingsanordningen, der er omhandlet i punkt 3.1.1.2 i dette bilag, skal være en beholder som illustreret i figur A5/3, hvor køretøjets udstødningsgasser og fortyndingsluften kombineres, så de danner en homogen blanding ved prøveudtagningspositionen.

3.2. Generelle krav

3.2.1. Køretøjets udstødningsgas skal fortyndes med en tilstrækkelig mængde luft til at forhindre, at der dannes kondensvand i prøveudtagnings- og målesystemet under alle de betingelser, som kan optræde i løbet af prøvningen.

3.2.2. Blandingen af luft og udstødningsgas skal være homogen på det sted, hvor udtagningssonderne befinder sig (se punkt 3.3.3 i dette bilag). Prøvetagningssonderne skal udtage repræsentative prøver af den fortyndede udstødningsgas.

3.2.3. Systemet skal gøre det muligt at måle det samlede volumen af de fortyndede udstødningsgasser.

3.2.4. Prøveudtagningssystemet skal være lufttæt. Udformningen af det prøveudtagningssystem med variabel fortynding og de materialer, der anvendes i dets konstruktion, skal være således, at koncentrationen af enhver forbindelse i den fortyndede udstødningsgas ikke påvirkes. Hvis en komponent i systemet (varmeveksler, cyklonseparator, sugeenhed osv.) ændrer koncentrationen af en udstødningsgasforbindelse, og denne systematiske fejl ikke kan rettes, skal udtagning af den pågældende forbindelse ske før denne komponent.

3.2.5. Alle dele i fortyndingssystemet, der er i kontakt med ufortyndet og fortyndet udstødningsgas, skal være udformet således, at de giver anledning til mindst mulig deponering eller ændring af partikelmasse eller partikler. Alle dele skal være fremstillet af elektrisk ledende materialer, der ikke reagerer med udstødningsgassens komponenter, og skal være jordforbundet, således at elektrostatiske virkninger undgås.

3.2.6. Såfremt prøvekøretøjet er forsynet med et flergrenet udstødningssystem, skal forbindelsesrørenes samlinger ligge så tæt på køretøjet som muligt uden at påvirke disses funktion i negativ retning.

3.3. Specifikke krav

3.3.1. Tilslutning til køretøjets udstødning

3.3.1.1. Begyndelsen af forbindelsesrøret er afgangen fra udstødningsrøret. Udgangen af forbindelsesrøret er prøvetagningspunktet, eller første fortyndingspunkt.

For multiple udstødningsrørskonfigurationer, hvor alle udstødningsrør kombineres, er begyndelsen af forbindelsesrøret det sidste forbindelsesstykke, hvor alle udstødningsrør samles. I dette tilfælde kan røret mellem afgangen fra udstødningsrøret og påbegyndelsen af forbindelsesrøret kan være isoleret og opvarmet eller ikke.

3.3.1.2. Forbindelsesrøret mellem køretøjet og fortyndingssystemet skal være konstrueret således, at varmetabet bliver mindst muligt.

3.3.1.3. Forbindelsesrøret skal opfylde følgende krav:

a) Det skal være mindre end 3,6 m, eller under 6,1 m langt, hvis det er varmeisoleret. Dets indvendige diameter må højst være 105 mm; de isolerende materialer, skal have en tykkelse på mindst 25 mm og varmeledningsevnen må ikke overstige 0,1 $W/m^{-1}K^{-1}$ ved 400 °C. Røret kan efter valg opvarmes til en temperatur over dugpunktet. Dette kan antages at være opfyldt, hvis røret opvarmes til 70 °C.

b) Det må ikke medføre en ændring i det statiske tryk i udstødningsafgangene på det prøvede køretøj med mere end ±0,75 kPa ved 50 km/h eller ±1,25 kPa under hele prøvningen fra de statiske tryk, der er registreret, når intet er tilsluttet udstødningsafgangene. Trykket måles i udstødningsafgangen eller i et forlængelsesrør med samme diameter så tæt som muligt ved udstødningsrørets munding. Der kan anvendes prøveudtagningssystemer, som kan holde det statiske tryk inden for ±0,25 kPa, såfremt fabrikanten skriftligt over for den kompetente myndighed godtgør nødvendigheden af en snævrere tolerance over for den tekniske tjeneste.

c) Ingen del af forbindelsesrøret må være af et materiale, der kan påvirke udstødningens sammensætning i gasformig tilstand eller fast form. Med henblik på at undgå dannelsen af partikler fra elastomertilslutningsstykker skal disse være så termisk stabile som muligt og eksponeres mindst muligt for udstødningsgasserne. Det anbefales ikke at anvende elastomerkonnektorer til at forbinde køretøjets udstødningsrør og forbindelsesrøret.

3.3.2. Konditionering af fortyndingsluft

3.3.2.1. Den fortyndingsluft, der anvendes til primærfortyndingen af udstødningen i CVS-tunnelen, skal ledes gennem et medium, der kan reducere partiklerne i den mest gennemtrængende partikelstørrelse i filteret med ≥ 99,95 % eller gennem et filter af mindst klasse H13 i henhold til EN 1822:2019. Dette repræsenterer specifikationerne for højeffektive partikelluftfiltre (HEPA-filtre). Fortyndingsluften kan valgfrit renses med et aktivt kulfilter, før den ledes til HEPA-filteret. Det anbefales, at et supplerende groft partikelfilter placeres før HEPA-filteret og efter trækulskrubberen, hvis en sådan anvendes.

3.3.2.2. På fabrikantens begæring kan der efter et god teknisk praksis udtages prøver af fortyndingsluften til bestemmelse af tunnelens bidrag til baggrundspartikelmassen og partikelniveauet, som derefter kan trækkes fra de værdier, der måles i den fortyndede udstødningsgas. Se punkt 2.1.3 i bilag B6.

3.3.3. Fortyndingstunnel

3.3.3.1. Det skal sikres, at udstødningsgasserne og fortyndingsluften blandes. Der kan bruges en blandingsanordning til at sikre opblanding.

3.3.3.2. Blandingens homogenitet i et vilkårligt tværsnit på det sted, hvor prøvetagningssonden befinder sig, må ikke afvige med mere end ± 2 % fra det aritmetiske gennemsnit af målinger foretaget i mindst fem punkter med lige stor indbyrdes afstand over gasstrømmens diameter.

3.3.3.3. Til prøveudtagning af PM- og PN-emissioner skal der anvendes en fortyndingstunnel, der:

a) består af et lige rør af elektrisk ledende materiale, som skal være forbundet til jord

b) skaber turbulent strømning (Reynolds-tal ≥ 4 000) og tilstrækkeligt lang til at sikre fuldstændig opblanding af udstødningsgas og fortyndingsluft

c) har en diameter på mindst 200 mm

d) kan være isoleret og/eller opvarmet.

3.3.4. Sugeenhed

3.3.4.1. Denne enhed kan være forsynet med faste hastighedsindstillinger, således at der opnås en tilstrækkelig kraftig strøm til at forhindre dannelse af kondensvand. Dette opnås normalt, hvis strømmen enten:

a) er dobbelt så stor som den maksimale strøm af udstødningsgas, der fremkaldes under accelerationer i kørecyklussen, eller

b) er tilstrækkelig til, at CO_2-koncentrationen i udtagningssækken til fortyndet udstødningsgas er mindre end 3 % vol. for benzin og diesel, mindre end 2,2 % vol. for LPG, og mindre end 1,5 % vol. for NG/biomethan.

3.3.4.2. Overholdelsen af forskrifterne i punkt 3.3.4.1 i dette bilag er muligvis ikke nødvendig, hvis CVS-systemet har til formål at hindre kondensering ved en sådan teknik eller kombination af teknikker som:

a) reducering af vandindholdet i fortyndingsluften (affugtning af fortyndingsluft)

b) opvarmning af CVS-fortyndingsluft og af alle komponenter i flowmåleranordningen for den fortyndede udstødningsgas og eventuelt systemet med opsamlingssække herunder prøveudtagningssække og systemet til måling af koncentrationerne i sækken.

I sådanne tilfælde skal udvælgelsen af CVS-strømningshastigheden til prøvningen være berettiget ved, at det godtgøres, at der ikke kan forekomme kondensation af vand på noget punkt i CVS'en, udtagningssækken eller analytiske system.

3.3.5. Volumenmåling i det primære fortyndingssystem

3.3.5.1. Metoden til måling af det samlede volumen af den fortyndede udstødningsgas i konstantvolumensystemet skal have en nøjagtighed på ± 2 % under alle driftsforhold. Hvis måleren ikke kan kompensere for temperaturudsving i blandingen af udstødningsgas og fortyndingsluft i målepunktet, skal der benyttes en varmeveksler for at holde temperaturen inden for ± 6 °C af den specificerede driftstemperatur for en PDP CVS, ± 11 °C for en CFV CVS, ± 6 °C for en UFM CVS og ± 11 °C for en SSV CVS.

3.3.5.2. Om nødvendigt kan der anvendes en form for beskyttelse af volumenmåleren, f.eks. en cyklonseparator, filter for den samlede strøm osv..

3.3.5.3. Der skal installeres en temperatursensor umiddelbart før volumenmåleren. Denne temperatursensor skal have en nøjagtighed på ± 1 °C og en responstid på højst 1 s ved 62 % af et givet temperaturudsving (værdi målt i vand eller silikoneolie).

3.3.5.4. Trykforskellen i forhold til det atmosfæriske tryk måles opstrøms for og evt. nedstrøms for volumenmåleren.

3.3.5.5. Trykmålingerne skal udføres med en nøjagtighed på ± 0,4 kPa under prøvningen. Se tabel A5/5.

3.3.6. Beskrivelse af anbefalet system

Figur A5/3 er en skematisk tegning af udstødningsfortyndingssystemer, der opfylder kravene i dette bilag.

Der anbefales følgende komponenter:

a) Et fortyndingsluftfilter, som kan være forvarmet, hvis det er nødvendigt. Dette filter skal bestå af følgende sekvens af filtre: et valgfrit aktivt kulfilter (indgangssiden) og et HEPA-filter (udgangssiden). Det anbefales, at et supplerende groft partikelfilter placeres før HEPA-filteret og efter trækulsfilteret, hvis et sådant anvendes. Formålet med det aktive kulfilter er at reducere og stabilisere koncentrationerne af carbonhydrid fra omgivelsesemissionerne i fortyndingsluften.

b) Et rør gennem hvilket køretøjets udstødning ledes ind i en fortyndingstunnel.

c) Valgfrit en varmeveksler som beskrevet i punkt 3.3.5.1 i dette bilag.

d) En blandingsanordning, hvori udstødningsgas og luft blandes homogent, og som kan være placeret tæt på køretøjet, således at længden af forbindelsesrøret bliver så lille som muligt.

e) En fortyndingstunnel, hvorfra der udtages prøver af partikelmasse og, hvis relevant, partikler.

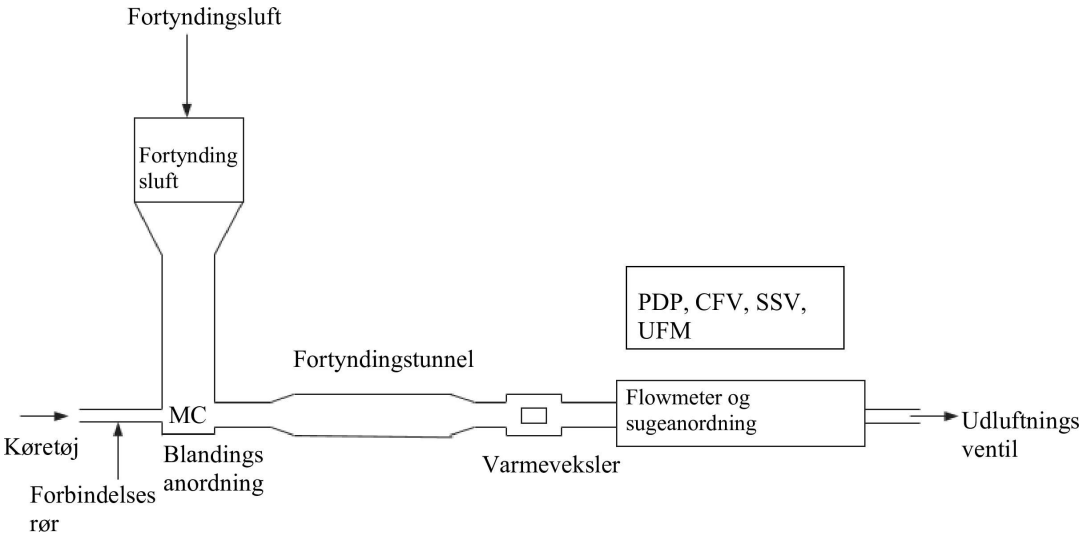
f) Der kan anvendes en form for beskyttelse af målesystemet, f.eks. en cyklonseparator, filter for den samlede strøm osv.

g) En sugeenhed med tilstrækkelig kapacitet til at håndtere det samlede volumen af fortyndet udstødningsgas.

Præcis overensstemmelse med disse talværdier er ikke nødvendig. Der kan anvendes supplerende komponenter som instrumenter, ventiler, solenoider og afbrydere for at opnå yderligere data og koordinere systemets enkelte komponenter.

Figur A5/3

System til fortynding af udstødning



3.3.6.1. Fortrængningspumpe (PDP)

Et fuldstrøms udstødningsfortyndingssystem med fortrængningspumpe (PDP) opfylder kravene i dette bilag ved at måle gasstrømmen gennem pumpen ved konstant temperatur og tryk. Det samlede volumen måles ved at tælle den kalibrerede fortrængningspumpes omdrejninger. En proportional prøve opnås ved at udtage prøver med pumpe, strømningsmåler og strømningsventil ved en konstant strømningshastighed.

3.3.6.2. Venturi med kritisk strømning (kritisk venturi)

3.3.6.2.1. Brugen af en kritisk venturi (CFV) i forbindelse med fuldstrøms udstødningsfortyndingssystemet bygger på strømningsmekanikkens principper for kritisk strømning. Strømningshastigheden i den variable blanding af fortyndingsluft og udstødningsgas holdes på lydhastigheden, som er direkte proportional med kvadratroden af gastemperaturen. Strømningen kontrolleres, beregnes og integreres løbende under prøvningen.

3.3.6.2.2. Ved at benytte yderligere en kritisk venturi til udtagning sikres proportionalitet i gasprøverne fra fortyndingstunnelen. Eftersom tryk og temperatur er ens ved de to venturi-indgange, er volumenet af den gas, der afledes til udtagning, proportional med den fortyndede udstødningsgasblandings samlede volumen, og forskrifterne i dette bilag er således opfyldt.

3.3.6.2.3. Et måleventurirør til kritisk strøm (CFV) til måling af den fortyndede udstødningsgas' strømningsvolumen.

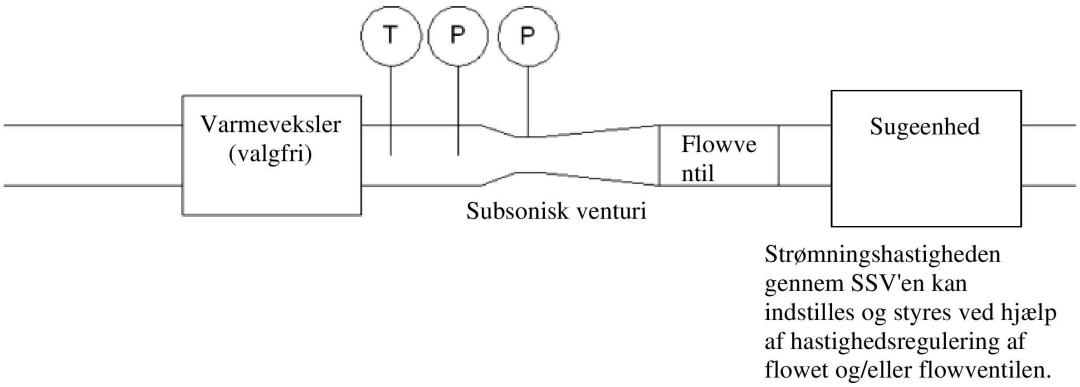
3.3.6.3. Venturi med subsonisk strømning (SSV – subsonisk venturi)

3.3.6.3.1. Brugen af en subsonisk venturi (figur A5/4) i forbindelse med fuldstrøms udstødningsfortyndingssystemet bygger på strømningsmekanikkens principper. Strømningshastigheden i den variable blanding af fortyndingsluft og udstødningsgas holdes på en subsonisk hastighed, der beregnes ud fra de fysiske dimensioner af den subsoniske venturi og måling af absolut temperatur (T) og tryk (P) ved venturiens indgang og trykket ved venturiens hals. Strømningen kontrolleres, beregnes og integreres løbende under prøvningen.

3.3.6.3.2. En subsonisk venturi skal måle strømningsvolumen for den fortyndede udstødningsgas.

Figur A5/4

Skematisk tegning af et subsonisk venturirør (SSV)



3.3.6.4. Ultrasonisk flowmeter (UFM)

3.3.6.4.1. Et ultrasonisk flowmeter måler hastigheden af den fortyndede udstødningsgas i konstantvolumensystemets rør ved hjælp af princippet for ultralydflowdetektion ved hjælp af et par, eller flere par, af ultralydsendere/-modtagere monteret i røret som vist i figur A5/5. Gasflowets hastighed bestemmes af forskellen i den tid, der medgår til ultralydssignalets overførsel fra afsender til modtager i opstrøms retning og nedstrøms retning. Gashastigheden omdannes til fast volumetrisk strøm ved hjælp af en kalibreringsfaktor for rørdiameteren med tidstro korrektioner for den fortyndede udstødningsgas' temperatur og absolutte tryk.

3.3.6.4.2. Systemets komponenter omfatter:

a) en sugeenhed forsynet med hastighedskontrol, flowventil eller anden metode til fastsættelse af CVS-strømningshastigheden, herunder for at opretholde en konstant volumetrisk strømningshastighed ved standardbetingelser

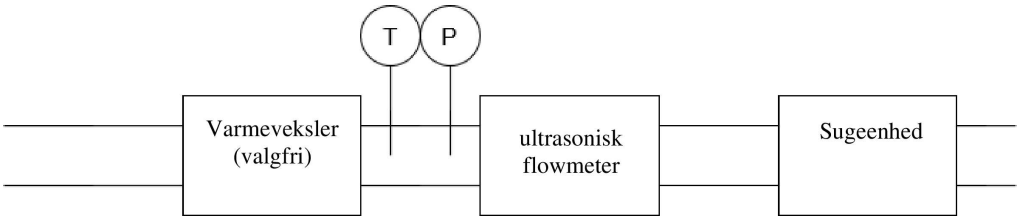
b) et ultrasonisk flowmeter

c) temperatur- og trykmålingsanordninger, T og P, som kræves til strømningskorrektion

d) en valgfri varmeveksler for at kontrollere temperaturen af den fortyndede udstødningsgas til det ultrasoniske flowmeter. Hvis varmeveksleren er installeret, skal den kunne holde temperaturen af den fortyndede udstødningsgas på det niveau, der foreskrives i punkt 3.3.5.1 i dette bilag. Under hele prøvningen skal temperaturen i luft/udstødningsgasblandingen målt i et punkt umiddelbart opstrøms for sugeanordningen være inden for ± 6 °C af den aritmetiske gennemsnitlige driftstemperatur.

Figur A5/5

Skematisk skitse af ultrasonisk flowmeter (UFM)



3.3.6.4.3. Følgende betingelser finder anvendelse på udformning og anvendelse af CVS af UFM-typen:

a) Strømningshastigheden for den fortyndede udstødningsgas skal give et Reynolds-tal større end 4 000 for at sikre en sammenhængende turbulent strømning for det ultrasoniske flowmeter.

b) Et ultrasonisk flowmeter skal monteres i et rør af konstant diameter, af en længde på 10 gange den indre diameter opstrøms og 5 gange diameteren nedstrøms.

c) En temperatursensor (T) for den fortyndede udstødningsgas skal monteres umiddelbart før det ultrasoniske flowmeter. Denne temperatursensor skal have en nøjagtighed på ± 1 °C og en responstid på 0,1 s ved 62 % af et givet temperaturudsving (værdi målt i silikoneolie).

d) Det absolutte tryk (P) af den fortyndede udstødningsgas måles umiddelbart før det ultrasoniske flowmeter med en nøjagtighed på ± 0.3 kPa.

e) Hvis der ikke er installeret en varmeveksler opstrøms for det ultrasoniske flowmeter, skal strømningshastigheden for den fortyndede udstødningsgas, korrigeret til standardbetingelser, holdes på et konstant niveau under prøvningen. Dette kan opnås ved at kontrollere sugeenheden, flow-ventilen eller ved en anden metode.

3.4. Kalibreringsprocedure for konstantvolumensystemet (CVS)

3.4.1. Generelle krav

3.4.1.1. CVS-systemet skal kalibreres ved hjælp af en nøjagtig strømningsmåler og en strømningsbegrænser og med den hyppighed, der er anført i tabel A5/4. Strømmen gennem systemet skal måles ved forskellige trykaflæsninger, og systemets kontrolparametre skal måles og relateres til strømmen. Strømmålingsanordningen (f.eks. kalibreret venturi, laminar flowelement (LFE), kalibreret turbinemeter) skal være dynamisk og egnet til måling af den høje strømningshastighed, der forekommer under prøvninger ved brug af konstantvolumenprøvetagertestning. Målerens nøjagtighed skal være certificeret.

3.4.1.2. Nedenfor gives en nærmere beskrivelse af, hvordan PDP-, CFV-, SSV og UFM-enheder kalibreres ved hjælp af laminarflowmetre med den fornødne nøjagtighed og statistisk kontrol af kalibreringens gyldighed.

3.4.2. Kalibrering af en positiv fortrængningspumpe (PDP)

3.4.2.1. I nedenstående kalibreringsmetode beskrives apparaturet, prøveopstillingen og de forskellige parametre, der måles, til bestemmelse af CVS-pumpens strømningshastighed. Alle parametre vedrørende pumpen måles samtidigt med parametrene vedrørende strømningsmåleren, som er serieforbundet med pumpen. Den beregnede strømningshastighed (i m^3/min. ved pumpens sugeside med hensyn til målt absolut tryk og temperatur), skal derefter plottes i en kurve mod en korrelationsfunktion, som omfatter de relevante pumpeparametre. Derefter bestemmes den lineære ligning, som udtrykker sammenhængen mellem pumpeydelsen og korrelationsfunktionen. Har CVS-pumpen flere driftshastigheder, skal der udføres en kalibrering for hver hastighed.

3.4.2.2. Denne kalibreringsmetode bygger på måling af de absolutte værdier for pumpens og flowmeterets parametre vedrørende strømningshastigheden i hvert punkt. Følgende betingelser skal være opfyldt for at sikre nøjagtighed og integritet i kalibreringskurven:

3.4.2.2.1. Pumpetrykket skal måles ved aftapningssteder på selve pumpen og ikke i det eksterne rørsystem. Trykudtag monteret midt på oversiden og midt på undersiden af pumpens stempel udsættes for det reelle pumpetryk og afspejler således den absolutte trykforskel i pumpehuset.

3.4.2.2.2. Temperaturen skal holdes konstant under kalibreringen. Laminarflowmeteret er følsomt over for temperaturudsving, som medfører en spredning af målepunkterne. Gradvise temperaturudsving på ± 1 °C kan accepteres, forudsat at de indtræffer over en periode på flere minutter.

3.4.2.2.3. Alle rørforbindelser mellem strømningsmåleren og CVS-pumpen skal være tætte.

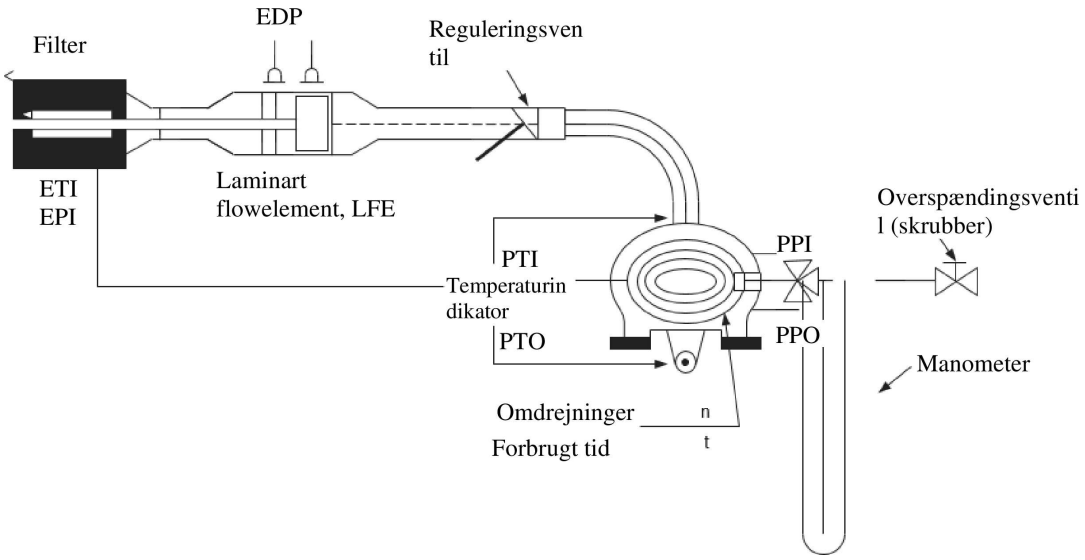
3.4.2.3. Under en udstødningsemissionsprøvning sætter målingen af disse pumpeparametre brugeren i stand til at beregne strømningshastigheden ud fra kalibreringsligningen.

3.4.2.4. Figur A5/6 i dette bilag viser et eksempel på en kalibreringsopstilling. Variationer heraf er tilladt, hvis den kompetente myndighed godkender sådanne som havende en sammenlignelig nøjagtighed. Hvis den i figur A5/6 viste opstilling benyttes, skal følgende tolerancer overholdes:

Barometertryk (korrigeret) (**P_b**)	±0,03 kPa
Omgivelsestemperatur (**T**)	±0,2 °C
Lufttemperatur til LFE (ETI)	±0,15 °C
Undertryk opstrøms for LFE (EPI)	±0,01 kPa
Trykfald over hele LFE-matrix (EDP)	±0,0015 kPa
Lufttemperatur ved CVS-pumpens sugeside (PTI)	±0,2 °C
Lufttemperatur ved CVS-pumpens trykside (PTO)	±0,2 °C
Undertryk ved CVS-pumpens sugeside (PPI)	±0,22 kPa
Trykhøjde ved CVS-pumpens trykside (PPO)	±0,22 kPa
Pumpeomdrejningstal under prøvning (**n**)	±1 min^{-1}
Prøvningens varighed (mindst 250 s) (t)	±0,1 s

Figur A5/6

Kalibreringsopstilling for PDP



3.4.2.5. Efter at systemet er opstillet som vist i figur A5/6, indstilles reguleringsventilen i fuldt åben stilling, og CVS-pumpen kører i 20 minutter, før kalibreringen påbegyndes.

3.4.2.5.1. Reguleringsventilen lukkes delvis, så trykfaldet ved pumpens sugeside øges gradvist i pumpeindsugningstrin (ca. 1 kPa), og der fremkommer mindst seks datapunkter til brug for hele kalibreringen. Systemet, skal have mulighed for at stabiliseres i 3 minutter før datafangst gentages.

3.4.2.5.2. Luftstrømningshastigheden $\mathbf{Q_s}$ i hvert målepunkt beregnes i m³/min. (standardbetingelser) ud fra strømningsmålerens data efter fabrikantens anvisninger.

3.4.2.5.3. Luftstrømningshastigheden omregnes derefter til pumpeydelse $\mathbf{V_0}$ i m³/omdr. ved absolut pumpeindgangs-temperatur og -tryk,

$$\mathbf{V_0} = \frac{\mathbf{Q_s}}{\mathbf{n}} \times \frac{\mathbf{T_p}}{\mathbf{273.15K}} \times \frac{\mathbf{101.325kPa}}{\mathbf{P_p}}$$

hvor:

$\mathbf{V_0}$ er pumpens strømningshastighed ved $\mathbf{T_p}$ og $\mathbf{P_p}$, m³/rev

$\mathbf{Q_s}$ er luftens strømningshastighed ved 101,325 kPa og 273,15 K (0 °C), m³/min

$\mathbf{T_p}$ er temperaturen ved pumpens sugeside (Kelvin - K)

$\mathbf{P_p}$ er det absolutte tryk ved pumpens sugeside (kPa)

$\mathbf{n}$ er pumpehastigheden (min^{-1}).

3.4.2.5.4. For at kompensere for sammenhængen mellem pumpehastighedstrykvariationer i pumpen og pumpens slip beregnes korrelationen $\mathbf{x}_0$ mellem pumpehastigheden **n**, trykforskellen mellem pumpens suge- og trykside og det absolutte tryk ved pumpens trykside ved hjælp af følgende ligning:

$$\mathbf{x_0} = \frac{\mathbf{1}}{\mathbf{n}} \sqrt{\frac{\Delta \mathbf{P_p}}{\mathbf{P_e}}}$$

hvor:

$\mathbf{x_0}$ er korrelationsfunktionen

$\Delta \mathbf{P_p}$ er trykforskellen mellem pumpeindgang og pumpeafgang (kPa)

$\mathbf{P_e}$ absolut tryk ved pumpens trykside ($\mathbf{PPO} + \mathbf{P_b}$) (kPa).

Ved en lineær mindste kvadraters metode genereres kalibreringsligninger med følgende form:

$$\mathbf{V_0} = \mathbf{D_0} - \mathbf{M} \times \mathbf{x_0}$$

$$\mathbf{n} = \mathbf{A} - \mathbf{B} \times \Delta \mathbf{P_p}$$

hvor B og M er hældningerne, og A og D_0 er linjernes skæringspunkter.

3.4.2.6. Hvis et CVS-system har flere driftshastigheder, skal det kalibreres for hver hastighed. Kalibreringskurverne for de forskellige rækkevidder skal være omtrent parallelle, og skæringspunktværdierne, $\mathbf{D_0}$, skal stige, når pumpens strømningshastighedsområde falder.

3.4.2.7. De af ligningen beregnede værdier skal ligge inden for 0,5 % af den målte værdi af $\mathbf{V_0}$. Værdien af **M** vil være forskellig fra pumpe til pumpe. Der gennemføres en kalibrering ved første opstilling og efter større vedligeholdelse.

3.4.3. Kalibrering af en kritisk venturi (CFV)

3.4.3.1. Kalibreringen af en CFV bygger på følgende strømningsligning for en kritisk venturi:

$$\mathbf{Q_s} = \frac{\mathbf{K_v P}}{\sqrt{\mathbf{T}}}$$

hvor:

$\mathbf{Q_s}$ er strømmen (m^3/min)

$\mathbf{K_v}$ er kalibreringskoefficienten

P er det absolutte tryk (kPa)

T er den absolutte temperatur (Kelvin - K).

Gassens strømningshastighed er en funktion af indgangstryk og -temperatur.

Ved hjælp af den i punkt 3.4.3.2 til og med 3.4.3.3.3.4 i dette bilag beskrevne kalibreringsmetode bestemmes kalibreringskoefficientens værdi ved målte tryk-, temperatur- og luftstrømningsværdier.

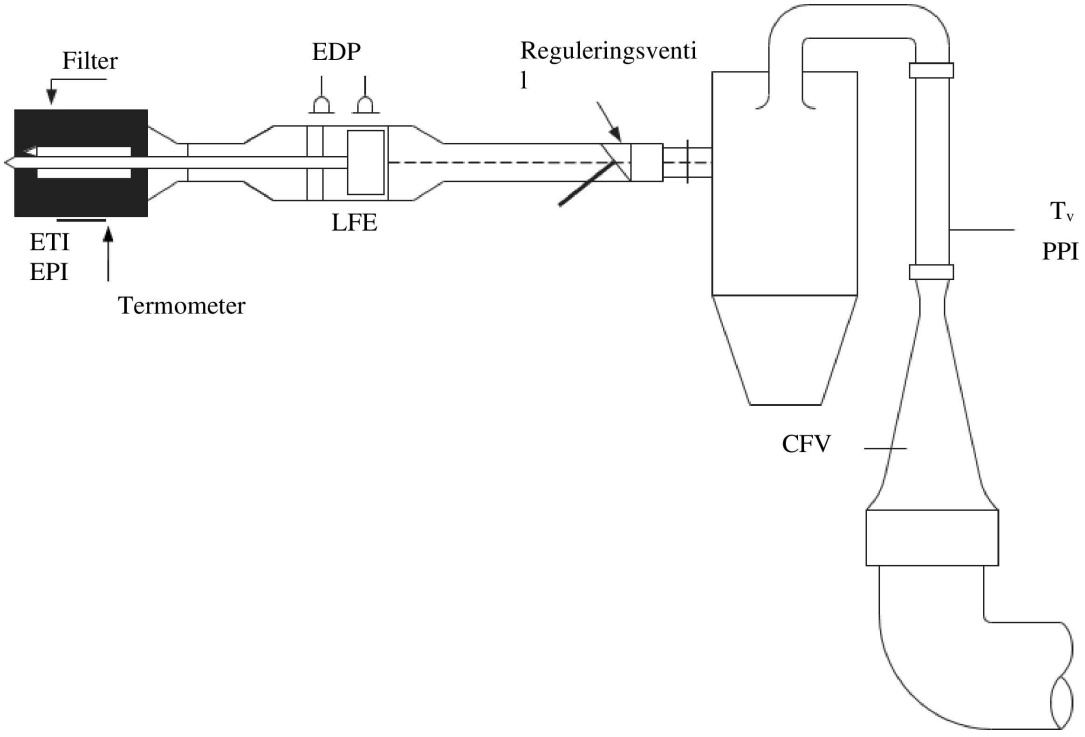
3.4.3.2. Målinger til strømningskalibrering af den kritiske venturi er nødvendige, og følgende data skal overholde de angivne tolerancer:

Barometertryk (korrigeret) (**P_b**)	±0,03 kPa
Lufttemperatur ved LFE (ETI)	±0,15 °C
Undertryk opstrøms for LFE (EPI)	±0,01 kPa
Trykfald over hele LFE-matrix (EDP)	±0,0015 kPa
Luftstrøm (Q_s)	± 0,5 %
Undertryk ved CFV-indtag (PPI)	±0,02 kPa
Temperatur ved venturiindtag (**T_v**)	±0,2 °C.

3.4.3.3. Apparaturet opstilles som vist i figur A5/7, og tætheden kontrolleres. Utætheder mellem flowmeteret og den kritiske venturi vil forringe kalibreringens nøjagtighed betydeligt og bør derfor undgås.

Figur A5/7

Kalibreringsopstilling for CFV



3.4.3.3.1. Reguleringsventilen stilles i fuldt åben stilling, sugeanordningen startes, og systemet stabiliseres. Alle instrumentdata registreres.

3.4.3.3.2. Reguleringsventilen indstilles på andre værdier, og der foretages mindst otte aflæsninger over venturiens kritiske strømning.

3.4.3.3.3. Data registreret under kalibreringen benyttes til følgende beregning:

3.4.3.3.3.1. Luftstrømningshastigheden Q_s i hvert målepunkt beregnes ud fra flowmeterets data efter fabrikantens anvisninger.

Kalibreringskoefficienten for hvert målepunkt beregnes ud fra følgende formel:

$$\mathbf{K_v} = \frac{\mathbf{Q_s}\sqrt{\mathbf{T_v}}}{\mathbf{P_v}}$$

hvor:

Q_s er strømningshastigheden, m³/min. ved 273,15 K (0 °C) og 101,325 kPa

T_v er temperaturen ved venturiens indgang (Kelvin - K)

P_v er det absolutte tryk ved venturiens indgang (kPa).

3.4.3.3.3.2. **K_v** optegnes som en funktion af trykket ved venturiindtaget P_v. Ved lydstrømningshastigheden er **K_v**forholdsvis konstant. Når trykket falder (undertryk øges), ophører blokeringen af venturi, og **K_v** falder. Disse **K_v**-værdier må ikke anvendes ved yderligere beregninger.

3.4.3.3.3.3. For mindst otte punkter i det kritiske område beregnes et aritmetisk gennemsnit **K_v** og standardafvigelsen.

3.4.3.3.3.4. Hvis standardafvigelsen overstiger 0,3 procent af det aritmetiske gennemsnit **K_v**, skal der træffes korrigerende foranstaltninger.

3.4.4. Kalibrering af subsonisk venturi (SSV)

3.4.4.1. Kalibrering af SSV bygger på strømningsligningen for en subsonisk venturi. Gasstrømmen er en funktion af indgangstryk og temperatur og trykfaldet mellem SSV-indgang og hals.

3.4.4.2. Dataanalyse

3.4.4.2.1. Luftgennemstrømningen, **Q_{SSV}**, ved hver indstilling af forsnævringen (mindst 16 indstillinger) beregnes i standard-m³/s på grundlag af flowmeterdataene med den af fabrikanten foreskrevne metode. Udladningskoefficienten, **C_d**, beregnes ud fra kalibreringsdataene for hver indstilling ved hjælp af følgende ligning:

$$\mathbf{C_d} = \frac{\mathbf{Q_{SSV}}}{\mathbf{d_V^2} \times \mathbf{p_p} \times \sqrt{\left\{\frac{\mathbf{1}}{\mathbf{T}} \times (\mathbf{r_p^{1.426}} - \mathbf{r_p^{1.713}}) \times \left(\frac{\mathbf{1}}{\mathbf{1} - \mathbf{r_D^4} \times \mathbf{r_p^{1.426}}}\right)\right\}}}$$

hvor:

Q_{SSV} er luftgennemstrømningen ved standardbetingelserne (101,325 kPa, 273,15 K (0 °C)), m³/s

T er temperaturen ved venturiens indgang (Kelvin - K)

d_V er SSV-halsens diameter (m)

r_p er forholdet mellem trykket ved SSV-halsen og det absolutte statiske tryk ved indgangen $\mathbf{1} - \frac{\Delta \mathbf{p}}{\mathbf{p_p}}$;

r_D er SSV-halsens diameter, d_v, i forhold til indgangsrørets indvendige diameter, **D**.

C_d er SSV-udladningskoefficienten

p_p er det absolutte tryk ved venturiens indgang (kPa).

For at bestemme området for subsonisk strømning, optegnes $\mathbf{C_d}$som en funktion af Reynolds' tal **Re** ved SSV-halsen. Reynolds-tallet ved SSV-halsen beregnes ved hjælp af følgende ligning:

$$\mathbf{Re} = \mathbf{A_1} \times \frac{\mathbf{Q_{SSV}}}{\mathbf{d_V} \times \boldsymbol{\mu}}$$

hvor:

$$\boldsymbol{\mu} = \frac{\mathbf{b} \times \mathbf{T}^{1.5}}{\mathbf{S} + \mathbf{T}}$$

$\mathbf{A_1}$	er 25,55152 i SI, $\left(\frac{1}{\mathbf{m}^3}\right)\left(\frac{\mathbf{min}}{\mathbf{s}}\right)\left(\frac{\mathbf{mm}}{\mathbf{m}}\right)$
$\mathbf{Q_{SSV}}$	er luftgennemstrømningen ved standardbetingelserne (101,325 kPa, 273,15 K (0 °C)), m^3/s
$\mathbf{d_V}$	er SSV-halsens diameter (m)
$\boldsymbol{\mu}$	er gassens absolutte eller dynamiske viskositet (kg/ms)
b	er $\mathbf{1.458 \times 10^6}$ (empirisk konstant), kg/ms $K^{0,5}$
S	er 110,4 (empirisk konstant), Kelvin (K).

3.4.4.2.2. Da Q_{SSV} er et input til Re-ligningen, startes beregningerne med et indledende estimat af kalibreringsventuriens Q_{SSV} eller C_d og gentages, indtil Q_{SSV} konvergerer. Konvergensmetoden skal være nøjagtig til 0,1 % af punkt eller bedre.

3.4.4.2.3. For mindst 16 punkter i det subsoniske strømningsområde skal de værdier for C_d, der beregnes ud fra tilnærmelsesligningen for den fremkomne kalibreringskurve, ligge inden for ±0,5 % af den målte værdi for C_d for hvert kalibreringspunkt.

3.4.5. Kalibrering af ultrasonisk flowmeter (UFM)

3.4.5.1. Det ultrasoniske flowmeter skal kalibreres efter et egnet referenceflowmeter.

3.4.5.2. Det ultrasoniske flowmeter skal kalibreres i den CVS-konfiguration, der vil blive anvendt i prøvningsrummet (fortyndet udstødningsrør, sugeenhed), og tætheden kontrolleres. Se figur A5/8.

3.4.5.3. En opvarmningsenhed installeres til konditionering af kalibreringsstrømmen, i tilfælde af at UFM-systemet ikke omfatter en varmeveksler.

3.4.5.4. For hver CVS-strømindstilling, der anvendes, skal kalibreringen udføres ved temperaturer fra omgivelsestemperatur til det maksimum, som vil blive registreret under prøvning af køretøjet.

3.4.5.5. Ved kalibrering af elektroniske dele af UFM'en (sensornefor temperatur (T) og tryk (P)), følges fabrikantens anvisninger.

3.4.5.6. Målinger til strømningskalibrering af den ultrasoniske venturi er nødvendige, og følgende datatolerancer skal overholdes (i tilfælde af anvendelse af laminart flowelement):

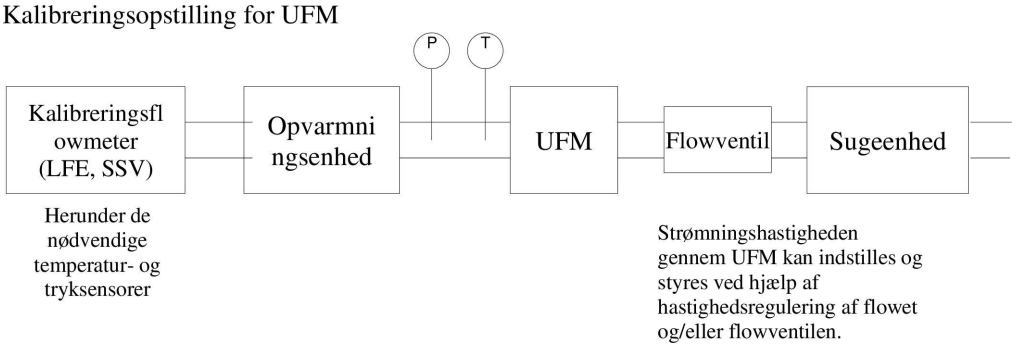
Barometertryk (korrigeret) ($\mathbf{P_b}$)	±0,03 kPa
Lufttemperatur ved LFE (ETI)	±0,15 °C
Undertryk opstrøms for LFE (EPI)	±0,01 kPa
Trykfald over LFE-dyse	±0,0015 kPa
Luftstrøm ($\mathbf{Q_s}$)	± 0,5 %
Undertryk ved UFM-indtag ($\mathbf{P_{act}}$)	±0,02 kPa
Temperatur ved UFM-indtag ($\mathbf{T_{act}}$)	±0,2 °C.

3.4.5.7. Fremgangsmåde

3.4.5.7.1. Apparaturet opstilles som vist i figur A5/8, og tætheden kontrolleres. Utætheder mellem flowmeteret og UFM vil forringe kalibreringens nøjagtighed betydeligt.

Figur A5/8

Kalibreringsopstilling for UFM



3.4.5.7.2. Sugeenheden startes. Hastighed og/eller beliggenhed for flow-ventilen skal justeres med henblik på levering af den fastlagte strømningshastighed til validering og stabilisering af system. Alle instrumentdata registreres.

3.4.5.7.3. Ved UFM-systemer uden varmeveksler skal opvarmningsenheden anvendes til øgning af kalibreringsluftens temperatur, systemet stabiliseres, og data fra alle instrumenter registreres. Temperaturen øges gradvist i hensigtsmæssige trin, indtil den maksimale temperatur for den fortyndede udstødning under emissionsprøvningen er nået.

3.4.5.7.4. Opvarmningsenheden slukkes efterfølgende, og sugeenhedens hastigheds- og/eller flow-ventil indstilles til den næste indstilling, der anvendes til emissionsprøvning af køretøjer, hvorefter kalibreringssekvensen gentages.

3.4.5.8. Data registreret under kalibreringen benyttes til følgende beregninger. Luftstrømningshastigheden Q_s i hvert målepunkt beregnes ud fra flowmeterets data efter fabrikantens anvisninger.

$$\mathbf{K_v} = \frac{\mathbf{Q_{reference}}}{\mathbf{Q_s}}$$

hvor:

$\mathbf{Q_s}$ er luftgennemstrømningen ved standardbetingelserne (101,325 kPa, 273,15 K (0 °C)), m^3/s

$\mathbf{Q_{reference}}$ er luftgennemstrømningen i kalibreringsflowmeteret ved standardbetingelserne (101,325 kPa, 273,15 K (0 °C)), m^3/s

$\mathbf{K_v}$ er kalibreringskoefficienten.

For UFM-systemer uden varmeveksler, optegnes $\mathbf{K_v}$ som funktion af T_{act}.

Den maksimale variation i $\mathbf{K_v}$ må ikke overstige 0,3 % af den aritmetiske gennemsnitsværdi $\mathbf{K_v}$ af alle målinger ved forskellige temperaturer.

3.5. Metode til systemverifikation

3.5.1. Generelle krav

3.5.1.1. Den samlede nøjagtighed af CVS-prøvetagnings- og analysesystemet bestemmes ved at tillede en kendt masse af emissionsgassammensætninger til systemet, mens dette er i drift under normale prøvningsbetingelser, og efterfølgende analysere og beregne emissionsgassammensætningen af stoffer i henhold til ligningerne i bilag B7. CFO-metoden beskrevet i punkt 3.5.1.1.1 i dette bilag og den gravimetriske metode, der er beskrevet i punkt 3.5.1.1.2 i dette bilag, er begge kendt for at give tilstrækkelig nøjagtighed.

Afvigelsen mellem den indsugede gasmængde og den målte gasmængde må højst være ± 2 %.

3.5.1.1.1. Metode med drøvleenhed med kritisk strømning (CFO)

Ved CFO-metoden måles en konstant strøm af ren gas (CO, CO_2 eller C_3H_8) ved hjælp af en drøvleenhed med kritisk strømning.

En kendt masse ren carbonmonoxid, carbondioxid eller propangas indføres i CVS-systemet gennem den kalibrerede drøvleenhed med kritisk strømning. Hvis indgangstrykket er tilstrækkeligt højt, er strømningshastigheden **q**, som justeres ved hjælp af drøvleenheden med kritisk strømning, uafhængig af drøvleenhedens afgangstryk (kritisk strømning). CVS-systemet bringes til at fungere som ved normal prøvning af udstødningsemissioner, og der anvendes tilstrækkelig tid på efterfølgende analyse. Den gas, der indsamles i udtagningssækken, skal analyseres med det sædvanlige udstyr (punkt 4.1 i dette bilag), og resultatet sammenlignes med sammensætningen af de kendte gasprøver. Hvis der forekommer afvigelser på over ± 2 %, skal årsagen hertil bestemmes og funktionsfejlen rettes.

3.5.1.1.2. Gravimetrisk metode

Ved den gravimetriske metode vejes en mængde ren gas (CO, CO_2 eller C_3H_8).

Vægten af en lille cylinder fyldt med enten ren carbonmonoxid, carbondioxid eller propan bestemmes med en præcision på ± 0,01 g. CVS-systemet skal operere under normale vilkår for udstødningsemissionsprøver, når ren gas indsprøjtes i systemet i et tidsrum, der er tilstrækkeligt til senere analyse. Mængden af ren gas bestemmes ved differentialvejning. Den gas, der indsamles i udtagningssækken, analyseres ved hjælp af det apparatur, der normalt anvendes til analyse af udstødningsgas som beskrevet i punkt 4.1. i dette bilag). Resultaterne sammenlignes derefter med de tidligere beregnede koncentrationsværdier. Hvis der forekommer afvigelser på over ± 2 %, skal årsagen hertil bestemmes og funktionsfejlen rettes.

4. Emissionsmålingsudstyr

4.1. Måleudstyr til gasemissioner

4.1.1. Systembeskrivelse

4.1.1.1. Der skal til analyse løbende udtages en prøve af fortyndet udstødningsgas og fortyndingsluft i et konstant forhold.

4.1.1.2. Massen af gasemissioner bestemmes ud fra de proportionale koncentrationer i prøven og det samlede volumen målt under prøvningen. Koncentrationerne i de udtagne prøver skal korrigeres for at tage højde for de forskellige sammensætningskoncentrationer i fortyndingsluft.

4.1.2. Forskrifter for prøveudtagningssystem

4.1.2.1. Prøven af fortyndet udstødningsgas udtages opstrøms for sugeanordningen.

Med undtagelse af punkt 4.1.3.1 (system til udtagning af carbonhydridprøver), punkt 4.2 (PM-måleudstyr) og punkt 4.3 (PN-måleudstyr) i dette bilag kan den fortyndede udstødningsgasprøve tages nedstrøms for konditioneringssystemet (hvis et sådant findes).

4.1.2.2. Strømningshastigheden ved sækken skal indstilles til at levere tilstrækkelige mængder af fortyndingsluft og fortyndet udstødningsgas i konstantvolumensystemets sække til koncentrationsmåling og må ikke overstige 0,3 % af strømningshastigheden for den fortyndede udstødningsgas, medmindre påfyldningsvolumen for sækken til fortyndet udstødningsgas tilføjes til det integrerede CVS-volumen.

4.1.2.3. En prøve af fortyndingsluften udtages i nærheden af luftindtaget for fortyndingsluft (efter filtret, hvis et sådant findes).

4.1.2.4. Prøven af fortyndingsluft må ikke være forurenet med udstødningsgas fra blandingsstedet.

4.1.2.5. Udtagningshastigheden for fortyndingsluft skal svare til udtagningshastigheden for fortyndet udstødningsgas.

4.1.2.6. De materialer, der benyttes til udtagning, må ikke ændre koncentrationen af emissionsforbindelser.

4.1.2.7. Der kan benyttes filtre til at udskille faste partikler fra prøven.

4.1.2.8. Ventiler, der anvendes til dirigering af udstødningsgassen, skal være hurtigtjusterende og hurtigtvirkende.

4.1.2.9. Der kan benyttes lufttætte lynkoblinger - med automatisk lukning på den side, der vender mod udtagningssækkene - mellem trevejsventilerne og udtagningssækkene. Der kan benyttes andre systemer til at føre prøverne til analysatoren (f.eks. trevejsspærreventiler).

4.1.2.10. Opbevaring af prøver

4.1.2.10.1. Gasprøverne opsamles i udtagningssække med tilstrækkelig kapacitet til, at prøveudtagningshastigheden ikke nedsættes.

4.1.2.10.2. Disse skal være fremstillet af materiale, som ikke påvirker selve målingerne eller gasprøvernes kemiske sammensætning med mere end ± 2 % efter 30 minutter (f.eks. lamineret polyethylen-/polyamidfilm eller fluorerede polycarbonhydrider).

4.1.3. Prøveudtagningssystemer

4.1.3.1. System til udtagning af carbonhydridprøver (opvarmet flammeiondetektor - HFID)

4.1.3.1.1. Systemet til udtagning af carbonhydridprøver omfatter en opvarmet prøvetagningssonde samt prøvetagningsledning, -filter og -pumpe. Stikprøven skal udtages opstrøms fra varmeveksleren (hvis monteret). Udtagningssonden skal være således anbragt i samme afstand fra udstødningsgasindtaget som sonden til partikelmasseudtagning, at prøveudtagningerne ikke påvirker hinanden. Den skal have en indvendig diameter på mindst 4 mm.

4.1.3.1.2. Alle opvarmede dele skal af opvarmningssystemet holdes på en temperatur på 190 °C ± 10 °C.

4.1.3.1.3. Den aritmetiske gennemsnitlige koncentration af de målte carbonhydrider bestemmes ved integration af de sekundopdelte data divideret med fasens eller prøvningens varighed.

4.1.3.1.4. Det opvarmede prøveudtagningsudstyr skal være forsynet med et opvarmet filter, FH, med en virkningsgrad på 99 % for partikler ≥ 0,3 µm til udskillelse af faste partikler fra gasstrømmen til analyse.

4.1.3.1.5. Prøveudtagningsudstyrets forsinkelsestid (fra sonden til analysatorens indtag) må højst være 4 s.

4.1.3.1.6. HFID-enheden skal benyttes med et konstantstrømsystem (varmeveksler) for at sikre en repræsentativ prøveudtagning, medmindre der kompenseres for variationer i CVS-strømmene.

4.1.4. Analysatorer

4.1.4.1. Generelle forskrifter for gasanalyse

4.1.4.1.1. Analysatoren skal have en måleskala, der er i stand til at vise måleresultaterne med den nøjagtighed, der kræves til måling af koncentrationen af sammensatte stoffer i udstødningsgasprøverne.

4.1.4.1.2. Medmindre andet er defineret, må måleusikkerheden ikke være over ± 2 % (analysatorens grundlæggende afvigelse) uanset kalibreringsgassernes referenceværdi.

4.1.4.1.3. Prøven af den omgivende luft skal altid måles på samme analysator med samme måleskala.

4.1.4.1.4. Der må ikke benyttes gastørreanordninger før analysatorerne, medmindre det påvises, at dette ikke har nogen indflydelse på indholdet af sammensætningen af gasstrømmen.

4.1.4.2. Analyse af carbonmonoxid (CO) og carbondioxid (CO2):

Analysatoren skal være et ikkedispersivt infrarødabsorptionsapparat (NDIR).

4.1.4.3. Analyse af carbonhydrider (HC) for alle andre brændstoffer end dieselolie

Analysatoren skal være af flammeioniseringstypen (FID), kalibreret med propangas udtrykt som ækvivalent til carbonatomer (C_1).

4.1.4.4. Analyse af carbonhydrider (HC) for dieselolie og eventuelt for andre brændstoffer

Analysatoren skal være af flammeioniseringstypen med detektor, ventiler, rørforbindelser osv., opvarmet til 190 °C ±10 °C. Den skal være kalibreret med propangas, udtrykt som ækvivalent til carbonatomer (C_1).

4.1.4.5. Analyse af methan (CH_4)

Analysatoren skal enten være en gaskromatograf kombineret med en flammeioniseringsdetektor (FID) eller en flammeioniseringsdetektor kombineret med en enhed til non-methan-afskæring, kalibreret med methan- eller propangas udtrykt som ækvivalent til carbonatomer (C_1).

4.1.4.6. Analyse af nitrogenoxider (NOx)

Analysatorerne skal enten være af kemoluminescenstypen (CLA) eller af den ikkedispersive ultravioletabsorberende type (NDUV).

4.1.4.7. (Reserveret)

4.1.4.8. (Reserveret)

4.1.4.9. (Reserveret)

4.1.4.10. (Reserveret)

4.1.4.11. Analyse af hydrogen (H_2) (hvis relevant)

Analysatoren skal være af sektorfelt-massespektrometritypen, kalibreret med hydrogen.

4.1.4.12. Analyse af vand (H_2O) (hvis relevant)

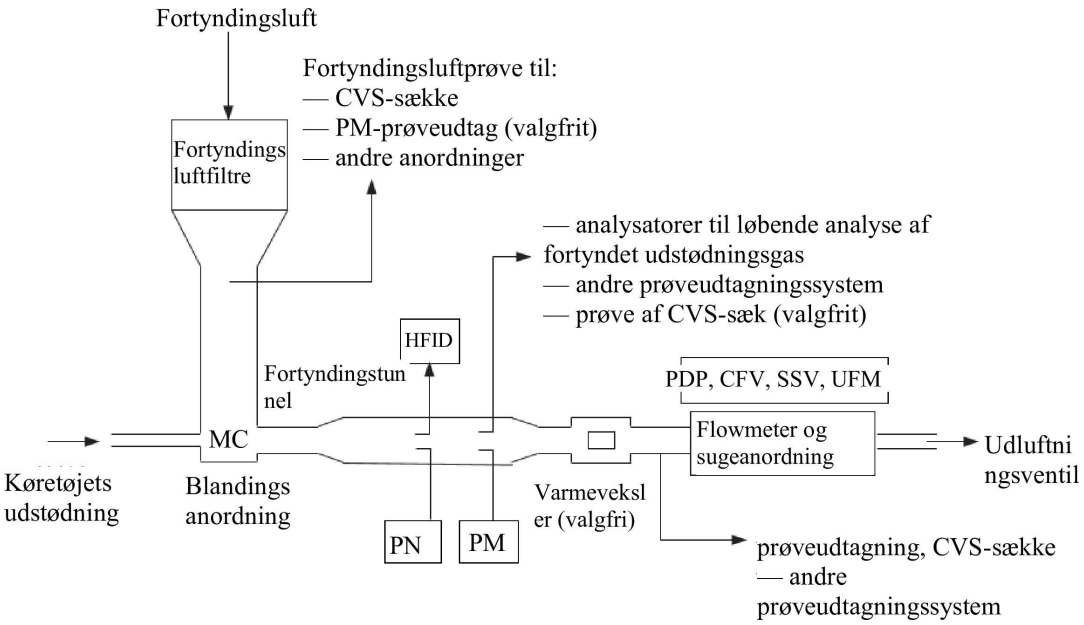
Analysatoren skal være et ikke-dispersivt infrarødabsorptionsapparat (NDIR). NDIR-apparatet skal være kalibreret enten med vanddamp eller med propylen (C_3H_6). Hvis NDIR-apparatet kalibreres med vanddamp, skal det sikres, at ingen vandkondensation kan forekomme i rør eller tilslutninger under kalibreringen. Hvis NDIR-apparatet kalibreres med propylen, skal analysatorfabrikanten oplyse, hvordan koncentration af propylen omregnes til dens tilsvarende koncentration af vanddamp. Analysatorfabrikanten skal regelmæssigt og mindst én gang om året kontrollere omregningsværdierne.

4.1.5. Beskrivelse af anbefalet system

4.1.5.1. Figur A5/9 er en skematisk tegning af systemet til prøveudtagning af gasemissioner.

Figur A5/9

Skematisk tegning af fuldstrøms udstødningsfortyndingssystem



4.1.5.2. Eksempler på systemets komponenter er som anført nedenfor.

4.1.5.2.1. To prøveudtagningssonder til kontinuerlig udtagning af prøver af fortyndingsluft og af den fortyndede blanding af udstødningsgas og luft.

4.1.5.2.2. Et filter til udskillelse af faste partikler fra den gasstrøm, der indsamles til analyse.

4.1.5.2.3. Pumperne og strømningsregulatorne til sikring af en konstant og ensartet strøm af prøver af fortyndet udstødningsgas og fortyndingsluft udtaget i løbet af prøvningen af sonderne og strømmen af gasprøver skal være således, at mængden af prøver efter hver prøvning er tilstrækkelig til analyse.

4.1.5.2.4. Hurtigtvirkende ventiler til at styre den konstante strøm af gasprøver til udtagningssækkene eller udstrømningsåbningen.

4.1.5.2.5. Lufttætte lynkoblinger mellem de hurtigtvirkende ventiler og udtagningssækkene. Koblingen skal have automatisk lukning ved den side, der vender mod udtagningssækkene. Alternativt kan der benyttes andre metoder til at transportere prøverne til analysatoren (f.eks. trevejsspærreventiler).

4.1.5.2.6. Sække til indsamling af prøver af fortyndet udstødningsgas og fortyndingsluft under prøvningen.

4.1.5.2.7. En kritisk venturi til udtagning af proportionale prøver af fortyndet udstødningsgas (kun CFV-CVS).

4.1.5.3. Yderligere komponenter, som er nødvendige for udtagning af carbonhydridprøver med en opvarmet flammeiondetektor (HFID) som vist i figur A5/10.

4.1.5.3.1. Opvarmet prøveudtagningssonde placeret i en fortyndingstunnellen i samme lodrette plan som sonderne til udtagning af prøver af partikelmasse og, hvis relevant, partikler.

4.1.5.3.2. Opvarmet filter placeret efter prøveudtagningsstedet og før HFID-enheden.

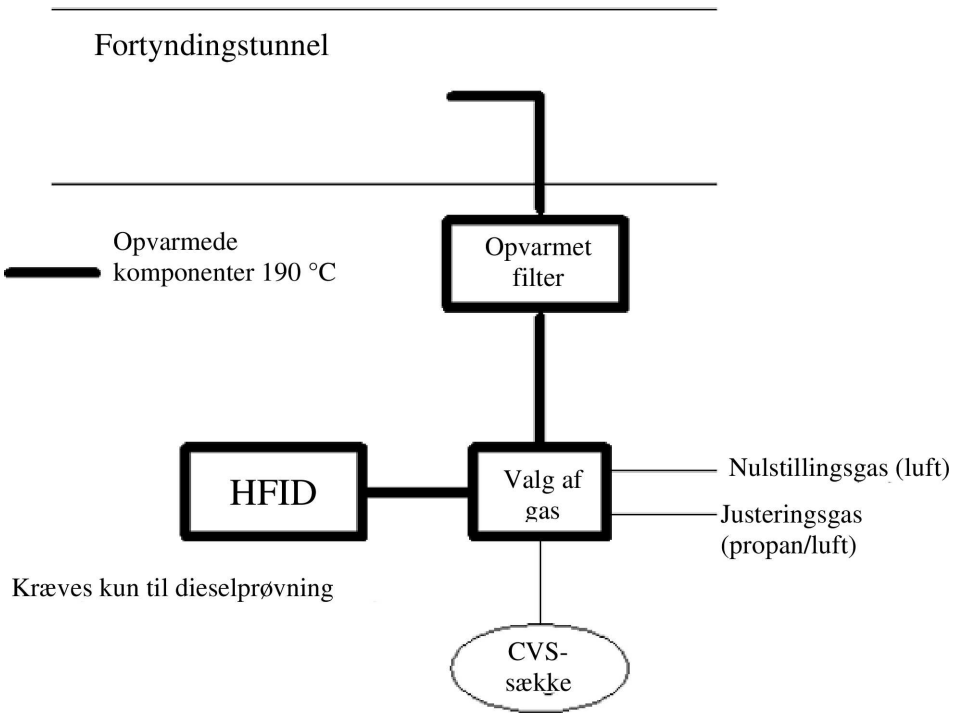
4.1.5.3.3. Opvarmede udvælgelsesventiler mellem nulstillings- og kalibreringsgasforsyningerne og HFID'en.

4.1.5.3.4. Apparater til integrering og registrering af den øjeblikkelige koncentration af carbonhydrider.

4.1.5.3.5. Opvarmede prøveudtagsledninger og opvarmede komponenter fra den opvarmede sonde til HFID-enheden.

Figur A5/10

Komponenter, der er nødvendige til prøveudtagning af carbonhydrider ved anvendelse af HFID



4.2. PM-måleudstyr

4.2.1. Specifikation

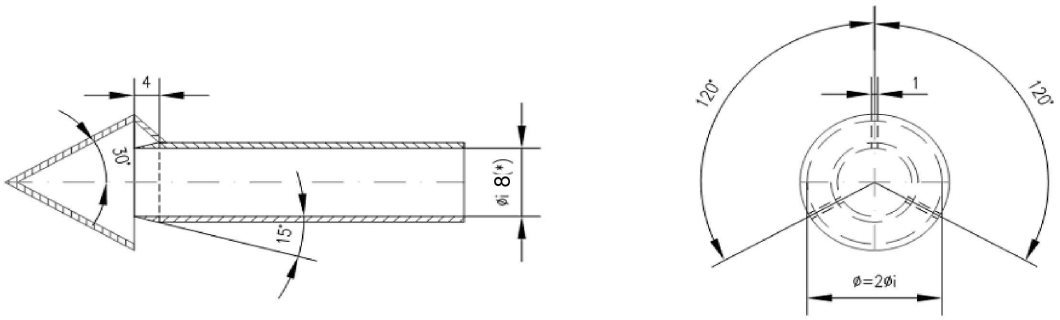
4.2.1.1. Systembeskrivelse

4.2.1.1.1. Enheden til udtagning af partikelmasseprøver består af en prøvetagningssonde (PSP) placeret i en fortyndingstunnel, et partikeloverføringsrør (PTT), en filterholder (FH), (en) pumpe(r), strømningshastighedsregulatorer og måleudstyr. Se figur A5/11, A5/12 og A5/13.

4.2.1.1.2. Der kan anvendes en partikelstørrelsepræklassifikator (PCF), (f.eks. cyklon eller impaktor). I sådanne tilfælde anbefales den placeret opstrøms for filterholderen.

Figur A5/11

Alternativ konfiguration af partikelmasseudtagningssonden



(*) mindste indvendige diameter
Godstykkelse: ~ 1 mm — Materiale: rustfrit stål

4.2.1.2. Generelle krav

4.2.1.2.1. Prøvetagningssonden til prøvegasstrømmen for partikelmasse skal være anbragt således i fortyndingskanalen, at der kan udtages en repræsentativ gasprøve af den homogene luft/udstødningsgasblanding, og den skal være placeret for den eventuelle varmeveksler.

4.2.1.2.2. Strømningshastigheden for partikelprøvestrømmen skal være proportionel med den samlede massestrøm af fortyndet udstødningsgas i fortyndingstunnelen med en tolerance på højst ± 5 % for strømningshastigheden for partikelprøvestrømmen. Verifikationen af proportionaliteten af udtagning af partikelprøver foretages i forbindelse med idriftsættelse af systemet og som krævet af den kompetente myndighed.

4.2.1.2.3. Den udtagne fortyndede udstødningsgas skal holdes på en temperatur over 20 °C og under 52 °C inden for 20 cm opstrøms eller nedstrøms for partikelprøvetagningsfilteroverfladen. Opvarmning eller isolering af komponenter af partikelprøveudtagningssystemet for at opnå dette er tilladt.

Hvis 52 °C-grænsen overskrides under en prøvning, hvor der ikke forekommer periodisk regenerering, skal CVS-strømningshastigheden forhøjes eller dobbelt fortynding anvendes (hvis det forudsættes, at CVS-strømningshastigheden allerede er tilstrækkelig til ikke at forårsage kondensering inden for CVS, udtagningssække eller det analytiske system).

4.2.1.2.4. Partikelprøven skal udskilles på et enkelt filter monteret i en holder i den udtagne fortyndede udstødningsgasstrøm.

4.2.1.2.5. Alle de dele af fortyndingssystem og prøveudtagningssystem, der er placeret mellem udstødningsrør og filterholder og er i kontakt med ufortyndet og fortyndet udstødningsgas, skal være udformet således, at de giver anledning til mindst mulig deponering eller ændring af partikelmassen. Alle dele skal være fremstillet af elektrisk ledende materialer, der ikke reagerer med udstødningsgassens komponenter, og skal være jordforbundet, således at elektrostatiske virkninger undgås.

4.2.1.2.6. Hvis der ikke kan kompenseres for variationer i strømningshastigheden, skal der være en varmeveksler og en temperaturregulator som specificeret i punkt 3.3.5.1 eller 3.3.6.4.2 i dette bilag for at sikre, at strømningshastigheden i systemet er konstant, og at der derved sikres proportionalitet i prøveudtagningen.

4.2.1.2.7. De temperaturer, der kræves for at måle PM, skal måles med en nøjagtighed på ± 1 °C og en responstid ($\mathbf{t_{90} - t_{10}}$) på 15 sekunder eller derunder.

4.2.1.2.8. Prøvestrømmen fra fortyndingstunnelen skal måles med en nøjagtighed på ± 2,5 procent af aflæsningen eller ± 1,5 procent fuldt skalaudslag, alt efter hvad der er mindst.

Ovenstående krav til nøjagtighed af prøvegasstrømmen fra CVS-tunnelen anvendes også, når der anvendes dobbelt fortynding. Derfor skal målingen og kontrollen af sekundær fortyndingsluft og strømningshastighederne for fortyndet udstødningsgas gennem filteret være af en højere grad af nøjagtighed.

4.2.1.2.9. Alle datakanaler, der kræves for at måle PM, skal registreres med en frekvens på 1 Hz eller hurtigere. Disse vil normalt omfatte:

a) Temperatur for fortyndet udstødning ved partikelmasseudskillelsesfilteret

b) Prøveudtagningens strømningshastighed

c) Strømningshastighed for sekundær fortyndingsluft (hvis sekundær fortynding anvendes)

d) Strømningshastighed for sekundær fortyndingsluft (hvis sekundær fortynding anvendes)

4.2.1.2.10. Anvendes dobbelt fortyndingssystem, måles nøjagtigheden af den fortyndede udstødningsgas overført fra fortyndingstunnelen V_{ep} defineret i punkt 3.3.2 i bilag B7 i ligningen ikke direkte, men bestemmes ved differentialmåling af strømningshastigheder.

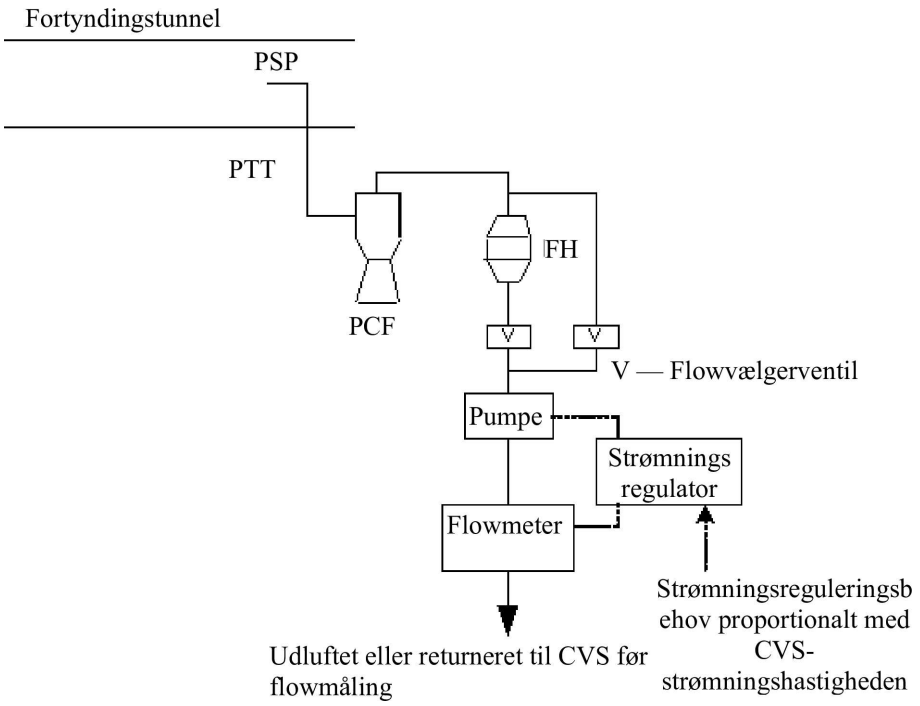
Nøjagtigheden af de anvendte flowmålere til måling og kontrol af dobbelt fortyndet udstødningsgas gennem partikelprøvetagningsfiltre og til måling/kontrol af sekundær fortyndingsluft skal være tilstrækkelig, således at diffentialvolumen V_{ep} opfylder kravene til nøjagtighed og proportional prøvetagning for enkelt fortynding.

Kravet om, at der ikke må forekomme kondensation af udstødningsgassen i CVS- fortyndingstunnellen, systemet til måling af den fortyndede udstødnings strømningshastighed, CVS-prøveudtagningssækken eller analysesystemerne finder også anvendelse, i tilfælde af at der anvendes dobbelt fortyndingssystem.

4.2.1.2.11. Ethvert flowmeter, der anvendes i et partikelprøvetagnings- og dobbelt fortyndingssystem, skal underkastes en linearitetsverifikation som foreskrevet af instrumentets fabrikant.

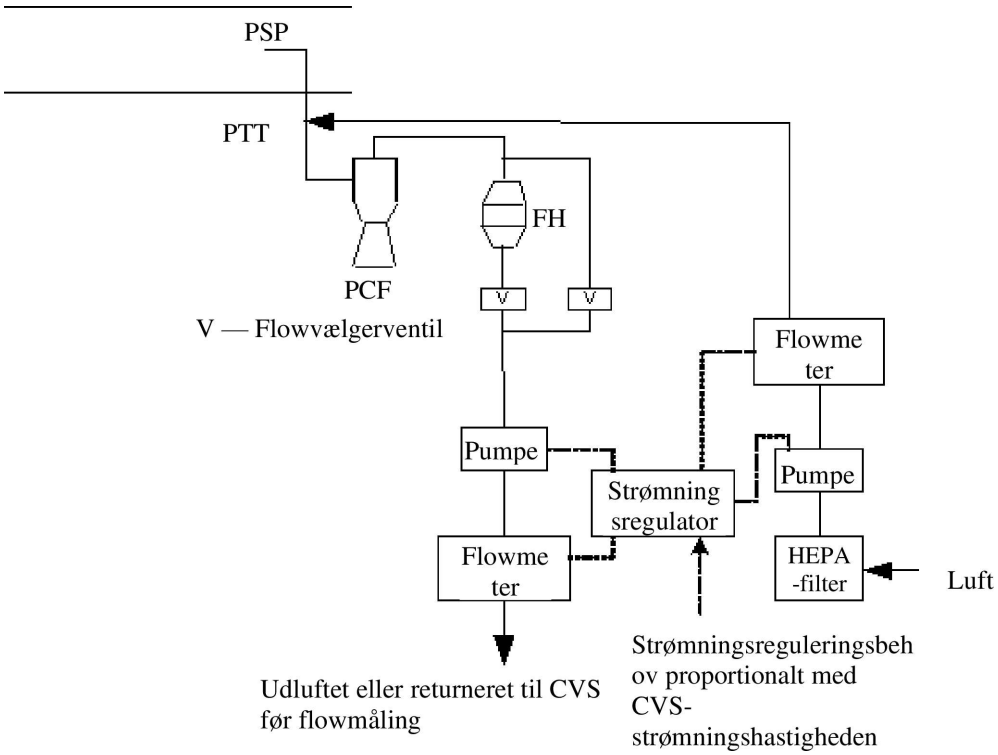
Figur A5/12

Partikelmasseprøvetagningssystem



Figur A5/13

System til dobbelt fortynding og partikelmasseprøvetagning



4.2.1.3. Specifikke krav

4.2.1.3.1. Prøveudtagningssonde

4.2.1.3.1.1. Prøveudtagningssonden skal opfylde den partikelstørrelseklassifikation, der er beskrevet i punkt 4.2.1.3.1.4 i dette bilag. Det anbefales, at denne funktion opnås ved anvendelse af en skarpkantet åben sonde, der er rettet direkte imod strømningsretningen, samt en præklassifikator (cyklon, impaktor osv.). En egnet prøvetagningssonde, som f.eks. angivet i figur A5/11, kan alternativt bruges, hvis den opfylder den præklassificeringsfunktion, der er beskrevet i punkt 4.2.1.3.1.4 i dette bilag.

4.2.1.3.1.2. Prøveudtagningssonden skal anbringes i mindst 10 tunneldiametres afstand fra udstødningsgasindtaget i strømmens retning og have en indvendig diameter på mindst 8 mm.

Hvis mere end én prøve udtages samtidigt fra en enkelt prøveudtagningssonde, skal den strøm, der udtrækkes fra sonden, splittes i identiske delstrømme for at undgå fejl i prøveudtagningen.

Hvis der anvendes flere sonder, skal hver sonde være en skarpkantet åben sonde og rettes direkte imod strømningsretningen. Sonderne skal være placeret med lige stor indbyrdes afstand rundt om fortyndingstunnellens midterakse i længderetningen, og afstanden mellem sonderne skal være mindst 5 cm.

4.2.1.3.1.3. Afstanden fra sondespidsen til filterenheden skal være mindst fem gange sondens diameter, dog højst 2 000 mm.

4.2.1.3.1.4. Præklassifikatoren (f.eks. cyklon, impaktor osv.) skal være placeret opstrøms for filterholderenheden. Præklassifikatorens 50 % afskæringspunkt på partikeldiameteren skal ligge mellem 2,5 µm og 10 µm ved den volumetriske strømningshastighed for prøveudtagning af PM. Præklassifikatoren skal lade mindst 99 % af massekoncentrationen af 1 µm-partikler, der kommer ind i præklassifikatoren, passere gennem præklassifikatorens udgang ved den volumetriske strømningshastighed, der er valgt for prøveudtagning PM.

4.2.1.3.2. Partikeloverførselsrør (PTT)

Alle bøjninger i PTT skal være jævne og have størst mulig radius.

4.2.1.3.3. Sekundær fortynding

4.2.1.3.3.1. Det er muligt at fortynde den prøve, der er udtaget af CVS til partikelmassemåling i en senere fase, forudsat at følgende krav er opfyldt:

4.2.1.3.3.1.1. Sekundær fortyndingsluft skal ledes gennem et medie, der kan reducere partiklerne i den mest gennemtrængende partikelstørrelse i filteret med ≥ 99,95 % eller gennem et HEPA-filter af mindst klasse H13 i henhold til EN 1822:2019. Fortyndingsluften kan valgfrit renses med et aktivt kulfilter, før den ledes til HEPA-filteret. Det anbefales, at et supplerende groft partikelfilter placeres før HEPA-filteret og efter trækulskrubberen, hvis en sådan anvendes.

4.2.1.3.3.1.2. Den sekundære fortyndingsluft skal indskydes i PTT så tæt på udløbet af den fortyndede udstødningsgas fra fortyndingstunnelen som muligt.

4.2.1.3.3.1.3. Opholdstiden for tilførsel af den sekundære fortyndede luft til filteroverfladen skal være mindst 0,25 sekunder, men ikke længere end 5 sekunder.

4.2.1.3.3.1.4. Hvis den dobbelt fortyndede prøve returneres til CVS'en, udvælges det sted, hvor stikprøven skal udtages, således, at det ikke griber ind i udtagning af andre prøver fra CVS.

4.2.1.3.4. Prøveudtagningspumpe og strømningsmåler

4.2.1.3.4.1. Prøvegasstrømningsmåleenheden skal omfatte pumper, gasstrømningsregulatorer og strømningsmålere.

4.2.1.3.4.2. Gasstrømmens temperatur i flowmeteret må ikke svinge med mere end ± 3 °C, bortset fra:

a) Når prøveudtagningsflowmeteret har realtidsovervågning og strømningsregulering, der opererer ved en frekvens på 1 Hz eller hurtigere

b) Under regenereringsprøvninger på køretøjer udstyret med efterbehandlingsanordninger til periodisk regenerering.

Hvis strømningsvolumenet ændrer sig for meget på grund af for kraftig filterbelastning, er prøvningen ugyldig. Når prøvningen gentages, reduceres strømningshastigheden.

4.2.1.3.5. Filter og filterholder

4.2.1.3.5.1. En ventil skal placeres efter filteret i strømningsretningen. Ventilen skal åbne og lukke inden for 1 sekund fra prøvningens start og dens afslutning.

4.2.1.3.5.2. For en given prøvning indstilles hastigheden ved filterets overflade til en indledende værdi inden for området 20 cm/s til 105 cm/s, og indstilles ved prøvningens begyndelse således, at 105 cm/s ikke overskrides, når fortyndingssystemet køres med en prøvetagningsstrøm, der er proportionel med CVS-strømningshastigheden.

4.2.1.3.5.3. Der anvendes glasfiberfiltre med fluor-kulstofbelægning eller membranfiltre på fluor-kulstofbasis.

Alle filtertyper skal have en udskillelsesgrad på mindst 99 % for 0,3 µm DOP (di-octylphthalat) eller PAO (poly-alpha-olefin) CS 68649-12-7 eller CS 68037-01-4 ved en gashastighed ved filteroverfladen på mindst 5,33 cm/s, målt efter en af følgende standarder:

a) USA Department of Defense Test Method Standard, MIL-STD-282 method 102.8: DOP-Smoke Penetration of Aerosol-Filter Element;

b) USA Department of Defense Test Method Standard, MIL-STD-282 method 502.1.1: DOP-Smoke Penetration of Gas-Mask Canisters;

c) Institute of Environmental Sciences and Technology, IEST-RP-CC021: Testing HEPA and ULPA Filter Media.

4.2.1.3.5.4. Filterholderen skal være konstrueret således, at den giver en strømningsfordeling over filterets pletareal. Filteret skal være rundt og have et pletareal på mindst 1 075 mm^2.

4.2.2. Specifikationer for vejerum og analysevægt

4.2.2.1. Vejerum, betingelser

a) Temperaturen i det vejerum, hvor partikelprøveudtagningsfiltrene konditioneres og vejes, skal være 22 °C ± 2 °C (om muligt 22 °C ± 1 °C) ved al konditionering og vejning af filtre.

b) Luftfugtigheden skal holdes på et niveau svarende til et dugpunkt på under 10,5 °C og en relativ fugtighed på 45 % ± 8 %.

c) Der tillades begrænsede afvigelser fra forskrifterne for temperatur og fugtighed i vejerummet, hvis den samlede varighed heraf ikke overskrider 30 minutter i en given filterkonditioneringsperiode.

d) Niveauerne for omgivende forurenende stoffer i vejerummet (eller -lokale), der kan sætte sig på partikelfiltre, mens de stabiliseres, skal minimeres.

e) Under selve vejningen tillades der ikke afvigelser fra de foreskrevne betingelser.

4.2.2.2. Lineær respons på en analysevægt

Den analysevægt, der anvendes til at bestemme filtervægten, skal opfylde linearitetsverifikationens kriterier i tabel A5/1 ved anvendelse af lineær regression. Dette forudsætter en præcision på mindst ±2 µg og en opløsning på mindst 1 µg (1 ciffer = 1 µg). Mindst 4 ækvidistante referencevægte skal prøves. Nulværdien skal ligge inden for ±1 µg.

Tabel A5/1

Analysevægt, verifikationskriterier

Målesystem	Skæring a0	Hældning a1	Residual standardafvigelse (SEE)	Determinationskoeffi-cient[2]
Partikelmassebalance	≤ 1 µg	0,99-1,01	≤ maks. 1 %	≥ 0.998

4.2.2.3. Elimination af virkningerne af statisk elektricitet

Virkningerne af statisk elektricitet skal ophæves. Dette kan opnås ved at jorde vægten ved at placere den på en antistatisk måtte og neutralisere partikelprøveudtagningsfiltrene før vejning ved hjælp af en poloniumneutralisator eller en anordning med tilsvarende virkning. Alternativt kan ophævelse af statiske virkninger opnås gennem udligning af den statiske ladning.

4.2.2.4. Opdriftskorrektion

Prøveudtagnings- og referencefiltervægtene skal korrigeres for opdrift i luft. Opdriftskorrektionen afhænger af prøvetagningsfilterets massefylde, luftens massefylde og kalibreringsbalancevægtens massefylde, og der tages ikke hensyn til partikelmassens egen opdrift.

Hvis filtermaterialets massefylde ikke kendes, anvendes følgende massefylder:

a) PTFE-overtrukket glasfiberfilter: 2 300 kg/m³.

b) PTFE-membranfilter: 2 144 kg/m³.

c) PTFE-membranfilter med polymethylpenten-filterring: 920 kg/m³.

For kalibreringsvægte i rustfrit stål anvendes en massefylde på 8 000 kg/m³. Hvis kalibreringsvægten er af andet materiale, er det nødvendigt at kende og anvende dettes massefylde. International Recommendation OIML R 111-1 Edition 2004(E) (eller tilsvarende) fra Den Internationale Organisation for Retslig Metrologi om kalibreringsvægte bør følges.

Der anvendes følgende ligning:

$$\mathbf{Pe_f} = \mathbf{Pe_{uncorr}} \times \left(\frac{1 - \frac{\rho_a}{\rho_w}}{1 - \frac{\rho_a}{\rho_f}} \right)$$

hvor:

$\mathbf{Pe_f}$ er den korrigerede partikelprøvemasse (mg)

$\mathbf{Pe_{uncorr}}$ er den ukorrigerede partikelprøvemasse (mg)

$\boldsymbol{\rho_a}$ er luftens massefylde (kg/m³)

$\boldsymbol{\rho_w}$ er kalibreringsbalancevægtens massefylde (kg/ m³)

ρ_f er partikelprøvetagningsfiltrets massefylde (kg/m³).

Luftens vægtfylde, ρ_a beregnes ved hjælp af følgende ligning:

$$\rho_a = \frac{p_b \times M_{mix}}{R \times T_a}$$

p_b er det totale atmosfæretryk (kPa)

T_a er lufttemperaturen, hvor vægten er placeret (Kelvin - K)

M_{mix} er luftens molarmasse i et miljø i balance, 28 836 g mol^{-1}

R er den molare gaskonstant, 8,3144 J mol^{-1} K^{-1}.

4.3. PN-måleudstyr

Dette regulativ giver mulighed for 2 indstillinger til måling af PN, differentieret efter den elektriske partikelmobilitetsdiameter, ved hvilken PNC'ens detektionseffektivitet er angivet. Disse to værdier er 23 nm og 10 nm.

Mens de fleste punkter og underafsnit er fælles for de to forskellige indstillinger og skal anvendes til både 23 nm og 10 nm PN-måling, vedrører visse punkter kun én mulighed, der er markeret med henholdsvis "SPN23" og "SPN10".

4.3.1. Specifikation

4.3.1.1. Systembeskrivelse

4.3.1.1.1. Prøveudtagningssystemet for partikler skal bestå af en sonde eller et prøveudtagningspunkt til udtagning af en prøve fra en homogent blandet strøm i et fortyndingssystem, en enhed, der fjerner flygtige partikler (VPR) opstrøms for en partikelantaltæller (PNC) samt et egnet overførselsrør. Se figur A5/14.

4.3.1.1.2. Det anbefales, at en partikelstørrelse-præklassifikator (PCF - f.eks. cyklon eller impaktor) placeres før indgangen til VPR. Præklassifikatorens 50 %-skæringspunkt for partikeldiameter skal ligge på mellem 2,5 µm og 10 µm ved den volumetriske strømningshastighed, der er valgt for prøveudtagning af partikelemissioner. Præklassifikatoren skal lade mindst 99 % af massekoncentrationen af 1 µm-partikler, der kommer ind i præklassifikatoren, passere gennem præklassifikatorens udgang ved den volumetriske strømningshastighed, der er valgt til prøveudtagning af partikelemissioner.

En prøvetagningssonde, der fungerer som en egnet anordning til størrelseklassifikation som vist i figur A5/11, kan accepteres som alternativ til en præklassifikator.

4.3.1.2. Generelle krav

4.3.1.2.1. Prøveudtagningspunktet for partikler skal være placeret i fortyndingssystemet. I tilfælde af at der anvendes dobbelt fortyndingssystem, skal partikelprøveudtagningspunktet placeres i det primære fortyndingssystem.

4.3.1.2.1.1. Prøvetagningssondens spids eller PSP og PTT'en udgør tilsammen partikeloverførselssystemet (PTS). PTS'en fører prøven fra fortyndingstunnellen til VPR-indgangen. PTS'en skal opfylde følgende betingelser:

a) Prøvetagningssonden skal anbringes mindst 10 tunneldiametres afstand nedstrøms for udstødningsgasindtaget og skal vende opstrøms ind i tunnellens gasstrøm, idet dens akse ved spidsen skal være parallel med fortyndingstunnellen.

b) Prøvetagningssonden skal være opstrøms for eventuelle konditioneringsapparater (f.eks. en varmeveksler).

c) Prøvetagningssonden skal placeres i fortyndingsskakten, således at prøven tages fra en homogen blanding af fortynding/udstødning.

4.3.1.2.1.2. Prøvegas udtaget gennem PTS'en skal opfylde følgende betingelser:

a) Hvis der anvendes et fuldstrøms udstødningsfortyndingssystem, skal dette have et flow-Reynolds-tal, Re, som er lavere end 1 700.

b) I tilfælde af at der anvendes dobbelt fortyndingssystem, skal dette have et Reynolds-tal, Re, der er lavere end 1 700 i PTT, dvs. nedstrøms for prøveudtagningssonden eller -punktet.

c) Den skal have en opholdstid på ≤ 3 sekunder.

4.3.1.2.1.3. Kun for niveau 1B

(SPN23):

Enhver anden prøveudtagningskonfiguration for PTS, for hvilken der kan påvises en ækvivalent partikelpenetration på 30 nm, vil blive anset for acceptabel.

Niveau 1A, niveau 1B (valgfri) og niveau 2

(SPN10):

Enhver anden prøveudtagningskonfiguration for PTS, for hvilken der kan påvises en ækvivalent fast partikelpenetration på 15 nm, vil blive anset for acceptabel.

4.3.1.2.1.4. Udgangsrøret (OT), der leder den fortyndede prøve fra VPS til indgangen til PNC, skal have følgende karakteristika:

a) En indvendig diameter på ≥ 4 mm.

b) En gasprøveopholdstid på ≤ 0,8 sekunder.

4.3.1.2.1.5. Kun for niveau 1B

(SPN23):

Enhver anden prøveudtagningskonfiguration for OT, for hvilken der kan påvises en ækvivalent fast partikelpenetration på 30 nm, vil blive anset for acceptabel.

Niveau 1A, niveau 1B (valgfri) og niveau 2

(SPN10):

Enhver anden prøveudtagningskonfiguration for OT, for hvilken der kan påvises en ækvivalent fast partikelpenetration på 15 nm, vil blive anset for acceptabel.

4.3.1.2.2. VPR skal omfatte anordninger til fortynding af prøver og fjernelse af flygtige partikler.

4.3.1.2.3. Alle de dele af fortyndingssystemet og prøveudtagningssystemet, der er placeret mellem udstødningsrør og PNC og er i kontakt med ufortyndet og fortyndet udstødningsgas, skal være fremstillet af elektrisk ledende materialer, være jordforbundet for at forhindre elektrostatiske virkninger og være udformet således, at de giver anledning til mindst mulig deponering af partikler.

4.3.1.2.4. Partikelprøveudtagningssystemet skal omfatte god praksis for aerosolprøveudtagning, herunder undgåelse af knæk og pludselige ændringer i tværsnit, brug af glatte indvendige overflader og minimering af prøveudtagningslinjens længde. Gradvise ændringer i tværsnit kan accepteres.

4.3.1.3. Specifikke krav

4.3.1.3.1. Partikelprøven må ikke ledes gennem en pumpe før passagen gennem PNC.

4.3.1.3.2. Det anbefales at anvende en præklassifikator.

4.3.1.3.3. VPR'en skal:

a) være i stand til at fortynde prøven i et eller flere trin for at opnå en partikelantalkoncentration under den øverste tærskel i PNC'ens modus for tælling af enkeltpartikler

b) have en gastemperatur ved indgangen til PNC'en under den maksimalt tilladte indgangstemperatur som angivet af PNC-fabrikanten

c) omfatte en indledende opvarmet fortyndingsfase, som leverer en prøve med en temperatur på ≥ 150 °C og ≤ 350 °C ± 10 °C og fortynder med en faktor på mindst 10

d) styre de opvarmede faser, så de har en konstant nominel driftstemperatur inden for intervallet ≥ 150 °C og ≤ 400 °C ± 10 °C

e) vise om de opvarmede faser har den rette driftstemperatur

f) kunne opnå en penetrationsvirkningsgrad for faststofpartikler på mindst 70 procent for partikler med en elektrisk mobilitetsdiameter på 100 nm

g) Kun for niveau 1B
(SPN23):

Kunne opnå en reduktionsfaktor for partikelkoncentrationen $\mathbf{f_r(d_i)}$ for partikler med en elektrisk mobilitetsdiameter på 30 nm og 50 nm, som højst er henholdsvis 30 og 20 % højere, og højst 5 % lavere, end reduktionsfaktoren for partikler med en elektrisk mobilitetsdiameter på 100 nm for VPR som helhed.

Reduktionsfaktoren for partikelkoncentration ved hver partikelstørrelse $\mathbf{f_r(d_i)}$ beregnes ved hjælp af følgende ligning:

$$\mathbf{f_r(d_i)} = \frac{\mathbf{N_{in}(d_i)}}{\mathbf{N_{out}(d_i)}}$$

hvor:

$\mathbf{N_{in}(d_i)}$ er partikelantalkoncentration opstrøms for partikler med diameteren $\mathbf{d_i}$

$\mathbf{N_{out}(d_i)}$ er partikelantalkoncentration nedstrøms for partikler med diameteren $\mathbf{d_i}$

$\mathbf{d_i}$ er partiklernes elektriske mobilitetsdiameter (30, 50 eller 100 nm).

$\mathbf{N_{in}(d_i)}$ og $\mathbf{N_{out}(d_i)}$ skal korrigeres til samme betingelser.

Den aritmetiske gennemsnitlige reduktionsfaktor for partikelkoncentration ved hver partikelstørrelse $\overline{\mathbf{f_r}}$ beregnes ved hjælp af følgende ligning:

$$\overline{\mathbf{f_r}} = \frac{\mathbf{f_r(30nm)} + \mathbf{f_r(50nm)} + \mathbf{f_r(100nm)}}{\mathbf{3}}$$

Det anbefales, at VPR'en kalibreres og valideres som en komplet enhed.

Niveau 1A, niveau 1B (valgfri) og niveau 2
(SPN10):

kunne opnå en reduktionsfaktor for partikelkoncentrationen $\mathbf{f_r(d_i)}$ for partikler med en elektrisk mobilitetsdiameter på 15 nm, 30 nm og 50 nm, som højst er henholdsvis 100, 30 og 20 % højere, og højst 5 % lavere, end reduktionsfaktoren for partikler med en elektrisk mobilitetsdiameter på 100 nm for VPR som helhed.

Reduktionsfaktoren for partikelkoncentration ved hver partikelstørrelse $\mathbf{f_r(d_i)}$ beregnes ved hjælp af følgende ligning:

$$\mathbf{f_r(d_i)} = \frac{\mathbf{N_{in}(d_i)}}{\mathbf{N_{out}(d_i)}}$$

hvor:

$\mathbf{N_{in}(d_i)}$ er partikelantalkoncentration opstrøms for partikler med diameteren $\mathbf{d_i}$

$\mathbf{N_{out}(d_i)}$ er partikelantalkoncentration nedstrøms for partikler med diameteren $\mathbf{d_i}$

$\mathbf{d_i}$ er partiklernes elektriske mobilitetsdiameter (30, 50 eller 100 nm).

$\mathbf{N_{in}(d_i)}$ og $\mathbf{N_{out}(d_i)}$ skal korrigeres til samme betingelser.

Den aritmetiske gennemsnitlige reduktionsfaktor for partikelkoncentration ved hver partikelstørrelse $\overline{\mathbf{f_r}}$ beregnes ved hjælp af følgende ligning:

$$\overline{\mathbf{f_r}} = \frac{\mathbf{f_r(30nm) + f_r(50nm) + f_r(100nm)}}{\mathbf{3}}$$

Det anbefales, at VPR'en kalibreres og valideres som en komplet enhed.

h) være konstrueret i overensstemmelse med god teknisk praksis for at sikre, at reduktionsfaktoren for partikler er stabil gennem en prøvning

i) Kun for niveau 1B

(SPN23):

kunne opnå over 99,0 % fordampning af 30 nm tetracontan-partikler ($CH_3(CH_2)_{38}CH_3$) med en indgangskoncentration på ≥ 10 000 pr. cm^3 ved hjælp af opvarmning og reduktion af tetracontanens partialtryk.

Niveau 1A, niveau 1B (valgfri) og niveau 2

(SPN10):

kunne opnå over 99,9 % fordampning af tetracontan-partikler ($CH_3(CH_2)_{38}CH_3$) med middeltællediameter > 50 nm og massetæthed > 1 mg/m^3 ved hjælp af opvarmning og reduktion af tetracontanens partialtryk.

4.3.1.3.3.1. Penetrationen af faststofpartikler $\mathbf{P_r(d_i)}$ ved en partikelstørrelse $\mathbf{d_i}$ beregnes ved hjælp af følgende ligning:

$$\mathbf{P_r(d_i)} = \mathrm{DF} \cdot \mathbf{N_{out}(d_i) / N_{in}(d_i)}$$

hvor

$\mathbf{N_{in}(d_i)}$ er partikelantalkoncentration opstrøms for partikler med diameteren $\mathbf{d_i}$

$\mathbf{N_{out}(d_i)}$ er partikelantalkoncentration nedstrøms for partikler med diameteren $\mathbf{d_i}$

$\mathbf{d_i}$ er partiklernes elektriske mobilitetsdiameter

DF er fortyndingsfaktoren mellem målepositionerne for $\mathbf{N_{in}(d_i)}$ og $\mathbf{N_{out}(d_i)}$ bestemt enten ved hjælp af sporgasser eller flowmålinger.

4.3.1.3.4. PNC'en skal:

a) køre under fuldstrømsbetingelser

b) have en tællenøjagtighed på ± 10 % i området fra 1 pr. cm^3 til den øverste tærskel i PNC'ens modus for tælling af enkeltpartikler i forhold til en passende sporbar standard. Ved koncentrationer under 100 cm^3 kan det for målinger gennemsnitsberegnet over lange prøveudtagningsperioder kræves, at PNC'ens nøjagtighed påvises med en høj grad af statistisk konfidens

c) have en opløsning på mindst 0,1 partikler pr. cm^3 ved koncentrationer under 100 pr. cm^3

d) kun fungere i enkelttællingsmodus og have en lineær respons på partikelantalkoncentrationer inden for instrumentets specificerede måleområde

e) have en datarapporteringsfrekvens på 0,5 Hz eller derover

f) have en t_{90}-responstid i hele det målte koncentrationsområde på under 5 s

g) indføre en korrektion med en kalibreringsfaktor som bestemt i punkt 5.7.1.3 i dette bilag

h) have tællevirkningsgrader ved de forskellige partikelstørrelser som specificeret i tabel A5/2.

i) Kun for niveau 1B

(SPN23):

PNC-kalibreringsfaktoren fra linearitetskalibreringen i forhold til en sporbar reference anvendes til at bestemme PNC-tællevirkningsgrad. Tællevirkningsgraden skal oplyses, herunder kalibreringsfaktoren fra linearitetskalibrering i forhold til en sporbar reference.

Niveau 1A, niveau 1B (valgfri) og niveau 2

(SPN10):

PNC-kalibreringsfaktoren fra linearitetskalibreringen i forhold til en sporbar reference anvendes til at bestemme PNC-tællevirkningsgrad. Tællevirkningsgraden skal oplyses, herunder kalibreringsfaktoren fra linearitetskalibrering i forhold til en sporbar reference.

j) Hvis PNC'en anvender en anden arbejdsvæske end n-butylalkohol eller isopropylalkohol, skal PNC'ens tællevirkningsgra påvises med 4cSt-polyalphaolefin og sodlignende partikler.

Kun for niveau 1B

(SPN23):

Tabel A5/2a

PNC-tællevirkningsgrad

Partiklets nominelle elektriske mobilitetsdiameter (nm)	PNC-tællevirkningsgrad (%)
23	50 ±12
41	> 90

Niveau 1A, niveau 1B (valgfri) og niveau 2

(SPN10):

Tabel A5/2b

PNC-tællevirkningsgrad

Partiklets nominelle elektriske mobilitetsdiameter (nm)	PNC-tællevirkningsgrad (%)
10	65 ± 15
15	> 90

4.3.1.3.5. Hvis PNC'en anvender en arbejdsvæske, skal denne udskiftes med den hyppighed, der er angivet af instrumentfabrikanten.

4.3.1.3.6. Hvis de ikke holdes på et kendt konstant niveau ved det punkt, hvor PNC-strømningshastigheden styres, skal tryk og/eller temperatur ved indgangen til PNC måles med henblik på at korrigere partikelantalkoncentrationsmålinger til standardbetingelser. Standardbetingelserne er 101,325 kPa tryk og en temperatur på 0 °C.

4.3.1.3.7. Summen af opholdstiden for PTS, VPR og OT samt PNC's t_{90}-responstid må højst være 20 s.

4.3.1.4. Beskrivelse af anbefalet system

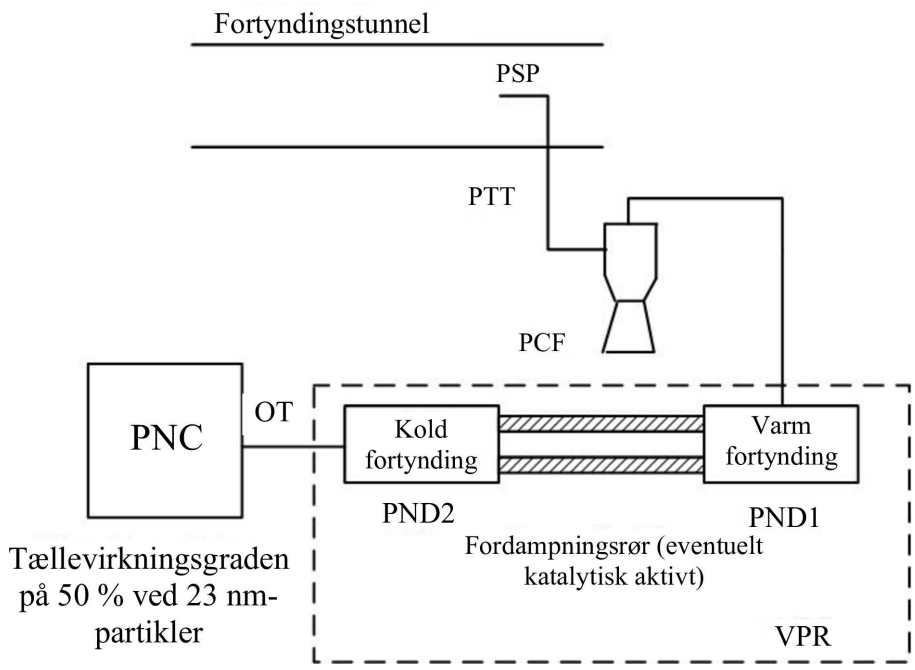
Følgende punkt beskriver den anbefalede praksis for måling af PN. Systemer, der opfylder funktionsspecifikationerne i punkt 4.3.1.2 og 4.3.1.3 i dette bilag, kan dog accepteres. Se figur A5/14a eller figur A5/14b (alt efter hvad der er relevant).

Kun for niveau 1B

(SPN 23):

Figur A5/14a

Et anbefalet partikelprøveudtagningssystem



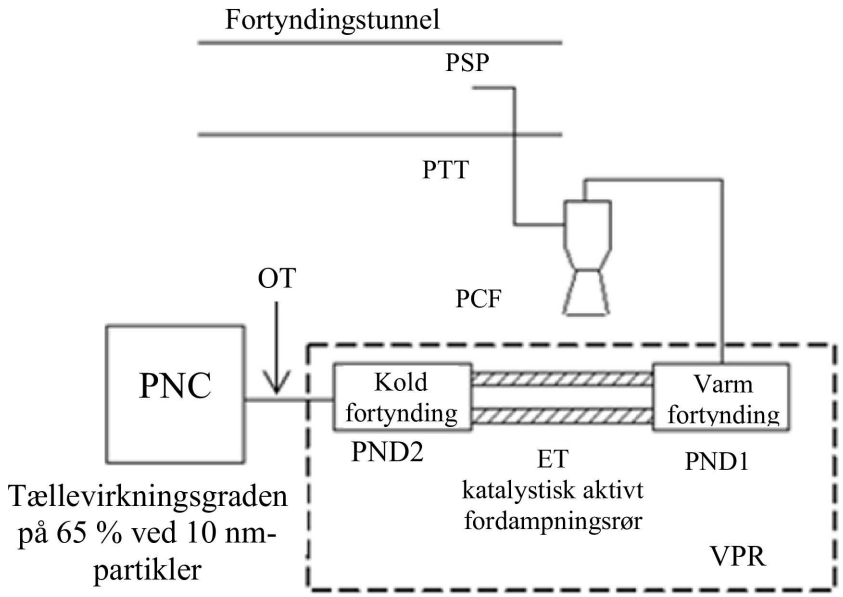
Fordampningsrøret, ET, skal være katalytisk aktivt med en vægtemperatur på 350 °C (± 10 °C).

Niveau 1A, niveau 1B (valgfri) og niveau 2

(SPN10):

Figur A5/14b

Et anbefalet partikelprøveudtagningssystem



Fordampningsrøret, ET, skal være katalytisk aktivt med en vægtemperatur på 350 °C (± 10 °C).

5. Kalibreringsintervaller og procedurer

5.1. Kalibreringsintervaller

Alle instrumenter i tabel A5/3 skal kalibreres ved/efter intervaller for større vedligeholdelse.

Tabel A5/3

Instrumentkalibreringsintervaller

Instrumentkontrol	Interval	Kriterium
Gasanalysatorens lineariseringstilgang (kalibrering)	Hver 6. måned	± 2 % af den aflæste værdi
Mid-span	Hver 6. måned	± 2 %
CO NDIR: CO_2/H_2O-interferens	Månedligt	-1 til 3 ppm
Kontrol af NOx-konverter	Månedligt	> 95 %
Kontrol af CH_4-afskæring	Årligt	98 % af ethan
FID CH_4-respons	Årligt	Se punkt 5.4.3 i dette bilag
FID luft-/brændstoftilførsel	Ved større vedligeholdelse	Ifølge instrumentfabrikanten
NO/NO_2 NDUV: H_2O, HC-interferens	Ved større vedligeholdelse	Ifølge instrumentfabrikanten

Instrumentkontrol	Interval	Kriterium
Laser-infrarød spektrometre (modulerede højtopløsende smalbåndsinfrarøde flerkanalanalysatorer): kontrol af interferens	Årligt	Ifølge instrumentfabrikanten
QCL	Årligt	Ifølge instrumentfabrikanten
GC-metoder	Se punkt 7.2 i dette bilag	Se punkt 7.2 i dette bilag
LC-metoder	Årligt	Ifølge instrumentfabrikanten
Fotoakustik	Årligt	Ifølge instrumentfabrikanten
FTIR: verifikation af linearitet	Inden for 370 dage før prøvning	Se punkt 7.1 i dette bilag
Mikrogramvægt, linearitet	Årligt	Se punkt 4.2.2.2 i dette bilag.
PNC (partikelantaltæller)	Se punkt 5.7.1.1 i dette bilag.	Se punkt 5.7.1.3 i dette bilag.
VPR (volatile particle remover)	Se punkt 5.7.2.1 i dette bilag.	Se punkt 5.7.2 i dette bilag

Tabel A5/4

Konstantvolumensystemet (CVS), kalibreringsintervaller

CVS	Interval	Kriterium
CVS-strøm	Efter vedligeholdelse	± 2 %
Temperatursensor	Årligt	±1 °C
Tryksensor	Årligt	±0,4 kPa
Indsprøjtning, kontrol	Månedligt	± 2 %

Tabel A5/5

Miljødata, kalibreringsintervaller

Klima	Interval	Kriterium
Temperatur	Årligt	±1 °C
Fugt	Årligt	± 5 % relativ fugtighed
Omgivende tryk	Årligt	±0,4 kPa
Afkølingsventilator	Efter vedligeholdelse	Jf. punkt 1.1.1 i dette bilag

5.2. Kalibrering af analysator, metoder

5.2.1. Hver analysator skal kalibreres som angivet af instrumentfabrikanten eller i det mindste lige så hyppigt som anført i tabel A5/3.

5.2.2. Hvert af de normalt benyttede måleområder lineariseres på følgende måde:

5.2.2.1. Lineariseringskurven etableres over mindst fem kalibreringspunkter, som skal være så jævnt fordelt som muligt. Den største nominelle kalibreringsgaskoncentration skal være mindst 80 % af fuldt skalaudslag.

5.2.2.2. Den kalibreringsgaskoncentrationen kan også opnås ved hjælp af et gasdeleapparat, ved fortynding med renset N_2 eller med renset syntetisk luft.

5.2.2.3. Lineariseringskurven beregnes ved hjælp af de mindste kvadraters metode. Hvis der derved fremkommer et mere end tredjegrads polynomium, skal der være mindst to flere kalibreringspunkter end graden af polynomiet.

5.2.2.4. Lineariseringskurven må ikke afvige med mere end ± 2 % fra den nominelle værdi for hver kalibreringsgas.

5.2.2.5. Lineariseringskurven og lineariseringspunkterne gør det muligt at kontrollere, at kalibreringen er udført korrekt. Analysatorernes specifikationer skal angives, navnlig:

a) Analysator- og gaskomponent

b) Skala

c) Dato for linearisering.

5.2.2.6. Anden teknologi (f.eks. computer, elektronisk skalaomskifter osv.) kan benyttes, hvis det over for den kompetente myndighed på tilfredsstillende måde godtgøres, at den giver en tilsvarende nøjagtighed.

5.3. Analysator, verifikationsprocedure for nulstilling og kalibrering

5.3.1. Hvert normalt benyttet måleområde skal kontrolleres før hver analyse i henhold til punkt 5.3.1.1 og 5.3.1.2 i dette bilag.

5.3.1.1. Kalibreringen kontrolleres ved hjælp af en nulstillingsgas og en kalibreringsgas ifølge punkt 2.14.2.3 i bilag B6

5.3.1.2. Efter prøvningen anvendes nulstillingsgas og den samme kalibreringsgas til fornyet kontrol i henhold til punkt 2.14.2.4 i bilag B6.

5.4. Metode til kontrol af FID-enheden og carbonhydridresponsen

5.4.1. Detektorresponsoptimering

FID-enheden indstilles som angivet af fabrikanten. Der benyttes propan i luft på det normalt benyttede måleområde.

5.4.2. Kalibrering af carbonhydridanalysatoren

5.4.2.1. Analysatoren bør kalibreres ved hjælp af propan i luft og renset syntetisk luft.

5.4.2.2. En kalibreringskurve etableres som beskrevet i punkt 5.2.2 i dette bilag.

5.4.3. Forskellige carbonhydriders responsfaktorer og anbefalede grænseværdier

5.4.3.1. Responsfaktoren Rf for et bestemt carbonhydrid er forholdet mellem C_1-målingen i FID-enheden og gascylinderkoncentrationen, udtrykt som ppm C_1.

Prøvegassens koncentration skal være således, at den giver en respons på omtrent 80 % af fuldt udslag i måleområdet. Koncentrationen skal være kendt med en nøjagtighed på ± 2 % i forhold til en gravimetrisk standard udtrykt i volumen. Endvidere skal gascylinderen forkonditioneres i 24 timer ved en temperatur på mellem 20 og 30 °C.

5.4.3.2. Methanfaktoren Rf_{CH4} skal måles og bestemmes, når en analysator tages i brug, og derefter hvert år eller efter intervaller for større vedligeholdelsese, alt efter hvad der indtræffer først.

Propylenresponsfaktoren Rf_{C3H6} og toluenresponsfaktoren Rf_{C7H8} måles , når en analysator tages i brug. Det anbefales, at de måles ved eller efter større vedligeholdelse, som eventuelt kan påvirke responsfaktorerne.

De prøvegasser, der skal benyttes, og de anbefalede responsfaktorer er følgende:

Methan og renset luft: $\mathbf{0.95 < Rf_{CH4} < 1.15}$

eller 1,00 < Rf < 1,05 for køretøjer drevet af NG/biomethan

Propylen og renset luft: $\mathbf{0.85 < Rf_{C3H6} < 1.10}$

Toluen og renset luft: $\mathbf{0.85 < Rf_{C7H8} < 1.10}$

Faktorerne er i forhold til en **Rf** på 1,00 for propan og renset luft.

5.5. Metode til prøvning af NOx-konverterens virkningsgrad

5.5.1. Ved hjælp af prøveopstillingen i figur A5/15 og den fremgangsmåde, der er beskrevet nedenfor, skal konverternes virkningsgrad ved konvertering af NO_2 til NO prøves ved hjælp af en ozonisator.

5.5.1.1. Analysatoren kalibreres i det mest benyttede måleområde efter fabrikantens anvisninger ved hjælp af nulstillingsgas og kalibreringsgas (NO-indholdet skal svare til ca. 80 % af fuldt skalaudslag, og NO_2-koncentrationen i gasblandingen skal være under 5 % af NO-koncentrationen). NOx-analysatoren skal være stillet på NO, således at kalibreringsgassen ikke går gennem konverteren. Den angivne koncentration registreres.

5.5.1.2. Via en T-samling tilføres løbende oxygen eller syntetisk luft til kalibreringsgasstrømmen, indtil den viste koncentration ligger ca. 10 % under den kalibreringskoncentration, der er anført i punkt 5.5.1.1 i dette bilag. Den angivne koncentration (c) registreres. Ozonisatoren skal være ude af funktion under denne proces.

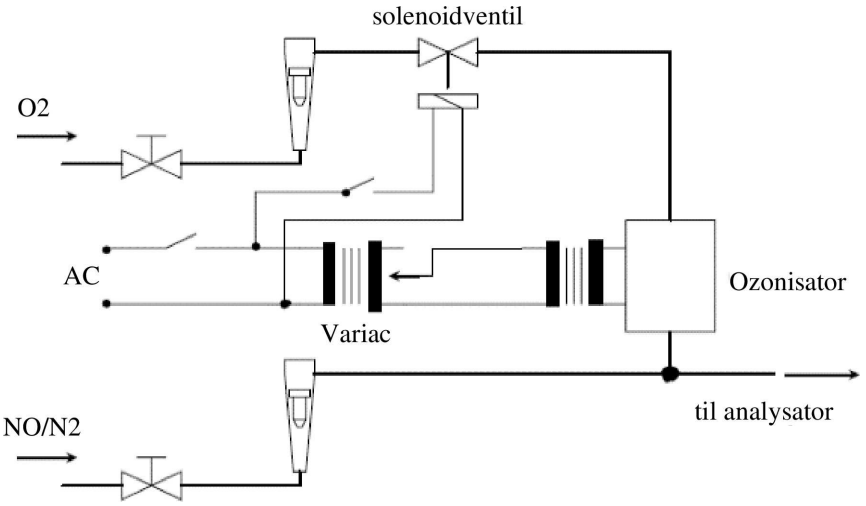
5.5.1.3. Ozonisatoren aktiveres derefter for at producere tilstrækkelig ozon til, at NO-koncentrationen bringes ned på 20 % (mindst 10 %) af den i punkt 5.5.1.1 i dette bilag anførte kalibreringskoncentration. Den angivne koncentration (d) registreres.

5.5.1.4. NOx-analysatoren stilles efterfølgende om på NOx-modus, således at gasblandingen (bestående af NO, NO_2, O_2 og N_2) nu ledes gennem konverteren. Den angivne koncentration (a) registreres.

5.5.1.5. Ozonisatoren sættes nu ud af funktion. Gasblandingen i punkt 5.5.1.2 i dette bilag går gennem konverteren til detektoren. Den angivne koncentration (b) registreres.

Figur A5/15

Prøveopstilling til prøvning af NOx-konverterens virkningsgrad



5.5.1.6. Med ozonisatoren ude af funktion afbrydes strømmen af oxygen eller syntetisk luft. NO_2-aflæsningen på analysatoren må da højst ligge 5 % over det i punkt 5.5.1.1 i dette bilag anførte tal.

5.5.1.7. Den procentuelle virkningsgrad for NOx-konverteren beregnes ved hjælp af koncentrationerne a, b, c og d som fastsat i punkt 5.5.1.2 til og med 5.5.1.5 i dette bilag ved hjælp af følgende ligning:

$$\textbf{Efficiency} = \left(1 + \frac{\mathbf{a-b}}{\mathbf{c-d}}\right) \times \mathbf{100}$$

Konverterens virkningsgrad må ikke være under 95 %. Konverterens virkningsgrad skal afprøves med den frekvens, som er defineret i tabel A5/3.

5.6. Kalibrering af mikrogramvægten

Kalibreringen af mikrogramvægten, der benyttes til vejning af partikelfilter, skal kunne henføres til en national eller international standard. Vægten skal opfylde linearitetskravene i punkt 4.2.2.2 i dette bilag. Linearitetsverifikationen udføres hver 12. måned eller når som helst, der er foretaget systemændringer, der kan have betydning for kalibreringen.

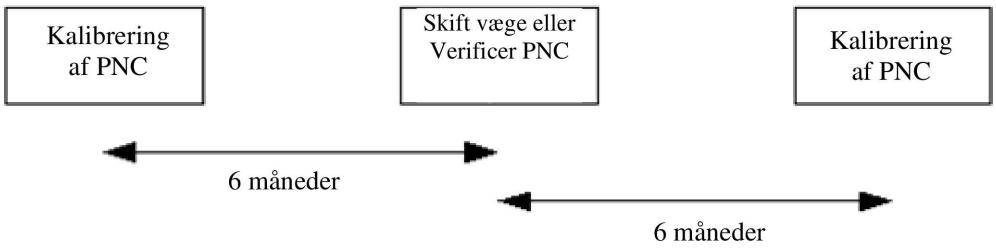
5.7. Kalibrering og validering af partikelprøveudtagningssystemet

5.7.1. Kalibrering af PNC

5.7.1.1. Den kompetente myndighed skal sikre, at der findes et kalibreringscertifikat for PNC, der påviser overensstemmelse med en sporbar standard, udstedt inden for 13 måneder før emissionsprøvningen. Mellem kalibreringer skal enten PNC'ens tællevirkningsgrad overvåges for forringelse, eller PNC'ens væge skal rutinemæssigt udskiftes hver 6. måned, såfremt dette anbefales af instrumentfabrikanten. Se figur A5/16 og A5/17. PNC'ens optællingseffektivitet kan overvåges i forhold til en reference-PNC eller i forhold til mindst to andre måle-PNC'er. Hvis PNC'en rapporterer partikelantalkoncentrationer inden for ± 10 % af det aritmetiske gennemsnit af koncentrationerne for reference-PNC'en eller for en gruppe af to eller flere PNC'er, skal PNC'en herefter betragtes som stabil; ellers er vedligeholdelse af PNC'en påkrævet. Hvis PNC'en kontrolleres mod to eller flere andre måle-PNC'er, er det tilladt at anvende et referencekøretøj, der køres successivt i forskellige testceller med hver deres egen PNC.

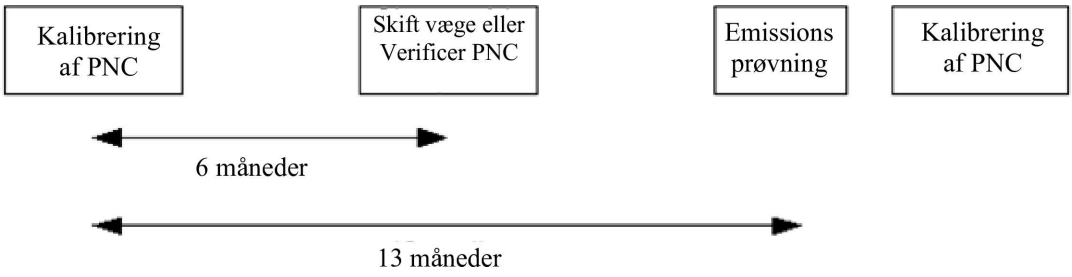
Figur A5/16

Årssekvens for nominel PNC



Figur A5/17

Udvidet årssekvens for PNC (i tilfælde af forsinkelse af en fuldstændig PNC-kalibrering)



5.7.1.2. PNC skal rekalibreres, og der skal udstedes et nyt kalibreringscertifikat, efter enhver form for større vedligeholdelse.

5.7.1.3. Kalibreringen foretages i overensstemmelse med ISO 27891:2015 og skal kunne henføres til en national eller international standard ved at sammenligne PNC'ens respons under kalibrering med responsen i:

a) et kalibreret aerosolelektrometer ved samtidig prøveudtagning af elektrostatisk klassificerede kalibreringspartikler eller

b) Kun for niveau 1B

(SPN23):

en anden fuldstrøms-PNC med en tællevirkningsgrad på over 90 % for partikler med en ækvivalent elektrisk mobilitetsdiameter på 23 nm, som er kalibreret efter den ovenfor beskrevne metode. Den anden PNC-tællevirkningsgrad skal tages i betragtning ved kalibreringen.

Niveau 1A, niveau 1B (valgfri) og niveau 2

(SPN10):

en anden fuldstrøms-PNC med en tællevirkningsgrad på over 90 % for partikler med en ækvivalent elektrisk mobilitetsdiameter på 10 nm, som er kalibreret efter den ovenfor beskrevne metode. Den anden PNC-tællevirkningsgrad skal tages i betragtning ved kalibreringen.

5.7.1.3.1. For så vidt angår kravene i punkt 5.7.1.3 a) og 5.7.1.3 b) skal kalibreringen foretages med anvendelse af mindst seks standardkoncentrationer i PNC'ens måleområde. Disse standardkoncentrationer skal være så jævnt fordelt som muligt mellem standardkoncentrationen på 2 000 partikler pr. cm^3 eller derunder og det PNC'ens maksimale område i modus for tælling af enkeltpartikler.

5.7.1.3.2. Med henblik på kravene i punkt 5.7.1.3. a) og 5.7.1.3. b) i dette bilag skal de valgte punkter omfatte et nominelt nulkoncentrationspunkt frembragt ved tilslutning af HEPA-filtre af mindst klasse H13 i henhold til EN 1822:2019, eller med ækvivalent ydelse, til indgangen af hvert instrument. Gradienten fra en lineær regression (efter de mindste kvadraters metode) af de to datasæt beregnes og registreres. En kalibreringsfaktor lig gradientens reciprokke værdi skal anvendes på PNC'en under kalibreringen. Responsens linearitet beregnes som Pearsons korrelationskoefficient (r) for de to datasæt og skal være lig med eller større end 0,97. Ved beregning af både gradient og r^2 skal den lineære regression tvinges gennem oprindelsespunktet (nulkoncentration på begge instrumenter). Kalibreringsfaktoren skal være mellem 0,9 og 1,1. Hver koncentration, der måles med PNC'en under kalibrering, skal ligge inden for ± 5 % af den målte referencekoncentration ganget med gradienten, dog med undtagelse af nulpunktet.

5.7.1.4. Kun for niveau 1B

(SPN23):

Kalibreringen skal også omfatte en kontrol efter forskrifterne i punkt 4.3.1.3.4 h) i dette bilag af PNC'ens detektionseffektivitet med partikler med en elektrisk mobilitetsdiameter på 23 nm. Kontrol af tællevirkningsgraden med 41 nm-partikler er ikke påkrævet.

Niveau 1A, niveau 1B (valgfri) og niveau 2

(SPN10):

Kalibreringen skal også omfatte en kontrol efter forskrifterne i punkt 4.3.1.3.4 h) i dette bilag af PNC'ens tællevirkningsgrad med partikler med en elektrisk mobilitetsdiameter på 10 nm. Kontrol af tællevirkningsgraden med 15 nm-partikler er ikke påkrævet under periodisk kalibrering.

5.7.2. Kalibrering/validering af VPR

5.7.2.1. Kun for niveau 1B

(SPN23):

Kalibrering af VPR'ens reduktionsfaktorer for partikelkoncentrationer over hele området af fortyndingsindstillinger ved instrumentets faste nominelle driftstemperaturer er påkrævet, når enheden er ny samt efter enhver større vedligeholdelse. Kravene til periodisk validering af VPR'ens reduktionsfaktor for partikelkoncentration er begrænset til en kontrol ved en enkelt indstilling, typisk den, der anvendes til måling af køretøjer med partikelfilter. Den kompetente myndighed skal inden for 6 måneder før emissionsprøvningen sikre, at der findes et kalibreringscertifikat eller et valideringscertifikat for VPR'en. Hvis VPR'en indeholder temperaturovervågningsalarmer, tillades et valideringsinterval på 13 måneder.

Det anbefales, at VPR'en kalibreres og valideres som en komplet enhed.

VPR'en skal karakteriseres for reduktionsfaktor for partikelkoncentration med faste partikler med en elektrisk mobilitetsdiameter på 30 nm, 50 nm og 100 nm. Reduktionsfaktorer for partikelkoncentrationen $\mathbf{f_r}(\mathbf{d})$ for partikler med en elektrisk mobilitetsdiameter på 30 nm og 50 nm må højst være henholdsvis 30 og 20 % højere, og højst 5 % lavere, end reduktionsfaktoren for partikler med elektrisk mobilitetsdiameter på 100 nm. Med hensyn til validering skal den aritmetiske gennemsnitlige reduktionsfaktor for partikelkoncentrationen, beregnet for partikler med en elektrisk mobilitetsdiameter på 30 nm, 50 nm og 100 nm, ligge inden for ± 10 % af den aritmetiske gennemsnitlige reduktionsfaktor for partikelkoncentration $\overline{\mathbf{f_r}}$ bestemt under den seneste komplette kalibrering af VPR'en.

Niveau 1A, niveau 1B (valgfri) og niveau 2

(SPN10):

Kalibrering af VPR'ens reduktionsfaktorer for partikelkoncentrationer over hele området af fortyndingsindstillinger ved instrumentets faste nominelle driftstemperaturer er påkrævet, når enheden er ny samt efter enhver større vedligeholdelse. Kravene til periodisk validering af VPR'ens reduktionsfaktor for partikelkoncentration er begrænset til en kontrol ved en enkelt indstilling, typisk den, der anvendes til måling af køretøjer med partikelfilter. Den kompetente myndighed skal inden for 6 måneder før emissionsprøvningen sikre, at der findes et kalibreringscertifikat eller et valideringscertifikat for VPR'en. Hvis VPR'en indeholder temperaturovervågningsalarmer, tillades et valideringsinterval på 13 måneder.

Det anbefales, at VPR'en kalibreres og valideres som en komplet enhed.

VPR'en skal karakteriseres for reduktionsfaktor for partikelkoncentration med faste partikler med en elektrisk mobilitetsdiameter på 15 nm, 30 nm, 50 nm og 100 nm. Reduktionsfaktorer for partikelkoncentrationen $\mathbf{f_r(d)}$ for partikler med en elektrisk mobilitetsdiameter på 15 nm, 30 nm og 50 nm må højst være henholdsvis 100, 30 og 20 % højere, og højst 5 % lavere, end reduktionsfaktoren for partikler med elektrisk mobilitetsdiameter på 100 nm. Med hensyn til validering skal den aritmetiske gennemsnitlige reduktionsfaktor for partikelkoncentrationen, beregnet for partikler med en elektrisk mobilitetsdiameter på 30 nm, 50 nm og 100 nm, ligge inden for ± 10 % af den aritmetiske gennemsnitlige reduktionsfaktor for partikelkoncentration $\overline{\mathbf{f_r}}$ bestemt under den seneste komplette kalibrering af VPR'en.

5.7.2.2. Kun for niveau 1B

(SPN23):

Prøveaerosolen for disse målinger skal være faste partikler med en elektrisk mobilitetsdiameter på 30, 50 og 100 nm og en mindste koncentration på 5 000 partikler pr. cm³ ved indgangen til VPR. Der kan også vælges en polydispers aerosol med elektrisk mobilitetmediandiameter på 50 nm til validering. Prøveaerosolen skal være termisk stabil ved VPR-driftstemperaturer. Partikelantalkoncentrationer skal måles opstrøms og nedstrøms for komponenterne.

Reduktionsfaktoren for partikelkoncentration ved hver monodispers partikelstørrelse, $\mathbf{f_r(d_i)}$, beregnes ved hjælp af følgende ligning:

$$\mathbf{f_r(d_i)} = \frac{\mathbf{N_{in}(d_i)}}{\mathbf{N_{out}(d_i)}}$$

hvor:

$\mathbf{N_{in}(d_i)}$ er partikelantalkoncentration opstrøms for partikler med diameteren $\mathbf{d_i}$

$\mathbf{N_{out}(d_i)}$ er partikelantalkoncentration nedstrøms for partikler med diameteren $\mathbf{d_i}$

$\mathbf{d_i}$ er partiklernes elektriske mobilitetsdiameter (30, 50 eller 100 nm).

$\mathbf{N_{in}(d_i)}$ og $\mathbf{N_{out}(d_i)}$ skal korrigeres til samme betingelser.

Den aritmetiske gennemsnitlige reduktionsfaktor for partikelkoncentration $\overline{\mathbf{f_r}}$ ved hver partikelstørrelse beregnes ved hjælp af følgende ligning:

$$\overline{\mathbf{f_r}} = \frac{\mathbf{f_r(30nm)} + \mathbf{f_r(50nm)} + \mathbf{f_r(100nm)}}{\mathbf{3}}$$

Hvis en polydispers 50 nm aerosol anvendes til validering, skal den aritmetiske gennemsnitlige reduktionsfaktor for partikelkoncentration $\overline{f_v}$ ved den fortyndingsindstilling, der anvendes til validering beregnes ved hjælp af følgende ligning:

$$\overline{f_v} = \frac{N_{in}}{N_{out}}$$

hvor:

N_{in} er opstrøms partikelantalkoncentration

N_{out} er nedstrøms partikelantalkoncentration.

Niveau 1A, niveau 1B (valgfri) og niveau 2

(SPN10):

Prøveaerosolen for disse målinger skal være faste partikler med en elektrisk mobilitetsdiameter på 30, 50 og 100 nm med en minimumskoncentration på 5 000 partikler pr. cm^3 og en minimumskoncentration på 3 000 partikler pr. cm^3 ved en elektrisk mobilitetsdiameter på 15 nm ved VPR-indgangen. Prøveaerosolen skal være termisk stabil ved VPR-driftstemperaturer. Partikelantalkoncentrationer skal måles opstrøms og nedstrøms for komponenterne.

Reduktionsfaktoren for partikelkoncentration ved hver monodispers partikelstørrelse, $f_r(d_i)$, beregnes ved hjælp af følgende ligning:

$$f_r(d_i) = \frac{N_{in}(d_i)}{N_{out}(d_i)}$$

hvor:

$N_{in}(d_i)$ er partikelantalkoncentration opstrøms for partikler med diameteren d_i

$N_{out}(d_i)$ er partikelantalkoncentration nedstrøms for partikler med diameteren d_i

d_i er partiklernes elektriske mobilitetsdiameter (30, 50 eller 100 nm).

$N_{in}(d_i)$ og $N_{out}(d_i)$ skal korrigeres til samme betingelser.

Den aritmetiske gennemsnitlige reduktionsfaktor for partikelkoncentration $\overline{f_r}$ ved hver partikelstørrelse beregnes ved hjælp af følgende ligning:

$$\overline{f_r} = \frac{f_r(30nm) + f_r(50nm) + f_r(100nm)}{3}$$

5.7.2.3. Kun for niveau 1B

(SPN23):

VPR skal påvises at kunne fjerne mere end 99,0 % tetracontan-partikler($CH_3(CH_2)_{38}CH_3$) med en elektrisk mobilitetsdiameter på mindst 30 nm ved en indgangskoncentration på ≥ 10 000 cm^3, når den kører ved mindste fortyndingsindstilling og den driftstemperatur, der er anbefalet af fabrikanten.

Niveau 1A, niveau 1B (valgfri) og niveau 2

(SPN10):

VPR'en skal dokumentere en effektivitet over 99,9 procent for fjernelse af tetracontan-partikler ($CH_3(CH_2)_{38}CH_3$) med en middeltællediameter på > 50 nm og en masse på > 1 mg/m^3.

5.7.2.4. Instrumentfabrikanten skal tilbyde vedligeholdelses- eller udskiftningsintervaller, som sikrer, at VPR'ens fjernelseseffektivitet ikke falder til under de tekniske krav. Hvis sådanne oplysninger ikke foreligger, skal fjernelseseffektiviteten for flygtige partikler kontrolleres årligt for hvert instrument.

5.7.2.5. Instrumentfabrikanten skal demonstrere den faste partikelpenetration $\mathbf{P_r}(\mathbf{d_i})$ ved at prøve en enhed for hver PN-systemmodel. En PN-systemmodel omfatter her alle PN-systemer med samme hardware, dvs. samme geometri, ledningsmaterialer, strømme og temperaturprofiler i aerosolvejen. $\mathbf{P_r}(\mathbf{d_i})$ ved partikelstørrelsen $\mathbf{d_i}$ beregnes ved hjælp af ligningen i punkt 4.3.1.3.3.1.

5.7.3. Procedurer til kontrol af partikelmålingssystem

På månedsbasis skal strømmen ind i PNC have en målt værdi inden for 5 % af PNC's nominelle strømningshastighed, når der foretages kontrol med et kalibreret flowmeter. Her henviser udtrykket "nominel strømningshastighed" til den strømningshastighed, der er angivet ved instrumentfabrikantens sidste PNC-kalibrering.

5.8. Blandingssystemets nøjagtighed

Hvis et gasdeleapparat anvendes til at udføre kalibreringer som defineret i punkt 5.2 i dette bilag, skal blandingssystemets nøjagtighed være således, at koncentrationerne af de fortyndede kalibreringsgasser kan bestemmes med en nøjagtighed på ± 2 procent. En kalibreringskurve, skal verificeres ved en mid-span-kontrol som beskrevet i punkt 5.3 i dette bilag. En kalibreringsgas med en koncentration på under 50 procent af analysatorens område skal være under 2 procent af den certificerede koncentration.

6. Referencegasser

Kun for niveau 1B:

Hvis gasser inden for følgende tolerance af den anførte værdi ikke er tilgængelige i Japans Calibration Service System (JCSS), kan der anvendes en gas med en større, men med den strammeste tolerancemargen, der findes i JCSS.

6.1. Rene gasser

6.1.1. Alle værdier i ppm er gennemsnitsvolumen-ppm (vpm), der anses for at være lig med mol-ppm.

6.1.2. Følgende rene gasser skal om nødvendigt stå til rådighed for kalibrering og brug:

6.1.2.1. Nitrogen:

Renhed: ≤1 ppm C_1, ≤1 ppm CO, ≤400 ppm CO_2, ≤0,1 ppm NO, ≤0,1 ppm N_2O, ≤0,1 ppm NH_3.

6.1.2.2. Syntetisk luft:

Renhed: ≤1 ppm C_1, ≤1 ppm CO, ≤400 ppm CO_2, ≤0,1 ppm NO, ≤0,1 ppm NO_2; oxygenindhold mellem 18 og 21 % vol.

6.1.2.3. Oxygen:

Renhed: > 99,5 % vol. O_2

6.1.2.4. Hydrogen (og blanding indeholdende helium eller nitrogen):

Renhed: ≤1 ppm C_1, ≤400 ppm CO_2; hydrogenindhold mellem 39 og 41 % vol.

6.1.2.5. Carbonmonoxid:

Renhed: minimum 99,5 %

6.1.2.6. Propan:

Renhed: minimum 99,5 %

6.2. Kalibreringsgasser

Den faktiske koncentration af en kalibreringsgas må ikke afvige mere end ±1 % af den nominelle værdi og skal kunne henføres til nationale og internationale standarder.

Gasblandinger med nedenstående sammensætning skal være til rådighed med bulkgassens specifikationer i henhold til punkt 6.1.2.1 eller 6.1.2.2 i dette bilag:

a) C_3H_8 i syntetisk luft (se punkt 6.1.2.2 i dette bilag)

b) CO i nitrogen

c) CO_2 i nitrogen

d) CH_4 i syntetisk luft

e) NO i nitrogen (NO_2-indholdet i denne kalibreringsgas må ikke overstige 5 % af NO-indholdet).

BILAG B6F

Type 1-prøvningsprocedure og prøvningsbetingelser

1. Beskrivelse af prøvninger

1.1. Type 1-prøvning anvendes til at kontrollere emissionerne af gasformige forbindelser, partikelmasse, partikelantal, CO_2-emissioner, brændstofforbrug, elektrisk energiforbrug samt elektrisk rækkevidde inden for den gældende WLTP-prøvningscyklus samt OBFCM-anordningens nøjagtighed (hvis relevant).

1.1.1. Prøvningen skal udføres i henhold til metoden i punkt 2 i dette bilag eller punkt 3 i bilag 8 for rent elektriske køretøjer, hybride elkøretøjer og hybride brændselscellekøretøjer til komprimeret hydrogen. Udstødningsgasser, partikelmasse og partikelantal, udtages og analyseres efter de foreskrevne metoder.

1.1.2. Hvis der anvendes LPG eller NG/biomethan som referencebrændstof, finder følgende bestemmelser desuden anvendelse.

1.1.2.1. Godkendelse af et stamkøretøj hvad angår udstødningsemissionerne

1.1.2.1.1. Stamkøretøjet skal påvises at være i stand til selv at tilpasse sig til enhver brændstofsammensætning, som kan forekomme på markedet. For LPG forekommer variationer i C3/C4-sammensætningen. For NG/biomethan er der sædvanligvis to typer brændstof med henholdsvis høj brændværdi (H-gas) og lav brændværdi (L-gas), men med betydelig spredning inden for begge områder; deres Wobbe-indeks er meget forskellige. Disse variationer afspejler sig i referencebrændstofferne.

1.1.2.1.2. For køretøjer, der kører på LPG, NG/biomethan, underkastes stamkøretøjet/-køretøjerne en type 1-prøvning med de to ekstreme referencebrændstoffer, der er fastsat i bilag B3. For så vidt angår NG/biomethan gælder, at hvis omskift mellem de to brændstoffer i praksis er lettet ved brug af en kontakt, må denne kontakt ikke anvendes i forbindelse med typegodkendelsen. I sådanne tilfælde kan den i punkt 2.6 i dette bilag omhandlede prækonditioneringscyklus udvides på fabrikantens anmodning og med den godkendende myndigheds godkendelse.

1.1.2.1.3. Køretøjet anses for overensstemmende, hvis der i de prøvninger og med de referencebrændstoffer, som er nævnt i punkt 1.1.2.1.2 i dette bilag, overholder emissionsgrænseværdierne.

1.1.2.1.4. For køretøjer, der kører på LPG eller NG/biomethan, bestemmes emissionsforholdet "r" for hvert forurenende stof på følgende måde:

Brændstoftype(r)	Referencebrændstoffer	Bestemmelse af "r"
LPG og benzin eller kun LPG	Brændstof A	$\mathbf{r = \frac{B}{A}}$
	Brændstof B	
NG/biomethan og benzin eller kun NG/biomethan	Brændstof G_{20}	$\mathbf{r = \frac{G_{25}}{G_{20}}}$
	Brændstof G_{25}	

1.1.2.2. Godkendelse af et medlem af familien hvad angår udstødningsemissionerne:

For typegodkendelse af gasdrevet mono-brændstofkøretøj og gasdrevet bi-brændstofkøretøjer, der er sat til at fungere på gas, og som kører på LPG eller NG/biomethan, som medlem af familien, gennemføres en type 1-prøvning med et gasreferencebrændstof. Ethvert af de to gasreferencebrændstoffer kan anvendes. Køretøjet anses for overensstemmende, når følgende krav er opfyldt:

1.1.2.2.1. Køretøjet er i overensstemmelse med definitionen af et familiemedlem i punkt 6.3.6.3 i dette regulativ.

1.1.2.2.2. Hvis prøvningsbrændstoffet er referencebrændstof A for LPG eller G20 for NG/biomethan, multipliceres emissionsresultatet med den relevante faktor "r", som er beregnet i punkt 1.1.2.1.4 i dette bilag, hvis r > 1; hvis r < 1, skal der ikke foretages korrektion.

1.1.2.2.3. Hvis prøvningsbrændstoffet er referencebrændstof B for LPG eller G25 for NG/biomethan, divideres emissionsresultatet med den relevante faktor "r", som er beregnet i punkt 1.1.2.1.4 i dette bilag, hvis r < 1; hvis r > 1, skal der ikke foretages korrektion.

1.1.2.2.4. På fabrikantens anmodning kan type 1-prøvningen foretages på begge referencebrændstoffer, således at der ikke skal foretages korrektion.

1.1.2.2.5. Køretøjet skal opfylde de emissionsgrænseværdier, som gælder for den pågældende kategori af både målte og beregnede emissioner.

1.1.2.2.6. Hvis der foretages gentagne prøvninger af samme motor, findes gennemsnittet for resultaterne for referencebrændstof G_{20}, eller A, og for referencebrændstof G_{25}, eller B, først; derefter beregnes faktoren "r" på grundlag af disse gennemsnitsresultater.

1.2. Antallet af prøvninger fastlægges i henhold til flowdiagrammet i figur A6/1. Grænseværdien er den maksimalt tilladte værdi for emissionen efter de respektive kriterieemissioner som angivet i tabel 1 i dette regulativ.

1.2.1. Flowdiagrammet i figur A6/1 anvendes kun for hele den gældende WLTP-prøvningscyklus og ikke for de individuelle faser.

1.2.2. Prøvningsresultaterne er værdierne efter de relevante justeringer angivet i efterbehandlingstabellerne i bilag B7 og bilag B8.

1.2.3. Bestemmelse af de samlede cyklusværdier

1.2.3.1. Hvis der under en af prøvningerne overskrides en grænseværdi for kriterieemissioner, afvises køretøjet.

1.2.3.2. Afhængigt af køretøjets type skal fabrikanten opgive de relevante samlede cyklusværdier af CO_2-emission, elektrisk energiforbrug, brændstofforbrug og brændstofeffektivitet samt PER, EAER, AER og P_{LL} i henhold til tabel A6/1.

For PEV'er skal fabrikanten oplyse forholdet for rent elektrisk rækkevidde ved lav temperatur $\mathbf{K_{PER,WLTC,LT,dec}}$ som defineret i outputtet fra trin 4 i tabel A10/1 i bilag B10 til dette regulativ.

1.2.3.3. Den opgivne værdi for ækvivalent fuldt elektrisk rækkevidde for OVC-HEV'er og OVC-FCHV'er bestemmes ikke i henhold til figur A6/1. Den opgivne værdi betragtes som typegodkendelsesværdien, hvis den er mindre end den beregnede EAER-værdi i henhold til punkt 4.4.4.1. Hvis dette ikke er tilfældet, skal den beregnede EAER-værdi opfattes som typegodkendelsesværdien.

For niveau 1A og niveau 2 (fase 4 WLTP-prøvning):

Den opgivne værdi for det elektriske energiforbrug for OVC-HEV'er og OVC-FCHV'er under ladningsforbrugende driftstilstand bestemmes ikke i henhold til figur A6/1. Den skal opfattes som typegodkendelsesværdi, hvis den opgivne CO_2-værdi accepteres som godkendelsesværdi. Hvis dette ikke er tilfældet, skal den målte værdi for elektrisk energiforbrug opfattes som typegodkendelsesværdien. Dokumentation for sammenhæng mellem oplyst CO_2-emission og elektrisk energiforbrug forelægges for den kompetente myndighed på forhånd som relevant.

For niveau 1B og niveau 2 (fase 3 WLTP-prøvning):

Den opgivne værdi for brændstofeffektiviteten for OVC-HEV'er og OVC-FCHV'er under ladningsforbrugende driftstilstand bestemmes ikke i henhold til figur A6/1. Den skal opfattes som typegodkendelsesværdi, hvis den opgivne værdi for elektrisk energiforbrug accepteres som godkendelsesværdi. Hvis dette ikke er tilfældet, skal den målte værdi for brændstofeffektiviteten opfattes som typegodkendelsesværdien. Dokumentation for sammenhæng mellem oplyst brændstofeffektivitet og elektrisk energiforbrug forelægges for den kompetente myndighed på forhånd som relevant.

1.2.3.4. Hvis efter den første prøvning alle kriterier i række 1 i den gældende tabel A6/2 er opfyldt, accepteres alle de af fabrikanten opgivne værdier som typegodkendelsesværdier. Hvis et af kriterierne i række 1 i den gældende tabel A6/2 ikke er opfyldt, skal der udføres endnu en prøvning med det samme køretøj.

1.2.3.5. Efter den anden prøvning skal de aritmetiske gennemsnitsresultater af de to prøvninger beregnes. Hvis alle kriterier i række 2 i den gældende tabel A6/2 er opfyldt ved disse aritmetiske gennemsnitsresultater, accepteres alle de af fabrikanten opgivne værdier som typegodkendelsesværdier. Hvis et af kriterierne i række 2 i den gældende tabel A6/2 ikke er opfyldt, skal der udføres en tredje prøvning med det samme køretøj.

1.2.3.6. Efter den tredje prøvning skal de aritmetiske gennemsnitsresultater af de tre prøvninger beregnes. For alle parametre, der opfylder det pågældende kriterium i række 3 i den gældende tabel A6/2, skal den opgivne værdi opfattes som typegodkendelsesværdien. For alle parametre, der ikke opfylder det pågældende kriterium i række 3 i den gældende tabel A6/2, skal det aritmetiske gennemsnitsresultat opfattes som typegodkendelsesværdien.

1.2.3.7. Hvis et af kriterierne i den gældende tabel A6/2 ikke er opfyldt efter den første eller anden prøvning, kan værdierne på fabrikantens anmodning og efter godkendelse fra den kompetente myndighed opgives på ny som højere værdier for emissioner eller forbrug eller som lavere værdier for elektrisk rækkevidde og oplyst forhold for rent elektrisk rækkevidde ved lav temperatur $K_{PER,WLTC,LT,dec}$ med henblik på at reducere det krævede antal prøvninger til typegodkendelse.

1.2.3.8. Bestemmelse af godkendelsesværdierne

1.2.3.8.1. Kun niveau 1A og niveau 2 (fase 4 WLTP-prøvning):

Foruden kravet i punkt 1.2.3.8.2 anvendes følgende godkendelsesværdier for $dCO2_1$, $dCO2_2$ og $dCO2_3$ i forbindelse med kriterierne for antallet af prøvninger i tabel A6/2:

$dCO2_1 = 0{,}990$

$dCO2_2 = 0{,}995$

$dCO2_3 = 1{,}000$

1.2.3.8.2. Kun niveau 1A og niveau 2 (fase 4 WLTP-prøvning):

Hvis den ladningsforbrugende type 1-prøvning for OVC-HEV'er består af to eller flere gældende WLTP-prøvningscyklusser, og dCO2x-værdien er mindre end 1,0, erstattes dCO2x-værdien med 1,0.

1.2.3.9. Hvis et prøvningsresultat eller et gennemsnit af prøvningsresultater er opnået og bekræftet som typegodkendelsesværdien, refereres der i forbindelse med yderligere beregninger til resultatet som "den opgivne værdi".

Tabel A6/1

Gældende regler for en fabrikants opgivne værdier (værdier for samlet cyklus) [a] (hvis relevant)

Drivlinje		Niveau 1A og niveau 2 (fase 4 WLTP-prøvning) M_{CO2} [b] (g/km)	Niveau 1A og niveau 2 (fase 4 WLTP-prøvning): FC (kg/100 km)	Niveau 1B og niveau 2 (fase 3 WLTP-prøvning) FE (km/l eller km/kg)	Elektrisk energiforbrug [c] Wh/km	Fuldt elektrisk rækkevidde/ Ækvivalent fuldt elektrisk rækkevidde/ Rent elektrisk rækkevidde [c] (km)	Niveau 1B og niveau 2 (fase 3 WLTP-prøvning) Nedre trykgrænse (MPa)	Oplyst forhold for rent elektrisk rækkevidde ved lav temperatur
Køretøjer, der prøves efter bilag B6 (rene ICE-køretøjer)		M_{CO2} Punkt 3 i bilag B7.	-	FE Punkt 1.4 i bilag B7.	-	-	-	
NOVC-FCHV		-	FC_{CS} Punkt 4.2.1.2.1 i bilag B8.	FE_{CS} Punkt 4.2.1.2.1 i bilag B8.	-	-	P_{LL} Se punkt 4.8.1 i bilag B8	
OVC-FCHV	CD	-	$FC_{,CD}$ Se punkt 4.6.3 i bilag B8	FE_{CD} Se punkt 4.6.3 i bilag B8	For niveau 1A: $EC_{AC,CD}$ Se punkt 4.3.1 i bilag B8.	AER Punkt 4.4.1.1 i bilag B8.	-	
	CS	-	FC_{CS} Punkt 4.2.1.2 i bilag B8.	FE_{CS} Punkt 4.2.1.2 i bilag B8.	-	-	P_{LL} Punkt 4.8.1 i bilag B8	
	CD/CS-vægtet	-	-	-	For niveau 1B EC Se punkt 4.6.3 i bilag B8	EAER Se punkt 4.4.6.1 i bilag B8	-	
NOVC-HEV		$M_{CO2,CS}$ Se punkt 4.1.1 i bilag B8.	-	FE_{CS} Punkt 4.1.1.1 i bilag B8.	-	-	-	

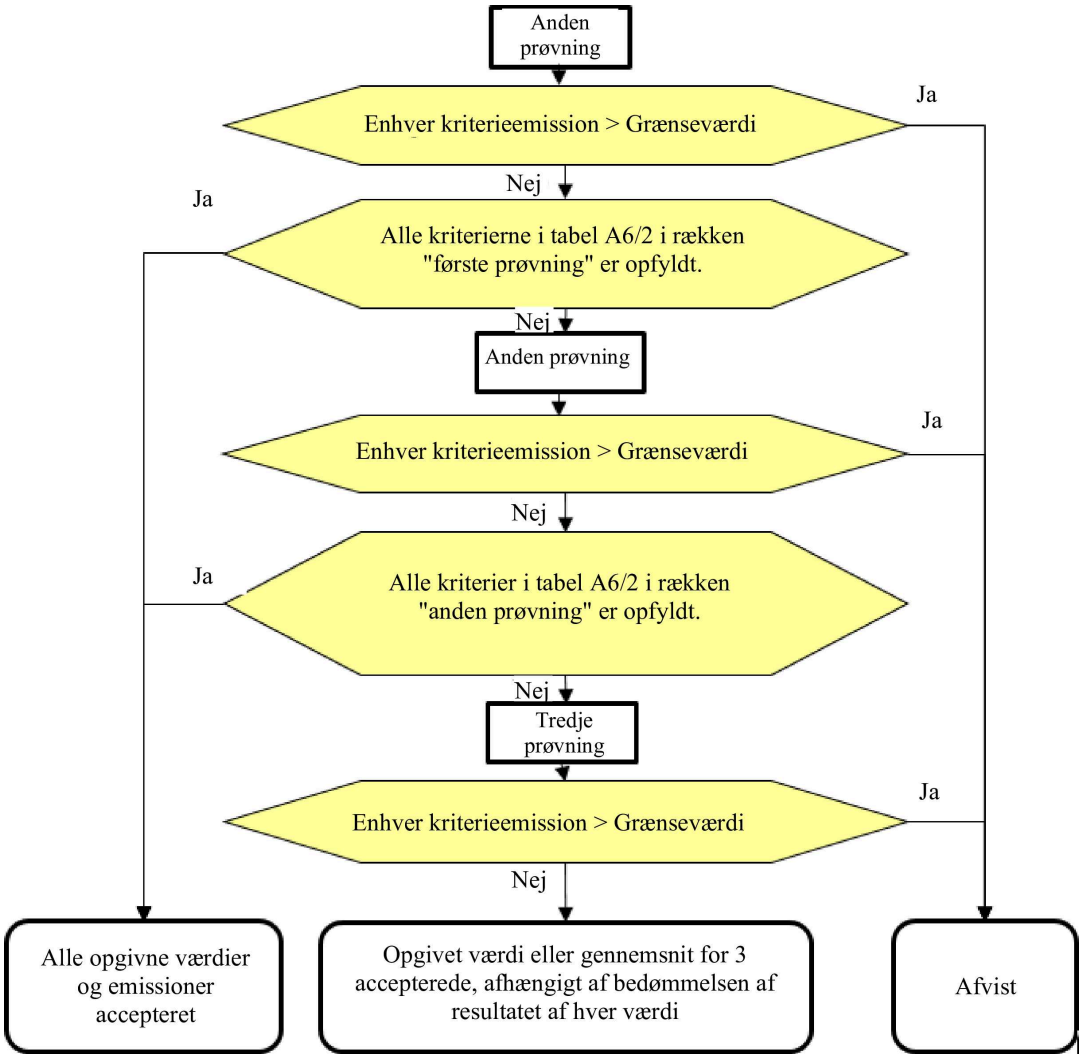
ELI: http://data.europa.eu/eli/reg/2026/1130/oj

Drivlinje		Niveau 1A og niveau 2 (fase 4 WLTP-prøvning) M_{CO2} [b] (g/km)	Niveau 1A og niveau 2 (fase 4 WLTP-prøvning): FC (kg/100 km)	Niveau 1B og niveau 2 (fase 3 WLTP-prøvning) FE (km/l eller km/kg)	Elektrisk energiforbrug [c] Wh/km	Fuldt elektrisk rækkevidde/ Ækvivalent fuldt elektrisk rækkevidde/ Rent elektrisk rækkevidde [c] (km)	Niveau 1B og niveau 2 (fase 3 WLTP-prøvning) Nedre trykgrænse (MPa)	Oplyst forhold for rent elektrisk rækkevidde ved lav temperatur
OVC-HEV	CD	$M_{CO2,CD}$ Se punkt 4.1.2 i bilag B8.	-	FE_{CD} Se punkt 4.6.1 i bilag B8.	For niveau 1A og niveau 2 (fase 4 WLTP-prøvning): $EC_{AC,CD}$ Se punkt 4.3.1 i bilag B8.	For niveau 1A og niveau 2 (fase 4 WLTP-prøvning): AER Punkt 4.4.1.1 i bilag B8.	-	
	CS	$M_{CO2,CS}$ Se punkt 4.1.1 i bilag B8.	-	FE_{CS} Punkt 4.1.1.1 i bilag B8.	-	-	-	
	CD/CS	-	-	-	For niveau 1B og niveau 2 (fase 3 WLTP-prøvning): EC Punkt 4.6.2 i bilag B8	EAER [d] Se punkt 4.4.4.1 i Bilag B8	-	
PEV		-	-	-	EC_{WLTC} [d] Punkt 4.3.4.2 i bilag B8.	PER_{WLTC} [d] Se punkt 4.4.2 i bilag B8.	-	$K_{PER,WLTC,LT,dec}$ Punkt 6.1.3 i bilag B10

[a] Den opgivne værdi er den værdi, som de korrektioner, der måtte være nødvendige, anvendes på.
[b] Afrunding til 2 decimaler i overensstemmelse med punkt 6.1.8 i dette regulativ.
[c] Afrunding til én decimal i overensstemmelse med punkt 6.1.8 i dette regulativ.
[d] Den oplyste værdi skal angives for niveau 1A eller niveau 1B (alt efter hvad der er relevant)

Figur A6/1

Rutediagram for antallet af type 1-prøvninger Tredje prøvning



Tabel A6/2

Kriterier for antallet af prøvninger

For så vidt angår rene ICE-køretøjer, ladningsbevarende type 1-prøvning af NOVC-HEV'er og OVC-HEV'er

	Prøvning	Bedømmelsesparameter	Kriterieemissioner	For niveau 1A og niveau 2 (fase 4 WLTP-prøvning): M_{CO2}	For niveau 1B og niveau 2 (fase 3 WLTP-prøvning): *FE*
Række 1	Anden prøvning	Første prøvningsresultater	≤ Reguleringsgrænse × 0,9	≤ Opgivet værdi × $dCO2_1$ [b]	≥ Opgivet værdi × 1,0
Række 2	Anden prøvning	Aritmetisk gennemsnit af det første og det andet prøvningsresultat	≤ Reguleringsgrænse × 1,0 [a]	≤ Opgivet værdi × $dCO2_2$ [b]	≥ Opgivet værdi × 1,0

	Prøvning	Bedømmelsesparameter	Kriterieemissioner	For niveau 1A og niveau 2 (fase 4 WLTP-prøvning): M_{CO2}	For niveau 1B og niveau 2 (fase 3 WLTP-prøvning): *FE*
Række 3	Tredje prøvning	Det aritmetiske gennemsnit af tre prøvningsresultater	≤ Reguleringsgrænse × 1,0 [a]	≤ Opgivet værdi × $dCO2_3$ [b]	≥ Opgivet værdi × 1,0

[a] Hvert prøvningsresultat skal overholde reguleringsgrænsen.
[b] $dCO2_1$, $dCO2_2$ og $dCO2_3$ bestemmes i henhold til punkt 1.2.3.8 i dette bilag.

Ved ladningsforbrugende type 1-prøvning af OVC-HEV'er.

	Prøvning	Bedømmelsesparameter	Kriterieemissioner	For niveau 1A og niveau 2 (fase 4 WLTP-prøvning): $M_{CO2,CD}$	For niveau 1B og niveau 2 (fase 3 WLTP-prøvning): EC	For niveau 1A og niveau 2 (fase 4 WLTP-prøvning): *AER*
Række 1	Anden prøvning	Første prøvningsresultater	≤ Reguleringsgrænse × 0,9 [a]	≤ Opgivet værdi × $dCO2_1$ [c]	≤ Opgivet værdi × 1,0	≥ Opgivet værdi × 1,0
Række 2	Anden prøvning	Aritmetisk gennemsnit af det første og det andet prøvningsresultat	≤ Reguleringsgrænse × 1,0 [b]	≤ Opgivet værdi × $dCO2_2$ [c]	≤ Opgivet værdi × 1,0	≥ Opgivet værdi × 1,0
Række 3	Tredje prøvning	Det aritmetiske gennemsnit af tre prøvningsresultater	≤ Reguleringsgrænse × 1,0 [b]	≤ Opgivet værdi × $dCO2_3$ [c]	≤ Opgivet værdi × 1,0	≥ Opgivet værdi × 1,0

[a] "0,9" ændres kun til "1,0" ved ladningsforbrugende type 1-prøvning af OVC-HEV'er, hvis den ladningsforbrugende prøvning omfatter to eller flere gældende WLTC-cyklusser.
[b] Hvert prøvningsresultat skal overholde reguleringsgrænsen.
[c] $dCO2_1$, $dCO2_2$ og $dCO2_3$ bestemmes i henhold til punkt 1.2.3.8 i dette bilag.

For PEV'er

	Prøvning	Bedømmelsesparameter	Elektrisk energiforbrug	PER
Række 1	Anden prøvning	Første prøvningsresultater	≤ Opgivet værdi × 1,0	≥ Opgivet værdi × 1,0
Række 2	Anden prøvning	Aritmetisk gennemsnit af det første og det andet prøvningsresultat	≤ Opgivet værdi × 1,0	≥ Opgivet værdi × 1,0
Række 3	Tredje prøvning	Det aritmetiske gennemsnit af tre prøvningsresultater	≤ Opgivet værdi × 1,0	≥ Opgivet værdi × 1,0

For PEV'er, oplyst rent elektrisk rækkevidde ved lav temperatur

	Pøvning ved -7 °C	Bedømmelsesparameter	$K_{PER,WLTC,LT}$
Række 1	Anden prøvning	Første prøvningsresultat	≥ Opgivet værdi / 1,04
Række 2	Anden prøvning	Aritmetisk gennemsnit af det første og det andet prøvningsresultat	≥ Opgivet værdi / 1,04
Række 3	Tredje prøvning	Det aritmetiske gennemsnit af tre prøvningsresultater	≥ Opgivet værdi / 1,04

Ved ladningsforbrugende type 1-prøvning af OVC-FCHV'er.

	Prøvning	Bedømmelses-parameter	For niveau 1A og niveau 2 (fase 4 WLTP-prøvning): FC, CD	For niveau 1A og niveau 2 (fase 4 WLTP-prøvning): $EC_{AC,CD}$	For niveau 1B og niveau 2 (fase 3 WLTP-prøvning):EC	For niveau 1A og niveau 2 (fase 4 WLTP-prøvning): AER
Række 1	Anden prøvning	Første prøvningsre-sultater	≤ Opgivet værdi × 1,0	≤ Opgivet værdi × 1,0	≤ Opgivet værdi × 1,0	≥ Opgivet værdi × 1,0
Række 2	Anden prøvning	Aritmetisk gennemsnit af det første og det andet prøvningsre-sultat	≤ Opgivet værdi × x 1,0	≤ Opgivet værdi × 1,0	≤ Opgivet værdi × 1,0	≥ Opgivet værdi × 1,0
Række 3	Tredje prøvning	Det aritmetiske gennemsnit af tre prøvningsre-sultater	≤ Opgivet værdi × 1,0	≤ Opgivet værdi × 1,0	≤ Opgivet værdi × 1,0	≥ Opgivet værdi × 1,0

For NOVC-FCHV'er og OVC-FCHV'er i CS-tilstand (hvis relevant)

	Prøvning	Bedømmelsespa-rameter	For niveau 1A og niveau 2 (fase 4 WLTP-prøvning): FC_{CS}	For niveau 1B og niveau 2 (fase 3 WLTP-prøvning): FE_{CS}	For niveau 1B og niveau 2 (fase 3 WLTP-prøvning): P_{LL}
Række 1	Anden prøvning	Første prøvningsre-sultater	≤ Opgivet værdi × 1,0	≥ Opgivet værdi × 1,0	≤ Opgivet værdi × 1,0
Række 2	Anden prøvning	Aritmetisk gennemsnit af det første og det andet prøvningsre-sultat	≤ Opgivet værdi × 1,0	≥ Opgivet værdi × 1,0	≤ Opgivet værdi × 1,0
Række 3	Tredje prøvning	Det aritmetiske gennemsnit af tre prøvningsre-sultater	≤ Opgivet værdi × 1,0	≥ Opgivet værdi × 1,0	≤ Opgivet værdi × 1,0

1.2.4. Bestemmelse af fasespecifikke værdier

1.2.4.1. Fasespecifik værdi for CO_2

1.2.4.1.1. Efter at den opgivne værdi (samlet cyklus) for CO_2-emission er accepteret, multipliceres det aritmetiske gennemsnit af de fasespecifikke værdier af prøvningsresultaterne i g/km med justeringsfaktoren CO2_AF for at kompensere for forskellen mellem den opgivne værdi og prøvningsresultaterne. Denne korrigerede værdi er typegodkendelsesværdien for CO^2.

$$\mathbf{CO2_AF} = \frac{\mathbf{Declaredvalue}}{\mathbf{Phasecombinedvalue}}$$

hvor:

$$\mathbf{Phasecombinedvalue} = \frac{(\mathbf{CO2_{ave_L}} \times \mathbf{D_L}) + (\mathbf{CO2_{ave_M}} \times \mathbf{D_M}) + (\mathbf{CO2_{ave_H}} \times \mathbf{D_H}) + (\mathbf{CO2_{ave_{exH}}} \times \mathbf{D_{exH}})}{\mathbf{D_L} + \mathbf{D_M} + \mathbf{D_H} + \mathbf{D_{exH}}}$$

hvor:

$\mathbf{CO2_{ave_L}}$ er det aritmetiske gennemsnitlige CO_2-emissionsresultat for fase L-prøvningsresultaterne (g/km)

$\mathbf{CO2_{ave_M}}$ er det aritmetiske gennemsnitlige CO_2-emissionsresultat for fase M-prøvningsresultaterne (g/km)

$\mathbf{CO2_{ave_H}}$ er det aritmetiske gennemsnitlige CO_2-emissionsresultat for fase H-prøvningsresultaterne (g/km)

$\mathbf{CO2_{ave_{exH}}}$ er det aritmetiske gennemsnitlige CO_2-emissionsresultat for fase exH-prøvningsresultaterne (g/km)

D_L er den teoretiske distance for fase L (km)

D_M er den teoretiske distance for fase M (km)

D_H er den teoretiske distance for fase H (km)

D_{exH} er den teoretiske distance for fase exH (km)

1.2.4.1.2. Hvis den opgivne værdi (samlet cyklus) for CO_2-emissioner ikke godtages, skal typegodkendelsesværdien for fasespecifik CO_2-emission beregnes ved at tage det aritmetiske gennemsnit af alle prøvningsresultaterne for den pågældende fase.

1.2.4.2. Fasespecifikke værdier for brændstofforbrug

Brændstofforbruget beregnes ud fra den fasespecifikke CO_2-emission ved hjælp af ligningerne i punkt 1.2.4.1 i dette bilag og det aritmetiske gennemsnit af emissionerne.

2. Type 1-prøvning

2.1. Oversigt

2.1.1. Type 1-prøvningen består af foreskrevne sekvenser af dynamometerforberedelse, brændstofpåfyldning, soak-procedure og driftsforhold.

2.1.2. Type 1-prøvningen skal bestå i kørsel på et chassisdynamometer i den for interpolationsfamilien gældende WLTC. En proportional del af de fortyndede udstødningsemissioner indsamles kontinuerligt til efterfølgende analyse ved anvendelse af en konstantvolumenudtagningsenhed. Kun for niveau 2 skal den gældende WLTC for hver del af proceduren tages fra følgende tabel:

Køretøjstype		Kørt WLTC for prækondtionering	Kørt WLTC for type 1-prøvning	Beregning af endelige resultater
Ren ICE		4-faset	4-faset	3-faset og 4-faset
NOVC-HEV		4-faset	4-faset	3-faset og 4-faset
OVC-HEV	CD	Samme som type 1-prøvning	3-faset og 4-faset (separat prøvning)	Samme som type 1-prøvning og city-cyklus i 4-faseprøvning
	CS	4-faset	4-faset	3-faset og 4-faset
NOVC-FCHV		4-faset	4-faset	3-faset og 4-faset
OVC-FCHV	CD	Samme som type 1-prøvning	3-faset og 4-faset (separat prøvning)	Samme som type 1-prøvning og city-cyklus i 4-faseprøvning
	CS	4-faset	4-faset	3-faset og 4-faset
PEV		I overensstemmelse med fabrikantens anbefalinger	4-faset (*)	3-faset, 4-faset og city-cyklus

(*) Dynamisk segment af forkortet type 1-prøvning består af 4 faser efterfulgt af en city-cyklus

2.1.3. Baggrundskoncentrationerne måles for alle sammensatte forbindelser, for hvilke der gennemføres fortyndede masseemissionsmålinger. Til prøvning af udstødningsemissioner kræves indsamling og analyse af fortyndingsluften.

2.1.3.1. Måling af baggrundspartikelmasse

2.1.3.1.1. Hvis fabrikanten anmoder om fjernelse af enten fortyndingsluft eller fortyndingstunnelbaggrundspartikelmasse fra emissionsmålingerne, bestemmes disse baggrundskoncentrationer efter de procedurer, der er anført i punkt 2.1.3.1.1.1. til og med 2.1.3.1.1.3. i dette bilag.

2.1.3.1.1.1. Den maksimalt tilladte baggrundskorrektion skal være en masse på filteret svarende til 1 mg/km ved prøvens strømningshastighed.

2.1.3.1.1.2. Hvis baggrunden overskrider dette niveau, fjernes standardværdien på 1 mg/km.

2.1.3.1.1.3. Hvis fratrækningen af baggrundsbidraget giver et negativt resultat, skal baggrundskoncentrationen anses for at være nul.

2.1.3.1.2. Niveauet for baggrundspartikelmassens fortyndingsluft bestemmes ved at lede filtreret fortyndingsluft gennem baggrundsfilteret for partikelmasse. Denne skal tage udgangspunkt i et punkt umiddelbart nedstrøms for fortyndingsluftfiltrene. Baggrundskoncentrationerne i $\mu g/m^3$ bestemmes som et rullende aritmetisk gennemsnit af mindst 14 målinger med mindst én måling pr. uge.

2.1.3.1.3. Niveauet for baggrundspartikelmasse i fortyndingstunnel bestemmes ved at lede filtreret fortyndingsluft gennem baggrundsfilteret for partikelmasse. Udtagningen skal foretages fra samme sted som partikelprøveudtagningen. Hvis sekundær fortynding anvendes til prøvningen, skal det sekundære fortyndingssystem være aktivt med henblik på baggrundsmåling. Én måling kan foretages på dagen for prøvningen, før eller efter prøvningen.

2.1.3.2. Bestemmelse af baggrundspartikelantal

2.1.3.2.1. Når en fabrikant anmoder om en baggrundskorrektion, bestemmes disse baggrundskoncentrationer som følger:

2.1.3.2.1.1. Baggrundsværdien kan enten være beregnet eller målt. Den maksimalt tilladte baggrundskorrektion skal relateres til den maksimalt tilladte utæthedsgrad i målesystemet for partikelantal (0,5 partikler pr. cm^3), skaleret fra reduktionsfaktoren for partikelkoncentration, PCRF, og CVS-strømningshastigheden anvendt i den egentlige test.

2.1.3.2.1.2. Den kompetente myndighed eller fabrikanten kan anmode om, at faktiske baggrundsmålinger anvendes i stedet for beregnede.

2.1.3.2.1.3. Hvis fratrækningen af baggrundsbidraget giver et negativt resultat, skal PN-resultatet anses for at være nul.

2.1.3.2.2. Partikelantalbaggrund af fortyndingsluft skal bestemmes ved prøveudtagning af filtreret fortyndingsluft. Denne skal udtages i et punkt umiddelbart nedstrøms for fortyndingsluftfiltrene i PN-målingssystemet. Baggrundskoncentrationerne i partikler pr. m^3 bestemmes som et rullende aritmetisk gennemsnit af mindst 14 målinger med mindst én måling pr. uge.

2.1.3.2.3. Partikelantalbaggrund i fortyndingstunnelen skal bestemmes ved prøveudtagning af filtreret fortyndingsluft. Dette foretages samme sted som PN-prøveudtagningen. Hvis sekundær fortynding anvendes til prøvningen, skal det sekundære fortyndingssystem være aktivt med henblik på baggrundsmåling. Én måling kan foretages på dagen for prøvningen, enten før eller efter prøvningen, ved hjælp af den faktiske PCRF og CVS-strømningshastigheden under prøvningen.

2.2. Generelt udstyr i prøvningsrum

2.2.1. Parametre der skal måles

2.2.1.1. Følgende temperaturer måles med en nøjagtighed på ± 1,5 °C:

a) Luften i prøverummet

b) Temperaturer i fortyndings- og prøveudtagningssystemet som påkrævet for emissionsmålingssystemer som defineret i bilag B5.

2.2.1.2. Det atmosfæriske tryk skal kunne måles med en præcision på ± 0,1 kPa.

2.2.1.3. Den specifikke fugtighed H skal kunne måles med en præcision på ±1 g H_2O/kg tør luft.

2.2.2. Prøvningsrum og soak-område

2.2.2.1. Prøvningsrum

2.2.2.1.1. Temperaturen i prøvningsrummet skal have en indstillingsværdi på 23 °C. Tolerancen for den faktiske værdi skal være inden for ± 5 °C. Luftens temperatur og fugtighed skal måles ved køleventilatorens afgang i prøvningsrummet med en minimumsfrekvens på 0,1 Hz. Med hensyn til temperaturen ved prøvningens begyndelse, se punkt 2.8.1 i dette bilag.

2.2.2.1.2. Den specifikke luftfugtighed H enten i prøvningsrummet eller i motorens indsugningsluft skal opfylde følgende betingelser:

$$\mathbf{5.5} \leq \mathbf{H} \leq \mathbf{12.2} \text{ (g } H_2O\text{/kg tør luft)}$$

2.2.2.1.3. Luftfugtighed måles kontinuerligt med en minimumsfrekvens på 0,1 Hz.

2.2.2.2. Soak-område

I soak-området skal der være en temperatur på 23 °C, og den fastsatte tolerance for den faktiske værdi skal være inden for ± 3 °C i et 5 minutters løbende aritmetisk gennemsnit og må ikke udvise en systematisk afvigelse fra indstillingsværdien. Temperaturen måles kontinuerligt med en minimumsfrekvens på 0,033 Hz (hvert 30. sekund).

2.3. Prøvningskøretøj

2.3.1. Indledning

Prøvningskøretøjet skal for så vidt angår alle sine komponenter være i overensstemmelse med produktionsserien, eller der skal, hvis køretøjet afviger fra produktionsserien (f.eks. ved worstcase-prøvning), registreres en fuld beskrivelse. Ved udvælgelse af prøvningskøretøjet skal fabrikanten og den kompetente myndighed være enige om, hvilken bilmodel der er repræsentativ for interpolationsfamilien.

Hvis køretøjer i en interpolationsfamilie er udstyret med forskellige emissionsbegrænsningssystemer, der ville kunne indvirke på emissionsadfærden, skal fabrikanten enten over for den kompetente myndighed godtgøre, at det eller de valgte prøvningskøretøjer og dets/resultater fra type 1-prøvningen er repræsentative for interpolationsfamilien, eller dokumentere, at kriterieemissionen i interpolationsfamilien er overholdt, ved prøvning af et eller flere individuelle køretøjer, der afviger med hensyn til deres emissionsbegrænsningssystemer.

Til emissionsmåling anvendes køremodstanden som bestemt med prøvningskøretøj H. I tilfælde af en køremodstandsmatrixfamilie anvendes til måling af emissioner køremodstanden som beregnet for køretøj H_M i henhold til punkt 5.1 i bilag B4.

Hvis interpolationsmetoden efter fabrikantens anmodning anvendes (se punkt 3.2.3.2 i bilag 7), gennemføres en supplerende måling af emissionerne med køremodstanden som bestemt for prøvningskøretøj L. Prøvninger af køretøjerne H og L bør foretages med samme prøvningskøretøj, og de prøves med det korteste n/v-forhold (med en tolerance på ±1,5 %) i interpolationsfamilien. I tilfælde af en køremodstandsmatrixfamilie anvendes en supplerende måling af emissioner med køremodstanden som beregnet for køretøj L_M i henhold til punkt 5.1 i bilag B4.

Køremodstandskoefficienter og prøvningsmassen af prøvningskøretøj L og H kan tages fra forskellige køremodstandsfamilier. De kan også tages fra forskellige køremodstandsfamilier, så længe forskellen mellem disse køremodstandsfamilier er godtgjort over for og accepteret af den kompetente myndighed, ligesom resultater kan tages fra anvendelse af punkt 6.8 i bilag B4 eller dæk fra forskellige dækkategorier, mens kravene i punkt 2.3.2 i dette bilag fortsat gælder.

2.3.2. CO_2-interpolationsinterval

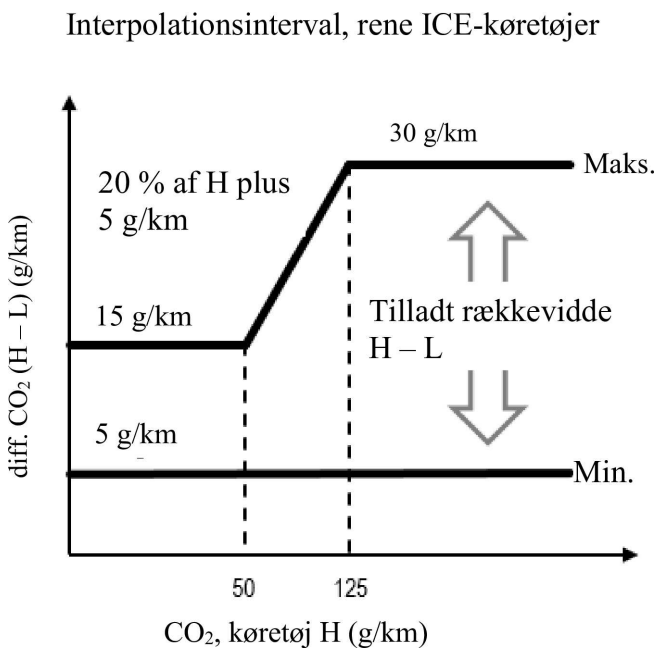
2.3.2.1. Interpolationsmetoden anvendes kun, hvis forskellen i CO_2-emissioner i den gældende cyklus, bestemt fra nedenstående tabel, mellem prøvningskøretøjerne L og H er mellem et minimum på 5 g/km og et maksimum som defineret i afsnit 2.3.2.2 i dette bilag.

2.3.2.2. Den maksimale tilladte forskel i CO_2-emissioner i den gældende cyklus, bestemt fra nedenstående tabel, mellem prøvningskøretøjerne H og L, er 20 % plus 5 g/km af CO_2-emissionerne fra køretøj H, men mindst 15 g/km og højst 30 g/km. Jf. figur A6/2.

For niveau 1A og niveau 2 (fase 4 WLTP-prøvning)	For niveau 1B og niveau 2 (fase 3 WLTP-prøvning)
trin 9 i tabel A7/1 i bilag B7	trin 6 i tabel A7/1 i bilag B7

Figur A6/2

Interpolationsinterval for rene ICE-køretøjer

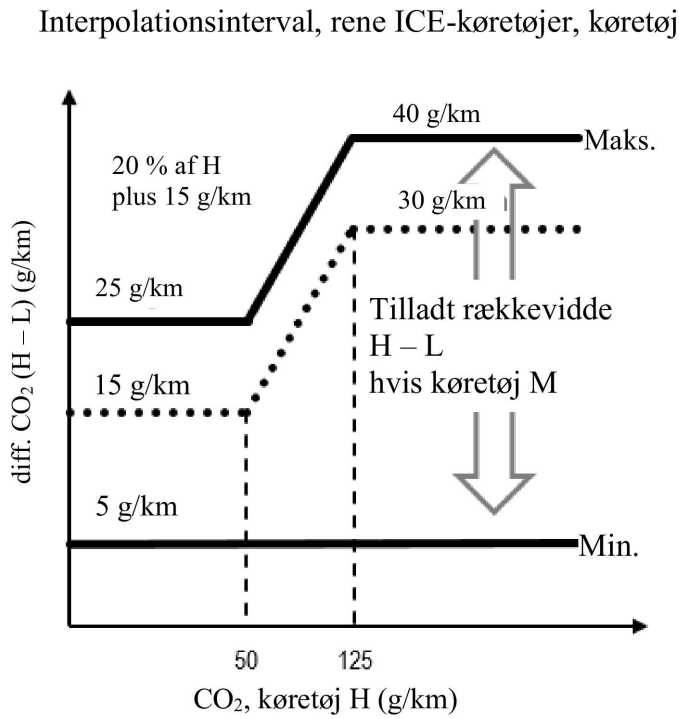


Denne begrænsning gælder ikke for anvendelse af en køremodstandsmatrixfamilie, eller når beregningen af køremodstanden for køretøj L og H er baseret på default-indstillingerne for køremodstand.

2.3.2.2.1. Det tilladte interpolationsinterval som defineret i punkt 2.3.2.2 i dette bilag kan øges med 10 g/km CO_2 (jf. figur A6/3), hvis køretøj M prøves inden for denne familie, og betingelserne i punkt 2.3.2.4 i dette bilag er opfyldt. Denne forøgelse er kun tilladt én gang i en interpolationsfamilie.

Figur A6/3

Interpolationsinterval for rene ICE-køretøjer med køretøj M



2.3.2.3. Efter anmodning fra fabrikanten og med godkendelse fra den kompetente myndighed kan anvendelsen af interpolationsmetoden på individuelle køretøjsværdier inden for en familie forlænges, hvis den maksimale ekstrapolation for et individuelt køretøj fra nedenstående tabel ikke er mere end 3 g/km over CO_2-emissionen fra køretøj H (fra nedenstående tabel) og/eller ikke er mere end 3 g/km under CO_2-emissionen fra køretøj L (fra nedenstående tabel). Denne ekstrapolering gælder kun inden for de absolutte grænser for interpolationsinterval, der er anført i punkt 2.3.2.2.

	Niveau 1A og niveau 2	For niveau 1B
et individuelt køretøj	trin 10 i tabel A7/1 i bilag B7	Punkt 3.2.3.2.4 i bilag B7
køretøj H og køretøj L	trin 9 i tabel A7/1 i bilag B7	trin 6 i tabel A7/1 i bilag B7

Det er ikke nødvendigt at kontrollere ovennævnte kriterier på 3 g/km for resultater efter 3 faser på niveau 2.

Ved anvendelse af en køremodstandsmatrixfamilie, eller når beregningen af køremodstanden for køretøj L og H er baseret på default-indstillingerne for køremodstand, er ekstrapolering ikke tilladt.

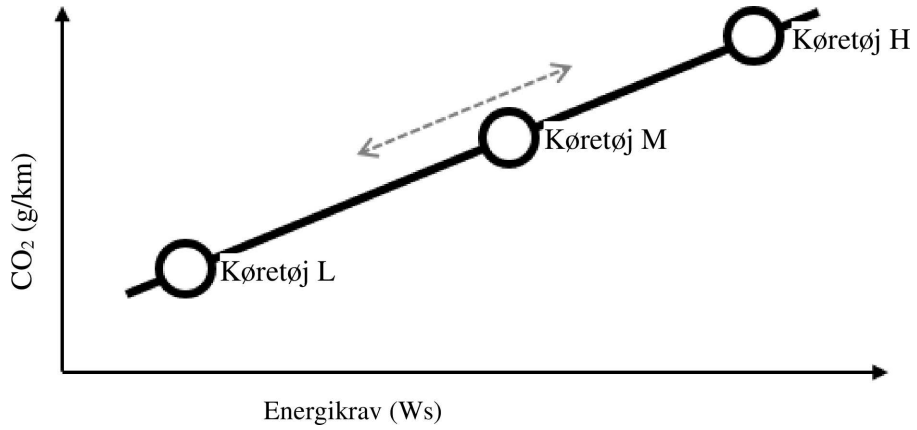
2.3.2.4. Køretøj M

M er et køretøj inden for interpolationsfamilien mellem køretøj L og H med et cyklusenergikrav, der helst skal ligge tættest på gennemsnittet for køretøj L og H.

Grænserne for valg af køretøj M (jf. figur A6/4) er således, at hverken forskellen i CO_2-emissionsværdier mellem køretøj H og M eller forskellen i CO_2-emissionsværdier mellem køretøj M og L er større end det tilladte CO_2-interval i henhold til punkt 2.3.2.2 i dette bilag. De definerede køremodstandskoefficienter og den definerede prøvningsmasse registreres.

Figur A6/4

Grænser for valg af køretøj M



For niveau 1A og niveau 2 (fase 4 WLTP-prøvning)

Lineariteten af den korrigerede målte og gennemsnitsberegnede CO_2-emission for køretøj M, $M_{CO2,c,6,M}$, i henhold til trin 6 i tabel A7/1 i bilag B7 skal sammenholdes med den lineære interpolerede CO_2-emission mellem køretøj L og H i den gældende cyklus ved hjælp af den korrigerede målte og gennemsnitsberegnede CO_2-emission $M_{CO2,c,6,H}$ for køretøj H og $M_{CO2,c,6,L}$ for køretøj L i henhold til trin 6 i tabel A7/1 i bilag B7 til den lineære CO_2-emissionsinterpolation.

For niveau 1B og niveau 2 (fase 3 WLTP-prøvning)

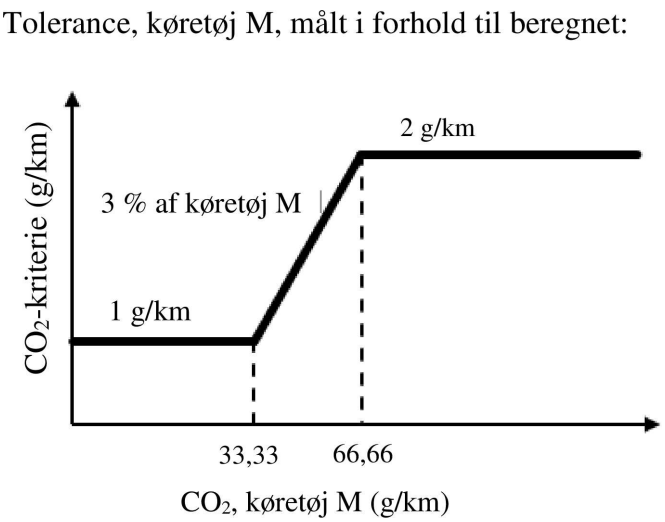
Det er nødvendigt med en yderligere gennemsnitsberegning af test ved hjælp af CO_2-output i trin 4a (ikke beskrevet i tabel A7/1). Lineariteten af den korrigerede målte og gennemsnitsberegnede CO_2-emission for køretøj M, $M_{CO2,c,4a,M}$, i henhold til trin 4a i tabel A7/1 i bilag B7 skal sammenholdes med den lineære interpolerede CO_2-emission mellem køretøj L og H i den gældende cyklus ved hjælp af de korrigerede målte og gennemsnitsberegnede CO_2-emission $M_{CO2,c,4a,H}$-værdier for køretøj H og $M_{CO2,c,4a,L}$ for køretøj L i henhold til trin 4a i tabel A7/1 i bilag B7 for den lineære CO_2-emissionsinterpolering.

Niveau 1A, niveau 1B og niveau 2

Linearitetskriteriet for køretøj M (jf. figur A6/5) anses for at være opfyldt, hvis CO_2-emissionen fra køretøj M over den gældende WLTC minus CO_2emissionen ved interpolation er mindre end 2 g/km eller 3 % af den interpolerede værdi, alt efter hvilken værdi der er den laveste, men mindst 1 g/km.

Figur A6/5

Linearitetskriterium for køretøj M



Hvis linearitetskriteriet er opfyldt, skal CO_2-værdierne for de enkelte køretøjer interpoleres mellem køretøj L og H.

Hvis linearitetskriteriet ikke er opfyldt, skal interpolationsfamilien opdeles i to underfamilier for køretøjer med et cyklusenergikrav mellem cyklusenergikravene for køretøj L og M, og køretøjer med et cyklusenergikrav mellem cyklusenergikravene for køretøj M og H. I dette tilfælde bestemmes de endelige CO_2-emissioner for køretøj M efter samme procedure som for køretøj L eller H. Se trin 9 i tabel A7/1 i bilag B7.

For køretøjer med et cyklusenergikrav mellem cyklusenergikravene for køretøj L og M skal hver parameter for køretøj H, som er nødvendig for anvendelsen af interpolationsmetoden på individuelle værdier, erstattes af den tilsvarende parameter for køretøj M.

For køretøjer med et cyklusenergikrav mellem cyklusenergikravene for køretøj M og H skal hver parameter for køretøj L, som er nødvendig for anvendelsen af interpolationsmetoden på individuelle værdier, erstattes af den tilsvarende parameter for køretøj M.

2.3.3. Tilkørsel

Det indleverede køretøj skal være i god teknisk stand. Det skal være tilkørt og have kørt mellem 3000 km og 15000 km inden prøvningen. Motor, transmission og køretøj skal være tilkørt i henhold til fabrikantens anvisninger.

2.4. Indstillinger

2.4.1. Indstilling og verifikation af dynamometer skal udføres i henhold til bilag B4.

2.4.2. Betjening af dynamometeret

2.4.2.1. Tilbehør skal være slukket eller deaktiveret under betjening af dynamometeret, medmindre deres drift er påkrævet ved lov (f.eks. kørelyslygter).

2.4.2.1.1. Kun niveau 1A og niveau 2

Hvis køretøjet er udstyret med friløbsfunktion, skal denne funktion deaktiveres, enten ved hjælp af en funktionsvælger eller ved betjening af køretøjets driftstilstand på dynamometer under prøvning af rullemodstand, bortset fra prøvninger, hvor friløbsfunktionen udtrykkeligt er påkrævet i prøvningsproceduren.

2.4.2.1.2. Baglygterne skal indstilles til den driftstilstand, der anvendes ved omgivende lysforhold på mere end 7 000 lux (f.eks. via køretøjets dynamometerdriftstilstand).

2.4.2.2. Køretøjets eventuelle dynamometerdriftstilstand skal være aktiveret efter fabrikantens instrukser (f.eks. ved betjening af køretøjets ratknapper i en bestemt sekvens, ved anvendelse af fabrikantens værkstedstestmodul eller ved fjernelse af en sikring).

Niveau 1A og niveau 2

Fabrikanten skal til den kompetente myndighed levere en liste over de deaktiverede anordninger og/eller funktionaliteter samt en begrundelse for deaktiveringen. Dynamometerdriftstilstanden skal være godkendt af den kompetente myndighed, og anvendelse af en dynamometerdriftstilstand skal registreres.

For niveau 1B

Fabrikanten skal til den kompetente myndighed levere en liste over det deaktiverede udstyr og en begrundelse for deaktiveringen. Dynamometerdriftstilstanden skal være godkendt af den kompetente myndighed, og anvendelse af en dynamometerdriftstilstand skal registreres.

2.4.2.3. Niveau 1A og niveau 2

Køretøjets dynamometerdriftstilstand må ikke aktivere, modulere, forsinke eller deaktivere driften af nogen del (med undtagelse af friløbsfunktionaliteten), der vedrører emissionerne og brændstofforbruget omfattet af prøvningsbetingelserne. Enhver anordning, der påvirker driften på et chassisdynamometer, skal indstilles med henblik på at sikre korrekt funktion.

For niveau 1B

Køretøjets dynamometerdriftstilstand må ikke aktivere, modulere, forsinke eller deaktivere driften af nogen del, der vedrører emissionerne og brændstofforbruget omfattet af prøvningsbetingelserne. Enhver anordning, der påvirker driften på et chassisdynamometer, skal indstilles med henblik på at sikre korrekt funktion.

2.4.2.4. Tildeling af dynamometertype til prøvningskøretøjet

2.4.2.4.1. Hvis prøvningskøretøjet har to drivaksler og under WLTP-betingelser delvis eller permanent drives med to aksler, der strømforsynes eller genvinder energi i den gældende cyklus, skal køretøjet prøves på et dynamometer i 4WD-funktion, som opfylder specifikationerne i punkt 2.2 og 2.3 i bilag B5.

2.4.2.4.2. Hvis prøvningskøretøjet prøves med kun én drivaksel, skal det prøves på et dynamometer i 2WD-funktion, som opfylder specifikationerne i punkt 2.2 i bilag B5.

På fabrikantens anmodning og efter godkendelse fra den typegodkendende myndighed kan et køretøj med kun en drivaksel prøves på et 4WD-dynamometer i 4WD-funktionstilstand.

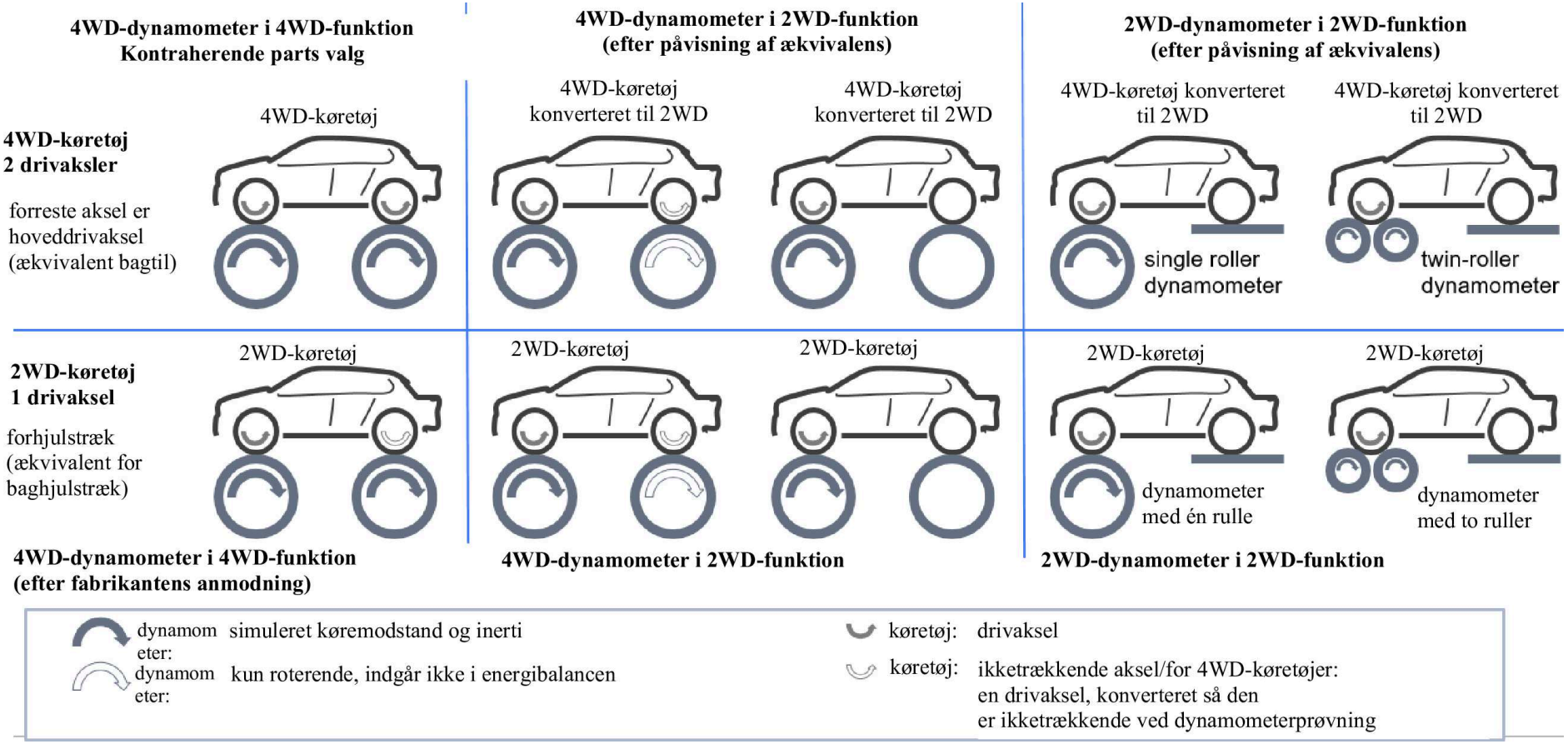
2.4.2.4.3. Hvis prøvningskøretøjet drives med to aksler, der strømforsynes i dedikerede førervalgte driftstilstande, som ikke er bestemt til normal daglig drift, men kun til særlige begrænsede formål, som f.eks. "bjergfunktionsmåde" eller "vedligeholdelsesfunktionsmåde", eller når funktionsmåden med to drivaksler kun aktiveres i off-road-situationer, skal køretøjet prøves på et dynamometer i 2WD-funktion, som opfylder specifikationerne i punkt 2.2 i bilag B5.

På fabrikantens anmodning og efter godkendelse fra den typegodkendende myndighed kan køretøjet prøves på et 4WD-dynamometer i 4WD-funktionstilstand.

2.4.2.4.4. Hvis prøvningskøretøjet prøves på 4WD-dynamometer i 2WD-funktion, kan hjulene på den ikke-trækkende aksel rotere under prøvningen, forudsat at dynamometerets funktionsmåde og køretøjets friløbstilstand understøtter dette.

Figur A6/5a

Mulige konfigurationer af 2WD- og 4WD-dynamometre



2.4.2.5. Påvisning af ækvivalens mellem et dynamometer i 2WD-funktion og et dynamometer i 4WD-funktion

2.4.2.5.1. På fabrikantens anmodning og med godkendelse fra den typegodkendende myndighed kan et køretøj, som skal prøves på et dynamometer i 4WD-funktion alternativt prøves på et dynamometer i 2WD-funktion, hvis følgende betingelser er opfyldt:

a) Prøvningskøretøjet er omstillet til kun at have én drivaksel.

b) Fabrikanten godtgør over for godkendelsesmyndigheden, at CO_2-emissionen og/eller det omstillede køretøjs brændstofforbrug og/eller elektriske energiforbrug er mindst det samme som for det ikke-omstillede køretøj, der prøves i 4WD-funktion

c) Sikker drift sikres i forbindelse med prøvningen (f.eks. ved at fjerne en sikring eller afmontere en kardanaksel), og der gives instrukser i forbindelse med dynamometerets driftstilstand

d) Omstillingen anvendes kun på prøvningskøretøjet ved prøvning på chassisdynamometeret; proceduren for bestemmelse af køremodstand anvendes på det ikkeomstillede prøvningskøretøj.

2.4.2.5.2. Denne påvisning af ækvivalens skal gælde for alle køretøjer i samme køremodstandsfamilie. På fabrikantens anmodning og efter godkendelse fra den kompetente myndighed kan denne påvisning af ækvivalens udvides til andre køremodstandsfamilier, hvis der er tegn på, at et køretøj fra worstcase-køremodstandsfamilien blev udvalgt som prøvningskøretøj.

2.4.2.6. Oplysninger om, hvorvidt køretøjet prøves på et 2WD-dynamometer eller et 4WD- dynamometer, og om det blev prøvet på et dynamometer i 2WD- eller 4WD-funktion, skal medtages i alle relevante prøvningsrapporter. Hvis køretøjet er prøvet på et 4WD-dynamometer i 2WD-funktion, skal det i disse oplysninger også være angivet, om de ikketrækkende hjul roterede.

2.4.3. Køretøjets udstødningssystem må ikke have utætheder, som kan mindske den indsamlede gasmængde.

Hvis det er relevant, skal åbninger i udstødningssystemet, der er konstrueret til at fjerne kondensat, forsegles inden prøvningen. Åbninger i udstødningssystemet, der er konstrueret til at fjerne kondensat, skal være placeret nedstrøms fra den sidste komponent i udstødningsefterbehandlingssystemet til reduktion af udstødningsemissioner (f.eks. katalysator, partikelfilter). Åbningerne skal dokumenteres i WLTP-prøvningsrapporten i overensstemmelse med tillæg 1 til bilag A1.

2.4.4. Indstillingerne af drivlinjen og køretøjets betjeningsorganer skal være som foreskrevet af fabrikanten i forbindelse med serieproduktion.

2.4.5. Dækkene skal være af en type, der er defineret som originaludstyr af køretøjsfabrikanten. Dæktrykket kan forhøjes med op til 50 % over det tryk, der er specificeret i punkt 4.2.2.3 i bilag B4. Det samme dæktryk skal anvendes til indstilling af dynamometeret og i forbindelse med al efterfølgende prøvning. Det anvendte dæktryk registreres.

2.4.6. Referencebrændstof

Til prøven skal anvendes det referencebrændstof, der er specificeret i bilag B3.

2.4.7. Forberedelse af prøvningskøretøjet

2.4.7.1. Køretøjet skal så vidt muligt stå vandret under prøvningen for at undgå en unormal brændstoffordeling.

2.4.7.2. Fabrikanten skal om nødvendigt stille yderligere udstyr og anordninger til rådighed, som er nødvendigt for at aftappe brændstof ved det laveste punkt på de beholdere, som er monteret på køretøjet, og for at sikre indsamling af udstødningsgas.

2.4.7.3. Ved prøveudtagning af PM under en prøvning, hvor regenereringsanordningen befinder sig i en stabiliseret belastningssituation (dvs. at køretøjet ikke foretager en regenerering), anbefales det, at køretøjet har gennemført mere en 1/3 af distancen mellem periodiske regenereringer, eller at den periodisk regenererende anordning er blevet tilsvarende belastet uden for køretøjet.

2.5. Midlertidige prøvningscyklusser

Midlertidige prøvningscyklusser kan udføres, hvis fabrikanten anmoder herom for at følge hastighedskurven inden for de foreskrevne grænser.

2.6. Konditionering af prøvningskøretøjet

2.6.1. Klargøring af køretøjet

2.6.1.1. Fyldning af brændstofbeholder

Brændstoftanken(e) fyldes med det specificerede prøvningsbrændstof. Såfremt det brændstof, der er i brændstoftanken(e), ikke opfylder specifikationerne i punkt 2.4.6 i dette bilag, aftappes det indeholdte brændstof inden brændstofpåfyldningen. Fordampningsemissionsbegrænsningssystemet må hverken være unormalt udluftet eller unormalt belastet.

2.6.1.2. REESS-opladning

REESS'erne skal være fuldt opladede inden konditioneringsprøvningscyklussen. På fabrikantens anmodning kan opladning udelades før konditionering. REESS'erne må ikke oplades igen inden den officielle prøvning.

2.6.1.3. Dæktryk

Dæktrykket på de trækkende hjul skal være i overensstemmelse med punkt 2.4.5 i dette bilag.

2.6.1.4. Gasformige brændstoffer

Mellem prøvningerne med henholdsvis det første og det andet gasformige referencebrændstof for køretøjer med motorer med styret tænding, som anvender LPG eller NG/biomethan som brændstof eller er udstyret således, at de kan anvende enten benzin eller LPG eller NG/biomethan, skal køretøjet igen prækonditioneres, før det prøves med det andet referencebrændstof.

2.6.2. Prøvningsrum

2.6.2.1. Temperatur

Under prækonditionering skal prøverummets temperatur være den samme som defineret for type 1-prøvning (punkt 2.2.2.1.1 i dette bilag).

2.6.2.2. Baggrundsmåling

I et prøvningsanlæg, hvor der kan være risiko for kontaminering af en køretøjsprøvning for lav emission af partikelmasse med rester fra en tidligere køretøjsprøvning for høj emission af partikelmasse, anbefales det, at der med henblik på konditionering af prøveudtagningsudstyret gennemkøres en stationær cyklus med 120 km/h i 20 minutter med et køretøj med lav emission af partikelmasse. Længere kørsel og/eller højere hastighed er tilladt med henblik på konditionering af prøveudtagningsudstyr, hvis dette er nødvendigt. Baggrundsmåling af fortyndingstunnel gennemføres hvis relevant efter konditionering af tunnelen og forud for enhver efterfølgende prøvning af køretøjet.

2.6.3. Fremgangsmåde

2.6.3.1. Prøvningskøretøjet placeres, enten ved kørsel eller skubning, på et dynamometer og gennemgår her de gældende WLTC'er. Køretøjet behøver ikke at være koldt, og det kan anvendes til at indstille dynamometerets belastning.

2.6.3.2. Dynamometerets belastning indstilles i overensstemmelse med punkt 7 og 8 i bilag B4. Hvis der anvendes et dynamometer i 2WD-funktion til prøvningen, skal indstillingen for køremodstand foretages på et dynamometer i 2WD-funktion, og hvis der anvendes dynamometer i 4WD-funktion til prøvningen, skal indstillingen for køremodstand foretages på et dynamometer i 4WD-funktion.

2.6.4. Betjening af køretøjet

2.6.4.1. Startproceduren for drivlinjen indledes ved hjælp af de hertil beregnede anordninger i overensstemmelse med fabrikantens anvisninger.

Under prøvningen er et skift af funktionsmåde, der ikke udgår fra køretøjet, ikke tilladt, medmindre andet er opgivet.

2.6.4.1.1. Hvis indledningen af startproceduren for drivlinjen ikke lykkes - f.eks. fordi motoren ikke starter som forventet, eller køretøjet viser en fejlmeddelelse om startfejl, gentages konditioneringsprøvningerne, og ny prøve køres.

2.6.4.1.2. Anvendes LPG eller NG/biomethan som brændstof, tillades det, at motoren startes på benzin og automatisk stilles om til LPG eller NG/biomethan efter et forudbestemt tidsrum, som ikke kan ændres af føreren. Dette tidsrum må ikke overstige 60 sekunder.

Det er også tilladt at anvende benzin enten udelukkende eller samtidigt med gas, ved drift i gasfunktionsmåde, forudsat at energiforbruget af gas er større end 80 procent af den samlede energimængde, der forbruges under type 1-prøvning. Denne procentdel beregnes i overensstemmelse med den metode, der er beskrevet i tillæg 3 til dette bilag.

2.6.4.2. Cyklussen begynder med indledningen startproceduren for drivlinjen.

2.6.4.3. Som konditionering gennemføres de gældende WLTC'er.

På anmodning fra fabrikanten eller den kompetente myndighed kan der gennemføres yderligere WLTC'er for at bringe køretøjet og dets kontrolsystemer i en stabil tilstand.

Omfanget af en sådan yderligere konditionering rapporteres i alle relevante prøvningsrapporter.

2.6.4.4. Acceleration

Køretøjet køres med en speederanvendelse, der er nødvendig for nøje at kunne følge hastighedskurven.

Køretøjet køres gnidningsløst med repræsentative gearskiftehastigheder og procedurer.

Ved manuel transmission skal speederpedalen slippes ved hvert gearskift, og skiftet skal gennemføres på minimal tid.

Hvis køretøjet ikke kan følge hastighedskurven, skal det køres med den maksimalt tilgængelige effekt, indtil køretøjets hastighed igen når den respektive målhastighed.

2.6.4.5. Deceleration

Under decelerationer skal føreren manuelt deaktivere speederen, men må ikke manuelt frakoble koblingen før det tidspunkt, der er omhandlet i punkt 3.3 eller 4 f) i bilag B2.

Hvis køretøjet decelererer hurtigere end foreskrevet i hastighedskurven, skal speederen betjenes således, at køretøjet nøjagtigt følger hastighedskurven.

Hvis køretøjet decelererer for langsomt til at følge den planlagte deceleration, skal bremserne aktiveres således, at det er muligt nøjagtigt at følge hastighedskurven.

2.6.4.6. Bremsninger

Under stilstand/tomgang aktiveres bremserne med passende kraft for at forhindre de trækkende hjul i at dreje rundt.

2.6.5. Brug af gearkassen

2.6.5.1. Gearkasser med manuelt gearskifte

2.6.5.1.1. De i bilag B2 anførte anvisninger på gearskifte skal følges. Køretøjer, der prøves i overensstemmelse med bilag B8, køres i overensstemmelse med punkt 1.5 i nævnte bilag.

2.6.5.1.2. Gearskift iværksættes og afsluttes inden for ± 1,0 sekund af det foreskrevne gearskiftepunkt.

2.6.5.1.3. Koblingen skal være trådt ned inden for ± 1,0 sekund af det foreskrevne koblingsdriftspunkt.

2.6.5.2. Gearkasser med automatisk gearskifte

2.6.5.2.1. Efter den første indkobling må gearvælgeren ikke betjenes på noget tidspunkt under prøvningen. Indledende indkobling skal ske 1 sekund før påbegyndelse af den første acceleration.

2.6.5.2.2. Køretøjer med automatgear med manuel funktionsmåde skal ikke prøves i manuel funktionsmåde.

2.6.6. Førervalgte driftstilstande

2.6.6.1. Køretøjer udstyret med en fremherskende driftstilstand skal prøves i denne funktionsmåde. På fabrikantens anmodning kan køretøjer alternativt prøves med den førervalgte driftstilstand i worst case-position med hensyn til CO_2-emissioner.

Fabrikanten skal over for den kompetente myndighed dokumentere eksistensen af en driftstilstand, som opfylder kravene i punkt 3.5.9 i dette regulativ. Efter aftale med den kompetente myndighed kan den fremherskende driftstilstand anvendes som den eneste tilstand til bestemmelse af kriterieemissioner, CO_2-emissioner og brændstofforbrug.

2.6.6.2. Hvis køretøjet ikke har nogen fremherskende driftstilstand, fordi det har to eller flere konfigurerede starttilstande, skal worst case-tilstand for CO_2-emissioner og brændstofforbrug i de konfigurerbare starttilstande prøves og kan anvendes som den eneste metode til bestemmelse af kriterieemissioner, CO_2-emissioner og brændstofforbrug.

2.6.6.3. Hvis køretøjet ikke har nogen fremherskende driftstilstand, eller den ønskede fremherskende tilstand ikke er godkendt af den kompetente myndighed som værende en fremherskende driftstilstand, eller der ikke er to eller flere konfigurerbare starttilstande, skal køretøjet prøves for kriterieemissioner, CO_2-emissioner og brændstofforbrug i best case-tilstand og worst case-tilstand. Best case- og worst case-tilstandene skal være identificeret i den leverede dokumentation om CO_2-emissioner og brændstofforbrug for alle tilstande. CO_2-emissioner og brændstofforbrug skal være det aritmetiske gennemsnit af prøvningsresultaterne i begge tilstande. Prøvningsresultaterne for begge tilstande skal registreres.

På fabrikantens anmodning kan køretøjer alternativt prøves med den førervalgte driftstilstand i worst case-position med hensyn til CO_2-emissioner.

2.6.6.4. På grundlag af teknisk dokumentation fra fabrikanten og efter aftale med den kompetente myndighed, lades førervalgte driftstilstande med meget specielle og begrænsede formål ude af betragtning (f.eks. vedligeholdelsestilstand, krybegear). Alle resterende driftstilstande, der anvendes ved fremadgående kørsel, tages i betragtning, og kriterieemissionsgrænseværdierne skal overholdes i alle disse tilstande.

2.6.6.5. Punkt 2.6.6.1 til og med 2.6.6.4 i dette bilag finder anvendelse på alle køretøjssystemer med førervalgte driftstilstande, herunder dem, der ikke udelukkende er specifikke for transmissionen.

2.6.7. Ugyldiggørelse af type 1-prøvning og afslutning af cyklussen

Hvis motoren stopper uventet, erklæres prækonditioneringen eller type 1-prøvningen for ugyldig.

Efter afslutningen af cyklussen standses motoren. Køretøjet må ikke genstartes, før begyndelsen af den prøvning, køretøjet er blevet prækonditioneret til.

2.6.8. Krævede data, kvalitetskontrol

2.6.8.1. Hastighedsmålinger

Under prækonditioneringen måles hastigheden som funktion af den faktiske tid eller indsamles af dataindsamlingssystemet ved en frekvens på mindst 1 Hz, således at den faktisk kørselshastighed kan vurderes.

2.6.8.2. Tilbagelagt distance

Den distance, som køretøjet faktisk har tilbagelagt, registreres for hver WLTC-fase.

2.6.8.3. Hastighedskurve - tolerancer

Køretøjer, som ikke når op på de i den gældende WLTC krævede accelerations- og maksimalhastighedsværdier, skal køres med speederen i bund, indtil de atter når den krævede hastighedskurve. Under disse omstændigheder resulterer ikke-overholdelse af hastighedskurven ikke i en ugyldig prøve. Afvigelser fra kørecyklussen registreres.

2.6.8.3.1. Medmindre andet er angivet i særlige afsnit tillades følgende tolerancer mellem køretøjets faktiske hastighed og den foreskrevne hastighed i de relevante prøvningscyklusser baseret kørslen.

2.6.8.3.1.1. Tolerance (1)

a) Øvre grænse: 2,0 km/h højere end det højeste punkt på hastighedskurven inden for ± 5,0 sekund af det givne tidspunkt

b) Nedre grænse: 2,0 km/h højere end det laveste punkt på hastighedskurven inden for ± 5,0 sekund af det givne tidspunkt.

2.6.8.3.1.2. Tolerance (2)

Der accepteres hastighedstolerancer, der er større end de foreskrevne, forudsat at tolerancerne ikke på noget tidspunkt overskrides i mere end 1 s. Der må højst være ti sådanne afvigelser pr. prøvecyklus.

a) Øvre grænse: 2,0 km/h højere end det højeste punkt på hastighedskurven inden for ± 1,0 sekund af det givne tidspunkt

b) Nedre grænse: 2,0 km/h højere end det laveste punkt på hastighedskurven inden for ± 1,0 sekund af det givne tidspunkt.

2.6.8.3.1.3. Tolerance (3)

IWR	Niveau 1A, niveau 1B og niveau 2	inden for - 2,0 til +4,0 %
RMSSE	For niveau 1A	under 1,3 km/h
	Niveau 1B og niveau 2	under 0,8 km/h

2.6.8.3.1.4. Tolerance (4)

IWR	Niveau 1A, niveau 1B og niveau 2	inden for - 2,0 til +4,0 %
RMSSE	For niveau 1A	under 1,3 km/h
	Niveau 1B og niveau 2	fabrikantens erklærede kriterier, men må ikke være over 1,3 km/h

2.6.8.3.1.5. IWR- og RMSSE-kørselssporindekser beregnes i overensstemmelse med kravene i punkt 7 i bilag B7.

2.6.8.3.2. De hændelser og tolerancer for drift af køretøjet, der skal tillades i forbindelse med disse hændelser, er som følger:

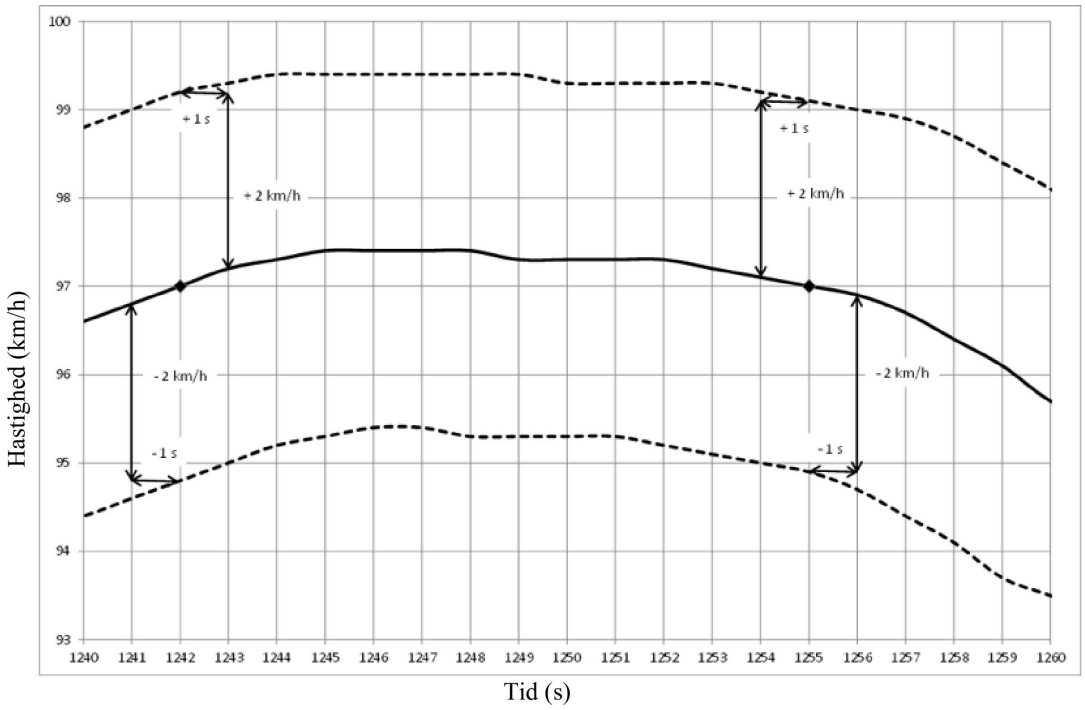
Drift af køretøjet	Opvarmningscyklus med henblik på dynamometerindstil-ling	Prækonditionering	Måling af ydeevneparameteret efter prækonditionering
Bilag B6 og B8 Type 1-prøvninger	Tolerance (1)	Tolerance (2)	Tolerance (2) (*) og Tolerance (3)
Bilag C3: Type 4-prøvning	Tolerance (1)	Tolerance (2)	Tolerance (2) (*)
Bilag C5 Appendix 1. OBD-demonstrationsprøvninger	Tolerance (1)	Tolerance (2)	Tolerance (2) (*)
COP-prøvninger	Tolerance (1)	Tolerance (2)	Tolerance (2) (*) og Tolerance (4)
Indkøringsfaktor til produktionens overensstemmelse	Tolerance (1)	Tolerance (2)	Tolerance (2) (*) og Tolerance (3)
Bilag B10 Elektrisk rækkevidde ved lav temperatur	-	-	Tolerance (2) (*)

(*) Tolerancerne må ikke vises for føreren

Hvis hastighedskurven ligger uden for det respektive gyldighedsområde for nogen af prøvningerne, anses disse individuelle prøvninger for ugyldige.

Figur A6/6

Hastighedskurve - tolerancer



2.6.8.4. Måling af strøm fra generatoren (DC/DC-omformer)

Under type 1-prøvningen måles generatorstrømmen efter proceduren og kravene i punkt 2 i tillæg 2 til bilag B6. For OVC-HEV'er og NOVC-HEV'er måles generatorstrømmen efter proceduren og kravene i punkt 2 i tillæg 3 til bilag B8. De målte data (1 Hz integreret frekvens) for hver udført prøvning skal stilles til rådighed af den godkendende myndighed, hvis en regional myndighed anmoder herom.

2.6.8.5. Registrering og lagring af OBFCM-data (gælder ikke for niveau 1C)

2.6.8.5.1. Dette punkt finder kun anvendelse på niveau 1A og niveau 2 (fase 4 WLTP-prøvning)

Under type 1-prøvningen skal prøvningslaboratoriet registrere og gemme følgende parametre i tillæg 5 til dette regulativ (1 Hz prøveudtagningsfrekvens) og stille dem til rådighed af den godkendende myndighed, hvis en regional myndighed anmoder herom:

a) Brændstoffets strømningshastighed (motor) (gram/sekund)

b) Brændstoffets strømningshastighed (motor) (liter/time)

c) Brændstoffets strømningshastighed (køretøj) (gram/sekund).

2.6.8.5.2. Tilgængelighed af OBFCM-data

Dette punkt finder kun anvendelse på niveau 1B og niveau 2

Den tekniske tjeneste skal kontrollere tilgængeligheden af de parametre, der er anført i punkt 3 i tillæg 5 til dette regulativ, i overensstemmelse med punkt 5.1 i tillæg 5.

2.7. Stilstand

2.7.1. Efter prækonditionering og før prøvningen anbringes prøvningskøretøjet i et område med omgivende forhold som foreskrevet i punkt 2.2.2.2 i dette bilag.

2.7.2. Køretøjet skal henstå (soak) i mindst 6 timer og højst 36 timer med motorhjelmen åbnet eller lukket. Hvis køling ikke er udelukket ved særlige bestemmelser for et bestemt køretøj, kan den ske ved kunstig nedkøling til temperaturens indstillingsværdi. Hvis kølingen fremskyndes med ventilatorer, skal disse anbringes på en sådan måde, at maksimal køling af fremdriftssystem, motor og efterbehandlingssystem for udstødningen sker på en ensartet måde.

2.8. Emissioner og brændstofforbrug (type 1-prøvning)

2.8.1. Prøverummets temperatur ved prøvningens begyndelse skal være inden for ± 3 °C af indstillingsværdien på 23 °C. Eventuel motorolies eller kølervæskes temperatur skal ligge inden for ± 2 °C af indstillingsværdien på 23 °C.

2.8.2. Prøvningskøretøjet skubbes op på et dynamometer.

2.8.2.1. Køretøjets trækkende hjul anbringes på dynamometeret, uden at motoren startes.

2.8.2.2. De trækkende hjuls dæktryk skal justeres i henhold til bestemmelserne i punkt 2.4.5 i dette bilag.

2.8.2.3. Motorrummet skal være lukket.

2.8.2.4. Udstødningens forbindelsesrør fastgøres til køretøjets udstødningsrør, umiddelbart før motoren startes.

2.8.2.5. Prøvekøretøjet anbringes på chassisdynamometeret i overensstemmelse med punkt 7.3.3 til 7.3.3.1.4 i bilag B4.

2.8.3. Start af drivlinje og kørsel

2.8.3.1. Startproceduren for drivlinjen indledes ved hjælp af de hertil beregnede anordninger i overensstemmelse med fabrikantens anvisninger.

2.8.3.2. Køretøjet køres som beskrevet i punkt 2.6.4 til og med 2.6.8 i dette bilag gennem den gældende WLTC som beskrevet i bilag B1.

2.8.4. RCB-data skal måles for hver fase af WLTC som defineret i tillæg 2 til dette bilag.

2.8.5. Køretøjets faktiske hastighed registreres med en målefrekvens på 10 Hz, og de kørselssporindekser, der er beskrevet i punkt 7 i bilag B7, beregnes og rapporteres.

2.8.6. Dette punkt gælder kun for niveau 1A.

Køretøjets faktiske hastighed, samplet med en målefrekvens på 10 Hz sammen med den reelle tid, skal anvendes til rettelser af CO_2-resultaterne i forhold til målhastighed og distance som defineret i bilag B6b. Hvis RMSSE-værdien er lavere end 0,8 km/h, kan denne korrektionsprocedure udelades på fabrikantens anmodning.

2.9. Udtagning af gasprøver

Gasprøver skal opsamles i sække og deres forbindelser analyseres ved prøvningens eller prøvningsfasens afslutning, eller forbindelserne kan analyseres kontinuerligt og integreres over cyklussen.

2.9.1. Følgende trin gennemføres forud for hver prøvning.

2.9.1.1. De udluftede, tømte prøveudtagningssække skal være tilsluttet systemet til udtagning af prøver af den fortyndede udstødningsgas og fortyndingsluften.

2.9.1.2. Måleinstrumenterne skal opstartes i henhold til instrumentfabrikantens anvisninger.

2.9.1.3. CVS-varmeveksleren (hvis monteret) forvarmes eller forkøles til dens normale driftprøvningstemperatur-tolerance som angivet i punkt 3.3.5.1 i bilag B5.

2.9.1.4. Komponenter såsom prøveudtagningsledninger, filtre, kølere og pumper, skal opvarmes eller afkøles efter behov, indtil stabiliserede driftstemperaturer er nået.

2.9.1.5. CVS-strømningshastigheder skal indstilles i overensstemmelse med punkt 3.3.4 i bilag B5, og prøvestrøms-hastigheder skal indstilles på passende niveauer.

2.9.1.6. Eventuelle elektroniske integreringsanordninger nulstilles og kan gennulstilles inden påbegyndelsen af alle cyklusfaser.

2.9.1.7. For alle kontinuerlige gasanalysatorer udvælges passende intervaller. Disse kan kun ændres i løbet af en prøvning, hvis skiftet foretages ved at ændre den kalibrering, instrumentets digitale opløsning er baseret på. Forstærkningsindstillingerne i en analysators analoge operationelle forstærkere må ikke ændres i løbet af en prøvning.

2.9.1.8. Alle kontinuerlige gasanalysatorer skal nulstilles og kalibreres ved anvendelse af gasser, der opfylder kravene i punkt 6 i bilag B5.

2.10. Prøveudtagning til bestemmelse af PM

2.10.1. De i punkt 2.10.1.1 til og med 2.10.1.2.2 i dette bilag beskrevne skridt tages før hver prøvning.

2.10.1.1. Filterudvælgelse

Et enkelt partikelprøveudtagningsfilter uden backup anvendes for hele den gældende WLTC. For at imødekomme regionale cyklusvariationer kan der anvendes ét filter for de første tre faser og et separat filter for den fjerde fase.

2.10.1.2. Forberedelse af filter

2.10.1.2.1. Mindst 1 time før prøvningen skal filteret anbringes i en petriskål, som er beskyttet mod støvkontaminering og tillader luftudskiftning, og stilles til stabilisering i et vejerum.

Når stabiliseringsperioden er forløbet, vejes filteret, og dets vægt registreres. Filteret opbevares derefter i en lukket petriskål eller tætsluttende filterholder, indtil det skal bruges til prøvning. Filteret skal anvendes senest otte timer efter udtagning af vejerummet.

Filteret bringes tilbage til stabiliseringsrummet inden for 1 time efter prøvningen og skal konditioneres i mindst 1 time før vejning.

2.10.1.2.2. Partikelprøvetagningsfilteret monteres omhyggeligt i filterholderen. Filteret må kun håndteres med pincet eller tang. Uforsigtig behandling af filteret medfører fejlagtig vejning. Filterholderenheden skal anbringes i en prøveudtagningsledning, hvorigennem der ikke er nogen strømning.

2.10.1.2.3. Det anbefales, at mikrovægten kontrolleres ved påbegyndelse af hver vejesession inden for 24 timer forud for vejning af prøven ved at veje en referencegenstand på 100 mg. Denne referencegenstand vejes tre gange, og det aritmetiske gennemsnitsresultat noteres. Hvis det aritmetiske gennemsnitsresultat af vejningerne er ±5 µg af resultatet af den forudgående vejesession, anses vejesessionen og vægten for at være gyldige.

2.11. PN-prøveudtagning

2.11.1. De i punkt 2.11.1.1 til og med 2.11.1.2 i dette bilag beskrevne skridt tages før hver prøvning.

2.11.1.1. Det partikelspecifikke fortyndingssystem og måleudstyret startes og klargøres til prøveudtagning.

2.11.1.2. Den korrekte funktion af PNC- og VPR-elementerne i partikelprøveudtagningssystemet skal bekræftes efter de procedurer, der er anført i punkt 2.11.1.2.1 til og med 2.11.1.2.4 i dette bilag.

2.11.1.2.1. En kontrol for utætheder gennem et filter af passende ydelse tilsluttet til indgangen til det samlede PN-målesystem og til VPR og PNC, skal som resultat vise en målt koncentration på under 0,5 partikler pr. cm^3.

2.11.1.2.2. Hver dag skal en nulkontrol af PNC gennem et filter af passende ydelse ved indgangen til PNC vise en koncentration på ≤ 0,2 partikler pr. cm^3. Efter fjernelse af dette filter skal PNC vise en forøgelse af den målte koncentration og en tilbagevenden til ≤ 0,2 partikler pr. cm^3 ved udskiftning af filteret. PNC må ikke indberette nogen fejl.

2.11.1.2.3. Det skal bekræftes, at målesystemet opgiver, at fordampningsrøret, hvis systemet omfatter et sådant, er nået op på den korrekte driftstemperatur.

2.11.1.2.4. Det skal bekræftes, at målesystemet angiver, at fortynderen PND_1 har opnået den korrekte driftstemperatur.

2.12. Prøveudtagning under prøvningen

2.12.1. Fortyndingssystemet, prøveudtagningspumperne og dataindsamlingssystemet startes.

2.12.2. PM- og PN-prøveudtagningssystemerne startes.

2.12.3. Partikelantallet skal måles kontinuerligt. De aritmetiske gennemsnitskoncentrationer bestemmes ved integration af signalerne fra analysatorerne over hver fase.

2.12.4. Prøveudtagningen påbegyndes før eller ved indledningen af startproceduren for drivlinjen og afsluttes efter afslutning af cyklussen.

2.12.5. Prøveomstilling

2.12.5.1. Emission af forurenende luftarter

Prøveudtagning fra den fortyndede udstødningsgas og fortyndingsluft skal omstilles fra et par sække til efterfølgende sækkepar, om nødvendigt ved afslutningen af hver fase af de gældende WLTC'er, der skal køres.

2.12.5.2. Partikelmasse

Kravene i punkt 2.10.1.1 i dette bilag finder anvendelse.

2.12.6. Dynamometerdistancen registreres for hver fase.

2.13. Prøvningens afslutning

2.13.1. Motoren standses umiddelbart efter afslutningen af den sidste del af prøvningen.

2.13.2. Konstantvolumenudtagningsenheden (CVS) eller andre indsugningsanordninger slukkes, eller udstødningsslangen fra køretøjets udstødningsrør kobles fra.

2.13.3. Køretøjet kan fjernes fra dynamometeret.

2.14. Procedurer efter prøvning

2.14.1. Kontrol af gasanalysator

Analysatorernes nulstillings- og kalibreringsgasvisninger, som anvendes til kontinuerlig fortyndet måling, skal kontrolleres. Prøvningen anses for acceptabel, hvis forskellen mellem resultaterne før og efter prøvningen er mindre end 2 % af kalibreringsgassens værdi.

2.14.2. Analyse af prøvesække

2.14.2.1. Udstødningsgasserne og fortyndingsluften i sækkene skal analyseres så hurtigt som muligt. Udstødningsgasserne skal under alle omstændigheder analyseres senest 30 minutter efter afslutning af cyklusfasen.

Gasreaktivitetstiden for sammensatte forbindelser i sækken skal tages i betragtning.

2.14.2.2. Før analyse af hver prøve og i det omfang, det er praktisk muligt, skal det analyseområde, som skal anvendes til den pågældende sammensatte forbindelse, nulstilles med den korrekte nulstillingsgas.

2.14.2.3. Analysatorernes kalibreringskurver indstilles derefter ved hjælp af kalibreringsgasser med en nominel koncentration på 70 til 100 % af måleområdet.

2.14.2.4. Analysatorernes nulstillingsindstillinger kontrolleres derefter igen: Hvis en værdi afviger med mere end 2 % på måleskalaen fra værdien fastsat i henhold til punkt 2.14.2.2 i dette bilag, gentages proceduren for den pågældende analysator.

2.14.2.5. Derefter analyseres prøverne.

2.14.2.6. Efter analysen gentages kontrollen af nulpunkt og kalibreringspunkter med brug af de samme gasser. Prøvningen anses for acceptabel, hvis forskellen er mindre end 2 % af kalibreringsgassens værdi.

2.14.2.7. Flowhastighed og tryk for de forskellige gasser gennem analysatorerne skal være den samme som den, der er anvendt ved kalibrering af analysatorerne.

2.14.2.8. Indholdet af hver af de målte forbindelser registreres efter stabilisering af måleapparaturet.

2.14.2.9. Massen og antallet af alle emissioner beregnes, som relevant, i overensstemmelse med bilag B7.

2.14.2.10. Kalibrering og kontrol skal foretages enten:

a) før og efter analysen af hvert sækkepar eller

b) før og efter den fuldstændige prøvning.

For så vidt angår b) skal kalibrering og kontrol udføres på alle analysatorer for alle de områder, der anvendes under prøvningen.

I begge tilfældene a) og b) anvendes samme analyseområde til tilsvarende sække til omgivende luft og udstødningsgas.

2.14.3. Vejning af partikelfilter

2.14.3.1. Partikelprøveudtagningsfilteret bringes tilbage til vejerummet senest én time efter afslutningen af prøvningen. Det skal konditioneres i en petriskål, som er beskyttet mod støvkontaminering og tillader udskiftning af luft, i mindst 1 time og derefter vejes. Filterets bruttovægt registreres.

2.14.3.2. Der vejes mindst to ubrugte referencefiltre; dette finder sted højst 8 timer før eller efter vejning af prøveudtagningsfiltrene, men helst samtidig dermed. Referencefiltrene skal være af samme størrelse og materiale som prøvetagningsfiltrene.

2.14.3.3. Hvis den specifikke vægt af et referencefilter afviger med mere end ± 5 μg fra prøveudtagningsfilterets vægt, skal prøveudtagningsfilteret og referencefiltrene igen konditioneres i vejerummet og vejes på ny.

2.14.3.4. Sammenligninger af vejninger af referencefiltre skal foretages mellem de specifikke vægtværdier og det rullende aritmetiske gennemsnit for det pågældende referencefilters specifikke vægtværdier. Det rullende aritmetiske gennemsnit beregnes ud fra de specifikke vægtværdier, der er indsamlet i perioden fra anbringelse af referencefiltrene i vejerummet. Gennemsnittet skal baseres på mindst 1 dag, men ikke mere end 15 dage.

2.14.3.5. Flere nye konditioneringer og nye vejninger af prøveudtagnings- og referencefiltre er tilladt, indtil der er gået en periode på 80 timer efter målingen af gasser fra emissionsprøvningen. Hvis mere end halvdelen af referencefiltrene inden udløbet af perioden på 80 timer opfylder ± 5 μg-kriteriet, kan vejningen af prøveudtagningsfilteret anses for gyldig. Hvis der ved udløbet af perioden på 80 timer anvendes to referencefiltre, og et af filtrene ikke opfylder ± 5 μg-kriteriet, kan vejningen af prøveudtagningsfilteret anses for gyldig, hvis summen af de absolutte forskelle mellem specifikke og rullende gennemsnit for de to referencefiltre er mindre end eller lig med 10 μg.

2.14.3.6. Hvis mindre end halvdelen af referencefiltrene opfylder ± 5 μg-kriteriet, skal prøveudtagningsfilteret kasseres, og emissionsprøvningen gentages. Alle referencefiltre skal kasseres og udskiftes med nye inden for en periode på 48 timer. I alle andre tilfælde skal referencefiltre udskiftes mindst hver 30. dag og på en sådan måde, at intet prøveudtagningsfilter vejes uden sammenligning med et referencefilter, som har befundet sig i vejerummet i mindst 1 dag.

2.14.3.7. Hvis stabilitetskriterierne for vejerummet, som beskrevet i punkt 4.2.2.1 i bilag B5, ikke er opfyldt, men referencefiltervejningerne opfylder ovenstående kriterier, har køretøjsfabrikanten valget mellem at acceptere vægtværdierne for prøveudtagningsfiltrene eller kassere prøvningerne, udbedre vejerummets kontrolsystem og gentage prøvningen.

Bilag B6 - Tillæg 1

Emissionsprøvningsprocedure for alle køretøjer med periodisk regenererende systemer

1. Indledning

1.1. Dette tillæg definerer de specifikke bestemmelser med hensyn til prøvning af et køretøj udstyret med periodisk regenererende systemer som defineret i punkt 3.8.1 i dette regulativ.

Kun niveau 1A og niveau 2 (fase 4 WLTP):

Fabrikanten skal med henblik på typegodkendelse forelægge den godkendende myndighed en underskrevet overensstemmelseserklæring med regenereringskravene. Ved typegodkendelsen erstatter denne overensstemmelseserklæring prøvningskravene i henhold til dette tillæg.

Overensstemmelseserklæringen skal også omfatte de gældende regenereringsfaktorer (Ki), der er fastsat i overensstemmelse med procedurerne i dette tillæg eller andre af fabrikanten valgte egnede midler.

En skabelon til fabrikantens erklæring om overensstemmelse med regenereringskravene findes i tillæg 3 i bilag A2.

1.2. I forbindelse med cyklusser, hvor der forekommer regenerering, tillades overskridelse af emissionsstandarderne. Hvis en periodisk regenerering forekommer mindst én gang pr. type 1-prøvning og allerede har fundet sted mindst én gang under konditionering af køretøjet, eller afstanden mellem to på hinanden følgende periodiske regenereringer er mere end 4 000 km kørsel med gentagne type 1-prøvninger, kræves der ikke en særlig prøvningsprocedure. I dette tilfælde finder dette tillæg ikke anvendelse, og der skal anvendes en Ki faktor på 1,0.

1.3. Bestemmelserne i dette tillæg finder ikke anvendelse på PN-emissioner.

1.4. På fabrikantens anmodning og med den kompetente myndigheds godkendelse behøver prøvningsproceduren, som er specifik for periodisk regenererende systemer, ikke gælde for en regenereringsanordning, hvis fabrikanten dokumenterer, at emissionerne under cyklusser med regenerering ikke overstiger grænseværdierne i punkt 6.3.10 i dette regulativ for den pågældende køretøjsklasse. I dette tilfælde anvendes en fast Ki-værdi på 1,05 anvendes for CO_2 og brændstofforbrug.

2. Prøvningsmetode

Prøvningskøretøjet skal kunne forhindre eller tillade regenereringsprocessen, forudsat at denne operation ikke har indflydelse på originale kalibreringer af motoren. Forhindring af regenerering er kun tilladt under belastning af det regenererende system og under konditioneringscyklusser. Dette er ikke tilladt under måling af emissioner i regenereringsfasen. Emissionsprøvningen udføres med fabrikantens uændrede originale (OEM) styreenhed. På fabrikantens anmodning og efter godkendelse fra den kompetente myndighed kan der anvendes en "tilvirket styreenhed", der ikke har nogen indvirkning på de originale motorkalibreringer, under K_i-bestemmelsen.

2.1. Måling af udstødningsemissioner mellem to WLTC'er med regenereringshændelser.

2.1.1. De aritmetiske gennemsnitsemissioner mellem regenereringsfaser og under belastning af den regenererende anordning skal bestemmes ud fra det aritmetiske gennemsnit af adskillige omtrent ækvidistante (hvis mere end to) type 1-prøvninger. Alternativt kan fabrikanten levere data, der påviser, at emissionerne forbliver konstante (±15 %) i WLTC'er mellem regenereringshændelser. I dette tilfælde kan emissionerne målt under type 1-prøvningen anvendes. I et hvilket som helst andet tilfælde skal der fuldføres emissionsmåling for mindst to type 1-cyklusser: én straks efter regenerering (før ny belastning) og én så tæt som muligt før regenereringsfasen. Alle emissionsmålinger udføres i overensstemmelse med dette bilag, og alle beregninger skal udføres i overensstemmelse med punkt 3 i dette tillæg.

2.1.2. Belastningsprocessen og bestemmelsen af $\mathbf{K_i}$ skal udføres under type 1-kørecyklussen på et chassisdynamometer eller en motorprøvebænk ved anvendelse af en ækvivalent prøvningscyklus. Disse cyklusser kan køres kontinuerligt (dvs. uden at det er nødvendigt, at slukke motoren mellem cyklusserne). Efter et hvilket som helst antal fuldførte cyklusser kan køretøjet fjernes fra chassisdynamometeret og prøvningen fortsættes på et senere tidspunkt.

For køretøjer i gruppe 2 og gruppe 3 kan K_i på fabrikantens anmodning og efter aftale med den kompetente myndighed bestemmes med eller uden den ekstra høje fase.

På fabrikantens anmodning og efter godkendelse fra den kompetente myndighed kan fabrikanten udvikle en alternativ procedure og anvende denne til påvisning af ækvivalens, herunder filtertemperatur, belastningsmængde og kørt distance. Dette kan gøres på en motorprøvebænk eller på et chassisdynamometer.

2.1.3. Antallet af cyklusser D mellem to WLTC'er, hvor der forekommer regenereringshændelser, og antallet af cyklusser, gennem hvilke der udføres emissionsmålinger n og masseemissionsmålinger $\mathbf{M}_{\mathbf{sij}}$ for hver forbindelse i gennem hver cyklus, j, registreres.

2.2. Måling af emissioner under regenereringshændelser

2.2.1. Forberedelse af køretøjet kan om nødvendigt for emissionsprøvningen under en regenereringsfase udføres ved at anvende prækonditioneringscyklusserne i punkt 2.6 i dette bilag eller ækvivalente motorprøvebænkscyklusser, afhængigt af den valgte belastningsprocedure i punkt 2.1.2 i dette tillæg.

2.2.2. Prøvningen og køretøjstilstandene for type 1-prøvning beskrevet i dette regulativ gælder, før den første gyldige emissionsprøvning udføres.

2.2.3. Regenerering må ikke forekomme under forberedelse af køretøjet. Dette kan sikres ved en af de følgende metoder:

a) Et "dummy"-regenererende system eller delvist system kan monteres med henblik på prækonditioneringscyklusserne.

b) En hvilken som helst anden metode, der er enighed om mellem fabrikanten og den kompetente myndighed.

2.2.4. En udstødningsemissionsprøve ved koldstart, herunder en regenereringsproces, udføres i henhold til den gældende WLTC.

2.2.5. Hvis regenereringsprocessen kræver mere end én WLTC, skal hver WLTC fuldføres. Anvendelse af et enkelt partikelprøveudtagningsfilter for flere cyklusser, der kræves til fuldstændig regenerering, er tilladt.

Hvis der kræves mere end én WLTC, skal efterfølgende WLTC('er) køres umiddelbart efter uden at afbryde motoren, indtil fuldstændig regenerering er opnået. Hvis antallet af sække til gasformige emissioner, der er nødvendige for flere cyklusser, overstiger antallet af sække til rådighed, skal den tid, der er nødvendig til opstilling af en ny prøvning være så kort som muligt. Motoren skal være slukket i denne periode.

2.2.6. Emissionsværdierne under regenerering $\mathbf{M_{ri}}$ for hver forbindelse i beregnes i overensstemmelse med punkt 3 i dette tillæg. Antallet af de gældende prøvningscyklusser **d** målt ved fuldstændig regenerering registreres.

3. Beregninger

3.1. Beregning af udstødnings- og CO_2-emissioner og brændstofforbrug for et enkelt regenererende system

$$\mathbf{M_{si}} = \frac{\sum_{j=1}^{n} \mathbf{M'_{sij}}}{\mathbf{n}} \text{ forn} \geq \mathbf{1}$$

$$\mathbf{M_{ri}} = \frac{\sum_{j=1}^{d} \mathbf{M'_{rij}}}{\mathbf{d}} \text{ ford} \geq \mathbf{1}$$

$$\mathbf{M_{pi}} = \frac{\mathbf{M_{si}} \times \mathbf{D} + \mathbf{M_{ri}} \times \mathbf{d}}{\mathbf{D} + \mathbf{d}}$$

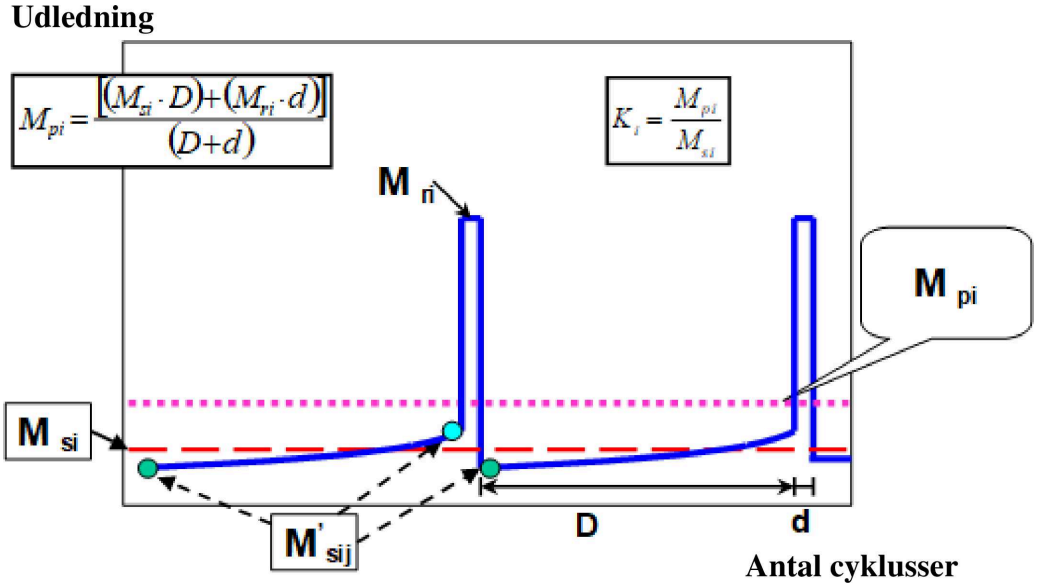
hvor der for hver forbindelse i iagttages følgende:

$\mathbf{M'_{sij}}$	er masseemissionerne af forbindelse i gennem prøvecyklussen j uden regenerering (g/km)
$\mathbf{M'_{rij}}$	er masseemissionerne af forbindelse i gennem prøvecyklussen j i løbet af en regenerering (g/km) (hvis $\mathbf{d} > \mathbf{1}$ skal den første WLTC-prøvning køres i kold tilstand og efterfølgende cyklusser køres i varm tilstand)
$\mathbf{M_{si}}$	er de gennemsnitlige masseemissioner af forbindelse i uden regenerering (g/km)
$\mathbf{M_{ri}}$	er de gennemsnitlige masseemissioner af forbindelse i under regenerering (g/km)
$\mathbf{M_{pi}}$	er de gennemsnitlige masseemissioner af forbindelse i (g/km)
n	er antallet af prøvningscyklusser mellem cyklusser, hvor regenereringshændelser indtræffer, ved hvilke emissionsmålinger af type 1-WLTC'er gennemføres og skal være ≥ 1
d	er antallet af komplette gældende prøvningscyklusser krævet til regenerering
D	D er antallet af komplette gældende prøvningscyklusser mellem to cyklusser, hvor regenereringshændelser indtræffer.

Beregningen af $\mathbf{M_{pi}}$ er illustreret i figur A6.Till1/1.

Figur A6.Till1/1

Parametre målt under emissionsprøvning under og mellem cyklusser, hvor regenerering forekommer (skematisk eksempel, emissionerne under D kan øges eller mindskes)



3.1.1. Beregning af regenereringsfaktoren $\mathbf{K_i}$ for hver betragtet forbindelse i

Fabrikanten kan for hver forbindelse vælge uafhængigt at bestemme additive udligninger eller multiplikative faktorer.

$\mathbf{K_i}$ faktor: $$\mathbf{K_i} = \frac{\mathbf{M_{pi}}}{\mathbf{M_{si}}}$$

$\mathbf{K_i}$ forskydning: $$\mathbf{K_i} = \mathbf{M_{pi}} - \mathbf{M_{si}}$$

resultaterne af $\mathbf{M_{si}}$, $\mathbf{M_{pi}}$ og $\mathbf{K_i}$ og fabrikantens valg af faktortype skal registreres. K_i-resultatet skal indgå i alle relevante prøvningsrapporter. Resultaterne af M_{si}, M_{pi} og $K_i$skal indgå i alle relevante prøvningsark.

$\mathbf{K_i}$ kan bestemmes efter afslutningen af en enkelt regenereringssekvens bestående af målinger før, under og efter regenereringshændelser som vist i figur A6.Till1/1.

3.2. Beregning af udstødnings- og CO_2-emissioner og brændstofforbrug for flere periodisk regenererende systemer

Følgende beregnes for en type 1-driftscyklus for kriterieemissioner og CO_2-emissioner. De CO_2-emissioner, der anvendes til denne beregning, skal være resultatet af trin 3 beskrevet i tabel A7/1 i bilag B7 og tabel A8/5 i bilag B8.

$$\mathbf{M_{sik}} = \frac{\sum_{j=1}^{\mathbf{n_k}} \mathbf{M'_{sik,j}}}{\mathbf{n_k}} \text{ For } \mathbf{n_j} \geq \mathbf{1}$$

$$\mathbf{M_{rik}} = \frac{\sum_{j=1}^{\mathbf{d_k}} \mathbf{M'_{rik,j}}}{\mathbf{d_k}} \text{ ford} \geq \mathbf{1}$$

$$\mathbf{M_{si}} = \frac{\sum_{k=1}^{x} \mathbf{M_{sik}} \times \mathbf{D_k}}{\sum_{k=1}^{x} \mathbf{D_k}}$$

$$\mathbf{M_{ri}} = \frac{\sum_{k=1}^{x} \mathbf{M_{rik}} \times \mathbf{d_k}}{\sum_{k=1}^{x} \mathbf{d_k}}$$

$$\mathbf{M_{pi}} = \frac{\mathbf{M_{si}} \times \sum_{k=1}^{x} \mathbf{D_k} + \mathbf{M_{ri}} \times \sum_{k=1}^{x} \mathbf{d_k}}{\sum_{k=1}^{x} (\mathbf{D_k} + \mathbf{d_k})}$$

$$\mathbf{M_{pi}} = \frac{\sum_{k=1}^{x} (\mathbf{M_{sik}} \times \mathbf{D_k} + \mathbf{M_{rik}} \times \mathbf{d_k})}{\sum_{k=1}^{x} (\mathbf{D_k} + \mathbf{d_k})}$$

$\mathbf{K_i}$ faktor: $$\mathbf{K_i} = \frac{\mathbf{M_{pi}}}{\mathbf{M_{si}}}$$

$\mathbf{K_i}$ forskydning: $$\mathbf{K_i} = \mathbf{M_{pi}} - \mathbf{M_{si}}$$

hvor:

$\mathbf{M_{si}}$	er de gennemsnitlige masseemissioner for alle hændelser k for forbindelse i uden regenerering (g/km)
$\mathbf{M_{ri}}$	er de gennemsnitlige masseemissioner for alle hændelser k for forbindelse i under regenerering (g/km)
$\mathbf{M_{pi}}$	er de gennemsnitlige masseemissioner for alle hændelser k for forbindelse i (g/km)
$\mathbf{M_{sik}}$	er de gennemsnitlige masseemissioner for hændelsen k for forbindelse i uden regenerering (g/km)
$\mathbf{M_{rik}}$	er de gennemsnitlige masseemissioner for hændelsen k for forbindelse i under regenerering (g/km)
$\mathbf{M'_{sik,j}}$	er masseemissionerne for hændelsen k for forbindelse i (g/km) uden regenerering målt ved punktet j, hvor $\mathbf{1} \leq \mathbf{j} \leq \mathbf{n_k}$, g/km

$\mathbf{M'_{rik,j}}$ er masseemissionerne for hændelsen k for forbindelse i under regenerering (hvis $\mathbf{j > 1}$, køres den første type 1-prøvning i kold tilstand, og efterfølgende cyklusser i varm tilstand) målt ved prøvningscyklus j, idet $\mathbf{1 \leq j \leq d_k}$, g/km

$\mathbf{n_k}$ er antallet af komplette prøvningscyklusser for hændelsen k mellem to cyklusser, hvor regenereringsfaser forekommer, under hvilke emissionsmålinger (type 1-WLTC'er eller ækvivalente motorprøvebænkscyklusser) udføres og skal være ≥ 1

$\mathbf{d_k}$ er antallet af komplette gældende prøvningscyklusser for hændelsen k krævet til fuldstændig regenerering

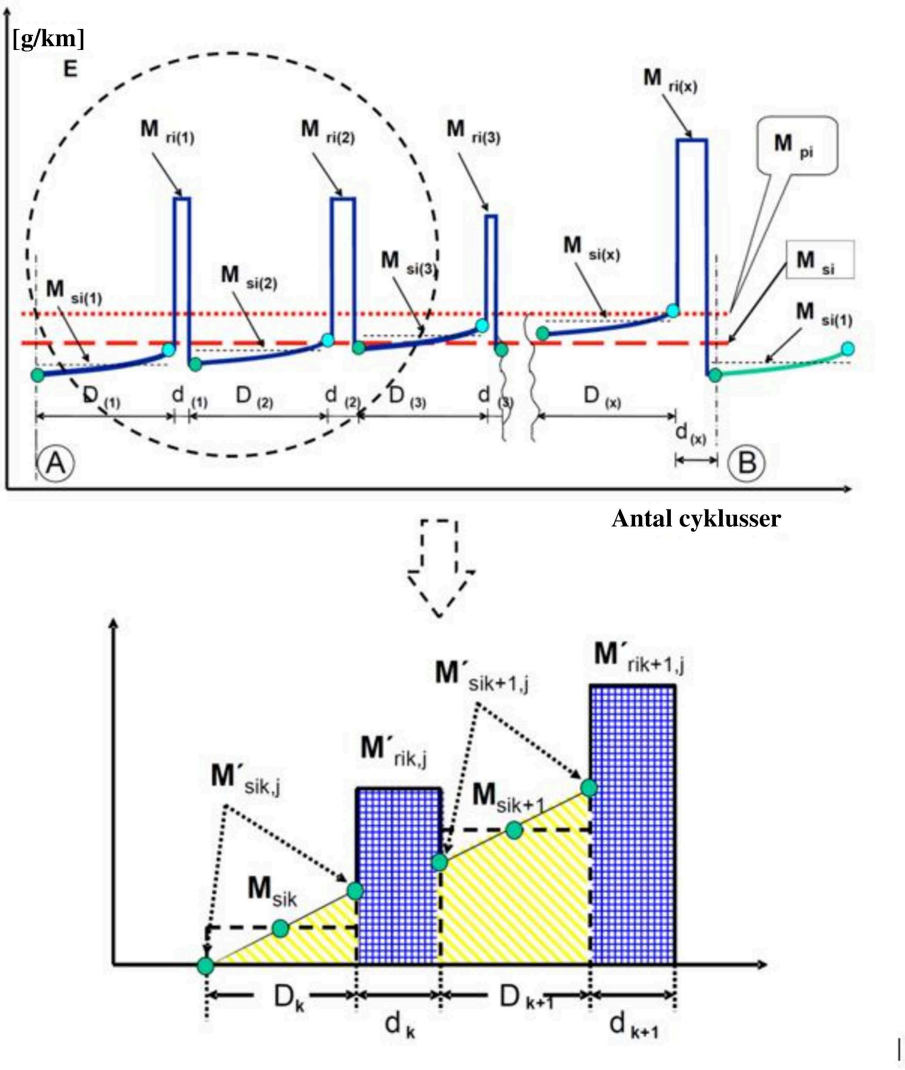
$\mathbf{D_k}$ er antallet af komplette gældende prøvningscyklusser for begivenheden k mellem to cyklusser, hvor regenereringshændelser indtræffer

x er antallet af fuldstændige regenereringsbegivenheder.

Beregningen af $\mathbf{M_{pi}}$ er illustreret i figur A6.Till1/2.

Figur A6.Till1/2

Parametre målt under emissionsprøvning under og mellem cyklusser, hvor regenerering forekommer (skematisk eksempel)



Beregningen af $\mathbf{K_i}$ for flere periodisk regenererende systemer kan først foretages efter et vist antal regenereringsfaser for hvert system.

Efter udførelsen af den komplette procedure (A til B, jf. figur A6.App1/2) bør de oprindelige udgangsbetingelser A opfyldes igen.

3.3. K_i-faktorer og K_i-forskydninger afrundes til fire decimaler. For Ki-forskydninger baseres afrundingen på den fysiske enhed af emissionsstandardværdien.

Bilag B6 - Tillæg 2

Prøvningsmetode for overvågning af genopladeligt elektrisk energilagringssystem

1. Indledning

Hvis NOVC-HEV'er, OVC-HEV'er, NOVC-FCHV'er og OVC-FCHV'er (alt efter hvad der er relevant) prøves, finder tillæg 2 og 3 i bilag B8 anvendelse.

Dette tillæg definerer de specifikke bestemmelser med hensyn til korrektionen af prøvningsresultaterne for CO_2-emission som funktion af energibalancen $\mathbf{\Delta E_{REESS}}$ for alle REESS'er.

De korrigerede værdier for CO_2-emission skal svare til en energibalance på nul ($\mathbf{\Delta E_{REESS} = 0}$) og beregnes ved hjælp af en korrektionskoefficient, der fastsættes som defineret nedenfor.

2. Måleapparatur og -instrumenter

2.1. Strømmåling

REESS-ladningsforbrug defineres som negativ strøm.

2.1.1. REESS-strømstyrken måles under prøvningen ved hjælp af en strømtransducer af klemmetypen eller den lukkede type. Strømmålingssystemet skal opfylde kravene i tabel A8/1. Strømtransduceren(-ne) skal være i stand til at håndtere spidsstrømværdierne ved motorens start og temperaturforholdene på målestedet.

For at få en nøjagtig måling udføres nuljustering og degaussing før prøvningen i overensstemmelse med instrumentfabrikantens anvisninger.

2.1.2. Strømtransducerne anbringes på en hvilken som helst af REESS'erne på en af de ledninger, som er direkte tilsluttet REESS'en, og forbindes over den samlede REESS-strøm.

I tilfælde af afskærmede kabler anvendes hensigtsmæssige metoder i overensstemmelse med den kompetente myndighed.

For at lette målingen af REESS-strømstyrke ved hjælp af eksternt måleudstyr bør fabrikanterne integrere passende, sikre og tilgængelige forbindelsespunkter i køretøjet. Hvis dette ikke er muligt, skal fabrikanten støtte den kompetente myndighed ved at levere det udstyr, som er nødvendigt for at forbinde en strømtransducer til REESS-systemets kabler på den måde, der er beskrevet ovenfor.

2.1.3. Den målte strøm integreres med tiden ved en minimumsfrekvens på 20 Hz, hvorved den målte værdi af Q udtrykt i amperetimer (Ah) fremkommer. Integrationen kan foregå i strømmålingssystemet.

2.2. Ombordkøretøjsdata

2.2.1. Alternativt skal REESS-strømstyrken bestemmes ved hjælp af køretøjsbaserede data. For at denne målemetode kan benyttes, skal følgende oplysninger være tilgængelige fra prøvningskøretøjet:

a) integreret ladebalanceværdi siden sidste tænding (Ah)

b) integreret ombord-data-ladebalanceværdi beregnet med en minimal samplingsfrekvens på 5 Hz

c) ladebalanceværdien via en OBD-stikforbindelse som beskrevet i SAE J1962.

2.2.2. Nøjagtigheden af køretøjets ombord-REESS-ladedata og -afladningsdata skal af fabrikanten påvises over for den kompetente myndighed.

Fabrikanten kan skabe en REESS-overvågningskøretøjsfamilie med henblik på at påvise, at bilens indbyggede REESS-ladedata og -afladningsdata er korrekte. Dataenes nøjagtighed skal påvises på et repræsentativt køretøj.

Følgende familiekriterier gælder:

a) Identiske forbrændingsprocesser (styret tænding, kompressionstænding, totakts, firtakts)

b) Identiske opladnings- og/eller genvindingsstrategier (software, REESS-datamodul)

c) ombord-data til rådighed

d) Identiske ladebalancer målt af REESS-systemets datamodul

e) Identiske ombord-ladebalancesimuleringer.

2.2.3. Alle REESS-systemer, der ikke har indflydelse på CO_2-emissioner, undtages fra overvågningen.

3. REESS-energiændringsbaseret korrektionsprocedure

3.1. Målingen af REESS-strømstyrken skal påbegyndes samtidig med prøvningens start og afsluttes, umiddelbart efter at køretøjet har gennemkørt den fuldstændige kørecyklus.

3.2. Elektricitetsbalancen Q målt i den elektriske strømforsyning anvendes til at udtrykke forskellen mellem energiindholdet i REESS ved slutningen af cyklussen og ved cyklussens begyndelse. Elektricitetsbalancen bestemmes for den samlede kørte WLTC.

3.3. Der skal registreres separate værdier for $\mathbf{Q_{phase}}$ over kørecyklussens faser.

3.4. Korrektion af CO_2-emission gennem hele cyklussen

3.4.1. (Reserveret)

3.4.2. Korrektionen skal anvendes, hvis $\mathbf{\Delta E_{REESS}}$ er negativ (svarende til afladning af REESS)

På fabrikantens anmodning kan korrektionen udelades, og ukorrigerede værdier kan anvendes, hvis:

a) $\mathbf{\Delta E_{REESS}}$ er positivt (svarende til REESS-opladning)

b) Fabrikanten kan over for den kompetente myndighed ved måling godtgøre, at der ikke er nogen forbindelse mellem $\mathbf{\Delta E_{REESS}}$ og $\mathbf{CO_2}$ masseemission og mellem $\mathbf{\Delta E_{REESS}}$ og brændstofforbrug.

Tabel A6.Till2/1

Brændstoffets energiindhold (hvis relevant)

Brændstof	Benzin (E0)	Benzin (E10)/(E10H)	Ethanol (E85)	Diesel (B0)	Diesel (B5H)	Diesel (B7)	LPG	CNG
Varme-værdi	8,92 kWh/l	8,64 kWh	6,41 kWh	9,85 kWh/l	9,80 kWh	9,79 kWh	12,86 x ρ kWh/l	11,39 kWh/m³

ρ = brændstofmassefylde ved 15 °C (kg/l)

4. Anvendelse af korrektionsfunktionen

4.1. For at anvende korrektionsfunktionen skal den elektriske energiændring $\Delta E_{REESS,j}$,j for en periode j for alle REESS'er beregnes ud fra den målte strøm og den nominelle spænding:

$$\Delta E_{REESS,j} = \sum_{i=1}^{n} \Delta E_{REESS,j,i}$$

hvor:

$\Delta E_{REESS,j,i}$ er den elektriske energiændring i REESS i den betragtede periode j (Wh)

samt:

$$\Delta E_{REESS,j,i} = \frac{1}{3600} \times U_{REESS} \times \int_{t_0}^{t_{end}} I(t)_{j,i} dt$$

hvor:

U_{REESS} er den nominelle REESS-spænding bestemt efter IEC EN 60050-482, V

$I(t)_{j,i}$ er den i'te REESS-strømstyrke i perioden j bestemt i overensstemmelse med punkt 2 i dette tillæg, A

t_0 er tidspunktet ved begyndelsen af den pågældende periode j (s)

t_{end} er tidspunktet ved slutningen af den betragtede periode j, (s)

i er indeksnummeret for det pågældende REESS

n er det samlede antal REESS'er

j er indeksnummeret for den betragtede periode, idet en periode er enhver gældende cyklusfase, kombination af cyklusfaser og den gældende samlede cyklus

$\frac{1}{3600}$ er omregningsfaktoren fra Ws til Wh.

4.2. Med henblik på korrektion af CO_2-emissionen, g/km, anvendes forbrændingsprocesspecifikke Willans-faktorer fra tabel A6.Till2/3.

4.3. Korrektionen skal udføres og anvendes for den samlede cyklus og for hver af dens cyklusfaser, og den registreres.

4.4. Til denne specifikke beregning anvendes en fastmonteret elektrisk strømforsyningssystemgenerator:

$$\eta_{alternator} = 0.67 \text{forelektriskpowersupplysystemREESSalternators}$$

4.5. Den deraf følgende CO_2-emissionsforskel for den betragtede periode j som følge af generatorens belastningsadfærd ved opladning af et REESS-system beregnes ved hjælp af følgende ligning:

$$\Delta M_{CO2,j} = 0.0036 \times \Delta E_{REESS,j} \times \frac{1}{\eta_{alternator}} \times Willans_{factor} \times \frac{1}{d_j}$$

hvor:

$\Delta M_{CO2,j}$ er den resulterende CO_2 -masseemissionsforskel for perioden j, (g/km)

$\Delta E_{REESS,j}$ er REESS-energiændringen i den pågældende periode j beregnet i overensstemmelse med punkt 4.1 i dette tillæg (Wh)

d_j er den kørte distance i den betragtede periode jj, km

j	er indeksnummeret for den betragtede periode, idet en periode er enhver gældende cyklusfase, kombination af cyklusfaser og den gældende samlede cyklus
0,0036	er omregningsfaktoren fra Wh til MJ
$\eta_{alternator}$	er generatorens effektivitet i overensstemmelse med punkt 4.4 i dette tillæg
$Willans_{factor}$	er den forbrændingsprocesspecifikke Willansfaktor som defineret i tabel A6.Till2/3 (gCO_2/MJ)

4.5.1. CO_2-værdierne for hver fase og den samlede cyklus skal korrigeres som følger:

For niveau 1A

$$M_{CO2,p,3} = M_{CO2,p,2b} - \Delta M_{CO2,j}$$

$$M_{CO2,c,3} = M_{CO2,c,2b} - \Delta M_{CO2,j}$$

Niveau 1B og niveau 2

$$M_{CO2,p,3} = (M_{CO2,p,1} - \Delta M_{CO2,j})$$

$$M_{CO2,c,3} = (M_{CO2,c,2} - \Delta M_{CO2,j})$$

hvor:

$\Delta M_{CO2,j}$ er resultatet fra punkt 4.5 i dette tillæg for en periode j, g/km.

Tabel A6.App2/3

Willans-faktorer (hvis relevant)

			Naturlig indsugning	Trykladning
Styret tænding	Benzin (E0)	l/MJ	0,0733	0,0778
		gCO_2/MJ	175	186
	Benzin (E10/E10H)	l/MJ	0,0756	0,0803
		gCO_2/MJ	174	184
	CNG (G20)	m^3/MJ	0,0719	0,0764
		gCO_2/MJ	129	137
	LPG	l/MJ	0,0950	0,101
		gCO_2/MJ	155	164
	E85	l/MJ	0,102	0,108
		gCO_2/MJ	169	179
Kompressionstænding	Diesel (B0)	l/MJ	0,0611	0,0611
		gCO_2/MJ	161	161
	Diesel (B5H)	l/MJ	0,0611	0,0611
		gCO_2/MJ	161	161
	Diesel (B7)	l/MJ	0,0611	0,0611
		gCO_2/MJ	161	161

Bilag B6 - Tillæg 3.

Beregning af gas/energiforhold til gasformigt brændstof (LPG og NG/biomethan)

1. Måling af massen af gasformigt brændstof, der forbruges under type 1-prøvningscyklussen

   Måling af den gasmasse, der forbruges under cyklussen, foretages ved hjælp af et brændstofvejningssystem, der kan måle brændstofbeholderens vægt under prøvningen og opfylde følgende krav:

   a) En nøjagtighed på ± 2 % af forskellen mellem aflæsningen ved prøvningens indledning og dens afslutning eller bedre.

   b) Der skal træffes foranstaltninger til undgåelse af målefejl.

      Sådanne foranstaltninger skal som minimum omfatte omhyggelig montering af anordningen i overensstemmelse med instrumentfabrikanternes anbefalinger og god teknisk praksis.

   c) Andre målemetoder tillades, hvis en tilsvarende nøjagtighed kan påvises.

2. Beregning af gas/energiforholdet

   Brændstofforbruget beregnes ud fra emissionerne af carbonhydrider, carbonmonoxid og carbondioxid bestemt gennem måleresultaterne, idet det antages, at der kun brændes gasformigt brændstof under prøvningen.

   Gassens andel af den energi, der forbruges i cyklussen, bestemmes ved hjælp af følgende ligning:

$$G_{gas} = \left(\frac{M_{gas} \times cf \times 10^4}{FC_{norm} \times dist \times \rho} \right)$$

   hvor:

G_{gas}	er gas/energiforholdet (%)
M_{gas}	er massen af gasformigt brændstof forbrændt under cyklussen (kg)
FC_{norm}	er brændstofforbruget (l/100 km for LPG, m^3/100 km for NG/biomethan) beregnet i overensstemmelse med punkt 6.6 og 6.7 i bilag B7
dist	er tilbagelagt distance under cyklussen, km
ρ	er gassens massefylde: ρ = 0,654 kg/m^3 for NG/biomethane; ρ = 0,538 kg/liter for LPG
cf	er korrektionsfaktoren, under forudsætning af følgende værdier: cf = 1 i tilfælde af LPG eller referencebrændstof G20 cf = 0,78 i tilfælde af referencebrændstof G25.

BILAG B6A

Temperaturkorrektionsprøvning (omgivende temperatur) til bestemmelse af CO2-emissioner under repræsentative regionale temperaturforhold

Dette bilag finder kun anvendelse på niveau 1A og niveau 2 (fase 4 WLTP)

1. Indledning

Dette bilag beskriver fremgangsmåden for den supplerende temperaturkorrektionsprøvning (ATCT) til bestemmelse af CO_2-emissioner under repræsentative regionale temperaturforhold.

Medmindre den typegodkendende myndighed kræver en prøvning med henblik på typegodkendelse, skal fabrikanten fremlægge en underskrevet erklæring om overensstemmelse med ATCT-kravene. Ved typegodkendelsen erstatter denne overensstemmelseserklæring prøvningskravene i henhold til dette bilag.

Overensstemmelseserklæringen skal også omfatte den gældende familiekorrektionsfaktor (FCF), der er fastsat i overensstemmelse med procedurerne i dette bilag eller andre af fabrikanten valgte egnede midler.

En skabelon til fabrikantens erklæring om overensstemmelse med ATCT-kravene findes i tillæg 2 i bilag A2.

1.1. CO_2-emissionerne fra ICE-køretøjer og NOVC-HEV'er og den ladningsbevarende værdi af OVC-HEV'er skal korrigeres efter forskrifterne i dette bilag. Der er ikke behov for korrektion af CO_2-værdien for den ladningsforbrugende prøvning. Der kræves ingen korrektion for en elektrisk rækkevidde.

1.2. For at sikre statistisk repræsentativitet kan alle prøvninger, fra hvilke der anvendes resultater i de beregninger, der er beskrevet i dette bilag B6a, på fabrikantens anmodning gentages op til højst 3 gange, og det aritmetiske gennemsnit af resultaterne kan anvendes i forbindelse med dette bilag B6a. Hvis prøvningen er udført udelukkende med henblik på fastsættelse af FCF, må resultaterne af de supplerende prøvninger ikke anvendes til andre formål, jf. dog punkt 3.7.3 i dette bilag B6a.

2. Temperaturkorrektionsprøvningsfamilie (ATCT-familie)

2.1. Kun køretøjer, der er identiske med hensyn til alle følgende karakteristika, er tilladt som medlemmer af samme ATCT-familie:

a) Drivlinjearkitektur (forbrænding, hybrid, brændselscelledrevet eller elektrisk)

b) Forbrændingsproces (totakts, firetakts)

c) Antal og arrangement af cylindre

d) Brændstoftilførsel (direkte eller indirekte indsprøjtning)

e) Kølesystemtype (luftkøling, vandkøling, oliekøling)

f) Tilførsel af forbrændingsluft (naturlig indsugning eller trykladning)

g) Brændstof, som motoren er konstrueret til (benzin, diesel, NG, LPG osv.)

h) Katalysator (3-vejs katalysator, NOx-filter, SCR, NOx-katalysator eller andet)

i) Hvorvidt et partikelfilter er installeret og

j) Recirkulering af udstødningsgas (med eller uden, kølet eller ikke-kølet).

Desuden skal køretøjerne svare til hinanden med hensyn til følgende egenskaber:

k) Der må være en forskel i slagvolumen på højst 30 % af det køretøj, der har den laveste kapacitet og

l) Motorrummenes isolering skal være af en type, der svarer til hinanden med hensyn til materiale, størrelse og placering af isoleringen. Fabrikanten skal fremlægge bevis (f.eks. ved CAD-tegninger) for den godkendende myndighed for, at volumen og vægt af det isoleringsmateriale, der vil blive installeret i alle familiens køretøjer, er større end 90 % det ATCT-målte referencekøretøjs.

Forskellen i isoleringsmateriale og placering kan også accepteres som værende en del af en enkelt ATCT-familie på betingelse af, at prøvningskøretøjet kan påvises at være worstcase med hensyn til motorrummets isolering.

Hvis fabrikanten over for den typegodkendende myndighed kan påvise, at det er sikret, at worst case-situationen opretholdes (f.eks. fordi det prøvede køretøj ikke har nogen isolering), eller hvis ATCT er sammensat af en fælles interpolationsfamilie, kan kravene om dokumentation for isoleringsmaterialerne fraviges.

2.1.1. Hvis der er monteret aktive varmelagringsanordninger, må kun køretøjer, der opfylder følgende krav, anses for at være medlemmer af samme ATCT-familie:

a) Varmekapaciteten defineret ved enthalpien lagret i systemet er inden for et interval på 0 til 10 % over prøvningskøretøjets enthalpi. og

b) OEM kan over for den tekniske tjeneste dokumentere, at tidspunktet for varmeafgivelsen ved motorstart inden for en familie falder inden for et interval på 0 til 10 % lavere end tidspunktet for prøvningskøretøjets frigivelse af varme.

2.1.2. Kun køretøjer, der opfylder kriterierne i punkt 3.9.4 i dette bilag B6a anses for at være en medlemmer af samme ATCT-familie.

3. ATCT-procedure

Type 1-prøvningen specificeret i bilag B6 gennemføres med undtagelse af kravene i punkt 3.1 til 3.9 i dette bilag B6a. Dette kræver også en ny beregning og anvendelse af gearskiftpunkterne i overensstemmelse med bilag B2 under hensyntagen til forskellig køremodstand som angivet i punkt 3.4 i dette bilag B6a.

3.1. Omgivende forhold ved ATCT

3.1.1. Temperaturen (T_{reg}), som køretøjet skal henstå ved (soak) og ATCT-prøves ved, skal være 14 °C.

3.1.2. Den mindste soak-tid (t_{soak_ATCT}) for ATCT er 9 timer.

3.2. Prøvningsrum og soak-område

3.2.1. Prøvningsrum

3.2.1.1. Temperaturen i prøverummet skal have en indstillingsværdi på T_{reg}. Den faktiske temperatur skal ligge inden for ± 3 °C ved begyndelsen af prøvningen og inden for ± 5 °C under hele prøvningen.

3.2.1.2. Den specifikke luftfugtighed (H) enten i prøvningsrummet eller i motorens indsugningsluft skal være:

$3{,}0 \leq H \leq 8{,}1$ (g H_2O/kg tør luft)

3.2.1.3. Luftens temperatur og fugtighed skal måles ved køleventilatorens afgang med en minimumsfrekvens på 0,1 Hz.

3.2.2. Soak-område

3.2.2.1. I soak-området skal der være en temperatur lig med T_{reg}, og den faktiske temperaturværdi skal være inden for ± 3 °C i et 5 minutters løbende aritmetisk gennemsnit og må ikke udvise en systematisk afvigelse fra indstillingsværdien. Temperaturen måles kontinuerligt med en minimumsfrekvens på 0,033 Hz.

3.2.2.2. Placeringen af temperaturføleren i soak-området skal være repræsentativ til måling af omgivende temperatur ved køretøjet og skal kontrolleres af den tekniske tjeneste.

Føleren skal være mindst 10 cm væk fra soak-områdets væg og skal beskyttes mod direkte luftstrøm.

Betingelserne for luftstrømmene i soak-rummet i nærheden af køretøjet skal udgøre en naturlig konvektionsstrøm, der er repræsentativ for rummets dimensioner (ingen tvungen konvektion).

3.3. Prøvningskøretøj

3.3.1. Det køretøj, der prøves, skal være repræsentativt for den familie, for hvilken ATCT-dataene er bestemt (som beskrevet i punkt 2.1 i dette bilag B6a).

3.3.2. Fra ATCT-familien udtages interpolationsfamilien med den mindste motorkapacitet (se punkt 2 i dette bilag B6a), og prøvningskøretøjet skal være i familiens "køretøj H"-konfiguration.

3.3.3. I givet fald vælges det køretøj, der har den laveste enthalpi for den aktive varmelagringsanordning og den langsomste varmeafgivelse for den aktive varmelagringsanordning i ATCT-familien.

3.3.4. Prøvningskøretøjet skal opfylde kravene i punkt 2.3 i bilag B6 og punkt 2.1 i dette bilag B6a.

3.4. Indstillinger

3.4.1. Køremodstand og dynamometerindstillinger skal være som specificeret i bilag B4, herunder kravet om en rumtemperatur på 23 °C.

For at tage hensyn til forskellen i luftens massefylde ved 14 °C sammenlignet med luftens massefylde ved 20 °C skal chassisdynamometeret indstilles som beskrevet i punkt 7 og 8 i bilag B4, bortset fra at f_{2_TReg} fra følgende ligning anvendes som målkoefficienten C_t.

$$f_{2_TReg} = f_2 * (T_{ref} + 273)/(T_{reg} + 273)$$

hvor:

f_2 er andenordenskøremodstandskoefficienten ved referencebetingelserne, N/(km/h)^2

T_{ref} er køremodstandsreferencetemperaturen som specificeret i punkt 3.2.10 i dette regulativ,°C

T_{reg} er den regionale temperatur som defineret i punkt 3.1.1 i dette bilag B6a, C.

Hvis en gyldig chassisdynamometerindstilling på 23 °C er mulig, tilpasses andenordenschassisdynamometerkoefficienten C_d i overensstemmelse med følgende ligning:

$$C_{d_Treg} = C_d + (f_{2_TReg} - f_2)$$

3.4.2. ATCT-prøvningen og dens køremodstandsindstilling udføres på et 2WD-dynamometer, hvis den tilsvarende type 1-prøvning blev udført på et 2WD-dynamometer, og den skal udføres på et 4WD-dynamometer, hvis den tilsvarende type 1-prøvning blev udført på et 4WD-dynamometer.

3.5. Prækonditionering

På fabrikantens anmodning kan prækonditioneringen ske ved T_{reg}.

Motortemperaturen skal ligge inden for ± 2 °C af indstillingsværdien på 23 °C eller T_{reg}, alt efter hvilken temperatur der er valgt til prækonditionering.

3.5.1. Rene ICE-køretøjer prækonditioneres som beskrevet i punkt 2.6 i bilag B6.

3.5.2. NOVC-HEV'er prækonditioneres som beskrevet i punkt 3.3.1.1 i bilag B8.

3.5.3. OVC-HEV'er prækonditioneres som beskrevet punkt 2.1.1 eller 2.1.2 i tillæg 4 til bilag B8.

3.6. Soak-metode

3.6.1. Efter prækonditionering og før prøvningen anbringes prøvningskøretøjet i et soak-område med omgivende forhold som foreskrevet i punkt 3.2.2 i dette bilag B6a.

3.6.2. Fra afslutningen af prækonditioneringen til soak ved T_{reg} må køretøjet ikke udsættes for anden temperatur end T_{reg} i mere end 10 minutter.

3.6.3. Køretøjet anbringes derefter i soak-området, således at tidsrummet fra afslutningen af prækonditioneringsprøvningen til begyndelsen af ATCT-prøvningen er lig med t_{soak_ATCT} med en tolerance på yderligere 15 minutter. Efter anmodning fra fabrikanten og efter godkendelsesmyndighedens godkendelse kan t_{soak_ATCT} forlænges med op til 120 minutter. I så fald anvendes den forlængede tidsfrist til nedkøling som specificeret i punkt 3.9 i dette bilag B6a.

3.6.4. Soak-proceduren udføres uden brug af en afkølingsventilator og med alle karosseridele placeret som ved normal parkering. Tidsrummet fra afslutningen af konditioneringen til påbegyndelsen af ATCT-prøvningen skal registreres.

3.6.5. Overførslen fra soak-området til prøvningsrummet skal gennemføres så hurtigt som muligt. Køretøjet må ikke udsættes for en temperatur, der er forskellig fra T_{reg}, i mere end 10 minutter.

3.7. ATCT-prøvning

3.7.1. Som prøvningscyklus anvendes den gældende WLTC i bilag B1 for den pågældende kategori af køretøjer.

3.7.2. Procedurerne for udførelse af emissionsprøvningen som specificeret i bilag B6 på rene ICE-køretøjer og i bilag B8 på NOVC-HEV'er og for ladningsbevarende type 1-prøvning af OVC-HEV'er, skal følges, bortset fra at de omgivende forhold i prøvningsrummet skal være som beskrevet i punkt 3.2.1 i dette bilag B6a.

3.7.3. Navnlig må udstødningsemissionerne defineret i tabel A7/1, trin 2, for rene ICE-køretøjer og tabel A8/5, trin 2, for HEV'er ved ATCT-prøvning ikke være over de emissionsgrænser, der finder anvendelse på det prøvede køretøj, der er defineret i punkt 6.3.10 i dette regulativ.

3.8. Beregning og dokumentation

3.8.1. Familiekorrektionsfaktoren, *FCF*, beregnes som følger:

$$FCF = M_{CO2,Treg} / M_{CO2,23°}$$

hvor

$M_{CO2,23°}$ er CO_2-emissionen af gennemsnittet af alle gældende type 1-prøvninger ved 23 °C for køretøj H, efter trin 3 i tabel A7/1 i bilag B7 for rene ICE-køretøjer og efter trin 3 i tabel A8/5 i bilag B8 for OVC-HEV'er og NOVC-HEV'er, men uden yderligere korrektioner, g/km

$M_{CO2,Treg}$ er CO_2-emissionen i hele WLTC-prøvningscyklussen ved regional temperatur efter trin 3 i tabel A7/1 i bilag B7 for rene ICE-køretøjer og efter trin 3 i tabel A8/5 i bilag B8 for OVC-HEV'er og NOVC-HEV'er, men uden yderligere korrektioner, g/km. For OVC-HEV'er og NOVC-HEV'er anvendes CO_2-faktoren som defineret i tillæg 2 til bilag B8.

Både $M_{CO2,23°}$ og $M_{CO2,Treg}$ måles på samme prøvningskøretøj.

FCF-resultatet skal rapporteres i alle relevante prøvningsrapporter.

FCF-resultatet afrundes til 4 decimaler.

3.8.2. CO_2-værdierne for hvert rent ICE-køretøj i ATCT-familien (som defineret i punkt 2.3 i dette bilag B6a) beregnes ved hjælp af følgende ligninger:

$$M_{CO2,c,5} = M_{CO2,c,4} \times FCF$$

$$M_{CO2,p,5} = M_{CO2,p,4} \times FCF$$

hvor

$M_{CO2,c,4}$ og $M_{CO2,p,4}$ er CO_2-emissionerne gennem hele WLTC, c, og cyklussens faser, p, der følger af den foregående trin i beregningen (g/km)

$M_{CO2,c,5}$ og $M_{CO2,p,5}$ er CO_2-emissionerne gennem hele WLTC, c, og cyklussens faser, p, med ATCT-korrektion, og skal anvendes ved yderligere korrektioner eller beregninger, g/km

3.8.3. CO_2-værdierne for hvert OVC-HEV og NOVC-HEV i ATCT-familien (som defineret i punkt 2.3 i dette bilag B6a) beregnes ved hjælp af følgende ligninger:

$$M_{CO2,CS,c,5} = M_{CO2,CS,c,4} \times FCF$$

$$M_{CO2,CS,p,5} = M_{CO2,CS,p,4} \times FCF$$

hvor

$M_{CO2,CS,c,4}$ og $M_{CO2,CS,p,4}$ er CO_2-emissionerne gennem hele WLTC, c, og cyklussens faser, p, der følger af den foregående trin i beregningen (g/km)

$M_{CO2,CS,c,5}$ og $M_{CO2,CS,p,5}$ er CO_2-emissionerne gennem hele WLTC, c, og cyklussens faser, p, med ATCT-korrektion, og skal anvendes ved yderligere korrektioner eller beregninger, g/km.

3.8.4. Hvis en *FCF* er mindre end én, anses den for at være lig med én, for så vidt angår worstcase-tilgangen, i overensstemmelse med punkt 4.1 i dette bilag B6a.

3.9. Forberedelser til nedkøling

3.9.1. For det prøvningskøretøj, der tjener som reference for køretøjets ATCT-familie og alle køretøjer H i interpolationsfamilierne i ATCT-familien, måles sluttemperaturen for kølervæsken i motoren efter fordampning (soak) ved 23 °C i hele t_{soak_ATCT} med en tolerance på yderligere 15 minutter, idet køretøjet forinden har kørt den pågældende type 1-prøvning ved 23 °C. Varigheden måles fra udgangen af den pågældende type 1-prøvning.

3.9.1.1. Hvis t_{soak_ATCT} blev forlænget i den pågældende ATCT-prøvning, anvendes samme soak-tid med en tolerance på yderligere 15 minutter.

3.9.2. Nedkølingsproceduren skal gennemføres hurtigst muligt efter afslutningen af type 1-prøvningen med en maksimal forsinkelse på 20 minutter. Den målte soak-tid er den tid, der går mellem målingen af den endelige temperatur og afslutningen af type 1-prøvningen ved 23 °C, og den skal være rapporteret i alle relevante prøvningsark.

3.9.3. Den gennemsnitlige temperatur i soak-området i de sidste 3 timer af soak-processen skal trækkes fra den målte temperatur i motorens kølevæske ved udgangen af den i punkt 3.9.1 foreskrevne soak-tid. Denne benævnes Δ_{T_ATCT} og rundes op til nærmeste heltal.

3.9.4. Hvis Δ_{T_ATCT} er højere end eller lig med - 2 °C fra prøvningskøretøjets Δ_{T_ATCT}, anses interpolationsfamilien for at være medlem af den samme ATCT- familie.

3.9.5. For alle køretøjerne inden for en ATCT-familie skal kølervæskens temperatur måles på samme sted i kølesystemet. Dette sted skal være så tæt som muligt på motoren, således at kølervæskens temperatur er så repræsentativ som muligt for motorens temperatur.

3.9.6. Målingen af temperaturen i soak-områderne skal være som foreskrevet i punkt 3.2.2.2 i dette bilag B6a.

4. Alternativer i måleprocessen

4.1. Worst case-tilgang ved nedkøling af køretøjet eller med hensyn til isolering af køretøjet.

Efter anmodning fra fabrikanten og efter godkendelse fra den godkendende myndighed, kan type 1-prøvningsproceduren for nedkøling anvendes i stedet for forskrifterne i punkt 3.6 i dette bilag B6a. Med henblik herpå:

a) Bestemmelserne i punkt 2.7.2 i bilag B6 anvendes med det yderligere krav om en mindste soak-tid på 9 timer.

b) Motortemperaturen skal ligge inden for ± 2 °C fra indstillingsværdien T_{reg}, før ATCT-prøvningen påbegyndes. Temperaturen skal rapporteres i alle relevante prøvningsrapporter. I dette tilfælde kan de i punkt 3.9 i dette bilag B6a beskrevne foranstaltninger til nedkøling og kriterierne for motorrummets isolering springes over for alle køretøjer i familien.

Dette alternativ er ikke tilladt, hvis køretøjet er udstyret med en aktiv varmelagringsanordning.

Anvendelsen af en sådan tilgang skal rapporteres i alle relevante prøvningsrapporter.

Kravene om dokumentation af isoleringsmaterialet kan fraviges.

4.2. ATCT-familie bestående af en enkelt interpolationsfamilie

I det tilfælde, at ATCT-familien kun består af én interpolationsfamilie, kan muligheden for nedkøling, der er beskrevet i punkt 3.9 i dette bilag B6a, springes over. Dette skal rapporteres i alle relevante prøvningsrapporter.

4.3. Alternativ måling af motortemperatur

I tilfælde af at det ikke er muligt at måle kølervæskens temperatur, kan olietemperaturen på fabrikantens anmodning og efter godkendelse fra den godkendende myndighed anvendes i stedet for at anvende kølervæskens temperatur med henblik på den nedkøling, der er beskrevet i punkt 3.9 i dette bilag B6a. I så fald anvendes for alle køretøjer i familien motoroliens temperatur.

Anvendelsen af denne fremgangsmåde skal rapporteres i alle relevante prøvningsrapporter.

BILAG B6B

Korrektion af CO2-resultater i forhold til målhastighed og afstand

Dette bilag finder kun anvendelse på niveau 1A

1. Indledning

Dette bilag B6b fastlægger de særlige bestemmelser vedrørende korrektion af CO_2-prøvningsresultaterne for tolerance over for målhastighed og distance.

Dette bilag B6b finder kun anvendelse på rene ICE-køretøjer.

2. Måling af køretøjets hastighed

2.1. Den faktiske/målte køretøjshastighed (v_{mi}; km/h) på basis af rullehastigheden på chassisdynamometeret skal samples med en målefrekvens på 10 Hz sammen med den faktiske tid, der svarer til den faktiske hastighed.

2.2. Målhastigheden (v_i; km/h) mellem tidspunkterne i tabel A1/1 til A1/12 i bilag B1 beregnes ved metoden med lineær interpolation ved en frekvens på 10 Hz.

3. Korrektionsprocedure

3.1. Beregning af den faktiske/målte effekt og måleffekten ved hjulene

Effekten og kræfterne ved hjulene fra målhastighed og faktisk/målt hastighed beregnes ved anvendelse af følgende ligninger:

$$F_i = f_0 + f_1 \text{ x } \frac{(V_i + V_{i-1})}{2} + f_2 \text{ x } \frac{(V_i + V_{i-1})^2}{4} + (\text{TM} + m_r) \text{ x } a_i$$

$$P_i = F_i \text{ x } \frac{(V_i + V_{i-1})}{3{,}6x2} \text{ x } 0{,}001$$

$$F_{mi} = f_0 + f_1 \text{ x } \frac{(Vm_i + Vm_{i-1})}{2} + f_2 \text{ x } \frac{(Vm_i + Vm_{i-1})^2}{4} + (\text{TM} + m_r) \text{ x } a_{mi}$$

$$P_{mi} = F_{mi} \text{ x } \frac{(Vm_i + Vm_{i-1})}{3{,}6x2} \text{ x } 0{,}001$$

$$a_i = \frac{(V_i - V_{i-1})}{3{,}6x(t_i - t_{i-1})}$$

$$a_{mi} = \frac{(Vm_i - Vm_{i-1})}{3{,}6x(t_i - t_{i-1})}$$

hvor:

F_i	er måldrivkraften i perioden fra (i-1) til (i), N
F_{mi}	er den faktiske/målte drivkraft i perioden fra (i-1) til (i), (N)
P_i	er måleffekten i perioden fra (i-1) til (i), kW
P_{mi}	er den faktiske/målte effekt i perioden fra (i-1) til (i), (kW)
f_0, f_1, f_2	er køremodstandskoefficienterne fra bilag 4, N, N/(km/h), N/(km/h)^2
V_i	er målhastigheden på tidspunktet (i) km/h
	Vm_i er den faktiske/målte hastighed på tidspunktet (i) km/h
TM	er køretøjets prøvningsmasse (kg)

m_r er den tilsvarende effektive masse af de roterende komponenter i overensstemmelse med punkt 2.5.1 i bilag B4 (kg)

a_i Er målaccelerationen i perioden fra (i-1) til (i) (m/s^2)

a_{mi} Er den faktiske/målte acceleration i perioden fra (i-1) til (i) (m/s^2)

t_i er tiden (s).

3.2. I næste trin beregnes en indledende $P_{OVERRUN,1}$ ved hjælp af følgende ligning:

$$P_{OVERRUN,1} = - 0,02 \times P_{RATED}$$

hvor:

$P_{OVERRUN,1}$ er den indledende overskudseffekt, kW

P_{RATED} er motorens mærkeeffekt (kW)

3.3. Alle beregnede P_i og P_{mi}-værdier, som er under $P_{OVERRUN,1}$, skal sættes til $P_{OVERRUN,1}$ med henblik på at udelukke negative værdier, der ikke er relevante for CO_2-emissionerne.

3.4. $P_{m,j}$-værdierne beregnes for hver enkelt fase af WLTC ved hjælp af følgende ligning:

$$P_{m,j} = \sum_{t_0}^{t_{end}} P_{mi}/n$$

hvor:

$P_{m,j}$ er den gennemsnitlige faktiske/målte effekt i den betragtede fase j, kW

P_{mi} er den faktiske/målte effekt i perioden fra (i-1) til (i), kW

t_0 er tiden ved begyndelsen af den betragtede periode j, s

t_{end} er tiden ved slutningen af den betragtede periode j, s

n er antallet af tidstrin i den betragtede fase

j er indeksnummeret for den betraftede fase.

3.5. De gennemsnitlige RCB-korrigerede CO_2-emissioner (g/km) for hver fase af den gældende WLTC skal være udtrykt i enhederne g/s ved hjælp af følgende ligning:

$$M_{CO2,j} = M_{CO2,RCB,j} \times \frac{d_{m,j}}{t_j}$$

hvor:

$M_{CO2,j}$ er den gennemsnitlige CO_2-emission af fase j, (g/s)

$M_{CO2,RCB,j}$ er CO_2-emissionen fra trin 1 i tabel A7/1 i bilag 7B til den betragtede WLTC-fase j, korrigeret i overensstemmelse med tillæg 2 til bilag B6 og med kravet om at anvende RCB-korrektion

$d_{m,j}$ er den faktisk kørte distance i den betragtede periode j, km

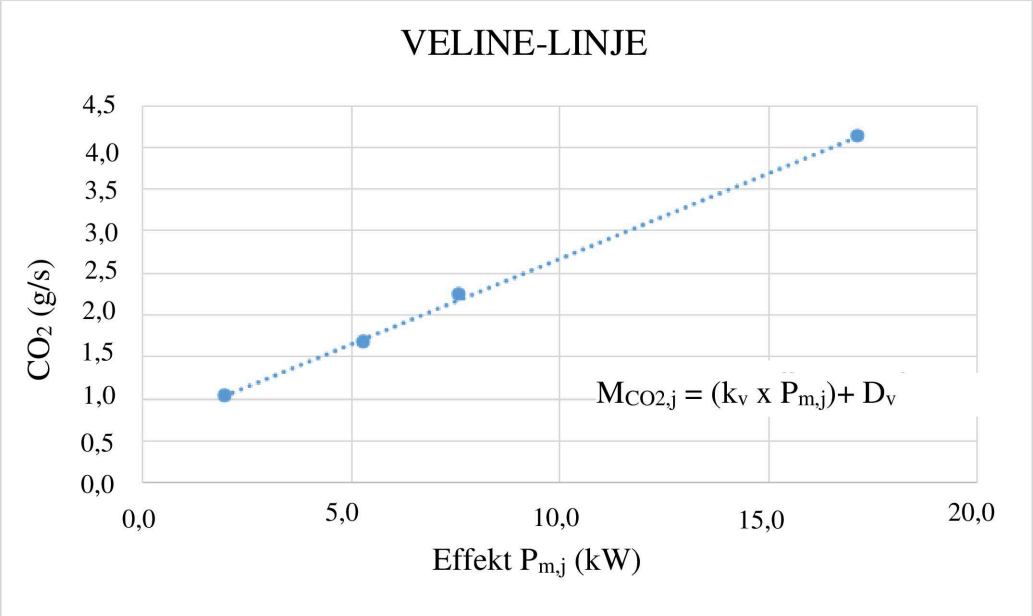
t_j er varigheden af den betragtede fase j, s.

3.6. I det næste trin skal disse CO_2-emissioner (g/s) for hver fase af WLTC korreleres med de gennemsnitlige $P_{m,j1}$-værdier beregnet i overensstemmelse med punkt 3.4 i dette bilag B6b.

Den bedste tilpasning af dataene beregnes ved hjælp af de mindste kvadraters regressionsmetode. Et eksempel på denne regressionslinje (Veline) er vist i figur A6b/1.

Figur A6b/1

Eksempel på Veline-regressionslinjen.



3.7. Den køretøjsspecifikke Veline-ligning-1 beregnet ud fra punkt 3.6 i dette bilag B6b fastlægger sammenhængen mellem CO_2-emissioner i g/s for den betragtede fase j og den gennemsnitlige målte effekt ved hjulene for den samme fase j og udtrykkes ved hjælp af følgende ligning:

$$\boldsymbol{M_{CO2,j}} = (k_{v,1} \times \boldsymbol{P_{m,j1}}) + D_{v,1}$$

hvor:

$\boldsymbol{M_{CO2,j}}$	er den gennemsnitlige CO_2-emission af fase j, (g/s)
$\boldsymbol{P_{m,j1}}$	er den gennemsnitlige faktiske/målte effekt i den betragtede fase j, beregnet ved anvendelse af $P_{OVERRUN,1}$ (kW)
$k_{v,1}$	er hældningen for Veline-ligning-1, g (CO_2/kWs)
$D_{v,1}$	er konstanten for Veline-ligning-1, g (CO_2/s).

3.8. I næste trin beregnes endnu et $P_{OVERRUN,2}$ ved hjælp af følgende ligning:

$$P_{OVERRUN,2} = - D_{v,1} / k_{v,1}$$

hvor:

$P_{OVERRUN,2}$	er den sekundære overskudseffekt, kW
$k_{v,1}$	er hældningen for Veline-ligning-1, g (CO_2/kWs)
$D_{v,1}$	er konstanten for Veline-ligning-1, g (CO_2/s).

3.9. Alle beregnede $\boldsymbol{P_i}$ og $\boldsymbol{P_{mi}}$-værdier fra punkt 3.1 i dette bilag B6b, som er under $P_{OVERRUN,2}$, skal sættes til $P_{OVERRUN,2}$ med henblik på at udelukke negative værdier, der ikke er relevante for CO_2-emissionerne.

3.10. $\boldsymbol{P_{m,j2}}$-værdierne beregnes igen for hver enkelt fase af WLTC ved hjælp af ligningerne i punkt 3.4 i dette bilag B6b.

3.11. Nye køretøjsspecifikke Veline-ligning-2 beregnes ved hjælp af metoden med de mindste kvadraters regressionsanalyse beskrevet i punkt 3.6 i dette bilag B6b. Veline-ligning-2 udtrykkes med følgende ligning:

$$\boldsymbol{M_{CO2,j}} = (k_{v,2} \times P_{m,j2}) + D_{v,2}$$

hvor:

$\boldsymbol{M_{CO2,j}}$	er den gennemsnitlige CO_2-emission af fase j, (g/s)
$\boldsymbol{P_{m,j2}}$	er den gennemsnitlige faktiske/målte effekt i den betragtede fase j, beregnet ved anvendelse af $P_{OVERRUN,2}$ (kW)
$k_{v,2}$	er hældningen for Veline-ligning-2, g (CO_2/kWs)
$D_{v,2}$	er konstanten for Veline-ligning-2, g (CO_2/s).

3.12. I næste trin beregnes $\boldsymbol{P_{i,j}}$-værdier fra målhastighedsprofilen for hver enkelt fase af WLTC ved anvendelse af følgende ligning:

$$\boldsymbol{P_{i,j2}} = \sum_{t_0}^{t_{end}} \boldsymbol{P_{i,2}}/n$$

hvor:

$\boldsymbol{P_{i,j2}}$	er den gennemsnitlige måleffekt i den betragtede fase j beregnet ved anvendelse af $P_{OVERRUN,2}$ (kW)
$\boldsymbol{P_{i,2}}$	er måleffekten i perioden fra (i-1) til (i) beregnet ved anvendelse af $P_{OVERRUN,2}$ (kW)
$\boldsymbol{t_0}$	er tiden ved begyndelsen af den betragtede periode j, s
$\boldsymbol{t_{end}}$	er tiden ved slutningen af den betragtede periode j, s
n	er antallet af tidstrin i den betragtede fase
j	j er indeksnummeret for den betragtede WLTC-fase

3.13. Delta i CO_2-emissioner i tidsrummet j i g/s beregnes derefter med følgende ligning:

$$\Delta CO_{2,j} = k_{v,2} \times (\boldsymbol{P_{i,j2}} - \boldsymbol{P_{m,j2}})$$

hvor:

$\Delta CO_{2,j}$	er delta i CO_2-emissionerne i tidsrummet j, g/s
$k_{v,2}$	er hældningen for Veline-ligning-2, g (CO_2/kWs)
$\boldsymbol{P_{i,j2}}$	er den gennemsnitlige måleffekt for den betragtede periode j beregnet ved anvendelse af $P_{OVERRUN,2}$ (kW)
$\boldsymbol{P_{m,j2}}$	er den gennemsnitlige faktiske/målte effekt i den betragtede periode j beregnet ved anvendelse af $P_{OVERRUN,2}$ (kW)
j	er den betragtede periode j, som kan udgøres af cyklusfasen eller den samlede cyklus.

3.14. De endelige afstands- og hastighedskorrigerede CO_2-emissioner for periode j beregnes efter følgende ligning:

$$\boldsymbol{M_{CO2,j,2b}} = (\Delta CO_{2,j} + \boldsymbol{M_{CO2,j,k}} \times \frac{\boldsymbol{d_{m,j}}}{t_j}) \times \boldsymbol{t_j}/\boldsymbol{d_{i,j}}$$

hvor:

$\boldsymbol{M_{CO2,j,2b}}$	er de afstands- og hastighedskorrigerede CO_2-emissioner for periode j, (g/km)
$\boldsymbol{M_{CO2,j,k}}$	er CO_2-emissionerne i perioden j i overensstemmelse med trin k i tabel A7/1 i bilag B7, (g/km)
$\Delta CO_{2,j}$	er delta i CO_2-emissionerne i tidsrummet j, (g/s)

t_j	er varigheden af den betragtede periode j, (s)
$d_{m,j}$	er den faktisk kørte distance i den betragtede periode j (km)
$d_{i,j}$	er måldistancen for den betragtede periode j (km)
j	er den betragtede periode j, som enten kan være cyklusfasen "p" eller den samlede cyklus "c"
k	er "1", hvis den betragtede periode j er cyklusfasen, eller "2", hvis den betragtede periode j er den samlede cyklus.

BILAG B7

Beregninger

1. Generelle krav

1.1. Medmindre andet udtrykkeligt er anført i bilag B8, finder alle krav og procedurer i dette bilag anvendelse på NOVC-HEV'er, OVC-HEV'er, NOVC-FCHV'er og PEV'er.

1.2. De i punkt 1.4 i dette bilag beskrevne beregningstrin anvendes udelukkende for rene ICE-køretøjer.

1.3. Afrunding af prøvningsresultater

1.3.1. De mellemliggende trin i beregningerne afrundes ikke, medmindre mellemliggende afrunding er påkrævet.

1.3.2. De endelige kriterieemissionsresultater afrundes i overensstemmelse med punkt 6.1.8 i dette regulativ i et trin til det antal decimaler, der er opgivet til højre for decimaltegnet i den gældende emissionsstandard, plus endnu et betydende ciffer.

1.3.3. NOx-korrektionsfaktoren **KH** afrundes i overensstemmelse med punkt 6.1.8 i dette regulativ til to decimaler.

1.3.4. Fortyndingsfaktoren **DF** skal afrundes i overensstemmelse med punkt 6.1.8 i dette regulativ til to decimaler.

1.3.5. For oplysninger, der ikke vedrører standarder, anvendes god teknisk praksis.

1.4. Trinvis procedure til beregning af de endelige prøvningsresultater for køretøjer med forbrændingsmotorer

Resultaterne beregnes i den rækkefølge, der er beskrevet i tabel A7/1. Alle gældende resultater i kolonnen "Resultat" registreres. Kolonnen "Process" angiver de punkter, der skal anvendes ved beregningen eller indeholder yderligere beregninger.

I denne tabel anvendes følgende betegnelser i ligningerne og resultaterne:

c fuldstændig gældende cyklus

p enhver gældende cyklusfase

i alle gældende kriterieemissionskomponenter, uden CO_2

CO_2 CO_2-emissioner

Tabel A7/1

Procedure for beregning af de endelige prøvningsresultater

(FE kun gældende for niveau 1B og den første fase 3 WLTP-prøvning på niveau 2)

Trin nr.	Kilde	Input	Proces	Resultat
1	Bilag B6	Første prøvningsresultater	Masseemissioner Punkt 3 til og med 3.2.2 i dette bilag.	$M_{i,p,1}$, g/km $M_{CO2,p,1}$, g/km.

Trin nr.	Kilde	Input	Proces	Resultat
2	Resultattrin 1	$M_{i,p,1}$, g/km $M_{CO2,p,1}$, g/km.	Beregning af kombinerede cyklusværdier: $$M_{i,c,2} = \frac{\sum_p M_{i,p,1} \times d_p}{\sum_p d_p}$$ $$M_{CO2,c,2} = \frac{\sum_p M_{CO2,p,1} \times d_p}{\sum_p d_p}$$ hvor: $M_{i/CO2,c,2}$ er emissionsresultaterne gennem hele cyklussen d_p er de kørte afstande i cyklusfaserne, s.	$M_{i,c,2}$, g/km $M_{CO2,c,2}$, g/km.
2b Dette trin finder kun anvendelse på niveau 1A	Resultattrin 1 Resultattrin 2	$M_{CO2,p,1}$, g/km $M_{CO2,c,2}$, g/km.	Korrektion af CO_2-resultater i forhold til målhastighed og afstand. Bilag B6b. Bemærk: Da distancen er også korrigeres, skal enhver reference fra dette beregningstrin til en kørt distance fortolkes som en reference til måldistancen.	$M_{CO2,p,2b}$, g/km $M_{CO2,c,2b}$, g/km.
3	For niveau 1A Resultattrin 2b	$M_{CO2,p,2b}$, g/km $M_{CO2,c,2b}$, g/km.	RCB-korrektion Tillæg 2 til bilag B6.	$M_{CO2,p,3}$, g/km $M_{CO2,c,3}$, g/km.
	Niveau 1B og niveau 2 Resultattrin 1 Resultattrin 2	$M_{CO2,p,1}$, g/km $M_{CO2,c,2}$, g/km.	RCB-korrektion Tillæg 2 til bilag B6.	$M_{CO2,p,3}$, g/km $M_{CO2,c,3}$, g/km.
4a	Resultattrin 2 Resultattrin 3	$M_{i,c,2}$, g/km $M_{CO2,c,3}$, g/km.	Emissionsprøvningsprocedure for alle køretøjer med periodisk regenererende systemer (K_i). Bilag B6 - Tillæg 1. $M_{i,c,4a} = K_i \times M_{i,c,2}$ eller $M_{i,c,4a} = K_i + M_{i,c,2}$ og $M_{CO2,c,4a} = K_{CO2} \times M_{CO2,c,3}$ eller $M_{CO2,c,4a} = K_{CO2} + M_{CO2,c,3}$ Additiv udligning eller multiplikativ faktor, der skal anvendes til Ki-bestemmelse. Hvis K_i ikke finder anvendelse: $M_{i,c,4a} = M_{i,c,2}$ $M_{CO2,c,4a} = M_{CO2,c,3}$	$M_{i,c,4a}$, g/km $M_{CO2,c,4a}$, g/km.

Trin nr.	Kilde	Input	Proces	Resultat
4b	Resultattrin 3 Resultattrin 4a	$M_{CO2,p,3}$, g/km $M_{CO2,c,3}$, g/km $M_{CO2,c,4a}$, g/km.	Hvis K_i finder anvendelse, tilpasses CO_2-faseværdierne til den kombinerede cyklusværdi: $$\mathbf{M_{CO2,p,4} = M_{CO2,p,3} \times AF_{Ki}}$$ for hver cyklusfase p hvor: $$\mathbf{AF_{Ki} = \frac{M_{CO2,c,4a}}{M_{CO2,c,3}}}$$ Hvis K_i ikke finder anvendelse: $M_{CO2,p,4} = M_{CO2,p,3}$	$M_{CO2,p,4}$, g/km.
4c	Resultattrin 4a	$M_{i,c,4a}$, g/km $M_{CO2,c,4a}$, g/km.	Hvis disse værdier anvendes til produktionens overensstemmelse, multipliceres kriterieemissionsværdierne og CO2-emissionsværdierne med den indkøringsfaktor, der er bestemt i overensstemmelse med punkt 8.2.4 i dette regulativ: $M_{i,c,4c}$ = RIC (j) x $M_{i,c,4a}$ $M_{CO2,c,4c}$ = RI_{CO2} (j) x $M_{CO2,c,4a}$ Såfremt disse værdier ikke anvendes til produktionens overensstemmelse: $M_{i,c,4c} = M_{i,c,4a}$ $M_{CO2,c,4c} = M_{CO2,c,4a}$	$M_{i,c,4c;}$ $M_{CO2,c,4c}$
			Brændstofeffektiviteten ($FE_{c,4c_temp}$) beregnes i overensstemmelse med punkt 6 i bilag B7. Hvis denne værdi anvendes til produktionens overensstemmelse, multipliceres brændstofeffektivitetsværdien med den indkøringsfaktor, der er bestemt i overensstemmelse med punkt 8.2.4 i dette regulativ: FEc,4c = RIFE (j) x FEc,4c_temp Såfremt disse værdier ikke anvendes til produktionens overensstemmelse: $FE_{c,4c} = FE_{c,4c_temp}$	$FE_{c,4c}$, km/l
5 Resultatet af en enkelt prøvning	Resultatet af trin 4b og 4c	$M_{CO2,c,4c}$, g/km $M_{CO2,p,4}$, g/km.	For niveau 1A og resultater efter fase 4 på niveau 2: ATCT-korrektion af $M_{CO2,c,4c}$ og $M_{CO2,p,4}$ i overensstemmelse med punkt 3.8.2. i bilag B6a. For niveau 1B: $M_{CO2,c,5} = M_{CO2,c,4c}$ $M_{CO2,p,5} = M_{CO2,p,4}$	$M_{CO2,c,5}$, g/km $M_{CO2,p,5}$, g/km.
		$M_{i,c,4c}$, g/km $FE_{c,4c}$, km/l	Anvend forringelsesfaktorer beregnet i henhold til bilag C4 på kriterieemissionsværdierne. FEc,5=FEc4c	$M_{i,c,5}$, g/km $FE_{c,5}$, km/l

Trin nr.	Kilde	Input	Proces	Resultat
6	For niveau 1A og resultater efter fase 4 på niveau 2: Resultattrin 5	For hver prøvning: $M_{i,c,5}$, g/km $M_{CO2,c,5}$, g/km $M_{CO2,p,5}$, g/km.	Gennemsnitsberegning af prøvninger og opgivet værdi. Punkt 1.2 til og med 1.2.3 i bilag B6.	$M_{i,c,6}$, g/km $M_{CO2,c,6}$, g/km $M_{CO2,p,6}$, g/km. $M_{CO2,c,declared}$, g/km.
	For niveau 1B og resultater efter fase 3 på niveau 2: Resultattrin 5	$FE_{c,5}$, km/l $M_{i,c,5}$, g/km	Gennemsnitsberegning af prøvninger og opgivet værdi. Punkt 1.2 til og med 1.2.3 i bilag B6. $M_{i,c,5} = M_{i,c,6}$ Konverteringen fra $FE_{c,angivet}$ til $M_{CO2,c,declared}$ skal udføres for den gældende cyklus i efter punkt 6 i bilag B7. I den forbindelse anvendes kriterieemissionen i løbet af den gældende cyklus.	$FE_{c,declared}$, km/l $FE_{c,6}$, km/l $M_{i,c,6}$ $M_{CO2,c,declared}$, g/km.
7	For niveau 1A og resultater efter fase 4 på niveau 2: Resultattrin 6	$M_{CO2,c,6}$, g/km $M_{CO2,p,6}$, g/km. $M_{CO2,c,declared}$, g/km.	Se punkt 1.2.4 i bilag B6 for tilpasning af faseværdier. samt: $M_{CO2,c,7} = M_{CO2,c,declared}$	$M_{CO2,c,7}$, g/km $M_{CO2,p,7}$, g/km.
	For niveau 1B og resultater efter fase 3 på niveau 2: Resultattrin 5 Resultattrin 6	$M_{CO2,c,5}$, g/km $M_{CO2,p,5}$, g/km $M_{CO2,c,declared}$, g/km.	Se punkt 1.2.4 i bilag B6 for tilpasning af faseværdier.	$M_{CO2,p,7}$, g/km.
8 Resultat af en type 1-prøvning med et prøvningskøretøj.	For niveau 1A og resultater efter fase 4 på niveau 2: Resultattrin 6 Resultattrin 7	$M_{i,c,6}$, g/km $M_{CO2,c,7}$, g/km $M_{CO2,p,7}$, g/km.	Beregning af brændstofforbrug i overensstemmelse med punkt 6 i dette bilag Beregningen af brændstofforbruget skal gennemføres separat for henholdsvis den gældende prøvningscyklus og dens faser. Med henblik herpå: a) anvendes den gældende fase eller cyklus-CO_2-værdierne b) anvendes kriterieemissionen gennem hele cyklussen. samt: $M_{i,c,8} = M_{i,c,6}$ $M_{CO2,c,8} = M_{CO2,c,7}$ $M_{CO2,p,8} = M_{CO2,p,7}$	$FC_{c,8}$, l/100 km $FC_{p,8}$, l/100 km $M_{i,c,8}$, g/km $M_{CO2,c,8}$, g/km $M_{CO2,p,8}$, g/km.

Trin nr.	Kilde	Input	Proces	Resultat
	For niveau 1B og resultater efter fase 3 på niveau 2: Resultattrin 6 Resultattrin 7	$M_{i,c,6}$, g/km $FE_{c,6}$, km/l $M_{CO2,p,7}$, g/km.	Beregning af brændstofforbrug og konvertering til brændstofeffektivitet for faseværdien alene efter punkt 6 i dette bilag. Beregningen af brændstofforbruget skal gennemføres separat for hver faser. Med henblik herpå: a) de gældende CO_2-faseværdier skal anvendes b) anvendes kriterieemissionen gennem hele cyklussen. samt: $M_{i,c,8} = M_{i,c,6}$ $FE_{c,8} = FE_{c,6}$	$FC_{p,8}$, l/100 km $FE_{p,8}$, km/l $M_{i,c,8}$, g/km $FE_{c,8}$, km/l.
9 For niveau 1A og resultater efter fase 4 på niveau 2: Endeligt kriteriemissions-resultat	Resultattrin 8	For hvert af prøvningskøretøjerne H og L: $M_{i,c,8}$, g/km $M_{CO2,c,8}$, g/km $M_{CO2,p,8}$, g/km $FC_{c,8}$, l/100 km $FC_{p,8}$, l/100 km $FE_{c,8}$, km/l $FE_{p,8}$, km/l	For niveau 1A og resultater efter fase 4 på niveau 2: Hvis der ud over et prøvningskøretøj H er prøvet et prøvningskøretøj M og/eller et prøvningskøretøj L, skal den resulterende kriterieemissionsværdi være den højeste af de to eller, hvis køretøj M ikke opfylder linearitetskriteriet, tre værdier og benævnes Mi,c. I forbindelse med de samlede THC + NOx-emissioner, skal den største værdi af summen, der henviser til enten køretøj H, køretøj L eller, hvis relevant, køretøj M, opfattes som typegodkendelsesværdi. Hvis der ikke blev prøvet noget køretøj L $M_{i,c} = M_{i,c,8}$ Niveau 1A, niveau 1B og niveau 2 For CO_2, FE og FC anvendes de værdier, der er udledt i trin 8, og CO_2-værdierne afrundes i overensstemmelse med punkt 6.1.8 i dette regulativ til to decimaler, og FE- og FC-værdierne afrundes i overensstemmelse med punkt 6.1.8 i dette regulativ til tre decimaler.	$M_{i,c}$, g/km $M_{CO2,c,H}$, g/km $M_{CO2,p,H}$, g/km $FC_{c,H}$, l/100 km $FC_{p,H}$, l/100 km $FE_{c,H}$, km/l $FE_{p,H}$, km/l og hvis et køretøj L er prøvet: $M_{CO2,c,L}$, g/km $M_{CO2,p,L}$, g/km $FC_{c,L}$, l/100 km $FC_{p,L}$, l/100 km $FE_{c,L}$, km/l $FE_{p,L}$, km/l
10 Resultat for et individuelt køretøj.	Resultattrin 9	$M_{CO2,c,H}$, g/km $M_{CO2,p,H}$, g/km $FC_{c,H}$, l/100 km	Brændstofforbrug, brændstofeffektivitet og CO_2-beregninger for individuelle køretøjer i en interpolationsfamilie.	$M_{CO2,c,ind}$ g/km $M_{CO2,p,ind}$, g/km

Trin nr.	Kilde	Input	Proces	Resultat
Slutresultat for CO_2, FE og FC.		$FC_{p,H}$, l/100 km $FE_{c,H}$, km/l $FE_{p,H}$, km/l og hvis et køretøj L er prøvet: $M_{CO2,c,L}$, g/km $M_{CO2,p,L}$, g/km $FC_{c,L}$, l/100 km $FC_{p,L}$, l/100 km $FE_{c,L}$, km/l $FE_{p,L}$, km/l	Punkt 3.2.3 i dette bilag. Brændstofforbrug, brændstofeffektivitet og CO_2-beregninger for individuelle køretøjer i en køremodstandsmatrixfamilie Punkt 3.2.4 i dette bilag. CO_2-emissioner skal opgives i gram pr. kilometer (g/km), afrundet til det nærmeste hele tal. FC-værdierne afrundes i overensstemmelse med punkt 6.1.8 i dette regulativ til én decimal, udtrykt i (l/100 km). FE-værdier afrundes i overensstemmelse med punkt 6.1.8 i dette regulativ til én decimal, udtrykt i (km/l).	$FC_{c,ind}$ l/100 km $FC_{p,ind}$, l/100 km $FE_{f,ind}$, km/l $FE_{p,ind}$, km/l.

2. Bestemmelse af volumen af ufortyndet udstødningsgas

2.1. Volumenberegning for en variabel fortyndingsanordning med konstant eller varierende strømningshastighed

Den volumetriske strømningshastighed måles kontinuerligt. Det samlede volumen måles under hele prøvningen.

2.2. Volumenberegning for et system med variabel fortynding med positiv fortrængningspumpe

2.2.1. Volumen beregnes ved hjælp af følgende ligning:

$$\mathbf{V} = \mathbf{V_0} \times \mathbf{N}$$

hvor:

V er volumen af den fortyndede gas i l pr. prøvning (før korrektion)

V_0 er det gasvolumen, der er leveret af den positive fortrængningspumpe under prøvningsbetingelser (l/pumpeomdrejning)

N er antallet af omdrejninger pr. prøvning.

2.2.1.1. Korrektion af volumen til standardbetingelser

Den fortyndede udstødningsgasvolumen, V, skal omregnes til standardbetingelserne ved hjælp af følgende ligning:

$$\mathbf{V_{mix}} = \mathbf{V} \times \mathbf{K_1} \times \left(\frac{\mathbf{P_B} - \mathbf{P_1}}{\mathbf{T_p}} \right)$$

hvor:

$$\mathbf{K_1 = \frac{273.15\ (K)}{101.325\ (kPa)} = 2.6961}$$

$\mathbf{P_B}$ er barometertrykket i prøvningslokalet (kPa)

$\mathbf{P_1}$ er undertryk ved sugesiden af den positive fortrængningspumpe (kPa) i forhold til barometertrykket i den omgivende luft

$\mathbf{T_P}$ er den aritmetiske gennemsnitstemperatur i den fortyndede udstødningsgas, som trænger ind i fortrængningspumpen under prøvningen (K).

3. Masseemissioner

3.1. Generelle krav (alt efter hvad der er relevant)

3.1.1. Under antagelse af, at det ikke er nogen kompressibilitetseffekt, kan alle gasser i motorens indtag, forbrænding og udstødningsprocesser anses for at være ideale i henhold til Avogadros' hypotese.

3.1.2. Massen **M** af gasformige forbindelser, der udledes fra køretøjet under prøvningen, bestemmes af produktet af volumenkoncentrationen af den pågældende gas og volumen af den fortyndede udstødningsgas, idet der tages hensyn til følgende massefyldeværdier under referencebetingelserne 273,15 K (0 °C) og 101,325 kPa:

Carbonmonoxid (CO) $\mathbf{\rho = 1.25}$ g/l

Carbondioxid (CO_2) $\mathbf{\rho = 1.964}$ g/l

Carbonhydrider

for benzin (E0) ($C_1H_{1,85}$) $\mathbf{\rho = 0.619}$ g/1

for benzin (E10/E10H) ($C_1H_{1,93}\ O_{0,033}$) $\mathbf{\rho = 0.646}$ g/l

for diesel (B0) ($C_1H_{1.86}$) $\mathbf{\rho = 0.620}$ g/1

for diesel (B5H) ($C_1H_{1,86}O_{0,005}$) $\mathbf{\rho = 0.623}$ g/l

for diesel (B7) ($C_1H_{1,86}O_{0,007}$) $\mathbf{\rho = 0.625}$ g/l

for LPG ($C_1H_{2,525}$) $\mathbf{\rho = 0.649}$ g/l

for NG/biomethan (CH_4) $\mathbf{\rho = 0.716}$ g/l

for ethanol (E85) ($C_1H_{2,74}O_{0,385}$) $\mathbf{\rho = 0.934}$ g/l

Nitrogenoxider (NOx) $\mathbf{\rho = 2.05}$ g/1

Den massefylde, der anvendes til beregning af NMHC-masse, skal svare til tætheden for de samlede carbonhydrider ved 273,15 K (0 °C) og 101,325 kPa og er brændstofafhængig. Massefylden for propanmasseberegninger (se punkt 3.5 i bilag B5), er 1,967 g/l ved standardbetingelser.

Hvis en brændstoftype ikke er opført i dette afsnit, beregnes massefylden af dette brændstof ved hjælp af ligningen i punkt 3.1.3 i dette bilag.

3.1.3. Den generelle ligning til beregning af den samlede carbonhydridmassefylde for hvert referencebrændstof med en gennemsnitlig sammensætning af $C_XH_YO_Z$ er som følger:

$$\rho_{THC} = \frac{MW_c + \frac{H}{C} \times MW_H + \frac{O}{C} \times MW_O}{V_M}$$

hvor:

ρ_{THC}	er massefylden af de samlede carbonhydrider og non-methan- carbonhydrider, g/l
MW_C	er carbons molmasse (12,011 g/mol)
MW_H	er hydrogens molmasse (1,008 g/mol)
MW_O	er oxygens molmasse (15,999 g/mol)
V_M	er molarvolumen for en ideal gas ved 273,15 K (0 °C) og 101,325 kPa (22,413 l/mol)
H/C	er forholdet mellem hydrogen og carbon for et specifikt brændstof $C_XH_YO_Z$
O/C	er forholdet mellem oxygen og carbon for et specifikt brændstof $C_XH_YO_Z$.

3.2. Beregning af masseemissioner

3.2.1. Masseemissioner af gasformige forbindelser pr. cyklusfase beregnes ved hjælp af følgende formler:

$$M_{i,phase} = \frac{V_{mix,phase} \times \rho_i \times KH_{phase} \times C_{i,phase} \times 10^{-6}}{d_{phase}}$$

hvor:

M_i	er masseemissionen af forbindelse i pr. prøvning eller fase, g/km
V_{mix}	er volumen af den fortyndede udstødningsgas pr. prøvning eller fase i liter pr. prøvning/fase og korrigeret til standardbetingelser (273,15 K (0 °C) og 101,325 kPa)
ρ_i	er massefylden af den i'te forbindelse i g/l ved normal temperatur og tryk (273,15 K (0 °C) og 101,325 kPa)
KH	er korrektionsfaktoren for fugtighed, der kun gælder for masseemissioner af nitrogenoxider, NO_2 og NOx, pr. prøvning eller fase
C_i	er koncentrationen af den i'te forbindelse pr. prøvning i den fortyndede udstødningsgas udtrykt i ppm og korrigeret for mængden af den i'te forbindelse i fortyndingsluften
d	er den kørte distance i den gældende WLTC, km
n	er antallet af faser i den gældende WLTC.

3.2.1.1. Koncentrationen af en gasformig forbindelse i den fortyndede udstødningsgas skal korrigeres med mængden af den gasformige forbindelse i fortyndingsluften ved hjælp af følgende ligning:

$$C_i = C_e - C_d \times \left(1 - \frac{1}{DF}\right)$$

hvor:

C_i	er koncentrationen af den i'te gasformige forbindelse i den fortyndede udstødningsgas korrigeret for mængden af den i'te gasformige forbindelse i fortyndingsluften, ppm
C_e	er den målte koncentration af den i'te gasformige forbindelse i den fortyndede udstødningsgas, ppm
C_d	er den målte koncentration af den i'te gasformige forbindelse i fortyndingsluften, ppm
DF	er fortyndingsfaktoren.

3.2.1.1.1. Fortyndingsfaktoren **DF** beregnes ved hjælp af ligningen for det pågældende brændstof (hvis relevant):

$$\mathbf{DF} = \frac{\mathbf{13.4}}{\mathbf{C_{CO2}} + (\mathbf{C_{HC}} + \mathbf{C_{CO}}) \times \mathbf{10^{-4}}}$$ for benzin (E10/E10H) og diesel (B0)

$$\mathbf{DF} = \frac{\mathbf{13.5}}{\mathbf{C_{CO2}} + (\mathbf{C_{HC}} + \mathbf{C_{CO}}) \times \mathbf{10^{-4}}}$$ for diesel (B5H)

$$\mathbf{DF} = \frac{\mathbf{13.5}}{\mathbf{C_{CO2}} + (\mathbf{C_{HC}} + \mathbf{C_{CO}}) \times \mathbf{10^{-4}}}$$ for benzin (E0)

$$\mathbf{DF} = \frac{\mathbf{13.5}}{\mathbf{C_{CO2}} + (\mathbf{C_{HC}} + \mathbf{C_{CO}}) \times \mathbf{10^{-4}}}$$ for diesel (B7)

$$\mathbf{DF} = \frac{\mathbf{11.9}}{\mathbf{C_{CO2}} + (\mathbf{C_{HC}} + \mathbf{C_{CO}}) \times \mathbf{10^{-4}}}$$ for LPG

$$\mathbf{DF} = \frac{\mathbf{9.5}}{\mathbf{C_{CO2}} + (\mathbf{C_{HC}} + \mathbf{C_{CO}}) \times \mathbf{10^{-4}}}$$ NG/biomethan

$$\mathbf{DF} = \frac{\mathbf{12.5}}{\mathbf{C_{CO2}} + (\mathbf{C_{HC}} + \mathbf{C_{CO}}) \times \mathbf{10^{-4}}}$$ for ethanol (E85)

$$\mathbf{DF} = \frac{\mathbf{35.03}}{\mathbf{C_{H2O}} - \mathbf{C_{H2O-DA}} + \mathbf{C_{H2}} \times \mathbf{10^{-4}}}$$ for hydrogen

Med hensyn til ligningen for hydrogen:

C_{H2O} er koncentrationen af CO_2 i den fortyndede udstødningsgas i prøvetagningssækken (% vol.)

C_{H2O-DA} er koncentrationen af H_2O i fortyndingsluften (% vol.)

C_{H2} er koncentrationen af H_2 i den fortyndede udstødningsgas i prøveopsamlingssækken, ppm.

Hvis en brændstoftype ikke er opført i dette afsnit, beregnes DF for dette brændstof ved hjælp af ligningen i punkt 3.2.1.1.2 i dette bilag.

Hvis fabrikanten anvender en DF, der omfatter flere faser, skal han beregne en DF-værdi ved hjælp af en gennemsnitskoncentration af gasformige forbindelser for de pågældende faser.

Gennemsnitskoncentration af en gasformig forbindelse beregnes ved hjælp af følgende ligning:

$$\overline{\mathbf{C_i}} = \frac{\sum_{\mathbf{phase=1}}^{\mathbf{n}} (\mathbf{C_{i,phase}} \times \mathbf{V_{mix,phase}})}{\sum_{\mathbf{phase=1}}^{\mathbf{n}} \mathbf{V_{mix,phase}}}$$

hvor:

$\overline{\mathbf{C_i}}$ er den gennemsnitlige koncentration af en gasformig forbindelse

$\mathbf{C_{i,phase}}$ er koncentrationen i hver fase

$\mathbf{V_{mix,phase}}$ er V_{mix} for den tilsvarende fase

n er antallet af faser.

3.2.1.1.2. Den generelle ligning til beregning af fortyndingsfaktoren DF for hvert referencebrændstof med en aritmetisk gennemsnitlig sammensætning af $C_xH_yO_z$ er som følger:

$$\mathbf{DF} = \frac{\mathbf{X}}{\mathbf{C_{CO2}} + (\mathbf{C_{HC}} + \mathbf{C_{CO}}) \times \mathbf{10^{-4}}}$$

hvor:

$$\mathbf{X} = \mathbf{100} \times \frac{\mathbf{x}}{\mathbf{x} + \frac{\mathbf{y}}{\mathbf{2}} + \mathbf{3.76}\left(\mathbf{x} + \frac{\mathbf{y}}{\mathbf{4}} - \frac{\mathbf{z}}{\mathbf{2}}\right)}$$

$\mathbf{C_{CO2}}$ er koncentrationen af CO_2 i den fortyndede udstødningsgas i prøvetagningssækken (% vol.)

$\mathbf{C_{HC}}$ er koncentrationen af HC i den fortyndede udstødningsgas i prøveudtagningssækken, ppm carbonækvivalent

$\mathbf{C_{CO}}$ er koncentrationen af CO i den fortyndede udstødningsgas indeholdt i prøveudtagningssækken, ppm.

3.2.1.1.3. Methanmåling

3.2.1.1.3.1. Til methanmåling ved hjælp af en GC-FID beregnes NMHC ved hjælp af følgende ligning:

$$\mathbf{C_{NMHC}} = \mathbf{C_{THC}} - (\mathbf{Rf_{CH4}} \times \mathbf{C_{CH4}})$$

hvor:

$\mathbf{C_{NMHC}}$ korrigeret koncentration af NMHC i den fortyndede udstødningsgas, ppm carbonækvivalent

$\mathbf{C_{THC}}$ er koncentrationen af THC i den fortyndede udstødningsgas udtrykt i ppm-carbonækvivalent og korrigeret med mængden af THC i fortyndingsluften

$\mathbf{C_{CH4}}$ er koncentrationen af $\mathbf{CH_4}$ i den fortyndede udstødningsgas, ppm carbonækvivalent og korrigeret for mængden af $\mathbf{CH_4}$ indeholdt i fortyndingsluften

$\mathbf{Rf_{CH4}}$ er FID-responsfaktoren til methan som fastlagt og specificeret i punkt 5.4.3.2 i bilag B5.

3.2.1.1.3.2. For methanmåling ved hjælp af en NMC-FID afhænger beregningen af NMHC af den kalibreringsgas/kalibreringsmetode, der er anvendt til nulstillings- eller justeringskalibrering.

FID-enheden anvendt til THC-måling (uden NMC) skal kalibreres med propan/luft på normal vis.

Til kalibrering af FID-enheden i serier med en NMC er følgende metoder tilladt:

a) kalibreringsgassen bestående af propan/luft ledes uden om NMC

b) kalibreringsgassen bestående af methan/luft ledes gennem NMC.

Det anbefales kraftigt at kalibrere methan-FID-enheden med metan/luft gennem NMC'en.

I tilfælde a) beregnes koncentrationen af CH_4 og NMHC ved hjælp af følgende ligninger:

$$C_{\mathbf{CH4}} = \frac{\mathbf{C_{HC(w/NMC)}} - \mathbf{C_{HC(w/oNMC)}} \times (\mathbf{1} - \mathbf{E_E})}{\mathbf{Rf_{CH4}} \times (\mathbf{E_E} - \mathbf{E_M})}$$

$$\mathbf{C_{NMHC}} = \frac{\mathbf{C_{HC(w/oNMC)}} \times (\mathbf{1} - \mathbf{E_M}) - \mathbf{C_{HC(w/NMC)}}}{\mathbf{E_E} - \mathbf{E_M}}$$

Hvis $Rf_{CH4} < 1{,}05$, kan den udelades i ligningen for C_{CH4}.

I tilfælde b) beregnes koncentrationen af CH_4 og NMHC ved hjælp af følgende ligninger:

$$\mathbf{C_{CH4}} = \frac{\mathbf{C_{HC(w/NMC)}} \times \mathbf{Rf_{CH4}} \times (\mathbf{1} - \mathbf{E_M}) - \mathbf{C_{HC(w/oNMC)}} \times (\mathbf{1} - \mathbf{E_E})}{\mathbf{Rf_{CH4}} \times (\mathbf{E_E} - \mathbf{E_M})}$$

$$\mathbf{C_{NMHC}} = \frac{\mathbf{C_{HC(w/oNMC)}} \times (\mathbf{1} - \mathbf{E_M}) - \mathbf{C_{HC(w/NMC)}} \times \mathbf{Rf_{CH4}} \times (\mathbf{1} - \mathbf{E_M})}{\mathbf{E_E} - \mathbf{E_M}}$$

hvor:

$\mathbf{C_{HC(w/NMC)}}$	er HC-koncentrationen med luftprøvestrøm gennem NMC, ppm C
$\mathbf{C_{HC(w/oNMC)}}$	er HC-koncentrationen med luftprøvestrøm ledt uden om NMC, ppm C
Rf_{CH4}	er responsfaktoren for methan som bestemt efter punkt 5.4.3.2 i bilag B5
$\mathbf{E_M}$	er virkningsgraden for methan som bestemt efter punkt 3.2.1.1.3.3.1 i dette bilag
$\mathbf{E_E}$	er virkningsgraden for ethan som bestemt efter punkt 3.2.1.1.3.3.2 i dette bilag.
Hvis $\mathbf{Rf_{CH4}} < 1{,}05$,	kan det udelades i ligningerne for metode b) ovenfor for C_{CH4} og C_{NMHC}.

3.2.1.1.3.3. Konverteringsvirkningsgrad af non-methan-afskæring (NMC)

NMC anvendes til fjernelse af non-methan-carbonhydrider fra prøvegassen gennem oxidation af alle carbonhydrider bortset fra methan. Det ideelle er en konverteringsgrad på 0 % for methan og 100 % for de andre carbonhydrider, repræsenteret ved ethan. For at få en nøjagtig bestemmelse af NMHC bestemmer man de to virkningsgrader og anvender dem til beregning af NMHC-emissionen.

3.2.1.1.3.3.1. Konverteringsvirkningsgrad for methan E_M

Kalibreringsgassen af methan/luft ledes ind i FID-enheden gennem NMC-enheden og forbi NMC-enheden, og de to koncentrationer registreres. Virkningsgraden beregnes ved hjælp af følgende ligning:

$$\mathbf{E_M} = \mathbf{1} - \frac{\mathbf{C_{HC(w/NMC)}}}{\mathbf{C_{HC(w/oNMC)}}}$$

hvor:

$\mathbf{C_{HC(w/NMC)}}$	er HC-koncentrationen, hvor CH_4 ledes gennem NMC (ppm C)
$\mathbf{C_{HC(w/oNMC)}}$	er HC-koncentrationen, hvor CH_4 ledes uden om NMC, (ppm C).

3.2.1.1.3.3.2. Konverteringsvirkningsgrad for ethan E_E

Kalibreringsgassen af ethan/luft ledes ind i FID-enheden gennem NMC-enheden og forbi NMC-enheden, og de to koncentrationer registreres. Virkningsgraden beregnes ved hjælp af følgende ligning:

$$\mathbf{E_E} = \mathbf{1} - \frac{\mathbf{C_{HC(w/NMC)}}}{\mathbf{C_{HC(w/oNMC)}}}$$

hvor:

$\mathbf{C_{HC(w/NMC)}}$	er HC-koncentrationen, hvor C_2H_6 ledes gennem NMC (ppm C)
$\mathbf{C_{HC(w/oNMC)}}$	er HC-koncentrationen, hvor C_2H_6 ledes uden om NMC (ppm C).

Hvis ethankonverteringsvirkningsgraden i NMC er 0,98 eller derover, fastsættes E_E til 1 for alle efterfølgende beregninger.

3.2.1.1.3.4. Hvis methan-FID-enheden kalibreres gennem afskæringen, skal E_M være 0.

Formlen til beregning af C_{CH4} i punkt 3.2.1.1.3.2. (metode (b)) i dette bilag bliver:

$$\mathbf{C_{CH4} = C_{HC(w/NMC)}}$$

Formlen til beregning af CNMHC i punkt 3.2.1.1.3.2. (metode (b)) i dette bilag bliver:

$$\mathbf{C_{NMHC} = C_{HC(w/oNMC)} - C_{HC(w/NMC)} \times r_h}$$

Den massefylde, der anvendes til beregning af NMHC-masse, skal svare til massefylden for de samlede carbonhydrider ved 273,15 K (0 °C) og 101,325 kPa og er brændstofafhængig.

3.2.1.1.4. Flowvægtet beregning af aritmetisk gennemsnitskoncentration

Følgende beregningsmetode anvendes for CVS-systemer, som ikke er udstyret med en varmeveksler, eller CVS-systemer med en varmeveksler, der ikke er i overensstemmelse med punkt 3.3.5.1 i bilag B5.

Denne strømvægtede aritmetiske gennemsnitskoncentrationsberegning anvendes til alle kontinuerlige fortyndede målinger, herunder PN. Den kan eventuelt anvendes på CVS-systemer med en varmeveksler, der er i overensstemmelse med punkt 3.3.5.1 i bilag B5.

$$\mathbf{C_e = \frac{\sum_{i=1}^{n} q_{VCVS}(i) \times \Delta t \times C(i)}{V}}$$

hvor:

$\mathbf{C_e}$	er den strømningsvægtede aritmetiske gennemsnitskoncentration
$\mathbf{q_{VCVS}(i)}$	er CVS-strømningshastigheden i tid $\mathbf{t = i \times \Delta t}$, ($m^3/s$)
$\mathbf{C(i)}$	er koncentrationen i tid $\mathbf{t = i \times \Delta t}$, (ppm)
$\mathbf{\Delta t}$	prøvetagningsintervallet, s
$\mathbf{V}$	det samlede CVS-volumen, m^3
$\mathbf{n}$	er prøvningstiden, s.

3.2.1.2. Beregning af NOx-fugtighedskorrektionsfaktoren

For at korrigere for luftfugtighedens indflydelse på resultaterne for nitrogenoxider foretages følgende beregninger:

$$\mathbf{KH = \frac{1}{1 - 0.0329 \times (H - 10.71)}}$$

hvor:

$$\mathbf{H = \frac{6.211 \times R_a \times P_d}{P_B - P_d \times R_a \times 10^{-2}}}$$

samt:

$\mathbf{H}$	H er den specifikke fugtighed, gram vanddamp pr. kg tør luft
$\mathbf{R_a}$	er den omgivende lufts relative fugtighed (%)
$\mathbf{P_d}$	er mættet damptryk ved omgivelsestemperatur, kPa
$\mathbf{P_B}$	er atmosfæretrykket i rummet, kPa.

KH-faktoren beregnes for hver fase af prøvningscyklussen.

Den omgivende temperatur og relative fugtighed skal defineres som det aritmetiske gennemsnit af de løbende værdier målt under hver fase.

3.2.2. Bestemmelse af HC-emissioner fra motorer med kompressionstænding

3.2.2.1. Den aritmetiske gennemsnitlige HC-koncentration til bestemmelse af HC-masseemissionen fra motorer med kompressionstænding beregnes ved hjælp af følgende formel:

$$\mathbf{C_e} = \frac{\int_{t_1}^{t_2} \mathbf{C_{HC}}\,\mathbf{dt}}{\mathbf{t_2} - \mathbf{t_1}}$$

hvor:

$\int_{t_1}^{t_2} \mathbf{C_{HC}}\,\mathbf{dt}$ er integralet af den opvarmede FID-analyseenheds registreringer under prøvningen (t_1 til t_2)

$\mathbf{C_e}$ er HC-koncentrationen målt i den fortyndede udstødningsgas i ppm af $\mathbf{C_i}$ og erstatter $\mathbf{C_{HC}}$ i alle relevante ligninger.

3.2.2.1.1. Fortyndingsluftens koncentration af HC bestemmes af fortyndingsluftposerne. Korrektionen skal foretages i overensstemmelse med punkt 3.2.1.1 i dette bilag.

3.2.3. Brændstofforbrug, brændstofeffektivitet og CO_2-beregninger for individuelle køretøjer i en interpolationsfamilie

3.2.3.1. Brændstofforbrug, brændstofeffektivitet og CO_2-emissioner uden anvendelse af interpolationsmetoden (dvs. kun ved brug af køretøj H)

CO_2-værdien som beregnet i punkt 3.2.1 til og med 3.2.1.1.2 i dette bilag og brændstofeffektiviteten/brændstofforbruget som beregnet i overensstemmelse med punkt 6 i dette bilag tildeles til alle individuelle køretøjer i interpolationsfamilien, og interpolationsmetoden anvendes ikke.

3.2.3.2. Brændstofforbrug og CO_2-emissioner ved anvendelse af interpolationsmetoden

CO_2-emissionerne og brændstofforbruget for hvert enkelt køretøj i interpolationsfamilien kan beregnes i overensstemmelse med punkt 3.2.3.2.1 til og med 3.2.3.2.5 i dette bilag.

3.2.3.2.1. Brændstofforbrug og CO_2-emissioner for prøvningskøretøjerne L og H

Massen af CO_2-emissioner, $\mathbf{M_{CO_2-L}}$, og $\mathbf{M_{CO_2-H}}$ og dens faser p, $\mathbf{M_{CO_2-L,p}}$og $\mathbf{M_{CO_2-H,p}}$, for prøvningskøretøjerne L og H, der anvendes til beregningerne nedenfor, skal tages fra trin 9 i tabel A7/1.

Der hentes også brændstofforbrugsværdier fra trin 9 i tabel A7/1, som der refereres til som $FC_{L,p}$ og $FC_{H,p}$.

3.2.3.2.2. Køremodstandsberegning for et individuelt køretøj

I tilfælde af at interpolationsfamilien stammer fra en eller flere køremodstandfamilier, må beregningen af den individuelle køremodstand kun udføres inden for den køremodstandsfamilie, der gælder for det individuelle køretøj.

3.2.3.2.2.1. Det individuelle køretøjs masse

Prøvningskøretøjers masse H og L skal anvendes som input til interpolationsmetoden.

TM_{ind}, i kg, er det individuelle køretøjs prøvningsmasse i henhold til punkt 3.2.25 i dette regulativ.

Hvis samme prøvningsmasse anvendes for prøvningskøretøjerne L og H, sættes værdien af $\mathbf{TM_{ind}}$ til massen af prøvningskøretøj H i forbindelse med interpolationsmetoden.

3.2.3.2.2.2. Rullemodstand for et individuelt køretøj

3.2.3.2.2.2.1. De faktiske RRC-værdier for de udvalgte dæk på prøvningskøretøj L, RR_L, og prøvningskøretøj H, RR_H, anvendes som input til interpolationsmetoden. Jf. punkt 4.2.2.1 i bilag B4.

Hvis dækkene på for- og bagakslerne for køretøj L eller H har forskellige RRC-værdier, beregnes det vægtede gennemsnit af rullemodstandene ved hjælp af ligningen i punkt 3.2.3.2.2.2.3 i dette bilag.

3.2.3.2.2.2.2. For dæk monteret på et individuelt køretøj sættes værdien af rullemodstandskoefficienten RR_{ind} til RRC-værdien for den relevante dækenergieffektivitetsklasse, jf. tabel A4/2 i bilag B4.

I det tilfælde, hvor individuelle køretøjer kan forsynes med et komplet sæt standardhjul og -dæk og desuden et komplet sæt snedæk (markeret med 3 Peaked Mountain og Snowflake — 3PMS) med eller uden hjul, betragtes de ekstra hjul/dæk ikke som ekstraudstyr.

Hvis dækkene på for- og bagakslerne tilhører forskellige dækenergieffektivitetsklasser, skal det vægtede gennemsnit anvendes, beregnet ved hjælp af ligningen i punkt 3.2.3.2.2.2.3 i dette bilag.

Hvis de samme dæk eller dæk med samme rullemodstandskoefficient er monteret på prøvningskøretøjerne L og H, sættes værdien af $\mathbf{RR_{ind}}$ for interpolationsmetoden til $\mathbf{RR_H}$.

3.2.3.2.2.2.3. Beregning af det vægtede gennemsnit af rullemodstandene

$$\mathbf{RR_x} = (\mathbf{RR_{x,\,FA}} \times \mathbf{mp_{x,\,FA}}) + (\mathbf{RR_{x,\,RA}} \times (\mathbf{1} - \mathbf{mp_{x,FA}}))$$

hvor:

$\mathbf{x}$	repræsenterer køretøj L, H eller et individuelt køretøj
$\mathbf{RR_{L,\,FA}}$ og $RR_{H,FA}$	er de faktiske RRC-værdier for dækkene på forreste aksels hjul på de respektive køretøjer L og H (kg/t)
$\mathbf{RR_{ind,\,FA}}$	er RRC-værdien for den relevante dækenergieffektivitetsklasse, jf. tabel A4/2 i bilag B4 for forakslens dæk på det enkelte køretøj (kg/ton)
$RR_{L,RA}$, og $RR_{H,RA}$	er de faktiske RRC-værdier for dækkene på bageste aksels hjul på de respektive køretøjer L og H (kg/t)
$RR_{ind,RA}$	er RRC-værdien for den relevante dækenergieffektivitetsklasse, jf. tabel A4/2 i bilag B4 for bagakslens dæk på det enkelte køretøj (kg/ton)
$\mathbf{mp_{x,FA}}$	er andelen af køretøjets masse i køreklar stand på forakslen

RRx må ikke afrundes eller klassificeres i dækenergieffektivitetsklasser.

3.2.3.2.2.3. Aerodynamisk modstand for et individuelt køretøj

3.2.3.2.2.3.1. Bestemmelse af aerodynamisk påvirkning af ekstraudstyr

Den aerodynamiske modstand måles for hver af de typer ekstraudstyr og karosseriformer, der har indflydelse på den aerodynamiske modstand, i en vindtunnel, som opfylder kravene i punkt 3.2 i bilag 4, kontrolleret af den kompetente myndighed.

For så vidt angår interpolationsmetoden måles den aerodynamiske modstand for ekstraudstyr inden for én køremodstandsfamilie ved samme vindhastighed, enten v_{low} eller v_{high}, som defineret i punkt 6.4.3 i bilag B4. Hvis der ikke findes v_{low} eller v_{high} (f.eks. måles køremodstanden V_L og/eller V_H ved anvendelse af friløbsmetoden), måles den aerodynamiske kraft ved samme vindhastighed inden for området ≥ 80 km/h og ≤ 150 km/h. For køretøjer i gruppe 1 måles den aerodynamiske kraft ved samme vindhastighed på ≤ 150 km/h.

3.2.3.2.2.3.2. Alternativ metode til bestemmelse af aerodynamisk påvirkning af ekstraudstyr

På fabrikantens anmodning og efter godkendelse fra den kompetente myndighed kan en alternativ metode (f.eks. kan CFD-simulering (kun niveau 1A), hvor vindtunnel ikke opfylder kriterierne i bilag B4) anvendes til at bestemme $\Delta(C_D \times A_f)$, hvis følgende kriterier er opfyldt:

a) Den alternative metode skal opfylde en nøjagtighed for $\Delta(C_D \times A_f)$ på ± 0,015 m^2.

Kun for niveau 1A — Såfremt der anvendes CFD-simulation, skal CFD-metodens nøjagtighed valideres med mindst to $\Delta(C_D \times A_f)$ pr. type ekstraudstyr fra et fælles referencekarrosseri og i alt mindst otte $\Delta(C_D \times A_f)$ som vist i eksemplet i figur A7/1a.

b) Den alternative metode må kun anvendes til typer af ekstraudstyr med aerodynamisk påvirkning (f.eks. hjul, køleluftkontrolsystemer, spoilere osv.), for hvilke der er påvist ækvivalens.

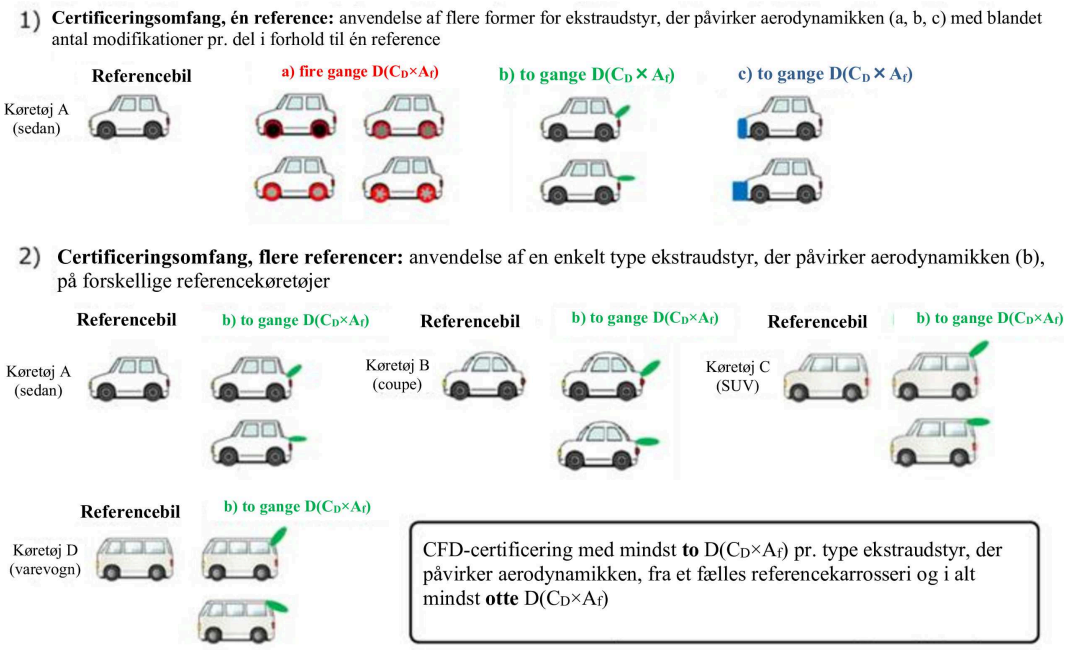
c) Dokumentation for ækvivalens, jf. litra a) og b), skal forelægges for den kompetente myndighed forud for typegodkendelsen af køremodstandsfamilien. For enhver alternativ metode skal valideringen baseres på målinger af vindtunneler, der opfylder kriterierne i dette regulativ.

d) Hvis $\Delta(C_D \times A_f)$ for et specifikt valgfrit udstyr er mere end dobbelt så stor som $\Delta(C_D \times A_f)$ for det ekstraudstyr, der er fremlagt dokumentation for, må aerodynamisk modstand ikke bestemmes efter den alternative metode. og

e) Hvis der anvendes en målemetode, er det nødvendigt at revalidere hvert fjerde år. Hvis der anvendes en matematisk metode, kræver enhver ændring af en simuleringsmodel eller af softwaren, der kan ugyldiggøre valideringsrapporten, også en revalidering.

Figur A7/1a

Alternativ metode til bestemmelse af aerodynamisk påvirkning af ekstraudstyr



3.2.3.2.2.3.2.1. Fabrikanten skal over for den kompetente myndighed oplyse det omfang af de køretøjer, der er omfattet af den alternative metode, og det oplyste anvendelsesområde skal dokumenteres i de relevante prøvningsrapporter, når der forelægges dokumentation for ækvivalens for den kompetente myndighed. Den kompetente myndighed kan anmode om bekræftelse af den alternative metodes ækvivalens ved at vælge køretøjet fra det anvendelsesområde, som fabrikanten har oplyst, efter at ækvivalensen er blevet påvist. Resultatet skal opfylde en nøjagtighed for Δ(CD×Af) på ± 0,015 m². Denne procedure baseres på målinger i vindtunneler, der opfylder kriterierne i dette regulativ. Hvis denne procedure ikke er opfyldt, anses godkendelsen af den alternative metode for ugyldig.

3.2.3.2.2.3.3. Anvendelse af aerodynamiske påvirkning af det individuelle køretøj

$\Delta(\mathbf{C_D} \times \mathbf{A_f})_{\mathbf{ind}}$ er forskellen mellem et individuelt køretøj og prøvningskøretøj L med hensyn til produktet af koefficienten for aerodynamisk modstand multipliceret med frontarealet på grund af optioner og karosseriformer for køretøjet, der er forskellige fra prøvningskøretøj L (m²)

Disse forskelle i aerodynamisk modstand, $\Delta(C_D \times A_f)$, bestemmes med en nøjagtighed på ± 0,015 m².

$\Delta(C_D \times A_f)_{ind}$ kan beregnes ved følgende ligning, der opretholder nøjagtigheden på ±0,015 m², også med hensyn til summen af ekstraudstyr og karosseriformer:

$$\Delta(\mathbf{C_D} \times \mathbf{A_f})_{\mathbf{ind}} = \sum_{\mathbf{i=1}}^{\mathbf{n}} \Delta(\mathbf{C_D} \times \mathbf{A_f})_{\mathbf{i}}$$

hvor:

$\mathbf{C_D}$	er koefficienten for aerodynamisk modstand
$\mathbf{A_f}$	er køretøjets frontareal (m²)

n er antallet af ekstraudstyrsartikler på køretøjet, som udgør forskelle, når det gælder et individuelt køretøj og prøvningskøretøj L

$\Delta(\mathbf{C_D} \times \mathbf{A_f})_\mathbf{i}$ er forskellen for produktet af koefficienten for aerodynamisk modstand multipliceret med frontarealet på grund af en individuel bestanddel, i, på køretøjet, og den er positiv for en ekstraudstyrsartikel, der tilføjer aerodynamisk modstand sammenlignet med prøvningskøretøj L og omvendt (m^2).

Summen af alle forskelle i $\Delta(C_D \times A_f)_i$ mellem prøvningskøretøj L og H skal svare til $\Delta(C_D \times A_f)_{LH}$.

3.2.3.2.2.3.4. Definition af det komplette aerodynamiske delta mellem prøvningskøretøjerne H og L

Den samlede forskel mellem prøvningskøretøjerne L og H med hensyn til koefficienten for aerodynamisk modstand multipliceret med frontarealet benævnes $\Delta(C_D \times A_f)_{LH}$ og registreres (m^2).

3.2.3.2.2.3.5. Dokumentation af aerodynamiske påvirkninger

Forøgelsen eller reduktionen af produktet af koefficienten for aerodynamisk modstand multipliceret med frontarealet udtrykt som $\Delta(C_D \times A_f)$ for alle ekstraudstyrsartikler og karosseriformer i interpolationsfamilien, der:

a) har indflydelse på køretøjets aerodynamiske modstand og

b) Skal medtages i interpolationen,

skal registreres (m^2).

3.2.3.2.2.3.6. Supplerende bestemmelser for aerodynamiske påvirkninger

Den aerodynamiske modstand for køretøj H skal anvendes på hele interpolationsfamilien, og $\Delta(C_D \times A_f)_{LH}$ skal sættes til nul, hvis:

a) vindtunnelfaciliteten ikke er i stand til nøjagtigt at bestemme $\Delta(C_D \times A_f)$ eller

b) der ikke er noget ekstraudstyr, der har indflydelse på luftmodstanden, og som udgør forskelle mellem prøvningskøretøjerne H og L, der skal indgå i interpolationsmetoden.

3.2.3.2.2.4. Beregning af køremodstandskoefficienter for individuelle køretøjer

Køremodstandskoefficienterne $\mathbf{f_0}$, $\mathbf{f_1}$ og $\mathbf{f_2}$ (som defineret i bilag B4) for prøvningskøretøjerne H og L benævnes henholdsvis $\mathbf{f_{0,H}}$, $\mathbf{f_{1,H}}$ og $\mathbf{f_{2,H}}$,og $\mathbf{f_{0,L}}$, $\mathbf{f_{1,L}}$ og $\mathbf{f_{2,L}}$. En korrigeret køremodstandskurve for prøvningskøretøj L er defineret som følger:

$$\mathbf{F_L(v)} = \mathbf{f^*_{0,L}} + \mathbf{f_{1,H}} \times \mathbf{v} + \mathbf{f^*_{2,L}} \times \mathbf{v^2}$$

Ved anvendelse af metoden med mindste kvadraters regression i referencehastighedsområderne, bestemmes de justerede køremodstandskoefficienter $\mathbf{f^*_{0,L}}$ og $\mathbf{f^*_{2,L}}$ for $\mathbf{F_L(v)}$ med den lineære koefficient $\mathbf{f^*_{1,L}}$sat til $\mathbf{f_{1,H}}$.

Køremodstandskoefficienterne $\mathbf{f_{0,ind}}$, $\mathbf{f_{1,ind}}$ og $\mathbf{f_{2,ind}}$ for et individuelt køretøj i interpolationsfamilien beregnes ved hjælp af følgende ligninger:

$$\mathbf{f_{0,ind}} = \mathbf{f_{0,H}} - \Delta\mathbf{f_0} \times \frac{(\mathbf{TM_H} \times \mathbf{RR_H} - \mathbf{TM_{ind}} \times \mathbf{RR_{ind}})}{(\mathbf{TM_H} \times \mathbf{RR_H} - \mathbf{TM_L} \times \mathbf{RR_L})}$$

eller, hvis $(\mathbf{TM_H} \times \mathbf{RR_H} - \mathbf{TM_L} \times \mathbf{RR_L}) = 0$, anvendes ligningen for $f_{0,ind}$ nedenfor:

$$\mathbf{f_{0,ind}} = \mathbf{f_{0,H}} - \Delta\mathbf{f_0}$$

$$\mathbf{f_{1,ind}} = \mathbf{f_{1,H}}$$

$$\mathbf{f_{2,ind}} = \mathbf{f_{2,H}} - \Delta\mathbf{f_2} \frac{(\Delta[\mathbf{C_D} \times \mathbf{A_f}]_{\mathbf{LH}} - \Delta[\mathbf{C_d} \times \mathbf{A_f}]_{\mathbf{ind}})}{(\Delta[\mathbf{C_D} \times \mathbf{A_f}]_{\mathbf{LH}})}$$

eller, hvis $\Delta(\mathbf{C_D} \times \mathbf{A_f})\mathbf{LH} = \mathbf{0}$, anvendes ligningen for $F_{2,ind}$ nedenfor:

$$\mathbf{f_{2,ind}} = \mathbf{f_{2,H}} - \Delta\mathbf{f_2}$$

hvor:

$\Delta\mathbf{f_0} = \mathbf{f_{0,H}} - \mathbf{f^*_{0,L}}$

$\Delta\mathbf{f_2} = \mathbf{f_{2,H}} - \mathbf{f^*_{2,L}}$

I tilfælde af en køremodstandsmatrixfamilie beregnes køremodstandskoefficienterne f_0, f_1 og f_2 for et individuelt køretøj efter ligningerne i punkt 5.1.1 i bilag B4.

3.2.3.2.3. Beregning af cyklusenergikravet

Cyklusenergikravet i den gældende WLTC, E_k, og energikravet i alle gældende cyklusfaser $\mathbf{E_{k,\,p}}$ beregnes i overensstemmelse med proceduren i punkt 5 i dette bilag for følgende sæt k, køremodstandskoefficienter og masser:

k=1: $\mathbf{f_0} = \mathbf{f^*_{0,L}}, \mathbf{f_1} = \mathbf{f_{1,H}}, \mathbf{f_2} = \mathbf{f^*_{2,L}}, \mathbf{m} = \mathbf{TM_L}$
(prøvningskøretøj L)

k=2: $\mathbf{f_0} = \mathbf{f_{0,H}}, \mathbf{f_1} = \mathbf{f_{1,H}}, \mathbf{f_2} = \mathbf{f_{2,H}}, \mathbf{m} = \mathbf{TM_H}$
(prøvningskøretøj H)

k=3: $\mathbf{f_0} = \mathbf{f_{0,ind}}, \mathbf{f_1} = \mathbf{f_{1,H}}, \mathbf{f_2} = \mathbf{f_{2,ind}}, \mathbf{m} = \mathbf{TM_{ind}}$
(et individuelt køretøj i interpolationsfamilien)

Disse tre sæt køremodstande kan være udledt af forskellige køremodstandsfamilier.

3.2.3.2.4. For niveau 1A og niveau 2 (fase 4 WLTP-prøvning):

Beregning af CO_2-værdien for et individuelt køretøj i en interpolationsfamilie med anvendelse af interpolationsmetoden

For hver cyklusfase p i den gældende cyklus skal massen af CO_2-emissioner i g/km for et individuelt køretøj beregnes ved hjælp af følgende ligning:

$$\mathbf{M_{CO_2-ind,\,p}} = \mathbf{M_{CO_2-L,p}} + \left(\frac{\mathbf{E_{3,p}} - \mathbf{E_{1,\,p}}}{\mathbf{E_{2,p}} - \mathbf{E_{1,p}}}\right) \times (\mathbf{M_{CO_2-H,p}} - \mathbf{M_{CO_2-L,p}})$$

Massen af CO_2-emissioner (g/km) over hele cyklussen for et individuelt køretøj beregnes ved hjælp af følgende ligning:

$$\mathbf{M_{CO_2-ind}} = \mathbf{M_{CO_2-L}} + \left(\frac{\mathbf{E_3} - \mathbf{E_1}}{\mathbf{E_2} - \mathbf{E_1}}\right) \times (\mathbf{M_{CO_2-H}} - \mathbf{M_{CO_2-L}})$$

Betingelserne $E_{1,p}$, $E_{2,p}$ og $E_{3,p}$ samt henholdsvis E_1, E_2 og E_3 beregnes som angivet i punkt 3.2.3.2.3 i dette bilag.

For niveau 1B og niveau 2 (fase 3 WLTP-prøvning):

Beregning af CO_2-værdien for et individuelt køretøj i en interpolationsfamilie med anvendelse af interpolationsmetoden

Denne beregning anvendes kun til verifikation af det ekstrapoleringskriterie, der er defineret i punkt 2.3.2.3 i bilag B6.

Massen af CO_2-emissioner (g/km) over hele cyklussen for et individuelt køretøj beregnes ved hjælp af følgende ligning:

$$\mathbf{M_{CO_2-ind}} = \mathbf{M_{CO_2-L}} + \left(\frac{\mathbf{E_3 - E_1}}{\mathbf{E_2 - E_1}}\right) \times (\mathbf{M_{CO_2-H}} - \mathbf{M_{CO_2-L}})$$

hvor:

M_{CO2-L} er CO_2-emissionerne fra trin 6 i tabel A7/1 i dette bilag for køretøj L

M_{CO2-H} er CO_2-emissionerne fra trin 6 i tabel A7/1 i dette bilag for køretøj H

Leddene E_1, E_2 og E_3 beregnes som angivet i punkt 3.2.3.2.3 i dette bilag.

3.2.3.2.5. For niveau 1A og niveau 2 (fase 4 WLTP-prøvning):

Beregning af værdien for brændstofforbrug, FC, for et individuelt køretøj i en interpolationsfamilie med interpolationsmetoden

For hver cyklusfase p i den gældende cyklus beregnes brændstofforbruget (l/100 km) for et individuelt køretøj ved hjælp af følgende ligning:

$$\mathbf{FC_{ind,p}} = \mathbf{FC_{L,p}} + \left(\frac{\mathbf{E_{3,p} - E_{1,p}}}{\mathbf{E_{2,p} - E_{1,p}}}\right) \times (\mathbf{FC_{H,p} - FC_{L,p}})$$

Brændstofforbruget, l/100 km, over hele cyklussen for et individuelt køretøj beregnes ved hjælp af følgende ligning:

$$\mathbf{FC_{ind}} = \mathbf{FC_L} + \left(\frac{\mathbf{E_3 - E_1}}{\mathbf{E_2 - E_1}}\right) \times (\mathbf{FC_H - FC_L})$$

Betingelserne $E_{1,p}$, $E_{2,p}$ og $E_{3,p}$, samt henholdsvis E_1, E_2 og E_3 beregnes som angivet i punkt 3.2.3.2.3 i dette bilag.

For niveau 1B og niveau 2 (fase 3 WLTP-prøvning)

Beregning af værdien for brændstofeffektiviteten (FE) for et individuelt køretøj i en interpolationsfamilie med interpolationsmetoden

For hver cyklusfase p i den gældende cyklus beregnes brændstofeffektiviteten (km/l) for et individuelt køretøj ved hjælp af følgende ligning:

$$\mathbf{FE_{ind,p}} = \frac{\mathbf{1}}{\mathbf{1/FE_{L,p}} + \left(\frac{\mathbf{E_{3,p} - E_{1,p}}}{\mathbf{E_{2,p} - E_{1,p}}}\right) \times (\mathbf{1/FE_{H,p} - 1/FE_{L,p}})}$$

Brændstofeffektiviteten i km/l over hele cyklussen for et individuelt køretøj beregnes ved hjælp af følgende ligning:

$$\mathbf{FE_{ind}} = \frac{\mathbf{1}}{\mathbf{1/FE_L} + \left(\frac{\mathbf{E_3 - E_1}}{\mathbf{E_2 - E_1}}\right) \times (\mathbf{1/FE_H - 1/FE_L})}$$

Betingelserne $E_{1,p}$, $E_{2,p}$ og $E_{3,p}$, samt henholdsvis E_1, E_2 og E_3 beregnes som angivet i punkt 3.2.3.2.3 i dette bilag.

3.2.3.2.6. For niveau 1A og niveau 2 (fase 4 WLTP-prøvning)

Den individuelle CO_2-værdi bestemt i overensstemmelse med punkt 3.2.3.2.4 i dette bilag, kan øges af fabrikanten af originaludstyret (OEM). I sådanne tilfælde:

a) CO_2-faseværdierne øges med forholdet mellem den forøgede CO_2-værdi divideret med den beregnede CO_2-værdi

b) Brændstofforbrugsværdierne øges med forholdet mellem den forøgede CO_2-værdi divideret med den beregnede CO_2-værdi .

Dette må ikke kompensere for tekniske elementer, der reelt ville kræve, at et køretøj blev udelukket fra interpolationsfamilien.

For niveau 1B og niveau 2 (fase 3 WLTP-prøvning)

Den individuelle brændstofeffektivitetsværdi som fastlagt i punkt 3.2.3.2.5 i dette bilag kan reduceres af originaludstyrsfabrikanten (OEM). I sådanne tilfælde:

a) Brændstofeffektivitetsfaseværdierne reduceres med andelen i den reducerede brændstofeffektivitetsværdi divideret med den beregnede brændstofeffektivitetsværdi

Dette må ikke kompensere for tekniske elementer, der reelt ville kræve, at et køretøj blev udelukket fra interpolationsfamilien.

3.2.4. Brændstofforbrug, brændstofeffektivitet og CO_2-beregninger for individuelle køretøjer i en køremodstandsmatrixfamilie

CO_2-emissionerne og brændstofeffektiviteten/brændstofforbruget for hvert enkelt køretøj i køremodstandsmatrixfamilien beregnes ved interpolationsmetoden beskrevet i punkt 3.2.3.2.3 til og med 3.2.3.2.5 i dette bilag. Hvor det er relevant, erstattes referencer til køretøj L og/eller H af referencer til henholdsvis køretøj L_M og/eller H_M.

3.2.4.1. Bestemmelse af brændstofforbrug, brændstofeffektivitet og CO_2-emissioner for køretøjerne L_M og H_M

Massen af CO_2-emissioner $\mathbf{M_{CO_2}}$ fra køretøjerne L_M og H_M bestemmes efter beregningerne i punkt 3.2.1 i dette bilag for de individuelle cyklusfaser p i den gældende WLTC, og der henvises til henholdsvis $\mathbf{M_{CO_2-LM,p}}$ og $\mathbf{M_{CO_2-HM,p}}$. Brændstofforbruget og brændstofeffektiviteten for individuelle cyklusfaser af den gældende WLTC bestemmes i henhold til punkt 6 i dette bilag og omtales som henholdsvis $FC_{LM,p}$, $FC_{HM,p}$, $FE_{LM,p}$ og $FE_{LM,p}$.

3.2.4.1.1. Køremodstandsberegning for et individuelt køretøj

Køremodstandskraften beregnes i overensstemmelse med den procedure, der er beskrevet i punkt 5.1 i bilag B4.

3.2.4.1.1.1. Det individuelle køretøjs masse

Prøvningsmassen for køretøjerne H_M og L_M, der er udvalgt efter punkt 4.2.1.4 i bilag B4, anvendes som input.

TM_{ind} i kg skal være det enkelte køretøjs prøvningsmasse, jf. definitionen af prøvningsmasse i punkt 3.2.25 i dette regulativ.

Hvis samme prøvningsmasse anvendes for køretøjerne L_M og H_M, skal værdien af TM_{ind} sættes til massen af køretøj H_M under anvendelse af køremodstandsmatrixfamiliemetoden.

3.2.4.1.1.2. Rullemodstand for et individuelt køretøj

3.2.4.1.1.2.1. RRC-værdierne for køretøj L_M , RR_{LM} og køretøj H_M , RR_{HM}, valgt i overensstemmelse med punkt 4.2.1.4 i bilag B4, anvendes som input.

Hvis dækkene på for- og bagakslerne for køretøj L_M eller H_M har forskellige rullemodstandsværdier, beregnes det vægtede gennemsnit af rullemodstandene ved hjælp af ligningen i punkt 3.2.4.1.1.2.3 i dette bilag.

3.2.4.1.1.2.2. For dæk monteret på et individuelt køretøj sættes værdien af rullemodstandskoefficienten RR_{ind} til RRC-værdien for den relevante dækenergieffektivitetsklasse, jf. tabel A4/2 i bilag B4.

I det tilfælde, hvor individuelle køretøjer kan forsynes med et komplet sæt standardhjul og -dæk og desuden et komplet sæt snedæk (markeret med 3 Peaked Mountain og Snowflake — 3PMS) med eller uden hjul, betragtes de ekstra hjul/dæk ikke som ekstraudstyr.

Hvis dækkene på for- og bagakslerne tilhører forskellige energieffektivitetsklasser, skal det vægtede gennemsnit anvendes, beregnet ved hjælp af ligningen i punkt 3.2.4.1.1.2.3 i dette bilag.

Hvis samme rullemodstand anvendes for køretøjerne L_M og H_M, skal værdien $\mathbf{RR_{ind}}$ sættes til $\mathbf{RR_{HM}}$ i forbindelse med køremodstandsmatrixfamiliemetoden.

3.2.4.1.1.2.3. Beregning af det vægtede gennemsnit af rullemodstandene

$$\mathbf{RR_x} = (\mathbf{RR_{x,\,FA}} \times \mathbf{mp_{x,\,FA}}) + \left(\mathbf{RR_{x,\,RA}} \times (\mathbf{1} - \mathbf{mp_{x,FA}})\right)$$

hvor:

$\mathbf{x}$	repræsenterer køretøj L, H eller et individuelt køretøj
$\mathbf{RR_{LM,\,FA}}$ og $RR_{HM,FA}$	er de faktiske RRC-værdier for dækkene på forreste aksels hjul på de respektive køretøjer L og H, kg/t
$\mathbf{RR_{ind,\,FA}}$	er RRC-værdien for den relevante dækenergieffektivitetsklasse, jf. tabel A4/2 i bilag B4 for forakslens dæk på det enkelte køretøj (kg/ton)
$RR_{LM,RA}$, og $RR_{HM,RA}$	er de faktiske rullemodstandskoefficienter for dækkene på bageste aksels hjul på de respektive køretøjer L og H, kg/t
$RR_{ind,RA}$	er RRC-værdien for den relevante dækenergieffektivitetsklasse, jf. tabel A4/2 i bilag B4 for bagakslens dæk på det enkelte køretøj (kg/ton)
$\mathbf{mp_{x,FA}}$	er andelen af køretøjets masse i køreklar stand på forakslen.

RR_x må ikke afrundes eller klassificeres i dækenergieffektivitetsklasser.

3.2.4.1.1.3. Et individuelt køretøjs frontareal

Forpartiet af køretøj L_M, A_{fLM} og køretøj H_M, A_{fHM}, valgt efter punkt 4.2.1.4 i bilag B4, anvendes som input.

$A_{f,ind}$, in m^2 er frontarealet for det individuelle køretøj.

Hvis samme frontareal anvendes til køretøjer L_M og H_M , indstilles værdien af $A_{f,\,ind}$ til frontarealet af køretøj H_M under anvendelse af køremodstandsmatrixfamiliemetoden.

3.2.5. Alternativ interpolationsberegningsmetode

Efter anmodning fra fabrikanten og med den kompetente myndigheds godkendelse kan en fabrikant anvende en alternativ interpolationsberegningsmetode, hvis interpolationsmetoden skaber urealistiske fasespecifikke resultater eller en urealistisk køremodstandskurve. Inden en sådan tilladelse gives, skal fabrikanten kontrollere og om muligt korrigere:

a) årsagen til små forskelle i de køremodstandsrelevante egenskaber mellem køretøj L og H i tilfælde af urealistiske fasespecifikke resultater

b) årsagen til, at en uventet forskel mellem koefficienterne f1, L og f1, H i tilfælde af en urealistisk køremodstandskurve.

I forbindelse med fabrikantens anmodning til den kompetente myndighed skal det godgøres, at en sådan korrektion ikke er mulig, og at den deraf følgende fejl er betydelig.

3.2.5.1. Alternativ beregning til korrektion af urealistiske fasespecifikke resultater

Som alternativ til de procedurer, der er fastlagt i punkt 3.2.3.2.4 og 3.2.3.2.5 i dette bilag, kan fasespecifik CO_2, fasespecifik brændstofeffektivitet og fasespecifikt brændstofforbrug beregnes efter ligningerne i punkt 3.2.5.1.1, 3.2.5.1.2 og 3.2.5.1.3 nedenfor.

For hver parameter erstattes M_{CO2} af FC eller FE.

3.2.5.1.1. Forholdsbestemmelse for hver fase af V_L og V_H

$$\mathbf{R_{p,L} = M_{CO2,p,L} / M_{CO2,c,L}}$$

$$\mathbf{R_{p,H} = M_{CO2,p,H} / M_{CO2,c,H}}$$

hvor:

$\mathbf{M_{CO2,p,L}}$, $\mathbf{M_{CO2,c,L}}$, $\mathbf{M_{CO2,p,H}}$**and**$\mathbf{M_{CO2,c,H}}$ er fra trin 9 i tabel A7/1 i dette bilag.

3.2.5.1.2. Forholdsbestemmelse for hver fase af V_{ind}

$$\mathbf{R_{p,ind} = R_{p,L} + \left(\frac{M_{CO2,c,ind} - M_{CO2,c,L}}{M_{CO2,c,H} - M_{CO2,c,L}} \right) \times (R_{p,H} - R_{p,L})}$$

hvor:

$\mathbf{M_{CO2,c,ind}}$ er fra trin 10 i tabel A7/1 i dette bilag og afrundes til nærmeste hele tal.

3.2.5.1.3. Pase pr. fasemasseemission af køretøj V_{ind}

$$\mathbf{M_{CO2,p,ind} = R_{p,ind} \times M_{CO2,c,ind}}$$

3.2.5.2. Alternativ beregning til korrektion af en urealistisk køremodstandskurve

Som alternativ til den procedure, der er defineret i punkt 3.2.3.2.2.4 i dette bilag, kan køremodstandskoefficienterne beregnes som følger:

$$\mathbf{F_i(v) = f^*_{0,i} + f_{1,A} \times v + f^*_{2,i} \times v^2}$$

Ved anvendelse af metoden med mindste kvadraters regression i området for referencehastighedspunkterne bestemmes alternative justerede køremodstandskoefficienter $f^*_{0,i}$ og $f^*_{2,i}$ for $F_i(v)$ med den lineære koefficient $f^*_{1,i}$ fastsat til $f_{1,A}$ og $f_{1,A}$ beregnet som følger:

$$\mathbf{f_{1,A}} = \frac{(\mathbf{E_i} - \mathbf{E_{LR}}) \times \mathbf{f_{1,HR}} + (\mathbf{E_{HR}} - \mathbf{E_i}) \times \mathbf{f_{1,LR}}}{(\mathbf{E_{HR}} - \mathbf{E_{LR}})}$$

hvor:

E	er cyklusenergikravet som defineret i punkt 5 i dette bilag, Ws
i	er det indeks, der betegner køretøjerne L, H eller ind
H_R	er prøvningskøretøj H som beskrevet i punkt 4.2.1.2.3.2 i bilag B4
L_R	er prøvningskøretøj L som beskrevet i punkt 4.2.1.2.3.2 i bilag B4.

3.3. PM

3.3.1. Beregning

PM beregnes ved hjælp af følgende to ligninger:

$$\mathbf{PM} = \frac{(\mathbf{V_{mix}} + \mathbf{V_{ep}}) \times \mathbf{P_e}}{\mathbf{V_{ep}} \times \mathbf{d}}$$

hvis udstødningsgassen føres uden om tunnelen,

samt:

$$\mathbf{PM} = \frac{\mathbf{V_{mix}} \times \mathbf{P_e}}{\mathbf{V_{ep}} \times \mathbf{d}}$$

hvis udstødningsgassen føres tilbage til tunnelen

hvor:

$\mathbf{V_{mix}}$	er volumen af fortyndet udstødningsgas (se punkt 2 i dette bilag) under standardbetingelser
$\mathbf{V_{ep}}$	er volumen af fortyndet udstødningsgas, der strømmer gennem partikelprøveudtagningsfilteret under standardbetingelser
$\mathbf{P_e}$	er massen af partikler indsamlet af en eller flere prøvefiltre, mg
d	er den kørte afstand svarende til prøvningscyklussen (km).

3.3.1.1. Hvis der er foretaget korrektion for baggrundsniveauet af partikelmasse fra fortyndingssystemet, skal denne bestemmes i overensstemmelse med punkt 2.1.3.1 i bilag B6. I så fald beregnes partikelmassen (mg/km) ved hjælp af følgende ligninger:

$$\mathbf{PM} = \left\{ \frac{\mathbf{P_e}}{\mathbf{V_{ep}}} - \left[\frac{\mathbf{P_a}}{\mathbf{V_{ap}}} \times \left(1 - \frac{1}{\mathbf{DF}} \right) \right] \right\} \times \frac{(\mathbf{V_{mix}} + \mathbf{V_{ep}})}{\mathbf{d}}$$

hvis udstødningsgassen føres uden om tunnelen

samt:

$$\mathbf{PM} = \left\{ \frac{\mathbf{P_e}}{\mathbf{V_{ep}}} - \left[\frac{\mathbf{P_a}}{\mathbf{V_{ap}}} \times \left(1 - \frac{1}{\mathbf{DF}} \right) \right] \right\} \times \frac{(\mathbf{V_{mix}})}{\mathbf{d}}$$

hvis udstødningsgassen føres tilbage til tunnelen

hvor:

$\mathbf{V_{ap}}$ er volumen af den tunnelluft, der strømmer gennem baggrundspartikelfilteret under standardbetingelser

$\mathbf{P_a}$ er partikelmassen fra fortyndingsluften eller fortyndingstunnelens baggrundsluft som bestemt ved en af metoderne beskrevet i punkt 2.1.3.1 i bilag B6

DF er fortyndingsfaktoren som bestemt i punkt 3.2.1.1.1 i dette bilag.

Hvis anvendelsen af en baggrundskorrektion giver et negativt resultat, anses resultatet for at være nul mg/km.

3.3.2. Beregning af PM ved hjælp af totrinsfortyndingsmetoden

$$\mathbf{V_{ep} = V_{set} - V_{ssd}}$$

hvor:

$\mathbf{V_{ep}}$ er volumen af fortyndet udstødningsgas, der strømmer gennem partikelprøveudtagningsfilteret under standardbetingelser

$\mathbf{V_{set}}$ er volumen af dobbelt fortyndet udstødningsgas, der strømmer gennem partikelprøveudtagningsfiltrene under standardbetingelser

$\mathbf{V_{ssd}}$ er volumen af den sekundære fortyndingsluft under standardbetingelser.

Hvis den sekundære fortyndede gasprøve til PM-måling ikke føres tilbage til tunnelen, beregnes CVS-volumen som i enkelt fortynding, dvs.:

$$\mathbf{V_{mix} = V_{mixindicated} + V_{ep}}$$

hvor:

$\mathbf{V_{mixindicated}}$ er det målte volumen af fortyndet udstødningsgas i fortyndingssystemet efter udtagning af partikelmasseprøven under standardbetingelser.

4. Bestemmelse af PN

PN beregnes ved hjælp af følgende ligning:

$$\mathbf{PN = \frac{V \times k \times (\overline{C_s} \times \overline{f_r} - C_b \times \overline{f_{rb}}) \times 10^3}{d}}$$

hvor:

PN er partikelantalemissionen (partikler pr. km)

V er volumen af den fortyndede udstødningsgas i liter pr. prøvning (efter primærfortyndingen kun i tilfælde af dobbelt fortynding) og korrigeret til standardbetingelser (273,15 K (0 °C) og 101,325 kPa)

k er en kalibreringsfaktor til korrektion af partikelantaltællerens (PNC) målinger til referenceinstrumentets niveau, hvis dette ikke anvendes internt i PNC. Når kalibreringsfaktoren anvendes internt i PNC, er kalibreringsfaktoren 1

$\overline{\mathbf{C_s}}$ er den korrigerede partikelantalkoncentration fra den fortyndede udstødningsgas udtrykt som det aritmetiske gennemsnit af partikler pr. kubikcentimeter fra emissionsprøvningen, inklusive hele kørecyklussen. Hvis volumenresultaterne fra gennemsnitskoncentrationen, $\overline{\mathbf{C}}$, i PNC ikke måles ved standardbetingelser (273,15 K (0 °C) og 101,325 kPa), skal koncentrationerne korrigeres til disse betingelser $\overline{\mathbf{C_s}}$

$\mathbf{C_b}$ er fortyndingsluftens eller fortyndingstunnelens baggrundspartikelantalkoncentration som tilladt af den kompetente myndighed, i partikler pr. kubikcentimeter og korrigeret til standardbetingelser (273,15 K (0 °C) og 101,325 kPa)

$\overline{\mathbf{f_r}}$ er den gennemsnitlige reduktionsfaktor for partikelkoncentration for VPR ved den fortyndingsindstilling, der anvendes ved prøvningen

$\overline{\mathbf{f_{rb}}}$ er den gennemsnitlige reduktionsfaktor for partikelkoncentration for VPR ved den fortyndingsindstilling, der anvendes ved baggrundsmåling

d er den kørte afstand svarende til den gældende prøvningscyklus (km).

$\overline{\mathbf{C}}$ beregnes ved hjælp af følgende ligning:

$$\overline{\mathbf{C}} = \frac{\sum_{i=1}^{n} \mathbf{C_i}}{\mathbf{n}}$$

hvor:

$\mathbf{C_i}$ er en separat måling af partikelantalkoncentration i den fortyndede udstødningsgas fra PNC, partikler pr. cm^3

n er det samlede antal særskilte partikelantalkoncentrationsmålinger udført under den relevante prøvningscyklus og beregnet ved hjælp af følgende ligning:

$$\mathbf{n} = \mathbf{t} \times \mathbf{f}$$

hvor:

t er varigheden af den gældende prøvningscyklus (s)

f er data-logging-frekvensen for partikeltælleren (Hz)

5. Beregning af cyklusenergikravet (CED)

Medmindre andet er angivet, baseres beregningen på målhastighedskurven i de separate tidsprøvepunkter.

Det samlede energikrav E for hele cyklussen eller en specifik cyklusfase beregnes ved at addere $\mathbf{E_i}$ gennem den tilsvarende cyklustid mellem t_{start} +1og t_{end} efter følgende ligning:

$$\mathbf{E} = \sum_{\mathbf{t_{start}+1}}^{\mathbf{t_{end}}} \mathbf{E_i}$$

hvor:

$\mathbf{E_i} = \mathbf{F_i} \times \mathbf{d_i}$ hvis $\mathbf{F_i} > \mathbf{0}$

$\mathbf{E_i} = \mathbf{0}$ hvis $\mathbf{F_i} \leq \mathbf{0}$

samt:

t_{start} er det tidspunkt, hvor den relevante prøvningscyklus eller -fase starter (jf. punkt 3 i bilag B1), s

t_{end} er det tidspunkt, hvor den relevante prøvningscyklus eller -fase slutter (se punkt 3 i bilag B1), s

$\mathbf{E_i}$ er energikravet i løbet af perioden (i-1) til (i), Ws

$\mathbf{F_i}$ er fremdrivningskraften i løbet af perioden (i-1) til (i), N

$\mathbf{d_i}$ er distancen tilbagelagt i løbet af perioden (i-1) til (i), m

$$\mathbf{F_i} = \mathbf{f_0} + \mathbf{f_1} \times \left(\frac{\mathbf{v_i} + \mathbf{v_{i-1}}}{\mathbf{2}}\right) + \mathbf{f_2} \times \frac{\left(\mathbf{v_i} + \mathbf{v_{i-1}}\right)^2}{\mathbf{4}} + (\mathbf{1.03} \times \mathbf{TM}) \times \mathbf{a_i}$$

hvor:

$\mathbf{F_i}$ er fremdrivningskraften i løbet af perioden (i-1) til (i), N

$\mathbf{v_i}$ er målhastigheden på tidspunktet t_i (km/h)

TM er prøvningsmassen, kg

$\mathbf{a_i}$ er accelerationen i løbet af perioden (i-1) til (i), m/s^2

$\mathbf{f_0}$, $\mathbf{f_1}$, $\mathbf{f_2}$ er køremodstandskoefficienter for prøvningskøretøjet under overvejelse ($\mathbf{TM_L}$, $\mathbf{TM_H}$eller $\mathbf{TM_{ind}}$) i henholdsvis N, N/km/h og $N/(km/h)^2$.

$$\mathbf{d_i} = \frac{(\mathbf{v_i} + \mathbf{v_{i-1}})}{\mathbf{2 \times 3.6}} \times (\mathbf{t_i} - \mathbf{t_{i-1}})$$

hvor:

$\mathbf{d_i}$ er distancen tilbagelagt i perioden (i-1) til (i), m

$\mathbf{v_i}$ er målhastigheden på tidspunktet $\mathbf{t_i}$ (km/h)

$\mathbf{t_i}$ er tid, s.

$$\mathbf{a_i} = \frac{\mathbf{v_i} - \mathbf{v_{i-1}}}{\mathbf{3.6} \times (\mathbf{t_i} - \mathbf{t_{i-1}})}$$

hvor:

$\mathbf{a_i}$ er accelerationen i løbet af perioden (i-1) til (i), m/s^2

$\mathbf{v_i}$ er målhastigheden på tidspunktet $\mathbf{t_i}$ (km/h)

$\mathbf{t_i}$ er tid, s.

6. Beregning af brændstofforbrug og brændstofeffektivitet (alt efter hvad der er relevant)

6.1. De specifikationer, der er nødvendige for beregningen af værdierne for brændstofforbrug skal hentes fra bilag B3.

6.2. For niveau 1A og niveau 2 (fase 4 WLTP-prøvning)

Værdierne for brændstofforbruget beregnes ud fra emissionerne af carbonhydrider, carbonmonoxid og carbondioxid ved hjælp af resultaterne for trin 6 for kriterieemissioner samt trin 7 for CO_2-emissioner i tabel A7/1 for ICE eller tabel A8/6 for NOVC-HEV og OVC-HEV.

For niveau 1B og niveau 2 (fase 3 WLTP-prøvning)

Værdierne for brændstofeffektiviteten beregnes ud fra emissionerne af carbonhydrider, carbonmonoxid og carbondioxid ved hjælp af resultaterne for trinnet som angivet i kolonnen "input" i den relevante tabel i dette bilag eller bilag B8.

6.2.1. Den generelle ligning i punkt 6.12 i denne bilag, hvori H/C- og O/C-forhold anvendes til beregning af brændstofforbrug.

6.2.2. For alle ligningerne i punkt 6 i dette bilag:

FC	er brændstofforbruget for et bestemt brændstof (l/100 km eller m^3 pr. 100 km, når det drejer sig om naturgas, eller kg/100 km, når det drejer sig om hydrogen)
H/C	er forholdet mellem hydrogen og carbon for et specifikt brændstof $C_XH_YO_Z$
O/C	er forholdet mellem oxygen og carbon for et specifikt brændstof $C_XH_YO_Z$.
MW_C	er carbons molmasse (12,011 g/mol)
MW_H	er hydrogens molmasse (1,008 g/mol)
MW_O	er oxygens molmasse (15,999 g/mol)
ρ_{fuel}	prøvningsbrændstoffets vægtfylde, kg/l. For gasformige brændstoffer, brændslets vægtfylde ved 15 °C
HC	er emissionerne af carbonhydrider (g/km)
CO	er emissionerne af carbonmonoxid (g/km)
CO_2	er emissionerne af carbondioxid (g/km)
H_2O	er emissionerne af vand (g/km)
H_2	er emissionerne af hydrogen (g/km)
p_1	er gastrykket i brændstofbeholderen før den gældende prøvningscyklus (Pa)
p_2	er gastrykket i brændstofbeholderen efter den gældende prøvningscyklus (Pa)
T_1	er gastemperaturen i brændstofbeholderen før den gældende prøvningscyklus (K)
T_2	er gastemperaturen i brændstofbeholderen efter den gældende prøvningscyklus (K)
Z_1	er det gasformige brændstofs kompressibilitetsfaktor ved p_1 og T_1
Z_2	er det gasformige brændstofs kompressibilitetsfaktor ved p_2 og T_2
V	er det indvendige volumen af gasbrændstofbeholderen (m^3)
d	er den teoretiske længde af den gældende fase eller cyklus, km.

6.3. For benzindrevne (E0) køretøjer med styret tænding

$$\mathbf{FC} = \left(\frac{\mathbf{0.1155}}{\boldsymbol{\rho}_{\mathbf{fuel}}}\right) \times [(\mathbf{0.866} \times \mathbf{HC}) + (\mathbf{0.429} \times \mathbf{CO}) + (\mathbf{0.273} \times \mathbf{CO_2})]$$

6.4. (Reserveret)

6.5. For benzindrevne (E10/E10H) køretøjer med styret tænding

$$\mathbf{FC} = \left(\frac{\mathbf{0.1206}}{\boldsymbol{\rho}_{\mathbf{fuel}}}\right) \times [(\mathbf{0.829} \times \mathbf{HC}) + (\mathbf{0.429} \times \mathbf{CO}) + (\mathbf{0.273} \times \mathbf{CO_2})]$$

6.6. For LPG-drevne køretøjer med styret tænding

$$\mathbf{FC_{norm}} = \left(\frac{\mathbf{0.1212}}{\mathbf{0.538}}\right) \times [(\mathbf{0.825} \times \mathbf{HC}) + (\mathbf{0.429} \times \mathbf{CO}) + (\mathbf{0.273} \times \mathbf{CO_2})]$$

6.6.1. Hvis sammensætningen af det brændstof, der anvendes til prøvningen, afviger fra den sammensætning, der er antaget til beregningen af det normaliserede forbrug, kan en korrektionsfaktor cf anvendes på fabrikantens anmodning ved hjælp af følgende ligning:

$$\mathbf{FC_{norm}} = \left(\frac{\mathbf{0.1212}}{\mathbf{0.538}}\right) \times \mathbf{cf} \times [(\mathbf{0.825} \times \mathbf{HC}) + (\mathbf{0.429} \times \mathbf{CO}) + (\mathbf{0.273} \times \mathbf{CO_2})]$$

Korrektionsfaktoren **cf**, der kan anvendes, bestemmes ved hjælp af følgende ligning:

$$\mathbf{cf} = 0.825 + 0.0693 \times \mathbf{n_{actual}}$$

hvor:

$\mathbf{n_{actual}}$ er det faktiske H/C-forhold for det anvendte brændstof.

6.7. For NG/biomethandrevne køretøjer med styret tænding

$$\mathbf{FC_{norm}} = \left(\frac{0.1336}{0.654}\right) \times [(0.749 \times \mathbf{HC}) + (0.429 \times \mathbf{CO}) + (0.273 \times \mathbf{CO_2})]$$

6.8. For dieseldrevne (B0) køretøjer med kompressionstænding

$$\mathbf{FC} = \left(\frac{0.1156}{\rho_{fuel}}\right) \times [(0.865 \times \mathbf{HC}) + (0.429 \times \mathbf{CO}) + (0.273 \times \mathbf{CO_2})]$$

6.9. For dieseldrevne (B5H) køretøjer med kompressionstænding

$$\mathbf{FC} = \left(\frac{0.1163}{\rho_{fuel}}\right) \times [(0.860 \times \mathbf{HC}) + (0.429 \times \mathbf{CO}) + (0.273 \times \mathbf{CO_2})]$$

6.10. For dieseldrevne (B7) køretøjer med kompressionstænding

$$\mathbf{FC} = \left(\frac{0.1165}{\rho_{fuel}}\right) \times [(0.858 \times \mathbf{HC}) + (0.429 \times \mathbf{CO}) + (0.273 \times \mathbf{CO_2})]$$

6.11. For ethanoldrevne (E85) køretøjer med styret tænding

$$\mathbf{FC} = \left(\frac{0.1743}{\rho_{fuel}}\right) \times [(0.574 \times \mathbf{HC}) + (0.429 \times \mathbf{CO}) + (0.273 \times \mathbf{CO_2})]$$

6.12. Brændstofforbruget kan beregnes for ethvert prøvningsbrændstof ved hjælp af følgende ligning:

$$\mathbf{FC} = \frac{\mathbf{MW_C} + \frac{\mathbf{H}}{\mathbf{C}} \times \mathbf{MW_H} + \frac{\mathbf{O}}{\mathbf{C}} \times \mathbf{MW_O}}{\mathbf{MW_C} \times \rho_{fuel} \times 10} \times \left(\frac{\mathbf{MW_C}}{\mathbf{MW_C} + \frac{\mathbf{H}}{\mathbf{C}} \times \mathbf{MW_H} + \frac{\mathbf{O}}{\mathbf{C}} \times \mathbf{MW_O}} \times \mathbf{HC} + \frac{\mathbf{MW_C}}{\mathbf{MW_{CO}}} \times \mathbf{CO} + \frac{\mathbf{MW_C}}{\mathbf{MW_{CO_2}}} \times \mathbf{CO_2}\right)$$

6.13. Brændstofforbruget for et hydrogendrevet køretøj med styret tænding:

$$\mathbf{FC} = 0.024 \times \frac{\mathbf{V}}{\mathbf{d}} \times \left(\frac{1}{\mathbf{Z_1}} \times \frac{\mathbf{p_1}}{\mathbf{T_1}} - \frac{1}{\mathbf{Z_2}} \times \frac{\mathbf{p_2}}{\mathbf{T_2}}\right)$$

For køretøjer, der enten kører på gasformig eller flydende hydrogen, og efter godkendelse fra den kompetente myndighed, kan fabrikanten vælge at beregne brændstofforbruget ved hjælp af ligningen for FC nedenfor eller en metode, hvor der anvendes en standardprotokol som f.eks. SAE J2572.

$$\mathbf{FC} = 0.1 \times (0.1119 \times \mathbf{H_2O} + \mathbf{H_2})$$

Kompressibilitetsfaktoren Z findes ved hjælp af følgende tabel:

Tabel A7/2

Kompressibilitetsfaktor Z

		p(bar)									
		5	100	200	300	400	500	600	700	800	900
T(K)	33	0,859	1,051	1,885	2,648	3,365	4,051	4,712	5,352	5,973	6,576
	53	0,965	0,922	1,416	1,891	2,338	2,765	3,174	3,570	3,954	4,329
	73	0,989	0,991	1,278	1,604	1,923	2,229	2,525	2,810	3,088	3,358
	93	0,997	1,042	1,233	1,470	1,711	1,947	2,177	2,400	2,617	2,829
	113	1,000	1,066	1,213	1,395	1,586	1,776	1,963	2,146	2,324	2,498
	133	1,002	1,076	1,199	1,347	1,504	1,662	1,819	1,973	2,124	2,271
	153	1,003	1,079	1,187	1,312	1,445	1,580	1,715	1,848	1,979	2,107
	173	1,003	1,079	1,176	1,285	1,401	1,518	1,636	1,753	1,868	1,981
	193	1,003	1,077	1,165	1,263	1,365	1,469	1,574	1,678	1,781	1,882
	213	1,003	1,071	1,147	1,228	1,311	1,396	1,482	1,567	1,652	1,735
	233	1,004	1,071	1,148	1,228	1,312	1,397	1,482	1,568	1,652	1,736
	248	1,003	1,069	1,141	1,217	1,296	1,375	1,455	1,535	1,614	1,693
	263	1,003	1,066	1,136	1,207	1,281	1,356	1,431	1,506	1,581	1,655
	278	1,003	1,064	1,130	1,198	1,268	1,339	1,409	1,480	1,551	1,621
	293	1,003	1,062	1,125	1,190	1,256	1,323	1,390	1,457	1,524	1,590
	308	1,003	1,060	1,120	1,182	1,245	1,308	1,372	1,436	1,499	1,562
	323	1,003	1,057	1,116	1,175	1,235	1,295	1,356	1,417	1,477	1,537
	338	1,003	1,055	1,111	1,168	1,225	1,283	1,341	1,399	1,457	1,514
	353	1,003	1,054	1,107	1,162	1,217	1,272	1,327	1,383	1,438	1,493

Hvis de nødvendige inputværdier for p og T ikke er anført i tabellen, findes kompressibilitetsfaktoren ved lineær interpolation mellem kompressibilitetsfaktorerne i tabellen, idet der vælges de værdier, der er tættest på den ønskede værdi.

6.14. Beregning af brændstofeffektiviteten (FE)

Dette punkt finder kun anvendelse på niveau 1B og niveau 2 (fase 3 WLTP-prøvning)

6.14.1. $$FE = 100/FC$$

hvor

FC er brændstofforbruget for et bestemt brændstof (l/100 km eller m^3 pr. 100 km, når det drejer sig om naturgas, eller kg/100 km, når det drejer sig om hydrogen)

FE er brændstofeffektivitet km/l (eller km/m^3 for naturgas eller km/kg for hydrogen).

7. Kørselssporindekser:

7.1. Generelle krav

Den foreskrevne hastighed mellem tidspunkter i tabel A1/1 til A1/12 beregnes ved lineær interpolation ved en frekvens på 10 Hz.

Hvis speederen er fuldt aktiveret, anvendes den foreskrevne hastighed i stedet for køretøjets faktiske hastighed i kørselssporindeksberegningerne i sådanne driftsperioder.

Hvis der er tale om køretøjer med manuel transmission, er det tilladt at udelukke beregning af kørselssporindeks under gearskift i opadgående retning. Fra tidspunktet for køretøjets faktiske koblingsaktivering og indtil den faktiske køretøjshastighed har nået den foreskrevne hastighed i det højere gear, må der højst gå 2 sekunder. Den typegodkendende myndighed kan anmode fabrikanten om at påvise, at det ikke er muligt at opfylde kravene til kørselsspor uden en sådan udelukkelse som følge af køretøjets konstruktion.

Systemet til overvågning af egendiagnosesystemer (OBD) eller elektronisk styreenhed (ECU) (dataindsamling) kan anvendes til at detektere speederpositionen. Indsamlingen af OBD- og/eller ECU-data påvirker ikke køretøjets emissioner eller ydeevne.

7.2. Beregning af kørselssporindekser

Følgende indekser beregnes i henhold til SAE J2951 (revideret i januar 2014):

a) IWR Inerti-arbejde-tal (Inertial Work Rating) (%)

b) RMSSE Kvadratisk middelværdi af hastighedsfejl (km/h)

7.3. (Reserveret)

7.4. Køretøjsspecifik anvendelse af kørselssporindekser

7.4.1. Rene ICE-køretøjer, NOVC-HEV'er, NOVC-FCHV'er

Kørselssporindekset IWR og RMSSE beregnes for den relevante prøvningscyklus og rapporteres.

7.4.2. OVC-HEV'er

7.4.2.1. Ladningsbevarende type 1-prøvning (punkt 3.2.5 i bilag B8)

Kørselssporindekset IWR og RMSSE beregnes for den relevante prøvningscyklus og rapporteres.

7.4.2.2. Ladningsforbrugende type 1-prøvning (punkt 3.2.4.3 i bilag B8)

Hvis antallet af ladningsforbrugende type 1-prøvningscyklusser er mindre end fire, beregnes kørselssporindekset IWR og RMSSE for hver enkelt gældende prøvningscyklus for den ladningsforbrugende type 1-prøvning og rapporteres.

Hvis antallet af ladningsforbrugende type 1-prøvningscyklusser er større end eller lig med fire, beregnes kørselssporindekset IWR og RMSSE for hver enkelt gældende prøvningscyklus for den ladningsforbrugende type 1-prøvning og rapporteres. I dette tilfælde skal den gennemsnitlige IWR og den gennemsnitlige RMSSE for kombinationen af to cyklusser i den ladningsforbrugende prøvning sammenlignes med de respektive kriterier i punkt 2.6.8.3.1.3 i bilag B6, og den beregnede IWR for enhver individuel cyklus i den ladningsforbrugende prøvning må ikke være mindre end - 3,0 % eller større end +5,0 %.

7.4.2.3. By-cyklusprøvning (punkt 3.2.4.3 i bilag B8 erstatter WLTC med $WLTC_{city}$)

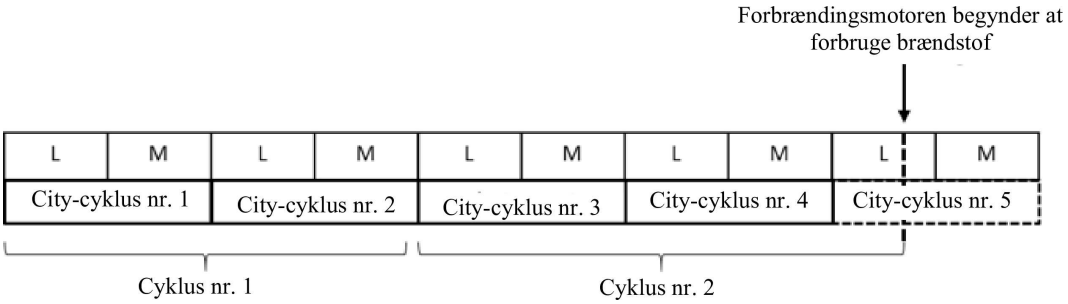
Ved beregningen af kørselssporindeks betragtes to prøvningscyklusser med fortløbende kørsel (L og M) som én cyklus.

For den bykørselscyklus, hvor forbrændingsmotoren begynder at forbruge brændstof, beregnes kørselssporindekset IWR og RMSSE ikke individuelt. Afhængigt af antallet af afsluttede bykørselscyklusser før den bykørselscyklus, hvor forbrændingsmotoren starter, kombineres i stedet den ufuldstændige bykørselscyklus med de foregående bykørselscyklusser og betragtes som én cyklus for så vidt angår beregningerne af kørselsporindeks.

Hvis antallet af afsluttede bykørselscyklusser er lige, skal den ufuldstændige bykørselscyklus kombineres med de to foregående afsluttede bykørselscyklusser. Se eksemplet i figur A7/1 nedenfor.

Figur A7/1

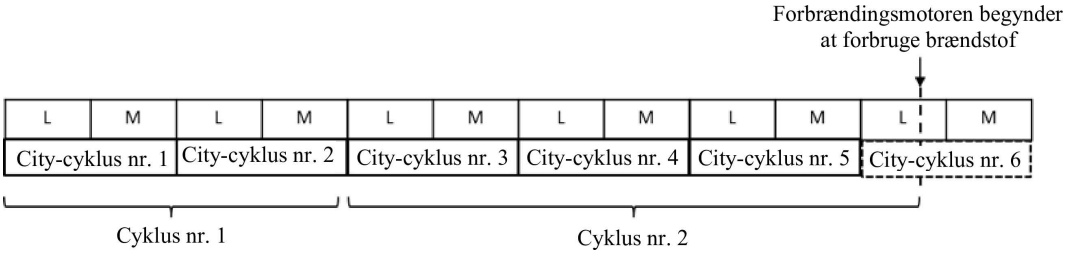
Eksempel med et lige antal afsluttede bykørselscyklusser før den bykørselscyklus, hvor forbrændingsmotoren starter



Hvis antallet af afsluttede bykørselscyklusser er ulige, skal den ufuldstændige bykørselscyklus kombineres med de tre foregående afsluttede bykørselscyklusser. Se eksemplet i figur A7/2 nedenfor.

Figur A7/2

Eksempel med et ulige antal afsluttede bykørselscyklusser før bykørselscyklussen, hvor forbrændingsmotoren starter



Hvis antallet af cyklusser udledt i overensstemmelse med figur A7/1 eller figur A7/2 er mindre end fire, beregnes kørselssporindekset IWR og RMSSE for hver enkelt cyklus og rapporteres.

Hvis antallet af cyklusser udledt i overensstemmelse med figur A7/1 eller figur A7/2 er større end eller lig med fire, beregnes kørselssporindekset IWR og RMSSE for hver enkelt cyklus. I dette tilfælde skal den gennemsnitlige IWR og den gennemsnitlige RMSSE for kombinationen af to cyklusser sammenlignes med de respektive kriterier i punkt 2.6.8.3.1.3 i bilag B6, og IWR for en individuel cyklus må ikke være mindre end - 3,0 % eller større end +5,0 %.

7.4.3. PEV

7.4.3.1. Fortløbende prøvningscyklus

Den fortløbende prøvningscyklus foretages i overensstemmelse med punkt 3.4.4.1 i bilag B8. Kørselssporindekset IWR og RMSSE beregnes for hver enkelt prøvningscyklus i proceduren for den fortløbende prøvningscyklus og rapporteres. Den prøvningscyklus, hvorunder afbrydelseskriteriet opfyldes, jf. punkt 3.4.4.1.3 i bilag B8, kombineres med den forudgående prøvningscyklus. Kørselssporindekset IWR og RMSSE beregnes, idet de to cyklusser betragtes som én cyklus.

7.4.3.2. Forkortet type 1-prøvning

Kørselssporindekset IWR og RMSSE for den forkortede type 1-prøvningsprocedure, som udføres i overensstemmelse med punkt 3.4.4.2 i bilag B8, beregnes separat for hvert dynamiske segment 1 og 2 og rapporteres. Beregningen af køresporsindekser under segmenterne med konstant hastighed udelades.

7.4.3.3. Prøvningsproceduren for bykørselscyklussen (punkt 3.4.4.1 i bilag B8 erstatter WLTC med $WLTC_{city}$).

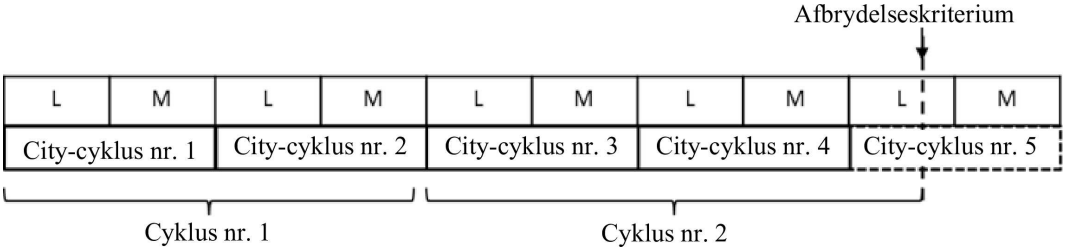
Ved beregningen af kørselssporindeks betragtes to prøvningscyklusser med fortløbende bykørsel som én cyklus.

For den bykørselscyklus, hvor afbrydelseskriteriet er opfyldt som angivet i punkt 3.4.4.1.3 i bilag B8, skal kørselssporindekset IWR og RMSSE ikke beregnes individuelt. Afhængigt af antallet af afsluttede bykørselscyklusser før den bykørselscyklus, hvor afbrydelseskriteriet opfyldes, kombineres i stedet den ufuldstændige bykørselscyklus med de foregående bykørselscyklusser og betragtes som én cyklus for så vidt angår beregningerne af kørselsporindeks.

Hvis antallet af afsluttede bykørselscyklusser er lige, skal den ufuldstændige bykørselscyklus kombineres med de to foregående afsluttede bykørselscyklusser. Se eksemplet i figur A7/3 nedenfor.

Figur A7/3

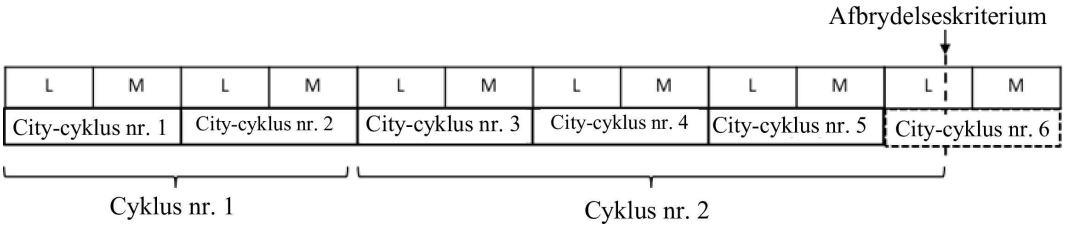
Eksempel med et lige antal afsluttede bykørselscyklusser før bykørselscyklussen med afbrydelseskriteriet.



Hvis antallet af afsluttede bykørselscyklusser er ulige, skal den ufuldstændige bykørselscyklus kombineres med de tre foregående afsluttede bykørselscyklusser. Se eksemplet i figur A7/4 nedenfor.

Figur A7/4

Eksempel med et ulige antal afsluttede bykørselsprøvningscyklusser før bykørselscyklussen med afbrydelseskriteriet.



Hvis antallet af cyklusser udledt i overensstemmelse med figur A7/3 eller figur A7/4 er mindre end fire, beregnes kørselssporindekset IWR og RMSSE for hver af disse cyklusser og rapporteres.

Hvis antallet af cyklusser udledt i overensstemmelse med figur A7/3 eller figur A7/4 er større end eller lig med fire, beregnes kørselssporindekset IWR og RMSSE for hver af disse cyklusser og rapporteres. I dette tilfælde skal den gennemsnitlige IWR og den gennemsnitlige RMSSE for kombinationen af to cyklusser sammenlignes med de respektive kriterier i punkt 2.6.8.3.1 i bilag B6, og IWR for en individuel cyklus må ikke være mindre end - 3,0 % eller større end +5,0 %.

8. Beregning af n/v-forhold

n/v-forhold beregnes ved hjælp af følgende ligning:

$$\left(\frac{\mathbf{n}}{\mathbf{v}}\right)_{\mathbf{i}} = (\mathbf{r_i} \times \mathbf{r_{axle}} \times \mathbf{60000})/(\mathbf{U_{dyn}} \times \mathbf{3.6})$$

hvor:

n	er motorhastighed (min^{-1})
v	er køretøjets hastighed i km/h
r_i	er gearudvekslingsforholdet i gear i
r_{axle}	er akseludvekslingsforholdet.
U_{dyn}	er dækkenes dynamiske rulleomkreds for drivakslen, som beregnes ved hjælp af følgende ligning:

$$\mathbf{U_{dyn}} = \mathbf{3.05} \times \left(\mathbf{2}\left(\frac{\mathbf{H/W}}{\mathbf{100}}\right) \times \mathbf{W} + (\mathbf{R} \times \mathbf{25.4})\right)$$

hvor:

H/W	er dækkets højde/bredde-forhold, f.eks. "45" for et 225/45 R17-dæk
W	er dækkets bredde (mm) f.eks. "225" for et 225/45 R17-dæk.
R	er hjuldiameteren (tommer) f.eks. "17" for et 225/45 R17-dæk.
U_{dyn}	afrundes i overensstemmelse med punkt 6.1.8 i dette regulativ til hele mm.

Hvis U_{dyn} er forskellig for for- og bagaksler, anvendes værdien n/v for hoveddrivakslen på et dynamometer både i 2WD- og 4WD-tilstand.

Efter anmodning fra den kompetente myndighed skal denne modtage de oplysninger, der er nødvendige for valget.

BILAG B8

Rent elektriske køretøjer, hybride elkøretøjer og hybride køretøjer med komprimeret hydrogen-brændselsceller

1. Generelle krav

Ved prøvningen af NOVC-HEV'er, OVC-HEV'er, NOVC-FCHV'er og OVC-FCHV'er (alt efter hvad der er relevant) erstatter tillæg 2 og tillæg 3 til dette bilag tillæg 2 til bilag B6.

Medmindre andet er anført, finder alle forskrifter i dette bilag anvendelse på køretøjer med og uden førervalgte driftstilstande. Medmindre andet udtrykkeligt er anført i dette bilag, finder alle de forskrifter og procedurer, der er specificeret i bilag B6 og B7, fortsat anvendelse på NOVC-HEV'er, OVC-HEV'er, NOVC-FCHV'er, OVC-FCHV'er og PEV'er (alt efter hvad der er relevant).

1.1. Enheder, nøjagtighed og opløsning af elektriske parametre

Enheder, nøjagtighed og opløsning af målinger skal være som vist i tabel A8/1.

Tabel A8/1

Parametre, enheder, nøjagtighed og opløsning ved målinger

Parametre	Enheder	Nøjagtighed	Opløsning
Elektrisk energi ([a])	Wh	±1 %	0,001 kWh ([b])
Elektrisk strøm	A	±0,3 % FSD eller ±1 % af læsningen ([a]), ([c])	0,1 A
Elektrisk spænding	V	±0,3 % FSD eller ±1 % af læsningen ([c])	0,1 V

([a]) Udstyr: Statisk måler af aktiv energi.
([b]) Jævnstrømswatt-timemeter, klasse 1 i henhold til IEC 62053-21 eller tilsvarende.
([c]) Afhængigt af, hvad der er højest.
([d]) Strømintegrationfrekvens på 20 Hz eller derover.

Tabel A8/2

(Reserveret)

1.2. Prøvning af emissioner og brændstofforbrug

Parametre, enheder og nøjagtighed ved målinger skal være de samme som dem, der kræves for rene ICE-køretøjer.

1.3. Afrunding af prøvningsresultater

1.3.1. De mellemliggende trin i beregningerne afrundes ikke, medmindre det er påkrævet med mellemliggende afrunding.

1.3.2. For OVC-HEV'er og NOVC-HEV'er afrundes de endelige kriterieemissionsresultater i overensstemmelse med punkt 1.3.2 i bilag B7, NOx-korrektionsfaktoren KH skal afrundes i henhold til punkt 1.3.3 i bilag B7, og fortyndingsfaktoren DF skal være afrundet i overensstemmelse med punkt 1.3.4 i bilag B7.

1.3.3. For oplysninger, der ikke vedrører standarder, anvendes god teknisk praksis.

1.3.4. Afrunding af rækkevidde, CO_2, energiforbrug og brændstofforbrug beskrives i beregningstabellerne i dette bilag.

1.4. Klassificering af køretøjer

Klassificering af køretøjer er defineret i punkt 2 i bilag B1.

Den gældende prøvningscyklus ved type 1-prøvning skal fastlægges i henhold til punkt 1.4.2 i dette bilag, baseret på den tilsvarende referenceprøvningscyklus som beskrevet i punkt 1.4.1 i dette bilag.

For niveau 1B og niveau 2 (fase 3 WLTP-prøvning):

Hvis der er tale om flere rent elektriske køretøjer i gruppe 1 eller gruppe 2, skal fabrikanten måle systemeffekten.

1.4.1. Referenceprøvningscyklus

1.4.1.1. Referenceprøvningscyklusserne er angivet i punkt 3 i bilag B1.

1.4.1.2. For PEV'er kan nedskaleringsmetoden i overensstemmelse med punkt 8.2.3 og 8.3 i bilag B1 anvendes på prøvningscyklusser i overensstemmelse med punkt 3.3 i bilag B1 ved at erstatte mærkeeffekten med en maksimal nettoeffekt i overensstemmelse med regulativ nr. 85 eller, for flere elektriske maskiner, den maksimale effekt i overensstemmelse med regulativ nr. 177. I et sådant tilfælde er den nedskalerede cyklus referenceprøvningscyklussen.

1.4.2. Gældende prøvningscyklus

1.4.2.1. Gældende WLTP-prøvningscyklus

Referenceprøvningscyklussen i henhold til punkt 1.4.1 i dette bilag skal være den gældende WLTP-prøvningscyklus (WLTC) for type 1-prøvningsproceduren.

Hvis punkt 9 i bilag B1 anvendes på grundlag af referenceprøvningscyklussen som beskrevet i punkt 1.4.1 i dette bilag, skal denne ændrede prøvningscyklus være den gældende WLTP-prøvningscyklus (WLTC) for type 1-prøvningsproceduren.

1.4.2.2. Gældende WLTP-prøvningscyklus (bykørsel)

Dette punkt finder kun anvendelse på niveau 1A og niveau 2

Gruppe 3 WLTP-prøvningscyklus (bykørsel) ($WLTC_{city}$) er angivet i punkt 3.5 i bilag B1.

1.5. OVC-HEV'er, NOVC-HEV'er, OVC-FCHV'er, NOVC-FCHV'er og PEV'er med manuel transmission

Køretøjer køres i henhold til den tekniske gearskiftindikator, hvis en sådan forefindes, eller i overensstemmelse med instrukserne i fabrikantens vejledning.

2. Tilkørsel af prøvningskøretøjet

Køretøjet, som er prøvet i overensstemmelse med dette bilag, skal være i god teknisk stand og være tilkørt i henhold til fabrikantens anvisninger. Hvis REESS'erne anvendes over det normale driftstemperaturområde, skal operatøren følge den procedure, som anbefales af køretøjsfabrikanten for at holde REESS-systemets temperatur inden for det normale driftsområde. Fabrikanten skal forelægge dokumentation for, at det termiske forvaltningssystem for REESS-systemet hverken afbrydes eller reduceres.

2.1. OVC-HEV'er og NOVC-HEV'er skal være kørt til i overensstemmelse med kravene i punkt 2.3.3 i bilag B6.

2.2. NOVC-FCHV'er og OVC-HEV'er skal være kørt til over mindst 300 km med deres brændselscelle- og REESS monteret.

2.3. PEV'er skal have kørt mindst 300 km eller distancen for fuld opladning, alt hvad der er længst.

2.4. Alle REESS-systemer, der ikke har indflydelse på CO_2-emissioner eller H_2-forbrug, undtages fra overvågningen.

3. Prøvningsmetode

3.1. Generelle krav

3.1.1. For alle OVC-HEV'er, NOVC-HEV'er, PEV'er, OVC-FCHV'er og NOVC-FCHV'er finder følgende anvendelse, hvor det er relevant:

3.1.1.1. Køretøjer prøves i henhold til de gældende prøvningscyklusser i punkt 1.4.2 i dette bilag.

3.1.1.2. Hvis køretøjet ikke kan følge den gældende prøvningscyklus inden for hastighedskurvetolerancerne i henhold til punkt 2.6.8.3.1.2. i bilag B6, skal speederen, medmindre andet er anført, aktiveres fuldt ud, indtil den krævede hastighedskurve igen er nået.

3.1.1.3. Startproceduren for drivlinjen indledes ved hjælp af de hertil beregnede anordninger i overensstemmelse med fabrikantens anvisninger.

3.1.1.4. For OVC-HEV'er, NOVC-HEV'er, NOVC-FCHV'er, OVC-FCHV'er og PEV'er, skal prøveudtagning af udstødningsemissioner og målingen af elektrisk energiforbrug indledes for hver enkelt gældende prøvningscyklus inden eller ved indledningen af køretøjets startprocedure og ved afslutningen af hver gældende prøvningscyklus.

3.1.1.5. For OVC-HEV'er og NOVC-HEV'er analyseres emissionen af gasformige forbindelser og partikelantal for hver enkelt prøvningsfase. For faser, hvor der ikke er nogen forbrændingsmotor i drift, er det tilladt at udelade faseanalysen og sætte emissionsresultaterne til nul.

3.1.1.6. For OVC-HEV'er og NOVC-HEV'er analyseres partikelemissionen for hver relevant prøvningscyklus, jf. dog punkt 2.10.1.1 i bilag B6. For cyklusser, hvor der ikke er nogen forbrændingsmotor i drift, er det tilladt at sætte emissionsresultaterne til nul.

3.1.2. Tvungen køling som beskrevet i punkt 2.7.2 i bilag B6 anvendes kun i forbindelse med ladningsbevarende type 1-prøvning for OVC-HEV'er i henhold til punkt 3.2 i dette bilag og til prøvning af NOVC-HEV'er i overensstemmelse med punkt 3.3 i dette bilag.

3.1.3. Der undtages fra kravene i punkt 2.2.2.1.2 og 2.2.2.1.3 i bilag B6, når prøvningen blev udført for PEV'er i henhold til punkt 3.4 og for FCHV'er i henhold til punkt 3.2 og punkt 3.5.

3.2. OVC-HEV'er og OVC-FCHV'er

3.2.1. Køretøjerne prøves under ladningsforbrugende driftstilstand (CD) og ladningsbevarende driftstilstand (CS).

3.2.2. Køretøjerne kan prøves i henhold til fire mulige prøvningssekvenser:

3.2.2.1. Valgmulighed 1 Ladningsforbrugende type 1-prøvning uden efterfølgende ladningsbevarende type 1-prøvning.

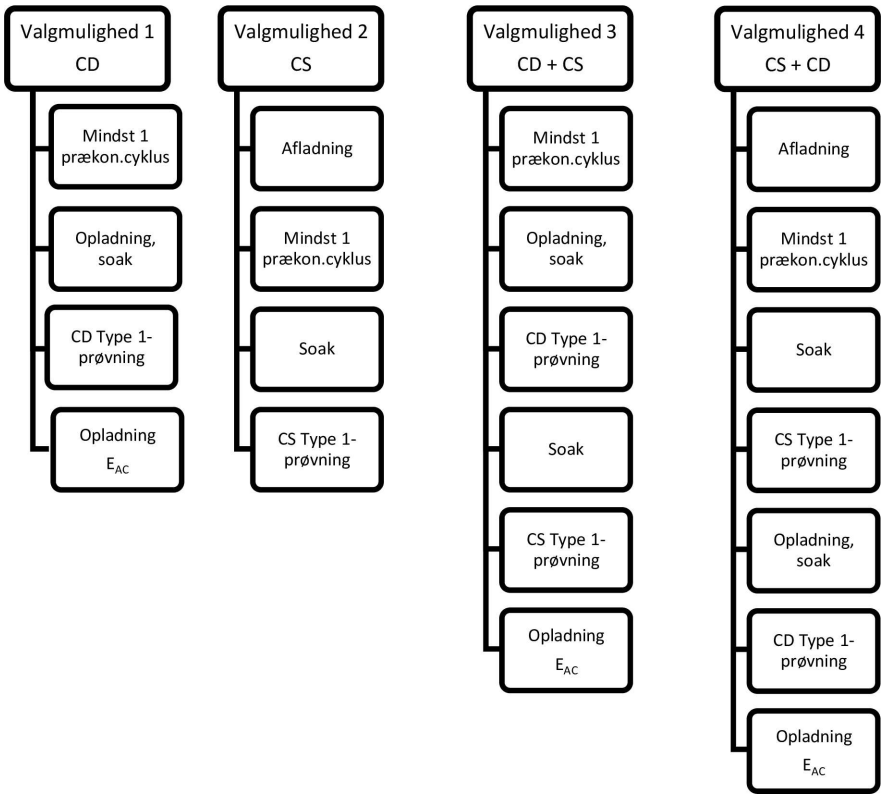
3.2.2.2. Valgmulighed 2 Ladningsbevarende type 1-prøvning uden efterfølgende ladningsforbrugende type 1-prøvning.

3.2.2.3. Valgmulighed 3 Ladningsforbrugende type 1-prøvning med efterfølgende ladningsbevarende type 1-prøvning.

3.2.2.4. Valgmulighed 4 Ladningsbevarende type 1-prøvning med efterfølgende ladningsforbrugende type 1-prøvning.

Figur A8/1

Mulige prøvningssekvenser for OVC-HEV- og for OVC-FCHV-prøvning



3.2.3. Den førervalgte driftstilstande skal være indstillet som beskrevet i følgende prøvningssekvenser (valgmulighed 1 til valgmulighed 4).

3.2.4. Ladningsforbrugende type 1-prøvning uden efterfølgende ladningsbevarende type 1-prøvning (valgmulighed 1)

Prøvningssekvensen ifølge valgmulighed 1, beskrevet i punkt 3.2.4.1 til og med 3.2.4.7 i dette bilag samt den hertil svarende ladningstilstandsprofil for REESS-systemet er vist i figur A8.Till.1/1 i tillæg 1 til dette bilag.

3.2.4.1. Prækonditionering

Køretøjet klargøres efter procedurerne i punkt 2.2 i tillæg 4 til dette bilag.

3.2.4.2. Prøvningsbetingelser

3.2.4.2.1. Prøvningen udføres med fuldt opladet REESS i henhold til kravene vedrørende ladning beskrevet i punkt 2.2.3 i tillæg 4 til dette bilag og køretøjet drevet i ladningsforbrugende driftstilstand som defineret i punkt 3.3.5 i dette regulativ.

3.2.4.2.2. Valg af førervalgt driftstilstand

For køretøjer, der er udstyret med en førervalgt driftstilstand, vælges driftsmåden i forbindelse med ladningsforbrugende type 1-prøvning i overensstemmelse med punkt 2 i tillæg 6 til dette bilag.

3.2.4.3. Prøvningsprocedure for ladningsforbrugende type 1-prøvning

3.2.4.3.1. Prøvningsproceduren for den ladningsforbrugende type 1-prøvning består af en række fortløbende cyklusser, hver efterfulgt af en soak-periode på højst 30 minutter, indtil der er opnået ladningsbevarende driftstilstand.

3.2.4.3.2. Under soak-stilstand mellem de enkelte gældende prøvningscyklusser, deaktiveres drivlinjen, og REESS må ikke genoplades fra en ekstern elektrisk energikilde. Instrumenterne til måling af den elektriske strøm for alle REESS'er og til bestemmelse af den elektriske spænding på alle REESS'er i henhold til tillæg 3 til dette bilag må ikke slukkes mellem prøvningscyklusserne. I tilfælde af amperetimemåling, integration forbliver integreringen aktiv under hele prøvningen, indtil denne er afsluttet.

Ved start efter soak-stilstand, skal køretøjet drives i den førervalgte driftstilstand i henhold til punkt 3.2.4.2.2 i dette bilag.

3.2.4.3.3. Som fravigelse fra punkt 5.3.1 i bilag B5, og i tilgift til punkt 5.3.1.2 i bilag B5, kan analysatorer kalibreres og nulkontrolleres før og efter den ladningsforbrugende type 1-prøvning.

3.2.4.4. Afslutning af den ladningsforbrugende type 1-prøvning

Afslutningen af den ladningsforbrugende type 1-prøvning anses for at være nået, når afbrydelseskriteriet i henhold til punkt 3.2.4.5 i dette bilag opfyldes for første gang. Antallet af gældende WLTP-prøvningscyklusser indtil og inklusive den cyklus, hvor afbrydelseskriteriet opfyldes for første gang, sættes til n + 1.

Den gældende WLTP-prøvningscyklus n er defineret som overgangscyklussen.

Den gældende WLTP-prøvningscyklus n + 1 er defineret som bekræftelsescyklussen.

For køretøjer uden ladningsbevarende kapacitet gennem hele den gældende WLTP- prøvningscyklus er afslutningen af type 1-prøvningen nået ved en angivelse fra et standard instrumentpanel om bord på køretøjet om standsning af køretøjet, eller når køretøjet afviger fra den foreskrevne hastighedskurve i 4 fortløbende sekunder eller mere. Speederen skal deaktiveres og køretøjet bremses til stilstand inden for 60 sekunder.

3.2.4.5. Afbrydelseskriterium

3.2.4.5.1. Det vurderes, om afbrydelseskriteriet er opfyldt for hver gældende WLTP-prøvningscyklus, der er kørt.

3.2.4.5.2. Afbrydelseskriteriet for den ladningsforbrugende type 1-prøvning er opfyldt, når den relative elektriske energiændring, $REEC_i$, som beregnet ved følgende ligning, er mindre end 0,04.

$$\mathbf{REEC_i} = \frac{|\Delta \mathbf{E_{REESS,i}}|}{\mathbf{E_{cycle}} \times \frac{\mathbf{1}}{\mathbf{3600}}}$$

hvor:

$\mathbf{REEC_i}$	er den relative elektriske energiændring for den pågældende i'te gældende prøvningscyklus i den ladningsforbrugende type 1-prøvning
$\Delta \mathbf{E_{REESS,i}}$	er den elektriske energiændring for alle REESS'er for den pågældende ladningsforbrugende type 1-prøvning i beregnet i henhold til punkt 4.3 i dette bilag (Wh)
$\mathbf{E_{cycle}}$	er cyklusenergikravet for den pågældende gældende WLTP-prøvningscyklus, beregnet i overensstemmelse med punkt 5 i bilag B7 (Ws)
i	er indeksnummeret for den pågældende gældende WLTP-prøvningscyklus
$\frac{\mathbf{1}}{\mathbf{3600}}$	er en faktor for omregning til Wh af cyklusenergikravet.

3.2.4.6. REESS-opladning og måling af ladningsenergi

3.2.4.6.1. Køretøjet skal forbindes til lysnettet inden for 120 minutter efter den gældende WLTP-prøvningscyklus n + 1, hvor afbrydelseskriteriet for den ladningsforbrugende type 1-prøvning opfyldes for første gang.

REESS er fuldt opladet, når kriteriet for stop af ladning, som defineret i punkt 2.2.3.2 i tillæg 4 til dette bilag, er opfyldt.

3.2.4.6.2. Udstyret til måling af elektrisk energi, der er anbragt mellem køretøjsladeren og lysnetstikkontakten, skal måle ladningsenergien E_{AC} leveret fra lysnettet såvel som dens varighed. Målingen af den elektriske energi kan stoppes, når kriteriet for stop af ladning, som defineret i punkt 2.2.3.2 i tillæg 4 til dette bilag, er opfyldt.

3.2.4.7. Hver enkelt gældende WLTP-prøvningscyklus i den ladningsforbrugende type 1-prøvning skal opfylde de gældende kriterieemissionsgrænseværdier i henhold til punkt 1.2 i bilag B6.

3.2.5. Ladningsbevarende type 1-prøvning uden efterfølgende ladningsforbrugende type 1-prøvning (valgmulighed 2)

Prøvningssekvensen ifølge valgmulighed 2, beskrevet i punkt 3.2.5.1 til og med 3.2.5.3.3 i dette bilag samt den hertil svarende ladningstilstandsprofil for REESS-systemet er vist i figur A8.Till.1/2 i tillæg 1 til dette bilag.

3.2.5.1. Prækonditionering og soaking

Køretøjet klargøres efter procedurerne i punkt 2.1 i tillæg 4 til dette bilag.

3.2.5.2. Prøvningsbetingelser

3.2.5.2.1. Prøvningerne skal udføres med køretøjet i ladningsbevarende driftstilstand som defineret i punkt 3.3.6 i dette regulativ.

3.2.5.2.2. Valg af førervalgt driftstilstand

For køretøjer, der er udstyret med en førervalgt driftstilstand, vælges driftsmåden i forbindelse med ladningsbevarende type 1-prøvning i overensstemmelse med punkt 3 i tillæg 6 til dette bilag.

3.2.5.3. Type 1-prøvningsprocedure

3.2.5.3.1. Køretøjerne prøves i henhold til type 1-prøvningsprocedurerne beskrevet i bilag B6.

3.2.5.3.2. CO_2-emissionen skal i givet fald korrigeres i henhold til tillæg 2 til dette bilag.

3.2.5.3.3. Prøvningen i henhold til punkt 3.2.5.3.1 i dette bilag skal opfylde de gældende kriterieemissionsgrænser i henhold til punkt 1.2 i bilag B6.

3.2.6. Ladningsforbrugende type 1-prøvning med efterfølgende ladningsbevarende type 1-prøvning (valgmulighed 3)

Prøvningssekvensen ifølge valgmulighed 3, beskrevet i punkt 3.2.6.1 til og med 3.2.6.3 i dette bilag samt den hertil svarende ladningstilstandsprofil for REESS-systemet er vist i figur A8.Till.1/3 i tillæg 1 til dette bilag.

3.2.6.1. I forbindelse med den ladningsforbrugende type 1-prøvning skal metoden beskrevet i punkt 3.2.4.1 til og med 3.2.4.5 samt punkt 3.2.4.7 i dette bilag følges.

3.2.6.2. Proceduren for ladningsbevarende type 1-prøvning beskrevet i punkt 3.2.5.1 til og med 3.2.5.3, inklusive dette bilag, følges derefter. Punkt 2.1.1 til og med 2.1.2 i tillæg 4 til dette bilag finder ikke anvendelse.

3.2.6.3. REESS-opladning og måling af ladningsenergi

3.2.6.3.1. Køretøjet skal forbindes til lysnettet inden for 120 minutter efter afslutning af den ladningsbevarende type 1-prøvning.

REESS er fuldt opladet, når kriteriet for stop af ladning, som defineret i punkt 2.2.3.2 i tillæg 4 til dette bilag, er opfyldt.

3.2.6.3.2. Udstyret til energimåling, der er anbragt mellem køretøjsladeren og lysnetstikkontakten, skal måle ladningsenergien E_{AC} leveret fra lysnettet såvel som dens varighed. Målingen af den elektriske energi kan stoppes, når kriteriet for stop af ladning, som defineret i punkt 2.2.3.2 i tillæg 4 til dette bilag, er opfyldt.

3.2.7. Ladningsbevarende type 1-prøvning med efterfølgende ladningsforbrugende type 1-prøvning (valgmulighed 4)

Prøvningssekvensen ifølge valgmulighed 4, beskrevet i punkt 3.2.7.1 og 3.2.7.2 i dette bilag samt den hertil svarende ladningstilstandsprofil for REESS-systemet er vist i figur A8.Till.1/4 i tillæg 1 til dette bilag.

3.2.7.1. I forbindelse med den ladningsbevarende type 1-prøvning skal metoden beskrevet i punkt 3.2.5.1 til og med 3.2.5.3 i dette bilag samt punkt 3.2.6.3.1 i dette bilag følges.

3.2.7.2. Proceduren for ladningsforbrugende type 1-prøvning beskrevet i punkt 3.2.4.2 til og med 3.2.4.7, inklusive dette bilag, følges derefter.

3.2.8. Køreautonomi med hydrogen (DR_H) for OVC-FCHV'er

Dette punkt finder kun anvendelse på niveau 1B og niveau 2 (fase 3 WLTP-prøvning)

3.2.8.1 Hydrogentankens nedre trykgrænse måles for OVC-FCHV'er i overensstemmelse med punkt 3 i tillæg 7 til dette bilag.

3.2.8.2. Den anvendelige hydrogenmængde (UAH) beregnes i overensstemmelse med punkt 3 i tillæg 7 til dette bilag.

3.2.8.3. Køreautonomi med hydrogen beregnes ud fra brændstofeffektiviteten og den anvendelige hydrogenmængde.

3.3. NOVC-HEV'er

Prøvningssekvensen beskrevet i punkt 3.3.1 til og med 3.3.3 i dette bilag samt den hertil svarende ladningstilstandsprofil for REESS-systemet er vist i figur A8.Till.1/5 i tillæg 1 til dette bilag.

3.3.1. Prækonditionering og soaking

3.3.1.1. Køretøjer skal konditioneres i overensstemmelse med punkt 2.6 i bilag B6.

Ud over kravene i punkt 2.6 i bilag B6 kan niveauet for ladningstilstanden for REESS-traktionsbatterierne for den ladningsbevarende prøvning indstilles efter fabrikantens anvisninger inden prækonditioneringen med henblik på at opnå en prøvning ved ladningsbevarende driftstilstand.

3.3.1.2. Køretøjer skal udsættes for soaking i overensstemmelse med punkt 2.7 i bilag B6.

3.3.2. Prøvningsbetingelser

3.3.2.1. Køretøjerne skal prøves i ladningsbevarende driftstilstand som defineret i punkt 3.3.6 i dette regulativ.

3.3.2.2. Valg af førervalgt driftstilstand

For køretøjer, der er udstyret med en førervalgt driftstilstand, vælges driftsmåden i forbindelse med ladningsbevarende type 1-prøvning i overensstemmelse med punkt 3 i tillæg 6 til dette bilag.

3.3.3. Type 1-prøvningsprocedure

3.3.3.1. Køretøjerne prøves i henhold til type 1-prøvningsproceduren beskrevet i bilag B6.

3.3.3.2. CO_2-emissionen skal i givet fald korrigeres i henhold til tillæg 2 til dette bilag.

3.3.3.3. Den ladningsbevarende type 1-prøvning skal opfylde de gældende kriterieemissionsgrænser i overensstemmelse med punkt 1.2 i bilag B6.

3.4. PEV'er

3.4.1. Generelle krav

Prøvningsmetoden til bestemmelse af rent elektrisk rækkevidde og elektrisk energiforbrug skal udvælges i overensstemmelse med den rent elektriske rækkevidde (PER) for prøvningskøretøjet ud fra tabel A8/3. Hvis interpolationsmetoden anvendes, skal den gældende prøvningsprocedure udvælges efter PER for køretøjet H i den specifikke interpolationsfamilie.

Tabel A8/3

Procedurer for fastlæggelse af den rent elektriske rækkevidde og det elektriske energiforbrug (alt efter hvad der er relevant)

Gældende prøvningscyklus	Den anslåede PER er …	Gældende prøvningsprocedure
Prøvningscyklus i henhold til punkt 1.4.2.1, i dette bilag med ekstra høj-fasen	...mindre end længden af 3 gældende WLTP-prøvningscyklusser	Type 1-prøvningsprocedure i fortløbende cyklus (i henhold til punkt 3.4.4.1 i dette bilag)
	...er lig med eller større end længden af 3 gældende WLTP-prøvningscyklusser	Forkortet type 1-prøvningsprocedure (i henhold til punkt 3.4.4.2 i dette bilag)
Prøvningscyklus i henhold til punkt 1.4.2.1, i dette bilag uden ekstra høj-fasen	...mindre end længden af 4 gældende WLTP-prøvningscyklusser	Type 1-prøvningsprocedure i fortløbende cyklus (i henhold til punkt 3.4.4.1 i dette bilag)
	...er lig med eller større end længden af 4 gældende WLTP-prøvningscyklusser	Forkortet type 1-prøvningsprocedure (i henhold til punkt 3.4.4.2 i dette bilag)
Cyklussen (bykørsel) i henhold til punkt 1.4.2.2 i dette bilag.	findes ikke i den gældende WLTP-prøvningscyklus	Type 1-prøvningsprocedure i fortløbende cyklus (i henhold til punkt 3.4.4.1 i dette bilag)

Fabrikanten skal over for den kompetente myndighed dokumentere den anslåede rent elektriske rækkevidde (PER) forud for prøvningen. Hvis interpolationsmetoden anvendes, skal den gældende prøvningsprocedure bestemmes ud fra den skønnede PER for køretøjet H i interpolationsfamilien. PER bestemt ved den anvendte prøvningsprocedure skal bekræfte, at den korrekte prøvningsprocedure er anvendt.

Prøvningssekvensen for type 1-prøvningsproceduren i fortløbende cyklus, som beskrevet i punkt 3.4.2, 3.4.3 og 3.4.4.1 i dette bilag samt den hertil svarende ladningstilstandsprofil for REESS-systemet er vist i figur A8.Till.1/6 i tillæg 1 til dette bilag.

Prøvningssekvensen for den forkortede type 1-prøvningsprocedure, som beskrevet i punkt 3.4.2, 3.4.3 og 3.4.4.2 i dette bilag samt den hertil svarende ladningstilstandsprofil for REESS-systemet er vist i figur A8.Till.1/7 i tillæg 1 til dette bilag.

Kun for niveau 1B

Hvis prøvningskøretøjet er klassificeret som gruppe 1 eller gruppe 2, vælges type 1-prøvningsproceduren for konsekutiv cyklus.

3.4.1.1. Efter anmodning fra fabrikanten eller den tekniske tjeneste og godkendelse af den typegodkendende myndighed kan prøvningen udføres med en mekanisk robot. Robotten skal være en ekstern anordning, der kopierer en menneskelig fører. Den skal anvende de samme aktuatorer, som den menneskelige fører ville anvende, dvs. speederen og bremsepedalen og eventuelle andre betjeningsanordninger, der er nødvendige for at betjene køretøjet. Typegodkendelsesmyndigheden skal anmode fabrikanten eller den tekniske tjeneste om at påvise korrelation mellem robotten og den menneskelige fører.

3.4.2. Prækonditionering

Køretøjet klargøres efter procedurerne i punkt 3 i tillæg 4 til dette bilag.

3.4.3. Valg af førervalgt driftstilstand

For køretøjer, der er udstyret med en førervalgt driftstilstand, vælges driftsmåden i forbindelse med prøvningen i overensstemmelse med punkt 4 i tillæg 6 til dette bilag.

3.4.4. Procedure for type 1-prøvning af PEV

3.4.4.1. Procedure for type 1-prøvning i fortløbende cyklus

3.4.4.1.1. Hastighedskurve og pauser

Prøvningen skal udføres ved at køre fortløbende gældende prøvningscyklusser indtil afbrydelseskriteriet i henhold til punkt 3.4.4.1.3 i dette bilag er opfyldt.

Pauser for fører og/eller operatør er kun tilladt mellem prøvningscyklusser og med en maksimal samlet pausetid på 10 minutter. Under pausen skal drivlinjen være slukket.

3.4.4.1.2. Måling af REESS-strømstyrke og -spænding

Fra begyndelsen af prøvningen og indtil afbrydelseskriteriet er opfyldt skal den elektriske strøm i alle REESS'er måles i henhold til tillæg 3 til dette bilag, og den elektriske spænding skal bestemmes i overensstemmelse med tillæg 3 til dette bilag.

3.4.4.1.3. Afbrydelseskriterium

Afbrydelseskriteriet er opfyldt, når køretøjet overstiger tolerancen for den foreskrevne hastighedskurve som specificeret i punkt 2.6.8.3.1.2 i bilag B6 i 4 fortløbende sekunder eller mere. Speederen skal deaktiveres. Køretøjet bremses til stilstand inden for 60 sekunder.

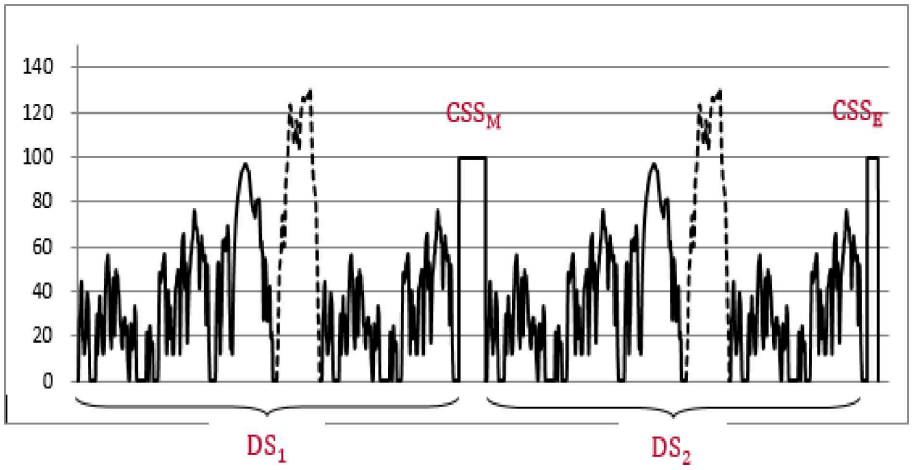
3.4.4.2. Forkortet type 1-prøvningsprocedure

3.4.4.2.1. Hastighedskurve

Den forkortede type 1-prøvningsprocedure består af to dynamiske segmenter (**DS_1** og **DS_2**) kombineret med to konstanthastighedssegmenter (**CSS_M** og **CSS_E**) som vist i figur A8/2.

Figur A8/2

Hastighedskurve for forkortet type 1-prøvningsprocedure



3.4.4.2.1.1. Dynamiske segmenter

Hver dynamisk segment **DS_1** og **DS_2** består af en gældende WLTP-prøvningsprocedure i overensstemmelse med punkt 1.4.2.1 i dette bilag efterfulgt af en gældende WLTP-prøvningskørsel (bykørsel) i overensstemmelse med punkt 1.4.2.2 i dette bilag.

3.4.4.2.1.2. Konstant hastighedssegment

De konstante hastigheder i segmenterne $\mathbf{CSS_M}$ og $\mathbf{CSS_E}$ skal være identiske. Hvis interpolationsmetoden anvendes, skal den samme konstante hastighed anvendes inden for interpolationsfamilien.

a) Hastighedsspecifikation

Minimumshastigheden for konstanthastighedssegmenter skal være 100 km/h. Hvis ekstra høj-fasen (Ekstra $høj_3$) udelukkes (hvis relevant), fastsættes minimumshastigheden for konstanthastighedssegmenter til 80 km/h. På fabrikantens anmodning og med den kompetente myndigheds godkendelse kan der vælges en højere konstant hastighed i konstanthastighedssegmenterne.

Accelerationen til konstanthastighedsniveauet skal være jævn og skal gennemføres inden for 1 minut efter afslutningen af de dynamiske segmenter og, i tilfælde af en afbrydelse i henhold til tabel A8/4, efter indledning af startproceduren for drivlinjen.

Decelerationen fra konstanthastighedsniveauet skal være jævn og skal gennemføres inden for 1 minut efter afslutningen af konstanthastighedssegmenterne.

Når køretøjets maksimale hastighed er mindre end den krævede minimumshastighed i konstanthastighedssegmenterne ifølge hastighedsspecifikation i dette punkt, skal den krævede hastighed i konstanthastighedssegmenterne være lig med køretøjets maksimalhastighed.

b) Bestemmelse af distance for CSS_E og CSS_M

Længden af konstanthastighedssegmentet $\mathbf{CSS_E}$ skal bestemmes på grundlag af procentdelen af den anvendelige REESS-energi $\mathbf{UBE_{STP}}$ ifølge punkt 4.4.2.1 i dette bilag. Den resterende energi i traktion-REESS efter det dynamiske hastighedssegment $\mathbf{DS_2}$ skal være lig med eller mindre end 10 procent af $\mathbf{UBE_{STP}}$. Fabrikanten skal efter prøvningen for den kompetente myndighed forelægge dokumentation for, at dette krav er opfyldt.

Længden $\mathbf{d_{CSSM}}$ af konstanthastighedssegmentet CSS_M kan beregnes ved hjælp af følgende ligning:

$$\mathbf{d_{CSSM} = PER_{est} - d_{DS1} - d_{DS2} - d_{CSSE}}$$

hvor:

d_{CSSM} er længden af konstanthastighedssegmentet CSS_M (km)

$\mathbf{PER_{est}}$ er den anslåede rent elektriske rækkevidde for den pågældende PEV (km)

$\mathbf{d_{DS1}}$ er længden af dynamisk hastighedssegment 1 (km)

$\mathbf{d_{DS2}}$ er længden af dynamisk hastighedssegment 2 (km)

$\mathbf{d_{CSSE}}$ er længden af konstanthastighedssegmentet $\mathbf{CSS_E}$ (km).

3.4.4.2.1.3. Pauser

Pauser for fører og/eller operatør er kun tilladt i konstanthastighedssegmenter som foreskrevet i tabel A8/4.

Tabel A8/4

Pauser for fører og/eller prøvningsoperatør

Kørt distance i konstanthastighedssegmentet CSS_M (km)	Maksimal samlet pausetid (min.)
Indtil 100	10
Indtil 150	20
Indtil 200	30
Indtil 300	60
Over 300	Baseres på fabrikantens anbefaling

Bemærk: Under pausen skal drivlinjen være slukket.

3.4.4.2.2. Måling af REESS-strømstyrke og -spænding

Fra begyndelsen af prøvningen og indtil afbrydelseskriteriet er opfyldt, skal den elektriske strøm og den elektriske spænding i alle REESS'er bestemmes i overensstemmelse med tillæg 3 til dette bilag.

3.4.4.2.3. Afbrydelseskriterium

Afbrydelseskriteriet er opfyldt, når køretøjet i det andet konstanthastighedssegment $\mathbf{CSS_E}$ overstiger tolerancen for den foreskrevne hastighedskurve som specificeret i punkt 2.6.8.3.1.2 i bilag B6 i 4 fortløbende sekunder eller mere. Speederen skal deaktiveres. Køretøjet bremses til stilstand inden for 60 sekunder.

3.4.4.3. REESS-opladning og måling af ladningsenergi

3.4.4.3.1. Efter at være kommet til stilstand i overensstemmelse med punkt 3.4.4.1.3 i dette bilag i forbindelse med type 1-prøvningen i fortløbende cyklus og i overensstemmelse med punkt 3.4.4.2.3 i dette bilag i forbindelse med den forkortede type 1-prøvning, skal køretøjet forbindes til lysnettet inden for 120 minutter.

REESS er fuldt opladet, når kriteriet for stop af ladning, som defineret i punkt 2.2.3.2 i tillæg 4 til dette bilag, er opfyldt.

3.4.4.3.2. Udstyret til energimåling, der er anbragt mellem køretøjsladeren og lysnetstikkontakten, skal måle ladningsenergien E_{AC} leveret fra lysnettet såvel som dens varighed. Målingen af den elektriske energi kan stoppes, når kriteriet for stop af ladning, som defineret i punkt 2.2.3.2 i tillæg 4 til dette bilag, er opfyldt.

3.4.4.4. Registrering og lagring af OBFCM-data

Dette punkt finder kun anvendelse på niveau 1A og niveau 2 (fase 4 WLTP-prøvning)

Under type 1-prøvningen skal prøvningslaboratoriet registrere og gemme følgende parametre i tillæg 5 til dette regulativ (1 Hz prøveudtagningsfrekvens) og stille dem til rådighed af den godkendende myndighed, hvis en regional myndighed anmoder herom:

a) REESS-spænding (V)

b) REESS-strømstyrke (A)."

3.4.4.5. Tilgængelighed af OBFCM-data

Dette punkt finder kun anvendelse på niveau 1B og niveau 2

Den tekniske tjeneste skal kontrollere tilgængeligheden af de parametre, der er anført i punkt 3 i tillæg 5 til dette regulativ, i overensstemmelse med punkt 5.1 i tillæg 5.

3.5. NOVC-FCHV'er

Prøvningssekvensen beskrevet i punkt 3.5.1 til og med 3.5.3 i dette bilag samt den hertil svarende ladningstilstandsprofil for REESS-systemet er vist i figur A8.Till.1/5 i tillæg 1 til dette bilag.

3.5.1. Prækonditionering og soaking

Køretøjerne konditioneres og udsættes for soaking i henhold til punkt 3.3.1 i dette bilag.

3.5.2. Prøvningsbetingelser

3.5.2.1. Køretøjerne skal prøves i ladningsbevarende driftstilstand som defineret i punkt 3.3.6 i dette regulativ.

3.5.2.2. Valg af førervalgt driftstilstand

For køretøjer, der er udstyret med en førervalgt driftstilstand, vælges driftsmåden i forbindelse med ladningsbevarende type 1-prøvning i overensstemmelse med punkt 3 i tillæg 6 til dette bilag.

3.5.3. Type 1-prøvningsprocedure

3.5.3.1. Køretøjer skal prøves i henhold til den type 1-prøvningsprocedure, der er beskrevet i bilag B6, og brændstofforbruget beregnes i overensstemmelse med punkt 1 og 2 i tillæg 7 til dette bilag.

3.5.3.2. Brændstofforbruget skal i givet fald korrigeres i henhold til tillæg 2 til dette bilag.

3.5.3.3. Køreautonomi med hydrogen (DR_H) for NOVC-FCHV'er

Dette punkt finder kun anvendelse på niveau 1B og niveau 2 (fase 3 WLTP-prøvning)

3.5.3.3.1. Hydrogentankens nedre trykgrænse måles for NOVC-FCHV'er i overensstemmelse med punkt 3 i tillæg 7 til dette bilag.

3.5.3.3.2. Den anvendelige hydrogenmængde (UAH) beregnes i overensstemmelse med punkt 3 i tillæg 7 til dette bilag.

3.5.3.3.3. Køreautonomi med hydrogen beregnes ud fra brændstofeffektiviteten og den anvendelige hydrogenmængde.

4. Beregninger for hybride elkøretøjer, rent elektriske køretøjer og hybride brændselscellekøretøjer med komprimeret hydrogen

4.1. Beregning af gasformige forbindelser, partikelemission og partikelantalemission

4.1.1. Masseemission af gasformige emissionsforbindelser, partikelemission og partikelantalemission fra OVC-HEV'er og NOVC-HEV'er i ladningsbevarende driftstilstand

Partikelemissionen $\mathbf{PM_{CS}}$ i ladningsbevarende driftstilstand beregnes i overensstemmelse med punkt 3.3 i bilag B7.

Partikelantalemissionen $\mathbf{PN_{CS}}$ i ladningsbevarende driftstilstand beregnes i overensstemmelse med punkt 4 i bilag B7.

4.1.1.1. Trinvis procedure til beregning af de endelige prøvningsresultater af ladningsbevarende type 1-prøvning af NOVC-HEV'er og OVC-HEV'er

Resultaterne beregnes i den rækkefølge, der er beskrevet i tabel A8/5. Alle gældende resultater i kolonnen "Resultat" registreres. Kolonnen "Process" angiver de punkter, der skal anvendes ved beregningen eller indeholder yderligere beregninger.

I denne tabel anvendes følgende betegnelser i ligningerne og resultaterne:

c fuldstændig gældende prøvningscyklus

p enhver gældende cyklusfase, i beregningen af $EAER_{city}$ (hvis relevant), er p kørecyklus for byer

i relevant kriterieemissionskomponent (undtagen CO_2)

CS ladningsbevarende

CO_2 CO_2-emissioner

Tabel A8/5

Beregning af endelige gasformige emissions- og brændstofeffektivitetsværdier i ladningsbevarende driftstilstand (FE gælder kun for niveau 1B og for resultater efter fase 3 på niveau 2)

Trin nr.	Kilde	Input	Proces	Resultat
1	Bilag B6	Første prøvningsresultater	Masseemissioner i ladningsbevarende driftstilstand Punkt 3 til og med 3.2.2 i bilag B7.	$\mathbf{M_{i,CS,p,1}}$, g/km, $\mathbf{M_{CO2,CS,p,1}}$, g/km.
2	Resultattrin 1	$\mathbf{M_{i,CS,p,1}}$, g/km, $\mathbf{M_{CO2,CS,p,1}}$, g/km.	Beregning af kombinerede cyklusværdier i ladningsbevarende driftstilstand: $\mathbf{M_{i,CS,c,2}} = \frac{\sum_p \mathbf{M_{i,CS,p,1}} \times \mathbf{d_p}}{\sum_p \mathbf{d_p}}$ $\mathbf{M_{CO2,CS,c,2}} = \frac{\sum_p \mathbf{M_{CO2,CS,p,1}} \times \mathbf{d_p}}{\sum_p \mathbf{d_p}}$ hvor: $\mathbf{M_{i,CS,c,2}}$ er masseemissionsresultaterne gennem den samlede cyklus i ladningsbevarende driftstilstand $\mathbf{M_{CO2,CS,c,2}}$ er CO_2-emissionsresultaterne gennem den samlede cyklus i ladningsbevarende driftstilstand $\mathbf{d_p}$ er de kørte afstande i cyklussens faser p.	$\mathbf{M_{i,CS,c,2}}$, g/km, $\mathbf{M_{CO2,CS,c,2}}$, g/km.
3	Resultattrin 1 Resultattrin 2	$\mathbf{M_{CO2,CS,p,1}}$, g/km, $\mathbf{M_{CO2,CS,c,2}}$, g/km.	elektrisk energiændringskorrektion i REESS Punkt 4.1.1.2 til og med 4.1.1.5 i dette bilag.	$\mathbf{M_{CO2,CS,p,3}}$, g/km, $\mathbf{M_{CO2,CS,c,3}}$, g/km.
4a	Resultattrin 2 Resultattrin 3	$\mathbf{M_{i,CS,c,2}}$, g/km, $\mathbf{M_{CO2,CS,c,3}}$, g/km.	Masseemissionskorrektion (ladningsbevarende) for alle køretøjer udstyret med periodisk regenererende systemer $\mathbf{K_i}$ ifølge bilag B6, tillæg 1. $\mathbf{M_{i,CS,c,4a}} = \mathbf{K_i} \times \mathbf{M_{i,CS,c,2}}$ eller $\mathbf{M_{i,CS,c,4a}} = \mathbf{K_i} + \mathbf{M_{i,CS,c,2}}$ og $\mathbf{M_{CO2,CS,c,4a}} = \mathbf{K_{CO2,K_i}} \times \mathbf{M_{CO2,CS,c,3}}$ eller $\mathbf{M_{CO2,CS,c,4a}} = \mathbf{K_{CO2,K_i}} + \mathbf{M_{CO2,CS,c,3}}$ Additiv udligning eller multiplikativfaktor, der skal anvendes til K_i-bestemmelse. Hvis K_i ikke finder anvendelse: $\mathbf{M_{i,CS,c,4a}} = \mathbf{M_{i,CS,c,2}}$ $\mathbf{M_{CO2,CS,c,4a}} = \mathbf{M_{CO2,CS,c,3}}$	$\mathbf{M_{i,CS,c,4a}}$, g/km, $\mathbf{M_{CO2,CS,c,4a}}$, g/km.

Trin nr.	Kilde	Input	Proces	Resultat
4b	Resultat-trin 3 Resultat-trin 4a	$\mathbf{M_{CO2,CS,p,3}}$, g/km, $\mathbf{M_{CO2,CS,c,3}}$, g/km, $\mathbf{M_{CO2,CS,c,4a}}$, g/km.	Hvis K_i finder anvendelse, tilpasses CO_2-faseværdierne til kombineret cyklusværdi: $\mathbf{M_{CO2,CS,p,4} = M_{CO2,CS,p,3} \times AF_{Ki}}$ for hver cyklusfase p hvor: $\mathbf{AF_{Ki} = \frac{M_{CO2,CS,c,4a}}{M_{CO2,CS,c,3}}}$ Hvis K_i ikke finder anvendelse: $\mathbf{M_{CO2,CS,p,4} = M_{CO2,CS,p,3}}$	$\mathbf{M_{CO2,CS,p,4}}$, g/km.
4c	Resultat-trin 4a	$M_{i,CS,c,4a}$, g/km $M_{CO2,CS,c,4a}$, g/km	Hvis disse værdier anvendes til produktionens overensstemmelse, multipliceres kriterieemissionsværdierne og CO_2-emissionsværdierne med den indkøringsfaktor RI, der er bestemt i overensstemmelse med punkt 8.2.4 i dette regulativ Mi,CS,c4c = RIC (j) × Mi,CS,c,4a MCO2,CS,c,4c = RICO2 (j) x MCO2,CS, c,4a Såfremt disse værdier ikke anvendes til produktionens overensstemmelse: $M_{i,CS,c,4c} = M_{i,CS,c,4a}$ $M_{CO2,CS,c,4c} = M_{CO2,CS,c,4a}$	$M_{i,CS,c,4c}$, g/km $M_{CO2,CS,c,4c}$, g/km.
			Brændstofeffektiviteten ($FE_{CS,c,4c_temp}$) beregnes i overensstemmelse med punkt 6.14.1 i bilag B7. Hvis denne værdi anvendes til produktionens overensstemmelse, multipliceres brændstofeffektivitetsværdien med den indkøringsfaktor, der er bestemt i overensstemmelse med punkt 8.2.4 i dette regulativ: FEc,4c = RIFE (j) x FEc,4c_temp Hvis disse værdier ikke anvendes med henblik på produktionens overensstemmelse $FE_{CS,c,4c} = FE_{CS,c,4c_temp}$	$FE_{CS,c,4c}$ (km/l)
5 Resultatet af en enkelt prøvning	Resultatet af trin 4b og 4c	$\mathbf{M_{CO2,CS,p,4}}$, g/km, $\mathbf{M_{CO2,CS,c,4c}}$, g/km,	For niveau 1A og resultater efter fase 4 på niveau 2: ATCT-korrektion af $M_{CO2,CS,c,4c}$ og $M_{CO2,CS,p,4}$ i overensstemmelse med punkt 3.8.3. i bilag B6a. For niveau 1B og resultater efter fase 3 på niveau 2: $M_{CO2,CS,c,5} = M_{CO2,CS,c,4c}$ $M_{CO2,CS,p,5} = M_{CO2,CS,p,4}$	$\mathbf{M_{CO2,CS,c,5}}$, g/km, $\mathbf{M_{CO2,CS,p,5}}$, g/km.
		$\mathbf{M_{i,CS,c,4c}}$, g/km, $FE_{CS,c,4c}$ (km/l)	Anvend forringelsesfaktorer beregnet i henhold til bilag C4 på kriterieemissionsværdierne. $FE_{CS,c,5} = FE_{CS,c,4c}$	$\mathbf{M_{i,CS,c,5}}$, g/km, $FE_{CS,c,5}$, km/l

Trin nr.	Kilde	Input	Proces	Resultat
6 $\mathbf{M_{i,CS}}$ resultater af en type 1-prøvning med et prøvningskøretøj	For niveau 1A og resultater efter fase 4 på niveau 2: Resultattrin 5	For hver prøvning: $\mathbf{M_{i,CS,c,5}}$, g/km, $\mathbf{M_{CO2,CS,c,5}}$, g/km, $\mathbf{M_{CO2,CS,p,5}}$, g/km.	Gennemsnitsberegning af prøvninger og opgivne værdier i overensstemmelse med punkt 1.2 til og med 1.2.3 i bilag B6.	$\mathbf{M_{i,CS,c,6}}$, g/km, $\mathbf{M_{CO2,CS,c,6}}$, g/km, $\mathbf{M_{CO2,CS,p,6}}$, g/km, $\mathbf{M_{CO2,CS,c,declared}}$, g/km.
	For niveau 1B og resultater efter fase 3 på niveau 2: Resultattrin 5	$FE_{CS,c,5}$, km/l $\mathbf{M_{i,CS,c,5}}$, g/km, $\mathbf{M_{CO2,CS,c,5}}$, g/km, $\mathbf{M_{CO2,CS,p,5}}$, g/km.	Gennemsnitsberegning af prøvninger og opgivet værdi. Punkt 1.2 til og med 1.2.3 i bilag B6. Konverteringen fra $FE_{CS,c,declared}$ til $M_{CO2,CS,c,declared}$ gennemføres for den gældende cyklus. I den forbindelse anvendes kriterieemissionen gennem hele cyklussen.	$FE_{CS,c,declared}$, km/l $\mathbf{M_{i,CS,c,6}}$, g/km, $\mathbf{M_{CO2,CS,c,6}}$, g/km, $\mathbf{M_{CO2,CS,p,6}}$, g/km, $M_{CO2,CS,c,declared}$, g/km
7 $\mathbf{M_{CO2,CS}}$ resultater af en type 1-prøvning med et prøvningskøretøj	Resultattrin 6	$\mathbf{M_{CO2,CS,c,6}}$, g/km, $\mathbf{M_{CO2,CS,p,6}}$, g/km, $\mathbf{M_{CO2,CS,c,declared}}$, g/km.	Se punkt 1.2.4 i bilag B6 for tilpasning af faseværdier. samt: $\mathbf{M_{CO2,CS,c,7} = M_{CO2,CS,c,declared}}$	$\mathbf{M_{CO2,CS,c,7}}$, g/km, $\mathbf{M_{CO2,CS,p,7}}$, g/km.
8 Endeligt kriteriee missionsresultat. Hvis interpolationsmetoden ikke anvendes, kræves trin 9 ikke, og resultatet af dette trin er det endelige CO_2-resultat.	Resultattrin 6	For hvert af prøvningskøretøjerne H og L og, hvis relevant køretøj M: $\mathbf{M_{i,CS,c,6}}$, g/km,	Kun for niveau 1A og resultater efter fase 4 på niveau 2 Hvis der ud over et prøvningskøretøj H er prøvet et prøvningskøretøj M og/eller et prøvningskøretøj L, skal den resulterende kriterieemissionsværdi være den højeste af de to eller, hvis køretøj M ikke opfylder linearitetskriteriet, tre værdier og benævnes $\mathbf{M_{i,CS,c}}$. I forbindelse med de samlede THC + NOx-emissioner, skal den største værdi af summen, der henviser til enten køretøj H, køretøj L eller, hvis relevant, køretøj M, opfattes som typegodkendelsesværdi. Hvis derimod intet køretøj L eller, hvis relevant køretøj M, er prøvet $\mathbf{M_{i,CS,c} = M_{i,CS,c,6}}$ Niveau 1A, niveau 1B og niveau 2 Hvis interpolationsmetoden anvendes, skal der anvendes mellemliggende afrunding i henhold til punkt 6.1.8 i dette regulativ.	$\mathbf{M_{i,CS,c}}$, g/km, $\mathbf{M_{CO2,CS,c}}$, g/km, $\mathbf{M_{CO2,CS,p}}$, g/km,
	Resultattrin 7	For hvert af prøvningskøretøjerne H og L og, hvis relevant køretøj M: $\mathbf{M_{CO2,CS,c,7}}$, g/km, $\mathbf{M_{CO2,CS,p,7}}$, g/km.		

Trin nr.	Kilde	Input	Proces	Resultat
			CO_2-værdierne fra trin 7 i denne tabel afrundes til to decimaler. Endvidere er output for CO_2 tilgængeligt for køretøj H og køretøj L og, hvis relevant, for køretøj M. Hvis interpolationsmetoden ikke anvendes, skal der anvendes endelig afrunding i henhold til punkt 6.1.8 i dette regulativ. CO_2-værdierne fra trin 7 i denne tabel afrundes til det nærmeste hele tal.	
Kun for niveau 1A og resultater efter fase 4 på niveau 2 9 Resultat for et individuelt køretøj. Endeligt CO_2-resultat.	Resultat-trin 8	$\mathbf{M_{CO2,CS,c}}$, g/km, $\mathbf{M_{CO2,CS,p}}$, g/km,	CO_2-emissionsberegning i henhold til punkt 4.5.4.1 i dette bilag for individuelle køretøjer i en interpolationsfamilie. Endelig afrunding af individuelle CO_2-værdier foretages i henhold til punkt 6.1.8 i dette regulativ. CO_2 afrundes til det nærmeste hele tal. Output er tilgængeligt for hvert individuelt køretøj	$\mathbf{M_{CO2,CS,c,ind}}$, g/km, $\mathbf{M_{CO2,CS,p,ind}}$, g/km.

4.1.1.2. Hvis en korrektion i henhold til punkt 1.1.4 i tillæg 2 til dette bilag ikke er anvendt, anvendes følgende CO_2-emission i ladningsbevarende driftstilstand:

$$\mathbf{M_{CO2,CS}} = \mathbf{M_{CO2,CS,nb}}$$

hvor:

$\mathbf{M_{CO2,CS}}$ er den ladningsbevarende CO_2-emission i den ladningsbevarende type 1-prøvning i henhold til tabel A8/5, trin 3 (g/km)

$\mathbf{M_{CO2,CS,nb}}$ er den ikke afstemte CO_2-emission i ladningsbevarende type 1-prøvning, ikke korrigeret for energibalance, bestemt i henhold til tabel A8/5, trin 2, i g/km.

4.1.1.3. Hvis korrektionen af CO_2-emissionen i ladningsbevarende driftstilstand er påkrævet, jf. punkt 1.1.3 i tillæg 2 til dette bilag, eller korrektionen i henhold til punkt 1.1.4 i tillæg 2 til dette bilag, er anvendt, skal korrektionskoefficienten for CO_2-emissionen bestemmes i henhold til punkt 2 i tillæg 2 til dette bilag. Den korrigerede CO_2-emission i ladningsbevarende driftstilstand bestemmes ved hjælp af følgende ligning:

$$\mathbf{M_{CO2,CS}} = \mathbf{M_{CO2,CS,nb}} - \mathbf{K_{CO2}} \times \mathbf{EC_{DC,CS}}$$

hvor:

$\mathbf{M_{CO2,CS}}$ er den ladningsbevarende CO_2-emission i den ladningsbevarende type 1-prøvning i henhold til tabel A8/5, trin 3 (g/km)

$\mathbf{M_{CO2,CS,nb}}$ er den ikke afstemte CO_2-emission i ladningsbevarende type 1-prøvning, ikke korrigeret for energibalance, bestemt i henhold til tabel A8/5, trin 2 (g/km)

$\mathbf{EC_{DC,CS}}$ er det elektriske energiforbrug i den ladningsbevarende type 1-prøvning i henhold til punkt 4.3 i dette bilag (Wh/km)

$\mathbf{K_{CO2}}$ er korrektionskoefficienten for CO_2-emissionen i henhold til punkt 2.3.2 i tillæg 2 til dette bilag, (g/km)/(Wh/km).

4.1.1.4. Hvis korrektionskoefficienter for den fasespecifikke CO_2-emission ikke er fastlagt, beregnes den fasespecifikke CO_2-emission ved hjælp af følgende ligning:

$$\mathbf{M_{CO2,CS,p} = M_{CO2,CS,nb,p} - K_{CO2} \times EC_{DC,CS,p}}$$

hvor:

$\mathbf{M_{CO2,CS,p}}$ er den ladningsbevarende CO_2-emission i fase p af den ladningsbevarende type 1-prøvning i henhold til tabel A8/5, trin 3 (g/km)

$\mathbf{M_{CO2,CS,nb,p}}$ er den ikke afstemte CO_2-emission i fase p af den ladningsbevarende type 1-prøvning, ikke korrigeret for energibalance, bestemt i overensstemmelse med tabel A8/5, trin 1 (g/km)

$\mathbf{EC_{DC,CS,p}}$ er det elektriske energiforbrug i fase p af den ladningsbevarende type 1-prøvning i henhold til punkt 4.3 i dette bilag (Wh/km)

$\mathbf{K_{CO2}}$ er korrektionskoefficienten for CO_2-emissionen i henhold til punkt 2.3.2 i tillæg 2 til dette bilag, (g/km)/(Wh/km).

4.1.1.5. Hvis korrektionskoefficienter for den fasespecifikke CO_2-emission er fastlagt, beregnes den fasespecifikke CO_2-emission ved hjælp af følgende ligning:

$$\mathbf{M_{CO2,CS,p} = M_{CO2,CS,nb,p} - K_{CO2,p} \times EC_{DC,CS,p}}$$

hvor:

$\mathbf{M_{CO2,CS,p}}$ er den ladningsbevarende CO_2-emission i fase p af den ladningsbevarende type 1-prøvning i henhold til tabel A8/5, trin 3 (g/km)

$\mathbf{M_{CO2,CS,nb,p}}$ er den ikke afstemte CO_2-emission i fase p af den ladningsbevarende type 1-prøvning, ikke korrigeret for energibalance, bestemt i overensstemmelse med tabel A8/5, trin 1 (g/km)

$\mathbf{EC_{DC,CS,p}}$ er det elektriske energiforbrug i fase p af den ladningsbevarende type 1-prøvning, bestemt i henhold til punkt 4.3 i dette bilag (Wh/km)

$\mathbf{K_{CO2,p}}$ er korrektionskoefficienten for CO_2-emissionen i henhold til punkt 2.3.2.2 i tillæg 2 til dette bilag (g/km)/(Wh/km)

p er indekset for den individuelle fase i den gældende WLTP-prøvningscyklus.

4.1.2. CO_2-emission for OVC-HEV'er, ladningsforbrugende tilstand

For niveau 1A og niveau 2 (fase 4 WLTP-prøvning):

CO_2-emissionen, $M_{CO2,CD}$, i ladningsforbrugende tilstand, vægtet for nytteværdifaktorer, bestemmes ved hjælp af følgende ligning:

$$\mathbf{M_{CO2,CD}} = \frac{\sum_{j=1}^{k}(\mathbf{UF_j} \times \mathbf{M_{CO2,CD,j}})}{\sum_{j=1}^{k}\mathbf{UF_j}}$$

hvor:

$\mathbf{M_{CO2,CD}}$	er CO_2-emissionen i ladningsforbrugende driftstilstand, vægtet for nytteværdifaktorer (g/km)
$\mathbf{M_{CO2,CD,j}}$	er CO_2-emissionen, bestemt efter punkt 3.2.1 i bilag B7 fra fase j af den ladningsforbrugende type 1-prøvning (g/km)
$\mathbf{UF_j}$	er nytteværdifaktoren i fase j i henhold til tillæg 5 til dette bilag
j	er indeksnummeret for den pågældende fase
k	er antallet af faser kørt frem til afslutningen af overgangscyklussen i henhold til punkt 3.2.4.4 i dette bilag.

Hvis interpolationsmetoden anvendes, skal k være antallet af faser kørt med køretøj L frem til afslutningen af overgangscyklussen, $\mathbf{n_{veh_L}}$..

Hvis overgangscyklusnummeret kørt af køretøj H, $\mathbf{n_{veh_H}}$, og, hvis relevant, af et individuelt køretøj i køretøjsinterpolationsfamilien, $\mathbf{n_{veh_{ind}}}$, er lavere end overgangscyklusnummeret kørt af køretøj L, $\mathbf{n_{veh_L}}$, skal bekræftelsescyklussen for køretøj H og, hvis relevant, et individuelt køretøj, medtages i beregningen. CO_2-emissionen i hver fase af bekræftelsescyklussen skal derefter korrigeres til et elektrisk energiforbrug på nul $(\mathbf{EC_{DC,CD,j} = 0})$ ved anvendelse af korrektionskoefficienten for CO_2 i henhold til tillæg 2 til dette bilag.

4.1.3. Dette punkt finder kun anvendelse på niveau 1A og niveau 2 (fase 4 WLTP-prøvning)

Masseemissionen af gasformige forbindelser, partikelemissionen og partikelantalemissionen fra OVC-HEV'er, vægtet for nytteværdifaktorer.

4.1.3.1. Masseemissionen af gasformige forbindelser, vægtet for nytteværdifaktorer

4.1.3.1.1. Til beregning af massen af gasformige forbindelser (undtagen CO_2-emission), vægtet med nytteværdifaktorer, anvendes følgende ligning:

$$\mathbf{M_{i,\ weighted}} = \sum_{\mathbf{j=1}}^{\mathbf{k}} (\mathbf{UF_j} \times \mathbf{M_{i,CD,\ j}}) + (\mathbf{1} - \sum_{\mathbf{j=1}}^{\mathbf{k}} \mathbf{UF_j}) \times \mathbf{M_{i,\ CS}}$$

hvor:

$\mathbf{M_{i,\ weighted}}$	er masseemissionsforbindelse i, vægtet for nytteværdifaktorer (g/km)
i	er indekset for den pågældende gasformige emissionsforbindelse (undtagen CO_2)
$\mathbf{UF_j}$	er nytteværdifaktoren i fase j i henhold til tillæg 5 til dette bilag
$\mathbf{M_{i,CD,\ j}}$	er masseemissionen af den gasformige emissionsforbindelse i, bestemt efter punkt 3.2.1 i bilag B7, i fase j af den ladningsforbrugende type 1-prøvning (g/km)
$\mathbf{M_{i,\ CS}}$	er den ladningsbevarende masseemission af den i'te gasformige emissionsforbindelse i ladningsbevarende type 1-prøvning i henhold til tabel A8/5, trin 6 (g/km)
j	er indeksnummeret for den pågældende fase
k	er antallet af faser kørt indtil afslutningen af overgangscyklussen i henhold til punkt 3.2.4.4 i dette bilag.

4.1.3.1.2. Til beregning af CO_2-emissionen, vægtet for nytteværdifaktorer, anvendes følgende ligning:

$$\mathbf{M_{CO2,\ weighted}} = (\sum_{j=1}^{k} \boldsymbol{UF_j})_{\boldsymbol{ave}} \times \mathbf{M_{CO2,CD,declared}} + \left(\mathbf{1} - (\sum_{j=1}^{k} \boldsymbol{UF_j})_{\boldsymbol{ave}}\right) \times \mathbf{M_{CO2,\ CS,declared}}$$

hvor:

$\mathbf{M_{CO2,weighted}}$	er CO_2-emissionen i ladningsforbrugende driftstilstand, vægtet for nytteværdifaktorer (g/km)
$\mathbf{M_{CO2,CD,declared}}$	er den angivne CO_2-emission i ladningsforbrugende driftstilstand ifølge tabel A8/8, trin nr. 14 (g/km)
$\mathbf{M_{CO2,CS,declared}}$	er den angivne CO_2-emission i ladningsbevarende driftstilstand ifølge tabel A8/5, trin nr. 7 (g/km)
$(\sum_{j=1}^{k} \boldsymbol{UF_j})_{\boldsymbol{ave}}$	er gennemsnittet af summen af nytteværdifaktorer i hver ladningsforbrugende prøvning
j	er indeksnummeret for den pågældende fase
k	er antallet af faser kørt indtil afslutningen af overgangscyklussen i henhold til punkt 3.2.4.4 i dette bilag.

Hvis interpolationsmetoden anvendes for CO_2, skal k være antallet af faser kørt med køretøj L frem til afslutningen af overgangscyklussen $\mathbf{n_{veh_L}}$.

Hvis overgangscyklusnummeret kørt af køretøj H, $\mathbf{n_{veh_H}}$, og, hvis relevant, af et individuelt køretøj i køretøjsinterpolationsfamilien,$\mathbf{n_{veh_{ind}}}$ er lavere end overgangscyklusnummeret kørt af køretøj L, $\mathbf{n_{veh_L}}$, skal bekræftelsescyklussen for køretøj H og, hvis relevant, et individuelt køretøj, medtages i beregningen. CO_2-emissionen i hver fase af bekræftelsescyklussen skal derefter korrigeres til et elektrisk energiforbrug på nul ($\mathbf{EC_{DC,CD,j} = 0}$) ved anvendelse af korrektionskoefficienten for CO_2 i henhold til tillæg 2 til dette bilag.

4.1.3.2. Partikelantalemissionen vægtet for nytteværdifaktor beregnes ved hjælp af følgende ligning:

$$\mathbf{PN_{weighted}} = \sum_{\mathbf{j}=1}^{\mathbf{k}} (\mathbf{UF_j} \times \mathbf{PN_{CD,\ j}}) + (\mathbf{1} - \sum_{\mathbf{j}=1}^{\mathbf{k}} \mathbf{UF_j}) \times \mathbf{PN_{CS}}$$

hvor:

$\mathbf{PN_{weighted}}$	er partikelantalemissionen (partikler pr. km), vægtet for nytteværdifaktorer
$\mathbf{UF_j}$	er nytteværdifaktoren i fase j i henhold til tillæg 5 til dette bilag
$\mathbf{PN_{CD,j}}$	er partikelantalemissionen under fase j, bestemt efter punkt 4 i bilag B7, fra den ladningsforbrugende type 1-prøvning (partikler pr. km)
$\mathbf{PN_{CS}}$	er partikelantalemissionen, bestemt efter punkt 4.1.1 i dette bilag, fra den ladningsbevarende type 1-prøvning (partikler pr. km)
j	er indeksnummeret for den pågældende fase
k	er antallet af faser kørt indtil afslutningen af overgangscyklussen n i henhold til punkt 3.2.4.4 i dette bilag.

4.1.3.3. Partikelemissionen vægtet for nytteværdifaktorer beregnes ved hjælp af følgende ligning:

$$\mathbf{PM}_{\text{weighted}} = \sum_{\mathbf{c}=1}^{\mathbf{n_c}} (\mathbf{UF_c} \times \mathbf{PM_{CD,\,c}}) + (\mathbf{1} - \sum_{\mathbf{c}=1}^{\mathbf{n_c}} \mathbf{UF_c}) \times \mathbf{PM_{CS}}$$

hvor:

$\mathbf{PM_{weighted}}$	er partikelemission, vægtet for nytteværdifaktorer (mg/km)
$\mathbf{UF_c}$	er nytteværdifaktoren for cyklus c i henhold til tillæg 5 til dette bilag
$\mathbf{PM_{CD,c}}$	er partikelemissionen i ladningsforbrugende driftstilstand under fase c, bestemt efter punkt 3.3 i bilag B7, fra den ladningsforbrugende type 1-prøvning (mg/km)
$\mathbf{PM_{CS}}$	er partikelemissionen fra den ladningsbevarende type 1-prøvning i henhold til punkt 4.1.1 i dette bilag (mg/km)
c	er indeksnummeret for den pågældende cyklus
$\mathbf{n_c}$	er antallet af gældende WLTP-prøvningscyklusser kørt indtil slutningen af overgangscyklussen n i henhold til punkt 3.2.4.4 i dette bilag.

4.2. Beregning af brændstofforbrug og brændstofeffektivitet

4.2.1. Brændstofforbruget og brændstofeffektiviteten for OVC-HEV'er, OVC-FCHV'er, NOVC-HEV'er og NOVC-FCHV'er i ladningsbevarende driftstilstand

4.2.1.1. Brændstofforbruget og -effektiviteten i ladningsbevarende driftstilstand for OVC-HEV'er og NOVC-HEV'er beregnes trinvist efter tabel A8/6.

Tabel A8/6

Beregning af endeligt brændstofforbrug og brændstofeffektivitet for OVC-HEV'er, og NOVC-HEV'er i ladningsbevarende driftstilstand

(FE kun gældende for niveau 1B og resultater efter fase 3 på niveau 2)

For niveau 2 udføres tabel A8/6 separat for resultater efter 4 faser og for resultater efter 3 faser.

Trin nr.	Kilde	Input	Proces	Resultat
1	Resultattrin 6 Tabel A8/5	$\mathbf{M_{i,CS,c,6}}$, g/km, $\mathbf{M_{CO2,CS,c,6}}$, g/km, $FE_{CS,declared}$, km/l,	Beregning af brændstofforbrug $FC_{CS,c}$ i henhold til punkt 6 i bilag B7 baseret på $M_{CO2,CS,C,7}$ og konvertering til brændstofeffektivitet $FE_{CS,p,1}$ for faseværdi $FE_{CS,c,1} = FE_{CS,c,declared}$, Beregningen af brændstofforbrug skal gennemføres separat for henholdsvis den gældende prøvningscyklus og dens faser.	$\mathbf{FC_{CS,c,1}}$, (l/100 km) $FE_{CS,c,1}$, km/l $\mathbf{FC_{CS,p,1}}$, (l/100 km) $\mathbf{FE_{CS,p,1}}$, km/l
	Resultattrin 7 Tabel A8/5	$\mathbf{M_{CO2,CS,c,7}}$, g/km, $\mathbf{M_{CO2,CS,p,7}}$, g/km.		

Trin nr.	Kilde	Input	Proces	Resultat
			Med henblik herpå: a) anvendes den gældende fase eller cyklus-CO_2-værdierne b) anvendes kriterieemissionen gennem hele cyklussen.	
2 Hvis interpolationsmetoden ikke anvendes, kræves trin 3 ikke, og resultatet af dette trin er det endelige resultat.	Resultattrin 1	**$FC_{CS,c,1}$**, (l/100 km) **$FC_{CS,p,1}$**, (l/100 km) $FE_{CS,c,1}$, km/l. **$FE_{CS,p,1}$**, km/l	For FC og FE anvendes de værdier, der er udledt af trin 1 i denne tabel. Hvis interpolationsmetoden anvendes, skal der anvendes mellemliggende afrunding i henhold til punkt 6.1.8 i dette regulativ. FC- og FE-værdierne afrundes til tre decimaler. Output er tilgængeligt for køretøj H og L og, hvis relevant, for køretøj M. Hvis interpolationsmetoden ikke anvendes, skal der anvendes endelig afrunding i henhold til punkt 6.1.8 i dette regulativ. FC- og FE-værdierne afrundes til første decimal.	**$FC_{CS,c}$**, (l/100 km) **$FC_{CS,p}$**, (l/100 km) $FE_{CS,c}$, km/l. $FE_{CS,p}$, km/l
3 Resultat for et individuelt køretøj. Endeligt FC- og FE-resultat.	Resultattrin 2	**$FC_{CS,c}$**, (l/100 km) **$FC_{CS,p}$**, (l/100 km) $FE_{CS,c}$, km/l. $FE_{CS,p}$, km/l	Beregning af brændstofforbrug i henhold til punkt 4.5.5.1.1 i dette bilag for individuelle køretøjer i en interpolationsfamilie. Beregning af brændstofeffektivitet i henhold til punkt 4.5.5.1.2 i dette bilag for individuelle køretøjer i en interpolationsfamilie. Endelig afrunding af individuelle køretøjsværdier foretages i henhold til punkt 6.1.8 i dette regulativ. FC- og FE-værdierne afrundes til første decimal. Output er tilgængeligt for hvert individuelt køretøj	**$FC_{CS,c,ind}$**, (l/100 km) **$FC_{CS,p,ind}$**, (l/100 km) $FE_{CS,c,ind}$, km/l $FE_{CS,p,ind}$, km/l

4.2.1.2. Brændstofforbruget og brændstofeffektiviteten for NOVC-FCHV'er og OVC-FCHV'er i ladningsbevarende driftstilstand

4.2.1.2.1. Trinvis procedure til beregning af det endelige forbrug af prøvningsbrændstof og brændstofeffektivitet for NOVC-FCHV'er og OVC-FCHV'er i ladningsbevarende type 1-prøvning

Resultaterne beregnes i den rækkefølge, der er beskrevet i tabel A8/7. Alle gældende resultater i kolonnen "Resultat" registreres. Kolonnen "Process" angiver de punkter, der skal anvendes ved beregningen eller indeholder yderligere beregninger.

I denne tabel anvendes følgende betegnelser i ligningerne og resultaterne:

c fuldstændig gældende prøvningscyklus

p enhver gældende cyklusfase, i beregningen af $EAER_{city}$ (hvis relevant), er p kørecyklus for byer

CS ladningsbevarende

Tabel A8/7

Beregning af endeligt brændstofforbrug for NOVC-FCHV'er og OVC-FCHV'er i ladningsbevarende driftstilstand og brændstofeffektivitet for NOVC-FCHV'er og OVC-FCHV'er

(FE kun gældende for niveau 1B og resultater efter fase 3 på niveau 2)

Niveau 1A og resultater efter fase 4 på niveau 2 — alle beregningerne i denne tabel er kun gældende for hele cyklussen.

Niveau 1B og resultater efter fase 3 på niveau 2 — alle beregningerne i denne tabel er gældende for fase 3-cyklussen og for individuelle faser for NOVC-FCHV'er. For OVC-FCHV'er er alle beregningerne i denne tabel kun gældende for hele cyklussen.

Trin nr.	Kilde	Input	Proces	Resultat
1	Tillæg 7 til dette bilag.	Ikke-afstemt brændstofforbrug i ladningsbevarende driftstilstand $FC_{CS,nb,}$ kg/100 km	Brændstofforbruget $FC_{CS,c,1}$ i ladningsbevarende driftstilstand i henhold til punkt 2.2.6 i tillæg 7 til dette bilag. Beregningen af brændstofforbrug skal gennemføres separat for henholdsvis den gældende prøvningscyklus og dens faser. Hertil anvendes FC-værdierne for den gældende fase eller cyklus. Fasespecifikke værdier i henhold til punkt 2.2.7 i tillæg 7 til dette bilag).	$\mathbf{FC_{CS,p,1}}$, kg/100 km, $\mathbf{FC_{CS,c,1}}$, kg/100 km.
2	Resultattrin 1	$\mathbf{FC_{CS,p,1}}$, kg/100 km, $\mathbf{FC_{CS,c,1}}$, kg/100 km.	Elektrisk energiændringskorrektion i REESS. Punkt 4.2.1.2.2 til 4.2.1.2.5 (alt efter hvad der er relevant) i dette bilag.	$\mathbf{FC_{CS,c,2}}$, kg/100 km, For niveau 1B og resultater efter fase 3 på niveau 2: $\mathbf{FC_{CS,p,2}}$, kg/100 km,

Trin nr.	Kilde	Input	Proces	Resultat
3 Resultatet af en enkelt prøvning	Resultattrin 2	$\mathbf{FC_{CS,p,2}}$, kg/100 km, $\mathbf{FC_{CS,c,2}}$, kg/100 km.	$\mathbf{FC_{CS,p,3} = FC_{CS,p,2}}$ $\mathbf{FC_{CS,c,3} = FC_{CS,c,2}}$ For niveau 1B og resultater efter fase 3 på niveau 2: Konvertering af brændstofforbrug FC til brændstofeffektivitet FE	$\mathbf{FC_{CS,p,3}}$, kg/100 km, $\mathbf{FC_{CS,c,3}}$, kg/100 km. $\mathbf{FE_{CS,p,3}}$, km/kg. $\mathbf{FE_{CS,c,3}}$, km/kg.
4	Resultattrin 3	For hver prøvning: $\mathbf{FC_{CS,p,3}}$, kg/100 km, $\mathbf{FC_{CS,c,3}}$, kg/100 km. $\mathbf{FE_{CS,p,3}}$, km/kg. $\mathbf{FE_{CS,c,3}}$, km/kg.	Gennemsnitsberegning af prøvninger og opgivne værdier i overensstemmelse med punkt 1.2 til og med 1.2.3 i bilag B6.	$\mathbf{FC_{CS,p,4}}$, kg/100 km, $\mathbf{FC_{CS,c,4}}$, kg/100 km. $\mathbf{FE_{CS,p,4}}$, km/kg. $\mathbf{FE_{CS,c,4}}$, km/kg.
5 Hvis interpolationsmetoden ikke anvendes, kræves trin 6 ikke, og resultatet af dette trin er det endelige resultat. Resultat af en type 1-prøvning med et prøvningskøretøj.	Resultattrin 4	$\mathbf{FC_{CS,p,4}}$, kg/100 km, $\mathbf{FC_{CS,c,4}}$, kg/100 km $\mathbf{FC_{CS,c,declared}}$, kg/100 km. $\mathbf{FE_{CS,p,4}}$, km/kg. $\mathbf{FE_{CS,c,4}}$, km/kg. $\mathbf{FE_{CS,c,declared}}$, km/ kg.	Tilpasning af faseværdier. Se punkt 1.2.4 i bilag B6 Tilpasning af faseværdier, niveau 1B og niveau 2 (fase 3 WLTP-prøvning): $\boldsymbol{FE_{CS,p,5} = FE_{CS,p,4} \times \frac{FE_{CS,c,declared}}{\frac{100}{Phasecombinedvalue}}}$ Den kombinerede faseværdi for FC udledes af formlen i punkt 1.2.4 i bilag B6. CO_2 erstattes af FC. samt: $\mathbf{FC_{CS,c,5} = FC_{CS,c,declared}}$ $\mathbf{FE_{CS,c,5} = FE_{CS,c,declared}}$ FC- og FE-værdier afrundes i overensstemmelse med punkt 6.1.8 i dette regulativ. FC-værdierne afrundes til tre decimaler. FE-værdierne afrundes til første decimal. Hvis interpolationsmetoden ikke anvendes, skal der anvendes endelig afrunding i henhold til punkt 6.1.8 i dette regulativ. FC-værdierne afrundes til andet decimal. FE-værdierne afrundes til det nærmeste hele tal.	$\mathbf{FC_{CS,p,5}}$, kg/100 km, $\mathbf{FC_{CS,c,5}}$, kg/100 km $FE_{CS,p,5}$, km/kg. $FE_{CS,c,5}$, km/kg

Trin nr.	Kilde	Input	Proces	Resultat
6 Resultat for et individuelt køretøj. Endelige resultater	Resultattrin 5	$\mathbf{FC_{CS,c,5}}$, kg/100 km, $FE_{CS,c,5}$, km/kg $FE_{CS,p,5}$, km/kg	Beregning af brændstofforbrug i henhold til punkt 4.5.5.1.3 i dette bilag for individuelle køretøjer i en interpolationsfamilie. Beregning af brændstofeffektivitet i henhold til punkt 4.5.5.1.4 i dette bilag for individuelle køretøjer i en interpolationsfamilie. Endelig afrunding af individuelle køretøjsværdier foretages i henhold til punkt 6.1.8 i dette regulativ. FC-værdierne afrundes til andet decimal. FE-værdierne afrundes til det nærmeste hele tal. Output er tilgængeligt for hvert individuelt køretøj	$\mathbf{FC_{CS,c,ind}}$, kg/100 km, $\mathbf{FE_{CS,c,ind}}$, km/kg $\mathbf{FE_{CS,p,ind}}$, km/kg

4.2.1.2.2. Hvis en korrektion i henhold til punkt 1.1.4 i tillæg 2 til dette bilag ikke er anvendt, anvendes følgende brændstofforbrug i ladningsbevarende driftstilstand:

$$\mathbf{FC_{CS}} = \mathbf{FC_{CS,nb}}$$

hvor:

$\mathbf{FC_{CS}}$ er brændstofforbruget i ladningsbevarende type 1-prøvning i henhold til tabel A8/7, trin 2 (kg/100 km)

$\mathbf{FC_{CS,nb}}$ er det ikke afstemte brændstofforbrug i ladningsbevarende type 1-prøvning, ikke korrigeret for energibalance, bestemt i henhold til tabel A8/7, trin 1 (kg/100 km).

4.2.1.2.3. Hvis korrektion af brændstofforbruget er påkrævet, jf. punkt 1.1.3 i tillæg 2 til dette bilag, eller korrektionen i henhold til punkt 1.1.4 i tillæg 2 til dette bilag er anvendt, skal korrektionskoefficienten for brændstofforbrug bestemmes i henhold til punkt 2 i tillæg 2 til dette bilag. Det korrigerede brændstofforbrug i ladningsbevarende driftstilstand bestemmes ved hjælp af følgende ligning:

$$\mathbf{FC_{CS}} = \mathbf{FC_{CS,nb}} - \mathbf{K_{fuel,FCHV}} \times \mathbf{EC_{DC,CS}}$$

hvor:

$\mathbf{FC_{CS}}$ er brændstofforbruget i ladningsbevarende type 1-prøvning i henhold til tabel A8/7, trin 2 (kg/100 km)

$\mathbf{FC_{CS,nb}}$ er det ikke afstemte brændstofforbrug i ladningsbevarende type 1-prøvning, ikke korrigeret for energibalance, bestemt i henhold til tabel A8/7, trin 1 (kg/100 km)

$\mathbf{EC_{DC,CS}}$ er det elektriske energiforbrug i den ladningsbevarende type 1-prøvning i henhold til punkt 4.3 i dette bilag (Wh/km)

$\mathbf{K_{fuel,FCHV}}$ er korrektionskoefficienten for brændstofforbrug i henhold til punkt 2.3.1 i tillæg 2 til dette bilag, (kg/100 km)/(Wh/km).

4.2.1.2.4. Dette punkt finder kun anvendelse på niveau 1B og niveau 2

Hvis korrektionskoefficienter for det fasespecifikke brændstofforbrug ikke er fastlagt, beregnes det fasespecifikke brændstofforbrug ved hjælp af følgende ligning:

$$\mathbf{FC_{CS,p}} = \mathbf{FC_{CS,nb,p}} - \mathbf{K_{fuel,FCHV}} \times \mathbf{EC_{DC,CS,p}}$$

hvor:

$\mathbf{FC_{CS,p}}$	er det ladningsbevarende brændstofforbrug i fase p af den ladningsbevarende type 1-prøvning i henhold til tabel A8/7, trin 2 (kg/100 km)
$\mathbf{FC_{CS,nb,p}}$	er det ikke afstemte brændstofforbrug i fase p i den ladningsbevarende type 1-prøvning, ikke korrigeret for energibalance, bestemt i henhold til tabel A8/7, trin 1 (kg/100 km)
$\mathbf{EC_{DC,CS,p}}$	er det elektriske energiforbrug i fase p af den ladningsbevarende type 1-prøvning, bestemt i henhold til punkt 4.3 i dette bilag (Wh/km)
$\mathbf{K_{fuel,FCHV}}$	er korrektionskoefficienten for brændstofforbrug i henhold til punkt 2.3.1 i tillæg 2 til dette bilag, (kg/100 km)/(Wh/km).
p	er indekset for den individuelle fase i den gældende WLTP-prøvningscyklus.

4.2.1.2.5. Dette punkt finder kun anvendelse på niveau 1B og niveau 2

Hvis korrektionskoefficienter for det fasespecifikke brændstofforbrug er fastlagt, beregnes det fasespecifikke brændstofforbrug ved hjælp af følgende ligning:

$$\mathbf{FC_{CS,p}} = \mathbf{FC_{CS,nb,p}} - \mathbf{K_{fuel,FCHV,p}} \times \mathbf{EC_{DC,CS,p}}$$

hvor:

$\mathbf{FC_{CS,p}}$	er det ladningsbevarende brændstofforbrug i fase p af den ladningsbevarende type 1-prøvning i henhold til tabel A8/7, trin 2 (kg/100 km)
$\mathbf{FC_{CS,nb,p}}$	er det ikke afstemte brændstofforbrug i fase p i den ladningsbevarende type 1-prøvning, ikke korrigeret for energibalance, bestemt i henhold til tabel A8/7, trin 1 (kg/100 km)
$\mathbf{EC_{DC,CS,p}}$	er det elektriske energiforbrug i fase p af den ladningsbevarende type 1-prøvning, bestemt i henhold til punkt 4.3 i dette bilag (Wh/km)
$\mathbf{K_{fuel,FCHV,p}}$	er korrektionskoefficienten for brændstofforbruge for korrektionen af fase p i henhold til punkt 2.3.1.2 i tillæg 2 til dette bilag, (kg/100 km)/(Wh/km)
p	er indekset for den individuelle fase i den gældende WLTP-prøvningscyklus.

4.2.2. Brændstofforbruget i ladningsforbrugende tilstand og brændstofeffektiviteten i ladningsforbrugende tilstand for henholdsvis OVC-HEV'er og OVC-FCHV'er

For niveau 1A og niveau 2 (fase 4 WLTP-prøvning):

Brændstofforbruget i ladningsforbrugende driftstilstand, vægtet for nytteværdifaktorer, $\mathbf{FC_{CD}}$ beregnes ved hjælp af følgende ligning:

$$\mathbf{FC_{CD}} = \frac{\sum_{j=1}^{k}(\mathbf{UF_j} \times \mathbf{FC_{CD,j}})}{\sum_{j=1}^{k}\mathbf{UF_j}}$$

hvor:

$\mathbf{FC_{CD}}$	brændstofforbruget i ladningsforbrugende driftstilstand, vægtet for nytteværdifaktorer, l/100 km for OVC-HEV'er og kg/100 km for OVC-HEV'er

$\mathbf{FC_{CD,j}}$ er brændstofforbruget i fase j af den ladningsforbrugende type 1-prøvning, bestemt i henhold til punkt 6 i bilag B7, l/100 km for OVC-HEV'er og kg/100 km for OVC-HEV'er

$\mathbf{UF_j}$ er nytteværdifaktoren i fase j i henhold til tillæg 5 til dette bilag

j er indeksnummeret for den betragtede fase

k er antallet af faser kørt frem til afslutningen af overgangscyklussen i henhold til punkt 3.2.4.4 i dette bilag.

For OVC-FCHV'er skal den betragtede fase j udelukkende være den gældende WLTP-prøvningscyklus.

Hvis interpolationsmetoden anvendes, skal k være antallet af faser kørt med køretøj L frem til afslutningen af overgangscyklussen $\mathbf{n_{veh_L}}$..

Hvis overgangscyklusnummeret kørt af køretøj H, $\mathbf{n_{veh_H}}$, og, hvis relevant, af et individuelt køretøj i køretøjsinterpolationsfamilien, $\mathbf{n_{veh_{ind}}}$, er lavere end overgangscyklusnummeret kørt af køretøj L, $\mathbf{n_{veh_L}}$, skal bekræftelsescyklussen for køretøj H og, hvis relevant, et individuelt køretøj, medtages i beregningen.

Brændstofforbruget for hver fase af bekræftelsescyklussen beregnes i overensstemmelse med punkt 6 i bilag B7 med kriterieemissionen gennem hele bekræftelsescyklussen og den gældende CO_2-faseværdi, som skal korrigeres til et elektrisk energiforbrug på nul, $\mathbf{EC_{DC,CD,j} = 0}$, ved hjælp af korrektionskoefficienten for CO_2-masseemission (K_{CO2}) i overensstemmelse med tillæg 2 til dette bilag.

For niveau 1B og niveau 2 (fase 3 WLTP-prøvning)

Brændstofeffektiviteten i ladningsforbrugende driftstilstand $\mathbf{FE_{CD}}$ beregnes ved hjælp af følgende ligning:

$$\mathbf{FE_{CD}} = \frac{\mathbf{R_{CDA}}}{\sum_{c=1}^{n-1} \mathbf{d_c} \times \frac{1}{\mathbf{FE_{CD,c}}} + \mathbf{d_n} \times \frac{\mathbf{k_{CD}}}{\mathbf{FE_{CD,avg,n-1}}}}$$

hvor:

$\mathbf{FE_{CD}}$ er brændstofeffektiviteten i ladningsforbrugende driftstilstand (km/l) for OVC-HEV'er (kg/km for OVC-FCHV'er)

$\mathbf{R_{CDA}}$ er den faktiske ladningsforbrugende rækkevidde efter punkt 4.4.5 i dette bilag (km) for OVC-HEV'er og efter punkt 4.4.7 i dette bilag (km) for OVC-FCHV'er)

$\mathbf{FE_{CD,c}}$ er brændstofeffektiviteten i cyklus c i den ladningsforbrugende type 1-prøvning, bestemt i henhold til punkt 6 i bilag B7 (km/l) for OVC-HEV'er (kg/km for OVC-FCHV'er)

$$\mathbf{FE_{CD,avg,n-1}}\ \mathbf{FE_{CD,avg,n-1}} = \frac{\sum_{c=1}^{n-1} \mathbf{d_c}}{\sum_{c=1}^{n-1} \mathbf{d_c} \times \frac{1}{\mathbf{FE_{CD,c}}}}$$

c er indeksnummeret for den betragtede cyklus

n er antallet af gældende WLTP-prøvningscyklusser kørt indtil slutningen af overgangscyklussen i henhold til punkt 3.2.4.4 i dette bilag

$\mathbf{d_c}$ er den kørte afstand i den gældende WLTP-prøvningscyklus c i den ladningsforbrugende type 1-prøvning (km)

$\mathbf{d_n}$ er den kørte afstand i den pågældende WLTP-prøvningscyklus n i den ladningsforbrugende type 1-prøvning (km)

$\mathbf{k_{CD}}$ For OVC-HEV'er:

$$\mathbf{kcd} = \frac{\boldsymbol{MCO2,CS,declared - MCO2,CD,n,}}{\boldsymbol{MCO2,CS,declared - MCO2,CD,avg,n-1}}$$

for OVC-FCHV'er

$$k_{CD} = \frac{\frac{1}{FE_{CS,declared}} - \frac{1}{FE_{CD,n}}}{\frac{1}{FE_{CS,declared}} - \frac{1}{FE_{CD,avg,n-1}}}$$

$FE_{CS,declared}$ er den oplyste brændstofeffektivitet i ladningsbevarende driftstilstand i henhold til tabel A8/7, trin 5 (km/kg)

$\mathbf{FE_{CD,n}}$ er brændstofeffektiviteten i den gældende WLTP-prøvningscyklus n i den ladningsforbrugende type 1-prøvning (km/kg)

$\mathbf{FE_{CD,avg,\,n-1}}$ er den aritmetiske gennemsnitlige brændstofeffektivitet i den ladningsforbrugende type 1-prøvning fra begyndelsen til og med den gældende WLTP-prøvningscyklus (n-1) (km/kg).

4.2.3. Dette punkt finder kun anvendelse på niveau 1A og niveau 2 (fase 4 WLTP-prøvning)

Brændstofforbrug for OVC-HEV'er og OVC-FCHV'er, vægtet for nytteværdifaktorer

Brændstofforbruget for OVC-HEV'er fra ladningsforbrugende og ladningsbevarende type 1-prøvning, vægtet for nytteværdifaktorer, beregnes ved hjælp af følgende ligning:

$$\mathbf{FC_{weighted}} = \sum_{j=1}^{k}(\mathbf{UF_j} \times \mathbf{FC_{CD,\,j}}) \times \frac{\mathbf{M_{CO2,CD,declared}}}{\mathbf{M_{CO2,CD,ave}}} + \left(1 - \sum_{j=1}^{k}\mathbf{UF_j}\right) \times \mathbf{FC_{CS}}$$

hvor:

$\mathbf{FC_{weighted}}$ er brændstofforbruget, vægtet for nytteværdifaktorer (l/100 km)

$\mathbf{UF_j}$ er nytteværdifaktoren i fase j i henhold til tillæg 5 til dette bilag

$\mathbf{FC_{CD,\,j}}$ er brændstofforbruget i fase j af den ladningsforbrugende type 1-prøvning, bestemt i henhold til punkt 6 i bilag B7 (l/100 km)

$\mathbf{M_{CO2,CD,declared}}$ er den angivne CO_2-emission i ladningsforbrugende driftstilstand ifølge tabel A8/8, trin nr. 14 (g/km)

$\mathbf{M_{CO2,CD,ave}}$ er den aritmetisk gennemsnitlige CO_2-emission i ladningsforbrugende driftstilstand ifølge tabel A8/8, trin nr. 13 (g/km)

$\mathbf{FC_{CS}}$ er brændstofforbruget bestemt i henhold til tabel A8/6, trin nr. 1 (l/100 km)

j er indeksnummeret for den betragtede fase

k er antallet af faser kørt frem til afslutningen af overgangscyklussen i henhold til punkt 3.2.4.4 i dette bilag.

Brændstofforbruget for OVC-HEV'er fra ladningsforbrugende og ladningsbevarende type 1-prøvning, vægtet for nytteværdifaktorer, beregnes ved hjælp af følgende ligning:

$$\mathbf{FC_{weighted}} = \sum_{j=1}^{k}(\mathbf{UF_j} \times \mathbf{FC_{CD,\,j}}) \times \frac{\mathbf{FC_{CD,declared}}}{\mathbf{FC_{CD,ave}}} + \left(1 - \sum_{j=1}^{k}\mathbf{UF_j}\right) \times \mathbf{FC_{CS}}$$

hvor:

$\mathbf{FC_{weighted}}$ er brændstofforbruget, vægtet for nytteværdifaktorer (kg/100 km)

$\mathbf{UF_j}$ er nytteværdifaktoren i fase j i henhold til tillæg 5 til dette bilag

$\mathbf{FC_{CD,\,j}}$ er brændstofforbruget i fase j af den ladningsforbrugende type 1-prøvning, bestemt i henhold til punkt 6 i bilag B7 (kg/100 km)

$\mathbf{FC_{CD,declared}}$	er det oplyste ladningsforbrugende brændstofforbrug, jf. tabel A8/9a, trin nr. 11 (kg/100 km)
$\mathbf{FC_{CD,ave}}$	er den aritmetisk gennemsnitlige CO_2-emission i ladningsforbrugende driftstilstand ifølge tabel A8/9, trin nr. 10 (kg/100 km)
$\mathbf{FC_{CS}}$	er brændstofforbruget bestemt i henhold til tabel A8/7, trin nr. 5 (kg/100 km)
j	er indeksnummeret for den betragtede fase
k	er antallet af faser kørt frem til afslutningen af overgangscyklussen i henhold til punkt 3.2.4.4 i dette bilag.

For OVC-FCHV'er skal den betragtede fase j udelukkende være den gældende WLTP-prøvningscyklus.

Hvis interpolationsmetoden anvendes, skal k være antallet af faser kørt med køretøj L frem til afslutningen af overgangscyklussen $\mathbf{n_{veh_L}}$..

Hvis overgangscyklusnummeret kørt af køretøj H, $\mathbf{n_{veh_H}}$, og, hvis relevant, af et individuelt køretøj i køretøjsinterpolationsfamilien,$\mathbf{n_{veh_{ind}}}$ er lavere end overgangscyklusnummeret kørt af køretøj L, $\mathbf{n_{veh_L}}$, skal bekræftelsescyklussen for køretøj H og, hvis relevant, et individuelt køretøj, medtages i beregningen.

Brændstofforbruget for hver fase af bekræftelsescyklussen beregnes i overensstemmelse med punkt 6 i bilag B7 med kriterieemissionen gennem hele bekræftelsescyklussen og den gældende CO_2-faseværdi, som skal korrigeres til et elektrisk energiforbrug på nul, $\mathbf{EC_{DC,CD,j} = 0}$, ved hjælp af korrektionskoefficienten for CO_2-masseemission (K_{CO2}) i overensstemmelse med tillæg 2 til dette bilag.

4.3. Beregning af det elektriske energiforbrug

Til bestemmelse af det elektriske energiforbrug baseret på strøm og spænding i henhold til tillæg 3 til dette bilag anvendes følgende ligninger:

$$\mathbf{EC_{DC,j} = \frac{\Delta E_{REESS,j}}{d_j}}$$

hvor:

$\mathbf{EC_{DC,j}}$	er det elektriske energiforbrug i løbet af den betragtede periode j baseret på ladningsforbruget i REESS (Wh/km)
$\mathbf{\Delta E_{REESS,j}}$	er den elektriske energiændring i alle REESS'er i den pågældende periode j (Wh)
$\mathbf{d_j}$	er den kørte afstand i den pågældende periode j (km)

og

$$\mathbf{\Delta E_{REESS,j} = \sum_{i=1}^{n} \Delta E_{REESS,j,i}}$$

hvor:

$\mathbf{\Delta E_{REESS,j,i}}$	er den elektriske energiændring i REESS i den betragtede periode j (Wh)

og

$$\Delta E_{REESS,j,i} = \frac{1}{3600} \times \int_{t_0}^{t_{end}} U(t)_{REESS,j,i} \times I(t)_{j,i} dt$$

hvor:

$U(t)_{REESS,j,i}$	er den i'te REESS-spænding i den pågældende periode j bestemt efter tillæg 3 til dette bilag (V)
t_0	er tidspunktet ved begyndelsen af den pågældende periode j (s)
t_{end}	er tidspunktet ved slutningen af den pågældende periode j (s)
$I(t)_{j,i}$	er den i'te REESS-strømstyrke i den pågældende periode j bestemt efter tillæg 3 til dette bilag (A)
i	er indeksnummeret for det pågældende REESS
n	er det samlede antal REESS'er
j	er indekset for den pågældende periode, idet en periode kan være en hvilken som helst kombination af faser eller cyklusser
$\frac{1}{3600}$	er omregningsfaktoren fra Ws til Wh.

4.3.1. Dette punkt finder kun anvendelse på niveau 1A og niveau 2 (fase 4 WLTP-prøvning)

Det elektriske energiforbrug i ladningsforbrugende driftstilstand, vægtet for nytteværdifaktorer, på basis af den ved opladning tilførte elektriske energi fra lysnettet til OVC-HEV'er og OVC-FCHV'er.

Det elektriske energiforbrug i ladningsforbrugende driftstilstand, vægtet for nytteværdifaktor, på basis af den ved opladning tilførte elektriske energi fra lysnettet, beregnes efter følgende ligning:

$$EC_{AC,CD} = \frac{\sum_{j=1}^{k}(UF_j \times EC_{AC,CD,j})}{\sum_{j=1}^{k} UF_j}$$

hvor:

$EC_{AC,CD}$	er det elektriske energiforbrug i ladningsforbrugende driftstilstand, vægtet for nytteværdifaktorer, på basis af den ved opladning tilførte elektriske energi fra lysnettet (Wh/km)
UF_j	er nytteværdifaktoren i fase j i henhold til tillæg 5 til dette bilag
$EC_{AC,CD,j}$	er det elektriske energiforbrug på basis af den ved opladning tilførte elektriske energi j fra lysnettet (Wh/km)

og

$$EC_{AC,CD,j} = EC_{DC,CD,j} \times \frac{E_{AC}}{\sum_{j=1}^{k} \Delta E_{REESS,j}}$$

hvor:

$EC_{DC,CD,j}$	er det elektriske energiforbrug baseret på REESS-ladningsforbruget i fase j af den ladningsforbrugende type 1-prøvning i henhold til punkt 4.3 i dette bilag (Wh/km)
E_{AC}	er den ved opladning tilførte elektriske energi fra lysnettet bestemt efter punkt 3.2.4.6 i dette bilag (Wh)

$\Delta E_{REESS,j}$ er den elektriske energiændring i alle REESS'er i fase j i henhold til punkt 4.3 i dette bilag (Wh)

j er indeksnummeret for den betragtede fase

k er antallet af faser kørt frem til afslutningen af overgangscyklussen i henhold til punkt 3.2.4.4 i dette bilag.

Hvis interpolationsmetoden anvendes, skal k være antallet af faser kørt frem til afslutningen af overgangscyklussen for L,n_{veh_L}.

For OVC-FCHV'er skal den betragtede fase j udelukkende være den gældende WLTP-prøvningscyklus.

4.3.2. Dette punkt finder kun anvendelse på niveau 1A og resultater efter fase 4 på niveau 2

Det elektriske energiforbrug, vægtet for nytteværdifaktorer, på basis af den ved opladning tilførte elektriske energi fra lysnettet til OVC-HEV'er og OVC-FCHV'er.

Det elektriske energiforbrug, vægtet for nytteværdifaktor, på basis af den ved opladning tilførte elektriske energi fra lysnettet, beregnes efter følgende ligning:

$$\mathbf{EC_{AC,weighted}} = (\sum_{j=1}^{k} \mathbf{UF_j}) \times \mathbf{EC_{AC,CD,declared}}$$

hvor:

$\mathbf{EC_{AC,weighted}}$ er det elektriske energiforbrug, vægtet for nytteværdifaktorer, på basis af den ved opladning tilførte elektriske energi fra lysnettet (Wh/km)

$\mathbf{UF_j}$ er nytteværdifaktoren i fase j i henhold til tillæg 5 til dette bilag

$\mathbf{EC_{AC,CD,declared}}$ er det angivne elektriske energiforbrug i ladningsforbrugende driftstilstand baseret på den ved opladning tilførte elektriske energi fra lysnettet for OVC-HEV'er i henhold til tabel A8/8, trin 14, og for OVC-FCHV'er i henhold til tabel A8/9a, trin 11 (Wh/km)

j er indeksnummeret for den betragtede fase

k er antallet af faser kørt frem til afslutningen af overgangscyklussen i henhold til punkt 3.2.4.4 i dette bilag.

Hvis interpolationsmetoden anvendes, skal k være antallet af faser kørt med køretøj L frem til afslutningen af overgangscyklussen, n_{veh_L}.

For OVC-FCHV'er skal den betragtede fase j udelukkende være den gældende WLTP-prøvningscyklus.

4.3.3. Elektrisk energiforbrug for OVC-HEV'er og OVC-FCHV'er (alt efter hvad der er relevant)

4.3.3.1. Bestemmelse af det cyklusspecifikke elektriske energiforbrug

Det elektriske energiforbrug på basis af den ved opladning tilførte elektriske energi fra lysnettet og den ækvivalente fuldt elektriske rækkevidde beregnes efter følgende ligning:

$$EC = \frac{\mathbf{E_{AC}}}{\mathbf{EAER}}$$

hvor:

EC EC er det elektriske energiforbrug for den gældende WLTP-prøvningsprocedure baseret på den ved opladning tilførte elektriske energi fra lysnettet og den ækvivalente fuldt elektriske rækkevidde (Wh/km)

EAC er den ved opladning tilførte elektriske energi fra lysnettet i henhold til punkt 3.2.4.6 i dette bilag (Wh)

EAER er den ækvivalente fuldt elektriske rækkevidde for OVC-HEV'er i henhold til punkt 4.4.4.1 i dette bilag og for OVC-FCHV'er i henhold til punkt 4.4.6.1 i dette bilag (km).

4.3.3.2. Bestemmelse af det fasespecifikke elektriske energiforbrug

Det fasespecifikke elektriske energiforbrug på basis af den ved opladning tilførte elektriske energi fra lysnettet og den fasespecifikke ækvivalente fuldt elektriske rækkevidde beregnes efter følgende ligning:

$$\mathbf{EC_p} = \frac{\mathbf{E_{AC}}}{\mathbf{EAER_p}}$$

hvor:

EC_p er det fasespecifikke elektriske energiforbrug på basis af den ved opladning tilførte elektriske energi fra lysnettet og den ækvivalente fuldt elektriske rækkevidde (Wh/km)

E_{AC} er den ved opladning tilførte elektriske energi fra lysnettet i henhold til punkt 3.2.4.6 i dette bilag (Wh)

$EAER_p$ er den fasespecifikke ækvivalente fuldt elektriske rækkevidde i henhold til punkt 4.4.4.2 i dette bilag (km).

4.3.4. Elektrisk energiforbrug for PEV'er

4.3.4.1. Det elektriske energiforbrug bestemt i dette punkt beregnes kun, hvis køretøjet var i stand til at følge den gældende WLTP-prøvningscyklus inden for hastighedskurvetolerancerne i overensstemmelse med punkt 2.6.8.3.1.2 i bilag B6 i hele den betragtede periode.

4.3.4.2. Elektrisk energiforbrug, bestemmelse efter gældende WLTP-prøvningscyklus

Det elektriske energiforbrug i den gældende WLTP-prøvningscyklus på basis af den ved opladning tilførte elektriske energi fra lysnettet og den rent elektriske rækkevidde beregnes efter følgende ligning:

$$\mathbf{EC_{WLTC}} = \frac{\mathbf{E_{AC}}}{\mathbf{PER_{WLTC}}}$$

hvor:

EC_{WLTC} er det elektriske energiforbrug i den gældende WLTP-prøvningscyklus på basis af den ved opladning tilførte elektriske energi fra lysnettet og den rent elektriske rækkevidde for den gældende WLTP-cyklus (Wh/km)

EAC er den ved opladning tilførte elektriske energi fra lysnettet i henhold til punkt 3.4.4.3 i dette bilag (Wh)

PER_{WLTC} er den rent elektriske rækkevidde for den gældende WLTP-prøvningscyklus som beregnet i henhold til punkt 4.4.2.1.1 eller punkt 4.4.2.2.1 i dette bilag, afhængigt af den PEV-prøvningsmetode, der skal anvendes (km).

4.3.4.3. Dette punkt finder kun anvendelse på niveau 1A og niveau 2

Elektrisk energiforbrug, bestemmelse efter den gældende WLTP-prøvningscyklus for bykørsel (hvis det er relevant)

Det elektriske energiforbrug i den gældende WLTP-prøvningscyklus (bykørsel) på basis af den ved opladning tilførte elektriske energi fra lysnettet og den rent elektriske rækkevidde for den gældende WLTP-prøvningscyklus (bykørsel) beregnes efter følgende ligning:

$$\mathbf{EC_{city}} = \frac{\mathbf{E_{AC}}}{\mathbf{PER_{city}}}$$

hvor:

EC_{city} er det elektriske energiforbrug i den gældende WLTP-prøvningscyklus (bykørsel) på basis af den ved opladning tilførte elektriske energi fra lysnettet og den rent elektriske rækkevidde for den gældende WLTP-prøvningscyklus (bykørsel) (Wh/km)

EAC er den ved opladning tilførte elektriske energi fra lysnettet i henhold til punkt 3.4.4.3 i dette bilag (Wh)

PER_{city} er den rent elektriske rækkevidde for den gældende WLTP-prøvningscyklus (bykørsel) som beregnet i henhold til punkt 4.4.2.1.2 eller punkt 4.4.2.2.2 i dette bilag, afhængigt af den anvendte PEV-prøvningsmetode (km).

4.3.4.4. Elektrisk energiforbrug, bestemmelse af de fasespecifikke værdier

Det elektriske energiforbrug i hver enkelt fase på basis af den ved opladning tilførte elektriske energi fra lysnettet og den fasespecifikke rent elektriske rækkevidde beregnes efter følgende ligning:

$$\mathbf{EC_p} = \frac{\mathbf{E_{AC}}}{\mathbf{PER_p}}$$

hvor:

EC_p er det elektriske energiforbrug i hver enkelt fase p, baseret på den ved opladning tilførte elektriske energi fra lysnettet og den fasespecifikke rent elektriske rækkevidde (Wh/km)

EAC er den ved opladning tilførte elektriske energi fra lysnettet i henhold til punkt 3.4.4.3 i dette bilag (Wh)

PER_p er den fasespecifikke rent elektriske rækkevidde som beregnet i henhold til punkt 4.4.2.1.3 eller punkt 4.4.2.2.3 i dette bilag, afhængigt af den anvendte PEV-prøvningsmetode (km).

4.4. Beregning af elektrisk rækkevidde

4.4.1. Fuldt elektrisk rækkevidde AER og **AER_{city}** for OVC-HEV'er og OVC-FCHV'er (alt efter hvad der er relevant)

4.4.1.1. Den fuldt elektriske rækkevidde AER

Den fuldt elektriske rækkevidde AER for OVC-HEV'er bestemmes ud fra de i punkt 3.2.4.3 i dette bilag beskrevne type 1-prøvninger i ladningsforbrugende driftstilstand som led i valgmulighed 1-prøvningssekvensen opført i punkt 3.2.6.1 i dette bilag som led i valgmulighed 3-prøvningssekvensen, ved at køre den gældende WLTP-prøvningscyklus i henhold til punkt 1.4.2.1 i dette bilag. AER defineres som den kørte afstand fra begyndelsen af den ladningsforbrugende type 1-prøvning til det tidspunkt, hvor forbrændingsmotoren eller brændselscellen for OVC-FCHV'er begynder at forbruge brændstof.

4.4.1.2. Fuldt elektrisk rækkevidde (bykørsel) **AER_{city}**

Dette punkt finder kun anvendelse på niveau 1A og niveau 2

4.4.1.2.1. Den fuldt elektriske rækkevidde (bykørsel) **AER_{city}** for OVC-HEV'er eller OVC-FCHV'er bestemmes ud fra de i punkt 3.2.4.1, 3.2.4.2. og 3.2.4.3. i dette bilag beskrevne type 1-prøvninger i ladningsforbrugende driftstilstand som led i valgmulighed 1-prøvningssekvensen, ved at køre den gældende WLTP-prøvningscyklus (bykørsel) i henhold til punkt 1.4.2.2 i dette bilag. **AER_{city}** defineres som den kørte afstand fra begyndelsen af den ladningsforbrugende type 1-prøvning til det tidspunkt, hvor forbrændingsmotoren eller brændselscellen for OVC-FCHV'er begynder at forbruge brændstof.

Det tidspunkt, hvor forbrændingsmotoren eller brændselscellen for OVC-FCHV'er begynder at forbruge brændstof, betragtes som afbrydelseskriteriet og erstatter det afbrydelseskriterium, der er beskrevet i punkt 3.2.4.4.

4.4.1.2.2. Som et alternativ til punkt 4.4.1.2.1 i dette bilag kan den fuldt elektriske rækkevidde $\mathbf{AER_{city}}$bestemmes ud fra den i punkt 3.2.4.3 i dette bilag beskrevne ladningsforbrugende type 1-prøvning, ved at køre de relevante WLTP-prøvningscyklusser i henhold til punkt 1.4.2.1 i dette bilag. I så fald udelades den ladningsforbrugende type 1-prøvning ved kørsel af gældende WLTP-prøvningscyklus (bykørsel), og den fuldt elektriske rækkevidde (bykørsel) $\mathbf{AER_{city}}$beregnes ved hjælp af følgende ligning:

$$\mathbf{AER_{city}} = \frac{\mathbf{UBE_{city}}}{\mathbf{EC_{DC,city}}}$$

hvor:

AER_{city} er den fuldt elektriske rækkevidde (bykørsel), km

$\mathbf{UBE_{city}}$ er den anvendelige REESS-energi bestemt fra begyndelsen af den i punkt 3.2.4.3 i dette bilag beskrevne ladningsforbrugende type 1-prøvning ved kørsel af gældende WLTP-prøvningscyklusser indtil det tidspunkt, hvor forbrændingsmotoren begynder at forbruge brændstof (Wh)

$\mathbf{EC_{DC,city}}$ er det vægtede elektriske energiforbrug for de udelukkende ved elektrisk drift kørte WLTP-prøvningscyklusser for den ladningsforbrugende type 1-prøvning beskrevet i punkt 3.2.4.3 i dette bilag ved at køre gældende WLTP-prøvningscyklusser (Wh/km)

og

$$\mathbf{UBE_{city}} = \sum_{\mathbf{j=1}}^{\mathbf{k+1}} \mathbf{\Delta E_{REESS,j}}$$

hvor:

$\mathbf{\Delta E_{REESS,j}}$ er den elektriske energiændring i alle REESS'er i fase j (Wh)

j er indeksnummeret for den pågældende fase

k+1 er antal faser kørt fra prøvningens begyndelse til det tidspunkt, hvor forbrændingsmotoren begynder at forbruge brændstof

og

$$\mathbf{EC_{DC,city}} = \sum_{\mathbf{j=1}}^{\mathbf{n_{city,pe}}} \mathbf{EC_{DC,city,j}} \times \mathbf{K_{city,j}}$$

hvor:

$\mathbf{EC_{DC,city,j}}$ er det elektriske energiforbrug for den j'te udelukkende ved elektrisk drift kørte WLTP-prøvningscyklus for den ladningsforbrugende type 1-prøvning i henhold til punkt 3.2.4.3 i dette bilag ved at køre gældende WLTP-prøvningscyklusser (Wh/km)

$\mathbf{K_{city,j}}$ er vægtningsfaktoren for den j'te udelukkende ved elektrisk drift kørte gældende WLTP-prøvningscyklus (bykørsel) for den ladningsforbrugende type 1-prøvning i henhold til punkt 3.2.4.3 i dette bilag ved at køre gældende WLTP-prøvningscyklusser

j er indeksnummeret for udelukkende ved elektrisk drift kørte gældende WLTP-prøvningscyklusser (bykørsel)

$\mathbf{n_{city,pe}}$ er antallet af udelukkende ved elektrisk drift kørte gældende WLTP-prøvningscyklusser (bykørsel)

og

$$\mathbf{K_{city,1}} = \frac{\mathbf{\Delta E_{REESS,city,1}}}{\mathbf{UBE_{city}}}$$

hvor:

$\mathbf{\Delta E_{REESS,city,1}}$ er den elektriske energiændring for alle REESS'er under den første gældende WLTP-prøvningscyklus (bykørsel) i ladningsforbrugende type 1-prøvning (Wh)

og

$$\mathbf{K_{city,j} = \frac{1 - K_{city,1}}{n_{city,pe} - 1}} \text{ for } \mathbf{j = 2 to n_{city,pe}}.$$

4.4.2. Rent elektrisk rækkevidde for PEV'er

Rækkevidderne bestemt i dette punkt beregnes kun, hvis køretøjet var i stand til at følge den gældende WLTP-prøvningscyklus inden for hastighedskurvetolerancerne i overensstemmelse med punkt 2.6.8.3.1.2 i bilag B6 i hele den betragtede periode.

4.4.2.1. Bestemmelse af rent elektriske rækkevidder, når den forkortede type 1-prøvningsprocedure anvendes

4.4.2.1.1. Den rent elektriske rækkevidde i den gældende WLTP-prøvningscyklus, PER_{WLTC}, for PEV'er beregnes ud fra den forkortede type 1-prøvning som beskrevet i punkt 3.4.4.2 i dette bilag ved hjælp af følgende ligninger:

$$\mathbf{PER_{WLTC} = \frac{UBE_{STP}}{EC_{DC,WLTC}}}$$

hvor:

PER_{WLTC} er den rent elektriske rækkevidde for den gældende WLTC-prøvningscyklus for PEV'er (km)

$\mathbf{UBE_{STP}}$ er den anvendelige REESS-energi bestemt fra begyndelsen af den forkortede type 1-prøvningsprocedure, indtil afbrydelseskriteriet som defineret i punkt 3.4.4.2.3 i dette bilag er opfyldt (Wh)

$\mathbf{EC_{DC,WLTC}}$ er det vægtede elektriske energiforbrug for den gældende WLTP-prøvningscyklus af den forkortede type 1-prøvningsprocedure (Wh/km).

og

$$\mathbf{UBE_{STP} = \Delta E_{REESS,DS_1} + \Delta E_{REESS,DS_2} + \Delta E_{REESS,CSS_M} + \Delta E_{REESS,CCS_E}}$$

hvor:

$\mathbf{\Delta E_{REESS,DS_1}}$ er den elektriske energiændring for alle REESS'er i løbet af DS_1 i den forkortede type 1-prøvningsprocedure (Wh)

$\mathbf{\Delta E_{REESS,DS_2}}$ er den elektriske energiændring for alle REESS'er i løbet af DS_2 i den forkortede type 1-prøvningsprocedure (Wh)

$\mathbf{\Delta E_{REESS,CSS_M}}$ er den elektriske energiændring for alle REESS'er i løbet af CSSM i den forkortede type 1-prøvningsprocedure (Wh)

$\mathbf{\Delta E_{REESS,CSS_E}}$ er den elektriske energiændring for alle REESS'er i løbet af CSS_E i den forkortede type 1-prøvningsprocedure (Wh)

og

$$\mathbf{EC_{DC,WLTC} = \sum_{j=1}^{2} EC_{DC,WLTC,j} \times K_{WLTC,j}}$$

hvor:

$\mathbf{EC_{DC,WLTC,j}}$ er det elektriske energiforbrug for den gældende WLTP-prøvningscyklus DS_j i den forkortede type 1-prøvningsprocedure i henhold til punkt 4.3 i dette bilag (Wh/km)

$\mathbf{K_{WLTC,j}}$ er vægtningsfaktoren for den gældende WLTP-prøvningscyklus i DS_j i den forkortede type 1-prøvningsprocedure

samt:

$$\mathbf{K_{WLTC,1}} = \frac{\mathbf{\Delta E_{REESS,WLTC,1}}}{\mathbf{UBE_{STP}}} \text{ and } \mathbf{K_{WLTC,2}} = \mathbf{1} - \mathbf{K_{WLTC,1}}$$

hvor:

$\mathbf{K_{WLTC,j}}$ er vægtningsfaktoren for den gældende WLTP-prøvningscyklus i DS_j i den forkortede type 1-prøvningsprocedure

$\mathbf{\Delta E_{REESS,WLTC,1}}$ er den elektriske energiændring for alle REESS'er i løbet af den gældende WLTP-prøvningscyklus af DS_1 af den forkortede type 1-prøvningsprocedure (Wh)

4.4.2.1.2. Rent elektrisk rækkevidde, bykørsel (PER_{city}) (hvis det er relevant)

Dette punkt finder kun anvendelse på niveau 1A og niveau 2

Den rent elektrisk rækkevidde i den gældende WLTP-prøvningscyklus (bykørsel) PER_{city} for PEV'er beregnes ud fra den forkortede type 1-prøvning som beskrevet i punkt 3.4.4.2 i dette bilag ved hjælp af følgende ligninger:

$$\mathbf{PER_{city}} = \frac{\mathbf{UBE_{STP}}}{\mathbf{EC_{DC,city}}}$$

hvor:

PERcity er den rent elektriske rækkevidde for den gældende WLTP-prøvningscyklus (bykørsel) for PEV'er (km)

$\mathbf{UBE_{STP}}$ er den anvendelige REESS-energi i henhold til punkt 4.4.2.1.1 i dette bilag (Wh),

$\mathbf{EC_{DC,city}}$ er det vægtede elektriske energiforbrug for den gældende WLTP-prøvningscyklus (bykørsel) i DS_1 og DS_2 af den forkortede type 1-prøvningsprocedure (Wh/km),

og

$$\mathbf{EC_{DC,city}} = \sum_{\mathbf{j=1}}^{\mathbf{4}} \mathbf{EC_{DC,city,j}} \times \mathbf{K_{city,j}}$$

hvor:

$\mathbf{EC_{DC,city,j}}$ er det elektriske energiforbrug for den gældende WLTP-prøvningscyklus (bykørsel), hvor den første gældende WLTP-prøvningscyklus (bykørsel) i DS_1 er angivet som j = 1, den anden gældende WLTP-prøvningscyklus (bykørsel) i DS_1 er angivet som j = 2, den første gældende WLTP-prøvningscyklus (bykørsel) i DS_2 er angivet som j = 3, og den anden gældende WLTP-prøvningscyklus (bykørsel) i DS_2 er angivet som j = 4 i den forkortede type1-prøvnings-procedure i henhold til punkt 4.3 i dette bilag (Wh/km),

$\mathbf{K_{city,j}}$ er vægtningsfaktoren for den gældende WLTP-prøvningscyklus (bykørsel), hvor den første gældende WLTP-prøvningscyklus (bykørsel) i DS_1 er angivet som j = 1, den anden gældende WLTP-prøvningscyklus (bykørsel) i DS_1 er angivet som j = 2, den første gældende WLTP-prøvningscyklus (bykørsel) i DS_2 er angivet som j = 3, og den anden gældende WLTP-prøvningscyklus (bykørsel) i DS_2 er angivet som j = 4

og

$$\mathbf{K_{city,1}} = \frac{\mathbf{\Delta E_{REESS,city,1}}}{\mathbf{UBE_{STP}}} \text{ and } \mathbf{K_{city,j}} = \frac{\mathbf{1} - \mathbf{K_{city,1}}}{\mathbf{3}} \text{ for } \mathbf{j = 2 \ldots 4}$$

hvor:

$\mathbf{\Delta E_{REESS,city,1}}$ er energiændringen for alle REESS'er i løbet af den første gældende WLTP-prøvningscyklus (bykørsel) i DS_1 i den forkortede type 1-prøvningsprocedure (Wh).

4.4.2.1.3. Den fasespecifikke rent elektriske rækkevidde (PER_p) for PEV'er beregnes ud fra type 1-prøvningen som beskrevet i punkt 3.4.4.2 i dette bilag ved hjælp af følgende ligninger:

$$\mathbf{PER_p} = \frac{\mathbf{UBE_{STP}}}{\mathbf{EC_{DC,p}}}$$

hvor:

PER_p er den fasespecifikke rent elektriske rækkevidde for PEV'er (km),

$\mathbf{UBE_{STP}}$ er den anvendelige REESS-energi i henhold til punkt 4.4.2.1.1 i dette bilag (Wh),

$\mathbf{EC_{DC,p}}$ er det vægtede elektriske energiforbrug for hver enkelt fase af DS_1 og DS_2 i den forkortede type 1-prøvningsprocedure (Wh/km),

Hvis fase p = lav og fase p = medium, anvendes følgende ligninger:

$$\mathbf{EC_{DC,p}} = \sum_{\mathbf{j=1}}^{\mathbf{4}} \mathbf{EC_{DC,p,j}} \times \mathbf{K_{p,j}}$$

hvor:

$\mathbf{EC_{DC,p,j}}$ er det elektriske energiforbrug for den fase p, hvor den første fase p i DS_1 er angivet som j = 1, den anden fase p i DS_1 er angivet som j = 2, den første fase p i DS_2 er angivet som j = 3, og den anden fase p i DS_2 er angivet som j = 4 i den forkortede type1-prøvningsprocedure i henhold til punkt 4.3 i dette bilag (Wh/km),

$\mathbf{K_{p,j}}$ er vægtningsfaktoren for fase p, hvor den første fase p i DS_1 er angivet som j = 1, den anden fase p i DS_1 er angivet som j = 2, den første fase p i DS_2 er angivet som j = 3, og den anden fase p i DS_2 er angivet som j = 4 i den forkortede type1-prøvningsprocedure,

og

$$\mathbf{K_{p,1}} = \frac{\mathbf{\Delta E_{REESS,p,1}}}{\mathbf{UBE_{STP}}} \text{and} \mathbf{K_{p,j}} = \frac{\mathbf{1 - K_{p,1}}}{\mathbf{3}} \text{forj} = \mathbf{2 \ldots 4}$$

hvor:

$\mathbf{\Delta E_{REESS,p,1}}$ er energiændringen for alle REESS'er i løbet af den første fase p af DS_1 i den forkortede type 1-prøvningsprocedure (Wh).

Hvis fase p = høj og fase p = ekstra høj, anvendes følgende ligninger:

$$\mathbf{EC_{DC,p}} = \sum_{\mathbf{j=1}}^{\mathbf{2}} \mathbf{EC_{DC,p,j}} \times \mathbf{K_{p,j}}$$

hvor:

$\mathbf{EC_{DC,p,j}}$ er det elektriske energiforbrug for fase p i DS_j i den forkortede type 1-prøvningsprocedure i henhold til punkt 4.3 i dette bilag (Wh/km)

$\mathbf{K_{p,j}}$ er vægtningsfaktoren for fase p af i DS_j i den forkortede type 1-prøvningsprocedure

og

$$\mathbf{K_{p,1}} = \frac{\mathbf{\Delta E_{REESS,p,1}}}{\mathbf{UBE_{STP}}} \text{and} \mathbf{K_{p,2}} = \mathbf{1 - K_{p,1}}$$

hvor:

$\Delta E_{REESS,p,1}$ er den elektriske energiændring for alle REESS'er i løbet af den første fase p af DS_1 i den forkortede type 1-prøvningsprocedure (Wh).

4.4.2.2. Bestemmelse af rent elektriske rækkevidder, når type 1-prøvningsproceduren i fortløbende cyklus anvendes

4.4.2.2.1. Den rent elektriske rækkevidde i den gældende WLTP-prøvningscyklus, PER_{WLTC}, for PEV'er beregnes ud fra type 1-prøvningen som beskrevet i punkt 3.4.4.1 i dette bilag ved hjælp af følgende ligninger:

$$PER_{WLTC} = \frac{UBE_{CCP}}{EC_{DC,WLTC}}$$

hvor:

UBE_{CCP} er den anvendelige REESS-energi bestemt fra begyndelsen af den fortløbende cyklus type 1-prøvningsprocedure indtil afbrydelseskriteriet i henhold til punkt 3.4.4.1.3 i dette bilag er opfyldt (Wh)

$EC_{DC,WLTC}$ er det elektriske energiforbrug for den gældende WLTP-prøvningscyklus, bestemt ud fra fuldstændigt kørte WLTP-prøvningscyklusser af på hinanden følgende type 1-prøvningsprocedurer (Wh/km)

og

$$UBE_{CCP} = \sum_{j=1}^{k} \Delta E_{REESS,j}$$

hvor:

$\Delta E_{REESS,j}$ er den elektriske energiændring for alle REESS'er i løbet af fase j i type 1-prøvningsproceduren i fortløbende cyklus (Wh)

j er indeksnummeret for fasen,

k er antallet af faser kørt fra begyndelsen op til og med den fase, hvor afbrydelseskriteriet er opfyldt

samt:

$$EC_{DC,WLTC} = \sum_{j=1}^{n_{WLTC}} EC_{DC,WLTC,j} \times K_{WLTC,j}$$

hvor:

$EC_{DC,WLTC,j}$ er det elektriske energiforbrug for den gældende WLTP-prøvningscyklus j i type 1-prøvningsprocedure i fortløbende cyklus i henhold til punkt 4.3 i dette bilag (Wh/km)

$K_{WLTC,j}$ er vægtningsfaktoren for den gældende WLTP-prøvningscyklus j i type 1-prøvningsproceduren i fortløbende cyklus

j er indeksnummeret for den gældende WLTP-prøvningscyklus

n_{WLTC} er det samlede antal kørte gældende WLTP-prøvningscyklusser

og

$$\mathbf{K_{WLTC,1} = \frac{\Delta E_{REESS,WLTC,1}}{UBE_{CCP}}} \text{ and} \mathbf{K_{WLTC,j} = \frac{1 - K_{WLTC,1}}{n_{WLTC} - 1}} \text{ for} \mathbf{j = 2 \ldots n_{WLTC}}$$

hvor:

$\mathbf{\Delta E_{REESS,WLTC,1}}$ er den elektriske energiændring for alle REESS'er under den første gældende WLTP-prøvningscyklus i type 1-prøvningsproceduren i fortløbende cyklus (Wh).

4.4.2.2.2. Rent elektrisk rækkevidde, bykørsel (PER_{city}) (hvis det er relevant)

Dette punkt finder kun anvendelse på niveau 1A og niveau 2

Den rent elektriske rækkevidde i WLTP-prøvningscyklussen (bykørsel), PER_{city}, for PEV'er beregnes ud fra type 1-prøvningen som beskrevet i punkt 3.4.4.1 i dette bilag ved hjælp af følgende ligninger:

$$\mathbf{PER_{city} = \frac{UBE_{CCP}}{EC_{DC,city}}}$$

hvor:

PER_{city} er den rent elektriske rækkevidde for WLTP-prøvningscyklussen (bykørsel) for PEV'er (km),

$\mathbf{UBE_{CCP}}$ er den anvendelige REESS-energi i henhold til punkt 4.4.2.2.1 i dette bilag (Wh),

$\mathbf{EC_{DC,city}}$ er det elektriske energiforbrug for den gældende WLTP-prøvningscyklus (bykørsel), bestemt ud fra fuldstændigt kørte gældende WLTP-prøvningscyklusser (bykørsel) af type 1-prøvningsproceduren i fortløbende cyklus (Wh/km)

og

$$\mathbf{EC_{DC,city} = \sum_{j=1}^{n_{city}} EC_{DC,city,j} \times K_{city,j}}$$

hvor:

$\mathbf{EC_{DC,city,j}}$ er det elektriske energiforbrug for den gældende WLTP-prøvningscyklus (bykørsel) j i type 1-prøvningsproceduren i fortløbende cyklus i henhold til punkt 4.3 i dette bilag (Wh/km)

$\mathbf{K_{city,j}}$ er vægtningsfaktoren for den gældende WLTP-prøvningscyklus (bykørsel) j i type 1-prøvningsproceduren i fortløbende cyklus

j er indeksnummeret for den gældende WLTP-prøvningscyklus (bykørsel)

$\mathbf{n_{city}}$ er det samlede antal fuldstændigt kørte gældende WLTP-prøvningscyklusser (bykørsel)

og

$$\mathbf{K_{city,1} = \frac{\Delta E_{REESS,city,1}}{UBE_{CCP}}} \text{ and} \mathbf{K_{city,j} = \frac{1 - K_{city,1}}{n_{city} - 1}} \text{ for} \mathbf{j = 2 \ldots n_{city}}$$

hvor:

$\mathbf{\Delta E_{REESS,city,1}}$ er den elektriske energiændring for alle REESS'er under den første gældende WLTP-prøvningscyklus (bykørsel) i type 1-prøvningsproceduren i fortløbende cyklus (Wh).

4.4.2.2.3. Den fasespecifikke rent elektriske rækkevidde (PER_p) for PEV'er beregnes ud fra type 1-prøvningen som beskrevet i punkt 3.4.4.1 i dette bilag ved hjælp af følgende ligninger:

$$\mathbf{PER_p} = \frac{\mathbf{UBE_{CCP}}}{\mathbf{EC_{DC,p}}}$$

hvor:

PER_p er den fasespecifikke rent elektriske rækkevidde for PEV'er (km),

$\mathbf{UBE_{CCP}}$ er den anvendelige REESS-energi i henhold til punkt 4.4.2.2.1 i dette bilag (Wh),

$\mathbf{EC_{DC,p}}$ er det elektriske energiforbrug for den pågældende fase p, bestemt ud fra fuldstændigt kørte faser p af type 1-prøvningsprocedurer i fortløbende cyklus (Wh/km),

og

$$\mathbf{EC_{DC,p}} = \sum_{\mathbf{j=1}}^{\mathbf{n_p}} \mathbf{EC_{DC,p,j}} \times \mathbf{K_{p,j}}$$

hvor:

$\mathbf{EC_{DC,p,j}}$ er det j'te elektriske energiforbrug for den pågældende fase p i type 1-prøvningsproceduren i fortløbende cyklus i henhold til punkt 4.3 i dette bilag (Wh/km),

$\mathbf{K_{p,j}}$ er den j'te vægtningsfaktor for den pågældende fase p i type 1-prøvningsproceduren i fortløbende cyklus

$\mathbf{j}$ er indeksnummeret for den pågældende fase p

$\mathbf{n_p}$ er det samlede antal kørte hele gældende WLTP-prøvningscyklusser

og

$$\mathbf{K_{p,1}} = \frac{\mathbf{\Delta E_{REESS,p,1}}}{\mathbf{UBE_{CCP}}} \text{ and} \mathbf{K_{p,j}} = \frac{\mathbf{1 - K_{p,1}}}{\mathbf{n_p - 1}} \text{ for} \mathbf{j = 2 \ldots n_p}$$

hvor:

$\mathbf{\Delta E_{REESS,p,1}}$ er den elektriske energiændring for alle REESS'er i løbet af den først kørte fase p i type 1-prøvningsproceduren i fortløbende cyklus (Wh)

4.4.3. Rækkevidden for OVC-HEV'er og OVC-FCHV'er i ladningsforbrugende cyklus

Rækkevidden i ladningsforbrugende cyklus, R_{CDC} bestemmes ud fra de i punkt 3.2.4.3 i dette bilag beskrevne ladningsforbrugende type 1-prøvninger som led i valgmulighed 1-prøvningssekvensen og er opført i punkt 3.2.6.1 i dette bilag som led i valgmulighed 3-prøvningssekvensen. $\mathbf{R_{CDC}}$ er afstanden kørt fra begyndelsen den ladningsforbrugende type 1-prøvning til udgangen af overgangscyklussen i henhold til punkt 3.2.4.4 i dette bilag.

4.4.4. Ækvivalent fuldt elektrisk rækkevidde for OVC-HEV'er

4.4.4.1. Bestemmelse af den cyklusspecifikke ækvivalente fuldt elektriske rækkevidde

Den cyklusspecifikke ækvivalente fuldt elektriske rækkevidde beregnes ved hjælp af følgende ligning:

For niveau 1A og niveau 2 (fase 4 WLTP-prøvning):

$$\mathbf{EAER} = \left(\frac{\mathbf{M_{CO2,\ CS,ave}} - \mathbf{M_{CO2,\ CD,avg,ave}}}{\mathbf{M_{CO2,\ CS,ave}}} \right) \times \mathbf{R_{CDC,ave}}$$

For niveau 1B og niveau 2 (fase 3 WLTP-prøvning):

$$\mathbf{EAER} = \left(\frac{\mathbf{M_{CO2,\ CS,declared}} - \mathbf{M_{CO2,\ CD,avg}}}{\mathbf{M_{CO2,\ CS,declared}}}\right) \times \mathbf{R_{CDC}}$$

hvor:

EAER	er den cyklusspecifikke ækvivalente fuldt elektriske rækkevidde (km)
$\mathbf{M_{CO2,\ CS,ave}}$	er det aritmetiske gennemsnit af CO_2-emissioner i ladningsbevarende driftstilstand i henhold til tabel A8/5, trin nr. 6 ($M_{CO2,CS,c,6}$) for niveau 1A og 4-faset WLTP-prøvning på niveau 2 (g/km)
$\mathbf{M_{CO2,\ CS,declared}}$	er den oplyste værdi af CO_2-emissioner i ladningsbevarende driftstilstand i henhold til tabel A8/5, trin nr. 6 ($M_{CO2,CS,c,declared}$) for niveau 1B og 3-faset WLTP-prøvning på niveau 2 (g/km)
$\mathbf{M_{CO2,\ CD,avg,ave}}$	er det aritmetiske gennemsnit af $\mathbf{M_{CO2,\ CD,\ avg}}$ beregnet for alle prøvninger af ladningsforbrugende driftstilstand i overensstemmelse med nedenstående ligning (g/km)
$\mathbf{R_{CDC}}$	er rækkevidden i ladningsforbrugende cyklus efter punkt 4.4.3 i dette bilag (km)
$\mathbf{R_{CDC,ave}}$	er det aritmetiske gennemsnit af rækkevidden i ladningsforbrugende cyklus ($\mathbf{R_{CDC}}$) beregnet for alle individuelle ladningsforbrugende prøvninger (km)

og

$$\mathbf{M_{CO2,\ CD,\ avg}} = \frac{\sum_{j=1}^{k}(\mathbf{M_{CO2,CD,j}} \times \mathbf{d_j})}{\sum_{j=1}^{k}\mathbf{d_j}}$$

hvor:

$\mathbf{M_{CO2,\ CD,avg}}$	er CO_2-emissionen i ladningsforbrugende driftstilstand (g/km)
$\mathbf{M_{CO2,CD,j}}$	er CO_2-emissionen, bestemt efter punkt 3.2.1 i bilag B7 fra fase j af den ladningsforbrugende type 1-prøvning (g/km)
$\mathbf{d_j}$	er den kørte afstand i fase j af den ladningsforbrugende type 1-prøvning (km)
j	er indeksnummeret for den pågældende fase
k	er antallet af faser kørt frem til afslutningen af overgangscyklus n i henhold til punkt 3.2.4.4 i dette bilag.

4.4.4.2. Bestemmelse af den fasespecifikke ækvivalente fuldt elektriske rækkevidde

Den fasespecifikke ækvivalente fuldt elektriske rækkevidde beregnes ved hjælp af følgende ligning:

For niveau 1A og niveau 2 (fase 4 WLTP-prøvning):

$$\mathbf{EAER_p} = \left(\frac{\mathbf{M_{CO2,\ CS,p,ave}} - \mathbf{M_{CO2,\ CD,avg,p,ave}}}{\mathbf{M_{CO2,\ CS,p,ave}}}\right) \times \frac{\sum_{j=1}^{k}\mathbf{\Delta E_{REESS,j,ave}}}{\mathbf{EC_{DC,CD,p,ave}}}$$

For niveau 1B og niveau 2 (fase 3 WLTP-prøvning):

$$\mathbf{EAER_p} = \left(\frac{\mathbf{M_{CO2,\ CS,p}} - \mathbf{M_{CO2,\ CD,avg,p}}}{\mathbf{M_{CO2,\ CS,p}}}\right) \times \frac{\sum_{j=1}^{k}\mathbf{\Delta E_{REESS,j}}}{\mathbf{EC_{DC,CD,p}}}$$

hvor:

$\mathbf{EAER_p}$	er den fasespecifikke ækvivalente fuldt elektriske rækkevidde for den pågældende fase p (km)
$\mathbf{M_{CO2,\ CS,p}}$	er den fasespecifikke CO_2-emission i den ladningsbevarende type 1-prøvning i den pågældende fase p i henhold til tabel A8/5, trin nr. 7 ($M_{CO2,CS,p,7}$) (g/km),

$\mathbf{M_{CO2,\ CS,p,ave}}$ er den fasespecifikke CO_2-emission i den ladningsbevarende type 1-prøvning i den pågældende fase p i henhold til tabel A8/5, trin nr. 6 ($M_{CO2,CS,p,6}$) (g/km),

$\mathbf{M_{CO2,\ CD,avg,p,ave}}$ er det aritmetiske gennemsnit af $\mathbf{M_{CO2,\ CD,\ avg,p}}$ beregnet for alle prøvninger af ladningsforbrugende driftstilstand i overensstemmelse med nedenstående ligning (g/km)

$\mathbf{\Delta E_{REESS,j}}$ er de elektriske energiændringer i alle REESS'er i den pågældende fase j (Wh).

$\mathbf{\Delta E_{REESS,j,ave}}$ er det aritmetiske gennemsnit af elektriske energiændringer for alle REESS ($\mathbf{\Delta E_{REESS,j}}$) i den betragtede fase j beregnet for alle individuelle ladningsforbrugende prøvninger (Wh)

ECDC,CD,p,ave er det aritmetiske gennemsnit af det elektriske energiforbrug i den betragtede fase p ($\mathbf{EC_{DC,CD,p}}$) beregnet efter nedenstående ligning for alle individuelle ladningsforbrugende prøvninger (Wh/km)

j er indeksnummeret for den pågældende fase

k er antallet af faser kørt frem til afslutningen af overgangscyklussen i henhold til punkt 3.2.4.4 i dette bilag

og

$$\mathbf{M_{CO2,\ CD,\ avg,p}} = \frac{\sum_{\mathbf{c=1}}^{\mathbf{n_c}} (\mathbf{M_{CO2,CD,p,c}} \times \mathbf{d_{p,c}})}{\sum_{\mathbf{c=1}}^{\mathbf{n_c}} \mathbf{d_{p,c}}}$$

hvor:

$\mathbf{M_{CO2,\ CD,avg,p}}$ er CO_2-emissionen i ladningsforbrugende driftstilstand i den pågældende fase p (g/km)

$\mathbf{M_{CO2,CD,p,c}}$ er CO_2-emissionen bestemt efter punkt 3.2.1 i bilag B7 i den gældende cyklus c i den ladningsforbrugende type 1-prøvning (g/km)

$\mathbf{d_{p,c}}$ er den kørte distance i den betragtede periode p i cyklus c i den ladningsforbrugende type 1-prøvning (km)

c er indeksnummeret for den pågældende gældende WLTP-prøvningscyklus

p er indekset for den individuelle fase i den gældende WLTP-prøvningscyklus,

$\mathbf{n_c}$ er antallet af gældende WLTP-prøvningscyklusser kørt indtil slutningen af overgangscyklussen n i henhold til punkt 3.2.4.4 i dette bilag.

samt:

$$\mathbf{EC_{DC,CD,p}} = \frac{\sum_{\mathbf{c=1}}^{\mathbf{n_c}} \mathbf{EC_{DC,CD,p,c}} \times \mathbf{d_{p,c}}}{\sum_{\mathbf{c=1}}^{\mathbf{n_c}} \mathbf{d_{p,c}}}$$

hvor:

$\mathbf{EC_{DC,CD,p}}$ er det elektriske energiforbrug i den betragtede periode p, baseret på REESS-ladningsforbruget i den ladningsforbrugende type 1-prøvning (Wh/km).

$\mathbf{EC_{DC,CD,p,c}}$ er det elektriske energiforbrug i den betragtede periode p i cyklus c baseret på REESS-ladningsforbruget i den ladningsforbrugende type 1-prøvning i henhold til punkt 4.3 i dette bilag (Wh/km).

$\mathbf{d_{p,c}}$ er den kørte distance i den betragtede periode p i cyklus c i den ladningsforbrugende type 1-prøvning (km)

c er indeksnummeret for den pågældende gældende WLTP-prøvningscyklus

p er indekset for den individuelle fase i den gældende WLTP-prøvningscyklus,

$\mathbf{n_c}$ er antallet af gældende WLTP-prøvningscyklusser kørt indtil slutningen af overgangscyklussen n i henhold til punkt 3.2.4.4 i dette bilag.

For niveau 1A og niveau 2 (fase 4 WLTP-prøvning):

Den pågældende fase skal være lav-fase, medium-fase, høj-fase, ekstra høj-fase og bykørselscyklus.

For niveau 1B og niveau 2 (fase 3 WLTP-prøvning):

Den betragtede fase skal være lavfase, mellemfase og høj fase.

4.4.5. Faktisk ladningsforbrugende rækkevidde for OVC-HEV'er

Den faktiske ladningsforbrugende rækkevidde beregnes ved hjælp af følgende ligning:

$$\mathbf{R_{CDA}} = \sum_{\mathbf{c}=1}^{\mathbf{n}-1} \mathbf{d_c} + \left(\frac{\mathbf{M_{CO2,\,CS,declared}} - \mathbf{M_{CO2,n,cycle}}}{\mathbf{M_{CO2,\,CS,declared}} - \mathbf{M_{CO2,CD,avg,\,n-1}}} \right) \times \mathbf{d_n}$$

hvor:

$\mathbf{R_{CDA}}$	er den faktiske ladningsforbrugende rækkevidde (km)
$\mathbf{M_{CO2,\,CS}}$	er CO_2-emissionen i ladningsbevarende driftstilstand ifølge tabel A8/5, trin nr. 7 (g/km),
$\mathbf{M_{CO2,n,cycle}}$	er CO_2-emissionen i den gældende WLTP-prøvningscyklus n i den ladningsforbrugende type 1-prøvning (g/km)
$\mathbf{M_{CO2,CD,avg,\,n-1}}$	er CO_2-emissionen i den ladningsforbrugende type 1-prøvning fra begyndelsen af den ladningsforbrugende type 1-prøvning til og med den gældende WLTP-prøvningscyklus (n-1) (g/km)
$\mathbf{d_c}$	er den kørte afstand i den gældende WLTP-prøvningscyklus c i den ladningsforbrugende type 1-prøvning (km)
$\mathbf{d_n}$	er den kørte afstand i den pågældende WLTP-prøvningscyklus n i den ladningsforbrugende type 1-prøvning (km)
c	er indeksnummeret for den pågældende gældende WLTP-prøvningscyklus
n	er antallet af gældende WLTP-prøvningscyklusser kørt til og med overgangscyklussen n i henhold til punkt 3.2.4.4 i dette bilag

samt:

$$\mathbf{M_{CO2,CD,avg,\,n-1}} = \frac{\sum_{\mathbf{c}=1}^{\mathbf{n}-1} (\mathbf{M_{CO2,CD,c}} \times \mathbf{d_c})}{\sum_{\mathbf{c}=1}^{\mathbf{n}-1} \mathbf{d_c}}$$

hvor:

$\mathbf{M_{CO2,CD,avg,\,n-1}}$	er CO_2-emissionen i den ladningsforbrugende type 1-prøvning fra begyndelsen af den ladningsforbrugende type 1-prøvning til og med den gældende WLTP-prøvningscyklus (n-1) (g/km)
$\mathbf{M_{CO2,CD,c}}$	er CO_2-emissionen bestemt efter punkt 3.2.1 i bilag B7 i den gældende WLTP-prøvningscyklus c i den ladningsforbrugende type 1-prøvning (g/km)
$\mathbf{d_c}$	er den kørte afstand i den gældende WLTP-prøvningscyklus c i den ladningsforbrugende type 1-prøvning (km)
c	er indeksnummeret for den pågældende gældende WLTP-prøvningscyklus
n	er antallet af gældende WLTP-prøvningscyklusser kørt til og med overgangscyklussen, jf. punkt 3.2.4.4 i dette bilag

4.4.6. Ækvivalent fuldt elektrisk rækkevidde for OVC-FCHV'er

4.4.6.1. Bestemmelse af den cyklusspecifikke ækvivalente fuldt elektriske rækkevidde

Den cyklusspecifikke ækvivalente fuldt elektriske rækkevidde beregnes ved hjælp af følgende ligning:

For niveau 1A og niveau 2 (fase 4 WLTP-prøvning)

$$\mathbf{EAER} = \left(\frac{\mathbf{FC}_{\mathrm{CS,ave}} - \mathbf{FC}_{\mathrm{CD,avg,ave}}}{\mathbf{FC}_{\mathrm{CS,ave}}}\right) \times \mathbf{R}_{\mathbf{CDC,ave}}$$

For niveau 1B og niveau 2 (fase 3 WLTP-prøvning)

$$\mathbf{EAER} = \left(\frac{\frac{1}{FE_{CS,declared}} - \frac{1}{FE_{CD,avg}}}{\frac{1}{FE_{CS,declared}}}\right) \times \mathbf{R}_{\mathbf{CDC}}$$

hvor:

EAER	er den cyklusspecifikke ækvivalente fuldt elektriske rækkevidde (km)
$\mathbf{FC}_{\mathbf{CS,ave}}$	er brændstofforbruget i ladningsbevarende driftstilstand, jf. tabel A8/7, trin nr. 4 (kg/100 km),
$FC_{\mathbf{CD,avg,ave}}$	er det aritmetiske gennemsnit af brændstofforbruget i ladningsforbrugende driftstilstand $FC_{\mathbf{CD,\ avg}}$ beregnet for alle prøvninger af ladningsforbrugende driftstilstand i overensstemmelse med nedenstående ligning (kg/100km)
$FE_{CS,declared}$	er den oplyste brændstofeffektivitet i ladningsbevarende driftstilstand i henhold til tabel A8/7, trin 5 (km/kg)
$\mathbf{R}_{\mathbf{CDC,ave}}$	er det aritmetiske gennemsnit af rækkevidden i ladningsforbrugende cyklus ($\mathbf{R}_{\mathbf{CDC}}$) beregnet for alle individuelle ladningsforbrugende prøvninger (km) i overensstemmelse med dette bilags punkt 4.4.3
$\mathbf{R}_{\mathbf{CDC}}$	($\mathbf{R}_{\mathbf{CDC}}$) er rækkevidden i ladningsforbrugende cyklus efter punkt 4.4.3 i dette bilag (km)

og

$$\mathbf{FC}_{\mathrm{CD,\ avg}} = \frac{\sum_{j=1}^{k}(\mathbf{FC}_{\mathbf{CD,j}} \times \mathbf{d}_{\mathbf{j}})}{\sum_{j=1}^{k}\mathbf{d}_{\mathbf{j}}}$$

hvor:

$\mathbf{FC}_{\mathbf{CD,avg}}$	er brændstofforbruget i ladningsforbrugende driftstilstand, kg/100 km.
$\mathbf{FC}_{\mathbf{CD,j}}$	er brændstofforbruget i fase j af den ladningsforbrugende type 1-prøvning (kg/100 km)
$\mathbf{d}_{\mathbf{j}}$	er den kørte afstand i fase j af den ladningsforbrugende type 1-prøvning (km)
j	er indeksnummeret for den pågældende fase
k	er antallet af faser kørt frem til afslutningen af overgangscyklus n i henhold til punkt 3.2.4.4 i dette bilag.

og

$$\mathbf{FE}_{\mathbf{CD,avg}} = \frac{\sum_{j=1}^{k} d_c}{\sum_{j=1}^{k}\left(d_c \times \frac{1}{FE_{CD,c}}\right)}$$

hvor:

$\mathbf{FE_{CD,avg}}$	er brændstofeffektiviteten i ladningsforbrugende driftstilstand (km/kg)
$\mathbf{FE_{CD,c}}$	er brændstofeffektiviteten i fase j af den ladningsforbrugende type 1-prøvning (km/kg)
$\mathbf{d_j}$	er den kørte afstand i fase j af den ladningsforbrugende type 1-prøvning (km)
j	er indeksnummeret for den pågældende fase
k	er antallet af faser kørt frem til afslutningen af overgangscyklus n i henhold til punkt 3.2.4.4 i dette bilag.

Den betragtede fase j skal udelukkende være den gældende WLTP-prøvningscyklus.

4.4.6.2. Bestemmelse af den fasespecifikke ækvivalente fuldt elektriske rækkevidde f eller OVC-FCHV

Den fasespecifikke ækvivalente fuldt elektriske rækkevidde beregnes ved hjælp af følgende ligning:

$$\mathbf{EAER_p} = \left(\frac{\mathbf{FC_{CS,p,ave}} - \mathbf{FC_{CD,avg,p,ave}}}{\mathbf{FC_{CS,p,ave}}}\right) \times \frac{\sum_{j=1}^{k} \mathbf{\Delta E_{REESS,j,ave}}}{\mathbf{EC_{DC,CD,p,ave}}}$$

hvor:

$\mathbf{EAER_p}$	er den fasespecifikke ækvivalente fuldt elektriske rækkevidde for den pågældende fase p (km)
$\mathbf{FC_{CS,p,ave}}$	er de fasespecifikke brændstofforbrug i den ladningsbevarende type 1-prøvning i den pågældende fase p, jf. tabel A8/7, trin nr. 4 (kg/100 km)
$\mathbf{FC_{CD,avg,p,ave}}$	er det aritmetiske gennemsnit af $\mathbf{FC_{CD,\ avg,p}}$ beregnet for alle prøvninger af ladningsforbrugende driftstilstand i overensstemmelse med nedenstående ligning (kg/100km)
$\mathbf{\Delta E_{REESS,j,ave}}$	er det aritmetiske gennemsnit af de elektriske energiændringer for alle REESS ($\mathbf{\Delta E_{REESS,j}}$) i den betragtede fase j beregnet for alle individuelle ladningsforbrugende prøvninger (Wh)
ECDC,CD,p,ave	er det aritmetiske gennemsnit af det elektriske energiforbrug i den betragtede fase p ($\mathbf{EC_{DC,CD,p}}$) beregnet efter nedenstående ligning for alle individuelle ladningsforbrugende prøvninger (Wh/km)
j	er indeksnummeret for den pågældende fase
k	er antallet af faser kørt frem til afslutningen af overgangscyklussen i henhold til punkt 3.2.4.4 i dette bilag

og

$$\mathbf{FC_{CD,\ avg,p}} = \frac{\sum_{c=1}^{n_c} (\mathbf{FC_{CD,p,c}} \times \mathbf{d_{p,c}})}{\sum_{c=1}^{n_c} \mathbf{d_{p,c}}}$$

hvor:

$\mathbf{FC_{CD,avg,p}}$	er brændstofforbruget i ladningsforbrugende driftstilstand i den pågældende fase p, kg/100 km.
$\mathbf{FC_{CD,p,c}}$	er brændstofforbruget bestemt efter punkt 3.2.1 i bilag B7 i den gældende fase p i cyklus c i den ladningsforbrugende type 1-prøvning, kg/100 km
$\mathbf{d_{p,c}}$	er den kørte distance i den betragtede periode p i cyklus c i den ladningsforbrugende type 1-prøvning (km)
c	er indeksnummeret for den pågældende gældende WLTP-prøvningscyklus

p er indekset for den individuelle fase i den gældende WLTP-prøvningscyklus,

n_c er antallet af gældende WLTP-prøvningscyklusser kørt indtil slutningen af overgangscyklussen n i henhold til punkt 3.2.4.4 i dette bilag.

samt:

$$\mathbf{EC_{DC,CD,p}} = \frac{\sum_{c=1}^{n_c} \mathbf{EC_{DC,CD,p,c}} \times \mathbf{d_{p,c}}}{\sum_{c=1}^{n_c} \mathbf{d_{p,c}}}$$

hvor:

$EC_{DC,CD,p}$ er det elektriske energiforbrug i den betragtede periode p, baseret på REESS-ladningsforbruget i den ladningsforbrugende type 1-prøvning (Wh/km).

$EC_{DC,CD,p,c}$ er det elektriske energiforbrug i den betragtede periode p i cyklus c baseret på REESS-ladningsforbruget i den ladningsforbrugende type 1-prøvning i henhold til punkt 4.3 i dette bilag (Wh/km).

$d_{p,c}$ er den kørte distance i den betragtede periode p i cyklus c i den ladningsforbrugende type 1-prøvning (km)

c er indeksnummeret for den pågældende gældende WLTP-prøvningscyklus

p er indekset for den individuelle fase i den gældende WLTP-prøvningscyklus,

n_c er antallet af gældende WLTP-prøvningscyklusser kørt indtil slutningen af overgangscyklussen n i henhold til punkt 3.2.4.4 i dette bilag.

Den pågældende fase skal være lav-fase, medium-fase, høj-fase, ekstra høj-fase og bykørselscyklus.

4.4.7. Faktisk ladningsforbrugende rækkevidde for OVC-HEV'er

Den faktiske ladningsforbrugende rækkevidde beregnes ved hjælp af følgende ligning:

For niveau 1A og niveau 2 (fase 4 WLTP-prøvning)

$$\mathbf{R_{CDA}} = \sum_{c=1}^{n-1} \mathbf{d_c} + \left(\frac{\mathbf{FC_{CS,declared}} - \mathbf{FC_{n,cycle}}}{\mathbf{FC_{CS,declared}} - \mathbf{FC_{CD,avg,\ n-1}}} \right) \times \mathbf{d_n}$$

For niveau 1B og niveau 2 (fase 3 WLTP-prøvning)

$$\mathbf{R_{CDA}} = \sum_{c=1}^{n-1} \mathbf{d_c} + \left(\frac{\frac{1}{\mathbf{FE_{CS,declared}}} - \frac{1}{\mathbf{FE_{n,cycle}}}}{\frac{1}{\mathbf{FE_{CS,declared}}} - \frac{1}{\mathbf{FE_{CD,avg,\ n-1}}}} \right) \times \mathbf{d_n}$$

hvor:

R_{CDA} er den faktiske ladningsforbrugende rækkevidde (km)

FC_{CS} er det angivne brændstofforbrug i ladningsbevarende driftstilstand ifølge tabel A8/7, trin nr. 5 (kg/100 km),

$\mathbf{FE_{CS}}$ er brændstofeffektiviteten i ladningsbevarende driftstilstand ifølge tabel A8/7, trin nr. 5 (km/kg)

$\mathbf{FC_{n,cycle}}$ er brændsstofforbruget i den gældende WLTP-prøvningscyklus n i den ladningsforbrugende type 1-prøvning, kg/100 km,

$\mathbf{FE_{n,cycle}}$ er brændstofeffektiviteten i den gældende WLTP-prøvningscyklus n i den ladningsforbrugende type 1-prøvning (km/kg)

$FC_{\mathbf{CD,avg,\ n-1}}$ er det aritmetiske gennemsnitlige brændstofforbrug i den ladningsforbrugende type 1-prøvning fra begyndelsen til og med den gældende WLTP-prøvningscyklus (n-1) (kg/100km)

$\mathbf{FE_{CD,avg,\ n-1}}$ er den aritmetiske gennemsnitlige brændstofeffektivitet i den ladningsforbrugende type 1-prøvning fra begyndelsen til og med den gældende WLTP-prøvningscyklus (n-1) (km/kg)

$\mathbf{d_c}$ er den kørte afstand i den gældende WLTP-prøvningscyklus c i den ladningsforbrugende type 1-prøvning (km)

$\mathbf{d_n}$ er den kørte afstand i den pågældende WLTP-prøvningscyklus n i den ladningsforbrugende type 1-prøvning (km)

c er indeksnummeret for den pågældende gældende WLTP-prøvningscyklus

n er antallet af gældende WLTP-prøvningscyklusser kørt til og med overgangscyklussen n i henhold til punkt 3.2.4.4 i dette bilag

og

$$\mathbf{FC_{CD,avg,\ n-1}} = \frac{\sum_{c=1}^{n-1}(\mathbf{FC_{CD,c}} \times \mathbf{d_c})}{\sum_{c=1}^{n-1}\mathbf{d_c}}$$

hvor

$\mathbf{FC_{CD,avg,\ n-1}}$ er det aritmetiske gennemsnitlige brændstofforbrug i den ladningsforbrugende type 1-prøvning fra begyndelsen til og med den gældende WLTP-prøvningscyklus (n-1) (kg/100km)

$\mathbf{FC_{CD,c}}$ er brændstofforbruget i den gældende WLTP-prøvningscyklus c i den ladningsforbrugende type 1-prøvning, kg/100 km

$\mathbf{d_c}$ er den kørte afstand i den gældende WLTP-prøvningscyklus c i den ladningsforbrugende type 1-prøvning (km)

c er indeksnummeret for den pågældende gældende WLTP-prøvningscyklus

n er antallet af gældende WLTP-prøvningscyklusser kørt til og med overgangscyklussen, jf. punkt 3.2.4.4 i dette bilag

$$\mathbf{FE_{CD,avg,n-1}} = \frac{\sum_{c=1}^{n-1}\mathbf{d_c}}{\sum_{c=1}^{n-1}\mathbf{d_c} \times \frac{1}{\mathbf{FE_{CD,c}}}}$$

$\mathbf{FE_{CD,avg,\ n-1}}$ er den aritmetiske gennemsnitlige brændstofeffektivitet i den ladningsforbrugende type 1-prøvning fra begyndelsen til og med den gældende WLTP-prøvningscyklus (n-1) (km/kg)

$\mathbf{FE_{CD,c}}$ er brændstofforbruget i den gældende WLTP-prøvningscyklus c i den ladningsforbrugende type 1-prøvning (km/kg)

$\mathbf{d_c}$ er den kørte afstand i den gældende WLTP-prøvningscyklus c i den ladningsforbrugende type 1-prøvning (km)

c er indeksnummeret for den pågældende gældende WLTP-prøvningscyklus

n er antallet af gældende WLTP-prøvningscyklusser kørt til og med overgangscyklussen, jf. punkt 3.2.4.4 i dette bilag

4.5. Interpolation af værdierne for det individuelle køretøj

4.5.1. Interpolationsinterval

4.5.1.1. Interpolationsinterval for NOVC-HEV'er og OVC-HEV'er

4.5.1.1.1. Interpolationsmetoden anvendes kun, hvis forskellen i CO_2-emissioner i ladningsbevarende driftstilstand i den gældende cyklus fra nedenstående tabel mellem prøvningskøretøj L og H er mellem et minimum på 5 g/km og et maksimum som defineret i punkt 4.5.1.1.2. i dette bilag.

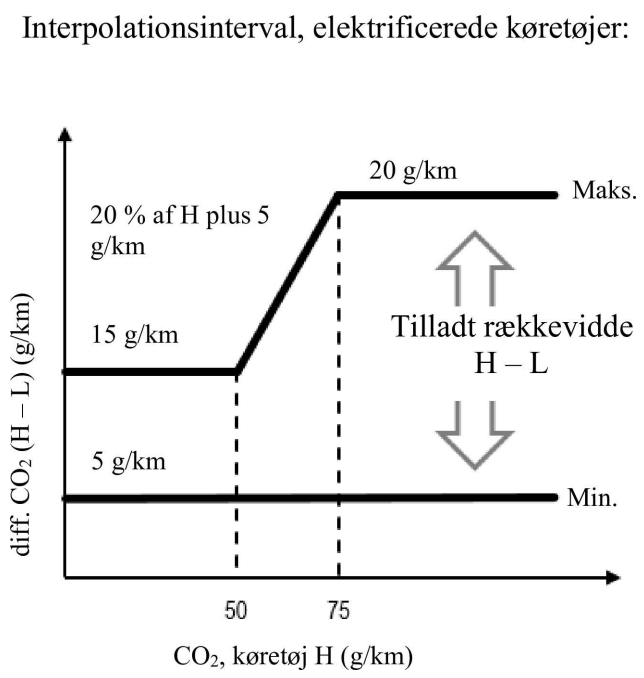
For niveau 1A og niveau 2 (fase 4 WLTP-prøvning)	For niveau 1B og niveau 2 (fase 3 WLTP-prøvning)
trin 8 i tabel A8/5 i bilag B8	trin 6 i tabel A8/5 i bilag B8

4.5.1.1.2. Den maksimale forskel i CO2-emissionen i ladningsbevarende driftstilstand, der er tilladt i den gældende cyklus, og som stammer fra beregningen af CO2-emissionen $M_{CO2,CS}$ i ladningsbevarende driftstilstand fra nedenstående tabel mellem prøvningskøretøj L og H, skal være 20 procent af CO2-emissionerne i ladningsbevarende driftstilstand fra køretøj H plus 5 g/km, dog mindst 15 g/km og maksimalt 20 g/km. Se figur A8/3. Denne begrænsning gælder ikke for anvendelse af en køremodstandsmatrixfamilie, eller når beregningen af køremodstanden for køretøj L og H er baseret på default-indstillingerne for køremodstand.

For niveau 1A og niveau 2 (fase 4 WLTP-prøvning)	For niveau 1B og niveau 2 (fase 3 WLTP-prøvning)
trin 8 i tabel A8/5 i bilag B8	trin 6 i tabel A8/5 i bilag B8

Figur A8/3

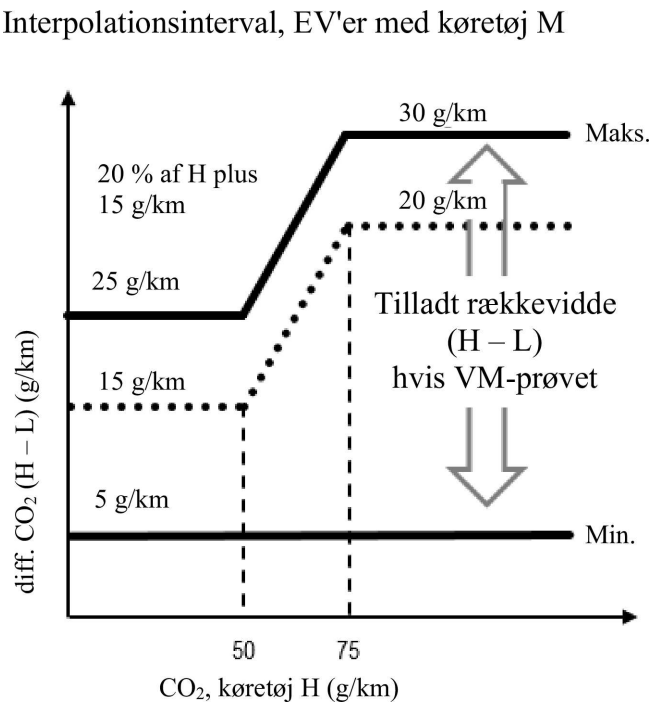
Interpolationsinterval mellem køretøj H og køretøj L anvendt på elektriske køretøjer



4.5.1.1.3. Det tilladte interpolationsinterval, der er defineret i punkt 4.5.1.1.2 i dette bilag, kan øges med 10 g/km CO_2 i ladningsbevarende driftstilstand, hvis et køretøj M prøves inden for denne familie, og betingelserne i punkt 4.5.1.1.5 i dette bilag er opfyldt. Denne forøgelse er kun tilladt én gang i en interpolationsfamilie. Se figur A8/4.

Figur A8/4

Interpolationsinterval for EV'er med køretøj M



4.5.1.1.4. Efter anmodning fra fabrikanten og med godkendelse fra den kompetente myndighed kan anvendelsen af interpolationsmetoden på individuelle køretøjsværdier inden for en familie forlænges, hvis den maksimale ekstrapolation for et individuelt køretøj fra nedenstående tabel ikke er mere end 3 g/km over den ladningsbevarende CO_2-emission fra køretøj H (fra nedenstående tabel) og/eller ikke er mere end 3 g/km under den ladningsbevarende CO_2-emission fra køretøj L (fra nedenstående tabel). Denne ekstrapolering gælder kun inden for de absolutte grænser for interpolationsinterval, der er anført i dette punkt.

Ved anvendelse af en køremodstandsmatrixfamilie, eller når beregningen af køremodstanden for køretøj L og H er baseret på default-indstillingerne for køremodstand, er ekstrapolering ikke tilladt.

	Niveau 1A og niveau 2	For niveau 1B
et individuelt køretøj	trin 9 i tabel A8/5 i dette bilag	punkt 4.5.4.1 i dette bilag
køretøj H og køretøj L	trin 8 i tabel A8/5 i dette bilag	trin 6 i tabel A8/5 i dette bilag

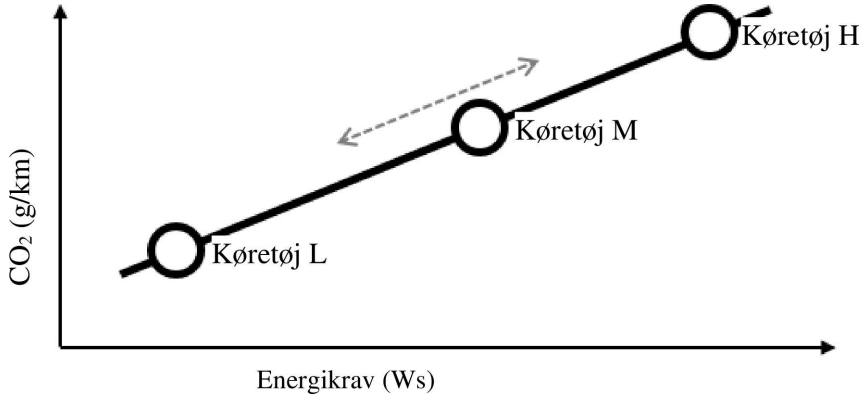
4.5.1.1.5. Køretøj M

M er et køretøj inden for interpolationsfamilien mellem køretøj L og H med et cyklusenergikrav, der helst skal ligge tættest på gennemsnittet for køretøj L og H.

Grænserne for valg af køretøj M (se figur A8/5) er således, at hverken forskellen i CO_2-emissionen mellem køretøj H og M eller forskellen i CO_2-emissionen i ladningsbevarende driftstilstand mellem køretøj M og L er højere end det tilladte CO_2-interval i ladningsbevarende driftstilstand i henhold til punkt 4.5.1.1.2 i dette bilag. De definerede køremodstandskoefficienter og den definerede prøvningsmasse registreres.

Figur A8/5

Grænser for valg af køretøj M



For niveau 1A og niveau 2 (fase 4 WLTP-prøvning)

Lineariteten af den korrigerede målte og gennemsnitsberegnede CO_2-emission i ladningsbevarende driftstilstand for køretøj M, $M_{CO2,c,6,M}$, efter trin 6 i tabel A8/5 i bilag B8 skal sammenholdes med den lineært interpolerede CO_2-emission mellem køretøj L og H i ladningsbevarende driftstilstand i den gældende cyklus ved hjælp af den korrigerede målte og gennemsnitsberegnede CO_2-emission i ladningsbevarende driftstilstand for køretøj H, $M_{CO2,c,6,H}$ og køretøj L, $M_{CO2,c,6,L}$, efter trin 6 i tabel A8/5 i bilag B8 for den lineære interpolerede CO_2-emission.

For niveau 1B og niveau 2 (fase 3 WLTP-prøvning)

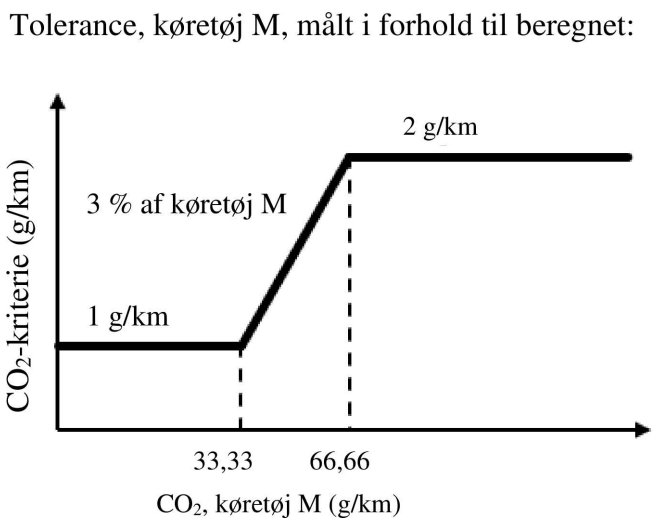
Det er nødvendigt med en yderligere gennemsnitsberegning af prøvning ved hjælp af CO_2-output i ladningsbevarende driftstilstand i trin 4a (ikke beskrevet i tabel A8/5). Lineariteten af den korrigerede målte og gennemsnitsberegnede CO_2-emission i ladningsbevarende driftstilstand for køretøj M, $M_{CO2,c,4a,M}$, efter trin 4a i tabel A8/5 i bilag B8 skal sammenholdes med den lineært interpolerede CO_2-emission mellem køretøj L og H i den gældende cyklus ved hjælp af den korrigerede målte og gennemsnitsberegnede CO_2-emission i ladningsbevarende driftstilstand for køretøj H, $M_{CO2,c,4a,H}$ og køretøj L, $M_{CO2,c,4a,L}$, efter trin 4a i tabel A8/5 i bilag B8 for den lineære interpolerede CO_2-emission.

For niveau 1A, niveau 1B og niveau 2 (fase 3 og fase 4 WLTP-prøvning)

Linearitetskriteriet for køretøj M anses for opfyldt, hvis CO_2-emissionen i ladningsbevarende driftstilstand for køretøj M gennem den gældende WLTC minus CO_2-emissionen i ladningsbevarende driftstilstand udledt ved interpolation er mindre end 2 g/km eller 3 % af den interpolerede værdi, alt efter hvilken værdi der er lavest, dog mindst 1 g/km. Se figur A8/6.

Figur A8/6

Linearitetskriterium for køretøj M



Hvis linearitetskriteriet er opfyldt, kan interpolationsmetoden anvendes på alle individuelle køretøjers værdier mellem køretøjerne L og H inden for interpolationsfamilien.

Hvis linearitetskriteriet ikke er opfyldt, skal interpolationsfamilien opdeles i to underfamilier for køretøjer med et cyklusenergikrav mellem cyklusenergikravene for køretøjerne L og M, og køretøjer med et cyklusenergikrav mellem cyklusenergikravene for køretøjerne M og H. I så fald bestemmes de endelige værdier for f.eks. CO_2-emissioner i ladningsbevarende driftstilstand for køretøj M efter samme proces som for køretøjerne L eller H. Se tabel A8/5, tabel A8/6, tabel A8/8 og tabel A8/9.

For køretøjer med et cyklusenergikrav mellem cyklusenergikravene for køretøjerne L og M skal hver parameter for køretøj H, som er nødvendig for anvendelsen af interpolationsmetoden på individuelle OVC-HEV- og NOVC-HEV-værdier, erstattes af den tilsvarende parameter for køretøj M.

For køretøjer med et cyklusenergikrav mellem cyklusenergikravene for køretøjerne M og H skal hver parameter for køretøj L, som er nødvendig for anvendelsen af interpolationsmetoden på individuelle OVC-HEV- og NOVC-HEV-værdier, erstattes af den tilsvarende parameter for køretøj M.

4.5.2. Beregning af energikrav pr. periode

4.5.2.1. Beregning af cyklusenergikravet (CED) pr. periode

Energikravet $\mathbf{E_{k,\,p}}$ og den kørte afstand $\mathbf{d_{c,\,p}}$ pr. periode p, der er gældende for individuelle køretøjer i interpolationsfamilien, beregnes efter fremgangsmåden i punkt 5 i bilag B7, for sæt k af køremodstandskoefficienter og masser i henhold til punkt 3.2.3.2.3 i bilag B7.

4.5.2.2. Beregning af REESS-cyklusenergikravet (CED_{REESS}) pr. periode for PEV'er

Energikravet $\mathbf{E_{k,\,p}}$ og den kørte afstand $\mathbf{d_{c,\,p}}$ pr. periode p, der er gældende for beregningen af det elektriske energiforbrug og rent elektrisk rækkevidde for individuelle køretøjer i interpolationsfamilien, beregnes efter fremgangsmåden i tillæg 9 i bilag B8.

4.5.3. Beregning af interpolationskoefficienten

4.5.3.1. Beregning af interpolationskoefficienten for individuelle køretøjer $\mathbf{K_{ind,p}}$ for OVC-HEV'er og OVC-FCHV'er

Interpolationskoefficienten $\mathbf{K_{ind,p}}$ for hver periode beregnes for hver pågældende periode p ved hjælp af følgende ligning:

$$\mathbf{K_{ind,p}} = \frac{\mathbf{E_{3,p}} - \mathbf{E_{1,p}}}{\mathbf{E_{2,p}} - \mathbf{E_{1,p}}}$$

hvor:

$\mathbf{K_{ind,p}}$	er interpolationskoefficienten for det pågældende individuelle køretøj for perioden p
$\mathbf{E_{1,p}}$	er energikravet for den pågældende periode for køretøj L i henhold til punkt 5 i bilag B7 (Ws)
$\mathbf{E_{2,p}}$	er energikravet for den pågældende periode for køretøj H i henhold til punkt 5 i bilag B7 (Ws)
$\mathbf{E_{3,p}}$	er energikravet for den pågældende periode for det individuelle køretøj henhold til punkt 5 i bilag B7 (Ws)
p	er indekset for den individuelle periode i den gældende prøvningscyklus.

I tilfælde af at den pågældende periode p er den gældende WLTP-prøvningscyklus, betegnes $\mathbf{K_{ind,p}}$ som $\mathbf{K_{ind}}$.

4.5.3.2. Beregning af interpolationskoefficient for individuelle køretøjer $\mathbf{K_{ind,p}}$ for PEV'er

Interpolationskoefficienten $\mathbf{K_{ind,p}}$ for hver periode beregnes for hver pågældende periode p ved hjælp af følgende ligning:

$$\mathbf{K_{ind,p}} = \frac{\mathbf{E_{3,p}} - \mathbf{E_{1,p}}}{\mathbf{E_{2,p}} - \mathbf{E_{1,p}}}$$

hvor:

$\mathbf{K_{ind,p}}$	er interpolationskoefficienten for det pågældende individuelle køretøj for perioden p
$\mathbf{E_{1,p}}$	er energikravet for den pågældende periode for køretøj L i henhold til tillæg 9 i bilag B8 (Ws)
$\mathbf{E_{2,p}}$	er energikravet for den pågældende periode for køretøj H i henhold til tillæg 9 i bilag B8 (Ws)
$\mathbf{E_{3,p}}$	er energikravet for den pågældende periode for det individuelle køretøj henhold til tillæg 9 i bilag B8 (Ws)
p	er indekset for den individuelle periode i den gældende prøvningscyklus.

I tilfælde af at den pågældende periode p er den gældende WLTP-prøvningscyklus, betegnes $\mathbf{K_{ind,p}}$ som $\mathbf{K_{ind}}$.

4.5.4. Interpolation af CO_2-emissionen fra individuelle køretøjer

4.5.4.1. Individuel CO_2-emission i ladningsbevarende driftstilstand for OVC-HEV'er og NOVC-HEV'er

Niveau 1A og niveau 2:

CO_2-emissionen i ladningsbevarende driftstilstand for et individuelt køretøj beregnes ved hjælp af følgende ligning:

$$\mathbf{M_{CO2-ind,CS,p}} = \mathbf{M_{CO2-L,CS,p}} + \mathbf{K_{ind,p}} \times (\mathbf{M_{CO2-H,CS,p}} - \mathbf{M_{CO2-L,CS,p}})$$

hvor:

$\mathbf{M_{CO2-ind,CS,p}}$ er den ladningsbevarende CO_2-emission for et individuelt køretøj i den pågældende periode p i henhold til tabel A8/5, trin nr. 9 (g/km)

$\mathbf{M_{CO2-L,CS,p}}$ er den ladningsbevarende CO_2-emission for køretøj L i den pågældende periode p i henhold til tabel A8/5, trin nr. 8 (g/km)

$\mathbf{M_{CO2-H,CS,p}}$ er den ladningsbevarende CO_2-emission for køretøj H i den pågældende periode p i henhold til tabel A8/5, trin nr. 8 (g/km)

$\mathbf{K_{ind,p}}$ er interpolationskoefficienten for det pågældende individuelle køretøj for perioden p

p er indekset for den individuelle periode i den gældende WLTP-prøvningscyklus.

De betragtede perioder skal være lav-fase, medium-fase, høj-fase, ekstra høj-fase og gældende WLTP-prøvningscyklus.

For niveau 1B:

CO_2-emissionen i ladningsbevarende driftstilstand for et individuelt køretøj beregnes ved hjælp af følgende ligning:

Denne beregning anvendes kun til verifikation af det ekstrapoleringskriterie, der er defineret i punkt 4.5.1.1.4 i dette bilag.

$$\mathbf{M_{CO2-ind,CS}} = \mathbf{M_{CO2-L,CS}} + \mathbf{K_{ind}} \times (\mathbf{M_{CO2-H,CS}} - \mathbf{M_{CO2-L,CS}})$$

hvor:

$\mathbf{M_{CO2-ind,CS}}$ er den ladningsbevarende CO_2-emission fra et individuelt køretøj

$\mathbf{M_{CO2-L,CS}}$ er CO_2-emissionen i ladningsbevarende driftstilstand for køretøj L fra tabel A8/5, trin nr. 6 (g/km)

$\mathbf{M_{CO2-H,CS}}$ er CO_2-emissionen i ladningsbevarende driftstilstand for køretøj H fra tabel A8/5, trin nr. 6 (g/km)

$\mathbf{K_{ind}}$ er interpolationskoefficienten for det pågældende individuelle køretøj

4.5.4.2. Dette punkt finder kun anvendelse på niveau 1A og niveau 2

CO_2-emissionen fra OVC-HEV'er i ladningsforbrugende driftstilstand, vægtet for individuelle nytteværdifaktorer

CO_2-emissionen i ladningsforbrugende driftstilstand for et individuelt køretøj, vægtet for nytteværdifaktorer, beregnes ved hjælp af følgende ligning:

$$\mathbf{M_{CO2-ind,CD}} = \mathbf{M_{CO2-L,CD}} + \mathbf{K_{ind}} \times (\mathbf{M_{CO2-H,CD}} - \mathbf{M_{CO2-L,CD}})$$

hvor:

$\mathbf{M_{CO2-ind,CD}}$ er CO_2-emissionen i ladningsforbrugende driftstilstand for et individuelt køretøj, vægtet for nytteværdifaktorer (g/km)

$\mathbf{M_{CO2-L,CD}}$ er CO_2-emissionen i ladningsforbrugende driftstilstand for køretøj L, vægtet for nytteværdifaktorer (g/km)

$\mathbf{M_{CO2-H,CD}}$ er CO_2-emissionen i ladningsforbrugende driftstilstand for køretøj L, vægtet for nytteværdifaktorer (g/km)

$\mathbf{K_{ind}}$ er interpolationskoefficienten for det pågældende individuelle køretøj for den gældende WLTP-prøvningscyklus

4.5.4.3. Dette punkt finder kun anvendelse på niveau 1A og niveau 2

CO_2-emissionen fra OVC-HEV'er, vægtet for individuelle nytteværdifaktorer

CO_2-emissionen fra et individuelt køretøj, vægtet for nytteværdifaktorer, beregnes ved hjælp af følgende ligning:

$$\mathbf{M_{CO2-ind,weighted}} = \mathbf{M_{CO2-L,weighted}} + \mathbf{K_{ind}} \times (\mathbf{M_{CO2-H,weighted}} - \mathbf{M_{CO2-L,weighted}})$$

hvor:

$\mathbf{M_{CO2-ind,weighted}}$	er CO_2-emissionen fra et individuelt køretøj, vægtet for nytteværdifaktorer (g/km)
$\mathbf{M_{CO2-L,weighted}}$	er CO_2-emissionen for køretøj L, vægtet for nytteværdifaktorer (g/km)
$\mathbf{M_{CO2-H,weighted}}$	er CO_2-emissionen for køretøj H, vægtet for nytteværdifaktorer (g/km)
$\mathbf{K_{ind}}$	er interpolationskoefficienten for det pågældende individuelle køretøj for den gældende WLTP-prøvningscyklus

4.5.5. Interpolation af brændstofforbruget og brændstofeffektiviteten for individuelle køretøjer

4.5.5.1. Det individuelle brændstofforbrug og den individuelle brændstofeffektivitet for OVC-HEV'er, NOVC-HEV'er, NOVC-FCHV'er og OVC-FCHV'er i ladningsbevarende driftstilstand

4.5.5.1.1. Dette punkt finder kun anvendelse på niveau 1A og niveau 2 (fase 4 WLTP-prøvning)

Individuelt brændstofforbrug i ladningsbevarende driftstilstand for OVC-HEV'er og NOVC-HEV'er

Brændstofforbruget i ladningsbevarende driftstilstand for et individuelt køretøj beregnes ved hjælp af følgende ligning:

$$\mathbf{FC_{ind,CS,p}} = \mathbf{FC_{L,CS,p}} + \mathbf{K_{ind,p}} \times (\mathbf{FC_{H,CS,p}} - \mathbf{FC_{L,CS,p}})$$

hvor:

$\mathbf{FC_{ind,CS,p}}$	er brændstofforbruget i ladningsbevarende driftstilstand for et individuelt køretøj i den pågældende periode p i henhold til tabel A8/6, trin nr. 3 (l/100 km)
$\mathbf{FC_{L,CS,p}}$	er brændstofforbruget i ladningsbevarende driftstilstand for køretøj L i den pågældende periode p i henhold til tabel A8/6, trin nr. 2 (l/100 km)
$\mathbf{FC_{H,CS,p}}$	er brændstofforbruget i ladningsbevarende driftstilstand for køretøj H i den pågældende periode p i henhold til tabel A8/6, trin nr. 2 (l/100 km)
$\mathbf{K_{ind,\ p}}$	er interpolationskoefficienten for det pågældende individuelle køretøj for perioden p
p	er indekset for den individuelle periode i den gældende WLTP-prøvningscyklus.

De betragtede perioder skal være lav-fase, medium-fase, høj-fase, ekstra høj-fase og gældende WLTP-prøvningscyklus.

4.5.5.1.2. Dette punkt finder kun anvendelse på niveau 1B og niveau 2 (fase 3 WLTP-prøvning)

Individuel brændstofeffektivitet i ladningsbevarende driftstilstand for OVC-HEV'er og NOVC-HEV'er

Brændstofeffektiviteten i ladningsbevarende driftstilstand for et individuelt køretøj beregnes ved hjælp af følgende ligning:

$$\mathbf{FE_{ind,CS,p}} = \frac{\mathbf{1}}{\mathbf{1/FE_{L,CS,p}} + \mathbf{K_{ind,p}} \times (\mathbf{1/FE_{H,CS,p}} - \mathbf{1/FE_{L,CS,p}})}$$

hvor:

$\mathbf{FE_{ind,CS,p}}$	er det ladningsbevarende brændstofforbrug for et individuelt køretøj i den pågældende periode p i henhold til tabel A8/6, trin nr. 3 (l km)
$\mathbf{FE_{L,CS,p}}$	er det ladningsbevarende brændstofforbrug for køretøj L i den pågældende periode p i henhold til tabel A8/6, trin nr. 2 (l km)
$\mathbf{FE_{H,CS,p}}$	er det ladningsbevarende brændstofforbrug for køretøj H i den pågældende periode p i henhold til tabel A8/6, trin nr. 2 (l km)
$\mathbf{K_{ind,\ p}}$	er interpolationskoefficienten for det pågældende individuelle køretøj for perioden p
p	er indekset for den individuelle periode i den gældende WLTP-prøvningscyklus.

De betragtede perioder skal være lav-fase, medium-fase, høj-fase, ekstra høj-fase og gældende WLTP-prøvningscyklus.

4.5.5.1.3. Dette punkt finder kun anvendelse på OVC-FCHV'er og NOVC-FCHV'er på niveau 1A og niveau 2 (fase 4 WLTP-prøvning)

Individuelt brændstofforbrug i ladningsbevarende driftstilstand for OVC-FCHV'er og NOVC-FCHV'er

Brændstofforbruget i ladningsbevarende driftstilstand for et individuelt køretøj beregnes ved hjælp af følgende ligning:

$$\mathbf{FC_{ind,CS,p}} = \mathbf{FC_{L,CS,p}} + \mathbf{K_{ind,p}} \times (\mathbf{FC_{H,CS,p}} - \mathbf{FC_{L,CS,p}})$$

hvor:

$\mathbf{FC_{ind,CS,p}}$	er det ladningsbevarende brændstofforbrug for et individuelt køretøj i den pågældende periode p i henhold til tabel A8/7, trin nr. 6 (kg/100 km)
$\mathbf{FC_{L,CS,p}}$	er det ladningsbevarende brændstofforbrug for køretøj L i den pågældende periode p i henhold til tabel A8/7, trin nr. 5 (kg/100 km)
$\mathbf{FC_{H,CS,p}}$	er det ladningsbevarende brændstofforbrug for køretøj H i den pågældende periode p i henhold til tabel A8/7, trin nr. 5 (kg/100 km)
$\mathbf{K_{ind,\ p}}$	er interpolationskoefficienten for det pågældende individuelle køretøj for perioden p
p	er indekset for den individuelle periode i den gældende WLTP-prøvningscyklus.

De betragtede perioder skal være lav-fase, medium-fase, høj-fase, ekstra høj-fase og gældende WLTP-prøvningscyklus.

4.5.5.1.4. Dette punkt finder kun anvendelse på OVC-FCHV'er og NOVC-FCHV'er på niveau 1B og niveau 2 (fase 3 WLTP-prøvning)

Individuel brændstofeffektivitet i ladningsbevarende driftstilstand for OVC-FCHV'er og NOVC-FCHV'er

Brændstofeffektiviteten i ladningsbevarende driftstilstand for et individuelt køretøj beregnes ved hjælp af følgende ligning:

$$FE_{ind,CS,p} = 1/FE_{L,CS,p} + K_{ind,p} \times (1/FE_{H,CS,p} - 1/FE_{L,CS,p})$$

hvor:

$FE_{ind,CS,p}$	er den ladningsbevarende brændstofeffektivitet for et individuelt køretøj i den pågældende periode p i henhold til tabel A8/7, trin nr. 6 (km/kg)
$FE_{L,CS,p}$	er den ladningsbevarende brændstofeffektivitet for køretøj L i den pågældende periode p i henhold til tabel A8/7, trin nr. 5 (km/kg)

$FE_{H,CS,p}$ er den ladningsbevarende brændstofeffektivitet for køretøj H i den pågældende periode p i henhold til tabel A8/7, trin nr. 5 (km/kg)

$K_{ind,p}$ er interpolationskoefficienten for det pågældende individuelle køretøj for perioden p

P er indekset for den individuelle periode i den gældende WLTP-prøvningscyklus.

De betragtede perioder skal være lav-fase, medium-fase, høj-fase, ekstra høj-fase og gældende WLTP-prøvningscyklus.

4.5.5.2. Individuelt brændstofforbrug i ladningsforbrugende driftstilstand for OVC-HEV'er og OVC-FCHV'er og individuel brændstofeffektivitet i ladningsforbrugende driftstilstand for OVC-HEV'er

For niveau 1A og niveau 2 (fase 4 WLTP-prøvning)

Brændstofforbrug for et individuelt køretøj, vægtet for nytteværdifaktor, beregnes ved hjælp af følgende ligning:

$$\mathbf{FC_{ind,CD}} = \mathbf{FC_{L,CD}} + \mathbf{K_{ind}} \times (\mathbf{FC_{H,CD}} - \mathbf{FC_{L,CD}})$$

hvor:

$FC_{ind,CD}$ brændstofforbruget i ladningsforbrugende driftstilstand for et individuelt køretøj, vægtet for nytteværdifaktorer, l/100 km for OVC-HEV'er og kg/100 km for OVC-HEV'er

$FC_{L,CD}$ brændstofforbruget i ladningsforbrugende driftstilstand for køretøj L, vægtet for nytteværdifaktorer, l/100 km for OVC-HEV'er og kg/100 km for OVC-HEV'er

$FC_{H,CD}$ brændstofforbruget i ladningsforbrugende driftstilstand for køretøj H, vægtet for nytteværdifaktorer, l/100 km for OVC-HEV'er og kg/100 km for OVC-HEV'er

K_{ind} er interpolationskoefficienten for det pågældende individuelle køretøj for den gældende WLTP-prøvningscyklus

For niveau 1B og niveau 2 (fase 3 WLTP-prøvning)

Brændstofeffektiviteten i ladningsforbrugende driftstilstand for et individuelt køretøj beregnes ved hjælp af følgende ligning:

$$\mathbf{FE_{ind,CD}} = \frac{\mathbf{1}}{\mathbf{1/FE_{L,CD}} + \mathbf{K_{ind,p}} \times (\mathbf{1/FE_{H,CD}} - \mathbf{1/FE_{L,CD}})}$$

hvor:

$FE_{ind,CD}$ er brændstofeffektiviteten for et individuelt køretøj i ladningsforbrugende driftstilstand (km/l for OVC-HEV'er og kg/100 km for OVC-FCHV'er)

$FE_{L,CD}$ er brændstofeffektiviteten for køretøj L i ladningsforbrugende driftstilstand (km/l for OVC-HEV'er og kg/100 km for OVC-FCHV'er)

$FE_{H,CD}$ er brændstofeffektiviteten for køretøj H i ladningsforbrugende driftstilstand (km/l for OVC-HEV'er og kg/100 km for OVC-FCHV'er)

K_{ind} er interpolationskoefficienten for det pågældende individuelle køretøj for den gældende WLTP-prøvningscyklus

4.5.5.3. Dette punkt finder kun anvendelse på niveau 1A og niveau 2 (fase 4 WLTP-prøvning)

Individuelt brændstofforbrug for OVC-HEV'er og OVC-FCHV'er, vægtet for nytteværdifaktor

Brændstofforbruget for et individuelt køretøj, vægtet for nytteværdifaktor, beregnes ved hjælp af følgende ligning:

$$\mathbf{FC_{ind,weighted}} = \mathbf{FC_{L,weighted}} + \mathbf{K_{ind}} \times (\mathbf{FC_{H,weighted}} - \mathbf{FC_{L,weighted}})$$

hvor:

$\mathbf{FC_{ind,weighted}}$	brændstofforbruget for et individuelt køretøj, vægtet for nytteværdifaktorer, l/100 km for OVC-HEV'er og kg/100 km for OVC-FCHV'er
$\mathbf{FC_{L,weighted}}$	brændstofforbruget for køretøj L, vægtet for nytteværdifaktorer, l/100 km for OVC-HEV'er og kg/100 km for OVC-FCHV'er
$\mathbf{FC_{H,weighted}}$	brændstofforbruget for køretøj H, vægtet for nytteværdifaktorer, l/100 km for OVC-HEV'er og kg/100 km for OVC-FCHV'er
$\mathbf{K_{ind}}$	er interpolationskoefficienten for det pågældende individuelle køretøj for den gældende WLTP-prøvningscyklus

4.5.6. Interpolation af det elektriske energiforbrug for individuelle køretøjer

4.5.6.1. Dette punkt finder kun anvendelse på niveau 1A og niveau 2 (fase 4 WLTP-prøvning)

Det elektriske energiforbrug i ladningsforbrugende driftstilstand, vægtet med individuel nytteværdifaktor, på basis af den ved opladning tilførte elektriske energi fra lysnettet til OVC-HEV'er og OVC-FCHV'er.

Det elektriske energiforbrug for et individuelt køretøj i ladningsforbrugende driftstilstand, vægtet for nytteværdifaktor, på basis af den ved opladning tilførte elektriske energi fra lysnettet, beregnes efter følgende ligning:

$$\mathbf{EC_{AC-ind,CD}} = \mathbf{EC_{AC-L,CD}} + \mathbf{K_{ind}} \times (\mathbf{EC_{AC-H,CD}} - \mathbf{EC_{AC-L,CD}})$$

hvor:

$\mathbf{EC_{AC-ind,CD}}$	er det elektriske energiforbrug i ladningsforbrugende driftstilstand for et individuelt køretøj, vægtet for nytteværdifaktorer, på basis af den ved opladning tilførte elektriske energi fra lysnettet (Wh/km)
$\mathbf{EC_{AC-L,CD}}$	er det elektriske energiforbrug i ladningsforbrugende driftstilstand for køretøj L, vægtet for nytteværdifaktorer, på basis af den ved opladning tilførte elektriske energi fra lysnettet (Wh/km)
$\mathbf{EC_{AC-H,CD}}$	er det elektriske energiforbrug i ladningsforbrugende driftstilstand for køretøj H, vægtet for nytteværdifaktorer, på basis af den ved opladning tilførte elektriske energi fra lysnettet (Wh/km)
$\mathbf{K_{ind}}$	er interpolationskoefficienten for det pågældende individuelle køretøj for den gældende WLTP-prøvningscyklus

4.5.6.2. Dette punkt finder kun anvendelse på niveau 1A og niveau 2 (fase 4 WLTP-prøvning)

Det elektriske energiforbrug, vægtet for individuelle nytteværdifaktorer, på basis af den ved opladning tilførte elektriske energi fra lysnettet til OVC-HEV'er og OVC-FCHV'er.

Det elektriske energiforbrug for et individuelt køretøj, vægtet for nytteværdifaktor, på basis af den ved opladning tilførte elektriske energi fra lysnettet, beregnes efter følgende ligning:

$$\mathbf{EC_{AC-ind,weighted}} = \mathbf{EC_{AC-L,weighted}} + \mathbf{K_{ind}} \times (\mathbf{EC_{AC-H,weighted}} - \mathbf{EC_{AC-L,weighted}})$$

hvor:

$\mathbf{EC_{AC-ind,weighted}}$	er det elektriske energiforbrug for et individuelt køretøj, vægtet for nytteværdifaktorer, på basis af den ved opladning tilførte elektriske energi fra lysnettet (Wh/km)
$\mathbf{EC_{AC-L,weighted}}$	er det elektriske energiforbrug for køretøj L, vægtet for nytteværdifaktorer, på basis af den ved opladning tilførte elektriske energi fra lysnettet (Wh/km)
$\mathbf{EC_{AC-H,weighted}}$	er det elektriske energiforbrug for køretøj H, vægtet for nytteværdifaktorer, på basis af den ved opladning tilførte elektriske energi fra lysnettet (Wh/km)
$\mathbf{K_{ind}}$	er interpolationskoefficienten for det pågældende individuelle køretøj for den gældende WLTP-prøvningscyklus

4.5.6.3. Individuelt elektrisk energiforbrug for OVC-HEV'er, OVC-FCHV'er og PEV'er

Det elektriske energiforbrug for et individuelt køretøj i henhold til punkt 4.3.3 i dette bilag for OVC-HEV'er og i henhold til punkt 4.3.4 i dette bilag for PEV'er beregnes ved hjælp af følgende ligning:

$$\mathbf{EC_{ind,p}} = \mathbf{EC_{L,p}} + \mathbf{K_{ind,p}} \times (\mathbf{EC_{H,p}} - \mathbf{EC_{L,p}})$$

hvor:

$\mathbf{EC_{ind,p}}$	er det elektriske energiforbrug for et individuelt køretøj i den pågældende periode p (Wh/km)
$\mathbf{EC_{L,p}}$	er det elektriske energiforbrug for køretøj L i den pågældende periode p (Wh/km)
$\mathbf{EC_{H,p}}$	er det elektriske energiforbrug for køretøj H i den pågældende periode p (Wh/km)
$\mathbf{K_{ind,p}}$	er interpolationskoefficienten for det pågældende individuelle køretøj for perioden p
p	er indekset for den individuelle periode i den gældende prøvningscyklus.

For niveau 1A og niveau 2 (fase 4 WLTP-prøvning):

De betragtede perioder skal være lav-fase, medium-fase, høj-fase, ekstra høj-fase, den gældende WLTP-prøvningscyklus (bykørsel) og den gældende WLTP-prøvningscyklus.

For niveau 1B og niveau 2 (fase 3 WLTP-prøvning):

De betragtede perioder skal være lav-fase, medium-fase, høj-fase, ekstra høj-fase og gældende WLTP-prøvningscyklus.

4.5.7. Interpolation af elektriske intervaller for individuelle køretøjer

4.5.7.1. Individuel fuldt elektrisk rækkevidde for OVC-HEV'er og OVC-FCHV'er

Hvis følgende kriterium:

$$\left| \frac{\mathbf{AER_L}}{\mathbf{R_{CDA,L}}} - \frac{\mathbf{AER_H}}{\mathbf{R_{CDA,H}}} \right| \leq \mathbf{0.1}$$

hvor:

$\mathbf{AER_L}$	er den fuldt elektriske rækkevidde for køretøj L for den gældende WLTP-prøvningscyklus (km)
$\mathbf{AER_H}$	er den fuldt elektriske rækkevidde for køretøj H for den gældende WLTP-prøvningscyklus (km)
$\mathbf{R_{CDA,L}}$	er den faktiske ladningsforbrugende rækkevidde for køretøj L (km)
$\mathbf{R_{CDA,H}}$	er den faktiske ladningsforbrugende rækkevidde for køretøj H (km)

er opfyldt - den fuldt elektriske rækkevidde for et individuelt køretøj beregnes ved hjælp af følgende ligning:

$$\mathbf{AER_{ind,p}} = \mathbf{AER_{L,p}} + \mathbf{K_{ind,p}} \times (\mathbf{AER_{H,p}} - \mathbf{AER_{L,p}})$$

hvor:

$\mathbf{AER_{ind,p}}$	er den fuldt elektriske rækkevidde for et individuelt køretøj for den pågældende periode p (km)
$\mathbf{AER_{L,p}}$	er den fuldt elektriske rækkevidde for køretøj L for den pågældende periode p (km)
$\mathbf{AER_{H,p}}$	er den fuldt elektriske rækkevidde for køretøj H for den pågældende periode p (km)
$\mathbf{K_{ind,p}}$	er interpolationskoefficienten for det pågældende individuelle køretøj for perioden p
p	er indekset for den individuelle periode i den gældende prøvningscyklus.

Hvis kriterierne i dette punkt ikke er opfyldt, gælder AER som fastsat for køretøj H for alle køretøjer inden for interpolationsfamilien.

For niveau 1A og niveau 2 (fase 4 WLTP-prøvning):

De pågældende perioder skal være den gældende WLTP-prøvningscyklus (bykørsel) og den gældende WLTP-prøvningscyklus.

For niveau 1B og niveau 2 (fase 3 WLTP-prøvning):

De betragtede perioder skal være den gældende WLTP-prøvningscyklus.

4.5.7.2. Individuel rent elektrisk rækkevidde for PEV'er

Den rent elektriske rækkevidde for et individuelt køretøj beregnes ved hjælp af følgende ligning:

$$\mathbf{PER_{ind,p}} = \frac{1}{\left(\frac{1}{\mathbf{PER_{L,p}}} + \mathbf{K_{ind,p}} \times \left(\frac{1}{\mathbf{PER_{H,p}}} - \frac{1}{\mathbf{PER_{L,p}}}\right)\right)}$$

hvor:

$\mathbf{PER_{ind,p}}$	er den rent elektriske rækkevidde for et individuelt køretøj for den pågældende periode p (km)
$\mathbf{PER_{L,p}}$	er den rent elektriske rækkevidde for køretøj L for den pågældende periode p (km)
$\mathbf{PER_{H,p}}$	er den rent elektriske rækkevidde for køretøj H for den pågældende periode p (km)
$\mathbf{K_{ind,p}}$	er interpolationskoefficienten for det pågældende individuelle køretøj for perioden p
p	er indekset for den individuelle periode i den gældende prøvningscyklus.

For niveau 1A og niveau 2 (fase 4 WLTP-prøvning):

De betragtede perioder skal være lav-fase, medium-fase, høj-fase, ekstra høj-fase, den gældende WLTP-prøvningscyklus (bykørsel) og den gældende WLTP-prøvningscyklus.

For niveau 1B og niveau 2 (fase 3 WLTP-prøvning):

De betragtede perioder skal være den gældende WLTP-prøvningscyklus.

4.5.7.3. Individuel ækvivalent fuldt elektrisk rækkevidde for OVC-HEV'er

Den ækvivalente fuldt elektriske rækkevidde for et individuelt køretøj beregnes ved hjælp af følgende ligning:

$$\mathbf{EAER_{ind,p}} = \mathbf{EAER_{L,p}} + \mathbf{K_{ind,p}} \times (\mathbf{EAER_{H,p}} - \mathbf{EAER_{L,p}})$$

hvor:

$\mathbf{EAER_{ind,p}}$	er den ækvivalente fuldt elektriske rækkevidde for et individuelt køretøj for den pågældende periode p (km)
$\mathbf{EAER_{L,p}}$	er den ækvivalente fuldt elektriske rækkevidde for køretøj L for den pågældende periode p (km)
$\mathbf{EAER_{H,p}}$	er den ækvivalente fuldt elektriske rækkevidde for køretøj H for den pågældende periode p (km)
$\mathbf{K_{ind,p}}$	er interpolationskoefficienten for det pågældende individuelle køretøj for perioden p
p	er indekset for den individuelle periode i den gældende prøvningscyklus.

For niveau 1A og niveau 2 (fase 4 WLTP-prøvning):

De betragtede perioder skal være lav-fase, medium-fase, høj-fase, ekstra høj-fase, den gældende WLTP-prøvningscyklus (bykørsel) og den gældende WLTP-prøvningscyklus.

For niveau 1B og niveau 2 (fase 3 WLTP-prøvning):

De betragtede perioder skal være den gældende WLTP-prøvningscyklus.

4.6. Trinvis procedure til beregning af de endelige prøvningsresultater for OVC-HEV'er

Ud over den trinvise procedure for beregning af de endelige ladningsbevarende prøvningsresultater for emissionen af gasformige forbindelser i overensstemmelse med punkt 4.1.1.1 i dette bilag og for brændstofforbruget og brændstofeffektiviteten i overensstemmelse med punkt 4.2.1.1 i dette bilag, beskriver punkt 4.6.1 og 4.6.2 i dette bilag den trinvise beregning af de endelige vægtede prøvningsresultater i ladningsforbrugende og ladningsbevarende driftstilstand.

4.6.1. Trinvis procedure til beregning af de endelige prøvningsresultater af ladningsforbrugende type 1-prøvning af OVC-HEV'er

Resultaterne beregnes i den rækkefølge, der er beskrevet i tabel A8/8. Alle gældende resultater i kolonnen "Resultat" registreres. Kolonnen "Process" angiver de punkter, der skal anvendes ved beregningen eller indeholder yderligere beregninger.

I denne tabel anvendes følgende betegnelser i ligningerne og resultaterne:

c	fuldstændig gældende prøvningscyklus
p	enhver gældende cyklusfase i beregningen af $EAER_{city}$ (hvis relevant), er p kørecyklus for byer
i	gældende kriterieemissionskomponent
CS	ladningsbevarende
CO_2	CO_2-emissioner

Tabel A8/8

Beregning af endelige ladningsforbrugende værdier

(FE kun gældende for niveau 1B og resultater efter fase 3 på niveau 2)

For niveau 2 udføres trinene i tabel A8/8 separat for resultater efter 4 faser og for resultater efter 3 faser.

Trin nr.	Kilde	Input	Proces	Resultat
1	Bilag B8	Ladningsforbrugende prøvningsresultater	Resultaterne måles i henhold til tillæg 3 i dette bilag, forudberegnet i overensstemmelse med punkt 4.3 i dette bilag.	$\Delta E_{REESS,j}$, Wh d_j, km,
			Opladt batterienergi i henhold til punkt 3.2.4.6 i dette bilag.	E_{AC}, Wh,
			Cyklusenergi i overensstemmelse med punkt 5 i bilag B7.	E_{cycle}, Ws,
			CO_2-emission i overensstemmelse med punkt 3.2.1 i bilag B7.	$Ms_{CO2,CD,j}$, g/km
			Massen af emissionen af gasformige forbindelser i overensstemmelse med punkt 4.1.3.1.1 i bilag B8.	$M_{i,CD,j}$, g/km
			Fuldt elektriske rækkevidde bestemt i overensstemmelse med punkt 4.4.1.1 i dette bilag.	AER (km)
			K_{CO2}-korrektionskoefficienten for CO_2-emission kan være nødvendig i overensstemmelse med tillæg 2 i dette bilag.	K_{CO2}, (g/km)/(Wh/km).
			Output er tilgængeligt for hver prøvning.	
	For niveau 1A og resultater efter fase 4 på niveau 2: Bilag B8		Anvendelig batterienergi i overensstemmelse med punkt 4.4.1.2.2 i dette bilag.	UBE_{city}, Wh,
			I tilfælde af at den gældende WLTC prøvningscyklus (bykørsel) er kørt: fuldt elektrisk rækkevidde bestemt i overensstemmelse med punkt 4.4.1.2.1 i dette bilag.	AER_{city}, km.
			Partikelantalemissioner (hvis relevant) i overensstemmelse med punkt 4 i bilag B7.	$PN_{CD,j}$, (partikler pr. kilometer),
			Partikelemission i overensstemmelse med punkt 4 i bilag B7.	$PM_{CD,c}$, mg/km

Trin nr.	Kilde	Input	Proces	Resultat
2	Resultattrin 1	$\Delta E_{REESS,j}$, Wh E_{cycle}, Ws.	Beregning af den relative elektriske energiændring for hver cyklus i overensstemmelse med punkt 3.2.4.5.2 i dette bilag. Output er tilgængeligt for hver prøvning og hver gældende WLTP-prøvningscyklus.	$REEC_i$
3	Resultattrin 2	$REEC_i$	Bestemmelse af overgangs- og bekræftelsescyklus i henhold til punkt 3.2.4.4 i dette bilag. Hvis der er flere end én ladningsforbrugende prøvning til rådighed for en konfiguration med henblik på gennemsnitsberegning, skal hver prøve have samme overgangscyklusnummer n_{veh}. Bestemmelse af rækkevidde i ladningsforbrugende cyklus efterpunkt 4.4.3 i dette bilag. Output er tilgængeligt for hver prøvning.	n_{veh} R_{CDC} km.
4	Resultattrin 3	n_{veh}	Hvis interpolationsmetoden anvendes, er overgangscyklussen tilgængelig for køretøj H, L og, hvis relevant, M. Det kontrolleres, at interpolationkriteriet i overensstemmelse med punkt 6.3.2.2, litra d), i dette regulativ er opfyldt.	$n_{veh,L}$ $n_{veh,H}$ hvis det er relevant $n_{veh,H}$
For niveau 1A og resultater efter fase 4 på niveau 2: 5	Resultattrin 1	$M_{i,CD,j}$, g/km $PM_{CD,c}$, mg/km $PN_{CD,j}$, (partikler pr. kilometer),	Beregning af kombinerede værdier for emissioner for n_{veh}-cyklusser Hvis interpolationsmetoden anvendes, bruges $n_{veh,L}$-cyklusser til $n_{veh,H}$-cyklusser og $n_{veh,M}$-cyklusser, alt efter hvad der er relevant. Output er tilgængeligt for hver prøvning.	$M_{i,CD,c}$, g/km $PM_{CD,c}$, mg/km $PN_{CD,c}$, (partikler pr. kilometer),
For niveau 1A og resultater efter fase 4 på niveau 2: 6	Resultattrin 5	$M_{i,CD,c}$, g/km $PM_{CD,c}$, mg/km $PN_{CD,c}$, (partikler pr. kilometer),	Emissionsgennemsnitsberegning af prøvninger for hver relevant WLTP-prøvningscyklus i ladningsforbrugende type 1-prøvning og kontrol med overholdelse af grænseværdierne i tabel A6/2 i bilag B6.	$M_{i,CD,c,ave}$, g/km $PM_{CD,c,ave}$, mg/km $PN_{CD,c,ave}$, (partikler pr. kilometer),

Trin nr.	Kilde	Input	Proces	Resultat
For niveau 1A og resultater efter fase 4 på niveau 2: 7	Resultattrin 1	$\Delta E_{REESS,j}$, Wh d_j, km, UBE_{city}, Wh	Hvis AER_{city} er afledt af type 1-prøvning ved kørsel af de gældende WLTP-prøvningscyklusser, skal værdien beregnes i overensstemmelse med punkt 4.4.1.2.2 i dette bilag. Ved mere end én prøvning skal $n_{city,pe}$ være ens for hver prøvning. Output er tilgængeligt for hver prøvning. Gennemsnitsberegning af AER_{city}.	AER_{city}, km $AER_{city,ave}$, km
For niveau 1A og resultater efter fase 4 på niveau 2: 8	Resultattrin 1	d_j, km,	Fasespecifik og cyklusspecifik UF-beregning. Output er tilgængeligt for hver prøvning.	$UF_{phase,j}$ $UF_{cycle,c}$
	Resultattrin 3	n_{veh}		
	Resultattrin 4	$n_{veh,L}$		
For niveau 1A og resultater efter fase 4 på niveau 2: 9	Resultattrin 1	$\Delta E_{REESS,j}$, Wh d_j, km, E_{AC}, Wh,	Beregning af det elektriske energiforbrug baseret på genopladt energi i henhold til punkt 4.3.1 i dette bilag. I tilfælde af interpolation anvendes $n_{veh,L}$-cyklusser. Som følge af den nødvendige rettelse af CO_2-emission, sættes det elektriske energiforbrug i bekræftelsescyklussen og dens faser til nul. Output er tilgængeligt for hver prøvning.	$EC_{AC,CD}$, Wh/km
	Resultattrin 3	n_{veh}		
	Resultattrin 4	$n_{veh,L}$		
	Resultattrin 8	$UF_{phase,j}$		
For niveau 1A 10	Resultattrin 1	$M_{CO2,CD,j}$, g/km K_{CO2}, (g/km)/(Wh/km) $\Delta E_{REESS,j}$, Wh d_j, km,	Beregning af ladningsforbrugende CO_2-emission i overensstemmelse med punkt 4.1.2 i dette bilag. Hvis interpolationsmetoden anvendes, bruges $n_{veh,L}$-cyklusser. Med henvisning til punkt 4.1.2 i dette bilag, korrigeres bekræftelsescyklussen i overensstemmelse med tillæg 2 i dette bilag. Output er tilgængeligt for hver prøvning.	$M_{CO2,CD}$, g/km
	Resultattrin 3	n_{veh}		
	Resultattrin 4	$n_{veh,L}$		
	Resultattrin 8	$UF_{phase,j}$.		

Trin nr.	Kilde	Input	Proces	Resultat
11	Resultattrin 1	$M_{CO2,CD,j}$, g/km $M_{i,CD,j}$, g/km K_{CO2}, (g/km)/(Wh/km),	Beregning af ladningsforbrugende brændstofforbrug og brændstofeffektivitet i overensstemmelse med punkt 4.2.2 i dette bilag. Hvis interpolationsmetoden anvendes, bruges $n_{veh,L}$-cyklusser. Med henvisning til punkt 4.1.2 i dette bilag, korrigeres $M_{CO2,CD,j}$ i bekræftelsescyklussen i overensstemmelse med tillæg 2 i dette bilag. For niveau 1A og for resultater efter 4 faser på niveau 2 beregnes det fasespecifikke brændstofforbrug $FC_{CD,j}$ ved hjælp af den korrigerede CO_2-emission i henhold til punkt 6 i bilag B7. Output er tilgængeligt for hver prøvning.	For niveau 1A og resultater efter fase 4 på niveau 2: $FC_{CD,j}$, l/100 km FC_{CD}, l/100 km For niveau 1B og resultater efter fase 3 på niveau 2: FE_{CD}, km/l
	Resultattrin 3	n_{veh}		
	Resultattrin 4	$n_{veh,L}$		
	Resultattrin 8	$UF_{phase,j}$		
12	Resultattrin 1	$\Delta E_{REESS,j}$, Wh d_j, km,	Hvis det er relevant, beregning af det elektriske energiforbrug fra den første gældende WLTP-prøvningscyklus. Output er tilgængeligt for hver prøvning.	$EC_{DC,CD,first}$, Wh/km
13	Resultattrin 9	$EC_{AC,CD}$, Wh/km	Gennemsnitsberegning af prøvninger for hvert køretøj. Hvis interpolationsmetoden anvendes, er output tilgængeligt for hvert køretøj H, L og, hvis relevant, M.	Hvis det er relevant: $EC_{DC,CD,first,ave}$, Wh/km For niveau 1A og resultater efter fase 4 på niveau 2: $EC_{AC,CD,ave}$, Wh/km $M_{CO2,CD,ave}$, g/km $FC_{CD,ave}$, l/100 km For niveau 1B og resultater efter fase 3 på niveau 2: $FE_{CD,ave}$, km/l
	Resultattrin 10	$M_{CO2,CD}$, g/km		
	Resultattrin 11	FC_{CD}, l/100 km FE_{CD}, km/l		
	Resultattrin 12	Hvis det er relevant: $EC_{DC,CD,first}$, Wh/km.		

Trin nr.	Kilde	Input	Proces	Resultat
14	Resultattrin 13	$EC_{AC,CD,ave}$, Wh/km $M_{CO2,CD,ave}$, g/km $FE_{CD,ave}$, km/l	Erklæring om ladningsforbrugende elektrisk energiforbrug, og CO_2-emission for hvert køretøj. Beregning af $EC_{AC,weighted}$ i overensstemmelse med punkt 4.3.2 i dette bilag. Hvis interpolationsmetoden anvendes, er output tilgængeligt for hvert køretøj H, L og, hvis relevant, M.	For niveau 1A og resultater efter fase 4 på niveau 2: $EC_{AC,CD,declared}$, Wh/km $EC_{AC,weighted}$, Wh/km $M_{CO2,CD,declared}$, g/km For niveau 1B og resultater efter fase 3 på niveau 2: $FE_{CD,declared}$, km/l
15	Resultattrin 13	$EC_{AC,CD,ave}$, Wh/km Hvis det er relevant: $EC_{DC,CD,first,ave}$, Wh/km	Hvis det er relevant: Justering af det elektriske energiforbrug med henblik på COP, som beskrevet i punkt 2.2 i tillæg 8 til dette bilag. Hvis interpolationsmetoden anvendes, er output tilgængeligt for hvert køretøj H, L og, hvis relevant, M.	$EC_{DC,CD,COP}$, Wh/km
	Resultattrin 14	$EC_{AC,CD,declared}$, Wh/km		
16 Hvis interpolationsmetoden ikke anvendes, kræves trin 17 ikke, og resultatet af dette trin er det endelige resultat.	Resultattrin 15	Hvis det er relevant: $EC_{DC,CD,COP}$, Wh/km	Hvis interpolationsmetoden anvendes, skal der anvendes mellemliggende afrunding i henhold til punkt 6.1.8 i dette regulativ. $M_{CO2,CD}$ afrundes til første decimal. $EC_{AC,CD,final}$ og $EC_{AC,weighted,final}$ afrundes til første decimal. Hvis det er relevant: $EC_{DC,CD,COP}$ afrundes til første decimal. FC_{CD} og FE_{CD} afrundes til tredje decimal. Output er tilgængeligt for køretøj H og L og, hvis relevant, for køretøj M. Hvis interpolationsmetoden ikke anvendes, skal der anvendes endelig afrunding i henhold til punkt 6.1.8 i dette regulativ. $EC_{AC,CD}$, $EC_{AC,weighted}$ og $M_{CO2,CD}$ afrundes til det nærmeste hele tal.	Hvis det er relevant: $EC_{DC,CD,COP,final}$, Wh/km For niveau 1A og resultater efter fase 4 på niveau 2, $EC_{AC,CD,final}$ (Wh/km) $M_{CO2,CD,final}$, g/km $EC_{AC,weighted,final}$, Wh/km $FC_{CD,final}$, l/100 km For niveau 1B og resultater efter fase 3 på niveau 2: $FE_{CD,final}$, km/l
	Resultattrin 14	$EC_{AC,CD,declared}$, Wh/km $EC_{AC,weighted,}$ Wh/km $FE_{CD,declared}$, km/l $M_{CO2,CD,declared}$, g/km		
	Resultattrin 13	$FC_{CD,ave}$, l/100 km		

Trin nr.	Kilde	Input	Proces	Resultat
			Hvis det er relevant: $EC_{DC,CD,COP}$ afrundes til det nærmeste hele tal. FC_{CD} og FE_{CD} afrundes til første decimal.	
17 Resultat for et individuelt køretøj. Endeligt prøvnings-resultat.	Resultattrin 16	Hvis det er relevant: $EC_{DC,CD,COP,final}$, Wh/km $EC_{AC,CD,final}$, Wh/km $M_{CO2,CD,final}$, g/km $EC_{AC,weighted,final}$, Wh/km $FC_{CD,final}$, l/100 km $FE_{CD,final}$, km/l	Interpolation af individuelle værdier baseret på input fra køretøj H og L og, hvis det er relevant, køretøj M.	Hvis det er relevant: $EC_{DC,CD,COP,ind}$, Wh/km
			Endelig afrunding af individuelle køretøjsværdier foretages i henhold til punkt 6.1.8 i dette regulativ.	For niveau 1A og resultater efter fase 4 på niveau 2: $EC_{AC,CD,ind}$, Wh/km $M_{CO2,CD,ind}$, g/km $EC_{AC,weighted,ind}$, Wh/km $FC_{CD,ind}$, l/100 km
			$EC_{AC,CD}$, $EC_{AC,weighted}$ og $M_{CO2,CD}$ afrundes til det nærmeste hele tal. Hvis det er relevant: $EC_{DC,CD,COP}$ afrundes til det nærmeste hele tal. FC_{CD} afrundes til første decimal. Output er tilgængeligt for hvert individuelt køretøj	For niveau 1B og resultater efter fase 3 på niveau 2: $FE_{CD,ind}$, km/l

4.6.2. Trinvis procedure til beregning af de endelige ladningsbevarende og ladningsforbrugende vægtede prøvningsresultater af type 1-prøvningen for OVC-HEV'er

Resultaterne beregnes i den rækkefølge, der er beskrevet i tabel A8/9. Alle gældende resultater i kolonnen "Resultat" registreres. Kolonnen "Process" angiver de punkter, der skal anvendes ved beregningen eller indeholder yderligere beregninger.

I denne tabel anvendes følgende betegnelser i ligningerne og resultaterne:

c den betragtede periode er den komplette gældende prøvningscyklus

p enhver gældende cyklusfase, i beregningen af $EAER_{city}$ (hvis relevant), er p kørecyklus for byer

i relevant kriterieemissionskomponent (undtagen CO_2)

j indeks for den betragtede periode

CS ladningsbevarende

CD ladningsforbrugende

CO_2 CO_2-emissioner

REESS Genopladeligt elektrisk energilagringssystem (Rechargeable Electric Energy Storage System)

Tabel A8/9

Beregning af endelige ladningsforbrugende og ladningsbevarende vægtede værdier

(FE kun gældende for niveau 1B og resultater efter fase 3 på niveau 2)

For niveau 2 udføres trinene i tabel A8/9 separat for resultater efter 4 faser og for resultater efter 3 faser.

Trin nr.	Kilde	Input	Proces	Resultat
1	Resultattrin 1, Tabel A8/8 Resultattrin 7, Tabel A8/8	$M_{i,CD,j}$, g/km $PN_{CD,j}$, (partikler pr. kilometer), $PM_{CD,c}$, mg/km $M_{CO2,CD,j}$, g/km $\Delta E_{REESS,j}$, Wh d_j, km, AER, km, E_{AC}, Wh, $AER_{city,ave}$, km,	Input fra efterbehandling af CD og CS. For niveau 1A og resultater efter fase 4 på niveau 2: Det aritmetiske gennemsnit af $\mathbf{E_{AC}}$ for alle individuelle ladningsforbrugende prøvninger beregnes.	$M_{CO2,CD,j}$, g/km AER (km) E_{AC}, Wh, $M_{CO2,CS,declared}$, g/km $M_{CO2,CS,p,6}$, g/km $M_{CO2,CS,c,6}$, g/km $M_{CO2,CD,declared}$, g/km $M_{CO2,CD,ave}$, g/km For niveau 1A og resultater efter fase 4 på niveau 2: $M_{i,CD,j}$, g/km $PN_{CD,j}$, (partikler pr. kilometer), $PM_{CD,c}$, mg/km $\Delta E_{REESS,j}$, Wh d_j, km $AER_{city,ave}$, km, n_{veh} R_{CDC}, km $n_{veh,L}$ $n_{veh,H}$ $UF_{phase,j}$ $UF_{cycle,c}$, $M_{i,CS,c,6}$, g/km $M_{CO2,CS,p}$, g/km;
	Resultattrin 3, Tabel A8/8	n_{veh} R_{CDC}, km		
	Resultattrin 4, Tabel A8/8 Resultattrin 8, Tabel A8/8	$n_{veh,L}$ $n_{veh,H}$ $UF_{phase,j}$ $UF_{cycle,c}$,		
	Resultattrin 6, Tabel A8/5 Resultattrin 7, Tabel A8/5	$M_{i,CS,c,6}$, g/km For niveau 1A og resultater efter fase 4 på niveau 2: $M_{CO2,CS,c,6}$, g/km $M_{CO2,CS,p,6}$, g/km. $M_{CO2,CS,7}$, g/km; $M_{CO2,CS,p,7}$, g/km	I tilfælde af CD er output tilgængeligt for hver CD-prøvning. I tilfælde af CS er output tilgængeligt en enkelt gang på grund af de gennemsnitsberegnede værdier i CS-prøvningen.	K_{CO2}, (g/km)/(Wh/km).
	Resultattrin 14, Tabel A8/8 Resultattrin 13, Tabel A8/8	$M_{CO2,CD,declared}$, g/km $M_{CO2,CD,ave}$, g/km K_{CO2}, (g/km)/(Wh/km).	Hvis interpolationsmetoden anvendes, er output (undtagen $_{CO2}$) tilgængeligt for køretøj H, L og, hvis relevant, M. K_{CO2}-korrektionskoefficienten for CO_2-emission kan være nødvendig i overensstemmelse med tillæg 2 til dette bilag.	

Trin nr.	Kilde	Input	Proces	Resultat
For niveau 1A og resultater efter fase 4 på niveau 2: 2	Resultattrin 1	$M_{i,CD,j}$, g/km $PN_{CD,j}$, (partikler pr. kilometer), $PM_{CD,c}$, mg/km n_{veh} $n_{veh,L}$ $UF_{phase,j}$ $UF_{cycle,c}$, $M_{i,CS,c,6}$, g/km	Beregning af vægtede emissioner (med undtagelse af $M_{CO2,weighted}$) i overensstemmelse med punkt 4.1.3.1.1 til og med 4.1.3.3 i dette bilag. Bemærk: $M_{i,CS,c,6}$ omfatter $PN_{CS,c}$ og $PM_{CS,c}$. Output er tilgængeligt for hver CD-prøvning.	$M_{i,weighted}$, g/km $PN_{weighted}$, (partikler pr. kilometer), $PM_{weighted}$, mg/km
3	Resultattrin 1	$M_{CO2,CD,j}$, g/km $\Delta E_{REESS,j}$, Wh d_j, km n_{veh} R_{CDC}, km $M_{CO2,CS,declared}$, g/km $M_{CO2,CS,p,6}$, g/km $M_{CO2,CS,c,6}$, g/km $M_{CO2,CS,p}$, g/km;	Beregning af ækvivalent fuldt elektrisk rækkevidde i overensstemmelse med punkt 4.4.4.1 og 4.4.4.2 i dette bilag. For niveau 1B og resultater efter fase 3 på niveau 2: Output er tilgængeligt for hver CD-prøvning.	EAER (km) $EAER_{p,3}$ (km) R_{CDA} (km).
			Beregning af faktisk rækkevidde i ladningsforbrugende drift efter punkt 4.4.5 i dette bilag. Output er tilgængeligt for hver CD-prøvning. Det aritmetiske gennemsnit af R_{CDA} for alle individuelle ladningsforbrugende prøvninger beregnes og afrundes i overensstemmelse med punkt 6.1.8 i dette regulativ til det nærmeste hele tal.	
4	Resultattrin 1 Resultattrin 3	AER (km) R_{CDA}, km.	Output er tilgængeligt for hver CD-prøvning. Hvis interpolationsmetoden anvendes, kontrolleres det, at AER-interpolation mellem køretøj H, L og, hvis relevant, M i overensstemmelse med punkt 4.5.7.1 i dette bilag er tilgængelig. Hvis interpolationsmetoden anvendes, skal hver prøvning opfylde kravet.	Tilgængelighed af AER-interpolation.
5 Hvis interpolationsmetoden ikke anvendes, kræves trin 9 ikke, og resultatet af dette trin er det endelige resultat.	Resultattrin 1 Resultattrin 3	AER (km) EAER (km) $EAER_{p,3}$ (km)	Gennemsnitsberegning af AER og erklæring om AER. Gennemsnitsberegning af EAER (kun for niveau 1B og resultater efter fase 3 på niveau 2) og erklæring om EAER. Tilpasning af fasespecifik $EAER_p$: $$\boldsymbol{EAER_{p,5} = EAER_{p,3} \times \frac{EAER_{dec}}{EAER}}$$	AER_{ave}, km $EAER_{dec}$, km $EAER_{p,5}$, km For niveau 1A og resultater efter fase 4 på niveau 2: AER_{dec}, km.

Trin nr.	Kilde	Input	Proces	Resultat
			Den anmeldte AER (kun for niveau 1A og resultater efter fase 4 på niveau 2) og EAER afrundes i henhold til punkt 6.1.8 i dette regulativ til det antal decimaler, der er angivet i tabel A6/1 i bilag B6. Hvis interpolationsmetoden anvendes, og kriteriet for tilgængelighed af AER-interpolation er opfyldt, foretages der afrunding af AER i henhold til punkt 6.1.8 i dette regulativ til første decimal. Hvis interpolationsmetoden anvendes, foretages der afrunding af EAER og $EAER_p$ i henhold til punkt 6.1.8 i dette regulativ til første decimal. Output er tilgængeligt for køretøj H og L og, hvis relevant, for køretøj M. Hvis interpolationsmetoden anvendes, men kriteriet ikke er opfyldt, anvendes AER for køretøj H for hele interpolationsfamilien, og der foretages afrunding i henhold til punkt 6.1.8 i dette regulativ til nærmeste hele tal. Hvis interpolationsmetoden ikke anvendes, foretages der afrunding af AER, EAER og $EAER_p$ i henhold til punkt 6.1.8 i dette regulativ til nærmeste hele tal.	
For niveau 1A og resultater efter fase 4 på niveau 2: 6	Resultattrin 1	$M_{i,CD,j}$, g/km $M_{CO2,CD,j}$, g/km n_{veh} $n_{veh,L}$ $UF_{phase,j}$ $M_{i,CS,c,6}$, g/km $M_{CO2,CS,declared}$, g/km $M_{CO2,CD,declared}$, g/km $M_{CO2,CD,ave}$, g/km	Beregning af vægtet CO_2-emission og brændstofforbrug i overensstemmelse med punkt 4.1.3.1.2 og 4.2.3 i dette bilag. Output er tilgængeligt for hver CD-prøvning. Hvis interpolationsmetoden anvendes, bruges $n_{veh,L}$-cyklusser. Med henvisning til punkt 4.1.2 i dette bilag, korrigeres $M_{CO2,CD,j}$ i bekræftelsescyklussen i overensstemmelse med tillæg 2 i dette bilag.	$M_{CO2,weighted}$, g/km $FC_{weighted}$, l/100 km
7	Resultattrin 1	E_{AC}, Wh,	Beregning af det elektriske energiforbrug på basis af EAER i overensstemmelse med punkt 4.3.3.1 og 4.3.3.2 i dette bilag. For niveau 1B og resultater efter fase 3 på niveau 2: Output er tilgængeligt for hver CD-prøvning.	EC (Wh/km) EC_p, Wh/km
	Resultattrin 3	EAER (km) $EAER_{p,3}$, km		

Trin nr.	Kilde	Input	Proces	Resultat
8 Hvis interpolationsmetoden ikke anvendes, kræves trin 9 ikke, og resultatet af dette trin er det endelige resultat.	Resultattrin 1	$AER_{city,\ ave}$, km;	For niveau 1B og resultater efter fase 3 på niveau 2: Gennemsnitsberegning af EC og erklæring om EC. Tilpasning af fasespecifik EC_p $$EC_{p,final} = EC_{p,ave} \times \frac{EC_{dec}}{EC_{ave}}$$ For niveau 1A og resultater efter fase 4 på niveau 2: Gennemsnitsberegning af alle værdier undtagen EC og EAER og mellemliggende afrunding af alle værdier i overensstemmelse med punkt 6.1.8 i dette regulativ. Hvis interpolationsmetoden anvendes, skal der anvendes mellemliggende afrunding i henhold til punkt 6.1.8 i dette regulativ. $$AER_{city,final} = AER_{city,ave} \times \frac{AER_{dec}}{AER_{ave}}$$ $AER_{city,ave}$, EAER og $EAER_p$ afrundes til første decimal. $M_{CO2,weighted}$ afrundes til to decimaler. $FC_{weighted}$ afrundes til tre decimaler. EC og EC_p afrundes til første decimal. Output er tilgængeligt for køretøj H og L og, hvis relevant, for køretøj M. Hvis interpolationsmetoden ikke anvendes, skal der anvendes endelig afrunding af prøvningsresultaterne i henhold til punkt 6.1.8 i dette regulativ. $AER_{city,final}$, EAER og $EAER_p$ afrundes til det nærmeste hele tal. $M_{CO2,weighted}$ afrundes til det nærmeste hele tal. $FC_{weighted}$ afrundes til første decimal. EC og EC_p afrundes til det nærmeste hele tal.	For niveau 1B og resultater efter fase 3 på niveau 2: EC_{dec}, Wh/km $EC_{p,final}$, Wh/km $EAER_{final}$, km, For niveau 1A og resultater efter fase 4 på niveau 2: $AER_{city,final}$, km, $M_{CO2,weighted,final}$, g/km $FC_{weighted,final}$, l/100 km EC_{final}, Wh/km $EC_{p,final}$, Wh/km $EAER_{final}$, km, $EAER_{p,final}$, km.
	Resultattrin 6	$M_{CO2,weighted}$, g/km $FC_{weighted}$, l/100 km		
	Resultattrin 7	EC (Wh/km) EC_p, Wh/km		
	Resultattrin 5	EAER (km) $EAER_{p,5}$, km		
	Resultattrin 5	AER_{dec}, km, AER_{ave}, km.		

Trin nr.	Kilde	Input	Proces	Resultat
9 Resultat for et individuelt køretøj. Endeligt prøvningsre-sultat.	Resultattrin 5 Resultattrin 8 Resultattrin 4	AER_{dec}, km, $AER_{city,final}$, km, $M_{CO2,weighted,final}$, g/km $FC_{weighted,final}$, l/100 km EC_{final}, Wh/km $EC_{p,final}$, Wh/km $EAER_{final}$, km, $EAER_{p,final}$, km, Tilgængelighed af AER-interpolation.	Interpolation af individuelle værdier baseret på input fra køretøj, dvs. lav, medium og høj, i overensstemmelse med punkt 4.5 i dette bilag, og endelig afrunding i overensstemmelse med punkt 6.1.8 i dette regulativ. AER_{ind},$AER_{city,ind}$, $EAER_{ind}$ og $EAER_{p,ind}$ afrundes til det nærmeste hele tal. $M_{CO2,weighted,ind}$ afrundes til det nærmeste hele tal.	EC_{ind}, Wh/km $EC_{p,ind}$, Wh/km $EAER_{ind}$, km, For niveau 1A og resultater efter fase 4 på niveau 2: AER_{ind}, km, $AER_{city,ind}$, km, $M_{CO2,weighted,ind}$, g/km $FC_{weighted,ind}$, l/100 km $EAER_{p,ind}$, km.
	Resultattrin 1	R_{CDC}, km	$EC_{weighted,ind}$ afrundes til første decimal. EC_{ind} og $EC_{p,ind}$ afrundes til det nærmeste hele tal. Output er tilgængeligt for hvert individuelle køretøj R_{CDC} afrundes i overensstemmelse med punkt 6.1.8 i dette regulativ til nærmeste hele tal.	$R_{CDC,final}$, km

4.6.3. Dette punkt finder kun anvendelse på niveau 1A

Trinvis procedure til beregning af de endelige prøvningsresultater for OVC-FCHV'er

I dette punkt beskrives den trinvise beregning af de vægtede prøvningsresultater i endelig ladningsforbrugende og endelig ladningsbevarende driftstilstand.

4.6.3.1. Trinvis procedure til beregning af de endelige prøvningsresultater af ladningsforbrugende type 1-prøvning af OVC-HEV'er

Resultaterne beregnes i den rækkefølge, der er beskrevet i tabel A8/9a. Alle gældende resultater i kolonnen "Resultat" registreres. Kolonnen "Process" angiver de punkter, der skal anvendes ved beregningen eller indeholder yderligere beregninger.

I denne tabel anvendes følgende betegnelser i ligningerne og resultaterne:

c fuldstændig gældende prøvningscyklus

p enhver gældende cyklusfase i beregningen af $EAER_{city}$ (hvis relevant), er p kørecyklus for byer

CS ladningsbevarende

Tabel A8/9a

Beregning af vægtede værdier for OVC-FCHV'er i endelig ladningsforbrugende driftstilstand

Alle beregningerne i denne tabel er kun gældende for hele cyklussen.

Trin nr.	Kilde	Input	Proces	Resultat
1	Bilag B8	Ladningsforbrugende prøvningsresultater	Resultaterne måles i henhold til tillæg 3 i dette bilag, forudberegnet i overensstemmelse med punkt 4.3 i dette bilag.	$\Delta E_{REESS,j}$, Wh d_j, km
			Anvendelig batterienergi i overensstemmelse med punkt 4.4.1.2.2 i dette bilag.	UBE_{city}, Wh,
			Opladt batterienergi i henhold til punkt 3.2.4.6 i dette bilag.	E_{AC}, Wh,
			Cyklusenergi i overensstemmelse med punkt 5 i bilag B7.	E_{cycle}, Ws,
			Brændstofforbrug og brændstofeffektivitet i overensstemmelse med punkt 6 i bilag B7.	$FC_{CD,j}$, kg/100 km $FE_{CD,c}$, km/kg
			Fuldt elektriske rækkevidde bestemt i overensstemmelse med punkt 4.4.1.1 i dette bilag.	AER (km)
			I tilfælde af at den gældende WLTC prøvningscyklus (bykørsel) er kørt: fuldt elektrisk rækkevidde bestemt i overensstemmelse med punkt 4.4.1.2.1 i dette bilag.	AER_{city}, km.
			$K_{fuel,FCHV}$-korrektionskoefficienten for H_2-brændstofforbrug kan være nødvendig i overensstemmelse med tillæg 2 i dette bilag.	$K_{fuel,FCHV}$ (kg/100 km)/(Wh/100 km).
			Output er tilgængeligt for hver prøvning.	
2	Resultattrin 1	$\Delta E_{REESS,j}$, Wh E_{cycle}, Ws.	Beregning af den relative elektriske energiændring for hver cyklus i overensstemmelse med punkt 3.2.4.5.2 i dette bilag. Output er tilgængeligt for hver prøvning og hver gældende WLTP-prøvningscyklus.	$REEC_i$

Trin nr.	Kilde	Input	Proces	Resultat
3	Resultattrin 2	$REEC_i$	Bestemmelse af overgangs- og bekræftelsescyklus i henhold til punkt 3.2.4.4 i dette bilag. Hvis der er flere end én ladningsforbrugende prøvning til rådighed for et køretøj med henblik på gennemsnitsberegning, skal hver prøve have samme overgangscyklusnummer n_{veh}.	n_{veh}
			Bestemmelse af rækkevidde i ladningsforbrugende cyklus efterpunkt 4.4.3 i dette bilag. Output er tilgængeligt for hver prøvning.	R_{CDC} km.
4	Resultattrin 3	n_{veh}	Hvis interpolationsmetoden anvendes, er overgangscyklussen tilgængelig for køretøj H, L og, hvis relevant, M. Det kontrolleres, at interpolationkriteriet i overensstemmelse med punkt 6.3.2.2 i dette regulativ er opfyldt.	$n_{veh,L}$ $n_{veh,H}$ hvis det er relevant $n_{veh,H}$
5	Resultattrin 1	$\Delta E_{REESS,j}$, Wh d_j, km UBE_{city}, Wh	Hvis AER_{city} er afledt af type 1-prøvning ved kørsel af de gældende WLTP-prøvningscyklusser, skal værdien beregnes i overensstemmelse med punkt 4.4.1.2.2 i dette bilag. Ved mere end én prøvning skal $n_{city,pe}$ være ens for hver prøvning. Output er tilgængeligt for hver prøvning. Gennemsnitsberegning af AER_{city}.	AER_{city}, km $AER_{city,ave}$, km
6	Resultattrin 1	d_j, km	Fasespecifik og cyklusspecifik UF-beregning.	$UF_{phase,j}$ $UF_{cycle,c}$
	Resultattrin 3	n_{veh}	Output er tilgængeligt for hver prøvning.	
	Resultattrin 4	$n_{veh,L}$		

Trin nr.	Kilde	Input	Proces	Resultat
7	Resultattrin 1 Resultattrin 3 Resultattrin 4 Resultattrin 6	$\Delta E_{REESS,j}$, Wh d_j, km E_{AC}, Wh, n_{veh} $n_{veh,L}$ $UF_{phase,j}$	Beregning af det elektriske energiforbrug baseret på genopladt energi i henhold til punkt 4.3.1 og 4.3.2 i dette bilag. I tilfælde af interpolation anvendes $n_{veh,L}$-cyklusser. Som følge af den nødvendige rettelse af brændstofforbruget, sættes det elektriske energiforbrug i bekræftelsescyklussen og dens faser til nul. Output er tilgængeligt for hver prøvning.	$EC_{AC,weighted}$, Wh/km $EC_{AC,CD}$, Wh/km
8	Resultattrin 1 Resultattrin 3 Resultattrin 4 Resultattrin 6	$FC_{CD,j}$, l/100 km $FE_{CD,c}$, km/kg $K_{fuel,FCHV}$, (kg/100 km)/(Wh/100 km) $\Delta E_{REESS,j}$, Wh d_j, km n_{veh} $n_{veh,L}$ $UF_{phase,j}$.	Beregning af ladningsforbrugende brændstofforbrug og brændstofeffektivitet i overensstemmelse med punkt 4.2.2 i dette bilag. Hvis interpolationsmetoden anvendes, bruges $n_{veh,L}$-cyklusser. Med henvisning til punkt 4.1.2 i dette bilag, korrigeres bekræftelsescyklussen i overensstemmelse med tillæg 2 i dette bilag. Output er tilgængeligt for hver prøvning.	For niveau 1A: FC_{CD}, kg/100 km For niveau 1B: FE_{CD}, km/kg
(Reserveret)				
10	Resultattrin 7 Resultattrin 8	$EC_{AC,weighted}$, Wh/km $EC_{AC,CD}$, Wh/km FC_{CD}, kg/100 km $FE_{CD,avg}$, km/kg	Gennemsnitsberegning af prøvninger for hvert køretøj. Hvis interpolationsmetoden anvendes, er output tilgængeligt for hvert køretøj H, L og, hvis relevant, M.	For niveau 1A: $EC_{AC,weighted,ave}$, Wh/km $EC_{AC,CD,ave}$, Wh/km $FC_{CD,ave}$, kg/100 km For niveau 1B: $FE_{CD,avg}$, km/kg
11	Resultattrin 10	$EC_{AC,CD,ave}$, Wh/km $FC_{CS,nb,}$ kg/100 km $FE_{CD,avg}$, km/kg	Erklæring om ladningsforbrugende elektrisk energiforbrug og brændstofforbrug for hvert køretøj. Hvis interpolationsmetoden anvendes, er output tilgængeligt for hvert køretøj H, L og, hvis relevant, M.	For niveau 1A: $EC_{AC,CD,declared}$, Wh/km $FC_{CD,declared}$, kg/100 km For niveau 1B: $FE_{CD,declared}$, km/kg
(Reserveret)				

Trin nr.	Kilde	Input	Proces	Resultat
13 Hvis interpolationsmetoden ikke anvendes, kræves trin nr. 17 ikke, og resultatet af dette trin er det endelige resultat.	Resultattrin 11 Resultattrin 10	$EC_{AC,CD,declared}$, Wh/km $FE_{CD,declared}$, km/kg $EC_{AC,weighted,ave}$, Wh/km $FC_{CS,nb,}$ kg/100 km	Hvis interpolationsmetoden anvendes, skal der anvendes mellemliggende afrunding i henhold til punkt 6.1.8 i dette regulativ. FC_{CD} afrundes til tre decimaler. $EC_{AC,CD}$, $EC_{AC,weighted}$ og FE_{CD} afrundes til første decimal. Output er tilgængeligt for køretøj H og L og, hvis relevant, for køretøj M. Hvis interpolationsmetoden ikke anvendes, skal der anvendes endelig afrunding i henhold til punkt 6.1.8 i dette regulativ. $EC_{AC,CD}$, $EC_{AC,weighted}$ og FE_{CD} afrundes til det nærmeste hele tal. FC_{CD} afrundes til to decimaler.	For niveau 1A: $EC_{AC,CD,final}$, Wh/km $EC_{AC,weighted,final}$, Wh/km $FC_{CD,final}$, l/100 km For niveau 1B: $FE_{CD,final}$, km/kg
14 Resultat for et individuelt køretøj. Endeligt prøvningsresultat.	Resultattrin 13	$EC_{AC,CD,final}$, Wh/km $EC_{AC,weighted,final}$, Wh/km $FC_{CD,final}$, kg/100 km $FE_{CD,final}$, km/kg	Interpolation af individuelle værdier baseret på input fra køretøj H og L og, hvis det er relevant, køretøj M. Endelig afrunding af individuelle køretøjsværdier foretages i henhold til punkt 6.1.8 i dette regulativ. $EC_{AC,CD}$, $EC_{AC,weighted}$ og FE_{CD} afrundes til det nærmeste hele tal. FC_{CD} afrundes til to decimaler. Output er tilgængeligt for hvert individuelt køretøj	$EC_{AC,CD,ind}$, Wh/km $EC_{AC,weighted,ind}$, Wh/km $FC_{CD,ind}$, kg/100 km $FE_{CD,ind}$, km/kg

4.6.3.2. Trinvis procedure til beregning af de endelige ladningsbevarende og ladningsforbrugende vægtede prøvningsresultater af type 1-prøvningen for OVC-FCHV'er

Resultaterne beregnes i den rækkefølge, der er beskrevet i tabel A8/9b. Alle gældende resultater i kolonnen "Resultat" registreres. Kolonnen "Process" angiver de punkter, der skal anvendes ved beregningen eller indeholder yderligere beregninger.

I denne tabel anvendes følgende betegnelser i ligningerne og resultaterne:

c den betragtede periode er den komplette gældende prøvningscyklus

p enhver gældende cyklusfase i beregningen af $EAER_{city}$ (hvis relevant), er p kørecyklus for byer

j indeks for den betragtede periode

CS ladningsbevarende

CD ladningsforbrugende

REESS Genopladeligt elektrisk energilagringssystem (Rechargeable Electric Energy Storage System)

Alle beregningerne i denne tabel er kun gældende for hele cyklussen.

Tabel A8/9b

Beregning af endelige ladningsforbrugende og ladningsbevarende vægtede værdier for OVC-FCHV'er

(FE finder kun anvendelse på niveau 1B og niveau 2 (fase 3 WLTP-prøvning)):

Trin nr.	Kilde	Input	Proces	Resultat
1	Resultattrin 1, Tabel A8/9a	$FC_{CD,j}$, kg/100 km $\Delta E_{REESS,j}$, Wh d_j, km, AER, km, E_{AC}, Wh, $FE_{CD,c}$, km/kg	Input fra postprocessering af CD og CS. Det aritmetiske gennemsnit af $\mathbf{E_{AC}}$ for alle individuelle ladningsforbrugende prøvninger beregnes. I tilfælde af CD er output tilgængeligt for hver CD-prøvning. I tilfælde af CS er output tilgængeligt en enkelt gang på grund af de gennemsnitsberegnede værdier i CS-prøvningen. Hvis interpolationsmetoden anvendes, er output (undtagen $K_{fuel,FCHV}$) tilgængeligt for køretøj H, L og, hvis relevant, M.	$FC_{CD,j}$, kg/100 km $\Delta E_{REESS,j}$, Wh d_j, km, AER, km, E_{AC}, Wh, $FE_{CD,c}$, km/kg
	Resultattrin 5, Tabel A8/9a	$AER_{city,ave}$, km,		$AER_{city,ave}$, km, n_{veh} R_{CDC}, km $n_{veh,L}$ $n_{veh,H}$ $UF_{phase,j}$ $UF_{cycle,c}$, $FC_{CS,declared}$, kg/100 km $FC_{CS,p}$, kg/100 km $FE_{CS,declared}$, kg/100 km $FC_{CD,declared}$, kg/100 km $FC_{CS,nb,}$ kg/100 km $FE_{CD,avg}$, km/kg
	Resultattrin 3, Tabel A8/9a	n_{veh} R_{CDC}, km		
	Resultattrin 4, Tabel A8/9a	$n_{veh,L}$ $n_{veh,H}$		
	Resultattrin 6, Tabel A8/9a	For niveau 1A: $UF_{phase,j}$ $UF_{cycle,c}$,		
	Resultattrin 5, Tabel A8/7	$FC_{CS,declared}$, kg/100 km $FC_{CS,p}$, kg/100 km $FE_{CS,declared}$, kg/100 km		
	Resultattrin 11, Tabel A8/9a	$FC_{CD,declared}$, kg/100 km		
	Resultattrin 10, Tabel A8/9a	$FC_{CS,nb,}$ kg/100 km $FE_{CD,avg}$, km/kg		
		$K_{fuel,FCHV}$ (kg/100 km)/(Wh/100 km).	$K_{fuel,FCHV}$-korrektionskoefficienten for CO_2-masseemission kan være nødvendig i overensstemmelse med tillæg 2 i dette bilag.	$K_{fuel,FCHV}$ (kg/100 km)/(Wh/100 km).

Trin nr.	Kilde	Input	Proces	Resultat
2	Resultattrin 1	$FC_{CD,j}$, kg/100 km $\Delta E_{REESS,j}$, Wh $FE_{CD,c}$, km/kg d_j, km, n_{veh} R_{CDC}, km $FC_{CS,p}$, kg/100 km $FE_{CS,declared}$, kg/100 km $FE_{CD,avg}$, km/kg	Beregning af ækvivalent fuldt elektrisk rækkevidde i overensstemmelse med punkt 4.4.6.1 og 4.4.6.2 i dette bilag. For niveau 1B Output er tilgængeligt for hver CD-prøvning. Beregning af faktisk rækkevidde i ladningsforbrugende drift efter punkt 4.4.7 i dette bilag. R_{CDA} er tilgængelig for hver CD-prøvning. Det aritmetiske gennemsnit af R_{CDA} for alle individuelle ladningsforbrugende prøvninger beregnes og afrundes i overensstemmelse med punkt 6.1.8 i dette regulativ til det nærmeste hele tal.	EAER (km) R_{CDA} (km).
3	Resultattrin 1	AER (km)	Output er tilgængeligt for hver CD-prøvning. Hvis interpolationsmetoden anvendes, kontrolleres det, at AER-interpolation mellem køretøj H, L og, hvis relevant, M i overensstemmelse med punkt 4.5.7.1 i dette bilag er tilgængelig. Hvis interpolationsmetoden anvendes, skal hver prøvning opfylde kravet.	Tilgængelighed af AER-interpolation.
	Resultattrin 2	R_{CDA}, km.		
4 Hvis interpolationsmetoden ikke anvendes, kræves trin 9 ikke, og resultatet af dette trin er det endelige resultat.	Resultattrin 1	AER (km).	Gennemsnitsberegning af AER og erklæring om AER. Gennemsnitlig EAER (kun for niveau 1B) og erklæring om EAER Den anmeldte AER (kun for niveau 1A) og EAER afrundes i henhold til punkt 6.1.8 i dette regulativ til det antal decimaler, der er angivet i tabel A6/1 i bilag B6. Hvis interpolationsmetoden anvendes, og kriteriet for tilgængelighed af AER-interpolation er opfyldt, foretages der afrunding af AER i henhold til punkt 6.1.8 i dette regulativ til første decimal. Hvis interpolationsmetoden anvendes, foretages der afrunding af EAER i henhold til punkt 6.1.8 i dette regulativ til første decimal. Output er tilgængeligt for køretøj H og L og, hvis relevant, for køretøj M.	AER_{ave}, km
	Resultattrin 2	EAER (km)		$EAER_{dec}$, km Kun for niveau 1A AER_{dec}, km.

Trin nr.	Kilde	Input	Proces	Resultat
			Hvis interpolationsmetoden anvendes, men kriteriet ikke er opfyldt, anvendes AER for køretøj H for hele interpolationsfamilien, og der foretages afrunding i henhold til punkt 6.1.8 i dette regulativ til nærmeste hele tal. Hvis interpolationsmetoden ikke anvendes, foretages der afrunding af AER og EAER i henhold til punkt 6.1.8 i dette regulativ til nærmeste hele tal.	
For niveau 1A: 5	Resultattrin 1	$FC_{CD,j}$, kg/100 km n_{veh} $n_{veh,L}$ $UF_{phase,j}$ $FC_{CS,declared}$, kg/100 km $FC_{CD,declared}$, kg/100 km $FC_{CS,nb,}$ kg/100 km	Beregning af brændstofforbrug i overensstemmelse med punkt 4.2.3 i dette bilag Output er tilgængeligt for hver CD-prøvning. Hvis interpolationsmetoden anvendes, bruges $n_{veh,L}$-cyklusser. Med henvisning til punkt 4.2.2 i dette bilag, korrigeres $FC_{CD,j}$ i bekræftelsescyklussen i overensstemmelse med tillæg 2 i dette bilag.	$FC_{weighted}$, kg/100 km
6	Resultattrin 1 Resultattrin 2	E_{AC}, Wh, EAER (km)	Beregning af det elektriske energiforbrug på basis af EAER i overensstemmelse med punkt 4.3.3.1 og 4.3.3.2 i dette bilag. For niveau 1B Output er tilgængeligt for hver CD-prøvning.	EC (Wh/km)
7 Hvis interpolationsmetoden ikke anvendes, kræves trin 9 ikke, og resultatet af dette trin er det endelige resultat.	Resultattrin 1	$AER_{city,\ ave}$, km;	For niveau 1B Gennemsnitsberegning af EC og erklæring om EC. For niveau 1A Gennemsnitsberegning af alle værdier undtagen EC og EAER og mellemliggende afrunding af alle værdier i overensstemmelse med punkt 6.1.8 i dette regulativ. Hvis interpolationsmetoden anvendes, skal der anvendes mellemliggende afrunding i henhold til punkt 6.1.8 i dette regulativ.	For niveau 1B EC_{dec}, Wh/km $EAER_{final}$, km, For niveau 1A $AER_{city,final}$, km, $FC_{weighted,final}$, kg/100 km, EC_{final}, Wh/km $EAER_{final}$, km,
	Resultattrin 5	$FC_{weighted}$, kg/100 km		
	Resultattrin 6 Resultattrin 4 Resultattrin 5	EC (Wh/km) EAER (km) AER_{dec}, km, AER_{ave}, km.		

Trin nr.	Kilde	Input	Proces	Resultat
			$\boldsymbol{AER_{city,final} = AER_{city,ave} \times \frac{AER_{dec}}{AER_{ave}}}$ $AER_{city,final}$ og EAER afrundes til første decimal. $FC_{weighted}$ afrundes til tre decimaler. EC afrundes til første decimal. Output er tilgængeligt for køretøj H og L og, hvis relevant, for køretøj M. Hvis interpolationsmetoden ikke anvendes, skal der anvendes endelig afrunding af prøvningsresultaterne i henhold til punkt 6.1.8 i dette regulativ. $AER_{city,ave}$, EAER og $EAER_p$ afrundes til det nærmeste hele tal. $FC_{weighted}$ afrundes til to decimaler. EC afrundes til det nærmeste hele tal.	
8	Resultattrin 5 Resultattrin 7 Resultattrin 4	AER_{dec}, km, $AER_{city,final}$, km, $FC_{weighted,final}$, kg/100 km EC_{final}, Wh/km $EAER_{final}$, km, Tilgængelighed af AER-interpolation.	Interpolation af individuelle værdier baseret på input fra køretøj, dvs. lav, medium og høj, i overensstemmelse med punkt 4.5 i dette bilag, og endelig afrunding i overensstemmelse med punkt 6.1.8 i dette regulativ. AER_{ind}, $AER_{city,ind}$ og $EAER_{ind}$ afrundes til det nærmeste hele tal. $EC_{weighted,ind}$ afrundes til første decimal. $FC_{weighted,\ ind}$ afrundes til to decimaler.	AER_{ind}, km, EC_{ind}, Wh/km $EAER_{ind}$, km, For niveau 1A $AER_{city,ind}$, km, $FC_{weighted,ind}$, kg/100 km
	Resultattrin 1	R_{CDC}	EC_{ind} afrundes til det nærmeste hele tal. Output er tilgængeligt for hvert individuelle køretøj R_{CDC} afrundes i overensstemmelse med punkt 6.1.8 i dette regulativ til nærmeste hele tal.	$R_{CDC,final}$

4.7. Trinvis procedure til beregning af de endelige prøvningsresultater for PEV'er

Resultaterne beregnes i den rækkefølge, der er beskrevet i tabel A8/10 for den fortløbende cyklusprocedure, og i den rækkefølge, der er beskrevet i tabel A8/11 for den forkortede prøvningsprocedure. Alle gældende resultater i kolonnen "Resultat" registreres. Kolonnen "Process" angiver de punkter, der skal anvendes ved beregningen eller indeholder yderligere beregninger.

4.7.1. Trinvis procedure til beregning af de endelige prøvningsresultater for PEV'er i tilfælde af den fortløbende cyklusprocedure

I denne tabel anvendes følgende betegnelser i spørgsmålene og resultaterne:

j indeks for den betragtede periode.

Tabel A8/10

Beregning af endelige PEV-værdier ved anvendelse af den konsekutive cyklusprocedure (type 1)

For niveau 1A og resultater efter fase 4 på niveau 2:

De betragtede perioder skal være lav-fase, medium-fase, høj-fase, ekstra høj-fase, den gældende WLTP-prøvningscyklus (bykørsel) og den gældende WLTP-prøvningscyklus.

For niveau 1B og resultater efter fase 3 på niveau 2:

De betragtede perioder skal være lav-fase, medium-fase, høj-fase, ekstra høj-fase og gældende WLTP-prøvningscyklus.

Trin nr.	Kilde	Input	Proces	Resultat
1	Bilag B8	Prøvningsresultater	Resultater målt i overensstemmelse med tillæg 3 til dette bilag, forudberegnet i overensstemmelse med punkt 4.3 i dette bilag. Anvendelig batterienergi i overensstemmelse med punkt 4.4.2.2.1 i dette bilag. Opladt batterienergi i henhold til punkt 3.4.4.3 i dette bilag. Output er tilgængeligt for hver prøvning. E_{AC} afrundes i overensstemmelse med punkt 6.1.8 i dette regulativ til første decimal.	$\Delta E_{REESS,j}$, Wh d_j, km UBE_{CCP}, Wh E_{AC}, Wh.
2	Resultattrin 1	$\Delta E_{REESS,j}$, Wh UBE_{CCP}, Wh.	Bestemmelse af antallet af fuldstændigt kørte gældende WLTC-faser og -cyklusser i henhold til punkt 4.4.2.2 i dette bilag. Output er tilgængeligt for hver prøvning.	n_{WLTC} n_{city} n_{low} n_{med} n_{high} n_{exHigh}

Trin nr.	Kilde	Input	Proces	Resultat
3	Resultattrin 1	$\Delta E_{REESS,j}$, Wh UBE_{CCP}, Wh	Beregning af vægtningsfaktorer i overensstemmelse med punkt 4.4.2.2 i dette bilag. Bemærk: Antallet af vægtningsfaktorer afhænger af den anvendte gældende cyklus (3- eller 4-faset WLTC). I tilfælde af 4-fasede WLTC'er kan det også være nødvendigt med output i parentes. Output er tilgængeligt for hver prøvning.	$K_{WLTC,1}$ $K_{WLTC,2}$ $K_{WLTC,3}$ ($K_{WLTC,4}$) $K_{city,1}$ $K_{city,2}$ $K_{city,3}$ ($K_{city,4}$) $K_{low,1}$ $K_{low,2}$ $K_{low,3}$ ($K_{low,4}$) $K_{med,1}$ $K_{med,2}$ $K_{med,3}$ ($K_{med,4}$) $K_{high,1}$ $K_{high,2}$ $K_{high,3}$ ($K_{high,4}$) $K_{exHigh,1}$ $K_{exHigh,2}$ $K_{exHigh,3}$ ($K_{exHigh,4}$)
	Resultattrin 2	n_{WLTC} n_{city} n_{low} n_{med} n_{high} n_{exHigh}		
4	Resultattrin 1	$\Delta E_{REESS,j}$, Wh d_j, km UBE_{CCP}, Wh	Beregning af det elektriske energiforbrug i REESS'erne i overensstemmelse med punkt 4.4.2.2 i dette bilag. Beregning af det elektriske energiforbrug fra den første gældende WLTP-prøvningscyklus $EC_{DC,first}$. Output er tilgængeligt for hver prøvning.	$EC_{DC,WLTC}$, Wh/km $EC_{DC,city}$, Wh/km $EC_{DC,low}$, Wh/km $EC_{DC,med}$, Wh/km $EC_{DC,high}$, Wh/km $EC_{DC,exHigh}$, Wh/km $EC_{DC,first}$, Wh/km
	Resultattrin 2	n_{WLTC} n_{city} n_{low} n_{med} n_{high} n_{exHigh}		
	Resultattrin 3	Alle vægtnings-faktorer		
5	Resultattrin 1	UBE_{CCP}, Wh	Beregning af rent elektrisk rækkevidde (PER) i overensstemmelse med punkt 4.4.2.2 i dette bilag. Output er tilgængeligt for hver prøvning.	PER_{WLTC}, km PER_{city}, km PER_{low}, km PER_{med}, km PER_{high}, km PER_{exHigh}, km
	Resultattrin 4	$EC_{DC,WLTC}$, Wh/km $EC_{DC,city}$, Wh/km $EC_{DC,low}$, Wh/km $EC_{DC,med}$, Wh/km $EC_{DC,high}$, Wh/km $EC_{DC,exHigh}$, Wh/km		

Trin nr.	Kilde	Input	Proces	Resultat
6	Resultattrin 1 Resultattrin 5	E_{AC}, Wh, PER_{WLTC}, km PER_{city}, km PER_{low}, km PER_{med}, km PER_{high}, km PER_{exHigh}, km	Beregning af det elektriske energiforbrug fra lysnettet i overensstemmelse med punkt 4.3.4 i dette bilag. Output er tilgængeligt for hver prøvning.	EC_{WLTC}, Wh/km EC_{city}, Wh/km EC_{low}, Wh/km EC_{med}, Wh/km EC_{high}, Wh/km EC_{exHigh}, Wh/km.
7 Hvis interpolations-metoden ikke anvendes, kræves trin 10 ikke, og resultatet af dette trin for $PER_{WLTC,dec}$ og $EC_{WLTC,dec}$ er det endelige resultat.	Resultattrin 5 Resultattrin 6	PER_{WLTC}, km PER_{city}, km PER_{low}, km PER_{med}, km PER_{high}, km PER_{exHigh}, km EC_{WLTC}, Wh/km EC_{city}, Wh/km EC_{low}, Wh/km EC_{med}, Wh/km EC_{high}, Wh/km EC_{exHigh}, Wh/km.	Gennemsnitsberegning af prøvninger for alle inputværdier. Erklæring fra $PER_{WLTC,dec}$ og $EC_{WLTC,dec}$ baseret på $PER_{WLTC,ave}$ og $EC_{WLTC,ave}$. Justering af PER ved bykørsel, lav, midde, høj og ekstra-høj baseret på forholdet mellem $PER_{WLTC,dec}$ og $PER_{WLTC,ave}$: $$AF_{PER} = \frac{PER_{WLTC,dec}}{PER_{WLTC,ave}}$$ Justering af EC ved bykørsel, lavfase, mellemfase, høj fase og ekstra-høj fase baseret på forholdet mellem $EC_{WLTC,dec}$ og $EC_{WLTC,ave}$: $$AF_{EC} = \frac{EC_{WLTC,dec}}{EC_{WLTC,ave}}$$ Hvis interpolationsmetoden anvendes, er output tilgængeligt for køretøj H og køretøj L. $PER_{WLTC,dec}$ såvel som $EC_{WLTC,dec}$ afrundes i henhold til punkt 6.1.8 i dette regulativ til det antal decimaler, der er angivet i tabel A6/1 i bilag B6. Hvis interpolationsmetoden ikke anvendes, foretages der afrunding af $PER_{WLTC,dec}$ og $EC_{WLTC,dec}$ i henhold til punkt 6.1.8 i dette regulativ til nærmeste hele tal. .	$PER_{WLTC,dec}$, km $PER_{WLTC,ave}$, km $PER_{city,ave}$, km $PER_{low,ave}$, km $PER_{med,ave}$, km $PER_{high,ave}$, km $PER_{exHigh,ave}$, km $EC_{WLTC,dec}$, Wh/km $EC_{WLTC,ave}$, Wh/km $EC_{city,ave}$, Wh/km $EC_{low,ave}$, Wh/km $EC_{med,ave}$, Wh/km $EC_{high,ave}$, Wh/km $EC_{exHigh,ave}$, Wh/km $EC_{DC,first,ave}$, Wh/km.
	Resultattrin 4	$EC_{DC,first}$, Wh/km		
8	Resultattrin 7	$EC_{WLTC,dec}$, Wh/km $EC_{WLTC,ave}$, Wh/km $EC_{DC,first,ave}$, Wh/km.	Justering af det elektriske energiforbrug med henblik på COP, som beskrevet i punkt 1.2 i tillæg 8 til dette bilag. Hvis interpolationsmetoden anvendes, er output tilgængeligt for køretøj H og køretøj L.	$EC_{DC,COP}$, Wh/km

Trin nr.	Kilde	Input	Proces	Resultat
9 Hvis interpolations-metoden ikke anvendes, kræves trin 10 ikke, og resultatet af dette trin er det endelige resultat.	Resultattrin 7	$PER_{city,ave}$, km $PER_{low,ave}$, km $PER_{med,ave}$, km $PER_{high,ave}$, km $PER_{exHigh,ave}$, km $EC_{city,ave}$, Wh/km $EC_{low,ave}$, Wh/km $EC_{med,ave}$, Wh/km $EC_{high,ave}$, Wh/km $EC_{exHigh,ave}$, Wh/km	Mellemliggende afrunding i overensstemmelse med punkt 6.1.8 i dette regulativ. Hvis interpolationsmetoden anvendes, skal der anvendes mellemliggende afrunding i henhold til punkt 6.1.8 i dette regulativ. PER_{city} og PER_p afrundes til første decimal. EC_{city} og EC_p afrundes til første decimal. $EC_{DC,COP}$ afrundes til første decimal. Output er tilgængeligt for køretøj H og L. Hvis interpolationsmetoden ikke anvendes, skal der anvendes endelig afrunding af prøvningsresultaterne i henhold til punkt 6.1.8 i dette regulativ. PER_{city} og PER_p afrundes til det nærmeste hele tal. EC_{city} og EC_p afrundes til det nærmeste hele tal. $EC_{DC,COP}$ afrundes til det nærmeste hele tal.	$PER_{city,final}$, km $PER_{low,final}$, km $PER_{med,final}$, km $PER_{high,final}$, km $PER_{exHigh,final}$, km $EC_{city,final}$, Wh/km $EC_{low,final}$, Wh/km $EC_{med,final}$, Wh/km $EC_{high,final}$, Wh/km $EC_{exHigh,final}$, Wh/km $EC_{DC,COP,final}$, Wh/km.
	Resultattrin 8	$EC_{DC,COP}$, Wh/km		
10 Resultat for et individuelt køretøj. Endeligt prøvningsre-sultat.	Resultattrin 7	$PER_{WLTC,dec}$, km $EC_{WLTC,dec}$, Wh/km	Interpolation af individuelle værdier baseret på input fra køretøj H og L i overensstemmelse med punkt 4.5 i dette bilag, og endelig afrunding i overensstemmelse med punkt 6.1.8 i dette regulativ.	$PER_{WLTC,ind}$, km $PER_{city,ind}$, km $PER_{low,ind}$, km $PER_{med,ind}$, km $PER_{high,ind}$, km $PER_{exHigh,ind}$, km
	Resultattrin 9	$PER_{city,final}$, km $PER_{low,final}$, km $PER_{med,final}$, km $PER_{high,final}$, km $PER_{exHigh,final}$, km $EC_{city,final}$, Wh/km $EC_{low,final}$, Wh/km $EC_{med,final}$, Wh/km $EC_{high,final}$, Wh/km $EC_{exHigh,final}$, Wh/km $EC_{DC,COP,final}$, Wh/km.	PER_{ind}, $PER_{city,ind}$ og $PER_{p,ind}$ afrundes til det nærmeste hele tal. $EC_{ind,}$ EC_{city} og $EC_{p,ind}$ afrundes til det nærmeste hele tal. $EC_{DC,COP,ind}$ afrundes til det nærmeste hele tal. Output er tilgængeligt for hvert individuelt køretøj.	$EC_{WLTC,ind}$, Wh/km $EC_{city,ind}$, Wh/km $EC_{low,ind}$, Wh/km $EC_{med,ind}$, Wh/km $EC_{high,ind}$, Wh/km $EC_{exHigh,ind}$, Wh/km $EC_{DC,COP,ind}$, Wh/km

4.7.2. Trinvis procedure til beregning af de endelige prøvningsresultater for PEV'er i tilfælde af den forkortede prøvningsprocedure

I denne tabel anvendes følgende betegnelser i spørgsmålene og resultaterne:

j indeks for den betragtede periode.

Tabel A8/11

Beregning af endelige PEV-værdier ved anvendelse af den forkortede prøvningsprocedure (type 1)

For niveau 1A og resultater efter fase 4 på niveau 2:

De betragtede perioder skal være lav-fase, medium-fase, høj-fase, ekstra høj-fase, den gældende WLTP-prøvningscyklus (bykørsel) og den gældende WLTP-prøvningscyklus.

For niveau 1B og resultater efter fase 3 på niveau 2:

De betragtede perioder skal være lav-fase, medium-fase, høj-fase, ekstra høj-fase og gældende WLTP-prøvningscyklus.

Trin nr.	Kilde	Input	Proces	Resultat
1	Bilag B8	Prøvningsresultater	Resultater målt i overensstemmelse med tillæg 3 til dette bilag, forudberegnet i overensstemmelse med punkt 4.3 i dette bilag.	$\Delta E_{REESS,j}$, Wh d_j, km
			Anvendelig batterienergi i overensstemmelse med punkt 4.4.2.1.1 i dette bilag.	UBE_{STP}, Wh,
			Opladt batterienergi i henhold til punkt 3.4.4.3 i dette bilag. Output er tilgængeligt for hver prøvning. E_{AC} afrundes i overensstemmelse med punkt 6.1.8 i dette regulativ til første decimal.	E_{AC}, Wh.
2	Resultattrin 1	$\Delta E_{REESS,j}$, Wh UBE_{STP}, Wh.	Beregning af vægtningsfaktorer i overensstemmelse med punkt 4.4.2.1 i dette bilag. Output er tilgængeligt for hver prøvning.	$K_{WLTC,1}$ $K_{WLTC,2}$ $K_{city,1}$ $K_{city,2}$ $K_{city,3}$ $K_{city,4}$ $K_{low,1}$ $K_{low,2}$ $K_{low,3}$ $K_{low,4}$ $K_{med,1}$

Trin nr.	Kilde	Input	Proces	Resultat
				$K_{med,2}$ $K_{med,3}$ $K_{med,4}$ $K_{high,1}$ $K_{high,2}$ $K_{exHigh,1}$ $K_{exHigh,2}$
3	Resultattrin 1 Resultattrin 2	$\Delta E_{REESS,j}$, Wh d_j, km UBE_{STP}, Wh. Alle vægtningsfaktorer	Beregning af det elektriske energiforbrug i REESS'erne i overensstemmelse med punkt 4.4.2.1 i dette bilag. Beregning af det elektriske energiforbrug fra den første gældende WLTP-prøvningscyklus $EC_{DC,first}$. Output er tilgængeligt for hver prøvning.	$EC_{DC,WLTC}$, Wh/km $EC_{DC,city}$, Wh/km $EC_{DC,low}$, Wh/km $EC_{DC,\ med}$, Wh/km $EC_{DC,high}$, Wh/km $EC_{DC,exHigh}$, Wh/km $EC_{DC,first}$, Wh/km.
4	Resultattrin 1 Resultattrin 3	UBE_{STP}, Wh, $EC_{DC,WLTC}$, Wh/km $EC_{DC,city}$, Wh/km $EC_{DC,low}$, Wh/km $EC_{DC,\ med}$, Wh/km $EC_{DC,high}$, Wh/km $EC_{DC,exHigh}$, Wh/km.	Beregning af rent elektrisk rækkevidde (PER) i overensstemmelse med punkt 4.4.2.1 i dette bilag. Output er tilgængeligt for hver prøvning.	PER_{WLTC}, km PER_{city}, km PER_{low}, km PER_{med}, km PER_{high}, km PER_{exHigh}, km
5	Resultattrin 1	E_{AC}, Wh,	Beregning af det elektriske energiforbrug fra lysnettet i overensstemmelse med punkt 4.3.4 i dette bilag. Output er tilgængeligt for hver prøvning.	EC_{WLTC}, Wh/km EC_{city}, Wh/km EC_{low}, Wh/km EC_{med}, Wh/km EC_{high}, Wh/km EC_{exHigh}, Wh/km.
	Resultattrin 4	PER_{WLTC}, km PER_{city}, km PER_{low}, km PER_{med}, km PER_{high}, km PER_{exHigh}, km		

Trin nr.	Kilde	Input	Proces	Resultat
6 Hvis interpolationsmetoden ikke anvendes, kræves trin 9 ikke, og resultatet af dette trin for $PER_{WLTC,dec}$ og $EC_{WLTC,dec}$ er det endelige resultat.	Resultattrin 4	PER_{WLTC}, km PER_{city}, km PER_{low}, km PER_{med}, km PER_{high}, km PER_{exHigh}, km	Gennemsnitsberegning af prøvninger for alle inputværdier. Erklæring fra $PER_{WLTC,dec}$ og $EC_{WLTC,dec}$ baseret på $PER_{WLTC,ave}$ og $EC_{WLTC,ave}$. Justering af PER ved bykørsel, lav, midde, høj og ekstra-høj baseret på forholdet mellem $PER_{WLTC,dec}$ og $PER_{WLTC,ave}$: $$AF_{PER} = \frac{PER_{WLTC,dec}}{PER_{WLTC,ave}}$$ Justering af EC ved bykørsel, lavfase, mellemfase, høj fase og ekstra-høj fase baseret på forholdet mellem $EC_{WLTC,dec}$ og $EC_{WLTC,ave}$: $$AF_{EC} = \frac{EC_{WLTC,dec}}{EC_{WLTC,ave}}$$ Hvis interpolationsmetoden anvendes, er output tilgængeligt for køretøj H og køretøj L. $PER_{WLTC,dec}$ såvel som $EC_{WLTC,dec}$ afrundes i henhold til punkt 6.1.8 i dette regulativ til det antal decimaler, der er angivet i tabel A6/1 i bilag B6. Hvis interpolationsmetoden ikke anvendes, foretages der afrunding af $PER_{WLTC,dec}$ og $EC_{WLTC,dec}$ i henhold til punkt 6.1.8 i dette regulativ til nærmeste hele tal.	$PER_{WLTC,dec}$, km $PER_{WLTC,ave}$, km $PER_{city,ave}$, km $PER_{low,ave}$, km $PER_{med,ave}$, km $PER_{high,ave}$, km $PER_{exHigh,ave}$, km $EC_{WLTC,dec}$, Wh/km $EC_{WLTC,ave}$, Wh/km $EC_{city,ave}$, Wh/km $EC_{low,ave}$, Wh/km $EC_{med,ave}$, Wh/km $EC_{high,ave}$, Wh/km $EC_{exHigh,ave}$, Wh/km $EC_{DC,first,ave}$, Wh/km.
	Resultattrin 5	EC_{WLTC}, Wh/km EC_{city}, Wh/km EC_{low}, Wh/km EC_{med}, Wh/km EC_{high}, Wh/km EC_{exHigh}, Wh/km.		
	Resultattrin 3	$EC_{DC,first}$, Wh/km		
7	Resultattrin 6	$EC_{WLTC,dec}$, Wh/km $EC_{WLTC,ave}$, Wh/km $EC_{DC,first,ave}$, Wh/km.	Justering af det elektriske energiforbrug med henblik på COP, som beskrevet i punkt 1.2 i tillæg 8 til dette bilag. Hvis interpolationsmetoden anvendes, er output tilgængeligt for køretøj H og køretøj L.	$EC_{DC,COP}$, Wh/km

Trin nr.	Kilde	Input	Proces	Resultat
8 Hvis interpolationsmetoden ikke anvendes, kræves trin 9 ikke, og resultatet af dette trin er det endelige resultat.	Resultattrin 6	$PER_{city,ave}$, km $PER_{low,ave}$, km $PER_{med,ave}$, km $PER_{high,ave}$, km $PER_{exHigh,ave}$, km $EC_{city,ave}$, Wh/km $EC_{low,ave}$, Wh/km $EC_{med,ave}$, Wh/km $EC_{high,ave}$, Wh/km $EC_{exHigh,ave}$, Wh/km	Mellemliggende afrunding i overensstemmelse med punkt 6.1.8 i dette regulativ. Hvis interpolationsmetoden anvendes, skal der anvendes mellemliggende afrunding i henhold til punkt 6.1.8 i dette regulativ. PER_{city} og PER_p afrundes til første decimal. EC_{city} og EC_p afrundes til første decimal. $EC_{DC,COP}$ afrundes til første decimal. Output er tilgængeligt for køretøj H og L. Hvis interpolationsmetoden ikke anvendes, skal der anvendes endelig afrunding af prøvningsresultaterne i henhold til punkt 6.1.8 i dette regulativ. PER_{city} og PER_p afrundes til det nærmeste hele tal. EC_{city} og EC_p afrundes til det nærmeste hele tal. $EC_{DC,COP}$ afrundes til det nærmeste hele tal.	$PER_{city,final}$, km $PER_{low,final}$, km $PER_{med,final}$, km $PER_{high,final}$, km $PER_{exHigh,final}$, km $EC_{city,final}$, Wh/km $EC_{low,final}$, Wh/km $EC_{med,final}$, Wh/km $EC_{high,final}$, Wh/km $EC_{exHigh,final}$, Wh/km $EC_{DC,COP,final}$, Wh/km.
	Resultattrin 7	$EC_{DC,COP}$, Wh/km		
9 Resultat for et individuelt køretøj. Endeligt prøvningsresultat.	Resultattrin 6	$PER_{WLTC,dec}$, km $EC_{WLTC,dec}$, Wh/km	Interpolation af individuelle værdier baseret på input fra køretøj H og L i overensstemmelse med punkt 4.5 i dette bilag, og endelig afrunding i overensstemmelse med punkt 6.1.8 i dette regulativ. PER_{ind}, $PER_{city,ind}$ og $PER_{p,ind}$ afrundes til det nærmeste hele tal. $EC_{ind,}$ EC_{city} og $EC_{p,ind}$ afrundes til det nærmeste hele tal. $EC_{DC,COP,ind}$ afrundes til det nærmeste hele tal. Output er tilgængeligt for hvert individuelt køretøj	$PER_{WLTC,ind}$, km $PER_{city,ind}$, km $PER_{low,ind}$, km $PER_{med,ind}$, km $PER_{high,ind}$, km $PER_{exHigh,ind}$, km $EC_{WLTC,ind}$, Wh/km $EC_{city,ind}$, Wh/km $EC_{low,ind}$, Wh/km $EC_{med,ind}$, Wh/km $EC_{high,ind}$, Wh/km $EC_{exHigh,ind}$, Wh/km $EC_{DC,COP,ind}$, Wh/km.
	Resultattrin 8	$PER_{city,final}$, km $PER_{low,final}$, km $PER_{med,final}$, km $PER_{high,final}$, km $PER_{exHigh,final}$, km $EC_{city,final}$, Wh/km $EC_{low,final}$, Wh/km $EC_{med,final}$, Wh/km $EC_{high,final}$, Wh/km $EC_{exHigh,final}$, Wh/km $EC_{DC,COP,final}$, Wh/km.		

4.8. Beregning af køreautonomi med hydrogen (DR_H) for NOVC-FCHV'er og OVC-FCHV'er

Dette punkt finder kun anvendelse på niveau 1B og niveau 2 (fase 3 WLTP-prøvning)

4.8.1. Trinvis procedure til beregning af køreautonomi med hydrogen for NOVC-FCHV'er og OVC-FCHV'er.

Resultaterne beregnes i den rækkefølge, der er beskrevet i tabel A8/12. Alle gældende resultater i kolonnen "Resultat" registreres. Kolonnen "Process" angiver de punkter, der skal anvendes ved beregningen eller indeholder yderligere beregninger.

Tabel A8/12

Beregning af køreautonomi med hydrogen på NOVC-FCHV'er og OVC-FCHV'er (kun niveau 1B og 3-faset WLTP-prøvning på niveau 2)

Trin nr.	Kilde	Input	Proces	Resultat
1 Resultat af en enkelt prøvning	Punkt 3.2 i tillæg 7 til dette bilag.	Hydrogentankens nedre trykgrænse	Den nedre trykgrænse P_{LL} i overensstemmelse med punkt 3.2 i tillæg 7 til dette bilag.	$P_{LL,1}$, MPa
2	Resultattrin 1	For hver prøvning: $P_{LL,1}$, MPa	Gennemsnitsberegning af prøvninger og opgivne værdier i overensstemmelse med punkt 1.2 til og med 1.2.3 i bilag B6.	$P_{LL,2}$, MPa
3 Resultat af P_{LL}	Resultattrin 2	$P_{LL,2}$, MPa $P_{LL,\ declared}$, MPa	$P_{LL,3} = P_{LL,\ declared}$ P_{LL}-værdier afrundes i overensstemmelse med punkt 6.1.8 i dette regulativ. P_{LL} afrundes til første decimal.	$P_{LL,3}$, MPa
4 Anvendelig hydrogenmængde	Resultattrin 3 Punkt 3.3 i tillæg 7 til dette bilag.	$P_{LL,3}$, MPa	Den anvendelige hydrogenmængde i overensstemmelse med punkt 3.3 i tillæg 7 til dette bilag.	UAH (kg)
5 Resultat af køreautonomi med hydrogen	Resultattrin 4 Resultattrin 5 Tabel A8/7	UAH (kg) $FE_{CS,c,5}$, km/kg	Beregning af køreautonomi med hydrogen i overensstemmelse med punkt 4.8.2 i dette bilag. DR_H rundes ned til nærmeste multiplum af 20 km.	DR_H, km
6	Resultattrin 5 Resultattrin 6, Tabel A8/7	UAH (kg) $FE_{CS,c,5}$, km/kg	Beregning af DR i henhold til punkt 4.8.2 i dette bilag for individuelle køretøjer i en interpolationsfamilie. $DR_{H\text{-}ind}$ afrundes til nærmeste hele tal og rundes derefter ned til nærmeste multiplum af 20 km.	$DR_{H\text{-}ind}$, km

4.8.2. Køreautonomi med hydrogen for NOVC-FCHV'er og OVC-FCHV'er beregnes med følgende ligninger:

$$DR_H = FE_{cs,c,5} \times UAH$$

For individuelle køretøjer

$$DR_{H-ind} = FE_{cs,c,ind} \times UAH$$

hvor

DR_H	er køretøjets køreautonomi (km)
$DR_{H\text{-}ind}$	er køreautonomien for et individuelt køretøj (km)
$FE_{CS,c,5}$	er den beregnede brændstofeffektivitet i ladningsbevarende driftstilstand i henhold til tabel A8/7, trin 5 (km/kg)
$FE_{cs,c,ind}$	er den beregnede brændstofeffektivitet i ladningsbevarende driftstilstand for et individuelt køretøj i henhold til tabel A8/7, trin 6 (km/kg)
UAH	er den anvendelige hydrogenmængde, kg

4.8.3. Køreautonomi med hydrogen og elektricitet for OVC-FCHV'er beregnes med følgende ligninger:

$$DR_{H+E} = EAER + DR_H$$

For individuelle køretøjer

$$DR_{H+E-ind} = EAER_{ind} + DR_{H-ind}$$

hvor

DR_{H+E}	er køretøjets køreautonomi med hydrogen og elektricitet (km)
$DR_{H+E\text{-}ind}$	er et individuelt køretøjs køreautonomi med hydrogen og elektricitet (km)
DR_H	er køretøjets køreautonomi med hydrogen ifølge punkt 4.8.2 i dette bilag (km)
$DR_{H\text{-}ind}$	er et individuelt køretøjs køreautonomi med hydrogen ifølge punkt 4.8.2 i dette bilag (km)
EAER	er den ækvivalente fuldt elektriske rækkevidde i henhold til punkt 4.4.6.1 i dette bilag (km)
$EAER_{ind}$	er den ækvivalente fuldt elektriske rækkevidde i henhold til trin 4 i tabel A8/9b (km)

4.8.4. Køreautonomi beregnes efter følgende ligning:

For NOVC-FCHV'er

$$DR = DR_H$$

for OVC-FCHV'er

$$DR = DR_{H+E}$$

For individuelle køretøjer

For NOVC-FCHV'er

$$DR_{ind} = DR_{H-ind}$$

for OVC-FCHV'er

$$DR_{ind} = DR_{H+E-ind}$$

hvor

DR	er køretøjets køreautonomi (km)
DR_{ind}	er køreautonomien for et individuelt køretøj (km)
DR_{H}	er køretøjets køreautonomi med hydrogen ifølge punkt 4.8.2 i dette bilag (km)
DR_{H+E}	er køretøjets køreautonomi med hydrogen og elektricitet ifølge punkt 4.8.3 i dette bilag (km)

Bilag B8 - Tillæg 1

REESS-systemets ladningstilstandsprofil og hydrogenladningstilstandsprofil

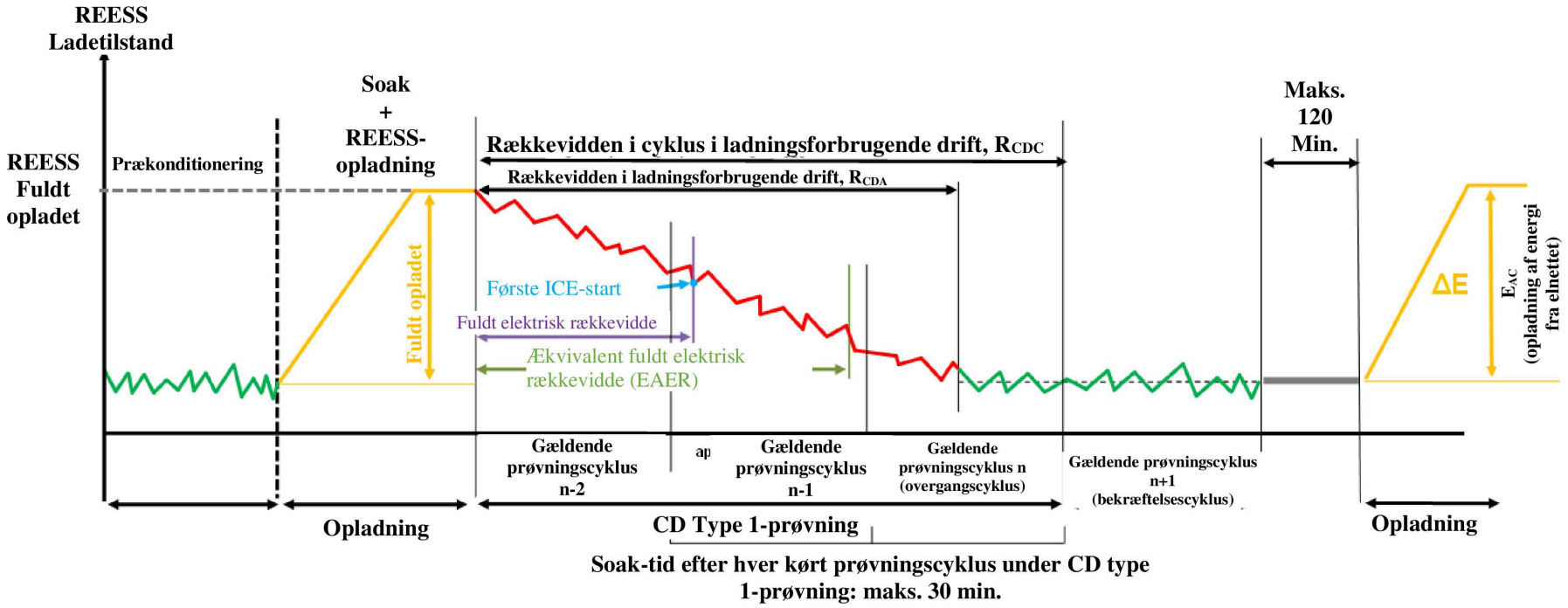
1. Prøvningssekvenser og REESS-profiler: OVC-HEV'er og OVC-FCHV'er (alt efter hvad der er relevant) prøvning i ladningsforbrugende og ladningsbevarende driftstilstand

1.1. Prøvningssekvens for OVC-HEV'er og OVC-FCHV'er ifølge valgmulighed 1

Ladningsforbrugende type 1-prøvning uden efterfølgende ladningsbevarende type 1-prøvning (A8/Till.1/1)

Figur A8. Till. 1/1

Ladningsforbrugende type 1-prøvning af OVC-HEV'er og OVC-FCHV'er

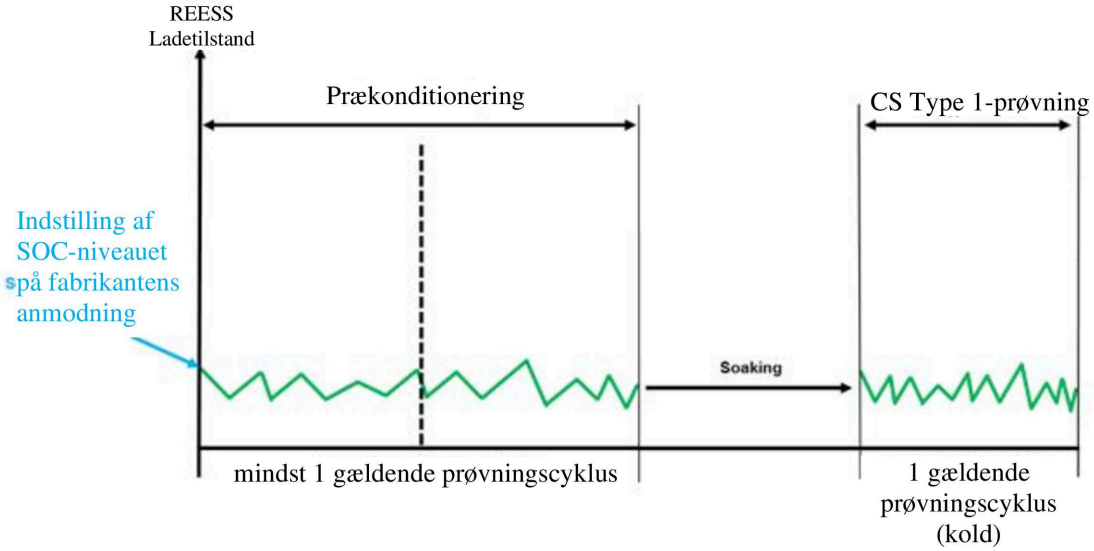


1.2. Prøvningssekvens for OVC-HEV'er og OVC-FCHV'er ifølge valgmulighed 2:

Ladningsbevarende type 1-prøvning med efterfølgende ladningsforbrugende type 1-prøvning (A8.Till.1/2)

Figur A8.App1/2

Ladningsbevarende type 1-prøvning af OVC-HEV'er og OVC-FCHV'er

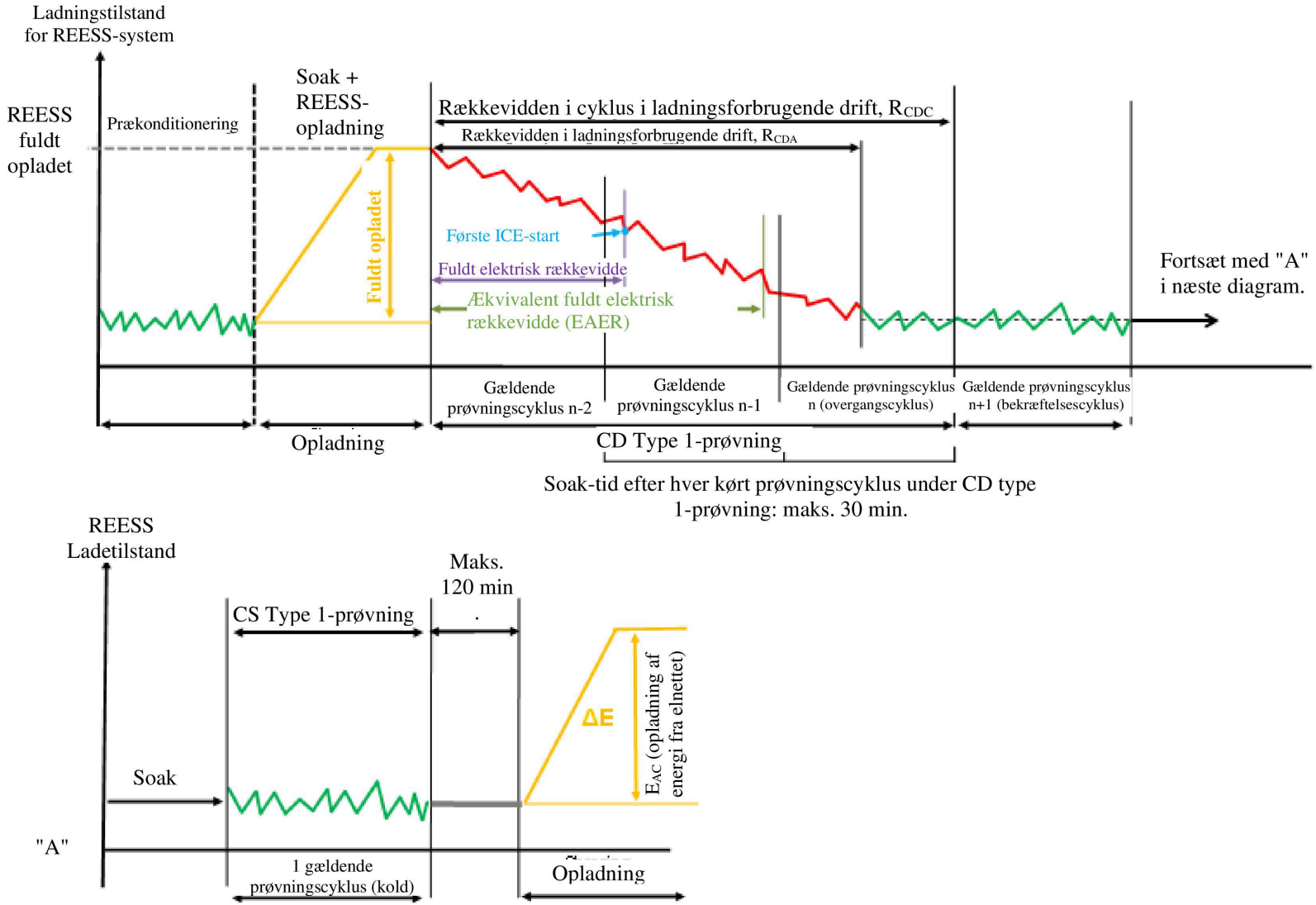


1.3. Prøvningssekvens for OVC-HEV'er og OVC-FCHV'er ifølge valgmulighed 3

Ladningsforbrugende type 1-prøvning med efterfølgende ladningsbevarende type 1-prøvning (A8/Till.1/3)

Figur A8.App1/3

Ladningsforbrugende type 1-prøvning af OVC-HEV'er og OVC-FCHV'er med efterfølgende ladningsbevarende type 1-prøvning

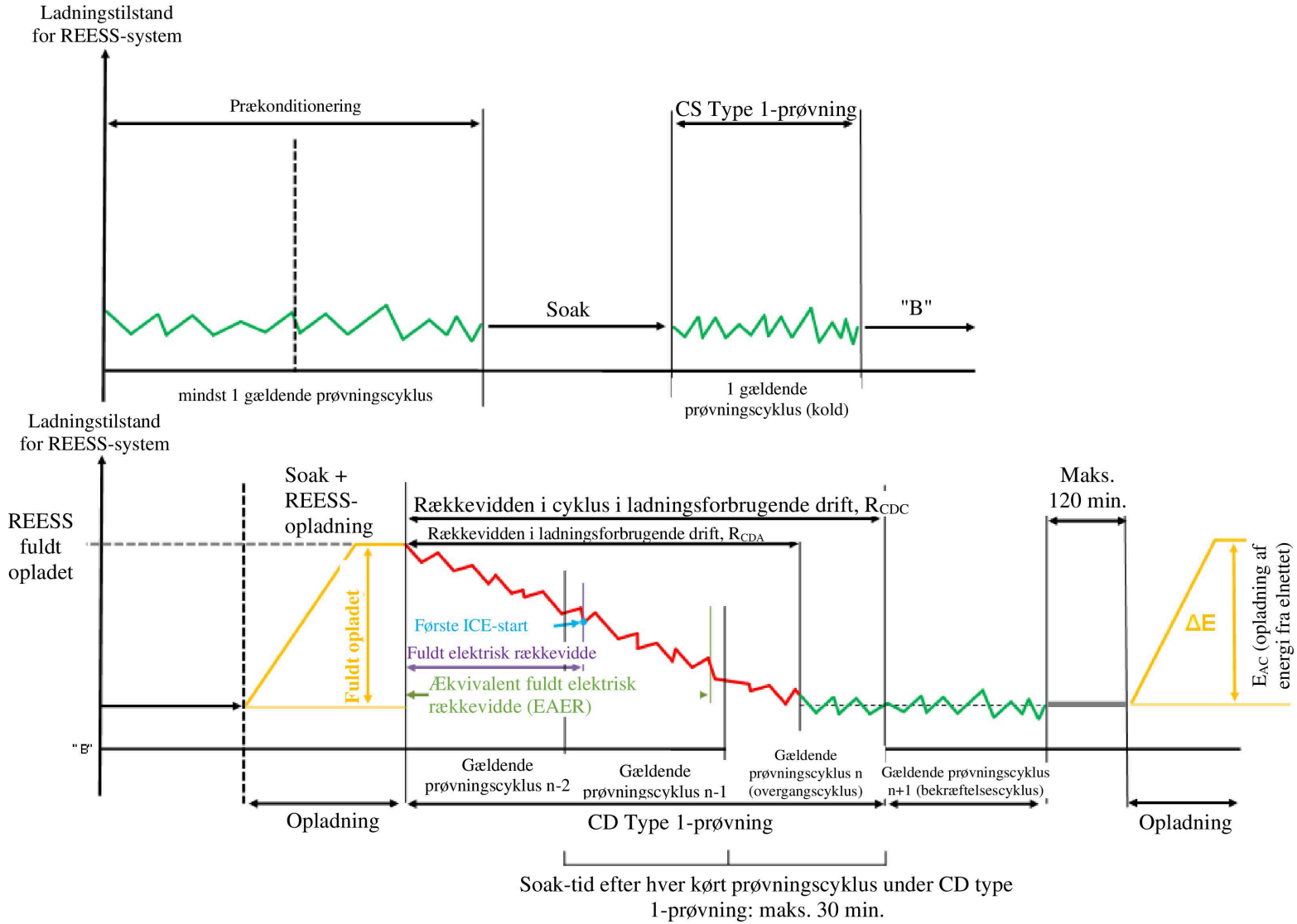


1.4. Prøvningssekvens for OVC-HEV'er og OVC-FCHV'er ifølge valgmulighed 4

Ladningsbevarende type 1-prøvning med efterfølgende ladningsforbrugende type 1-prøvning (A8.Till.1/4)

Figur A8. Till.1/4

Ladningsbevarende type 1-prøvning af OVC-HEV'er og OVC-FCHV'er med efterfølgende ladningsforbrugende type 1-prøvning

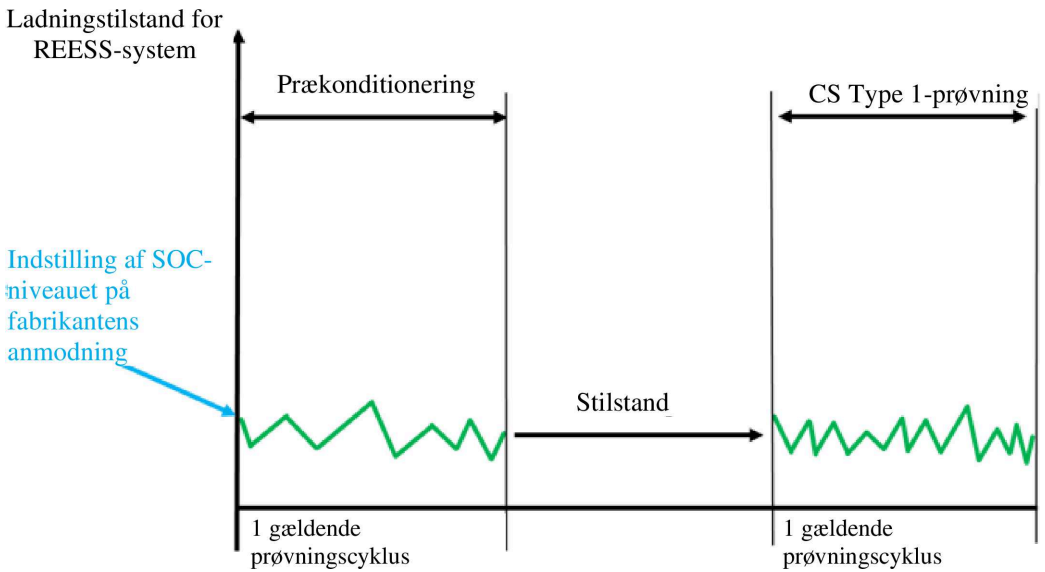


2. Prøvningssekvens for NOVC-HEV'er og NOVC-FCHV'er

Ladningsbevarende type 1-prøvning (figur A8.Till.1/5)

Figure A8.Till.1/5

Ladningsbevarende type 1-prøvning af NOVC-HEV'er og NOVC-FCHV'er



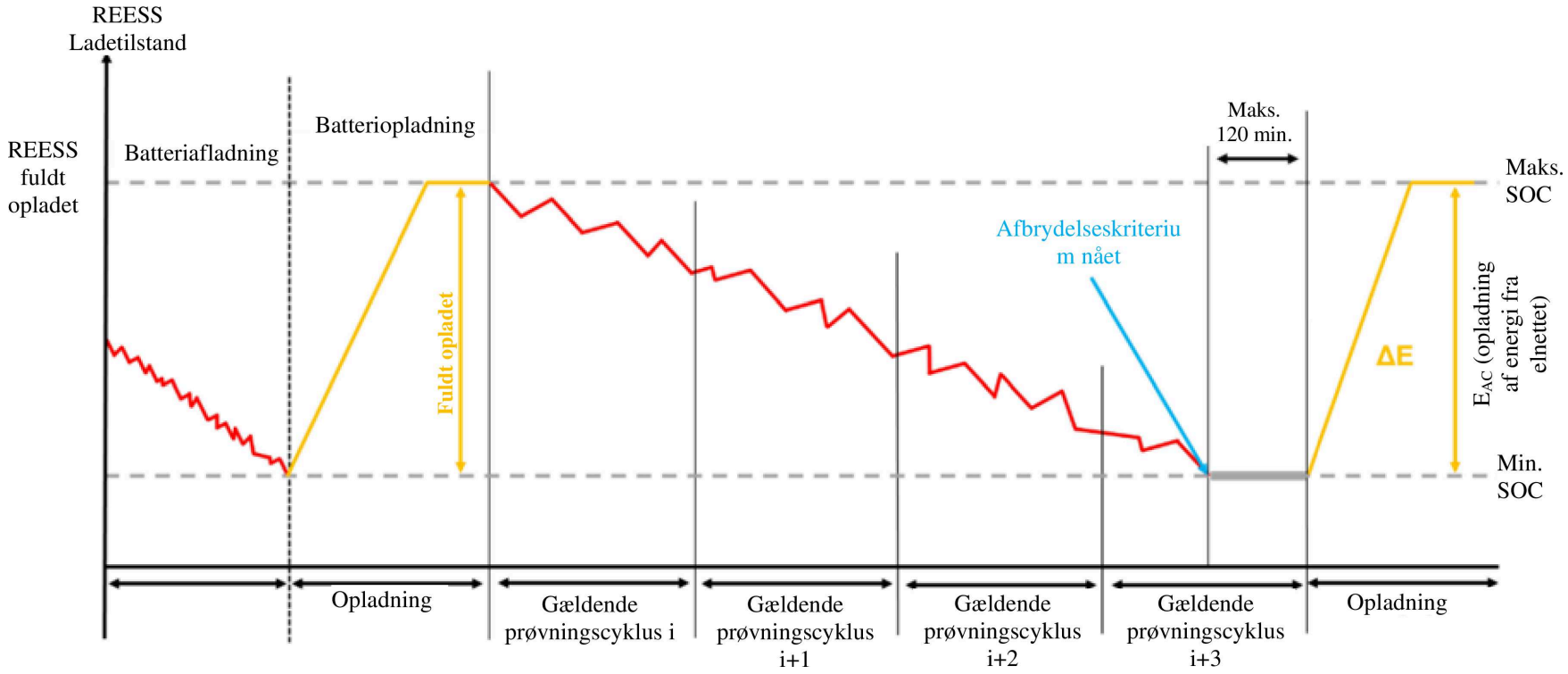
ELI: http://data.europa.eu/eli/reg/2026/1130/oj

3. Prøvningssekvenser for PEV

3.1. Procedure for fortløbende cyklusser (figur A8.Till.1/6)

Figur A8.App1/6

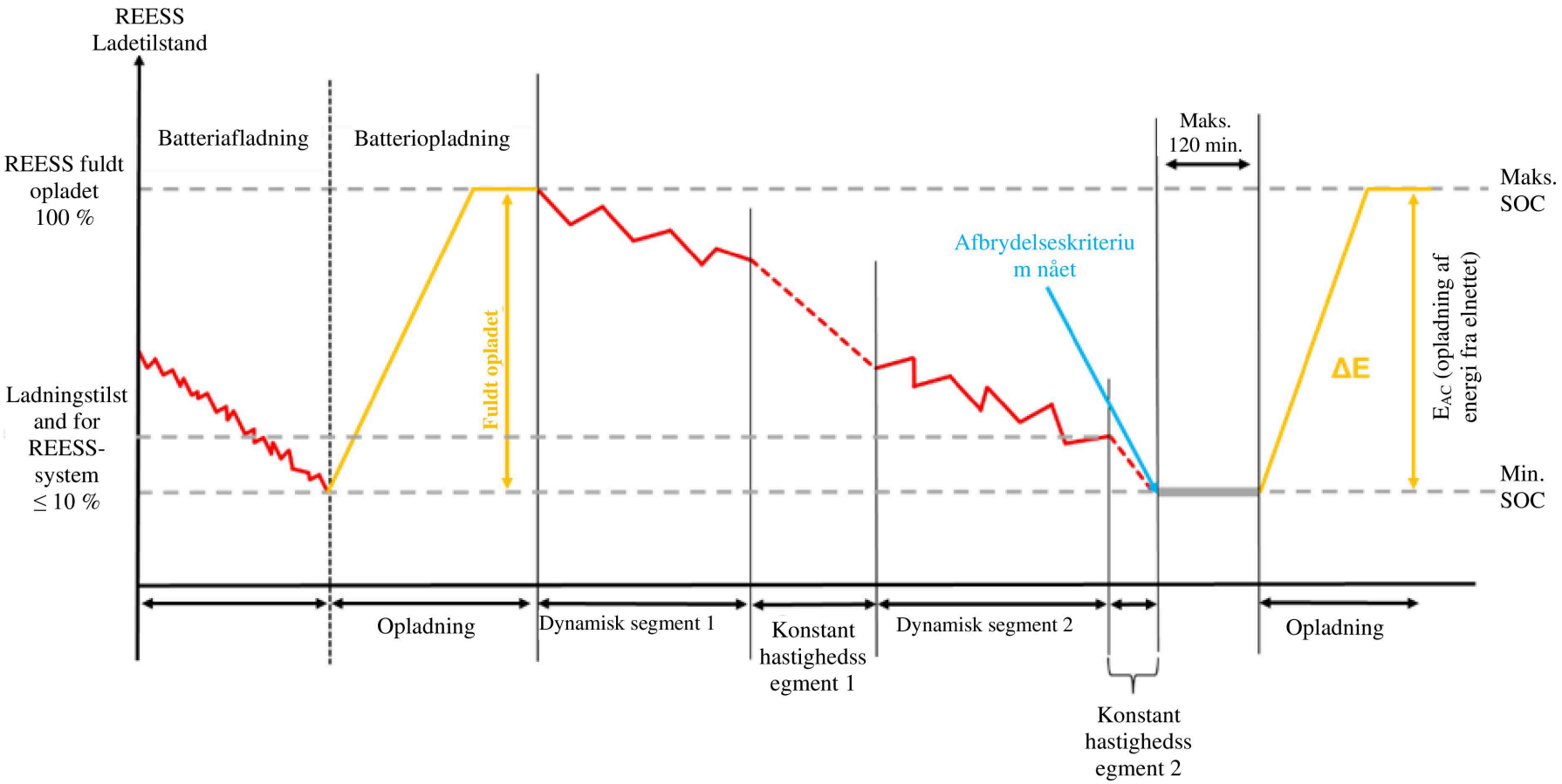
Prøvningssekvens for PEV i fortløbende cyklusser



3.2. Forkortet prøvningsprocedure (figur A8.Till.1/7)

Figur A8.App1/7

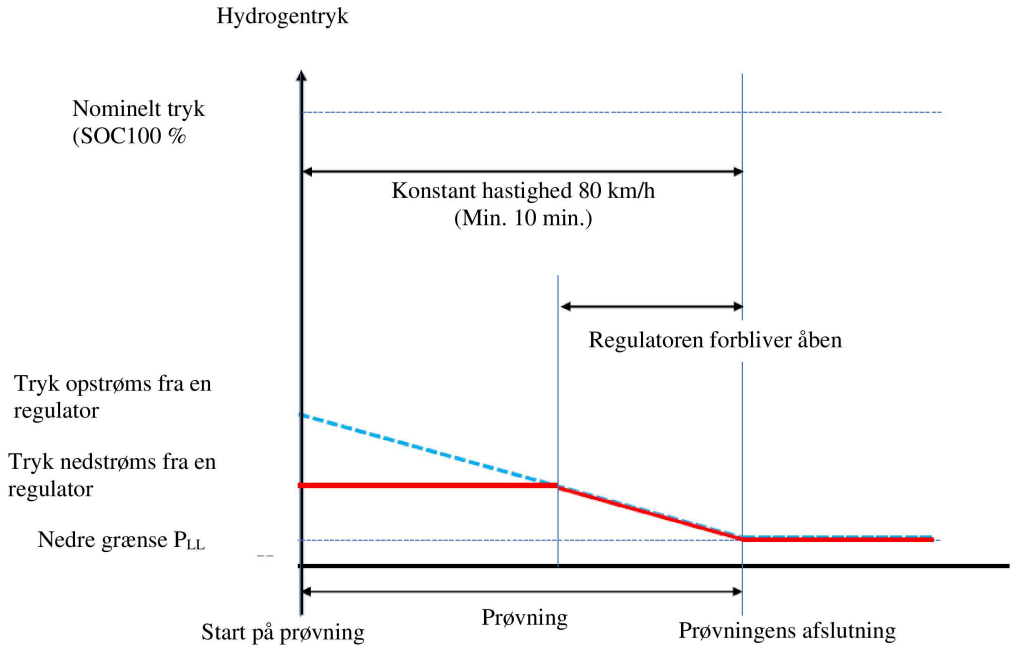
Forkortet prøvningsprocedure, prøvningssekvens for PEV'er



4. Prøvningssekvens for NOVC-FCHV'er og OVC-FCHV'er, prøvning af nedre trykgrænse (figur A8.App1/8)

Figur A8.App1/8

NOVC-FCHV'er og OVC-FCHV'er, prøvning af nedre trykgrænse



Bilag B8 - Tillæg 2

REESS-energiændringsbaseret korrektionsprocedure

I dette tillæg beskrives fremgangsmåden for korrektion af den ladningsbevarende type 1-prøvning af CO_2-emissionen for NOVC-HEV'er og OVC-HEV'er og den ladningsbevarende type 1–prøvning af brændstofforbruget for NOVC-FCHV'er og OVC-FCHV'er (hvis relevant) som en funktion af den elektriske energiændring for alle REESS'er.

1. Generelle krav

1.1. Anvendelse af dette tillæg

1.1.1. Korrektionen foretages på det fasespecifikke brændstofforbrug for NOVC-FCHV'er og OVC-FCHV i ladningsbevarende type 1-prøvning og på de fasespecifikke CO_2-emissioner for NOVC-HEV'er og OVC-HEV'er i ladningsbevarende type 1-prøvning.

1.1.2. Anvendelsen af korrektionen i den samlede cyklus af brændstofforbruget for NOVC-FCHV'er og OVC-FCHV'er på CO_2-emission for NOVC-HEV'er og OVC-HEV'er er baseret på REESS-energiændring $\Delta E_{REESS,CS}$ i ladningsbevarende type 1-prøvning og korrektionskriteriet c.

Punkt 4.3 i dette bilag anvendes til beregning af $\Delta E_{REESS,CS}$. Den pågældende periode j anvendt i punkt 4.3 i dette bilag er defineret ved type 1-prøvningen i ladningsbevarende tilstand. Korrektionskriteriet c bestemmes i henhold til punkt 1.2 i dette tillæg.

1.1.3. Korrektionen af den samlede cyklus anvendes på brændstofforbruget for NOVC-FCHV'er og OVC-FCHV'er, CO_2 emissionen for NOVC-HEV'er og OVC-HEV'er, hvis $\Delta E_{REESS,CS}$ er negativ, hvilket svarer til afladning af REESS, og korrektionskriteriet c beregnet i punkt 1.2 i dette tillæg er større end den gældende grænseværdi i henhold til tabel A8.Till2/1.

1.1.4. Korrektionen af den samlede cyklus kan udelades ved brændstofforbruget for NOVC-FCHV'er og OVC-FCHV'er, hvor CO2-emission for NOVC-HEV'er og OVC-HEV'er og ukorrigerede værdier kan anvendes, hvis:

a) $\Delta E_{REESS,CS}$ er positiv, hvilket betyder, at REESS oplades, og at korrektionskriteriet c, beregnet i punkt 1.2 i dette tillæg, er større end den gældende tolerance i henhold til tabel A8.Till2/1

b) korrektionskriteriet c, beregnet i henhold til punkt 1.2 i dette tillæg, er mindre end den gældende tolerance i henhold til tabel A8.Till2/1

c) fabrikanten over for den kompetente myndighed ved måling kan godtgøre, at der ikke er nogen forbindelse mellem $\Delta E_{REESS,CS}$ og den ladningsbevarende CO_2-emission eller mellem $\Delta E_{REESS,CS}$ og det ladningsbevarende brændstofforbrug.

1.2. Korrektionskriteriet c er forholdet mellem den absolutte værdi af den elektriske energiændring i REESS, $\Delta E_{REESS,CS}$, og brændstofenergien, og dette beregnes som følger:

$$c = \frac{|\Delta E_{REESS,CS}|}{E_{fuel,CS}}$$

hvor:

$\Delta E_{REESS,CS}$ er REESS-energiændringen i ladningsbevarende tilstand i henhold til punkt 1.1.2 i dette tillæg (Wh)

$E_{fuel,CS}$ er det ladningsbevarende energiindhold i det forbrugte brændstof i overensstemmelse med punkt 1.2.1 i dette tillæg for NOVC-HEV'er og OVC-HEV'er, og i overensstemmelse med punkt 1.2.2 i dette tillæg i tilfælde af NOVC-FCHV'er og OVC-FCHV'er (Wh).

1.2.1. Brændstofenergien for NOVC-HEV'er og OVC-HEV'er i ladningsbevarende tilstand

Energiindholdet i det forbrugte brændstof til NOVC-HEV'er og OVC-HEV'er i ladningsbevarende tilstand beregnes ved hjælp af følgende ligning:

$$\mathbf{E_{fuel,CS} = 10 \times HV \times FC_{CS,nb} \times d_{CS}}$$

hvor:

$\mathbf{E_{fuel,CS}}$	er energiindholdet i det forbrugte brændstof i ladningsbevarende tilstand for den gældende WLTP-prøvningscyklus i ladningsbevarende type 1-prøvning (Wh)
HV	er brændværdien i henhold til tabel A6.Till2/1 (kWh/l)
$\mathbf{FC_{CS,nb}}$	er det ikke afstemte brændstofforbrug i ladningsbevarende type 1-prøvning, ikke korrigeret for energibalance, bestemt i henhold til tabel punkt 6 i bilag 7, ved anvendelse af værdierne for gasformige emissionsforbindelser i tabel A8/5, trin nr. 2 (l/100 km).
$\mathbf{d_{CS}}$	er den kørte distance i den tilsvarende gældende WLTP-prøvningscyklus (km)
10	omregningsfaktor til Wh.

1.2.2. Brændstofenergien for NOVC-HEV'er og OVC-HEV'er i ladningsbevarende tilstand

Energiindholdet i det forbrugte brændstof til NOVC-HEV'er og OVC-HEV'er i ladningsbevarende tilstand beregnes ved hjælp af følgende ligning:

$$\mathbf{E_{fuel,CS} = \frac{1}{0.36} \times 121 \times FC_{CS,nb} \times d_{CS}}$$

hvor:

$\mathbf{E_{fuel,CS}}$	er energiindholdet i det forbrugte brændstof i ladningsbevarende tilstand for den gældende WLTP-prøvningscyklus i ladningsbevarende type 1-prøvning (Wh)
121	er den nedre brændværdi af hydrogen (MJ/kg)
$\mathbf{FC_{CS,nb}}$	er det ikke afstemte brændstofforbrug i ladningsbevarende type 1-prøvning, ikke korrigeret for energibalance, bestemt i henhold til tabel A8/7, trin 1 (kg/100 km).
$\mathbf{d_{CS}}$	er den kørte distance i den tilsvarende gældende WLTP-prøvningscyklus (km)
$\frac{\mathbf{1}}{\mathbf{0.36}}$	omregningsfaktor til Wh.

Tabel A8.Till.2/1

RCB-korrektionskriterier, tærskelværdier

Gældende type 1-prøvningscyklus	Lav + Medium	Lav + Medium + Høj	Lav + Medium + Høj + Ekstra høj
Tærskelværdier for korrektionskriterium c	0,015	0,01	0,005

2. Beregning af korrektionskoefficienter

2.1. Korrektionskoefficienten K_{CO2} for CO_2-emissionen, korrektionskoefficienterne $K_{fuel,FCHV}$ for brændstofforbruget og, hvis fabrikanten kræver det, de fasespecifikke korrektionskoefficienter $K_{CO2,p}$ og $K_{fuel,FCHV,p}$, udarbejdes på grundlag af den gældende ladningsbevarende type 1-prøvningscyklus.

Hvis køretøj H blev prøvet med henblik på udvikling af korrektionskoefficienten for CO_2-emission for NOVC-HEV'er og OVC-HEV'er, kan koefficienten anvendes inden for interpolationsfamilien. For interpolationsfamilier, der opfylder kriterierne for K_{CO2}-korrektionsfaktorfamilien som defineret i punkt 6.3.11 i dette regulativ, kan den samme K_{CO2}-værdi anvendes.

Hvis køretøj H blev prøvet med henblik på udvikling af korrektionskoefficienten for brænstofforbrug for NOVC-FCHV'er og OVC-FCHV'er, kan koefficienten anvendes inden for interpolationsfamilien.

2.2. Korrektionskoefficienterne fastsættes ud fra en række ladningsbevarende type 1-prøvninger i henhold til punkt 3 i dette tillæg. Antallet af prøvninger gennemført af fabrikanten skal være lig med eller større end fem.

Ladningstilstanden for REESS kan indstilles forud for prøvningen efter fabrikantens anbefalinger efter aftale med den ansvarlige myndighed og som beskrevet i punkt 3. Denne praksis må kun anvendes til opnåelse af en ladningsbevarende type 1-prøvning med modsat fortegn for $\Delta \mathbf{E_{REESS,CS}}$..

Sættet af målinger skal opfylde følgende kriterier:

a) Sættet skal indeholde mindst én prøvning med $\Delta \mathbf{E_{REESS,CS,n}} \leq \mathbf{0}$ og mindst én prøvning med $\Delta \mathbf{E_{REESS,CS,n}} > \mathbf{0}$. $\Delta \mathbf{E_{REESS,CS,n}}$ er summen af elektriske energiændringer i alle REESS'er i fase n beregnet efter punkt 4.3 i dette bilag.

b) Forskellen med hensyn til $\mathbf{M_{CO2,CS}}$ mellem prøvningen med den største negative elektriske energiændring og prøvningen med den største positive energiændring skal være større end eller lig med 5 g/km. Dette kriterium må ikke anvendes til bestemmelse af $K_{fuel,FCHV}$.

Ved fastsættelsen af K_{CO2} kan det krævede antal prøvninger reduceres til tre, hvis alle de følgende kriterier er opfyldt foruden kriterierne i litra a) og b):

c) forskellen med hensyn til $\mathbf{M_{CO2,CS}}$ mellem to tilstødende målinger med hensyn til den elektriske energiændring under prøvningen skal være mindre end eller lig med 10 g/km.

d) foruden b) må prøvningen med den største negative elektriske energiændring og prøvningen med den største positive energiændring ikke være i et område defineret ved:

$$-\mathbf{0.01} \leq \frac{\Delta \mathbf{E_{REESS}}}{\mathbf{E_{fuel}}} \leq +\mathbf{0.01},$$

hvor:

$\mathbf{E_{fuel}}$ er energiindholdet i det forbrugte brændstof, beregnet efter punkt 1.2 i dette tillæg (Wh).

e) forskellen med hensyn til $\mathbf{M_{CO2,CS}}$ mellem den prøvning, der har givet den største negative elektriske energiændring, og midtvejspunktet, og forskellen med hensyn til $\mathbf{M_{CO2,CS}}$ mellem midtvejspunktet og den prøvning, der har givet den største positive elektriske energiændring, skal være tilnærmelsesvis sammenfaldende og fortrinsvis inden for de grænser, der er fastsat i litra d). Hvis dette ikke er muligt, skal den kompetente myndighed beslutte, om en ny prøvning er nødvendig.

De korrektionskoefficienter, der er fastsat af fabrikanten, skal gennemgås og godkendes af den kompetente myndighed forud for anvendelsen heraf.

Hvis sættet af mindst fem prøver ikke opfylder kriterium a) eller b) eller begge dele, skal fabrikanten for den kompetente myndighed forelægge dokumentation for, hvorfor køretøjet ikke kan opfylde en af eller begge disse kriterier. Hvis den kompetente myndighed ikke er tilfreds med dokumentationen, kan den kræve, at der udføres supplerende prøvning. Hvis kriterierne efter yderligere prøvninger stadig ikke er opfyldt, skal den kompetente myndighed fastsætte en konservativ korrektionskoefficient baseret på målingerne.

2.3. Beregning af korrektionskoefficienter $\mathbf{K_{fuel,FCHV}}$ og $\mathbf{K_{CO2}}$

2.3.1. Fastsættelsen af korrektionskoefficienten for brændstofforbrug $\mathbf{K_{fuel,FCHV}}$

For NOVC-FCHV'er og OVC-FCHV'er defineres korrektionskoefficienten for brændstofforbrug $\mathbf{K_{fuel,FCHV}}$, som er bestemt ved at køre en række ladningsbevarende type 1-prøvninger, ved hjælp af følgende ligning:

$$\mathbf{K_{fuel,FCHV}} = \frac{\sum_{n=1}^{n_{CS}} \left((\mathbf{EC_{DC,CS,n}} - \mathbf{EC_{DC,CS,avg}}) \times (\mathbf{FC_{CS,nb,n}} - \mathbf{FC_{CS,nb,avg}}) \right)}{\sum_{n=1}^{n_{CS}} (\mathbf{EC_{DC,CS,n}} - \mathbf{EC_{DC,CS,avg}})^2}$$

hvor:

$\mathbf{K_{fuel,FCHV}}$	er korrektionskoefficienten for brændstofforbrug (kg/100 km)/(Wh/km)
$\mathbf{EC_{DC,CS,n}}$	er det ladningsbevarende elektriske energiforbrug i prøvning n, baseret på ladningsforbruget i REESS i overensstemmelse med nedenstående ligning (Wh/km)
$\mathbf{EC_{DC,CS,avg}}$	er det gennemsnitlige elektriske energiforbrug i de ladningsbevarende $\mathbf{n_{CS}}$ prøvninger, baseret på ladningsforbruget i REESS i overensstemmelse med nedenstående ligning (Wh/km)
$\mathbf{FC_{CS,nb,n}}$	er det ladningsbevarende brændstofforbrug i prøvning n, ikke korrigeret for energibalance, bestemt i henhold til tabel A8/7, trin nr. 1 (kg/100 km)
$\mathbf{FC_{CS,nb,avg}}$	er det aritmetiske gennemsnit af det ladningsbevarende brændstofforbrug for $\mathbf{n_{CS}}$ prøvninger baseret på brændstofforbruget, ikke korrigeret for energibalance, i overensstemmelse med nedenstående ligning (kg/100 km)
$\mathbf{n}$	er indeksnummeret for den pågældende prøvning
$\mathbf{n_{CS}}$	er det samlede antal prøvninger

samt:

$$\mathbf{EC_{DC,CS,avg}} = \frac{1}{\mathbf{n_{CS}}} \times \sum_{n=1}^{n_{CS}} \mathbf{EC_{DC,CS,n}}$$

samt:

$$\mathbf{FC_{CS,nb,avg}} = \frac{1}{\mathbf{n_{CS}}} \times \sum_{n=1}^{n_{CS}} \mathbf{FC_{CS,nb,n}}$$

samt:

$$\mathbf{EC_{DC,CS,n}} = \frac{\Delta \mathbf{E_{REESS,CS,n}}}{\mathbf{d_{CS,n}}}$$

hvor:

$\Delta \mathbf{E_{REESS,CS,n}}$	er den ladningsbevarende elektriske energiændring i REESS i prøvning n i henhold til punkt 1.1.2 i dette tillæg (Wh)
$\mathbf{d_{CS,n}}$	er den kørte distance i den tilsvarende ladningsbevarende type 1-prøvning n (km).

Korrektionskoefficienten for brændstofforbrug afrundes til fire signifikante cifre, jf. punkt 6.1.8 i dette regulativ. Den statistiske signifikans af korrektionskoefficienten for brændstofforbrug skal vurderes af den kompetente myndighed.

2.3.1.1. Det er tilladt at anvende korrektionskoefficienten for brændstofforbrug, som er udviklet ved prøvning gennem hele den gældende WLTP-prøvningscyklus, til korrektion af hver enkelt fase.

2.3.1.2. Ud over forskrifterne i punkt 2.2 i dette tillæg, kan der på fabrikantens anmodning og efter den kompetente myndigheds godkendelse udvikles separate korrektionskoefficienter $\mathbf{K_{fuel,FCHV,p}}$ for hver enkelt fase. I dette tilfælde skal de samme kriterier som beskrevet i punkt 2.2 i dette tillæg være opfyldt i hver enkelt fase, og den procedure, der er beskrevet i punkt 2.3.1 i dette tillæg, skal anvendes for hver enkelt fase til at bestemme hver fases særlige korrektionskoefficient.

2.3.2. Bestemmelse af korrektionskoefficienten for CO_2-emission, K_{CO2}

For OVC-HEV'er og NOVC-HEV'er defineres korrektionskoefficienten for CO_2-emission, $\mathbf{K_{CO2}}$, som er bestemt ved at køre en række ladningsbevarende type 1-prøvninger, ved hjælp af følgende ligning:

$$\mathbf{K_{CO2}} = \frac{\sum_{\mathbf{n=1}}^{\mathbf{n_{CS}}} \left((\mathbf{EC_{DC,CS,n}} - \mathbf{EC_{DC,CS,avg}}) \times (\mathbf{M_{CO2,CS,nb,n}} - \mathbf{M_{CO2,CS,nb,avg}}) \right)}{\sum_{\mathbf{n=1}}^{\mathbf{n_{CS}}} (\mathbf{EC_{DC,CS,n}} - \mathbf{EC_{DC,CS,avg}})^2}$$

hvor:

$\mathbf{K_{CO2}}$	er korrektionskoefficienten for CO_2-emission (g/km)/(Wh/km)
$\mathbf{EC_{DC,CS,n}}$	er det ladningsbevarende elektriske energiforbrug i prøvning n, baseret på ladningsforbruget i REESS i henhold til punkt 2.3.1 i dette tillæg (Wh/km)
$\mathbf{EC_{DC,CS,avg}}$	er det aritmetiske gennemsnit af det ladningsbevarende elektriske energiforbrug i $\mathbf{n_{CS}}$-prøvningerne, baseret på ladningsforbruget i REESS i henhold til punkt 2.3.1 i dette tillæg (Wh/km)
$\mathbf{M_{CO2,CS,nb,n}}$	er den ladningsbevarende CO_2-emission i prøvning n, ikke korrigeret for energibalance, bestemt i henhold til tabel A8/5, trin nr. 2 (g/km)
$\mathbf{M_{CO2,CS,nb,avg}}$	er det aritmetiske gennemsnit af den ladningsbevarende CO_2-emission for $\mathbf{n_{CS}}$-prøvninger baseret på CO_2-emissionen, ikke korrigeret for energibalance, i overensstemmelse med nedenstående ligning (g/km)
$\mathbf{n}$	er indeksnummeret for den pågældende prøvning
$\mathbf{n_{CS}}$	er det samlede antal prøvninger

samt:

$$\mathbf{M_{CO2,CS,nb,avg}} = \frac{\mathbf{1}}{\mathbf{n_{CS}}} \times \sum_{\mathbf{n=1}}^{\mathbf{n_{CS}}} \mathbf{M_{CO2,CS,nb,n}}$$

Korrektionskoefficienten for CO_2-emission afrundes til fire signifikante cifre, jf. punkt 6.1.8 i dette regulativ. Den statistiske signifikans af korrektionskoefficienten for CO_2-emission skal vurderes af den kompetente myndighed.

2.3.2.1. Det er tilladt at anvende den korrektionskoefficient for CO_2-emission, som er udviklet ved prøvning gennem hele den gældende WLTP-prøvningscyklus, til korrektion af hver enkelt fase.

2.3.2.2. Ud over forskrifterne i punkt 2.2 i dette tillæg, kan der på fabrikantens anmodning og efter den kompetente myndigheds godkendelse udvikles separate korrektionskoefficienter for CO_2-emission $\mathbf{K_{CO2,p}}$ for hver enkelt fase. I dett e tilfælde skal de samme kriterier som beskrevet i punkt 2.2 i dette tillæg være opfyldt i hver enkelt fase, og den procedure, der er beskrevet i punkt 2.3.2 i dette tillæg skal anvendes for hver enkelt fase til at bestemme hver fases særlige korrektionskoefficient.

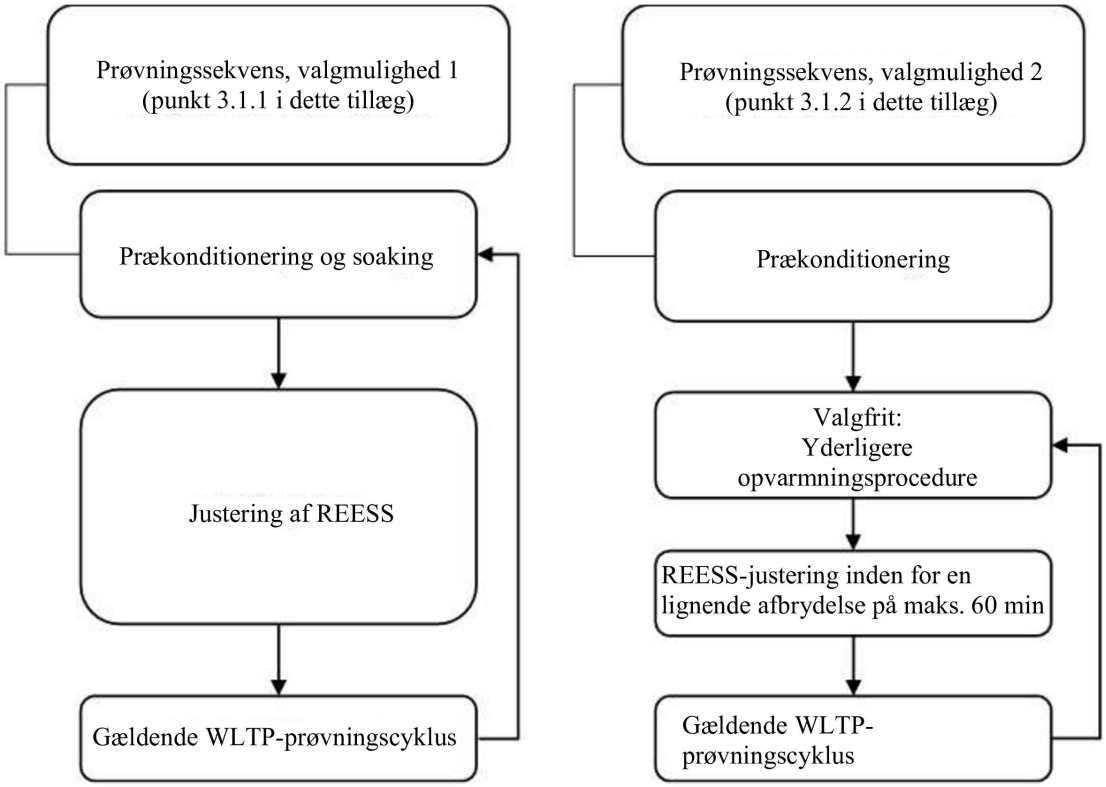
3. Prøvningsprocedure til bestemmelse af korrektionskoefficienterne

3.1. OVC-HEV'er og OVC-FCHV'er

For OVC-HEV'er og OVC-FCHV'er anvendes en af følgende prøvningssekvenser i henhold til figur A8.Till2/1 til at måle alle værdier, som er nødvendige for fastsættelse af korrektionskoefficienterne i overensstemmelse med punkt 2 i dette tillæg.

Figur A8.Till.1/2

OVC-HEV- og OVC-FCHV-prøvningssekvenser



3.1.1. Prøvningssekvens, valgmulighed 1

3.1.1.1. Prækonditionering og soaking

Prækonditionering og soaking foretages i overensstemmelse med punkt 2.1 i tillæg 4 til dette bilag.

3.1.1.2. Justering af REESS

Forud for prøvningsproceduren i henhold til punkt 3.1.1.3 i dette tillæg kan fabrikanten justere REESS-systemet. Fabrikanten skal forelægge dokumentation for, at kravene til begyndelsen af prøvningen i overensstemmelse med punkt 3.1.1.3 i dette tillæg er opfyldt.

3.1.1.3. Prøvningsmetode

3.1.1.3.1. Den førervalgte driftstilstand for den gældende WLTP-prøvningscyklus vælges i henhold til punkt 3 i tillæg 6 til dette bilag.

3.1.1.3.2. Ved prøvningen skal den gældende WLTP-prøvningscyklus i henhold til punkt 1.4.2 i dette bilag køres.

3.1.1.3.3. Medmindre andet er anført i dette tillæg, skal køretøjet prøves i henhold til type 1-prøvningsproceduren beskrevet i bilag B6.

3.1.2. Prøvningssekvens, valgmulighed 2

3.1.2.1. Prækonditionering

Prøvningskøretøjet konditioneres efter punkt 2.1.1 eller punkt 2.1.2 i tillæg 4 til dette bilag.

3.1.2.2. Justering af REESS

Efter prækonditioneringen udelades soaking, jf. punkt 2.1.3 i tillæg 4 til dette bilag, og der indledes en pause med en maksimal varighed på 60 minutter, hvor REESS kan justeres. En tilsvarende pause skal gå forud for hver prøvning. Umiddelbart efter denne pause anvendes kravene i punkt 3.1.2.3 i dette tillæg.

På fabrikantens anmodning kan en supplerende opvarmningsprocedure gennemføres forud for justeringen af REESS for at sikre de samme udgangsbetingelser for fastsættelsen af korrektionskoefficienten. Hvis fabrikanten kræver denne supplerende opvarmningsprocedure, anvendes denne samme opvarmningsprocedure gentagne gange under prøvningssekvensen.

3.1.2.3. Prøvningsmetode

3.1.2.3.1. Den førervalgte driftstilstand for den gældende WLTP-prøvningscyklus vælges i henhold til punkt 3 i tillæg 6 til dette bilag.

3.1.2.3.2. Ved prøvningen skal den gældende WLTP-prøvningscyklus i henhold til punkt 1.4.2 i dette bilag køres.

3.1.2.3.3. Medmindre andet er anført i dette tillæg, skal køretøjet prøves i henhold til type 1-prøvningsproceduren beskrevet i bilag B6.

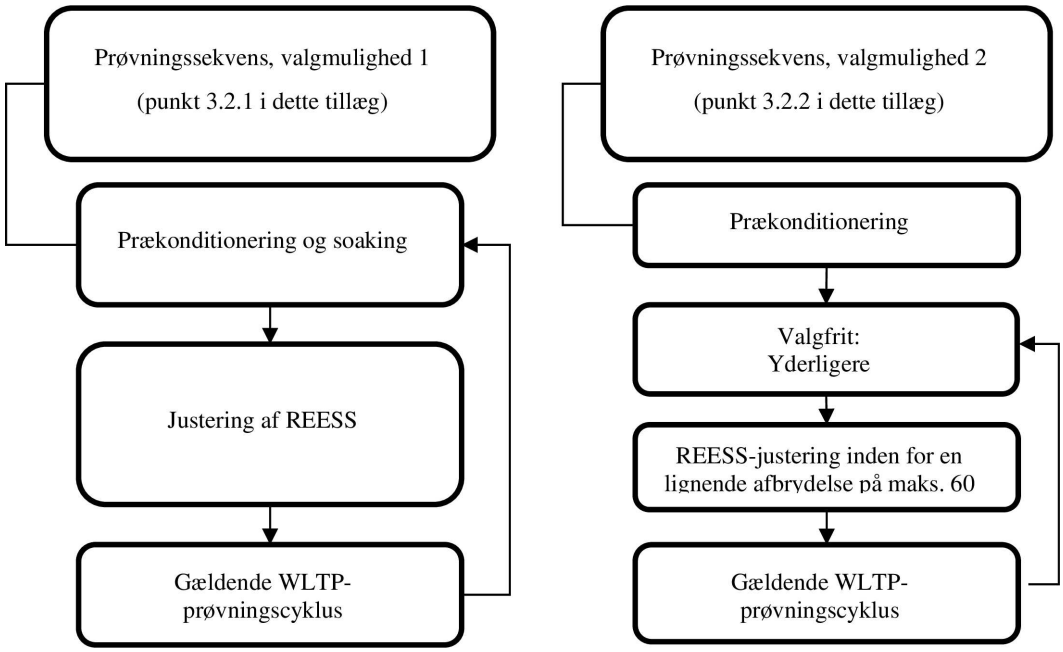
3.1.2.3.4. Ved gennemførelse af en række fortløbende sekvenser udelades punkt 3.1.2.1.

3.2. NOVC-HEV'er og NOVC-FCHV'er

For NOVC-HEV'er og NOVC-FCHV'er anvendes en af følgende prøvningssekvenser i henhold til figur A8.Till2/2 til at måle alle værdier, som er nødvendige for fastsættelse af korrektionskoefficienterne i overensstemmelse med punkt 2 i dette tillæg.

Figur A8.Till.2/2

NOVC-HEV- og NOVC-FCHV-prøvningssekvenser



3.2.1. Prøvningssekvens, valgmulighed 1

3.2.1.1. Prækonditionering og soaking

Køretøjet konditioneres og udsættes for soaking i henhold til punkt 3.3.1 i dette bilag.

3.2.1.2. Justering af REESS

Forud for prøvningsproceduren i henhold til punkt 3.2.1.3 i dette tillæg kan fabrikanten justere REESS-systemet. Fabrikanten skal forelægge dokumentation for, at kravene til begyndelsen af prøvningen i overensstemmelse med punkt 3.2.1.3 i dette tillæg er opfyldt.

3.2.1.3. Prøvningsmetode

3.2.1.3.1. Den førervalgte driftstilstand for den gældende WLTP-prøvningscyklus vælges i henhold til punkt 3 i tillæg 6 til dette bilag.

3.2.1.3.2. Ved prøvningen skal den gældende WLTP-prøvningscyklus i henhold til punkt 1.4.2 i dette bilag køres.

3.2.1.3.3. Medmindre andet er anført i dette tillæg, skal køretøjet prøves i henhold til den ladningsbevarende type 1-prøvningsprocedure beskrevet i bilag B6.

3.2.2. Prøvningssekvens, valgmulighed 2

3.2.2.1. Prækonditionering

Prøvningskøretøjet konditioneres i henhold til punkt 3.3.1.1 i dette bilag.

3.2.2.2. Justering af REESS

Efter prækonditioneringen udelades soaking, jf. punkt 3.3.1.2 i dette bilag, og der indledes en pause med en maksimal varighed på 60 minutter, hvor REESS kan justeres. En tilsvarende pause skal gå forud for hver prøvning. Umiddelbart efter denne pause anvendes kravene i punkt 3.2.2.3 i dette tillæg.

På fabrikantens anmodning kan en supplerende opvarmningsprocedure gennemføres forud for justeringen af REESS for at sikre de samme udgangsbetingelser for fastsættelsen af korrektionskoefficienten. Hvis fabrikanten kræver denne supplerende opvarmningsprocedure, anvendes denne samme opvarmningsprocedure gentagne gange under prøvningssekvensen.

3.2.2.3. Prøvningsmetode

3.2.2.3.1. Den førervalgte driftstilstand for den gældende WLTP-prøvningscyklus vælges i henhold til punkt 3 i tillæg 6 til dette bilag.

3.2.2.3.2. Ved prøvningen skal den gældende WLTP-prøvningscyklus i henhold til punkt 1.4.2 i dette bilag køres.

3.2.2.3.3. Medmindre andet er anført i dette tillæg, skal køretøjet prøves i henhold til type 1-prøvningsproceduren beskrevet i bilag B6.

3.2.2.3.4. Ved gennemførelse af en række fortløbende sekvenser udelades punkt 3.2.2.1.

4. Som en mulighed for fabrikanten er det tilladt at anvende ΔMCO2,j som defineret i punkt 4.5 i tillæg 2 til bilag B6 med følgende ændring:

$\eta_{alternator}$ er generatorens effektivitet

0,67 i tilfælde af negativ $\Delta E_{REESS,p}$ (svarer til en afladning)

1,00 i tilfælde af positiv $\Delta E_{REESS,p}$ (svarer til en ladning)

4.1. I dette tilfælde erstattes den korrigerede ladningsbevarende CO_2-emission som defineret i punkt 4.1.1.3, 4.1.1.4 og 4.1.1.5 i dette bilag af ΔMCO2,j i stedet for $\mathbf{K_{CO2,j}} \times \mathbf{EC_{DC,CS,j}}$.

Bilag B8 - Tillæg 3

Bestemmelse af REESS-strømstyrke og REESS-spænding for NOVC-HEV'er, OVC-HEV'er, OVC-FCHV'er, PEV'er og NOVC-FCHV'er (alt efter hvad der er relevant)

1. Indledning

1.1. I dette tillæg beskrives metoden og de fornødne instrumenter til at bestemme REESS-strømstyrken og REESS-spændingen for NOVC-HEV'er, OVC-HEV'er, OVC-FCHV'er, PEV'er og NOVC-FCHV'er.

1.2. Målingen af REESS-strømstyrken og REESS-spænding skal påbegyndes samtidig med prøvningens start og afsluttes umiddelbart efter, at køretøjet har gennemkørt den fuldstændige kørecyklus.

1.3. REESS-strømstyrke og REESS-spænding i hver fase skal bestemmes.

1.4. Fortegnelse over de instrumenter, der anvendes af fabrikanten til måling af REESS-spænding og REESS-strømstyrke (herunder instrumentfabrikant, modelnummer, serienummer og sidste kalibreringsdatoer (hvis relevant)) i forbindelse med:

a) type 1-prøvningsproceduren i henhold til punkt 3 i dette bilag

b) proceduren til fastsættelse af korrektionskoefficienterne, jf. tillæg 2 til dette bilag (hvis relevant),

c) Kun niveau 1A og niveau 2 (fase 4 WLTP-prøvning)
Korrektionsprøvning ved omgivelsestemperatur (ATCT) som angivet i bilag B6a

oplyses til den kompetente myndighed.

2. REESS-strømstyrke

REESS-ladningsforbruget defineres som negativ strøm.

2.1. Ekstern måling af REESS-strømstyrke

2.1.1. REESS-strømstyrken måles under prøvningen ved hjælp af en strømtransducer af klemmetypen eller den lukkede type. Strømmålingssystemet skal opfylde kravene i tabel A8/1 i dette bilag. Strømtransduceren(-ne) skal være i stand til at håndtere spidsstrømværdierne ved motorens start og temperaturforholdene på målestedet.

For at få en nøjagtig måling, udføres nuljustering og degaussing før prøvningen i overensstemmelse med instrumentfabrikantens anvisninger.

2.1.2. Strømtransducerne anbringes på en hvilken som helst af REESS'erne på en af de ledninger, som er direkte tilsluttet REESS'en, og forbindes over den samlede REESS-strøm.

I tilfælde af afskærmede kabler anvendes hensigtsmæssige metoder i overensstemmelse med den kompetente myndighed.

For at lette målingen af REESS-strømstyrken ved hjælp af eksternt måleudstyr bør fabrikanterne integrere passende, sikre og tilgængelige forbindelsespunkter i køretøjet. Hvis dette ikke er muligt, er fabrikanten forpligtet til at hjælpe den kompetente myndighed med at forbinde en strømtransducer til en af de ledninger, som er direkte forbundet med REESS på den måde, der er beskrevet ovenfor i dette punkt.

2.1.3. Strømtransducerens output foretages med en minimumsfrekvens på 20 Hz. Den målte strøm integreres med tiden, hvorved den målte værdi Q udtrykt i amperetimer (Ah) fremkommer. Integrationen kan foregå i strømmålings-systemet.

2.2. REESS-strømdata om bord på køretøjet

Som alternativ til punkt 2.1 i dette tillæg kan fabrikanten og den typegodkendende myndighed anvende målte REESS-strømdata om bord på køretøjet. Disse datas nøjagtighed skal påvises over for eller, hvis det er relevant, af den kompetente myndighed.

3. REESS-spænding

Under de prøvninger, der er beskrevet i punkt 3 i dette bilag, skal den værdi af REESS-systemets spænding, der anvendes til hver kategori af prøvningsbegivenheder, være som specificeret i tabel A8 App3/1 og som beskrevet i punkt 3.1 til 3.3 i dette tillæg.

3.1. Ekstern måling af REESS-spænding

REESS-systemets spænding måles med det udstyr og den nøjagtighed, der er specificeret i punkt 1.1 i dette bilag. Til måling af REESS-systemets spænding ved hjælp af eksternt måleudstyr skal fabrikanterne støtte den kompetente myndighed ved at tilvejebringe REESS-spændingsmålepunkter og sikkerhedsinstrukser.

3.2. Nominel REESS-spænding

REESS-systemets nominelle spænding bestemmes i overensstemmelse med IEC 60050-482.

3.3. REESS-spændingsdata om bord på køretøjet

Som alternativ til den eksterne måling af REESS-spænding, jf. punkt 3.1 i dette tillæg, kan fabrikanten og den typegodkendende myndighed anvende målte REESS-spændingsdata om bord på køretøjet. Disse datas nøjagtighed skal påvises over for eller, hvis det er relevant, af den kompetente myndighed.

Tabel A8/Till3/1

<table>
<tr><th rowspan="2">Prøvebegivenheder</th><th rowspan="2">Punkt 3.1.</th><th colspan="2">Punkt 3.2.</th><th rowspan="2">Punkt 3.3.</th></tr>
<tr><th>60 V eller derover</th><th>Under 60 V</th></tr>
<tr><td>NOVC-HEV</td><td rowspan="6">må ikke anvendes</td><td colspan="2" rowspan="6">skal anvendes</td><td rowspan="6">må ikke anvendes</td></tr>
<tr><td>OVC-HEV CS-tilstand</td></tr>
<tr><td>NOVC-FCHV</td></tr>
<tr><td>OVC-FCHV CS-tilstand</td></tr>
<tr><td>REESS-energiændringsbaseret korrektionsprocedure (tillæg 2)</td></tr>
<tr><td>Beregning af afbrydelseskriteriet for CD-prøvning (bilag B8, punkt 3.2.4.5.2)</td></tr>
<tr><td>OVC-HEV CD-tilstand</td><td rowspan="3">kan anvendes</td><td rowspan="3">må ikke anvendes</td><td rowspan="3">kan anvendes</td><td rowspan="3">kan anvendes</td></tr>
<tr><td>OVC-FCHV CD-tilstand</td></tr>
<tr><td>PEV</td></tr>
</table>

Bilag B8 - Tillæg 4

Prækonditionering, soaking og REESS-opladningsbetingelser for PEV'er og OVC-HEV'er og OVC-FCHV'er (alt efter hvad der er relevant)

1. I dette tillæg beskrives prøvningsproceduren for REESS og prækonditioneringen af forbrændingsmotor med henblik på:

   a) måling af elektrisk rækkevidde og ladningsforbrugende og ladningsbevarende målinger ved prøvning af OVC-HEV'er og OVC-FCHV'er og

   b) Måling af elektrisk rækkevidde og elektrisk energiforbrug ved prøvning af PEV'er.

2. OVC-HEV- og OVC-FCHV-prækonditionering og -soaking

2.1. Prækonditionering og soaking, når prøvningsproceduren starter med en prøvning i ladningsbevarende tilstand

2.1.1. Med henblik på prækonditionering af forbrændingsmotoren køres køretøjet gennem mindst en gældende WLTP-prøvningscyklus. Under hver kørt prækonditioneringscyklus bestemmes REESS-systemets ladebalance. Prækonditioneringen standses ved udgangen af den gældende WLTP-prøvningscyklus, under hvilken afbrydelseskriteriet er opfyldt i henhold til punkt 3.2.4.5 i dette bilag.

2.1.2. Som et alternativ til punkt 2.1.1 i dette tillæg, efter anmodning fra fabrikanten og efter den kompetente myndigheds godkendelse kan ladetilstanden for REESS for type 1-prøvningen i ladningsbevarende tilstand indstilles efter fabrikantens anbefalinger med henblik på at opnå en prøvning i ladningsbevarende driftstilstand.

I et sådant tilfælde skal en prækonditioneringsprocedure som den, der gælder for rene ICE-køretøjer som beskrevet i punkt 2.6 i bilag B6, anvendes.

2.1.3. Køretøjer skal soakes i overensstemmelse med punkt 2.7 i bilag B6.

2.2. Prækonditionering og soaking, når prøvningsproceduren starter med en prøvning i ladningsbevarende tilstand

2.2.1. OVC-HEV'er og OVC-FCHV'er køres i mindst én gældende WLTP-prøvningscyklus. Under hver kørt prækonditioneringscyklus bestemmes REESS-systemets ladebalance. Prækonditioneringen standses ved udgangen af den gældende WLTP-prøvningscyklus, under hvilken afbrydelseskriteriet er opfyldt i henhold til punkt 3.2.4.5 i dette bilag.

2.2.2. Køretøjer skal soakes i overensstemmelse med punkt 2.7 i bilag B6. Tvungen køling må ikke anvendes på køretøjer, der er konditioneret til type 1-prøvning. Under soaking skal REESS oplades efter normal opladningsprocedure som defineret i punkt 2.2.3 i dette tillæg.

2.2.3. Anvendelse af normal opladning

Ved normal opladning forstås overførsel af elektricitet til et elektrisk køretøj med en effekt på højst 22 kW.

Hvis der er flere mulige metoder til udførelse af en normal AC-ladning (f.eks. kabel, induktion osv.), anvendes ladeproceduren via kabel.

Findes der flere tilgængelige AC-ladeeffektniveauer, anvendes den højeste normale ladeeffekt. En AC-ladeeffekt, der er lavere end den højeste normale AC-ladeeffekt, kan vælges, hvis det anbefales af fabrikanten og den kompetente myndighed.

2.2.3.1. REESS oplades ved en omgivelsestemperatur som angivet i punkt 2.2.2.2 i bilag B6 med den indbyggede lader, hvis en sådan er monteret.

I følgende tilfælde anvendes en af fabrikanten anbefalet lader og ved anvendelse af det opladningsmønster, der foreskrives for normal opladning, hvis:

a) ingen indbygget lader er monteret, eller

b) ladetiden overstiger den i punkt 2.7 i bilag B6 fastsatte soak-tid.

Procedurerne i dette punkt udelukker alle typer særlige opladningsprocedurer, der vil kunne startes automatisk eller manuelt, f.eks. udligningsopladning eller vedligeholdelsesopladning. Fabrikanten skal afgive en erklæring om, at der under prøvningen ikke har fundet en særlig opladningsprocedure sted.

2.2.3.2. Kriterier for stop af ladning

Kriteriet for stop af ladning er opfyldt, når indbyggede eller eksterne instrumenter viser, at REESS'en er fuldt opladet. Hvis opladningen udføres under soaking og afsluttes inden den krævede minimum af soak-tid som defineret i punkt 2.7 i bilag B6, skal køretøjet forblive tilsluttet til nettet, i det mindste indtil den krævede mindste soak-tid er nået.

3. Prækonditionering og soaking af PEV'er

3.1. Indledende opladning af REESS

Indledende opladning af REESS består af en afladning af REESS og en normal opladning.

3.1.1. Afladning af REESS

Afladningsproceduren skal udføres i henhold til fabrikantens anbefaling. Producenten skal garantere, at REESS er så afladt, som det er muligt ved afladningsproceduren.

3.1.2. Soaking og anvendelse af normal ladning

Køretøjer skal soakes i overensstemmelse med punkt 2.7 i bilag B6.

Under soaking skal REESS oplades efter normal opladningsprocedure som defineret i punkt 2.2.3 i dette tillæg.

Bilag B8 - Tillæg 5

Nytteværdifaktorer (UF) for OVC-HEV'er OVC-FCHV'er (alt efter hvad der er relevant)

1. Reserveret

2. Med henblik på godkendelse af OVC-HEV'er eller OVC-FCHV'er i kategori M1 eller N1 med emissionstegn EA, EB eller EC som omhandlet i tabel A3/1 i bilag 3 til regulativ nr. 83, ændringsserie 08, beregnes den delvise nytteværdifaktor UF_j til vægtningen af periode j i overensstemmelse med følgende ligning:

$$\mathbf{UFj(dj)} = \mathbf{1} - \mathbf{exp}\left\{ - \left(\sum_{\mathbf{i=1}}^{\mathbf{k}} \mathbf{C_i} \times \left(\frac{\mathbf{d_j}}{\mathbf{d_{nx}}} \right)^{\mathbf{i}} \right) \right\} - \sum_{\mathbf{l=1}}^{\mathbf{j-1}} \mathbf{UF_l}$$

hvor:

UF_j	nytteværdifaktor for perioden j
d_j	den målte kørte distance kørt ved slutningen af perioden j (km)
C_i	den i'te koefficient (se tabel A8.Till5/1)
d_{nx}	d_{nea}, d_{neb}, d_{nec}, normaliseret distance (se tabel A8.App5/1)
k	nummer på vilkår og koefficienter i eksponenten
j	nummer på betragtet periode
i	nummer på betragtet vilkår/koefficient
$\sum_{l=1}^{j-1} UF_l$	summen af de beregnede nytteværdifaktorer indtil periode (j-1).

Den normaliserede distance "d_{nx}" fastlægges i overensstemmelse med tabel A8.App5/1.

Tabel A8.Till.5/1

Parametre til bestemmelse af delvise UF'er (hvis relevant)

Parametre	Værdi
d_{nec}	4260 km
C1	26,25
C2	- 38,94
C3	- 631,05
C4	5 964,83
C5	-25095
C6	60 380,2
C7	-87517
C8	75 513,8
C9	-35749
C10	7 154,94

Bilag B8 - Tillæg 6.

Valg af førervalgte driftstilstande

1. Generelle krav

1.1. Fabrikanten vælger den førervalgte driftstilstand til type 1-prøvningen i henhold til punkt 2 til og med punkt 4 i dette tillæg, der gør det muligt for køretøjet at følge den relevante prøvningscyklus inden for hastighedskurvetolerancerne i henhold til punkt 2.6.8.3.1.2 i bilag B6. Dette finder anvendelse på alle køretøjssystemer med førervalgte driftstilstandr, herunder dem, der ikke udelukkende er specifikke for transmissionen.

1.2. Fabrikanten skal indsende dokumentation til den kompetente myndighed om:

a) eksistensen af en fremherskende driftstilstand under de betragtede forhold

b) den maksimale hastighed for det pågældende køretøj

og, hvis det er påkrævet:

c) Best case- og worst case-tilstand identificeret ved dokumentation om brændstofforbrug og, hvis det er relevant, om CO_2-emission inden for alle tilstande. Jf. punkt 2.6.6.3 i bilag B6.

d) de mest elenergiforbrugende tilstande

e) Cyklusenergikravet (i henhold til punkt 5 i bilag B7, hvor målhastigheden erstattes af den faktiske hastighed).

1.3. På grundlag af teknisk dokumentation fra fabrikanten og med den kompetente myndigheds samtykke tages der ikke hensyn til de særlige førervalgte driftstilstande, såsom "bjergtilstand" eller "vedligeholdelsestilstand", som ikke er beregnet til normal daglig drift, men kun til særlige begrænsede formål. Uanset den førervalgte driftstilstand, der er valgt til type 1-prøvningen i henhold til punkt 2 og 3 i dette tillæg, skal køretøjet opfylde kriterieemissionsgrænserne i alle resterende førervalgte tilstande, der anvendes til fremadkørsel.

2. OVC-HEV'er og OVC-FCHV'er (alt efter hvad der er relevant) udstyret med en førervalgt driftstilstand i ladningsforbrugende driftstilstand

For køretøjer, der er udstyret med en førervalgt driftstilstand, vælges funktionsmåden for ladningsforbrugende type 1-prøvning ud fra følgende betingelser.

Rutediagrammet i figur A8.Till6/1 illustrerer valget af tilstand i overensstemmelse med dette punkt.

2.1. Hvis der findes en fremherskende driftstilstand, der gør det muligt, at køretøjet kan følge referenceprøvningscyklussen i ladningsforbrugende driftstilstand, vælges denne driftstilstand.

2.2. Hvis der ikke findes nogen fremherskende funktionstilstand, eller hvis der findes en fremherskende driftstilstand, som imidlertid ikke muliggør, at køretøjet kan følge referenceprøvningscyklussen i ladningsforbrugende driftstilstand, vælges prøvningstilstanden efter følgende betingelser:

a) Hvis der kun findes en tilstand, der muliggør, at køretøjet kan følge referenceprøvningscyklussen i ladningsforbrugende driftstilstand, vælges denne tilstand.

b) Hvis flere driftstilstande er i stand til at følge referenceprøvningscyklussen i ladningsforbrugende driftstilstand, og ingen af disse tilstande er en konfigurerbar starttilstand, vælges worst case-tilstand for elforbruget for disse tilstande.

c) Hvis flere driftstilstande er i stand til at følge referenceprøvningscyklussen i ladningsforbrugende driftstilstand, og mindst to af disse tilstande er en konfigurerbar starttilstand, vælges worst case-tilstand for elforbruget for disse starttilstande.

2.3. Hvis der ikke findes en tilstand, jf. punkt 2.1 og 2.2 i dette tillæg, der gør det muligt at køretøjet kan følge referenceprøvningscyklussen, ændres referenceprøvningscyklussen i overensstemmelse med punkt 9 i bilag B1:

a) Hvis der findes en fremherskende driftstilstand, der gør det muligt, at køretøjet kan følge den modificerede referenceprøvningscyklus i ladningsforbrugende driftstilstand, vælges denne tilstand.

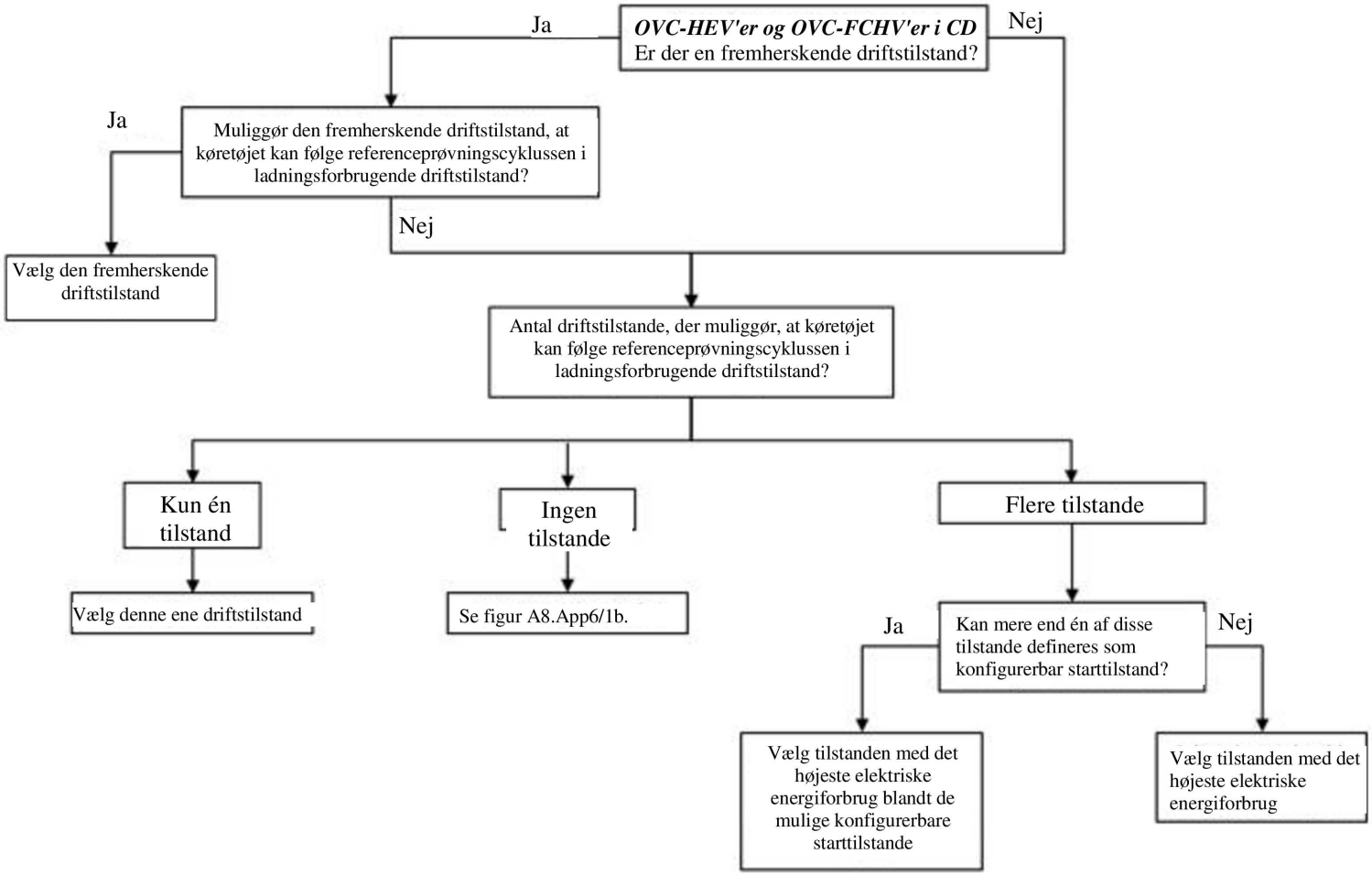
b) Hvis der ikke findes en fremherskende driftstilstand, men andre driftstilstande, der gør det muligt, at køretøjet kan følge den modificerede referenceprøvningscyklus i ladningsforbrugende driftstilstand, vælges worst case-driftstilstand for elforbruget ved disse tilstande. Hvis der er mindst to eller flere konfigurerbare starttilstande, skal worst case-scenariet for det elektriske energiforbrug vælges blandt disse konfigurerbare starttilstande.

c) Hvis der ikke findes en tilstand, der gør det muligt, at køretøjet kan følge den modificerede referenceprøvningscyklus i ladningsforbrugende driftstilstand, identificeres funktionsmåden eller -måderne med det højeste cyklusenergikrav, og worst case-tilstand for elektrisk energiforbrug vælges.

Figur A8.Till.6/1 a og figur A8.Till.6/1b

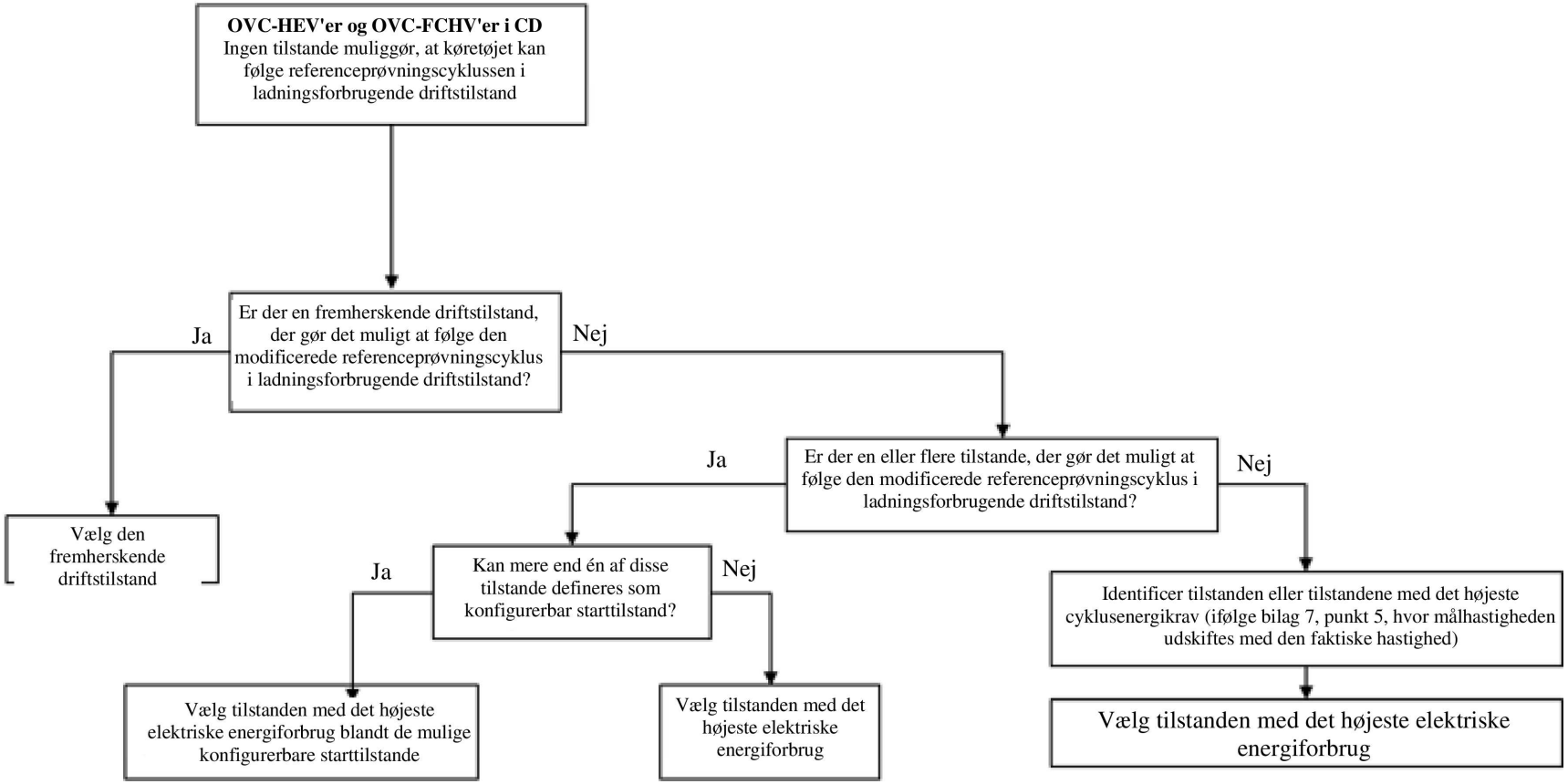
Valg af førervalgt driftstilstand for OVC-HEV'er og OVC-FCHV'er (alt efter hvad der er relevant) i ladningsforbrugende driftstilstand

Figur A8.App6/1a
OVC-HEV'er og OVC-FCHV'er (alt efter hvad der er relevant): CD Type 1-prøvning - Omskifter for valg af tilstand



ELI: http://data.europa.eu/eli/reg/2026/1130/oj

Figur A8.Till.6/1b
OVC-HEV'er og OVC-FCHV'er (alt efter hvad der er relevant): CD Type 1-prøvning - Omskifter for valg af tilstand



3. OVC-HEV'er, NOVC-HEV'er, OVC-FCHV'er og NOVC-FCHV'er (alt efter hvad der er relevant) udstyret med førervalgt driftstilstand i ladningsbevarende driftstilstand

For køretøjer, der er udstyret med en førervalgt driftstilstand, vælges funktionsmåden for ladningsbevarende type 1-prøvning ud fra følgende betingelser.

Rutediagrammet i figur A8.Till6/2 illustrerer valget af tilstand i overensstemmelse med dette punkt.

3.1. Hvis der findes en fremherskende driftstilstand, der gør det muligt, at køretøjet kan følge referenceprøvningscyklussen i ladningsbevarende driftstilstand, vælges denne tilstand.

3.2. Hvis der ikke findes nogen fremherskende driftstilstand, eller hvis der findes en fremherskende driftstilstand, som imidlertid ikke muliggør, at køretøjet kan følge referenceprøvningscyklussen under ladningsbevarende driftstilstand, vælges funktionsmåden for prøvningen efter følgende betingelser:

a) Hvis der kun findes en tilstand, der muliggør, at køretøjet kan følge referenceprøvningscyklussen i ladningsbevarende driftstilstand, vælges denne tilstand.

b) Hvis flere tilstande er i stand til at følge referenceprøvningscyklussen under ladningsbevarende driftstilstand, og ingen af disse tilstande er en konfigurerbar starttilstand, skal køretøjet prøves for kriterieemissioner og CO_2-emissioner i best case- og worst case-tilstand. Best case- og worst case-funktionsmåderne skal være identificeret i den leverede dokumentation om CO_2-emissioner i alle tilstande. CO_2-emissionerne skal være det aritmetiske gennemsnit af prøvningsresultaterne i begge tilstande. Prøvningsresultaterne for begge tilstande skal registreres.

På fabrikantens anmodning kan køretøjer alternativt prøves med den førervalgte driftstilstand i worst case-position med hensyn til CO_2-emissioner.

c) Hvis flere tilstande er i stand til at følge referenceprøvningscyklussen under ladningsbevarende driftstilstand, og mindst to af disse tilstande er en konfigurerbar starttilstand, vælges worst case-tilstand for CO_2-emissioner og brændstofforbrug for disse starttilstande.

3.3. Hvis der ikke findes en tilstand, jf. punkt 3.1 og 3.2 i dette tillæg, der gør det muligt at køretøjet kan følge referenceprøvningscyklussen, ændres referenceprøvningscyklussen i overensstemmelse med punkt 9 i bilag B1:

a) Hvis der findes en fremherskende driftstilstand, der gør det muligt, at køretøjet kan følge den modificerede referenceprøvningscyklus i ladningsbevarende driftstilstand, vælges denne tilstand.

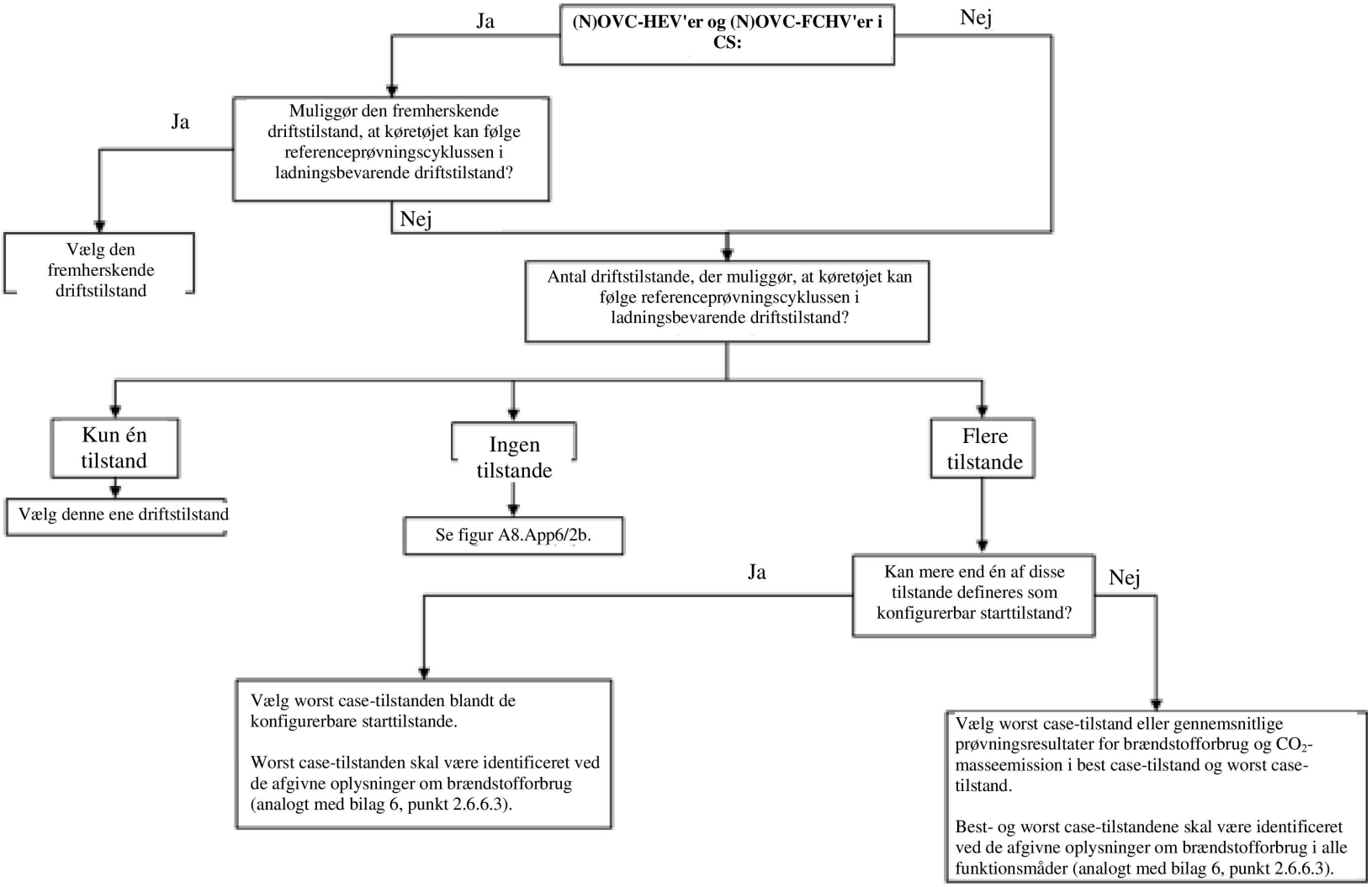
b) Hvis der ikke findes en fremherskende driftstilstand, men andre driftstilstande, der gør det muligt, at køretøjet kan følge den modificerede referenceprøvningscyklus under ladningsbevarende driftstilstand, vælges worst case-driftstilstanden for CO_2-emissioner og brændstofforbrug ved disse tilstande.

c) Hvis der ikke findes en tilstand, der gør det muligt, at køretøjet kan følge den modificerede referenceprøvningscyklus i ladningsbevarende driftstilstand, identificeres funktionsmåden eller -måderne med det højeste cyklusenergikrav, og den der vælges worst-case tilstand for CO_2-emissioner og brændstofforbrug. Hvis mindst to eller flere af disse tilstande er en konfigurerbar starttilstand, skal worst-case tilstanden for CO_2-emissioner og brændstofforbrug vælges blandt disse tilstande.

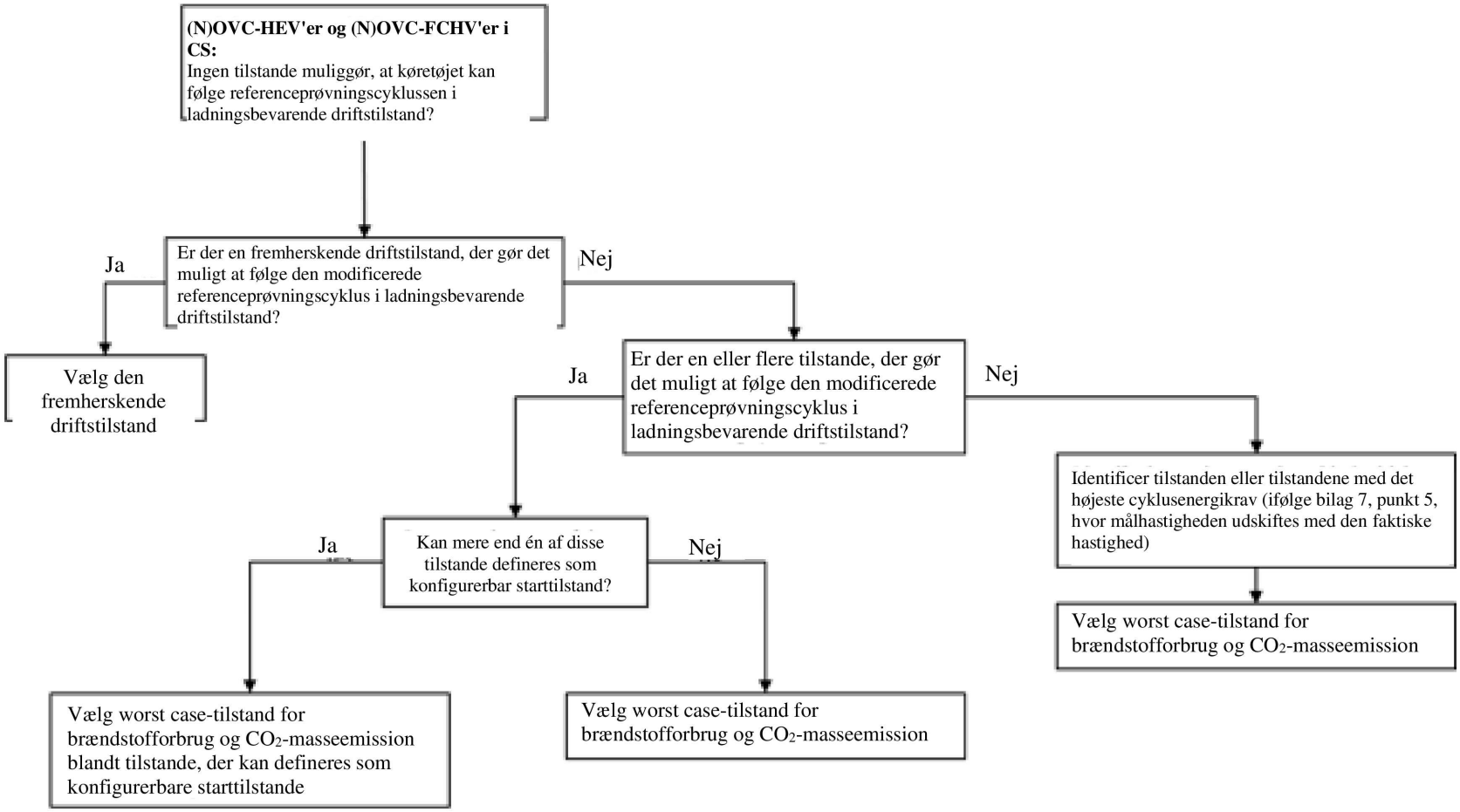
Figur A8.Till.6/2 a og figur A8.Till.6/2b

Valg af førervalgt driftstilstand for OVC-HEV'er, NOVC-HEV'er, NOVC- OVC-FCHV'er og NOVC-FCHV'er i ladningsbevarende driftstilstand

Figur A8.Till.6/2 a
(N)OVC-HEV og (N)OVC-FCHV (alt efter hvad der er relevant): CS Type 1-prøvning - Omskifter for valg af tilstand



Figur A8.App6/2b
(N)OVC-HEV og (N)OVC-FCHV (alt efter hvad der er relevant): CS Type 1-prøvning - Omskifter for valg af tilstand



4. PEV'er udstyret med førervalgt driftstilstand

For køretøjer, der er udstyret med en førervalgt driftstilstand, vælges funktionsmåden for prøvningen ud fra følgende betingelser.

Rutediagrammet i figur A8.Till6/3 illustrerer valget af tilstand i overensstemmelse med dette punkt.

4.1. Hvis der findes en fremherskende driftstilstand, der gør det muligt, at køretøjet kan følge referenceprøvningscyklussen, vælges denne tilstand.

4.2. Hvis der ikke findes nogen fremherskende driftstilstand, eller hvis der findes en fremherskende driftstilstand, som imidlertid ikke muliggør, at køretøjet kan følge referenceprøvningscyklussen, vælges driftstilstanden for prøvningen efter følgende betingelser:

a) Hvis der kun findes en tilstand, der gør det muligt, at køretøjet kan følge referenceprøvningscyklussen, vælges denne tilstand.

b) Hvis flere tilstande er i stand til at følge referenceprøvningscyklussen, og ingen af disse tilstande er en konfigurerbar starttilstand, vælges worst case-tilstand for elforbruget for disse tilstande.

c) Hvis flere tilstande er i stand til at følge referenceprøvningscyklussen, og mindst to af disse tilstande er en konfigurerbar starttilstand, vælges worst case-tilstand for elforbruget for disse konfigurerbare starttilstande.

4.3. Hvis der ikke findes en tilstand, jf. punkt 4.1 og 4.2 i dette tillæg, der gør det muligt at køretøjet kan følge referenceprøvningscyklussen, ændres referenceprøvningscyklussen i overensstemmelse med punkt 9 i bilag B1. Den resulterende prøvningscyklus skal anføres som den gældende WLTP-prøvningscyklus:

a) Hvis der findes en fremherskende driftstilstand, der gør det muligt, at køretøjet kan følge den modificerede referenceprøvningscyklus, vælges denne tilstand.

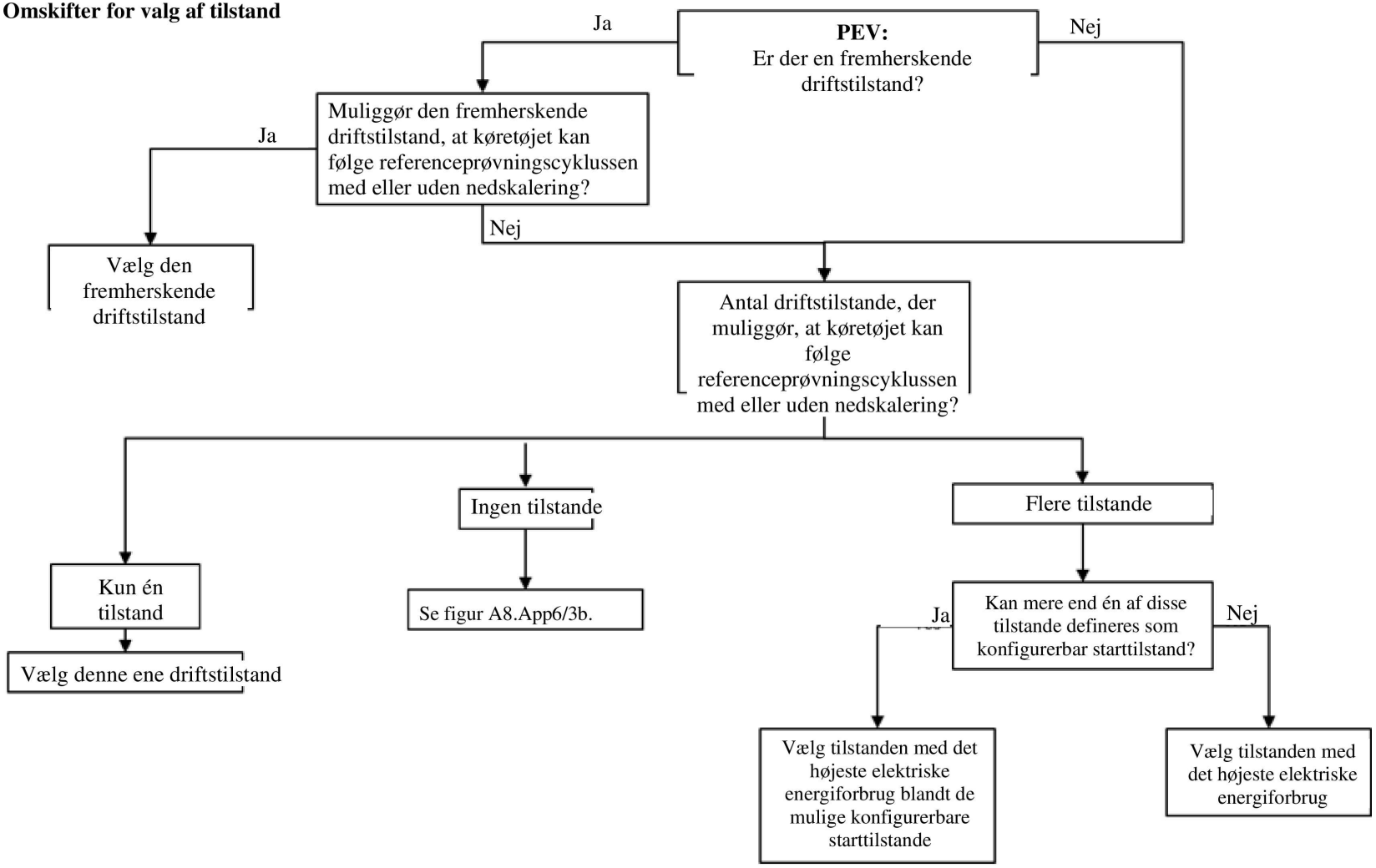
b) Hvis der ikke findes en fremherskende driftstilstand, men andre driftstilstande, der gør det muligt, at køretøjet kan følge den modificerede referenceprøvningscyklus, vælges worst-case driftstilstanden for elforbruget ved disse tilstande. Hvis der er mindst to eller flere konfigurerbare starttilstande, skal worst case-scenariet for det elektriske energiforbrug vælges blandt disse konfigurerbare starttilstande.

c) Hvis der ikke findes en tilstand, der gør det muligt, at køretøjet kan følge den modificerede reference-prøvningscyklus, identificeres funktionsmåden eller -måderne med det højeste cyklusenergikrav, og worst case-funktionsmåden for elektrisk energiforbrug vælges.

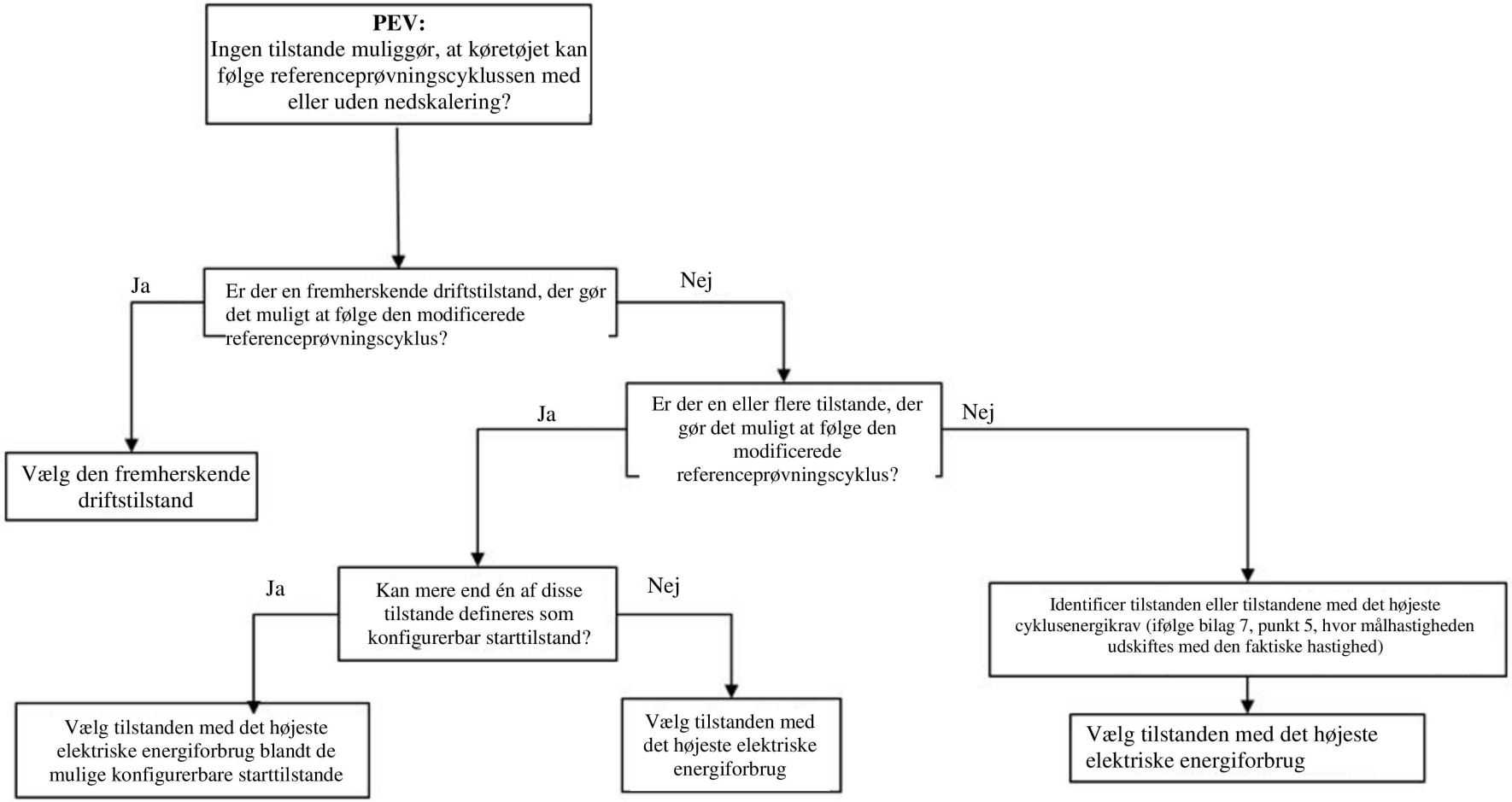
Figur A8.Till.6/3 a og figur A8.Till.6/3b

Valg af førervalgt driftstilstand for PEV'er Tredje prøvning

Figur A8.App6/3a
PEV: Omskifter for valg af tilstand



Figur A8.Till.6/3b
PEV: Omskifter for valg af tilstand



Bilag B8 - Tillæg 7.

Måling af brændstofforbrug og anvendelig hydrogenmængde for hybride køretøjer med komprimeret hydrogen-brændselsceller

1. Generelle krav

Brændstofforbrug skal måles ved hjælp af den gravimetriske metode i overensstemmelse med punkt 2 i dette tillæg.

På fabrikantens anmodning og efter godkendelse fra den kompetente myndighed kan brændstofforbruget måles ved hjælp af enten trykmetoden eller flow-metoden. I dette tilfælde skal fabrikanten fremlægge teknisk dokumentation for, at metoden giver ækvivalente resultater. Tryk- og flow-metoderne er beskrevet i ISO 23828.

2. Gravimetrisk metode

Brændstofforbruget beregnes ved at måle brændstofbeholderens masse før og efter prøvningen.

2.1. Udstyr og indstillinger

2.1.1. Et eksempel på instrumenteringen er vist i figur A8.Till7/1. En eller flere eksterne brændstofbeholdere anvendes til at måle brændstofforbruget. Den/de ekstern(e) brændstofbeholder(e) skal være forbundet til køretøjets brændstofledning mellem den originale brændstofbeholder og brændselscellesystemet.

2.1.2. Til prækonditionering kan den oprindeligt installerede brændstofbeholder eller en ekstern hydrogenkilde anvendes.

2.1.3. Brændstofpåfyldningstrykket skal være indstillet til den af fabrikanten anbefalede værdi.

2.1.4. Forskelle i gasledningstryk skal begrænses mest muligt, når der skiftes mellem ledninger.

I tilfælde, hvor der forventes indflydelse på trykforskellen, skal fabrikanten og den kompetente myndighed blive enige om, hvorvidt der er behov for korrektion.

2.1.5. Vægt

2.1.5.1. Den vægt, der anvendes til måling af brændstofforbrug skal opfylde specifikationerne i tabel A8.Till7/1.

Tabel A8.Till.7/1

Analysevægt, verifikationskriterier

Målesystem	Opløsning	Præcision
Vægt	Højst 0,1 g	højst ±0,02 [a]

[a] Brændstofforbrug (REESS-ladningsbalance = 0) under prøvningen, i masse, standardafvigelse

2.1.5.2. Vægten kalibreres i overensstemmelse med specifikationerne fra vægtfabrikanten eller mindst lige så hyppigt som anført i tabel A8.Till7/2.

Tabel A8.Till7/2

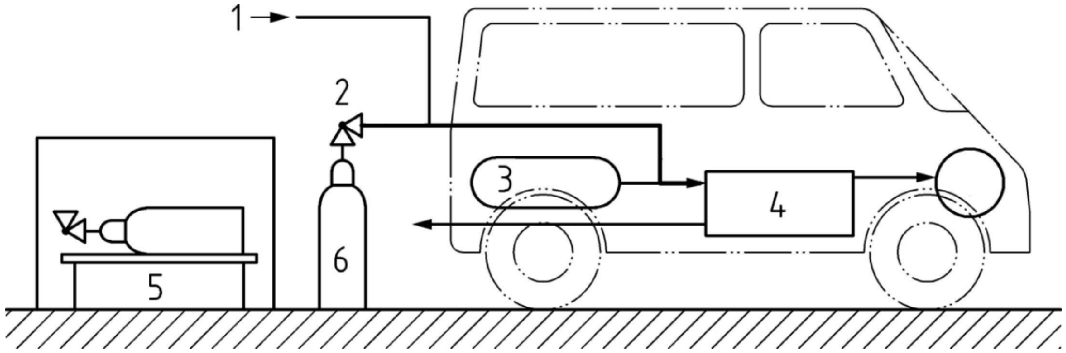
Instrumentkalibreringsintervaller

Instrumentkontrol	Interval
Præcision	Årligt og efter større vedligeholdelse

2.1.5.3. Passende midler til at mindske virkningerne af vibration og konvektion, såsom et dæmpende bord eller en vindskærm, skal fremlægges.

Figur A8.Till7/1

Eksempel på apparatur



hvor:

1 er den eksterne brændstofforsyning til prækonditionering

2 er trykregulatoren

3 er den originale tank

4 er brændselscellesystemet

5 er vægten

6 er den/de ekstern(e) brændstofbeholder(e) til måling af brændstofforbrug

2.2. Prøvningsmetode

2.2.1. Massen af den eksterne brændstofbeholder måles inden prøvningen.

2.2.2. Den eksterne brændstofbeholder skal være forbundet til køretøjets brændstofledning som vist i figur A8.Till7/1.

2.2.3. Prøvningen skal udføres ved tankning af brændstof fra den eksterne brændstofbeholder.

2.2.4. Den eksterne brændstofbeholder frakobles ledningen.

2.2.5. Tankens masse og brændstofforbruget efter prøvningen måles.

2.2.5.1. Efter anmodning fra fabrikanten og med den kompetente myndigheds godkendelse kan der tages hensyn til ændringen i vægten af hydrogen i ekstralinjen mellem punkt 2 og 4 i figur A8.Till.7/1 på grund af ændringer i temperatur og tryk.

2.2.6. Det ikke afstemte brændstofforbrug $\mathbf{FC_{CS,nb}}$ i ladningsbevarende tilstand på basis af den målte masse før og efter prøvningen beregnes ved hjælp af følgende ligning:

$$\mathbf{FC_{CS,nb}} = \frac{\mathbf{g_1 - g_2}}{\mathbf{d}} \times \mathbf{100}$$

hvor:

$\mathbf{FC_{CS,nb}}$	er det ikke-afstemte brændstofforbrug i ladningsbevarende tilstand, målt under prøvningen (kg/100 km)
g_1	er brændstofbeholderens masse ved prøvningens begyndelse (kg)
g_2	er brændstofbeholderens masse ved prøvningens slutning (kg)
d	er den kørte distance under prøvningen (km).

2.2.7. Dette punkt finder kun anvendelse på niveau 1B og niveau 2

Separat brændstofforbrug $\mathbf{FC_{CS,nb,p}}$ som defineret i punkt 4.2.1.2.4 og 4.2.1.2.5 i dette bilag beregnes for hver enkelt fase i overensstemmelse med punkt 2.2 i dette tillæg. Prøvningsproceduren gennemføres med eksterne brændstofbeholdere og tilslutninger til køretøjets brændstofledning, som er klargjort individuelt for hver fase.

3. Anvendelig hydrogenmængde

Dette punkt gælder kun for niveau 1B.

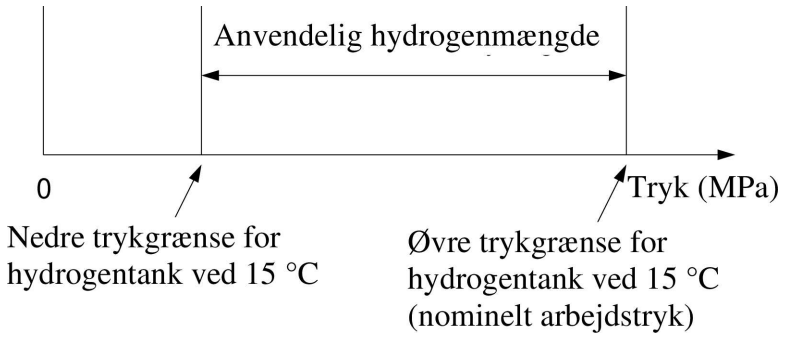
Denne prøvning kan udføres efter prøvningen af brændstofforbrug.

3.1 Principper

Den anvendelige hydrogenmængde defineres som vist i figur A8/App7/2. Den nedre trykgrænse i hydrogentanken er det tryk, der forårsager, at køretøjet holder op med at køre på grund af afbrydelse af hydrogenforsyningen.

Figur A8.Till7/2

Skematisk diagram over den "anvendelige" hydrogenmængde

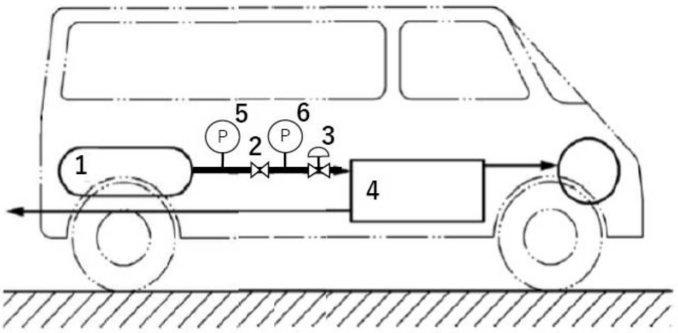


3.2 Måling af hydrogentankens nedre trykgrænse

Hydrogentankens nedre trykgrænse skal måles.

Figur A8.Till7/3

Eksempel på trykmåling af hydrogentank



1: hydrogentank(ene)

2: er trykregulatoren

3: er ventilen, der leder hydrogen til brændselscellesystemet

4: er brændselscellesystemet

5: er tryksensoren opstrøms fra en trykregulator

6: er tryksensoren nedstrøms fra en trykregulator

Hvis et køretøj er prøvet for måling af hydrogentankens nedre trykgrænse, kan den nedre trykgrænse anvendes for køretøjer, der svarer til samme familie af nedre trykgrænser som defineret i punkt 6.3.12 i dette regulativ.

Køretøj H prøves, når et køretøj er udvalgt fra en interpolationsfamilie som defineret i punkt 6.3.12, litra b), i dette regulativ.

3.2.1. Enheder, nøjagtighed og opløsning

Enheder, nøjagtighed og opløsning af målinger skal være som vist i tabel A8.App7/3.

Efter anmodning fra fabrikanten og med den kompetente myndigheds godkendelse kan køretøjets tryksensor anvendes.

Tabel A8.Till7/3

Parametre, enheder, nøjagtighed og opløsning ved målinger

Parametre	Enheder	Nøjagtighed	Opløsning
Hydrogentankens tryk	MPa	±1 MPa	0,1 MPa

3.2.2. Udstyr og indstillinger

Trykket i de(n) indbyggede hydrogentank(e) skal justeres til den af fabrikanten anbefalede værdi for at opfylde kravet om mindste køretid i punkt 3.2.5.

3.2.3. Prøverummets temperatur ved prøvningens begyndelse skal være inden for ±5 °C af indstillingsværdien på 23 °C. Prøvningskøretøjet skubbes op på et dynamometer.

3.2.4. Klargøring af køretøjet

3.2.4.1. Stilstand

Prøvekøretøjet skal henstå (soak) i mindst 6 timer før prøvningen. Soak kan dog udelades i følgende tilfælde.

— Temperatursensorerne for de(n) indbyggede tank(e) er gældende, og temperaturerne ligger allerede inden for ±5 °C af 23 °C.

— Prøvningen udføres efter type 1-prøvning i prøvningsrummet, hvor temperaturen er holdt inden for ±5 °C af 23 °C.

3.2.4.2. Når et prøvningskøretøj under denne prøvning ikke også anvendes til type 1-prøvning af brændstofforbrug som beskrevet i punkt 1 og 2 i dette tillæg, kan indkøringskravet, jf. punkt 2.2 i dette bilag, og prækonditionering, jf. punkt 2.6.4.3 i bilag B6, på fabrikantens anmodning udelades.

3.2.5. Konstant hastighed

Minimumshastigheden for konstanthastighedssegmenter skal være 80 km/h. På fabrikantens anmodning og med den kompetente myndigheds godkendelse kan der vælges en højere konstant hastighed i konstanthastighedssegmenterne.

Accelerationen til konstanthastighedsniveauet skal være jævn og skal gennemføres inden for 1 minut efter indledning af startproceduren for drivlinjen.

Køretøjet køres i mere end 10 minutter i konstanthastighedssegmenterne.

Trykket i hydrogentanken(e) måles ved en prøvetagningsfrekvens på mindst 5 Hz.

3.2.6. Afbrydelseskriterium

Afbrydelseskriteriet er opfyldt,

a) når køretøjet overstiger tolerancen for den foreskrevne hastighedskurve som specificeret i punkt 2.6.8.3.1.2 i bilag B6 i 4 fortløbende sekunder eller mere

b) eller når fabrikanten erklærer, at konstanthastighedssegmentet er afsluttet.

Speederen skal deaktiveres. Køretøjet bremses til stilstand inden for 60 sekunder.

3.3. Beregning af den anvendelige hydrogenmængde (UAH)

3.3.1. Ligning for UAH

Trykket og i givet fald temperaturen i hydrogentanken(e) ved afslutningen af konstanthastighedssegmentet anvendes til beregning af den anvendelige hydrogenmængde.

Den anvendelige hydrogenmængde beregnes ved hjælp af følgende ligning:

$$UAH = V \times (\rho(P_{NWP}, T15) - \rho(P_{LL}, T15)) / 1\,000$$

hvor:

UAH	er den anvendelige hydrogenmængde (kg)
V	er hydrogentankenes volumen (m^3)
$\rho(P_{NWP}, T15)$	er gassens massefylde ved givet tryk og temperatur for 100 % af SOC (g/m^3)
P_{NWP}	er gastrykket ved det nominelle arbejdstryk (MPa)
T15	er referencetemperaturen 283,15 K (15 °C) for det nominelle arbejdstryk
P_{LL}	er den laveste trykgrænse målt under prøvningen (MPa).

Det nominelle arbejdstryk og volumen af hydrogentanken(e) er angivet i rapporten i model I, bilag 1, del 1, UN R134. Det samlede volumen anvendes, hvis køretøjet er lastet med flere tanke.

Massefylden for hydrogen bestemmes ved følgende ligning.

$$\boldsymbol{\rho}(\boldsymbol{p},\ \boldsymbol{T}) = \frac{\boldsymbol{pM}}{\boldsymbol{RT}}\left(\frac{\mathbf{1}}{\boldsymbol{Z}(\boldsymbol{p},\ \boldsymbol{T})}\right)$$

hvor:

$\rho(p, T)$	er massefylden ved givet tryk og temperatur (g/m³)
p	er hydrogentankens tryk ved afslutningen af konstanthastighedssegmentet (MPa)
T	er temperaturen af gassen i hydrogentanken 283,15 K (15 °C) ved afslutningen af konstanthastighedssegmentet.
R	er gaskonstanten, 8,314472x 10^{-6} m³ MPa K^{-1} mol^{-1}
M	er hydrogens molmasse (2,01588 g/mol)
$Z(p,T)$	er kompressibilitetsfaktoren.

Kompressibilitetsfaktorerne for hydrogengas er opført i tabel A7/2 i bilag B7.

3.3.2. Forenklet tilgang til beregning af UAH for et 70 MPa-system

Når P_{NWP} er 70 MPa, kan massefylden af hydrogen udledes af ligningerne ovenfor.

$$P(70MPa,\ 15°C) = 40{,}22\times10^{3}\ (g/m^{3})$$

På fabrikantens anmodning kan massefylden af hydrogen i tanken(e) ved afslutningen af konstanthastighedssegmentet samt UAH udledes af tilnærmelsesvise ligninger som følger:

$$\boldsymbol{Z}(\boldsymbol{pLL},\ \mathbf{15°C}) = \mathbf{1}$$

$$\boldsymbol{\rho}(\boldsymbol{pLL},\ \mathbf{15°C}) = \frac{\boldsymbol{PLL}\times\ \boldsymbol{M}\left(\frac{\boldsymbol{g}}{\boldsymbol{mol}}\right)}{\boldsymbol{RT}} = \ \mathbf{8.4}\times\mathbf{10^{2}}\times\ \boldsymbol{P_{LL}}(\boldsymbol{MPa})$$

$$UAH = V\times(40{,}22\times10^{3} - \mathbf{8.4}\times\mathbf{10^{2}}\times\ \boldsymbol{P_{LL}})\ /\ 1\ 000$$

Bilag B8 - Tillæg 8.

Bestemmelse af yderligere værdier for elektrisk energiforbrug til kontrol af produktionens overensstemmelse for PEV'er og OVC-HEV'er

1. PEV'er

1.1. Følgende værdi bestemmes og anvendes som referenceværdi til kontrol af produktionens overensstemmelse:

Hvis interpolationsmetoden anvendes

$$\mathbf{EC_{DC-ind,COP}} = \mathbf{EC_{DC-L,COP}} + \mathbf{K_{ind}} \times (\mathbf{EC_{DC-H,COP}} - \mathbf{EC_{DC-L,COP}})$$

Hvis interpolationsmetoden ikke anvendes

$$\mathbf{EC_{DC-ind,COP}} = \mathbf{EC_{DC-i,COP}}$$

hvor:

$\mathbf{EC_{DC-ind,COP}}$	er referenceforbruget af elektrisk energi for et individuelt køretøj med hensyn til produktionens overensstemmelse (Wh/km)
$\mathbf{EC_{DC-L,COP}}$	er det elektriske energiforbrug for køretøj, bestemt i henhold til punkt 1.2 i dette tillæg (Wh/km)
$\mathbf{EC_{DC-H,COP}}$	er det elektriske energiforbrug for køretøj H, bestemt i henhold til punkt 1.2 i dette tillæg (Wh/km)
$\mathbf{EC_{DC-i,COP}}$	er det elektriske energiforbrug for køretøj i, bestemt i henhold til punkt 1.2 i dette tillæg (Wh/km)
$\mathbf{K_{ind}}$	er interpolationskoefficienten for det pågældende individuelle køretøj for den gældende WLTP-prøvningscyklus i henhold til punkt 4.5.3 i dette bilag.

1.2. Beregning af $\mathbf{EC_{DC-L,COP}}$, $\mathbf{EC_{DC-H,COP}}$og $\mathbf{EC_{DC-i,COP}}$

$$\mathbf{EC_{DC-i,COP}} = \mathbf{EC_{DC,first,i}} \times \mathbf{AF_{EC,i}}$$

hvor:

i	repræsenterer — hvis interpolationsmetoden anvendes — indeks L for køretøj L og indeks H for køretøj H. Hvis interpolationsmetoden ikke anvendes, repræsenterer indeks i prøvningskøretøjet.
$\mathbf{EC_{DC-i,COP}}$	er det afstemte elektriske energiforbrug af køretøj i baseret på REESS-systemets udtømmelse af den første gældende WLTP-prøvningscyklus, i Wh/km
$\mathbf{EC_{DC,first,i}}$	er det gennemsnitlige målte elektriske energiforbrug af køretøj i, baseret på REESS-systemets udtømmelse af den første gældende WLTP-prøvningscyklus i henhold til punkt 4.3 i dette bilag, Wh/km
$\mathbf{AF_{EC,i}}$	er afstemningsfaktoren for køretøj i ifølge tabel A8/10, trin nr. 7 for type 1-proceduren i fortløbende cyklus eller tabel A8/11, trin nr. 6 for den forkortede type 1-procedure

2. OVC-HEV'er

Dette punkt finder kun anvendelse, hvis motoren ikke er startet i den første cyklus af den ladningsforbrugende type 1-prøvning under typegodkendelsen. I tilfælde af motorstart udelades dette punkt.

2.1. Følgende værdi bestemmes og anvendes som referenceværdi til kontrol af produktionens overensstemmelse:

Hvis interpolationsmetoden anvendes

$$\mathbf{EC_{DC-ind,CD,COP}} = \mathbf{EC_{DC-L,CD,COP}} + \mathbf{K_{ind}} \times (\mathbf{EC_{DC-H,CD,COP}} - \mathbf{EC_{DC-L,CD,COP}})$$

Hvis interpolationsmetoden ikke anvendes

$$\mathbf{EC_{DC-ind,CD,COP}} = \mathbf{EC_{DC-i,CD,COP}}$$

hvor:

$\mathbf{EC_{DC-ind,CD,COP}}$	er referenceforbruget af elektrisk energi i ladningsforbrugende tilstand for et individuelt køretøj med hensyn til produktionens overensstemmelse (Wh/km)
$\mathbf{EC_{DC-L,CD,COP}}$	er det ladningsforbrugende elektriske energiforbrug for køretøj L, bestemt i henhold til punkt 2.2 i dette tillæg (Wh/km)
$\mathbf{EC_{DC-H,CD,COP}}$	er det ladningsforbrugende elektriske energiforbrug for køretøj H, bestemt i henhold til punkt 2.2 i dette tillæg (Wh/km)
$\mathbf{EC_{DC-i,CD,COP}}$	er det ladningsforbrugende elektriske energiforbrug for køretøj i, bestemt i henhold til punkt 2.2 i dette tillæg (Wh/km)
$\mathbf{K_{ind}}$	er interpolationskoefficienten for det pågældende individuelle køretøj for den gældende WLTP-prøvningscyklus i henhold til punkt 4.5.3 i dette bilag.

2.2. Beregning af $\mathbf{EC_{DC-L,CD,COP}}$, $\mathbf{EC_{DC-H,CD,COP}}$ og $\mathbf{EC_{DC-i,CD,COP}}$

$$\mathbf{EC_{DC-i,CD,COP}} = \mathbf{EC_{DC-i,CD,first}} \times \mathbf{AF_{EC,AC,CD,i}}$$

hvor:

i	repræsenterer — hvis interpolationsmetoden anvendes — indeks L for køretøj L og indeks H for køretøj H. Hvis interpolationsmetoden ikke anvendes, repræsenterer indeks i prøvningskøretøjet.
$\mathbf{EC_{DC-i,CD,COP}}$	er det afstemte ladningsforbrugende elektriske energiforbrug baseret på REESS-systemets udtømmelse af den første gældende WLTC-prøvningscyklus, i Wh/km
$\mathbf{EC_{DC-i,CD,first}}$	er det gennemsnitlige målte ladningsforbrugende elektriske energiforbrug af køretøj i, baseret på REESS-systemets udtømmelse af den første gældende WLTC-prøvningscyklus i henhold til punkt 4.3 i dette bilag, Wh/km
$\mathbf{AF_{EC,AC,CD,i}}$	er afstemningsfaktoren for køretøj i

hvor

$$\text{For niveau 1A og niveau 2 (fase 4 WLTP-prøvning)}\mathbf{AF_{EC,AC,CD,i}} = \frac{\mathbf{EC_{AC,CD,declared,i}}}{\mathbf{EC_{AC,CD,ave,i}}}$$

hvor

$\mathbf{EC_{AC,CD,declared,i}}$	er det angivne ladningsforbrugende forbrug af elektrisk energi for køretøj i ifølge tabel A8/8, trin nr. 14 (g/km)
$\mathbf{EC_{AC,CD,ave,i}}$	er det gennemsnitligt målte ladningsforbrugende forbrug af elektrisk energi for køretøj i ifølge tabel A8/8, trin nr. 13 (g/km)

For niveau 1B og niveau 2 (fase 3 WLTP-prøvning)

$$\mathbf{AF_{EC,AC,CD,i}} = \frac{\mathbf{EC_{deci}}}{\mathbf{EC_{ave,i}}}$$

hvor

$\mathbf{EC_{dec,i}}$ er det angivne forbrug af elektrisk energi for køretøj i ved ladningsforbrugende type1-prøvning ifølge tabel A8/9, trin nr. 8 (g/km)

$\mathbf{EC_{ave,i}}$ er det gennemsnitligt målte forbrug af elektrisk energi for køretøj i ved ladningsforbrugende type1-prøvning ifølge tabel A8/9, trin nr. 8 (Wh/km)

Bilag B8 - Tillæg 9.

Beregning af cyklusenergikravet REESS (CED_{REESS})

Medmindre andet er angivet, baseres beregningen på målhastighedskurven i de separate tidsprøvepunkter.

Det samlede energikrav E for hele cyklussen eller en specifik cyklusfase beregnes ved at addere $\mathbf{E_i}$ gennem den tilsvarende cyklustid mellem t_{start} +1og t_{end} efter følgende ligning:

$$\mathbf{E} = \sum_{\mathbf{t_{start}+1}}^{\mathbf{t_{end}}} \mathbf{E_i}$$

hvor:

$\mathbf{E_i} = \frac{\mathbf{F_i} \times \mathbf{d_i}}{\boldsymbol{\eta_T}}$ hvis $\mathbf{F_i} > \mathbf{0}$

$\mathbf{E_i} = F_i \times d_i \times \eta_R$ hvis $\mathbf{F_i} \leq \mathbf{0}$

samt:

t_{start} er det tidspunkt, hvor den relevante prøvningscyklus eller -fase starter (jf. punkt 3 i bilag B1), s

t_{end} er det tidspunkt, hvor den relevante prøvningscyklus eller -fase slutter (se punkt 3 i bilag B1), s

$\mathbf{E_i}$ er energikravet i løbet af perioden (i-1) til (i), Ws

$\mathbf{F_i}$ er fremdrivningskraften i løbet af perioden (i-1) til (i), N

$\mathbf{d_i}$ er distancen tilbagelagt i løbet af perioden (i-1) til (i), m

$$\mathbf{F_i} = \mathbf{f_0} + \mathbf{f_1} \times \left(\frac{\mathbf{v_i} + \mathbf{v_{i-1}}}{\mathbf{2}}\right) + \mathbf{f_2} \times \frac{\left(\mathbf{v_i} + \mathbf{v_{i-1}}\right)^{\mathbf{2}}}{\mathbf{4}} + (\mathbf{1.03} \times \mathbf{TM}) \times \mathbf{a_i}$$

hvor:

$\mathbf{F_i}$ er fremdrivningskraften i løbet af perioden (i-1) til (i), N

$\mathbf{v_i}$ er målhastigheden på tidspunktet t_i (km/h)

TM er prøvningsmassen, kg

$\mathbf{a_i}$ er accelerationen i løbet af perioden (i-1) til (i), m/s^2

$\mathbf{f_0}$, $\mathbf{f_1}$, $\mathbf{f_2}$ er køremodstandskoefficienter for prøvningskøretøjet under overvejelse ($\mathbf{TM_L}$, $\mathbf{TM_H}$eller $\mathbf{TM_{ind}}$) i henholdsvis N, N/km/h og $N/(km/h)^2$.

$\boldsymbol{\eta_R}$ er den gennemsnitlige genvindingseffektivitet for elektrisk energioverførsel fra hjulet til batteriet i den gældende WLTP-prøvningscyklus og WLTP-prøvningscyklus (bykørsel). Der anvendes en standardværdi på 0,85.

$\boldsymbol{\eta_T}$ er den gennemsnitlige traktionseffektivitet for elektrisk energioverførsel fra batteriet til hjulet i den gældende WLTP-prøvningscyklus og WLTP-prøvningscyklus (bykørsel). Der anvendes en standardværdi på 0,90.

BILAG B9

Bestemmelse af metodeækvivalens

Dette bilag finder kun anvendelse på niveau 1A

1. Generelle krav

På fabrikantens anmodning kan andre målemetoder godkendes af den kompetente myndighed, hvis de giver ækvivalente resultater i henhold til punkt 1.1 i dette bilag. Ækvivalensen af den påtænkte metode skal påvises over for den kompetente myndighed.

1.1. Afgørelse om ækvivalens

En påtænkt metode skal anses for ækvivalent, hvis dens nøjagtighed og præcision er lig med eller bedre end referencemetodens.

1.2. Konstatering af ækvivalens

Konstateringen af metodeækvivalens baseres på en korrelationsundersøgelse mellem påtænkte metoder og referencemetoder. De metoder, der anvendes til korrelationsprøvning, skal godkendes af den kompetente myndighed.

Det grundlæggende princip for konstatering af nøjagtighed og præcision for påtænkte metoder og referencemetoder skal være baseret på retningslinjerne i ISO 5725, del 6, bilag 8 ("sammenligning af alternative målemetoder").

1.3. Gennemførelseskrav (RESERVERET)

BILAG B10

Laboratorieprøvning af rent elektrisk rækkevidde ved lav temperatur for rent elektriske køretøjer

1. Indledning

I dette bilag beskrives proceduren for gennemførelse af prøvning ved lav temperatur for at kontrollere PEV'ers rent elektriske rækkevidde.

Prøvningerne skal udføres efter den metode, der er beskrevet i dette bilag.

Medmindre andet er anført, finder alle forskrifter i dette bilag anvendelse på køretøjer med og uden førervalgte driftstilstande.

Prøvningen ved lav temperatur skal bestå i kørsel på et chassisdynamometer i den gældende 4-fase WLTC. Afhængigt af det ønskede niveau tages beregningen af de endelige resultater og erklæringen fra følgende tabel:

Niveau	Kørt WLTC for prøvning ved lav temperatur	Beregning af endelige resultater og erklæring
1 A	4-faset	4-faset
1B		3-faset
1C		4-faset
2		3-faset og 4-faset

2. Generelle krav

2.1. Enheder, nøjagtighed og opløsning af elektriske parametre

Enheder, nøjagtighed og opløsning af målinger skal være som vist i tabel A8/1 i punkt 1.1 i bilag B8.

2.2. Afrunding af prøvningsresultater

Kravene i punkt 1.3.1 i bilag B8 finder anvendelse på lavtemperaturprøvningen, som gældende for PEV'er.

$K_{PER,WLTC,LT}$ afrundes til fire decimaler i overensstemmelse med punkt 6.1.8 i dette regulativ.

2.3. Klassificering af køretøjer

Kravene i punkt 1.4 til 1.4.2.1 i bilag B8 finder anvendelse på lavtemperaturprøvningen.

For lavtemperaturprøvningen anvendes den samme gældende cyklus som for type 1-prøvningen med hensyn til nedskalering og hastighedsloft, hvis det er relevant.

2.4. PEV'er med manuelt gear

Køretøjer køres i henhold til den tekniske gearskiftindikator, hvis en sådan forefindes, eller i overensstemmelse med instrukserne i fabrikantens vejledning.

2.5. Kravene i punkt 3.1 i bilag B8 finder anvendelse på lavtemperaturprøvningen med undtagelse af punkt 3.1.1.5, 3.1.1.6 og 3.1.2. Desuden finder kravene i punkt 2.5.1 i dette bilag også anvendelse.

2.5.1. Den elektriske strøm og den elektriske spænding i alle REESS-systemer bestemmes i overensstemmelse med tillæg 3 til bilag B8.

3. Tilkørsel af prøvningskøretøjet

Køretøjet, som er prøvet i overensstemmelse med dette bilag, skal være i god teknisk stand og være tilkørt i henhold til fabrikantens anvisninger. Hvis REESS'erne anvendes over det normale driftstemperaturområde, skal operatøren følge den procedure, som anbefales af køretøjsfabrikanten for at holde REESS-systemets temperatur inden for det normale driftsområde. Fabrikanten skal forelægge dokumentation for, at det termiske forvaltningssystem for REESS-systemet hverken afbrydes eller reduceres.

PEV'er skal have kørt mindst 300 km eller distancen for fuld opladning, alt hvad der er længst.

4. Krav til lavtemperaturprøvning

Lavtemperaturprøvningen skal udføres i henhold til definitionerne, kravene og prøvningerne i punkt 3 og 6.10 i dette regulativ. Punkt 4.1 til 5 i dette bilag angiver de ændringer, der finder anvendelse på kravene i bilag B4, B5 og B8 til dette regulativ.

4.1. Køremodstand og dynamometerindstilling aFor det køretøj, der skal prøves, skal belastningsindstillingen af chassisdynamometeret, der er bestemt under anvendelse af de dæk, der er monteret på prøvningskøretøjet i henhold til punkt 8.1.4 eller punkt 8.2.3.3 i bilag B4, ændres som angivet i punkt 4.1.1 til 4.1.3.1.

4.1.1. Chassisdynamometerindstillingerne A^*_d og B^*_d er de samme som for prøvningen ved 23 °C, jf. punkt 8.1.4 eller 8.2.3.3 i bilag B4. Chassisdynamometerkoefficienten $C^*_{d\text{-}Tlow}$ tilpasses i overensstemmelse med følgende ligning:

$$C^*_{d\text{-}Tlow} = C^*_d + (f_{2\text{-}Tlow} - f_2)$$

og

$$f_{2\text{-}TLow} = f_2 * (T_0 + 273)/(T_{low} + 273)$$

hvor:

C^*_d er dynamometerkoefficienten for køretøjet udledt ved 23 °C

f_2 er andenordenskøremodstandskoefficienten ved referencebetingelserne, $N/(km/h)^2$

T_0 er køremodstandsreferencetemperaturen som specificeret i punkt 3.2.10 i dette regulativ,°C

T_{low} er prøvningstemperaturen ved lav temperatur, -7 °C.

For at foretage denne tilpasning skal det samme sæt dæk monteres på prøvningskøretøjet til indstilling af chassisdynamometeret ved 23 °C som det sæt, der anvendes til indstilling af chassisdynamometeret ved temperaturen -7 °C.

4.1.2. Efter anmodning fra fabrikanten og godkendelse fra den godkendende myndighed kan chassisdynamometerkoefficienterne A^*_d, B^*_d og C^*_d fra et chassisdynamometer i et andet prøvningsrum ved 23 °C anvendes som grundlag for indstilling af chassisdynamometeret ved en temperatur på -7 °C, jf. punkt 4.1.1 i dette bilag.

Dette er kun tilladt, hvis fabrikanten har påvist ækvivalens mellem de respektive chassisdynamometre, og hvis der tages højde for parasittab mellem de respektive chassisdynamometre (f.eks. kompensering via dynamometerkontrolsystemet). Ækvivalensen skal påvises på det samme køretøj og under samme prøvningsbetingelser med en nøjagtighed på ±10 N ved alle referencehastigheder. Denne påvisning skal gentages efter større vedligeholdelse af en af chassisdynamometrene.

4.1.3. Lavtemperaturprøvningen og dens køremodstandsindstilling udføres på et 2WD-dynamometer, hvis den tilsvarende type 1-prøvning blev udført på et 2WD-dynamometer, og den skal udføres på et 4WD-dynamometer, hvis den tilsvarende type 1-prøvning blev udført på et 4WD-dynamometer.

4.1.3.1. Før et dynamometer anvendes på et køretøj i forbindelse med prøvningerne i dette bilag, justeres dæktrykket til samme tryk som ved indstilling af chassisdynamometeret ved 23 °C.

4.2. Prøvningsudstyr Specifikationerne for prøvningsudstyr som fastsat i punkt 1 til 2.4.3 i bilag B5 finder anvendelse med henblik på dette bilag. Kravene i punkt 2.2 i bilag B6 finder anvendelse på prøvning ved lav temperatur som anvendt på PEV-prøvning med de ændringer, der er angivet i punkt 4.2.1 til 4.2.4 i dette bilag.

4.2.1. Temperaturen i prøvningsrummet skal have en indstillingsværdi på -7 °C. Tolerancen for den faktiske værdi skal være inden for ±5 °C. Luftens temperatur skal måles ved køleventilatorens afgang i prøvningsrummet med en minimumsfrekvens på 0,1 Hz.

4.2.2. Punkt 2.2.2.1.2 og 2.2.2.1.3 i bilag B6 finder ikke anvendelse på prøvning ved lav temperatur.

4.2.3. Den temperaturindstillingsværdi for soak-området, der er specificeret i punkt 2.2.2.2 i bilag B6, skal være -7 °C for prøvning ved lav temperatur.

4.2.4. Placeringen af temperaturføleren i soak-området skal være repræsentativ til måling af omgivende temperatur ved køretøjet. Føleren skal være mindst 10 cm væk fra soak-områdets væg og skal beskyttes mod direkte luftstrøm. Luftstrømning i soak-området skal holdes på et lavt niveau for at undgå utilsigtet tvungen køling.

5 Prøvningsbetingelser og prøvningsprocedure ved lav temperatur

5.1. Oversigt

Kravene i punkt 2.1 til 2.1.2 i bilag B6 finder anvendelse på lavtemperaturprøvningen, som gældende for PEV-prøvning.

5.2. Prøvningskøretøj

5.2.1. Indledning

Prøvningskøretøjet skal for så vidt angår alle sine komponenter være i overensstemmelse med produktionsserien, eller der skal, hvis køretøjet afviger fra produktionsserien, registreres en fuld beskrivelse. Ved udvælgelse af prøvningskøretøjet skal fabrikanten og den godkendende myndighed være enige om, hvilken bilmodel der er repræsentativ for lavtemperaturfamilien for PEV'er.

Det køretøj, der prøves, skal være repræsentativt for den familie, for hvilken lavtemperaturprøvningsdataene er bestemt (som beskrevet i punkt 6.10.1 i dette regulativ).

5.2.2. Valg af stamkøretøj

Mindst ét køretøj, der er repræsentativt for typen, vælges som stamkøretøj.

Hvis en lavtemperaturfamilie, jf. punkt 6.10.1, er godkendt af den godkendende myndighed, er det køretøj, der repræsenterer stamkøretøjet, det køretøj i lavtemperaturfamilien, der forventes at have det laveste forhold for rent elektrisk rækkevidde ($K_{PER,WLTC,LT}$) ved lave omgivende temperaturer som beskrevet i dette bilag.

Den godkendende myndighed kan afgøre, at det laveste $K_{PER,WLTC,LT}$ i familien bedst kan bestemmes ved prøvning af yderligere køretøjer. I så fald skal fabrikanten fremsende de oplysninger, der er nødvendige for at bestemme, hvilket eller hvilke køretøjer der sandsynligvis har den laveste $K_{PER,WLTC,LT}$ i familien.

5.3. Indstilling af dynamometeret

5.3.1. Dynamometerindstillingerne bestemmes i overensstemmelse med punkt 4.1 i dette bilag.

5.3.2. Betjening af dynamometeret

5.3.2.1. Chassisdynamometeret skal varmes op i overensstemmelse med dynamometerfabrikantens anvisninger eller, efter behov, således at friktionstabet i dynamometeret stabiliseres. Lavtemperaturprøvningen påbegyndes senest 30 minutter efter:

a) afslutning af dynamometeropvarmningen eller

b) efter at en gældende WLTC-cyklus er blevet udført på et andet køretøj med det pågældende dynamometer.

5.3.2.2. Hvis dynamometerets friktionstab kan stabiliseres uden opvarmning af dynamometeret, kan prøvningen påbegyndes efter dynamometerfabrikantens anvisninger. Fabrikanten skal efter anmodning fra den godkendende myndighed fremlægge dokumentation for valideringen af systemerne.

5.4. Køretøjsindstillinger

5.4.1. Kravene i punkt 5.4.1.1 til og med 5.4.1.3 i dette bilag finder anvendelse på lavtemperaturprøvningen. Alt andet tilbehør skal være slukket eller deaktiveret under betjening af dynamometeret.

5.4.1.1. Indstilling af termisk komfortsystem

Køretøjets indvendige termiske komfortsystem betjenes ved at justere komfortindstillingerne som angivet i de følgende punkter.

Fra afslutningen af prækonditioneringscyklussen til afslutningen af lavtemperaturprøvningen må køretøjets kabine ikke opvarmes af nogen ekstern opvarmningsanordning.

5.4.1.1.1. Temperaturstyringen skal indstilles til 22 °C inden for 0-9 sekunder efter starten på den første gældende WLTC. For køretøjer med et termisk komfortsystem, der ikke gør det muligt at vælge 22 °C, skal der indstilles til maksimal varme inden for 0-9 sekunder efter starten på den første gældende WLTC. Denne indstilling skal forblive uændret under hele prøvningsproceduren.

Hvis der er flere automatiske indstillinger, og en af dem repræsenterer en fremherskende tilstand, vælges denne indstilling.

Hvis der er flere automatiske indstillinger, og to eller flere af dem er konfigurerbare starttilstande, vælges worst-case-tilstanden for elektrisk energiforbrug blandt disse automatiske konfigurerbare starttilstande.

5.4.1.1.2. Blæserhastighedskontrolsystemet skal indstilles til auto-tilstand inden for 0-9 sekunder efter starten på den første gældende WLTC.

Hvis der ikke findes nogen auto-tilstand, indstilles blæserhastighedskontrolsystemet som følger:

Blæserens hastighedsregulering indstilles til den laveste indstilling over den indstilling, hvor blæseren slukkes, senest 0-9 sekunder efter prøvningens start. Efter sekund 100 og før sekund 105 af prøvningen indstilles blæserhastigheden til maksimal indstilling. Efter sekund 987 og før sekund 992 i prøvningen skal blæserhastigheden reduceres til den laveste indstilling over den indstilling, hvor blæseren slukkes.

5.4.1.1.3. Luftgennemstrømningsretningen skal indstilles til auto-tilstand inden for 0-9 sekunder efter starten på den første gældende WLTC. Hvis der ikke findes en auto-tilstand, indstilles luftgennemstrømningsretningen til fødder og forrude. Hvis en sådan indstilling ikke findes, indstilles luftgennemstrømningsretningen til forruden.

5.4.1.1.4. Luftrecirkulationen skal indstilles til auto-tilstand inden for 0-9 sekunder efter starten på den første gældende WLTC. Hvis der ikke findes nogen auto-tilstand, skal luftrecirkulationen være slået fra.

5.4.1.1.5. Luftkonditioneringsanlæggets tænd/sluk-knap skal, hvis en sådan findes, indstilles til tændt tilstand inden for 0-9 sekunder efter starten på den første gældende WLTC.

5.4.1.1.6. Flerzonesystemer

For køretøjer, der har separate (venstre/højre) betjeningsanordninger til førersæde og forsædepassager, skal alle temperatur- og blæserbetjeningsanordninger indstilles som beskrevet i punkt 5.4.1.1.1 og 5.4.1.1.2 i dette bilag. Bagsædernes termiske komfortsystem, hvis et sådant findes, skal være slået fra.

5.4.1.1.7. Vurdering af aktiveringen af det termiske komfortsystem

Den godkendende myndighed skal kontrollere, at det termiske komfortsystem er repræsentativt for den tilsigtede serieproduktion og fungerer efter hensigten under prøvningen. Den godkendende myndighed kan anmode fabrikanten om at installere en måleanordning under hele prøvningen på et bestemt sted for at registrere opvarmningsprofilen som dokumentation for verifikationen.

5.4.1.2. Nærlyslygter skal tændes inden for 0-9 sekunder efter prøvningens start. Hvis køretøjet er udstyret med et system til automatisk aktivering af nærlyslygter uden brugervalgte indstillinger, skal der træffes foranstaltninger til at simulere kørsel i mørke (dvs. tilstrækkeligt til som minimum at aktivere nærlyslygterne). Lygterne skal forblive tændte under prøvningen.

5.4.1.3. Hvis køretøjet er udstyret med elektrisk opvarmede systemer til afrimning (bagrude og/eller forrude), skal disse systemer tændes inden for 0-9 sekunder efter påbegyndelsen af den første prøvning. Hvis afbryderen styres manuelt, skal systemet slukkes efter sekund 987 og før sekund 992 af prøvningen.

5.5. Dynamometer og køretøjsdrift

Kravene i punkt 2.4.2.1.1 til 2.4.4, med undtagelse af punkt 2.4.3, i bilag B6 finder anvendelse på lavtemperaturprøvningen.

Punkt 2.4.5 i bilag B6 erstattes af kravene i punkt 4.1.3.1 i dette bilag.

5.6. Midlertidige prøvningscyklusser

Der kan udføres indledende prøvningscyklusser, hvis fabrikanten anmoder herom, for at følge hastighedskurven inden for de foreskrevne grænser, men kun før soak før prækonditionering, jf. punkt 5.7.2 i dette bilag.

5.7. Konditionering af prøvningskøretøjet

5.7.1. Klargøring af køretøjet

Ladningstilstanden for REESS-systemet skal indstilles efter fabrikantens anbefalinger for at opfylde kravene til prækonditionering, jf. punkt 5.7.4.4.

Indstillingen af REESS-systemets ladetilstand er ikke underlagt begrænsende forhold.

5.7.1.1. Dæktryk

Dæktrykket på de trækkende hjul skal være i overensstemmelse med punkt 4.1.3.1 i dette bilag.

5.7.2. Soak før prækonditionering

5.7.2.1. Køretøjer skal opbevares i et område med omgivende forhold som specificeret i punkt 4.2.3 i dette bilag i mindst 9 timer og højst 36 timer før prækonditionering. Denne tid benævnes $t_{precond\text{-}soak\text{-}PEV}$ og registreres.

5.7.2.2. Soak-proceduren udføres uden brug af en afkølingsventilator og med alle karosseridele placeret som ved normal parkering.

5.7.2.3. REESS-systemet må ikke oplades i løbet af denne soak-periode.

5.7.2.4. Varme- og kølesystemet må ikke aktiveres manuelt i løbet af soak-perioden. En eventuel prækonditioneringsfunktion for termisk komfort må ikke aktiveres i løbet af denne soak-periode.

5.7.3. Overførsel fra soak til prækonditionering

Hvis køretøjet udsættes for en temperatur på over -4 °C, skal overførslen mellem soak-området og prøvningsrummet ske så hurtigt som muligt, uden ubegrundet forsinkelse og på højst 20 minutter.

5.7.4. Prækonditionering

5.7.4.1 Prøvningsrummets temperatur

Under prækonditionering skal prøverummets temperatur være den samme som defineret for lavtemperaturprøvning (punkt 4.2.1 i dette bilag).

Prøverummets temperatur ved prækonditioneringsprøvningens begyndelse skal være inden for ±3 °C af indstillingsværdien på -7 °C. Under prækonditioneringen skal tolerancen for den faktiske værdi være inden for ±5 °C.

5.7.4.2. Prøvningskøretøjet anbringes på et dynamometer, uden at den elektriske motor er i drift.

5.7.4.3. Dynamometerets belastning indstilles i overensstemmelse med punkt 4.1 i dette bilag. Hvis der anvendes et dynamometer i 2WD-funktion til prøvningen, skal indstillingen for køremodstand foretages på et dynamometer i 2WD-funktion, og hvis der anvendes dynamometer i 4WD-funktion til prøvningen, skal indstillingen for køremodstand foretages på et dynamometer i 4WD-funktion.

5.7.4.4. Betjening af køretøjet

Kravene i punkt 2.6.4 i bilag B6 finder anvendelse på lavtemperaturprøvningen med undtagelse af punkt 2.6.4.1.2 og 2.6.4.3.

REESS-systemet aflades ved den konstante hastighed, der er defineret i punkt 5.9.6.2 i dette bilag, indtil afbrydelseskriteriet er opfyldt som specificeret i punkt 3.4.4.2.3 i bilag B8. Den samlede kørte distance bør ikke overstige 50 km, før afbrydelseskriteriet er opfyldt.

5.7.4.5. Brug af gearkassen

Kravene i punkt 2.4 i dette bilag finder anvendelse på lavtemperaturprøvningen.

5.7.4.6. Førervalgte driftstilstande

For køretøjer, der er udstyret med en førervalgt driftstilstand, vælges driftsmåden i forbindelse med prøvningen i overensstemmelse med punkt 4 i tillæg 6 til bilag B8.

5.7.4.7. Krævede data, kvalitetskontrol

Kravene i punkt 2.6.8 i bilag B6 finder anvendelse på lavtemperaturprøvningen med undtagelse af punkt 2.6.8.3.1.5 og 2.6.8.5.

5.8. Overførsel fra prækonditionering til soak

Hvis køretøjet under overførslen fra prækonditionering til soak-området udsættes for en temperatur på over -4 °C, skal overførslen mellem soak-området og prøvningsrummet ske så hurtigt som muligt, uden ubegrundet forsinkelse og på højst 20 minutter.

5.8.1. Soak efter prækonditionering og før prøvning (prøve-soak)

5.8.1.1. En eventuel prækonditioneringsfunktion for termisk komfort må ikke aktiveres i løbet af denne soak- og opladningsperiode.

5.8.1.2. Efter prækonditionering og før prøvningen anbringes køretøjet i et soak-område med omgivende forhold som foreskrevet i punkt 4.2.3 i dette bilag.

5.8.1.3. Køretøjet skal henstå (soak) i mindst 12 timer og højst 36 timer med motorhjelmen åbnet eller lukket.

5.8.1.3.1. Køretøjet sluttes til strøm og påbegynder opladning af REESS-systemet ved hjælp af den normale opladningsprocedure som defineret i punkt 1 i tillæg 2 senest 1 time efter afslutningen af prækonditioneringen.

Soak og opladning skal fortsætte, indtil kriteriet for stop af ladning i punkt 1 i tillæg 2 er opfyldt, dog mindst i 12 timer. Køretøjet skal forblive tilsluttet elnettet indtil slutningen af soak- og opladningsperioden.

Denne tid benævnes $t_{soak\text{-}PEV}$ og registreres.

5.8.2. Overførsel fra soak til prøvningsrum med lav temperatur

Under overførslen må et stabiliseret køretøj ikke ubegrundet udsættes for temperaturer uden for temperaturtolerancen -7 °C ± 3 °C. Hvis dette er uundgåeligt, stabiliseres køretøjet inden prøvningsprocedurens start ved at holde det ved en omgivende temperatur på -7 °C ± 3 °C i mindst seks gange så lang tid som køretøjet var udsat for temperaturer uden for temperaturtolerancen.

Overførslen fra soak-området til prøvningsrummet skal ske så hurtigt som muligt og uden ubegrundet forsinkelse med højst 1 time mellem afslutningen af soak og opladning og påbegyndelsen af prøvningsproceduren.

5.9. Lavtemperaturprøvning

Prøvningssekvensen for PEV-prøvningsproceduren ved lav temperatur, som beskrevet i punkt 5.7.1 til 5.7.2, 5.9.1 til 5.9.3 og 5.9.4 til 5.9.6 i dette bilag samt den hertil svarende ladningstilstandsprofil for REESS-systemet er vist i figur B10. App1/1 i tillæg 1 til dette bilag.

Prøverummets temperatur ved prøvningens begyndelse skal være inden for ±3 °C af indstillingsværdien på -7 °C.

5.9.1. Prøvningen udføres med fuldt opladet REESS-system i henhold til opladningskravene som beskrevet i punkt 1 i tillæg 2 til dette bilag.

5.9.2. Valg af førervalgt driftstilstand

For køretøjer, der er udstyret med en førervalgt driftstilstand, vælges driftsmåden i forbindelse med prøvningen i overensstemmelse med punkt 4 i tillæg 6 til bilag B8.

5.9.3. Indstillinger for tilbehør

Kravene til tilbehør er fastsat i punkt 5.4 i dette bilag.

5.9.4. PEV-prøvningsproceduren ved lav temperatur påbegyndes senest 1 time efter afslutningen af "prøv-soak" som defineret i punkt 5.8.1 i dette bilag og udføres i overensstemmelse med punkt 5.9.6 i dette bilag.

Hvis fabrikanten måtte ønske det, kan kravet om 1 time udvides efter aftale med den godkendende myndighed.

5.9.5. Afbrydelseskriterium

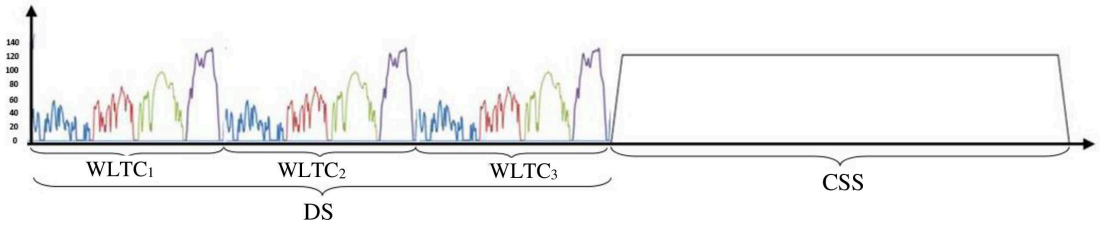
Kravene i punkt 3.4.4.2.3 i bilag B8 finder anvendelse på lavtemperaturprøvningen.

5.9.6. Hastighedskurve

PEV-prøvningsproceduren ved lav temperatur består af et dynamisk segment (DS) efterfulgt af et konstanthastighedssegment (CSS) som vist i figur B10/1.

Figur B10/1

Hastighedskurve for PEV-prøvningsproceduren ved lav temperatur



5.9.6.1. Dynamisk segment

Det dynamiske segment består af (3) gældende WLTP-prøvningscyklusser (WLTC) i overensstemmelse med punkt 1.4.2.1 i bilag B8.

5.9.6.2. Konstant hastighedssegment

Den konstante hastighed skal være den samme som ved type 1-prøvningen i henhold til punkt 3.4.4.2.1.2, litra a), i bilag B8.

5.9.7. Pauser

Pauser for fører og/eller operatør er tilladt, men begrænset til mellem første og anden WLTC-cyklus og under det konstante hastighedssegment. En pause mellem den første og den anden WLTC-cyklus må ikke overstige 3 minutter. En pause under det konstante hastighedssegment må ikke overstige 5 minutter i overensstemmelse med punkt 3.4.4.2.1.3 i bilag B8 for den kørte distance. Under pausen kan motoren være slukket.

6. Beregning af rent elektrisk rækkevidde ($PER_{WLTC,LT}$) ved lav temperatur og forholdet for rent elektrisk rækkevidde ved lav temperatur ($K_{PER,WLTC,LT}$) for rent elektriske køretøjer.

6.1. Rækkevidderne bestemt i dette punkt beregnes kun, hvis køretøjet var i stand til at følge den gældende WLTP-prøvningscyklus inden for hastighedskurvetolerancerne i overensstemmelse med punkt 2.6.8.3.1.2 i bilag B6 i hele den betragtede periode.

Efterberegningerne fremgår af tabel A10/1.

6.1.1. Den rent elektriske rækkevidde i den gældende WLTP-prøvningscyklus, $PER_{WLTC,LT}$, for PEV'er beregnes ud fra PEV-prøvningsproceduren ved lav temperatur som beskrevet i punkt 5.9.4 til 5.9.7 i dette bilag ved hjælp af følgende ligninger:

$$\mathbf{PER_{WLTC,LT}} = \frac{\mathbf{UBE_{LT}}}{\mathbf{EC_{DC,WLTC,LT}}}$$

hvor:

$PER_{WLTC,LT}$ er den rent elektriske rækkevidde ved lav temperatur for den gældende WLTC-prøvningscyklus for PEV'er (km)

UBE_{LT} er den anvendelige REESS-energi ved lav temperatur bestemt fra begyndelsen af PEV-prøvningsproceduren ved lav temperatur, indtil afbrydelseskriteriet som defineret i punkt 5.9.5 i dette bilag er opfyldt (Wh)

$EC_{DC,WLTC,LT}$ er det vægtede elektriske energiforbrug ved lav temperatur for den gældende WLTP-prøvningscyklus af DS i PEV-prøvningsproceduren ved lav temperatur (Wh/km).

og

$$\mathbf{UBE_{LT}} = \sum_{\mathbf{j=1}}^{\mathbf{k}} \mathbf{\Delta E_{REESS,LT,j}}$$

hvor:

$\mathbf{\Delta E_{REESS,LT,j}}$ er den elektriske energiændring for alle REESS'er i løbet af fase j i PEV-prøvningsproceduren ved lav temperatur (Wh)

j er indeksnummeret for den pågældende fase af PEV-prøvningsproceduren ved lav temperatur

k er antallet af faser kørt fra begyndelsen op til og med den fase, hvor afbrydelseskriteriet er opfyldt i PEV-prøvningsproceduren ved lav temperatur

og

$$\mathbf{EC_{DC,WLTC,LT}} = \sum_{\mathbf{j=1}}^{\mathbf{n_{WLTC,LT}}} \mathbf{EC_{DC,WLTC,LT,j}} \mathit{x} \mathbf{K_{WLTC,LT,j}}$$

hvor:

$\mathbf{EC_{DC,WLTC,LT,j}}$ er det elektriske energiforbrug for den gældende WLTP-prøvningscyklus, hvor den første gældende WLTP-prøvningscyklus i DS er angivet som j = 1, den anden gældende WLTP-prøvningscyklus i DS er angivet som j = 2, den tredje gældende WLTP-prøvningscyklus i DS er angivet som j = 3 i PEV-prøvningsproceduren ved lav temperatur i henhold til punkt 5.9.4 til 5.9.7 i dette bilag, beregnet i henhold til punkt 4.3 i bilag B8 (Wh/km),

$\mathbf{K_{WLTC,LT,j}}$ er vægtningsfaktoren for den gældende WLTP-prøvningscyklus i DS i PEV-prøvningsproceduren ved lav temperatur

j er indeksnummeret for den gældende WLTP-prøvningscyklus i PEV-prøvningsproceduren ved lav temperatur

$n_{WLTC,LT}$ er det samlede antal kørte gældende WLTP-prøvningscyklusser i PEV-prøvningsproceduren ved lav temperatur

samt:

$$K_{WLTC,LT,j} = \begin{cases} \frac{\Delta E_{REESS,WLTC,LT,j}}{UBE_{LT}}, & for\ j < n_{WLTC,LT} \\ 1 - \left(\sum_{i=1}^{n_{WLTC,LT}-1} K_{WLTC,LT,i} \right) & for\ j = n_{WLTC,LT} \end{cases}$$

hvor:

$\mathbf{K_{WLTC,LT,j}}$ er vægtningsfaktoren for den j'te gældende WLTP-prøvningscyklus i PEV-prøvningsproceduren ved lav temperatur

$\Delta E_{REESS,WLTC,LT,j}$ er den elektriske energiændring for alle REESS'er under den j'te gældende WLTP-prøvningscyklus i PEV-prøvningsproceduren ved lav temperatur (Wh).

6.1.2. For individuelle køretøjer inden for samme lavtemperaturfamilie

Det følgende forhold beregnes og anvendes på det endelige prøvningsresultat bestemt i trin 10 i tabel A8/10 i bilag B8 i tilfælde af type 1-prøvningsproceduren i fortløbende cyklus eller bestemt i trin 9 i tabel A8/11 i bilag B8 i tilfælde af den forkortede type 1-prøvningsprocedure for individuelle køretøjer ved lav temperatur.

$$PER_{WLTC,LT,ind} = K_{PER,WLTC,LT,dec} * PER_{WLTC,Type1,ind}$$

hvor

$PER_{WLTC,LT,ind}$ er rent elektrisk rækkevidde ved lav temperatur for individuelle køretøjer inden for lavtemperaturfamilien (km)

$K_{PER,WLTC,LT,dec}$ er det oplyste forhold for rent elektrisk rækkevidde ved lav temperatur for lavtemperaturfamilien

Det laveste PER-forhold, $K_{PER,WLTC,LT,dec}$, blandt medlemmer af den samme lavtemperaturfamilie skal angives i oplysningsskemaet (bilag A1). Fabrikanten skal i rapporten om lavtemperaturfamilien angive de relevante oplysninger om, hvordan det laveste PER-forhold er blevet bestemt, hvis det er påkrævet.

$PER_{WLTC,Type1,ind}$ er type 1-PER for individuelle køretøjer inden for den tilsvarende lavtemperaturfamilie (km)

6.1.3. Beregning af forholdet for rent elektrisk rækkevidde ved lav temperatur

$$K_{PER,WLTC,LT,} = PER_{WLTC,LT,ave} / PER_{WLTC,Type1,ave}$$

hvor:

$PER_{WLTC,Type1,ave}$ er stamkøretøjets gennemsnitlige rent elektriske rækkevidde ($PER_{WLTC,\ ave}$) bestemt efter resultatet af trin 10 i tabel A8/10 i bilag B8 i tilfælde af type 1-prøvningsproceduren i fortløbende cyklus eller bestemt efter resultatet af trin 6 i tabel A8/11 i bilag B8 i tilfælde af den forkortede type 1-prøvningsprocedure (km)

$PER_{WLTC,\ LT,\ ave}$ er stamkøretøjets gennemsnitlige rent elektriske rækkevidde bestemt efter tabel A10/1 i dette bilag (km)

Tabel

A10/1 Beregning af forhold for rent elektrisk rækkevidde og rent elektrisk rækkevidde for individuelle køretøjer ved lav temperatur

Trin nr.	Kilde	Input	Proces	Resultat
1	Resultater af lavtemperaturprøvningen	$E_{REESS,LT,j}$	Beregning af værdier for lavtemperaturprøvning sker i henhold til punkt 6.1.1 i dette bilag. Output er tilgængeligt for hver lavtemperaturprøvning.	UBE_{LT} $K_{WLTC,LT,j}$ $EC_{DC,WLTC,LT}$ $PER_{WLTC,LT}$
2	Trin 1	$PER_{WLTC,LT}$	Beregn det aritmetiske gennemsnit i tilfælde af mere end én lavtemperaturprøvning. Hvis kun én prøvning er til rådighed $PER_{WLTC,LT,ave} = PER_{WLTC,LT}$	$PER_{WLTC,LT,ave}$
3	Bilag B8, tabel A8/10, trin 7, for CCP eller Bilag B8, tabel A8/11, trin 6, for STP	$PER_{WLTC,Type1,ave}$	Beregn lavtemperaturforholdet $K_{PER,WLTC,LT,}$ i henhold til punkt 6.1.3 i dette bilag.	$K_{PER,WLTC,LT}$
	Trin 2	$PER_{WLTC,LT,ave}$		
4	Trin 3	$K_{PER,WLTC,LT}$ $K_{PER,WLTC,LT,dec}$	Godkendelse/ikkegodkendelse i henhold til punkt 7 i dette bilag. Erklæringen skal oplyses med fire decimaler.	$K_{PER,WLTC,LT,dec}$
5	Trin 4	$K_{PER,WLTC,LT,dec}$	Anvendelse af det angivne worst case-PER-forhold på en individuel type 1 for at bestemme den individuelle lavtemperaturværdi i henhold til punkt 6.1.2 i dette bilag.	$PER_{WLTC,LT,ind}$
	Bilag B8, tabel A8/10, trin 10, for CCP eller Bilag B8, tabel A8/11, trin 9, for STP	$PER_{WLTC,Type1,ind}$		

7. Metode til afgørelse om godkendelse/ikkegodkendelse

Det forhold for rent elektrisk rækkevidde, $K_{PER,WLTC,LT,dec}$, som fabrikanten har oplyst for en lavtemperaturfamilie i oplysningsskemaet, accepteres, hvis det ikke afviger mere end +4 % fra de værdier, som den tekniske tjeneste har målt på det køretøj, der er indleveret til prøvning.

Bilag B10 - Tillæg 1

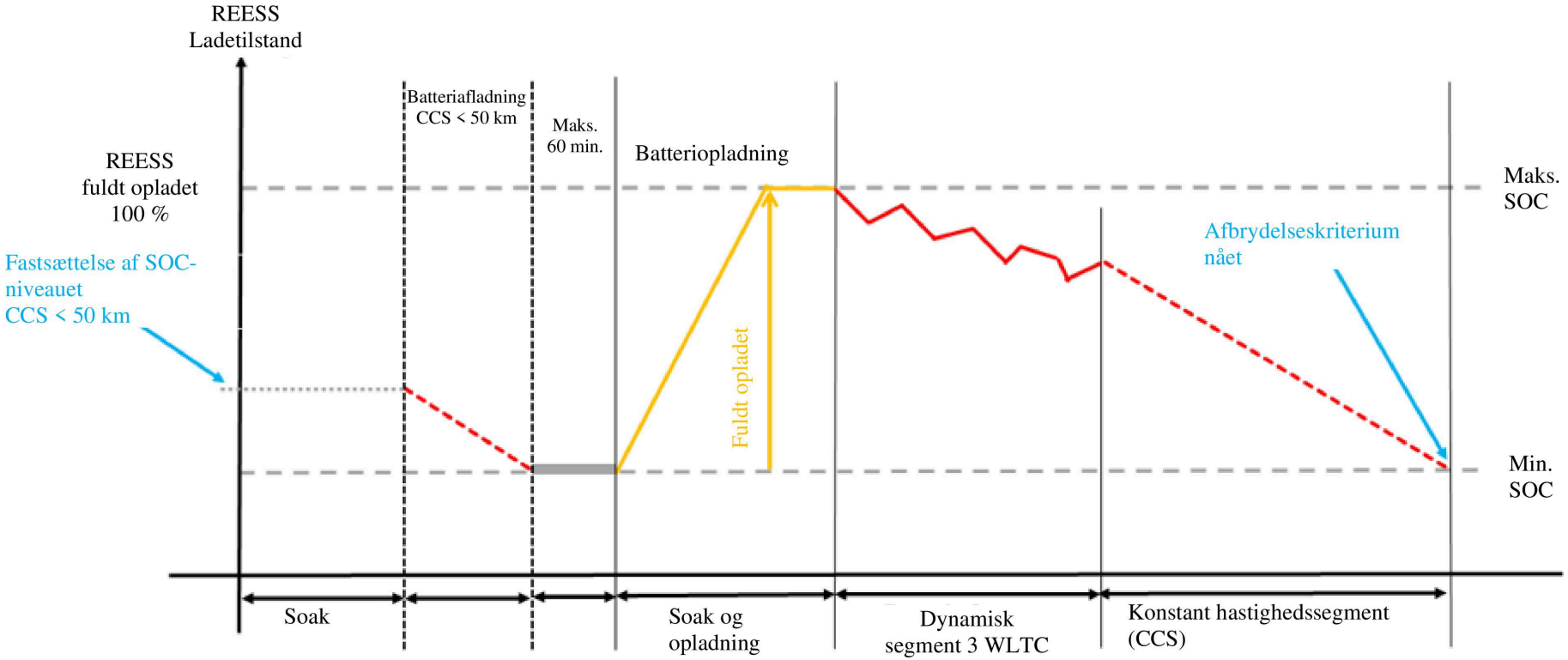
Ladningstilstandsprofil for REESS-system

1. Prøvningssekvenser for PEV

PEV-prøvningsproceduren ved lav temperatur (figur B10.App1/1)

Figur B10.App1/1

PEV-prøvningstrin ved lav temperatur



Bilag B10 - Tillæg 2

REESS-opladningsbetingelser for prøvning ved lav temperatur af PEV'er

1. Anvendelse af normal opladning

Ved normal opladning forstås overførsel af elektricitet til et elektrisk køretøj med en effekt på højst 22 kW.

Hvis der er flere mulige metoder til udførelse af en normal AC-ladning (f.eks. kabel, induktion osv.), anvendes ladeproceduren via kabel.

Findes der flere tilgængelige AC-ladeeffektniveauer, anvendes den højeste normale ladeeffekt. En AC-ladeeffekt, der er lavere end den højeste normale AC-ladeeffekt, kan vælges, hvis det anbefales af fabrikanten og den godkendende myndighed.

1.1. REESS oplades ved en omgivelsestemperatur som angivet i punkt 4.2.3 i dette bilag med den indbyggede lader, hvis en sådan er monteret.

Køretøjet skal forbindes til lysnettet inden for 60 minutter efter prækonditionering. REESS er fuldt opladet, når kriteriet for stop af ladning, som defineret i punkt 1.2 i dette tillæg, er opfyldt.

I følgende tilfælde anvendes en af fabrikanten anbefalet lader og ved anvendelse af det opladningsmønster, der foreskrives for normal opladning, hvis:

a) ingen indbygget lader er monteret, eller

b) ladetiden overstiger den i punkt 5.8.1.3 i dette bilag fastsatte maksimale soak-tid.

Procedurerne i dette punkt udelukker alle typer særlige opladningsprocedurer, der vil kunne startes automatisk eller manuelt, f.eks. udligningsopladning eller vedligeholdelsesopladning. Fabrikanten skal afgive en erklæring om, at der under prøvningen ikke har fundet en særlig opladningsprocedure sted.

1.2. Kriterier for stop af ladning

Kriteriet for stop af ladning er opfyldt, når indbyggede eller eksterne instrumenter viser, at REESS'en er fuldt opladet.

Bilag, del C

Bilagene i del C beskriver procedurerne for bestemmelse af holdbarheden af batterier til elektrificerede køretøjer, type 4- og type 5-prøvningsprocedurerne og bestemmelserne vedrørende egendiagnosesystemer (OBD).

BILAG C1

Batteriets holdbarhed

Dette bilag finder anvendelse på PEV'er eller OVC-HEV'er, der har et oprindeligt installeret batteri som defineret i dette regulativ.

1. Krav

1.1. Overvågningsenheder for certificeret rækkeviddetilstand og certificeret energitilstand (SOCR og SOCE)

1.1.1. Fabrikanten skal installere SOCR- og SOCE-overvågningsenheder, der forbliver i drift i hele køretøjets levetid. SOCR-overvågningsenheden skal opretholde et estimat af den certificerede rækkeviddetilstand (indbygget SOCR), og SOCE-overvågningsenheden skal opretholde et estimat af den certificerede energitilstand (indbygget SOCE).

Fabrikanten bestemmer de algoritmer, hvormed indbygget SOCR og indbygget SOCE bestemmes for de køretøjer, de producerer. Fabrikanten skal ajourføre de indbyggede SOCR og SOCE med tilstrækkelig hyppighed til at opretholde den nødvendige grad af nøjagtighed under køretøjets normale drift.

De indbyggede SOCR og SOCE skal have en opløsning på mindst 1 del i 100 og afrundes til nærmeste hele tal mellem 0 og 100, når det anvendes til verifikation.

1.1.2. Fabrikanten skal stille de parametre, der er defineret i tillæg 1 til dette bilag, til rådighed. Parametrene beregnes og skaleres i overensstemmelse med de standarder, der er omhandlet i stk. 6.5.3.2, litra a), e), f) eller g) i tillæg 1 til bilag C5, og stilles til rådighed som signaler gennem den serielle port, der er omhandlet i punkt 6.5.3.2, litra c) i tillæg 1 til bilag C5, i overensstemmelse med punkt 5 i tillæg 5 til dette regulativ.

1.1.3. Med henblik på forbrugeroplysning skal fabrikanten gøre den senest bestemte værdi fra SOCE-overvågningsenheden let tilgængelig for køretøjets ejer ved hjælp af mindst én passende metode. Denne metode fastlægges efter aftale med myndighederne. F.eks.:

a) indikation på instrumentbrættet

b) via infotainmentsystemet

c) ved fjernadgang (f.eks. via mobiltelefonapplikationer). Den oplyste SOCE-værdi til forbrugeroplysningsformål skal have en opløsning på 1 del i 100 og angives som det nærmeste hele tal mellem 0 og 100.

1.2. Krav til batteriets ydeevne

Kravene til batteriers holdbarhed i dette regulativ er defineret i form af minimumskrav til ydeevne (MPR_i), som repræsenterer de mindste tilladte værdier for SOCE og SOCR på bestemte tidspunkter i køretøjets levetid. Køretøjer, der falder ind under klasserne OVC-HEV og PEV, skal opfylde begge minimumskrav til ydeevne i tabel 1 og 2 nedenfor. MPR-værdierne kan variere afhængigt af køretøjets klasse og fremdriftstype.

Tabel 1

Minimumskrav til ydeevne baseret på batteriets energi (SOCE)

Køretøjets alder eller kørte km for klasse M inden for dette regulativs anvendelsesområde	OVC-HEV	PEV
Fra påbegyndelse af levetiden til 5 år eller 100 000 km, alt efter hvad der indtræffer først	80 %	80 %
Køretøjer, der er over 5 år eller har kørt mere end 100 000 km, og op til 8 år eller 160 000 km, alt efter hvad der indtræffer først	72 %	72 %

Køretøjets alder eller kørte km for klasse N inden for dette regulativs anvendelsesområde	OVC-HEV	PEV
Fra påbegyndelse af levetiden til 5 år eller 100 000 km, alt efter hvad der indtræffer først	75 %	75 %
Køretøjer, der er over 5 år eller har kørt mere end 100 000 km, og op til 8 år eller 160 000 km, alt efter hvad der indtræffer først	67 %	67 %

Tabel 2

Minimumskrav til ydeevne baseret på rækkevidde (SOCR)

Køretøjets alder eller kørte km for klasse M inden for dette regulativs anvendelsesområde	OVC-HEV	PEV
Fra påbegyndelse af levetiden til 5 år eller 100 000 km, alt efter hvad der indtræffer først	(Reserveret)	(Reserveret)
Køretøjer, der er over 5 år eller har kørt mere end 100 000 km, og op til 8 år eller 160 000 km, alt efter hvad der indtræffer først	(Reserveret)	(Reserveret)
Køretøjets alder eller kørte km for klasse N inden for dette regulativs anvendelsesområde	OVC-HEV	PEV
Fra påbegyndelse af levetiden til 5 år eller 100 000 km, alt efter hvad der indtræffer først	(Reserveret)	(Reserveret)
Køretøjer, der er over 5 år eller har kørt mere end 100 000 km, og op til 8 år eller 160 000 km, alt efter hvad der indtræffer først	(Reserveret)	(Reserveret)

Der skal installeres SOCR-overvågningsenheder, og deres værdier skal overvåges.

En fabrikant kan vælge at angive et oplyst krav til ydeevne (DPR_i) med en SOCE- og/eller SOCR-værdi, der er højere end den tilsvarende MPR-værdi. I sådanne tilfælde erstattes MPR_i med DPR_i med henblik på at fastslå den pågældende fabrikants overholdelse.

Fabrikanten sikrer, at batterier, der installeres i køretøjer, overholder reglerne i punkt 4.3 i bilag 5 til FN-regulativ nr. 83 for MPR_i (eller DPR_i, hvis det er relevant).

På fabrikantens anmodning og for køretøjer, der er konstrueret med V2X, eller for køretøjer i klasse N, der anvendes til ikke-drivkraftformål ("non-traction purposes"), indberettes den tilsvarende virtuelle afstand ("virtual distance") beregnet efter nedenstående ligning af hvert køretøj.

$$\boldsymbol{Virtual distance}\ (\boldsymbol{km}) = \left(\frac{\boldsymbol{total dischargeenergy during V2X and for non-traction purposes}^{1}\ (\boldsymbol{Wh})}{\boldsymbol{worst case certified energy consumption of PART B family}\ (\boldsymbol{Wh/km})}\right)$$

hvor

"worst case certified energy consumption Part B family" er det værst tænkelige certificerede energiforbrug for en del B-familie som defineret i punkt 6.11.1.2 i dette regulativ, som skal angives i henhold til tillæg 2 til dette bilag.

Efter fabrikantens valg kan fabrikanten i stedet for at anvende det værst tænkelige certificerede energiforbrug for en del B-familie som defineret i punkt 6.11.1.2 i dette regulativ få tilladelse til at anvende enhver højere energiforbrugsværdi.

([1]) Virtual distance for non-traction purposes to be accounted only for Category N vehicles.

Den virtuelle afstand skal være i overensstemmelse med den nøjagtighed, der er specificeret i punkt 5.2 i bilag 5 til FN-regulativ nr. 83 for så vidt angår verifikation af virtuel afstand.

Den samlede afstand, der anvendes til at bekræfte overholdelsen af minimumskravene til ydeevne, består af summen af den kørte afstand og den virtuelle afstand. Den samlede virtuelle afstand skal registreres og overvåges.

1.3. Køretøjsfabrikanten skal under typegodkendelsen påvise overensstemmelse med punkt 1.1 og 1.2 ved hjælp af følgende procedure.

1.3.1. Krav til overvågningen og dens nøjagtighed

Den tekniske tjeneste skal kontrollere tilgængeligheden af de parametre, der er defineret i tillæg 1 til dette bilag, og bekræfte den tekniske forklaring og/eller tekniske dokumentation fra køretøjsfabrikanten med henblik på overholdelse af den SOCE-nøjagtighed, der er defineret i punkt 3.1.3 i bilag 5 til FN-regulativ nr. 83, ændringsserie 09.

1.3.2. Krav til batteriets ydeevne

Den tekniske tjeneste skal bekræfte den tekniske forklaring og/eller tekniske dokumentation fra køretøjsfabrikanten med henblik på overholdelse af de MPR'er, der er defineret i punkt 4.3 i bilag 5 til FN-regulativ nr. 83, ændringsserie 09.

1.3.3. Krav til oplyst virtuel afstand

Dette punkt finder kun anvendelse, hvis fabrikanten anmoder om at anvende den tilsvarende virtuelle afstand.

Den tekniske tjeneste skal bekræfte den indberettede virtuelle afstand med henblik på overholdelse af nøjagtighedskravet til den virtuelle afstand, der er defineret i punkt 5.2 i bilag 5 til FN-regulativ nr. 83, ændringsserie 09.

1.4. Dette punkt finder kun anvendelse på niveau 1A:

Som et alternativ til kravene i punkt 1.3 kan køretøjsfabrikanten i forbindelse med typegodkendelsen erklære, at kravene i punkt 1.1 og 1.2 er opfyldt.

Bilag C1 - Tillæg 2.

Værdier, der skal indlæses fra køretøjer

Fabrikanten skal stille følgende værdier til rådighed, så de kan læses visuelt eller via en netforbindelse til køretøjet:

1. Indbygget SOCE-værdi (%)
2. Indbygget SOCR-værdi (%)
3. Virtuel afstand [1] (km)
4. Energikapacitet (levetid) (kWh)
5. Samlet energiafladning i V2X [1] (levetid, hvis relevant) (kWh)
6. Samlet energiafladning til ikke-drivkraftsformål (levetid) [1] (kWh) — kun for køretøjer i klasse N, og hvis fabrikanten anmoder herom
7. Forløbet tid siden batteriets SOC sidst steg med mere end 50 procentpoint (dage)
8. Gennemsnitlig batteritemperatur, mens fremdriftssystemet er aktivt (levetid) (°C)
9. Gennemsnitlig batteritemperatur under opladning (levetid) (°C)
10. Gennemsnitlig batteritemperatur når køretøjet ikke er i brug (levetid) [1] (°C)
    Kun niveau 1A og niveau 2:
11. Kilometertæller (km)
    Kun niveau 1B og niveau 2:
12. Samlet tilbagelagt afstand (levetid) som defineret i tillæg 5 (km)
13. Del B-familieidentifikator

Bilag C1 - Tillæg 3.

Prøvningsprocedure for bestemmelse af ydeevneparameter under del A-verifikation af SOCE/SOCR-overvågningsenhederne

1. Indledning

Til beregning af $SOCE_{measured}$ og $SOCR_{measured}$ i henhold til punkt 3.1.2 i bilag 5 til FN-regulativ nr. 83 anvendes de målte og certificerede værdier af anvendelig batterienergi (UBE) og elektrisk rækkevidde (PER for PEV'er og EAER for OVC-HEV'er):

— $UBE_{measured}$ og $UBE_{certified}$

— $Range_{measured}$ og $Range_{certified}$

Dette tillæg beskriver bestemmelsen af disse værdier i tilfælde af WLTP for PEV'er (punkt 2) og for OVC-HEV'er (punkt 3) og fastsætter de krav, for hvilke der skal udføres målinger, og hvilke certificerede værdier der skal anvendes for et køretøj, der er udvalgt i del A-verifikationsproceduren som defineret i punkt 3 i bilag 5 til FN-regulativ nr. 83.

I dette tillæg omfatter udtrykket "batteri" for PEV'er ikke kun REESS-systemer, der hovedsagelig anvendes til drivkraft, men også alle andre REESS-systemer.

2. Ydeevneparametre for PEV'er

2.1. UBE for PEV'er

2.1.1. Målte UBE-værdier for PEV'er

Parametre	Forklaring	
$UBE_{measured}$	Forkortet prøvningsprocedure (STP)	Procedure for fortløbende cyklus (CCP)
	UBE-værdien bestemmes i henhold til bilag B8, tabel A8/11, trin 1.	UBE-værdien bestemmes i henhold til bilag B8, tabel A8/10, trin 1.
	$UBE_{measured}$ afrundes ikke.	

2.1.2. Certificerede UBE-værdier for PEV'er

Parametre	Forklaring	
$UBE_{certfied}$	Forkortet prøvningsprocedure (STP)	Procedure for fortløbende cyklus (CCP)
	$UBE_{certified}$ er køretøjets justerede målte anvendelige batterienergi (UBE) ved certificeringen: $\boldsymbol{UBE_{certified} = UBE_{measured@TA} * AF_{PER}}$ hvor: $\boldsymbol{UBE_{measured@TA}}$ er den målte anvendelige batterienergi i henhold til bilag B8, tabel A8/11, trin 1, ved certificering. I tilfælde af mere end én	$UBE_{certified}$ er køretøjets justerede målte anvendelige batterienergi (UBE) ved certificeringen: $\boldsymbol{UBE_{certified} = UBE_{measured@TA} * AF_{PER}}$ hvor: $\boldsymbol{UBE_{measured@TA}}$ er den målte anvendelige batterienergi i henhold til bilag B8, tabel A8/10, trin 1, ved certificering. I tilfælde af mere end én

Parametre	Forklaring	
	prøvning (antal prøvninger) beregnes gennemsnittet af de fundne UBE-værdier. **AF_{PER}** er justeringsfaktoren, der bestemmes i henhold til bilag B8, tabel A8/11, trin 6.	prøvning (antal prøvninger) beregnes gennemsnittet af de fundne UBE-værdier. **AF_{PER}** er justeringsfaktoren, der bestemmes i henhold til bilag B8, tabel A8/10, trin 7.
	$UBE_{certfied}$ afrundes i overensstemmelse med punkt 6.1.8 i dette regulativ: — Til nærmeste hele tal, hvis enheden er Wh — Til tre betydende cifre, hvis enheden er kWh	
	Hvis interpolationsmetoden anvendes bestemmes $UBE_{certfied}$ som — den største værdi af $UBE_{measured}$ *AF) blandt køretøj H og køretøj L	

2.2. Rækkevidde for PEV'er

2.2.1. Målte Range-værdier for PEV'er

Parametre	Forklaring	
	Forkortet prøvningsprocedure (STP)	Procedure for fortløbende cyklus (CCP)
$Range_{measured}$	Rækkevidden (PER_{WLTC}) bestemmes i henhold til bilag B8, tabel A8/11, trin 4.	Rækkevidden (PER_{WLTC}) bestemmes i henhold til bilag B8, tabel A8/10, trin 5.
	$Range_{measured}$ afrundes ikke.	

2.2.2. Certificerede Range-værdier for PEV'er

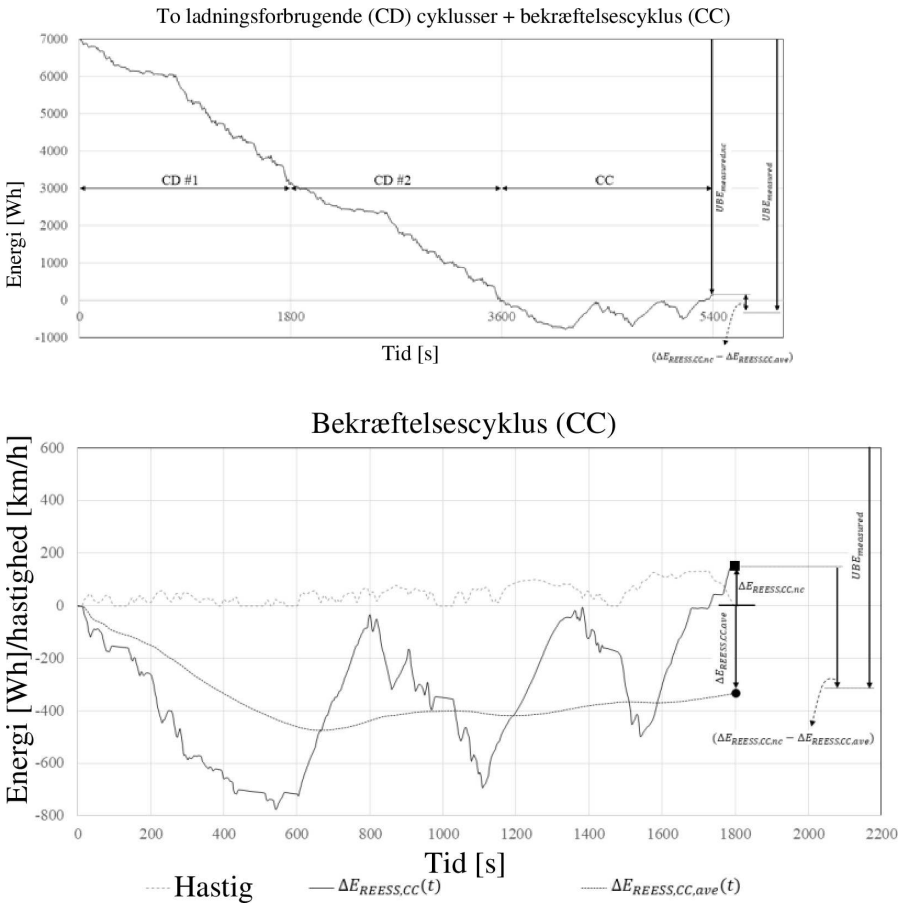
Parametre	Forklaring	
	Forkortet prøvningsprocedure (STP)	Procedure for fortløbende cyklus (CCP)
$Range_{certified}$	Rækkevidden (PER_{WLTC}) bestemmes i henhold til bilag B8, tabel A8/11, trin 6 eller 9†.	Rækkevidden (PER_{WLTC}) bestemmes i henhold til bilag B8, tabel A8/10, trin 7 eller 10†.
	$Range_{certified}$ afrundes til nærmeste hele tal i overensstemmelse med punkt 6.1.8 i dette regulativ.	

Bemærk: † afhængigt af, om interpolationsmetoden anvendes eller ej

3. Ydeevneparametre for OVC-HEV'er

3.1. UBE for OVC-HEV'er

3.1.1. Målte UBE-værdier for OVC-HEV'er

Parametre	Forklaring
$UBE_{measured}$	Anvendelig batterienergi, $UBE_{measured}$, beregnes således: $$\boldsymbol{UBE}_{measured} = \mathbf{UBE}_{measured,nc} - (\Delta \boldsymbol{E}_{\mathbf{REESS,CC,nc}} - \Delta \boldsymbol{E}_{\boldsymbol{REESS,CC,ave}})$$ hvor $UBE_{measured,nc}$ er ukorrigeret anvendelig batterienergi i den ladningsforbrugende prøvning (Wh) $\Delta \boldsymbol{E}_{\boldsymbol{REESS,CC,nc}}$ er ukorrigeret elektrisk energiændring i bekræftelsescyklussen (Wh) $\Delta \boldsymbol{E}_{\boldsymbol{REESS,CC,ave}}$ er gennemsnitlig elektrisk energiændring i bekræftelsescyklussen (Wh) CC er bekræftelsescyklus som defineret i UN-R154, bilag 8, punkt 3.2.4.4. Korrektionen med den gennemsnitlige elektriske energiændring i bekræftelsescyklussen er nødvendig, da afbrydelseskriteriet i henhold til bilag B8, punkt 3.2.4.5, muliggør jitter omkring det absolutte referenceniveau. Korrektionen skal kompensere for denne virkning og kan visualiseres således: To ladningsforbrugende (CD) cyklusser + bekræftelsescyklus (CC) 

Parametre	Forklaring
	Den nødvendige inputparameter $UBE_{measured,nc}$ beregnes således: $$\mathbf{UBE_{measured,nc}} = \sum_{\mathbf{i}=1}^{\mathbf{n}} \Delta \mathbf{E_{REESS,i}}$$ hvor: $\Delta E_{REESS,i}$ er målt elektrisk energiændring i det i'te batteri (Wh) i er indeksnummeret for det pågældende batteri n er det samlede antal batterier samt: $$\Delta \mathbf{E_{REESS,i}} = \frac{\mathbf{1}}{\mathbf{3600} \times \int_{\mathbf{t_0}}^{\mathbf{t_{end}}} \mathbf{U(t)_{REESS,i}} \times \mathbf{I(t)_{REESS,i}} dt}$$ hvor: $\mathbf{U(t)_{REESS,i}}$ er spændingen for det i'te batteri (V) $\mathbf{I(t)_{REESS,i}}$ er elektrisk strøm for det i'te batteri (A) t_0 er tiden ved begyndelsen af den ladningsforbrugende prøvning (s) t_{end} er tiden ved slutningen af bekræftelsescyklus for den ladningsforbrugende prøvning (s) $\frac{\mathbf{1}}{\mathbf{3600}}$ er omregningsfaktoren fra Ws til Wh.
	Den nødvendige inputparameter $\Delta \boldsymbol{E_{REESS,CC,ave}}$ beregnes således: $$\Delta \boldsymbol{E_{REESS.CC,ave}} = \sum_{\boldsymbol{i}=1}^{\boldsymbol{n}} \Delta \boldsymbol{E_{REESS,avg,i,CC}}$$ hvor $\Delta \boldsymbol{E_{REESS,avg,i,CC}}$ er gennemsnitlig målt elektrisk energiændring i det i'te batteri i bekræftelsescyklussen (Wh) $\boldsymbol{i}$ er indeksnummeret for det pågældende batteri n er det samlede antal batterier og $$\mathbf{\Delta E_{REESS,avg,i,CC}} = \frac{\mathbf{1}}{\mathbf{3600}} \times \frac{\mathbf{1}}{\mathbf{t_{end,CC} - t_{start,CC}}} \times \int_{\mathbf{t_{start,CC}}}^{\mathbf{t_{end,CC}}} \left(\int_{\mathbf{t_{start,CC}}}^{\mathbf{t}} \mathbf{U_{REESS,i}(\tau)} \times I_{REESS,i}(\tau) d\tau \right) dt$$ hvor: $U_{REESS,i}(t)$ er spændingen for det i'te batteri (V) $I_{REESS,i}(t)$ er strømmen for det i'te batteri (A) $t_{start,CC}$ er tiden ved begyndelsen af bekræftelsescyklus for den ladningsforbrugende prøvning (s) $t_{end,CC}$ er tiden ved slutningen af bekræftelsescyklus for den ladningsforbrugende prøvning (s) $\frac{1}{3600}$ er omregningsfaktoren fra Ws til Wh. CC er bekræftelsescyklus som defineret i bilag B8, punkt 3.2.4.4.
$UBE_{measured}$ afrundes ikke.	

3.1.2. Certificerede UBE-værdier for OVC-HEV'er

Parametre	Forklaring
$UBE_{certified}$	$UBE_{certified}$ er køretøjets justerede målte anvendelige batterienergi (UBE) ved certificeringen: $$UBE_{certified} = UBE_{measured@TA} * AF_{OVC-HEV}$$ hvor $UBE_{measured@TA}$ er målt anvendelig batterienergi ved certificeringen i henhold til punkt 3.1.1 i dette tillæg (Wh) $AF_{OVC-HEV}$ er justeringsfaktoren bestemt som beskrevet nedenfor. Den kontraherende part vælger en af følgende to justeringsfaktorer: — Justeringsfaktor 1: $$AF_{OVC-HEV} = \frac{EC_{measured@TA}}{EC_{certified}}$$ hvor: $EC_{certified}$ er det elektriske energiforbrug, $EC_{AC.CD}$, der bestemmes i henhold til bilag B8, tabel A8/8, trin 14, ved certificering (Wh/km) $EC_{measured@TA}$ er det målte elektriske energiforbrug, $EC_{AC,CD}$, der bestemmes i henhold til bilag B8, tabel A8/8, trin 13, ved certificering (Wh/km). — Justeringsfaktor 2: $$AF_{OVC.HEV} = \frac{EC_{measured@TA}}{EC_{certified}}$$ hvor: $EC_{certified}$ er det EC, der bestemmes i henhold til bilag B8, tabel A8/9, trin 8, ved certificering (Wh/km) $EC_{measured@TA}$ er det målte EC, der bestemmes i henhold til bilag B8, tabel A8/9, trin 7, ved certificering (Wh/km).
	$UBE_{certfied}$ afrundes i overensstemmelse med punkt 7 i dette regulativ: — Til nærmeste hele tal, hvis enheden er Wh — Til tre betydende cifre, hvis enheden er kWh
	Hvis interpolationsmetoden anvendes bestemmes $UBE_{certfied}$ som — den største værdi af $UBE_{measured}$ *AF) blandt køretøj H og køretøj L samt, hvis relevant, køretøj M.

3.2. Rækkevidde for OVC-HEV'er

3.2.1. Målte Range-værdier for OVC-HEV'er

Parametre	Forklaring
$Range_{measured}$	$Range_{measured}$ er målt ækvivalent fuldt elektrisk rækkevidde, der er defineret således: $$EAER_{measured} = \left(\frac{M_{CO2,CS} - M_{CO2,CD,avg}}{M_{CO2,CS}}\right) \times R_{cdc}$$ hvor: $M_{CO2,CD,avg}$ er den aritmetisk gennemsnitlige CO_2-massemission i ladningsforbrugende driftstilstand ifølge bilag B8, punkt 4.4.4.1 (g/km) $M_{CO2,CS}$ er CO_2-masseemissionen i ladningsbevarende driftstilstand ifølge bilag B8, tabel A8/5, trin 5 (g/km), R_{CDC} er den målte længde af prøvningen i ladningsforbrugende driftstilstand, der bestemmes i henhold til bilag B8, tabel A8/8, trin 3 (km) $Range_{measured}$ afrundes ikke.

3.2.2. Certificerede Range-værdier for OVC-HEV'er

Parametre	Forklaring
$Range_{certified}$	$Range_{certified}$ (EAER) i henhold til FN-regulativ nr. 154, ændringsserie 02 eller senere, bilag B8, tabel A8/9, trin nr. 8 eller 9† ved certificering.
	$Range_{certified}$ afrundes til nærmeste hele tal i overensstemmelse med punkt 6.1.8 i dette regulativ.

Bemærk: † afhængigt af, om interpolationsmetoden anvendes eller ej

BILAG C2

(Reserveret)

BILAG C3

Type 4-prøvning

Bestemmelse af fordampningsemissioner fra køretøjer med benzindrevne motorer

Type 4-prøvningsprocedure og prøvningsbetingelser

1. Indledning

I dette bilag fastsættes metoden til bestemmelse af fordampningsemissionen fra lette køretøjer på repeterbar og reproducerbar måde, udformet med henblik på at være repræsentativ for faktisk drift.

2. Tekniske krav

2.1. Proceduren omfatter fordampningsemissionsprøvningen og to supplerende prøvninger, én for ældning af beholdere med aktivt kul som beskrevet i punkt 5.1 i dette bilag og én for brændstofbeholdersystemets gennemtrængelighed som beskrevet i punkt 5.2 i dette bilag. Fordampningsemissionsprøvningen (figur C3/4) er bestemmende for fordampningstabet af carbonhydrider som følge af døgntemperatursvingninger hot soak under parkering.

2.2. I tilfælde af at brændstofsystemet omfatter mere end én beholder med aktivt kul, skal hver enkelt reference til begrebet "absorbtionsbeholder" i dette bilag referere til hver enkelt beholder med aktivt kul.

3. Køretøj

Køretøjet skal være i god mekanisk stand og være tilkørt over mindst 3000 km før prøvningen. Med henblik på bestemmelse af fordampningsemissionen registreres kilometertal og alder på det køretøj, der er anvendt til certificeringen. Systemet til begrænsning af fordampningsemissioner skal være tilsluttet og have fungeret korrekt i tilkøringsperioden. Den ældede beholder med aktivt kul må ikke installeres i tilkørselsperioden.

En beholder med aktivt kul, der ældes i henhold til proceduren i punkt 5.1 til og med 5.1.3.1.3 i dette bilag, må ikke monteres, før den i punkt 6.5.1 i dette bilag omhandlede påfyldning af brændstof og genpåfyldningen påbegyndes.

4. Prøvningsudstyr, kalibreringskrav og intervaller

Medmindre andet er anført i dette punkt, kalibreres det udstyr, der anvendes til prøvningen, inden den anvendes første gang og derefter med passende serviceintervaller. Et passende serviceinterval skal være enten en anbefaling fra fabrikanten af udstyr eller god teknisk praksis.

4.1. Chassisdynamometer

Chassisdynamometeret skal opfylde kravene i punkt 2 til og med 2.4.2 i bilag B5.

4.2. Prøvelokale til måling af fordampningsemissionen

Det prøvelokale, hvori målingen af fordampningsemissionen udføres, skal være lufttæt og rektangulært og tilstrækkelig stort til at kunne rumme det køretøj, der skal prøves. Køretøjet skal være tilgængeligt fra alle sider, og lokalet skal, når det er forseglet, opfylde kriterierne for lufttæthed i punkt 4.2.3.3. i dette bilag. Lokalets indvendige overflade skal være uigennemtrængelig for carbonhydrider og inaktiv over for carbonhydrider. Temperaturstyringssystemet skal kunne holde prøvelokalets indvendige lufttemperatur på den foreskrevne temperatur/tid-profil under hele prøvningen inden for en tolerance på 1 C som gennemsnit for hele prøvningen.

Styringssystemet skal indstilles således, at oversving, pendling og instabilitet i forhold til den ønskede langtidsprofil for omgivelsestemperaturen er mindst mulige. Den indvendige overfladetemperatur må på intet tidspunkt under døgnemissionsprøvningen være mindre end 5 °C eller højere end 55 °C.

Væggene skal være konstrueret således, at de fremmer en god varmespredning. Den indvendige overfladetemperatur skal være mindst 20 °C og højst 52 °C for hele varigheden af stilstanden ved fordampning efter kørsel (hot soak).

Af hensyn til volumenændringer som følge af udsving i prøvelokalets temperatur kan prøvelokalet enten være med variabelt eller fast volumen.

4.2.1. Prøvelokale med variabelt volumen

Et prøvelokale med variabelt volumen udvider sig og trækker sig sammen i takt med udsvingene i prøvelokalets lufttemperatur. Der kan tages hensyn til udsving i det indvendige volumen på to måder, nemlig enten ved hjælp af bevægelige paneler eller ved en bælganordning, hvor uigennemtrængelige sække i prøvelokalet udvider sig og trækker sig sammen i takt med ændringerne i trykket i lokalet, idet de står i forbindelse med luften uden for prøvelokalet. Anordninger til volumentilpasning skal være således konstrueret, at prøvelokalets integritet, jf. punkt 4.2.3 i dette bilag, bevares inden for hele det angivne temperaturinterval.

Alle metoder til volumentilpasning skal fastholde forskellen mellem lufttrykket i prøvelokalet og barometertrykket inden for højst ±0,5 kPa.

Prøvelokalet skal kunne fastlåses på et bestemt volumen. Et prøvelokale med variabelt volumen skal kunne klare udsving på +7 % i forhold til dets "nominelle volumen" (jf. punkt 4.2.3.1.1 i dette bilag) under hensyntagen til udsving i temperatur og barometerstand under prøvningen.

4.2.2. Prøvelokale med fast volumen

Et prøvelokale med fast volumen skal have stive paneler, der holder prøvelokalets volumen fast, og opfylde følgende krav:

4.2.2.1. Prøvelokalet skal være udstyret med et luftudtag, der under prøvningen suger luft ud ved konstant lav hastighed. Den udsugede luft kan erstattes med luft udefra ved tilførsel gennem et luftindtag. Denne luft skal filtreres gennem aktivt kul, så indholdet af carbonhydrider holdes forholdsvis konstant. Enhver metode til volumentilpasning skal fastholde forskellen mellem lufttrykket i prøvelokalet og barometertrykket inden for 0 og -0,5 kPa.

4.2.2.2. Udstyret skal kunne måle massen af carbonhydrider i tilført og udsuget luft med en opløsning på 0,01 g. Der kan anvendes et system med opsamlingssække til at opsamle en forholdsmæssig andel af den udsugede og den tilførte luft. En anden mulighed er at analysere den tilførte og den udsugede luft kontinuerligt ved hjælp af en online FID-analysator, hvilket sammen med målingerne af luftflowet giver en kontinuerlig registrering af den fjernede masse af carbonhydrider.

4.2.3. Kalibrering af prøvelokalet

4.2.3.1. Bestemmelse af prøvelokalets indvendige volumen

4.2.3.1.1. Inden prøvelokalet tages i brug første gang, bestemmes dets indvendige volumen på følgende måde:

Lokalets indvendige mål måles omhyggeligt, idet der tages højde for uregelmæssigheder som f. eks. stivere. Lokalets indvendige volumen bestemmes ud fra disse målinger.

Hvis der er tale om et prøvelokale med variabelt volumen, fastlåses det på et fast volumen ved en omgivelsestemperatur på 30 °C eller efter fabrikantens valg 29 °C. Dette nominelle volumen skal kunne gentages med en tolerance på ±0,5 % af den registrerede værdi.

4.2.3.1.2. Nettovolumenet bestemmes ved at fratrække 1,42 m^3 fra prøvelokalets indvendige volumen. Alternativt kan prøvningskøretøjets volumen med bagagerumsklap og vinduer åbne anvendes i stedet for 1,42 m^3.

4.2.3.1.3. Prøvelokalet kontrolleres som beskrevet i punkt 4.2.3.3 i dette bilag. Hvis propanmassen ikke svarer til den indsprøjtede masse inden for ±2 %, foretages de fornødne indgreb for at afhjælpe problemet.

4.2.3.2. Bestemmelse af baggrundsemissionen i lokalet

Denne operation tjener til at afgøre, om prøvelokalet indeholder materialer, der udsender væsentlige mængder carbonhydrider. Kontrollen udføres ved prøvelokalets ibrugtagning, efter hver aktivitet i prøvelokalet, der kan påvirke baggrundsemissionen, og under alle omstændigheder mindst én gang om året.

4.2.3.2.1. Der kan i prøvelokaler med variabelt volumen måles med fastlåst eller ikke fastlåst volumen, jf. punkt 4.2.3.1.1 i dette bilag; omgivelsestemperaturer skal fastholdes på 35 ± 2 °C eller efter fabrikantens valg på 36 ± 2 °C i nedennævnte firetimers periode.

4.2.3.2.2. For et prøvelokale med fast volumen måles der med lukkede luftindtag og -udtag. Omgivelsestemperaturer skal holdes ved 35 °C ±2 °C eller efter fabrikantens valg ved 36 °C ±2 °C i nedennævnte firetimers periode.

4.2.3.2.3. Prøvelokalet kan være forseglet med ventilatoren i gang i op til 12 timer, inden den 4 timer lange udtagning af baggrundsprøver begynder.

4.2.3.2.4. Analysatoren kalibreres (hvis dette er påkrævet) og nulstilles, og måleområdet bestemmes.

4.2.3.2.5. Prøvelokalet udluftes, indtil der opnås en stabil værdi for carbonhydrider. Ventilatoren slås til, hvis den ikke allerede er i gang.

4.2.3.2.6. Prøvelokalet forsegles, og baggrundskoncentrationen af carbonhydrider, temperaturen og barometertrykket måles. Disse udgør begyndelsesværdierne C_{HCi}, P_i og T_i til brug ved beregningen af prøvelokalets baggrundsemission.

4.2.3.2.7. Prøvelokalet lades uberørt i fire timer med ventilatoren i gang.

4.2.3.2.8. Derefter måles carbonhydridkoncentrationen i lokalet med den samme analysator. Temperaturen og barometertrykket måles ligeledes. Disse udgør slutværdierne af C_{HCf}, P_f, $T_{f.}$

4.2.3.2.9. Ændringen i massen af carbonhydrider i prøvelokalet beregnes i prøvetidsrummet i henhold til punkt 4.2.3.4 i dette bilag og må ikke overstige 0,05 g.

4.2.3.3. Kalibrering af prøvelokalet og prøvning for carbonhydridretention

Kalibreringen af prøvelokalet og prøven for carbonhydridretention giver en kontrol af det i punkt 4.2.3.1 i dette bilag beregnede volumen og samtidig et mål for eventuelle lækager. Måling af lækager udføres ved prøvelokalets ibrugtagning, efter hver aktivitet i prøvelokalet, der kan påvirke prøvelokalets integritet, og derefter under alle omstændigheder mindst en gang om måneden. Hvis seks på hinanden følgende månedlige retentionskontroller er gennemført, uden at der har skullet foretages korrektioner, kan målingen af lækager derefter foretages en gang i kvartalet, så længe indgreb ikke er påkrævede.

4.2.3.3.1. Prøvelokalet udluftes, indtil der opnås en stabil carbonhydridkoncentration. Ventilatoren slås til, hvis den ikke allerede er i gang. Carbonhydridanalysatoren nulstilles og kalibreres (hvis dette er påkrævet), og måleområdet bestemmes.

4.2.3.3.2. Hvis der er tale om et prøvelokale med variabelt volumen, skal det fastlåses til det nominelle volumen. Hvis der er tale om et prøvelokale med fast volumen, lukkes luftindtag og -udtag.

4.2.3.3.3. Temperaturstyringssystemet slås til (hvis det ikke allerede er i gang) og indstilles til en begyndelsestemperatur på 35 °C eller efter fabrikantens valg 36 °C.

4.2.3.3.4. Så snart prøvelokalets temperatur er blevet stabil på 35 °C ± 2 °C eller efter fabrikantens valg 36 °C ±2 °C, forsegles prøvelokalet, og baggrundskoncentrationen, temperaturen og barometertrykket måles. Disse udgør begyndelsesværdierne C_{HCi}, P_i og T_i til brug ved prøvelokalets kalibrering.

4.2.3.3.5. 4 g propan sprøjtes ind i prøvelokalet. Propanens masse måles med en nøjagtighed og en præcision på ±2 %.

4.2.3.3.6. Efter fem minutters forløb, hvorunder luften i prøvelokalet blandes, måles carbonhydridkoncentrationen, temperaturen og barometertrykket. Disse udgør værdierne C_{HCf}, P_f, T_f til brug ved kalibrering af prøvelokalet samt begyndelsesværdierne C_{HCi}, P_i T_i til brug for retentionskontrol.

4.2.3.3.7. På grundlag af målingerne foretaget i overensstemmelse med punkt 4.2.3.3.4 og 4.2.3.3.6 i dette bilag og ligningen i punkt 4.2.3.4 i dette bilag beregnes massen af propan i prøvelokalet. Denne skal være ±2 % af den propanmasse, der er målt i overensstemmelse med punkt 4.2.3.3.5 i dette bilag.

4.2.3.3.8. Hvis der er tale om et prøvelokale med variabelt volumen, skal det ikke længere være fastlåst til det nominelle volumen. Hvis der er tale om et prøvelokale med fast volumen, åbnes luftindtag og -udtag.

4.2.3.3.9. Derefter påbegyndes cyklusprocessen for omgivelsestemperaturen fra 35 °C til 20 °C og tilbage til 35 °C eller efter fabrikantens valg fra 35,6 °C til 22,2 °C og tilbage til 35,6 °C i en periode på 24 timer i overensstemmelse med profilen eller den alternative profil, jf. punkt 6.5.9 i dette bilag, senest 15 minutter efter, at prøvelokalet er blevet forseglet. (Tolerancerne fastsat i punkt 6.5.9.1 i dette bilag).

4.2.3.3.10. Når de 24 timer er gået, måles og registreres den endelige carbonhydridkoncentration, temperaturen og barometertrykket. Disse udgør slutværdierne C_{HCf}, P_f, T_f for carbonhybridretentionskontrol.

4.2.3.3.11. Ved hjælp af formlen i punkt 4.2.3.4 i dette bilag beregnes carbonhydridmassen ud fra målingerne i punkt 4.2.3.3.6 og 4.2.3.3.10 i dette bilag. Denne masse må højst afvige 3 % fra den i punkt 4.2.3.3.7 i dette bilag beregnede carbonhydridmasse.

4.2.3.4. Beregninger

Beregningen af nettoændringen i carbonhydridmassen i prøvelokalet benyttes til at bestemme prøvelokalets baggrundskoncentration af carbonhydrider og dets lækage af carbonhydrider. Begyndelses- og slutværdierne af carbonhydridkoncentrationen, temperaturen og barometertrykket benyttes til beregning af masseændringen:

Beregningen foretages i overensstemmelse med ligningen enten i punkt 7.1 eller alternativt punkt 7.1.1 i dette bilag med anvendelse af følgende værdi for V.

V er prøvelokalets nettovolumen (m^3).

4.3. Analysesystemer

Analysesystemer skal opfylde forskrifterne i punkt 4.3.1 til 4.3.3 i dette bilag.

Kontinuerlig måling af carbonhydrider er ikke obligatorisk, medmindre der anvendes et prøvelokale med fast volumen.

4.3.1. Carbonhydridanalysator

4.3.1.1. Luften i prøvelokalet overvåges ved hjælp af en carbonhydriddetektor af FID-typen. Luftprøver udtages midt på en af prøvelokalets sidevægge eller midt på loftet, og bypass-strømme skal føres tilbage til prøvelokalet, helst til et punkt umiddelbart efter blandingsventilatoren i strømmens retning.

4.3.1.2. Carbonhydridanalysatoren skal have en responstid for 90 % af den endelige aflæsning på mindre end 1,5 sek. Stabiliteten skal i alle måleområder være bedre end 2 % af fuldt skalaudslag ved nul og ved 80 ± 20 % af fuldt udslag over en periode på 15 minutter.

4.3.1.3. Analysatorens repeterbarhed udtrykt som én standardafvigelse skal være bedre end ±1 % af fuldt udslag ved nul og ved 80 ±20 % af fuldt udslag i alle benyttede måleområder.

4.3.1.4. Måleområderne på analysatoren skal vælges ud fra, hvilke der giver den bedste opløsning i forbindelse med måling, kalibrering og lækagekontrol.

4.3.2. Dataregistrering i carbonhydridanalysatoren

4.3.2.1. Carbonhydridanalysatoren skal have et system til registrering af det elektriske udgangssignal, enten i form af en papirstrimmelskriver eller et andet databehandlingssystem med en hyppighed på mindst en gang pr. minut. Registreringssystemet skal have en mindst lige så god driftskarakteristik som det signal, der skal registreres, og det skal have en permanent resultatregistrering. De registrerede oplysninger skal tydeligt vise, hvornår prøvningen af fordampningsemissionen efter kørsel (hot soak) og døgnemissionsprøvningen begynder og slutter (herunder, hvornår prøveudtagningsperioderne påbegyndes og afsluttes, samt hvor lang tid der er gået fra påbegyndelse til afslutning af hver enkelt prøvning).

4.3.3. Kontrol af FID-carbonhydridanalysatoren

4.3.3.1. Detektorresponsoptimering

FID-enheden indstilles som angivet af fabrikanten. Der bør benyttes propan i luft for at opnå den bedst mulige respons i det oftest benyttede måleområde.

4.3.3.2. Kalibrering af carbonhydridanalysatoren

Analysatoren bør kalibreres ved hjælp af propan i luft og renset syntetisk luft. Jf. punkt 6.2 i bilag B5 til dette regulativ.

Hvert af de normalt benyttede måleområder kalibreres i overensstemmelse med punkt 4.3.3.2.1 til 4.3.3.2.4 i dette bilag.

4.3.3.2.1. Kalibreringskurven bestemmes ved mindst fem kalibreringspunkter, der er så jævnt fordelt over måleområdet som muligt. Den nominelle koncentration af kalibreringsgassen med de højeste koncentrationer skal være mindst 80 % af fuldt skalaudslag.

4.3.3.2.2. Kalibreringskurven beregnes ved hjælp af de mindste kvadraters metode. Hvis der derved fremkommer et polynomium af mere end tredje grad, skal der mindst være lige så mange kalibreringspunkter som polynomiets grad plus 2.

4.3.3.2.3. Kalibreringskurven må ikke afvige med mere end 2 % fra den nominelle værdi for hver kalibreringsgas.

4.3.3.2.4. Ved hjælp af de polynomiumskoefficienter, der uddrages af punkt 5 i bilag B5, udarbejdes en tabel over den viste aflæsning i forhold til den reelle koncentration i skalainddelinger, der ikke er større end 1 % af fuldt skalaudslag. Dette gøres for hvert måleområde, der kalibreres. Tabellen skal desuden indeholde andre relevante data som f.eks.:

a) kalibreringsdato, justerings og nulstillingspotentiometeraflæsninger (alt efter hvad der er relevant)

b) nominel skala

c) referencedata for hver anvendt kalibreringsgas

d) den faktiske og den viste værdi for hver kalibreringsgas samt forskellen i procent

e) FID-enhedens brændstof og type

f) FID-enhedens lufttryk.

4.3.3.2.5. Anden teknologi (f.eks. computer, elektronisk skalaomskifter) kan benyttes, hvis det over for den kompetente myndighed på tilfredsstillende vis godtgøres, at den giver en tilsvarende nøjagtighed.

4.4. Temperaturregistreringssystem

Temperaturregistreringssystemet skal opfylde forskrifterne i punkt 4.4.1 til 4.4.5 i dette bilag.

4.4.1. Temperaturen i prøvelokalet måles i to punkter ved hjælp af temperaturfølere, der er forbundet, så de viser en gennemsnitsværdi. Målepunkterne skal befinde sig ca. 0,1 m inde i prøvelokalet fra hver sidevægs lodrette midterlinje i en højde af 0,9 m ± 0,2 m.

4.4.2. Temperaturerne i brændstofbeholderen(-erne) måles ved hjælp af en føler placeret i brændstofbeholderen som anført i punkt 6.1.1 i dette bilag, hvis det drejer sig om belastning af adsorptionsbeholderen for benzin (punkt 6.5.5.3 i dette bilag).

4.4.3. Temperaturmålingerne skal under hele fordampningsemissionsprøvningen registreres eller indlæses i et databehandlingssystem med en hyppighed på mindst én gang i minuttet.

4.4.4. Temperaturmålesystemets nøjagtighed skal være inden for ±1,0 K, og temperaturen skal kunne måles med en opløsning på ±0,4 K.

4.4.5. Registrerings- eller databehandlingssystemet skal kunne måle tiden med en opløsning på ±15 sekunder.

4.5. Trykregistreringssystem

Trykregistreringssystemet skal opfylde forskrifterne i punkt 4.5.1 til 4.5.3.

4.5.1. Forskellen Δp mellem barometerstanden i prøveområdet og lufttrykket i prøvelokalet skal under hele fordampningsemissionsprøvningen registreres eller indlæses i et databehandlingssystem med en hyppighed på mindst én gang i minuttet.

4.5.2. Trykmålesystemets nøjagtighed skal være inden for ± 0,3 kPa, og trykket skal kunne måles med en opløsning på ± 0,025 kPa.

4.5.3. Registrerings- eller databehandlingssystemet skal kunne måle tiden med en opløsning på ±15 sekunder.

4.6. Ventilatorer

Ventilatorerne skal opfylde forskrifterne i punkt 4.6.1 og 4.6.2 i dette bilag.

4.6.1. Ved hjælp af en eller flere ventilatorer eller blæsere og med åbne døre til SHED-lokalet (Sealed Housing Evaporative Determination) skal det være muligt at reducere carbonhydridindholdet i lokalet til carbonhydridindholdet i atmosfæren.

4.6.2. Lokalet skal være forsynet med en eller flere ventilatorer eller blæsere med en kapacitet på 0,1 til 0,5 m3/min, så at luften i lokalet kan blandes grundigt. Under målingerne skal det være muligt at opnå en ensartet temperatur og et ensartet carbonhydridindhold i lokalet. Køretøjet i lokalet må ikke befinde sig direkte i luftstrømmen fra ventilatorerne eller blæserne.

4.7. Kalibreringsgasser

Gasserne skal opfylde forskrifterne i punkt 4.7.1 og 4.7.2 i dette bilag.

4.7.1. Følgende rene gasser skal stå til rådighed til kalibrering og drift:

renset syntetisk luft: (renhed < 1 ppm C1-ækvivalent,

≤1 ppm CO, ≤ 400 ppm CO_2, ≤ 0.1 ppm NO

oxygenindhold mellem 18 og 21 % vol.

Forbrændingsgas til carbonhydridanalysatoren: defineret i punkt 6.1.2.4 i bilag B5 til dette regulativ eller (40 ± 2 % hydrogen og resten helium med mindre end 1 ppm C_1-ækvivalent carbonhydrid, mindre end 400 ppm CO_2)

Propan (C_3H_8): renhed mindst 99,5 %

Butan (C_4H_{10}): renhed mindst 98 %.

Nitrogen (N_2): defineret i punkt 6.1.2.1 i bilag B5 til dette regulativ eller med en renhed på mindst 98 %.

4.7.2. Kalibrerings- og justeringsgasser skal være til rådighed i form af blandinger af propan (C_3H_8) og renset syntetisk luft. Den reelle sammensætning af en kalibreringsgas må højst afvige fra den nominelle værdi med ±2 %. Nøjagtigheden i den fortyndede gas, der opnås ved brug af et gasdeleapparat, skal ligge inden for ±2 % af den reelle værdi. De i punkt 4.2.3 og 4.3.3 i dette bilag anførte koncentrationer kan også opnås ved hjælp af et gasdeleapparat, der benytter syntetisk luft som fortyndende gas.

4.8. Vægt til vejning af beholder med aktivt kul til måling af udslip fra overtrykstab ved trykudligning

Vægten til vejning af beholderen med aktivt kul skal have en nøjagtighed på ±0,02 g.

4.9. Opvarmning af brændstofbeholder (gælder kun for belastning af adsorptionsbeholder for benzin)

4.9.1. Brændstoffet i køretøjets brændstofbeholder(e) skal opvarmes af en regulerbar varmekilde, f. eks. en varmepude på 2 000 W. Varmeaggregatet skal opvarme brændstoftankens vægge jævnt under brændstofniveauet, så at lokal overopvarmning af brændstoffet undgås. Brændstofdampene i beholderen over brændstoffet må ikke opvarmes.

4.9.2. Varmeaggregatet skal kunne foretage en jævn opvarmning af brændstoffet i tanken med 14 °C fra 16 °C på 60 minutter med temperaturføleren i den i punkt 4.9.3 i dette bilag nedenfor anførte position. Under opvarmningen skal opvarmningsaggregatet kunne reguleres, så brændstoftemperaturen holdes inden for ± 1,5 K af den ønskede temperatur.

4.9.3. Køretøjets brændstofbeholder skal, uden at der indføres lækager, være udstyret med en temperaturføler, så at temperaturen kan måles i midten af brændstoffet i brændstofbeholderen, når denne er fyldt til 40 % af sit rumindhold.

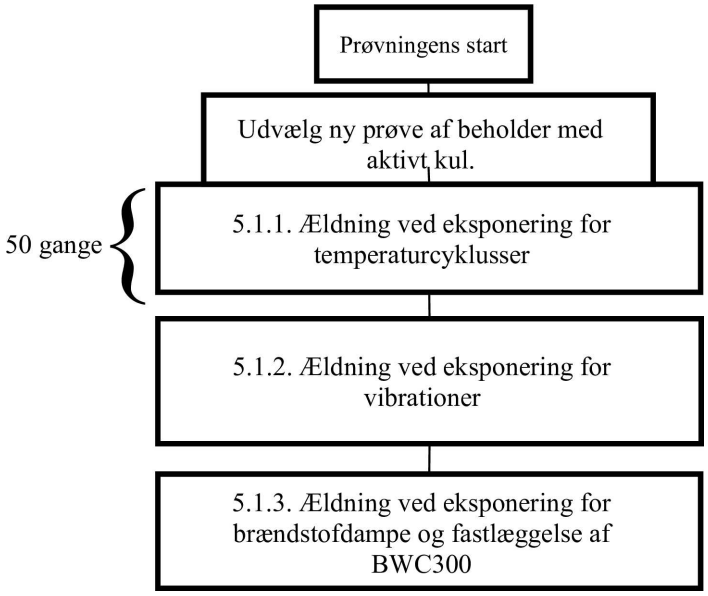
5. Procedure for ældning af beholder med aktivt kul på prøvebænk og bestemmelse af PF

5.1. Ældning på prøvebænk af beholder med aktivt kul

Før fordampningstabet efter kørsel (hot soak) og det døgntab udføres, skal beholderen med aktivt kul være ældet jf. fremgangsmåden beskrevet i figur C3/1.

Figur C3/1

Procedure for ældning af beholder med aktivt kul på prøvebænk



5.1.1. Ældning ved eksponering for temperaturcyklusser

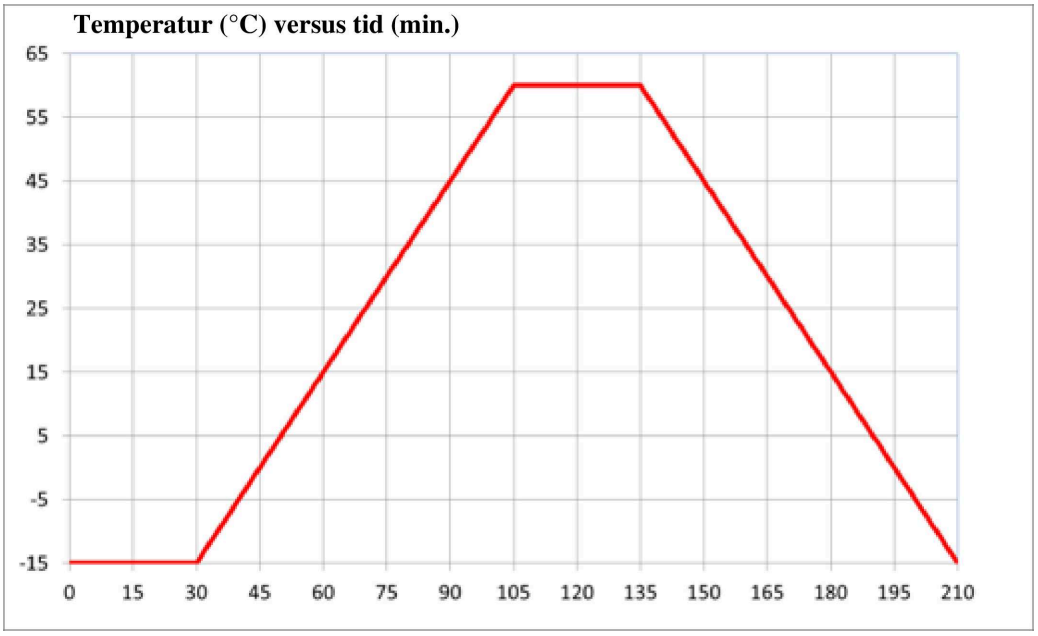
Beholderen med aktiv kul underkastes temperaturcyklusser fra -15 °C til 60 °C i et særligt lokale med 30 minutters stabilisering ved -15 °C og 60 °C. Hver cyklus skal vare 210 minutter (se figur C3/2).

Temperaturgradienten skal være så tæt som muligt på 1 °C/min. Der må ikke presses en luftstrøm gennem beholderen med aktivt kul.

Cyklussen gentages 50 gange i træk. Denne procedure varer i alt 175 timer.

Figur C3/2

Temperaturkonditioneringscyklus



5.1.2. Ældning ved eksponering for vibrationer

Efter temperaturældningsprocessen rystes beholderen med aktivt kul langs vertikalaksen med beholderen monteret efter dens orientering i køretøjet med samlet Grms (kvadratisk middelværdi acceleration) > 1,5 m/sek.^{2} med en frekvens på 30 ± 10 Hz. Prøvningen skal vare 12 timer.

5.1.3. Ældning ved eksponering for brændstofdampe og fastlæggelse af BWC300

5.1.3.1. Ældning består af gentagen belastning med brændstofdamp og udluftning med laboratorieluft.

5.1.3.1.1. Efter temperatur- og vibrationsældning ældes beholderen med aktivt kul yderligere med en blanding af kommercielt brændstof som beskrevet i punkt 5.1.3.1.1.1 i dette bilag og nitrogen eller luft med en brændstof-fordampningsvolumen på 50 ± 15 procent. Brændstofdampens påfyldningshastighed skal være 60 ± 20 g/h.

Beholderen med aktivt kul belastes med 2 grams mætningspunkt. Alternativt anses belastningen for afsluttet, når carbonhydridkoncentrationens niveau ved udluftningsventilen når 3 000 ppm.

5.1.3.1.1.1. Det kommercielle brændstof, som anvendes ved denne prøvning, skal opfylde de samme krav som et reference-brændstof, med hensyn til:

a) Massefylde ved 15 °C

b) Damptryk

c) Destillation (70 °C, 100 °C, 150 °C)

d) Carbonhydridanalyse (kun olefiner, aromater, benzen)

e) Iltindhold

f) Ethanolindhold.

5.1.3.1.2. Beholderen med aktivt kul skal udluftes mellem 5 og 60 minutter efter belastning med 25 ± 5 liter pr. minut af luften i emissionslaboratoriet, indtil beholderens rumindhold er udskiftet 300 gange.

5.1.3.1.3. De procedurer, der er fastsat i punkt 5.1.3.1.1 og 5.1.3.1.2 i dette bilag gentages 300 gange, hvorefter beholderen med aktivt kul skal betragtes som stabiliseret.

5.1.3.1.4. Proceduren for måling af butanadsorptionskapacitet (BWC) med hensyn til fordampningsemissionsfamilien i punkt 6.6.3 i dette regulativ består af følgende.

a) Den stabiliserede beholder med aktivt kul skal belastes til 2 grams mætningspunkt og derefter udluftes mindst 5 gange. Der belastes med en blanding af 50 % vol. butan og 50 % vol. nitrogen med en hastighed af 40 g butan pr. time.

b) Udluftning udføres i overensstemmelse med punkt 5.1.3.1.2 i dette bilag.

c) BWC registreres efter hver belastning.

d) BWC300 beregnes som gennemsnittet af de sidste 5 BWC.

5.1.3.2. Hvis en ældet beholder med aktivt kul leveres af en leverandør, skal køretøjsfabrikanten på forhånd underrette den kompetente myndighed om aldringsprocessen med henblik på at muliggøre overværelse af enhver del af denne proces.

5.1.3.3. Producenten skal for den kompetente myndighed forelægge en prøvningsrapport, der som minimum indeholder følgende elementer:

a) Type af aktivt kul

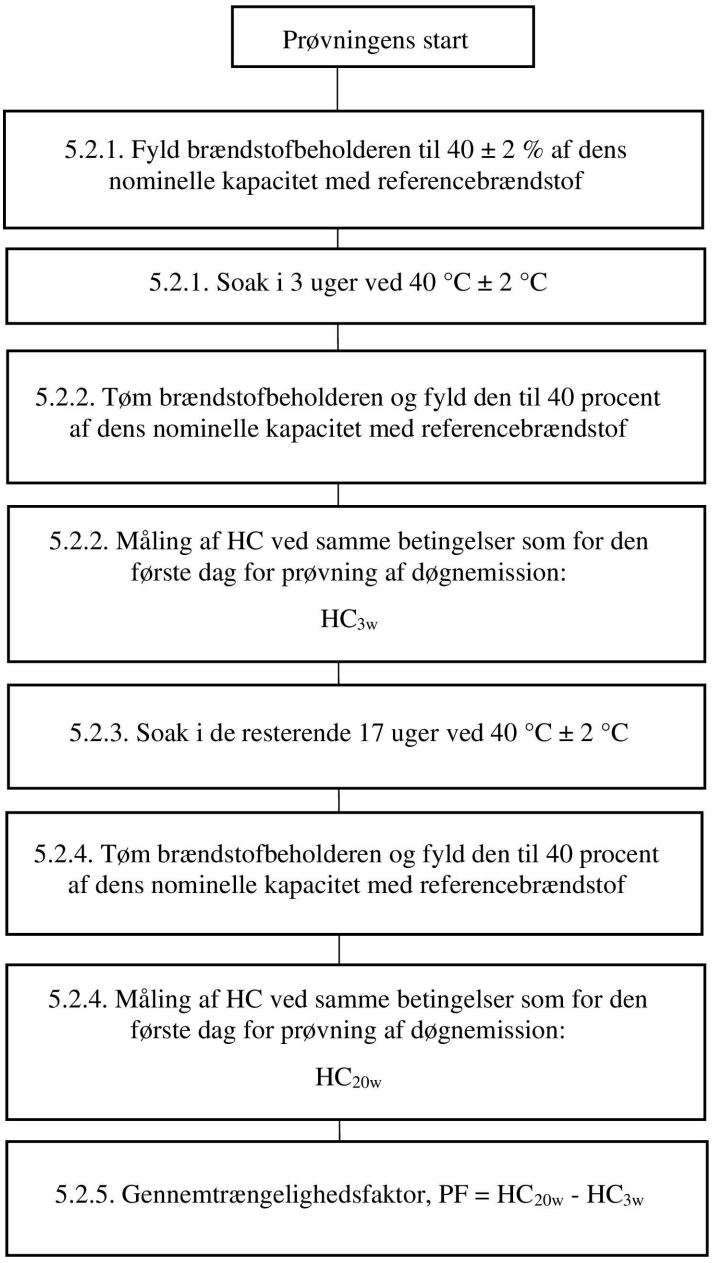
b) Belastningsgrad

c) Brændstofspecifikationer

5.2. Bestemmelse af brændstofbeholdersystems PF (se figur C3/3)

Figur C3/3

Bestemmelse af PF



5.2.1. Brændstofbeholdersystemet, der er repræsentativy for en familie, udvælges og monteres på en bænk med samme orientering som i køretøjet. Beholderen skal være fyldt med referencebrændstof til 40 ± 2 procent af dens nominelle volumen ved en temperatur på 18 °C ± 2 °C. Opstillingen med brændstofbeholdersystemet anbringes i et rum med en kontrolleret temperatur på 40 °C ± 2 °C i 3 uger.

5.2.2. Ved udgangen af den tredje uge tømmes beholderen og fyldes igen med referencebrændstof ved en temperatur på 18 °C ± 2 °C til 40 ± 2 % af dens nominelle rumindhold.

Inden for 6 til 36 timer, anbringes opstillingen med brændstofbeholdersystemet i et prøvelokale. De sidste 6 timer af denne periode skal omgivelsestemperaturen være 20 °C ± 2 °C. I prøvelokalet udføres dagligt en døgnprocedure over den første 24 timers periode af den procedure, der er beskrevet i punkt 6.5.9 i dette bilag. Brændstofdampene i beholderen ventileres uden for lokalet for at fjerne muligheden for, at ventilerede emissioner fra beholderen regnes med som gennemtrængning. HC-emissionerne måles og værdierne registreres som HC_{3W}.

5.2.3. Opstillingen med brændstofbeholdersystemet anbringes i et rum med en kontrolleret temperatur på 40 °C ± 2 °C i de resterende 17 uger.

5.2.4. Ved udgangen af den syttende uge tømmes beholderen og fyldes igen med referencebrændstof ved en temperatur på 18 °C ± 2 °C til 40 ± 2 % af beholderens nominelle rumindhold.

Inden for 6 til 36 timer, anbringes opstillingen med brændstofbeholdersystemet i et prøvelokale. De sidste 6 timer af denne periode skal omgivelsestemperaturen være 20 °C ± 2 °C. I prøvelokalet udføres en døgnprocedure over den første 24-timers periode af den procedure, der er beskrevet i overensstemmelse med punkt 6.5.9 i dette bilag. Brændstofbeholdersystemet ventileres uden for lokalet for at fjerne muligheden for, at ventilerede emissioner fra beholderen regnes med som gennemtrængning. HC-emissionerne måles og værdierne registreres som $HC_{20\ W}$.

5.2.5. PF er forskellen mellem HC_{20W} og HC_{3W} i g/24h forkortet til 3 betydende cifre ved hjælp af følgende ligning:

$$PF = HC_{20w} - HC_{3W}$$

5.2.6. Hvis PF bestemmes af en leverandør, skal køretøjsfabrikanten på forhånd underrette den kompetente myndighed om en beslutning om at tillade kontrol ved et vidne i leverandørens anlæg.

5.2.7. Fabrikanten skal forelægge en prøvningsrapport for den kompetente myndighed, der som minimum indeholder følgende elementer:

a) En fuldstændig beskrivelse af det prøvede brændstofbeholdersystem, herunder oplysninger om den prøvede beholdertype, om beholderen er af metal, har ét lag (ikke af metal) eller flere lag, og hvilke materialer, der er anvendt til beholderen og andre dele af brændstofbeholdersystemet.

b) De ugentlige middeltemperaturer hvorved ældningen blev udført

c) HC målt i uge 3 (HC_{3W})

d) HC målt i uge 20 ($HC_{20\ W}$)

e) Den resulterende gennemtrængelighedsfaktor (PF).

5.2.8. Som et alternativ til punkt 5.2.1 til og med 5.2.7 i dette bilag kan en fabrikant, som anvender beholdere med flere lag eller metalbeholdere, vælge at anvende en tildelt gennemtrængelighedsfaktor (APF) i stedet for at gennemføre den fulde målingsmetode, der nævnes ovenfor:

APF-flerlagsbeholder/metalbeholder = 120 mg/24h

Hvis fabrikanten vælger at anvende en APF, skal fabrikanten for den kompetente myndighed forelægge en erklæring, hvori beholdertypen nøje præciseres, samt en erklæring om de anvendte materialer.

6. Prøvningsmetode til måling af fordampningstabet efter kørsel (hot soak) og det døgnmæssige tab

6.1. Klargøring af køretøjet

Køretøjet skal klargøres i henhold til forskrifterne i punkt 6.1.1 og 6.1.2 i dette bilag. På fabrikantens anmodning og efter godkendelse fra den kompetente myndighed, kan andre baggrundsemissionskilder end brændstof (f.eks. maling, klæbemidler, plast, brændstof/dampe, dæk og andre gummi- eller polymerkomponenter) nedsættes til typisk baggrundsniveauer for køretøjer inden prøvning (f.eks. varmebehandling af dæk ved temperaturer på 50 °C eller derover i passende perioder, bagning af køretøjet, tømning af sprinklervæske).

I et forseglet brændstofbeholdersystem skal beholderne med aktivt kul være monteret på en sådan måde, at der er nem adgang til beholdere og forbindelse/lukning af beholdere.

6.1.1. Før prøvningen klargøres køretøjet mekanisk på følgende måde:

a) Køretøjets udstødningssystem må ikke have lækager. Åbninger i udstødningssystemet, der er konstrueret til at fjerne kondensat, skal forsegles inden prøvningen som angivet i punkt 2.4.3 i bilag B6.

b) Køretøjet kan damprenses før prøvningen.

c) Ved anvendelse af belastning af adsorptionsbeholderen for benzin (punkt 6.5.5.3 i dette bilag), forsynes køretøjets brændstofbeholder med en temperaturføler, så at temperaturen kan måles i midten af brændstoffet i brændstofbeholderen, når denne er fyldt til 40 % af sit rumindhold.

d) Der kan monteres sådant yderligere udstyr og anordninger på brændstofsystemet, at brændstofbeholderen kan tømmes fuldstændigt. Det er ikke nødvendigt at foretage ændringer af selve brændstofbeholderen.

e) Fabrikanten kan foreslå en prøvemetode for at tage hensyn til tabet af carbonhydrider ved fordampning, der kun stammer fra køretøjets brændstofsystem.

6.1.2. Køretøjet føres ind i prøvelokalet, hvor omgivelsestemperaturen skal være mellem 20 og 30 °C.

6.2. Valg af tilstande og anvisninger på gearskifte

6.2.1. For køretøjer med manuelt gearskifte, finder anvisningerne på gearskifte i bilag B2 anvendelse.

6.2.2. I tilfælde af rene ICE-køretøjer, vælges tilstanden i overensstemmelse med bilag B6.

6.2.3. I tilfælde af NOVC-HEV'er og OVC-HEV'er, vælges tilstanden i overensstemmelse med tillæg 6 til bilag B8.

6.2.4. Efter anmodning fra den kompetente myndighed, kan den valgte tilstand være forskellig fra den i punkt 6.2.2 og 6.2.3 i dette bilag beskrevne.

6.3. Prøvningsbetingelser

De prøvninger, der indgår i dette bilag, skal udføres ved anvendelse af de prøvningsbetingelser, der er specifikke for interpolationsfamiliekøretøjets H med det største cyklusenergikrav for alle interpolationsfamilier, der er omfattet af den betragtede fordampningsemissionsfamilie.

På anmodning fra den kompetente myndighed kan enhver cyklusenergi, der er repræsentativ for et køretøj i familien, anvendes til prøvningen.

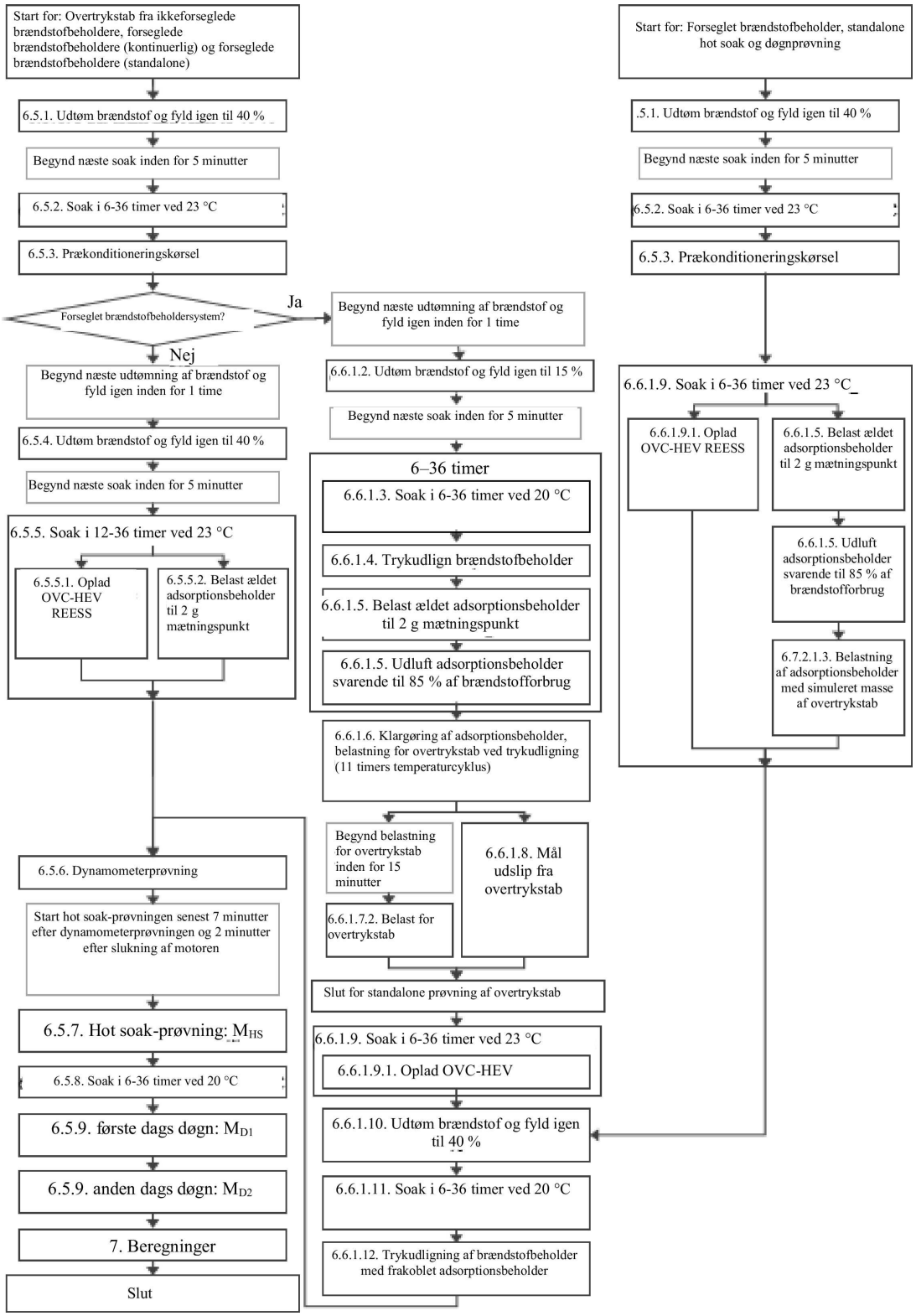
6.4. Prøvningsmetodens flow

Prøvningsmetoden for uforseglede og forseglede brændstofbeholdersystemer skal følges i overensstemmelse med rutediagrammet i figur C3/4.

De forseglede brændstofbeholdersystemer prøves med en ud af to optioner. Den ene option går ud på at prøve køretøjet med en kontinuerlig procedure. En anden option, der kaldes standalone-testproceduren, går ud på, at køretøjet prøves ved to separate procedurer, som gør det muligt at gentage dynamometerprøvningen og døgnprøvningerne uden gentagelse af prøvningen for udslip fra overtrykstab ved trykudligning og målingen af overtrykstab ved trykudligning.

Figur C3/4

Rutediagrammer for prøvningen



6.5. Kontinuerlig prøvningsprocedure for uforseglede brændstofbeholdersystemer

6.5.1. Udtøm brændstoffet og fyld igen

Køretøjets brændstofbeholder skal være tom. Dette skal gøres uden at forårsage en unormal udluftning eller en unormal belastning af det udstyr til begrænsning af fordampningsemission, der er monteret på køretøjet. Hertil er det normalt tilstrækkeligt at fjerne brændstofdækslet. Brændstofbeholderen fyldes igen med reference-brændstof ved en temperatur på 18 °C ± 2 °C til 40 ± 2 % af beholderens nominelle rumindhold.

6.5.2. Soak

Senest 5 minutter efter gennemført udtømning af brændstof og genpåfyldning skal køretøjet soakes (henstå) i minimalt 6 timer og maksimalt 36 timer ved 23 °C ±3 °C.

6.5.3. Prækonditioneringskørsel

Køretøjet anbringes på et chassisdynamometer og køres gennem følgende faser, der er beskrevet i bilag B1:

a) For Gruppe 1-køretøjer: lav, medium, lav, lav, medium, lav

b) For Gruppe 2- og 3-køretøjer: lav, medium, høj, middel.

For OVC-HEV'er skal prækonditioneringskørslen udføres i ladningsbevarende driftstilstand som defineret i punkt 3.3.6 i dette regulativ. Der kan efter anmodning fra den kompetente myndighed anvendes en anden tilstand.

6.5.4. Udtøm brændstoffet og fyld igen

Senest en time efter prækonditioneringskørslen skal køretøjets brændstofbeholder være tømt. Dette skal gøres uden at forårsage en unormal udluftning eller en unormal belastning af det udstyr til begrænsning af fordampningsemission, der er monteret på køretøjet. Hertil er det normalt tilstrækkeligt at fjerne brændstofdækslet. Brændstofbeholderen fyldes igen med prøvningsbrændstof ved en temperatur på 18 °C ± 2 °C til 40 ± 2 % af beholderens nominelle rumindhold.

6.5.5. Soak

Senest 5 minutter efter gennemført udtømning af brændstof og genpåfyldning skal køretøjet henstå i minimalt 12 timer og maksimalt 36 timer ved 23 °C ±3 °C.

Under soak kan de i punkt 6.5.5.1 og 6.5.5.2 i dette bilag beskrevne procedurer udføres enten i rækkefølgen punkt 6.5.5.1 efterfulgt af punkt 6.5.5.2 eller i rækkefølgen punkt 6.5.5.2 efterfulgt af punkt 6.5.5.1. De i punkt 6.5.5.1 og 6.5.5.2 beskrevne procedurer kan også udføres samtidigt.

6.5.5.1. REESS-opladning

Ved OVC-HEV'er skal REESS være fuldt opladet i overensstemmelse med ladningskravene i punkt 2.2.3 i tillæg 4 til bilag B8.

6.5.5.2. Belastning af beholder med aktivt kul

En beholder med aktivt kul, der ældes i henhold til proceduren i punkt 5.1 til og med 5.1.3.1.3 i dette bilag, skal belastes med 2 grams mætningspunkt i henhold til proceduren i punkt 6.5.5.2.1 i dette bilag.

Adsorptionsbeholderen skal konditioneres ved hjælp af en af de metoder, der er anført i punkt 6.5.5.3 og 6.5.5.4 i dette bilag. Hvis køretøjet har flere beholdere, skal hver beholder konditioneres for sig.

6.5.5.2.1. Emissionerne fra beholderen måles med henblik på at bestemme mætningspunktet.

Ved mætningspunkt forstås her det punkt, hvor den kumulerede emission af carbonhydrider udgør 2 gram.

6.5.5.2.2. Mætningspunktet kan kontrolleres ved hjælp af lokalet for prøvning af fordampningsemission, jf. punkt 6.5.5.3 og 6.5.5.4 i dette bilag. Mætningspunktet kan også bestemmes ved hjælp af en ekstra adsorptionsbeholder, der tilsluttes efter køretøjets beholder. Denne hjælpeadsorptionsbeholder skal være grundigt gennemskyllet med tør luft, inden den belastes.

6.5.5.2.3. Prøvelokalet udluftes i flere minutter umiddelbart før prøven, indtil der er tilvejebragt stabile baggrundsbetingelser. Ventilatoren (ventilatorerne) i lokalet skal samtidig være i gang.

Carbonhydridanalysatoren nulstilles og kalibreres umiddelbart før prøvningen.

6.5.5.3. Belastning af beholder ved gentagen opvarmning til mætningspunktet

6.5.5.3.1. Køretøjets brændstofbeholder(e) tømmes gennem aftapningshullet/aftapningshullerne. Dette skal gøres uden at forårsage en unormal udluftning eller en unormal belastning af det udstyr til begrænsning af fordampningsemission, der er monteret på køretøjet. Hertil er det normalt tilstrækkeligt at fjerne brændstofdækslet.

6.5.5.3.2. Brændstofbeholderen(-ne) fyldes med referencebrændstof ved en temperatur på mellem 10-14 °C til 40 ± 2 % af beholderens normale rumindhold. Brændstofbeholderens dæksel sættes på.

6.5.5.3.3. Inden en time efter genopfyldningen skal køretøjet anbringes i lokalet for prøvning af fordampningsemissionen med motoren standset. Temperaturføleren i brændstofbeholderen sluttes til temperaturregistreringssystemet. Et opvarmningsaggregat anbringes hensigtsmæssigt på brændstofbeholderen(-ne) og sluttes til temperaturstyringssystemet. Opvarmningsaggregatet er nærmere beskrevet under punkt 4.9 i dette bilag. Ved køretøjer med mere end en brændstoftank opvarmes alle tankene på samme måde som beskrevet nedenfor. Tankenes temperatur skal være den samme inden for ±1,5 °C.

6.5.5.3.4. Brændstoffet kan opvarmes kunstigt til startdøgntemperaturen på 20 °C ± 1 °C.

6.5.5.3.5. Så snart brændstoffet har nået en temperatur på mindst 19 °C, foretages følgende straks: blæseren slukkes, prøvelokalets døre lukkes og forsegles, og målingen af koncentrationen af carbonhydrider i prøvelokalet påbegyndes.

6.5.5.3.6. Når brændstoffet i brændstofbeholderen har nået en temperatur på 20 °C, påbegyndes en lineær opvarmning på 15 °C. Brændstoffet opvarmes, således at brændstoftemperaturen under opvarmningen følger funktionen nedenfor inden for ±1,5 °C. Opvarmningens varighed og temperaturstigningen registreres.

$$T_r = T_o + 0.2333 \times t$$

hvor

T_r = den krævede temperatur (K)

T_o = begyndelsestemperaturen (K)

t = tiden fra påbegyndelsen af opvarmningen i minutter.

6.5.5.3.7. Når mætningspunktet nås, eller når brændstoftemperaturen når op på 35 °C, alt efter hvad der indtræffer først, slås varmeaggregatet fra, forseglingen af døren til prøvelokalet brydes og døren åbnes, og brændstofbeholderdækslet(-erne) fjernes. Hvis mætningspunktet ikke er nået, inden brændstoftemperaturen har nået 35 °C, fjernes varmeaggregatet fra køretøjet, køretøjet fjernes fra lokalet for prøvning for fordampningsemission, og hele proceduren i punkt 6.6.1.2. i dette bilag gentages, indtil mætningspunktet nås.

6.5.5.4. Belastning med butan indtil mætningspunktet

6.5.5.4.1. Hvis lokalet anvendes til bestemmelse af mætningspunktet (jf. punkt 6.5.5.2.2 i dette bilag), anbringes køretøjet med motoren standset i lokalet til prøvning for fordampningsemission.

6.5.5.4.2. Adsorptionsbeholderen klargøres til belastning. Beholderen må ikke fjernes fra køretøjet, medmindre der er så vanskelig adgang til beholderen ved dens normale placering, at belastningen kun med rimelighed kan foregå, hvis beholderen fjernes fra køretøjet. Der skal på dette trin udvises særlig forsigtighed for at undgå beskadigelse af brændstofsystemets komponenter og integritet.

6.5.5.4.3. Beholderen belastes med en blanding af 50 % vol. butan og 50 % vol. nitrogen med 40 g butan pr. time.

6.5.5.4.4. Når beholderen når mætningspunktet, slås dampaggregatet fra.

6.5.5.4.5. Adsorptionsbeholderen tilsluttes atter, og køretøjet bringes tilbage til normal driftstilstand.

6.5.6. Dynamometerprøvning

Køretøjet skubbes på et dynamometer og køres gennem de cyklusser, der er beskrevet i punkt 6.5.3, litra a), eller punkt 6.5.3, litra b), i dette bilag. OVC-HEV'er skal betjenes i ladningsforbrugende driftstilstand. Derefter slukkes motoren. Derefter slukkes motoren. Der kan tages stikprøver af udstødningsemissioner under denne procedure, og resultaterne kan anvendes til typegodkendelse med hensyn til udstødningsemission brændstofforbrug, hvis denne procedure opfylder kravene beskrevet i bilag B6 eller B8.

6.5.7. Prøvning af hot soak-fordampningsemission

Inden for 7 minutter efter prøvning på dynamometer og senest 2 minutter efter slukning af motoren, udføres prøvningen af fordampningsemission efter kørsel (hot soak) i overensstemmelse med punkt 6.5.7.1 til 6.5.7.8 i dette bilag. Fordampningstabet efter kørsel (hot soak) beregnes i henhold til punkt 7.1 i dette bilag og registreres som M_{HS}.

6.5.7.1. Før prøvens afslutning udluftes prøvelokalet i flere minutter, indtil der er tilvejebragt stabile carbonhydridbaggrundsbetingelser. Ventilatoren (ventilatorerne) sættes også i gang.

6.5.7.2. Carbonhydridanalysatoren nulstilles og kalibreres umiddelbart før prøvningen.

6.5.7.3. Ved afslutningen af kørecyklussen lukkes motorhjelmen helt til, og alle forbindelser mellem køretøjet og prøveapparaturet frakobles. Køretøjet kører derefter ved egen kraft til prøvelokalet med minimal gasgivning. Motoren standses, før nogen del af køretøjet kommer ind i prøvelokalet. Tidspunktet for standsning af motoren skal registreres i dataregistreringssystemet i måleapparaturet for fordampningsemissionen, og temperaturmålingen indledes. Køretøjets vinduer og bagagerumsklap åbnes på dette tidspunkt, hvis de ikke allerede er åbne.

6.5.7.4. Køretøjet skubbes eller føres på anden vis ind i prøvelokalet med motoren slået fra.

6.5.7.5. Dørene til prøvelokalet lukkes og forsegles lufttæt senest to minutter efter slukning af motoren og senest syv minutter efter afslutning af konditioneringskørslen.

6.5.7.6. Når prøvelokalet er blevet forseglet, påbegyndes en 60 ± 0,5 minutters periode med fordampningsemission efter kørsel (hot soak). Carbonhydridkoncentrationen, temperaturen og barometertrykket måles og udgør begyndelsesværdierne C_{HCi}, P_i og T_i for prøvning af fordampningsemission efter kørsel (hot soak). Disse tal benyttes ved beregningen af fordampningsemissionen i punkt 6. Under denne 60 minutters periode med fordampningsemission efter kørsel (hot soak) må omgivelsestemperaturen T i prøvelokalet ikke være under 23 °C eller over 31 °C.

6.5.7.7. Carbonhydridanalysatoren nulstilles og kalibreres umiddelbart før afslutningen af 60 ± 0,5 minutters prøvningsperioden.

6.5.7.8. Ved afslutningen af prøvningsperioden på 60 ± 0,5 minutter måles carbonhydridkoncentrationen i prøvelokalet. Temperaturen og barometertrykket måles ligeledes. Disse udgør de slutværdier C_{HCf}, P_f og T_f for prøvningen af fordampningsemissionen efter kørsel (hot soak), som skal benyttes ved beregningen i punkt 6 i dette bilag.

6.5.8. Soak

Efter prøvning af fordampningsemission efter kørsel (hot soak) skal køretøjet henstå i mindst 6 timer og højst 36 timer mellem afslutningen af hot soak-prøvning og begyndelsen af døgnemissionsprøvningen. Køretøjet skal i mindst 6 timer af denne periode henstå ved 20 °C ± 2 °C.

6.5.9. Døgnemissionsprøvning

6.5.9.1. Køretøjet skal udsættes for to cyklusser af omgivelsestemperatur i overensstemmelse ifølge profilen i tabel C3/1 med en maksimal afvigelse på ±2 °C i perioden. Den gennemsnitlige temperaturmæssige afvigelse fra profilen, beregnet ved anvendelse af den absolutte værdi af hver målt afvigelse, må ikke overstige ±1 °C. Omgivelsestemperaturen måles mindst én gang i minuttet. Temperaturcyklussen indledes på tidspunktet T_{start} = 0 som specificeret i punkt 6.5.9.6 i dette bilag.

Tabel C3/1

Døgntemperaturprofiler

Døgntemperaturprofil for kalibrering af prøvelokalet og for døgnemissionsprøvningen			Alternativ temperaturprofil for kalibrering af prøvelokalet.	
Tid (h)		Temperatur (°C_i)	Tid (h)	Temperatur (°C_i)
Kalibrering	Prøvning			
13	0/24	20,0	0	35,6
14	1	20,2	1	35,3
15	2	20,5	2	34,5
16	3	21,2	3	33,2
17	4	23,1	4	31,4
18	5	25,1	5	29,7
19	6	27,2	6	28,2
20	7	29,8	7	27,2
21	8	31,8	8	26,1
22	9	33,3	9	25,1
23	10	34,4	10	24,3
24/0	11	35,0	11	23,7
1	12	34,7	12	23,3

Døgntemperaturprofil for kalibrering af prøvelokalet og for døgnemissionsprøvningen			Alternativ temperaturprofil for kalibrering af prøvelokalet.	
Tid (h)		Temperatur (°C_i)	Tid (h)	Temperatur (°C_i)
Kalibrering	Prøvning			
2	13	33,8	13	22,9
3	14	32,0	14	22,6
4	15	30,0	15	22,2
5	16	28,4	16	22,5
6	17	26,9	17	24,2
7	18	25,2	18	26,8
8	19	24,0	19	29,6
9	20	23,0	20	31,9
10	21	22,0	21	33,9
11	22	20,8	22	35,1
12	23	20,2	23	3,4
			24	35,6

6.5.9.2. Prøvelokalet udluftes i flere minutter umiddelbart før prøven, indtil der er tilvejebragt stabile baggrundsbetingelser. Ventilatoren (ventilatorerne) i lokalet skal samtidig være i gang.

6.5.9.3. Prøvningskøretøjet føres ind i prøvelokalet med drivlinjen slukket og vinduer og bagagerumsklap åbne. Ventilatoren (ventilatorerne) skal indstilles således, at lufthastigheden er mindst 8 km/h under køretøjets brændstofbeholder.

6.5.9.4. Carbonhydridanalysatoren nulstilles og kalibreres umiddelbart før prøvningen.

6.5.9.5. Prøvelokalets døre lukkes og forsegles.

6.5.9.6. Højst 10 minutter efter at dørene er lukket og forseglet, måles carbonhydridkoncentrationen, temperaturen og barometertrykket for at finde udgangsmålingerne for carbonhydridkoncentration i prøvelokalet (C_{HCi}) og barometertrykket (P_i) samt rumtemperaturen i prøvelokalet (T_i) ved døgnprøvning. T_{start} = 0 starter på dette tidspunkt.

6.5.9.7. Carbonhydridanalysatoren nulstilles og kalibreres umiddelbart før afslutningen af hver emissionprøvetagningsperiode.

6.5.9.8. Udgangen af første og anden emissionsprøvetagningsperiode finder sted henholdsvis 24 timer ± 6 minutter og 48 timer ±6 minutter efter påbegyndelsen af den indledende udtagning af emissionsprøver, jf. punkt 6.5.9.6 i dette bilag. Varigheden skal registreres.

Ved udgangen af hver emissionsprøvetagningsperiode skal, carbonhydridkoncentration, temperatur og barometertryk måles og anvendes til beregning af døgnemissionsprøvningens resultater ved brug af ligningen i punkt 7.1 i dette bilag. Resultatet fra de første 24 timer skal registreres som M_{D1} Resultatet fra de næste 24 timer skal registreres som M_{D2}

6.6. Kontinuerlig prøvningsprocedure for forseglede brændstofbeholdersystemer

6.6.1. Hvis brændstofbeholderens udløsningstryk er større end eller lig med 30 kPa

6.6.1.1. Prøvningen udføres som beskrevet i punkt 6.5.1 til og med 6.5.3 i dette bilag.

6.6.1.2. Udtøm brændstoffet og fyld igen

Senest en time efter prækonditioneringskørslen skal køretøjets brændstofbeholder være tømt. Dette skal gøres uden at forårsage en unormal udluftning eller en unormal belastning af det udstyr til begrænsning af fordampningsemission, der er monteret på køretøjet. Hertil er det normalt tilstrækkeligt at fjerne brændstofdækslet, ellers frakobles beholderen med aktivt kul. Brændstofbeholderen fyldes igen med referencebrændstof ved en temperatur på 18 °C ± 2 °C til 15 ± 2 % af beholderens nominelle rumindhold. De i punkt 6.6.1.3, 6.6.1.4 og 6.6.1.5 i dette bilag beskrevne operationer skal være udført inden for i alt 36 timer og med de i punkt 6.6.1.4 og 6.6.1.5 beskrevne operationer, idet køretøjet ikke må udsættes for temperaturer på over 25 °C.

6.6.1.3. Soak

Senest 5 minutter efter gennemført udtømning af brændstof og genpåfyldning skal køretøjet soakes (henstå) til stabilisering i mindst 6 timer ved en omgivelsestemperatur på 20 °C ±2 °C.

6.6.1.4. Trykudligning af brændstofbeholder

Trykket i brændstofbeholderen skal efterfølgende udløses med henblik på ikke at forårsage en unormal stigning af det indvendige tryk i brændstofbeholderen. Dette kan gøres ved at åbne brændstofdækslet på køretøjet. Uanset hvilken metode der anvendes til trykudligning, skal køretøjet bringes tilbage til sin oprindelige tilstand inden for 1 minut.

6.6.1.5. Belastning og udluftning af beholder med aktivt kul

Beholderen med aktivt kul, der er ældet i henhold til sekvensen i punkt 5.1 til og med punkt 5.1.3.1.3 i dette bilag, belastes til 2 gram mætningspunkt i overensstemmelse med proceduren beskrevet i punkt 6.5.5.4 til og med punkt 6.5.5.4.5. i dette bilag og udluftes derefter med 25 ± 5 liter pr. minut med emissionslaboratorieluft. Mængden af udluftningsluft må ikke overstige den mængde, der er fastsat i henhold til kravene i punkt 6.6.1.5.1. Denne belastning og udluftning kan ske enten a) ved hjælp af en beholder med aktivt kul ombord ved en temperatur på 20 °C eller 23 °C, eller b) ved at afkoble beholderen. I begge tilfælde tillades ikke yderligere udligning af brændstofbeholderens tryk.

6.6.1.5.1. Bestemmelse af maksimalt udluftet volumen

Den maksimale mængde udluftningsluft Vol_{max}bestemmes ved følgende ligning. For OVC-HEV'er skal køretøjet være i drift i ladningsbevarende driftstilstand. Dette kan også ske ved separat prøvning eller under prækonditioneringskørslen.

$$Vol_{max} = Vol_{Pcycle} \times \frac{Vol_{tank} \times 0.85 \times \frac{100}{FC_{Pcycle}}}{Dist_{Pcycle}}$$

hvor:

Vol_{Pcycle} er det akkumulerede udluftede volumen i liter afrundet til nærmeste 0,1 l målt ved hjælp af en egnet anordning (f.eks. flowmeter forbundet med ventilen af beholderen med aktivt kul eller tilsvarende) i løbet af koldstartprækonditioneringskørslen beskrevet i punkt 6.5.3 i dette bilag, l

Vol_{tank} er fabrikantens angivelse af beholderens nominelle rumindhold, l

FC_{Pcycle} er brændstofforbruget i den enkelte udluftningscyklus som beskrevet i punkt 6.5.3 i dette bilag, der kan måles enten ved varm- eller koldstartsbetingelser, l/100 km. For OVC-HEV'er og NOVC-HEV'er beregnes brændstofforbruget i henhold til punkt 4.2.1 i bilag B8 i dette regulativ.

$Dist_{Pcycle}$ er den teoretiske afstand til nærmeste 0,1 km af den enkelte udluftningscyklus beskrevet i punkt 6.5.3 i dette bilag (km).

6.6.1.6. Forberedelse af belastning af beholder med aktivt kul for overtrykstab ved trykudligning

Efter belastning og udluftning af beholder med aktivt kul skal prøvningskøretøjet flyttes ind i et aflukke, enten et SHED-prøvning eller et hertil egnet klimarum. Det skal påvises, at systemet ikke lækker, og at trykbelastningen foretages på normal måde i løbet af prøvningen eller ved en separat prøvning (f.eks. ved hjælp af tryksensoren på køretøjet). Prøvningskøretøjet skal derefter udsættes for de første 11 timers omgivelsestemperatur i henhold til temperaturprofilen for døgnemissionsprøvning i tabel C3/1 med en maksimal afvigelse på ±2 °C i hele perioden. Den gennemsnitlige temperaturmæssige afvigelse fra profilen, beregnet ved anvendelse af den absolutte værdi af hver målt afvigelse, må ikke overstige ±1 °C. Omgivelsestemperaturen måles mindst én gang pr. 10. minut.

6.6.1.7. Belastning af beholder med aktivt kul for overtrykstab

6.6.1.7.1. Udligning af brændstofbeholderens tryk inden fornyet påfyldning

Fabrikanten skal sikre, at genpåfyldningen ikke kan påbegyndes, før det forseglede brændstofbeholdersystem er fuldt trykudlignet til et tryk på mindre end 2,5 kPa over omgivende tryk ved normal drift og brug af køretøjet. På den kompetente myndigheds anmodning skal fabrikanten fremlægge detaljerede oplysninger eller dokumentation for driften (f.eks. ved hjælp af tryksensor på køretøjet). Enhver anden teknisk løsning er tilladt, forudsat at sikker påfyldning er sikret, og at ingen uforholdsmæssigt store emissioner udledes til atmosfæren, inden påfyldningsanordningen er forbundet med køretøjet.

6.6.1.7.2. Inden for 15 minutter efter at omgivelsestemperaturen er nået op på 35 °C, skal overtryksventilen på brændstofbeholderen med aktivt kul åbnes med henblik på fyldning af beholderen med aktivt kul. Denne belastningsprocedure kan udføres enten inden for eller uden for et prøvelokale. Beholderen med aktivt kul, som er belastet i henhold til dette punkt, frakobles og opbevares i soak-området.

6.6.1.8. Måling af udslip fra overtrykstab ved trykudligning

Udslip fra overtrykstab ved trykudligning måles ved processen i enten punkt 6.6.1.8.1 eller 6.6.1.8.2 i dette bilag.

6.6.1.8.1. Udslip fra overtrykstab ved trykudligning fra køretøjets beholder med aktivt kul kan måles ved hjælp af en yderligere beholder med aktivt kul, der er identisk med køretøjets kulstofbeholder, men ikke nødvendigvis ældet. Den supplerende beholder med aktivt kul skal gennemskylles fuldt ud med tør luft før lastning og skal være tilsluttet direkte ved udløbet fra køretøjets beholder med det kortest mulige rør. Den supplerende beholder med aktivt kul vejes før og efter den procedure, der er beskrevet i punkt 6.6.1.7 i dette bilag.

6.6.1.8.2. Udslip fra overtrykstab ved trykudligning fra køretøjets beholder med aktivt kul under trykudligning kan måles ved hjælp af en SHED.

Inden for 15 minutter efter at omgivelsestemperaturen er nået op på 35 °C som beskrevet i punkt 6.6.1.6 i dette bilag, skal rummet være forseglet og målingen indledt.

Carbonhydridanalysatoren nulstilles og kalibreres, hvorefter carbonhydridkoncentrationen (C_{HCi}), temperaturen (T_i) og barometertrykket (P_i) måles; disse udgør begyndelsesværdierne C_{HCi}, P_i og T_i for bestemmelse af udslippet fra overtrykstabet ved trykudligning af den forseglede brændstofbeholder.

Omgivelsestemperaturen T i prøvelokalet må ikke være mindre end 25 °C under målingen.

Ved udløbet af den procedure, der er beskrevet i punkt 6.6.1.7.2 i dette bilag måles carbonhydridkoncentrationen (C_{HCf}) i rummet efter 300 ± 5 sekunder. Temperaturen (T_f) og barometertrykket (P_f) måles ligeledes. Disse udgør slutværdierne C_{HCf}, Pf og T_f for udslippet fra overtrykstabet ved trykudligning af den forseglede brændstofbeholder.

Udslippet fra overtrykstabet ved trykudligning af den forseglede brændstofbeholder beregnes i henhold til punkt 7.1 i dette bilag og registreres.

6.6.1.8.3. Der må ikke være nogen ændring af vægten af den supplerende beholder med aktivt kul ved prøvning i henhold til punkt 6.6.1.8.1 eller resultatet af SHED-målingen ved prøvning i henhold til punkt 6.6.1.8.2 inden for en tolerance på ± 0,5 gram.

6.6.1.9. Soak

Efter afsluttet belastning for overtrykstab skal køretøjets beholder med aktivt kul erstattes af en prøvebeholder (af samme specifikation som det oprindelige, men ikke nødvendigvis ældet), hvorefter køretøjet skal henstå ved 23 ± 3 °C i 6 til 36 timer for at stabilisere køretøjets temperatur.

6.6.1.9.1. REESS-opladning

Ved OVC-HEV'er skal REESS være fuldt opladet i overensstemmelse med ladningskravene i punkt 2.2.3 i tillæg 4 til bilag B8 under soak som beskrevet i punkt 6.6.1.9 i dette bilag.

6.6.1.10. Udtøm brændstoffet og fyld igen

Køretøjets brændstofbeholder skal tømmes og fyldes op til 40 ± 2 procent af sin nominelle kapacitet med referencebrændstof ved en temperatur på 18 °C ± 2 °C.

6.6.1.11. Soak

Køretøjet henstilles derefter i mindst 6 timer og højst 36 timer i soakområdet ved 20 °C ± 2 °C for at stabilisere brændstoffets temperatur.

6.6.1.12. Trykudligning af brændstofbeholder

Trykket i brændstofbeholderen skal efterfølgende udløses med henblik på ikke at forårsage en unormal stigning af det indvendige tryk i brændstofbeholderen. Dette kan gøres ved at åbne brændstofdækslet på køretøjet. Uanset hvilken metode der anvendes til trykudligning, skal køretøjet bringes tilbage til sin oprindelige tilstand inden for 1 minut. Herefter tilsluttes køretøjets beholder med aktivt kul igen.

6.6.1.13. Procedurerne i punkt 6.5.6 til og med 6.5.9.8 i dette bilag skal følges.

6.6.2. Hvis brændstofbeholderens udløsningstryk er lavere end 30 kPa

Prøvningen udføres som beskrevet i punkt 6.6.1.1 til og med 6.6.1.13 i dette bilag. I dette tilfælde skal omgivelsestemperaturen, der beskrives i punkt 6.5.9.1 i dette bilag, dog erstattes med profilen i tabel C3/2 i dette bilag med henblik på døgnemissionsprøvning.

Tabel C3/2

Omgivelsestemperaturen i alternative sekvens for det forseglede brændstofbeholdersystem

Tid (h)	Temperatur (°C)
0/24	20,0
1	20,4
2	20,8
3	21,7
4	23,9
5	26,1

Tid (h)	Temperatur (°C)
6	28,5
7	31,4
8	33,8
9	35,6
10	37,1
11	38,0
12	37,7
13	36,4
14	34,2
15	31,9
16	29,9
17	28,2
18	26,2
19	24,7
20	23,5
21	22,3
22	21,0
23	20,2

6.7. Standalone prøvningsprocedure for forseglede brændstofbeholdersystemer

6.7.1 Måling af belastningsmasse ved overtrykstab ved trykudligning

6.7.1.1. Procedurerne i punkt 6.6.1.1 til og med 6.6.1.7.2 i dette bilag skal følges. Belastningsmassen ved overtrykstab ved trykudligning defineres som forskellen mellem vægten for køretøjets beholder med aktivt kul før anvendelse af punkt 6.6.1.6 i dette bilag og efter anvendelse af punkt 6.6.1.7.2 i dette bilag.

6.7.1.2. Udslippet fra overtrykstabet ved trykudligning af køretøjets beholder med aktivt kul skal måles i overensstemmelse med punkt 6.6.1.8.1 og 6.6.1.8.2 i dette bilag, og skal opfylde kravene i punkt 6.6.1.8.3 i dette bilag.

6.7.2. Prøvning for fordampningsemission efter kørsel (hot soak) og døgnemissionstab som følge af tankånding

6.7.2.1. Hvis brændstofbeholderens udløsningstryk er større end eller lig med 30 kPa

6.7.2.1.1. Prøvningen udføres som beskrevet i punkt 6.5.1 til 6.5.3 og punkt 6.6.1.9 til og med 6.6.1.9.1 i dette bilag.

6.7.2.1.2. Beholderen med aktivt kul skal ældes i overensstemmelse med sekvensen, der er beskrevet i punkt 5.1 til 5.1.3.1.3 i dette bilag, og skal belastes og udluftes i overensstemmelse med punkt 6.6.1.5 i dette bilag.

6.7.2.1.3. Den ældede beholder med aktivt kul skal efterfølgende lastes i overensstemmelse med proceduren i punkt 6.5.5.4. I stedet for belastning til mætningspunkt, som beskrevet i punkt 6.5.5.4.4, bestemmes den samlede lastemasse i overensstemmelse med punkt 6.7.1.1 i dette bilag. På fabrikantens anmodning kan der som alternativ til butan anvendes referencebrændstof. Beholderen med aktivt kul skal være frakoblet.

6.7.2.1.4. Procedurerne i punkt 6.6.1.10 til og med 6.6.1.13 i dette bilag skal følges.

6.7.2.2. Hvis brændstofbeholderens udløsningstryk er lavere end 30 kPa

Prøvningen udføres som beskrevet i punkt 6.7.2.1.1 til og med 6.7.2.1.4 i dette bilag. I dette tilfælde skal omgivelsestemperaturen, der beskrives i punkt 6.5.9.1 i dette bilag, dog ændres i henhold til profilen i tabel A1/1 i dette bilag med henblik på døgnemissionsprøvning.

7. Beregning af resultaterne af fordampningsprøven

7.1. Den i punkt 6 til og med 6.7.2.2 i dette bilag beskrevne fordampningsemissionsprøvning gør det muligt at beregne carbonhydridemissionerne fra udslip fra overtrykstab, fra døgnemissionerne og fra hot soak-prøvningen. Fordampningstabet fra hver af disse prøvninger beregnes ved hjælp af udgangs- og slutmålingerne af carbonhydridkoncentrationen, temperaturen og trykket i prøvelokalet samt prøvelokalets nettorumindhold.

Der anvendes følgende ligning:

$$M_{HC} = k \times V \times \left(\frac{C_{HCf} \times P_f}{T_f} - \frac{C_{HCi} \times P_i}{T_i} \right) + M_{HC,out} - M_{HC,in}$$

hvor:

M_{HC} er massen af carbonhydrider (gram)

$M_{HC,out}$ er massen af carbonhydrider, der forlader prøvelokalet, hvis der anvendes et prøvelokale med fast volumen til døgnemissionsprøven (gram)

$M_{HC,in}$ er massen af carbonhydrider, der kommer ind i prøvelokalet, hvis der anvendes prøvelokale med fast volumen til døgnemissionsprøvningen (gram)

C_{HC} er den målte carbonhydridkoncentration i prøvelokalet (ppm (volumen) C_1-ækvivalenter)

V er prøvelokalets nettovolumen korrigeret for køretøjets volumen med vinduer og bagagerumsklap åbne (m3). Hvis køretøjets volumen ikke er bestemt, fratrækkes et volumen på 1,42 m3

T er omgivelsestemperaturen i prøvelokalet (K)

P er barometerstanden (kPa)

H/C er hydrogen/carbon-forholdet

hvor:

H/C sættes til 2,33 for SHED-måling af udslip fra overtrykstab og tab ved døgnemissionsprøvning

H/C sættes til 2,20 for fordampningstabet ved henstand (hot soak)

H/C sættes til 2,67 for kalibrering

k er $1.2 \times 10^{-4} \times (12 + H/C)$, $(g \times K/(m^3 \times kPa))$;

i er begyndelsesværdien

f er slutværdien

7.1.1. Som alternativ til ligningen i punkt 7.1 i dette bilag kan følgende ligning anvendes efter fabrikantens valg for så vidt angår prøvelokaler med variabel volumen:

$$M_{HC} = k \times V \times \frac{P_i}{T_i}(C_{HCf} - C_{HCi})$$

hvor:

M_{HC} er massen af carbonhydrider (gram)

C_{HC} er den målte carbonhydridkoncentration i prøvelokalet (ppm (volumen) C_1-ækvivalenter)

V er prøvelokalets nettovolumen korrigeret for køretøjets volumen med vinduer og bagagerumsklap åbne (m3). Hvis køretøjets volumen ikke er bestemt, fratrækkes et volumen på 1,42 m3

T_i er begyndelsesomgivelsestemperaturen i prøvelokalet (K)

P_i er begyndelsesbarometerstanden (kPa)

H/C er hydrogen/carbon-forholdet

H/C sættes til 2,33 for SHED-måling af udslip fra overtrykstab og tab ved døgnemissionsprøvning

H/C sættes til 2,20 for fordampningstabet ved henstand (hot soak)

H/C sættes til 2,67 for kalibrering

k er $1.2 \times 10^{-4} \times (12 + H/C)$, $(g \times K/(m^3 \times kPa))$;

i er begyndelsesværdien

f er slutværdien.

7.2. Resultatet af $(M_{HS} + M_{D1} + M_{D2} + (2 \times PF))$ skal ligge under den grænse, der er fastsat i punkt 6.6.2 i dette regulativ.

8. Prøvningsrapport

Prøvningsrapporten skal mindst indeholde følgende:

a) Beskrivelse af soak-perioder, herunder tid og gennemsnits temperaturer

b) Beskrivelse af ældet, brugt beholder med aktivt kul og reference til den faktiske ældningsrapport

c) middeltemperatur ved prøvning af fordampningstab ved hot soak-prøvning

d) måling ved hot soak-prøvning, HSL

e) måling i første døgn, $DL_{1st\ day}$

f) måling i andet døgn, $DL_{2nd\ day}$

g) Endeligt resultat af fordampningsprøvning, beregnet i overensstemmelse med punkt 7 i dette bilag

h) Angivet udløsningstryk for brændstofbeholdersystem (for forseglede beholdersystemer)

i) Belastningsværdi ved overtrykstab (ved standalone-prøvning som beskrevet i punkt 6.7 i dette bilag).

BILAG C4

Type 5–prøvning

Holdbarhed

(Beskrivelse af holdbarhedsprøvning til kontrol af forureningsbegrænsende udstyrs holdbarhed)

1. Indledning

1.1. I dette bilag beskrives en prøvning til kontrol af holdbarheden af forureningsbegrænsende anordninger monteret på køretøjer med motor med styret tænding eller kompressionstænding.

Kun niveau 1A og niveau 2 (fase 4 WLTP):

Fabrikanten skal med henblik på typegodkendelse forelægge den godkendende myndighed en underskrevet overensstemmelseserklæring med emissionsholdbarhedskravene til emissionsbegrænsningssystemerne. Ved typegodkendelsen erstatter denne overensstemmelseserklæring prøvningskravene i henhold til dette bilag.

Overensstemmelseserklæringen skal også omfatte de gældende forringelsesfaktorer, der er fastsat i overensstemmelse med procedurerne i dette bilag eller andre af fabrikanten valgte egnede midler.

En skabelon til fabrikantens erklæring om overensstemmelse med emissionsholdbarhedskravene til emissionsbegrænsningssystemerne findes i tillæg 4 til bilag A2.

For niveau 1B og niveau 2 (fase 3 WLTP):

Holdbarhedskravene påvises på grundlag af en af de to valgmuligheder i punkt 1.2 og 1.4 nedenfor.

1.2. Holdbarhedsprøvningen af et komplet køretøj skal helst udføres på et køretøj med cyklusenergikravet for VH (som defineret i punkt 4.2.1.1.2 i bilag B4) med det højeste cyklusenergikrav for alle interpolationsfamilier, der skal indgå i holdbarhedsfamilien, og skal køres på en prøvebane, på vej eller på et chassisdynamometer. Prøvningskøretøjets cyklusenergikrav kan øges yderligere for at dække fremtidige udvidelser.

1.3. Dette punkt finder kun anvendelse på niveau 1A

Fabrikanten kan vælge at anvende en holdbarhedsprøvning på ældningsprøvebænk. De tekniske forskrifter for denne prøvning er fastsat i punkt 2.2 i dette bilag.

1.4. Fabrikanten kan som et alternativ til holdbarhedsprøvning vælge at anvende de tildelte forringelsesfaktorer fra tabel 3A og 3B (alt efter hvad der er relevant) i punkt 6.7.2 i dette regulativ.

1.5. Dette punkt finder kun anvendelse på niveau 1A

Efter anmodning fra fabrikanten kan den tekniske tjeneste udføre type 1-prøvning, før holdbarhedsprøvningen af et komplet køretøj eller ældning på prøvebænk er afsluttet, ved at bruge tildelte forringelsesfaktorer i tabel 3A i punkt 6.7.2 i dette regulativ. Den tekniske tjeneste kan efter afslutning af holdbarhedsprøvningen af et komplet køretøj eller på ældningsprøvebænk ændre de i henhold til bilag A2 til dette regulativ registrerede typegodkendelsesresultater ved at udskifte forringelsesfaktorerne i tabellen ovenfor med de forringelsesfaktorer, der måles ved ældningsprøvningen af et komplet køretøj eller på prøvebænk.

1.6. Forringelsesfaktorer fastsættes enten ved de procedurer, der er fastsat i punkt 1.2 og, når det er relevant, punkt 1.3 i dette bilag eller ved hjælp af de tildelte værdier i den i punkt 1.4 i dette bilag nævnte tabel. Forringelsesfaktorerne anvendes til at konstatere, om der er overensstemmelse med de relevante emissionsgrænseværdier som fastsat i punkt 6.3.10 i dette regulativ i løbet af køretøjets mållivscyklus.

1.7. Dette punkt finder kun anvendelse på niveau 1B

Uanset kravene i dette bilag anses kravet til holdbarhed for at være opfyldt, hvis køretøjet, der har nået kilometerantallet for mållivscyklus efter mønster A eller mønster B som beskrevet i tillæg 3b til dette bilag, leveres til den typegodkendende myndighed, og resultatet af type 1-prøvningen med køretøjet opfylder kriterierne i tabel 1B, som beskrevet i punkt 6.3.10 i dette regulativ.

2. Tekniske krav

2.1. Fabrikanten skal som prøvningscyklussen for holdbarhedsprøvning af komplette køretøjer anvende standardvejcyklussen (Standard Road Cycle — SRC) som beskrevet i tillæg 3 til dette bilag. Denne prøvningscyklus skal foretages, indtil køretøjet har nået sin mållivscyklus.

Kun for niveau 1B:

Fabrikanten skal som prøvningscyklus for holdbarhedsprøvning af komplette køretøjer anvende en af de kørecyklusser, som beskrevet i tillæg 3b til dette bilag.

2.2. Holdbarhedsprøvning ved ældning på prøvebænk

Dette punkt finder kun anvendelse på niveau 1A

2.2.1. Ved holdbarhedsprøvning på ældningsprøvebænk skal det køretøj, der anvendes til måling af katalysatorens og/eller partikelfiltertemperaturen, være VH.

Brændstoffet, der skal anvendes under prøvningen, skal være det brændstof, der er specificeret i punkt 4 i dette bilag.

2.3. Dette punkt finder kun anvendelse på niveau 1A

Den anvendte holdbarhedsprøvning på ældningsprøvebænk skal passe til motortypen, jf. punkt 2.3.1 og 2.3.2 i dette bilag.

2.3.1. Køretøjer med styret tænding

2.3.1.1. Proceduren for ældning på prøvebænk kræver installation af hele udstødningsefterbehandlingssystemet på en ældningsprøvebænk.

Ældningen på prøvebænk foretages i henhold til standardprøvebænkcyklussen (SBC) for den periode, der beregnes med ligningen for ældningstid på prøvebænk (bench ageing time) (BAT). BAT-ligningen kræver tids- og temperaturdata om katalysatoren, som måles ved SRC, der er beskrevet i punkt 2.3.1.3.

2.3.1.2. SBC

Standardældning af katalysator på prøvebænk foretages i henhold til SBC. SBC foretages i en periode, der beregnes med BAT-ligningen. SBC er beskrevet i tillæg 1 til dette bilag.

2.3.1.3. Tids- og temperaturdata om katalysator.

Katalysatortemperaturen måles i løbet af mindst to fulde cyklusser af SRC-cyklussen som beskrevet i tillæg 3 til dette bilag.

Katalysatortemperaturen måles i punktet med den højeste temperatur i den varmeste katalysator på prøvningskøretøjet. Alternativt kan temperaturen måles i et andet punkt, såfremt den på grundlag af et velbegrundet teknisk skøn korrigeres således, at den repræsenterer den temperatur, der måles i det varmeste punkt.

Katalysatortemperaturen måles ved en frekvens på mindst 1 hertz (en måling pr. sekund).

De målte katalysatortemperaturer registreres i et histogram med temperaturintervaller på højst 25 °C.

2.3.1.4. Ældningstiden på prøvebænk (BAT) beregnes ved hjælp af følgende BAT-ligningen:

te for en temperatur-bin = th e((R/Tr)-(R/Tv))

Samlet te = summen af te for alle temperaturgrupper

Ældningstid på prøvebænk = A × (samlet te)

hvor

A	= 1,1	Denne værdi korrigerer katalysatorældningstiden for at tage hensyn til forringelse fra andre kilder end den termiske ældning af katalysatoren.
R	=	Katalysatorens termiske reaktivitet = 17 500
th	=	Tiden (i timer), der måles inden for den fastsatte temperatur-bin for et køretøjs katalysatortemperaturhistogram, korrigeret til den fulde livscyklus, f.eks. hvis histogrammet viser 400 km og livscyklussen er 160 000 km, skal alle histogramværdier ganges med 400 (160 000/400).
Samlet te	=	Den ækvivalente tid (i timer) til ældning af katalysatoren ved en temperatur Tr på prøvebænken til katalysatorældning ved hjælp af katalysatorens ældningscyklus med henblik på at opnå samme forringelse som den, katalysatoren udsættes for ved termisk deaktivering over 160000 km.
te for en bin	=	Den ækvivalente tid (i timer) til ældning af katalysatoren ved en temperatur Tr på prøvebænken til katalysatorældning ved hjælp af katalysatorens ældningscyklus med henblik på at opnå samme forringelse som den, katalysatoren udsættes for ved termisk deaktivering ved temperaturen bin for Tv over 160000 km.
Tr	=	Katalysatorens effektive referencetemperatur (i K) på prøvebænken under ældningscyklussen. Den effektive temperatur er den konstante temperatur, der medfører samme ældningsgrad som de forskellige temperaturer, der opstår under prøvebænkens ældningscyklus.
Tv	=	Midtpunktstemperaturen (i K) for køretøjets temperatur-bin i histogrammet for katalysatortemperatur på vej.

2.3.1.5. Effektiv referencetemperatur i en standardprøvebænkcyklus (SBC). Den effektive referencetemperatur i SBC bestemmes for det aktuelle katalysatorsystem og den aktuelle ældningsprøvebænk, der vil blive anvendt ved hjælp af følgende procedurer:

a) Måling af tids- og temperaturdata i katalysatorsystemet på prøvebænken til katalysatorældning i henhold til SBC. Katalysatortemperaturen måles i punktet med den højeste temperatur i den varmeste katalysator i systemet. Alternativt kan temperaturen måles i et andet punkt, såfremt den korrigeres således, at den repræsenterer den temperatur, der måles i det varmeste punkt.

Katalysatortemperaturen måles ved en frekvens på mindst 1 hertz (en måling pr. sekund) ved mindst 20 minutters ældning på prøvebænk. De målte katalysatortemperaturer registreres i et histogram med temperaturintervaller på højst 10 °C.

b) BAT-ligningen anvendes til at beregne den effektive referencetemperatur ved hjælp af gentagne ændringer af referencetemperaturen (Tr), indtil den beregnede ældningstid svarer til eller overstiger den aktuelle tid i katalysatorens temperaturhistogram. Den resulterende temperatur er den effektive referencetemperatur i SBC for det pågældende katalysatorsystem og den pågældende ældningsprøvebænk.

2.3.1.6. Prøvebænk til katalysatorældning. Prøvebænken til katalysatorældning følger SBC og giver passende udstødningsstrøm, udstødningsbestanddele og udstødningstemperatur på katalysatorens indgangsside.

Alt udstyr til ældning på prøvebænk skal registrere passende data (f.eks. målte A/F-forhold og tids- og temperaturdata i katalysatoren) for at sikre, at ældningen på prøvebænk dokumenteres, således at det godtgøres, at der faktisk er opnået tilstrækkelig ældning.

2.3.1.7. Prøvningskrav. For at beregne forringelsesfaktorer skal der på prøvningskøretøjet mindst foretages to type 1-prøvninger inden ældning af det emissionsbegrænsende hardware på prøvebænk og mindst to type 1-prøvninger efter geninstallering af dette hardware, der er blevet ældet på prøvebænken.

Fabrikanten kan foretage yderligere prøvning. Beregningen af forringelsesfaktorer skal foretages i henhold til beregningsmetoden i punkt 7 i dette bilag.

2.3.2. Køretøjer med kompressionstænding

2.3.2.1. Følgende procedure for ældning på prøvebænk anvendes for køretøjer med kompressionstænding, herunder hybridkøretøjer.

Proceduren for ældning på prøvebænk kræver installation af efterbehandlingssystemet på en prøvebænk til ældning af efterbehandlingssystemer.

Hvis systemet til efterbehandling af udstødningen anvender en reagens, skal hele injektionssystemet monteres og køre med henblik på ældning.

Ældningen på prøvebænk foretages i henhold til standarddieselprøvebænkcyklussen (SDBC) for det antal regenereringer/afsvovlinger, der beregnes med ligningen for ældningstid på prøvebænk (bench ageing duration) (BAD).

2.3.2.2. SDBC. Der foretages en standardældning på prøvebænk i henhold til SDBC. SDBC foretages i en periode, der beregnes med BAD-ligningen. SDBC er beskrevet i tillæg 2 til dette bilag.

2.3.2.3. Regenereringsdata. Regenereringsintervallerne måles i løbet af mindst 10 fulde cyklusser af SRC-cyklussen som beskrevet i tillæg 3 til dette bilag. Alternativt anvendes intervallerne fra K_i-beregningen.

I givet fald anvendes afsvovlingsintervallerne på grundlag af fabrikantens data.

2.3.2.4. Varighed af ældning på prøvebænk (diesel) Varigheden af ældning på prøvebænk beregnes ved hjælp af BAD-ligningen som følger:

Varighed af ældning på prøvebænk = antal regenererings- og/eller afsvovlingscyklusser (det længstvarende gælder) svarende til 160000 km kørsel.

2.3.2.5. Ældningsprøvebænk. Ældningsprøvebænken følger SDBC og giver passende udstødningsstrøm, udstødningsbestanddele og udstødningstemperatur ved efterbehandlingssystemets indtag.

Fabrikanten registrerer antallet af regenereringer/afsvovlinger (eventuelt) for at sikre tilstrækkelig ældning.

2.3.2.6. Prøvningskrav. For at beregne forringelsesfaktorer skal der mindst foretages 2 type 1-prøvninger inden ældning af det emissionsbegrænsende hardware på prøvebænk og mindst 2 type 1-prøvninger efter geninstallering af dette hardware, der er blevet ældet på prøvebænken, på VH. Fabrikanten kan foretage yderligere prøvning. Beregningen af forringelsesfaktorer skal foretages i henhold til beregningsmetoden i punkt 7 i dette bilag og i henhold til de yderligere krav i dette regulativ.

3. Prøvningskøretøj

3.1. Køretøjet skal være VH. Det skal være i god mekanisk stand, motoren skal være ny og det forureningsbegrænsende udstyr skal være nyt. Køretøjet kan være det samme som det, der indleveres til type 1-prøven; i så fald skal type 1-prøven udføres, efter at køretøjet har kørt mindst 3 000 km af ældningscyklussen i tillæg 3 eller tillæg 3b (afhængigt at, hvad der er relevant) til dette bilag.

3.1.1. Særlige krav til hybridkøretøjer findes i tillæg 4 til dette bilag.

4. Brændstof

Holdbarhedsprøven udføres med et passende brændstof, som fås i handelen.

5. Køretøjets vedligeholdelse og indstillinger

Al vedligeholdelse, indstilling og brug af testkøretøjets betjeningsorganer udføres som foreskrevet af fabrikanten. Hvis køretøjet under hele holdbarhedsprøvningen af køretøjet oplever en fejl, som ikke er relateret til emissioner og/eller brændstofforbrug og/eller energiforbrug, kan fabrikanten udbedre fejlen og fortsætte holdbarhedsprøvningen. Ellers rådfører fabrikanten sig med den godkendende myndighed for at finde en i fællesskab aftalt løsning.

6. Kørsel på bane, vej eller chassisdynamometer

6.1. Prøvningscyklus

På bane, vej eller rullestand skal distancen køres efter prøvningsskemaet som beskrevet i tillæg 3 eller tillæg 3b (afhængigt at, hvad der er relevant) til dette bilag.

6.2. Holdbarhedsprøven eller, såfremt fabrikanten har valgt dette, den modificerede holdbarhedsprøve skal gennemkøres, indtil køretøjet har nået sin mållivscyklus.

6.3. Prøvningsudstyr

6.3.1. Chassisdynamometer

6.3.1.1. Hvis holdbarhedsprøven udføres på chassisdynamometer, skal dynamometeret kunne gennemkøre den i tillæg 3 eller 3b (afhængigt at, hvad der er relevant) til dette bilag beskrevne cyklus. Dynamometeret skal specielt være forsynet med systemer til simulering af inerti og fremdriftsmodstand.

6.3.1.2. Der anvendes VH-køremodstandskoefficienter (Vehicle High).

6.3.1.3. Køretøjets kølesystem skal kunne give køretøjet en driftstemperatur, der svarer til den, der forekommer ved kørsel på vej (olie, vand, udstødningssystem osv.).

6.3.1.4. En række øvrige indstillingsmuligheder og specifikationer for rullestanden anses om nødvendigt for at være identiske med dem, der er beskrevet i bilag B5 til dette regulativ (f.eks. inertien, som kan være enten mekanisk eller elektronisk).

6.3.1.5. Køretøjet kan evt. flyttes til en anden rullestand med henblik på emissionsmåling.

6.3.2. Kørsel på bane eller vej

Hvis holdbarhedsprøvningen udføres på bane eller vej, skal køretøjets prøvningsmasse den samme som den, der kræves ved prøvning på chassisdynamometer.

7. Måling af emissioner af forurenende stoffer

Der foretages en første prøvning, når køretøjet har kørt en kilometerstand på mellem 3000 km og 5000 km. Yderligere prøvninger udføres ved 20 000 km (± 400 km) og derefter hver 20 000 km (± 400 km) eller hyppigere, med regelmæssige intervaller, indtil mållivscyklussen er nået. Udstødningsemissionerne måles i overensstemmelse med type 1-prøvning som defineret i punkt 6.3 i dette regulativ. Efter fabrikantens valg kan en hvilken som helst af ovennævnte prøvninger gentages. I så fald skal den gennemsnitlige værdi af alle gentagne prøvninger betragtes som en enkelt værdi for det relevante antal kilometer. Når mållivscyklussen for niveau 1B er kørt, er det ikke længere nødvendigt separat at registrere emissionsresultaterne fra de første 3 faser af WLTP.

De grænseværdier, der anvendes, er dem, der er fastsat i punkt 6.3.10 i dette regulativ.

Hvis der er tale om køretøjer med periodisk regenererende systemer som defineret i punkt 3.8.1 i dette regulativ, kontrolleres det, at køretøjet ikke er ved at nå til en regenereringsperiode. Hvis dette er tilfældet, køres køretøjet indtil afslutningen af regenereringen. Hvis en regenerering finder sted under emissionsmålingen, skal der gennemføres en ny prøvning (inkl. prækonditionering), og der ses bort fra det første resultat.

Alle måleresultaterne for udstødningsemissionen indskrives i en kurve som en funktion af køredistancen afrundet til nærmeste hele kilometertal, og gennem alle disse datapunkter trækkes den bedst passende rette linje ved brug af de mindste kvadraters metode.

For niveau 1A og kriterieemissionerne fra de 4 faser af en WLTP-prøvning på niveau 2:

Dataene vil kun kunne accepteres til brug ved beregningen af forringelsesfaktoren, hvis datapunkterne mellem de interpolerede 5000 km-punkter og mållivscykluspunkter på denne linje ligger inden for ovennævnte grænser.

Dataene kan dog stadig accepteres, hvis den bedst passende rette linje skærer en gældende grænseværdi med negativ hældning (dvs. at det interpolerede 5000 km-punkt ligger højere end livscykluspunktet), men det faktiske datapunkt for mållivscyklus ligger under grænseværdien.

For niveau 1B og kriterieemissionerne fra de 3 faser af en WLTP-prøvning på niveau 2:

Dataene vil kun kunne accepteres til brug ved beregningen af forringelsesfaktoren, hvis datapunkterne mellem de ekstrapolerede 3000 km-punkter og mållivscykluspunkter på denne linje ligger inden for ovennævnte grænser.

7.1. En multiplikativ forringelsesfaktor for udstødningsemissionen beregnes for hvert forurenende stof på følgende måde:

$$D.E.F. = \frac{Mi_2}{Mi_1}$$

hvor

Mi_1 = For niveau 1A og kriterieemissionerne fra de 4 faser af en WLTP-prøvning på niveau 2 — masseemission af det i'te forurenende stof (g/km) (km^{-1} i tilfælde af partikelantal) interpoleret til 5 000 km

For niveau 1B og kriterieemissionerne fra de første 3 faser af en WLTP-prøvning på niveau 2 — masseemission af det i'te forurenende stof (g/km) (km^{-1} i tilfælde af partikelantal) ekstrapoleret til 3,000 km

Mi_2 = masseemissionen af det i'te forurenende stof (g/km) (km^{-1} i tilfælde af partikelantal) interpoleret til mållivscyklussen

Disse interpolerede værdier skal beregnes med mindst fire decimaler, inden den ene værdi divideres med den anden for at bestemme forringelsesfaktoren. Slutværdien afrundes til tre decimaler.

Hvis en forringelsesfaktor er under en, skal den pågældende forringelsesfaktor være en.

På anmodning af fabrikanten beregnes en supplerende forringelsesfaktor for udstødningsemissionen for hvert forurenende stof på følgende måde:

$$D . E . F . = Mi_2 - Mi_1$$

Hvis den additive forringelsesfaktor, der er beregnet med ovennævnte formel, er negativ, sættes den til nul.

Disse additive forringelsesfaktorer skal følge de samme regler som dem, der er beskrevet for de multiplikative forringelsesfaktorer i forbindelse med niveau 1A og kriterieemissionerne fra de 4 faser af en WLTP-prøvning på niveau 2 og niveau 1B og kriterieemissionerne fra de første 3 faser af en WLTP-prøvning på niveau 2.

Bilag C4 - Tillæg 1.

Standardprøvebænkcyklus (Standard Bench Cycle — SBC)

Dette tillæg finder kun anvendelse på niveau 1A

1. Indledning

Standardældningsproceduren ved holdbarhedsprøvning består i ældning af et katalysator- eller lambdasondesystem og/eller et luft-brændstof-blandingsforholdssondesystem på en ældningsprøvebænk i henhold til standardprøvebænkcyklussen (SBC) som beskrevet i dette tillæg. SBC kræver anvendelse af en ældningsprøvebænk med en motor som kilde til fødegas til katalysatoren. SBC er en cyklus på 60 s, der gentages efter behov på ældningsprøvebænken med henblik på ældning af den nødvendige varighed. SBC defineres på grundlag af katalysatortemperatur, motorens luft/brændstofforhold (A/F) og mængden af sekundærlufttilførsel foran den første katalysator.

2. Kontrol af katalysatortemperatur

2.1. Katalysatortemperaturen måles i katalysatormassen i det punkt, hvor den højeste temperatur forekommer i den varmeste katalysator. Alternativt kan fødegastemperaturen måles og konverteres til katalysatormassetemperatur ved hjælp af en lineær transformation, der beregnes ud fra korrelationsdata, som indsamles ud fra katalysatordesign og ældningsprøvebænken til brug i ældningsprocessen.

2.2. Katalysatortemperaturen kontrolleres ved støkiometrisk drift (01 til 40 s pr. cyklus) til mindst 800 °C (±10 °C) ved valg af passende motorhastighed, belastning og tændingsindstilling for motoren. Den maksimale katalysatortemperatur, der forekommer i løbet af cyklussen ved 890 °C (±10 °C), kontrolleres ved at vælge det passende A/F-forhold for motoren i løbet af den "fede" fase som beskrevet i tabel C4 Till.1/2.

2.3. Ved anvendelse af en anden lav kontroltemperatur end 800 °C skal den høje kontroltemperatur være 90 °C højere end den lave kontroltemperatur.

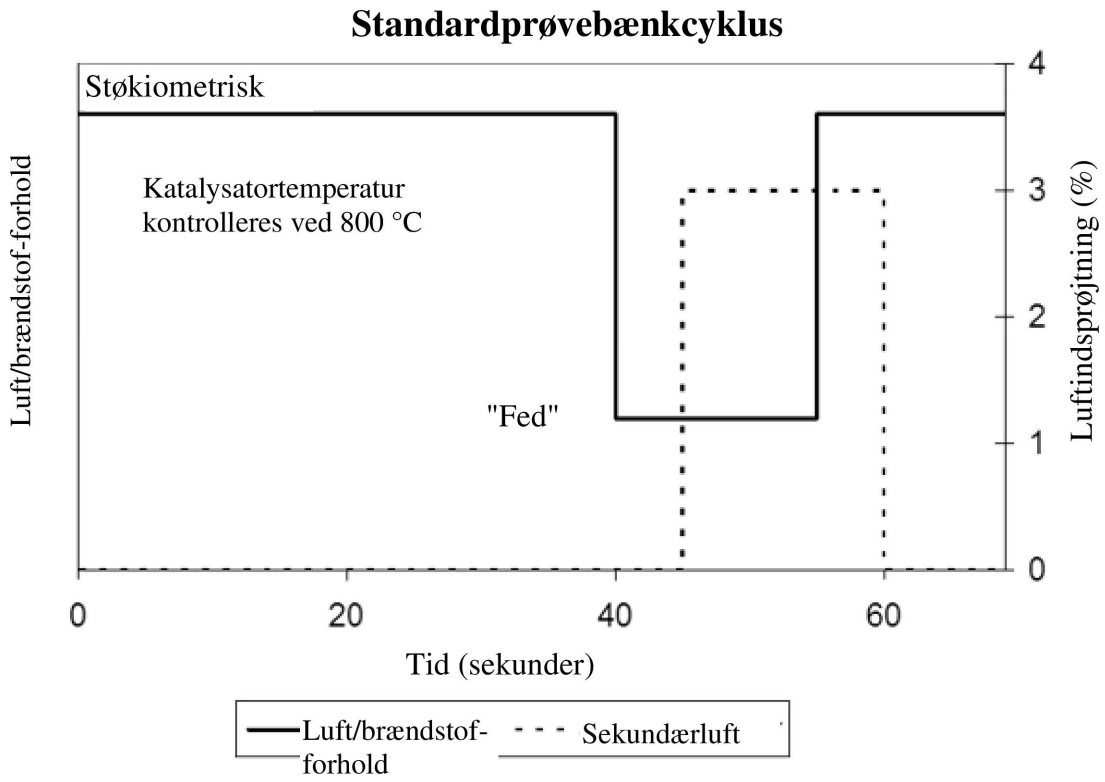
Tabel C4 Till.1/2

Standardprøvebænkcyklus (Standard Bench Cycle — SBC)

Tid (sekunder)	Motorens luft/brændstofforhold	Indsprøjtning af sekundærluft
1-40	Støkiometrisk med belastning, tændingsindstilling og motorhastighed, der kontrolleres for at opnå en katalysatortemperatur på mindst 800 °C	Ingen
41-45	"Fed" (A/F-forhold, der vælges for at opnå en maksimal katalysatortemperatur over hele cyklussen på 890 °C eller 90 °C højere end den laveste kontroltemperatur)	Ingen
46-55	"Fed" (A/F-forhold, der vælges for at opnå en maksimal katalysatortemperatur over hele cyklussen på 890 °C eller 90 °C højere end den laveste kontroltemperatur)	3 % (±1 %)
56-60	Støkiometrisk med belastning, tændingsindstilling og motorhastighed, der kontrolleres for at opnå en katalysatortemperatur på mindst 800 °C	3 % (±1 %)

Figur C4 Till.1/2

Standardprøvebænkcyklus



3. Udstyr og procedurer for ældningsprøvebænk

3.1. Konfigurering af ældningsprøvebænk. Ældningsprøvebænken skal give passende udstødningsstrøm, temperatur, luft-/brændstofforhold, udstødningsbestanddele og indsprøjtning af sekundærluft ved katalysatorens indtag.

Standardældningsprøvebænken består af en motor, en motorkontrol og et motordynamometer. Andre opstillinger accepteres også (f.eks. komplet køretøj på dynamometer eller en brænder, der giver de korrekte udstødningsforhold), så længe forholdene ved katalysatorindtaget og kontrolspecifikationerne i dette tillæg overholdes.

En enkelt ældningsprøvebænk kan være udformet således, at udstødningsstrømmen er inddelt i flere strømme, såfremt hver udstødningsstrøm opfylder kravene i dette tillæg. Hvis prøvebænken har mere end én udstødningsstrøm, kan flere katalysatorsystemer ældes samtidigt.

3.2. Montering af udstødningssystem. Hele systemet bestående af katalysator og lambdasonde og/eller et luft-brændstof-blandingsforholdssondesystem sammen med alle udstødningsrør, der forbinder disse komponenter, monteres på prøvebænken. For motorer med flere udstødningsstrømme (f.eks. V6- og V8-motorer) skal hver sektion i udstødningssystemet parallelmonteres separat på prøvebænken.

For udstødningssystemer med flere rækkemonterede katalysatorer monteres hele katalysatorsystemet bestående af alle katalysatorer, alle lambdasonder og/eller luft-brændstof-blandingsforholdssondesystemer og de tilknyttede udstødningsrør som en samlet helhed med henblik på ældning. Alternativt kan hver enkelt katalysator udsættes for ældning af passende varighed.

3.3. Temperaturmåling. Katalysatortemperaturen måles ved hjælp af et termoelement placeret i katalysatormassen i punktet med den højeste temperatur i den varmeste katalysator. Alternativt kan fødegastemperaturen lige før katalysatorindtaget måles og konverteres til katalysatormassetemperatur ved hjælp af en lineær transformation, der beregnes ud fra indsamlede korrelationsdata om katalysatordesignet og ældningsprøvebænken til brug i ældningsprocessen. Katalysatortemperaturen opbevares digitalt ved en hastighed på 1 Hz.

3.4. Luft/brændstof-måling. Der træffes foranstaltninger med henblik på måling af luft/brændstof-forholdet (A/F) (f.eks."wide-range" lambdasonder) så tæt som muligt på katalysatorens ind- og udtagsflanger. Oplysningerne fra disse sensorer opbevares digitalt ved en hastighed på 1 Hz.

3.5. Udstødningsstrømbalance. Der træffes foranstaltninger med henblik på at sikre, at en passende mængde udstødning (der måles i g/s ved støkiometri med en tolerance på ±5 g/s) strømmer gennem hvert katalysatorsystem, der ældes på prøvebænken.

Den korrekte gennemstrømningshastighed bestemmes på grundlag af den udstødningsstrøm, der normalt forekommer i det originale køretøjs motor ved en stationær motorhastighed og belastning, der vælges for prøvebænkældning i punkt 3.6. i dette tillæg.

3.6. Opstilling. Motorhastigheden, belastningen og tændingsindstillingen vælges således, at man opnår en temperatur i katalysatormassen på 800 °C (±10 °C) ved stationær støkiometrisk drift.

Lufttilførselssystemet indstilles til at levere den nødvendige luftstrøm til at frembringe 3,0 % oxygen (± 0,1 %) i den stationære støkiometriske udstødningsstrøm lige før den første katalysator. En typisk A/F-værdi opstrøms (i henhold til punkt 3.4 i dette tillæg) er lambda 1,16 (hvilket svarer til ca. 3 % oxygen).

Med tændt lufttilførsel justeres det "fede" A/F-forhold således, at der opnås en temperatur i katalysatormassen på 890 °C (±10 °C). En typisk A/F-værdi for dette trin er lambda 0,94 (ca. 2 % CO).

3.7. Ældningscyklus. Standardprocedurerne for ældning på prøvebænk bygger på SBC. SBC gentages, indtil ældningsgraden, der beregnes ved hjælp af BAT-ligningen for ældningstid, er nået.

3.8. Kvalitetssikring. Temperaturerne og A/F-forholdet i punkt 3.3 og 3.4 i dette tillæg kontrolleres regelmæssigt (mindst hver 50. time) under ældning. Der foretages de nødvendige justeringer for at sikre, at SBC overholdes under hele ældningsprocessen.

Efter afsluttet ældning registreres katalysatorens tids- og temperaturdata, der blev indsamlet under ældningsprocessen, i et histogram med temperaturintervaller på højst 10 °C. BAT-ligningen og den beregnede effektive referencetemperatur for ældningscyklussen i henhold til punkt 2.3.1.4 i dette bilag anvendes til at bestemme, om katalysatoren har været udsat for en passende grad af termisk ældning. Ældningen på prøvebænk forlænges, hvis den termiske effekt af den beregnede ældningstid ikke er mindst 95 % af den ønskede termiske ældning.

3.9. Start og slut. Det skal sikres, at den maksimale katalysatortemperatur for hurtig forringelse (f.eks. 1050 °C) ikke forekommer ved start eller slut. Der kan anvendes særlige start- og slutprocedurer med lav temperatur for at sikre dette.

4. Eksperimentel bestemmelse af R-faktoren for procedurerne for holdbarhedsprøvning ved ældning på prøvebænk.

4.1. R-faktoren er katalysatorens termiske reaktivitetskoefficient, der anvendes i BAT-ligningen. Fabrikanterne kan bestemme værdien af R eksperimentelt ved følgende procedurer.

4.1.1. Ved hjælp af den relevante prøvebænkcyklus og den relevante hardware til ældning på prøvebænk ældes flere katalysatorer (mindst 3 af samme konstruktion) ved forskellige kontroltemperaturer mellem den normale driftstemperatur og den temperatur, hvor der opstår skade. Emissionerne (eller katalysator-ineffektiviteten (1-katalysator-effektivitet)) måles for hver udstødningskomponent. Det skal sikres, at den endelige prøvning giver data mellem en og to gange emissionsnormen.

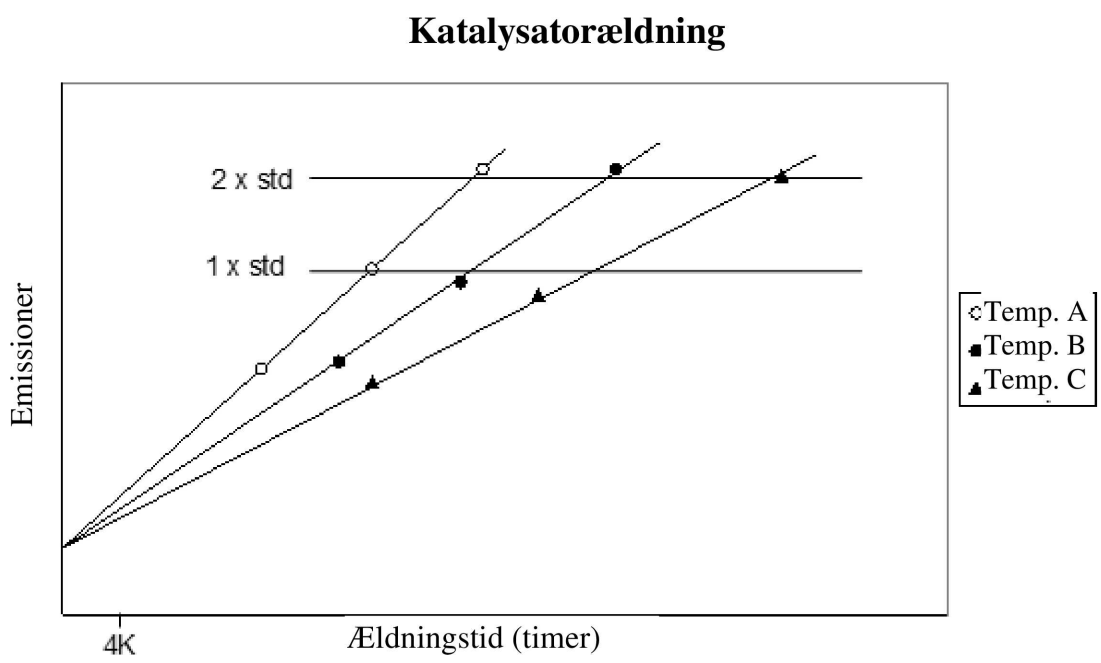
4.1.2. Der foretages et estimat af værdien af "R" og en beregning af den effektive referencetemperatur (Tr) for ældningscyklussen på prøvebænk for hver kontroltemperatur i henhold til punkt 2.3.1.4 i dette bilag.

4.1.3. Emissionerne (eller katalysator-ineffektiviteten) registreres i forhold til ældningstid for hver katalysator. Den mindst kvadratiske og bedst tilpassede linje beregnes på grundlag af de pågældende data. For at de pågældende data kan benyttes til dette formål, bør de have et omtrentligt fælles skæringspunkt mellem 0 og 6 400 km. Se f.eks. figur C4.Till.1/3.

4.1.4. Beregn hældningen for den bedst tilpassede linje for hver ældningstemperatur.

Figur C4 Till.1/3

Eksempel på katalysatorældning



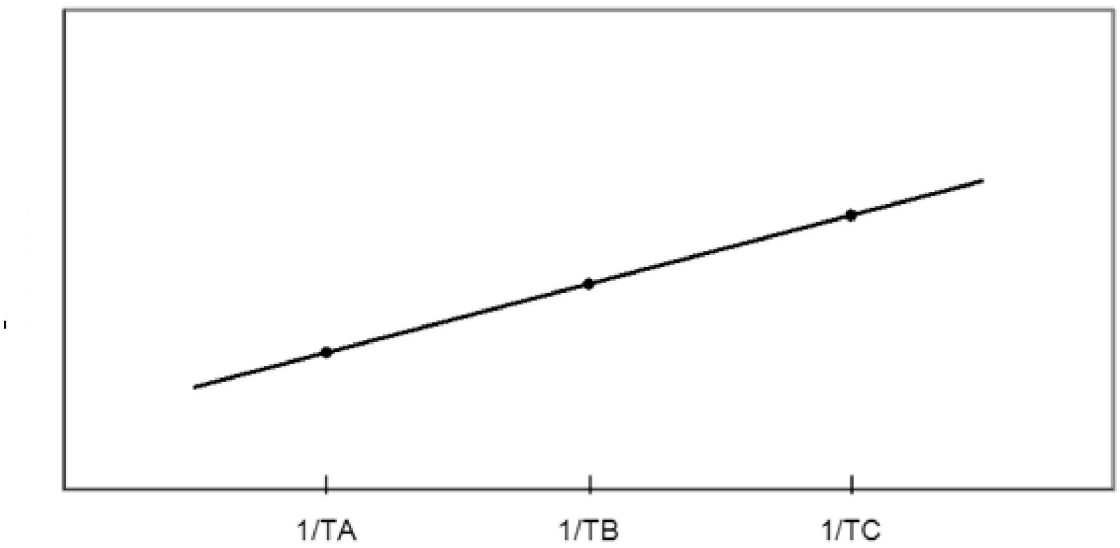
4.1.5. Den naturlige logaritme (ln) af hældningen for hver bedst tilpassede linje (bestemt i punkt i 4.1.4 i dette tillæg) registreres langs den lodrette akse i forhold til den omvendte ældningstemperatur (1/(ældningstemperatur, grader K)) langs den vandrette akse. De mindst kvadratiske og bedst tilpassede linjer beregnes på grundlag af de pågældende data. Linjens hældning er R-faktoren. Se f.eks. figur C4.Till.1/4.

4.1.6. R-faktoren sammenlignes med den oprindelige værdi, der blev anvendt i punkt 4.1.2 i dette tillæg. Hvis den beregnede R-faktor adskiller sig fra den oprindelige værdi med mere end 5 %, vælges en ny R-faktor, som ligger mellem den oprindelige og de beregnede værdier, hvorefter trinnene i punkt 4.1.2 til 4.1.6 i dette tillæg gentages for at finde en ny R-faktor. Denne procedure gentages, indtil den beregnede R-faktor er mindre end 5 % fra den R-faktor, der oprindeligt blev antaget.

4.1.7. Sammenlign R-faktoren, der fastsættes separat for hver udstødningskomponent. Den laveste R-faktor ("worst case") anvendes i BAT-ligningen.

Figur C4 Till.1/4

Bestemmelse af R-faktoren



Bilag C4 - Tillæg 2.

Standardcyklus for dieselprøvebænk (Standard Diesel Bench Cycle — SDBC)

Dette tillæg gælder kun for niveau 1A

1. Indledning

For partikelfiltre er antallet af regenereringer kritisk for ældningsprocessen. For systemer, der kræver afsvovlingscyklusser (f.eks. katalysator med NOx-lagring), har denne proces også betydning.

Standardproceduren for holdbarhedsprøvning ved ældning på dieselprøvebænk består i ældningen af et efterbehandlingssystem på en ældningsprøvebænk i henhold til SDBC som beskrevet i dette tillæg. SDBC kræver anvendelse af en ældningsprøvebænk med en motor som kilde til fødegas til systemet.

Systemets regenererings-/afsvovlingsstrategier skal i løbet af SDBC forblive under normale driftsforhold.

2. SDBC reproducer den motorhastighed og de belastningsforhold, der forekommer i SRC-cyklussen svarende til den periode, for hvilken holdbarheden skal bestemmes. Motorindstillingerne på prøvebænken kan for at fremskynde ældningsprocessen ændres for at reducere systemets belastningstider. For eksempel kan indsprøjtningsindstillingen eller EGR-strategien ændres.

3. Udstyr og procedurer for ældningsprøvebænk

3.1. Standardældningsprøvebænken består af en motor, en motorkontrol og et motordynamometer. Andre opstillinger accepteres også (f.eks. komplet køretøj på dynamometer eller en brænder, der giver de korrekte udstødningsforhold), så længe forholdene ved efterbehandlingssystemet og kontrolspecifikationerne i dette tillæg overholdes.

En enkelt ældningsprøvebænk kan være udformet således, at udstødningsstrømmen er inddelt i flere strømme, såfremt hver udstødningsstrøm opfylder kravene i dette tillæg. Hvis prøvebænken har mere end én udstødningsstrøm, kan flere udstødningssystemer ældes samtidig.

3.2. Montering af udstødningssystem. Hele efterbehandlingssystemet sammen med alle udstødningsrør, der forbinder disse komponenter, monteres på prøvebænken. For motorer med flere udstødningsstrømme (f.eks. V6- og V8-motorer) skal hver sektion af udstødningssystemet monteres separat på prøvebænken.

Hele efterbehandlingssystemet monteres som en samlet enhed til ældning. Alternativt kan hver enkelt komponent udsættes for ældning af passende varighed.

Hvis systemet til efterbehandling af udstødningen anvender en reagens, skal hele injektionssystemet monteres og køre med henblik på ældning.

Bilag C4 - Tillæg 3.

Standardvejcyklus (Standard Road Cycle – SRC)

1. Indledning

Standardvejcyklussen (SRC) er en prøvningscyklus på 1 kilometer på VH. Køretøjet køres på en prøvebane eller på et kilometerdynamometer.

Cyklussen består af 7 omgange à 6 km. Omgangslængden kan ændres efter længden på prøvebanen til kilometerakkumulering.

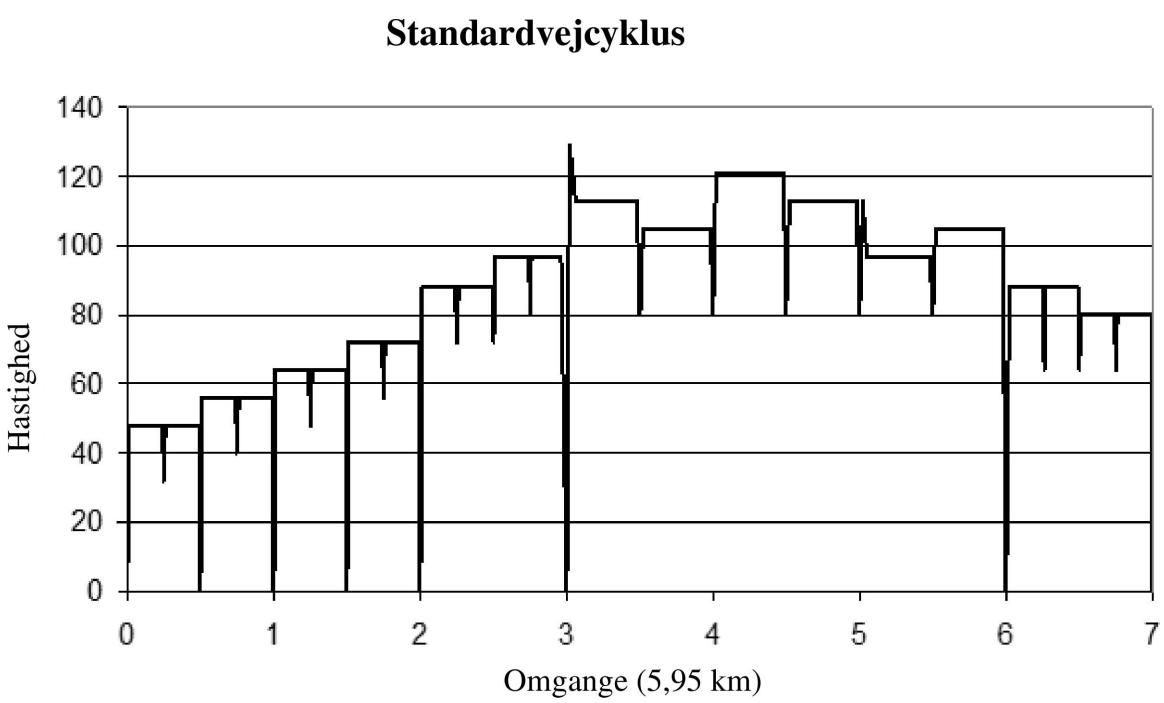
Standardvejcyklus

Omgang	Beskrivelse	Typisk acceleration m/s²
1	(motorstart) tomgang 10 s	0
1	Moderat acceleration til 48 km/h	1,79
1	Stabil hastighed på 48 km/h i ¼ omgang	0
1	Moderat deceleration til 32 km/h	-2,23
1	Moderat acceleration til 48 km/h	1,79
1	Stabil hastighed på 48 km/h i ¼ omgang	0
1	Moderat deceleration til standsning	-2,23
1	Tomgang i 5 s	0
1	Moderat acceleration til 56 km/h	1,79
1	Stabil hastighed på 56 km/h i ¼ omgang	0
1	Moderat deceleration til 40 km/h	-2,23
1	Moderat acceleration til 56 km/h	1,79
1	Stabil hastighed på 56 km/h i ¼ omgang	0
1	Moderat deceleration til standsning	-2,23
2	Tomgang i 10 s	0
2	Moderat acceleration til 64 km/h	1,34
2	Stabil hastighed på 64 km/h i ¼ omgang	0
2	Moderat deceleration til 48 km/h	-2,23
2	Moderat acceleration til 64 km/h	1,34
2	Stabil hastighed på 64 km/h i ¼ omgang	0
2	Moderat deceleration til standsning	-2,23
2	Tomgang i 5 s	0
2	Moderat acceleration til 72 km/h	1,34
2	Stabil hastighed på 72 km/h i ¼ omgang	0
2	Moderat deceleration til 56 km/h	-2,23
2	Moderat acceleration til 72 km/h	1,34
2	Stabil hastighed på 72 km/h i ¼ omgang	0
2	Moderat deceleration til standsning	-2,23
3	Tomgang i 10 s	0
3	Hård acceleration til 88 km/h	1,79

Omgang	Beskrivelse	Typisk acceleration m/s²
3	Stabil hastighed på 88 km/h i ¼ omgang	0
3	Moderat deceleration til 72 km/h	-2,23
3	Moderat acceleration til 88 km/h	0,89
3	Stabil hastighed på 88 km/h i ¼ omgang	0
3	Moderat deceleration til 72 km/h	-2,23
3	Moderat acceleration til 97 km/h	0,89
3	Stabil hastighed på 97 km/h i ¼ omgang	0
3	Moderat deceleration til 80 km/h	-2,23
3	Moderat acceleration til 97 km/h	0,89
3	Stabil hastighed på 97 km/h i ¼ omgang	0
3	Moderat deceleration til standsning	-1,79
4	Tomgang i 10 s	0
4	Hård acceleration til 129 km/h	1,34
4	Friløb til 113 km/h	-0,45
4	Stabil hastighed på 113 km/h i ½ omgang	0
4	Moderat deceleration til 80 km/h	-1,34
4	Moderat acceleration til 105 km/h	0,89
4	Stabil hastighed på 105 km/h i ½ omgang	0
4	Moderat deceleration til 80 km/h	-1,34
5	Moderat acceleration til 121 km/h	0,45
5	Stabil hastighed på 121 km/h i ½ omgang	0
5	Moderat deceleration til 80 km/h	-1,34
5	Let acceleration til 113 km/h	0,45
5	Stabil hastighed på 113 km/h i ½ omgang	0
5	Moderat deceleration til 80 km/h	-1,34
6	Moderat acceleration til 113 km/h	0,89
6	Friløb til 97 km/h	-0,45
6	Stabil hastighed på 97 km/h i ½ omgang	0
6	Moderat deceleration til 80 km/h	-1,79
6	Moderat acceleration til 104 km/h	0,45
6	Stabil hastighed på 104 km/h i ½ omgang	0
6	Moderat deceleration til standsning	-1,79
7	Tomgang i 45 s	0
7	Hård acceleration til 88 km/h	1,79
7	Stabil hastighed på 88 km/h i ¼ omgang	0
7	Moderat deceleration til 64 km/h	-2,23
7	Moderat acceleration til 88 km/h	0,89
7	Stabil hastighed på 88 km/h i ¼ omgang	0
7	Moderat deceleration til 64 km/h	-2,23

Omgang	Beskrivelse	Typisk acceleration m/s²
7	Moderat acceleration til 80 km/h	0,89
7	Stabil hastighed på 80 km/h i ¼ omgang	0
7	Moderat deceleration til 64 km/h	-2,23
7	Moderat acceleration til 80 km/h	0,89
7	Stabil hastighed på 80 km/h i ¼ omgang	0
7	Moderat deceleration til standsning	-2,23

Standardvejcyklussen repræsenteres grafisk i nedenstående figur:



Bilag C4 - Tillæg 3b

Kilometerakkumuleringscyklusser

Dette tillæg finder kun anvendelse på niveau 1B

Fabrikanten skal vælge en af følgende tre cyklusser for hele holdbarhedsprøvningen af køretøjet

1. Mønster A

	Kørselsmønster	Afstandsforhold
Normal kørsel	Alle elementer (tomgang, acceleration, deceleration, konstant hastighed) skal køres inden for højst 60 km/h	over 60 %
Højhastighedskørsel	Konstant hastighed, alt efter om 100 km/h eller V_max er lavest	over 20 %
andet	i overensstemmelse med god teknisk skik	intet specifikt krav, så længe ovenstående kriterier overholdes.

2. Mønster B

	Kørselsmønster	Afstandsforhold
Antal stående starter	Mere end 20 gange i timen	
Højhastighedskørsel	Konstant hastighed, alt efter om 100 km/h eller V_max er lavest	over 8 %
Gennemsnitshastighed	over 45 km/h	
andet	Alle elementer (tomgang, acceleration, deceleration, konstant hastighed) skal køres. Forventet højere køremønster end tabel C4/Till.3b.1 med hensyn til forringelse	

Tabel C4/Till.3b.1

Tilstand	Kørselsforhold	Driftstid (s)	I alt tid (s)
1	Tomgang	10	10
2	Acceleration: 0 → 60 km/h	30	40
3	Konstant hastighed: 60 km/h	15	55
4	Deceleration: 60 → 30 km/h	15	70
5	Acceleration: 30 → 60 km/h	15	85
6	Konstant hastighed: 60 km/h	15	100
7	Deceleration: 60 → 0 km/h	30	130
8	gentag 1-7 ni gange	1 170	1 300
9	Tomgang	10	1 310

Tilstand	Kørselsforhold	Driftstid (s)	I alt tid (s)
10	Acceleration: 0 → 100 (*) km/h	40 (50 (**))	1 350 (1 360 (**))
11	Konstant hastighed: 100 km/h	200 (190 (**))	1 550
12	Deceleration: 100 → 0 km/h	50	1 600
13	gentag 1-12 indtil livscyklus er nået		

(*) eller V_max, hvis den er lavere end 100 km/h
(**) for køretøjer med en slagvolumen på højst 0,660 liter, en køretøjslængde på højst 3,40 m, en køretøjsbredde på højst 1,48 m og en køretøjshøjde på højst 2,00 m, højst 3 sæder foruden førersædet og en nyttelast på højst 350 kg

3. Standardvejcyklus (SRC) som beskrevet i bilag C4 -tillæg 3

Bilag C4 - Tillæg 4.

Særlige forskrifter for hybridkøretøjer

1. Indledning

1.1. Dette tillæg indeholder særlige forskrifter for type 5-prøvning af OVC-HEV'er og NOVC-HEV'er, jf. punkt 2 og 3 i dette tillæg.

2. Dette punkt finder kun anvendelse på niveau 1A og niveau 2

For OVC-HEV'er:

Det er tilladt at oplade den elektriske energi-/kraftlagringsenhed to gange om dagen under kilometerakkumulering.

Kilometerakkumulering ved hjælp af REESS-systemet skal være mindre end mållivscyklussen, multipliceret med summen af alle de beregnede nytteværdifaktorer UF_j (UF) for det pågældende køretøj fra begyndelsen af den ladningsforbrugende type 1-prøvning frem til fase j.

Fase j svarer til den sidste fase af overgangscyklussen, som er afslutningen af den ladningsforbrugende type 1-prøvning.

Kilometerakkumulering skal foretages i førervalgt driftstilstand, der altid vælges, når køretøjet er tændt (fremherskende driftstilstand) eller i den tilstand, som anbefales af fabrikanten (hvis der ikke findes en fremherskende driftstilstand) efter aftale med den tekniske tjeneste.

Under kilometerakkumulering er det tilladt efter accept fra den tekniske tjeneste at skifte til en anden hybrid tilstand, hvis dette er nødvendigt for at fortsætte kilometerakkumuleringen.

Målingerne af emissionen af forurenende stoffer udføres under samme betingelser som specificeret i punkt 3.2.5 i bilag B8.

3. For NOVC-HEV'er:

Kilometerakkumulering skal foretages i førervalgt driftstilstand, der altid vælges, når køretøjet er tændt (fremherskende driftstilstand) eller i den tilstand, som anbefales af fabrikanten (hvis der ikke findes en fremherskende driftstilstand) efter aftale med den tekniske tjeneste.

Målingerne af emissioner af forurenende stoffer udføres under samme betingelser ved type 1-prøvning.

BILAG C5

Egendiagnosesystem (OBD-system) for motorkøretøjer

1. Indledning

Dette bilag omhandler de funktionelle aspekter ved egendiagnosesystemer til emissionsbegrænsning på motorkøretøjer.

2. Dette punkt finder kun anvendelse på niveau 1A og niveau 2 (fase 4 WLTP):

Fabrikanten skal med henblik på typegodkendelse forelægge den godkendende myndighed en underskrevet overensstemmelseserklæring med OBD-kravene. Ved typegodkendelsen erstatter denne overensstemmelseserklæring prøvningskravene i henhold til dette bilag.

En skabelon til fabrikantens erklæring om overensstemmelse med OBD-kravene findes i tillæg 5 i bilag A2.

3. Krav og prøvninger

3.1. Alle køretøjer skal være udstyret med et egendiagnosesystem, der er udformet, produceret og monteret i køretøjet på sådan måde, at det kan detektere, hvilken art af forringelse eller funktionsfejl der forekommer igennem hele køretøjets levetid. Til dette formål skal den typegodkendende myndighed acceptere, at køretøjer med større kilometertal end mållivscyklussen (i henhold til punkt 6.7 i dette regulativ), jf. punkt 3.3.1 i dette bilag kan udvise en vis nedsættelse af egendiagnosesystemets præstationer, således at de i tabel 4A og tabel 4B (alt efter hvad der er relevant) i punkt 6.8.2 i dette regulativ angivne grænseværdier for egendiagnose kan være overskredet, før egendiagnosesystemet angiver en fejl over for føreren.

3.1.1. Adgangen til egendiagnosesystemet, der er nødvendig med henblik på inspektion, diagnose, vedligeholdelse eller reparation af køretøjet, skal være ubegrænset og standardiseret. Alle emissionsrelaterede fejlkoder skal være i overensstemmelse med punkt 6.5.3.5 i tillæg 1 til dette bilag.

3.2. Egendiagnosesystemet skal være udformet, produceret og monteret i køretøjet på sådan måde, at det under normale driftsbetingelser er i stand til at opfylde kravene i dette bilag.

3.2.1. Midlertidig afbrydelse af egendiagnosesystemet

3.2.1.1. En fabrikant kan sætte egendiagnosesystemet ud af funktion, hvis dets overvågningsevne påvirkes af lav brændstofstand. Sådant funktionsstop må ikke finde sted, når beholdningen i brændstoftanken er over 20 % af dennes nominelle kapacitet.

3.2.1.2. En fabrikant kan sætte en OBD-overvågning ud af drift i forbindelse med en bestemt kørecyklus, når den omgivende temperatur eller motortemperaturen er under 266 K (-7 °C), eller hvis højden over havoverfladen er over 2 440 m, hvis fabrikanten forelægger data og/eller en teknisk vurdering, der tilfredsstillende godtgør, at overvågning under sådanne omstændigheder ikke kan finde sted på pålidelig måde. En fabrikant kan desuden anmode om, at en OBD-overvågning sættes ud af drift ved andre omgivelsestemperaturer, kølevæsketemperaturer eller andre højder, såfremt det over for myndighederne med data og/eller en teknisk udtalelse godtgøres, at egendiagnose under sådanne omstændigheder giver forkerte resultater. Det er ikke nødvendigt, at fejlindikatoren (MI) tænder, hvis egendiagnosegrænseværdierne overskrides under regenerering, forudsat at der ikke forekommer en fejl.

Kølevæsketemperatur anses kun for at være underlagt godkendelse, hvis den anvendes i stedet for omgivelsestemperatur.

3.2.1.3. For køretøjer, der er konstrueret til montering af kraftudtag, tillades afbrydelse af de pågældende overvågningssystemer, forudsat at afbrydelse kun finder sted, når kraftudtaget er i funktion.

Ud over bestemmelserne i dette punkt kan fabrikanten midlertidigt sætte OBD-systemet ud af drift på følgende betingelser:

a) For flex-brændstofkøretøjer eller mono-/bi-brændstofkøretøjer til gas i 1 minut efter påfyldning for at give motorstyreenheden (ECU) tid til at genkende brændstoffets kvalitet og sammensætning.

b) For bi-brændstofkøretøjer i 5 s efter brændstofskift for at give tid til justering af motorparametre.

c) Fabrikanten kan fravige disse tidsgrænser, hvis det kan godtgøres, at brændstofsystemets stabilisering efter påfyldning eller brændstofskift af begrundede tekniske årsager tager længere tid. Under alle omstændigheder skal OBD-systemet genaktiveres, lige så snart der er sket genkendelse af brændstofkvalitet og -sammensætning, eller motorparametrene er justeret.

3.2.2. Fejltænding i køretøjer med styret tænding

3.2.2.1. Fabrikanten kan som funktionsfejlkriterium ved nærmere angiven motorhastighed og -belastning anvende en højere fejltændingsprocent end erklæret over for myndigheden, såfremt det over for myndighederne godtgøres, at detektering af lavere antal fejltændinger ville være upålidelig.

3.2.2.2. Når en fabrikant over for myndigheden kan godtgøre, at detektion af en større procentdel fejltændinger stadig ikke er mulig, eller at fejltænding ikke kan skelnes fra andre påvirkninger (f.eks. ujævn vej, gearskift eller eftertænding), kan fejltændingsovervågningssystemet frastilles, hvor sådanne forhold foreligger.

3.2.3. Identifikation af forringelse eller funktionsfejl kan også ske uden for en kørecyklus (f.eks. efter motorstandsning).

3.3. Beskrivelse af prøvninger

3.3.1. Prøvningerne udføres på det køretøj, der er anvendt til type 5-holdbarhedsprøven i bilag C4 til dette regulativ, og med anvendelse af prøvningsproceduren i tillæg 1 til dette bilag. Prøvningerne udføres ved afslutning af type 5-holdbarhedsprøvningen.

Når type 5-holdbarhedsprøvning ikke foretages, eller hvis fabrikanten forlanger det, kan et repræsentativt køretøj af passende alder anvendes til disse prøvninger af egendiagnosesystemet.

3.3.2. OBD-systemet skal angive svigt af emissionsrelaterede komponenter eller systemer, når dette svigt medfører overskridelse af en af de OBD-grænseværdier, der er fastsat i punkt 6.8.2 i dette regulativ.

3.3.2.1. OBD-grænseværdierne for køretøjer, der er typegodkendt i henhold til emissionsgrænserne i punkt 6.3.10 i dette regulativ, er anført i tabel 4A og tabel 4B (alt efter hvad der er relevant) i punkt 6.8.2 i dette regulativ.

3.3.3. Krav til overvågning af køretøjer med styret tænding.

For at opfylde kravene i punkt 3.3.2 i dette bilag skal egendiagnosesystemet som minimum overvåge for:

3.3.3.1. Nedsættelse af katalysatorfunktion med hensyn til emissioner af NMHC og NOx. Fabrikanterne kan overvåge den forreste katalysator alene eller sammen med de(n) efterfølgende katalysator(er). Hver enkelt overvåget katalysator eller katalysatorkombination skal anses for at fungere utilfredsstillende, når emissionen er større end OBD-grænseværdierne for NMHC eller NOx som fastsat i punkt 6.8.2 i dette regulativ.

3.3.3.2. Fejltænding i den del af motorens arbejdsområde, der begrænses af følgende linjer:

a) en maksimalhastighed på 4 500 min^{-1} eller 1 000 min^{-1} over den største motorhastighed under type 1-prøvecyklussen, alt efter hvilken der er lavest

b) linjen med positivt drejningsmoment (dvs. motorbelastning med transmissionen i neutralstilling)

c) en linje, der forbinder følgende driftspunkter: linjen, der afgrænser området med positivt drejningsmoment, ved 3 000 min^{-1} og et punkt på den i litra a) ovenfor definerede maksimalhastighedslinje, hvor motorens manifoldvakuum er 13,33 kPa lavere end på linjen med positivt drejningsmoment

3.3.3.2.1. Specifik overvågningsrate for fejltænding

Kun niveau 1B og niveau 2

a) Katalysatorbeskyttelse Fejltænding af motoren, som bevirker, at katalysatoren beskadiges på grund af en for høj varmepåvirkning, skal overvåges for hver 200 omdrejninger i det område, der er specificeret i punkt 3.3.3.2.

Når den vurderede motorfejltændingsrate er mindre end 5 %, kan grænsen fastsættes til 5 %.

b) Overskridelse af emissionstærsklen. Fejltænding af motoren, som medfører en overskridelse af emissionsgrænseværdien, skal overvåges for hver 1 000 omdrejninger i det område, der er specificeret i punkt 3.3.3.2.

Når den vurderede motorfejltændingsrate er mindre end 1 %, kan grænsen fastsættes til 1 %.

3.3.3.3. Forringelse af lambdasonden

Dette punkt skal fortolkes således, at der skal ske overvågning af forringelsen af alle lambdasonder, som er monteret og anvendes til overvågning af funktionsfejl i katalysatoren i henhold til kravene i dette bilag.

3.3.3.4. Andre emissionsbegrænsende komponenter eller systemer eller de af drivlinjens emissionsrelaterede komponenter eller systemer, som er tilsluttet en computer, såfremt de er aktiveret med den valgte form for brændstof, og hvis svigt kan give anledning til, at emissionerne fra udstødningen overstiger de tabel 4A og tabel 4B (alt efter hvad der er relevant) i punkt 6.8.2 i dette regulativ fastlagte OBD-grænseværdier.

Følgende er en ikke-udtømmende liste med eksempler på repræsentative komponenter og systemer:

a) System til recirkulering af udstødningsgas

b) Brændstofsystem

c) Sekundærluftsystem

d) Ventilindstilling

e) Lufttrykssensor

f) Sensor for indsugningsluftens tryk

g) Sensor for indsugningsluftens temperatur

h) Lufttrykssensor

i) Motorkølevæsketemperatursensor

j) Gasspjældsensor

k) Cylinderidentifikationsensor

l) Sensor for krumtamakslens vinkel

3.3.3.5. Eventuelle sensorer, der er relevante for, at overvågningsfunktioner kan udføres, skal overvåges for gennemgang i strømkredsene, medmindre de overvåges på anden måde.

3.3.3.6. Den elektroniske kontrol af fordampningskontrolsystemets rensning skal som minimum overvåges for strømgennemgang.

3.3.3.7. Dette punkt finder kun anvendelse på niveau 1A og niveau 2

For motorer med direkte indsprøjtning og styret tænding skal der ske overvågning af enhver funktionsfejl, der kan føre til emissioner, som overstiger partikelgrænseværdierne for egendianose i punkt 6.8.2 i dette regulativ, og som skal overvåges i henhold til kravene i dette bilag for motorer med kompressionstænding.

3.3.4. Krav til overvågning af køretøjer med kompressionstænding

For at opfylde kravene i punkt 3.3.2 i dette bilag skal egendiagnosesystemet overvåge for:

Niveau 1A og niveau 2:

a) Nedsat katalysatorfunktion, hvis en sådan forefindes.

b) Partikelfilterets effektivitet og uskadthed, hvis et sådant forefindes.

c) Brændstofindsprøjtningssystemets elektroniske aktuator(er) for brændstofmængde og indsprøjtningstidspunkt overvåges for gennemgang i strømkredse og totalt svigt.

d) Andre komponenter eller systemer til emissionsbegrænsning eller de af drivlinjens emissionsrelaterede komponenter eller systemer, som er tilsluttet en computer, som, hvis den svigter, kan give anledning til, at emissionerne fra udstødningen overstiger de OBD-grænseværdier, der er fastlagt i punkt 6.8.2 i dette regulativ. Eksempler på sådanne systemer eller komponenter er dem, der overvåger og styrer luftmassestrøm, luftvolumenhastighed (og -temperatur), ladetryk og indsugningsmanifoldtryk (samt relevante følere, der gør disse funktioner mulige).

e) Eventuelle sensorer, der er relevante for, at overvågningsfunktioner kan udføres, skal overvåges for gennemgang i strømkredsene, medmindre de overvåges på anden måde.

f) Funktionsfejl og faldende effektivitet i EGR-systemet skal overvåges.

g) Funktionsfejl og faldende effektivitet i systemet til NOx-efterbehandling, der anvender en reagens, og delsystemet til reagensdosering skal overvåges.

h) Funktionsfejl og faldende effektivitet i systemet til NOx-efterbehandling, der ikke anvender en reagens, skal overvåges.

For niveau 1B:

Enhver af drivlinjens emissionsrelaterede komponenter, som er tilsluttet en computer, skal overvåges for gennemgang i strømkredsene

Fortegnelse over kredsløb

i) Lufttrykssensor

ii) Sensor for indsugningsluftens tryk

iii) Sensor for indsugningsluftens temperatur

iv) Lufttrykssensor

v) Motorkølevæsketemperatursensor

vi) Gasspjældsensor

vii) Cylinderidentifikationsensor

viii) Sensor for krumtamakslens vinkel

ix) Sensor af indsprøjtningsindstilling

x) Sensor for justering af indsprøjtningsmængde

xi) Indsprøjtningstemperatursensor

xii) Indsprøjtningstryksensor

xiii) Olietemperatursensor

xiv) Olietryksensor

xv) Udstødningstemperatursensor

xvi) Udstødningstryksensor

3.3.5. Fabrikanten kan over for den typegodkendende myndighedr godtgøre, at bestemte komponenter eller systemer ikke behøver være overvåget, såfremt fuldstændigt svigt eller fjernelse af de pågældende komponenter ikke medfører emissioner, som overskrider de OBD-tærskelværdier, der er fastlagt i punkt 6.8.2 i dette regulativ.

3.3.5.1. Dette punkt finder kun anvendelse på niveau 1A og niveau 2

Følgende anordninger bør imidlertid overvåges, således at totalt svigt eller fjernelse konstateres (hvis fjernelse medfører, at de gældende emissionsgrænser i punkt 6.3.10 i dette regulativ overskrides):

a) partikelfiltre monteret på motorer med kompressionstænding som separate enheder eller integreret i kombinerede emissionsbegrænsende anordninger

b) system til efterbehandling af NOx monteret på motorer med kompressionstænding som separate enheder eller integreret i en kombineret emissionsbegrænsende anordning

c) dieseloxidationskatalysator (DOC) monteret på motorer med kompressionstænding som separate enheder eller integreret i kombinerede emissionsbegrænsende anordninger.

3.3.5.2. Dette punkt finder kun anvendelse på niveau 1A og niveau 2

De anordninger, der er omhandlet i punkt 3.3.5.1 i dette bilag, skal ligeledes overvåges for eventuelle svigt, som ville resultere i en overskridelse af de gældende OBD-grænseværdier som fastsat i punkt 6.8.2 i dette regulativ.

3.4. Ved hver start af motoren skal en række kontroller indledes og gennemføres mindst én gang, forudsat at kontrolbetingelserne er opfyldt. Prøvningsbetingelserne vælges således, at de alle indtræder under normal kørsel svarende til type 1-prøve.

3.5. Aktivering af fejlindikator (MI)

3.5.1. Egendiagnosesystemet skal være forsynet med en fejlindikator, der let kan iagttages af føreren af køretøjet. Fejlindikatoren må ikke anvendes til andre formål, bortset fra at vise føreren procedurerne for nødstart, forprogrammeret standardtilstand eller nøddrift. Fejlindikatoren skal være synlig under alle rimelige belysningsforhold. Indikatoren skal ved aktivering fremvise et symbol, der er i overensstemmelse med ISO 2575. Køretøjet må ikke være udstyret med flere end én universalfejlindikator til forureningsrelaterede fejl. Separate kontrollamper til bestemte formål (f.eks. bremsesystem, sikkerhedsseler, olietryk mv.) er tilladt. Rød farve må ikke anvendes til fejlindikatoren.

3.5.2. Når der kræves mere end to prækonditioneringscyklusser til aktivering af fejlindikatoren, skal fabrikanten forelægge data og/eller en teknisk vurdering, der tilfredsstillende godtgør, at overvågningssystemet lige så effektivt og betids er i stand til at detektere forringelse af komponenterne. Det kan ikke godkendes, at der gennemsnitligt kræves over ti kørecyklusser til aktivering af fejlindikatoren. Fejlindikatoren skal ligeledes aktiveres, når som helst motorstyringssystemet skifter til fast forprogrammeret standardtilstand, hvis de i punkt 6.8.2 i dette regulativ anførte OBD-emissionsgrænser derved overskrides eller egendiagnosesystemet er ude af stand til at opfylde de grundlæggende overvågningskrav i punkt 3.3.3 eller punkt 3.3.4 i dette bilag. Fejlindikatoren skal på en bestemt måde, f.eks. med blinkende lys, tydeligt advare i ethvert tidsrum, hvorunder motoren fejltænder i et omfang, der må forventes at medføre beskadigelse af katalysatoren, som angivet af fabrikanten. Fejlindikatoren skal ligeledes aktiveres, når motorens tænding er tilsluttet, før motoren startes eller tørnes, og skal slukke efter start af motoren, hvis der ikke forinden er detekteret nogen funktionsfejl.

3.6. Lagring af fejlkoder

3.6.1. Egendiagnosesystemet skal registrere (en) indkommende eller bekræftet kode fejlkode(r), der angiver emissionsbegrænsningssystemets status. Der anvendes separate statuskoder (parathedskoder) til angivelse af, hvilke emissionsbegrænsningssystemer der fungerer korrekt, og hvilke der kræver, at køretøjet kører yderligere, for at

de kan færdigevalueres. Hvis fejlindikatoren aktiveres som følge af funktionsfejl eller fast forprogrammeret standardtilstand, skal der lagres en fejlkode, der angiver fejltypen. Der skal også lagres en fejlkode i de tilfælde, der er omhandlet i punkt 3.3.3.5 og 3.3.4, litra e), i dette bilag.

3.6.2. Den strækning, der er tilbagelagt af køretøjet med fejlindikatoren aktiveret, skal til enhver tid være tilgængelig gennem den serielle port på standardstikket.

3.6.3. For køretøjer med kompressionstænding behøver fejltændende cylindre ikke være entydigt identificeret, hvis der lagres en bestemt fejlkode for fejltænding på én eller flere cylindre.

3.7. Slukning af fejlindikatoren

3.7.1. Hvis fejltænding af et omfang, der kan forventes at forårsage skade på katalysatoren (som angivet af fabrikanten) ikke længere forekommer, eller hvis motoren bringes til at køre med en sådan ændret hastighed og belastning, at fejltændingen ikke beskadiger katalysatoren, kan fejlindikatoren stilles tilbage til den stilling, den var i under den første kørecyklus, hvor fejltændingen blev konstateret, og dernæst til normal aktiv stilling i de efterfølgende kørecyklusser. Hvis fejlindikatoren stilles tilbage til den foregående stilling, kan de tilhørende fejlkoder og lagrede "fryseramme"-omstændigheder slettes.

3.7.2. For alle øvrige fejl kan fejlindikatoren deaktiveres efter tre på hinanden følgende kørecyklusser, under hvilke det overvågningssystem, der er ansvarligt for aktivering af fejlindikatoren, ophører med at detektere den pågældende funktionsfejl, forudsat der ikke er konstateret nogen anden funktionsfejl, der uafhængigt vil aktivere fejlindikatoren.

3.8. Sletning af fejlkoden

3.8.1. Egendiagnosesystemet kan slette en bekræftet fejlkode, tilbagelagt strækning og fryserammedata, hvis samme fejl ikke registreres igen i løbet af mindst 40 motoropvarmningscyklusser eller 40 kørecyklusser med køretøjsdrift, hvor kriterierne i litra a)-c) er opfyldt:

a) Kumulativ tid siden motorstart er mindst 600 sekunder

b) Den kumulative køretøjsdrift ved eller over 40 km/h forekommer i mere end eller lig med 300 sekunder.

c) Kontinuerlig kørsel i tomgang (dvs. at føreren har sluppet speederen og køretøjets hastighed er højst 1,6 km/h) i mindst 30 sekunder.

3.8.2. Egendiagnosesystemet kan slette en indkommende fejlkode, hvis samme fejl ikke registreres igen før afslutningen af den næste kørecyklus, hvor overvågningen finder sted (dvs. at der ikke er nogen indikation af fejlen på noget tidspunkt under kørecyklussen).

3.9. Gasdrevet bi-brændstofkøretøjer

For gasdrevne bi-brændstofkøretøjer gælder for hver af brændstoftyperne (benzin og (NG/biomethan)/LPG) generelt alle de samme OBD-krav som for mono-brændstofkøretøjer. I denne forbindelse anvendes en af følgende to løsninger i punkt 3.9.1 eller 3.9.2 i dette bilag eller enhver kombination heraf.

3.9.1. Et egendiagnosesystem for begge typer brændstof

3.9.1.1. Følgende procedurer skal gennemføres for hver diagnose i et enkelt egendiagnosesystem for kørsel både på benzin og (NG/biomethan)/LPG, enten uafhængigt af hvilket brændstof der anvendes på pågældende tidspunkt, eller specifikt for brændstoftypen:

a) aktivering af fejlindikator (se punkt 3.5 i dette bilag)

b) lagring af fejlkode (se punkt 3.6 i dette bilag)

c) slukning af fejlindikatoren (se punkt 3.7 i dette bilag)

d) sletning af fejlkode (se punkt 3.8 i dette bilag).

Til overvågning af komponenter eller systemer kan enhver af de to separate diagnoser for hver brændstoftype anvendes, eller der kan anvendes en fælles diagnose.

3.9.1.2. Egendiagnosesystemet kan være indeholdt i en eller flere computere.

3.9.2. To separate egendiagnosesystemer, et for hver brændstoftype.

3.9.2.1. Følgende procedurer skal gennemføres separat for henholdsvis benzindrift eller (NG/biomethan-)/LPG-drift:

a) aktivering af fejlindikator (se punkt 3.5 i dette bilag)

b) lagring af fejlkode (se punkt 3.6 i dette bilag)

c) slukning af fejlindikatoren (se punkt 3.7 i dette bilag)

d) sletning af fejlkode (se punkt 3.8 i dette bilag).

3.9.2.2. De separate egendiagnosesystemer kan være indeholdt i en eller flere computere.

3.9.3. Særlige krav til transmissionen af diagnosesignaler fra gasdrevne bi-brændstofkøretøjer.

3.9.3.1. Hvis et diagnosescanningsværktøj anmoder herom, skal diagnosesignalerne transmitteres på en eller flere kildeadresser. Anvendelsen af kildeadresser er beskrevet i standarden anført i punkt 6.5.3.2, litra a), i tillæg 1 til dette bilag.

3.9.3.2. Identifikation af brændstofspecifikke oplysninger kan finde sted:

a) ved anvendelse af kildeadresser og/eller

b) ved anvendelse af en brændstofvælger og/eller

c) ved hjælp af brændstofspecifikke fejlkoder.

3.9.4. For så vidt angår statuskoden (som beskrevet i punkt 3.6 i dette bilag) skal en af de to følgende løsninger anvendes, hvis en eller flere af diagnoseredskaberne, der angiver driftsparathed, er brændstofspecifikke:

a) statuskoden er brændstofspecifik, dvs. anvendelse af to statuskoder, en for hver brændstoftype

b) statuskoden skal angive færdigevaluerede kontrolsystemer for begge typer brændstof (benzin og (NG/biomethan)/LPG), når kontrolsystemerne er færdigevaluerede for én af brændstoftyperne.

Hvis ingen af de diagnoseredskaber, der angiver driftsparathed, er brændstofspecifikke, er det kun nødvendigt at understøtte én statuskode.

3.10. Supplerende bestemmelser for køretøjer med motorslukningsstrategier

3.10.1. Kørecyklus

3.10.1.1. En autonom genstart af motoren beordret af motorens styresystem, efter at motoren er gået i stå, kan betragtes som en ny kørecyklus eller en fortsættelse af den igangværende kørecyklus."

4. Krav ved typegodkendelse af egendiagnosesystemer

4.1. En fabrikant kan anmode den typegodkendende myndighed om at typegodkende et egendiagnosesystem, selv om det rummer en eller flere ufuldstændigheder, således at de specifikke krav i dette bilag ikke er opfyldt i fuldt omfang. Den typegodkendende myndighed kan godkende op til to separate komponenter eller systemer med én eller flere ufuldstændigheder.

Når en fabrikant fastsætter særlige betingelser for fejltænding som defineret i punkt 3.3.3.2.1 i dette bilag, betragtes disse betingelser ikke som en ufuldstændighed.

4.2. Ved behandlingen af anmodningen tager den godkendende myndighed stilling til, om det ikke er muligt eller ikke er rimeligt at opfylde forskrifterne i dette bilag.

Den typegodkendende myndighed skal bl.a. tage udgangspunkt i nærmere oplysninger fra fabrikanten om teknisk gennemførlighed, indførelsestid og produktionscyklusser, herunder ind- og udfasning af motorer og køretøjskonstruktioner og planlagte opgraderinger af computere, samt hvor effektivt det færdige OBD-system vil være til at opfylde kravene i regulativet, og om fabrikanten har gjort en acceptabel indsats for at opfylde kravene i regulativet.

4.2.1. Den typegodkendende myndighed skal ikke acceptere en ufuldstændighedsanmodning vedrørende et system, hvor der helt mangler en påbudt fejlovervågning eller en obligatorisk registrering og rapportering af data fra en overvågningsenhed.

4.2.2. Niveau 1A og niveau 2

Den typegodkendende myndighed kan ikke acceptere en ufuldstændighedsanmodning, som ikke overholder grænseværdierne for egendiagnosesystemet i punkt 6.8.2 i dette regulativ.

For niveau 1B

Den kompetente myndighed skal afvise enhver ufuldstændighedsanmodning, der ikke overholder grænseværdierne for egendianosesystemet, der er fastsat i regional lovgivning, ganget med en faktor, der kræves i henhold til regional lovgivning, op til en maksimal faktor på to .

4.3. En opstilling af ufuldstændighederne i rækkefølge skal begynde med ufuldstændigheder vedrørende punkt 3.3.3.1, 3.3.3.2 og 3.3.3.3 i dette bilag for motorer med styret tænding og vedrørende punkt 3.3.4, litra a), b) og c), i dette bilag for motorer med kompressionstænding identificeres først.

4.4. Hverken inden eller på tidspunktet for typegodkendelse kan der tillades ufuldstændighed i forhold til kravene i punkt 6.5, bortset fra punkt 6.5.3.5 i tillæg 1 til dette bilag.

4.5. Ufuldstændighedens varighed

4.5.1. En ufuldstændighed kan bestå i endnu to år efter typegodkendelse af køretøjstypen, medmindre det på passende vis godtgøres, at udbedring af ufuldstændigheden vil kræve betydelige fysiske ændringer af køretøjet og dertil en indførelsestid på mere end to år. I så fald kan ufuldstændigheden bestå i op til tre år.

4.5.2. En fabrikant kan anmode om, at den oprindelige typegodkendelsesmyndighed accepterer en ufuldstændighed med tilbagevirkende kraft, hvis ufuldstændigheden opdages efter den oprindelige typegodkendelse. I så fald kan ufuldstændigheden bestå i to år efter, at der er givet meddelelse til den typegodkendende myndighed, medmindre det på tilfredsstillende vis godtgøres, at udbedring af ufuldstændigheden vil kræve betydelige fysiske ændringer af køretøjet og dertil en indførelsestid på mere end to år. I så fald kan ufuldstændigheden bestå i op til tre år.

4.6. Et køretøj med et OBD-system kan på anmodning af fabrikanten accepteres til typegodkendelse med hensyn til emissioner, selv om systemet har en eller flere ufuldstændigheder, således at de specifikke krav i dette bilag ikke er opfyldt, såfremt de specifikke administrative bestemmelser i punkt 4.1 til 4.5.2 i denne bilag er opfyldt.

Den typegodkendende myndighed underretter alle de andre kontraherende parter i 1958-overenskomsten, der anvender dette regulativ, om sin beslutning om imødekommelse af en ufuldstændighedsanmodning.

Bilag C5 - Tillæg 1.

Funktionelle aspekter ved egendiagnosesystemer (OBD)

1. I dette tillæg beskrives fremgangsmåden for prøvning efter punkt 3 i dette bilag. I proceduren beskrives en metode til funktionskontrol af det i køretøjet monterede egendiagnosesystem ved simuleret svigt af de pågældende systemer i motorstyrings- eller emissionsbegrænsningssystem. Endvidere fastlægges procedurer til bestemmelse af holdbarheden af egendiagnosesystemer.

Fabrikanten skal stille de defekte komponenter og/eller elektriske anordninger, som skal benyttes til simulering af fejl, til rådighed. Når sådanne defekte komponenter eller anordninger måles i løbet af type 1-prøvningscyklussen, må disse ikke medføre, at køretøjets emissioner overskrider en af de OBD-grænseværdier, der er fastsat i tabel 4A og tabel 4B (alt efter hvad der er relevant) i punkt 6.8.2 i dette regulativ, med mere end 20 %. Ved elektriske fejl (kortslutning/åbent kredsløb) kan emissionerne overskride OBD-grænseværdierne med mere end tyve procent."

Når køretøjet prøves med den defekte komponent eller den defekte anordning, godkendes egendiagnosesystemet, hvis fejlindikatoren aktiveres. Egendiagnosesystemet godkendes ligeledes, hvis fejlindikatoren aktiveres ved lavere værdier end egendiagnosesystemets grænseværdier.

2. Beskrivelse af prøvningen

2.1. Prøvningen af egendiagnosesystemer finder sted i følgende faser:

2.1.1. der simuleres funktionsfejl af en komponent i motorstyrings- eller emissionsbegrænsningssystem

2.1.2. Køretøjet konditioneres med en simuleret funktionsfejl gennem den prækonditionering, der er omhandlet i punkt 6.2.1 eller punkt 6.2.2 i dette tillæg

2.1.3. Mens køretøjet gennemkører en type 1-prøvecyklus med en simuleret funktionsfejl måles dets emissioner. Ved kørsel af køretøjet med en simuleret funktionsfejl, finder de i punkt 2.6.8.3.2 i bilag B6 anførte kørselsporindekser og tolerancer ikke anvendelse.

2.1.4. det bestemmes, om egendiagnosesystemet reagerer på den simulerede funktionsfejl og angiver denne over for føreren på passende måde.

2.2. Alternativt kan funktionsfejl i en eller flere komponenter på fabrikantens anmodning simuleres elektronisk i overensstemmelse med kravene i punkt 6 i dette tillæg.

2.3. Fabrikanten kan anmode om, at overvågning finder sted uden for type 1-prøvecyklussen, hvis det over for den typegodkendende myndighed godtgøres, at overvågning under betingelser svarende til type 1-prøvecyklussen ville medføre restriktive overvågningsbetingelser under køretøjets drift.

2.4. For OVC-HEV'er skal prøvningen udføres i ladningsbevarende driftstilstand.

3. Prøvningskøretøj og -brændstof

3.1. Køretøj

Prøvningskøretøjet skal opfylde forskrifterne i punkt 2.3 i bilag B6 til dette regulativ.

3.2. Brændstof

Til afprøvningen skal anvendes det i bilag B3 til dette regulativ beskrevne referencebrændstof. Brændstoftypen for hver form for svigt, som der skal prøves for (beskrevet i punkt 6.3 i dette tillæg), kan vælges af den typegodkendende myndighed blandt de referencebrændstoffer, der er beskrevet i bilag B3 til dette regulativ, hvis der er tale om prøvning af et gasdrevet mono-brændstofkøretøj eller et gasdrevet bi-brændstofkøretøj. Den valgte type brændstof må ikke ændres i nogen af prøvningsfaserne (beskrevet i punkt 2.1 til 2.3 i dette tillæg). Hvis der anvendes LPG eller NG/biogas som brændstof, er det tilladt at motoren starter med benzin for derefter at skifte over til LPG eller NG/biomethan efter et forud fastsat tidsrum, som styres automatisk og ikke kan styres af føreren.

4. Prøvningstemperatur og -tryk

4.1. Prøvetemperatur og -tryk skal opfylde kravene i type 1-prøven som beskrevet i bilag B6 til dette regulativ.

5. Prøvningsudstyr

5.1. Chassisdynamometer

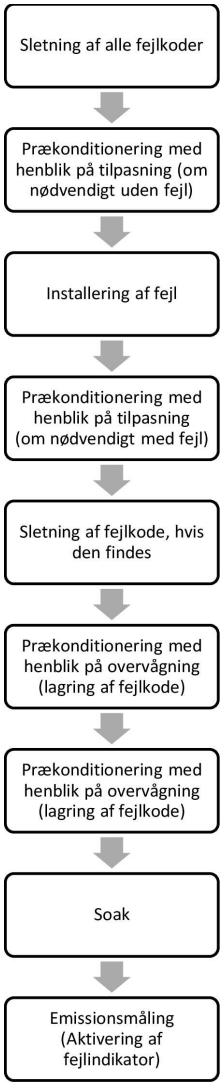
Chassisdynamometeret skal opfylde forskrifterne i bilag B5 til dette regulativ.

6. Prøvningsprocedure for egendiagnosesystem

Figur C5.Till.1/1. indeholder en oversigt over proceduren for OBD-prøvning. Denne tabel er kun til orientering.

Figur C5.Till.1/1

Oversigt over demonstrationsprøvning



6.1. Kørecyklussen på chassisdynamometeret skal være den gældende WLTC i type 1-prøvningen, jf. bilagene, del B.

6.1.1. Type 1-prøvningen behøver ikke gennemføres til påvisning af elektriske fejl (kortslutning/åbent kredsløb). Fabrikanten kan påvise disse former for svigt ved hjælp af kørselsbetingelser, hvor komponenten anvendes, og betingelserne for overvågning forekommer. Disse betingelser skal dokumenteres i typegodkendelsesdokumentationen.

6.1.2. Fejlkodehukommelsen skal nulstilles ved begyndelsen af hvert svigt, som skal påvises.

6.2. Prækonditionering af køretøjet

6.2.1. Prækonditionering med henblik på tilpasning

Prækonditionering med henblik på tilpasning består af to dele

a) Prækonditionering med henblik på tilpasning uden fejl

b) Prækonditionering med henblik på tilpasning med fejl

efter fabrikanten valg.

Niveau 1A og niveau 2

Prækonditioneringen for tilpasning består af en eller flere på hinanden følgende WLTC 4-faseprøvninger. På fabrikantens anmodning og efter godkendelse fra den typegodkendende myndighed kan der anvendes en alternativ metode til tilpasning i stedet for 4-faseprøvninger.

Hvis fejlkoden lagres efter prækonditionering med henblik på tilpasning, skal fabrikanten slette fejlkoden.

Niveau 1B

Prækonditioneringen for tilpasning består af en eller flere på hinanden følgende WLTC 3-faseprøvninger. På fabrikantens anmodning og efter godkendelse fra den typegodkendende myndighed kan der anvendes en alternativ metode til tilpasning i stedet for 3-faseprøvninger.

Hvis fejlkoden lagres efter prækonditionering med henblik på tilpasning, skal fabrikanten slette fejlkoden.

6.2.2. Prækonditionering med henblik på overvågning

6.2.2.1. Niveau 1A og niveau 2

Afhængigt af motortype og efter indførelse af en af de i punkt 6.3 i dette tillæg angivne former for svigt prækonditioneres køretøjet ved gennemførelse af mindst to på hinanden følgende 4-fase WLTC-prøvninger.

Niveau 1B

Afhængigt af motortype og efter indførelse af en af de i punkt 6.3 i dette tillæg angivne former for svigt prækonditioneres køretøjet ved gennemførelse af mindst to på hinanden følgende 3-fase WLTC-prøvninger.

6.2.3. På fabrikantens anmodning og efter godkendelse fra den typegodkendende myndighed kan der anvendes alternative prækonditioneringsmetoder.

Begrundelsen for at anvende yderligere prækonditioneringscyklusser eller alternative prækonditioneringsmetoder samt oplysninger om disse cyklusser/metoder skal angives i typegodkendelsesdokumentationen.

6.3. Former for svigt, som skal prøves

6.3.1. Udstødning fra motorkøretøjer med styret tænding

6.3.1.1. Udskiftning af katalysatoren med en forringet eller defekt katalysator eller elektronisk simulering af sådant svigt.

6.3.1.2. Fejltænding svarende til de i punkt 3.3.3.2 i dette bilag angivne fejltændingsomstændigheder.

6.3.1.3. Udskiftning af lambdasonden med en forringet lambdasonde eller elektronisk simulering af sådant svigt.

6.3.1.4. Elektrisk afbrydelse af enhver anden emissionsrelateret komponent, der er tilsluttet en computer, som styrer drivlinjen (hvis komponenten er aktiveret ved den valgte type brændstof).

6.3.1.5. Elektrisk afbrydelse af rensningsanordningen for den elektroniske fordampningskontrolanordning (hvis en sådan forefindes og er aktiveret ved den valgte type brændstof).

6.3.2. Køretøjer med kompressionstænding

6.3.2.1. Dette punkt finder kun anvendelse på niveau 1A og niveau 2

Udskiftning af katalysatoren (hvis en sådan forefindes) med en forringet eller defekt katalysator, eller elektronisk simulering af sådant svigt.

6.3.2.2. Dette punkt finder kun anvendelse på niveau 1A og niveau 2

Fuldstændig fjernelse af partikelfilteret (hvis et sådant forefindes), eller hvis følerne indgår som en del af filteret, et defekt filteraggregat.

6.3.2.3. Elektrisk afbrydelse af en eventuel elektronisk aktuator for brændstofmængde og indsprøjtningstidspunkt.

6.3.2.4. Elektrisk afbrydelse af en vilkårlig anden emissionsrelateret komponent, der er tilsluttet en computer, som styrer drivlinjen.

6.3.2.5. Til opfyldelse af forskrifterne i punkt 6.3.2.3 og 6.3.2.4 i dette tillæg skal fabrikanten med den typegodkendende myndigheds samtykke træffe passende forholdsregler til godtgørelse af, at egendiagnosesystemet angiver en fejl, når afbrydelse finder sted.

6.3.2.6. Dette punkt finder kun anvendelse på niveau 1A og niveau 2

Fabrikanten skal godtgøre, at funktionsfejl i udstødningsrecirkulationsstrømmen (EGR flow) og køleanordningen detekteres af OBD-systemet under godkendelsesprøvningen.

6.4. Prøvning af egendiagnosesystemet

6.4.1. Køretøjer med styret tænding

6.4.1.1. Når køretøjet er prækonditioneret som angivet i punkt 6.2 i dette tillæg, gennemfører prøvningskøretøjet en type 1-prøvning.

Senest inden denne prøvning er afsluttet, skal enhver af de betingelser, der er givet i punkt 6.4.1.2 til 6.4.1.6 i dette tillæg, bevirke, at fejlindikatoren aktiveres: Fejlindikatoren kan også aktiveres under prækonditionering. Den tekniske tjeneste kan i stedet for de nævnte betingelser benytte andre betingelser i overensstemmelse med punkt 3.3.3.4 til dette bilag. Ved typegodkendelse må det samlede antal simulerede fejl dog ikke overstige fire (4).

Hvis der er tale om prøvning af et gasdrevet bi-brændstofkøretøj, skal begge typer brændstof anvendes inden for de højst fire (4) simulerede fejl efter den typegodkendendes myndigheds valg.

6.4.1.2. Udskiftning af katalysatoren med en forringet eller defekt katalysator eller elektronisk simulering af en forringet eller defekt katalysator, der medfører overskridelse af de i punkt 6.8.2 i dette regulativ angivne OBD-grænseværdi for NMHC-emission eller OBD-grænseværdi for NOx-emission.

6.4.1.3. Fejltænding, der kunstigt fremkaldes i overensstemmelse med de betingelser for overvågning af fejltænding, der er givet i punkt 3.3.3.2 i dette bilag og medfører overskridelse af en vilkårlig OBD-grænseværdi i punkt 6.8.2 i dette regulativ.

6.4.1.4. Udskiftning af en lambdasonde med en forringet eller defekt lambdasonde eller elektronisk simulering af en forringet eller defekt labdasonde, der medfører, at emissionen overskrider en vilkårlig OBD-grænseværdi i punkt 6.8.2 i dette regulativ.

6.4.1.5. Elektrisk afbrydelse af rensningsanordningen for den elektroniske fordampningskontrolanordning (hvis en sådan forefindes og er aktiveret ved den valgte type brændstof).

6.4.1.6. Elektrisk afbrydelse af enhver anden af drivlinjens emissionsrelaterede komponenter, der er forbundet med en computer, med det resultat at emissionen overskrider en vilkårlig OBD-grænseværdi i punkt 6.8.2 i dette regulativ (hvis den er aktiveret for den valgte type brændstof).

6.4.2. Køretøjer med kompressionsstænding

6.4.2.1. Når køretøjet er prækonditioneret som angivet i punkt 6.2 i dette tillæg, gennemfører prøvningskøretøjet en type 1-prøvning.

Senest inden denne prøvning er afsluttet, skal enhver af de betingelser, der er givet i punkt 6.4.2.2 til 6.4.2.5 i dette tillæg, bevirke, at fejlindikatoren aktiveres: Fejlindikatoren kan også aktiveres under prækonditionering. Den tekniske tjeneste kan i stedet for de nævnte betingelser benytte andre betingelser i overensstemmelse med punkt 3.3.4, litra d), til dette bilag. Ved typegodkendelse må det samlede antal simulerede fejl dog ikke overstige fire (4).

6.4.2.2. Dette punkt finder kun anvendelse på niveau 1A og niveau 2

Udskiftning af en katalysator (hvis en sådan forefindes) med en forringet eller defekt katalysator eller elektronisk simulering af en forringet eller defekt katalysator, der medfører overskridelse af de i punkt 6.8.2 i dette regulativ angivne OBD-grænseværdier.

6.4.2.3. Dette punkt finder kun anvendelse på niveau 1A og niveau 2

Fuldstændig fjernelse af partikelfilteret (hvis et sådant forefindes) eller udskiftning af dette med et defekt partikelfilter, der opfylder kravene i punkt 6.3.2.2 i dette tillæg, således at emissionerne overskrider en vilkårlig OBD-grænseværdi angivet i punkt 6.8.2 i dette regulativ.

6.4.2.4. Med henvisning til punkt 6.3.2.5 i dette tillæg, afbrydelse af en enhver elektronisk aktuator for brændstoftilførsel og indsprøjtningstidspunkt, der medfører overskridelse af enhver af OBD-grænseværdierne i punkt 6.8.2 i dette regulativ.

6.4.2.5. Med henvisning til punkt 6.3.2.5 i dette tillæg, afbrydelse af enhver anden af drivlinjens emissionsrelaterede komponenter, som er forbundet med en computer, således at dette medfører overskridelse af OBD-grænseværdierne i punkt 6.8.2 i dette regulativ.

6.5. Egendiagnosesignaler

6.5.1. Anvendelsen af "hvis dette foreligger" i de følgende punkter skal forstås på en sådan måde, at det respektive signal anvendes som input til egendiagnose- eller emissionsbegrænsningssystemet.

6.5.1.1. Ved første konstatering af en funktionsfejl i en komponent eller et system skal der i computerens hukommelse lagres en "fryseramme" med motordriftsomstændighederne på dette tidspunkt. I tilfælde af efterfølgende funktionsfejl i brændstofsystemet eller fejltænding skal eventuelle tidligere lagrede fryserammer erstattes af de pågældende omstændigheder for funktionsfejl i brændstofsystem eller fejltænding (den først indtrædende heraf). De lagrede motordriftsdata skal, uden nødvendigvis at være begrænset dertil, omfatte den relative belastning, motorhastighed (RPM), brændstofafstemning (hvis dette foreligger), brændstoftryk (hvis dette foreligger), kørehastighed (hvis dette foreligger), motorkølemiddeltemperatur, tryk i indsugningsmanifold (hvis dette foreligger), brændstofsystemstatus (f.eks. lukket eller åben sløjfe (hvis dette foreligger), samt den fejlkode, der gav anledning til lagring af de pågældende data. Fabrikanten skal til fastfrysning af data vælge det mest hensigtsmæssige sæt betingelser, der letter effektiv udbedring. Der kræves kun én ramme med datasæt. Fabrikanten kan vælge at lagre ekstra fryserammer, forudsat at i det mindste den krævede ramme kan aflæses ved hjælp af en generisk scanner, der opfylder kravene i punkt 6.5.3.2 og 6.5.3.3 i dette tillæg. Hvis den fejlkode, der gav anledning til lagring af driftsbetingelserne, slettes i henhold til punkt 3.8 i dette bilag, kan de lagrede motordriftsdata ligeledes slettes.

6.5.1.2. Ud over de krævede fastfrosne data skal følgende signaler, hvis de foreligger, på forlangende stilles til rådighed via den serielle port på standarddatastikket, hvis disse oplysninger foreligger på køretøjets computer eller kan fastlægges ved hjælp af oplysninger, der er tilgængelige for køretøjets computer: antal diagnosefejlkoder, motorens kølevæsketemperatur, brændstofsystemstatus (f.eks. lukket eller åben sløjfe), brændstofafstemningsværdi(er), tændingsforstilling, indsugningsluftens temperatur, indsugningsluftens tryk, luftens strømningshastighed, motorens omdrejningstal (RPM), størrelse af signal fra gasspjældspositionsføler, status af sekundærluft (opstrøms, nedstrøms eller atmosfærisk), relativ belastning, køretøjshastighed, brændstoftryk, oxygensensor og lambdasonde.

Signalerne skal foreligge i standardenheder, baseret på specifikationerne i punkt 6.5.3 i dette tillæg. Faktiske signaler skal tydeligt kunne skelnes fra faste standardværdier eller nødprogramsignaler.

6.5.1.3. For alle emissionsbegrænsningssystemer, for hvilke der udføres specifikke on-board-evalueringsprøvninger efter dette bilag (katalysator, lambdasonde osv.) bortset fra detektering af fejltænding, overvågning af brændstofsystem og omfattende komponentovervågning, skal resultaterne af den seneste selvtest af køretøjet og de grænser, mod hvilke systemet prøves, stilles til rådighed gennem den serielle port på det standardiserede datastik i overensstemmelse med specifikationerne i punkt 6.5.3 i dette tillæg. For de ovenfor nævnte overvågede komponenter og systemer skal gennem datastikket foreligge angivelse af, om disse har holdt de seneste prøver.

Alle data, som skal registreres i forbindelse med kravene til OBD-systemets funktion efter ibrugtagning i henhold til bestemmelserne i punkt 7.6 i dette tillæg, skal være tilgængelige gennem den serielle port på standarddatastikket som angivet i specifikationerne i punkt 6.5.3 i dette tillæg.

6.5.1.4. De egendiagnosekrav, efter hvilke køretøjets typeattest er udfærdiget, og de vigtigste emissionsbegrænsningssystemer, der overvåges af egendiagnosesystemet i henhold til punkt 6.5.3.3 i dette tillæg, skal være til rådighed gennem den serielle port på standarddatastikket som angivet i specifikationerne i punkt 6.5.3 i dette tillæg.

6.5.1.5. For alle køretøjstyper, der tages i brug, skal softwarekalibreringsidentifikationsnummeret stilles til rådighed via den serielle port på standarddatastikket. Softwarekalibreringsidentifikationsnummeret skal foreligge i et standardiseret format.

6.5.2. Det kræves ikke, at emissionsbegrænsningssystemet vurderer komponenter ved tilstedeværelse af funktionsfejl, hvis sådan vurdering medfører risiko for sikkerheden eller svigt af komponenter.

6.5.3. Diagnosesystemet for emissionsbegrænsningssystemet skal give standardiseret og ubegrænset adgang og skal være i overensstemmelse med følgende ISO-standarder og/eller SAE-specifikationer. Senere versioner kan anvendes efter fabrikantens skøn.

6.5.3.1. Følgende standard anvendes for forbindelsen til ekstern kommunikation fra køretøjet (on-board to off-board communications link):

a) ISO 15765-4:2011 "Vejkøretøjer – Overførsel af diagnosedata via CAN (DoCAN) - Del 4: Requirements for emissions-related systems", dateret 1. februar 2011.

b) ISO 13400-2 "Road vehicles - Diagnostic communication over Internet Protocol (DoIP) - Part 2: Transport protocol and network layer services", dateret december 2019, og

ISO 13400-4 "Road vehicles - Diagnostic communication over Internet Protocol (DoIP) - Part 4: Ethernet-based high-speed data link connector", dateret 15. marts 2016

Standarderne i litra b) kan anvendes som valgmulighed i stedet for litra a) for rent elektriske køretøjer.

6.5.3.2. Standarder, der anvendes til transmission af OBD-systemets relevante oplysninger:

a) ISO 15031-5 "Vejkøretøjer - Kommunikation mellem køretøj og eksternt udstyr til emissionsrelateret diagnostik – Del 5: Emissionsrelaterede diagnostiske ydelser", dateret 1. april 2011, eller SAE J1979, dateret 23. februar 2012.

b) DS/ISO 15031-4 "Vejkøretøjer - Kommunikation mellem køretøj og eksternt udstyr til emissionsrelateret diagnostik – Del 4: Eksternt prøvningsudstyr", dateret 1. juni 2005, eller SAE J1978, dateret 30. april 2002.

c) ISO 15031-3 "Vejkøretøjer – Kommunikation mellem køretøj og eksternt udstyr til emissionsrelateret diagnostik – Del 3: Diagnosestik og tilhørende elektriske kredse: Specifikation og anvendelse", dateret 1. juli 2004, eller SAE J 1962, dateret 26. juli 2012.

d) ISO 15031-6 "Vejkøretøjer - Kommunikation mellem køretøj og eksternt udstyr til emissionsrelateret diagnostik – Del 6: Definition af diagnosefejlkoder", dateret 13. august 2010 eller SAE J2012 dateret 7. marts 2013.

e) ISO 27145 "Implementering af krav til udveksling af globalt harmoniserede diagnoseudtag fra køretøjer (WWH-OBD)", dateret 15.8.2012, med den begrænsning, at kun den standard, der er beskrevet i punkt 6.5.3.1, litra a), kan anvendes som datalink

f) SAE J 1979-2 "E/E Diagnostic Test Modes: OBDonUDS", april 2021.

g) SAE J 1979-3 "E/E Diagnostic Test Modes: Zero Emission Vehicle Propulsion Systems on UDS (ZEVonUDS)", dateret oktober 2023.

Standard e), f) og g) kan anvendes som valgmulighed i stedet for litra a).

6.5.3.3. Det prøvnings- og diagnosticeringsudstyr, der er nødvendigt til kommunikation med OBD-systemet, skal mindst opfylde funktionsspecifikationen i standarden, der er anført i punkt 6.5.3.2, litra b), i dette tillæg.

6.5.3.4. Grundlæggende diagnosticeringsdata (som angivet i punkt 6.5.1) og oplysninger om tovejskontrol skal foreligge i det format og de enheder, der er beskrevet i standarden, der er anført i punkt 6.5.3.2, litra a), i dette tillæg, og skal være tilgængelige ved brug af diagnosticeringsværktøjer, der opfylder kravene i standarden, der er anført i punkt 6.5.3.2, litra b), i dette tillæg.

Fabrikanten oplyser det relevante standardiseringsorgan om de nærmere detaljer i forbindelse med emissionsrelaterede diagnosticeringsdata, f.eks. PID'er, ID'er for OBD-overvågningsenheder, prøvnings-ID'er, der ikke er specificeret i de standarder, der er opført i punkt 6.5.3.2, litra a), i dette tillæg, men er relateret til dette regulativ.

6.5.3.5. Når der registreres en fejl, skal fabrikanten identificere fejlen med den mest hensigtsmæssige ISO/SAE-fejlkode specificeret i en af de standarder, der er anført i punkt 6.5.3.2 d) i dette tillæg, vedrørende "emissionsrelaterede diagnosefejlkoder (diagnostic trouble codes)". Er dette ikke muligt, kan fabrikanten benytte producentkontrollerede diagnosefejlkoder efter samme standard. Fejlkoderne skal være fuldt tilgængelige ved brug af standardiseret diagnosticeringsudstyr, som opfylder forskrifterne i punkt 6.5.3.3 i dette tillæg.

6.5.3.6. Grænsefladen mellem køretøj og diagnosetester skal være standardiseret og opfylde alle kravene i standarden, der er anført i punkt 6.5.3.2, litra c), i dette tillæg. Ved monteringen skal anvendes en placering, der kan godkendes af den administrative myndighed og er let tilgængelig for servicepersonale, men beskytter mod uautoriserede indgreb.

7. Funktion efter ibrugtagning

Dette punkt finder kun anvendelse på niveau 1A og niveau 2

7.1. Generelle krav

7.1.1. Hver overvågningsenhed i OBD-systemet skal aktiveres mindst én gang pr. kørecyklus, hvor kontrolbetingelserne skal være i overensstemmelse med punkt 7.2 i dette tillæg. Fabrikanter kan undlade at anvende det beregnede forhold (eller ethvert element heraf) eller enhver anden angivelse af kontrolfrekvens som kontrolforhold for enhver overvågningsenhed.

7.1.2. Funktionsraten efter ibrugtagning (in-use performance ratio — IUPR) for en specifik overvågningsenhed M for OBD-systemet og funktion af forureningsbegrænsende anordninger skal være:

$IUPR_M = Tæller_M / Nævner_M$

7.1.3. Sammenligningen mellem tæller og nævner giver en indikation af, hvor ofte en specifik overvågningsenhed er i drift i forhold til køretøjets drift. For at sikre, at alle fabrikanter finder frem til $IUPR_M$ på samme måde, er der fastsat detaljerede krav for definition og forøgelse af disse tællinger.

7.1.4. Hvis køretøjet i henhold til kravene i dette bilag er udstyret med en specifik overvågningsenhed M, skal $IUPR_M$ være over eller lig med nedenstående minimumsværdier:

a) 0,260 for overvågningsenheder af sekundærluftsystemer og andre koldstartsrelaterede overvågningsenheder

b) 0,520 for overvågningsenheder af rensningen af det fordampningsbegrænsende system

c) 0,336 for alle andre overvågningsenheder.

7.1.5. Køretøjer skal opfylde kravene i punkt 7.1.4 i dette tillæg med hensyn til kilometertal for fuld mållivscyklus som defineret i punkt 6.7 i dette regulativ.

7.1.6. Kravene i dette punkt anses for at være opfyldt for en bestemt overvågningsenhed M, hvis følgende statistiske betingelser er opfyldt for alle køretøjer tilhørende en bestemt OBD-familie, der fremstilles i et bestemt kalenderår:

a) den gennemsnitlige $IUPR_M$ er lig med eller over den for overvågningsenheden gældende minimumsværdi

b) over 50 % af alle køretøjer har en $IUPR_M$ lig med eller over den for overvågningsenheden gældende minimumsværdi.

7.2. $Tæller_M$

7.2.1. Tælleren for en specifik overvågningsenhed er en tælling, der angiver det antal gange, et køretøj har fungeret på en sådan måde, at alle de overvågningsbetingelser, der er nødvendige for, at en specifik overvågningsenhed kan detektere en funktionsfejl med henblik på at advare føreren, således som det er blevet installeret af fabrikanten, har været til stede. Tælleren skal ikke øges mere end én gang pr. kørecyklus, medmindre der foreligger en teknisk begrundelse herfor.

7.3. $Nævner_M$

7.3.1. Formålet med nævneren er at give en tælling af antallet af kørsler under hensyntagen til eventuelle særlige betingelser for en specifik overvågningsenhed. Nævneren skal øges med mindst én pr. kørecyklus, hvis sådanne betingelser har været til stede i løbet af denne kørecyklus, og den generelle nævner øges som specificeret i punkt 7.5 i dette tillæg, medmindre nævneren er deaktiveret i henhold til punkt 7.7 i dette tillæg.

7.3.2. Ud over kravene i punkt 7.3.1 i dette tillæg:

a) Tælleren/tællerne for overvågningsenheden af sekundærluftsystemet øges, hvis sekundærluftsystemet er sat til "on" i 10 s eller derover. For at bestemme varigheden af denne beordrede "on"-tilstand, kan OBD-systemet vælge ikke at medregne den tid, der medgår til sekundærluftsystemets ekstraordinære drift alene med henblik på overvågning.

b) Nævnere for overvågningsenheder af systemer, der kun er aktive under koldstart, øges, hvis komponenten eller strategien sættes til "on" i 10 s eller derover.

c) Nævneren/nævnerne for overvågningsenheder af variable ventilindstillinger (VVT) og/eller kontrolsystemer øges, hvis komponenten sættes til at fungere (f.eks. sættes til "open", "closed", "locked" osv.) to eller flere gange i løbet af kørecyklussen eller i 10 s eller derover (det der først indtræder).

d) For nedenstående overvågningsenheder øges nævneren/nævnerne med én, såfremt kravene i dette punkt er opfyldt i løbet af mindst én kørecyklus, og der er opnået mindst 800 kumulative kilometer køretøjsdrift, siden nævneren sidst blev øget:

   i) Dieseloxidationskatalysator

   ii) Dieselpartikelfilter.

e) Nævnerne for overvågningsenheder af følgende komponenter øges, hvis, og kun hvis, kørecyklussen er igangsat med en koldstart:

   i) Væsketemperaturfølere (olie, kølervæske, brændstof, SCR-reagens)

   ii) Renluftstemperaturfølere (omgivende luft, indsugningsluft, ladeluft, indsugningsmanifold)

   iii) Udstødningstemperaturfølere (udstødningsgasrecirkulation/køling, turboladning, katalysator).

   Betingelserne for at øge nævnere for andre overvågningsenheder forbliver som beskrevet i dette bilag.

f) For enheder til overvågning af ladetrykkontrolsystemet øges nævnerne, hvis alle følgende betingelser er opfyldt:

   i) De generelle betingelser for nævneren er opfyldt

   ii) ladetrykkontrolsystemet er aktivt i mindst 15 sekunder.

g) Fabrikanter kan anmode om tilladelse til at anvende særlige nævnerbetingelser for visse komponenter eller systemer, og denne anmodning kan kun godkendes, hvis det over for den typegodkendende myndighed kan godtgøres ved hjælp af data og/eller en teknisk vurdering, at sådanne andre betingelser er nødvendige for at sikre en pålidelig detektering af funktionsfejl.

7.3.3. For hybridkøretøjer, køretøjer, der anvender alternative anordninger eller strategier til motorstart (f.eks. integreret starter og generatorer), eller køretøjer, der anvender alternative brændstoffer (f.eks. mono-brændstofkøretøjer, bi-brændstofkøretøjer eller dual-brændstofkøretøjer), kan fabrikanten anmode om den typegodkendende myndigheds tilladelse til at anvende alternative kriterier for forøgelsen af nævner i stedet for de kriterier, der er fastsat i dette punkt. Den typegodkendende myndighed skal generelt ikke tillade alternative kriterier for køretøjer, hvor motoren kun stoppes, når køretøjet befinder sig i eller i nærheden af tomgang eller standsning. Den typegodkendende myndigheds godkendelse af alternative kriterier bygger på en vurdering af de alternative kriteriers ækvivalens med hensyn til at bestemme omfanget af køretøjsdrift i forhold til den traditionelle måling af kørsel i henhold til kriterierne i dette punkt.

7.4. Tændingscyklustælling

7.4.1. Tændingscyklustællingen angiver antallet af tændingscyklusser, som køretøjet har været udsat for. Tændingscyklustællingen kan ikke øges mere end én gang pr. kørecyklus.

7.5. Generel nævner

7.5.1. Den generelle nævner er en tælling af det antal gange, et køretøj har været i drift. Den øges inden for 10 s, såfremt følgende kriterier er opfyldt i løbet af en enkelt kørecyklus:

a) Den kumulative tid siden motorstart er mindst 600 s ved en højde på højst 2440 m over havets overflade og ved en omgivelsestemperatur på mindst -7 °C.

b) Den kumulative køretøjsdrift ved mindst 40 km/h forekommer i mindst 300 s ved en højde på højst 2440 m over havets overflade og ved en omgivelsestemperatur på mindst -7 °C.

c) Kontinuerlig køretøjsdrift ved tomgang (dvs. at føreren har sluppet speederen og køretøjets hastighed er højst 1,6 km/h) i mindst 30 s ved en højde på højst 2440 m over havets overflade og en omgivelsestemperatur på mindst -7 °C.

7.6. Rapportering om og forøgelse af tællinger

7.6.1. OBD-systemet skal i henhold til de i punkt 6.5.3.2, litra a), i dette tillæg anførte ISO 15031-5-specifikationer rapportere om tændingscyklustællingen og den generelle nævner samt separate tællere og nævnere for nedenstående overvågningsenheder, hvis deres tilstedeværelse kræves i henhold til dette bilag:

a) katalysatorer (hver sektion rapporteres separat)

b) lambdasonder/udstødningsgassensorer, herunder sekundære lambdasonder (hver sensor skal rapporteres separat)

c) fordampningssystem

d) EGR-system

e) VVT-system

f) sekundærluftsystem

g) partikelfilter

h) NOx-efterbehandlingssystem (f.eks. NOx-absorber, NOx-reagens/katalysatorsystem)

i) Kontrolsystemer for ladetryk.

7.6.2. For specifikke komponenter eller systemer, der har flere overvågningsenheder, der i henhold til dette punkt skal rapporteres om (f.eks. kan lambdasonden i afsnit 1 have flere overvågningsenheder for sensorrespons eller andre sensorkarakteristika), skal OBD-systemet foretage separat registrering af tællere og nævnere for hver af de specifikke overvågningsenheder og kun rapportere om den tilsvarende tæller og nævner for den specifikke overvågningsenhed, der har det laveste numeriske forhold. Hvis to eller flere specifikke overvågningsenheder har samme numeriske forhold, skal den tilsvarende tæller og nævner for den specifikke overvågningsenhed, der har den højeste nævner, rapporteres for den specifikke komponent.

7.6.2.1. Tællere og nævnere for specifikke overvågningsenheder for komponenter eller systemer, der overvåges kontinuerligt for kortslutnings- eller tomgangsspændingsfejl, er fritaget for rapportering.

Ved "kontinuerligt" forstås, når udtrykket anvendes i denne forbindelse, at overvågningen altid er aktiveret, og at samplingen af det signal, der anvendes til overvågningen, finder sted ved en rate, der ikke er mindre end to samplinger pr. sekund, og at tilstedeværelsen eller fraværet af den fejl, der er relevant for den pågældende overvågningsenhed, skal være afsluttet inden for 15 sekunder.

Hvis en computerinputkomponent med henblik på kontrol samples mindre ofte, kan komponentsignalet i stedet evalueres hver gang, sampling forekommer.

Det kræves ikke, at en output-komponent/et output-system aktiveres alene med henblik på overvågning af output-komponenten/output-systemet.

7.6.3. Alle tællere, der øges, skal øges med et heltal på ét.

7.6.4. Minimumsværdien af hver tælling er 0, og maksimumsværdien skal være mindst 65 535, uanset andre krav om standardiseret lagring i og rapportering fra OBD-systemet.

7.6.5. Hvis enten tælleren eller nævneren for en specifik overvågningsenhed når sin maksimumsværdi, skal begge tællinger for denne specifikke overvågningsenhed divideres med to, inden de øges igen i henhold til punkt 7.2 og 7.3 i dette tillæg. Hvis tændingscyklustællingen eller den generelle nævner når maksimumsværdien, skal den pågældende tælling skifte til 0 ved den næste forøgelse i henhold til henholdsvis punkt 7.4 og 7.5 i dette tillæg.

7.6.6. Hver tælling skal kun nulstilles, når der sker nulstilling af en ikke-flygtig hukommelse (f.eks. omprogrammering osv.), eller hvis tallene lagres i en "keep-alive"-hukommelse (KAM), når KAM er tabt på grund af en strømafbrydelse i kontrolmodulet (f.eks. frakoblet batteri osv.).

7.6.7. Fabrikanten skal træffe foranstaltninger for at sikre, at værdierne af tæller og nævner ikke kan nulstilles eller ændres, undtagen i de situationer, der udtrykkeligt er beskrevet i dette punkt.

7.7. Afbrydelse af tællere, nævnere og den generelle nævner

7.7.1. OBD-systemet skal senest 10 s efter detekteringen af en funktionsfejl, der afbryder en overvågningsenhed, der skal opfylde overvågningskravene i dette bilag (dvs. at en indkommende eller bekræftet kode er lagret), afbryde enhver yderligere forøgelse af den tilsvarende tæller og nævner for hver overvågningsenhed, der er afbrudt. Når funktionsfejlen ikke længere detekteres (dvs. at den indkommende kode slettes ved "selvrensning" eller en scanner-kommando), genoptages forøgelsen af alle tilsvarende tællere og nævnere inden for 10 s.

7.7.2. OBD-systemet skal senest 10 s efter starten af en kraftudtagsoperation (PTO), der afbryder en overvågningsenhed, som skal opfylde overvågningskravene i dette bilag, afbryde enhver yderligere forøgelse af den tilsvarende tæller og nævner for hver overvågningsenhed, der er afbrudt. Når PTO-operationen afsluttes, genoptages forøgelsen af alle tilsvarende tællere og nævnere inden for 10 sekunder.

7.7.3. OBD-systemet skal afbryde yderligere forøgelse af tæller og nævner for en specifik overvågningsenhed inden for 10 s, hvis en funktionsfejl i en komponent, der anvendes til at bestemme kriteriet inden for definitionen af den specifikke overvågningsenheds nævner (f.eks. hastighed, temperatur, højde, tomgang, motorkoldstart eller driftstid), er blevet detekteret, og den tilsvarende indkommende fejlkode er blevet lagret. Forøgelsen af tæller og nævner skal starte igen inden for 10 s, når funktionsfejlen ikke længere er til stede (f.eks. den indkommende kode er slettet ved "selvrensning" eller en scanner-kommando).

7.7.4. OBD-systemet skal afbryde yderligere forøgelse af den generelle nævner inden for 10 s, hvis en funktionsfejl i en komponent, der anvendes til at bestemme, om kriteriet i punkt 7.5 i dette tillæg er opfyldt (f.eks. hastighed, omgivelsestemperatur, højde, tomgang eller driftstid), er blevet detekteret, og den tilsvarende indkommende fejlkode er blevet lagret. Forøgelsen af den generelle nævner må ikke deaktiveres af andre årsager. Forøgelsen af den generelle nævner skal starte igen inden for 10 s, når funktionsfejlen ikke længere er til stede (f.eks. den indkommende kode er slettet ved "selvrensning" eller en scanner-kommando).